

УЗБ.  
620  
У-80

**М.Т.ҮРЗОБОВ**

Классиф.

**МАТЕРИАЛЛАР  
КАРЛИЖАТЛИ  
АССОСИ  
КУРСИ**



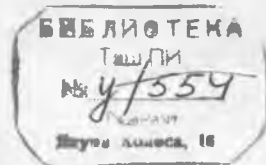
Проф.

М. Т. УРОЗБОЕВ

# МАТЕРИАЛЛАР дАРШИЛИГИ

АСОСИЙ КУРСИ

ОЛИЙ УдУВ ЮРТЛАРИ  
УЧУН ДАРСЛИК



□  
БИРИНЧИ НАШРИГА  
СЎЗ БОШИ

Материаллар қаршилиги фани кейинги 25—30 йиллар ичида мазмун жиҳатидан ҳам баён этиш усули жиҳатидан ҳам бошқа умумтехника фанларига қараганда анча ўзгарди. Бу давр ичида яратилган ва мураккаб шароитларда ишлайдиган машиналар (реактив самолётлар, атом реакторлари ва шунга ўхшашлар), шунингдек, бу давр ичида вужудга келтирилган иншоотлар ажойиб физик-механик хоссаларга эга бўлган материаллар барпо этишни талаб қилиш билан бирга, бу машина ва иншоот элементларининг янги шароитда пухта ишлай олишини таъминлайдиган ҳисоб усуллари ни ишлаб чиқиш заруриятини ҳам туғдирди. Материаллар қаршилиги фани бундай шароитда ривожланмай қолмади, албатта.

Маълумки, олий техника ўқув юрлари учун материаллар қаршилиги фанидан ўзбек тилида бирорта дарслик ҳам ва бирорта қўлланма ҳам нашр этилган эмас. Бу ҳол авторни кўп йиллардан бери тараддудга солиб келди. Республикамиздаги олий техника ўқув юрлари ва университетларда ўзбек тилида ўқувчи студентлар учун дарслик яратиш керак эди. Қўлингиздаги дарслик учун материал сифатида авторнинг бир неча йиллар мобайнида Тошкентдаги олий техника ўқув юрларида ва В. И. Ленин номидаги Тошкент Давлат университетида ўқиган лекциялари асос бўлди.

Авторнинг фикрича, ҳар қандай дарслик қўйидаги иккита асосий талабни қаноатлантириши лозим.

1. Дарслик мазмунан бой, ҳажман қисқа бўлиши керак. Фақат шундагина студент дарсликни зерикмай ўқиб, унда баён этилган материалларни билиб олишга ҳаракат қилади.

2. Дарсликдаги материаллар маълум системада қатъий ва тушунарли тилда баён этилиши керак. Бу нуқтани назардан олганда, дарслик тегишли темаларга бевосида алоқаси бўлмаган изоҳ ва иловалар билан чўзиб юборилмаслиги лозим.

Автор бу икки шартни бажаришга ҳаракат қилди. Шу муносабат билан, материаллар қаршилиги асосий курсини программага имкони борича мослаб ёзини кўзда тутиб, китобни икки қисмга бўлди. Дарсликнинг биринчи қисмида ҳар бир инженер учун зарур бўлган асосий материаллар баён этилди. Ҳар қайси бобдаги назарий тушунчаларни ойдинлатириш учун амалий масалалар келтирилди ва уларнинг ечилиши охиригача етказилди. Китобнинг биринчи қисми нормал программада утиладиган асосий материалларни ўз ичига ола-

ди. Аммо мураккаб қаршилик китобнинг иккинчи қисмида берилади. Шунинг билан бирга, китобнинг иккинчи қисмида материаллар қаршилигининг махсус масалалари ва юқорида айтиб ўтилган янги тур материалларнинг ҳисобига оид маълумотлар, шунингдек, кейинги давр ичида ривожланган усуллар ҳамда динамик кучлар таъсирини ўрганиш каби материаллар баён этилади.

Қўл ёзмани диққат билан ўқиб чиқиб, баъзи бир муҳим маслаҳатлар бергани учун академик Х. А. Раҳматуллин, техника фанлари кандидатлари В. Қ. Қобулов ва Қ. М. Мансуров, шунингдек, инженер В. Ғ. Ғаниев уртоқларга автор ўз миннатдорлигини билдиради.

Китоб ҳақидаги фикр ва мулоҳазаларингизни қуйидаги адресга юборишингиз илтимос қилинади: Тошкент, Навоий кўчаси, 30. ЎзССР «Ўрта ва олий мактаб» давлат нашриёти.

Проф. М. Ғрозбоев

Тошкент, 1960 й.

#### ИККИНЧИ НАШРИГА СЎЗ БОШИ

Китобнинг бу нашрида «Материаллар қаршилиги» нинг биринчи ва иккинчи қисмлари бирлаштирилди, аммо иккинчи қисмидаги «Татбиқий эластиклик назариясининг баъзи масалалари» деган бўлим бу нашрига киритилмади, уни махсус курс тарзида алоҳида китоб қилиб нашр этиш маъқул топилди.

Проф. М. Ғрозбоев.

Тошкент, 1970 й.

## КИРИШ

## 1-§. Материаллар қаршилиги фанининг моҳияти

Бирор машина ёки иншоот қуришдан аввал, ундан қандай мақсадда фойдаланилишига қараб керак бўладиган материаллар танланади. Материаллар танлашда машина ёки иншоотнинг қисмлари қандай шароитда ишлашини ва улар қандай юкларга, яъни қандай ташқи кучларга бардош бериши кераклигини билиш лозим. Қўйилган кучлар таъсиридан машина ёки иншоотнинг қисмларида қандай зўриқишлар ҳосил бўлиши, бу зўриқишларга қандай тур материал бардош бериши, бу қисмлар кўндаланг кесими ўлчамларининг қандай танлаб олиниши ҳақидаги масала олдиндан хал қилиниши керак.

Маълумки, турли қурилиш материаллари ташқи кучлар таъсирига турлича қаршилиқ кўрсатади. Шунинг учун машина ёки иншоот қисмларининг қўйилган юклар таъсирига бардош бериб туриши уларнинг ўлчамларига боғлиқ бўлиши билан бирга, қандай турдаги материалдан ясалишига ҳам боғлиқдир.

Машина ёки иншоотларнинг қисмларида ташқи юк таъсиридан ҳосил бўладиган зўриқишларни ҳамма вақт ҳам статика тенгламалари ёрдами билан аниқлаш мумкин бўлавермайди. Бундай пайтларда зўриқишларни қабул қилувчи қисмларнинг деформацияларини, яъни геометрик ўзгаришларини ва бу ўзгаришлар билан зўриқишлар орасидаги муносабатларни олдиндан билмасдан туриб, қўйилган масалани охиригача ечиб бўлмайди. Демак, машина ёки иншоотлар қуриш учун зарур бўлган материалларнинг баъзи физик хоссаларини ифодаловчи параметрларни олдиндан билиш керак бўлар экан.

Материаллар қаршилиги машина ёки иншоотларнинг қисмларида (элементларида) ҳосил бўладиган зўриқиш ва деформацияларни аниқлаш усулларини ва материалларнинг баъзи физик (физикавий) хоссаларини эксперимент (тажриба) ёрдамида текшириш йўллари ургатувчи фандир.

Бу фанни тавсиф этишда, материаллар қаршилиги масалаларининг қўйилишига қараб, унинг ё конкрет экспериментал қисмига, ёки назарий қисмига кўпроқ мойиллик бериш мумкин бўлади. Лекин экспериментал қисми билан назарий қисмини био-бирига қарама-қарши қўйиб бўлмайди, чунки материаллар қаршилиги фанининг тараққиётида ва тузилишида бу икки қисм бир-бирига узлуксиз боғланган бўлиб, бир бутун ҳолда иншоотлар умумий назариясининг асосини ташкил этади.

Материаллар қаршилиги фанида механика фанининг қаттиқ жисмларга оид умумий натижаларидан кенг фойдаланилади. Материаллар қаршилиги механикада қабул қилинган қаттиқ жисм тушунчасини бир неча янги тушунчалар билан тўлддиради. Булардан энг муҳими кучланиш билан деформация тушунчасидир. Бирмунча оддий ҳолларда кучланишни деформациядан қатъи назар, абсолют қаттиқ жисм механикасининг усулларидан фойдаланиб аниқлаш мумкин. Бундай масалалар *статик аниқ* масалалар дейилади. Умуман, кучланишни деформацияга боғламай аниқлаб бўлмайди. Кучланишнинг деформациясиз аниқлаш мумкин бўлмаган масала *статик аниқмас* масала дейилади. Бу тарздаги статик аниқмас масалалар материаллар қаршилиги фанининг махсус усулларидан фойдаланиб ечилади.

Каттиқ жисмда ҳосил бўладиган кучланиш ва деформацияларни текшириш масалалари билан материаллар қаршилигигина эмас, балки абсолют қаттиқ бўлмаган жисмлар (деформацияланган жисмлар, механикаси ҳам шуғулланади. Бу фан қаттиқ жисмнинг умумий эластиклик назариясини ва пластиклик назариясини ўз ичига олади. Деформацияланувчи қаттиқ жисм механикаси ва материаллар қаршилиги қўйилган масалаларни ечиш усули билан бир-бирдан фарқ қилади. Деформацияланувчи каттиқ жисм механикаси жисмдаги кучланиш ва деформацияларни аниқлашда қаттиқ жисмларни бир жинсли ва ўзи ишқол этган ҳажми тўла қопловчи туташ муҳит деб масалани математик нуқтаи назардан умумий ҳолда текширади. Шундай бўлса-да, масала бирмунча қатъий түс олиши билан бирга, юқори даража аниқ натижалар беради.

Материаллар қаршилигида эса мураккаб математик формулалар билан қилинадиган ҳисобларни ихчамлаштириш мақсадида кучланиш ва деформацияларнинг характерини муайян амалий масалалар учун олдиндан бирмунча аниқлайдиган гипотезалар асосида иш кўрилади. Амалий масалалар бундай гипотезаларга суяниб ечилганда, етарли даражада аниқ ва осон ҳал қилинади. Албатта, бу гипотезаларнинг натижаси билан ҳақиқий ҳолат орасида ҳеч қандай қарама-қаршилиқ юз бермаслиги керак. Бироқ шундай ҳоллар ҳам борки, ҳеч қандай гипотеза билан масалани элементар ҳолга келтириб бўлмайди. Бундай ҳолларда материаллар қаршилиги ўз олдига қўйилган масалаларни ечишда деформацияланувчи қаттиқ жисм механикасининг усуллари татбиқ этилиб чиқарилган натижалардан фойдаланади. Бундан кўрамизки, материаллар қаршилигида фақат маълум доирадаги масалалар ечилиб, жисмдаги зўриқиш ва деформацияларни аниқлаш масаласи, умумий ҳолда, деформацияланувчи қаттиқ жисм механикасида тўла-тўқис ечилади.

Материаллар қаршилигида ечиладиган масалаларнинг юқорида айтилган доираси анча кенг бўлиб, жуда муҳим амалий масалаларни ўз ичига олади, шунинг билан бирга, ҳаётда ишлатиладиган машина ва иншоот қисмларининг асосий типларини ҳисоблаш учун етарли бўлган техник аппаратларни беради. Материаллар қаршилигининг баъзи мураккаб масалаларини бевосита эксперимент йўли билан ечиш мумкин. Экспериментал йўллардан энг ривож топгани ва катта самара бераётгани фотэластик, рентгеноскопик ва электроосциллографик усуллардир. Бу уч усулнинг ҳар қайсиси жисмларда ҳосил бўладиган кучланиш ва деформацияланиш процессларини кузатиш ва уларнинг максимал қийматларини ўлчашга асосланган.

Бу китобни ёзишда автор қуйидаги икки нарсани: биринчидан, ўқувчиларга машина ва иншоотларнинг қисмларини ҳисоблашда қўлланиладиган асосий усулларни тўла-тўқис ўргатиш ва иккинчидан, фаннинг бу соҳада эришган муваффақиятлари билан уларни таништиришни ўз олдига асосий мақсад қилиб қўйди.

Шуни эслатиб ўтиш керакки, иншоотлар ва машиналар қандай вазифаларни бажариш учун мўлжалланганидан ва қандай шароитларда ишлатилишидан қатъи назар, уларнинг таркибидаги элементларнинг асосан тўғри стерженлар, эгри стерженлар (арклар), филдирэжлар, юпқа пластинкалар ва қобиклардан иборат булади. Иншоот ва машиналарни ҳисоблашда улар таркибидаги қисмларнинг мустаҳкамлиги ва устиворлиги таъмин этилса, шу билан иншоот ёки машинанинг мустаҳкамлиги бутунлай таъмин этилган бўлади.

Материаллар қаршилигида ана шу тўғри ва эгри призматик стерженлар, юпқа пластинкалар ва қобикларнинг мустаҳкамлигини ва устиворлигини ҳисоблаш йўл-йўриқлари берилади. Шунинг учун ҳам материаллар қаршилиги иншоот ва машиналарни ҳисоблаш назариясининг асоси ҳисобланади.

Материаллар қаршилиги ҳозирги замон татбикий техника фанлари билан чамбарчас боғлиқ бўлиб, улар су фан асосида ривожланади, материаллар қаршилиги ҳам мазкур техника фанлари асосида кенгая боради.

Маълумки, қадимги замонларда иншоотлар ҳеч қандай ҳисобсиз қурилган. Қурилиш материалларининг чидамлилиги ҳиссасига оид масалани даставвал XVII асрнинг биринчи ярмида (1638 йилда) машҳур италян олими Галилео Галилей майдонга ташлаган эди. Жисмга қўйилган юк билан деформация орасидаги муносабатни энг аввал 1660 йилда Р. Гук деган олим тажриба йули билан аниқлади. Материаллар қаршилигининг кейинги ривожланиши, XVIII асрдан бошлаб, Петербург Фанлар академиясининг ҳақиқий аъзолари Д. Бернулли ва Л. Эйлер ўтказган катта илмий текширишлар билан боғлиқдир. XIX асрда рус олимлари Д. Журавский, Ф. С. Ясинский ва француз олимлари Навье ва Сен-Венан ўтказган илмий текшириш ишлари материаллар қаршилигини мустақил фан қилиб қўйди. Бу фан, асосан XX асрдан бошлаб, хусусан рус олимлари ўтказган илмий текшириш ишлари натижасида такомиллашди. Бу соҳада И. Г. Бубнов, В. Л. Кирпичев, А. Н. Крылов, Б. Г. Галеркин, Н. И. Мухелишвили, П. Ф. Попкович, Л. С. Лейбензон, Н. М. Беляев, А. А. Ильюшин, Х. А. Раҳматуллин, В. З. Власов ва М. М. Филоненко-Бородич гоят катта иш қилдилар. Буларнинг деформацияланувчи қаттиқ жисм механикаси, иншоотлар назарияси ва материаллар қаршилиги соҳасида ўтказган илмий ишларининг бутун дунё миқёсида катта аҳамиятга эгалиги маълум.

## 2-§. Тўғри ва эгри стерженлар, юпка пластинкалар ва қобиқлар таърифи

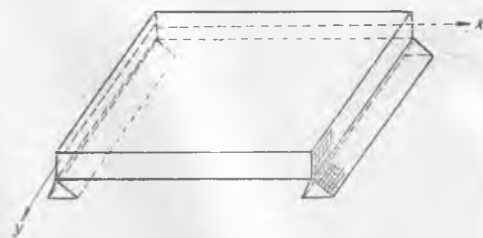
Призматик ёки цилиндрик шаклдаги жисмларнинг кўндаланг кесим ўлчамлари буй ўлчамига қараганда бир неча марта кичик бўлса, улар *призматик стерженлар* дейилади. Геометрик ўқлари тўғри чизик бўлса, *тўғри стержень* деб, эгри чизик бўлса, *эгри стержень* деб аталади (1 ва 2-шакллар).



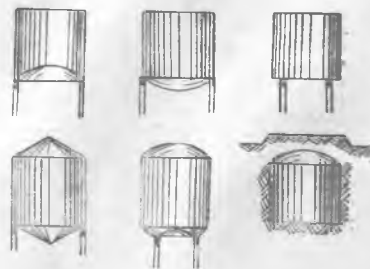
1-шакл.



2-шакл.



3-шакл.



4-шакл.

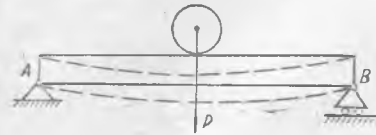
Қаттиқ жисмнинг битта ўлчами бошқа иккитасига қараганда жуда ҳам кичик бўлса, бундай ясси жисмлар *пластина* деб, юпқа деворли идишга ўхшаш жисмлар эса *қобиқ* деб аталади (3 ва 4-шакллар).

### 3-§. Иншоот ва машиналарга қўйиладиган кучлар ва уларнинг турлари

Иншоотлар ўз вазифасини ўташда уларнинг баъзи қисмлари ташқи кучлар таъсирига бевосита дуч келиб, ўз навбатида, бу кучларни маълум тарзда қушни элементларга узатади. Масалан сув тўғонини олсак, бу иншоот ўзининг оғирлиги ва сув босими таъсирида бўлиб, ўз навбатида, бу кучлар таъсирини тўғоннинг асосига узатади. Шунингдек, буг машинасининг поршени газ босимини қабул қилиб, уни шатун орқали кривошинга ва тирсакли валга узатади. Бунга ўхшаш мисолларни жуда кўп келтириш мумкин. Умуман, иншоотларнинг қисмлари уларнинг хусусий оғирлиги, бу қисмларнинг бир-бирига қўрсатадиган таъсири ва уларга бевосита қўйиладиган юклар таъсирида бўлиши мумкин.

Иншоотларнинг қисмларига таъсир қиладиган кучлар икки турга: ҳажмий ва сиртки кучларга бўлинади. Куч жисм ҳажмининг барча нуқталарига қўйилган бўлса, бундай куч *ҳажмий куч* дейилади. Масалан, мустаҳкамлиги текшириляётган жисмнинг ўз оғирлиги маъкур жисм учун ҳажмий куч ҳисобланади; жисм ҳаракатда бўлса, инерция кучи ҳам ҳажмий кучлар каторига қиради, чунки инерция кучи жисмнинг массасига боғлиқдир, масса эса жисмнинг бутун ҳажмини қоплайди.

Бир-бирига тегиб турадиган икки жисмнинг ўзаро таъсири уларнинг урилиб турган нуқтасига қўйилган деб



5-шакл.

ҳисобланади. Ҳақиқатан эса, жисмларнинг тегилиб турган жойида деформация ҳосил бўлиб, уларнинг ўзаро таъсири урилиб турган нуқтага қўйилмай, бирор юзачага қўйилади. Бу юзачанинг сатҳи жуда кичик бўлса-да, чеклидир.

Материаллар қаршилигида кучларнинг бир системасини унга эквивалент бўлган бошқа система

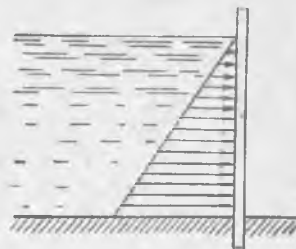
билан алмаштириш мумкин бўлмаганидан бир нуқтага қўйилган куч ўз маъносини йўқотади. Шунинг учун, масалани таърифлашда, кучнинг қандай берилишига ва унинг қулайлаштирувчи схемасига жиддий эътибор бериш зарур. Дарҳақиқат, иккита жисмнинг тегилиб турган юзачаси жисм ўлчамларига қараганда жуда ҳам кичкина бўлса, бу юзачани бир нуқта деб, у кучни эса нуқтага қўйилган *тўпланма куч* деб ҳисоблаймиз. Бу тўпланма куч, жисмларнинг тегилиб турган юзасидаги босимларнинг тенг таъсир этувчисидир. Масалан, икки учи билан таянч устида ётган балканинг бирор жойига қўйилган оғир жисмнинг балка сирти билан тегишган юзачаси жуда кичик бўлганида бу юзача бўйича таъсир қилувчи кучлар ўрнига уларнинг тенг таъсир этувчиси  $P$  ни оламиз (5-шакл).

Бу тарзда соддалаштирилган схемаларни қабул қилиш билан жисмларнинг тегилиб турган юзачаларидан узоқдаги нуқталарида ҳосил бўладиган деформацияларни етарли даражада аниқ топишимиз мумкин.

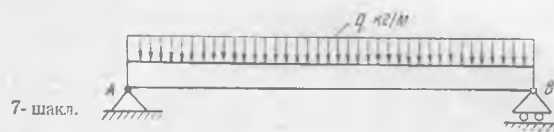
Иншоот қисмининг маълум юзаси ёки узунлиги бўйича қўйилган куч узлуксиз равишда таъсир қўрсатса, бундай куч *ёйилган куч* дейилади. Бун-

га туғон деворга сувнинг таъсири мисол була олади (6-шакл); бу кучнинг тарқалиши учбурчак қонуни билан ифодаланади, чунки гидростатик босим сув юзасидан туғон тагигача учбурчак қонуни билан ўзгариб боради. Бошқа бир мисол учун қўприк балкасини олсак, унинг устига ётқизилган шағал ва бетон балка бўйича тенг ёйилган юк бўлиб, шаклда (7-шакл) кўрсатилганча таъсир килади.

Иншоот қисмларига қўйилган (ёйилган) юклар тенг тарқалган бўлмай, ихтиёрий равишда тарқалган бўлиши ҳам мумкин. Тупроқ, қум каби сочидувчи материаллар билан қўланган балка бунга мисол була олади (8-шакл). Тўпланма юк тонна ёки кг ҳисобда, ёйилган юк эса, юзага қўйилган бўлса,  $t/m^2$  ёки  $kg/cm^2$  ҳисобида, узунлик бўйича таъсир қилаётган бўлса,  $t/m$  ёки  $kg/cm$  ҳисобида ўлчанади.



6-шакл.



7-шакл.



8-шакл.

Бу юқорида баён қилинган ҳиллардаги кучлар иншоот қисмларига статик ва динамик характерда таъсир кўрсатиши мумкин. Иншоот қисмларига куч тадрижий (аста-секин) қўйилиб, оқибатда энг катта қийматига етказилса, бундай куч *статик куч* дейилади куч статик таъсир этса, иншоот қисмларида ҳеч қандай тезланиш ҳосил бўлмайди. Улар доимо мувозанатда бўлади. Қўпчилик бинолар, гидротехник иншоотлар статик кучлар таъсирида бўлади. Қўйилган кучлар таъсиридаги иншоот қисмларида тезланишлар ҳосил бўлиб, улар қисқа муддат ичида ўзгариб турса, бу тарздаги кучлар *динамик* характерда деб ҳисобланади. Масалан, иншоот қисмлари зарбали ёки бирданига қўйиладиган, ёхуд даврий ўзгариб турадиган кучлар таъсирида бўлиши мумкин.

Аввало, материалларнинг статик таъсир килувчи кучларга кўрсатадиган қаршилигини текшираимиз. Сўнгра, динамик кучларнинг қандай шарт-шароитда ҳосил бўлишини ва материалларнинг бу кучлар таъсирига қандай қаршилик кўрсатишини текширишга ўтаимиз.

#### 4- §. Деформация ва унинг турлари

Ҳар қандай каттиқ жисмга куч таъсир қилганда унинг геометрик шакли ва ўлчамлари бирмунча ўзгаради. Бу ўзгариш *деформация* дейилади. Масалан, вертикал стержень ёки цилиндрик пружина ўз ўқи бўйлаб йўналган кучлар таъсиридан чўзилади. икки таянчда ётувчи балка устидаги юк таъсиридан эгилади. Деформация соф геометрик фактор бўлиб, уни жисмларнинг физик хоссаларидан айрим ҳолда текшириш ҳам мумкин. Бундай текширишни деформациянинг геометрик назарияси дейиш мумкин. Бироқ куч таъсиридаги жисмнинг деформациясини текширганимизда, унинг геометрик назарияси ҳодисани тўла ифодалай олмайди, чунки деформациянинг миқдори ва характери жисмга қўйилган кучга боғлиқ бўлиш билан бирга, жисм материалининг физик хоссаларига ва унинг геометрик тузилишига ҳам боғлиқдир. Масалан, қўндаланг кесим юзалари  $1 \text{ см}^2$ , узунлиги 1 метр бўлган резина; ва пўлатдан ишланган призматик стерженларнинг учларига бўйлама ўқлари бўйлаб 1 кг дан юк қўйсак, резина стержень 20 мм, пўлат стержень эса 0,0005 мм чўзилади.

Қўпчилик қурилиш материаллари, одатда, уларга қўйиладиган юкларнинг таъсири остида ниҳоятда оз деформацияланади. Шунинг учун ҳам каттиқ жисмга оид қўпчилик масалаларни ечишда уларнинг деформациялари эътиборга олинмай, жисм абсолют каттиқ деб ҳисобланади.

Учлари икки таянчга қўйилган балкани олсак, унинг эгилиши таянч реакцияларининг йўналиши ва миқдорига ортиқча таъсир кўрсатмайди (5- шакл). Шунинг учун ҳам таянч реакцияларини аниқлашда балка абсолют каттиқ жисм деб қаралади.

Шундай ҳоллар борки, иншоот қисмларида ҳосил бўладиган зўриқишларни ва боғланиш реакцияларини деформацияни эътиборга олмай аниқлаб бўлмайди. Масалан, юқорида келтирилган балканинг оралиғига яна битта таянч қўйилса, ёки бир учи кистириб маҳкамланган бўлса, бу ҳолда реакциялар сони учта бўлиб, масала статик аниқмас бўлади. Статиканинг бу ҳол учун тузилган иккита тенгламаси масалани ечиш учун кифоя қилмайди. Қўшимча тенглама балканинг деформацияланиш шартидан фойдаланиб тузилади. Умуман, деформациясиз материаллардаги зўриқишларни аниқлаб бўлмайди. Шундай бўлишига қарамай, материаллар қаршилиги масалаларни ечишда, энг аввал статика тенгламалари тузилади, сўнгра деформация шартидан фойдаланиб, қўшимча тенгламалар тузишга ўтилади.

Жисм қандай куч таъсирига дуч келмасин ва қандай геометрик шаклда бўлмасин, унинг деформацияси жуда кичик бўлганидан, ҳар қандай деформацияни икки асосий турга келтириш мумкин. Агар ихтиёрий шаклдаги жисм фикран чексиз кичик ҳажмли чексиз кўп миқдордаги кубчалар йиғиндисидан тузилган деб қаралса, бундай жисмнинг деформацияси мазкур чексиз кичик ҳажмли кубчалар деформациялари билан тасвирланади. Бу чексиз кичик ҳажмли кубчаларнинг деформациялари уларнинг қирралари узунлигининг ўзгариши (қисқариши ёки чўзилиши) ва томонлари тузган тўғри бурчакларининг ўткир ёки ўтмас бурчакка айланиши билан ифодаланади. Бўй ва эн ўлчамларининг ўзгариши *чизиқли деформация* деб, тўғри бурчакнинг ўзгариши эса *бурчак ёки силжиш деформацияси* деб аталади. Жисмнинг ҳар қандай деформацияси ана шу икки асосий деформациядан иборатдир. Чизиқли деформация натижасида жисмнинг олдинги бўйи узайса, жисм чўзилади, қисқарса, жисм сиқилади. Умуман, бир-биридан фарқ қилиш учун, бирига мусбат, иккинчисига манфий ишора қўйилади.

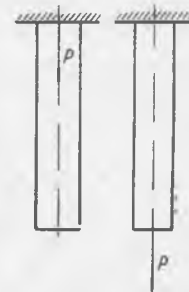
### 5-§. Қаттиқ жисм статикаси теоремаларининг материаллар қаршилигидаги татбиқи

Умуман, деформацияланувчи қаттиқ жисмга статиканинг абсолют қаттиқ жисм учун чиқарилган баъзи теоремаларини татбиқ этиш мумкин. Масалан, материаллар қаршилигида деформацияланувчи жисмни фикран абсолют қаттиқ жисм деб ва статиканинг боғланишлар ҳақидаги аксиомасини татбиқ этиб, боғланишларнинг реакцияларини аниқлаш учун мувозанат тенгламаларидан фойдаланиш мумкин.

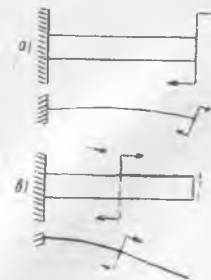
Аммо статиканинг кучларни ўз таъсир чизиги бўйлаб бир нуқтадан бошқа нуқтага келтириш ҳақидаги теоремасидан материаллар қаршилигида фойдаланиб бўлмайди. Масалан, 9-шаклда кўрсатилган призматик стерженнинг маҳкамланган учига қўйилган ва ўқи бўйлаб йўналган куч таъсиридан стержень мутлақо чўзилмайди, ҳолбуки бу куч пастки учига келтирилса, стерженда чўзилиш деформацияси содир бўлади.

Жуфт кучни ўз текислигида бир жойдан бошқа жойга кўчириш мумкинлиги ҳақида абсолют қаттиқ жисм учун чиқарилган теоремани ҳам деформацияланувчи жисм учун татбиқ қилиб бўлмайди. Масалан, бир учи маҳкамланган балканинг бошқа учига қўйилган жуфт куч кўчирилиб, ўртасига келтирилса, балканинг эгилиш характери мутлақо ўзгаради. Ўртага қўйилган жуфт кучдан балканинг биринчи ярми эгилиб, эркин қисми эса қаттиқ жисм каби оғади (10-шаклдаги  $a$  ва  $b$  ҳоллар).

Қаттиқ жисм учун кучларнинг бирор системасини, унга эквивалент бўлган бошқа бир системаси билан алмаштириш мумкин. Лекин материаллар қаршилигида бу теоремадан боғланишлар реакцияларини топишда мувозанат тенгламаларини тузиш учунгина фойдаланиш мумкин, холос. Балкаларнинг мустақамлигини текширишда ва эгилишни аниқлашда бу теоремадан фойдаланиш хато натижаларга олиб боради. Масалан, икки учи таянч устига эркин қўйилган балка ўз оғирлигидан эгилган вақтида унинг ўрта кесимининг силжиши шу оғирлик кучига тенг бўлган ва балканинг оғирлик марказига қўйилган тўпланма кучдан ҳосил бўладиган силжишининг 62,5% ни ташкил этади. Бу мисол кучларининг эквивалент системалари ҳақидаги теоремани материаллар қаршилигида ҳамма вақт ҳам татбиқ этиб бўлавериб, натижаларини аниқ кўрсатади.



9-шакл.



10-шакл.

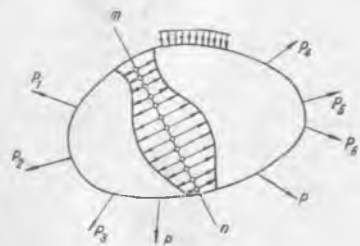
### 6-§. Ички кучлар ва уларни топиш

Мувозанатлашувчи ташқи кучлар таъсиридаги қаттиқ жисм зўриқиш ҳолатида туради. Бу зўриқиш жисмни ташкил қилувчи зарралар орасидаги ички кучлардан иборатдир. Қаттиқ жисмга ташқи куч қўйилмаганда ҳам, унда кучлар мавжуддир. Қаттиқ жисмда ички кучлар мавжуд бўлмаса, унинг зарралари маълум ҳажми қоллавичи бир бутун шаклни ҳосил қилмаган булар эди. Жисмни ҳосил қилувчи зарралар орасидаги ўзаро таъсир кучлари бошланғич ички кучлар дейилади.

Қаттиқ жисмга ташқи куч қўйилганда, унинг зарраларини ўзаро мувозанатда тутиб турувчи ички кучлар ўзгаради, бошқача қилиб айтганда, кўшимча ички кучлар ҳосил бўлади. Қаттиқ жисмларнинг қаршилиқ кўрсатиш қобилияти, асосан, ташқи кучлар таъсиридан ҳосил бўладиган ана шу кўшимча ички кучларга боғлиқ бўлганидан, улар бизни кўпроқ кизиқтиради. Қаттиқ жисмларда ҳосил бўладиган ички кучлар ва деформациялар XIX асрдан буён жисмнинг молекуляр тузилиши назарияси асосида изоҳлаб келинмоқда. Ҳозирги замон физикаси атомларнинг тузилишини текширишда ғоят катта муваффақиятларга эришди. Атомда жуда зўр ички кучлар борлиги тажриба йўли билан аниқланди. Ташқи кучлар таъсиридан ҳосил бўладиган деформацияларни молекулалар назарияси етарли даражада такомиллаштирди. Аммо бу назариянинг натижаларини амалий масалаларни ечишга татбиқ қилиш жуда ҳам мураккаб оқибатларга олиб борганидан, материаллар қаршилигида материалларнинг микротузилиши назарга олинмай, макротузилиши асосида фикр юргизилади. Қаттиқ жисм ишғол этган ҳажм моддалар билан зич тўлдирилган деб фараз қилинади.

Ҳақиқатан ҳам қурилишда ишлатиладиган материаллар асосан шу хусусиятга эга бўлгани учун, бу гипотеза асосида чиқарилган назарий хулосалар тажрибадан олинган маълумотларга жуда мос келади. Жисм ишғол қилган ҳажмни моддалар билан зич тўла деб ҳисобловчи гипотеза материаллар қаршилиги назариясини умумий механика назарияси асосида тузишга имкон беради.

Бирор физик жисмга қўйилган кучнинг манбаи бошқа физик жисмда эканлиги ва икки жисмнинг бир-бирига кўрсатадиган таъсири ўзаро тенг ва қарама-қарши йўналганлиги механиканинг асосий қонунларидандир. Механиканинг бу қонунларидан фойдаланиб қаттиқ жисмларда ҳосил бўладиган ички кучларни топиш усулларини аниқлаймиз. Ташқи кучлар таъсирида мувозанатда турган жисмни бирор сирт ёки текислик воситаси билан икки қисмга фикран ажратамиз. Масалан, *mn* текислик жисмни *A* ва *B* қисмларга ажратсин (11-шакл). Жисм *mn* текислик билан *A* ва



11-шакл.

*B* қисмларга ажратилишидан олдин мувозанатда эди, яъни *B* қисмни *A* қисм, шунингдек, *A* қисмни *B* қисм мувозанатда тутиб турган эди. Фикран икки қисмга ажратилган бу жисмнинг ҳар қайси қисми мувозанатда бўлиши учун, уларнинг кесишдан ҳосил бўлган юзалари бўйича қисмларнинг ўзаро таъсирини алмаштирувчи кучларни қўйишимиз керак. Масалан, *A* қисмни олайлик. Агар унинг кесим юзаси бўйича *B* қисмнинг таъсирини алмаштирувчи кучларни қўймасак, у мувозанатда бўлмайди.

Шунингдек, *B* қисмнинг кесим юзаси бўйича *A* қисмнинг таъсирини алмаштирувчи кучлар қўйилиши зарур. Бу *A* ва *B* қисмларнинг кесим юзалари бўйича қўйилган кучлар, механиканинг учинчи қонунига мувофиқ тенг ва қарама-қарши йўналишда бўлиши керак. Ҳар қайси қисм, ажратиб ташланган қисм таъсирини алмаштирувчи ва кесим юзаси бўйича қўйилган кучлар билан мазкур қисмга таъсир этувчи ташқи кучлар таъсирида мувозанатда туради. Ҳар бир қисмнинг кесим юзаси бўйича таъсир этувчи кучлар ички ёки эластик кучлар дейилади. Бу ерда биз, биринчидан, жисмда мавжуд бўладиган ички кучларни топдик, иккинчидан, уларни ташқи куч-

лар каторига киритдик. Ички кучларни бу тарзда топиш *кесим* усули дейилади. Бу усул материаллар қаршилигида жуда катта аҳамиятга эга бўлиб, унинг воситаси билан ички кучлар топилади ва уларни аниқлаш йўли белгиланади: жисмнинг ажратилган ҳар қайси қисми учун мувозанат тенгламаларини тузиб, кесим юзаси бўйича қўйилган ички кучларнинг бош вектори билан бош моментини аниқлашимиз мумкин. Лекин ички кучларнинг кесим юзаси бўйича қандай қонун билан тарқалиши ҳақида, умумий ҳолда, бир нарса дейишга ҳеч қандай асос йўқ. Кесим юзаси бўйича ички кучларнинг қандай тарқалиши жисмнинг шаклига ва ташқи кучларнинг қўйилишига боғлиқдир.

Юқорида биз жисм ўзи ишғол қилган ҳажми зич тўлдирувчи моддадан иборат, деб таърифлаган эдик. Ҳақиқатда эса ҳар қандай жисм майда заррачалардан, молекулалардан иборатдир. Жисмнинг ташқи кучлар таъсиридан деформацияланиши ундаги заррачалар оралиқларининг ўзгаришидан ҳосил бўлади. Молекулалар оралиғининг ўзгариши ички кучларни туғдиради. Масалан, ташқи кучлар таъсиридан жисм молекулалари яқинлашса, улар орасида ҳосил бўладиган қаршилиқ кучи уларнинг яқинлашувига йўл қўймай, уларни узоқлаштиришга интилади. Шунингдек, жисмга қўйилган кучлар унинг молекулаларини узоқлаштиради, улар орасида ҳосил бўладиган қаршилиқ кучи молекулаларни яқинлаштиришга интилади.

Молекулаларнинг зичланиши ёки сийракланиши улар орасида ички кучларнинг вужудга келишига сабаб бўлиб, шу билан бирга, жисмнинг деформациясини ифодалайди. Жисмга қўйилган ташқи кучлар миқдори, ушбу жисм учун хос бўлган маълум бир чегарадан ошиб кетмаган бўлса, жисмдан бу кучлар таъсири олинганда, ундаги деформациялар йўқолиб, жисм ўзининг олдинги шаклига келади. Жисмда кучлар таъсири олинганда, жисмнинг олдинги ҳолатига қайтиш қобилияти унинг *эластиклиги* дейилади.

Деформация натижасида жисмнинг куч қўйилган нуқталари кўчиб ташқи кучлар иш бажаради. Умумий ҳолда, эластик жисмга қўйилган кучлар деформация натижасида иш бажаради, бу ишнинг бир қисми жисм зарраларига тезлик бериш учун сарфланади, яъни кинетик энергияга айланади. Кучнинг қолган қисми деформациянинг потенциал энергияси тарзида жисмда тўпланади. Энергия балансининг тенгламаси қуйидагича ёзилади:

$$A = T + U.$$

Аммо юк статик қўйилганда, деформациянинг тезлиги жуда кичик бўлганидан, уни эътиборга олмасан ҳам бўлади. У ҳолда кинетик энергия  $T$  нолга тенгдир; бунда:

$$A = U$$

бўлади, яъни ташқи кучларнинг бажарган иши жисмда деформациянинг потенциал энергияси тарзида тўпланди. Жисмдан ташқи кучлар таъсири олинганда, жисмда тўпланган деформациянинг потенциал энергияси жисмни олдинги ҳолатига келтириш учун сарфланади. Шунинг учун ҳам жисмнинг ўзида тўпланган энергияни қайтариш қобилияти унинг *эластиклиги* дейилади.

Жисмдаги деформация эластик бўлса, яъни жисмдан куч таъсири олинганда, жисмдаги деформация бутунлай йўқоладиган бўлса, бу деформацияга тегишли ички куч *эластик куч* дейилади. Иншоот ва машиналарнинг қисмларини ҳисоблашда, асосан, эластик деформацияларнинг мавжуд бўлиши кузда тутилганидан, ички кучлар ҳам фақат эластик кучлардан иборат деб ҳисобланади.

## 7- §. Кучланиш ва унинг турлари

Ташқи кучлар таъсирида мувозанатда турган жисми бирон *ml* текислик билан фикран кесиб (11-шаклга қаранг), бир қисмининг мувозанатини текширамиз. Масалан, *A* қисмининг кесим юзаси бўйича бирор қонун билан ёйилган эластик кучлар таъсир қилади. Эластик кучнинг юза бирлигидаги миқдори *кучланиш* дейилади. Текширилаётган кесим юзасининг бирор *M* нуқтаси атрофида чексиз кичик  $\Delta F$  юзача ажратамиз. Бу юзачадаги ички кучларнинг тенг таъсир этувчиси  $\Delta \bar{P}$  бўлсин.  $\Delta \bar{P}$  кучни  $\Delta F$  юзачага бўламыз. Натижада  $\Delta P$  билан бир йўналишда бўлган  $\bar{p}^*$  векторни ҳосил қиламыз:

$$\bar{p}^* = \frac{\Delta \bar{P}}{\Delta F} \quad (7.1)$$

Бу  $\bar{p}^*$  катталик  $\Delta F$  юзачадаги (12-шакл) ўртача кучланиш дейилади. Энди,  $\Delta F$  юзачани кичрайтира борамиз, натижада юзача *M* нуқтага яқинлаштириб, унинг қиймати нолга интилади.  $\bar{p}^*$  ҳам миқдорини ва йўналишини ўзгартиб, маълум лимитга интилади. Биз унинг лимитдаги қийматини  $\bar{p}$  билан белгиласак,

$$\bar{p} = \lim_{\Delta F \rightarrow 0} \frac{\Delta \bar{P}}{\Delta F} = \frac{d\bar{P}}{dF} \quad (7.2)$$

бўлади. Бу катталик *M* нуқтадаги ҳақиқий кучланиш дейилади.  $\bar{p}$  кучланиш юза бирлигидаги ички куч бўлганидан,  $\text{кг/см}^2$  ёки  $\text{кг/мм}^2$  ҳисобида ўлчанади.

Жисмининг бирор *M* нуқтасидаги кучланишни топиш учун бу нуқтадан бирор текислик ўтказишимиз керак. Аммо бу *M* нуқта орқали чексиз кўп текислик ўтказиш мумкин. Ҳар қайси текисликка тегишли кесим юзларидаги кучланишларнинг турлича бўлиши табиийдир. Демак, жисмининг бирор нуқтасидаги кучланишни аниқлашда, бу нуқтанинг қайси кесимдаги юзачага оид эканлигини олдиндан белгилаб қўйиш зарур.

Текширилаётган кесим юзаси бўйича  $\bar{p}$  кучланишнинг қандай қонун билан ёйилгани маълум бўлса, (7.2) дан фойдаланиб, ички кучларнинг бош вектори  $\bar{P}$  ни аниқлашимиз мумкин, у

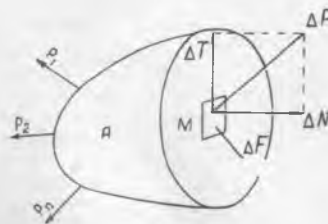
$$\bar{P} = \int_F \bar{p} dF \quad (7.3)$$

кўринишда ёзилади.

Элементар  $\Delta F$  юзачадаги ички кучларнинг  $\Delta \bar{P}$  тенг таъсир этувчиси-ни кесим юзасининг нормали бўйича ва юза бўйича йўналган тузувчиларга ажратиб, уларни мос равишда  $\Delta N$  ва  $\Delta T$  деб белгиласак (12-шакл), бу кучларга тегишли ўртача *нормал* ва *тангенциал* кучланишларни топган бўламыз:

$$\sigma^* = \frac{\Delta N}{\Delta F}, \quad \tau^* = \frac{\Delta T}{\Delta F}; \quad (7.4)$$

бунда  $\sigma^*$  — ўртача нормал кучланиш,  $\tau^*$  — ўртача тангенциал кучланиш



12- шакл.

Буларнинг ҳақиқий қийматини топиш учун (7.4) тенгликларда лимитга ўтиш керак бўлади:

$$\sigma = \lim \frac{\Delta N}{\Delta F} = \frac{dN}{dF}, \quad \tau = \lim \frac{\Delta T}{\Delta F} = \frac{dT}{dF}. \quad (7.5)$$

Нормал ва тангенциал кучланишлар, кўпинча, чўзувчи ёки сиқувчи ва силжитувчи кучланишлар дейилади. 12-шаклдан қуйидаги муносабатни оламиз:

$$(\Delta P)^2 = (\Delta N)^2 + (\Delta T)^2.$$

Бу тенгликнинг иккала томонини  $(\Delta F)^2$  га бўлиб, лимитга ўтсак,  $\rho$  тўла кучланиш билан  $\sigma$  нормал ва  $\tau$  тангенциал кучланишлар орасидаги муносабатни чиқарамиз:

$$\rho = \sqrt{\sigma^2 + \tau^2}. \quad (7.6)$$

$\rho$  тўла,  $\sigma$  нормал,  $\tau$  тангенциал кучланишларнинг  $\Delta P$ ,  $\Delta N$ ,  $\Delta T$  [каби вектор эканлигини эслатиб ўтамиз. Шунинг учун ҳам  $\sigma$  нормал ва  $\tau$  тангенциал кучланишлар тўла  $\rho$  кучланишнинг кесим юзи нормалига ва кесим юзига туширилган проекцияларидир.

#### 8-§. Материаллар қаршилиги масалаларини ечиш тартиби

Иншоот қисмлари учун материаллар ва қисмларнинг ўлчамлари шундай танланиши керакки, натижада иншоот қисмлари қўйиладиган кучлар таъсиридан емирилмай қолишгана эмас, балки уларда қолдиқ деформациялар ҳам ҳосил бўлмаслиги керак. Бунинг учун иншоот қисмларининг ўлчамларини танлашда, уларни мустаҳкамлик чегарасига мос қилиб олмаё, балки эҳтиёт чораларини ҳам бирмунча таъмин этадиган қилиб олиш лозим, яъни иншоотнинг ишлаш вақтида унинг қисмларида ҳосил бўладиган энг катта кучланиш қолдиқ деформациялар туғдирувчи кучланишлардан камроқ бўлиши керак.

Материални ишдан чиқарадиган хавфли кучланиш мустаҳкамлик чегараси дейилади. Мустаҳкамлик чегараси  $\sigma_b$  билан белгиланади. Иншоот қисмларини емирилиш хавфидан сақлаш учун, улардаги кучланишларнинг қиймати мустаҳкамлик чегарасининг шу қисм материали учун аниқланган маълум қисмидан ошмаслиги лозим. Иншоот қисмлари ясалган материалдаги зўриқиш мустаҳкамлик чегарасининг маълум қисмига тенг бўлиши керак; мустаҳкамликни таъминловчи бундай кучланиш рухсат этилган кучланиш дейилади. Рухсат этилган кучланиш  $[\sigma]$  билан белгиланиб, қуйидагича аниқланади:

$$[\sigma] = \frac{\sigma_b}{n}, \quad (8.1)$$

бундаги  $n$  — эҳтиётлик коэффициенти. Бу эса муайян материал учун рухсат этилган кучланиш ўша материалнинг мустаҳкамлик чегарасидан қанча марта кам бўлишини кўрсатади. У сон иншоот қисмларининг қандай шароитда ишлашига қараб, 2,5 — 10 орасида олинади. Бу ҳақда кейинча муқамалроқ маълумот берамиз. Лойиҳаланаётган иншоотнинг маълум бир қисмида ҳосил бўладиган энг катта кучланишни  $\sigma_{\max}$  десак, мазкур қисм ўзининг материал ва ўлчамлари жиҳатидан қўйилган ташқи кучга бардош бериб туриши учун қуйидаги талабни қондириши зарур:

$$\sigma_{\max} \leq [\sigma]. \quad (8.2)$$

Бу тенгсизлик мустақкамлик шarti дейлади. Иншоот қисмида ҳосил бўладиган максимал ҳақиқий кучланиш мазкур қисм материали учун рухсат этилган кучланишдан ошмаслиги керак. Энди, материаллар қаршилиги масалаларини ечиш панини мазкур мустақкамлик шarti асосида тузишимиз мумкин:

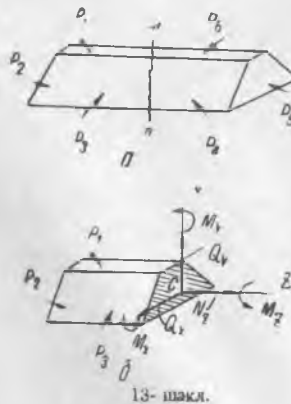
1. Лойиҳаланаётган иншоот қисмларига қўйиладиган барча актив ва пассив кучларнинг характерини ва миқдорини аниқлаш.
2. Иншоот қисмларининг бажарадиган вазифасига ва қўйиладиган кучларнинг характерига мос келадиган материалларни танлаш.
3. Иншоот қисмларининг кўндаланг кесими ўлчамлари маълум бўлган чоқларда, уларда ҳосил бўладиган максимал кучланишларни аниқлаш, ёки кўндаланг кесими ўлчамлари билан ҳосил бўладиган кучланишлар орасидаги муносабатни тузиш.
4. Иншоот қисмларида ҳосил бўлган ҳақиқий кучланишни рухсат этилган кучланиш билан солиштириб, мустақкамлик шartининг қондирилишига ишонини, ёки мустақкамлик шartидан фойдаланиб, иншоот қисмларининг кўндаланг кесими ўлчамларини аниқлаш.

#### 9- §. Иншоот қисмларига қўйиладиган ташки кучлар таъсирининг асосий кўринишлари ва улар таъсиридан ҳосил бўладиган деформациялар

Ихтиёрий кучлар таъсири остида мувозанатда бўлган призматик стерженни олиб (13- шакл), унинг бирор  $mn$  кўндаланг кесимидаги зўриқишларни аниқлаймиз. Призматик стерженнинг ҳар қандай кесимида, шунингдек, биз текшираётган  $mn$  кўндаланг кесимида ҳам ички кучларнинг кесим юзи бўйича қандай қонун билан тарқалиши ҳақида ҳозирча ҳеч нарса деёлмаймиз.

Аммо кесим юзаси бўйича таъсир қилувчи бу ички кучлар кесим марказига қўйилган бир бош вектор билан бир бош моментга келтирилиши мумкин (13- шакл). Бу кучларнинг бош вектори билан моменти текширилаётган қисмга қўйилган ташки кучларнинг бош вектори билан моментига статик эквивалент бўлади. Акс ҳолда, мувозанат шarti бажарилмайди. Ички кучлар бош моменти билан бош векторининг тегишли компонентларини аниқлаш мақсадида координата ўқларини қуйидагича танлаймиз: координаталар бошини текширилаётган кесим оғирлик марказида олиб,  $z$  ўқини призматик стерженнинг бўй ўқи бўйича йўналтирамиз;  $y$  ҳолда  $xy$  ўқлари кесим юзасида ётади. Уларни кесимнинг симметрия ўқлари бўйича йўналтирамиз (13- шакл).

$P$  бош вектор ва  $M$  бош момент векторларини мазкур ўқлар бўйича тузувчиларга ажратамиз.  $P$  бош векторнинг компонентлари  $P_x, P_y, P_z$ ;  $M$  бош моментнинг компонентлари эса  $M_x, M_y, M_z$  бўлсин. Бу олти компонентнинг призматик стерженда қандай деформациялар ҳосил қилишини



текшираемиз. Бунинг учун ҳар қайсисининг таъсирини алоҳида текшираемиз. Ички кучларнинг  $N$  дан бошқа бешта компоненти нолга тенг, деб фараз қилайлик. У ҳолда бу  $N$  куч  $mn$  кесимни призматик стержень ўқи бўйлаб қўчиришга интилади. Бунинг натижасида стержень чўзилади ёки сиқилади.  $N$  куч стержень кўндаланг кесимининг юзасига тик бўлгани учун у нормал куч ёки бўйлама куч дейилади. Иншоот ва машиналарда бўйлама куч таъсирига қаршилик кўрсатувчи қисмлар жуда кўп учрайди. Занжир,



14- шакл.

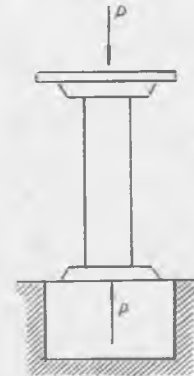
арқон, ферма, стерженлари, устунлар ва шунга ўхшашлар бунга мисол бўла олади (14 ва 15- шакллар).

Худди шу каби мулоҳазалар билан  $Q_x$  ва  $Q_y$  тузувчилар кўрсатадиган таъсирни текшираемиз. Бу кучлар  $mn$  кесим юзасини қўшни кесимга нисбатан стержень ўқига тик йўналишда силжитишга уринади.

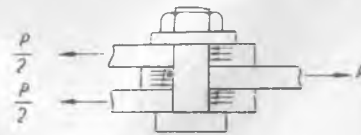
Улар таъсирига тегишли деформациялар силжиш ёки кесилиш деформацияси дейилади. Масалан, иншоот ё машиналарнинг болт ёки парчин миҳ (заклѣпка) воситаси билан уланган қисмларини олсак, уларда болт ва парчин миҳ силжишга қаршилик кўрсатади (16- шакл).

Энди,  $M$  бош момент компонентларининг таъсирини текширишга ўтамиз.  $M_z$  момент  $mn$  кесим юзасини  $z$  ўқи атрофида айлантиришга интилади. Бу кесим қўшни кесимга параллел бўлганича, унга нисбатан маълум бурчакка айланади. Худди, шунингдек, стерженнинг барча кесимлари қўшни кесимга нисбатан маълум бурчакка айланади. Бунинг натижасида стерженда  $M_z$  таъсиридан буралиш деформацияси ҳосил бўлади.  $M_z$  момент бурувчи момент дейилади. Масалан, трансмиссия вали ва цилиндрлик пружина симлари буралишга қаршилик кўрсатади (17- шакл).

$M_x$  ва  $M_y$  компонентлар ўзаро тик текисликларда ётади ва стерженга бир хил характердаги деформация беради. Масалан,  $M_x$  таъсиридан  $mn$  кесим ўз юзасида олинган бирор ўқ ( $x$  ўқи) атрофида айланишга интилади. Бунинг натижасида, мазкур  $mn$  кесим қўшни кесимларга нисбатан оғиб, деформацияга қадар параллел бўлган кесимлар бир-



15- шакл.



16- шакл.



17- шакл.

бири билан маълум бурчак ҳосил қилади. Қўндаланг кесимларнинг оғиши натижасида стерженнинг тўғри чизикли ўқи эгилади. Шунинг учун бундай деформация *эгилиш* дейилади. Балка ва валлар эгилишга қаршилик кўрсатади.  $M_x$  ва  $M_y$  компонентлар *эгувчи моментлар* дейилади.

Ички кучларнинг ҳамма компонентлари кўрсатадиган таъсирларни текшириб чиқдик. Энди бу компонентлар таъсирининг бир-бирига боғлиқ эмаслиги ҳақида гапирамиз. Кучларнинг бир-бирига боғлиқ бўлмай мустақил таъсир этиши ҳақида қаттиқ жисмлар механикасида қабул қилинган принципдан материаллар қаршилигида ҳам кенг фойдаланилади. Бу принципти татбиқ этиш мумкин бўлмайдиган масалалар ҳам учрайди. Ундай масалаларни ечишда бу принципдан воз кечишга тўғри келади.

Призматик стержень кесимидаги ички кучлар умумий ҳолда, олти компонентдан иборатлигини кўрсатдик. Амалий масалаларни ечишда бу олти компонентнинг ҳаммаси бирданига мавжуд бўлмайди, албатта. Қўпинча, иншоот ва машина қисмлари бу олти компонентдан фақат биттасининг таъсирида бўлади. Агар иншоот қисмлари икки ёки учта ҳар хил куч комбинацияси таъсирида бўлса, улар мураккаб қаршилик кўрсатади.

Ички кучларнинг олти компоненти билан уларга тегишли деформациялар орасидаги юқорида келтирилган муносабатларни иншоот қисмларини геометрик ўлчамлари билан боғлаш масаласига ўтамиз.

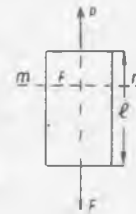
□

## II БОБ

### ЭЛАСТИКЛИК ЧЕГАРАСИДА ПРИЗМАТИК СТЕРЖЕНЛАРНИНГ ЧЎЗИЛИШИ ВА СИҚИЛИШИ

#### 10-§. Чўзилувчи (сиқилувчи) стержень қўндаланг кесимидаги кучланиш. Ҳисоб тенгламаси

Призматик стержень ўзининг учларига қўйилган ва ўқи бўйлаб йўналган қарама-қарши  $P = P$  кучлар таъсирида мувозанатда турсин (18-шакл). Бу тарзда қўйилган кучлар таъсиридан призматик стержень чўзилади. Унинг қўндаланг кесимида ҳосил бўладиган зўриқишларни топиш учун, кесим усулидан фойдаланамиз. Стерженни унинг ўқига тик бирор  $mn$  текислик билан фикран икки қисмга ажратиб, бир қисмини ташлаймиз ва бошқа қисмининг мувозанатини текширамиз. Масалан, юқори қисмини ташлаб, пастки қисмини қолдирамиз (19-шакл).  $mn$  қўндаланг кесим юзаси бўйича таъсир қилувчи ички кучлар стерженнинг пастки учига қўйилган ташқи  $P$  куч билан мувозанатлашади.  $mn$  кесим юзасидаги ички кучлар юзага тик йўналган бўлади. Уларнинг юза бирлигидаги қийматини, яъни кучланишни,  $\sigma$  билан белгилаймиз. У ҳолда мувозанат шарти қуйидагича ёзилади:



18-шакл.



19-шакл.

$$P = \int \sigma dF. \quad (10.1)$$

Агар кучланиш кўндаланг кесим юзаси бўйича текис тарқалган деб қаралса,  $\sigma$  ни интеграл осгидан чиқаришимиз мумкин. У ҳолда (10.1) қуйидагича ёзилади:

$$P = \sigma \cdot F. \quad (10.2)$$

Бундан чўзилувчи (сиқилувчи) стерженнинг кўндаланг кесимидаги кучланиш учун қуйидагича формула оламиз:

$$\sigma = \frac{P}{F}. \quad (10.3)$$

Призматик стерженни чўзувчи (сиқувчи) куч ва унинг кўндаланг кесим юзи маълум бўлса, ундаги кучланиш (10.3) дан ҳисобланади.

Энди, мустақкамлик шarti (8.2) га мувофиқ ҳисоб тенгламасини чиқарамиз.  $P$  куч таъсирдан чўзилувчи стерженнинг кўндаланг кесимида ҳосил бўладиган  $\sigma$  кучланиш стерженнинг материали учун белгиланган рухсат этилган кучланиш  $[\sigma]$  дан ошмаслиги лозим, яъни

$$\sigma = \frac{P}{F} \leq [\sigma] \quad (10.4)$$

бўлиши керак. Бу тенглама мустақкамлик шarti дейилади. Бундан,  $P$  кучга бардош берадиган бўлиши учун стержень кўндаланг кесимининг юзи қандай бўлиши кераклигини аниқлаш мумкин.

$$F \geq \frac{P}{\sigma}. \quad (10.5)$$

Чўзилувчи (сиқилувчи) стерженнинг материали ва кўндаланг кесимининг юзи маълум бўлса, унга қўйилиши мумкин бўлган чўзувчи (сиқувчи) кучнинг миқдорини аниқлаш мумкин:

$$P \leq [\sigma] \cdot F. \quad (10.6)$$

Чўзувчи (сиқувчи) кучларни статика тенгламаларидан аниқлаш мумкин бўлган ҳолларда, тегишли стерженлар учун мустақкамлик шартининг бажарилишини (10.4) тенглама ёрдамида текшириш мумкин.

#### 11-§. Чўзилувчи (сиқилувчи) призматик стерженнинг бўйлама ва кўндаланг деформациялари. Пуассон коэффиценти

Призматик стержень бир жинсли параллел толалардан тузилган деб фараз қилинса, қўйилган куч таъсирдан барча толаларни бир хилда чўзилиб (қисқариб), стержень кўндаланг кесимининг юзаси ўз-ўзига параллел равишда кўчади (20-шакл). Натижада унинг  $l$  бошланғич узунлиги узайиб,  $l_1$  га айланади. Стерженнинг абсолют чўзилиши

$$\Delta l = l_1 - l \quad (11.1)$$

бўлади. Бу миқдор чўзилиш учун мусбат, сиқилиш учун эса манфий бўлади. Деформацияни стержень узунлигининг қийматига боғламаслик учун узунлик бирлигига тўғри келадиган деформацияни текшираимиз. Узунлик бирлигига тўғри келадиган деформация *нисбий деформация*, яъни нисбий чўзилиш ёки нисбий сиқилиш дейилади. Нисбий деформацияни  $\epsilon$  билан белгиласак, у

$$\epsilon = \frac{\Delta l}{l} \quad (11.2)$$

кўринишда ёзилади. Стерженнинг узунлиги ва абсолют чўзилиш узунлик бирлигида ўлчангани учун, нисбий чўзилиш ўлчовсиз сон бўлади.

Ўтказилган тажрибалар призматик стержень буйига чўзилганда унинг кесими сиқилиб, буйига сиқилганда кўндаланг кесими кенгайишини кўрсатди. Демак, стержень чўзилганда буйига узайиш билан бирга ингичка торгади (20-шакл).



20-шакл.

Призматик стерженлар кўндаланг кесими улчамларининг ўзгариши *кўндаланг деформация* дейилади. Кўндаланг кесим улчами олдин  $b$  бўлиб, деформациядан кейин  $b_1$  бўлса, кўндаланг деформацияни  $\epsilon_1$  деб белгилаб, унинг учун:

$$\epsilon_1 = \frac{b - b_1}{b} \quad (11.3)$$

формулани ҳосил қиламиз. Призматик стержень чўзилса,  $\epsilon > 0$ ,  $\epsilon_1 > 0$ ; сиқилса  $\epsilon < 0$ ,  $\epsilon_1 < 0$  бўлади. Тажрибалар шуни кўрсатадики,  $\epsilon_1$  кўндаланг деформациянинг  $\epsilon$  буйлама деформацияга нисбати ўзгармас сон бўлиб, у фақат стерженнинг материалига боғлиқдир. Бу нисбатнинг абсолют қиймати  $\mu$  билан белгиланади ва Пуассон коэффициенти деб аталади:

$$\mu = \frac{\epsilon_1}{\epsilon} \quad (11.4)$$

Баъзи материаллар учун Пуассон коэффициентининг қийматлари қуйидаги жадвалда келтирилган. Барча материаллар учун  $\mu < 0,5$  бўлишини 38-параграфда кўрсатамиз.

Кўндаланг деформация коэффициентининг қийматлари

| Материалнинг номи         | $\mu$       |
|---------------------------|-------------|
| Пўлат . . . . .           | 0,25—0,33   |
| Мис . . . . .             | 0,31—0,34   |
| Бронза . . . . .          | 0,32—0,35   |
| Чўчқ . . . . .            | 0,23—0,27   |
| Кўргошин . . . . .        | 0,45        |
| Латуъ (жез) . . . . .     | 0,32—0,42   |
| Алюминий . . . . .        | 0,32—0,36   |
| Рух . . . . .             | 0,21        |
| Олтин . . . . .           | 0,42        |
| Кумуш . . . . .           | 0,39        |
| Шинша . . . . .           | 0,25        |
| Тош . . . . .             | 0,16—0,34   |
| Бетон . . . . .           | 0,08—0,18   |
| Каучук . . . . .          | 0,47        |
| Пўкак . . . . .           | 0,00        |
| Филери . . . . .          | 0,07        |
| Целлюлоид . . . . .       | 0,39        |
| Стеклотекстолит . . . . . | 0,056—0,213 |

## 12-§. Гук қонуни

Чўзилувчи (сиқилувчи) стерженларда ҳосил бўладиган физик ҳодисаларни тажрибада кузатиш мумкин. Чўзувчи (сиқувчи) кучланиш  $\sigma = \frac{P}{F}$  стерженнинг материал учун аниқланган маълум чегарадан ошмаса стержень эластик хоссасига эга бўлади, яъни стержендан чўзувчи (сиқувчи) куч таъсири олинса, у ўзининг аввалги ҳолига қайтади. Шу чегарага тегишли  $\sigma_n$  кучланиш пропорционаллик чегараси дейилади. Бу чегарагача нисбий чўзилиш  $\epsilon$  билан чўзувчи (сиқувчи) кучланиш  $\sigma$  ўзгармас нисбатда бўлади:

$$\frac{\sigma}{\epsilon} = E.$$

Бошқача қилиб айтганда, пропорционаллик  $\sigma_n$  чегарасигача кучланиш нисбий чўзилишга пропорционалдир:

$$\sigma = E \cdot \epsilon \quad (12.1)$$

Бу формула билан ифодаланган хулоса *Гук қонуни* дейилади.

Тажрибалардан чиқарилган (12.1) муносабат материаллар қаршилиги фанининг асосидир.

Пропорционалик коэффициенти  $E$  чўзилишдаги (сиқилишдаги) *эластиклик модули дейилади*.  $\sigma$  кучланиш  $\text{кг/см}^2$  ҳисобида ўлчанади,  $\epsilon$  эса ўлчовсиз сон бўлганидан,  $E$  ҳам кучланиш каби  $\text{кг/см}^2$  ҳисобида ўлчанади. Агар  $\epsilon = \frac{\Delta l}{l} = 1$  бўлса,  $\sigma = E$  бўлади. Демак, эластиклик модули  $E$  элементининг деформациядан кейинги узунлиги деформациядан олдинги узунлигидан икки баробар катта бўлгандаги ҳолатида ҳосил бўладиган кучланиш экан. Бу коэффициент маълум материал учун қатъий бир қийматга эга бўлиб, унинг қийматлари турли материаллар учун тажриба йўли билан аниқланади. Баъзи материаллар учун  $E$  нинг қийматлари қуйидаги жадвалда келтирилган.

Эластиклик модулининг қийматлари

| Материалнинг номи                                   | $E, 10^6 \text{ кг/см}^2$<br>ҳисобида |
|---|---------------------------------------|
| Пўлат . . . . .                                     | 2,0                                   |
| Чўян (кул ранг ва оқ чўян) . . . . .                | 1,15—1,60                             |
| Мис ва унинг қотишмалари (латунъ, бронза) . . . . . | 1,0                                   |
| Алюминий ва дюралюминий . . . . .                   | 0,7                                   |
| Девор, устун ва шу кабилар                          |                                       |
| гранитдан терилган . . . . .                        | 0,09                                  |
| оҳак тошдан терилган . . . . .                      | 0,06                                  |
| ғиштдан терилган . . . . .                          | 0,03                                  |
| Бетон . . . . .                                     | 0,10—0,30                             |
| Еғоч: толалари бўйича . . . . .                     | 0,1                                   |
| толаларга қўндаланг . . . . .                       | 0,005                                 |
| Каучук . . . . .                                    | 0,00008                               |
| Целлюлоид . . . . .                                 | 0,0193—0,0174                         |
| Текстолит . . . . .                                 | 0,06—0,10                             |
| Бакелит . . . . .                                   | 0,02—10,03                            |

Гук қонунидан фойдаланиб,  $P$  чўзувчи куч, стерженнинг геометрик ўлчамлари  $F$  ва абсолют чўзилиш  $\Delta l$  орасидаги муносабатни топамиз: (11.2) формуладан абсолют чўзилиш:

$$\Delta l = \epsilon \cdot l \quad (12.2)$$

бўлади. (12.1) дан  $E$  нинг қийматини юқоридаги формулага қўямиз:

$$\Delta l = \frac{\sigma}{E} \cdot l;$$

$\sigma$  кучланишини (10.3) дан келтириб қўйсак,

$$\Delta l = \frac{PF}{EF} \quad (12.3)$$

формулани ҳосил қиламиз. Демак, призматик стерженнинг чўзилиши (сиқилиши) чўзувчи (сиқувчи) кучга ва стерженнинг узунлигига пропорционал, эластиклик модулига ва стержень қўндаланг кесими юзига тескари пропорционал бўлар экан.

$EF$  миқдор призматик стерженнинг чўзилишдаги (сиқилишдаги) *бикрлиги* дейилади. Бикрлик тушунчасини мойилликнинг тескари маъносида тушуниш лозим, яъни стержень қанчалик чўзилишга мойил бўлса, шунчалик унинг бикрлиги кам бўлади ва аксинча.

### МАСАЛАЛАР

1. Доиравий кўндаланг кесимли пўлат стерженнинг диаметри  $d = 20$  мм, узунлиги  $l = 200$  мм. Стержень  $P = 2000$  кг куч билан чўзилади, ундаги чўзувчи кучланиш, абсолют ва нисбий чўзилишлар топилсин. Эластиклик модули  $E = 2 \cdot 10^6$  кг/см<sup>2</sup> ва Пуассон коэффициенти  $\mu = 0,3$ .

Е ч и ш. Чўзувчи кучланишни топамиз:

$$\sigma = \frac{P}{F} = \frac{2000}{\frac{\pi d^2}{4}} \approx 640 \text{ кг/см}^2;$$

абсолют чўзилиш:

$$\Delta l = \frac{Pl}{EF} = \frac{2000 \cdot 20}{2 \cdot 10^6 \cdot \frac{\pi d^2}{4}} = 640 \cdot 10^{-5} \text{ см};$$

нисбий чўзилиш:

$$\epsilon = \frac{\Delta l}{l} = 320 \cdot 10^{-6}.$$

Кўндаланг нисбий сиқилишни топамиз. Пўлат учун Пуассон коэффициенти:

$$\epsilon_1 = \mu \epsilon = 0,3 \cdot 320 \cdot 10^{-6} = 96 \cdot 10^{-6}.$$

2. Қалинлиги  $\delta = 0,6$  см бўлган пўлат полоса  $P = 8,4$  т куч билан чўзилади. Мустақамлик чегараси  $\sigma_b = 4200$  кг/см<sup>2</sup>, мустақамлик коэффициенти  $n = 3$ ; полосанинг эни  $b$  топилсин.

Е ч и ш. Олдин рухсат этилган кучланиш  $[\sigma]$  ни топамиз:

$$\sigma = \frac{\sigma_b}{n} = 1400 \text{ кг/см}^2.$$

Полосанинг кўндаланг кесим юзи:

$$F \geq \frac{P}{[\sigma]} = 6 \text{ см}^2, \quad \text{бундан } b = \frac{F}{\delta} = 10 \text{ см}.$$

3. Буз цилиндрнинг қопқоғи цилиндрга 8 та болт билан бириктирилган. Цилиндрнинг ички диаметри  $D = 50$  см, болтлар учун рухсат этилган кучланиш  $[\sigma] = 500$  кг/см<sup>2</sup> ва цилиндрдаги бугнинг босими  $p = 6$  ат; болтларнинг диаметри қандай бўлиши керак?

Е ч и ш. 8 та болтнинг чўзувчи  $P$  кучни топамиз:

$$P = p \cdot \frac{\pi D^2}{4} = 6 \cdot \frac{3,14 \cdot 50^2}{4} = 11,775 \text{ т}.$$

Бу кучни 8 та болт қабул қилгани учун ҳисоб тенгламаси қуйидагича ёзилади:

$$P = 8 [\sigma] \frac{\pi d^2}{4}, \quad \text{бундан } d = 19,4 \text{ мм}.$$

4. Диаметри  $d = 25$  мм бўлган тортқи  $P$  куч билан чўзилганда унда  $\sigma = 1000$  кг/см<sup>2</sup> кучланиш ҳосил бўлади (21-шакл). Тортқига кийгизилган шайбанинг деворга кўрсатадиган босими  $P = 14$  кг/см<sup>2</sup> дан ошмаслиги учун шайба диаметри қандай бўлиши керак?

Е ч и ш. Олдин чўзувчи  $P$  кучни аниқлаймиз:

$$P = 1000 \frac{\pi \cdot 2,5^2}{4} = 4906,25 \text{ кг}.$$

Шайбанинг диаметрини қуйидаги шартдан топамиз:

$$\frac{\pi \cdot (D^2 - d^2)}{4} \cdot 14 \geq 4906,25; \quad \text{бундан } D = 213 \text{ мм}.$$

5. Гайка буралганда болтда ҳосил бўладиган зўриқиш 1500 кг (22-шакл). Қўйилган куч  $P = 500$  кг.  $A$  ва  $B$  қисмларнинг бир-бирига кўрсатадиган босими 15 кг/см<sup>2</sup>; уларнинг тегишиб турган юзлари топилсин.

Е ч и ш.  $A$  ва  $B$  қисмларнинг бир-бирига кўрсатаётган босими

$$N = 1500 - 5000 = 1000 \text{ кг}.$$

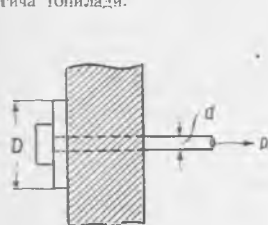
$$\text{Қисмларнинг юзи } F \geq \frac{1000}{15} = 73,4 \text{ см}^2.$$

6. Қўндаланг кесимининг юзи  $20 \text{ см}^2$ , узунлиги  $0,8 \text{ м}$  бўлган  $AB$  стерженга ўқи бўйлаб 1—1, 2—2, 3—3 кесимларига қўйилган  $P_1 = 10 \text{ т}$ ,  $P_2 = 24 \text{ т}$ ,  $P_3 = 30 \text{ т}$  кучлар таъсир қилади (23-шакл). Стерженнинг хусусий оғирлигини ҳисобга олмай, турли кесимларидagi кучланишларини ва  $A$  нуқтасининг кўчишини аниқланг.  $E = 2 \cdot 10^6 \text{ кг/см}^2$ .

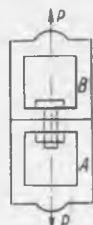
Е ч и ш. 1—1 ва 2—2 оралиғидagi барча кесимларда кучланишлар сиқувчи бўлиб, у

$$\sigma = \frac{P_1}{F} = \frac{10000}{20} = 500 \text{ кг/см}^2.$$

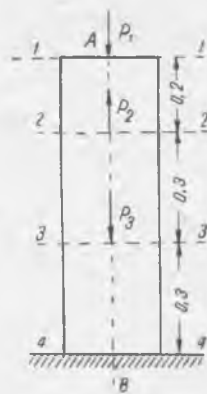
2—2 билан 3—3 оралиғидagi кесимларда кучланишлар чўзувчи бўлиб, у қуйидагича тонилади:



21-шакл.



22-шакл.



23-шакл.

$$\sigma_3 = \frac{P_2 - P_1}{F} = \frac{14000}{20} = 700 \text{ кг/см}^2;$$

3—3 билан 4—4 оралиғидagi кучланишлар сиқувчи бўлиб, у:

$$\sigma_4 = \frac{P_3 + P_1 - P_2}{F} = \frac{16000}{20} = 800 \text{ кг/см}^2$$

дир.

$A$  нуқтасининг кўчишини аниқлаш учун стержень қисмларининг  $\Delta l_1$ ,  $\Delta l_2$ ,  $\Delta l_3$  деформацияларини ҳисоблаш лозим. Биринчиси:

$$\Delta l_1 = -\frac{P_1 a}{EF} = -\frac{10000 \cdot 0,2}{2 \cdot 10^6 \cdot 20} = -0,005 \text{ см.}$$

иккинчиси:

$$\Delta l_2 = \frac{(P_2 - P_1) b}{EF} = \frac{14000 \cdot 0,3}{2 \cdot 10^6 \cdot 20} = 0,0105 \text{ см}$$

ва учинчиси:

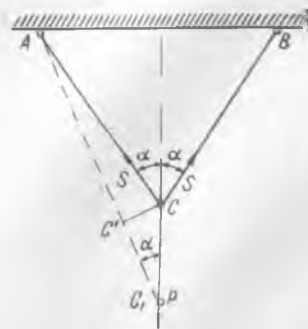
$$\Delta l_3 = -\frac{(P_3 - P_1 - P_2) \cdot c}{EF} = -\frac{16000 \cdot 0,3}{2 \cdot 10^6 \cdot 20} = -0,012 \text{ см бўлади.}$$

$A$  нуқтасининг кўчиши  $\Delta l = -0,005 + 0,0105 - 0,012 = -0,0065 \text{ см}$ .

7. 24-шаклда курсатилган бир хил узунликдаги  $AC = BC$  стерженлар  $A$  ва  $B$  нуқталарга шарнир воситаси билан боғланиб, узларнинг учларини туташтирувчи  $C$  шарнирда  $P$  юк қўйилган. Стерженларнинг материаллари бир хил бўлиб, эластиклик модули  $E$ , қўндаланг кесим юзи  $F$  бўлса,  $C$  тугунининг кўчиши қанча бўлади?

Е ч и ш. Стерженлар симметрик равишда ўрнатилгани учун  $C$  нуқта вертикал йўналишда кўчади. Шаклда  $AC$  нинг деформациядан кейинги ҳолати нүқтир чизик билан курсатилган. Стерженлардаги  $S$  зўриқишларни  $C$  нуқтасининг мувозанатда бўлишидан фойдаланиб топамиз:

$$S = \frac{P}{2 \cos \alpha};$$



24-шакл.

AC нинг чҶзилиши:

$$\Delta l = \frac{S \cdot l}{EF} = \frac{Pl}{2EF \cos \alpha}$$

Деформация кичик бўлгани учун  $\angle CC_1C'$  ни  $\alpha$  деб олишимиз мумкин. Шунинг учун, C нуқтанинг кучишнни  $\delta$  десак,

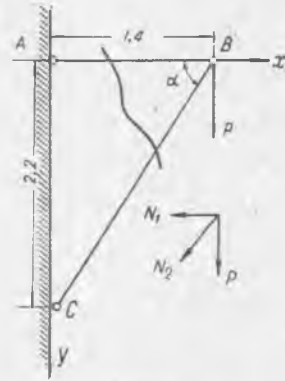
$$\delta = \frac{\Delta l}{\cos \alpha} = \frac{Pl}{2EF \cos^2 \alpha} \quad \text{булади.}$$

8. Узунлиги  $l = 4$  м, қўндаланг кесимининг юзи  $F = 20$  см<sup>2</sup> бўлган пўлат стержень юқори учидан вертикал ҳолатда бириктириб қўйилган (25-шакл). Пастки учидан полгача бўлган оралик  $\delta = 0,2$  см. Стерженнинг уртасига қўйилган ва унинг ўқи бўйлаб таъсир қилувчи  $P$  кучнинг қандай қийматида пастки учи чолга эркин равишда уринади? Стерженнинг юқори ва пастки қисмларида шу куч таъсиридан ҳосил буладиган кучланишлар ҳам топилсин.

Е ч и ш. Стерженнинг фақат юқори қисми чҶзилади, холос. У чҶзилишни  $\Delta l$  десак, масала шартига мувофиқ:  $\Delta l = \delta$ ; бундан  $P = \frac{2EF}{l} \delta = 40000$  кг; юқори қисмидаги кучланиш  $\sigma = 2000$  кг/см<sup>2</sup>, пастки қисмидаги кучланиш  $\sigma = 0$ .



25-шакл.



26-шакл.

9. AB ва BC стерженлар 26-шаклда кўрсатилган тарзда шарнир воситаси билан туташтирилиб, B шарнирга  $P$  юк қўйилган. AB стержень пўлатдан бўлиб, BC эса ёғочдан-дир. Пўлат стерженнинг қўндаланг кесими  $F_1 = 6$  см<sup>2</sup>, руҳсат этилган кучланиши эса  $[\sigma] = 1400$  кг/см<sup>2</sup>. Ёғоч стерженнинг қўндаланг кесим юзи  $F_2 = 300$  см<sup>2</sup> бўлиб, чҶзилишга руҳсат этилган кучланиши  $[\sigma] = 80$  кг/см<sup>2</sup>, сиқилишга руҳсат этилган кучланиш эса  $[\sigma] = 35$  кг/см<sup>2</sup>. Қўйилгани мумкин бўлган  $P$  куч аниқлансин.

Е ч и ш. Боғланишнинг тури ва кўпнинг қўйилиш шarti иккала стержень ҳам бўйлама зўриқиш таъсирда бўлишини кўрсатади. Шунинг учун B шарнирнинг мувозанат шартидан AB ва BC даги зўриқишларни топамиз. Уларни мос равишда  $N_1$  ва  $N_2$  деб белгиласак.

$$\begin{aligned} \Sigma x &= -N_1 - N_2 \cos \alpha = 0 & \cos \alpha &= 0,538; & \sin \alpha &= 0,845; \\ \Sigma y &= P + N_2 \sin \alpha = 0; \\ N_2 &= -\frac{P}{0,845}; & N_1 &= P \frac{0,538}{0,845} & N_1 &= 0,637 \cdot P; & N_2 &= -1,18 \cdot P \end{aligned}$$

булади.

Бундан кўрамизки, AB стержень чҶзилади, BC эса сиқилади. Пўлат стерженнинг мустаҳкамлик шартидан:

$$\sigma = \frac{N_1}{F_1} = \frac{0,637 \cdot P}{6} < 1400; \quad P = 13200 \text{ кг.}$$

Ёғоч стерженнинг мустаҳкамлик шартидан:

$$\sigma = \frac{N_x}{F_x} = -\frac{1,18 \cdot P}{300} < -35; \quad P = 8850 \text{ кг.}$$

Демак, рухсат этилган юк BC стерженнинг мустаҳкамлиги шартидан аниқланар экан.  
10. O нуктага шарнир воситаси билан бириктирилган балканинг AB тиргагида ҳосил

бўладиган кучланиш топилсин (27-шакл). Балкага қўйилган юк  $q_x = q \left(1 - \frac{x^2}{l^2}\right)$  парабола қонуни билан ўзгаради. Тиргаkning ўлчамлари:  $l = 4 \text{ м}$ ;  $h = 1,8 \text{ м}$ ; қиялик бурчаги  $\alpha = 30^\circ$ ; юк  $q = 120 \text{ кг/м}$ ; тиргаkning кундаланг кесим юзи  $F = 10 \text{ см}^2$ .

Е ч и ш. Балканинг мувозанат тенгламасини тузамиз. Бунинг учун балкага қўйилган барча кучларнинг O нуктага нисбатан олинган моментлари йиғиндисини нолга тенглаштирамиз:

$$\int_0^l q_x \cdot x dx - Nh \cos \alpha = 0; \text{ бундан } N = \frac{ql^2}{4h \cos \alpha};$$

энди тиргакдаги кучланишни аниқлаш қийин эмас:

$$\sigma = \frac{ql^2}{4hF \cos \alpha} \approx 1200 \text{ кг/см}^2.$$

11. Қаршилик кўрсатувчи муҳитга ўрнатилган AB стерженни суғуриб олишда унинг A учига қўйилган P куч ишқаланиш кучини енгади (28-шакл, а). Ишқаланиш кучи стерженнинг узунлиги бўйича масофага пропорционал қонун билан ўзгариб, B учига ноль, A учига эса  $q_0$  га тенгдир. Стержень бўйича ишқаланиш кучи, нормал зўриқиш, нисбий чўзилиш ва абсолют чўзилишнинг қандай қонун билан ўзгариши топилсин ва уларнинг графиклари ясалсин. Берилишига кура F, E, P ва l маълум.

Е ч и ш. Стерженни муҳит таъсиридан қутқазиб, унинг таъсирини тегишли кучлар билан алмаштирамиз (28-шакл, а). Масала шартига мувофиқ, ишқаланиш кучи  $q_x = q_0 \frac{x}{l}$  қонуни билан ўзгаради.

Мувозанат шартидан:

$$2 \int_0^l q_x dx = P; \quad q_0 = \frac{P}{l}.$$

Демак,

$$q_x = \frac{P}{l^2} x$$

яъни ишқаланиш кучи тўғри чизиқли қонун билан ўзгаради (28-шакл, d). Стержендан ажратилган dx элементнинг мувозанатидан

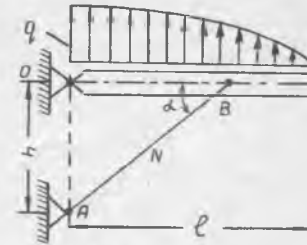
$\frac{dN}{dx} = 2q_x = \frac{2P}{l^2} x$  тенгламани оламиз, буни интегралласак,

$$N = \frac{Px^2}{l^2}$$

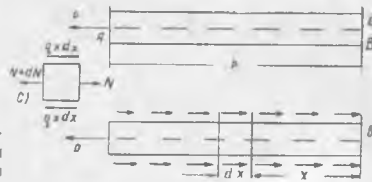
келиб чиқади. Демак, кундаланг кесимдаги нормал зўриқиш параболик қонунда ўзгаради экан (28-шакл, e).

Нисбий чўзилиши:

$$\epsilon = \frac{\sigma_x}{E} = \frac{N_x}{EF} = \frac{Px^2}{EF l^2}.$$



27-шакл.



28-шакл.

Бу ҳам параболик қонун билан ўзгарар экан (28- шакл. *f*).  
Ажратишган чексиз кичик элементнинг (28- шакл. *c*) абсолют чўзилиши

$$d(\Delta l) = \epsilon \cdot dx \frac{Px}{EF^2} dx$$

булади. Интегралласак:

$$\Delta l = \frac{Px^3}{3EF^2}$$

тенгламани оламиз. Бу учинчи даражали параболадир, унга тегиншли график 28- шакл. *q* да кўрсатилган.

□

### III боб

## МАТЕРИАЛЛАРНИНГ МУСТАҲКАМЛИГИНИ СИНОВ ЙЎЛИ БИЛАН ЎРГАНИШ

### 13- §. Материалларни синаш машиналари

Материалларнинг чўзилиши ва сиқилишини синиш учун турли конструкцияли машиналар бор. Улар синалаётган намунада ҳосил бўладиган зўриқишларни етарли даражада аниқ ўлчашга имкон беради. Деформация эса синов машинасига ўрнатилган махсус механизмлар ёки синов машиналари таркибига кирмайдиган алоҳида асбоблар воситаси билан ўлчанади. Ҳозирги замон синов машиналари синалаётган намунадаги зўриқишларни бир неча минг тоннага қадар етказа олади. Бу тарздаги машиналарда намуналарни синаш билан бирга, ишшоот қисмларини асли катталигида ҳам синаш мумкин. Лаборатория шароитида кичикроқ қувватга эга бўлган машиналар ишлатилиб, улардан турли материалларнинг намуналарини синаш учун фойдаланилади. Синов лабораторияларида кўпинча синалаётган намунага 5 тоннадан 500 тоннагача зўриқиш берадиган синов машиналари ишлатилади. Бу синов машиналари гидравлик ёки механик равишда ҳарқатга келтирилади. Сиқилишга синалувчи намуналар сиқилиш қобилияти 5000 тоннагача бўлган гидравлик пресслар воситаси билан синалади. Кўпинча, синов лабораторияларида учратиладиган машиналар пшанг (ричаг) асосида ишлайдиган машиналардан иборат бўлади. Ана шу тур машинанинг тузилиши ўстида қисқача тўхтаб ўтамиз.

Пшангли синов машинасида посангли тебрангич (маятник) бўлиб, чўзилишга синалаётган намунада 50 тоннагача зўриқиш ҳосил қила олади. Бу типдаги машиналар машинасозлик заводларимизда чиқарилади.

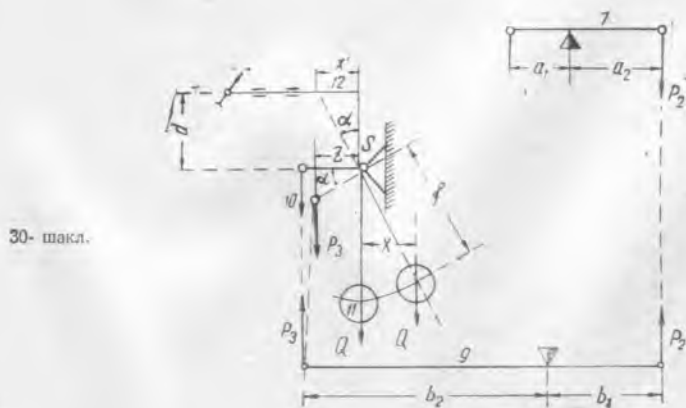
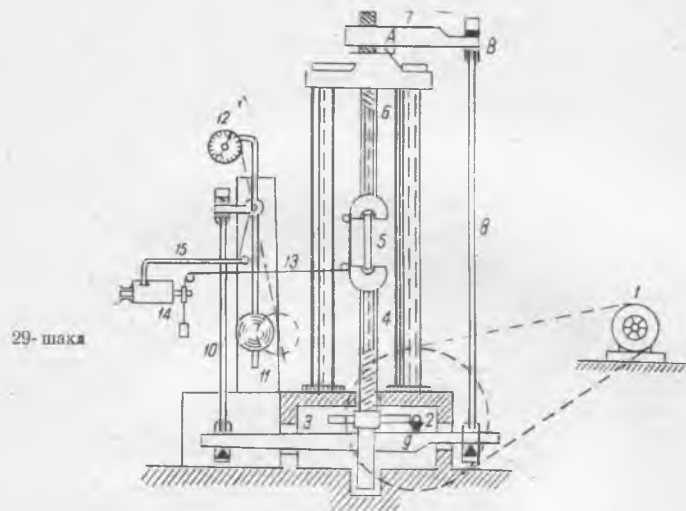
Бу типдаги машина 29- шаклда кўрсатилган. Машина электр мотори (1) воситаси билан юргизилади. Ҳаракат электр моторидан 2 червяк ва 3 тишли гилдирак орқали 4 стерженга берилади ва 4 стержень учидидаги тутқичга ўрнатилган 5 намунани пастга тортади. Юқоридаги 6 стержень винт воситаси билан 7 пшангга туташтирилган. 7 пшанг машинанинг асосидаги А нуктага тиралиб, В нуктада 8 тортқига шарнир воситаси билан боғланган. Бу 8 тортқи, ўз навбатида, машинанинг пастидидаги 9 пшанга шарнир воситаси билан туташтирилган. Бу 9 пшанг 10 тортқи билан ҳам шарнир воситасида туташтирилган, 10 тортқи эса 11 тебрэнгич билан шарнир воситасида туташтирилган. 4 винт пастга қараб қўзғалганда, намуна чўзилиб, 6 стержень пасаяди, натижада 7—8—9—10 шарнирли стерженлар системаси

ҳаракатланади; ниҳоят *11* тебрангич бирор бурчакка оғиб, бутун системани мувозанатлаштиради. 30- шаклда машинанинг пшанглар системаси схематик равишда тасвирланган. Намунага  $P_1$  зўриқиш берилган деб фараз қилайлик. Бу зўриқиш 7 пшанг орқали 8 тортқини  $P_2$  зўриқиш билан чўзади. Унинг қийматини 7 пшангнинг мувозанатидан топамиз:

$$P_2 = P_1 \frac{a_1}{a_2}. \quad (13.1)$$

Бу зўриқиш пастки пшанг орқали 10 тортқини  $P_3$  куч билан чўзади:

$$P_3 = P_1 \frac{a_1 \cdot b_1}{a_2 \cdot b}. \quad (13.2)$$



$S$  шарнирга нисбатан  $P_3$  кучдан олинган момент, оққан тебрангич оғирлиги  $Q$  нинг momenti билан мувозанатлашади, яъни:

$$Qx = P_3 \cdot z.$$

Бунда  $x$  ва  $z$  елкалар ўзгарувчи узунлик бўлиб, тебрангичнинг оғиш бурчаги  $\alpha$  га боғлиқдир.  $P_3$  нинг қийматини (13.2) дан кейинги муносабатга қўйиб, қуйидаги тенгламани оламыз:

$$Qx = P_1 \frac{a_1 b_1}{a_2 b_2} z. \quad (13.3)$$

Бу тенгламадан намунани чўзувчи  $P$  зўриқишни топамиз:

$$P_1 = Q \frac{a_2 b_2}{a_1 b_1} \cdot \frac{x}{z} \quad (13.4)$$

Машина шундай тузилганки, тебрангичнинг юқори учи тегиб турадиган 12 стерженча билан  $S$  шарнирнинг оралиғи ҳамма вақт ўзгармасдан қолаверади. 12 стержень ҳамма вақт горизонтал ҳолатда йуналтирувчи буйлаб сирпаниши мумкин.  $У$  ўзининг ҳаракатида кучни ҳисоблайдиган шкала стрелкасига бириктирилган махсус гилдиракка айланма ҳаракат беради. 30-шаклдан,  $x$  билан  $z$  ни елка ( $c_1$ ) ва тебрангич узунлиги ( $l$ ) орқали қуйидагича ифодалаш мумкин:

$$\begin{aligned} z &= c_1 \cos \alpha, \\ x &= l \sin \alpha, \\ \frac{x}{z} &= \frac{l}{c_1} \operatorname{tg} \alpha. \end{aligned}$$

Шу 30-шаклдан

$$\operatorname{tg} \alpha = \frac{x'}{d}$$

муносабатни ҳам ёзишимиз мумкин. Топилган қийматларни (13.4) га қўйиб,  $P_1$  учун қуйидаги ифодани ҳосил қиламыз:

$$P_1 = Q \frac{a_2 b_2}{a_1 b_1} \cdot \frac{l}{c_1} \cdot \frac{x'}{d}. \quad (13.5)$$

Бу тенглама  $P_1$  куч билан  $x'$  кўчиш орасидаги оддий муносабатдир. Бу муносабатдан фойдаланиб, чўзувчи кучни кўрсатувчи шкаланинг даражалари аниқланади.

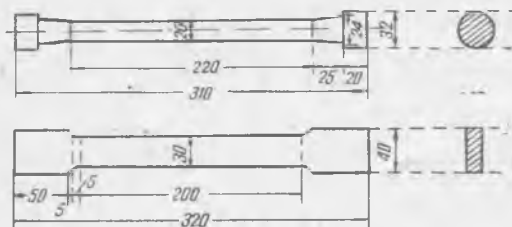
Бошқа типдаги синов машиналари учун ҳам (13.5) каби муносабатларни чиқариш мумкин. Қўлингча, синов машиналарига, зўриқишни белгиловчи шкаладан ташқари, кучланиш билан тегишли, деформация орасидаги муносабат графигини автоматик равишда чизадиган асбоб ҳам ўрнатилган бўлади. (29-шаклда тасвирланган машинадаги 14 цилиндрга миллиметрли қоғоз уралади.) Бу ҳақдаги мулоҳазалар 15-параграфда берилади.

#### 14-§. Намунанинг шакли. Синов натижаларига намуна шаклининг ва узунлигининг таъсири

Синалаётган намуна, одатда, цилиндрик шаклда тайёрланади. Цилиндрик шаклда тайёрлашнинг иложи бўлмаганда, текис шаклда тайёрланади. 31-шаклда цилиндрик ва текис нормал намуналар тасвирланган.

Ҳамма улчамлар намунанинг ўрта қисмидан олинади, яъни цилиндрик намуна учун 220 мм қўйилган, текис намуна учун эса 200 мм қўйилган ораликдан олинади, чунки намунанинг шу қисмидагина кучланиш кундаланг кесимлар буйича текис тарқалади. Кучланиш ва деформацияларнинг етарли

даражада бир хилда булишини таъминлаш учун цилиндрик намуналарнинг боши урта қисми билан конус орқали туташтирилади. Турли материаллар билан ўтказилган тажрибалар узилишга кўрсатадиган қаршиликнинг синалаётган намуна узунлигига боғлиқ эмаслигини тасдиқлайди. Намуналарнинг кўндаланг кесим юзаси қандай шаклда бўлмасин, юзи баробар бўлса, уларнинг вақтли қаршилиги ҳам бирдек бўлади. Синалаётган намунанинг мустаҳ-



31-шакл

камлиги унинг кўндаланг кесими юзига пропорционаллиги ўтказилган тажрибалар натижасида тасдиқланади. Ўтказилган тажрибалар шуни кўрсатадики, тажриба натижаларини фақат геометрик ўхшаш намуналар учунгина солиштириш мумкин. Бундай намуналарда узувчи юк уларнинг ўхшаш ўлчамларининг квадратига пропорционал бўлади, яъни узувчи кучланиш бир хилда бўлади. Кучланишларнинг тенглиги тегишли нисбий чўзилишларнинг тенглигига келтиради. Нисбий кўндаланг сиқилишлар ҳам тенг бўлади. Умуман, намуналар деформацияланган ҳолатда ҳам ўхшаш бўлади.

Нормал намунани цилиндрик шаклда тайёрлаб, синалаётган қисмининг узунлиги ( $l$ ) билан диаметри ( $d$ ) маълум муносабатда олинади. СССРда  $l = 10 \cdot d$  деб қабул қилинган. Кейинги вақтларда калта намуналар учун  $l = 4 \cdot d$  ёки  $l = 5 \cdot d$  олишга ҳаракат қилинмоқда.

Тўғри тўртбурчак шаклидаги кўндаланг кесимли текис намунани синашга тўғри келса, унинг узунлиги ( $l$ ) ни шундай танлаш лозимки, чиққан натижаларни нормал намуна натижалари билан солиштириш мумкин бўлсин. Текис намунанинг кўндаланг кесим юзи  $F$  бўлса, шунга тенг юзли доиравий намуна кўндаланг кесимининг диаметри қуйидагича аниқланади:

$$d = \sqrt{\frac{4F}{\pi}} \quad (14.1)$$

Бу турдаги намунанинг синаладиган қисми узунлиги қуйидагича бўлади:

$$l = 10 \cdot d = 10 \sqrt{\frac{4F}{\pi}} = 11,3\sqrt{F} \quad (14.2)$$

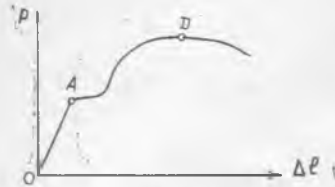
Бу формуладан кўндаланг кесим юзи  $F$  бўлган текис намуналарнинг синовда иштирок этадиган узунлиги аниқланади.

### 15-§. Чўзилиш диаграммаси

Синов машиналарига тажрибанинг боришини тасвирловчи диаграммани автоматик равишда чизадиган махсус асбоблар ўрнатилган бўлади. Масалан, 13-параграфдаги 29-шаклда тасвирланган синов машинасида чўзилиш диаграммаси 14 цилиндрга ўралган қозоғга чизилади. Намуна чўзилганда 13 ип

тортилиб, цилиндрни айлантиради; демак, цилиндрнинг айланиши деформацияга боғлиқдир.

Диаграмма чизадиган 15 стерженга ўрнатилган қалам 11 тебрангичга боғланган бўлиб, тебрангич огиши билан қалам цилиндрнинг ясовчиси бўйлаб қўзғалади. Бунинг натижасида цилиндрга ўралган қоғозда чўзилиш диаграммаси чизилади. Бу диаграмма  $\Delta l$  абсолют чўзилиш билан  $P$  чўзувчи куч орасидаги муносабатни тасвирлайди (32-шакл).  $\Delta l$  абсолют чўзилиш  $\epsilon$  нисбий чўзилиш билан,  $P$  чўзувчи куч  $\sigma$  кучланиш билан тўғри пропорционаллик муносабатида бўлганидан, яъни:



32-шакл.

$$\Delta l = \epsilon \cdot l;$$

$$P = \sigma \cdot F$$

бўлганидан  $\Delta l$  ва  $P$  учун чизилган диаграмма  $\epsilon$  ва  $\sigma$  учун чизиладиган диаграммадан фақат абсцисса ва ординатларнинг масштаби билан фарқ қилади.  $P$  кучни намунанинг бошланғич қўзғалган кесим юзи  $F$  га, абсолют чўзилиш  $\Delta l$  ни эса намунанинг бошланғич узунлиги  $l$  га бўлиб, тузилган диаграмма—кучланишлар диаграммаси, намунанинг геометрик ўлчамларидан мустасно бўлгани учун, синов вақтида рўй берадиган физик ҳодисаларни яққол тасвирлайди. 33-шаклда кучланишлар диаграммаси тасвирланган. Ушундай чизилганки, тажрибанинг турли ҳолатларига тегишли абсцисса ва ординатлар  $\epsilon$  ва  $\sigma$  нинг қийматларини ифода қилади. Тажриба вақтида  $P$  чўзувчи кучининг маълум интервалдаги қиймати ҳисоблаб ва тегишли  $\Delta l$  чўзилишини ўлчаб, уларни маълум жадвалда қайд қилиш лозим. Бу жадвалдаги  $P$  ва  $\Delta l$  нинг қийматларидан фойдаланиб, тегишли  $\sigma$  ва  $\epsilon$  нинг жадвалини тузиш мумкин. Бу тарздаги ҳисобларни ойдинлаштириш учун қуйидаги А ва В жадвалларда цилиндрик нормал пўлат намунани синашдан олинган маълумотлар келтирилган (намунанинг синаладиган қисми узунлиги  $l = 220$  мм,  $d = 10$  мм):

А жадвал

| Тартиб № | $P$ юк (кг ҳисобида) | $\Delta l$ абсолют чўзилиш (мм ҳисобида) | Тартиб № | $\sigma$ кучланиш (кг/см <sup>2</sup> ҳисобида) | $\epsilon$ нисбий чўзилиш | $\frac{\sigma}{\epsilon} = E$ (кг/см <sup>2</sup> ҳисобида) |
|----------|----------------------|--|----------|---|---------------------------|---|
| 1        | 157                  | 0,020                                    | 1        | 2000  | 0,000091                  | 2190000   |
| 2        | 393                  | 0,055                                    | 2        | 500   | 0,000250                  | 2000000   |
| 3        | 628                  | 0,085                                    | 3        | 800   | 0,000380                  | 2070000   |
| 4        | 864                  | 0,117                                    | 4        | 1100  | 0,00053                   | 2070000   |
| 5        | 1180                 | 0,165                                    | 5        | 1500  | 0,00075                   | 2000000   |
| 6        | 1410                 | 0,188                                    | 6        | 1800  | 0,00085                   | 2120000   |
| 7        | 1780                 | 0,233                                    | 7        | 2200  | 0,00116                   | 2070000   |
| 8        | 1960                 | 0,289                                    | 8        | 2500  | 0,00131                   | 1910000   |
| 9        | 2200                 | 0,409                                    | 9        | 2800  | 0,00186                   | 1500000   |
| 10       | 2360                 | 1,474                                    | 10       | 3000  | 0,0067                    | 447000  |
| 11       | 2510                 | 4,048                                    | 11       | 3200  | 0,0183                    | 175000  |
| 12       | 2670                 | 8,008                                    | 12       | 3400  | 0,0363                    | 93500   |
| 13       | 2830                 | 11,890                                   | 13       | 3600  | 0,0540                    | 66500   |
| 14       | 2980                 | 17,250                                   | 14       | 3800  | 0,0785                    | 48300   |
| 15       | 3150                 | 46,200                                   | 15       | 4000  | 0,2100                    | 18100   |
| 16       | 2980                 | —  |          |   |                           |   |

В жадвал

33-шаклда кўрсатилган диаграмма шу жадваллардаги рақамлар асосида тузилган.

Юмшоқ пўлатдан тайёрланган намуначи синаш натижасида тузилган диаграмманинг характерли нуқталари устида тўхталиб ўтамиз. Аввал, диаграммадан кўрамизки, кучланиш маълум миқдорга етгунча,  $\sigma$  билан  $\epsilon$  ўртасидаги муносабат  $OA$  тўғри чизик билан тасвирланади, яъни  $\sigma$  кучланиш  $\epsilon$  нисбий чўзилишга тўғри пропорционал бўлади:

$$\sigma = E\epsilon.$$

Бу чегарада Гук қонунининг тўғрилигини кўрамиз.  $A$  нуқтага тегишли кучланиш *пропорционаллик чегараси* дейилади. Биз текширган ҳолда, пропорционаллик чегараси

$$\sigma_n \cong 2200 \text{ кг/см}^2$$

бўлади.

$E = \frac{\sigma}{\epsilon}$  эластиклик модули диаграммадаги тўғри чизикдан иборат бўлган  $OA$  қисм оғиш бурчагининг тангенсига пропорционал эканлиги шаклдан кўриниб турибди, яъни:

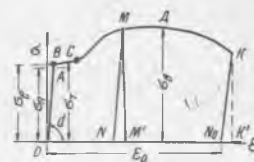
$$E = \frac{m}{n} \operatorname{tg} \alpha; \quad (15.1)$$

$m$  — диаграмманинг ордината масштаби,  $n$  — абсцисса масштаби.

$A$  нуқтадан кейин диаграмма эгри чизик билан тасвирланиб, кучланиш деформацияга пропорционал бўлмайди.  $A$  нуқтадан озгина юқорида  $B$  нуқта туради. Бу нуқтага тегишли кучланиш *эластиклик чегараси* дейилади. Эластиклик чегарасидан кейин, материал ўзининг эластиклик хусусиятини йўқота бошлайди. Бу чегарадан кейин, намунадан куч таъсири олинса, намунадаги деформация бутунлай йўқолиб кетмай, унинг маълум бир қисми сақланиб қолади.  $U$  қолдиқ деформация дейилади.  $A$  ва  $B$  нуқталар бир-бирига жуда яқин бўлганидан, одатда, бу нуқталарнинг фарқи ҳамма вақт ҳам эътибор берилмавермайди. Чунки уларнинг диаграммадаги ҳолатларини аниқлаш қийин бўлади. Аниқ ўлчашлар намуна материалининг мутлақ бир жинсли бўлмаслиги натижасида диаграмманинг  $OA$  қисмидаги нуқталари катъий тўғри чизикда ётмаслигини кўрсатади. Қисман шу сабабли, намунадан «пропорционаллик чегарасида» куч таъсири олинганда бир оз бўлса-да, нолдан фарқланган қолдиқ деформация мавжуд бўлади. Шунинг учун ҳам, одатда, фақат техник пропорционаллик чегараси аниқланади. Бу чегара шартли бўлиб, қолдиқ деформация олдиндан белгиланган маълум миқдордан (масалан, қолдиқ деформация  $0,001\%$  ёки  $0,002\%$  дан ошмаса), кучланиш ва деформация шу чегарадан ошмаган деб ҳисобланади.

Диаграмманинг кейинги характерли нуқтаси  $C$  бўлиб, бу нуқтага тегишли кучланиш *оқиш чегараси* дейилади. Бу  $C$  нуқтага эришиш олдида, диаграмманинг эгилиши кескин ўзгариб, кейин абсцисса ўқига деярли параллел бўлади. Бу вақтда, синяләтган материал эриган модда каби оқаётгандай чўзилади. Кучланиш сезиларли даражада ўзгармайди, чўзилиш эса бу чегарага эришуви олдидаги чўзилишга қараганда тўсатдан ошиб кетади.

Синяләтган намунанинг сирти жуда силлиқ қилиб тайёрланади. Намунанинг силлиқ сирти оқиш чегарасида жиралашиб, чизиклар билан қопланади. Бу чизиклар намуна ўқига тахминан  $45^\circ$  га яқин бурчаклар остида қия бўлади ва чўзувчи куч орттирилган сари улар қалинлаша бориб, шаклда кўрсатилгандек, намуна сиртини икки томонлама қоплай бошлайди.



33-шакл.

(34-шакл). Бу чизикларни энг аввал Чернов ва Людерс деган олимлар топгани учун, улар *Чернов-Людерс чизиклари* дейилади.

Оқиш чегарасидан кейин материалнинг каршилиқ кўрсатиш қобилияти яна ўса бошлайди, яъни материал мустаҳкамланади. Намунанинг чузилишини давом эттириш учун, чузувчи кучни кўпайтириш керак бўлади.

Диаграмманинг энг юқори нуқтаси  $D$  да кучланиш энг катта қийматга эришади, бу кучланиш *мустаҳкамлик чегараси* дейилади. Бу кучланишга тегишли юк *узувчи юк* деб аталади.

Кучланиш мустаҳкамлик чегарасига эришиш олдида намунанинг бирор жойида «бўйин» ҳосил бўла бошлайди (35-шакл). Кучланиш мустаҳкамлик чегарасига эришганда, бўйин ингичкаланади, намуна тезда узилади. Узилиш диаграмманинг  $D$  нуқтасига мос келмай, ундан кейинда ётувчи бошқа бир  $K$  нуқтага мос келади. Курамизки,  $D$  нуқтадан кейин кучланиш озаёиб, деформация жуда тез ўсаётир. Намунадаги кучланиш  $D$  нуқтага тегишли қийматга эришганда, унинг каршилиқ кўрсатиш қобилияти тугайди. Бу ҳолда намунадан ташқи куч таъсири олинганда ҳам уни узилишдан сақлаб бўлмайди.  $D$  нуқтадан кейин деформация ҳеч қандай кучланишсиз давом этади ва ниҳоят, намуна  $K$  нуқтада узилади.

Синашни оқиш чегарасидан кейинда ётувчи бирор  $M$  нуқтагача давом эттириб, бу нуқтада намуна юкдан бўшатиб, диаграмма чизаётган қалам олдинги юрган йўли билан қайтмасдан, пастга қараб  $OA$  чизикда параллел тўғри чизик билан қайтади. Бу тўғри чизик абсцисса ўқи билан бирор  $N$  нуқтада кесишади.  $OM$  кесма намунадаги қолдиқ деформацияни тасвир-



34-шакл.

лайди.  $M$  нуқтанинг абсцисса ўқидаги проекциясини  $M'$  десак,  $NM' = \epsilon_e$  намунанинг эластик деформацияси бўлиб, намунадан юк олинганда, бу деформация йўқолади. Агар намунадан юк диаграмманинг  $A$  нуқтасидан ёки ундан пастдаги нуқтадан бошлаб олинса, ҳеч қандай қолдиқ деформация ҳосил бўлмас эди. Намуна узилганда диаграмма чизаётган қаламнинг учи  $K$  нуқтадан, яна  $OA$  га параллел чизик чизиб,  $N_0$  га келиб тухтайди.  $K$  нинг абсциссадаги проекциясини  $K'$  десак,  $N_0K' = \epsilon_e$  намуна узилиши биланоқ йўқолган эластик деформацияни тасвирлайди.

Синаш натижасида, материалнинг механик сифатини характерловчи эластиклик модули  $E$  дан ташқари қуйидагилар:

- 1) диаграмманинг тўғри чизикли қисми тугайдиган  $A$  га тегишли  $\sigma_a$  кучланиш,
- 2) намунанинг эластиклик хусусияти лимитини ифодаловчи ва диаграмманинг эгри чизикли қисмида ётувчи эластиклик чегараси  $B$  га тегишли  $\sigma_e$  кучланиш,
- 3) оқиш чегараси  $C$  нуқтага тегишли  $\sigma_T$  кучланиш,
- 4) намунанинг узилиш олдидаги мустаҳкамлик чегарасига тегишли  $\sigma_b$  кучланиш,

5) намуна узилгандан кейин, ундаги қолдиқ деформация ҳам аниқланади; бу миқдор кўпинча % билан ифодаланади, у материалнинг қанчалик пластик эканлигини ўлчаш учун хизмат қилади ва  $\delta$  билан белгиланади:

$$\delta = \epsilon_0 \cdot 100\% = \frac{l - l_0}{l_0} \cdot 100\%; \quad (15.2)$$

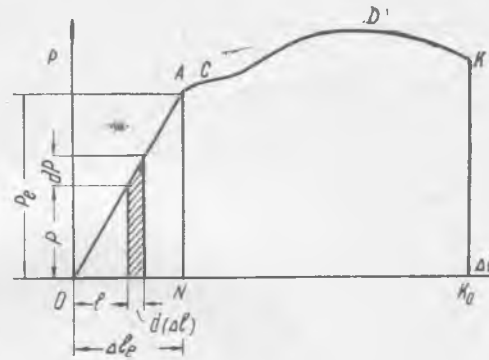
бунда  $l$  — намунанинг узилгандан кейинги узунлиги,  $l_0$  — бошланғич узунлиги. Бундан ташқари, материалнинг пластик узилишдаги nisбий ингичкаланиши билан ҳам ифодаланади (35-шакл).

Намунанинг қундаланг кесим юзи синаш олдида  $F_0$  узилган жойидаги юзи  $F_1$  бўлсин. У ҳолда nisбий ингичкаланиш % ҳисобида қуйидагича аниқланади:

$$\psi = \frac{F_0 - F_1}{F_0} \cdot 100\% . \quad (15.3)$$



35-шакл.



36-шакл.

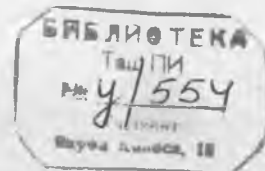
Чўзилиш диаграммасидан фойдаланиб, материалнинг зарбали куч таъсирига қаршилик кўрсатиш қобилиятини ифодаловчи яна бир хусусияти устида тўхталиб ўтамиз.

Материални узиш учун қанчалик кўп иш сарфланса, унинг зарбали куч таъсирига қаршилик кўрсатиш қобилияти шунча катта бўлади. Шу сабабли материалнинг бирданига қўйиладиган кучга (зарбга) бардош бериш қобилиятини характерловчи миқдор сифатида синалаётган намунанинг эластиклик чегарасигача чўзишга ва бутунлай узишга сарфладиган ишлар олинади. Чўзилиш диаграммасининг юзи маълум масштабда ана шу ишларни ифодалайди (36-шакл).

Чўзилиш диаграммасининг Гук қонуни чегарасига тегишли қисмини текшираемиз. Призматик стержень ёки синалаётган намуна ўз ўқи бўйлаб тадрижий равишда ўсаётган куч таъсирдан чўзилади, деб фараз қилайлик. Чўзувчи кучнинг бирор пайтдаги қиймати  $P$ , тегишли абсолют чўзилиш  $\Delta l$  бўлсин.  $P$  куч  $dP$  миқдор ортганда абсолют чўзилиш  $(\Delta l)$  ҳам  $d(\Delta l)$  орттирмага эга бўлади; куч  $P$  дан  $P + dP$  га ўзгарганда қўшимча иш бажаради. Бу ишни  $dA$  деб белгиласак, унинг учун

$$dA = (P + dP) d(\Delta l) = Pd(\Delta l) + dPd(\Delta l)$$

ифодасини ҳосил қилаемиз. Бу элементар иш штрихланган чексиз кичик юзача билан тасвирланади. Элементар иш ифодасининг иккинчи қисми иш



кинчи тартибдаги чексиз кичик миқдор бўлгани учун, уни ташлаб юборишимиз мумкин.  $U$  ҳолда элементар иш ифодаси қуйидагича ёзилади:

$$dA = Pd(\Delta l). \quad (15.4)$$

Стерженни эластиклик чегарасигача чўзиш учун сарфланган тула ишни топиш ниятида, элементар иш ифодасини интеграллаймиз. Стерженнинг  $O$  дан қандайдир  $\Delta l$  гача чўзилиши кўзда тутилса,  $P$  кучнинг бажарган иши қуйидагича аниқланади:

$$A = \int_0^P Pd(\Delta). \quad (15.5)$$

Гук қонунига мувофиқ:

$$\Delta l = \frac{Pl}{EF}, \quad d(\Delta l) = \frac{dPl}{EF} = \frac{l}{EF} dP.$$

Интеграллаш чегарасини мувофиқлаштириб,  $d(\Delta l)$  нинг қийматини (15.5) га қўйсақ, стерженни эластиклик чегарасига қадар чўзиш учун сарфланган ишнинг ифодаси қуйидагича ёзилади:

$$A = \int_0^P \frac{l}{EF} PdP = \frac{P^2 l}{2EF} = \frac{P\Delta l_e}{2}. \quad (15.6)$$

Чўзилиш диаграммасида бу иш  $OAN$  учбурчакнинг юзи билан ифодланади, яъни:

$$\Delta OAN_{\text{юзи}} = \frac{1}{2} P_e \Delta l_e.$$

Чўзувчи кучнинг эластиклик чегарасидаги деформацияда бажарган иши стерженда деформациянинг потенциал энергияси тарзида тўпланади; стержендаги чўзувчи куч таъсири олинганда, унда тўпланган деформация потенциал энергияси стерженни олдинги ҳолига келтириш учун сарфланади. Деформация натижасида (айниқса эластиклик чегарасигача) стержень материалида ҳосил бўладиган термик ва электромагнит хусусиятларнинг ўзгариши жуда кичик бўлгани учун, бу ҳодисаларни эътиборга олмас ҳам бўлади. Турли материалларнинг деформация потенциал энергиясини тўплаш қобилиятини солиштириш учун, унинг ҳажм бирлигидаги қийматини текшириш қулайдир. Деформация потенциал энергиясининг ҳажм бирлигида тўпланган қиймати *солиштирма потенциал энергия* дейилади.

Чўзилиш учун синалаётган намунанинг ёки чўзилаётган стерженнинг ҳажми  $Fl$  бўлса, солиштирма потенциал энергия

$$a = \frac{A}{Fl} = \frac{1}{2} \cdot \frac{P}{F} \cdot \frac{\Delta l}{l} = \frac{1}{2} \sigma \epsilon = \frac{\sigma^2}{2E} \quad (15.7)$$

кўринишда ёзилади.  $E$  билан  $\sigma$   $\text{кг/см}^2$  ҳисобида ўлчангани учун  $a$   $1 \text{ см}^3$  да тўпланган ва  $\text{кг.см}$  ҳисобида ифодаланган энергияга тенг бўлади.

(15.5) дан стерженни узиш учун сарфланган тула иш чўзилиш диаграммасининг  $OACDKK_0$  юзи билан ифодланади деган хулосани чиқара оламиз. Чўзувчи куч билан абсолют чўзилиш орасидаги муносабатнинг аналитик ифодаси эластиклик чегарасидан кейин ҳам, то стерженнинг узилишгача маълум бўлган чоғда, узилиш учун сарфланган иш (15.5) интегралдан аниқланар эди. Бироқ чўзувчи куч билан абсолют чўзилиш орасидаги муносабатнинг аналитик ифодаси эластиклик чегарасидан кейин номаълум бўлгани сабабли, намунани узиш учун сарфланган ишни аналитик равишда ҳисоблаб бўлмайди. Шунинг учун диаграмманинг юзи турли усуллар билан

улчаниб, намунани узиш учун сарфланган иш тақрибий равишда ҳисобланади. Узувчи кучни  $P_{\max}$ , узилиш олдидаги абсолют чўзилишни  $\Delta l_{\max}$  десак, буларнинг кўпайтмаси диаграмманинг юзини ўз ичига олган тўғри тўртбурчак юзини ифодалайди. Бу юз диаграмма юзидан бирмунча каттадир. Шунинг учун у ифода бирдан кичик бўлган бирор коэффициентга кўпайтирилса, диаграмманинг ҳақиқий юзи ёки узиш учун сарфланган тўла иш чиқади:

$$A_{\text{узиш}} = \eta \cdot P_{\max} \cdot \Delta l_{\max}; \quad (15.8)$$

$\eta$  тўлдириш коэффициенти дейилади, бу миқдор маълум бир материал учун узгармас бўлиб, тажрибадан аниқланади. Узиш учун сарфланган солиштирма ишни топамиз:

$$\sigma_{\text{узиш}} = \frac{A_{\text{узиш}}}{Fl} = \eta \frac{P_{\max}}{F} \frac{\Delta l_{\max}}{l} = \eta \cdot \sigma_{\text{узиш}} \cdot \delta. \quad (15.9)$$

Узиш учун сарфланган солиштирма иш, маълум даражада,  $\sigma_{\max} \cdot \delta$  кўпайтма билан характерланади. Шунинг учун ҳам бу кўпайтма материалнинг зарбали кучга қаршилик кўрсатиш қобилиятини характерлайди

#### 16- §. Синов процессига оид баъзи мулоҳазалар ва қўшимча маълумотлар

Юқорида келтирилган чўзилиш диаграммаси пропорционаллик чегараси  $A$  га қадар чўзилиш процессини етарли даражада аниқ ифодалайди ва бу чегарада кўндаланг деформация ниҳоят даражада кичик бўлгани учун, уни ҳисобга олмас ҳам бўлади. Аммо оқиш чегараси  $C$  дан кейин, хусусан мустаҳкамлик чегараси  $D$  да намунанинг кўндаланг кесими сезиларли даражада ингичкаланиб, уни эътиборга олмаслик янглиш натижаларга олиб боради.

Кўндаланг кесим юзининг ингичкаланиши кўзда тутилганда, ҳақиқий кучланишнинг кузатилаётган чўзувчи кучни намунанинг синов олдидаги кесим юзига бўлишдан чиқарилган кучланишга қараганда бирмунча катта бўлиши табиийдир.

Шунинг учун ҳам ҳақиқий кучланиш, хусусан оқиш чегарасидан кейин, 33- шаклда чўзилиш диаграммасининг ординатаси билан тасвирланган кучланишга қараганда бирмунча катта бўлади. Ҳақиқий ҳолатни тасвирловчи диаграммани тузиш учун, тажриба даврида бир неча ҳолатларга оид чўзувчи куч миқдори билан маълум бир кесим юзини ўлчаб бориш лозим. Ингичкалана бошлаган кесимнинг юзини ўлчаб бориш қулайдир. Булардан фойдаланиб, деформация процессида ҳосил бўладиган ҳақиқий кучланишни ҳисоблаш ва ҳақиқий ҳолатни тасвирловчи диаграммани тузиш мумкин. Тажриба даврининг бирор пайтига оид чўзувчи куч  $P_t$ , ингичкалана бошланган кесим юзи эса  $F_t$  бўлсин. Намунанинг синаш олдидаги кесим юзини  $F_0$  десак, текширилаётган пайтга оид нисбий ингичкаланиш

$$\Psi_t = \frac{F_0 - F_t}{F_0}$$

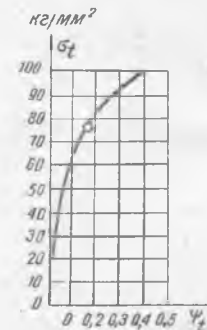
бўлади. Бу ҳолатга тегишли ҳақиқий кучланиш

$$\sigma_t = \frac{P_t}{F_t}$$

формуладан аниқланади. Абсцисса ўқи бўйлаб  $\Psi$ , ордината ўқи бўйлаб  $\sigma$ , қўйилса, ҳақиқий кучланиш диаграммаси ҳосил бўлади (37-шакл).

Бу диаграммадан кўрамизки, кучланиш то намуна узилгунча ўсиб боради. Ўсиш олдин тез бўлса-да, куч ўзининг максимал қийматига яқинлашганда бир оз сусаяди. Шаклда кучнинг максимал қийматига оид нуқта белгиланган.

Ўзилиш олдидаги ҳақиқий кесим юзига нисбатан ҳисобланган кучланиш мустаҳкамлик чегараси учун оддий усул билан ҳисобланган кучланишга қараганда бирмунча катта бўлади. Келтирилган мисолда, мустаҳкамлик чегарасига тегишли кучланиш  $6770 \text{ кг/см}^2$  га, ўзилиш олдидаги ҳақиқий кучланиш эса  $10210 \text{ кг/см}^2$  га тенгдир. Бироқ стерженга қўйиладиган максимал кучнинг миқдорини келтирилган бу кучланиш асосида ҳисоблаш тўғри бўлмайди, чунки намуна узилмасдан бардош бериб турган максимал кучнинг миқдори унинг ўзилиш даврига мос келмасдан, бирмунча олдинги чўзилиш даврига мос келади. Шунинг учун ҳам кучнинг бу миқдори намуна кўндаланг кесимнинг синов бошидаги юзига нисбатан олинади ва *мустаҳкамлик чегараси* деб аталади. Кўндаланг кесимнинг ингичкаланиши натижасида, ҳақиқий кучланишнинг ортиши, амалий жиҳатдан олганда, намунани синаш процесси билан боғлиқдир. Ҳақиқий кучланиш диаграммасидан фойдаланиб, жисмнинг механик хоссаларини характерловчи бир неча хулосалар чиқариш мумкин.



37-шакл.

Пластик деформацияни давом эттириш учун материалдаги кучланишни тобора кўпайтириш зарур. Пластик деформация ўсган сари материалнинг қаршилик кўрсатиш қобилияти ҳам орта боради. Бу ҳодиса материалнинг *пишиқланиши* дейилади. Материалнинг пишиқланиш қобилияти ҳақиқий диаграмма эгри чизиғининг кўтарилиши билан характерланади.

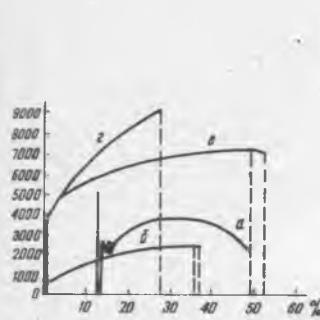
Диаграмманинг белгиланган нуқтасида чўзувчи юк ўзининг энг катта қийматига эришади. Бу нуқтага тегишли кучланиш ҳақиқий мустаҳкамлик чегараси дейилади.

#### 17-§. Пластик ва мўрт материалларнинг чўзилиш диаграммалари

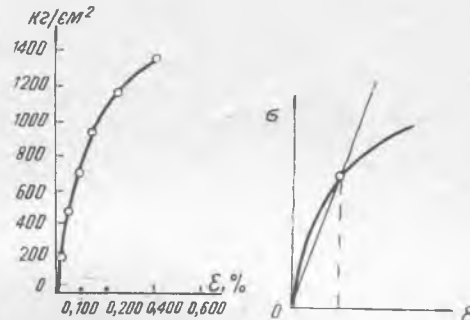
Юқорида биз юмшоқ пўлат типдаги материаллар учун тузилган чўзилиш диаграммаларини текширдик. Бошқа тур пластик материалларнинг чўзилиш диаграммалари ҳам юқорида текширилган диаграммаларга ўхшаган бўлади. Баъзи махсус пўлатларда, мис ва бронза каби материалларнинг диаграммасида оқиш чегараси аниқ кўринмайди. Диаграмманинг тўғри қисми эгри қисми билан бевосита туташади. Мисол учун қўйма пўлат, бронза, никелли пўлат ва марганецли пўлат учун тузилган кучланиш диаграммалари 38-шаклда (а, б, в, г) тасвирланган. Оқиш чегараси аниқ бўлмаган материаллар учун бу чегара, шартли равишда, қолдиқ нисбий чўзилиш миқдори билан белгиланади. Оқиш чегараси аниқ бўлган материал учун бу чегарада қолдиқ нисбий чўзилиш қанча бўлса, шу сон оқиш чегараси аниқ бўлмаган материаллар учун оқиш чегарасини белгилайди. Масалан, юмшоқ пўлат учун, кучланишнинг оқиш чегарасидаги қийматида қолдиқ нисбий

чўзилиш тахминан 0,2% га тенг бўлади. Ана шу сон оқиш чегараси аниқ бўлмаган материалларда ҳам оқиш чегарасини белгилаш учун қабул қилинган

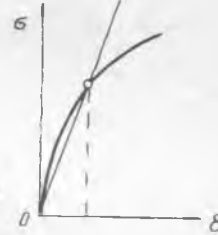
Мўрт материаллар кичик деформациядаёқ емирилади. Чўяндек типик мўрт материал чўзилганда то узилгунча билинар-билинмас даражада деформацияланади. Бундай материаллар бирданига узилади. Узилгандан кейин уларнинг нисбий чўзилиши ва нисбий ингичкаланиши сезилмайдиган даражада кичик бўлади.



38-шакл.



39-шакл.



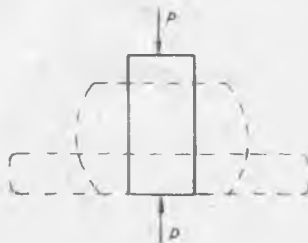
40-шакл.

Чўян учун чўзилиш диаграммаси 39-шаклда тасвирланган. Мўрт материаллар чўзилишга жуда ҳам оз қаршилиқ кўрсатади. Мўрт материалларнинг узилишдаги мустаҳкамлик чегараси пластик материалларникига қараганда бир неча марта кичикдир. Мўрт материаллар учун кучланиш билан нисбий чўзилиш орасидаги муносабат Гук қонунига яхши мос келмайди. Ҳатто кучланишнинг эластиклик чегарасидан пастки қийматларидаёқ диаграмма бир қадар эгилган чизиқ билан тасвирланади. Бу ҳол кучланиш билан тегишли деформация орасида чизиқли муносабатнинг сақланмаганлигини кўрсатади, шунинг учун ҳам бундай материалнинг эластиклик модули  $E$  ни ўзгармас сон деб бўлмайди. Чунки (15.1) га мувофиқ,  $E$  диаграмма чизигига ўтказилган уринманинг абсциссалар ўқи билан ҳосил қилган бурчаги тангенсига тенг. Бу эса эгри чизиқ учун ўзгарувчи миқдордир. Бироқ иншоотларни ишлатиш даврида, уларнинг қисмларида ҳосил бўладиган кучланишлар Гук қонунидан аниқланадиган кучланишлардан кам фарқланади. Шунинг учун, мўрт материалларнинг эгри чизиқ билан тасвирланган диаграммаси координаталар бошидан ўтказилган ватар билан алмаштирилиб,  $E$  ўзгармас сон деб қабул қилинади (40-шакл).

Материалларнинг сиқилишга кўрсатадиган қаршилигини текширишда куб шаклидаги ёки баландлиги диаметридан оз фарқ қиладиган цилиндр шаклидаги намуналардан фойдаланишга тўғри келади. Узун намуналар билан тажриба ўтказилганда, бундай намуналарнинг эгилмай туриб соф сиқилишига эришиш жуда қийин бўлади.

Тошларни синашда, куб шаклидаги намуналар ишлатиледи; куб қирраларининг узунлиги, тошларнинг хилига қараб, 3 см дан 10 см гача олинади. Чўян намунаси учун кубнинг қирраси 3 см бўлиши керак. Бетон учун 20 см дан 30 см гача олинади. Ёғоч материалларни синашда кубнинг ўлчамлари 10×10×10 см қилиб олинади.

Пластик материаллардан тайёрланган цилиндрик намуна синалганда кучланиш пропорционаллик чегарасидан, ҳатто оқиш чегарасидан ошгандан кейин ҳам, материал ўзини чўзилишда қандай турса, сиқилишда ҳам худди шундай тутади. Пластик материалларнинг пропорционаллик чегараси ва эластиклик коэффиценти чўзилиш ва сиқилиш учун бир хилдир. Пропорционаллик чегарасидан кейин, сезиларли даражада қолдиқ деформация ҳосил бўлади; намунанинг бўйи қисқариб, кўндаланг кесими бир оз кенгайди. Намунани синаш прессининг товоғи билан намуна асосининг юзаси орасида



41-шакл.



42-шакл.



43-шакл.



44-шакл.



45-шакл.

ҳосил бўладиган ишқаланиш кучлари намуна қирғоқларининг кўндалангига томон деформацияланишига йўл қўймайди. Шунинг учун, намуна синаш натижасида бочкага ўхшаш шаклга киради (41-шакл). Кўндаланг кесим юзи кенгайган сари, деформацияни яна ҳам кўпайтириш учун, сиқувчи юкни ошириб бориш керак. Намунанинг сиқилиши давом эттирилса, у кулчага ўхшаб қолади. Пластик материаллар учун сиқилишдаги типик кучланиш диаграммаси 42-шаклда тасвирланган.

Чўян, тош, бетон каби мўрт материаллар сиқилишда ҳам чўзилишдагидек, жуда оз деформациядаёқ емирилади. 43-шаклда улчамлари  $10 \times 10 \times 10$  см тош намунаси учун тузилган диаграмма тасвирланган. Пластик ва мўрт материалларнинг сиқилишдаги емирилиш характери турличадир. Пластик материаллар намунасининг сиқилишда кулчага ўхшаб қолиши айтиб ўтилган эди. Тош намунасининг сиқилишдаги емирилиши 44-шаклда курса-

тилган. Парчаланган намуна учлари бир-бирига туташтирилган пирамидаларга ухшайди. Шу шаклда парчаланмиш пресс товоқлари билан синалаётган намуна асослари орасида мавжуд бўладиган ишқаланиш кучларига боғлиқдир. Бу ишқаланиш кучлари йўқотилса, масалан, пресс товоқлари юзасига ва намуна асосларига парафин суркалса, намунанинг парчаланмиш характери тамоман бошқача бўлади. Бу тарзда синалган тош намунаси сиқувчи кучлар йўналишига параллел ҳолда бир қанча қисмларга ажралиб кетади. Бу ҳолда намунани парчаловчи куч оддий ҳолда сиқилаётган намунани парчаловчи кучга қараганда кичикроқ бўлади. Шунинг учун ҳам сиқилишга синалган материалнинг мустаҳкамлик чегараси маълум даражада шартли миқдордир. Мустаҳкамлик коэффициентини танлашда бу ҳолни кўзда тутиш зарур.

Чўян намунаси худди тош ва бетон намуналари каби парчаланмиш. Чўяндан ясалган цилиндрик намунанинг парчаланмиши 45-шаклда кўрсатилган. Қуйидаги жадвалда муҳим қурилиш материаллари учун чўзилишдаги ва сиқилишдаги мустаҳкамлик чегарасига оид кучланишлар келтирилган.

Мустаҳкамлик чегаралари ( $\text{кг/см}^2$  ҳисобида)

| Материалнинг номи   | Чўзилиш учун | Сиқилиш учун |
|---|--------------|--------------|
| Конструкцияларда (кўприклар, биноларда ишлатиладиган) Ст. 3 маркали пулат . . . . . | 3800—4800    | —            |
| Машинасозлик пулати (углеродли пулат) . . . . .                                     | 3200—8000    | 2            |
| Рельс пулати . . . . .  | 7000—8000    | —            |
| Машинасозликда ишлатиладиган махсус пулатлар . . . . .                              | 7500—19000   | —            |
| Кул ранг чўян . . . . .   | 1400—1800    | 6000—10000   |
| Мис қотқималари (латунь, бронза) . . . . .  | 2200—5000    | —            |
| Еғоч (қаршай) . . . . .   | 8000         | 4000         |
| Сунъий тошлар . . . . .   | —            | 100—5000     |
| Бетон . . . . .   | —            | 50—350       |
| Текстолит . . . . .   | 850—1000     | —            |
| СВАМ . . . . .  | 2600—4800    | —            |

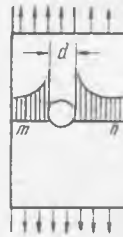
### 18-§. Пластик ва мўрт материалларнинг механик характеристикаларини таққослаш

Пластик материаллар узилиш олдида анчагина деформацияга эга бўлади. Масалан, юмшоқ пулатнинг узилиш олдидаги чўзилиши 20—25% га боради.

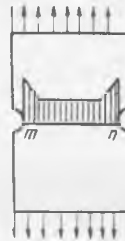
Мўрт материалларнинг емирилиш олдидаги деформацияси жуда оз бўлади. Масалан, чўянинг узилиш олдидаги деформацияси 0,5—0,6% дан ошмайди. Шу сабабли, пластик материаллар диаграммасининг юзи мўрт материаллар диаграммасининг юзига қараганда анча каттадир. Пластик материалларни емириш учун мўрт материалларни емиришдагига қараганда анча кўп иш сарф қилинади. Шунинг учун ҳам, конструкция элементлари зарбали кучлар таъсирига дуч келадиган бўлса, улар пластик материаллардан ишланади. Мўрт материаллар зарбали куч таъсирига бардош беролмай, жуда тез емирилади. Сиқувчи куч аста секин кўпайтириб берилса, мўрт

материаллар пластик материалларга қараганда бирмунча кўп юкни қабул қила олади. Шунинг учун ҳам, кўпинча иншоот элементларининг фақат сиқилишга ишлайдиган қисмлари мўрт материаллардан ясалади.

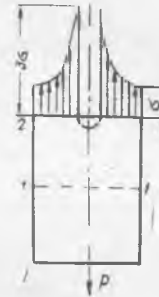
Кўпгина пластик материалларнинг яна бир хусусияти шундаки, улар сиқилиш ва чўзилишга бир хилда қаршилиқ кўрсатади. Мўрт материалларнинг кўпи сиқилишга яхши қаршилиқ кўрсатиб, чўзилишга чидамайди. Бу ҳол материаллар ишлатиш доирасини анчагина чеклайди. Бъъзан, мўрт материалларни чўзилишга ишлайдиган элементлар учун ишлатиш зарурияти туғилган тақдирда, кўшимча тадбирлар кўриш лозим бўлади. Масалан, чўзилишга ишлайдиган бетон элементлари пулат симлар (арматура) билан кучайтирилади.



46- шакл.



47- шакл.



48- шакл.

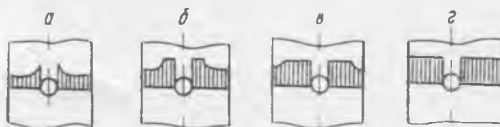
Мўрт материаллар билан пластик материалларнинг яна бир муҳим фарқи шундаки, улар кучланиш тўпламига турлича сезгирлик кўрсатади. Кучланиш тўплами конструкция элементининг текширилаётган қўндаланг кесим юзидagi кичкина бирор участкада ҳосил бўлади. Кесим юзининг кескин ўзгарган жойида ёки ўйилган жойида кучланиш кесимнинг бошқа нуқталаридаги кучланишларга қараганда бир неча марта катта бўлади. 46 ва 47-шаклларда призматик стерженнинг кучланиш тўплами ҳосил бўладиган қўндаланг кесим участкалари кўрсатилган. Тешик ёки ўйиқ бор жойдан узоқроқ қўндаланг кесимлардаги чўзувчи кучланишлар кесим юзаси бўйича текис тарқалиб, улар  $\frac{P}{F}$  га тенг, яъни  $\sigma = \frac{P}{F}$  бўлади (масалан, 48-шаклдаги 1—1 кесим). Стерженьнинг заифлашган жойидаги 2—2 кесимни олсак, тешик олдидаги нуқталарда ҳосил бўладиган кучланишлар тахминан  $3\sigma$  га етади. Мазкур кесимнинг бошқа нуқталаридаги кучланишлар худди кесим заифланмагандек, тахминан  $\sigma$  га тенглигича қолади. Бу тарздаги кучланиш тўплами, иншоот қисмларининг тирналган ёки ўйилган ҳар қандай жойида, винт қирқимларида, шпонка учун қолдирилган ариқчалар олдида ҳосил бўлиши мумкин.

Кучланиш тўпламининг максимал қиймати мустаҳкамлик чегарасига тегишли  $\sigma_s$  кучланишга етмаслиги лозим. Мўрт материалларда оқиш чегараси бўлмайди, улар ҳатто мустаҳкамлик чегарасида ҳам сезиларли даражада деформацияланмайди. Демак, кучланиш тўпламининг максимал қиймати пропорционаллик чегарасидан ўтиши биланоқ мўрт материаллар емирила бошлайди ёки кучланиш тўпланган жойларда дарз кетади. Шунинг учун ҳам кучланиш тўпламига мўрт материаллар бардош бера олмайди. Аксинча, плас-

Муҳим материалларнинг механик хоссалари

|                   | Материал                                    | $E$<br>кг/см <sup>2</sup> | $G$<br>кг/см <sup>2</sup> | $\mu$ | Оқши чегараси, кг/см <sup>2</sup> | Ўзғилишдаги мустаҳкамлик чегараси, кг/см <sup>2</sup> | Сиқилишдаги мустаҳкамлик чегараси, кг/см <sup>2</sup> | Ўзғилиш вақтидаги нисбий ғўзилиш, % | Ўзғилиш вақтидаги нисбий тоғрайиш, % |
|-------------------|---|---------------------------|---------------------------|-------|-----------------------------------|---|---|-------------------------------------|--------------------------------------|
| Темир ва пўлат    | Чўян . . . . .                              | 10,10 <sup>5</sup>        | 3,8 · 10 <sup>5</sup>     | 0,3   | —                                 | 1200 ÷ 2000   | 7000 ÷ 8500   | —                                   | —                                    |
|                   | Куйма пўлат . . . . .                       | 21,5 · 10 <sup>5</sup>    | 8,3 · 10 <sup>5</sup>     | 0,3   | 1800 ÷ 4500                       | 3400 ÷ 8000   | 1800 ÷ 4500   | 25 ÷ 8                              | 60 ÷ 15                              |
|                   | Никелли пўлат, юмшатилагани . . . . .       | 21,5 · 10 <sup>5</sup>    | 8,3 · 10 <sup>5</sup>     | 0,3   | 3500 ÷ 4500                       | 5500 ÷ 6500   | 3500 ÷ 4500   | 22 ÷ 18                             | 65 ÷ 55                              |
|                   | Хром ва никелли пўлат, тоблангани . . . . . | 21,5 · 10 <sup>5</sup>    | 8,3 · 10 <sup>5</sup>     | 0,3   | 10500 ÷ 11500                     | 11500 ÷ 13500   | 10500 ÷ 11500   | 10 ÷ 6                              | 60 ÷ 50                              |
|                   | Пружина пўлати, тоблангани . . . . .        | 21,5 · 10 <sup>5</sup>    | 8,3 · 10 <sup>5</sup>     | 0,3   | 12000 ÷ 14000                     | 13500 ÷ 15500   | 12000 ÷ 14000   | 8 ÷ 6                               | 40 ÷ 30                              |
| Бошқа металллар   | Алюминий сими . . . . .                     | 7,2 · 10 <sup>5</sup>     | 2,7 · 10 <sup>5</sup>     | 0,34  | 500                               | 900 ÷ 1000  | —   | 8 ÷ 13                              | —                                    |
|                   | Қўроғшин . . . . .                          | 1,7 · 10 <sup>5</sup>     | 0,6 · 10 <sup>5</sup>     | 0,45  | 50 ÷ 300                          | 100 ÷ 500   | —   | —                                   | —                                    |
|                   | Олтин . . . . .                             | 8,1 · 10 <sup>5</sup>     | 2,8 · 10 <sup>5</sup>     | 0,42  | 1400                              | —   | —   | —                                   | —                                    |
|                   | Мис . . . . .                               | 11,5 · 10 <sup>5</sup>    | 4,7 · 10 <sup>5</sup>     | 0,34  | 1200                              | 2200  | 6000  | 35 ÷ 38                             | 45 ÷ 50                              |
|                   | Платина . . . . .                           | 17,0 · 10 <sup>5</sup>    | 6,2 · 10 <sup>5</sup>     | 0,39  | 2600                              | 3400  | —   | —                                   | —                                    |
|                   | Кумуш . . . . .                             | 8,1 · 10 <sup>5</sup>     | 2,9 · 10 <sup>5</sup>     | 0,38  | 1100                              | 2900  | —   | —                                   | —                                    |
|                   | Рух . . . . .                               | 13,0 · 10 <sup>5</sup>    | —                         | 0,33  | 1000                              | 2000 ÷ 2500   | —   | 12 ÷ 38                             | 23 ÷ 56                              |
|                   | Қалай . . . . .                             | 5,5 · 10 <sup>5</sup>     | 2,0 · 10 <sup>5</sup>     | 0,33  | 400                               | 350   | —   | —                                   | —                                    |
|                   | Латунь . . . . .                            | 9,0 · 10 <sup>5</sup>     | 3,5 · 10 <sup>5</sup>     | 0,33  | 2000                              | 2500  | —   | —                                   | —                                    |
| Табiiй тошлар     | Гранит . . . . .                            | 2,4 · 10 <sup>5</sup>     | —                         | —     | —                                 | 50 ÷ 80   | 900 ÷ 2300  | —                                   | —                                    |
|                   | Базальт . . . . .                           | —                         | —                         | —     | —                                 | 1   | 800 ÷ 4500  | —                                   | —                                    |
|                   | Оҳактош . . . . .                           | 1,9 · 10 <sup>5</sup>     | —                         | —     | —                                 | 15 ÷ 60   | 700 ÷ 2500  | —                                   | —                                    |
|                   | Кумтош . . . . .                            | 0,63 · 10 <sup>5</sup>    | —                         | —     | —                                 | 25  | 200 ÷ 2200  | —                                   | —                                    |
| Мармар . . . . .  | 2,6 · 10 <sup>5</sup>                       | —                         | —                         | —     | 20 ÷ 60                           | 500 ÷ 1500  | —   | —                                   |                                      |
| Ёғоч              | Дуб . . . . .                               | 1,75 · 10 <sup>5</sup>    | —                         | —     | —                                 | 1300  | 300   | —                                   | —                                    |
|                   | Қора қарағай . . . . .                      | 1,05 · 10 <sup>5</sup>    | —                         | —     | 200                               | 1000  | 350   | —                                   | —                                    |
|                   | Қарағай . . . . .                           | 0,95 · 10 <sup>5</sup>    | —                         | —     | —                                 | 750   | 250   | —                                   | —                                    |
| Бошқа материаллар | Шинша . . . . .                             | 7,0 · 10 <sup>5</sup>     | 2,7 · 10 <sup>5</sup>     | 0,3   | 250 ÷ 320                         | 350 ÷ 900   | 6000 ÷ 1200   | —                                   | —                                    |
|                   | Чарм тасма . . . . .                        | 1200 ÷ 2200               | —                         | —     | —                                 | 250 ÷ 350   | —   | —                                   | —                                    |
|                   | Каучук . . . . .                            | 2 ÷ 80                    | —                         | —     | 150 ÷ 300                         | 500 ÷ 1200  | —   | —                                   | —                                    |

тик материаллар кучланиш тўпламига чидамлироқдир; чунки ундаги максимал кучланиш  $\sigma_t$  оқиш чегарасига тегишли қийматга эришганда, бу кучланиш таъсир қилувчи элементларда деформация ўзича ўсиб, қўшимча кучланиш талаб қилмайди. Чўзувчи кучнинг орттирилишидан ҳосил бўладиган қўшимча кучланиш қўшни элементларда кўпайиб, уларда оқиш процесси бошланганда, кучланиш кесимнинг кейинги элементларига ўтади. Ниҳоят, қўйилган куч орттирилган сари, бутун кесим бўйича кучланиш тенглашиб, оқиш чегарасидаги кучланишга барабар бўлиб қолади (49-шакл *a, б, в, г*). Пластик материалларнинг оқиш чегарасида узилмаслиги маълум.



49- шакл.

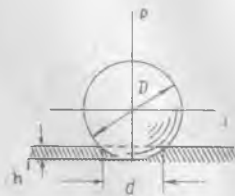
Шундай қилиб, мўрт материаллар кучланиш тўпламига жуда ҳам сезгирдир, пластик материаллар учун эса кучланиш тўпланининг аҳамияти катта эмас.

Кўпинча, конструкция ва машина элементларини монтаж қилишда ёки тиклашда, уларнинг эгрилигини бир қадар тўғрилаш ёки уларни бир оз букиш керак бўлади. Мўрт материалларни бундай қилиш хавфлидир. Чунки болға зарбидан мўрт материаллар дарҳол синади. Аксинча, пластик материаллар катта деформацияланиш қобилиятига эга бўлганидан, бир оз тўғриланганда ёки букилганда болға зарбига бардош беради.

Демак, мўрт материаллар сиқилиш ва чўзилишга бир хилда қаршилиқ кўрсатмайди, зарбали кучлар таъсирига бардош бера олмайди, кучланиш тўпламига жуда сезгир бўлади. Шунинг учун ҳам мўрт материалларни ишлатиш жуда чекланган. Пластик материаллар бу камчиликлардан холи бўлгани учун улардан машина ва конструкция элементлари тайёрлашда кенг қўламда фойдаланилади.

### 19- §. Қаттиқлик

Материалларнинг механик сифатини аниқлаш учун синов машиналари ва тегишли намуналар бўлиши зарурлиги бизга маълум. Аммо қимматбаҳо синов машиналарининг ҳамиша ҳам мавжуд бўлмаслиги, тегишли намуналарни тайёрлаш имкониятининг чекланганлиги материалларнинг механик сифатини тез аниқлашнинг бошқа усулларини ҳам вужудга келтирди. Бу усуллардан энг қулайи материалларнинг механик сифатини қаттиқлиги асосида аниқлашдир.



50- чизма.

Материалнинг қаттиқлиги унга жуда қаттиқ бошқа бир материалнинг ботиш чуқурлиги билан ўлчанади. Қаттиқликни синаш усулларидан энг кўп қўлланиладигани Бринель томонидан тавсия этилган усул бўлиб, бу усул жуда қаттиқ пўлатдан ишланган шарчани қаттиқлиги синалаётган материал намунасига босишдан иборатдир (50-шакл). Шарчага қўйилган куч олингандан кейин, намуна сиртида шарчанинг изи қолади. Бу из шарча сегменти бўлади. Шарчага қўйилган босувчи кучнинг мазкур сегмент юзига нисбати Бринель

бўйича қаттиқлик сони дейилади. Шарчанинг диаметри  $D$ , шарча сегменти диаметри  $d$ , унинг чуқурлигини  $h$  ва босувчи кучни  $P$  деб белгиласак, Бринель бўйича қаттиқлик сони

$$H_B = \frac{P}{\pi D h} = \frac{2P}{\pi D(D - \sqrt{D^2 - d^2})} \quad (19.1)$$

формуладан аниқланади. Демак, Бринель бўйича қаттиқлик ҳам  $H_B$  мм<sup>2</sup> ҳисобида ўлчанар экан. Юмшоқ пулат учун бу сон  $H_B = 100 - 200$  кг/мм<sup>2</sup>, тобланган қаттиқ пулат учун  $H_B = 400 - 850$  кг/мм<sup>2</sup> гача етиши мумкин. Пулат учун, узилишдаги мустақамлик чегараси ( $\sigma_b$ ) билан Бринель сони орасида қуйидаги эмпирик муносабат белгиланган:

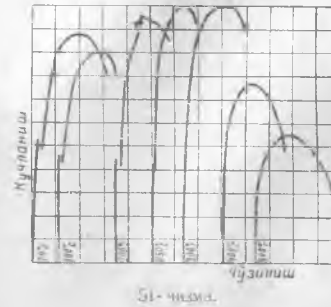
$$\sigma_b \approx 0,36 H_B. \quad (19.2)$$

Бинобарин, пулатнинг мустақамлигини билиш учун уни узилишга синаб ўтирмасдан, қаттиқлигини аниқлаш билан кифояланса бўлади. Бу усулдан тажрибада кул фойдаланилади. (19.2) эмпирик муносабатнинг аниқлиги 10% чегарасидадир.

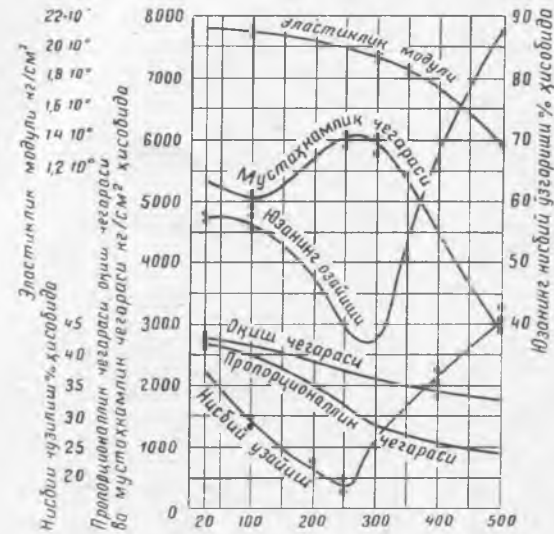
Материалларнинг қаттиқлиги Роквелл ва Виккерс усуллари билан ҳам аниқланади. Роквелл усули олмос конусни ёки жуда қаттиқ пулатдан тайёрланган шарчани синалаётган материал намунасига босишдан иборат. Синалаётган материалнинг қаттиқлиги шу конуснинг ёки шарчанинг намунага ботиш чуқурлиги билан ўлчанади. Виккерс усули олмос пирамидани намунага босишдан иборат. Намунага таъсир эттирилган кучнинг шу намунада қолдирилган ромб изининг юзига нисбати қаттиқликни билдирадиган сондир. Роквелл усулида қаттиқликни характерловчи сон мм ҳисобида ўлчанади. Виккерс билан Бринель усулларида эса бу сон кучланиш ўлчови кг/мм<sup>2</sup> билан ифодаланади. Аммо қаттиқликнинг қандай усулда ўлчанишидан қатъи назар, турли ўлчовларда ифодаланган сонларни махсус жадваллардан фойдаланиб бир-бирига таққослаш мумкин.

## 20-§. Материалнинг механик хоссаларига температуранинг таъсири

Қозон трубалари, химиявий машиналарнинг, хусусан реактив двигателларнинг айрим деталлари жуда юқори, масалан, 500°C га етадиган температурада ишлайди. Реактив самолётларнинг двигателларида температура ҳатто 1000°C гача боради. Шу сабабли, юқори температура шароитида ишлайдиган металлларнинг механик хусусиятларини текшириш катта аҳамиятга эга. 51-шаклда углеродли пулатнинг ҳар хил температуралардаги чузилиш диаграммалари келтирилган. Бу диаграммалардан кўрамизки, температура 300 С га етганда оқиш юзачаси мутлақо йўқолиб, диаграмма мис, алюминий диаграммаларига ўхшаб қолган. Температура 400 С дан ошганда, диаграмманинг тўғри чиқиқли участкаси йўқолиб, синнов оқибати, асосан, чузилиш тезлигига боғлиқ бўлиб қолади. Қуйилган юкнинг қиймати бир хил сақланганда, деформация вақт ўтиши билан ўсади. Бу ҳолда металл ўзича чузилади. Температура 600°C дан ошганда, пулатнинг деформацияга қаршилиги жуда озайиб, унинг сиртида интенсив равишда куюнди хосил бўлади.



52-шаклда температура кўтарилиши билан оқиш чегараси, мустаҳкамлик чегараси ва бошқаларнинг ўзгариши тасвирланган. Бу графикдан кўрамизки, температура 250—300°C га етганда, мустаҳкамлик чегараси энг катта қийматга эришади, нисбий чўзилиш эса озаяди. Температура 400°C дан ошадиган бўлса, углеродли пўлат ишлатиш тавсия этилмайди. Бундай температурада углеродли пўлатнинг мустаҳкамлиги жуда паст бўлади. Юқори температура



52-чизма.

шароитида иссиққа чидамли махсус пўлат ишлатиш керак. Махсус пўлатлар жумласига никелли, хромли, ванадийли ва бошқа пўлатлар киради, бундай пўлатлар легирилган пўлат дейилади. Бундай пўлатлар юқори температурада ҳам механик хоссаларини у қадар йўқотмай, қаршилиқ кўрсата олади.

Температура кўтарилган сари эластиклик модули камайиб температура 500°C га борганда,  $E$  тахминан 30% озаяди. Пуассон коэффициенти эса 0,5 га яқинлашади 52-шаклда эластиклик модулининг температура кўтарилиши билан ўзгариши тасвирланган.

#### 21-§. Кейинги таъсир ва ўзича чўзилувчанлиги

Юқори температурада металлга қўйилган юк ўсмаса ҳам вақт ўтиши билан ундаги деформация ўсиб, металл ўзича чўзилади, деган эдик. Бундай ҳодиса органик материалларда нормал температурада ҳам рўй беради ва кейинги таъсир дейилади. Мазкур процесснинг ички механизми ва ташқи рўй бериши турли материаллар учун турличадир. Бу ҳодисанинг етарли даражада текширилган типик кўринишлари куйидагилардир:

а. Эластикликнинг кейинги таъсири. Резина, ипак толасида (умуман, толали материалларда) ва шулар каби бир қанча материалларда рўй беради-

ган эластикликнинг кейинги таъсири қуйидагидан иборат: юк қўйилган намунадаги  $\sigma$  кучланиш унга бирданига  $\epsilon = \frac{\sigma}{E}$  деформацияни беради, кейин намунага қўйилган юк ўсмаса ҳам, деформацияланиш процесси вақт ўтиши билан давом этаверади. Вақтни абсцисса ўқи бўйлаб, деформацияни ордината ўқи бўйлаб қўйсақ, 53-шаклда тасвирланган график ҳосил бўлади.  $T$  вақт ўтгандан кейин намунадан куч таъсири олинса, у бирданига  $\epsilon_0$  миқдорга қисқаради. Аммо намунанинг қисқариш процесси бу билан тугамайди. Намунадан юк олинган пайтда қолдиқ бўлиб қолган деформация вақт ўтиши билан камайиб, 53-шаклнинг иккинчи қисмида кўрсатилганидек, анча кўп вақт ўтгандан кейин тамом бўлади. Бинобарин, бу эластик деформацияга ўхшайди, аммо эластиклик кечикиб рўй беради.

Эластикликнинг кейинги таъсирини математик жиҳатдан даставвал Максвелл текшириб, бу ҳодисани қуйидаги дифференциал тенглама билан ифодалаган:

$$\frac{d\sigma}{dt} + \lambda\sigma = E \left( \frac{d\epsilon}{dt} + \mu\epsilon \right); \quad (21.1)$$

бу ерда  $\lambda$  ва  $\mu$  — тажриба йўли билан аниқланадиган ўзгармас сонлар.

Биз текшираётган ҳолда қўйилган юк намунада ўзгармас кучланиш ҳосил қилади:  $\sigma = \text{const}$  бўлади. Шунинг учун Максвелл тенгласи бирмунча осонлашади:

$$\frac{d\epsilon}{dt} + \mu\epsilon = E \frac{\lambda}{E} \sigma = \lambda\epsilon_0. \quad (21.2)$$

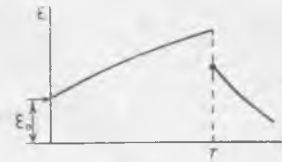
Бу тенглама биринчи тартибли чизиқли дифференциал тенглама бўлиб унинг интегралли

$$\epsilon = \epsilon_0 \left[ 1 + \frac{\lambda}{\mu} (1 - e^{-\mu t}) \right] \quad (21.3)$$

кўринишда ёзилади. Дарҳақиқат, 53-шаклдаги график шу тенгламага мосдир.

**б. Ўзича чўзилувчанлик.** Ўзгармас юк қўйилгандан кейин вақт ўтиши билан намунада ҳосил бўладиган ва намунадан юк олингандан кейин ҳам йўқолмайдиган деформация тўплами *ўзича чўзилувчанлик* дейилади. Намунадан юк олинганда, ундаги эластик деформация йўқолиб, ўзича чўзилиш процессида тўпланган деформация қолади. Шунинг учун ҳам ўзича чўзилувчанликни пластикликнинг кейинги таъсири дейиш мумкин.

Пулатда ўзича чўзилиш процесси температура  $400^\circ\text{C}$  дан ошганда рўй беради. Машинанинг узоқ вақт давомида юкори температура шароитида ишлайдиган қисмларини ҳисоблашда, биринчи навбатда, рухсат этилган кучланишни ўзича чўзилишни ҳисобга олиб аниқланган кучланишга нисбатан танлаш лозим. Ўзича чўзилиш ҳодисаси металлдагина эмас, балки бошқа материалларда (масалан, бетонда) ҳам учрайди. Бетонда ўзича чўзилиш ҳодисаси нормал температурадаёқ рўй беради. Ўзича чўзилувчанлик темир-бетонда кучланишнинг вақт ўтиши билан арматура ва бетон орасида қайта



53-шакл.

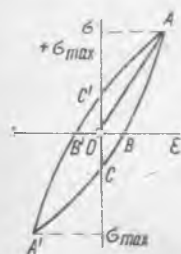
тақсимланишига олиб боради. Арматура кўпроқ кучланиб, бетон бирмунча енгиллашади; аммо темир-бетондан ишланган иншоот элементларининг қаршилиқ кўрсатиш қобилиятига ўзича чўзилувчанлик ҳеч қандай таъсир кўрсатмайди.

## 22-§. Эластик гистерезис

Табиатда идеал эластик материалларнинг учрамаслиги маълум. Пулат ўзининг механик хоссалари жиҳатидан идеал эластик материалга яқинлашса-да, аммо унинг синов вақтидаги деформацияси юқори даража аниқликдаги жуда нозик асбоблар билан ўлчанганда, пулатнинг ҳам мутлақ эластик эмаслигига ишонамиз. Синалаётган намунадан куч таъсири олинганда



54-шакл.



55-шакл.

у ўзининг олдинги ҳолига батамом қайтмайди. Чўянга ўхшаш материаллар чўзилиш ва сиқилишга синалганда, уларда эластиклик хоссаси йўқдек кўринади. Бундай материаллар синалганда кучланиш билан деформация орасидаги муносабатни тасвирловчи диаграмма намунага юк қўйилганда ҳам, намунадан юк олганида ҳам эгри чизиқ билан тасвирланади. Масалан, синалаётган намунага маълум  $\sigma_{\max}$  кучланиш ҳосил бўлгунча юк таъсир эттириб (бу ҳолат 54-шаклда A билан белгиланган), кейин юк таъсири тамоман олинса, у  $ABC$  чизиғи билан қайтади. Намунага яна юк қўйилса, у энди  $CDE$  чизиғи билан кўтарилади. Ниҳоят, юкклаш процессини тасвирловчи эгри чизиқ билан юкдан бўшатиш процессини тасвирловчи эгри чизиқ  $ABCD$  сиртмоғини ҳосил қилади. Бу сиртмоқнинг юзи шаклда штрихлаб қўйилган. Штрихланган бу юз чўзилиш учун сарфланган ишнинг бир қисмини ифодалайди. Бу иш синалаётган намунанинг деформацияланиши натижасида вужудга келадиган ички ишқаланишларни енгиллашга ёки синалаётган намунани иситишга сарфланади.

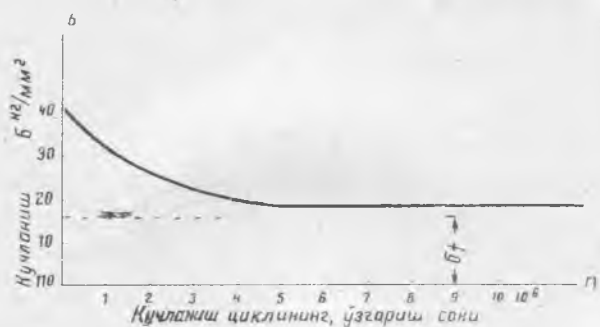
Намунадан юк таъсири олиниб, унга яна юк таъсир эттирилса, деформация кучланишга қараганда бирмунча орқада қолаётгани 54-шаклдан кўришиб турибди. Шунинг билан бирга, намунага юк қўйилиб, сўнг ундан юк олинса, намунада тўпланган деформация потенциал энергиясининг бир қисми (54-шаклда штрихланган  $ABCD$  юзи) тамоман йўқолади. Йўқолган бу энергия ҳам жисмнинг эластиклик хоссасини характерлайди.

Намунага юк таъсир эттирилиб, сўнг ундан юк таъсири олинганда деформациянинг кучланишга қараганда орқада қолиши ва бу процессда маълум миқдор энергия йўқотилиши жисмнинг эластиклик хоссаси бўлиб, у эластик гистерезис дейилади.

Намунани синашда, намунага  $+\sigma_{\max}$  га қадар юк таъсир эттириб, кейин бу юк олинса-ю, яна  $-\sigma_{\max}$  кучланишгача юк қўйилиб, сўнг яна  $+\sigma_{\max}$  гача юк таъсир эттирилса, диаграммада ёпиқ сиртмоқ шаклидаги  $OABCA'A$  (55-шакл) ҳосил бўлади. Бу шакл тўла бир циклни тасвирлайди  $\sigma_{\max}$  қанча катта бўлса, бу шаклнинг юзи ва, демак, йўқотилган иш миқдори шунча кўп бўлади.

## 23-§. Толиқиш ва толиқиш натижасида материалнинг емирилиши

Юқорида тасвирланган ҳодисаларнинг ҳэммаси материалнинг статик куч таъсирига нисбатан ўзини тутишига оиддир. Аммо шундай ҳоллар учрайдики, материал миқдор ва йўналишини систематик равишда ўзгартирувчи юк таъсирида бўлади. Материалнинг бу тарздаги юк таъсирига қаршилиқ кўрсатиши статик равишда қўйилган юк таъсирига қаршилиқ кўрсатишидан бошқача бўлади. Пулат стерженга йўналишини жуда тез ўзгартирувчи куч анча вақт давомида таъсир эттирилса (пулат кўп марта чўзиб сиқилса), кучланиш ишорасининг ўзгариш сони маълум миқдорга етганда стержень ичининг бирор жойи дарз кетади. Кейин стержень мустаҳкамлик чегарасидан анча пастки кучланишдаёқ емирилади. Ишорасини ўзгартирувчи кучланиш таъсиридан ҳатто пластик материаллар ҳам, мўрт материаллар каби жуда



56-шакл.

оз қолдиқ деформацияда емирилади. Ўзгарувчан кучланиш таъсиридан материалларнинг емирилиши уларнинг чидамлиги дейилади. Ҳар бир материал учун шундай бир  $\sigma$  кучланиш белгилаш мумкинки, бу кучланишда, юқорида айтилган кучланишнинг ўзгариш сони ҳар қанча бўлса ҳам, материалда толиқиш рўй бермайди. Бу кучланиш  $\sigma_f$  билан белгиланади ва *чидаш чегараси* дейилади. Материалда ҳосил бўладиган кучланишнинг қиймати шу чидаш чегарасига оид кучланишга эришгунча, ўзгариш сони ҳар қанча бўлса ҳам, материал чидайди. Демак, ўзгарувчи юк таъсиридаги жисм учун, янги механик характеристика сифатида чидаш чегараси қабул қилинди. Бу характеристика материалнинг ўзгарувчи юк таъсирига қаршилиқ кўрсатиш қобилиятини аниқлайди. 56-шаклда ишоранинг ўзгариш сони билан кучланиш орасидаги муносабат график тарзида тасвирланган. Бу график учун чидаш чегараси  $\sigma_f$  асимптота бўлади. Чидамсизлик натижасидаги емирилиш мустаҳкамлик чегарасидан бирмунча пастки кучланишда рўй беради. Шунинг учун ҳам чидаш чегарасига тегишли кучланиш эластиклик чегарасидаги кучланишдан пастдир. Масалан, 0,15% углерод қўшилган пулат учун мустаҳкамлик чегараси  $\sigma_b = 4000 - 5000 \text{ кг/см}^2$ , чидаш чегараси эса  $\sigma_f = 1500 \text{ кг/см}$  дир. Демак, чидаш чегараси мустаҳкамлик чегарасининг тахминан  $\frac{1}{3}$  қисмига тенг.

## IV боб

ЧЎЗИЛИШ ВА СИҚИЛИШГА ОИД БАЪЗИ  
МУРАККАБ МАСАЛАЛАР

## 24-§. Статик аниқмас масалалар

Призматик стерженларнинг чўзилиш ва сиқилишга қаршилиқ кўрсатиши билан боғлиқ бўлган масалаларни ечишда стерженлардаги зўриқишларни статика тенгламаларидан аниқлаш мумкин бўлмаса, бундай масалалар *статик аниқмас* масалалар дейилади. Бу хилдаги масалаларни ечиш учун стерженларнинг деформацияларини ҳисобга олиш керак бўлади, шунинг учун ҳам аниқланган зўриқишларнинг қиймати, умуман, стерженларнинг ўлчамларига ҳамда эластиклик хоссаларига боғлиқ бўлади. Статик аниқмас масалаларни ечишда қуйидаги схемадан фойдаланиш тавсия этилади:

1. Текширилаётган масаладаги стерженлар системасига қўйилган кучларни ва унинг таркибига кирган қисмларда ёки стерженларда ҳосил бўладиган зўриқишларни белгилаш.

2. Белгиланган бу кучлар системаси учун статика тенгламаларини тузиш.

3. Конструкция қисмларида ҳосил бўладиган деформациялар орасидаги муносабатларни, системанинг геометрик ўзгармаслик шартидан, фойдаланиб аниқлаш. Зотан ҳар қандай конструкция ёки иншоот деформацияланганда, бир-бирига бириктирилган қисмларининг деформациялари ўзаро қатъий бир муносабатда бўлиши зарур. Бу муносабатлар деформация тенгламалари дейилади ва улар статика тенгламаларига қўшимча бўлади. Шунинг учун ҳам бу тенгламалар аксари қўшимча тенгламалар деб аталади.

4. Қўшимча тенгламалар таркибига кирган деформацияларни Гук қонуни ёрдамида тегишли зўриқишлар ёки кучланишлар орқали ифодалаш.

5. Ҳосил бўлган ҳамма тенгламаларни бирликда ечиш.

Статик аниқмас масалалардан бир нечасини мазкур схема бўйича ечамиз.

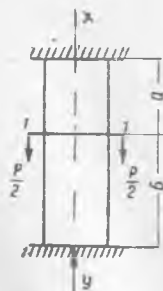
Кундаланг кесим юзи  $F$  бўлган устуннинг юқориги учи шипга, пастки учи полга маҳкамланган бўлиб, юқориги учидан  $a$  масофадаги кесимга (57- шаклда кўрсатилганича)  $P$  куч қўйилган. Устуннинг юқориги ва пастки қисмларидаги зўриқишларни топамиз.

Устун  $I-I$  кесимдаги  $P$  куч ва шип билан полнинг реакциялари таъсирида мувозанатда туради. Устуннинг мувозанат тенгламасини ёзамиз:

$$X + Y = P. \quad (24.1)$$

Бу битта тенгламада иккита номаълум бор. Қўшимча тенглама тузиш учун устуннинг юқориги ва пастки қисмларининг чўзилиш ва сиқилишини  $\Delta a$  ва  $\Delta b$  деб белгилаймиз. Деформация натижасида устуннинг узунлиги ўзгармаслиги лозим. Шунинг учун:

$$\Delta a + \Delta b = 0 \quad (24.2)$$



57- шакл.

булиши керак. Бу тенгламани тегишлича  $X$  ва  $Y$  кучлар орқали ифодалаймиз:

$$\Delta a = \frac{X \cdot a}{EF}, \quad \Delta b = -\frac{Y \cdot b}{EF}.$$

Буларнинг қийматини (24.2) га қўйсақ, қўшимча тенглама қуйидагича бўлади:

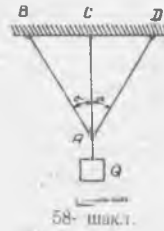
$$Xa - Yb = 0. \quad (24.3)$$

(24.1) ва (24.3) тенгламалардан номаълум зўриқишларнинг қийматини аниқлаймиз:

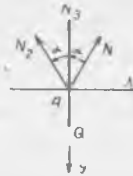
$$X = \frac{a}{a+b} P, \quad Y = \frac{b}{a+b} P.$$

Энди, шу схема асосида мураккаброқ масалаларни ечишга утамиз.

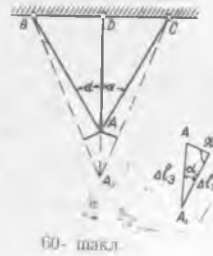
58-шаклда кўрсатилган стерженлар системаси  $A$  шарнирга осилган  $Q$  юк таъсирида туради. Четдаги стерженлар пулатдан ясалган ва иккаласи бир хил: узунлиги  $l_1$ , рухсат этилган кучланиши  $[\sigma_1]$  бўлсин. Ўртадаги стержень мисдан ясалган, унинг узунлиги  $l_3$ , рухсат этилган кучланиши  $[\sigma_m]$  бўлсин. Мазкур стерженларнинг мустаҳкамлигини таъмин этувчи кўндаланг кесим юзларини аниқлаймиз.



58-шакл.



59-шакл.



60-шакл.

Стерженлар  $A$ ,  $B$ ,  $C$  ва  $D$  нуқталарида шарнирлар воситаси билан туташтирилгани учун уларда фақат ўқи бўйлаб йўналган зўриқишлар ҳосил бўлиши мумкин. Бу зўриқишларни ҳузувчи зўриқишлар деб ҳисоблаймиз. Уларни аниқлаш учун  $A$  шарнирнинг мувозанатини текшираемиз. Шарнирга таъсир этувчи кучлар ва координата ўқларининг йўналиши 59-шаклда кўрсатилган. Бу  $A$  нуқтага қўйилган 4 та куч учун статикадан иккита тенглама тузишимиз мумкин:

$$\Sigma X = 0; \quad N_1 \sin \alpha - N_2 \sin \alpha = 0, \quad \Sigma Y = 0; \quad Q - N_3 - N_1 \cos \alpha - N_2 \cos \alpha = 0.$$

Бу тенгламаларнинг биринчисидан:  $N_1 = N_2$  бўлади; буни кўзда тутиб, иккинчисини қуйидагича ёзишимиз мумкин:

$$N_3 + 2N_1 \cos \alpha = Q.$$

Бу битта тенгламада иккита номаълум бор. Қўшимча тенгламани текширишга қараганда конструкция элементларидаги деформацияларни эътиборга олиб тузамиз.  $Q$  юк таъсирида  $A$  нуқта пасайиб, учала стержень ҳам чўзилади. Четдаги стерженларнинг материали, кўндаланг кесим юзи ва узунлиги бир хил бўлгани учун,  $\Delta l_1$  ва  $\Delta l_2$  чўзилишлар ҳам бир хил бўлади. Шунинг учун  $A$  нуқта вертикал йўналишда кўчади. Учинчи стерженнинг чўзилишини  $\Delta l_3$  деб белгилаймиз.  $A$  нуқтанинг янги ҳолати  $A_1$  бўлсин. 60-шаклда пунктирли чизиқ билан системанинг янги ҳолати кўрсатилган. Шаклдан

$\Delta l_1 = \Delta l_2$  билан  $\Delta l_3$  орасидаги муносабатни топамиз:

$$\Delta l_1 = \Delta l_3 \cos \alpha. \quad (24.5)$$

Энди,  $\Delta l_1$  ва  $\Delta l_3$  ни  $N_1$  ва  $N_3$  орқали ифодалаймиз. Аммо бу ерда стерженларнинг кўндаланг кесим юзи номаълум. Статик аниқмас масалаларни ечишда кўндаланг кесим юзи олдиндан берилган, деб фараз қилинади. Кўндаланг кесим юзлари  $F_1$  ва  $F_3$ , эластиклик модуллари эса тегишлича  $E_c$  ва  $E_m$  бўлсин. У ҳолда:

$$\Delta l_1 = \frac{N_1 l_1}{E_c F_1}, \quad \Delta l_3 = \frac{N_3 l_3}{E_m F_3}. \quad (24.6)$$

Буларнинг қийматини (24.5) га қўйсақ,

$$\frac{N_1 l_1}{E_c F_1} = \frac{N_3 l_3}{E_m F_3} \cos \alpha \quad (24.7)$$

келиб чиқади. 60- шаклдаги  $ABC$  учбурчакдан  $l_3$  ни аниқлаймиз:

$$l_3 = l_1 \cos \alpha.$$

Буни (24.7) га қўйсақ, қуйидаги тенгламани оламиз:

$$N_1 = N_3 \frac{E_c F_2}{E_m F_3} \cos^2 \alpha. \quad (24.8)$$

Бу қўшимча тенгламани статика тенгламаси (24.4) билан бирга ечамиз:

$$N_3 = \frac{Q}{1 + 2 \frac{E_c F_1}{E_m F_3} \cos^2 \alpha}, \quad (24.9) \quad N_1 = \frac{Q \frac{E_c F_1}{E_m F_3} \cos^2 \alpha}{1 + 2 \frac{E_c F_1}{E_m F_3} \cos^2 \alpha}. \quad (24.10)$$

Бу формулалардан  $N_1$  ва  $N_3$  зўриқишлар, кўндаланг кесим юзи билан эластиклик модулининг абсолют қийматига эмас, балки уларнинг нисбатига боғлиқ эканлигини кўраётимиз.

$\frac{F_1}{F_3} = n$  нисбатнинг турли қийматлари учун  $N_1$  ва  $N_3$  ning ҳар хил комбинацияларини оламиз. Бу зўриқиш ва маълум рухсат этилган кучланишлар воситаси билан кўндаланг кесим юзлари  $F_1$  ва  $F_3$  ни ҳисоблаш осон:

$$F_1 \geq \frac{N_1}{[\sigma_c]}, \quad F_3 \geq \frac{N_3}{[\sigma_m]}. \quad (24.11)$$

(24.11) ning биринчисидан  $F_1$  ни аниқлаб,  $F_3$  ning қийматини  $\frac{F_1}{F_3} = n$  дан топамиз. Бу қиймат (24.11) тенгламанинг иккинчи қисмини қаноатлантириши лозим. Агар қаноатлантирмаса, олдин  $F_3$  ни (24.11) ning иккинчисидан аниқлаб,  $F_1$  ни  $F_1 = n F_3$  тенгликдан топиш керак.

Бинобарин, маълум куч таъсиридаги статик аниқмас система стерженларида ҳосил бўладиган зўриқишларни кўп вариантларда ўзгартириш мумкин.

#### 25-§. Айрим қисмларнинг аниқ тайёрланмаслиги натижасида конструкция элементларида ҳосил бўладиган зўриқишлар

Турли иншоотлар, машина ва ҳар хил конструкциялар қуришда, уларнинг қисмларини мутлақо аниқ ўлчамли қилиб тайёрлаш қийин бўлади. Статик аниқ системаларда, бирорта қисмининг керагидан узунроқ ёки қисқароқ бўлиши система таркибидаги стерженларда ҳеч қандай қўшимча зў-

риқишлар ҳосил қилмайди. Аммо статик аниқмас системаларда, система таркибидаги стерженлардан бирортаси узун ёки қисқа тайёрланган бўлса, бунинг натижасида мазкур қисмдагина эмас, балки у билан боғланган бошқа қисмларда ҳам қўшимча зўриқишлар ҳосил бўлади. Масалан, 61- шаклда тасвирланган статик аниқмас конструкциянинг ўртадаги стержени  $\delta$  миқдорга калтароқ қилиб тайёрланган бўлсин:  $A_0A = \delta$ . Ўрта стержень учи  $A_0$  ни четдаги стерженларнинг учи билан бирор  $A_1$  нуқтада туташтириш учун, ўрта стерженни  $A_0A_1 = \Delta l_3$  га чўзиб, четдаги стерженларни  $\Delta l_1 = AB_2 = AC_2$  га сиқиш зарур. Шаклдан:

$$A_0A = A_0A_1 + A_1A$$

ёки

$$\delta = \Delta l_3 + \frac{\Delta l_1}{\cos \alpha} \quad (25.1)$$

Ўртадаги стержень чўзилиб, четдаги стерженлар сиқилгани учун, олдинги параграфдаги (24.4) тенглама қуйидагича ёзилади:

$$N_3 - 2N_1 \cos \alpha = 0. \quad (25.2)$$

$\Delta l_1$  билан  $\Delta l_3$  нинг қийматини (24.6) дан (25.1) га қўйсак, қўшимча тенгламани ҳосил қиламиз:

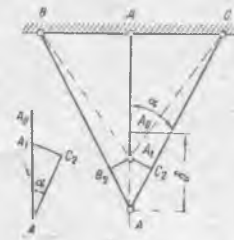
$$\delta = \frac{N_3 l_3}{E_m F_3} + \frac{N_1 l_1}{E_c F_1 \cos \alpha} \quad (25.3)$$

(25.2) ва (25.3) тенгламаларни бирга ечиб,  $N_3$  билан  $N_1$  учун қуйидаги ифодаларни ҳосил қиламиз:

$$N_3 = \frac{E_m F_3 \delta}{l_3 \left[ 1 + \frac{E_m F_3}{2E_c F_1 \cos^2 \alpha} \right]}, \quad N_1 = \frac{N_3}{2 \cos \alpha} \quad (25.4)$$

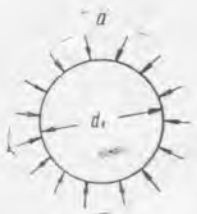
Ўрта стерженнинг узунлиги аниқланганда,  $l_3 - \delta$  ўрнига  $l_3$  олинди, чунки  $l_3$  га қараганда  $\delta$  жуда ҳам кичик сондир. Чиққан натижадан, конструкция қисмларининг аниқ тайёрланмаганлиги сабабли, уларда қўшимча зўриқишлар ҳосил бўлганлигини кўрамиз. Учала стерженнинг материаллари ҳам, бикрлиги ҳам бир хил, бундан ташқари,  $Q$  юк 58- шаклда кўрсатилганидек қўйилган, деб фараз қилайлик. У ҳолда ўрта стерженнинг қисқалиги бу стерженда қўшимча зўриқиш ҳосил қилади. Агар ўрта стержень зарур ўлчамдан бир оз узунроқ қилиб тайёрланган бўлса, бу стержень қўшни стерженларда қўшимча сиқувчи зўриқиш ҳосил қилиб, уларни қўйилган юкдан ҳосил бўладиган зўриқишдан бирмунча бўшатади. Бу ҳолда, статик аниқмас системадаги бирор қисмнинг ўлчами мувофиқлашмаганлиги конструкция элементларидаги зўриқишларни бирмунча бўшатиб, шунинг билан бирга, унинг ишини яхшилаш учун фойда беради. Система қисми ўлчамининг аниқмаслиги натижасида ҳосил бўладиган қўшимча зўриқишларнинг фойдали бўладиган ҳоли учун яна бир мисол келтирамиз.

Цилиндрик стерженга ҳалқани кўзгалмас қилиб кийгизиш учун, цилиндрнинг диаметри ( $d_1$ ) ҳалқанинг ички диаметри ( $d_2$ ) дан каттароқ қилиб олинади (62- шакл, а ва б). Одатда, бу фарқ  $\frac{d_1}{n} \approx \frac{d_1}{1000}$  бўлади. Ҳалқани цилиндрга кийгизиш учун, ҳалқа цилиндрга сиғадиган даражада қиздири-

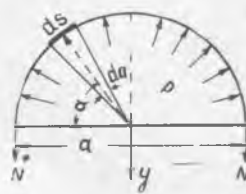


61- шакл.

лади. Ҳалқа совиган сари цилиндрни сиқа бошлайди. Ҳалқанинг совииши натижасида ҳосил бўладиган чўзувчи зўриқиш ( $N$ ) цилиндр билан ҳалқа сиртлари орасида  $p$  реакция кучини ҳосил қилади. Ҳалқани диаметрал текислик билан кесиб, бир қисмини ташлаб юборсак (63- шакл), ундаги  $N$  чўзувчи зўриқиш ҳалқа ички сиртига таъсир қилувчи  $p$  босим йиғиндис



62- шакл.



63- шакл.

билан мувозанатлашади. Барча кучларнинг  $Y$  ўқиға проекцияларини олиб, мувозанат тенгласини тузамиз. Ҳалқанинг  $ds$  элементиға  $pds$  босим таъсир қилади. Унинг  $Y$  ўқидаги проекцияси —  $pds \sin \alpha = -p \frac{d}{2} \sin \alpha d\alpha$  бўлади, чунки:  $ds = \frac{d}{2} d\alpha$ . Мувозанат шarti қуйидагича ёзилади:

$$2N - \int_0^{\pi} p \frac{d}{2} \sin \alpha d\alpha = 0.$$

Бундан:

$$N = \frac{pd}{2} \text{ ёки } p = \frac{2N}{d} \quad (25.5)$$

келиб чиқади.

$N$  ва  $p$  ни аниқлаш учун битта тенглама олдик. Бинобарин, масала статик аниқмас экан. Қўшимча тенгламани конструкция элементларининг биргаликда деформацияланиш шартидан тузамиз. Ҳалқанинг чўзилиши ва цилиндрнинг диаметрал сиқилиши натижасида  $d_1$  билан  $d_2$  нинг фарқи йўқолиши керак. Цилиндрнинг бикрлиги узукнинг бикрлигига қараганда жуда ҳам катта бўлгани учун, унинг деформациясини ҳисобга олмаса ҳам бўлади. У ҳолда ҳалқанинг деформацияси диаметрларнинг фарқиға, яъни  $\frac{1}{n}$  га тенгдир, чунки ҳалқанинг нисбий кенгайиши:

$$\epsilon = \frac{\pi d_1 - \pi d_2}{\pi d_2} = \frac{d_1 - d_2}{d_2}, \quad d_1 = d_2 + \frac{d_2}{n}.$$

Шунинг учун:  $\epsilon = \frac{1}{n}$ ; ҳалқанинг  $N$  куч таъсиридан нисбий чўзилиши эса  $\epsilon_N = \frac{\sigma}{E} = \frac{N}{EF}$  бўлади; бунда  $F$  — ҳалқанинг кундаланг кесим юзи. Конструкция элементларининг биргаликда деформацияланиш шартига мувофиқ  $\epsilon = \epsilon_N$  бўлади. Ёки:

$$\frac{N}{EF} = \frac{1}{n} \quad (25.6)$$

(25.5) билан (25.6) тенгламаларни ечиб,  $N$  ва  $p$  ни аниқлаймиз.

$$N = \frac{EF}{n}; \quad p = \frac{2EF}{nd}. \quad (25.7)$$

Ҳалқадаги чўзувчи кучланиш:

$$\sigma = \frac{N}{F} = \frac{E}{n}.$$

Масалан, ҳалқа пўлатдан ясалган бўлса,  $E = 2 \cdot 10^6$  кг/см<sup>2</sup>,

$$\sigma = \frac{E}{n} = \frac{2 \cdot 10^6}{1000} = 2000 \text{ кг/см}^2 \text{ дир.}$$

### 26-§. Температуранинг ўзгаришидан ҳосил бўладиган кучланишлар

Призматик стерженнинг икки учи  $t_1$  температурада маҳкамлаб қўйилган бўлсин (64- шакл). Температура  $t_2$  гача ўзгарганда, стерженда ҳосил бўладиган кучланишни топамиз. Стерженнинг узунлиги  $l$ , қўндаланг кесим юзи  $F$  ва эластиклик модули  $E$  бўлсин.

Стерженнинг температураси  $t_1$  дан  $t_2$  га ўзгарганда стержень чўзилиб,  $A$  ва  $B$  таянчларни ёриб киришга интилади. Бу таянчларнинг қаршилик кучлари (реакциялар) стерженга шаклда кўрсатилгандек таъсир этади. Ана шу реакциялар стерженда сиқилиш зўриқишларини ҳосил қилади. Б. реакцияларни статика



64- шакл.

тенгламаларидан аниқлаб бўлмайди, чунки биргина мувозанат шарти  $A$  ва  $B$  даги реакцияларнинг тенг ва қарама-қаршилигини ифодалайди. Сиқувчи  $P$  кучнинг миқдори номатълумлигича қолавергани учун, масала статик аниқмасдир. Қўшимча тенгламани стерженнинг узунлиги температура ўзгарганда ҳам ўзгармай қолиши шартидан фойдаланиб тузамиз. Стерженнинг учларидан бирортаси эркин бўлганда, температура таъсиридан стержень  $\Delta l_t$  га чўзилган бўлар эди. Аммо  $P$  сиқувчи кучлар стерженни чўзилишга қўймайди, аксинча, узунлиги  $l + \Delta l$  бўладиган стерженни сиқиб, унинг узунлигини  $l$  га тенглигича сақлайди. Демак,  $P$  таъсиридан стержень  $\Delta l_p = \Delta l_t$  га сиқилар экан.

Ана шу шартдан фойдаланиб,  $P$  ни аниқлаш учун қўшимча тенгламани ҳосил қиламиз:

$$\Delta l_p = \frac{Pl}{EF}, \quad \Delta l_t = \alpha l (t_2 - t_1).$$

Бунда  $\alpha$  — стерженнинг температура таъсиридан чизиқли кенгайиш коэффициентини;

$$\frac{Pl}{EF} = \alpha l (t_2 - t_1),$$

бундан:

$$P = \alpha EF (t_2 - t_1). \quad (26.1)$$

Температура таъсиридан ҳосил бўлган кучланиш:

$$\sigma = \frac{P}{F} = \alpha E (t_2 - t_1).$$

Кўрамикки, бу кучланиш стерженнинг механик характеристикаси  $\alpha$  ва  $E$  га ҳамда температуранинг ўзгаришига боғлиқ экан.

**27- §. Статик аниқмас системаларни руҳсат этилган юкка мувофиқ ҳисоблаш**

Яқин вақтларгача статик аниқмас системаларнинг мустаҳкамлиги

$$\sigma_{\max} \leq [\sigma] \quad (27.1)$$

шарт асосида амалга оширилар эди. Кейинги текширишлар бу ҳол статик аниқ системалар учун мустаҳкамлик коэффициентини ўзгартмаса ҳам статик аниқмас системалар учун мустаҳкамлик коэффициентини ошириб, конструкциянинг қаршилик кўрсатиш қобилиятидан тўла фойдаланмасликка олиб боришини кўрсатди. 24- параграфда текширилган стерженлар системасини оламиз. Стерженларнинг бикрлиги бир хил бўлсин. У ҳолда эластиклик чегарасида ечилган масаланинг жавоби қуйидагича бўлади:

$$N_3 = \frac{Q}{1 + 2 \cos^3 \alpha}; \quad N_1 = N_2 = \frac{Q \cos^3 \alpha}{1 + \cos^3 \alpha} \quad (27.2)$$

$N_3 > N_1$  бўлгани учун,  $Q$  юк кўпайтирилганда ўрта стержень оқиш чегара сига чет стерженлардан илгарироқ эришади. Аммо бу билан конструкция стерженларининг қаршилик кўрсатиш қобилияти тугади, деб бўлмайди. Четдаги стерженлар эластик ҳолатда бўлганлигидан, ўртадаги стерженнинг пластик деформацияланишига тўсқинлик қилади. Бинобарин, система олдин эластик даврида бўлиб, унинг стерженларидаги зўриқишлар (27.2) билан ифодаланади. Кейин, системанинг бирорта стерженида пластик деформация бошланиши билан, у эластик-пластик ҳолатга ўтади. Бунда қўйилган юк эластик ҳолатдагидан каттароқ бўлиб, унга тегишли зўриқишлар қуйидагича аниқланади:

$$N_3 = \frac{Q_1}{1 + 2 \cos^3 \alpha} = \sigma_t F \quad \text{ёки} \quad Q_1 = \sigma_t F (1 + 2 \cos^3 \alpha). \quad (27.3)$$

Бу ерда стержень материални идеал пластик деб фараз қилдик. Шунинг учун:

$$N_3 = \sigma_t F$$

бўлади.

Ўрта стержендаги  $N_3$  зўриқиш пластик деформациянинг бошланиш шартидан аниқланиши сабабли, статик тенгламадан  $N_1$  топилади:

$$N_3 + 2N_1 \cos \alpha = Q.$$

Бундан:

$$N_1 = \frac{Q - \sigma_t F}{2 \cos \alpha}. \quad (27.4)$$

Қўйилган юк кўпайтирилган сари, чет стерженларда ҳам пластик деформация ҳосил бўла бошлайди. Ниҳоят, система бутунлай пластик ҳолатга ўтади. Бу ҳолатга тегишли юк системанинг *кўтариш қобилиятига* тўғри келувчи юк дейилади. У  $Q_t$  билан белгиланади. Система кўтариш қобилиятига тегишли юк таъсирида бўлса, унинг четдаги стерженларидаги зўриқиш  $N_1 = \sigma_t F$  бўлади. Буни (27.4) га қўйсақ, системанинг кўтариш қобилиятига тегишли юк  $Q_t$  ни топамиз:

$$Q_t = \sigma_t F (1 + 2 \cos \alpha). \quad (27.5)$$

Конструкциянинг кўтариш қобилияти учун икки хил ифодани ҳосил қилдик. Иккала ҳол учун ҳам мустаҳкамлик коэффициенти  $n$  ни бир хил

қилиб олсак, рухсат этилган кучланиш билан ҳисоблаганимизда қўйилиши мумкин бўлган юк миқдори (27.3) га мувофиқ:

$$Q \leq \frac{\sigma_1 F}{n} (1 + \cos^3 \alpha)$$

булади.

Қутариш қобилиятига мувофиқлаб ҳисоблаганимизда, қўйилиши мумкин бўлган юк:

$$Q \leq \frac{\sigma_1 F}{n} (1 + \cos \alpha)$$

булади.

Қўрамизки, бу ҳолда қўйилиши мумкин бўлган юкнинг қиймати олдингига қараганда бирмунча катта; масалан,  $\alpha = 30^\circ$  бўлса, 19% фарқ қилади.

### МАСАЛАЛАР

12. Темир-бетон устуннинг кундаланг кесим юзаси квадрат бўлиб,  $F = a^2 = 25 \times 25 \text{ см}^2$ , арматуранинг юзаси умумий юзанинг 1% ини ташкил қилади. Устунга сиқувчи  $P = 30 \text{ т}$  куч қўйилган бўлса, бу кучнинг қандай қисмини арматура ва қандай қисмини бетон қабул қилади (65-шакл)? Бетон ва арматурада ҳосил бўладиган кучланишлар ҳам аниқлансин. Эластиклик модулларининг нисбати 10 га тенг ( $\frac{E_c}{E_\sigma} = 10$ ).

Ечиш. Устуннинг бетон қисми кундаланг кесимининг юзани  $F_\sigma$  билан, арматура юзани  $F_c$  билан белгилаймиз, у ҳолда  $F_\sigma + F_c = a^2$  булади, бегок ва арматурадаги зўриқишларни  $P_\sigma$  ва  $P_c$  десак, статика битта тенглама беради:

$$P_\sigma + P_c = P. \quad (1)$$

Бетон ва арматуранинг биргаликда деформацияланиш шартидан иккинчи тенгламани оламиз:

$$\Delta l_\sigma = \Delta l_c \text{ ёки } \frac{P_\sigma l}{E_\sigma F_\sigma} = \frac{P_c l}{E_c F_c} \quad (2)$$

Бу иккала тенгламадан:

$$P_\sigma = \frac{P}{1 + \frac{E_c F_c}{E_\sigma F_\sigma}}, \quad P_c = \frac{P}{1 + \frac{E_\sigma F_\sigma}{E_c F_c}}$$

келиб чиқади.

$$\text{Масала шартига мувофиқ: } \frac{E_c}{E_\sigma} = 10, \quad \frac{F_c}{F_\sigma} = \frac{1}{100}.$$

Шунга кўра  $P_\sigma \approx 27,27 \text{ т}$ ,  $P_c \approx 2,73 \text{ т}$  бўлади.

Кучланишларни ҳисоблаш учун бетон билан арматура юзани  $F_\sigma + F_c = 625 \text{ см}^2$  ва  $F_\sigma = 100 F_c$  тенгламалардан аниқлаймиз,  $F_\sigma = 618,8 \text{ см}^2$  ва  $F_c = 6,2 \text{ см}^2$ .

$$\sigma_\sigma = 44,1 \text{ кг/см}^2, \quad \sigma_c = 440,3 \text{ кг/см}^2.$$

Арматуранинг қаршилик кўрсатиш қобилиятидан 30% фойдаланилмоқда, чунки  $[\sigma_c] = 1250 \text{ кг/см}^2$ .

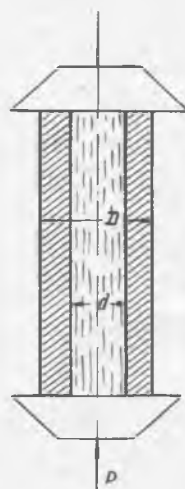
13. 66-шаклда кўрсатилгандек, пресс остида мис труба ва унга жойланган пўлат цилиндр сиқилмоқда. Мис труба билан пўлат цилиндрда ҳосил бўладиган кучланишлар ҳамда нисбий қисқаришлар аниқлансин. Сиқувчи куч  $P = 45 \text{ т}$ ,  $D = 20 \text{ см}$ ,  $d = 10 \text{ см}$ .

Ечиш. Бу масала айнан юқорида чиқарилган масаладек ечилади.  $\sigma_m = 117 \text{ кг/см}^2$ ,  $\sigma_c = 220 \text{ кг/см}$ .

Нисбий сиқилиш:

$$\epsilon = \frac{\sigma_m}{E_m} = 104 \cdot 10^{-4}.$$

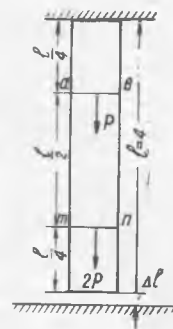




66- шакл.



67- шакл.



68- шакл.

14. Қўндаланг кесим юзи  $25 \times 25$  см ли, калта ёғоч усғун  $40 \times 40 \times 4$  мм ўлчамли тўртта пулаг бурчаклик билан кучайтирилган (67- шакл).  $E_c = 2 \cdot 10^9$  кг/см<sup>2</sup>,  $E_d = 1 \cdot 10^9$  кг/см<sup>2</sup>. Усғун  $P$  куч билан сиқилса, пулаг бурчаклик бу кучнинг қандай қисмини ўзинга қабул қилади?

Бу масала аввалги икки масаладан қатга фарқ қилмайди.

Жавоби:

$$P_c = \frac{P}{1 + \frac{E_d F_d}{4E_c F_c}} \cong 0,3 P.$$

15. Узунлиги  $l = 4$  м, қўндаланг кесим юзи  $F = 16$  см<sup>2</sup> бўлган пулаг стержень юқориги учи билан маҳкамланган, пастки учи билан фундамент ораси  $\delta = 0,1$  см. Стерженьга 68- шаклда курсатилгандек қўйилган  $P$  кучнинг қандай қийматида стержень пастки учининг фундаментга курсатган босими  $q = 300$  кг/см<sup>2</sup> дан ошмайди.

Ечиш. Фундаментнинг реакциясини  $Y$  десак, унинг қиймати  $Y = F q = 4800$  кг бўлади.

Юқориги учининг реакциясини  $X$  десак, статиканинг тенгламаси қуйидагича ёзилади:

$$X + Y = 3P. \quad (1)$$

Деформация тенгламаси қуйидагича бўлади:

$$\frac{Xl}{4EF} + \frac{(X - P)l}{2EF} = \frac{Yl}{4EF} + \delta$$

ёки

$$X = \frac{1}{3} \left( 2P + Y + \frac{4EF}{l} \delta \right). \quad (2)$$

(1) ва (2) тенгламаларни ечиб,  $P$  нинг қийматини топамиз:

$$P = 12,8 \text{ т.}$$

16. Узунлиги  $l_a = 25,004$  см, қўндаланг кесим юзи  $F = 20$  см<sup>2</sup> бўлган алюминий стержень узунлиги  $l_c = 25$  см, қўндаланг кесим юзи  $F = 20$  см<sup>2</sup> бўлган пулаг трубага

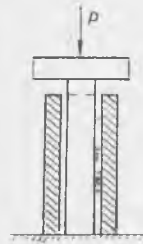
69- шаклда кўрсатилгандек қийғизилган. Пулат труба билан алюминий стерженда бир хил кучланиш ҳосил бўлиши учун, сиқувчи куч қандай бўлиши керак?

$$E_a = 0,7 \cdot 10^6 \text{ кг/см}^2, E_c = 2 \cdot 10^6 \text{ кг/см}^2.$$

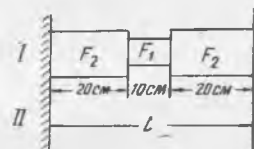
Жавоби:  $P = 6,9 \text{ т}$ .

17. Иккита пулат стерженнинг учлари абсолют қаттиқ деворга маҳкамлаб қўйилган (70- шакл). Стерженлардан бири рихталанган, унинг бу жойдаги кундаланг кесим юзи  $F_1$  иккинчи стерженнинг кундаланг кесим юзига тенг. Биринчи стерженнинг рихталанмаган кесимида ва иккинчи стерженда, температура  $30^\circ$  ўзгарганда, ҳосил бўладиган кучланишлар ҳисоблансин.

$$F_1 = 1 \text{ см}^2; F_2 = 2 \text{ см}^2.$$



69- шакл.



70- шакл.



71- шакл.

Е ч и ш. Биринчи стержень учун мувозанат тенгламаси қуйидагича ёзилади:

$$\sigma_1 F_1 = \sigma_2 F_2; \quad (1)$$

деформация тенгламаси эса:

$$\frac{\sigma_2}{E} 40 + \frac{\sigma_1}{E} 10 = \alpha t 50. \quad (2)$$

Бу тенгламалардан:

$$\sigma_1 = 1250 \frac{\text{кг}}{\text{см}^2}.$$

Иккинчи стержень учун:

$$\sigma_2 = E_\alpha t = 750 \frac{\text{кг}}{\text{см}^2}.$$

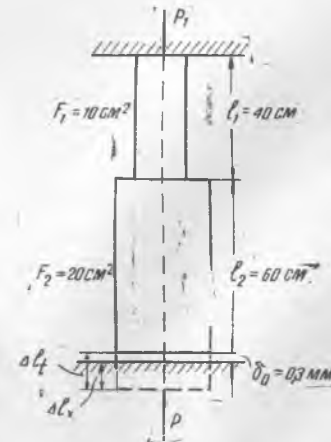
18. Температура  $20^\circ\text{C}$  ўзгарганда 71- шаклда тасвирланган конструкцияда ҳосил бўладиган кучланишлар аниқлансин.

$$E_m = 0,8 \cdot 10^6 \frac{\text{кг}}{\text{см}^2}, \quad E_c = 1 \cdot 10^6 \frac{\text{кг}}{\text{см}^2},$$

$$\alpha_m = 165 \cdot 10^{-7}, \quad \alpha_c = 125 \cdot 10^{-7}.$$

Жавоби:

$$\sigma_m = 197,6 \text{ кг/см}^2, \quad \sigma_c = 123,6 \frac{\text{кг}}{\text{см}^2}.$$



72- шакл.

19. Пулат стержень икки қисмдан иборат бўлиб, бу қисмлардан бирининг узунлиги  $l_1 = 40$  см, иккинчисининг узунлиги  $l_2 = 60$  см. Кундаланг кесим юзлари тенгшилча  $F_1 = 10$  см<sup>2</sup>,  $F_2 = 20$  см<sup>2</sup>. Стерженьнинг юқориги учи маҳкамланган, пастки учи эса таянчга  $\delta = 0,3$  мм етмайди (72- шакл). Температура 50°С га узгарганда ҳар қайси қисмдаги кучланишлар аниқлансин.  $\alpha = 125 \cdot 10^{-7}$ .

Ечиш. Температуранинг узгаршидан стержень  $\Delta l_t$  га узаяди, таянч реакциялари  $P$  таъсирдан  $\Delta l_x$  га сиқилади. Бу икки деформациянинг айирмаси  $\delta$  га тенг бўлиши керак.

$$\Delta l_t - \Delta l_x = \delta \quad (1)$$

$$\Delta l_t = \alpha t (l_1 + l_2), \quad \Delta l_x = \frac{Pl_1}{EF_1} + \frac{Pl_2}{EF_2} = \frac{Pl_1}{EF_1} \left( 1 + \frac{F_1 l_2}{F_2 l_1} \right).$$

Буларни (1) га қўйсақ:

$$P = \frac{[\alpha t (l_1 + l_2) - \delta] EF_1}{l_1 \left( 1 + \frac{E_1 l_2}{E_2 l_1} \right)} = 9300 \text{ кг}$$

келиб чиқади. Юқори қисмдаги кучланиш:

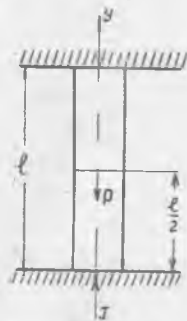
$$\sigma_1 = \frac{P}{F_1} = 930 \frac{\text{кг}}{\text{см}^2},$$

пастки қисмдаги кучланиш эса:

$$\sigma_2 = \frac{P}{F_2} = 465 \frac{\text{кг}}{\text{см}^2}$$

бўлади. Оралик бўлмаганда температура таъсиридаги зуриқиш 1,9 марта ортиқ бўлар эди.

20.  $A$  ва  $B$  учлари маҳкамланган стержень тенг икки қисмдан иборат бўлиб, юқориги қисми пулатдан, пастки қисми эса мисдан ясалган, кундаланг кесим юзи  $F = 20$  см<sup>2</sup> (73- шакл). Стерженьнинг ўртадаги кесимига уқи буйлаб йўналган  $P = 6$  т куч таъсир этади. Температура  $t = 30^\circ$  кутарилганда мис ва пулат қисмларда ҳосил буладиган зуриқишларни аниқлаш керак.



73- шакл.

$$E_c = 2 \cdot 10^6 \frac{\text{кг}}{\text{см}^2}, \quad E_m = 10^6 \frac{\text{кг}}{\text{см}^2}, \quad \alpha_c = 125 \cdot 10^{-7}, \quad \alpha_m = 165 \cdot 10^{-7}.$$

Ечиш. Таянч реакциялари юқорига йўналган деб фараз қилямиз. Статиканинг тенглмаси қуйидагича ёзилади:

$$X + Y = P. \quad (1)$$

Қўшимча тенглamani қуйидаги мулоҳазага мувофиқ тузимиз. Мис ва пулат қисмларнинг температура таъсиридан, юқориги қисмининг эса  $P$  куч таъсирдан чўзилишларининг йиғиндиси  $X$  реакциянинг таъсирдан вужудга келган сиқилишга тенг бўлиши керак:

$$\frac{l}{2} \alpha_c + \frac{l}{2} \alpha_m + \frac{Pl}{2E_c F} = \frac{Xl}{2E_c F} + \frac{Xl}{2E_m F}$$

ёки

$$\frac{l \alpha_c}{2} \left( 1 + \frac{\alpha_m}{\alpha_c} \right) + \frac{P}{2E_c F} = \frac{X}{2E_c F} \left( 1 + \frac{E_c}{E_m} \right) \quad (2)$$

Бундан  $X$  реакцияни ва (1) дан  $Y$  реакцияни толамиз:

$$X = \frac{P}{1 + \frac{E_c}{E_m}} + \frac{l \alpha_c \left( 1 + \frac{\alpha_m}{\alpha_c} \right) E_c F}{1 + \frac{E_c}{E_m}}, \quad Y = P - X = \frac{P \frac{E_c}{E_m}}{1 + \frac{E_c}{E_m}} - \frac{l \alpha_c \left( 1 + \frac{\alpha_m}{\alpha_c} \right) E_c F}{1 + \frac{E_c}{E_m}}.$$

Қўрамизки, иккала реакция ҳам икки қўшилувчидан иборат. Бу қўшилувчиларнинг, бири қўйилган юқдан, иккинчиси эса температуранинг узгаршидан келиб чиқади. Темпера-

туранинг ўзгаришидан сиқувчи кучланиш ҳосил бўлиши бизга маълум.  $P$  таъсирдан эса юқори қисми чўзилиб, пастки қисми сиқилади. Шунинг учун:

$$\sigma_c = \frac{Y}{F} = \frac{P \frac{E_c}{E_m}}{\left(1 + \frac{E_m}{E_c}\right) F} = \frac{\alpha_c t \left(1 + \frac{\alpha_m}{\alpha_c}\right) E_c}{1 + \frac{E_m}{E_c}} = 38 \frac{\text{кг}}{\text{см}^2};$$

$$\sigma_m = \frac{X}{F} = \frac{P}{\left(1 + \frac{E_m}{E_c}\right) F} = \frac{\alpha_c t \left(1 + \frac{\alpha_m}{\alpha_c}\right) E_c}{1 + \frac{E_m}{E_c}} = 680 \frac{\text{кг}}{\text{см}^2}$$

булади.

21. Юқориги учи маҳкамланиб, пастки учи асосдан  $\delta = 0,06$  мм оралиқда бўлган стержень икки қисмдан иборат (74-шакл.) Стерженьнинг юқоридаги қисми пулатдан ва пастки қисми мисдан бўлиб, кўнадаланг кесим юзлари тегишлича  $F_c = 200 \text{ см}^2$  ва  $F_m = 100 \text{ см}^2$  дир:  $a = 0,5$  м;  $b = 0,5$  м;  $C = 1$  м. Қўйилган  $P = 15$  т кучдан ва температура  $t = 20^\circ\text{C}$  га ўзгаришидан стерженьнинг қисмларида ҳосил бўладиган кучланишлар аниқлансин.

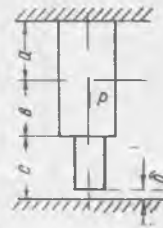
Кўрсатма. Статиканинг тенгламаси бундан олдинги масаладагидек тузилади, яъни  $X + Y = P$ ; деформация тенгламаси эса қуйидагича ёзилади:

$$(a + b)\alpha_c + c\alpha_m + \frac{Xa}{E_c F_c} = \frac{Yb}{E_c F_c} + \frac{Yc}{E_m F_m} + \delta.$$

Бу тенгламалардан  $X$  ва  $Y$  аниқлангандан кейин қисмлардаги кучланишларни ҳисоблаш қийин эмас:

$$\sigma_1 = \frac{X}{F_c} = 82,5 \frac{\text{кг}}{\text{см}^2}, \quad \sigma_2 = \frac{X - P}{F_c} = -157,5 \frac{\text{кг}}{\text{см}^2},$$

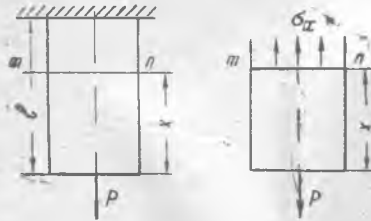
$$\sigma_3 = -\frac{Y}{F_m} = -315 \frac{\text{кг}}{\text{см}^2}.$$



74-шакл.

### 28-§. Хусусий оғирликни эътиборга олиб, кўнадаланг кесимни танлаш

Конструкция элементларининг деформация ва кучланишларини ҳисоблашда, бу деформация ва кучланишларга элементларнинг хусусий оғирлиги кўрсатадиган таъсирни эътиборга олмаган эдик. Аммо, баъзан, конструкция элементларининг хусусий оғирлиги қўйиладиган юк билан бир тартибда бўлиши мумкин. Бундай ҳолларда хусусий оғирликни ҳисобга олмаслик катта хатоларга олиб бориши мумкин.



75-шакл.

Вертикал стержень тепа учи билан осилган, пастки учига эса  $P$  куч қўйилган бўлсин. Стерженьнинг узунлиги  $L$ , кўнадаланг кесим юзи  $F$ , эластиклик модули  $E$  ва солиштира оғирлиги  $\gamma$  бўлсин (75-шакл). Стерженьнинг пастки учидан  $x$  ораликдаги кўнадаланг кесими орқали  $m$  текисликни ўтказиб, пастки қисмининг мувозанатини текшираймиз. Бу қисм пастки учига қўйилган  $P$  кучнинг хусусий оғирлиги

$F \cdot \gamma \cdot x$  ҳамда  $m$  кесим юзаси бўйича теги тарқалган ички кучлар таъсирида мувозанатда туради (75-шакл). Шунинг учун:

$$\sigma_x F = P + F\gamma x;$$

бундан:

$$\sigma_x = \frac{P + F\gamma x}{F} = \frac{P}{F} + \gamma x \quad (28.1)$$

келиб чиқади.

Кўндаланг кесимлардаги нормал кучланишлар бир хил бўлмасдан, унинг ўқи буйлаб, чизиқли қонун билан ўзгарар экан. Энг катта кучланиш осилган жойда,  $x = l$  бўлган кесимда ҳосил бўлади. Ундаги кучланиш:

$$\sigma_{\max} = \frac{P}{F} + l\gamma. \quad (28.2)$$

Мустаҳкамлик шarti юқорида айtilган кесим учун бажарилиши лозим:

$$\sigma_{\max} = \frac{P}{F} + \gamma l \leq [\sigma]. \quad (28.3)$$

Бу тенгламадан мустаҳкамликни таъминловчи юзни топамиз:

$$F \geq \frac{P}{[\sigma] - \gamma l}. \quad (28.4)$$

Кўндаланг кесим юзини аниқловчи формуланинг маҳражи  $\gamma l$  миқдорча камайди. Бунинг амалий жиҳатдан қандай аҳамиятга эга эканини билиш учун иккита ҳолни текшираемиз. Узунлиги  $l = 10$  м бўлган пўлат стерженни оламиз. Унинг учун:

$$[\sigma] = 1400 \text{ кг/см}^2, \quad \gamma l = 7,85 \cdot 10^{-3} \cdot 10^3 = 7,85 \text{ кг/см}^2; \quad \frac{\gamma l}{[\sigma]} = \frac{7,85}{1400}, \text{ яъни } 0,6\%.$$

Демак, пўлат стержень учун хусусий оғирликнинг таъсири 0,6% экан. Баландлиги 10 м ли гиштин устунни оламиз. Унинг учун:  $[\sigma] = 12 \text{ кг/см}^2$ ,

$$\gamma l = 1,8 \cdot 10^{-3} \cdot 10^3 = 1,8 \text{ кг/см}^2; \quad \frac{\gamma l}{[\sigma]} = \frac{1,8}{12}, \text{ яъни } 15\%.$$

Стерженлар жуда узун бўлмаса, уларнинг хусусий оғирлиги ҳисобга олинмаса ҳам бўлади. Аммо тош, гишт каби, мустаҳкамлиги жуда юқори бўлмаган материаллар учун хусусий оғирлик асосий юклар қаторига киради. Юк кўтарадиган узун канатларни, шахта цитанглари, минораларга ўхшаш иншоотларни, кўприк фермалари таянчларини ҳисоблашда хусусий оғирликни албатта эътиборга олиш зарур. Бундай ҳолларда стерженнинг шаклини мувофиқлаб танлаш масаласи катта аҳамиятга эга. Мустаҳкамлик шarti энг кўп кучланиш ҳосил бўладиган кесим учун қаноатлантирилса, бошқа кесимларда материалдан тўла фойдаланмаган бўламиз. Натижада ортиқча материал сарфланади. Шундай шакл топиш қеракки, стерженнинг барча кўндаланг кесимларида кучланиш бир хил бўлиб, у руҳсат этилган кучланишга тенг келсин. Стерженнинг бундай шакли чўзилиш ёки сиқилишга тенг қаршилик кўрсатувчи шакл дейилади. Тенг қаршилик кўрсатувчи шакли стержень минимал оғирликда бўлади.

Тепасига қўйилган сиқувчи  $P$  куч билан хусусий оғирлиги таъсиридан сиқилаётган стерженни оламиз. Асосига яқинлашган сари, унинг кесимларида кучланиш катталаша бормасин учун, кўндаланг кесим юзини ҳам ошириб борамиз (76-шакл). Стержень пастга томон кенгаювчи шаклда бўлади. Кўндаланг кесим юзи ( $F$ ) баландлиқ бўйича ўзгаради ва  $x$  нинг функ-

цияси бўлади:  $F = F(x)$ . Бу функцияни топамиз. Стерженнинг юқори юзи  $F_0$  ни мустақамлик шартидан топамиз:

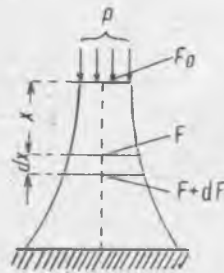
$$F_0 = \frac{P}{[\sigma]}$$

$[\sigma]$  — сиқилиш учун рухсат этилган кучланиш. Стерженнинг барча кесимларидаги кучланишлар рухсат этилган ана шу кучланишга тенг бўлиши керак:

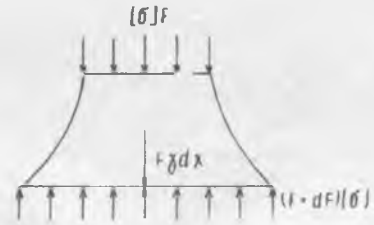
$$\sigma = [\sigma] = \frac{P}{F_0}$$

Стержендан  $x$  ва  $x + dx$  ораликдаги текисликлар билан битта чексиз кичик элемент ажратамиз (77-шакл). Бу элементнинг юқориги юзи  $F$ , унга чексиз яқин пастки юзи эса  $F + dF$  бўлсин. У ҳолда ажратилган элементнинг мувозанат тенгламаси қуйидагича ёзилади:

$$F[\sigma] + F\gamma dx = (F + dF)[\sigma]$$



76-шакл.



77-шакл.

Бундан  $\frac{dF}{F} = \frac{\gamma}{[\sigma]} dx$  тенгламани ҳосил қиламиз.

Бу тенгламанинг интеграл:

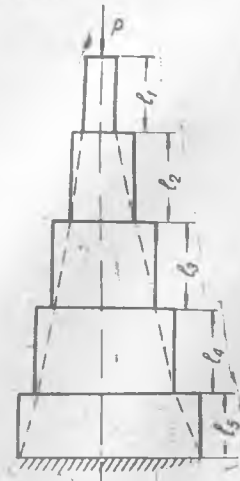
$$\ln F + C = \frac{\gamma}{[\sigma]} x$$

бўлади.

$C$  ни чегара шартидан топамиз,  $x = 0$  бўлганда юз  $F = F_0$  эди. Шунинг учун  $C = -\ln F_0$ , буни юқорида чиқарилган тенгламага қўйсак,  $F$  функцияси учун қуйидаги формулани оламиз:

$$F = F_0 e^{\frac{\gamma x}{[\sigma]}} \quad (28.5)$$

Стерженнинг кўндаланг кесими ана шу шаклда ўзгарадиган қилиб тайёрланса, унинг сирти эгри чизикли бўлиб, бу тарафдаги ишқоот бажарилганда ҳам, у қимматга тушади. Шунинг учун, одатда, бу шакл тақрибий шакл билан алмаш-



78-шакл.

тирилади. Масалан, текис томонли параллеллепедлар устма-уст қўйилиб, поғонали шакл ҳосил қилинади (78- шакл). Ҳар қайси поғонанинг қўндаланг кесим юзи қуйидагича аниқланади. 1- поғонанинг юзи (28.4) дан топилади:

$$F_1 = \frac{P}{[\sigma] - l_1 \gamma}$$

2- поғонанинг юқориги юзасига қўйилган куч  $N = [\sigma]F_1$ , шунинг учун, унинг пастки қисмининг юзи:

$$F_2 = \frac{F_1[\sigma]}{[\sigma] - l_2 \gamma} = \frac{P[\sigma]}{([\sigma] - l_1 \gamma)([\sigma] - l_2 \gamma)}$$

бўлади; 3- поғона учун ҳам худди шу муҳокамани юргизиб,  $F_3$  ни топамиз:

$$F_3 = \frac{F_2[\sigma]}{[\sigma] - l_3 \gamma} = \frac{P[\sigma]^2}{([\sigma] - l_1 \gamma)([\sigma] - l_2 \gamma)([\sigma] - l_3 \gamma)}$$

шунга ўхшаш муҳокама юргизиб,  $n$ - поғонанинг пастки учига тегишли кесим юзи учун қуйидаги умумий формулани ёзишимиз мумкин:

$$F_n = \frac{F_{n-1}[\sigma]}{[\sigma] - l_n \gamma} = \frac{P[\sigma]^{n-1}}{([\sigma] - l_1 \gamma)([\sigma] - l_2 \gamma) \dots ([\sigma] - l_n \gamma)} \quad (28.6)$$

Агар  $l_1 = l_2 = l_3 = \dots = l_n = \frac{L}{n}$  бўлса, (28.6) формулани бундай ёзиш мумкин:

$$F_n = \frac{P}{[\sigma]} \cdot \frac{1}{\left(1 - \frac{L\gamma}{n[\sigma]}\right)^n} \quad (28.7)$$

Поғонали брусларнинг қўндаланг кесим юзларини шу формула билан белгилаш осон. Шунинг ҳам айтиб ўтиш керакки, (28.7) формулани (28.5) осонлик билан чиқариш мумкин.

Тенг қаршилиқ кўрсатувчи шаклнинг поғонали ва ўзгармас кесимли брусларга нисбатан нақадар қулайлигини кўрсатиш учун бир мисол келтирамиз.

22- масала. Баландлиги  $h = 42$  м бўлган таянчга ўқи бўйлаб сиқувчи  $P = 400$  т куч таъсир қилади. Таянч материалнинг солиштирма оғирлиги  $\gamma = 2,2$  т/м<sup>3</sup>, сиқилиш учун рухсат этилган кучланиш  $[\sigma] = 12$  кг/см<sup>2</sup>. Таянчнинг ҳажми қуйидаги уч ҳол учун солиштирилсин:

1. Таянчнинг қўндаланг кесими ўзгармас.
  2. Таянч баландлиги бир хил учта поғонадан иборат.
  3. Таянч сиқилишга тенг қаршилиқ кўрсатувчи шаклда.
- Ечиш. Ҳисобни тонна ва метр ўлчовларида олиб борамиз.  
Биринчи ҳол учун қўндаланг кесим юзи:

$$F = \frac{P}{[\sigma] - h\gamma} = 14,5 \text{ м}^2,$$

ҳажми эса:

$$V = Fh = 14,5 \cdot 42 = 610 \text{ м}^3.$$

Иккинчи ҳолда юқори поғонанинг қўндаланг кесим юзи:

$$F_1 = \frac{P}{[\sigma] - \frac{h}{3}\gamma} = 4,48 \text{ м}^2 \text{ га тенг.}$$

Иккинчи поғона учун:

$$F_2 = \frac{F_1[\sigma]}{[\sigma] - \frac{h}{3}\gamma} = 6,04 \text{ м}^2.$$

Учинчи погонанинг қўндаланг кесим юзи:

$$F_3 = \frac{F_0[\sigma]}{[\sigma] - \frac{h}{3}\gamma} = 8,12 \text{ м}^2.$$

Таянчнинг тула ҳажми:

$$V = (F_1 + F_2 + F_3) \frac{h}{3} = 261 \text{ м}^3.$$

Тенг қаршилик кўрсатувчи шаклнинг юқори юзи:

$$F_0 = \frac{P}{[\sigma]} = \frac{400}{120} = 3,33 \text{ м}^2.$$

Пастки кесимнинг юзи<sup>1</sup>:

$$F_h = F_0 e^{\frac{\gamma}{[\sigma]h}} = 3,33 e^{\frac{2,2 \cdot 42}{120}} = 3,33 e^{0,7} = 7,15 \text{ м}^2.$$

Тенг қаршилик кўрсатувчи шаклдаги таянчнинг оғирлиги:

$$Q = [\sigma]F_h - P = 120 \cdot 7,15 - 400 = 460 \text{ т}.$$

Таянчнинг ҳажми:<sup>1</sup>

$$V = \frac{Q}{\gamma} = 209 \text{ м}^3.$$

Бу ҳажм погонали таянч ҳажмидан 20% кичик, ўзгармас қаршилик шаклидаги таянч ҳажмидан тахминан уч марта кичикдир.

### 29-§. Критик узунлик

Қўндаланг кесим юзи ўзгармас бўлган узун ип, сим, арқон каби осилиб турган материал ўз оғирлиги таъсиридан узилса, унинг узунлиги *критик узунлик* дейиладиган узунликдан катта бўлади. Критик узунлик  $l_k$  билан белгиланади. Бу узунлик қўйидаги шартдан аниқланади. Умуман, призматик стерженнинг узилиши учун ундаги кучланиш мустаҳкамлик чегарасига тенг бўлиши керак. Шунинг учун критик узунликка тегишли оғирлик узувчи кучга тенг бўлади:

$$l_k F_\gamma = F \sigma_b, \quad \text{бундан:}$$

$$l_k = \frac{\sigma b}{\gamma} \quad (29.1)$$

келиб чиқади. Бу формуладан кўринадики, критик узунлик ипнинг ёки симнинг қўндаланг кесим юзига боғлиқ бўлмай, унинг материаллигига боғлиқдир.

Критик узунлик тушунчасидан тўқимачилик материалларнинг механик сифатини аниқлашда кўпроқ фойдаланилади. Масалан, каноп учун критик узунлик  $l_k$  35 км, пахтадан йиғирилган ип учун эса  $l_k = 22 \div 28$  км.

<sup>1</sup> Тенг қаршилик кўрсатувчи шаклнинг ҳажмини интеграл ҳисобдан фойдаланиб ҳам чиқариш мумкин:

$$V = \int_0^h F(x) dx = F_0 \int_0^h e^{\frac{\gamma}{[\sigma]}x} dx = \frac{F_0[\sigma]}{\gamma} \left[ e^{\frac{\gamma}{[\sigma]}x} - 1 \right] = \frac{F_0[\sigma]}{\gamma} \cdot (e^{0,77} - 1) =$$

$$= \frac{3,33 \cdot 120}{7,2} [2,16 - 1] = 209 \text{ м}^3.$$

## 30-§. Хусусий оғирлик таъсирдан бўладиган деформация

Чўзилувчи ёки сиқилувчи стержень хусусий оғирлигининг деформацияга таъсири эътиборга олинганда, унинг турли кесимларидаги қучланишлар ва, демак, nisбий чўзилишлар ҳар хил бўлишини кўзда тутиш лозим. Қўндаланг кесим юзи ўзгармайдиган призматик стержендан (79-шакл) пастки учидан  $x$  масофада, узунлиги чексиз кичик  $dx$  га тенг бир элемент ажратамиз. Ажратилган бу элементнинг абсолют чўзилиши қуйидагича бўлади:

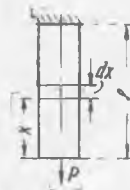
$$\Delta(dx) = \epsilon_x dx = \frac{\sigma_x}{E} dx = \frac{(P + \gamma x)}{EF} dx$$

ёки

$$\Delta(dx) = \frac{1}{E} \left( \frac{P}{F} + \gamma x \right) dx.$$

Стерженнинг тўла чўзилиши:

$$\Delta l = \int_0^l \frac{1}{E} \left( \frac{P}{F} + \gamma x \right) dx = \frac{Pl}{EF} + \frac{\gamma l^2}{2EF} + \frac{(P + \frac{\gamma l}{2})l}{EF} \quad (30.1)$$



79-шакл.

бўлади;  $\gamma Fl$  — стерженнинг оғирлиги. Демак, қўйилган юк ва хусусий оғирлик таъсирдан стерженнинг абсолют чўзилишини ҳисоблаш учун, олдин чиқарилган:

$$\Delta l = \frac{Nl}{EF}$$

формуладан фойдаланса бўлар экан; фақат  $N$  кучнинг ўрнига, қўйилган юк  $P$  билан стерженнинг ярим оғирлиги йиғиндисини олиш лозим.

Тенг қаршилиқ кўрсатувчи шаклнинг абсолют чўзилишини ёки сиқилишини топиш осон, чунки унинг барча қўндаланг кесимидаги қучланишлар бир хил бўлиб, рухсат этилган қучланишга тенг. Шунинг учун:

$$\epsilon = \frac{[\sigma]}{E}, \quad \Delta l = \frac{[\sigma]l}{E} = \frac{[\sigma]Fl}{EF_0} = \frac{Pl}{EF_0}$$

бўлади.

Поғонали стерженларнинг ҳар қайси поғонаси учун  $\Delta l_i$  ҳисобланади. Навбатдаги поғона учун ҳисоблаганда олдинги поғонанинг оғирлигини кўзда тутиш лозим. Умумий  $\Delta l$  ҳар қайси поғоналар учун ҳисобланган  $\Delta l_i$  ларнинг йиғиндисига тенгдир.

## 31-§. Эгилувчан ипни ҳисоблаш

Иншоот ва машина қисмларида фақат чўзилишгагина қаршилиқ кўрсатадиган баъзи элементлар учрайди. Бундай элементлар *эгилувчан ип* дейилади. Симлар, махсус вагончалар юрадиган сим арқонлар (трослар), осилиб турадиган кўприкларни тутиб турувчи элементлар, ингичка стерженлар ва бошқалар ана шу термин билан аталади. Бундай элементларнинг мустақамлигини ҳисоблашда, уларнинг хусусий оғирлиги муҳим аҳамиятга эга.

Ўз оғирлиги таъсирида бўлган ва қўндаланг кесими ўзгармайдиган эгилувчан ип ҳар хил баландликда турувчи  $A$  ва  $B$  нуқталарга осилган (80-шакл). Ип ўзининг хусусий оғирлиги таъсирдан  $AOB$  эгри чизиқни ҳосил қилади. Бу эгри чизиқнинг шаклини аниқлаш учун ипнинг мувозанат дифференциал тенгламасини тузамиз. Ипнинг узунлик бирлигидаги оғирлигини  $p$  кг/см билан, горизонтал ўқнинг узунлик бирлигидаги оғирлигини  $q$  кг/см билан белгилаймиз. Ипдан чексиз кичик элемент ажратиб, унинг

узунлигини  $ds$ , горизонтал проекциясини эса  $dx$  деймиз. Мазкур элементга тўғри келган юк  $pds$  ёки  $qdx$  га тенгдир.

$$pds = qdx; \text{ бундан } p = q \frac{dx}{ds} = q \cos \alpha. \quad (31.1)$$

$\alpha$  — ипга ўтказилган уринманинг оғиш бурчаги. Ипдан ажратилган элементнинг  $M$  ва  $N$  нуқталарига ташлаб юборилган қисмларининг таъсирини алмаштирувчи  $T$  ва  $T_1$  тортилишларни кўямиз. Ип эгилувчан бўлгани учун бу кучлар



80-шакл.



81-шакл.

ипнинг  $M$  ва  $N$  нуқталарига уринма бўлиб йўналади (81-шакл). Ажратилган элемент бир нуқтада кесишувчи учта  $T$ ,  $T_1$  ва  $qdx$  кучлар таъсирида мувозанатда туради. Шунинг учун мувозанат тенгламаларини қуйидагича ёзамиз:

$$\Sigma x = H_1 - H = 0,$$

$$\Sigma y = H_1 \operatorname{tg}(\alpha + d\alpha) - H \operatorname{tg} \alpha - q dx = 0.$$

Бу ерда  $T$  ва  $T_1$  тортилишларнинг горизонтал проекциялари  $H$  ва  $H_1$  билан белгиланган. Бу тенгламаларнинг биринчисидан:

$$H_1 = H;$$

яъни ип тортилишининг горизонтал проекциялари ўзгармас экан. Бу асосда мувозанат тенгламаларининг иккинчисини қуйидагича ёзамиз:

$$H \{\operatorname{tg}(\alpha + d\alpha) - \operatorname{tg} \alpha\} = q dx.$$

Аmmo:

$$\operatorname{tg}(\alpha + d\alpha) - \operatorname{tg} \alpha \approx d \operatorname{tg} \alpha = d \left( \frac{dy}{dx} \right) = \frac{d^2 y}{dx^2} dx$$

бўлгани учун, олдинги тенгликни  $dx$  га қисқартириб, ипнинг мувозанат тенгламасини қуйидагича ёзамиз:

$$H \frac{d^2 y}{dx^2} = q. \quad (31.2)$$

$p$  юк, умуман, ип бўйича бир хил эмас, шунинг учун биз уни  $x$  нинг функцияси деб ҳисоблашимиз керак. Амалий масалаларни ечишда юк ип бўйича тенг тарқалади деб қабул қилинади, шунинг учун  $p = \text{const}$ . Бу ҳолда ипнинг горизонтал проекциясига тегишли узунлик бирлигидаги оғирлиги:

$$q = \frac{p}{\cos \alpha} \quad (31.3)$$

ўзгарувчан бўлади, чунки  $\cos \alpha$  ип бўйича ўзгарувчандир. Ипнинг учлари орасидаги масофа катта бўлиб, унинг салқилиги  $j$  кичик бўлса,  $\alpha$  бурчак ҳам кичик бўлади. Бу тарздаги иплар учун  $\cos \alpha = 1$  деб қабул қилиш мумкин:

У ҳолда:

$$T \approx H, \quad (31.4)$$

$$q \approx p = \text{const}, \quad (31.5)$$

яъни ипнинг тортилиши ўзгармас ва юк горизонтал ўқ бўйича тенг тарқалган деб қабул қилинади.

Бундай шартларда (31.2) тенгламанинг интеграллини қуйидагича ёзишимиз мумкин:

$$\left. \begin{aligned} H \frac{dy}{dx} &= qx + c_1 \\ Hy &= \frac{qx^2}{2} + c_1x + c_2 \end{aligned} \right\} \quad (31.6)$$

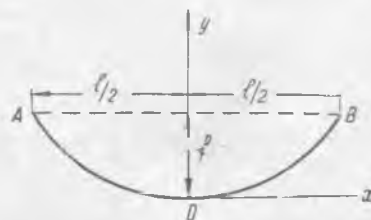
Бу тенгламалардан тенг тарқалган юк таъсиридаги салқилиги кичик бўлган ип парабола шаклига киришини кураимиз. Ихтиёрий ўзгармасларни қуйидаги шартдан аниқлаймиз (80-шакл):

$$x = 0 \text{ бўлганда, } y = 0 \text{ ва } \frac{dy}{dx} = 0, \quad (31.7)$$

демак,  $c_1 = 0$ ,  $c_2 = 0$ .

Шунинг учун (31.6) тенгламалар қуйидагича ёзилади:

$$\left. \begin{aligned} \frac{dy}{dx} &= \frac{qx}{H} \\ y &= \frac{qx^2}{2H} \end{aligned} \right\} \quad (31.8)$$



82-шакл.

Ип маҳкамланган  $A$  ва  $B$  нукталар бир хил баландликда бўлган ҳолни текширамиз (82-шакл). Ипнинг салқилиги  $f$  ни (31.8) дан аниқлаймиз, яъни  $x = \frac{l}{2}$  бўлганда  $y = f$  бўлади:

$$f = \frac{ql^2}{8H}$$

Бу формуладан фойдаланиб, ипнинг тортилишини салқилик  $f$  орқали ифодалаймиз.

$$T = H = \frac{ql^2}{8f}. \quad (31.9)$$

Ипнинг салқилиги жуда кичик бўлмаса,  $\alpha$  бурчак параболанинг салқилиги энг катта нуқтасида, яъни парабола учида ноль бўлиб, боғланиш нуқталарига қараб ўса боради. Шунингдек, ипнинг тортилиши  $T$  ҳам шу нуқтада узининг горизонтал проекцияси  $H$  га тенг бўлиб, боғланиш нуқталарига қараб ўсади. Шаклдан:

$$H = T \cos \alpha \quad \text{ёки} \quad T = \frac{H}{\cos \alpha}$$

тенгликни оламиз. Боғланган нуқтада ипга ўтказилган урияманинг киялик бурчаги ( $\alpha$ ) энг катта қийматга эришади. Шунинг учун бу нуқтада тортилиш

$T_{\max}$  бўлади. Мазкур  $T_{\max}$  ни ҳисоблаш учун  $\frac{1}{\cos \alpha}$  нинг қийматини топамиз:

$$\frac{1}{\cos \alpha} = \sec \alpha = \sqrt{1 + \operatorname{tg}^2 \alpha} = \sqrt{1 + y'^2}; \quad (a)$$

$y'$  нинг қийматини (31.7) дан  $x = \frac{l}{2}$  учун ҳисоблаймиз:

$$(y')_{x=\frac{l}{2}} = \frac{ql}{2H}.$$

Бу тенгликка  $H$  нинг қийматини (31.9) дан келтириб қўямиз. У ҳолда:

$$(y')_{x=\frac{l}{2}} = \frac{4f}{l}; \quad (б)$$

$y'$  ни (б) дан (а) га қўйсақ:

$$\frac{1}{\cos \alpha} = \sqrt{1 + 16 \frac{f^2}{l^2}} \quad (c)$$

келиб чиқади. Энди  $T_{\max}$  учун қуйидаги формулани оламиз:

$$T_{\max} = H \sqrt{1 + 16 \frac{f^2}{l^2}}. \quad (31.10)$$

Салқилиги кичик ип учун мустаҳкамлик шarti қуйидагича ёзилади:

$$\sigma = \frac{H}{F} \leq [\sigma];$$

$H$  нинг ўрнига унинг қийматини (31.9) дан келтириб қўйсақ,

$$\frac{ql^2}{8H^2} \leq [\sigma] \quad (31.11)$$

формулани ҳосил қиламиз.  $F$ ,  $q$  ва  $[\sigma]$  маълум бўлса, мустаҳкамлик шartини қаноатлантирувчи салқилик ( $l$ ) ни аниқлашимиз мумкин. Агар  $q$  эгилувчан ипнинг хусусий оғирлигигина бўлса, масала анча осонлашади;  $q = f \gamma$  бўлиб, ҳисоб тенгламаси қуйидагича ёзилади:

$$\frac{V^2}{8f} \leq [\sigma]$$

бундан:

$$f \leq \frac{V^2}{8[\sigma]}. \quad (31.12)$$

Энди ип ёйи  $L$ , ватари  $l$  ва салқилиги  $f$  орасидаги геометрик муносабатни чиқарамиз.

Ип салқилигини тасвирловчи параболанинг тенгламасини каноник кўринишда ёзамиз:

$$x^2 = 2py \quad \text{ёки} \quad y = \frac{x^2}{2p}. \quad (31.13)$$

бундан  $p$  — параболанинг параметри. Парабола ёйининг узунлиги қуйидагича аниқланади:

$$L = \int_{\overline{AOB}} ds = \int_{-\frac{l}{2}}^{\frac{l}{2}} \sqrt{1 + y'^2} = 2 \int_0^{\frac{l}{2}} \sqrt{1 + y'^2} dx.$$

Ипнинг салқилиги кичик бўлса,  $y'$  ҳам кичик бўлади.  $\sqrt{1+y'^2}$  радикални қаторга ёйиб, унинг тақрибий қийматини қуйидагича ёзамиз:

$$\sqrt{1+y'^2} \cong 1 + \frac{1}{2}y'^2.$$

Буни олдинги тенгликка қўйиб, ёйнинг узунлиги учун қуйидаги ифодани ҳосил қиламиз:

$$L = 2 \int_0^{\frac{l}{2}} \left(1 + \frac{1}{2}y'^2\right) dx = l + \int_0^{\frac{l}{2}} y'^2 dx$$

ёки

$$L - l = \int_0^{\frac{l}{2}} y'^2 dx. \quad (31.14)$$

$y'$  нинг қийматини (31.13) дан келтириб қўйиб, (31.14) интегрални ҳисобласак:

$$L - l = \frac{f^2}{24p^2}$$

келиб чиқади. Параметр ( $p$ ) нинг қийматини (31.13) дан қуйидагича аниқлаймиз:  $x = \frac{l}{2}$  бўлганда  $y = f$ .

Шунинг учун:

$$f = \frac{l^2}{8p}; \quad \frac{1}{p^2} = \frac{64 \cdot f^2}{l^2}.$$

Демак:

$$L - l = \frac{8f^2}{3l}. \quad (31.15)$$

Парабола ёйи, ватари ва салқилиги орасидаги тақрибий муносабатни чиқардик.

Эгилувчан ип эластик бўлса, тортилиш  $H$  таъсиридан

$$\Delta L = \frac{Hl}{EF} \quad (31.16)$$

га чўзилади. Салқилик кичкина бўлганидан, ипнинг узунлиги ( $L$ ) ни маҳкамланган нуқталар оралиғи ( $l$ ) билан алмаштирдик. Температура ҳам ўзгарса, қўшимча чўзилиш ҳосил бўлади:

$$\Delta L_t = \alpha t l. \quad (31.17)$$

Энди, чиқарилган формулалардан фойдаланиб, ипнинг мустаҳкамлигига оид амалий масалаларни ечамиз.

Ипнинг бошланғич узунлиги  $L_0$ , боғланган нуқталарнинг оралиғи  $l$  бўлсин. Узунлик бирлигидаги оғирлиги  $q = F\gamma$  бўлади;  $\gamma$  — ипнинг солиштирма оғирлиги. Ип тортилганда, унинг узунлиги ўзгаради, шунинг учун  $L_0 - l = \delta$  айирмаси деформация натижасида  $L - l = \delta + \Delta L$  га айланади. Бу тенгламани (31.15) ва (31.16) га мувофиқ қуйидагича ёзиш мумкин:

$$\frac{8}{3} \frac{f^2}{l} = \delta + \frac{Hl}{EF}. \quad (31.18)$$

Деформация шартидан чиқарилган мазкур тенгламани, статик тенглама (31.9) билан бирга ечиш мумкин. Учта миқдор  $H, \delta$  ва  $f$  дан бирортаси маълум бўлса, қолган иккитасини бу тенгламалардан аниқлаш мумкин.

Масалан  $\delta$  маълум бўлса,  $f$  ни аниқлаш учун қуйидаги тенгламани ҳосил қиламиз:

$$\frac{8}{3} \frac{f^2}{l} = \delta + \frac{ql^2}{8EF};$$

нинг ўрнига унинг қийматини келтириб қўйсак,  $f$  ни аниқлаш учун қуйидаги кубик тенгламани ҳосил қиламиз:

$$f^3 - \frac{3l}{8} \delta f - \frac{3\gamma l^4}{64E} = 0. \quad (31.19)$$

Бу тенгламадан ипнинг салқилиги  $f$  аниқланса, кучланишни қуйидаги формуладан ҳисоблаш осон:

$$\sigma = \frac{H}{F} = \frac{ql^2}{8Ff} = \frac{\gamma l^2}{8f}. \quad (31.20)$$

Салқилик ( $f$ ) ни аниқлаш учун чиқарилган (31.19) тенгламада температуранинг таъсири эътиборга олинмаган. Ундан ташқари, эгилувчан ипга ўзининг хусусий оғирлигидан бошқа юк ҳам қўйилган бўлиши мумкин. Бу факторлар ҳисобга олинганда (31.19) тенгламадаги ўрта ҳаднинг коэффициенти ўзгаради. Салқилик катта бўлса, ип парабола шаклини олмайди. Унинг салқилиги занжир чизиги билан тасвирланади.

### МАСАЛАЛАР

23. Қўндаланг кесим юзи  $F$ , солиштирма оғирлиги  $\gamma$  бўлган призматик стержень юқориги учи билан осилиб, хусусий оғирлигидан чўзилади. Чўзилишининг стержень буйича қандай қонун билан ўзгариши топилсин (83- шакл).

Ечиш. Стерженьнинг юқориги учидан  $x$  ораликдаги кесимда зўриқиш  $N = F\gamma(l-x)$  бўлади. Гук қонунига мувофиқ:

$$\epsilon_x = \frac{\sigma_x}{E} = \frac{N}{EF} = \frac{\gamma}{E}(l-x).$$

Бирор чексиз кичик элемент ( $dx$ ) нинг абсолют чўзилиши:  $\Delta(dx) = \epsilon_x dx$  бўлади.  $x$  ораликдаги чўзилишни топиш учун қуйидаги интеграл ифодани ёзамиз.

$$\Delta l_x = \int_0^x \epsilon_x dx = \int_0^x \frac{\gamma}{E}(l-x) dx = \frac{\gamma}{E} \left( lx - \frac{x^2}{2} \right)$$



83- шакл.

Хусусий оғирлик таъсиридан ҳосил бўладиган чўзилиш парабола қонуни билан ифодаланадиган экан.

$$\text{Стерженьнинг ўртасидаги чўзилиш } (\Delta l)_{x=l/2} = \frac{l}{2} = \frac{3}{8} \frac{\gamma l^2}{E} = \frac{3}{8} \frac{Ql}{EI},$$

бунда

$$Q = Fl\gamma.$$

Стержень учининг силжиши:

$$(\Delta l)_{x=l} = \frac{1}{2} \frac{\gamma l^2}{E} = \frac{Ql}{2EI}.$$

24. Юқориги учи билан осиб қўйилган призматик стержень хусусий оғирлиги таъсирдан чўзилади. Стерженнинг солиштирма оғирлиги  $\gamma = 7,85 \text{ т/м}^3$ , рухсат этилган кучланиши  $[\sigma] = 1400 \text{ кг/см}^2$  бўлсин, унинг узунлиги  $l$  қанча бўлиши мумкин?

Жавоби.

$$\sigma_{\max} = l_{\max} \gamma < [\sigma]; \quad l_{\max} = \frac{[\sigma]}{\gamma} = 1784 \text{ м.}$$

25. Океаннинг чуқурлиги улчанадиган тигель пулаги симиянинг солиштирма оғирлиги  $\gamma = 7,85 \text{ т/м}^3$ ; хусусий оғирлигидан ҳосил бўладиган кучланиш эластиклик чегарасига тегишли  $\sigma_e = 10000 \text{ кг/см}^2$  кучланишдан ошмаслиги учун, унинг энг катта узунлиги қанча бўлиши керак?

Жавоби.  $l_{\max} = 14,6 \text{ км.}$

26. Тошдан ишланган устуннинг баландлиги  $h = 10 \text{ м}$ , устуннинг ўқи буйлаб  $50 \text{ т}$  сиқувчи юк қўйилган, устун материалнинг солиштирма оғирлиги  $\gamma = 2 \text{ т/м}^3$ , рухсат этилган кучланиши  $[\sigma] = 10 \text{ кг/см}^2$ . Устуннинг қўндаланг кесим юзи топилсин.

Жавоби.  $F = 625 \text{ см}^2$ .

27. Шахта штангасининг узунлиги  $l = 100 \text{ м}$ , унинг юқориги учи маҳкамланиб, пастки учига  $P = 2 \text{ т}$  юк осилган. Штанга материали учун рухсат этилган кучланиш  $[\sigma] = 1000 \text{ кг/см}^2$ , солиштирма оғирлиги  $\gamma = 7,85 \text{ т/м}^3$ ; штанганинг диаметри аниқлансин.

Жавоби.  $d = 1,66 \text{ см.}$

28. Баландлиги  $h = 30 \text{ м}$  бўлган поғонали устуннинг қўндаланг кесими квадрат шаклида. Устун учта тенг қисмдан иборат. Унга  $P = 60 \text{ т}$  сиқувчи куч қўйилган. Устуннинг материали учун рухсат этилган кучланиш  $[\sigma] = 10 \text{ кг/см}^2$ , солиштирма оғирлик  $\gamma = 2 \text{ т/м}^3$ , поғоналарнинг улчамлари ҳисоблансин.

Жавоби.  $87 \times 87 \text{ см}^2$ ,  $96 \times 96 \text{ см}^2$ ,  $108 \times 108 \text{ см}^2$ .

29. Мис сим  $l = 50 \text{ м}$  ораликдаги  $A$  ва  $B$  нуқталарга осилган. Симнинг қўндаланг кесим диаметри  $d = 5 \text{ мм}$ , солиштирма оғирлиги  $\gamma = 0,008 \text{ кг/см}^3$ , рухсат этилган кучланиши  $[\sigma] = 500 \text{ кг/см}^2$ . Симда ҳосил бўладиган максимал ва минимал тортилишлар ҳамда салқилик ( $f$ ) топилсин.

Ечиш. Максимал тортилиш ип осиб қўйилган нуқталарда ҳосил бўлади. Унинг қиймати:

$$T_{\max} = \frac{\pi d^2}{4} [\sigma] = 63 \text{ кг.}$$

Минимал тортилиш ( $H$ ) ни қуйидаги формуладан топамиз:

$$H = \frac{T_{\max}}{\sqrt{1 + 16 \frac{l^2}{F^2}}}; \text{ аммо } \sqrt{1 + 16 \frac{l^2}{F^2}} \approx 1 + 8 \frac{l^2}{F^2}.$$

Шунинг учун:

$$H = \frac{T_{\max}}{1 + 8 \frac{l^2}{F^2}}. \quad (a)$$

Бундан ташқари,  $H$  ва  $f$  қуйидаги муносабат билан боғланган:

$$H = \frac{q l^2}{8f} \quad (b)$$

$$q = F\gamma = 0,126 \cdot 0,008 \cdot 100 = 0,1 \text{ кг/м.}$$

Энди (a) ва (b) тенгламаларни ечиб,  $H$  ва  $f$  учун қуйидагиларни оламиз:

$$f = \frac{T_{\max}}{2q} \sqrt{\left(\frac{T_{\max}}{2q}\right)^2 - \frac{l^2}{8}} = 0,5 \text{ м} \quad H = \frac{0,1 \cdot 50^2}{8 \cdot 0,5} = 62,5 \text{ кг.}$$

$T_{\max}$  билан  $H$  нинг қийматини солиштириб,  $T_{\max}$  ни  $H$  дан фақат  $0,8\%$  га фарқ қилишини кўрамиз.

30. Пулат симнинг тортилмагандаги узунлиги  $l = 40 \text{ м}$ ,  $E = 2 \cdot 10^6 \text{ кг/см}^2$  ва  $\gamma = 78 \text{ т/м}^3$ ; унда ҳосил бўладиган кучланиш билан салқилиги ( $f$ ) топилсин.

Ечиш. Симнинг тортилишини  $H = \frac{q l^2}{8f}$  формуладан аниқлаб, ундаги эластик чўзилишни ҳисоблаймиз:

$$\Delta l = \frac{H l}{E F} = \frac{q l^3}{8 f E F} = \frac{\gamma l^3}{8 f F}. \quad (a)$$

Иккинчи томондан, эластик чўзилиш (31,15) формулага мувофиқ:

$$\Delta l = \delta = L - l = \frac{3}{8} \frac{f^2}{l} \quad (e)$$

булади, (a) ва (б) ифодаларни солиштириб,  $f$  учун

$$f = \frac{l^3}{4} \sqrt{\frac{3\gamma l}{E}} = \frac{4000^3}{4} \sqrt{\frac{3 \cdot 11,0078 \cdot 4000}{2 \cdot 10^4}} = 36,1 \text{ см}$$

қийматни ҳосил қиламиз.

Симда ҳосил буладиган кучланиш:

$$\sigma = \frac{H}{F} = \frac{\gamma l^2}{8f} = \frac{0,0078 \cdot 4000^2}{8 \cdot 36,1} = 432 \frac{\text{кг}}{\text{см}^2}$$

□

## V боб

### КУЧЛАНИШЛАРНИНГ АНАЛИЗИ

#### 32-§. Қия кесимлардаги кучланишлар

Бизни ҳозиргача призматик стерженларнинг кўндаланг кесимидаги кучланиш билан узунлигининг ўзгариши кизиқтирган эди.

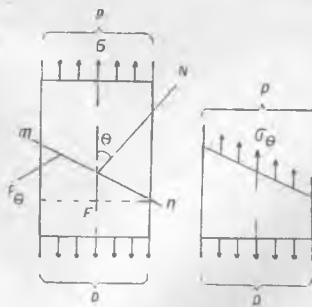
Энди текширишимизни бирмунча чуқурлаштириб, стерженнинг исталган қия кесимидаги кучланишларни қараб чиқамиз. Шунинг билан бирга, призматик стерженнинг чўзилиш ва сиқилишдаги деформациясини ҳам кенг-роқ равишда текшириб ўтамиз. Масалани бундай текширишимиз натижасида, призматик стержень оддий чўзилган ҳолда ҳам унинг қия кесимларида нормал кучланишдан ташқари, тангенциал кучланишлар ҳам бўлишини кўрсатиш билан баравар, унда чўзилиш деформациясидан ташқари, силжиш деформацияси ҳам бўлишини кўрсатиб ўтамиз.

Призматик стержень иккала учига қўйилган чўзувчи кучлар таъсирида бўлади, деб фараз қилайлик (84-шакл). Стерженнинг бундай кучланиш ҳолати *чизикли кучланиш* ҳолати дейилади. Бу ҳол учун призматик стерженнинг бирор қия кесимидаги кучланишларни текшира-рамиз.

Материаллар қаршилигининг умумий усулидан фойдаланиб, стерженнинг бирор нуқтасидан битта текислик ўтказамиз. Стержень бу текислик билан икки қисмга ажратилган деб фараз қилиб, бир қисмининг мувозанатини текшира-рамиз. Стерженнинг қия текислик билан кесилиши натижасида ҳосил бўлган  $mn$  кесимнинг йўналишини  $\theta$  бурчак орқали аниқлаймиз. Бу бурчак  $mn$  кесимнинг ташқи нормали билан стерженнинг ўқи орасидаги бурчак бўлиб, стерженнинг ўқидан нормалга қараб, соат стрелкаси юрадиган томонга йўналган бўлса, *муъбат* деб, акс ҳолда *манфий* деб ҳисоблаймиз.

Стерженнинг кўндаланг кесим юзини  $F$  билан, қия кесим юзини  $F_0$  билан белгиласак, унинг қиймати бундай ифодаланadi:

$$F_0 = \frac{F}{\cos \sigma} \quad (32.1)$$



84-шакл.

Текширилаётган стерженнинг пастки қисмига юқориги қисмининг таъсирини алмаштирувчи эластик кучларни қўямиз: бу кучлар  $tn$  кесимга қўйилган бўлиб, уларнинг тенг таъсир этувчиси  $P$  кучга тенгдир. Юқорида биз стерженнинг ҳамма бўйлама элементлари бир хилда чўзилади деган эдик. Шунинг учун  $tn$  кесим бўйича эластик кучларни тенг тарқалган дейишимиз мумкин.

Бу кучланишни  $\sigma_0$  билан белгилаб, унинг учун қуйидаги тенгликни ёзишимиз мумкин:

$$\sigma_0 = \frac{P}{F_0} = \frac{P \cos \theta}{F} = \sigma_y \cos \theta. \quad (32.2)$$

Бунда  $\sigma_y = \frac{P}{F}$  у ўқига нормал бўлган кўндаланг кесимдаги нормал кучланишдир. (32.2) дан қия кесимдаги кучланишнинг миқдори кесимнинг йўналишига боғлиқ эканлиги кўриниб турибди.

Бу кучланишни  $tn$  кесимнинг нормали ва кесим текислигига уринма йўналишлар бўйича икки тузувчига ажратамиз.  $\sigma_0$  нинг нормал бўйича йўналган тузувчисини  $\sigma$  билан белгилаб, уни *нормал кучланиш* деб атаймиз; кесим юзасига уринма бўйича йўналган тузувчисини  $\tau$  билан белгилаб, уни *тангенциал кучланиш* деймиз.

85-шакл ва (32.2) тенгликни эътиборга олиб,  $\sigma$  ва  $\tau$  учун қуйидаги ифодаларни ҳосил қиламиз:

$$\sigma = \sigma_0 \cos \theta = \sigma_y \cos^2 \theta, \quad (32.3)$$

$$\tau = \sigma_0 \sin \theta = \sigma_y \cos \theta \sin \theta = \frac{\sigma_y}{2} \sin 2\theta. \quad (32.4)$$

Бу формулалардан  $\sigma$  билан  $\tau$   $\theta$  бурчагига боғлиқ функция эканлиги очикдан-очик кўриниб турибди. Демак,  $\sigma$  билан  $\tau$  қия кесим йўналишининг ўзгариши билан ўзгарар экан.

Энди,  $\theta$  бурчакнинг қандай қийматларида  $\sigma$  билан  $\tau$  максимал ва минимал қийматларга эришишини топамиз.

$\cos \theta = 1$  ёки  $\theta = 0$  бўлганда  $\sigma$  максимал қийматга эришади.

Демак:

$$\sigma_{\max} = \sigma_y.$$

$\cos \theta = 0$  ёки  $\theta = \frac{\pi}{2}$  бўлганда  $\sigma$  минимал қийматга эришади.

Демак:

$$\sigma_{\min} = 0.$$

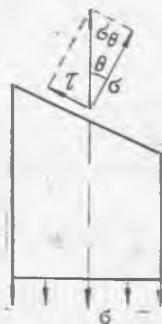
$\sin 2\theta = 1$  ёки  $\theta = \frac{\pi}{4}$  бўлганда  $\tau$  максимал қийматга эришади.

Демак:

$$\tau_{\max} = \frac{\sigma_y}{2};$$

$\sin 2\theta = 0$ ,  $\theta = 0$  ёки  $\theta = \frac{1}{2}\pi$  бўлганда,

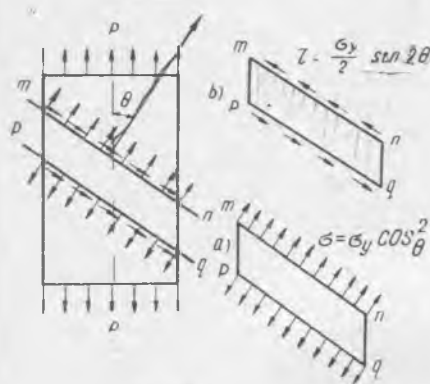
$$\tau_{\min} = 0$$



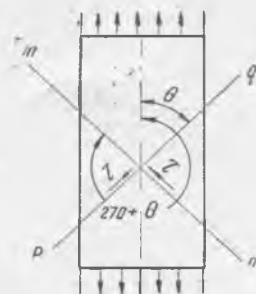
85-шакл.

булади. Оддий чўзилишда максимал нормал кучланиш стерженнинг кўндаланг кесимида бўлиб, унинг бўйлама кесимида ҳеч қандай нормал кучланиш бўлмайди; демак, стерженнинг бўйлама толалари бир-бирига ҳеч қандай босим бермас экан.

Бундан ташқари, оддий чўзилишдаги стерженнинг ўқига  $45^\circ$  қия бўлган кесимида тангенциал кучланиш максимал қийматга эришиб, у кўндаланг кесимдаги кучланишнинг ярмисига тенг бўлади.



86-шакл.



87-шакл.

Нормал ва тангенциал кучланишларни чўзилувчи стерженнинг элементларига кўрсатадиган таъсирини текшириш учун, ундан бир-бирига чексиз яқин икки параллел текислик билан  $mnpq$  элементни ажратамиз (86-шакл). Бу элементнинг  $mn$  ва  $pq$  кесимларига стерженнинг ташлаб юборилган қисмлари таъсирини алмаштирувчи эластик кучларни қўйиб, бу кучлар таъсиридан  $mnpq$  элементнинг мувозанатини текшираемиз. Бу кучлар кесим бўйича тенг тарқалган нормал ва тангенциал кучланишларга келтирилади.

Агар  $mn$  ва  $pq$  кесимларни бир-бирига яқинлаштирсак, лимитда бу икки кесим бирлашиб, уларга қўйилган нормал кучланишлар бу икки кесимни бир-бирдан ажратишга интилади; тангенциал кучланишлар эса бу икки кесимни бир-бирига нисбатан силжитишга интилади (86-шакл, а, б). Шунинг учун, нормал кучланиш, кўпинча, *ажратувчи* ёки *узувчи* кучланиш деб, тангенциал кучланиш эса *силжитувчи* ёки *кесувчи* кучланиш деб аталади.

Энди, оддий чўзилишдаги стерженда олинган бир-бирига тик икки  $mn$  ва  $pq$  кесимдаги тангенциал кучланишларнинг ўзаро муносабатини текшираемиз (87-шакл).

Агар биз (32.3) ва (32.4) формулалардаги  $\theta$  нинг ўрнига  $(270^\circ + \theta)$  қўйсак,  $pq$  кесимдаги нормал кучланиш  $\sigma'$  ва тангенциал кучланиш  $\tau'$  учун қуйидаги ифодаларни ҳосил қилаемиз:

$$\sigma' = \sigma_y \cos^2(270^\circ + \theta) = \sigma_y \sin^2 \theta.$$

$$\tau' = \frac{\sigma_y}{2} \sin 2(270^\circ + \theta) = -\frac{\sigma_y}{2} \sin 2\theta.$$

Бу ифодаларни (32.3) ва (32.4) формулалар билан солиштириб, қуйидаги тенгликларни оламиз:

$$\sigma' + \sigma = \sigma_y, \quad \tau = -\tau'. \quad (32.5)$$

Ўзаро тик юзалардаги тангенциал кучланишлар сон жиҳатидан ҳамма вақт бир-бирига тенг, ишораси жиҳатидан эса тескаридир. Бу хулосага алоҳида аҳамият бериш керак. Бу ҳол тангенциал кучланишларнинг махсус хусусиятидир. Бу хусусият *тангенциал кучланишларнинг жуфтлик принципи* деб юритилади.

Келгусида биз бирор юзада тангенциал кучланишни учратар эканмиз, тўғридан-тўғри, бу юзага тик юзада ҳам 1-юзадаги тангенциал кучланишга сон жиҳатидан тенг ва тескари ишорали тангенциал кучланиш борлигини тасдиқлай оламиз.

Призматик стерженларнинг турли кесимларидаги кучланишларни график равишда тасвирлайдиган бир усул бор.  $(\sigma, \tau)$  текисликда (32.3) ва (32.4) тенгламаларни бирор эгри чизиқнинг параметрик тенгламалари деб ҳисоблаб, унинг графигини чизамиз. Бунинг учун абсцисса ўқи бўйлаб  $\sigma$  ни, ордината ўқи бўйлаб  $\tau$  ни қўямиз. У ҳолда  $\theta$  бурчакнинг ҳар бир қиймати учун аниқланган  $\sigma$  ва  $\tau$  мазкур  $(\sigma, \tau)$  текисликдаги маълум  $D$  нуқтани аниқлайди. Бу тарзда аниқланган нуқталарнинг геометрик ўрни  $(\sigma, \tau)$  текисликда бирор эгри чизиқни тасвирлайди. Бу эгри чизиқ ҳар қандай кучланиш ҳолати учун (биз текшираётган хусусий ҳолда ҳам) доира эканлигини исботлаймиз.

Бунинг учун (32.3) тенгламадаги  $\theta$  бурчакнинг ўрнига қўш бурчак  $(2\theta)$  ни қуйидаги формула воситаси билан киритамиз.

$$\cos^2 \theta = \frac{1 + \cos 2\theta}{2}.$$

У ҳолда нормал ва тангенциал кучланишлар қуйидагича ёзилади:

$$\sigma = \sigma_y \frac{1 + \cos 2\theta}{2},$$

$$\tau = \sigma_y \frac{\sin 2\theta}{2}.$$

Бу тенгламалардан  $\theta$  ни чиқариб ташласак, юқорида айтилган  $D$  нуқталарнинг геометрик ўрнини қаноатлантирувчи тенгламани оламиз:

$$\left(\sigma - \frac{\sigma_y}{2}\right)^2 + \tau^2 = \frac{\sigma_y^2}{4}. \quad (32.6)$$

Бу — маркази абсцисса ўқида, координаталар бошидан  $\frac{\sigma_y}{2}$  масофада ётувчи, радиуси  $\frac{\sigma_y}{2}$  га тенг доиранинг тенгламасидир. Кучланишни бу тарзда тасвирлашни энг аввал Мор деган олим тавсия этгани учун бу доира *Мор доираси* ёки *кучланишлар доираси* дейилади.

$\theta$  бурчакка қия бўлган юзадаги  $\sigma$  ва  $\tau$  ни аниқловчи  $D$  нуқта доира маркази билан туташтирилса,  $\angle DCK = 2\theta$  бўлади (83-шакл). Ҳақиқатан ҳам,  $D$  нуқтанинг координаталари:

$$\sigma' = OK = OC + CK = \frac{\sigma_y}{2} + \frac{\sigma_y}{2} \cos 2\theta = \sigma_y \frac{1 + \cos 2\theta}{2},$$

$$\tau' = DK = CD \sin 2\theta = \frac{\sigma_y}{2} \sin 2\theta.$$

Қўрамизки, бу координаталар (32.3) ва (32.4) тенгламалар билан ифодаланаетир.

Энди, Мор доирасидан фойдаланиб,  $\sigma$  ва  $\tau$  ҳосил бўлган юзанинг йўналишини аниқловчи тенгламани чиқарамиз.

Бунинг учун 88-шаклдаги  $DCK$  учбурчакдан фойдаланамиз:

$$\operatorname{tg} 2\theta = \frac{DK}{CK} = \frac{\tau'}{\sigma' - \sigma_0} \quad (32.7)$$

Аммо  $\theta$  нинг қийматини тўғридан-тўғри Мор доирасидан график равишда аниқлаш ҳам мумкин:  $\gamma < DOK$  бўлади.

Демак, бирор юзадаги ( $\sigma$ ,  $\tau$ ) кучланиш маълум бўлса, яъни Мор доирасида  $D$  нуқта белгиланган бўлса, бу нуқтага тегишли юзанинг йўналишини график усулда аниқлаш осон экан.

Нормал ва тангенциал кучланишларнинг қандай юзаларда максимал ва минимал қийматларга эришиши ҳақидаги хулосаларни ҳам Мор доирасидан бевосита чиқариш мумкин.

### 33-§. Текис кучланиш ҳолати

Тўғри бурчакли параллелепипед шаклидаги жисмнинг  $x$  ва  $y$  ўқларга тик бўлган ёқларига

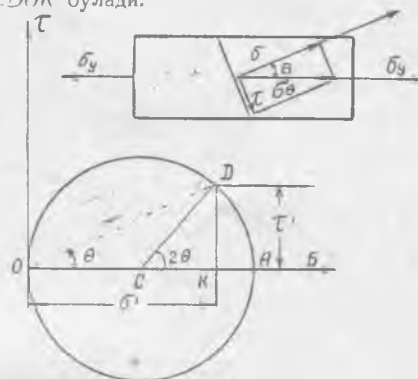
тенг тарқалган нормал кучлар таъсир қилаётган ва бу нормал кучларнинг тенг таъсир этувчилари тегишлича  $P_x$  ва  $P_y$  бўлсин (89-шакл). Бу кучлар қўйилган кесим юзлари  $F_x$  ва  $F_y$  бўлсин.  $Y$  ҳолда,  $x$  ва  $y$  ўқларга тик бўлган юзалардаги нормал кучланишларни  $\sigma_x$  ва  $\sigma_y$  десак, улар учун:

$$\sigma_x = \frac{P_x}{F_x}, \quad \sigma_y = \frac{P_y}{F_y}$$

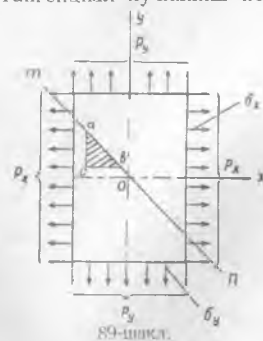
формулаларни ҳосил қиламиз. Мазкур кучланишлар ҳосил бўлган юзаларда тангенциал кучланишлар нолга тенгдир. Тангенциал кучланиш ноль бўлиб, фақат нормал кучланишгина таъсир қилувчи юзалар бош юзалар дейилади.

Биз юпқа параллелепипед шаклидаги призматик стерженни махсус равишда танладик ва унинг ёқларига фақат нормал кучлар қўйиб, бош юзаларга айлантирдик. Аммо, умуман, кучлар қандай қўйилса ҳам жисмнинг ҳар қандай нуқтасидан шундай учта ўзаро тик юзалар ўтказиш мумкинки, бу юзаларда фақат нормал кучланишларгина таъсир қилиб, тангенциал кучланишлар ноль бўлади. Бу ўзаро тик учта юза мазкур нуқта учун бош юзалар бўлиб, ундаги нормал кучланишлар бош кучланишлар дейилади. Ҳозирча бу ҳақда берилган тушунчалар билан чекланиб, текис кучланиш ҳолатига оид масалаларни текширишга ўтамиз.

Жисмнинг турли юзаларидаги тула кучланиш векторлари бир текисликда ётса, бундай кучланиш ҳолати текис кучланиш ҳолати дейилади.



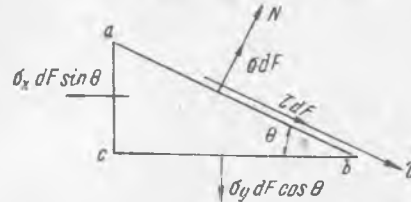
88-шакл.



89-шакл.

Биз текшираётган ҳолда  $\sigma_x$  ва  $\sigma_y$  бир текисликда ётганидан, у ҳам текис кучланиш ҳолатига киради.

Энди  $P_x$  ва  $P_y$  кучлар таъсирдан стерженнинг қия кесимларида ҳосил бўладиган кучланишларни текшираемиз. Бунинг учун,  $\theta$  бурчак билан аниқланадиган ва шакл текислигига тик  $mn$  текислик ҳамда  $x, y$  ўқларга тик текисликлар билан стержендан асоси  $abc$  тўғри бурчакли учбурчак бўлган бир призма ажратамиз (89- шакл).



90- шакл.

Ажратилган призманинг томонларига стерженнинг ташлаб юборилган қисмлари таъсирига эквивалент бўлган ички кучларни қўйиб, призманинг мувозанатини текшираемиз. Призма қия ёғининг юзини ( $ab$  юзни)  $dF$  билан белгиласак,  $x$  ва  $y$  ўқларга тик ёқлабнинг юзлари ( $ac$  ва  $cb$  юзлар) тегишлича  $dF \sin \theta$  ва  $dF \cos \theta$  бўлади.

$ab$  юзага қўйилган ички кучлар нормал тузувчиларнинг тенг таъсир этувчиси  $\sigma dF$  бўлиб, тангенциал тузувчиларнинг тенг таъсир этувчиси  $\tau dF$  га тенгдир (90- шакл). Бу ерда  $\sigma$  ва  $\tau$  орқали  $ab$  юзадаги нормал ва тангенциал кучланишлар белгиланди.  $ac$  ва  $bc$  юзаларга тегишлича  $\sigma_x dF \sin \theta$  ва  $\sigma_y dF \cos \theta$  кучлар қўйилган. Бу кучлар таъсирдан  $abc$  призма мувозанатда бўлиб, бу кучларнинг мувозанат шартини тузамиз. Бунинг учун бутун кучларни  $N$  ва  $T$  ўқлардаги проекцияларининг йиғиндиларини нолга тенглаштирамиз:

$$\begin{aligned} \sigma dF - \sigma_y dF \cos^2 \theta - \sigma_x dF \sin^2 \theta &= 0, \\ \tau dF + \sigma_y dF \cos \theta \sin \theta - \sigma_x dF \sin \theta \cos \theta &= 0. \end{aligned}$$

Бу икки тенгликдан стерженнинг қия кесимидаги нормал ва тангенциал кучланишларни толамиз:

$$\sigma - \sigma_y \cos^2 \theta + \sigma_x \sin^2 \theta, \quad (33.1)$$

$$\tau = \frac{\sigma_x - \sigma_y}{2} \sin 2\theta. \quad (33.2)$$

Бу  $\sigma$  ва  $\tau$  кучланишлар кесимнинг абсцисса ўқи билан тузган бурчаги ( $\theta$ ) нинг функцияси бўлар экан.

Энди, бу кучланишлар қандай кесимларда, яъни  $\theta$  нинг қандай қийматларида максимал ва минимал қийматларга эришишини толамиз. Бунинг учун (33.1) ва (33.2) тенгламалардан  $\theta$  га нисбатан ҳосила оламиз:

$$\frac{d\sigma}{d\theta} = (\sigma_x - \sigma_y) \sin 2\theta = 0(*).$$

Бу ифода (33.2) тенгликнинг ўнг томонига мос келади. Демак, нормал кучланиш максимал ва минимал қийматларга эришган юзаларда тангенциал кучланиш ноль бўлар экан.

Нормал кучланишнинг максимал ва минимал қийматларини топиш учун,  $\sigma_y > \sigma_x$  деб фараз қилиб, (\*) тенгламани ечамиз ва  $\theta$  бурчак учун қуйидаги қийматларни оламиз:

$$\sin 2\theta = 0, \text{ бундан } 2\theta = 0 \text{ ёки } 2\theta = \pi,$$

демак,  $\theta_1 = 0$  ва  $\theta_2 = \frac{\pi}{2}$  бўлади.

$\theta$  нинг қандай қийматида  $\sigma$  максимал бўлишини билиш учун (\*) дан яна ҳосила оламиз:

$$\frac{d^2\sigma}{d\theta^2} = -2(\sigma_y - \sigma_x) \cos 2\theta$$

$$\theta = 0 \text{ бўлганда } \frac{d^2\sigma}{d\theta^2} < 0 \text{ бўлади,}$$

$$\theta = \frac{\pi}{2} \text{ бўлганда } \frac{d^2\sigma}{d\theta^2} > 0 \text{ бўлади}$$

Демак,  $\theta = 0$  бўлганда  $\sigma$  максимал қийматга эришиб, у  $\sigma_y$  га тенг:

$$\sigma_{\max} = \sigma_y; \tag{33.3}$$

$\theta = \frac{\pi}{2}$  бўлганда  $\sigma$  минимум бўлиб, у  $\sigma_x$  га тенгдир:

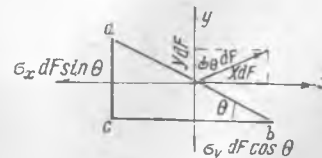
$$\sigma_{\min} = \sigma_x. \tag{33.4}$$

Шунга ўхшаш, тангенциал кучланиш  $\tau$  нинг ҳам максимал ва минимал қийматларини тонамиз.  $\sin 2\theta = 1$  ёки  $\theta = \frac{\pi}{4}$  бўлганда  $\tau$  нинг максимал қийматга эришиши (33.2) тенгликдан очиқ кўриниб турибди:

$$\tau_{\max} = \frac{\sigma_y - \sigma_x}{2}. \tag{33.5}$$

Демак, призматик стержень бир-бирига тик йўналган кучлар таъсирида текис кучланиш ҳолатида бўлса, унинг кесимларидаги нормал кучланишларнинг максимал қиймати катта бош кучланишга тенг бўлиб, минимал қиймати эса кичик бош кучланишга тенг бўлар экан. Бу ҳол учун тангенциал кучланишлар стерженнинг қўндаланг кесимига  $45^\circ$  қия бўлган юзаларда максимал бўлиб, миқдори бош кучланишлар айирмасининг ярмига тенг бўлади.

Биз  $\sigma_x$  билан  $\sigma_y$  ни чўзувчи кучланиш деб фараз қилдик. Аммо буларнинг иккаласи сиқувчи бўлиб ёки бири чўзувчи, иккинчиси сиқувчи бўлганда ҳам, чиқарилган муносабатлар ўз кучини сақлайди. Кучланиш сиқувчи бўлса, фақат унинг ишорасини тескарига алмаштириш керак. Биз қия кесимдаги нормал кучланиш билан тангенциал кучланишни топдик, бошқача қилиб айтганда, қия кесимдаги тўла кучланиш  $\rho_\theta$  нинг кесим нормали ва уринмаси йўналишидаги проекцияларини топдик. Бироқ  $\theta$  бурчак ўзгариши билан бу ўқлар ҳам ўз йўналишларини ўзгартиради. Шунинг учун баъзи вақтларда тўла кучланиш  $\rho_\theta$  нинг стерженнинг симметрия ўқлари билан бир хил йўналган ўқлардаги проекцияларини олиш қулайроқдир (91-шакл). Бу ўқлар стерженнинг қия кесимларига нисбатан маълум бир ҳолатда бўлиб, қия кесим ўзгарса ҳам, бу ўқларнинг йўналиши ўзгармайди. Бу ўқларни



91-шакл.

$ox$  ва  $oy$  билан, кучланиш  $p$  нинг бу ўқлардаги проекцияларини эса  $X$  ва  $Y$  билан белгиласак,  $abc$  призмага қўйилган кучларнинг мувозанат шарти куйидаги тенгликларни беради:

$$\begin{aligned} -\sigma_y dF \cos \theta + Y dF &= 0, \\ \sigma_x dF \sin \theta + X dF &= 0; \end{aligned}$$

булардан:

$$\begin{aligned} X &= \sigma_x \sin \theta, \\ T &= \sigma_y \cos \theta. \end{aligned} \quad (33.6)$$

Бу тенгламалар (33.1) ва (33.2) тенгламаларга қараганда анчагина соддадир.

Биз (33.1) ва (33.2) тенгламалардан фойдаланиб, қия кесимлардаги кучланишларни аналитик равишда текширдик. (33.6) тенгламалардан фойдаланиб, бу кесимлардаги кучланишларнинг ўзгариш қонунларини график равишда тасвирлаймиз.

### 34-§. Кучланиш эллипси

$\theta$  бурчакнинг ўзгариши билан қия кесимдаги тула кучланиш ( $p_x$ ) нинг миқдори ва йўналиши ўзгаради. Бу ўзгаришни геометрик тасвирлаш учун  $хоу$  координата ўқларини олиб (92-шакл), координаталар бошидан тула кучланиш ( $p_x$ ) ни  $ор$  вектор тарзида (маълум масштабда) чизамиз. Бу вектор учининг координаталари  $x$ ,  $y$  бўлиб, (33.6) тенгламалар билан аниқланади.  $\theta$  бурчак ўзгариши билан  $p_x$  векторнинг  $p$  учи бирор эгри чизик чизади.



92-шакл.



93-шакл.

Бу эгри чизикнинг параметрик тенгламаси (33.6) тенгламалар билан ифодаланади, яъни:

$$\begin{aligned} x &= \sigma_x \sin \theta, \\ y &= \sigma_y \cos \theta \end{aligned} \quad (34.1)$$

бўлади.

Аmmo бу тенгламалар эллипснинг параметрик тенгламалари бўлиб, бу ерда  $\theta$  параметр ўрнидадир.

Агар биз (34.1) тенгламадан параметр ( $\theta$ ) ни чиқариб юборсак, эллипснинг каноник тенгламаси ҳосил бўлади:

$$\frac{x^2}{\sigma_x^2} + \frac{y^2}{\sigma_y^2} = 1. \quad (34.2)$$

Бу эллипсни *кучланиш эллипси* деб атаймиз. Демак, қия юзадаги кучланишни тасвирловчи  $ор$  векторининг учи ярим ўқлари  $\sigma_x$  ҳамда  $\sigma_y$  га тенг бўлган эллипс чизар экан (92-шакл).

Агар бу кучланишлардан бири, масалан,  $\sigma_y = 0$  бўлса,  $x$  ўқига томон йўналган оддий қўзилиш содир бўлади. Бу ҳол учун кучланиш эллипси

туғри чизиққа айланади (93-а шакл). Агар  $\sigma_x = \sigma_y$  бўлса, яъни призматик стерженнинг узаро тик йқкала томонига бир хилда чузувчи ёки сиқувчи кучланишлар қўйилган бўлса, кучланиш эллипси доирага айланади (93-в шакл). Бу ҳолда кучланиш ҳамма йўналишлардаги юзалар учун бир хил қийматга эга бўлиб, стерженда тангенциал кучланиш бўлмайди, чунки:

$$\tau = \frac{\sigma_x - \sigma_y}{2} \sin 2\theta = 0.$$

### 35-§. Текис кучланиш ҳолати учун Мор усули (Мор доираси)

Энди кучланиш ҳолатини текшириш учун Мор усулини татбиқ этамиз. Ихтиёрий қия кесимдаги кучланишларни геометрик тасвирлаш ва график усулда аниқлашни Мор таклиф қилганлиги бизга маълум. Абсцисса ўқи бўйлаб  $\sigma_x$  ва  $\sigma_y$  бош кучланишларни маълум масштабда қўямиз. Улар  $OA$  ва  $OB$  кесмалар билан тасвирлансин.

$AB$  кесмани диаметр деб қабул қилиб, бу диаметро учун доира чизамиз (94-шакл). Бу доиранинг радиуси  $\frac{\sigma_x - \sigma_y}{2}$  га тенг бўлиб, марказининг координаталари  $\left(\frac{\sigma_x + \sigma_y}{2}\right)$  дир. Стерженнинг бирор қия кесимидаги кучланишлар бу доирада ётувчи нуқтанинг координаталари билан ифодаланишини кўрсатамиз.

(33.1) ва (33.2) тенгламаларни  $2\theta$  бурчак орқали ифодалаймиз. Бунинг учун қуйидаги тригонометрик формулалардан фойдаланамиз:

$$\cos^2 \theta = \frac{1 + \cos 2\theta}{2},$$

$$\sin^2 \theta = \frac{1 - \cos 2\theta}{2},$$

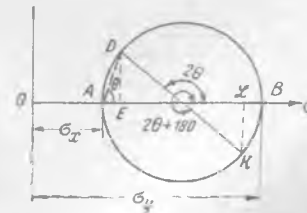
Буни кузда тутсак,  $\sigma$  ва  $\tau$  ифодаси қуйидагича ёзилади.

$$\left. \begin{aligned} \sigma &= \frac{\sigma_x + \sigma_y}{2} + \frac{\sigma_x - \sigma_y}{2} \cos 2\theta, \\ \tau &= \frac{\sigma_x - \sigma_y}{2} \sin 2\theta. \end{aligned} \right\} (35.1)$$

Бу тенгламалардан  $\theta$  ни чиқариб юбориб,  $\sigma$  билан  $\tau$  орасидаги муносабатни боғловчи қуйидаги тенгламани ҳосил қиламиз:

$$\left(\sigma - \frac{\sigma_x + \sigma_y}{2}\right)^2 + \tau^2 = \left(\frac{\sigma_x - \sigma_y}{2}\right)^2. \quad (35.2)$$

Бу тенглама, ҳақиқатан ҳам, маркази абсцисса ўқида, координаталар бошидан  $\frac{\sigma_x + \sigma_y}{2}$  масофада ётувчи ва радиуси  $\left|\frac{\sigma_x - \sigma_y}{2}\right|$  га тенг доиранинг тенгламасидир. Текшириляётган ҳол учун  $\theta$  бурчак остида қия бўлган бирор кесимдаги нормал ва тангенциал кучланиш Мор доирасининг  $D$  нуқтаси билан аниқланса, унга тик юзадаги кучланиш, яъни  $\theta + 90^\circ$  бурчак остида бўлган юзадаги кучланиш  $DK$  диаметрининг  $K$  нуқтаси координаталари билан аниқланади. 94-шаклдан  $DE = -LK$  ёки  $\tau = -\tau'$ , яъни узаро тик юзалардаги тангенциал кучланишлар текис кучланиш ҳолатида ҳам тенг ва йўналиши қарама-қарши бўлар экан. Бу натижа умумий кучланиш ҳолати учун ҳам ўринли эканини исботласа булади. Тангенциал кучланиш  $2\theta = 90^\circ$  ёки  $\theta = 45^\circ$  бўлганида максимал бўлиши 94-шаклдан аниқ кўриниб турибди.



94-шакл.

Нормал кучланиш ҳам  $\theta = 0$  ёки  $D$  нуқта  $B$  устига,  $K$  нуқта  $A$  устига келганда максимал ва минимал қийматларга эришиб, улар тегишлича:

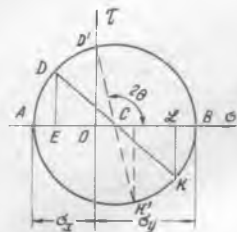
$$\sigma_{\max} = \sigma_y, \quad \sigma_{\min} = \sigma_x$$

бўлади.

Текширилаётган кесим  $ox$  ўқи билан  $0^\circ$  бурчак ташкил қилганда, нормал кучланиш ( $\sigma$ ) максимум бўлиб,  $90^\circ$  бурчак ташкил қилганда нормал кучланиш ( $\sigma$ ) минимум бўлади, демак бир юзада нормал кучланиш максимал қийматга эришса, унга тик юзада бу кучланиш минимал бўлар экан.

Нормал кучланишлар максимум ва минимумга эришган юзаларда, тангенциал кучланишлар ноль бўлганидан, бу юзалар бош юзалар дейилади.

Демак, 94-шаклда тасвирланган Мор доираси бош кучланишлар асосида чизилган. Нормал ва тангенциал кучланишлар ҳисил бўлаётган юзаларнинг ҳолатини бош юзаларга нисбатан график равишда, яъни бевосита Мор доирасидан аниқлаш мумкин.  $A$  нуқтани  $D$  билан туташтирувчи кесмининг йўналиши абсцисса ўқи билан  $\theta$  бурчак ҳосил қилади. Бу бурчак эса қия юза нормалининг  $Oy$  ўқи билан тузган бурчагидир (94-шакл).



95-шакл.

Биз текис кучланиш ҳолатидаги бош кучланишларнинг мусбат бўлган ҳоли учун Мор доирасини чиздик. Агар бош кучланишлардан бири ёки иккаласи ҳам сиқувчи бўлса, у ҳолда манфий бош кучланишни координаталар бошидан чапга, манфий томонга қараб қўйиш керак. Масалан,  $ox$  ўқига тик бўлган юзадаги  $\sigma_x$  кучланиш манфий бўлсин. Бу ҳол учун чизилган Мор доирасида  $2\theta$  бурчакни шундай таялмаймизки,  $D$  нуқта  $t$  ўқидаги  $D'$  нуқтада бўлсин (95-шакл).  $D$  нуқтага оид юзада нормал кучланиш нолга тенг бўлиб, унга тик юзада, яъни  $K'$  нуқтага оид юзада нормал кучланиш чўзувчи ва сиқувчи кучланишларнинг айирмасига тенг бўлади:

$$\sigma = 2OC = 2 \left( \frac{\sigma_x + \sigma_y}{2} - \sigma_x \right) = \sigma_y - \sigma_x.$$

$\sigma_y = -\sigma_x$  бўлган ҳол учун,  $\theta = 45^\circ$  бўлганда, нормал кучланиш нолга тенг бўлиши 96-шаклдан кўришиб турибди. Бу ҳол учун тангенциал кучланиш энг катта қийматга эришиб, у  $\tau_{\max} = \sigma_x = \sigma_y$  бўлади.  $45^\circ$  бурчак қияланган кесимларда соф силжиш деформацияси юз беради.

$\sigma_x = \sigma_y$  бўлса, яъни призматик стержень ўзаро тик йўналган бир хилда чўзувчи ёки сиқувчи кучланишлар таъсирида бўлса, Мор доираси нуқтага айланиб, ҳар қандай қия кесимлар учун  $\tau = 0$ ,  $\sigma = \sigma_x = \sigma_y$  бўлади. Бундай кучланишлар бир жинсли кучланишлар дейилади.

### 36-§. Текис кучланиш ҳолати учун бош юзалар ва бош кучланишлар

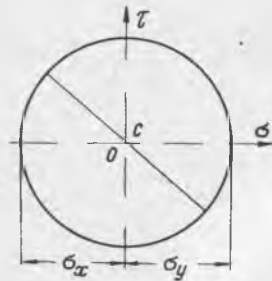
Призматик стержень текис кучланиш ҳолатида бўлсин. Ундан ёқлари бир-бирига тик бўлган тўғри бурчакли куб ажратамиз (97-шакл).  $x$  ва  $y$  ўқларни кубнинг томонларига тик қилиб йўналтирсак, унинг томонларидаги нормал кучланишлар тегишлича  $\sigma_x$  ва  $\sigma_y$  бўлади.  $x$  ва  $y$  ўқларига тик бўлган юзалардаги тангенциал кучланишларни қуйидагича ишоралаймиз:  $x$  ўқига тик бўлган юзадаги  $y$  ўқи бўйлаб йўналган тангенциал кучланишини  $\tau_{xy}$  билан,

шунингдек,  $y$  ўқиға тик бўлган юзадаги  $x$  ўқи бўйлаб йўналган тангенциал кучланишни  $\tau_{xy}$  билан белгилаймиз.

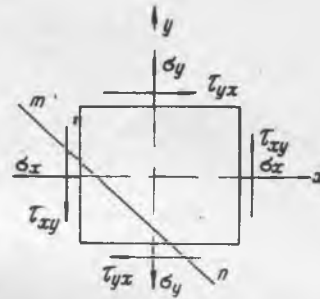
Биринчи ишора тангенциал кучланишнинг қайси юзада эканини, иккинчиси эса унинг йўналишини кўрсатади. Ҳазор тик юзалардаги тангенциал кучланишлар сон жиҳатдан тенг бўлиб, тўғри бурчак қиррадан қарама-қарши томонларга қараб йўналгани учун (98-шакл):

$$\tau_{xy} = -\tau_{yx} \quad (36.1)$$

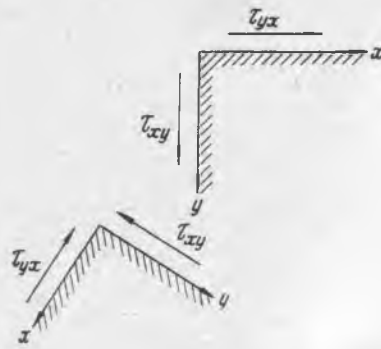
бўлади.



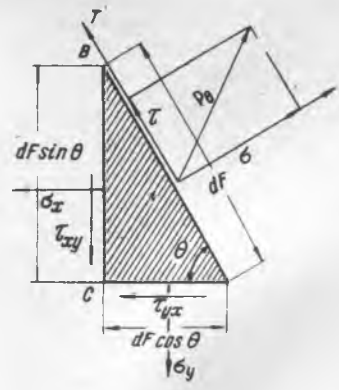
96-шакл.



97-шакл.



98-шакл.



99-шакл.

Демак, текис кучланиш ҳолати учта  $\sigma_x, \sigma_y, \tau_{xy}$  кучланишлар билан аниқланар экан. Энди юқоридаги кубнинг бирор қиррасига чексиз яқин ва томонларига ихтиёрий равишда қиялатилган  $mn$  текисликни ўтказамиз. Ажратилган чексиз кичик  $ABC$  уч бурчакли призманинг мувозанатини текшираемиз (99-шакл). Ҳазор тик  $AC$  ва  $BC$  юзларга ихтиёрий бурчак остида қиялатилган  $AB$  юзадаги  $\sigma$  ва  $\tau$  кучланишларни ҳалиги  $\sigma_x, \sigma_y$  ва  $\tau_{xy}$  кучланишлар орқали ифодаalayмиз.

$AB$  юзни  $dF$  десак,  $AC$  ва  $BC$  юзлар тегишлича  $dF \sin \theta$  ва  $dF \cos \theta$  бўлади.

Призмага таъсир қилувчи кучларнинг қия юза нормали ( $N$ ) билан уринмаси ( $T$ ) даги проекциялари йиғиндисини нолга тенглаштирсак, ҳосил бўлган тенгламадан  $dF$  ни қисқартиб,  $\sigma$  ва  $\tau$  учун қуйидагиларни оламыз:

$$\begin{aligned}\sigma &= \sigma_x \sin^2 \theta + \sigma_y \cos^2 \theta + 2\tau_{xy} \sin \theta \cos \theta, \\ \tau &= (\sigma_x - \sigma_y) \sin \theta \cos \theta + \tau_{xy} (\cos^2 \theta - \sin^2 \theta).\end{aligned}$$

$\theta$  нинг ўрнига қўш бурчак ( $2\theta$ ) ни  $\sin^2 \theta = \frac{1 - \cos 2\theta}{2}$ ,  $\cos^2 \theta = \frac{1 + \cos 2\theta}{2}$  формулалар воситаси билан киритсак,

$$\left. \begin{aligned}\sigma &= \frac{\sigma_y + \sigma_x}{2} + \frac{\sigma_y - \sigma_x}{2} \cos 2\theta + \tau_{xy} \sin 2\theta, \\ \tau &= \frac{\sigma_x - \sigma_y}{2} \sin 2\theta + \tau_{xy} \cos 2\theta.\end{aligned} \right\} \quad (36.2)$$

тенгламаларни ҳосил қиламиз. Бу тенгламалардан  $\theta$  ни чиқариб ташласак,  $\sigma$  ва  $\tau$  орасидаги муносабат қуйидаги тенглама билан ифодаланади:

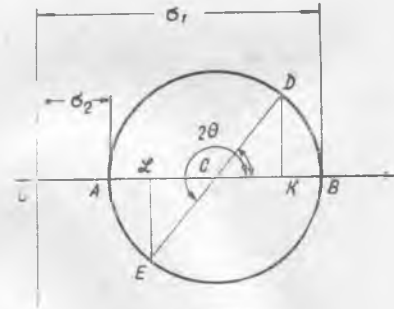
$$\left( \sigma - \frac{\sigma_x + \sigma_y}{2} \right)^2 + \tau^2 = \left( \frac{\sigma_y - \sigma_x}{2} \right)^2 + \tau_{xy}^2. \quad (36.3)$$

Демак,  $\sigma$  ва  $\tau$  кучланишлар маркази абсцисса ўқида, координаталар бошидан  $\frac{\sigma_y + \sigma_x}{2}$  масофада ва  $R = \sqrt{\left( \frac{\sigma_y - \sigma_x}{2} \right)^2 + \tau_{xy}^2}$

радиусли доира устида ётадиган нуқталарнинг координаталари билан аниқланар экан. Текис кучланиш ҳолати ўзаро тик юзалардаги  $\sigma_x$ ,  $\sigma_y$  ва  $\tau_{xy} = \tau_{yx}$  кучланишлар билан аниқлангани учун, бу кучланишларга тегишли нуқталарни  $(\sigma, \tau)$  текислигида аниқлаш қийин эмас. Улар  $D$  ва  $E$  булсин.

Бу нуқталар Мор доирасининг диаметрини аниқлайди. Доиранинг маркази  $DE$  диаметр билан абсцисса ўқининг кесишган нуқтасида ётади. Бу ҳол учун чизилган Мор доираси 100-шаклда тасвирланган.

Текширилаётган текис кучланиш ҳолати учун нормали  $y$  бўлган юзага  $\theta$  бурчак остида қия бўлган юзадаги  $\sigma$  ва  $\tau$  мазкур бурчакнинг қандэй қийматларида максимум ва минимум бўлишини текширамиз. Бу масаланинг жавобини 100-шаклдаги Мор доирасидан бевосита оли-



100-шакл.

шимиз мумкин.  $D$  нуқтага тегишли юзага  $\theta_0$  бурчак остида,  $E$  нуқтага тегишли юзага  $\theta_0 + \frac{\pi}{2}$  бурчак остида қия бўлган юзаларда нормал кучланишларнинг максимум ва минимум бўлиши доирадан куриниб турибди. Бу максимал ва минимал қийматлар доиранинг  $B$  ва  $A$  нуқталарига мос келади. Уларни тегишлича  $\sigma_1$  ва  $\sigma_2$  билан белгилаймиз.

Бу кучланишларни аниқловчи  $A$  ва  $B$  нуқталар абсцисса ўқида ётгани учун, у юзалардаги тангенциал кучланишлар нолга тенг бўлади. Демак, нормал кучланишлар максимум ва минимумга эришган юзалар бош юзала экан. Ана шу бош юзаларнинг йўналишини: нормали  $y$  бўлган юзага нис-

батан аниқлайдиган тенгламани чиқарамиз 100- шаклда тасвирланган куч ланиш доирасидаги  $CDK$  учбурчакдан:

$$\operatorname{tg} 2\theta = \frac{DK}{CD} = \frac{2\tau_{xy}}{\sigma_y - \sigma_x}. \quad (36.4)$$

Бу тенгламани  $\theta_0$  билан бирга  $\theta_0 + \frac{\pi}{2}$  ҳам қаноатлантиради, чунки:

$$\operatorname{tg}(2\theta_0 + \pi) = \operatorname{tg} 2\theta_0.$$

Демак, нормали  $y$  бўлган юзага нисбатан ўзаро тик иккита бош юзларни аниқладик. Энди, бу юзалардаги бош кучланишларни ҳисоблаш учун формулалар чиқарамиз.

100- шаклдаги кучланиш доирасидан:

$$OB = OC + CB; \quad OA = OC - CA, \quad OB = \sigma_1, \quad OA = \sigma_2; \quad CB = CA \pm CD$$

бўлгани учун, уларни қуйидагича ёзамиз:

$$\sigma_{1,2} = OC \pm CD.$$

бунда:

$$OC = \frac{\sigma_x + \sigma_y}{2}; \quad CD = \sqrt{\left(\frac{\sigma_x - \sigma_y}{2}\right)^2 + \tau_{xy}^2} = \frac{1}{2} \sqrt{(\sigma_x - \sigma_y)^2 + 4\tau_{xy}^2}.$$

Булар кўзда тутилса, бош кучланишлар учун қуйидаги формулалар ҳосил қилинади:

$$\sigma_{1,2} = \frac{1}{2} \left\{ (\sigma_x + \sigma_y) \pm \sqrt{(\sigma_x - \sigma_y)^2 + 4\tau_{xy}^2} \right\}. \quad (36.5)$$

Бу бош кучланишлар ҳосил бўлган юзаларнинг нормали  $y$  ўқи билан  $\theta_0$  ва  $\theta_0 + \frac{\pi}{2}$  бурчаклар ҳосил қилади. Аммо (36.4) тенглама  $\sigma_1$  кучланиш ҳосил бўладиган юзани аниқловчи  $\theta_0$  бурчакнинг қайси чоракда ётишини аниқлай олмайди. Чунки,  $2\theta_0$  бурчакни аниқловчи тангенс бир қийматлик эмас. Шунинг учун тангенснинг ўрнига синус ва косинусни олишга тўғри келади. (36.4) тенгламадан фойдаланиб,  $\sin 2\theta_0$  ва  $\cos 2\theta_0$  учун қуйидагиларни ҳосил қиламиз:

$$\begin{aligned} \sin 2\theta_0 &= \frac{2\tau_{xy}}{\pm \sqrt{(\sigma_x - \sigma_y)^2 + 4\tau_{xy}^2}} \\ \cos 2\theta_0 &= \frac{2(\sigma_x - \sigma_y)}{\pm \sqrt{(\sigma_x - \sigma_y)^2 + 4\tau_{xy}^2}}; \end{aligned} \quad (36.6)$$

Бош кучланиш  $\sigma_1$  учун  $\sin 2\theta_0$  ва  $\cos 2\theta_0$  ифодасидаги радикал олдига мусбат белги,  $\sigma_2$  учун эса манфий белги қўйиб,  $\theta_0$  ва  $\theta_0 + \frac{\pi}{2}$  учун маълум йўналишларни оламиз. Масалан,  $\tau_{xy}$  ва  $\sigma_x - \sigma_y$  мусбат бўлса, бурчак  $\theta_0$ , яъни  $\sigma_1$  кучланишнинг йўналиши биринчи чоракда, бурчак  $\theta_0 + \frac{\pi}{2}$ , яъни  $\sigma_2$  кучланишнинг йўналиши иккинчи чоракда бўлади.

$$\sigma_1 = OB = OC + CB \quad \text{ва} \quad \sigma_2 = OA = OC - CB$$

эди. Буларни қўшсак,  $\sigma_1 + \sigma_2 = 2OC = \sigma_x + \sigma_y$  чиқади; демак, ўзаро тик юзалардаги нормал кучланишнинг йиғиндиси ўзгармас сон булар экан.

Энди, тангенциал кучланиш максимал ва минимал қийматларга эришадиган юзаларни ва унинг бу юзалардаги қийматини аниқлаймиз. Бунинг учун (36.2) нинг иккинчи қисмидан  $\theta$  га нисбатан ҳосила оламиз:

$$\frac{d\tau}{d\theta} = -2 \left( -\frac{\sigma_x - \sigma_y}{2} \cos 2\theta + \tau_{xy} \sin 2\theta \right) = 0.$$

Тангенциал кучланиш максимум ёки минимум қийматга эришган юзанинг нормали  $y$  бўлган юзга нисбатан қиялигини  $\theta_1$  деймиз. У ҳолда ҳозиргина чиқарилган тенгламадан  $\theta_1$  ни аниқлаш учун қуйидаги тенгламани оламиз:

$$\operatorname{tg} 2\theta_1 = \frac{\sigma_x - \sigma_y}{2\tau_{xy}}. \quad (36.7)$$

Бу тенгламани (36.4) билан солиштириб, қуйидаги муносабатни чиқарамиз:

$$\operatorname{tg} 2\theta_0 \operatorname{tg} 2\theta_1 = -1. \quad (36.8)$$

Бу тенглама қиялиги  $2\theta_0$  ва  $2\theta_1$  бўлган икки тўғри чизиқнинг ўзаро тиклик шартини ифодалаши аналитик геометриядан маълум.

Бу хулосадан фойдаланиб, бош юзалар билан максимал тангенциал кучланишлар ҳосил бўладиган юзаларнинг орасидаги бурчакларни аниқловчи қуйидаги муносабатларни ҳосил қиламиз:

$$2\theta_1 = 2\theta_0 \pm \frac{\pi}{2};$$

бундан:

$$\theta_1 = \theta_0 \pm \frac{\pi}{4}. \quad (36.9)$$

Тангенциал кучланиш икки йўналишдаги юзаларда максимал ёки минимал қийматга эришади. Бу йўналишлар бош кучланишлар таъсир этувчи юзалар орасидаги бурчакларни тенг икки қисмга бўлиб ўтади.

(36.7) дан  $\sin 2\theta_1$  ва  $\cos 2\theta_1$  ни аниқлаб, (36.2) га қўйсак, максимал ва минимал тангенциал кучланишлар учун қуйидаги формулани ҳосил қиламиз:

$$\tau_{\max} = \pm \frac{1}{2} \sqrt{(\sigma_x - \sigma_y)^2 + 4\tau_{xy}^2}. \quad (36.10)$$

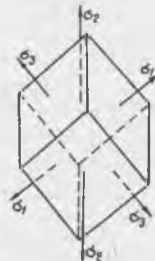
Демак, максимал ва минимал тангенциал кучланишлар сон жиҳатидан тенг бўлиб, ишоралари тескарисдир. Максимал тангенциал кучланишлар доирасининг радиусига тенг эканлиги (36.3) дан кўриниб турибди.

### 37-§. Фазовий кучланиш ҳолати

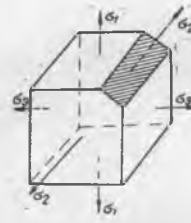
Жисмдан ажратилган параллелепипед шаклидаги элемент ўзаро тик уч йўналиш бўйича чўзувчи ёки сиқувчи кучланишлар таъсирида бўлиши мумкин. Бундай шароитдаги элемент фазовий ёки ҳажмий кучланиш ҳолатида деб юргизилади. Бундай ҳоллар амалда кўп учрайди. Масалан, темир-бетон ёки ер тўғонларидан, кўприкларнинг таянчидан ва шунга ўхшаш иншоот қисмларидан ажратилган ҳар қандай элемент худди юқорида айtilган кучланиш ҳолатида бўлади. Фазовий кучланиш ҳолатидаги жисмнинг ҳар қандай нуқтасидан ўзаро тик шундай учта юза ўтказиш мумкинлиги, бу юзаларда тангенциал кучланишлар нолга тенг бўлиб, фақат нормал кучланиш

ларгина таъсир қилади. Бундай юзаларни *бош юзалар* деган эдик. Бу ҳол эластиклик назариясида исбот қилинади. Бош юзалардаги нормал кучланишлар *бош кучланишлар* дейилади (бу таърифлар текис кучланиш ҳолати учун берилган эди). Уларни тегишлича  $\sigma_1, \sigma_2, \sigma_3$  билан белгилаймиз. Булардан энг каттаси  $\sigma_1$ , энг кичиги  $\sigma_3$ , яъни  $\sigma_1 > \sigma_2 > \sigma_3$  деб фараз қилайлик. Бирор нуқтадан ўтказилган бир қанча юзалардаги нормал кучланишлардан энг каттаси ва энг кичиги бош кучланишлар эканлигини текис кучланиш ҳолати учун исбот этган эдик. Фазовий кучланиш ҳолати учун ҳам бирор нуқтадан ўтказилган барча юзалардаги нормал кучланишлардан энг каттаси ва энг кичиги бош юзаларда осил бўладиган максимал ва минимал бош кучланишлар бўлишини исботлаш мумкин. Биз бу ҳолни кейинроқ исботлаймиз.

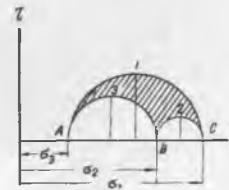
Фазовий кучланиш ҳолатидаги жисмнинг бирор нуқтасида бош юзаларга параллел ўзаро тик уч текислик билан чегараланган чексиз кичик бир куб ажратамиз, бу куб ўзаро тик уч йўналиш бўйича чўзилиш ёки сиқилиш ҳолатида бўлади (101-шакл).



101-шакл.



102-шакл.



103-шакл.

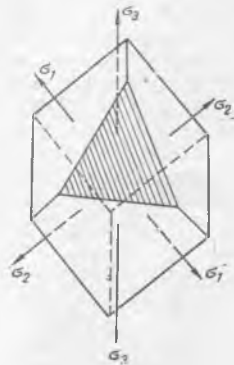
Энди, ҳалиги кубнинг турли кесимларидаги кучланишларни аниқлашга ўтамиз. Учта бош кучланишдан бирортасига параллел бўлиб, қолган иккитасига қия юзадаги нормал ва тангенциал кучланишларни аниқлаймиз. Бундай юзалардаги кучланишлар мазкур юзага параллел бош кучланишга боғлиқ бўлмаслиги бизга маълум. Масалан,  $\sigma_2$  кучланишга параллел юзалардаги нормал ва тангенциал кучланишлар  $\sigma_1$  билан  $\sigma_3$  га боғлиқ (102-шакл). Бу юзалардаги нормал ва тангенциал кучланишлар (35.1) га мувофиқ қуйидаги тенгламалардан аниқланади:

$$\left. \begin{aligned} \sigma &= \frac{\sigma_1 + \sigma_3}{2} + \frac{\sigma_1 - \sigma_3}{2} \cos 2\theta, \\ \tau &= \frac{\sigma_1 - \sigma_3}{2} \sin 2\theta. \end{aligned} \right\} \quad (37.1)$$

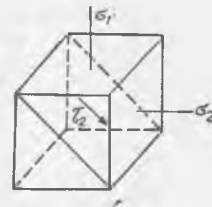
Худди шундай тенгламаларни  $\sigma_1$  ва  $\sigma_3$  га параллел юзалардаги нормал ва тангенциал кучланишлар учун ҳам ёзишимиз мумкин.

Бу уч гуруҳ қия юзалардаги нормал ва тангенциал кучланишларни график равишда тасвирловчи Мор доираларини чизамиз. Улар 103-шаклда  $AC$ ,  $AB$  ва  $BC$  диаметрлар асосида чизилган 1, 2, 3 доиралар билан тасвирланган. Бу уч доира билан чегараланиб, штрихлаб қўйилган юза нуқталарининг координаталари бош юзалардан бирига ҳам параллел бўлмаган юзалардаги (104-шакл) нормал ва тангенциал кучланишларни аниқлаши эластиклик назариясида исбот қилинади.

АС диаметр асосида чизилган 1-доиранинг С нуқтасига мос юзадаги нормал кучланиш барча юзаларда ҳосил бўлиши мумкин бўлган нормал кучланишлардан энг каттасидир. Шунингдек, А нуқтасига тегишли юзадаги нормал кучланиш барча юзаларда ҳосил бўладиган нормал кучланишлардан энг кичигидир. Юқорида максимал бош кучланиш маълум нуқтадан ўтказилган барча юзалардаги нормал кучланишлардан энг каттаси бўлади деган эдик. Ҳозиргина чиқарган хулосамиз бу фикрнинг тўғрилигини тасдиқлайди. Энди, максимал тангенциал кучланишни аниқлашга ўтамиз. 103-шаклдан энг катта тангенциал кучланиш 1-доиранинг радиуси билан тасвирланишини кўрамиз:



104- шакл.



105- шакл.

$$\tau_1 = \frac{\sigma_1 - \sigma_3}{2} \quad (37.2)$$

Бу кучланиш  $\sigma_1$  ва  $\sigma_3$  таъсир этувчи юзаларга  $45^\circ$  бурчак остида қияланган юзада бўлади (105-шакл). Шунингдек,  $\sigma_1$  ва  $\sigma_2$  ҳамда  $\sigma_2$  ва  $\sigma_3$  кучланишлар таъсир этаётган юзаларга  $45^\circ$  бурчак остида қияланган юзалардаги тангенциал кучланишларнинг ифодасини ҳам ёзишимиз мумкин. Улар 103-шаклдаги 2 ва 3-Мор доираларининг радиуслари билан ифодаланади.

$$\left. \begin{aligned} \tau_2 &= \frac{\sigma_2 - \sigma_3}{2} \\ \tau_3 &= \frac{\sigma_1 - \sigma_2}{2} \end{aligned} \right\} \quad (37.3)$$

Агар учта бош кучланишдан биттаси нолга тенг, масалан,  $\sigma_3 = 0$  бўлса, текис кучланиш ҳолати вужудга келади.

$$\sigma_1 > \sigma_2 > 0$$

бўлсин. У ҳолда (37.2) ва (37.3) қуйидагича ёзилади:

$$\tau_1 = \frac{\sigma_1}{2}, \quad \tau_2 = \frac{\sigma_2}{2}, \quad \tau_3 = \frac{\sigma_1 - \sigma_2}{2} \quad (37.4)$$

Булардан энг каттаси  $\tau_1$  бўлади.

Текис кучланиш ҳолати турли ишорали бош кучланишлар билан берилган бўлса,

$$\sigma_1 > 0, \quad \sigma_2 < 0.$$

бўлади, у ҳолда максимал тангенциал кучланиш:

$$\tau_3 = \frac{\sigma_1 - (-\sigma_2)}{2} = \frac{\sigma_1 + \sigma_2}{2}$$

бўлади.

### 38-§. Чўзилишдаги ва сиқилишдаги стерженларнинг кўндаланг деформацияси (Пуассон коэффициентини)

Призматик стерженлар ўқи бўйлаб чўзилганда, кўндаланг кесимларининг ингичкаланиши 11-параграфда айтиб ўтилган эди. Умуман, бўйлама деформация кўндаланг деформацияни ҳосил қилади. Пропорционаллик чегарасида кўндаланг деформация ( $\epsilon_q$ ) нинг бўйлама деформация ( $\epsilon$ ) га нисбати берилган материал учун ўзгармас сон эканлигини тажрибалар тасдиқлаб берди. Бу ўзгармас сон  $\mu$  билан белгиланади ва *Пуассон коэффициентини* дейилади. Пуассон бу масала билан биринчи марта шуғулланиб, материалларнинг молекуляр тузилиши назарияси асосида, бу коэффициентнинг ўзгармас сон эканлигини кўрсатган ва у барча материаллар учун 0,25 га тенг, деган хулоса чиқарган эди. Иншоотларда ишлатиладиган материаллар билан ўтказилган тажрибалар  $\mu$  нинг қиймати Пуассон чиқарган хулосадан кам фарқ қилишини кўрсатди. Масалан, пўлат учун  $\mu = 0,30$ . Берилган материал учун Пуассон коэффициентини маълум бўлса, деформация натижасида жисм ҳажмининг ўзгаришини ҳисоблаб топиш мумкин.

Чўзилувчи стержендан, унинг ўқи ва кўндаланг кесимга параллел текисликлар ёрдамида ўлчамлари бирга тенг бўлган кубик ажратамиз.

Призматик стержень деформацияланганда кубик ҳам деформацияланади. Унинг чўзилиши призматик стерженнинг нисбий чўзилиши ( $\epsilon$ ) га тенг, кўндаланг деформацияси эса, (11.4) га мувофиқ,  $\epsilon_q = \mu\epsilon$  дир. Кубикнинг деформациядан кейинги ўлчамлари  $(1 + \epsilon)$ ,  $(1 - \mu\epsilon)^2$  бўлади. Кубикнинг деформациядан олдинги ҳажми  $V = 1 \text{ см}^3$  бўлса, деформациядан кейинги ҳажми  $V' = (1 + \epsilon)(1 - \mu\epsilon)^2 \text{ см}^3$  бўлади. Бу ифодадаги  $\epsilon$  нинг 2-ва юқори даражаларини эътиборга олмай,  $V'$  учун қуйидаги ифодани ҳосил қиламиз:

$$V' = 1 + \epsilon - 2\mu\epsilon = 1 + \epsilon(1 - 2\mu). \quad (38.1)$$

Ҳажмнинг нисбий ўзгаришини аниқлаймиз:

$$\eta = \frac{V' - V}{V} = \epsilon(1 - 2\mu). \quad (38.2)$$

Деформациядан кейин стерженнинг ҳажми албатта ўзгаради. Чўзилиш вақтида ҳажм камаймай, бирмунча ортади, шунинг учун:

$$\eta = \epsilon(1 - 2\mu) > 0;$$

$\epsilon > 0$ , ҳажмнинг нисбий ўзгариши  $\eta > 0$  бўлиши учун,  $1 - 2\mu > 0$  ёки  $\eta < \frac{1}{2}$  бўлиши керак.

Пуассон коэффициентини ҳазма вақт 0,5 дан кичик бўлиб, у қуйидаги ораликда ўзгаради:  $0 \leq \mu \leq 0,5$ . Агар  $\mu > 0,5$  бўлса, деформация натижасида  $\eta < 0$ , яъни ҳажм камайган булар эди. Пропорционаллик чегарасида кўндаланг кесим жуда оз ўзгаради. Масалан, пўлат учун нисбий чўзилиш пропорционаллик чегарасида  $\epsilon = 0,008$  га тенг;  $\mu = 0,28$ ; кўндаланг кесимнинг нисбий ингичкаланиши:

$$\varphi = \frac{F - F'}{F} 100 \% = \frac{F - F(1 - \mu\epsilon)^2}{F} 100 \% = 0,04 \% .$$

Бундан кўринадики, пропорционаллик чегарасигача кўндаланг кесим юзи ўзгармайди, деган хулоса чиқариш мумкин экан.

### 39-§. Кучланиш билан деформациянинг умумий муносабати

Фазовий кучланиш ҳолатидаги жисмдан унинг бирор нуқтасидаги бош юзаларга параллел бўлган уч жуфт текислик билан чегараланган чексиз кичик параллелепипед ажратамиз. У ҳолда бу параллелепипеднинг томонларига фақат бош кучланишлар қўйилган бўлади. Ана шу бош кучланишлар таъсиридан ҳосил бўлган деформацияларни ҳисоблаймиз. Параллелепипеднинг  $\sigma_1$  кучланишга параллел қиррасини 1,  $\sigma_2$  ва  $\sigma_3$  га параллел қирраларини 2, 3 деб белгилаймиз ва мазкур қирраларга параллел йўналишлардаги бўйлама деформацияларини аниқлаймиз. Ҳар қайси қиррага параллел деформация учала бош кучланиш  $\sigma_1$ ,  $\sigma_2$ ,  $\sigma_3$  га боғлиқ бўлгани учун, уларнинг таъсирини алоҳида текшираемиз.

Бош кучланиш  $\sigma_1$  таъсиридан 1-қиррага параллел деформация:

$$\epsilon_1' = \frac{\sigma_1}{E}$$

бўлади. Шу билан бирга, бу 1-қирра  $\sigma_2$  ва  $\sigma_3$  кучланишларга нисбатан кўндаланг ўлчам бўлади. Демак,  $\sigma_2$ ,  $\sigma_3$  кучланишлар таъсиридан 1-қирра йўналишида кўндаланг деформация ҳосил бўлади. Улар мос равишда:

$$\epsilon_1'' = -\mu \frac{\sigma_2}{E}; \quad \epsilon_1''' = -\mu \frac{\sigma_3}{E}$$

дир. 1-қирра йўналиши бўйича ажратилган элементнинг тўла деформацияси қуйидаги йиғинди билан ифодаланади:

$$\epsilon = \epsilon_1' + \epsilon_1'' + \epsilon_1''' = \frac{\sigma_1}{E} - \mu \frac{\sigma_2}{E} - \mu \frac{\sigma_3}{E}.$$

Худди шундай ифодани қолган икки йўналишдаги деформациялар учун ҳам ёзишимиз мумкин. Бинобарин, бош кучланишлар йўналишидаги деформациялар учун қуйидаги ифодаларни ҳосил қиламиз:

$$\begin{aligned} \epsilon_1 &= \frac{1}{E} [\sigma_1 - \mu (\sigma_2 + \sigma_3)], \\ \epsilon_2 &= \frac{1}{E} [\sigma_2 - \mu (\sigma_1 + \sigma_3)], \\ \epsilon_3 &= \frac{1}{E} [\sigma_3 - \mu (\sigma_2 + \sigma_1)]. \end{aligned} \quad (39.1)$$

Учта  $\sigma_1$ ,  $\sigma_2$ ,  $\sigma_3$  бош кучланишдан бири сиқувчи бўлса, (39.1) формулаларда унинг ишорасини манфийга алмаштириш керак.

Текис кучланиш ҳолати учун бош кучланишлар йўналишдаги деформациялар ифодасини (39.1) дан олса бўлади. Масалан, текис кучланиш  $\sigma_1$  ва  $\sigma_2$  бош кучланишлар билан берилган бўлсин ( $\sigma_3 = 0$ ), у ҳолда:

$$\begin{aligned} \epsilon_1 &= \frac{1}{E} (\sigma_1 - \mu \sigma_2), \\ \epsilon_2 &= \frac{1}{E} (\sigma_2 - \mu \sigma_1), \\ \epsilon_3 &= \frac{\mu}{E} (\sigma_2 + \sigma_1) \end{aligned} \quad (39.2)$$

Бу ҳол учун бош кучланишлар  $\sigma_1$  ва  $\sigma_2$  ни,  $\epsilon_1$  ва  $\epsilon_2$  деформациялар орқали ифодалаймиз:

$$\begin{aligned} \sigma_1 &= \frac{E}{1 - \mu^2} (\epsilon_1 + \mu \epsilon_2), \\ \sigma_2 &= \frac{E}{1 - \mu^2} (\epsilon_2 + \mu \epsilon_1). \end{aligned} \quad (39.3)$$

Жисмдан ажратилган параллелепипед ҳажмининг нисбий ўзгаришини топамиз. Деформациягача унинг ҳажми:

$$V = ax ay az$$

бўлсин.

Деформациядан кейинги ҳажми:

$$V_1 = (1 + \epsilon_1)(1 + \epsilon_2)(1 + \epsilon_3) dx dy dz$$

бўлади. Ҳажмнинг нисбий ўзгариши бундай ёзилади:

$$\epsilon_v = \frac{V_1 - V}{V} = \epsilon_1 + \epsilon_2 + \epsilon_3. \quad (39.4)$$

Қавс очилганда, деформациянинг иккинчи ва учинчи даражаларига эга бўлган ҳадларни эътиборга олмадик,  $\epsilon_1$ ,  $\epsilon_2$ , ва  $\epsilon_3$  нинг қийматларини қўйсак,

$$\epsilon_v = \frac{1}{E}(1 - 2\mu)(\sigma_1 + \sigma_2 + \sigma_3)$$

келиб чиқади; агар

$$\sigma_1 + \sigma_2 + \sigma_3 = 0$$

десак,

$$\epsilon_v = \frac{1 - 2\mu}{E} \theta. \quad (39.5)$$

бўлади.

Энг умумий ҳолда ҳажмнинг нисбий ўзгариши (ҳажм деформацияси) учта бош кучланиш йиғиндисига пропорционал бўлар экан. Бу тенглама ҳажм учун Гук қонунини ифодалайди.

Пропорционаллик коэффициенти:

$$\frac{E}{1 - 2\mu} = K \quad (39.6)$$

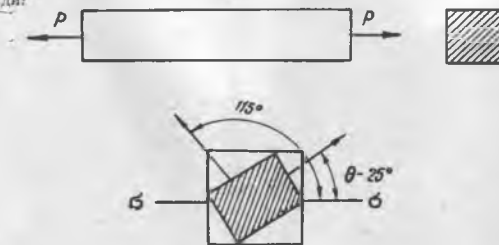
ҳажм учун *эластиклик модули* дейилади. Ҳажм учун эластиклик модули ( $K$ ) нинг Юнг модули ( $E$ ) дан катталиги (39.6) дан кўришиб турибди. Масалан, пўкак учун  $\mu = 0$ , бу ҳолда  $K = E$ , агар  $\mu = \frac{1}{2}$  бўлса:  $\epsilon_v = 0$ , яъни бош кучланишлар йиғиндисининг қиймати ҳар қандай бўлганда ҳам, ҳажм ўзгармайди.

Жисмнинг сиртига бир хилда  $p$  кг/см<sup>2</sup> босим таъсир этса, яъни  $\sigma_1 = \sigma_2 = \sigma_3 = p$  бўлса,  $\theta = \pm 3p$  бўлади. Бу ҳолда (39.5) қуйидагича ёзилади:

$$\epsilon_v = \pm \frac{3(1 - 2\mu)}{E} p. \quad (39.7)$$

### МАСАЛАЛАР

31. Асосининг ўлчамлари  $3 \times 3$  см<sup>2</sup> бўлган призматик стержень ўз ўқи бўйлаб йўналган  $P = 11$  т куч таъсирда чўзилади (106-шакл). Нормали стержень ўқи билан  $\theta_1 = 25^\circ$  ва  $\theta_2 = 25^\circ + 90^\circ = 115^\circ$  бурчак ҳосил қилган юзалардаги кучланишлар аниқлансин.  $\theta$  нинг қандай қийматида шв бурчак билан аниқланган элементнинг нисбий чўзилиши нолга тенг бўлади?



106-шакл.

Ечиш. Призматик стерженнинг кўндаланг кесимидаги кучланиш:

$$\sigma_y = \frac{P}{F} = \frac{11000}{9} \cong 1122 \frac{\text{кг}}{\text{см}^2}$$

$\theta = 25^\circ$  бурчак билан аниқланадиган юзадаги кучланишлар:

$$\sigma = \sigma_y \cos^2 \theta = 1122 \cos^2 25^\circ = 1122 \cdot 0,825 = 1008 \frac{\text{кг}}{\text{см}^2}$$

$$\tau = \frac{\sigma_y}{2} \sin 2\theta = 611 \cdot \sin 50^\circ = 611 \cdot 0,765 = 468 \frac{\text{кг}}{\text{см}^2}$$

$\theta = 115^\circ$  бурчак билан аниқланадиган юзадаги кучланишлар:

$$\sigma^1 = 1122 \cdot \sin^2 25^\circ = 1122 \cdot 0,175 = 214 \frac{\text{кг}}{\text{см}^2}$$

$$\epsilon^1 = 611 \sin 230^\circ = -611 \cdot 0,765 = -468 \frac{\text{кг}}{\text{см}^2}$$

$$\sigma + \sigma^1 = 1008 + 214 \approx 1222, \tau = -\tau.$$

Масаланинг иккинчи қисмини ечиш учун призматик стержендан ўзаро тик юзалар билан чегараланган бир куб ажратамиз. Бу кубнинг томонларидаги нормал кучланишлар  $\sigma_\theta$  ва  $\sigma_{\theta+90^\circ}$  бўлсин. У ҳолда  $\sigma_\theta$  йўналишидаги нисбий чўзилиш қуйидагича ёзилади:

$$\epsilon_\theta = \frac{1}{E} [\sigma_\theta - \mu \sigma_{\theta+90^\circ}].$$

Масала шартига мувофиқ,  $\epsilon_\theta = 0$  бўлиши керак, демак:

$$\sigma_\theta = \mu \sigma_{\theta+90^\circ}; \text{ аммо } \sigma_\theta = \sigma_y \cos^2 \theta, \sigma_{\theta+90^\circ} = \sigma_y \sin^2 \theta.$$

Шунинг учун:

$$\text{tg}^2 \theta = \frac{1}{\mu}; \text{tg} \theta = \pm 1,83, \theta = \pm 61^\circ 20', \theta + 90^\circ = 151^\circ 20'.$$

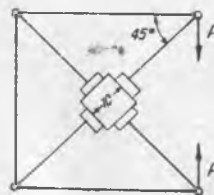
32. Қия юзадаги нормал кучланиш  $\sigma = 840 \text{ кг/см}^2$ , тангенциал кучланиш  $\tau = 280 \text{ кг/см}^2$  бўлса, бу юза нормали чўзувчи куч йўналиши билан қандай  $\theta$  бурчак ҳосил қилади ва  $\sigma_y$  нинг миқдори қанча бўлади?

Жавоби.

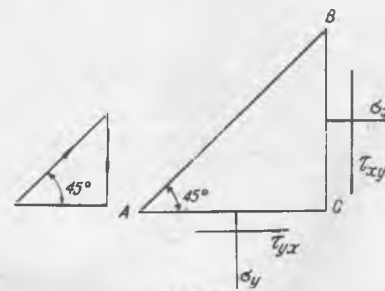
$$\theta = \arctg \frac{1}{3}, \sigma_y = \frac{\sigma}{\cos^2 \theta} = 911 \frac{\text{кг}}{\text{см}^2}$$

33. Кўндаланг кесим юзаси  $20 \times 20 \text{ см}^2$  бўлган қалта бетон стержень  $P$  куч билан сиқилади.  $45^\circ$  қия бўлган юзадаги сиқувчи кучланиш  $15 \text{ кг/см}^2$  га тенг; сиқувчи  $P$  кучнинг миқдори топилсин.

Жавоби.  $P = 12 \text{ т}$ .



107-шакл.



108-шакл.

34. Бетон куб, 107-шаклда кўрсатилгандек, ўзаро тик икки томондан сиқилади. Кубнинг томонлари  $10 \text{ см}$  га тенг; сиқувчи кучланишларни куб томонлари бўйича тенг тарқалган деб фарз қилиб, куб ҳажмининг камайишини аниқланг.

$$\mu = 0, 1; P = 9 \text{ т}.$$

Ечиш. Жорпорнинг мувозанатини текшириб, бетон кубни узара тик йўналишлар бўйича сиқувчи кучни топамиз:  $N = P\sqrt{2} = 12,7 \text{ т}$ .  $N$  куч қўйилган томонлардаги деформациялар:

$$\varepsilon_1 = \varepsilon_2 = -\frac{1}{EF} N (1 - \mu) = -\frac{12700 (1 - 0,1)}{10^2 \cdot 280000} = 0,00041.$$

Учинчи томондаги деформация:

$$\varepsilon_3 = -\frac{\mu}{E} (\sigma_1 + \sigma_2) = 2 \frac{0,1 \cdot 12700}{10^2 \cdot 280000} = 0,00009;$$

куб ҳажмининг нисбий камайиши:

$$\varepsilon_v = \varepsilon_1 + \varepsilon_2 + \varepsilon_3 = 2 \cdot 0,00041 + 0,00009 = -0,00073.$$

35. Асоси  $ABC$  бўлган тўғри бурчакли призманинг қия юзаси  $AB$  ва асоси  $ABC$  га юк қўйилмаган (108-шакл).  $AC$  ва  $BC$  юзалардаги нормал кучланишлар:  $\sigma_x = \sigma_y = 150 \frac{\text{кг}}{\text{см}^2}$ .

$AB$  ва  $BC$  юзаларда ҳосил бўладиган тангенциал кучланишлар, бу кучланиш ҳолати учун бош юзалар ҳамда бош кучланишлар топилсин.

Кўрсатма.  $AB$  юзада  $\sigma = 0$ ,  $\tau = 0$  бўлгани учун,  $\tau_{xy}$  нинг қиймати

$$\sigma = \frac{\sigma_x + \sigma_y}{2} + \frac{\sigma_x - \sigma_y}{2} \cos 2\theta + \tau_{xy} \sin 2\theta = 0$$

тенгламадан аниқланади:

$$\tau_{xy} = 150 \frac{\text{кг}}{\text{см}^2}.$$

$$\sigma_{1,2} = \frac{1}{2} \left( (\sigma_x + \sigma_y) \pm \sqrt{(\sigma_y - \sigma_x)^2 + 4\tau_{xy}^2} \right).$$

Демак,  $\sigma_1 = 300 \text{ кг/см}^2$ ;

$$\operatorname{tg} 2\theta_0 = \frac{2 \cdot 150}{150 - 150} = \infty. \theta_0 = 45^\circ \text{ ёки } \theta^\circ = 135^\circ.$$

Бу юзалардан бири  $AB$  бўлса, иккинчиси  $AB$  га тикдир.

□

## VI боб

### МУСТАҲКАМЛИК НАЗАРИЯЛАРИ

#### 40-§. Мустаҳкамлик назариялари ҳақида тушунча

Оддий чўзилиш ёки сиқилишдаги стерженларнинг мустаҳкамлик шартини қуйидагича тузган эдик:

$$\sigma \ll [\sigma]; \quad (40.1)$$

бунда  $[\sigma]$  — чўзилиш ёки сиқилиш учун рухсат этилган кучланиш. Пластик материаллар учун рухсат этилган кучланиш чўзилишда ва сиқилишда бир хил бўлиб, мўрт материаллар учун ҳар хил бўлиши бизга маълум. Рухсат этилган кучланиш хавфли ҳолат бошланиш олдидаги кучланишнинг бир қисмига тенг. Хавфли ҳолат пластик материаллар учун қолдиқ деформациянинг мавжуд бўлиши билан, мўрт материаллар учун эса материалнинг дарз кетиши билан характерланади. Рухсат этилган кучланиш бу икки ҳол учун қуйидагича ёзилади:

$[\sigma] = \frac{\sigma_T}{n}$  пластик материаллар учун,

$[\sigma] = \frac{\sigma_b}{n}$  мўрт материаллар учун.

Оддий чўзилиш ёки сиқилишда материалдаги хавфли ҳолатнинг бошланишига оид кучланишлар лаборатория тажрибаларидан аниқланади. Чўзилиш ёки сиқилиш каби таъсирларни синов машиналарида бажариш мумкин; шу сабабли синалаётган материал учун оқиш чегарасига ёки мустаҳкамлик чегарасига оид кучланишларни аниқлаш жуда осон.

Иншоот элементлари кучларнинг мураккаб таъсирида бўлса, унинг бирор нуқтасида бош юзаларга параллел қилиб ўтказилган уч жуфт текислик билан чегараланган параллелепипеднинг томонларига учта  $\sigma_1$ ,  $\sigma_2$ ,  $\sigma_3$  бош кучланиш таъсир қилади. Бу ҳолда ажратилган элемент учун хавфли ҳолатнинг бошланиши шу учта бош кучланишнинг қийматларига ва уларнинг турли комбинациядаги нисбатларига боғлиқдир. Бу комбинацияларнинг ҳаммасини олдиндан маълум схемага солиш мумкин бўлмагани учун, лаборатория шароитида тегишли тажрибалар ҳам ўтказиб бўлмайди. Шунинг учун, мураккаб кучланиш ҳолатидаги иншоот элементларининг мустаҳкамлик шартларини бошқа усуллар билан тузиш зарурати туғилади.

Мураккаб кучланиш ҳолатидаги элемент материали учун  $\sigma_T$  билан  $\sigma_b$  нинг оддий чўзилиш ёки сиқилишга оид қийматларини тажриба ёрдамида аниқлаш мумкин.

Мураккаб кучланиш ҳолатидаги элементнинг мустаҳкамлик шартини оддий кучланиш ҳолатидаги стержень учун аниқланган  $\sigma_T$  ва  $\sigma_b$  га боғлаб аниқлашга тўғри келади.

Қўйилган масала материалнинг мустаҳкамлигини ифодаловчи факторлар бош кучланишлар билан қандай боғланганлигига қараб, турли гипотезалар асосида ечилади. Материал учун хавфли ҳолатнинг бошланишини характерловчи факторлар бир қанчадир.

Масалан, оддий чўзилишдаги пластик стерженда ҳосил бўладиган оқиш процесси қандай сабабга боғлиқ, деган саволга турли гипотезалар асосида жавоб берса бўлади. Оқиш процесси нормал кучланиш ( $\sigma$ ) оқиш чегараси ( $\sigma_T$ ) га эришганда бошланади, деб фараз қилиш мумкин. Аммо бу ҳолни бошқа нуқтаи назар асосида тушунтириш ҳам мумкин. Чунончи, нисбий чўзилиш ( $\epsilon$ ) ёки тангенциал кучланиш ( $\tau$ ) маълум кийматга эришганда бошланади деб фараз қилса ҳам бўлади. Кураммизки, хатто шундай оддий ҳолда ҳам, тажрибада кузатилаётган ҳодиса бир қанча мулоҳазаларга олиб келади. Материалнинг мустаҳкамлигига оид масалаларни ечишда шу материалда ҳосил бўладиган турли кучланиш ва деформацияларни айрим-айрим олиб қараб бўлмайди; улар маълум муносабатда бўлиб, кучланиш ҳолатидаги жисмда улардан бирортасининг мавжуд бўлиши қолганларини вужудга келтиради. Аммо айтилган бу факторлардан қайси бири материалнинг емирилишида асосий аҳамиятга эга бўлади, деган савол туғилади. Ҳозиргача бу соҳада ўтказилган текширишлар, тажриба ва кузатишларга асосланган гипотезаларга суяниб, материалнинг емирилишини маълум бир факторга боғлаб кўрсатади.

Материалларда хавфли ҳолатнинг бошланишини гипотезалар асосида турли факторларга боғлаб текширувчи назариялар *мустаҳкамлик назариялари* дейилади

Мустаҳкамлик назарияларини баён этишдан аввал қуйидаги изоҳни эслатиб ўтамиз. Пластик ва мўрт материаллар учун хавфли ҳолатнинг бошланишига оид кучланиш ва деформациялар Гук қонунининг бажарилиш

чегарасида ётади, деб фараз қиламиз. Бу ҳол мустаҳкамлик назарияларини Гук қонуни асосида тузиб, мураккаб кучланиш ҳолати учун тегишли ҳисоб тенгламаларини чиқаришга имкон беради.

#### 41-§. Мураккаб кучланиш ҳолатидаги жисмларнинг мустаҳкамлигини турли мустаҳкамлик назариялари асосида текшириш

Мураккаб кучланиш учун хавfli ҳолатнинг бошланишини аниқлайдиган бир қанча мустаҳкамлик назариялари бор; булардан учтаси классик назария ҳисобланади. Биз олдин ана шу классик назарияларни баён этамиз.

##### Биринчи мустаҳкамлик назарияси

Биринчи мустаҳкамлик назариясини XVII асрдаёқ Галилей таърифлаган бўлиб, ундан кейин ҳам бу назарияни бир неча йирик олимлар тавсия этган. Бу назарияга мувофиқ, *мураккаб кучланишдаги жисмнинг хавfli ҳолати унда ҳосил бўладиган энг катта нормал кучланиш шу жисм материалидан ясалган намунанинг оддий чўзилиши ёки сиқилишидаги хавfli ҳолатига тегишли нормал кучланишга эришганда бошланади.*

Мураккаб кучланишдаги бош кучланишлар  $\sigma_1 > \sigma_2 > \sigma_3$  бўлса, сон жиҳатидан энг катта нормал кучланиш  $\sigma_1$  га тенг бўлади. Биринчи назариянинг таърифига кўра, хавfli ҳолат бошланиш олдида:

пластик материаллар учун:  $\sigma_1 = \sigma_T$ ,

мўрт материаллар учун:  $\sigma_1 = \sigma_b$ .

Мураккаб кучланиш ҳолатидаги жисмда хавfli ҳолат бошланмаслиги учун, ундаги энг катта нормал кучлаш  $\sigma_1$  шу жисм намунасининг оддий кучланиш ҳолатига тегишли рухсат этилган кучланишдан ошмаслиги керак, яъни мустаҳкамлик коэффициенти ( $n$ ) ни иккала ҳол учун ҳам бир хилда олсак:

$$\sigma_1 \leq [\sigma]. \quad (41.1)$$

шарт келиб чиқади. Бу назарияга мувофиқ, мураккаб ва оддий кучланишдаги жисмларнинг фарқи бўлмай қолди, чунки мураккаб кучланишдаги бош кучланишлардан  $\sigma_2$  ва  $\sigma_3$  нинг жисмда хавfli ҳолат бошланишда ҳеч қандай аҳамияти қолмади. Ундан ташқари, бу назарияга мувофиқ, ҳар томонлама сиқилаётган жисм босимнинг қиймати шу жисм намунасининг бир томонга қараб сиқилишидаги мустаҳкамлик чегарасига етганда емирилиши керак. Аммо ўтказилган тажрибалар шуни кўрсатадики, босимнинг қиймати бир гомонлама сиқилаётган намунанинг мустаҳкамлик чегарасига қараганда бир қанча катта бўлганда ҳам ҳар томонлама сиқилаётган жисм бардош бериб туради. Бу ҳолда жисмнинг қаршилиқ кўрсатиш қобилияти биринчи назария билан аниқланишига қараганда анча юқоридир. Бу мисол ва  $\sigma_2$  билан  $\sigma_3$  нинг эътиборга олинмаслиги биринчи назариянинг қатъий эмаслигини кўрсатади.

Аммо бу назария чўзилишга қаршилиқ кўрсатувчи мўрт материаллар учун тажрибага мос келади.

##### Иккинчи мустаҳкамлик назарияси

Бу назарияни биринчи марта 1682 йилда Мариотт таклиф қилган бўлиб, у мураккаб кучланиш ҳолатидаги жисмнинг энг катта нисбий чўзилиши асосида ҳисоб юргизиш керак, деган фикрни баён этган эди. Ҳозир вақтида бу назариянинг тўғрилигини бир нечта олимлар ўз текширишлари билан

тасдиқладилар. Масалан, Сен-Венан мураккаб кучланиш ҳолатидаги жисмни шу назария асосида ҳисоблашни қатъий тавсия этди. Бу назарияга мувофиқ, *мураккаб кучланиш ҳолатидаги жисмда ҳавfli ҳолат унинг энг катта нисбий чўзилиши (сиқилиши) шу жисм материалдан ясалган намунанинг оддий чўзилишидаги (сиқилишидаги) ҳавfli ҳолатига тегишли нисбий чўзилишига (сиқилишига) эришганда бошланади.*

Мураккаб кучланишдаги энг катта нисбий деформация  $\epsilon_1$  бўлсин. Иккинчи назарияга кўра, ҳавfli ҳолат бошланганда:

$$\epsilon_1 = \epsilon_T \text{ пластик материал учун,}$$

$$\epsilon_1 = \epsilon_b \text{ мўрт материал учун.}$$

Мустаҳкамлик коэффициенти ( $n$ ) ни мураккаб ва оддий кучланиш ҳолатлари учун бир хилда деб қабул қилсак, иккинчи назарияга мувофиқ, ҳисоб тенгламасини тузиш учун қуйидаги шартни оламиз:

$$\epsilon_{\max} = \epsilon_1 = \frac{1}{E} [\sigma_1 - \mu(\sigma_2 + \sigma_3)] \leq [\epsilon] \quad (41. 2)$$

Бунда,  $[\epsilon]$  — намунанинг оддий чўзилишдаги (сиқилишдаги) рухсат этилган кучланиши  $[\sigma]$  га тегишли нисбий деформацияси. Шунинг учун у:

$$[\epsilon] = \frac{[\sigma]}{E}$$

бўлади. Буни кўзда тутиб, (41. 2) ни қуйидаги кўринишда ёзамиз:

$$\sigma_1 - \mu(\sigma_2 + \sigma_3) \leq [\sigma]. \quad (41. 3)$$

Бу формулада бош кучланишларнинг учаласи қатнашган. Бу жиҳатдан мазкур назария биринчи назарияга қараганда мувофиқлашганга ўхшаб кўринади. Аммо бу назариянинг нат жалари ҳам баъзи тажрибаларнинг оқибатига зиддир. Масалан, бу назарияга мувофиқ, ўзаро тик икки йўналишдаги сиқувчи кучлар таъсирига дуч келган кубикнинг мустаҳкамлиги бир томонга қараб сиқилаётган кубикнинг мустаҳкамлигидан юкори бўлиши керак. Аммо тажриба бу ҳулосанинг айнан тескарисини тасдиқлайди. Мўрт материаллар учун бу назария тажриба билан мос келадиган натижаларни беради.

Бош кучланишларнинг ишораси хар хил бўлса, масалан, кубик иккита ўзаро тик томондан сиқилиб, бу томонларга тик йўналиш бўйича чўзилса, у ҳолда энг катта нисбий чўзилиш оддий ҳолдаги нисбий чўзилишдан каттарок бўлади. Ана шундай шароитда ишлаётган ишшоот элементлари бу назария асосида ҳисобланса, у ҳақиқий ҳолатга анча яқинлашади. Шунинг учун юкорида айтилган шароитда ишлайдиган машина ва ишшоот элементлари иккинчи назария асосида тузилган тенгламалар асосида ҳисобланади.

#### Учинчи мустаҳкамлик назарияси

Бу назарияга мувофиқ, мураккаб кучланишда ҳавfli ҳолатнинг бошланишига асосий сабаб қилиб энг катта тангенциал кучланиш олинади. Учинчи назарияни 1773 йилда Кулон киритган бўлиб, бу назария кўп вақтлар тан олинмади, чунки ўша вақтларда ишлатилган материаллар учун, яъни сиқилишга яқин қаршилик кўрсатувчи материаллар учун бу назарияни татбиқ этишнинг зарурати йуқ эди. Аммо олдинги икки назариянинг кўпгина ҳолларда тажриба оқибати билан мос келмаслиги, бундан ташқари, чўзилиш ва сиқилишга бир хилда қаршилик кўрсатувчи пластик материалларнинг вужудга келиши, Кулон назариясидан яна фойдаланишга мажбур этди.

Масалан, ҳамма томонлари бир хилда босим билан сиқилаётган материалнинг, сиқувчи босим қанча бўлишидан қатъи назар, емирилмаслигини Кулон назарияси ёрдамида изоҳлаш мумкин.

Бу назарияга кўра, мураккаб кучланиш ҳолатидаги жисмда хавфли ҳолат ундаги максимал тангенциал кучланиш шу жисм материалдан ясалган намунанинг оддий чўзилишдаги хавфли ҳолатига тегишли тангенциал кучланишга эришганда бошланади.

Оддий чўзилишда пластик материаллар учун хавфли ҳолат кучланиш оқиш чегарасига эришганда бошланади. Биз уни  $\tau_T$  десак, учинчи назарияга мувофиқ, хавфли ҳолат бошланганда

$$\tau_{\max} = \tau_T$$

бўлади. Хавфли ҳолат бошланмаслиги учун  $\tau_T$  ўрнига  $[\tau]$  ни қўйишимиз керак:

$$\tau_{\max} \leq [\tau] \quad (41.4)$$

Бу ҳолда ҳам мустаҳкамлик коэффициенти ( $n$ ) мураккаб кучланиш билан оддий кучланиш учун бир хилда олинди. Мураккаб кучланишда энг катта ва энг кичик бош кучланишлар тегишлича  $\sigma_1$  ва  $\sigma_3$  бўлса,

$$\tau_{\max} = \frac{\sigma_1 - \sigma_3}{2}$$

бўлади. Оддий кучланиш ҳолати учун:  $[\tau] = \frac{[\sigma]}{2}$ .

Буларни (41.4) га қўйсак, унинчи назарияга мувофиқ, мустаҳкамлик шарти қуйидагича ёзилади:

$$\sigma_1 - \sigma_3 \leq [\sigma]. \quad (41.5)$$

Бу назариянинг натижалари тажрибалардан чиқарилган натижаларга анчагина яқин келади. У, айниқса пластик материаллар учун яхши натижалар беради. Бу назария асосида ҳисобланган конструкция элементларининг мустаҳкамлиги, баъзан керагидан ортиқроқ бўлади. Учинчи назариянинг асосий камчилиги ўртача бош кучланишнинг, яъни  $\sigma_2$  нинг қийматини эътиборга олмасликдир. Бунинг натижасида фазовий ва текис кучланиш ҳолатлари орасида ҳеч қандай фарқ қолмайди.

Ўтказилган тажрибалар жисмнинг қаршилик кўрсатиш қобилиятига  $\sigma_2$  нинг таъсири борлигини тасдиқлайди. Аммо текис кучланиш ҳолатидаги иншоот ва машина қисмларининг мустаҳкамлигини текширишда бу назариянинг юқоридаги икки назарияга қараганда афзаллиги шубҳасиздир.

#### 42-§. Энергетик назария

Юқорида келтирилган классик назарияларнинг бир қанча камчиликлари бор, шунинг учун мураккаб кучланишдаги иншоот элементларида хавфли ҳолатнинг бошланишига қандай факторлар сабаб бўлиши ҳақида янги фикрлар туғилди. Қўп олимлар хавфли ҳолатнинг бошланишига турли кучланишлар ёки деформацияларнинг айрим таъсири эмас, балки уларнинг бирга қўшилиб таъсир этиши сабаб бўлади, деган фикрни баён этдилар. Бу фикрга кўра, хавфли ҳолатнинг бошланиши ҳажм бирлигида тўпланган деформация потенциал энергиясининг миқдорига боғлиқдир. Бу миқдор учала бош кучланиш орқали ифодаланади. Хавфли ҳолатнинг бошланиши деформациянинг солиштирма энергиясига боғлиқ бўлгани учун бу назария *энергетик назария* дейилади.

Энергетик назарияга кўра, мураккаб кучланиш ҳолатидаги жисмда хавфли ҳолат ундаги деформациянинг солиштирма потенциал энергияси шу жисм материалдан ясалган намунанинг оддий чўзилишдаги хавфли ҳолатига тегишли деформациянинг солиштирма потенциал энергиясига эринганда бошланади.

Мураккаб кучланиш ҳолатидаги хавфли ҳолатга оид солиштирма потенциал энергияни  $a_{\max}$ , оддий кучланишдагисини эса  $a_T$  десак, энергетик назарияга кўра қуйидаги тенгламани ёзамиз:

$$a_{\max} = a_T.$$

Хавфли ҳолат бошланмаслиги учун  $a_T$  нинг ўрнига, рухсат этилган кучланишга тегишли солиштирма потенциал энергияни олиб, мустаҳкамлик шартини қуйидагича ёзамиз:

$$a_{\max} \leq [a]. \quad (42.1)$$

Бунда  $[a]$  — рухсат этилган кучланишга тегишли солиштирма потенциал энергия.

Солиштирма потенциал энергиянинг оддий кучланиш ҳолати учун қуйидагича ёзилиши бизга маълум:

$$a = \frac{\sigma^2}{2} = \frac{\sigma^2}{2E}. \quad (42.2)$$

Мураккаб кучланиш ҳолатидаги жисмнинг солиштирма потенциал энергиясини ҳисоблаш учун, унинг энг катта кучланишларга эга бўлган нуқта-сида бош юзаларга параллел уч жуфт текислик воситасида, қирраларининг узунлиги бирга тенг бўлган куб ажратиб, унинг томонларига қўйилган ҳар бир кучланиш бажарган ишни ҳисоблаймиз.  $\sigma_1$  кучланиш таъсирида куб бу йўналиш бўйича  $\epsilon_1$  га чўзилади, бу чўзилишда  $\sigma_1$  нинг бажарган иши:

$$a_1 = \frac{\sigma_1 \epsilon_1}{2} = \frac{\sigma_1}{2E} [\sigma_1 - \mu(\sigma_2 + \sigma_3)]$$

ёки:

$$a_1 = \frac{1}{2E} [\sigma_1^2 - \mu(\sigma_1\sigma_2 + \sigma_1\sigma_3)]$$

бўлади.  $\sigma_2$  ва  $\sigma_3$  кучланишларнинг бажарган ишлари учун ҳам худди шундай ифодаларни оламиз:

$$a_2 = \frac{1}{2E} [\sigma_2^2 - \mu(\sigma_1\sigma_2 + \sigma_2\sigma_3)].$$

$$a_3 = \frac{1}{2E} [\sigma_3^2 - \mu(\sigma_3\sigma_2 + \sigma_3\sigma_1)].$$

Ҳажм бирлигида бажарилган тўла иш ёки деформациянинг солиштирма потенциал энергияси:

$$a = a_1 + a_2 + a_3 = \frac{1}{2E} [\sigma_1^2 + \sigma_2^2 + \sigma_3^2 - 2\mu(\sigma_1\sigma_2 + \sigma_2\sigma_3 + \sigma_3\sigma_1)] \quad (42.3)$$

бўлади.

Оддий кучланиш ҳолатидаги солиштирма потенциал энергияни рухсат этилган кучланиш орқали ифодаласак,

$$[a] = \frac{[\sigma]^2}{2E}$$

келиб чиқади. Энергетик назарияга мувофиқ, мустаҳкамлик шarti қуйидагича ёзилади:

$$\frac{1}{2E}[\sigma_1^2 + \sigma_2^2 + \sigma_3^2 - 2\mu(\sigma_1\sigma_2 + \sigma_2\sigma_3 + \sigma_3\sigma_1)] \leq \frac{[\sigma]^2}{2E}$$

ёки

$$\sqrt{\sigma_1^2 + \sigma_2^2 + \sigma_3^2 - 2\mu(\sigma_1\sigma_2 + \sigma_2\sigma_3 + \sigma_3\sigma_1)} \leq [\sigma]. \quad (42.4)$$

Бу шartни чиқаришда деформация потенциал энергиясининг ёки деформацияланиш натижасида бажарилган ишнинг ҳажм бирлигидаги тўла қийматини ҳисобга олдик. Кубнинг деформацияси икки қисмдан иборат: куб ҳажмининг ўзгариши ва куб шаклининг ўзгариши. Деформацияга мослаб, солиштирма ишни ҳам икки қисмга ажратамиз: куб ҳажмининг ўзгаришида ва куб шаклининг ўзгаришида бажарган ишлар ўтказилган тажрибалар материалда хавfli ҳолат шаклининг ўзгариши натижасида бошланишини кўрсатади. Пластик материаллар билан ўтказилган тажрибалар бу хулосани аниқрақ яққол тасдиқлайди.

Шунинг учун энергетик назарияга мувофиқ мустаҳкамлик шartини тузишда, солиштирма потенциал энергиянинг ёки солиштирма ишнинг шакл ўзгаришига оид қисмини олиш кифоя. Солиштирма ишнинг шакл ўзгаришига оид ифодасини чиқариш учун, солиштирма ишнинг тўла ифодасидан фойдаланамиз. Тўла солиштирма ишни ифодаловчи (42.3) формулага  $\mu = 0,5$  ни қўйсак, ҳажм ўзгаришига тегишли тўла деформацияни, шунинг билан бирга, ҳажм ўзгариши натижасида ҳосил бўлган солиштирма ишни эътиборга олманган бўламиз. Бу ҳолда мустаҳкамлик шarti қуйидагича ёзилади:

$$\sqrt{\sigma_1^2 + \sigma_2^2 + \sigma_3^2 - \sigma_1\sigma_2 - \sigma_2\sigma_3 - \sigma_3\sigma_1} \leq [\sigma]. \quad (42.5)$$

Бу формулани бундан кўра қулайроқ кўринишда ёзиш мумкин. Бунинг учун (42.5) формуланинг радикал остидаги ифодасини 2 га кўпайтириб, сўнгра 2 га тақсим қилсак, қуйидаги ифода ҳосил бўлади:

$$\frac{1}{\sqrt{2}}\sqrt{(\sigma_1 - \sigma_2)^2 + (\sigma_2 - \sigma_3)^2 + (\sigma_3 - \sigma_1)^2} \leq [\sigma]. \quad (42.6)$$

Бу тенглама шакл ўзгаришига тегишли энг катта потенциал энергия асосида тузилган ҳисоб тенграмаси дейилади. Радикал остидаги бош кучланишлар айирмаси бош юзаларга  $45^\circ$  қия юзалардаги максимал тангенциал кучланишларга пропорционал бўлгани учун, бу назария, пластик материалларнинг мустаҳкамлигини текширишда қўлланиладиган учинчи назария каби максимал тангенциал кучланишга асосланган.

Дарҳақиқат:

$$\sigma_1 - \sigma_3 = 2\tau_1, \quad \sigma_2 - \sigma_3 = 2\tau_2, \quad \sigma_3 - \sigma_1 = 2\tau_3$$

бўлгани учун, (42.6) ни қуйидагича ёзишимиз мумкин:

$$\frac{2}{\sqrt{2}}\sqrt{\tau_1^2 + \tau_2^2 + \tau_3^2} \leq [\sigma]$$

ёки

$$\frac{1}{\sqrt{2}}\sqrt{\tau_1^2 + \tau_2^2 + \tau_3^2} \leq [\tau]. \quad (42.7)$$

Пластик материаллар учун бу назария асосида ўтказилган ҳисобларнинг туғрилигини тажрибалар жуда яхши тасдиқлаб беради.

Мустаҳкамлиги текширилаётган иншоот ёки машина элементи оддий ҳўзилиш ҳолатида бўлса,  $\sigma_2 = \sigma_3 = 0$  бўлиб,  $\sigma_1 = \sigma$  бўлади ва келтирилган

тўртала назария ҳам бир хил кўринишдаги қуйидаги мустаҳқамлик шартини беради:

$$\sigma \leq [\sigma].$$

Шундай бўлиши ҳам керак, чунки мураккаб кучланиш ҳолатидаги жисм мустаҳқамлигининг ўлчови деб қабул қилинган катталиқ, оддий кучланиш ҳолатидаги намунанинг хавфли ҳолатидаги тегишли катталиги билан солиштирилади.

Бу тўртала назарияда муҳим бир камчилик бор: тўртала назарияга мувофиқ чиқарилган ҳисоб тенгламаларида Гук қонунига асосландик, ҳолбуки мустаҳқамлик чегараси эластиклик чегарасидан анча кейинда туради. Аммо мустаҳқамлик шартини ифодаловчи формулалар, хусусан (41. 5) ва (42. 6) формулалар, материалнинг эластиклик хусусиятини характерловчи ҳеч қандай катталиққа боғлиқ эмас. Шунга кўра, бу ҳолни кўзда тутиб, мазкур формулалардан пластик деформация шароитида ишловчи иншоот қисмларини ҳисоблаш учун ҳам тегишли формулаларни чиқариш мумкин. Бу ҳақда курсимизнинг охирида тегишли маълумотлар берилади.

### МАСАЛАЛАР

36. Поезд юрадиган рельс мураккаб кучланиш ҳолатида бўлиб, унинг энг катта кучланишга эга бўлган нуқтасидаги бош юзаларга параллел уч текислик воситасида қирралари 1 мм га тенг куб ажратилган. Кубнинг томонларидаги бош кучланишлар тегишлича:

$$\sigma_1 = -80 \text{ кг/мм}^2, \quad \sigma_2 = -90 \text{ кг/мм}^2, \quad \sigma_3 = -110 \text{ кг/мм}^2 \text{ дир.}$$

Тўртала назария бўйича ҳисоблаш кучланиши аниқланиб, рухсат этилган кучланиш билан таққослансин.

Е ч и ш. Биринчи назарияга мувофиқ, энг катта бош кучланиш  $\sigma_3$  бўлгани учун, ҳисоблаш кучланиши учун ушани оламиз:

$$[\sigma_3] = -11000 \text{ кг/см}^2.$$

Иккинчи назарияга мувофиқ ҳисоблаш кучланиши:

$$[\sigma_3 - \mu(\sigma_1 + \sigma_2)] = -11000 + 0,3(9000 + 8000) = -5900 \text{ кг/см}^2.$$

Учинчи назарияга мувофиқ ҳисоблаш кучланиши:

$$\sigma_1 - \sigma_3 = -8000 + 11000 = 3000 \text{ кг/см}^2.$$

Ниҳоят, энергетик назарияга мувофиқ:

$$\sqrt{\sigma_1^2 + \sigma_2^2 + \sigma_3^2 - \sigma_1\sigma_2 - \sigma_2\sigma_3 - \sigma_3\sigma_1} = 2640 \frac{\text{кг}}{\text{см}^2}.$$

Рельс учун ишлатиладиган пўлатнинг оқиш чегараси,  $\sigma_T = 4000 \text{ кг/см}^2$  га ёқин бўлиб, эластиклик чегараси  $\sigma_e = 3000 \text{ кг/см}^2$  бўлгани учун, кейинги икки назария асосида чиқарилган натижалар қўйилиши мумкин бўлган кучланиш чегарасига мос келади.

37. Буғ қозони цилиндр шаклида бўлиб, ички босим таъсиридан мураккаб кучланиш ҳолатида туради. Қозоннинг мустаҳқамлик шarti тўртала назария бўйича текширилсин (109-шакл).

Е ч и ш. Цилиндрик қозоннинг ички босими  $p \text{ кг/см}^2$  деб фараз қилайлик. Қозоннинг ён деворлари ва туби тенг тарқалган босим ( $p$ ) таъсирида бўлади. Қозоннинг тубидаги босим уни кўндаланг кесими (йўналтирувчи доира) бўйича узинга интилади. Ён



109-шакл.

томонлардаги босим эса цилиндрини ясовчиси бўйича ёришга интилади. Агар биз цилиндр сиртидан йўналтирувчи ва ясовчилар орқали ўтказилган икки жуфт текислик воситасида ABCD тўғри тўрт бурчакли элементни ажратсак, у икки ўзаро тик томонга қараб йўналган чўзувчи кучланишлар таъсирида бўлади. Бу кучланишлар таъсир қилаётган юзларда тангенциал кучланишлар бўлмагани учун, улар бош юзалардир. Ясовчига тик юзадаги бош кучланишни  $\sigma_2$  орқали, у билан бир йўналишда бўлган юзадаги бош кучланишни эса  $\sigma_1$

орқали белгилаймиз. Қозоннинг цилиндр қисми диаметрини  $D$ , деворининг қалинлигини  $t$  ( $t < \frac{D}{20}$  бўлиши керак), узунлигини  $l$  деймиз. Цилиндрни чузувчи, шу билан бирга, қозоннинг тубига таъсир қилувчи куч:

$$P = p \frac{\pi D^2}{4}$$

бўлади. Бу кучни қабул қилувчи юз қалинлиги  $t$ , диаметри эса  $D$  га тенг ҳалқа бўлиб, унинг юзи мана бундай:

$$F = \pi D t$$

(цилиндр кундаланг кесимининг юзи). У ҳолда  $\sigma_2$  кучланиш учун қуйидаги қийматни оламиз:

$$\sigma_2 = \frac{P}{F} = \frac{p \frac{\pi D^2}{4}}{\pi D t} = \frac{p D}{4t} \quad (a)$$

$\sigma_1$  ни ҳисоблаш учун (25. 5) формуладан фойдаланамиз:

$$\sigma_1 = \frac{N}{t} = \frac{p D}{2t} \quad (b)$$

Ясовчига параллел юзалардаги бош кучланишлар унга тик юзалардаги бош нормал кучланишларга караганда икки ҳисса катта бўлади.

Демак ютқа деворли цилиндрлик қозондан ажратилган  $ABCD$  элемент текис кучланиш ҳолатида бўлар экан ( $\sigma_3 = 0$  деб ҳисобланади).

Биринчи назарияга мувофиқ:

$$\sigma_1 < [\sigma] \text{ ёки } \frac{p D}{2t} < [\sigma].$$

Иккинчи назарияга мувофиқ:

$$\sigma_1 - \mu \sigma_2 < [\sigma] \text{ ёки } \left(1 - \frac{\mu}{2}\right) \frac{p D}{2t} < [\sigma].$$

Учинчи назарияга мувофиқ:

$$\sigma_1 - \sigma_3 < [\sigma] \text{ ёки } \frac{p D}{2t} < [\sigma].$$

Энергетик назарияга мувофиқ:

$$\sqrt{\sigma_1^2 + \sigma_2^2} - \sigma_1 \sigma_2 < [\sigma] \text{ ёки } \sqrt{3} \frac{p D}{4t} < [\sigma].$$

$$\frac{\sqrt{3}}{2} \approx 0,86 \text{ бўлгани учун: } 0,86 \cdot \frac{p D}{2t} < [\sigma].$$

Бу назариянинг натижаси 1 ва 3- назариялар натижасидан 14% фарқ қилаётир. Ҳатта чузилишга бардош берадиган пулат учун  $\mu = 0,3$  қилиб олинса, иккинчи назария энергетик назария билан деярли бир хил натижа беради.

Ечиш. Олдин берилган текис кучланиш ҳолати учун бош кучланишларни ҳисоблаймиз:

$$\sigma_1 = -\frac{\sigma_y}{2} + \frac{1}{2} \sqrt{\sigma_y^2 + 4\tau_{xy}^2} = -450 + \frac{1}{2} \sqrt{81 \cdot 10^4 + 4 \cdot 36 \cdot 10^4} = 300 \frac{\text{кг}}{\text{см}^2}$$

$$\sigma_2 = -\frac{\sigma_y}{2} - \frac{1}{2} \sqrt{\sigma_y^2 + 4\tau_{xy}^2} = -450 - \frac{1}{2} \sqrt{81 \cdot 10^4 + 4 \cdot 36 \cdot 10^4} = -1200 \frac{\text{кг}}{\text{см}^2}$$

Биринчи назарияга мувофиқ, энг катта нормал кучланиш:

$$[\sigma_2] = 1200 \text{ кг/см}^2.$$

Мустаҳкамлик коэффициенти:

$$n_1 = \frac{3000}{1200} = 2,5.$$

Иккинчи назарияга мувофиқ:

$$\begin{aligned}\sigma_1 - \mu\sigma_2 &= 300 + 0,3 \cdot 1200 = 660 \text{ кг/см}^2, \\ \sigma_2 - \mu\sigma_1 &= -1200 - 0,3 \cdot 300 = -1290 \text{ кг/см}^2.\end{aligned}$$

Энг катта деформация —  $1290 \text{ кг/см}^2$  кучланишга мос келади, шунинг учун тегишли мустаҳкамлик коэффициенти:

$$n_{II} = \frac{3000}{1290} = 2,325$$

булади.

Учинчи назарияга кўра, энг катта тангенциал кучланиш:

$$\tau_{\max} = \frac{\sigma_1 - \sigma_2}{2} = \frac{300 + 1200}{2} = 750 \text{ кг/см}^2.$$

Оддий кучланиш ҳолатида оқиш чегарасига тегишли энг катта тангенциал кучланиш:

$$\frac{\sigma_T}{2} = \frac{3000}{2} = 1500 \text{ кг/см}^2.$$

Мустаҳкамлик коэффициенти:

$$n_{III} = \frac{1500}{750} = 2.$$

Энергетик назарияга мувофиқ:

$$\sqrt{\sigma_1^2 + \sigma_2^2 - \sigma_1 \cdot (-\sigma_2)} = \sqrt{9 \cdot 10^4 + 144 \cdot 10^4 + 36 \cdot 10^4} = 1375 \frac{\text{кг}}{\text{см}^2}.$$

Мустаҳкамлик коэффициенти:

$$n_{IV} = \frac{3000}{1375} = 2,26.$$

Бу ҳолда, иккинчи назария билан энергетик назария деярли бир хил натижа бераёттир.

□

## VII БОБ

### СИЛЖИШ

#### 43-§. Соф силжиш

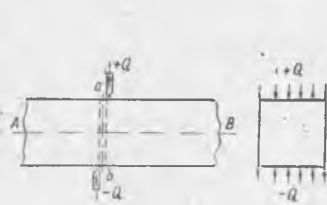
Биз ўтган параграфда, оддий чўзилувчи ёки сиқилувчи стерженларнинг кия кесимларидаги кучланишларни текширганимизда, уларда узувчи нормал кучланишлардан ташқари, силжитувчи тангенциал кучланишларнинг ҳам ҳосил бўлишини кўрсатиб ўтган эдик.

Кўпинча, машина қисмлари ва конструкция элементлари шундай шароитда ишлайдики, уларга қўйилган кучлар конструкция элементларининг алоҳида қисмларини бир-бирига нисбатан силжитиб, натижада уларни ишдан чиқаради. Силжишга қаршилик кўрсатувчи конструкция элементларининг мустаҳкамлиги текширилганда, биринчи навбатда, силжиш деформацияси натижасида ҳосил бўладиган тангенциал кучланишни аниқлаш масаласини қўйиш лозим. Шунинг учун биз бу бобда силжиш деформацияси билан унга тегишли тангенциал кучланиш устида тухталиб ўтамиз.

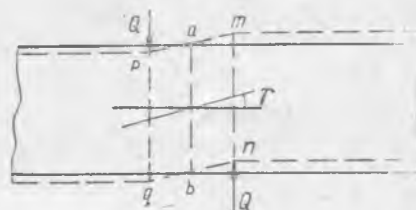
AB призматик стержень бир-бирига тенг ва қарама-қарши томонларга қараб, стерженнинг ўқиға тик йўналган иккита Q ва —Q кучларнинг таъсирида бўлади, деб фараз қилайлик (110-шакл).

Бу кучлар етарли даражада катта бўлса, стерженни  $ab$  чизиқ бўйича икки қисмга ажратиш мумкин. Бу ҳодиса *кесилиш* дейилади. Темирнинг қайчи билан кесилиши бунга мисол бўла олади.

Бу кучлар бир-бирига қарама-қарши бўлса ҳам бир чизиқ билан йуналмасликлари керак. Чунки кесувчи асбобнинг ничоқлари унчалик ўткир бўлмаса ҳам, улар бир-бирига яқин икки параллел текисликларда жойлашган бўлиши керак. Биз бу текисликларни  $pq$  ва  $mn$  билан белгиласак, бу текис-



110-шакл.



111-шакл.

ликлар  $Q$  ва  $-Q$  кучлар таъсирида бир-бирига нисбатан силжиб, уларда бу силжишга қаршилик кўрсатувчи тангенциал кучланишлар пайдо бўлади (111-шакл).

Бу кучланишларни кесим юзаси бўйича тенг тарқалган деб фараз қиламиз ва уни  $\tau$  билан белгилаймиз. У ҳолда:

$$\tau = \frac{Q}{F} \quad (43.1)$$

бўлади.

Эластиклик чегарасигача, силжиш деформацияси 111-шаклда пунктирли чизиқ билан кўрсатилганидек,  $mnpq$  элементнинг қийшайиши билан тасвирланади.

$mnpq$  тўғри бурчакли элементар параллелепипеднинг силжиш деформацияси тўғри бурчагининг қийшайиши билан тасвирланади, бу қийшайишни эса  $\gamma$  бурчак ифодалайди. Шунинг учун бу бурчак *силжиш бурчаги* дейилади.

Умуман, силжиш деформацияси соф силжиш тарикасида ҳеч қачон учрамайди. Тангенциал кучланишнинг кесилувчи кесим юзаси бўйича қандай тарқалганлиги ҳам бизга маълум эмас. Аммо силжиш деформациясига дуч келган элементларнинг чўзилиши ёки сиқилиши жуда кичик бўлгани учун, уларни амалий ҳисобларда эътиборга олмаса ҳам бўлади. Шунинг учун фақат тангенциал кучланиш таъсирида бўлган элементларни соф силжишда деб қараймиз.

Агар  $mnpq$  элементни ажратиб, унинг  $mn$  томонини қўзғалмас қилиб маҳкамласак ва  $pq$  томонига силжитувчи куч қўйсак бу куч таъсирдан  $pq$  томони  $mn$  га нисбатан бирор  $pp' = \delta$  миқдорга силжийди. Биз буни *абсолют силжиш* деймиз. Бунинг натижасида  $mnpq$  элемент қийшайиб, унинг тўғри бурчаклари  $\gamma$  бурчакка ўзгаради (112-шакл).

$pp'$  нинг  $pn$  га нисбатини *нисбий силжиш* деймиз.  $pn = qn = a$  бўлса, у нисбий силжиш қуйидагича ёзилади:

$$\frac{pp'}{pn} = \frac{\delta}{a} = \text{tg}\gamma. \quad (43.2)$$

Жуда кичик деформацияни текшираётганимиз учун,  $\gamma$  бурчак ҳам жуда кичик миқдор бўлади. Шунинг учун:

$$\tan \gamma = \gamma.$$

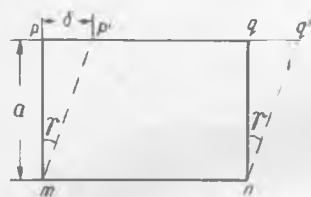
Демак:

$$\frac{\delta}{a} = \gamma \quad (43.3)$$

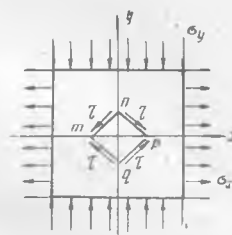
бўлади, яъни нисбий силжиш тўғри бурчакнинг торайишига ёки кенгайишига тенг бўлар экан. Бу бурчак соф силжишдаги жисм деформациясини тўла аниқлайди. Оддий чўзилишдаги нисбий чўзилиш билан унга тегишли нормал кучланишни боғловчи оддий муносабатга ўхшаш муносабат соф силжишдаги нисбий силжиш билан тангенциал кучланиш орасида ҳам бор. Шу муносабатни чиқарамиз.

Нисбий силжиш  $\gamma$  билан унга тегишли тангенциал кучланиш  $\tau$  орасидаги муносабат қуйидагича ёзилади:

$$\tau = G \cdot \gamma. \quad (43.4)$$



112- шакл



113- шакл.

Бу ерда  $G$  пропорционалик коэффициенти бўлиб,  $u$  силжиш модули ёки иккинчи хил эластиклик коэффициенти дейилади. У физик маъноси жиҳатидан  $E$  га ўхшашди.  $G$  ни  $E$  каби бевосита (43.3) дан аниқлаш қийин, чунки силжиш бурчаги  $\gamma$  ни тажрибадан аниқлаш осон эмас. Бироқ  $G$  билан  $E$  нинг муносабатини аналитик усулда топиш мумкин.

Ўзаро тик йўналган чўзувчи ва сиқувчи кучлар таъсиридаги призматик стержендан, унинг томонларига параллел икки жуфт текислик воситаси билан битта параллелепипед ажратамиз. Бу параллелепипеднинг томонларидаги сиқувчи ва чўзувчи кучланишлар сон жиҳатидан тенг бўлсин. Бу томонларда тангенциал кучланишлар таъсир этмагани учун, ундаги нормал кучланишлар бош кучланишлар бўлади.

Биз бу бош кучланишларни  $\sigma_1$  ва  $\sigma_2$  орқали белгилаймиз. Масала шартига мувофиқ:

$$\sigma_1 = -\sigma_2 = \sigma$$

бўлади.

Энг катта тангенциал кучланиш бош юзаларга  $45^\circ$  қия юзаларда ҳосил бўлиши бизга маълум. Ҳалиги параллелепипеддан унинг томонларига  $45^\circ$  қия текисликлар ўтказиб,  $mnpq$  элементни ажратамиз (113-шакл). Бу элементнинг томонларида ҳосил бўладиган кучланишларни аниқлаймиз. (33.1) ва (33.2) формулаларга мувофиқ:

$$\sigma_n = \sigma_1 \cos^2 \theta + \sigma_2 \sin^2 \theta = \sigma \cos^2 45^\circ - \sigma \sin^2 45^\circ = 0.$$

$$\tau = \frac{\sigma_1 - \sigma_2}{2} \sin 2\theta = \frac{\sigma - (-\sigma)}{2} \sin 90^\circ = \sigma.$$

$mp$ ,  $pn$ ,  $pq$  ва  $qm$  юзалардаги нормал кучланишлар ноль бўлгани учун улардаги толалар фақат силжийди, холос, шунинг учун улардаги деформация соф силжиш деформацияси бўлади.

Бу  $mnpq$  даги тўғри бурчакларнинг деформациядан кейин торайиши ва кенгайиши натижасида  $tr$  диагонал узайиб,  $qn$  диагонал шу миқдорга қисқаради (114-шакл).

Бу чўзилиш ва сиқилиш (39.2) формулага мувофиқ, биз текшираётган ҳол учун қуйидагича ёзилади:

$$\epsilon_1 = -\epsilon_2 = \epsilon = \frac{\tau}{E}(1 + \mu); \quad (a)$$

$\epsilon$  билан  $\gamma$  орасидаги муносабатни 114-шаклдан топамиз:

$$\operatorname{tg} \left( \frac{\pi}{4} - \frac{\gamma}{2} \right) = \frac{On'}{Op'} = \frac{On(1 - \epsilon)}{Op(1 + \epsilon)} = \frac{1 - \epsilon}{1 + \epsilon}.$$

$\epsilon$  ва  $\gamma$  нинг кичиклигини эътиборга олиб, бу ифоданинг ўнг ва чап томонларини қуйидагича ёзишимиз мумкин:

$$\begin{aligned} \frac{1 - \epsilon}{1 + \epsilon} &= 1 - 2\epsilon; \operatorname{tg} \left( \frac{\pi}{4} - \frac{\gamma}{2} \right) = \\ &= \frac{\operatorname{tg} \frac{\pi}{4} - \operatorname{tg} \frac{\gamma}{2}}{1 + \operatorname{tg} \frac{\pi}{4} \operatorname{tg} \frac{\gamma}{2}} = \frac{1 - \frac{\gamma}{2}}{1 + \frac{\gamma}{2}} = 1 - \gamma \end{aligned}$$

Демак:

$$1 - \gamma = 1 - 2\epsilon,$$

бундан:

$$\gamma = 2\epsilon. \quad (b)$$

Бу ҳолда нисбий силжиш, сон жиҳатидан олганда, нисбий чўзилишнинг икки ҳиссасига тенг бўлади.

$\epsilon$  нинг қийматини (b) дан (a) га олиб бориб қўйсак,  $\tau$  билан  $\gamma$  орасидаги муносабатни топамиз:

$$\tau = \frac{E}{2(1 + \mu)} \cdot \gamma. \quad (43.5)$$

Чиққан натижани (43.4) формула билан солиштириб,  $G$  учун қуйидаги ифодани ҳосил қиламиз:

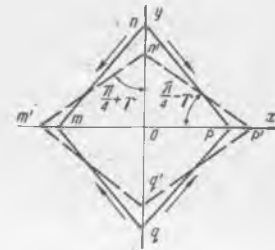
$$G = \frac{E}{2(1 + \mu)}. \quad (43.6)$$

Материал учун  $E$  билан  $\mu$  маълум бўлса,  $G$  ни (43.6) формуладан топish жуда осон.

Агар  $\mu = \frac{1}{3}$  бўлса,  $G = \frac{3}{8}E$  бўлади.

#### 44-§. Силжишга қаршилик кўрсатувчи призматик стерженлар учун рухсат этилган кучланиш

Силжишга қаршилик кўрсатувчи иншоот ва машина элементларининг мустаҳкамлигини ҳисоблаш учун, тегишли рухсат этилган кучланишлар маълум бўлиши керак. Аммо силжишдаги эластик деформацияни ва унга тегишли эластиклик чегарасини тажриба воситаси билан аниқлаш қийин бўлгани учун, рухсат этилган кучланишни мустаҳкамлик назарияларидан фойдаланиб аниқлаймиз. Силжишга қаршилик кўрсатувчи материал учун чўзилиш ва сиқилишдаги рухсат этилган кучланиш  $[\sigma]$  маълум бўлса, мустаҳ-



114-шакл.

камлик назарияларидан фойдаланиб ҳисоб тенгнамаларини тузиш осон. Соф силжишда:

$$\sigma_1 = \tau, \quad \sigma_3 = -\tau$$

бўлади. Энг катта нормал кучланиш назариясининг пулат каби материаллар учун татбиқ этилмаслиги ҳақида юқорида айтиб утган эдик. Шунинг учун, силжишга қаршилиқ кўрсатувчи элементларнинг мустаҳкамлик шартини энг катта деформация назарияси асосида тузишдан бошлаймиз. Пластик материаллар учун бу назарияни татбиқ қилиш тўғри бўлмаса ҳам, кейинги ярим аср мобайнида машинасозлик соҳасида бу назария кенг татбиқ этилмоқда.

$$[\sigma_1 - \mu(\sigma_2 + \sigma_3)] \geq [\sigma];$$

биз текшираётган ҳол учун:

$$[\tau - \mu(-\tau)] \leq [\sigma] \text{ ёки } \tau(1 + \mu) \geq [\sigma].$$

Бу тенгламадан мустаҳкамлик шартини қаноатлантирувчи тангенциал кучланишнинг миқдорини аниқлаймиз:

$$\tau \leq \frac{[\sigma]}{1 + \mu} = [\tau]. \quad (44.1)$$

Мазкур тенгсизлиkning ўнг томонидаги каср соф силжишдаги рухсат этилган кучланишдир. Пулат учун  $\mu \approx 0,3$  бўлганидан:

$$[\tau] = 0,8[\sigma]. \quad (44.2)$$

Мустаҳкамлик шартини энг катта тангенциал кучланиш назариясига мувофиқ ёзамиз:

$$\sigma_1 - \sigma_3 \geq [\sigma] \text{ ёки } \tau - (-\tau) \geq [\sigma];$$

бундан:

$$\tau \geq \frac{[\sigma]}{2} = [\tau],$$

демак:

$$[\tau] = 0,5[\sigma] \quad (44.3)$$

бўлади. Ниҳоят, энергетик назарияга мувофиқ:

$$\sqrt{\sigma_1^2 + \sigma_3^2} - \sigma_1\sigma_3 \leq [\sigma] \text{ ёки } \sqrt{\tau^2 + \tau^2} + \tau^2 \leq [\sigma].$$

Бундан:

$$\tau \geq \frac{[\sigma]}{\sqrt{3}} = [\tau],$$

демак:

$$[\tau] = 0,57[\sigma] \approx 0,6[\sigma]. \quad (44.4)$$

Қўрамински, ҳар хил назариялар асосида чиқарилган натижалар бир-биридан фарқ қилмоқда. Шунинг учун, бу ҳолда, қайси назариянинг мустаҳкамлик шартига асос бўлиши муҳим аҳамиятга эгадир.

Илгари вақтларда ҳисоб тенгнамаси энг катта деформация назарияси асосида тузилиб, силжишдаги рухсат этилган кучланиш учун  $[\tau] = 0,8[\sigma]$  қиймат қабул қилинар эди. Ҳозирги вақтда пластик материаллар учун энг ишончли назария энергетик назария бўлгани сабабли, силжишдаги рухсат этилган кучланиш учун қуйидаги ифоданинг олинishi тавсия этилади:

$$[\tau] = 0,6[\sigma].$$

Янги назария татбиқ этилиб чиқарилган натижа рухсат этилган кучланишни камайтириб, материални ортиқча сарф қилишга сабаб бўлаётгандек кўринади, чунки  $[\sigma]$  олдидаги коэффициент эски назарияга кўра 0,8 га, янги назарияга кўра эса 0,6 га тенг бўлиб, бу сон олдиндаги сондан 25% фарқ қилади. Аммо ҳақиқатда бундай эмас. Аксинча, янги назарияни тўғри татбиқ қилиш рухсат этилган кучланиш қийматини ошириб, материалнинг қаршилиқ кўрсатиш қобилиятидан яна ҳам яхшироқ фойдаланишга имкон беради. Бу хулосани исботлаш учун, энг катта деформация назариясини татбиқ қилиш давридаги, яъни 1910—1914 йиллардаги металл конструкциялар учун белгиланган рухсат этилган кучланиш нормаси билан ҳозирги давр нормасини таққослаймиз.

1910—1914 йилларда Ст. 3 пўлати учун рухсат этилган нормал кучланиш  $[\sigma] = 1000 \text{ кг/см}^2$ , иккинчи назарияга мувофиқ рухсат этилган тангенциал кучланиш эса  $[\tau] = 0,8[\sigma] = 800 \text{ кг/см}^2$  қилиб олинар эди. Бу нормани ҳозирги замон энергетик назариясидан фойдаланиб қандай ўзгартириш мумкин?

Агар эски норма олинса, рухсат этилган тангенциал кучланиш учун янги энергетик назария  $[\tau] = 600 \text{ кг/см}^2$  қийматни беради. Бу миқдор асосида ҳисоб юритилса, конструкциянинг силжишга қаршилиқ кўрсатадиган ҳар бир элементи учун илгаригига қараганда 25% кўп материал сарф қилиш керак бўлади. Янги назарияни бундай механик равишда татбиқ этиш қўпол хатоларга олиб келиши шубҳасиздир. Рухсат этилган тангенциал кучланиш учун  $[\tau] = 800 \text{ кг/см}^2$  нинг тўғрилиги тажрибаларда тасдиқланган; бу сон асосида лойиҳаланган конструкция элементларининг тўғри ҳисобланганлиги уларнинг ўтаётган хизмати билан исботланган ва исботланмоқда. Шунинг учун бу сонни камайтиришга ҳеч қандай асос йўқ. Модоники шундай экан, рухсат этилган нормал кучланиш  $[\sigma]$  учун аниқланган сон анча кичик олинган деган хулоса чиқариш мумкин. Янги энергетик мустаҳкамлик назариясига ўтиш билан материални нормал кучланишга қаршилиқ кўрсатиш қобилияти анча юқори эканлиги маълум бўлди. Бунинг натижасида рухсат этилган асосий кучланиш  $[\sigma]$  нинг миқдори анча ошди. Ҳозирги вақтда чўзилиш ва сиқилишдаги элементларнинг рухсат этилган кучланиши Ст. 3 пўлати учун  $[\sigma] = 1600 \text{ кг/см}^2$  га, силжиш учун рухсат этилган кучланиш эса  $[\tau] = 1000 \text{ кг/см}^2$  га борди; бу сон  $[\sigma]$  нинг 0,6 қисмини ташкил этади.

Демак, тажрибага асосланган янги, тўғри назария рухсат этилган кучланишни пасайтиришга эмас, балки материалнинг қаршилиқ кўрсатиш қобилиятидан яна яхшироқ фойдаланишга имкон беради.

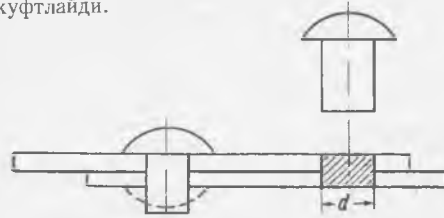
#### 45-§. Силжишга ишловчи конструкция элементларининг ҳисоби

Юқорида биз силжишга ишловчи конструкция элементларининг тажрибада жуда кўп учрашини айтиб ўтган эдик.

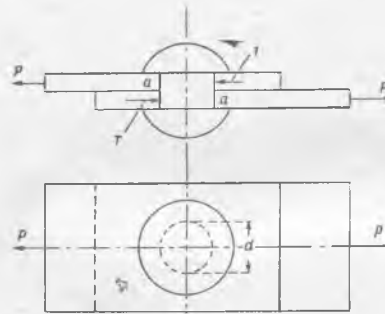
Силжишга ишловчи конструкция элементларининг энг оддий мисоллари қилиб болтли бирикма билан парчин миخلي бирикмани олиш мумкин. Ҳозирги вақтда парчин миخلي бирикма ўрнига пайванд бирикма кўпроқ ишлатилаётган бўлса ҳам, аммо купгина ҳолларда, парчин миخلي бирикма ўз аҳамиятини сақлаб келмоқда. Чунончи, металл қисмларни: стропило фермаларнинг стерженларини, куприк фермаларининг стерженларини, қозонларни ҳосил қилувчи листларни ва шунга ухшашларни улашда парчин миخلي бирикма ишлатилади. Икки листни парчин мих билан улаш учун уларнинг иккаласи ҳам бир хилда тешилиб, тешиқларга қизаргунча қиздирилган ва

бир томони қалпоқли парчин мих стержени кийгизилади. Унинг учи гидравлик пресс ёки махсус болға билан парчинланиб, қалпоқ ҳосил қилинади (115-шакл).

Листларнинг тешигини парчин мих стержени тўла қоплайди ва бу стержень совиганда қисқариб, уланувчи листларни бир-бирига маҳкам жуфтлайди.



115-шакл.



116-шакл.

қабул қилади. Бу кучлар таъсирдан парчин мих, 117-шаклда кўрсатилганидек,  $a$  —  $a$  кесим бўйича кесилишга, яъни парчин михнинг юқори қисми унғ томонга, пастки қисми эса чап томонга силжишга интилади.

Парчин михнинг  $a$  —  $a$  кесимида бу кесувчи куч таъсирдан пайдо бўладиган кучланиш ( $\tau$ ) ни қуйидаги формуладан фойдаланиб топамиз:

$$\tau = \frac{T}{F} \leq [\tau]; \quad (45.1)$$

$T$  — битта парчин михга тушадиган кесувчи куч,  $[\tau]$  — рухсат этилган тангенциал кучланиш,  $F = \frac{\pi d^2}{4}$  — парчин михнинг кўндаланг кесим юзи.

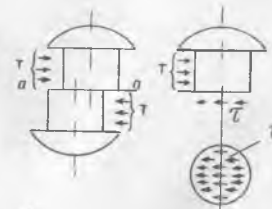
Демак:

$$[\tau] < \frac{T}{\frac{\pi d^2}{4}} \quad (45.2)$$

Парчин мих билан маҳкамланган листларнинг орасида пайдо бўладиган ишқаланиш кучи етарли даражада катта қийматга эга бўлса ҳам, ҳисоб вақтида бу куч эътиборга олинмай, фақат парчин михнинг кесилишга кўрсатилган қаршилик кучигина эътиборга олинади.

Парчин михнинг қандай ишлашини кўрсатиш учун икки темир листнинг бири иккинчиси устига қўйилиб, парчин мих билан уланган ҳолини текшираемиз (116-шакл). Уланган листларга чўзувчи куч таъсир эттириб, уланишнинг қандай сабаблардан бузилишини текшираемиз.

$P$  куч бу листларни бир-бирига нисбатан силжитишга уринади, листларнинг бу силжишга парчин мих қаршилик кўрсатиб, бу листларнинг шаклда кўрсатилганидек таъсир этадиган кучларини ўзига



117-шакл.

бўлади. Бироқ парчин михга листнинг таъсир этадиган кучи парчин михни кесиш билан бирга, уни эзиши ҳам мумкин, яъни листнинг тешиги парчин мих стерженини цилиндрик сирти бўйича эза бошлайди. Эки парчин мих таъсирдан тешик деворининг сирти эзилиши ҳам мумкин. Шу сабабли, парчин мих стержени ва лист тешигининг девори эзилмаслиги учун, ҳисоб вақтида буни ҳам текшириш керак бўлади.

118-шаклда парчин мих стерженига эзувчи куч таъсир этиши тахминан тасвирланган. Эзувчи кучнинг парчин мих сирти бўйича тарқалиш қонуни бизга маълум эмас.

Фақат бу куч  $A$  нуқтада энг катта қийматга эга бўлиб, бу нуқтадан узоқлашган нуқталарда озаяди ва  $B$  ҳамда  $C$  нуқталарда нолга айланади.

Парчин мих сирти бўйича тенг тарқалмаган босимнинг юз бирлигидаги қийматини  $p$  десак, мувозанат шarti қуйидагича ёзилади:

$$T = \int p dF. \quad (45.3)$$

Аmmo  $p$  парчин михнинг цилиндрик сирти бўйича қандай қонун билан тарқалганлиги бизга маълум бўлмагани учун, эзувчи босимларнинг йиғиндисини ифодаловчи интегрални унга эквивалент бўлган ифода билан алмаштирамиз. Парчин мих сирти бўйича қуйилган эзувчи босимни унинг диаметрал кесим юзаси бўйича тенг тарқалган деб оламиз (119-шакл). Бу ҳолда (45.3) интеграл қуйидагича ёзилади:

$$T = \int p dF = \sigma_c \delta d, \quad (45.4)$$

бунда  $\sigma_c$ — парчин михнинг диаметрал кесимидаги эзувчи кучланиш. Унинг қийматини (45.4) дан аниқлаймиз:

$$\sigma_c = \frac{T}{\delta d}. \quad (45.5)$$

Бу ҳолда диаметрал кесимдаги эзувчи кучланишни тахминан  $A$  нуқтадаги энг катта сиқувчи кучланишга тенг қилиб олиш керак.

Диаметрал кесим юзаси тўғри бурчакли бўлиб, унинг бир томони парчин мих диаметрига, иккинчи томони эса парчин мих сиртига эзувчи босим бераётган листнинг қалинлигига тенгдир.

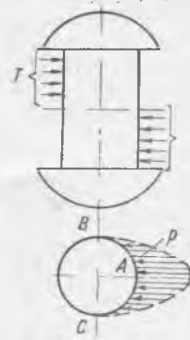
Эзилиш учун рухсат этилган кучланишни  $[\sigma_c]$  десак, мустақамлик шarti:

$$\sigma_c = \frac{T}{\delta d} \leq [\sigma_c]. \quad (45.6)$$

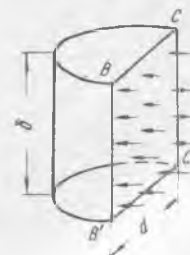
Эзилиш учун рухсат этилган кучланиш оддий чўзилиш учун рухсат этилган кучланишдан 2—2,5 марта катта қилиб олинади, яъни:

$$[\sigma_c] = (2 \div 2,5) [\sigma].$$

Листлар бир-бирига устма-уст қўйиб бириктирилганда парчин михлар фақат кесилиш билан эзилишгагина ишламасдан, эгилишга ҳам ишлайди, чунки қуйилган кучларнинг таъсир чизиқлари бир-биридан уланувчи листнинг қалинлигига тенг масофада бўлгани учун, жуфт куч ҳосил бўлади, бу жуфт куч эса бирикмани 120-шаклда кўрсатилганидек эгади.



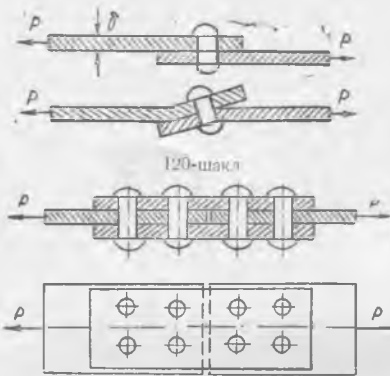
118-шакл.



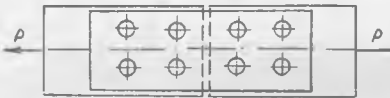
119-шакл.

Бундай эгилиш бўлмасин учун, листлар устма-уст қўйилмай, учма-уч қўйилиб бириктирилади. Бу ҳолда листларнинг устидан ва остидан тахтакач қўйилади (121-шакл).

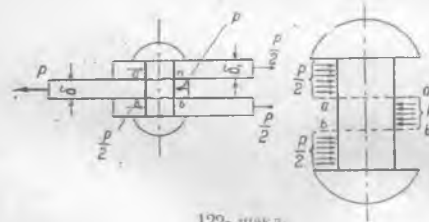
Бу тахтакачлар ёрдами билан бириктириш натижасида парчин михлар икки текисликда кесилишга қаршилик кўрсатади. Шунинг учун, бундай бирикмада ишловчи парчин мих *икки кесилишли* парчин мих дейилади.



120-шакл



121-шакл.



122-шакл.

Ўзига олгани учун уларнинг қалинлиги  $\delta_1$  асосий лист қалинлигининг ярмисидан кам бўлмаслиги керак. Одатда, конструкциянинг қулайлиги нуқтаи назаридан тахтакачларнинг қалинлиги  $\frac{\delta}{2}$  дан кўра каттароқ олинади; бироқ

$\delta$  дан катта бўлмаслиги шарт, яъни  $\frac{\delta}{2} \leq \delta_1 \leq \delta$  бўлиши керак.

Листларни ва ҳар хил конструкцияларнинг қисмларини улашда улар биргина парчин мих билан уланмай, қўпинча, бир канча парчин мих билан уланганлиги сабабли, улаш учун зарур бўлган парчин михларнинг сонини аниқлаш катта аҳамиятга эга бўлади.

Бунинг учун, уланувчи конструкцияга қўйилган кучлар уловчи парчин михлар ўртасида тенг тақсимланади, деб фараз қиламиз. У вақтда, битта парчин михга тўғри келадиган кесувчи кучни  $T_{\text{кесувчи}}$  деб белгиласак, улашиш учун зарур бўлган парчин михлар сони ( $n$ ) қуйидаги формуладан аниқланади:

$$n = \frac{P}{T_{\text{кесувчи}}} \quad (45.8)$$

Икки кесилишли битта парчин михнинг ишини текшира- миз (122-шакл).

Тахтакачлар парчин михни  $\frac{T}{2}$  куч билан ўрта листга нисбатан ўнг томонга силжитишга интилади. Бунинг натижасида парчин мих  $a-a$  ва  $b-b$  текисликларда кесилиши мумкин.

Бу ҳол учун, парчин мих икки текисликда кесилганлигидан, ҳисоб тенгламаси қуйидагича ёзилади:

$$\frac{T}{2} \frac{\pi d^2}{4} \leq [\sigma]; \quad (45.7)$$

бу ерда  $T$  — битта парчин михга тушадиган куч. Бу ҳолда парчин мих асосий листлар таъсирида ёки иккала тахтакач таъсирида эзилиши мумкин.

Эзилишга ҳисоб қилиш вақтида бу листлар ва тахтакачларнинг қайси бири юққароқ бўлса, (45.5) ҳисоб тенгламадаги  $\delta$  ўрнига шунисининг қалинлиги олинади. Бироқ иккала тахтакач асосий листдан бутун  $P$  кучни

Улаш учун зарур бўлган парчин михлар сони эзувчи кучга нисбатан ҳам аниқланади:

$$n = \frac{P}{T_{\text{эзувчи}}} \quad (45.9)$$

$T_{\text{кесувчи}}$  билан  $T_{\text{эзувчи}}$  нинг илгари чиқарилган қийматларини (45.8) ва (45.9) формулаларга қўйиш билан улаш учун зарур бўлган парчин михлар сонини топишнинг қўйидаги формулаларини ҳосил қиламиз:

| Кучланиш турлари | Бир кесимли парчин мих учун                     | Икки кесимли парчин мих учун                    |
|------------------|---|---|
| Кесувчи          | $n = \frac{P}{[\tau] \frac{\pi d^2}{4}}$        | $n = \frac{P}{2[\tau] \frac{\pi d^2}{4}}$       |
| Эзувчи           | $n = \frac{P}{[\sigma_c] \cdot d \cdot \delta}$ | $n = \frac{P}{[\sigma_c] \cdot d \cdot \delta}$ |

Парчин михлар учун қилинган тешиklar уланувчи конструкция қисмларининг чўзилишга ёки сиқилишга кўрсатадиган қаршилигини анчагина заифлаштиради. Шунинг учун, парчин михларни ҳисоблаб, тегишлича ўрнаштиригандан кейин, уланувчи конструкцияни чўзилишга ёки сиқилишга текшириб кўриш керак.

Уланувчи лист кўндаланг кесимининг тўла юзини  $F_{\text{брутто}}$  деб, парчин михлар учун қилинган тешиklarни ҳисобга олиб чиқарилган юзини  $F_{\text{нетто}}$  деб белгилаймиз (123-шакл).

Уланувчи листларни чўзилишга ёки сиқилишга текшириб кўриш учун ҳисоб тенгламаси қўйидагича ёзилади:

$$\frac{P}{F_{\text{нетто}}} \leq [\sigma]. \quad (45.10)$$

Бу ерда  $P$  — уланувчи листларни чўзувчи куч,  $[\sigma]$  — чўзилиш учун рухсат этилган кучланиш ва  $F_{\text{нетто}} = (b - 2d) \cdot t$ .

Энди, уланувчи конструкция қисмларида парчин михларнинг қандай тартибда жойлаштирилиши тўғрисида тўхталиб ўтамиз.

Агар уланувчи листларнинг эни  $b = 120$  мм гача бўлса, парчин михлар бир қатор жойлаштирилади, листлар эни 120 мм дан ортиқ бўлса, икки қатор қўйилиши мумкин. Бир қаторга жойлаштирилган парчин михларнинг сони 4 дан ошмаслиги керак. Айрим ҳолларда 5 гача рухсат этилади.

Бирикманинг ҳамма ўлчамлари парчин мих диаметрига нисбатан ҳисобланади. Парчин мих диаметри бирикмани ҳисоблашда асосий фактор бўлиб, уланувчи лист ёки полосанинг қалинлигига боғлиқ ҳолда аниқланади.

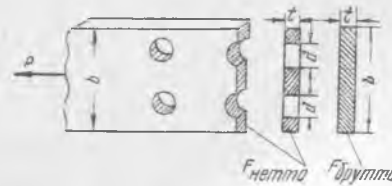
Бир кесимли парчин мих учун  $d = \delta + 10$  мм.

Икки кесимли парчин мих учун  $d = \delta + 7$  мм.

Умуман, парчин мих диаметри қўйидаги шартни қанотлантириши керак:

$$d \leq \frac{b - \delta}{3}. \quad (45.11)$$

Бироқ парчин мих диаметри учун ГОСТ қўйидаги сонларни тавсия этади: 10, 12, 14, 17, 20, 23, 28, 30, 32, 34, 36 ва 38 мм ва ҳоказо.

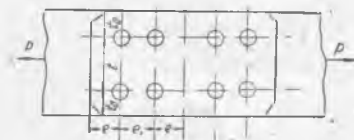


123-шакл.

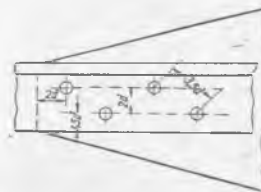
Парчин михли бирикмада ишлатиладиган ўлчамлар қаторлар билан жойлаштирилган ва шахмат тартибда жойлаштирилган парчин михлар учун 124 ва 125-шаклларда кўрсатилган

Параллел жойлаштирилган парчин михлар учун:

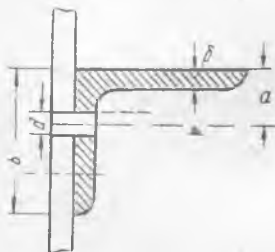
$$\begin{aligned} e &= (1,5 \div 2)d, & t_0 &= (1,5 \div 2)d, \\ e_1 &= (3 \div 4)d, & t &= (3 \div 7)d. \end{aligned}$$



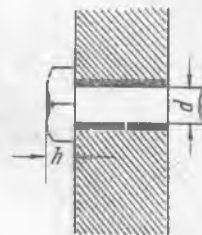
124-шакл.



125-шакл.



126-шакл.



127-шакл.

Парчин михлар бурчакларнинг деворига яқинроқ жойлаштирилади (126-шакл). Бурчакларнинг номерига қараб  $a = 30 : 70$  мм гача олинади.

### МАСАЛАЛАР

38. Болт  $P$  куч билан чўзилади (127-шакл). Болт чўзилишга, унинг қалпоғи кесилишга бир хилда қаршилик кўрсатса, болтнинг диаметри ( $d$ ) билан қалпоғининг баландлиги ( $h$ ) орасидаги муносабат қандай бўлиши керак?

$$[\tau] = 0,8 [\sigma].$$

Ечиш. Болтни чўзувчи куч:  $P = \frac{\pi d^2}{4} [\sigma]$ . Болт қалпоғини кесувчи куч  $P = \tau dh [\tau]$ . Масала шартига мувофиқ:

$$\pi dh [\tau] = \frac{\pi d^2}{4} [\sigma], \text{ бундан } h = 0,32.$$

39. Қалинлиги 2 мм бўлган квадрат шаклидаги дюрал пластинканинг қирғоғи шарнирлар ёрдамида туташтирилган абсолют қаттиқ стерженлардан ҳосил бўлган рамка билан ўралган (128-шакл). Рамканинг  $C$  шарнирига  $P = 2,5$  т куч қўйилган. 1) Пластинканинг  $A$  учидаги силжиш бурчаги  $\varphi$ ; 2)  $C$  нуктасининг пасайиши  $\delta$ ; 3) бош кучланишларнинг миқдори ва 4)  $AC$  ва  $BD$  диагоналлари узунлигининг ўзгариши  $\Delta l$  топилсин.  $E = 7 \cdot 10^5$  кг/см<sup>2</sup>,  $\mu = 0,34$ .

Ечиш. Пластика контуридаги (қирғоғидаги) тангенциал кучланиш:

$$1) \tau = \frac{P}{F} = \frac{2500}{25 \cdot 0,2} = 500 \frac{\text{кг}}{\text{см}^2}$$

Силжиш бурчаги:

$$\gamma = \frac{\tau}{G} = \frac{2\tau(1+\mu)}{E} = \frac{2 \cdot 500(1+0,34)}{7 \cdot 10^5} \approx 1,9 \cdot 10^{-3}$$

2) Абсолют силжиш:

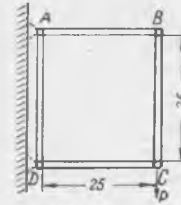
$$\delta_c = l\gamma = 25 \cdot 1,9 \cdot 10^{-3} \approx 10,5 \text{ мм.}$$

3) Бош кучланишлар: квадрат қирғоғига фақат тангенциал

кучланиш  $\tau_{xy} = \tau = 500 \frac{\text{кг}}{\text{см}^2}$

таъсир қилгани учун:  $\sigma_{x2} = \pm \tau$ .

4) AC диагоналниң узайиши:  $\Delta l = \epsilon l \sqrt{2} = \gamma l \frac{\sqrt{2}}{2}$ , чунки  $\epsilon = \frac{\gamma}{2}$  эди.



128-шакл.

40. Кенлиги  $b = 27 \text{ см}$ , қалинлиги  $\delta = 1,6 \text{ см}$  бўлган икки лист диаметри  $d = 2,5 \text{ см}$  бўлган 8 та парчин мих билан устма-уст бириктирилган (129-шакл). Бу бирикманиң хавфсизлиги таъминланган ҳолда листларга қўйилиши мумкин бўлган куч ( $P$ ) ниңг энг кагта қиймаги топилсин. Листларниң мустақкамлиғини парчин михлар неча процентга пасайтириши ҳам ҳисоблансин. Рухсат этилган кучланишлар  $[\sigma] = 1200 = \text{кг/см}^2$ ,  $[\tau] = 800 \text{ кг/см}^2$ ,  $[\sigma_c] = 2400 \text{ кг/см}^2$ .

Ечиш.  $P$  кучниң қиймагини, листларниң биринчи ва иккинчи қатор парчин мих ўрнатилган кесимлариниң мустақкамлик шарғидан аниқлаймиз.

1)  $P_1 = [\sigma] (b - 2d) \delta = 42240 \text{ кг}$ . Парчин михли бирикмага таъсир қилувчи куч уланиш бўйича бир хилда бўлмайди. Масалаи, иккинчи қатордаги парчин михларга биринчи қатордаги қараганда озроқ юк тушади. Одатда, иккинчи қатор кучниң 0,75 қисмини қабул қилади. Шунинг учун, иккинчи қатор парчин мих ўрнатилган кесимниң мустақкамлик шарғини тузишда қўзувчи кучниң 0,75 қисмини олиш лозим:

$$0,75P_2 = [\sigma] (b - 4d) \delta,$$

$$P_2 = 43520 \text{ кг.}$$

2) Парчин михларниң кесилишга қаршлик кўрсатиш шарғидан:

$$P_3 = [\tau] n \frac{\pi d^2}{4} = 31400 \text{ кг.}$$

3) Эзилишга қаршлик кўрсатиш шарғидан:

$$P_4 = [\sigma_c] n \delta d = 77000 \text{ кг.}$$

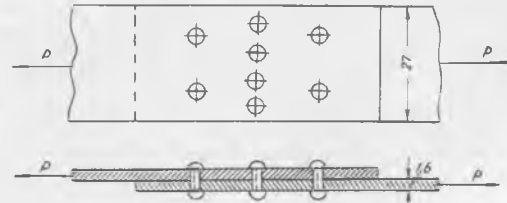
Демак, қўйилиши мумкин бўлган куч:

$$P_{\text{max}} = 31400 \text{ кг}$$

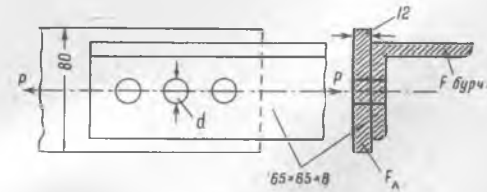
булади.

Листларниң мустақкамлиги  $\frac{2d}{b} 100 = 18,5\%$  камаяди.

41. Бурчакликини листга туташтириш учун зарур бўлган парчин михлар сопи аниқлансин (130-шакл). Қўйилган юк  $P = 7,5 \text{ т}$ . Парчин мих диаметри  $d = 1,7 \text{ см}$ ;  $[\sigma] = 1400 \text{ кг/см}^2$ ,  $[\tau] = 1100 \text{ кг/см}^2$ ,  $[\sigma_c] = 2800 \text{ кг/см}^2$ . Лист ва бурчакликиниң узилмаслиги ҳам текширилсин. Бошқа улчамлар 130-шаклда берилган.



129-шакл.



130-шакл.

Ечиш. Парчин миҳларнинг кесилмаслик шартидан:

$$n > \frac{P}{[\tau] \frac{\pi d^2}{4}}; \quad n = 3.$$

Эзилмаслик шартидан:

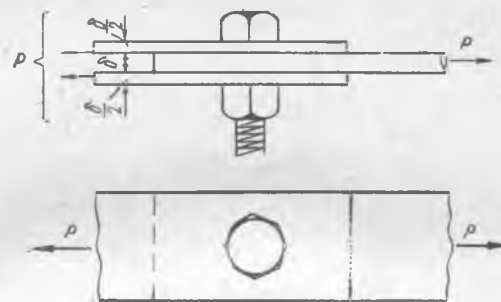
$$n > \frac{P}{[\sigma_c] \sigma d}; \quad n = 2.$$

Учта парчин миҳ қўямиз. Бурчак билан листнинг узилмаслик шартини текшираимиз:

$$F_{y\tau} = 9,87 \text{ см}^2, \quad \sigma_{y\tau} = \frac{P}{F_{y\tau} \delta d} = 880 \frac{\text{кг}}{\text{см}^2} < [\sigma],$$

$$F_A = 9,6 \text{ см}^2, \quad \sigma_A = \frac{P}{F_A \delta d} = 990 \frac{\text{кг}}{\text{см}^2} < [\sigma].$$

Демак, мустаҳкамлик таъмин этилади.



131-шакл.

42. 131-шаклда кўрсатилган боғланиш учун болтнинг диаметри ( $d$ ) ни аниқлаш лозим. Чувувчи куч  $P = 12 \text{ т}$ ,  $[\tau] = 800 \text{ кг/см}^2$ ,  $[\sigma_c] = 2000 \text{ кг/см}^2$ ; листнинг қалинлиги  $\delta = 2 \text{ см}$ .  
Жавоби.  $d = 31 \text{ мм}$ .

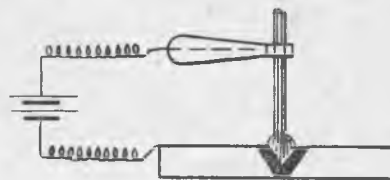
43. Қалинлиги  $\delta = 12 \text{ мм}$  бўлган листдан диаметри  $d = 20 \text{ мм}$  ли тешик очиш учун қанча куч қўйилши керак? Листнинг мустаҳкамлик чегарасидаги кесувчи кучланиши  $40 \text{ кг/мм}^2$  га тенг. Листнинг тешилиши олдидаги эзувчи кучланиш ҳисоблансин.  
Жавоби:  $P = 31,15 \text{ т}$ ;  $\sigma_c = 9620 \text{ кг/см}^2$ .

#### 46-§. Пайванд бирикманинг ҳисоби

Металл конструкциялар тайёрлашда, кўпинча, пайвандлашдан фойдаланилади. Металлни электр ёйи воситаси билан эритиш усулини даставвал (1802 йилда) рус олими проф. В. В. Петров ихтиро этиб, ундан техникада фойдаланишни тавсия қилди. Аммо электр ёрдамида пайвандлаш XIX асрнинг охирига келгандагина рус инженерлари Н. Н. Бенардос ва Н. Г. Славянов томонидан йўлга қўйилди, кейинчалик эса бутун дунёда тараққий этиб кетди.

Электр ёйи ёрдами билан пайвандлашнинг моҳияти шундан иборат: бириктирилувчи элементларнинг учлари маълум ораликкача яқинлаштириб эриш даражасигача электр ёйи алангаси билан қиздирилган ҳолда, шу оралик электроднинг материали билан тўлдирилади. Электрод сифатида пулат ишлатилади. Пайвандланаётган элементларнинг электрод билан тўлдирилган оралиги совиши биланоқ мустаҳкам чок ҳосил бўлади.

Электр ёйи билан зритиш схемаси 132-шаклда тасвирланган. Электр ёйи алангаси бириктириладиган металл элементларнинг қирраси билан улар орасидаги электродни эритмоқда. Пайвандланаётган металлга ҳаводан зарарли элементлар ўтмаслиги учун, электроднинг сирти махсус модда билан қопланади. Электрод эриганда бу модда кўп миқдорда газ чиқаради, бу газ эса ҳавони тўсади. Бундай тадбир қўрилмаса, пайвандланаётган қисмларга ҳавонинг кислороди билан азоти ёмон таъсир этиб, чокнинг сифатини пасайтириб юборади. Пайвандлаб бириктириладиган конструкция элементларнинг материаллари ва электрод мослаб танланса ва бириктириш процесси тўғри бажарилса, бу тарздаги бирикманинг мустаҳкамлиги парчин миҳли бирикманинг мустаҳкамлигидан қолишмайди. Шунинг билан бирга, пайвандлаб бириктириш парчин миҳ билан бириктиришга қараганда анча осондир. Ундан ташқари, парчин миҳ учун қилинган тешик элементларни анчагина заифлаштиради. Бу мулоҳазалар пайванд бирикманинг аҳамияти нақадар катталигини аниқ кўрсатади. Кейинги 10—15 йил ичида парчин миҳ билан бириктириш анчагина чекланган. Аммо пайвандлаш усули пўлатнинг турли хиллари учунгина қўлланиши мумкин, холос. Дюрал каби енгил, мустаҳкамлиги пўлагдан қолишмайдиган материалларни бириктириш учун парчин миҳ ишлатилади. Пайвандланган чокнинг мустаҳкамлиги пайвандлаш технологиясига боғлиқдир. Пайвандланган чокларнинг мустаҳкамлигини ҳисоблаш усули ҳозирга қадар қатъий бир тус олган эмас. Шундай бўлишига қарамай, чок бириктирувчи элементлар билан бир бутунни ҳосил қилади деб олиниб, унинг мустаҳкамлиги текширилади. Чок материали учун рухсат этилган кучланиш нормаси элементларни бириктириш усулига боғлиқдир. Масалан, бириктириладиган элементлар 1 Ст. 3 маркали пўлатдан ясалган бўлса, чокнинг рухсат этилган кучланиши қуйидаги жадвалдан олиниши мумкин (ГОСТ 96-46.)



132-шакл.

## Пайванд бирикма учун рухсат этилган кучланишлар

| Кучланиш турлари | Кучланишнинг белгилангани | Қўлда пайвандланган бирикма   |                                | Автоматик пайвандланган бирикма учун |
|------------------|---------------------------|-------------------------------|--------------------------------|--------------------------------------|
|                  |                           | электрод юққа қопланган ҳолда | электрод қалин қопланган ҳолда |                                      |
| Чўзувчи          | [ $\sigma_0$ ]            | 1000 кг/см <sup>2</sup>       | 1300 кг/см <sup>2</sup>        | 1300 кг/см <sup>2</sup>              |
| Сиқувчи          |                           | 1100 кг/см <sup>2</sup>       | 1450 кг/см <sup>2</sup>        | 1400 кг/см <sup>2</sup>              |
| Кесувчи          |                           | 800 кг/см <sup>2</sup>        | 1100 кг/см <sup>2</sup>        | 1100 кг/см <sup>2</sup>              |

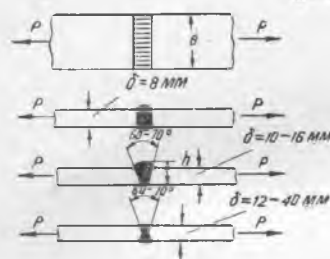
Чокнинг бошида ёки охирида ёпишмай қолган жойи бўлиши мумкин: чокнинг мустаҳкамлигини ҳисоблашда бу ҳолни кўзда тутиш лозим. Масалан, кўндаланг чок учун, чок узунлигини уланаётган элементнинг кенлигидан камроқ қилиб олиш керак. Учма-уч пайвандлаш энг осон ва ишончли бўлганидан, бу усул кўп қўлланилади. Учма-уч пайвандлаш, бириктириладиган элементларнинг калинлигига қараб, 133-шаклда тасвирланган схемалардан бири бўйича бажарилади. Кўндаланг чокнинг мустаҳкамлиги

чўзилиш ёки сиқилишга текширилганда қуйидаги формуладан фойдаланилади:

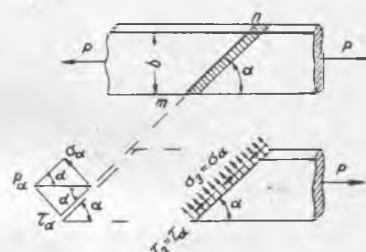
$$\sigma_s = \frac{P}{lh} \leq [\sigma_s].$$

Бундан  $F_s = l \cdot h$  — чўзилиш ёки сиқилишга қаршилик кўрсатувчи чокнинг шартли юзи. Ҳисоб учун чокнинг узунлиги  $l = b - 10$  мм қилиб олинади. Чокнинг қалинлиги ( $h$ ) эса уланувчи элементнинг қалинлиги ( $\delta$ ) га тенг қилиб олинади:  $h = \delta$ . Рухсат этилган кучланиш уланиш чокида асосий элементларга қараганда бирмунча қамроқ бўлганидан, чок билан уланувчи элементлардаги рухсат этилган кучланишни тенглаштириш учун, чокнинг узунлигини бирмунча қўпайтириш зарур бўлади. Шунинг учун учма-уч уланадиган элементлар қийшиқ чок билан пайвандланади (134-шакл). Қийшиқ чокларнинг мустаҳкамлиги чок кесимларида ҳосил бўладиган нормал ва тангенциал кучланишлар орқали текширилади:

$$\left. \begin{aligned} \sigma_s &= \frac{P}{F_s} \sin \alpha, \\ \tau_s &= \frac{P}{F_s} \cos \alpha. \end{aligned} \right\} (46.2)$$



133-шакл.



134-шакл.

$F_s$  нинг қийматини кўзда тутиб, бу ҳол учун ҳисоб тенгламасини қуйидагича ёзамиз:

$$\left. \begin{aligned} [\sigma_s] &\geq \frac{P}{l\delta} \sin \alpha, \\ [\tau_s] &\geq \frac{P}{l\delta} \cos \alpha. \end{aligned} \right\} (46.3)$$

Бу ҳолда чокнинг узунлиги ( $l$ ) қуйидагича олинади:

$$l = \frac{b}{\sin \alpha} + 10 \text{ мм.}$$

Ўтказилган тажрибалар қиялик бурчагининг рационал қиймати  $\alpha = 45^\circ - 50^\circ$  эканлигини тасдиқлайди. Қийшиқ чок қилишда уланаётган элементларнинг марказларини бир-бирига тўғрилаш анчагина қулайсизлик туғдиргани учун бу тарздаги уланиш кам ишлатилади.

Қўпинча, учма-уч уланаётган элементларга тахтакач қўйилади ёки элементлар устма-уст қўйиб уланади. Бундай улашда чок уланаётган элементларга таъсир этадиган чўзувчи ёки сиқувчи кучларга тик ёки параллел бўлади.

Чок куч йўналишига тик бўлса, қўндаланг ёки валиксимон чок деб, параллел бўлса бўйлама ёки ёнбош чок деб аталади. Валиксимон чок 135-шаклда кўрсатилган. Тажрибаларнинг кўрсатишича, уланиш  $AB$  кесим бўйича емирилади. Демак, ана шу  $AB$  кесим мазкур уланиш учун энг заиф

кесим ҳисобланади. Ҳисоб тенгламасини мазкур  $AB$  кесимнинг кесилмаслиги шартидан фойдаланиб тузамиз.  $AB$  кесимнинг юзаси бўйича кесувчи куч тенг тарқалган деб фараз қилинса, ҳисоб тенгламаси қуйидагича ёзилади:

$$\tau = \frac{P}{2F}.$$

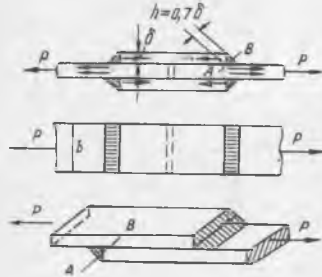
Валиксимон чок иккита бўлганидан, кесилиш юзасининг икки ҳисса қиймаги олинади.

Бу кесимнинг юзи  $F = hb = l\delta \cos 45^\circ = 0,7l\delta$  бўлгани учун, чокнинг  $AB$  кесим юзаси бўйича кесилмаслик шarti қуйидагича ёзилади:

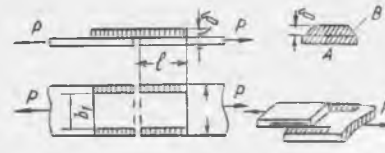
$$\tau_0 = \frac{P}{1,4l\delta} \leq [\tau_0]. \quad (46.4)$$

Бунда  $l = b \approx 10 \text{ мм}$ .

Ҳақиқатда чокнинг материали мураккаб кучланиш ҳолатида бўлиб,  $AB$  кесим юзаси бўйича кучланиш тенг тарқалмайди. Эластиклик назарияси



135- шакл.



136- шакл.

асосида ўтказилган текширишлар ва тегишли тажрибалар  $AB$  кесимнинг бурчакларида катта кучланишлар тўпламининг ҳосил бўлишини кўрсатди. Ундан ташқари, бирикма совуганда чокнинг кескин қисқариши натижасида, уланувчи элементларда қўшимча ички кучланишлар ҳосил бўлади, бу кучланишлар натижасида чок материали мурт бўлиб қолади. Мурт материалда кучланишлар тўплами мавжуд бўлишининг хавfli эканлиги бизга маълум. Кучланишлар тўплами ва температуранинг кескин ўзгариши мурт чокда дарз ҳосил қилади. Шунинг учун ҳам бундай бирикмалардан фойдаланиш хусусан конструкция элементлари зарбали ёки ўзгарувчан кучлар таъсирига дуч келадиган ҳолларда тавсия этилмайди.

Ёнбош чок 136-шаклда тасвирланган. Ёнбош чокнинг  $AB$  кесими энг заиф бўлганидан, мазкур кесим бўйича анчагина ораликда кесилиш оқиба-тида чок ишдан чиқади. Симметрик жойлашган иккита чок учун мустаҳкамлик шarti бундай ёзилади:

$$\tau = \frac{P}{2 \cdot 2,5,7l\delta} \leq [\tau_0]. \quad (46.5)$$

Учма-уч уланувчи элементлар тахтакач билан икки томонлама қопланган бўлса, чокларнинг сони икки ҳисса кўпаяди, бунда мустаҳкамлик шarti қуйидагича ёзилади:

$$\tau_0 = \frac{P}{4 \cdot 0,7l\delta} \leq [\tau_0]. \quad (46.6)$$

Мазкур формулалардан ёнбош чокларнинг узунлиги  $l$  аниқланади. Ҳар қайси чокнинг лойиҳа узунлиги  $l_0 = l + 10$  мм деб қабул қилинади.

Ўтказилган тажрибалар ёнбош чокларнинг ишдан чиқиши пластик материалларникидек катта деформация билан содир бўлишини кўрсатади. Бу хулоса ёнбош чокнинг кўндаланг чокка қараганда анчагина қулайлигини кўрсатади. Аммо ёнбош чоклар эстагида ҳам кучланишлар тўплами ҳосил бўлади.

Металл конструкцияларни лойиҳалашда, учма уч уланадиган қисмлар ишончли бўлиши учун, улар қўшимча тахтакач билан қопланиб, валиксимон ҳолда ёнбош чоклар билан таъминланади. Аммо бундай тадбирларнинг, баъзи фойдасидан кўра зарари кўпроқ бўлади. Шундай бўлишига қарамай, бундай комбинацияли чоклардан фойдаланилгани учун, уларга оид шартли ҳисоб тенгнамаларини чиқарамиз. Ёнбош ва кўндаланг чокларнинг қаршилигини тегишлича  $P_\phi$  ва  $P_a$  билан белгиласак, бирикманинг умумий қаршилиги:

$$P = P_\phi + P_a \quad (46.7)$$

бўлади.  $P_\phi$  билан  $P_a$  нинг қийматларини қуйидагича аниқлаймиз:

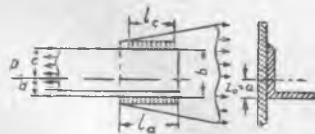
$$\left. \begin{aligned} P_\phi &= 2 \cdot 0,7 \delta [\tau_s], \\ P_a &= 0,7 l_a \delta [\tau_s]. \end{aligned} \right\} \quad (46.9)$$

Бунда  $l_a$  ёнбош,  $l_a$  эса кўндаланг чокларнинг узунлигидир. (46.7) ва (46.8) кўзда тутилса, текшириладиган ҳол учун ҳисоб тенгнамаси қуйидагича ёзилади:

$$P = (l_a + 2l_\phi) 0,7 \delta [\tau_s]. \quad (46.9)$$

Кўндаланг чокнинг узунлиги маълум бўлса, бўйлама чокнинг узунлигини таъсир қиладиган кучга боғлаб, бу формуладан аниқлаш мумкин.

Тахтакач икки томонлама қўйилса, чокларнинг сони икки ҳисса кўпаяди, яъни (46.9) формуланинг ўнг томони икки марта кўпайтирилади.



137-шакл.

Баъзан, металл конструкцияларнинг элементларини бириктиришда элементнинг маркази кучнинг йўналишига мос келмай қолади. Масалан, бурчаклик листга бириктирилганда шундай бўлади. Бундай ҳолларда узунлиги ҳар хил бўлган иккита ёнбош чокдан фойдаланишга тўғри келади. Чокнинг умумий узунлиги унинг кесилмаслиги шартидан аниқланади. Чоклар узунлигининг нисбати эса куч таъсир чизиғининг ҳолатига боғлиқдир. 137-шаклда бурчакнинг листга бириктирилиши тасвирланган. Ёнбош чокларнинг узунлигини тегишлича  $l_a$  ва  $b_c$  десак, буларнинг йиғиндиси қуйидаги шартдан аниқланади:

$$\tau = \frac{P}{0,7 \delta (l_a + l_c)} \leq [\tau_s]; \quad (47.10)$$

бундан:

$$l_c + l_a \geq \frac{P}{0,7 \delta [\tau_s]} = l.$$

Иккинчи томондан, ҳар қайси чокдаги зўриқиш бурчакликнинг марказидан ўтувчи  $P$  куч таъсир чизиғигача бўлган ораликларга тескари пропорционал бўлиши керак. Шунинг учун:

$$\frac{l_a}{l_c} = \frac{c}{a}. \quad (46.11)$$

(46.10) ва (46.11) дан ҳар қайси чокнинг узунлигини аниқлаш қийин эмас.

Бурчаклик учун одатда  $\frac{c}{a} = 2-3$  бўлади.

МАСАЛАЛАР

44. Қўндаланг кесим юзи  $12 \times 250$  мм ли листлар иккита тахтакач орасига олиниб, учма-уч бириктирилган (138-шакл). Бириктирилган элемент билан асосий листнинг мустақамлиги бир хил бўлиб, рухсат этилган кучланишлар қуйидагича: асосий лист учун рухсат этилган нормал кучланиш  $[\sigma] = 1600$  кг/см<sup>2</sup>, чок учун рухсат этилган тангенциал кучланиш  $[\tau_s] = 1100$  кг/см<sup>2</sup>. Бу листларга қўзувчи  $P$  юк таъсир қилади. Шу пайванд бирикма ҳисоблансин. Ечнш. Асосий листнинг қўзулишига кўрсатадиган қаршилигига мувофиқ қўзувчи кучни топамиз:

$$P = 1,2 \times 22 \cdot 1600 = 48000 \text{ кг.}$$

Тахтакачларни ёнбош чоклар воситаси билан бириктириш қулайдир. Ёнбош чокларни ўрнатиш учун тахтакачнинг кенглигини 220 мм  $b_1 = 20$  мм қилиб оламиз. Тахтакачлар билан асосий листнинг бир хилда қаршилиқ кўрсатиш шартига мувофиқ, иккита тахтакачнинг қўндаланг кесим юзи асосий листнинг қўндаланг кесим юзидан кам бўлмаслиги, яъни:

$2b_1\delta_1 \geq F$  бўлиши керак, бундан:

$$\delta_1 \geq \frac{F}{2b_1} = \frac{1,2 \cdot 25}{2 \cdot 22} = 0,68 \text{ см.}$$

$\delta_1$  ни 8 мм деб қабул қиламиз. Ёнбош чокларнинг тўла узунлиги (46.7) га мувофиқ:

$$l \geq \frac{P}{4 \cdot 0,7 \cdot \delta \cdot [\tau_s]} = \frac{48000}{2,8 \cdot 0,8 \cdot 1100} = 19,5 \text{ см}$$

бўлади.

Техник шартларга мувофиқ, ёнбош чокнинг тўла узунлиги  $l = l_0 + 10 = 205$  мм бўлиши керак. Биз  $l_0 = 200$  мм қилиб оламиз.

45. Ферма стержени тенг ёнли иккита  $75 \times 75 \times 8$  бурчақдан иборат; уларни бириктириш учун зарур бўлган ёнбош чокларнинг узунлиги аниқлансин (139-шакл). Стерженни қўзувчи куч  $S = 32$  т; чокларнинг кесилиши учун рухсат этилган кучланиш  $[\tau_s] = 1100$  кг/см<sup>2</sup>.

Ечнш. Битта бурчақликка тўғри келган зўриқиш:

$$P = \frac{S}{2} = 16000 \text{ кг.}$$

Чоклар билан бурчақликнинг оғирлик маркази оралиги:

$$a = z_0 = 21 \text{ см} \quad c = b - z_0 = 7,5 - 2,1 = 5,4 \text{ см.}$$

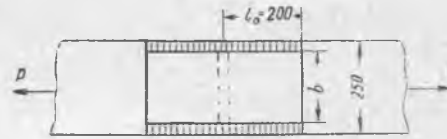
Ҳар бир бурчақликни бириктириш учун зарур бўлган ёнбош чокларнинг узунлиги қуйидаги муносабатлардан топилади:

$$l_a + l_c = \frac{P}{0,76 [\tau_s]} = \frac{1600}{0,7 \cdot 0,8 \cdot 1100} = 26 \text{ см.}$$

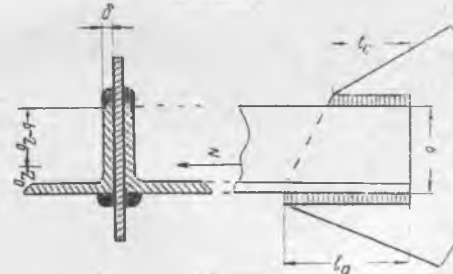
$$\frac{l_a}{l_c} = \frac{c}{a} = 2,58.$$

Бу икки тенгламадан:  $l_a = 18,75$  см,  $l_c = 7,25$  см.

□



138-шакл.



139-шакл.

## VIII боб

## БУРАЛИШ

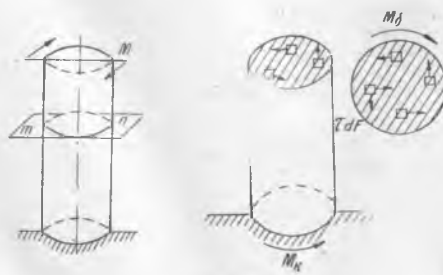
Призматик стерженнинг бир учи маҳкамланиб, бошқа учига унинг кўндаланг кесимида ётувчи жуфт куч қўйилса, стерженнинг кўндаланг кесимлари маҳкамланган кесимга нисбатан айланиб, стержень буралади. Буралиш деформацияси тажрибада жуда кўп учрайди. Масалан, вагоннинг ўқи, трансмиссион ва тирсакли валлар, фазовий конструкция элементлари, пружиналарнинг урамлари, болт ва шунга ўхшашлар, асосан, буралиш деформациясига қаршилик кўрсатади.

Буралишдаги стерженларда ҳосил бўладиган кучланиш ва деформацияларини элементар усул билан фақат доиравий кўндаланг кесимга эга стерженлар учунгина аниқлаш мумкин. Бошқа барча хил кесимли стерженларнинг буралиши деформацияланувчи жисмлар механикасида текширилади. Шунинг учун, текширишни доиравий кўндаланг кесимли стерженнинг буралишидан бошлаймиз.

## 47- §. Доиравий кесимли стерженнинг буралиши

Бир учи маҳкамланган ва кўндаланг кесими доиравий бўлган стерженнинг бошқа учига моменти  $M$  га тенг жуфт куч қўйилган. Бу жуфт куч стерженнинг кўндаланг кесим юзасида ётади (140 шакл). Мазкур жуфт куч таъсирдан стерженнинг эркин кўндаланг кесими маҳкамланган кесимга нисбатан айланиб натижада стержень буралгани учун, у *буровчи момент* дейилади ва  $M_6$  орқали белгиланади.

Агар биз текширилатган стерженни унинг ўқига тик ўтказилган  $m$  текислик билан икки қисмга ажратиб, бир қисмини, масалан, юқори қисмини ташлаб юборсак, қолган пастки қисмининг юқори учига ташлаб юборилган қисмининг таъсирини алмаштирувчи кучлар қўйишимиз зарур. Бу кучлар ташлаб юборилган қисмининг тепа учига қўйилган жуфт кучга эквивалент бўлиши керак, акс ҳолда мувозанат шarti таъминланмаган бўлади. Шунинг учун, биз текшираётган қисмининг тепа учигаги кесим юзаси бўйича



140- шакл.

141- шакл.

тарқалган ички кучлар  $M_6$  моментли жуфт кучга келтирилади. Бу ички кучлардан ҳосил бўлган жуфт куч кесим юзасида ётгани учун бунга тегишли кучланишлар тангенциал кучланишлар бўлади (141- шакл).

Энди, шу текширилатган пастки қисм учун мувозанат тенгламасини тузамиз. Кесим юзасидан бирор элементар  $dF$  юзачани ажратсак, ундаги ички куч  $\tau dF$  бўлади. Бу куч-

нинг цилиндр ўқиға нисбатан олинган моментини  $dM_\tau$  десак, мувозанат тенгламаси қуйидагича ёзилади:

$$\int_F dM_\tau = M_\sigma.$$

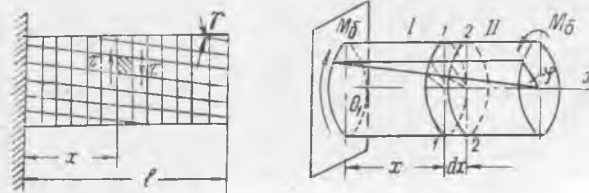
Элементар юзача ( $dF$ ) га қўйилган  $\tau dF$  кучнинг елкасини  $\rho$  десак (141-шакл),  $aM_\tau = \rho\tau dF$  бўлади. Бунини юқоридаги мувозанат тенгламасига қўйсак:

$$\int_F \rho\tau dF = M_\sigma \quad (47.1)$$

тенглик келиб чиқади. Аммо кесим юзаси бўйича тангенциал кучланишнинг қандай қонун билан тарқалганлиги бизга маълум бўлмагани учун, бу (47.1) тенгламадан ҳозирча буралишдаги тангенциал кучланишни аниқлаб бўлмайди. Буралишдаги кучланишни аниқлаш масаласини статика тенгламаларидан фойдаланиб охирига етказиш мумкин эмас. Демак, масала статик аниқмас экан. Қўшимча тенгламани буралувчи цилиндрнинг деформациясини текшириш йўли билан тузамиз.

Буралишда ҳосил бўладиган деформацияларни аниқлашдан олдин, бу соҳада ўтказилган тажрибаларнинг натижалари билан танишиб чиқамиз. Доиравий цилиндр буралишга синалганда, қуйидаги ҳулосалар чиқарилган.

1. Бураляётган цилиндрнинг барча ясовчилари бир хилда  $\gamma$  бурчакка оғади ва цилиндр сиртида чизилган квадратлар бир хилда қийшайиб, ромб шаклини олади (142 шакл).



142-шакл.

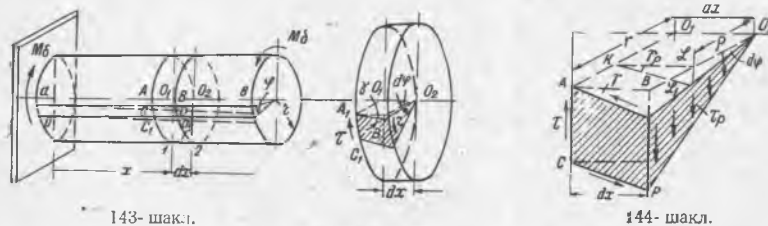
2. Ҳар бир кўндаланг кесим қўшни кесимга нисбатан цилиндр ўқи атрофида маълум бурчакка айланади. Бу бурчак *буралиш бурчаги* дейилади. Буралиш бурчаги буровчи моментга ва кўндаланг кесимлар оралиғига пропорционалдир.

3. Деформациягача текис бўлган кўндаланг кесим юзаси цилиндр буралгандан кейин ҳам текислигича, кесим гардиши (контури) айланалигича, радиуси эса тўғри чизиқлигича қолади (142 шакл). Бураляётган цилиндрик стержень схематик равишда, марказлари билан битта умумий ўққа ўрнатилган каттиқ тангалар тўпламидан тузилган деб тасаввур қилинса, цилиндр буралганда тангаларнинг кўрinishи ва ўлчамлари ўзгармасдан, улар бир-бирига нисбатан умумий ўқ атрофида айланади.

Келтирилган бу тажрибаларнинг натижаларидан фойдаланиб, доиравий кесимли цилиндр учун буралишда ҳосил бўладиган деформация ва кучланишларнинг кўндаланг кесим юзаси бўйича қандай қонун билан ўзгаришини аниқлашимиз мумкин.

Бураляётган цилиндрик стержень сиртидаги иккита қўшни  $ab$  ва  $cd$  ясовчи ва иккита бир-бирига чексиз яқин кўндаланг кесимлар  $I-I$  ва  $2-2$  билан чегараланган  $ABCD$  тўғри тўрт бурчакликни ажратамиз (143-шакл). Стерженьнинг деформацияланиши натижасида  $I-I$  кесим  $\phi$  ва  $2-2$  кесим  $\phi + d\phi$  бурчакларга айланади. Юқорида келтирилган тажриба нати-

жаларига мувофиқ, бу кесимларнинг юзаси текислигича қолади,  $O_1A_1$ ,  $O_2B_1$ ,  $O_1C$  ва  $O_2D_1$  радиуслар тўғри чизик бўлиб, кесимлар оралиғи  $dx$  ўзгармайди. 2—2 кесим 1—1 кесимга нисбатан  $d\varphi$  бурчакка айлангани учун, юқорида айтилган  $ABCO_1O_2$  элемент қийшайиб,  $A_1B_1C_1D_1O_1O_2$  га айланади (144-шакл). Бу қийшайиш натижасида  $ABCD$  нинг тўғри бурчаклари тораяди ва кенгайди. Ажратилган элементимизнинг материалли силжиш деформациясига дуч келиб, бу деформация қийшайиш бурчаги билан, яъни нисбий силжиш билан характерланади. Бу бурчак стержень сиртидаги  $A_1BDC_1$  тўғри бурчакдаги  $BA_1B_1 = \gamma$  бурчакка тенгдир. Силжиш деформацияси қийшайган элемент томонларида ҳосил бўладиган тангенциал кучланишлар тасвирида вужудга келиши бизга маълум. 144-шаклда  $B$  нуқта олдида ажратилган юзалардаги тангенциал кучланишлар тасвирланган. Бу кучланишларни силжиш деформацияси ( $\gamma$ ) орқали ифодалашимиз мумкин. Бунинг учун  $\tau = G\gamma$  тенгламадан фойдаланамиз.  $AB$  элементнинг абсолют силжиши  $BB' = rd\varphi$  бўлади. Нисбий силжиш  $\gamma$  учун қуйидаги ифодани оламиз:



143-шакл.

144-шакл.

$$\gamma = \frac{BB_1}{A_1B} = r \frac{d\varphi}{dx} \quad (47.2)$$

Демак,  $B$  нуқтадаги тангенциал кучланиш бундай ёзилади:

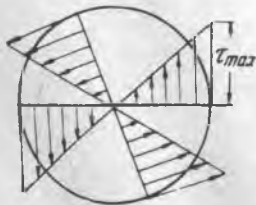
$$\tau_B = G\gamma = Gr \frac{d\varphi}{dx} \quad (47.3)$$

Энди, кўндаланг кесимнинг бирор бошқа  $L$  нуқтасидаги кучланишни топамиз. Бу  $L$  нуқта кесим марказидан  $\rho$  ораликда бўлсин. Дастлаб  $L$  нуқтадаги нисбий силжиш ( $\gamma_\rho$ ) ни аниқлашимиз лозим. Унинг қиймати:

$$\gamma_\rho = \rho \frac{d\varphi}{dx}$$

эканлиги 144-шаклдан яққол кўриниб турибди. Демак, бу  $L$  нуқтадаги кучланиш:

$$\tau_\rho = G\rho \frac{d\varphi}{dx} \quad (47.4)$$



145-шакл.

бўлади. Буралаётган стержень кўндаланг кесимининг ҳар бир нуқтасидаги нисбий силжиш ва тангенциал кучланиш мазкур нуқтадан кесим марказигача бўлган оралик ( $\rho$ ) га тўғри пропорционал бўлар экан. Шундай қилиб, буралувчи стерженнинг кўндаланг кесими бўйича тангенциал кучланишнинг ўзгариш қонуни тўғри чизик билан тасвирланар, унинг графиги эса 145-шаклда кўрсатилгандек бўлар экан. Бу кучланишнинг энг катта қиймати кесимнинг гардишида бўлиб, марказида нолга айланади.

Энди, бу кучланишни буровчи момент орқали ифодалаш керак. Бунинг учун  $\tau_p$  нинг қийматини (47.4) дан (47.1) га олиб бориб қўямиз:

$$\int_F G \rho \frac{d\varphi}{dx} \rho dF = M_k.$$

Бу интеграл остидаги  $G \frac{d\varphi}{dx}$  миқдор интеграллаш ўзгарувчисига боғлиқ бўлмагани учун, уни интегралдан ташқарига чиқариш мумкин:

$$G \frac{d\varphi}{dx} \int_F \rho^2 dF = M_k.$$

Элементар  $dF$  юзача билан мазкур юзачадан кесим марказигача бўлган  $\rho$  ораликнинг квадрати кўпайтималаридан кесимнинг бутун юзаси бўйича олинган  $\int_F \rho^2 dF$  йиғинди кесим юзасининг поляр инерция моменти дейилади ва  $I_p$  орқали белгиланади:

$$I_p = \int_F \rho^2 dF. \quad (47.5)$$

Бу интеграл ифода кўзда тутилса, юқоридаги тенглик қуйидагича ёзилади:

$$GI_p \frac{d\varphi}{dx} = M_0. \quad (47.6)$$

Бу тенгликдан цилиндр кесимнинг узунлик бирлигига тўғри келадиган буралиш бурчаги (нисбий буралиш бурчаги) учун қуйидаги формулани ҳосил қиламиз:

$$\frac{d\varphi}{dx} = \frac{M_0}{GI_p}. \quad (47.7)$$

Буни (47.4) га қўйсак, буралишдаги тангенциал кучланишни топган бўламиз:

$$\tau_p = \frac{M_0}{I_p} \rho. \quad (47.8)$$

Бу кучланиш стержень кесимининг гардишида, яъни  $\rho_{\max} = r$  бўлганда, энг катта қийматга эришади:

$$\tau_{\max} = \frac{M_0 \rho_{\max}}{I_p} = \frac{M_0 r}{I_p}. \quad (47.9)$$

Бу формулани қуйидаги кўринишда ҳам ёзиш мумкин:

$$\tau_{\max} = \frac{M_0}{\left| \frac{I_p}{\rho_{\max}} \right|} = \frac{M_0}{W_p}. \quad (47.10)$$

$\frac{I_p}{\rho_{\max}} = W_p$  — буралишдаги қаршилик моменти. Поляр инерция моменти ( $I_p$ ) узунликнинг тўртинчи даражасида ўлчангани учун, қаршилик моменти ( $W_p$ ) узунликнинг учинчи даражасида ўлчанади.

Мустақамлик шартига мувофиқ, максимал тангенциал кучланиш ( $\tau_{\max}$ ) тегишли рухсат этилган кучланиш  $[\tau]$  дан ошмаслиги, яъни:

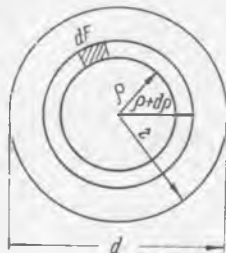
$$\tau_{\max} = \frac{M_0}{W_p} \leq [\tau] \quad (47.11)$$

бўлиши керак.

Буровчи момент  $M_0$  маълум ва материал учун рухсат этилган кучланиш  $[\tau]$  танланган бўлса, бу тенгламадан фойдаланиб, мустақамликни таъмин этувчи қаршилик моменти ( $W_p$ ) ни ва у орқали буралувчи цилиндрнинг диаметрини аниқлашимиз мумкин. Валнинг кўндаланг кесим ўлчами ва материали, яъни  $d$  ва  $[\tau]$  маълум бўлса, қўйилиши мумкин бўлган буровчи момент ( $M_0$ ) ни аниқлаш мумкин,

#### 48-§. Доиравий цилиндр кўндаланг кесимининг поляр инерция моменти ва қаршилик моменти

Поляр инерция моменти  $I_p = \int \rho^2 dF$  ни ҳисоблаш учун кўндаланг кесим юзасидан  $\rho$  ва  $\rho + d\rho$  радиуслар билан чегараланган ҳалқа ажратамиз (146-шакл). Бу ҳалқадан  $dF_i$  элементар юзачани олиб, олдин ҳалқа юзи учун  $\rho^2 dF_i$  кўпайтмаларнинг йиғиндисини ҳисоблаймиз. Уни  $dI_p$  десак:



146-шакл.

$$dI_p = \sum_{i=1}^n \rho^2 dF_i$$

бўлади. Ҳалқанинг барча элементар юзачалари доира марказидан бир хил масофада тургани учун  $\rho^2$  ни йиғинди ишорасидан ташқарига чиқаришимиз мумкин, у ҳолда:

$$dI_p = \rho^2 \sum_{i=1}^n dF_i$$

бўлади.

Ҳалқанинг юзи асоси  $2\pi\rho$  ва баландлиги  $d\rho$  бўлган ингичка тўғри тўртбурчак юзига тенг, яъни:

$$\sum_{i=1}^n dF_i = 2\pi\rho d\rho$$

Бу кўзда тутилса, кесимнинг поляр инерция моменти учун қуйидаги интеграл ҳосил бўлади:

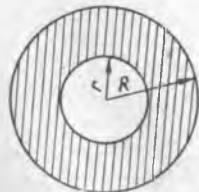
$$I_p = \int_0^r 2\pi\rho^3 d\rho = \frac{\pi r^4}{2}. \quad (48.1)$$

Поляр инерция моментини доиравий кесимнинг диаметри орқали ифодаласак, (48.1) қуйидагича ёзилади:

$$I_p = \frac{\pi d^4}{32} \approx 0,1d^4. \quad (48.2)$$

Доиравий кўндаланг кесим учун, буралишдаги қаршилик моменти қуйидагича ёзилади:

$$W_p = \frac{I_p}{\rho_{\max}} = \frac{\pi r^4}{2r} = \frac{\pi r^3}{2} = \frac{\pi d^3}{16} \approx 0,2d^3. \quad (48.3)$$



147-шакл.

Буралишга ишлаётган цилиндрик стержень вал вазифасини ўтаса, уни енгиллаштириш мақсадида ўрта қисми ўйиб ташланади; у ҳолда вал труба шаклига киради. Бу тадбир валнинг буралишга қаршилик кўрсатиш қобилиятини кўп камайтирмайди, чунки асосий қучланиш кўндаланг кесимнинг гардишида бўлиб, ўрта қисмларида озаяди ва марказда нолга тенг бўлади.

Ковак валнинг кўндаланг кесими учун поляр инерция моменти билан буралишдаги қаршилик моментини ҳисоблаймиз. Кесимнинг ташқи радиусини  $R$ , ички радиусини  $r$  десак,  $I_p$  ни аниқловчи интеграл қуйидагича ёзилади (147-шакл):

$$I_p = 2\pi \int_r^R \rho^3 d\rho = \frac{\pi}{2} (R^4 - r^4)$$

ёки

$$I_p = \frac{\pi}{32} (D^4 - d^4) \approx 0,1 (D^4 - d^4); \quad (48.4)$$

қаршиллик моменти:

$$W_p = \frac{I_p}{\rho_{\max}} = \frac{\pi (R^4 - r^4)}{2R} = \frac{\pi (D^4 - d^4)}{16D}. \quad (48.5)$$

Қўраимзки, поляр инерция моменти ва қаршилик моменти ҳар бир кесим учун маълум бир қийматга эга бўлиб, қўндаланг кесимнинг ўлчамларига боғлиқ экан.

#### 49-§. Буралишдаги деформацияни аниқлаш

Доиравий кесимли цилиндрик стержень ўз учларига қўйилган буровчи моментлар таъсиридан буралиб, унинг қўндаланг кесимлари бир-бирига нисбатан айланиши 47-параграфда айтиб ўтилган эди. Стерженнинг бир учи маҳкамланган бўлсин, шу учидан  $x$  масофадаги кесимнинг айланиш бурчаги ( $\varphi_x$ ) ни буралиш бурчаги деган эдик. Буралиш бурчагини (47.7) тенгламадан, яъни:

$$\frac{d\varphi}{dx} = \frac{M_0}{GI_p}$$

дан аниқлашимиз мумкин. Бу тенгламани  $x$  бўйича интегралласак:

$$\varphi_x = \frac{M_0}{GI_p} x + c$$

келиб чиқади. Ихтиёрий ўзгармас ( $c$ ) ни стерженнинг маҳкамланган кесими қўзғалмаслигини ифодаловчи шартдан топамиз:  $x = 0$  бўлганда кесим қўзғалмайди, яъни  $\varphi = 0$  бўлади. Шунинг учун  $c = 0$ ; демак:

$$\varphi_x = \frac{M_0}{GI_p} x. \quad (49.1)$$

Стерженнинг узунлиги  $l$  бўлса, энг катта буралиш бурчаги шу узунлик билан аниқланган кесимда бўлади:

$$\varphi = \frac{M_0 l}{GI_p}. \quad (49.2)$$

Бу формула чўзилувчи стерженнинг абсолют чўзилишини аниқлаш учун чиқарилган формулага ўхшайди:

Буралиш бурчаги ( $\varphi$ ), маълум буровчи момент ( $M_0$ ) учун,  $GI_p$  кўпайтманинг миқдорига боғлиқ бўлади. Бу миқдорни буралишдаги бикрлик деб айтаемиз. Бунда  $GI_p$  буралувчи стержень материалнинг физик хоссаси ва қўндаланг кесим ўлчамларининг буралниш деформациясига қандай таъсири борлигини акс эттиради. Буралиш бурчагини аниқлаш масаласининг икки томонлама аҳамияти бор. Биринчидан, статик аниқмас масалаларни ечишда қўшимча тенглама деформацияни текширишдан аниқланади; иккинчидан, энг муҳими, буралиш бурчагини аниқлаш валларнинг бикрлигини текшириш учун зарурдир.

Машиналарнинг нормал ишлашини таъминлаш учун, буралиш бурчаги ( $\varphi$ ) маълум миқдордан ошмаслиги керак. Масалан, оддий шароитда ишлатилган машина валлари учун, ҳар бир метр узунликдаги рухсат этилган буралиш бурчаги  $|\varphi| = 0,3^\circ$  бўлиши керак. Ўзгарувчи юк таъсирида ишловчи машина валлари учун  $|\varphi| = 0,15^\circ - 0,25^\circ$  бўлиши керак.

Валларнинг ўлчамларини мустаҳкамлик шартидангина аниқламай, балки бикрлик шартини ҳам қаноатлантириш зарур:

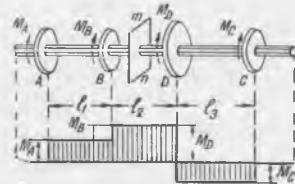
$$\varphi = \frac{M_6 l}{G I_p} \leq [\varphi] \text{ ёки } \frac{M_6}{G I_p} \leq [\varphi]. \quad (49.3)$$

Уzun валларни ҳисоблашда бу шарт, кўпинча, мустаҳкамлик шартидан кўра афзалроқ туради.

#### 50-§. Валларни буралишга ҳисоблаш. Буровчи моментлар эпюраси

Олдинги параграфларда чиқарилган хулосалар, учларига қўйилган ўзаро тенг қарама-қарши буровчи моментлар таъсирида буралувчи цилиндрик стерженга оид эди. Аммо буралувчи стержень бир нечта кесимларига қўйилган буровчи моментлар таъсирида бўлиши ҳам мумкин. Бундай ҳоллар тажрибада жуда кўп учрайди. Ҳатто буралувчи стерженнинг бўйига тенг тарқалган буровчи моментлар ҳам учрайди.

Масалан, икки учи билан подшипникларга тиралган вал двигателнинг қувватини бир нечта шкив орқали станокларга узатади, деб фараз қилайлик (148-шакл).  $D$  шкив двигателдан қувватни қабул қилиб,  $A$ ,  $B$ ,  $C$ , шкивлар орқали станокларга узатади. Станокларнинг қаршилик моментлари шаклда  $M_A$ ,  $M_B$ ,  $M_C$  билан белгиланиб,  $M_D$  моментга тескари йўналтирилган. Агар подшипниклардаги ишқаланишлар ва бошқа зарарли қаршиликлар ҳисобга олинмаса, валнинг текис ҳаракатида, етакловчи шкивга қўйилган  $M_D$  момент етакланувчи шкивлардаги  $M_A$ ,  $M_B$



148-шакл.

ва  $M_C$  моментлар билан мувозанатлашади:

$$M_D = M_A + M_B + M_C. \quad (50.1)$$

Валнинг бирор  $ml$  кесимида ҳосил бўладиган кучланишни аниқлаш зарур, деб фараз қилайлик. Бунинг учун вални унинг ўқиға тик ўтказилган текислик билан фикран кесиб, бир қисмининг мувозанатини текширамиз. Масалан,  $ml$  кесимнинг чап томонини ташлаб юбориб, ўнг томонининг мувозанатини текширайлик. У ҳолда текширилаётган кесим юзасига ташлаб юборилган қисмга қўйилган моментларга эквивалент бўлган момент таъсир қилади, яъни:

$$M_6 = M_A + M_B$$

бўлади. Ана шу момент  $ml$  кесимдаги буровчи момент деб аталади. Агар биз валнинг  $ml$  кесимдан ўнг томонини ташлаб юбориб, чап қисмини текширсак, ундаги буровчи момент  $M_6$  га тенг, лекин қарама-қарши йўналган бўлар эди.

Демак, валнинг бирор кўндаланг кесимида таъсир килувчи буровчи момент деб шу кесимдан ўнг ёки чап томонга қўйилган моментларнинг алгебраик йиғиндиси айтилар экан. Валнинг турли қисмларидаги буровчи моментларни тасвирловчи график буровчи моментлар эпюраси дейилади. Буровчи моментлар эпюраси чизилган бўлса, валнинг қайси кесимида энг катта буровчи момент таъсир этаётганини яққол тасаввур қилиш мумкин. Биз текшираётган ҳолда валнинг ҳар қайси  $AB$ ,  $BC$  ва  $CD$  участка-

ларида буровчи момент ўзгармас бўлгани учун, буровчи момент эпюраси, 148-шаклда тасвирланганидек, поғонали тўғри чизиқлар билан тасвирланади.  $M_D$  момент мусбат ишорали деб қабул қилинса, бошқа моментларни манфий деб олишга тўғри келади. Етакловчи шкив  $A$  ёки  $C$  кесимга қўчирилса, максимал буровчи моментнинг миқдори кўпаяди. Шунинг учун уни валнинг ўртасига ўрнатиш қулай. Бу ҳолда иккала томондаги моментларнинг йиғиндиси етакловчи шкив берадиган моментнинг маълум қисмларни ташкил қилади.

Валларни лойиҳалашда, улар узатадиган қувват билан бир минутдаги айланишлар сони асос қилиб олинади. Ана шу миқдорлар орқали буровчи моментни ифодалаш осон.

Вал двигателдан  $N$  от кучи қувватни олиб, бир минутда  $n$  марта айланади, деб фараз қилайлик. Двигателнинг бир минутда бажарган иши  $k$ м ҳисобида қуйидагича ифодаланади:

$$A = 75 \cdot v \cdot 60.$$

Бу вақт ичида вал  $\alpha = 2\pi n$  бурчакка айланади. Валга қўйилган жуфт кучнинг бажарган иши жуфт куч momenti билан айланиш бурчагининг кўпайтмасига тенглиги механикадан маълум. Шунинг учун:

$$A = M_6 \alpha = M_6 2\pi n$$

бўлади. Ёзилган бу ифодаларнинг ўнг томонларини солиштириб, буровчи момент учун қуйидаги ифодани ҳосил қиламиз:

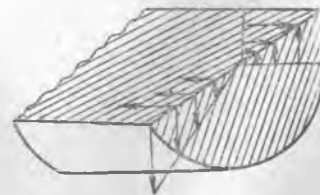
$$M_6 = \frac{75 \cdot 60 \cdot N}{2\pi n} = 716,2 \frac{N}{n} \text{ кгм.} \quad (50.2)$$

$$M_k = \frac{716,2}{0,736} \cdot \frac{k}{n} = 973,6 \frac{k}{n} \text{ кгм}$$

бу ерда  $k$  — киловват ҳисобидаги қувват.

### 51-§. Буралувчи стерженнинг қия кесимидаги кучланишлар

Доиравий цилиндрик стержень буралганда кўндаланг кесимининг ҳар бир нуқтасида тангенциал кучланиш ( $\tau$ ) ҳосил бўлишини кўрдик. Тангенциал кучланишлар ҳақидаги маълум теоремага мувофиқ, худди шундай тангенциал кучланишлар бўйлама кесимларда ҳам ҳосил бўлади (149-шакл). Кўндаланг кесим диаметрларининг учларидаги нуқталаридан ўтказилган ўзаро тик юзаларда энг катта тангенциал кучланишлар ҳосил бўлади (149-шакл). Бу юзаларда нормал кучланишлар бўлмайди. Аммо шу нуқталардан ўтказилган қия юзаларда ҳам нормал кучланишлар йўқ деб бўлмайди. Кўндаланг ва бўйлама кесим юзаларига қия бўлган юзаларда ҳақиқатан ҳам нормал кучланишлар таъсир этишини кўрсатиш учун, буралаётган цилиндрик стержень сиртидан томонлари кўндаланг ва бўйлама кесимларга параллел бўлган бир  $ABCD$  элементни ажратамиз (150-шакл). Бу элементнинг ён томонларига фақат тангенциал кучланишлар таъсир этади. Шунинг учун



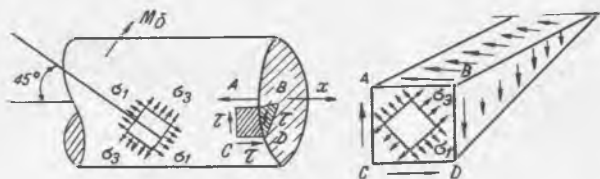
149-шакл.

бу элемент соф силжиш ҳолатида бўлади. Бу ҳол учун бош юзалар ва бош кучланишлар (36.4) ва (36.5) га мувофиқ қуйидагича аниқланади:

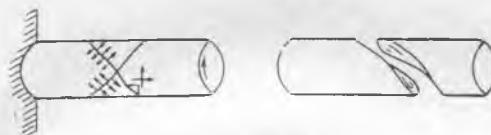
$$\sigma_x = \sigma_y = 0, \tau_{xy} = \tau;$$

$$\operatorname{tg} 2\varphi = \frac{2\tau}{0} = \infty, \varphi = 45^\circ, \sigma_{1,2} = \pm \tau.$$

Демак, цилиндр ўқиға  $45^\circ$  қия бўлган юзалар бош юзалар бўлиб, бу юзалардаги чўзувчи ва сиқувчи бош кучланишлар  $\tau$  га тенг бўлар экан. Бу кучланишларнинг миқдори кўндаланг кесимнинг ҳамма нуқталарида ҳам стержень сиртидагидек бўлмай, марказгача бўлган масофага пропорционалдир.



150- шакл.



151- шакл.

Чўян каби мўрт материаллар буралганда қия кесим бўйича узилишдан парчланади (151-шакл).

Ҳар бир нуқтадаги бош кучланишларнинг йўналишини ва миқдорини билганимиз ҳолда, шу нуқтадан ўтказилган ҳар қандай юзадаги нормал ва тангенциал кучланишларни (33.1) ва (33.2) тенгламалардан ёки шу кучланиш ҳолати учун чизилган кучланиш доирасидан фойдаланиб аниқлашимиз мумкин.

Максимал нормал ва максимал тангенциал кучланишлар сон жиҳатидан бир-бирига тенг бўлгани учун, мустаҳкамлик шарти рухсат этилган тангенциал кучланишга нисбатан қаноатлантирилганда, рухсат этилган нормал кучланишга нисбатан ҳам ўз-ўзидан қаноатлантирилади. Чунки мустаҳкамлик шарти учун қайси назария асос қилиб олинмасин, барибир, рухсат этилган тангенциал кучланиш  $[\tau]$  рухсат этилган нормал кучланиш  $[\sigma]$  нинг  $0,5 \div 0,8$  қисмини ташкил этиши бизга маълум.

#### 52- §. Буралиш деформациясининг потенциал энергияси (Буровчи моментнинг иши)

Цилиндрик стержень буралганда унга қўйилган буровчи момент иш бажаради. Бу иш (буралиш эластиклик чегарасида бўлса) деформациянинг потенциал энергиясига батамом айланиши ҳақида 6-параграфда айтиб ўтган эдик. Бошқача қилиб айтганда, цилиндрлик стержень эластиклик чегарасида маълум бурчакка бураб, кейин ундан буровчи момент таъсирини олсак,

стержень ўзининг олдинги ҳолатига қайтади. Олдинги ҳолатга қайтиш процесси тўпланган потенциал энергия ҳисобига бажарилади. Бир учи маҳкамланган цилиндрик стерженнинг бошқа учига буровчи момент ( $M$ ) таъсир қилса, стерженнинг бу учи маҳкамланган учига нисбатан бирор  $\varphi$  бурчакка бурилади. Эластиклик чегарасигача буровчи момент ( $M_6$ ) билан бу буралиш бурчаги ( $\varphi$ ) орасидаги муносабат тўғри чизик орқали тасвирланади (152-шакл). Чўзувчи  $P$  кучнинг бажарган ишини ҳисоблашдаги мулоҳазаларни такрорлаб, буровчи момент  $M_6$  нинг иши  $OAB$  учбурчакнинг юзи орқали ифодаланишини топамиз:

$$A = \frac{M_6 \varphi}{2}. \quad (52.2)$$

Бажарилган  $A$  иш деформациянинг потенциал энергияси ( $U$ ) га тенглигини кўзда тутиб, буралиш бурчаги ( $\varphi$ ) нинг қийматини (49.2) дан (52.1) га келтириб қўйсак, буралиш деформациясининг потенциал энергияси учун қуйидаги ифодани ҳосил қиламиз:

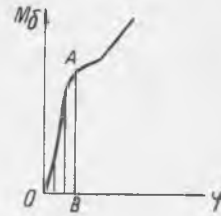
$$U = \frac{M_6^2 l}{2GI_p}. \quad (52.2)$$

Потенциал энергияни буралиш деформацияси орқали ифодалаш ҳам мумкин, бунинг учун (49.2) дан  $M_6$  ни  $\varphi$  орқали ифодалаб (52.2) га қўйиш лозим:

$$M_6 = \frac{GI_p}{l} \varphi,$$

$$U = \frac{GI_p}{2l} \varphi^2. \quad (52.3)$$

Кўрамизки, буралишда ҳам, чўзилиш ва сиқилишдагидек, потенциал энергия буровчи момент ёки буралиш бурчагининг квадратик функцияси бўлади.



152-шакл.

### 53-§. Кесими доиравий бўлмаган стерженларнинг буралиши

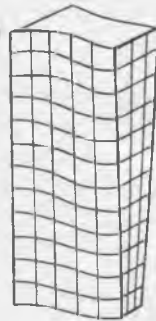
Кўпинча, буралишга ишлайдиган стерженларнинг кўндаланг кесими доиравий бўлади. Аммо буралишга қаршилик кўрсатувчи стерженлар орасида кўндаланг кесими доиравий бўлмаганлари ҳам кўп учрайди. Доиравий бўлмаган кўндаланг кесимлар деформациядан кейин текис қолмай, балки қийшаяди, натижада кесим элементлари эгилиб, кучланиш кесим юзаси бўйича мураккаб қонун билан тарқалади. Шунинг учун кесими доиравий бўлмаган стерженларнинг буралишини текшириш масаласи анча мураккаб масала бўлиб, уни элементар усулда ечиб бўлмайди. Бу хилдаги масалаларни бир қанча тур кесимлар учун даставвал Сер-Венан ечган эди. Бу ҳақдаги маълумотларнинг тўла тавсифи эластиклик назариясида берилади. Ҳозирча бу соҳада ўтказилган текширишларнинг натижаларини энг муҳим ҳоллар учун исботсиз келтириш билан чекланамиз. Биринчи навбатда кесими тўғри тўртбурчак бўлган стерженнинг буралишига оид натижаларни келтирамиз.

Тўғри тўртбурчак кесимли стерженнинг буралишдаги деформациясини резинадан ясалган моделда жуда яхши кузатиш мумкин. Тўғри тўртбурчакли стержень модели сиртидаги квадратларнинг қийшайиши 153-шаклда тасвирланган. Кўндаланг чизикнинг эгилиши текис кўндаланг кесимнинг қанчалик ўзгаришини кўрсатади. Стержень сиртидаги квадратларнинг қийша-

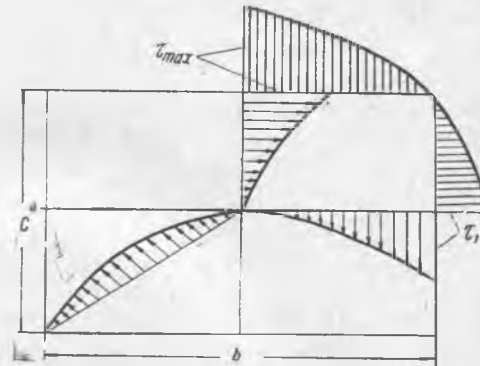
йиши силжиш деформациясининг ва тангенциал кучланишларнинг кесим че-тидаги юзаларда қандай қонун билан тарқалганлиги кўрсатади. Қиррага яқин квадратлар тўғрилигича қолиб, қиррадан узоқлашган сари квадратларнинг қийшайиши кўпайганини 153-шаклдан кўрамиз.

Стержень ён томонининг ўрта чизигидаги элементларда квадратларнинг қийшайиши энг катта қийматга эга бўлади. Шунинг учун кўндаланг кесимнинг бурчакларида тангенциал кучланишлар ноль бўлиб, томонларининг ўртасига қараб ўсади, деган хулоса чиқаришимиз мумкин. Бу хулосани эластиклик назарияси асосида ўтказилган текширишлар тасдиқлайди. Аниқ текширишларнинг натижалари кўндаланг кесимнинг узун томони ўртасида энг катта тангенциал кучланиш ( $\tau_{max}$ ) ҳосил бўлишини кўрсатади. Кесимнинг калта томонидаги тангенциал кучланиш узун томонидаги кучланишдан бирмунча оздир. Тўғри тўрт бурчакли кесим учун кўндаланг кесимнинг бош ўқлари диагоналлари ва четлари бўйича кучланишнинг қандай қонун билан тарқалиши 154-шаклда тасвирланган.

Тўғри тўрт бурчакли кесим учун эластиклик назариясида чиқарилган натижаларга мувофиқ, максимал тангенциал кучланишни ва стерженнинг



153- шакл.



154- шакл.

узунлик бирлигига тўғри келадиган буралиш бурчагини аниқлаш учун қуйидагича формулаларни оламиз:

$$\tau_{max} = \frac{M_{\phi}}{abc^2}, \quad (53.1)$$

$$\varphi = \frac{M_{\phi}}{\beta G \beta c^3}, \quad (53.2)$$

Бунда  $\alpha$  ва  $\beta$  тўғри тўртбурчакнинг томонлари  $b$  ва  $c$  нисбатига боғлиқ бўлган коэффициентлардир ( $b$  — тўғри тўртбурчакнинг узун ва  $c$  — қисқа томони). Тўғри тўртбурчак қисқа томонининг ўртасида ҳосил бўладиган кучланиш учун ҳам юқоридагидек формулани ёзишимиз мумкин:

$$\tau_1 = \frac{M_{\phi}}{\alpha_1 c b^2}, \quad (53.3)$$

$\alpha$ ,  $\beta$ ,  $\alpha_1$  коэффициентларнинг қийматлари ( $\frac{b}{c}$  нисбатнинг турли қийматлари учун) қуйидаги жадвалда берилган:

Тўғри тўрт бурчакли стерженлар учун  $\alpha$ ,  $\beta$ ,  $\alpha_1$  коэффициентларнинг қийматлари

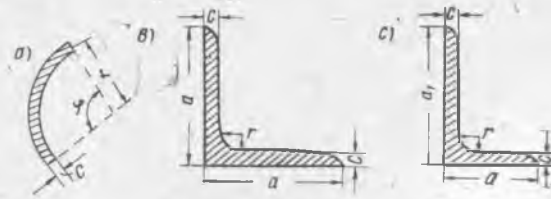
| $\frac{b}{c}$ | 1,0   | 1,5   | 1,75  | 2,0   | 2,5   | 3,0   | 4,0   | 6,0   | 8,0   | 10    | $\infty$ |
|---------------|-------|-------|-------|-------|-------|-------|-------|-------|-------|-------|----------|
| $\alpha$      | 0,208 | 0,231 | 0,239 | 0,246 | 0,258 | 0,267 | 0,282 | 0,299 | 0,307 | 0,313 | 0,333    |
| $\beta$       | 0,141 | 0,196 | 0,214 | 0,229 | 0,249 | 0,263 | 0,281 | 0,299 | 0,307 | 0,313 | 0,333    |
| $\alpha_1$    | 0,208 | 0,270 | —     | 0,309 | —     | 0,354 | 0,379 | 0,402 | —     | —     | 0,448    |

Кўрамизки,  $b/c$  нинг катта қийматлари учун  $\alpha$  ва  $\beta$  коэффициентлар  $1/3$  га яқинлашади. Демак, юққа тўғри тўрт бурчакли кесимлар учун (масалан,  $b/c \geq 10$  бўлган ҳолларда) амалий ҳисоблар қилишда  $\alpha = \beta = \frac{1}{3}$  деб олиниши мумкин. Бу ҳолда (53.1) ва (53.2) формулалар қуйидагича ёзилади:

$$\sigma_{\max} = \frac{3M_0}{bc^2}, \quad (53.4)$$

$$\varphi = \frac{3M_1}{Gbc^2} \quad (53.5)$$

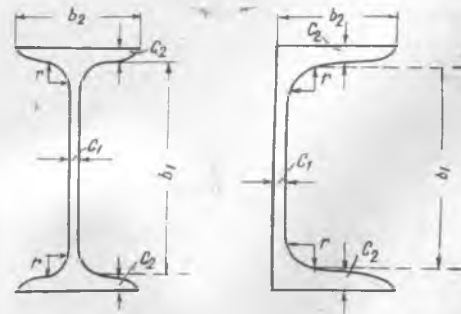
155-шакл.



Бу формулалардан юққа тўғри тўртбурчак кесимли стерженларнинг ҳисобини чиқаришдагина эмас, балки юққа деворли, ёпиқ бўлмаган профилли стерженларнинг ҳисобини чиқаришда ҳам фойдаланса бўлади. Бунинг учун тўғри тўртбурчакнинг узун томони ўлчами  $b$  ўрнига кесимдан ажратилган тўғри тўртбурчаклар узун томонларининг йиғиндисини олиш лозим. Масалан, кўндаланг кесим ҳалқанинг бир қисми бўлса (155-шакл,  $a$ ),  $b = r\varphi$  бўлади. Тенг ёнли бурчаклик кесим учун (155-шакл,  $a$ ):  $b = 2a - c$ ; тенг ёнли бўлмаган бурчаклик кесим учун:  $b = a + a_1 - c$  (155-шакл,  $c$ ).

Девори ва тоқчасининг қалинлиги бир хилда бўлмайдиган швеллер ва қўш таврли кесимлар учун (156-шакл) бикрликни кесимни ҳосил қилган учта юққа тўғри тўртбурчакка тегишли бикрликларнинг йиғиндисини тарзи-

156-шакл.

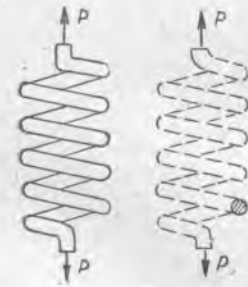


да олиш мумкин. Бунинг учун (53.5) даги  $bc^3$  нинг ўрнига  $b_1c_1^3 + 2b_2c_2^3$  ни қўйиш керак. У ҳолда  $\varphi$  учун қуйидаги ифодани оламиз.

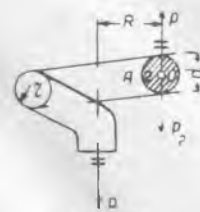
$$\varphi = \frac{3M}{G(b_1c_1^3 + 2b_2c_2^3)}. \quad (53.6)$$

#### 54-§. Қадами кичик винт пружиналардаги кучланишлар ва деформациялар

Вагон, автомобиль рессораларида ва бошқа механизмларда чўзувчи ва сиқувчи кучлар таъсир этадиган винт пружиналар ишлатилади. Бундай пружиналарни лойиҳалаш учун уларнинг мустақамлигини ҳисоблаш билан бирга, қўйилган юк таъсиридан нақадар чўкишини ёки чўзилишини ҳам олдиндан аниқлаш лозим. Демак, қўйилган масалани ечиш учун материали ва геометрик ўлчамлари маълум бўлган пружинага қўйиладиган куч билан тегишли деформация орасидаги муносабатни аниқлаш лозим.



157-шакл.



158-шакл.

Сиқилаётган ёки чўзилаётган винт пружинанинг асосан буралишга қаршилик кўрсатишини утказилган текширишлар тасдиқлайди. Шунинг учун ҳам қадами кичик винт пружиналар ҳисобини курсимизнинг буралиш бобида текширмоқдамиз. Цилиндрик пружинага ўқи бўйлаб йўналган чўзувчи  $P$  куч таъсир этади, деб фараз қилайлик (157-шакл, а). Пружина ўрамини  $R$ , ўрамлар сонини  $n$ , пружина ўрамини кўндаланг кесимининг радиусини  $r$ , пружина материали учун силжиш модулини  $G$  деймиз. Пружина ўрамлари ҳосил қилган цилиндрнинг ўқидан ўтувчи текислик билан унинг ўрамларидан бирини кесиб, пружинани икки қисмга ажратамиз ва бир қисмининг, масалан, пастки қисмининг мувозанатини текшираемиз. (157-шакл, б). Бу қисмга ташқи  $P$  куч ва қирқилган кесим бўйича ички кучлар таъсир қилади. Қирқилган кесим бўйича таъсир қилаётган ички кучлар пружинанинг пастки учига қўйилган ташқи  $P$  куч билан мувозанатлашуви керак. Мувозанат шартини таъминлаш учун қирқилган кўндаланг кесим маркази  $O$  га сон жиҳатидан  $P$  кучга тенг ва қарама-қарши йўналган вертикал  $P_1$  ва  $P_2$  кучларни қўямиз (158-шакл). Бу кучлардан  $(P, P_1)$  қирқилган кесим текислигида ётувчи жуфт кучни ҳосил қилади. Бу жуфтнинг momenti  $M_6 = PR$  бўлади. Бундан ташқари, кесим юзасида ётган ва марказга қўйилган  $P_2 = P$  куч ҳам бор. Пружина ўрамини горизонтга бирмунча қия бўлишига қарамай, унинг кўндаланг кесими вертикал текисликда ётади, деб фараз қилинди. Дарҳақиқат, қадами кичик винт пружиналарнинг ҳисобини чиқаришда бу нарса айтарли хатоларга олиб бормайди.

Демак, қирқилган кесим бўйича таъсир қилувчи ички кучлар кесим текислигида ётувчи  $P$  куч билан momenti  $M_6 = PR$  бўлган жуфт кучга эквивалент бўлар экан.

$P_2 = P$  куч қирқилган кесим юзасини пастга қараб силжитишга интилади. Бу куч таъсиридан кесим бўйича тенг тарқалган кесувчи кучланишлар ҳосил бўлади (159-шакл, а):

$$\tau_1 = \frac{P}{F} = \frac{P}{\pi r^2}$$

Моменти  $M_6 = PR$  бўлган жуфт куч пружина стерженини бурашга интилади. Бунинг натижасида ҳосил бўладиган иккинчи гуруҳ тангенциал кучланишлар

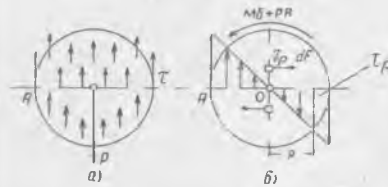
$$\tau_2 = \frac{M_6}{I_p} \rho$$

формулага мувофиқ аниқланади. Бу кучланишлар пружина ўрамининг кўндаланг кесими бўйича 159-шакл, б да кўрсатилганидек тарқалиши бизга маълум. У кесимнинг четида энг катта қийматга эга бўлиб, бу қиймат:

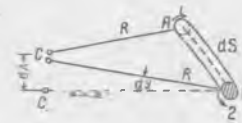
$$\tau_{2\max} = \frac{M_6}{W_p} = \frac{PR}{\frac{\pi r^3}{2}}$$

дир. Кўндаланг кесим юзасининг  $A$  нуқтасидаги кучланишлар бир хил йўналишда бўлгани учун уларни қўшиб, қуйидаги тўла максимал тангенциал кучланиш ( $r_{\max}$ ) ни ҳосил қиламиз:

$$\tau_{\max} = \frac{2PR}{\pi r^3} + \frac{P}{\pi r^2} = \frac{2PR}{\pi r^3} \left(1 + \frac{r}{2R}\right). \quad (54.1)$$



159- шакл.



160- шакл.

Кўпгина ҳолларда кавс ичидаги иккинчи қўшилувчи ҳад  $\frac{r}{2R}$  биринчиси га қараганда анчагина кичик бўлгани учун уни эътиборга олмасдан, фақат буралишдаги кучланишнинг кўзда тутамиз. У ҳолда, ҳисоб тенгламаси қуйидагича ёзилади:

$$r_{\max} = \frac{2PR}{\pi r^3} \leq [r]. \quad (54.2)$$

Содалаштирилган бу схема асосида, пружинанинг қўзилиши ( $\lambda$ ) ни, яъни пастки учнинг пасайишини аниқлаш жуда осон бўлади. Бунинг учун пружинадан 1 ва 2 кесимлар билан чегараланган ва узунлиги  $dS$  га тенг бўлган кичик бир кесма ажратамиз (160-шакл). Ажратилган кесма чексиз кичик бўлгани учун, уни деформациягача горизонтал текисликда ётувчи тенг ёнли  $CAB$  уч бурчакни ҳосил қилади дейишимиз мумкин. Пружинанинг деформацияланиши натижасида 2- кесим 1- кесимга нисбатан  $dS$  давомида  $d\varphi = \frac{M_6 dS}{GI_n}$  бурчакка буралади. Шунинг билан бирга,  $BC$  радиус ҳам  $AC$  га нисбатан  $d\varphi$  бурчакка оғади, ниҳоят,  $C$  нуқта  $C_1$  га кўчади. Бунинг натижасида пружинанинг учи  $d\lambda = R d\varphi = R \frac{M_6 dS}{GI_p}$  масофа пасаяди. Пру-

жинанинг  $dS$  каби барча элементлари шу тарзда деформацияланишини кўзда тутсак, пастки учининг тўла пасайиши қуйидаги интеграл орқали ифодаланади:

$$\lambda = \int_0^l R \frac{M_c dS}{GI_p} = R \frac{M_c l}{GI_p}. \quad (54.3)$$

Бунда  $l = \int_0^l dS$  — пружина стерженининг тўла узунлиги;  $\frac{M_c l}{GI_p}$  — пружина стержени тўғриланганда учларининг бир-бирига нисбатан бураллиш бурчаги. Пружина ўрамларининг горизонтга қиялиги ҳисобга олинмаса,  $l$  нинг қиймати қуйидагича ёзилади:  $l = 2\pi Rn$ . У ҳолда:

$$\lambda = \frac{M_c R}{GI_p} 2\pi nR = \frac{4PR^3}{Gr^4} n \quad (54.4)$$

бўлади. (54.2) ва (54.4) формулалар воситаси билан винт пружиналарнинг мустаҳкамлигини ва деформациясини аниқлаш мумкин.

Цилиндрик винт пружиналарнинг аячагина эластик чўзилиш қобилиятига эга бўлиши уларнинг вазифасидан келиб чиққани учун, пружина тайёрлашда эластиклик чегараси юқори бўлган тобланган пўлатлар ишлатилади. Бундай пўлат стержень учун рухсат этилган кучланиш  $[r] = 3500 \div 5000 \text{ кг/см}^2$  гача боради. Мустаҳкамлиги юқори бўлган махсус пўлатлар учун, рухсат этилган кучланиш бундан ҳам юқори бўлади.

Пружинага қўйиладиган юк ўзгарувчан бўлса, рухсат этилган кучланиш 30—65% камайтирилади. Ўрами квадрат ёки тўғри тўрт бурчакли пружиналарнинг ҳисоби ҳам худди шу тарзда чиқарилади. Бу ҳолда қаршилик моменти ( $W_p$ ) ўрнига  $abc^2$  ни ва бикрлик ( $GI_p$ ) ўрнига  $\beta Gbc^3$  ни олиш лозим.

(54.4) формуладан фойдаланиб, маълум геометрик ўлчамларга эга бўлган пружинани эластиклик чегарасида чўзишга ёки сиқишга синаш натижасида, унинг материали учун силжиш модули  $G$  ни аниқлаш мумкин.

Пружина учун  $P$  билан чўзилиш ёки чўқиш  $\lambda$  орасидаги муносабат тўғри чизикли конун билан ифодалангани учун, юкнинг бажарган ишини ёки деформациянинг потенциал энергиясини қуйидагича ифодалаш мумкин:

$$U = \frac{1}{2} P\lambda = \frac{2P^3 R^3}{Gr^4} \cdot n. \quad (54.5)$$

(54.2) га мувофиқ,  $U = \frac{2\pi Rn}{4G} \pi r^2 [\tau]^2$  ни ҳосил қиламиз. Бундан (54.5) га қўйсак:  $PR = \frac{[\tau] \pi r^3}{2}$  келиб чиқади,  $2\pi Rn$  — пружина стерженининг узунлиги,  $\pi r^2$  — унинг кўндаланг кесим юзя бўлгани учун,  $2\pi Rn \cdot \pi r^2 = V$  пружина материалининг ҳажмини ифодалайди; шунинг учун:

$$U = \frac{[\tau]^2}{4G} V. \quad (54.6)$$

Базан, пружина унга қўйилган юк бўйича ҳисобланмай, балки пружина қабул қилиб оладиган энергия бўйича ҳисобланади. Маълум энергияни қолдиқ деформациясиз қабул қилиб олиши учун, пружина материалининг ҳажми қанча бўлиши керак, деган масалани (54.6) ёрдамида ечиш мумкин:

$$V = \frac{4GU}{[\tau]}. \quad (54.7)$$

Демак, маълум миқдордаги энергияни қабул қилувчи пружинада ҳосил бўладиган кучланиш рухсат этилган кучланишдан ошиб кетмаслиги учун пружина тайёрлашда сарфланадиган материалнинг ҳажми (54.7) формула билан аниқланадиган ҳажмдан ошиқ бўлмаслиги лозим.

Пружинанинг чўкиши ( $\lambda$ ) га маълум чек қўйилади. Унинг қиймати шундай бўлиши керакки, пружина ўрамлари бир-бирига тегишмай, маълум ораликда туриши лозим.

(54.5) формуладан фойдаланиб, силжиш модули ( $G$ ) ни эксперимент йўли билан аниқлаш мумкин. Ўрамларининг сони ва ҳамма геометрик ўлчамлари маълум бўлган пружина синов машинасида сиқилса, сиқувчи  $P$  куч билан пружинанинг чўкиши ( $\lambda$ ) ни машинага ўрнатилган шкаладан аниқлаб,  $G$  ни (54.5) дан ҳисоблаш қийин эмас.

МАСАЛАЛАР

46. Қовак валнинг сиртки диаметри  $d_1 = 100$  мм ва ички диаметри  $d_2 = 50$  мм дир. У,  $n = 80$  айланиш/минут тезлик билан айланиб,  $l = 2.7$  м узунлиги давомида  $\varphi = 1.8^\circ$  га буралса, вал неча от кучига тенг қувватни узатиши мумкин? Энг катта тангенциал кучланишнинг миқдори ҳам аниқлансин.  $G = 8 \cdot 10^9$  кг/см<sup>2</sup>.

Еч и ш. Буровчи момент, қувват ва буралиш бурчаклари ўзаро қуйидаги формулалар билан боғланган:

$$M_k = 71620 \frac{N}{n}; \quad \varphi = \frac{M_k l}{G I_p}$$

Буларни солиштириб:

$$71620 \frac{N}{n} = \frac{G I_p}{l} \varphi$$

тенгламани ҳосил қиламиз. Бундан:

$$N = \frac{G I_p}{71620} \cdot \frac{n \varphi}{l};$$

бурчак радиан ҳисобида ифодалангани учун:

$$\varphi = 1.8^\circ = \frac{1.8 \pi}{180} = \frac{\pi}{100}$$

Поляр инерция моменти:

$$I_p = \frac{\pi (d_1^4 - d_2^4)}{32} = 293 \pi \text{ см}^4.$$

Булар кўзда тутилса,  $N = 98.8$  от кучи.

Энг катта тангенциал кучланиш кесимнинг ташқи четида ҳосил бўлади.

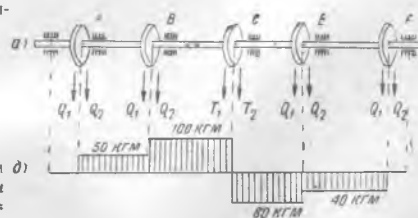
$$\tau_{\max} = \frac{M_k}{W_p} = \frac{M_k}{0.1 d_1^3 (1 - \alpha^4)} = 481 \frac{\text{кг}}{\text{см}^2}$$

$$\alpha = \frac{d_2}{d_1} = 0.5.$$

47. Трансмиссия валининг етакловчи д) шкиви С нинг диаметри  $D_1 = 1.2$  м

бўлиб, қайиш учларининг тортилиши  $T = 600$  кг ва  $T_2 = 300$  кг (161-шакл). Станокларга айланма ҳаракат берувчи А, В, Е ва F шкивларнинг диаметрлари қуйидагича: А ва В шкивларнинг диаметрлари  $D_2 = 1$  м, Е ва F шкивларнинг диаметрлари  $D_3 = 0.8$  м. Тўртала шкивдаги қайишларнинг тортилиши  $Q_1$  ва  $Q_2$  бир хилда. Буровчи моментлар эпюраси қурилсин; валнинг диаметри, мустаҳкамлик ва бикрлик шarti аниқлансин.  $G = 8 \cdot 10^9$  кг/см<sup>2</sup>,  $[\tau] = 200$  кг/см<sup>2</sup> ва 1 метр узунликдаги буралиш бурчаги

$$[\varphi] = \frac{1^\circ}{4}$$



161-шакл.

Ечиш. Валга шкивдан бериладиган момент:

$$M_C = (T_1 - T_2) \frac{D_2}{2} = (600 - 300) 60 = 18000 \text{ кг}\cdot\text{см}.$$

Қолган тўртта шкивнинг валга кўрсатадиган таъсирини ифодаловчи  $M_A$ ,  $M_B$ ,  $M_E$  ва  $M_F$  моментлар  $M_C$  га тескари йўналишда бўлиб, у билан мувозанатлашади; шунинг учун:

$$M_A + M_B + M_E + M_F - M_C = 0. \quad (a)$$

Тортилишларнинг айирмаси  $Q_1 - Q_2$  ни  $\Delta Q$  десак, мувозанат тенгلامаси (a) қуйдагича ёзилади:

$$2 \frac{D_2}{2} \Delta Q + 2 \frac{D_3}{2} \Delta Q = M_C;$$

бундан:

$$\Delta Q = \frac{M_C}{D_2 + D_3} = \frac{18000}{100 + 80} = 100 \text{ кг},$$

$$M_A = M_B = \Delta Q \frac{D_2}{2} = 100 \cdot 50 = 5000 \text{ кг}\cdot\text{см},$$

$$M_E = M_F = \Delta Q \frac{D_3}{2} = 100 \cdot 40 = 4000 \text{ кг}\cdot\text{см}.$$

Буровчи моментлар эпюрасини қуриб (161-шакл, в), курамызки,  $(M_k)_{\max} = 10000 \text{ кг}\cdot\text{см}$  бўлади. Мустаҳкамлик шартига мувофиқ, зарур бўлган қаршилик momenti:

$$W = 0,2d^3 = \frac{M_0}{[\tau]}.$$

Бундан валининг диаметри:  $d = \sqrt[3]{\frac{M_0}{0,2[\tau]}} = \sqrt[3]{\frac{10000}{0,2 \cdot 200}} = 6,3 \text{ см}.$

Бикрлик шартига мувофиқ нисбий буралиш бурчаги:

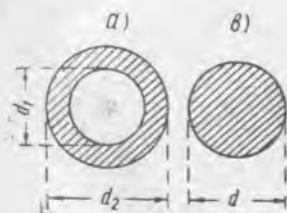
$$\varphi = \frac{\pi}{180 \cdot 400} \text{ радиан/см},$$

$\varphi = \frac{M_0}{GI_0}$  формуладан бикрликни таъмин этувчи поляр инерция моментини топамиз:

$$I_p \approx 0,1d^4 = \frac{M_0}{G\varphi};$$

бундан:

$$d = \sqrt[4]{\frac{M_0}{0,16\varphi}} = \sqrt[4]{\frac{10000 \cdot 180 \cdot 400}{0,1 \cdot 8 \cdot 10^6 \cdot 3,14}} = 7,3 \text{ см}.$$



162-шакл.

48. Ички ва ташқи диаметрларининг нисбати  $\alpha = \frac{d_1}{d_2} = 0,8$  бўлган ковак вал билан диаметри  $d$  га тенг тўлиқ валларнинг қўндаланг кесим юзлари бир хилда бўлса (162-шакл), ковак вал тўлиқ валга қараганда неча марта чидамли бўлиши аниқлансин. Иккала валининг бикрлиги солиштирилсин.

Жавоби. Валларнинг қўндаланг кесим юзларини солиштириб  $\frac{d_1}{d_2} = 0,8$  ни кўзда тутсак,  $d$  билан  $d_1$  орасидаги муносабатни аниқлаймиз.

$$d_1 = \frac{d}{0,6}$$

Ковак валининг мустаҳкамлиги тўлиқ валга қараганда 2,73 марта, бикрлиги 4,56 марта каттадир.

49. Катер моторининг курагини айлантирувчи пўлат валининг мустаҳкамлиги ва бикрлиги ҳисоблансин. Двигателнинг қуввати  $N = 60$  от кучи, валининг айланиш тезлиги  $n = 200$  айланиш/минут. Рухсат этилган кучланиш  $[\tau] = 400 \text{ кг/см}^2$ , 1 метр узунлик учун рухсат этилган буралиш бурчаги  $[\varphi] = 1^\circ$ ;  $G = 8 \cdot 10^5 \text{ кг/см}^2$ .

Жавоби. Мустақамлик шартига мувофиқ:  $d = 6,08 \text{ см} \approx 6 \text{ см}$ , бикрлик шартига мувофиқ:  $d = 5,97 \text{ см} \approx 6 \text{ см}$ .

50. Пулатдан ясалган ковак валнинг ташқи диаметри  $d_1 = 20 \text{ см}$ , ички диаметри  $d_2 = 12 \text{ см}$  бўлса, двигатель бериши мумкин бўлган энг катта қувват қанча бўлади?

Рухсат этилган кучланиш  $[\tau] = 300 \text{ кг/см}^2$ , айланиш тезлиги  $n = 120$  айланиш/минут.

Жавоби. Энг катта қувват  $N = 700$  от кучи бўлади.

51. Доиравий қундаланг кесимли ва узунлиги  $l$  га тенг стержень иккала учи билан маҳкамланиб, маҳкамланган учлардан  $a$  ва  $b$  масофадаги кесимга  $M$  кгм буровчи момент таъсир қилади (163-шакл). Маҳкамланган жойларда ҳосил бўладиган реактив моментлар  $M_A$  ва  $M_B$  аниқлансин.

Е ч и ш. Масала статик аниқмас, чунки битта статика тенгламасида 2 та номаълум бор:

$$\sum M = m - M_A - M_B = 0. \quad (1)$$

Қўшимча тенгламани стерженнинг чап ва ўнг қисмлари буралишларининг бир хилда бўлиши шартидан фойдаланиб тузамиз:

$$\varphi_a = \varphi_b. \quad (2)$$

Буралиш бурчакларининг қийматини  $\varphi = \frac{Ml}{GI_p}$  формуладан аниқлаб, (2) тенгламага қўйсак, қуйидаги тенгламани ҳосил қиламиз:

$$\frac{M_A a}{GI_p} = \frac{M_B b}{GI_p}. \quad (3)$$

Бундан:

$$M_A = M_B \frac{b}{a}. \quad (4)$$

Бу тенглама (1) тенглама билан қўшиб ечилса,  $M_A$  билан  $M_B$  нинг қиймати қуйидагича бўлади:

$$M_A = m \frac{b}{l}, \quad M_B = \frac{a}{l} m.$$

52. Доиравий қундаланг кесимли стержень иккала учи билан маҳкамланиб, қарама-қарши йўналган  $M_1 = 40 \text{ кг/м}$  ва  $M_2 = 60 \text{ кг/м}$  буровчи моментлар таъсирида буралади (164-шакл). Стерженнинг диаметри мустақамлик ва бикрлик шартидан топилсин. Рухсат этилган кучланиш  $[\tau] = 400 \text{ кг/см}^2$ , ҳар бир метр учун рухсат этилган буралиш бурчаги  $[\varphi] = \frac{1^\circ}{4}$ ;  $G = 8 \times 10^5 \text{ кг/см}^2$ .

Масофалар:  $a = 0,5 \text{ м}$ ,  $b = 0,75 \text{ м}$ ,  $c = 1,25 \text{ м}$ .

Е ч и ш.  $B$  учини бўшатиб, у ердаги боғланишнинг таъсирига  $M_B$  момент билан алмаштирамиз. Аммо бўшатишган бу кесим қўзғалмаслиги, яъни унинг буралиш бурчаги  $\varphi_B = 0$  бўлиши керак. Шунинг учун:

$$\frac{M_1 \cdot 0,5}{GI_p} - \frac{M_2 \cdot 1,25}{GI_p} + \frac{M_B \cdot 2,5}{GI_p} = 0,$$

бу тенгламадан:

$$M_B = \frac{-40 \cdot 0,5 + 60 \cdot 1,25}{2,5} = 22 \text{ кгм}.$$

Максимал буровчи момент:

$$(M_G)_{\max} = 3800 \text{ кгсм}.$$

Мустақамлик шартига мувофиқ:

$$d^3 = \frac{3800}{400 \cdot 0,2} = 47,5; \quad d = 3,62 \text{ см}.$$

Энди,  $d$  ни бикрлик шартидан аниқлаймиз. Унинг учун  $[\varphi]$  ни радиан ҳисобида эзамиз:

$$[\varphi] = \frac{0,25 \pi}{180} = \frac{3800 \cdot 100}{8 \cdot 10^5 \cdot 0,1d^4}.$$

бундан:

$$d^4 = 1090; \quad d = 5,75 \text{ см.}$$

Диаметр учун унинг катта қиймати 5,75 см ни қабул қиламиз.

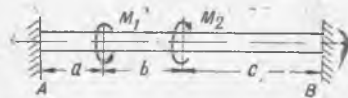
53. Ҳазарувчи кесимли пулат валга қўйилиши мумкин бўлган максимал буровчи момент аниқлансин (165-шакл).  $d_1 = 7 \text{ см}$ ,  $d_2 = 5 \text{ см}$ . Рухсаг этилган кучланиш  $[\tau] = 600 \text{ кг/см}^2$ .

Е ч и ш. Мувозанат тенгласини ёзамиз:

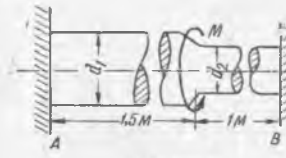
$$M_A + M_B = M; \quad (1)$$

деформация тенгласини ёзамиз:

$$\frac{M_A l_1}{G I_{p1}} = \frac{M_B l_2}{G I_{p2}}; \quad (2)$$



164-шакл.



165-шакл.

(1) ва (2) тенгламалардан:  $4,84 M_B = M$ ,  $1,26 M_A = M$ . Буровчи моментларнинг бу икки қийматидан кичигини олиш зарур, у:

$$M = 52,2 \text{ кгм}$$

булади.

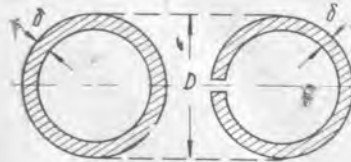
54. Квадрат кўндаланг кесимли вал  $N=100$  от кучи қувватни узатиб,  $n=120$  айланиш/минут тезлик билан айланади; вал кўндаланг кесимининг томони ( $a$ ) аниқлансин. Рухсаг этилган тангенциал кучланиш  $[\tau] = 460 \text{ кг/см}^2$ .

Е ч и ш.

$$M_G = 71620 \frac{N}{n} = 71620 \frac{100}{120} = 59800 \text{ кгсм.}$$

Тўғри тўрт бурчакли кесим учун чиқарилган тенгламадан фойдаланамиз.  $\tau_{\max} = \frac{M_G}{abc^2} < [\tau]$ ; биз текшираётган масалада  $b = c = a$  бўлиб,  $a$  нинг қийматини  $\frac{t}{c} = 1$  учун жадвалдан оламиз,  $a = 0,208 \approx 0,21$  бўлади.

$$\text{Демак, } \frac{59800}{0,21} < 460, \text{ бундан: } a^3 > \frac{59800}{0,21 \cdot 460} = 18 \text{ см.}$$



166-шакл.

55. Диаметри  $D=60 \text{ мм}$ , қалинлиги  $\delta=3 \text{ мм}$  бўлган иккита трубадан биттаси ясовчиси бўйлаб кесилган (166-шакл). Уларнинг бикрлиги таққослансин.

Е ч и ш. Кесилган трубаининг кўндаланг кесим юзаси ингичка тўғри тўрт бурчакли бўлгани учун, унинг бикрлиги  $C_1 = G \beta b c^3$  булади; бу ҳол учун коэффициент  $\beta = \frac{1}{3}$  бўлиб  $b = \pi D$ ,  $c = \delta$  дир.

Шунинг учун:

$$C_1 = \frac{1}{3} G \pi D \delta^3.$$

Кесилмаган ёпиқ труба кўндаланг кесимининг бикрлиги:

$$C_2 = G \pi D \delta \cdot R^2 = G \frac{\pi D^2}{4} \delta.$$

Бикрликларнинг нисбати:

$$\frac{C_2}{C_1} = \frac{3}{4} \cdot \frac{D^2}{\delta^2} = 300.$$

Демак, трубаининг ясовчиси бўйлаб кесилиш муносабати билан унинг бикрлиги 300 марта камайар экан.

56. Доиравий қўндаланг кесимли симдан ўралган цилиндрик пружина *A* учининг кўчиши топилсин (167-шакл). Симнинг диаметри  $d = 20$  мм, ўрамларнинг сони  $n = 10$ , унинг ўрта радиуси  $R = 100$  мм. Пружинани қўзувчи куч  $P = 500$  кг;  $G = 8 \cdot 10^9$  кг/см<sup>2</sup>. Пружина буралишида ҳосил бўладиган энг катта кучланиш  $\tau_{\max}$  ҳам аниқлансин.

Е ч и ш. Пружинанинг қўзилиши  $\lambda = \frac{2\pi n P R^3}{G J_p}$  формуладан аниқланади, шунинг учун:

$$\lambda = \frac{64 P R^3 n}{G d^4} = 20 \text{ см.}$$



167-шакл.

Максимал кучланиш:

$$\tau_{\max} = \frac{M_G}{W} = \frac{16 P R}{\pi d^3} = 3180 \frac{\text{кг}}{\text{см}^2}$$

57. Қлапаннинг цилиндрик пружинаси доиравий кесимли симдан ўралган бўлиб, ўрамининг ўрта радиуси  $R = 20$  мм (168-шакл). Пружинани сиқувчи кўчининг максимал қиймати  $P = 100$  кг ва максимал қўчиши  $\lambda = 3$  мм бўлса, сим диаметри  $d$  ва ўрам сони қанча булади? Рухсат этилган кучланиш  $[\tau] = 4800$  кг/см<sup>2</sup>;  $G = 8 \cdot 10^9$  кг/см.

Е ч и ш. Ҳисоб тенгласидан  $d$  ни аниқлаб, деформация тенгласидан  $n$  ни топамиз:

$$\tau_{\max} = \frac{M_G}{W_p} < [\tau] \left[ \frac{16 P R}{\pi d^3} < 4800, \right] \quad d \geq \sqrt[3]{\frac{16 \cdot 100 \cdot 20}{\pi \cdot 48}} \approx 6 \text{ мм,}$$

$$\lambda = \frac{64 P R^3}{G d^4} n; \text{ бундан: } n = \frac{G d^4 \lambda}{64 P R^3} \approx 6.$$

58. Диаметри  $d = 8$  мм бўлган симдан ўралган цилиндрик пружинанинг ўрта радиуси  $R = 40$  мм, ўрамлари сони  $n = 10$ ; деформациянинг потенциал энергияси ҳисоблаб топилсин.

$T = 200$  кг/см ишни синмасдан қабул қилиши учун ўрамлар сони қанча бўлиши керак? Рухсат этилган кучланиш  $[\tau] = 400$  кг/см<sup>2</sup>;  $G = 8 \cdot 10^9$  кг/см<sup>2</sup>.

Е ч и ш.

$$U = \frac{1}{2} P \lambda = \frac{32 P^2 R^3 n}{G d^4} = \frac{\pi^2 R d^2 n}{8 G} \tau_{\max}$$

чунки:

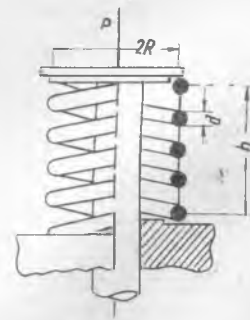
$$\tau_{\max} = \frac{M_G}{W} = \frac{P R}{\pi d^3};$$

шунинг учун:

$$U = \frac{\pi^2 R d^2 n}{8 G} [\tau] = 160 \text{ кг/см.}$$

$$T = \frac{1}{2} P \lambda_1 = \frac{32 P^2 R^3 n_1}{G d^4}; \quad \frac{T}{U} = \frac{n_1}{n}; \text{ бундан:}$$

$$n_1 = n \frac{T}{U} = 12,5 \text{ ўрам.}$$



168-шакл.

## IX боб

## ТЕКИС ШАКЛЛАРНИНГ СТАТИК ВА ИНЕРЦИЯ МОМЕНТЛАРИ

Призматик стерженларнинг буралиш деформациясини текширишда баъзи бир янги геометрик тушунчаларни учратган эдик. Улар доиравий кесим юзасининг поляр инерция моменти ( $I_p$ ) ва буралишдаги қаршилик моменти  $W_p$  деб аталадиган катталиклар эди. Назарий механиканинг статика қисмида текис шаклларнинг оғирлик марказини топишда ҳам шунга ўхшаш тушунчаларни учратган эдик. У текис шаклларнинг статик моментлари тушунчаси эди. Эгилиш назариясида ҳам бундай тушунчаларни учратамиз. Шунинг учун бу бобни ана шу геометрик тушунчаларнинг назариясини янги таъриф ва мулоҳазалар билан тўлдириб, систематик равишда тавсиф этишга бағишлаймиз.

## 55-§. Текис шаклларнинг ўққа нисбатан статик моментлари

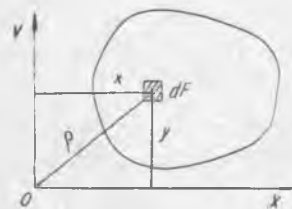
Назарий механиканинг статика қисмида текис шаклларнинг оғирлик марказини танланган координаталар системасига нисбатан қуйидаги формулалардан фойдаланиб аниқлаган эдик:

$$x_c = \frac{\int x dF}{F}; \quad y_c = \frac{\int y dF}{F} \quad (55.1)$$

бунда  $F$  — текис шаклнинг юзи.

Бу формулаларнинг ўнг томонларидаги касрларнинг сурати текис шаклнинг  $y$  ва  $x$  координата ўқларига нисбатан статик моментлардир. Биз уларни  $S_x$  ва  $S_y$  билан белгилаган эдик, яъни:

$$S_x = \int y dF, \quad S_y = \int x dF. \quad (55.2)$$



169- шакл.

шундай кўпайтмаларнинг йиғиндисини (интегралини) оламиз (169- шакл).

Бу таъриф асосида, текис шаклларнинг оғирлик марказини аниқловчи (55.1) формулаларни қуйидагича ёзишимиз мумкин:

$$x_c = \frac{S_y}{F}, \quad y_c = \frac{S_x}{F}. \quad (55.3)$$

Координата ўқларидан бири ёки иккаласи текис шаклнинг оғирлик марказидан утса, бундай ўқлар *марказий ўқлар* дейилади. Марказий ўқларга нисбатан статик моментларнинг нолга тенг бўлиши (55.3) дан кўриниб турибди.

## 56-§. Текис шаклларнинг инерция моментлари

Текис шаклнинг бирор ўққа нисбатан инерция моменти деб, шаклдан ажратилган ҳамма элементар юзчаларни шу ўққача бўлган оралиги квадратига кўпайтиришдан ҳосил бўлган кўпайтмаларнинг йиғиндиси айтилади. Масалан, текис шаклнинг  $x$  ўқига нисбатан инерция моментини ҳисоблаш учун, таърифга мувофиқ, ундан бирор  $dF$  элементар юзчани ажратиб, уни мазкур  $x$  ўқигача бўлган масофаси  $y$  нинг квадратига кўпайтирамиз ва чиққан кўпайтманинг бутун текис шакл юзи бўйича йиғиндисини оламиз (169-шакл). Инерция моменти  $I$  ҳарфи билан белгиланиб, унги нининг остига ўқ ишораси қўйилади.

Масалан,  $x$  ўқига нисбатан инерция моменти  $I_x$  билан,  $y$  ўқига нисбатан инерция моменти эса  $I_y$  билан белгиланади. Инерция моменти ибораси ишлатилганда қайси ўққа нисбатан олинини кўрсатилиши зарур. Таърифга мувофиқ,  $x$  ва  $y$  ўқларига нисбатан инерция моментлари қуйидагича ёзилади:

$$I_x = \int_F y^2 dF; \quad I_y = \int_F x^2 dF. \quad (56.1)$$

Буралити назариясини текширганимизда, поляри инерция моментини қуйидагича ифодалаган эдик:

$$I_p = \int_F \rho^2 dF. \quad (56.2)$$

169-шаклдаги  $\rho^2 = x^2 + y^2$  нинг қийматини (56.2) га қўйиб, (56.1) кўзда тутилса, текис шаклнинг поляри инерция моменти билан ўзаро тик марказий ўқларга нисбатан олинган инерция моментлари орасидаги муносабатни топамиз:

$$I_p = \int_F (x^2 + y^2) dF = \int_F x^2 dF + \int_F y^2 dF,$$

ёки:

$$I_p = I_x + I_y. \quad (56.3)$$

Булардан ташқари, яна бир янги геометрик тушунча бор бу тушунча марказдан қочувчи инерция моменти дейилади. Унинг таърифи қуйидагича: текис шаклнинг ўзаро тик координата ўқларига нисбатан марказдан қочувчи инерция моменти деб, шаклдан ажратилган ҳамма элементар юзчаларни координата ўқларигача бўлган ораликларига кўпайтиришдан ҳосил бўлган кўпайтмаларнинг йиғиндисини айтилади. Марказдан қочувчи инерция моменти  $I_{xy}$  билан белгиланади. Таърифга мувофиқ:

$$I_{xy} = \int_F xy dF. \quad (56.4)$$

Инерция моментлари узунликнинг тўртинчи даражасида ўлчаниши уларнинг таъриф ва ифодаларидан кўриниб турибди. Одатда, улар  $\text{см}^4$  билан ифодланади. Поляри инерция моменти ва ўққа нисбатан инерция моментлари ифодасига  $x$  ва  $y$  координаталарнинг квадратларигина киргани учун улар мусбат сон бўлади. Марказдан қочувчи инерция моменти эса мусбат ҳам, манфий ҳам бўлиши мумкин; чунки унинг ифодасига  $x$  ва  $y$  координаталар биринчи даражага кирилади. Марказдан қочувчи инерция моментини ифодаловчи йиғиндининг мусбат ва манфий белгилари бир хилда бўлса, у

нолга тенг бўлади. Умуман, ҳар қандай кўринишдаги шакл учун координата ўқларини шундай танлаб олиш мумкинки, у ўқларга нисбатан марказдан қочувчи инерция моменти нолга тенг бўлади.

### 57-§. Бош инерция ўқлари ҳақидаги тушунчалар

Ҳар бир текис шакл учун ҳеч бўлмаганда бир жуфт шундай координата ўқлари борки, уларга нисбатан мазкур текис шаклнинг марказдан қочувчи инерция моменти нолга тенг бўлади. Бундай ўқлар текис шаклнинг бош инерция ўқлари дейилади.

Координата ўқларини ихтиёрий равишда танлаб, мазкур ўқларга нисбатан марказдан қочувчи инерция моментини ҳисоблаймиз:

$$I_{xy} = \int_F xy dF$$

$x$  ва  $y$  координата ўқларининг йўналишини соат стрелкасининг йўналишига тескари томон бирор  $\alpha$  бурчакка айлантирамиз (170- шакл). Уларнинг янги йўналишларини  $x'$  ва  $y'$  орқали белгилаймиз. Ҳар қандай элементар юзача  $dF$  нинг янги координата ўқларига нисбатан координаталари олдинги координаталари орқали ҳуйидагича ифодаланади:

$$x' = x \cos \alpha + y \sin \alpha.$$

$$y' = y \cos \alpha - x \sin \alpha.$$

Биз текшираётган ҳолда  $\alpha = 90^\circ$  бўлса,

$$x' = y \quad y' = -x$$

бўлади.

Координата ўқларининг янги ҳолати учун марказдан қочувчи инерция моменти қуйидагича ёзилади:

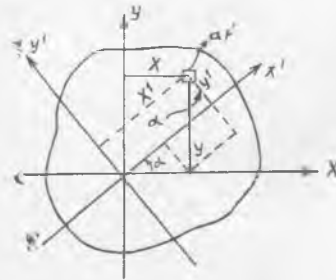
$$I_{x'y'} = \int_F x'y' dF = - \int_F xy dF = -I_{xy}.$$

Демак, координата ўқларининг йўналишини  $90^\circ$  айлантириш билан текис шаклнинг мазкур ўқларга нисбатан марказдан қочувчи инерция моментининг белгисини ўзгартдик.

$\alpha$  бурчакка бирданга  $90^\circ$  қиймат берилмасдан, координата ўқларини аста-секин айлантисак, марказдан қочувчи инерция моменти узлуксиз равишда ўзгариб,  $\alpha$  нинг бирор  $\alpha_1$  қийматида ноль бўлиб қолади.

Координата ўқларининг ана шу йўналиши текис шаклнинг бош инерция ўқлари дейилади. Демак, бош инерция ўқларига нисбатан текис шаклнинг марказдан қочувчи инерция моменти нолга тенг бўлар экан. Бош инерция ўқлари текис шаклнинг марказидан ўтса, улар марказий бош инерция ўқлари дейилади. Материаллар қаршилигига онд масалаларда, ҳамма вақт бош инерция ўқлари марказий бўлгани учун, одатда, марказий сўзи ишлатилмайди.

Текис шаклнинг ҳар қандай симметрик ўқи унинг марказий бош инерция ўқларидан бири бўлади. Масалан, 171- шаклда тасвирланган текис шакл учун  $y$  ўқи симметрия ўқи бўлсин. У ҳолда, симметрия ўқининг ўнг-томонидан ажратилган ҳар қандай  $dF$  элементар юзачага мос бир хил координаталарга эга бўлган юзача унинг чап томонида ҳам бўлади; аммо бу



170- шакл.

юзачанинг координаталаридан биттаси, яъни  $x$  манфий ишорали бўлади. Шу муносабат билан симметрия ўқининг ўнг томонидаги  $xydF$  ҳадлари мусбат, чап томонидагилари эса манфий ишорали бўлиб, уларнинг умумий йиғиндисини нолга тенг, яъни:

$$\int_F xydF = 0$$

бўлади. Текис шаклнинг иккинчи бош инерция ўқи мазкур симметрия ўқига тик йўналади. Демак, ҳеч бўлмаса биятта симметрия ўқи бўлган текис шакл учун бош инерция ўқларини аниқлаш қийин эмас.

Умумий ҳол учун бош инерция ўқларининг йўналишини аниқлаш масалаларини 63- параграфда текшираимиз.

#### 58-§. Текис шаклнинг марказий ўқига параллел ўққа нисбатан инерция моменти

Масалан, текис шаклнинг марказий ўқлари  $x$  ва  $y$  га нисбатан инерция моментлари  $I_x$ ,  $I_y$  ва марказдан қочувчи инерция моменти  $I_{xy}$  маълум бўлсин (172- шакл).  $x$  ва  $y$  ўқларига параллел ва улардан  $a$  ва  $b$  масофада бўлган  $x_1$  ва  $y_1$  ўқларни утказиб, бу ўқларга нисбатан шаклнинг инерция моментлари  $I_{x_1}$ ,  $I_{y_1}$  ва  $I_{x_1y_1}$  ни аниқлаймиз. Текис шаклнинг бирор  $dF$  элементининг олдинги ва янги ўқларга нисбатан координаталари ўзаро қуйидагича боғланган:

$$\begin{aligned}x_1 &= x + a, \\y_1 &= y + b.\end{aligned}$$

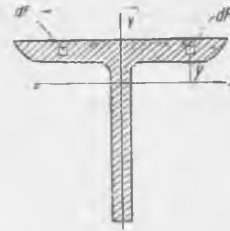
Инерция моментларининг таърифидан фойдаланиб, янги  $x_1$  ва  $y_1$  ўқларга нисбатан уларнинг ифодасини тузамиз:

$$I_{x_1} = \int_F y_1^2 dF = \int_F (y + b)^2 dF = \int_F y^2 dF + 2b \int_F y dF + b^2 \int_F dF;$$

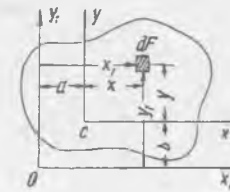
$$I_{y_1} = \int_F x_1^2 dF = \int_F (x + a)^2 dF = \int_F x^2 dF + 2a \int_F x dF + a^2 \int_F dF;$$

$$\begin{aligned}I_{x_1y_1} &= \int_F x_1y_1 dF = \int_F (x + a)(y + b) dF = \\&= \int_F xy dF + a \int_F y dF + b \int_F x dF + ab \int_F dF.\end{aligned}$$

(55 2) га мувофиқ,  $\int_F x dF$  ва  $\int_F y dF$  текис шаклнинг  $x$  ва  $y$  ўқларига нисбатан статик моментларидир. Аммо  $x$  ва  $y$  ўқлари марказий бўлгани учун, улар нолга тенг.  $\int_F dF = F$  бўлиб, у текис шаклнинг бутун юзидир.



171- шакл.



172- шакл.

$\int_F x^2 dF = I_y$ ;  $\int_F y^2 dF = I_x$  эканлиги кўзда тутилса, юқоридаги тенгликлар қуйидагича ёзилади:

$$I_{x_1} = I_x + b^2 F, \quad (58.1)$$

$$I_{y_1} = I_y + a^2 F; \quad (58.2)$$

$$I_{x_1 y_1} = I_{xy} + abF.$$

Қураимизки, координаталар ўқи марказий ўқдан узоқлаштирилган сари, тегишли инерция моменти ўқлар Оралигининг квадрати билан текис шакл юзининг кўпайтмасига ошиб боради.  $a^2 F$  ва  $b^2 F$  мусбат сон бўлгани учун, ўзаро параллел ўқлар ичида энг кичик инерция моменти берадиган ўқ марказий ўқ бўлади. Марказдан қочувчи инерция моменти координата ўқларининг ўзаро параллел кўчирилиши натижасида албатта ўзгаради. Аммо  $abF > 0$  ёки  $abF < 0$  бўлиши мумкин. Шунинг учун координата ўқларининг ўзаро параллел кўчирилиши марказий ўқларга нисбатан ҳисобланган марказдан қочувчи инерция моментини ошириши ҳам, камайтириши ҳам мумкин. Координата ўқларидан бири, масалан  $x$  ўқи кўчирилиб,  $y$  ўқи ўз ўрнида қолдирилса, марказдан қочувчи инерция моменти ўзгармайди, чунки бу ҳолда  $a = 0$  бўлади.

#### 59-§. Энг оддий текис шаклларнинг инерция моментлари

1. Даставвал асоси  $b$ , баландлиги  $h$  бўлган тўғри тўртбурчакликнинг асосидан ўтувчи  $x$  ўқига нисбатан инерция моментини ҳисоблаймиз (173-шакл). Бунинг учун  $x$  ўқидан  $y$  масофада эни  $b$  га ва қалинлиги  $dy$  га тенг бир элементар юза ажратамиз. Унинг шаклда штрихлаб қўйилган юзи  $dF = bdy$  бўлади. Таърифга кура:

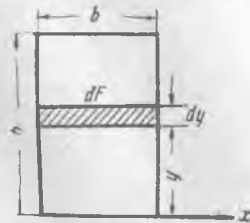
$$I_x = \int_F y^2 dF = \int_F y^2 b dy.$$

Интеграллашда  $y$  нинг 0 дан  $h$  гача ўзгаришини кўзда тутамиз:

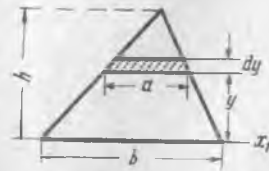
$$I_x = \int_0^h y^2 b dy = \frac{bh^3}{3}. \quad (59.1)$$

Тўғри тўртбурчакнинг асосига параллел ҳолда марказидан ўтувчи  $x_0$  ўқига нисбатан инерция моментини ҳисоблаш учун (58.1) формуладан фойдаланамиз:

$$I_{x_0} = I_x - \left(\frac{h}{2}\right)^2 F = \frac{bh^3}{3} - \left(\frac{h}{2}\right)^2 bh = \frac{bh^3}{12}. \quad (59.2)$$



173- шакл.



174- шакл.

2. Асоси  $b$  га ва баландлиги  $h$  га тенг учбурчакнинг асосидан ўтувчи ўққа нисбатан инерция моменти ҳисоблаймиз (174- шакл). Учбурчакнинг асосидан  $y$  масофада бўлган бирор элементар юза ажратамиз. Бу юза тўғри тўртбурчак деб қаралса, унинг баландлиги  $dy$  бўлиб, асоси  $a$  ни учбурчакларнинг ўхшашлик шартидан топамиз:  $y, a = b \frac{h-y}{h}$  бўлади. Инерция моментининг таърифига мувофиқ:

$$I_{x_1} = \int_0^h y^2 \left(1 - \frac{y}{h}\right) b dy = \frac{bh^3}{12} \quad (59.3)$$

бўлади.

Учбурчакнинг асосига параллел бўлиб, унинг марказидан ўтувчи  $x$  ўқи-га нисбатан инерция моментини топиш учун (58.1) формуладан фойдаланамиз:

$$I_x = I_{x_1} - \left(\frac{h}{3}\right)^2 F = \frac{bh^3}{12} - \left(\frac{h}{3}\right)^2 \frac{bh}{2} = \frac{bh^3}{36} \quad (59.4)$$

3. Доира юзасининг диаметрал ўққа нисбатан инерция моментини топамиз. Барча диаметрлар доиранинг симметрия ўқлари бўлгани учун улар бош инерция ўқлари бўлади. Доиранинг марказидан ўтувчи ўзаро тик ҳар бир жуфт ўқ учун:

$$I_x = I_y$$

бўлади. Бу ҳолда (56.3) муносабат  $I_p = 2I_x$  кўринишда ёзилади.

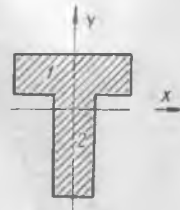
Поляр инерция моменти ( $I_p$ ) нинг қийматини буралиш назариясида ҳисоблаган эдик, у  $I_p = \frac{\pi d^4}{32}$  эди. Шунинг учун доира юзасининг марказдан ўтувчи ўққа нисбатан инерция моменти қуйидагича бўлади:

$$I_x = \frac{I_p}{2} = \frac{\pi d^4}{64} \quad (59.5)$$

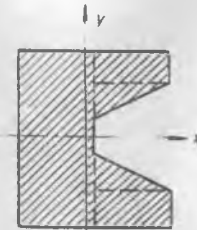
Металл балкаларнинг кўндаланг кесим юзалари мураккаб геометрик шакллардан иборат бўлади. Бунинг сабабини эгилиш назариясида тушунтирамиз.

### 60-§. Мураккаб геометрик шаклларнинг инерция моментларини ҳисоблаш

Иншоот элементларининг мустаҳкамлигини текширишда юқорида айтилганидек мураккаб шаклдаги кўндаланг кесимларни учратамиз. Уларнинг инерция моментларини тўғри тўрт бурчакли, уч бурчакли кесим юзаларининг инерция моментларини ҳисоблагандек оддий усулда ҳисоблаб бўлмайди. Масалан, тавр (175- шакл) ёки ундан ҳам мураккаброқ кесимни (176- шакл)



175- шакл.



176- шакл.

олайлик. Буларни инерция моментлари олдиндан маълум бўлган бир нечта оддий шаклларга, масалан, тўғри тўртбурчак, учбурчак ва шунга ўхшаш шаклларга ажратиш мумкин.

177- шаклда келтирилган мураккаб кўринишдаги текис шакл юзасининг  $x$  ўқиغا нисбатан инерция моментини ҳисоблаймиз. Ўққа нисбатан инерция моментининг таърифига мувофиқ:

$$I_x = \int_F y^2 dF$$

бўлади.

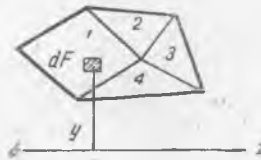
Текширилаётган мураккаб кўринишдаги юзани оддий кўринишдаги  $F_1, F_2, F_3$  ва  $F_4$  юзаларга ажратамиз. Мураккаб шаклнинг инерция моментини ифодаловчи интегрални ҳар қайси қисми бўйича оламиз. У ҳолда юқорида ёзилган интеграл қуйидагича ифодаланadi:

$$I_x = \int_F y^2 dF = \sum_{i=1}^4 \int_{F_i} y^2 dF = \int_{F_1} y^2 dF + \int_{F_2} y^2 dF + \int_{F_3} y^2 dF + \int_{F_4} y^2 dF.$$

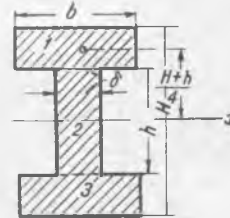
Бу интегралларнинг ҳар қайсиси тегишли қисмнинг  $x$  ўқиға нисбатан инерция моментидир; шунинг учун:

$$I_x = I_x^I + I_x^{II} + I_x^{III} + I_x^{IV} \quad (60.1)$$

бўлади; бунда,  $I_x^I, I_x^{II}, I_x^{III}$  ва  $I_x^{IV}$  тегишлича  $F_1, F_2, F_3$  ва  $F_4$  юзаларнинг  $x$  ўқиға нисбатан инерция моментларидир.



177- шакл.



178- шакл.

Демак, мураккаб кўринишдаги текис шаклнинг инерция momenti уни ташкил этувчи қисмлар инерция моментларининг йиғиндисига тенг булар экан.

Мисол тарзида 178- шаклда тасвирланган қўш таврли кесимнинг марказидан ўтувчи  $x$  ўқиға нисбатан инерция моментини ҳисоблаймиз.

Шаклни уч қисмга ажратиб, уларни I, II, III билан белгилаймиз; II қисмнинг  $x$  ўқиға нисбатан инерция momenti (59.2) формулага мувофиқ

$$I_x^{II} = \frac{\delta h^3}{12}$$

бўлади.

I ва III қисмларнинг  $x$  ўқиға нисбатан инерция моментлари (58.1) ва (59.2) га мувофиқ:

$$I_x^I = I_x^{III} = \frac{b \left(\frac{H-h}{2}\right)^3}{12} + b \left(\frac{H-h}{2}\right) \left(\frac{H+h}{4}\right)^2$$

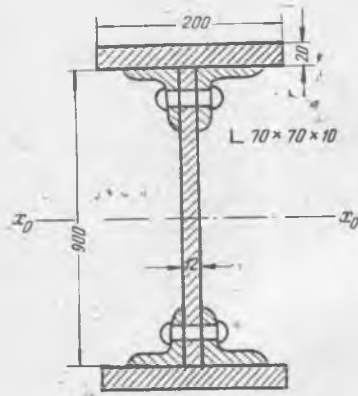
булади. Қўш таврли кесимнинг инерция моменти:

$$I_x = I_x^I + I_x^{II} + I_x^{III} = \frac{\delta h^3}{12} + \frac{b(H^3 - h^3)}{12}$$

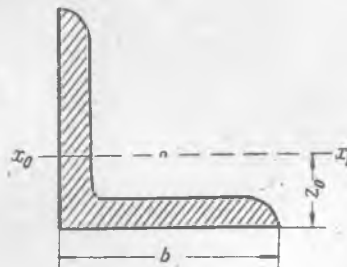
булади.

Металл конструкция элементларининг мураккаб кўндаланг кесимлари, одатда, маълум шакллар учун стандарт ўлчамлар билан берилади. Бундай кесимларнинг ўлчамлари махсус жадвалда берилади; бундай жадвал «Сортамент» дейилади. Сортамент жадваллари инженерлик справочникларида, материаллар қаршилиги курсларида, шунингдек, ушбу китобимизнинг охирида келтирилган. Бу жадвалларда, кўндаланг кесим ўлчамларидан ташқари, уларнинг юзлари, оғирлик марказининг координаталари, кесим юзасининг марказий ўқларга нисбатан инерция моментлари ҳам келтирилади. Бу маълумотлар тегишли ҳисобларни жуда осонлаштиради.

Жуда кўп ишлатиладиган мураккаб кесимларга мисол қилиб бир вертикал ва икки горизонтал тўғри тўртбурчак полсаларнинг бурчакликлар



179- шакл.



180- шакл.

воситаси билан туташтирилиши натижасида ҳосил бўлган қўш таврли балканинг кўндаланг кесимини кўрсатиш мумкин.

Масалан, 179- шаклда худди шундай кесим тасвирланган. Унда кўндаланг кесим бир вертикал тўғри тўрт бурчакли «девор» иккита горизонтал тўғри тўрт бурчакли «токча» ва тўртта бурчакликдан ҳосил бўлган. Бурчакликлар вертикал ва горизонтал листларга бириктирилган. Мазкур кесимнинг марказидан ўтувчи  $x-x$  горизонтал ўққа нисбатан инерция моментини топамиз. Вертикал ва горизонтал листларнинг кўндаланг кесим ўлчамлари шаклда кўрсатилган.

$L 70 \times 70 \times 10$  ишораси ишлатилаётган бурчакликнинг томонлари  $70$  мм дан бўлиб, қалинлиги  $10$  мм га тенглигини кўрсатади. Вертикал листнинг инерция моменти (59.2) га мувофиқ:

$$I_x^{(e)} = \frac{1,2 \cdot 90^3}{12} = 2700 \text{ см}^4$$

булади.

Иккита горизонтал листнинг инерция моментлари (58.1) га мувофиқ:

$$I_x^{(e)} = 2 \left( \frac{20 \cdot 2^3}{12} + 20 \cdot 2 \cdot 16^2 \right) = 20500 \text{ см}^4$$

булади.

Бурчакликларнинг инерция моменти «ГОСТ» га мувофиқ топилади.

70 × 70 × 10 бурчаклик (180- шакл) учун жадвалдан қуйидагиларни оламиз:

$$\begin{aligned} \text{Юзи} & \dots \dots \dots F = 13,08 \text{ см}^2, \\ \text{Оғирлик марказининг координатаси} & \dots \dots \dots Z_0 = 2,09 \text{ см}, \\ \text{Марказдан ўтувчи ўққа нисбатан инерция моменти} & \dots \dots \dots I_{x_0} = 57,3 \text{ см}^4. \end{aligned}$$

Бу маълумотлардан фойдаланиб, бурчакликнинг оғирлик маркази билан  $x$  ўқи оралиғи ( $a$ ) ни аниқлаймиз:

$a = 15 - 2,09 = 12,91 \text{ см}$  ўқидан бир хил масофадаги тўртта бурчакликнинг мазкур ўққа нисбатан инерция моментини (58.1) формулага мувофиқ ҳисоблаймиз:

$$I_x^1 = 4 (57,3 + 13,08 \cdot 12,91^2) = 8949 \text{ см}^4.$$

Кесимнинг умумий инерция моменти:

$$I_x = 2700 + 20500 + 8949 = 32149 \text{ см}^4$$

булади.

Ана шу схема асосида турли мураккаб кўндаланг кесимларнинг инерция моментларини ҳисоблаш мумкин.

#### 61- §. Марказдан қочувчи инерция моментини ҳисоблаш

Марказдан қочувчи инерция моментини ҳисоблаш учун, таърифга кўра, қуйидаги интегрални ҳисоблаш керак:

$$I_x = \int_F xy dF. \quad (61.1)$$

Масалан, тўғри тўртбурчакнинг томонларидан ўтувчи координата ўқларига нисбатан марказдан қочувчи инерция моментини ҳисоблаш учун, ундан томонлари  $dx$  ва  $dy$  га тенг бир элементар юза ( $dF$ ) ажратиш лозим (181- шакл). Интегрални тўғри тўртбурчакнинг бутун юзи бўйича олиш зарур бўлгани учун икки қаррали интегрални татбиқ этиш қулайдир:

$$I_{x,y} = \int_0^b \int_0^h xy dx dy = \int_0^b x dx \int_0^h y dy = \frac{h^2 b^3}{4}. \quad (61.2)$$

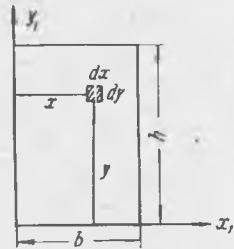
Бу натижани бошқа йўл билан олиш ҳам мумкин эди. Тўғри тўртбурчакнинг симметрия ўқлари марказий бош ўқлар бўлгани учун уларга нисбатан марказдан қочувчи инерция моменти нолга тенг бўлади. Буни кўзда тутиб, (58.2) формуладан (61.2) ни чиқариш мумкин.

(58.2) формуланинг татбиқ этилишини кўрсатиш ниятида яна битта мисол келтирамиз.

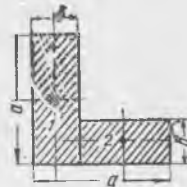
182- шаклда тасвирланган бурчакликнинг ташқи қирғоғидан ўтказилган координата ўқларига нисбатан марказдан қочувчи инерция моментини ҳисоблаймиз. Бурчакликни иккита тўғри тўртбурчакка ажратиб, уларни  $I$  ва  $II$  билан белгилаймиз. Ҳар қайси тўғри тўртбурчакнинг симметрия

Ҳақлари марказий бош Ҳақ бўлгани учун, (58.2) формула мураккаб шакл учун қуйидагича ёзилади:

$$I_{x_1y_1} = F_1 a_1 b_1 + F_2 a_2 b_2. \quad (61.3)$$



181- шакл.



182- шакл.

Бу формулани бизнинг масаламиздаги Ҳақчалар учун татбиқ қилсак,

$$I_{x_1y_1} = \frac{\delta^2 (2^2 - \delta^2)}{4}$$

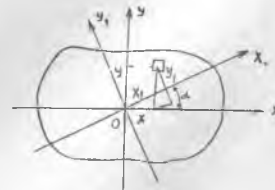
бўлади.

Ана шу схемада ҳар хил шаклдаги юзаларнинг марказдан қочувчи инерция моментларини ҳисоблаш мумкин.

### 62- §. Координата Ҳақлари айлантйрилганда инерция моментларининг ҲаҶгарйши

Текис шакл учун ҳар қанча марказий координата Ҳақлари Ҳақказиш мумкин. Биз бу параграфда олдиндан танланган марказий Ҳақларга нисбатан ихтиёрий бурчакка айлантйрилган янги координаталар системасини оламиз ва текис шаклнинг шу янги система Ҳақларига нисбатан инерция моментларини олдиндан танланган координаталар системасига нисбатан ҳисобланган инерция моментлари орқали ифодалаш масаласини ҳал қиламиз. Текис шаклнинг марказидан  $ox$  ва  $oy$  координата Ҳақларини Ҳақказамиз (183- шакл).

Масалан, текис шаклнинг мазкур координата Ҳақларига нисбатан инерция моментлари  $I_x, I_y, I_{xy}$  маълум бўлсин. Янги  $ox_1$  ва  $oy_1$  координата Ҳақларини Ҳақказамиз. Бу Ҳақлар олдинги координаталар системасининг Ҳақлари билан  $\alpha$  бурчак ҳосил қилсин. Ана шу янги координаталар системаси  $ox_1$  ва  $oy_1$  га нисбатан текис шаклнинг инерция моментлари  $I_{x_1}, I_{y_1}$  ва  $I_{x_1y_1}$  ни ҳисоблаймиз. Бунинг учун олдин текис шаклга тегишли ихтиёрий нуқтанинг янги ва олдинги системалардаги координаталарини ифодалаймиз.



183- шакл.

Координата системалари айлантйрилганда, бир системадан бошқа системага қуйидаги тенгламалар воситаси билан Ҳақтиш аналитик геометриядан маълум:

$$\begin{aligned} x_1 &= x \cos \alpha + y \sin \alpha, \\ y_1 &= -x \sin \alpha + y \cos \alpha. \end{aligned} \quad (62.1)$$

Бу тенгликларни кўзда тутиб, текис шаклнинг янги координаталар системасига нисбатан инерция моментларини ҳисоблаймиз:

$$I_{x_1} = \int_F y^2 dF; \quad I_{y_1} = \int_F x^2 dF; \quad I_{x_1 y_1} = \int_F x_1 y_1 dF; \quad (62.2)$$

$x_1$  ва  $y_1$  координаталарнинг қийматини (62.1) дан келтириб қўямиз:

$$I_{x_1} = \int_F (y \cos \alpha - x \sin \alpha)^2 dF = \int_F (y^2 \cos^2 \alpha - 2xy \sin \alpha \cos \alpha + x^2 \sin^2 \alpha) dF$$

ёки

$$I_{x_1} = \cos^2 \alpha \int_F y^2 dF + \sin^2 \alpha \int_F x^2 dF - \sin 2\alpha \int_F xy dF \quad (62.3)$$

Худди шунингдек:

$$I_{y_1} = \int_F (x \cos \alpha + y \sin \alpha)^2 dF = \int_F (x^2 \cos^2 \alpha + 2xy \sin \alpha \cos \alpha + y^2 \sin^2 \alpha) dF$$

ёки

$$I_{y_1} = \sin^2 \alpha \int_F y^2 dF + \cos^2 \alpha \int_F x^2 dF + \sin 2\alpha \int_F xy dF. \quad (62.4)$$

(62.3) ва (62.4) ифодалардаги биринчи иккита интеграл текис шаклнинг  $ox$  ва  $oy$  координата ўқларига нисбатан инерция моментлари бўлгани учун, биз уларни  $I_x$  ва  $I_y$  билан, охириги интеграл эса шу ўқларга нисбатан марказдан қочувчи инерция моменти бўлгани учун, уни  $I_{x_y}$  билан алмаштирамиз. У ҳолда:

$$\left. \begin{aligned} I_{x_1} &= I_x \cos^2 \alpha + I_y \sin^2 \alpha - I_{x_y} \sin 2\alpha \\ I_{y_1} &= I_x \sin^2 \alpha + I_y \cos^2 \alpha + I_{x_y} \sin 2\alpha \end{aligned} \right\} \quad (62.5)$$

бўлади.

Худди шундай тенгликни янги координаталар системасига нисбатан марказдан қочувчи инерция моменти учун ҳам ёзишимиз мумкин:

$$\begin{aligned} I_{x_1 y_1} &= \int_F x_1 y_1 dF = \int_F (x \cos \alpha + y \sin \alpha)(-x \sin \alpha + y \cos \alpha) dF = \\ &= \sin \alpha \cos \alpha \int_F y^2 dF - \sin \alpha \cos \alpha \int_F x^2 dF + \cos^2 \alpha \int_F xy dF - \sin^2 \alpha \int_F xy dF. \end{aligned}$$

Юқоридаги мулоҳазалар асосида, бу тенгликни қуйидагича ёзамиз:

$$I_{x_1 y_1} = \frac{I_x - I_y}{2} \sin 2\alpha + I_{x_y} \cos 2\alpha. \quad (62.6)$$

Текис шаклнинг махсус танланган марказий ўқларга нисбатан инерция моментлари маълум бўлса, бошқа ҳар қандай марказий ўқларга нисбатан инерция моментларини (62.5) ва (62.6) дан аниқлаш мумкин.

(62.5) тенгликларни косинус ва синусларнинг квадратлари орқали ифодаласдан, қўш бурчакнинг функциялари орқали ифодалаш қулай. Шунинг учун қуйидаги тригонометрик муносабатлардан фойдаланамиз:

$$\cos^2 \alpha = \frac{1 + \cos 2\alpha}{2}; \quad \sin^2 \alpha = \frac{1 - \cos 2\alpha}{2}.$$

Бу муносабатларни (62.5) даги косинус ва синус квадратларининг ўрнига қўямиз. У ҳолда янги координаталар системаси учун инерция моментлари қуйидагича ёзилади:

$$\left. \begin{aligned} I_{x_1} &= \frac{I_x + I_y}{2} + \frac{I_x - I_y}{2} \cos 2\alpha - I_{xy} \sin 2\alpha, \\ I_{y_1} &= \frac{I_x + I_y}{2} - \frac{I_x - I_y}{2} \cos 2\alpha + I_{xy} \sin 2\alpha, \\ I_{x_1 y_1} &= \frac{I_x - I_y}{2} \sin 2\alpha + I_{xy} \cos 2\alpha. \end{aligned} \right\} \quad (62.7)$$

Бу тенгликлардан биринчи иккитасини қўшиб, (56.3) ни кўзда тутсак:

$$I_{x_1} + I_{y_1} = I_x + I_y = I_p \quad (62.8)$$

келиб чиқади. Демак, ўзаро тик ўқларга нисбатан инерция моментларининг йиғиндиси ўзгармас миқдор бўлиб, текис шаклнинг поляр инерция моментига тенгдир.

### 63-§. Бош инерция ўқларининг йўналишини ва бош инерция моментларини аниқлаш

Бош инерция ўқларининг таърифига кўра, бош инерция ўқларига нисбатан марказдан қочувчи инерция моменти нолга тенг бўлиши керак.

Текис шаклнинг бош инерция ўқларига нисбатан инерция моментлари бош инерция моментлари дейилади.

Бош инерция ўқларини  $OU$  ва  $OV$  билан белгилаймиз (184-шакл). У ҳолда, таърифга кўра:

$$I_{uv} = 0 \quad (63.1)$$

бўлади.

Мазкур  $OU$  ва  $OV$  бош инерция ўқлари  $OX$  ва  $OY$  ўқларга қандай  $\alpha_0$  бурчак остида қия эканлигини топамиз. Бунинг учун  $OX_1$  ва  $OY_1$  координаталар системасига нисбатан аниқланган  $I_{x_1 y_1}$  ни ифодаловчи (62.7) даги учинчи тенгликка  $\alpha$  нинг ўрнига  $\alpha_0$  ни қўйсак,  $OX_1$  ва  $OY_1$  ўқлар  $OU$  ва  $OV$  га мос келади, яъни:

$$(I_{x_1 y_1})_{\alpha=\alpha_0} = I_{uv} = 0,$$

ёки

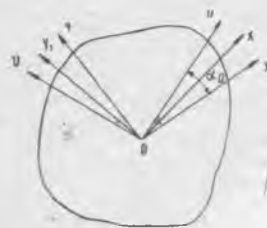
$$I_{uv} = -\frac{I_y - I_x}{2} \sin 2\alpha_0 + I_{xy} \cos 2\alpha_0 = 0$$

бўлади; бундан:

$$\operatorname{tg} 2\alpha_0 = \frac{2I_{xy}}{I_y - I_x} \quad (63.2)$$

келиб чиқади.

Бу тенгламани  $2\alpha_0$  нинг  $180^\circ$  фарқ қиладиган иккита қиймати ёки  $\alpha_0$  нинг  $90^\circ$  фарқ қиладиган иккита қиймати қаноатлантиради. Шундай қилиб, (63.1) шартни қаноатлантирувчи ўзаро тик иккита йўналишни аниқлайдиган тенглама ҳосил бўлади.



184-шакл.

Бош инерция моментлари  $I_u$  ва  $I_v$  ни топиш учун (62.7) даги 1 ва 2- тенгликларда  $\alpha$  нинг ўрнига  $\alpha_0$  нинг қийматини (63.2) дан аниқлаб қўямиз.

Худди шунга ўхшаш тенгламани текис кучланиш ҳолатида бош юзаларнинг йўналишини аниқлаш учун чиқарган эдик. Худди ўша тартибда, бу тенгламадан  $\sin 2\alpha_0$  билан  $\cos 2\alpha_0$  ни аниқлаймиз:

$$\sin 2\alpha_0 = \frac{2I_{xy}}{R}; \quad \cos 2\alpha_0 = \frac{I_y - I_x}{R};$$

бунда:

$$R = \sqrt{(I_y - I_x)^2 + 4I_{xy}^2}.$$

Буларни юқорида айtilган (62.7) нинг 1 ва 2- тенгликларига олиб бориб қўйсақ,  $I_u$  ва  $I_v$  учун қуйидагиларни ҳосил қиламиз:

$$(I_{x_1})_{\alpha=\alpha_0} = I_u = \frac{I_x + I_y}{2} + \frac{I_x - I_y}{2} \cos 2\alpha_0 - I_{xy} \sin 2\alpha_0.$$

$$(I_{y_1})_{\alpha=\alpha_0} = I_v = \frac{I_x + I_y}{2} - \frac{I_x - I_y}{2} \cos 2\alpha_0 + I_{xy} \sin 2\alpha_0$$

ёки

$$I_u = \frac{I_x + I_y}{2} - \frac{(I_y - I_x)^2 + 4I_{xy}^2}{2R} = \frac{I_x + I_y}{2} - \frac{R}{2},$$

$$I_v = \frac{I_x + I_y}{2} + \frac{(I_y - I_x)^2 + 4I_{xy}^2}{2R} = \frac{I_x + I_y}{2} + \frac{R}{2}.$$

Бу иккала тенгликни қўшиб ёзишимиз мумкин:

$$I_{u,v} = \frac{1}{2} \left\{ (I_x - I_y) \pm \sqrt{(I_y - I_x)^2 + 4I_{xy}^2} \right\}. \quad (63.3)$$

Бу тенглик (+) белги билан олганда максимал, (—) белги билан олганда минимал бош инерция моментини ифодалайди. Марказий бош инерция ўқларига нисбатан олинган бош инерция моментлари марказий ўқларга нисбатан олинган инерция моментларидан энг каттаси ва энг кичиги эканини кўрсатамиз.  $x_1$  марказий ўққа нисбатан ҳисобланган инерция моменти  $\alpha$  нинг қандай қийматида максимум ёки минимумга эришишини топиш учун (62.7) нинг биринчи тенглигидан ҳосил олиб, уни нолга тенглаштирамиз:

$$\frac{dI_{x_1}}{d\alpha} = -(I_x - I_y) \sin 2\alpha - 2I_{xy} \cos 2\alpha = 0;$$

бундан:

$$\operatorname{tg} 2\alpha = \frac{2I_{xy}}{I_y - I_x} = \operatorname{tg} 2\alpha_0. \quad (63.4)$$

Бу тенглик (63.2) тенгликка мос келади. Демак, максимал ёки минимал инерция моментини берадиган ўқлар бош инерция ўқлари экан. Бу ҳулосага кўра, (63.3) тенгликни қуйидагича ёзишимиз мумкин:

$$I_{\max}^{\min} = \frac{1}{2} \left\{ (I_y + I_x) \pm \sqrt{(I_y - I_x)^2 + 4I_{xy}^2} \right\}. \quad (63.5)$$

Асосий марказий ўқлар учун, ўзаро тик бўлган ихтиёрый марказий ўқлар олинмай, бош инерция ўқлари олинса, (62.5) ва (62.6) тенгликлар бирмунча ихчамлашиб, уларда марказдан қочувчи инерция моменти

бўлмайди. Дарҳақиқат,  $x$  ўқини  $u$  билан ва  $y$  ўқини  $v$  билан алмаштириб,  $x_1$  нинг ўрнига  $x$  ни,  $y_1$  нинг ўрнига  $y$  ни олсак ва бош ўқ  $u$  билан  $x$  ўқининг тузган бурчагини  $\beta$  десак,  $I_x$ ,  $I_y$  ва  $I_{xy}$  учун қуйидагиларни оламиз:

$$\left. \begin{aligned} I_x &= I_u \cos^2 \beta + I_v \sin^2 \beta, \\ I_y &= I_u \sin^2 \beta + I_v \cos^2 \beta, \\ I_{xy} &= \frac{I_u - I_v}{2} \sin 2\beta \end{aligned} \right\} \quad (63.6)$$

Бу формулаларнинг қўриниши текис кучланиш ҳолатидаги ўзаро тик юзаларда ҳосил бўладиган  $\sigma_x$ ,  $\sigma_y$  ва  $\tau_{xy}$  кучланишларнинг ифодасига ўхшайди. Шунингдек, (63.5) ва (63.2) формулалар ҳам бош кучланишлар билан бош юзаларни ифодаловчи формулаларга ўхшайди. Шунинг учун ҳам бу жойда Мор доирасини тула татбиқ қилиш мумкин. Нормал кучланишлар ўзаро тик ўқларга нисбатан ҳисобланган инерция моментларига мос келиб, тангенциал кучланишлар эса марказдан қочувчи инерция моментига мос келади.

#### 64-§. Инерция эллипси

Текис шаклнинг инерция моменти ўқ йўналишининг ўзгариши билан ўзгаради. Унинг қандай конун билан ўзгаришини график равишда тасвирлаш учун, янги тушунча киритамиз. Бирор  $x$  ўқига нисбатан инерция радиуси деб қуйидаги миқдорни айтамиз:

$$r_x = \sqrt{\frac{I_x}{F}}. \quad (64.1)$$

Демак, текис шаклнинг ҳар қандай ўққа нисбатан инерция моментини мазкур ўққа нисбатан ҳисобланган инерция радиуси орқали қуйидагича ифодалаш мумкин:

$$I_x = Fr_x^2, \quad I_y = Fr_y^2. \quad (64.2)$$

(64.2) ни кўзда тутиб, (63.6) формулаларнинг биринчисини қуйидагича ёзамиз:

$$r_x^2 = r_u^2 \cos^2 \beta + r_v^2 \sin^2 \beta. \quad (64.3)$$

Координаталар бошидан ўқлар бўйича, тегишли ўқларга нисбатан олинган инерция радиусларига тескари пропорционал бўлган  $\rho_u$ ,  $\rho_v$  ва  $\rho_x$  кесмаларни қўямиз.

$$\rho_u = \frac{m^2}{r_u}, \quad \rho_v = \frac{m^2}{r_v}, \quad \rho_x = \frac{m^2}{r_x}; \quad (64.4)$$

$m$  — ҳозирча ихтиёрий бўлган бирор кесма узунлиги (64.4) эътиборга олинса, (63.3) тенглама қуйидагича ёзилади:

$$\frac{1}{\rho_x^2} = \frac{\cos^2 \beta}{\rho_u^2} + \frac{\sin^2 \beta}{\rho_v^2}. \quad (64.5)$$

$\rho_x$  кесманинг учини  $M$  нуқта десак, унинг координаталари бундай бўлади:

$$u = \rho_x \cos \beta; \quad v = \rho_x \sin \beta.$$

Булардан  $\cos \beta$  ва  $\sin \beta$  ларни (64.5) га қўйсак,  $M$  нуқтанинг  $u$  ва  $v$  координаталари орасидаги муносабатни топган бўламиз:

$$\frac{u^2}{\rho_u^2} + \frac{v^2}{\rho_v^2} = 1. \quad (64.6)$$

Демак,  $\beta$  бурчакнинг ўзгариши натижасида  $\rho_x$  кесманинг учи ярим ўқлари  $\rho_u$  ва  $\rho_v$  кесмаларга тенг бўлган эллипсни чизар экан  $\rho_x$  ни аниқлашда  $m$  кесманинг узунлигини ихтиёрий тавлаган эдик; уни ўзгартириб, бир қанча эллипс олишимиз мумкин.  $m$  нинг узунлигини қуйидаги тенгламадан аниқласак, масала жуда қулай ҳолга келади:

$$m^2 = r_u r_v.$$

Бу ҳолда,

$$\rho_u = \frac{m^2}{r_u} = r_v; \quad \rho_v = \frac{m^2}{r_v} = r_u$$

бўлади ва (64.6) эллипс қуйидагича ёзилади:

$$\frac{u^2}{r_v^2} + \frac{v^2}{r_u^2} = 1. \quad (64.7)$$

Демак, эллипснинг ярим ўқлари  $r_v$  ва  $r_u$  бўлиб,  $u$  ўқи бўйича инерция радиуси  $r_v$  га тенг,  $v$  ўқи бўйича инерция радиуси  $r_u$  га тенг. Ана шу  $r_u$  ва  $r_v$  ярим ўқлар ёрдамида чизилган эллипс инерция эллипси дейилади (185-шакл).

Ҳар қандай текис шакл учун, унинг бош инерция ўқлари асосида инерция эллипси чизилган бўлса, бош инерция ўқиға ихтиёрий  $\beta$  бурчак остида қия бўлган ҳар қандай  $x$  ўқиға нисбатан инерция радиусини шу эллипс ёрдамида график усулда топиш мумкин. Бунинг учун инерция эллипсининг шу ўққа параллел бўлган уринмасини ўтказамиз; унинг уриниш нуқтаси  $D$  бўлсин (185-шакл). Мазкур  $D$  нуқтанинг уринмасини  $x'$  деб, инерция эллипси марказидан унга туширилган тик  $OC$  кесманинг узунлигини  $h$  деймиз. Ана шу кесма  $OC = h$  текис шаклнинг  $x$  ўқиға нисбатан инерция радиуси эканлигини исботлаймиз, яъни:

$$h^2 = r_u^2 = r_u^2 \cos^2 \beta + r_v^2 \sin^2 \beta$$

бўлишини кўрсатамиз.

Инерция эллипсининг бу хусусиятини исботлаш учун,  $D$  нуқтадан ўтказилган уринма ( $x'$ ) нинг нормал тенгламасини ёзамиз:

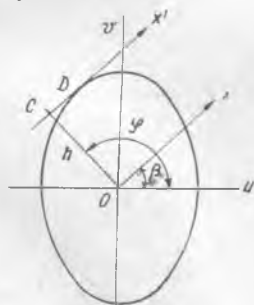
$$u \cos \varphi + v \sin \varphi - \rho = 0.$$

Биз текшираётган ҳолда:

$$\varphi = 90 + \beta; \quad \rho = h,$$

Шунинг учун:

$$-u \sin \beta + v \cos \beta = h \quad (64.8)$$



185-шакл.

Бу чизик  $D(u_0, v_0)$  нуқтадан ўтказилган уринма бўлгани учун, унинг тенгламасини эллипснинг тенгламасидан чиқаришимиз ҳам мумкин; у бундай кўринишда ёзилади:

$$\frac{uu_0}{r_v^2} + \frac{v \cdot v_0}{r_u^2} = 1 \quad (64.9)$$

Бу тенгламани юқоридаги тенглама билан солиштириб, қуйидаги муносабатни оламиз (коэффициентларнинг мутаносиблиги):

$$\frac{\frac{u_0}{r_v^2}}{-\sin \beta} = \frac{\frac{v_0}{r_u^2}}{\cos \beta} = \frac{1}{h}. \quad (64.10)$$

Бу тенгламаларни квадратга оширсак:

$$\frac{\frac{u_0^2}{r_v^2}}{r_v^2 \sin^2 \beta} = \frac{\frac{v_0^2}{r_u^2}}{r_u^2 \cos^2 \beta} = \frac{1}{h^2}$$

бўлади. Бундан ҳосиллави пропорция тузамиз:

$$\frac{\frac{u_0^2}{r_v^2} + \frac{v_0^2}{r_u^2}}{r_v^2 \sin^2 \beta + r_u^2 \cos^2 \beta} = \frac{1}{h^2}.$$

$u_0$  ва  $v_0$  инерция эллипснинг тенгламасини қаноатлантиради, шунинг учун:

$$\frac{u_0^2}{r_v^2} + \frac{v_0^2}{r_u^2} = 1$$

бўлади. Демак:

$$h^2 = r_v^2 \sin^2 \beta + r_u^2 \cos^2 \beta = r_x^2.$$

Бундан ташқари,  $CD = c$  кесманинг (185- шакл)  $Fh$  га кўпайтмаси текис шаклнинг  $xu$  координата ўқларига нисбатан марказдан қочувчи инерция моментини беради (бу ҳолни Л. Д. Проскуряков исботлаган).

Ҳақиқатан ҳам  $CD = c$  кесма  $D$  нуқтанинг  $xu$  координаталар системасига нисбатан абсциссадир; шунинг учун уни  $u_0$  ва  $v_0$  орқали (координаталарни алмаштириш формулаларидан фойдаланиб) қуйидагича ифодалашимиз мумкин:

$$c = x = u_0 \cos \beta + v_0 \sin \beta. \quad (64.11)$$

(64.10) тенгликдан  $u_0$  ва  $v_0$  ни аниқлаймиз:

$$u_0 = -\frac{r_v^2 \sin \beta}{h}, \quad v_0 = \frac{r_u^2 \cos \beta}{h}. \quad (64.12)$$

Буларни (64.11) га қўямиз:

$$\begin{aligned} c &= \frac{r_u^2 \cos \beta \sin \beta - r_v^2 \sin \beta \cos \beta}{h} = \frac{(r_u^2 - r_v^2) \sin 2\beta}{2h} = \frac{(r_u^2 - r_v^2) F \sin 2\beta}{2Fh} = \\ &= \frac{(I_u - I_v) \sin 2\beta}{6Fh}. \end{aligned}$$

Бундан:

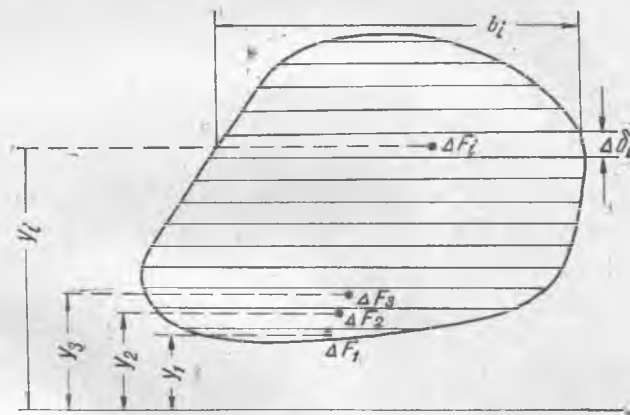
$$Fhc = \frac{I_u - I_v}{2} \sin 2\beta \quad (64.13)$$

келиб чиқади. Бу тенгликнинг ўнг томонини (63.6) нинг учинчи тенгламаси билан солиштириб, қуйидаги хулосани оламиз:

$$I_{xy} = Fhc. \quad (64.14)$$

#### 65-§. Текис юзаларнинг инерция моментларини тақрибий усулда ҳисоблаш

Текис шакл мураккаб эгри чизиқли ёки бошқа мураккаб қисмлардан тузилган бўлса, унинг инерция моментларини юқорида кўрсатилган усуллар билан ҳисоблаш анча қийин бўлади. Бундай ҳолларда инерция моментларини етарли даражада аниқ бўлган тақрибий усуллар билан ҳисоблаш қулайдир. Масалан, 186-шаклда тасвирланган текис шаклнинг инерция



186- шакл.

моментини  $x$  ўқиға нисбатан ҳисоблаш зарур бўлсин. Текис шаклни  $x$  ўқиға параллел бўлган бир қанча ингичка полосаларға ажратиб, улардан бирортасининг, масалан,  $i$ -сининг узунлигини  $b_i$ , энини  $\Delta\delta_i$ , юзини  $\Delta F_i$  ва оғирлик марказидан  $x$  ўқиғача бўлган масофасини  $y_i$  билан белгилаймиз. Полосаларнинг эгри чизиқли томонларини тегишли тўғри чизиқлар билан алмаштирсак, тўғри тўрт бурчакли юзачаларни оламиз. Масалан,  $i$ -тўғри тўрт бурчакнинг  $x$  ўқиға нисбатан инерция momenti қуйидагича ёзилади:

$$J_x^{(i)} = \frac{(\Delta\delta_i)^3 b_i}{12} + \Delta F_i y_i^2. \quad (65.1)$$

Барча полосалар учун шу тарздаги ифодаларни тузиб, уларнинг йигиндисини олсак, мураккаб текис шаклнинг ўқиға нисбатан инерция моментини аниқлаган бўламиз:

$$I_x = \sum_{i=1}^n \left\{ \frac{(\Delta\delta_i)^3 b_i}{12} + \Delta F_i y_i^2 \right\}$$

ёки

$$I_x = \sum_{i=1}^n \Delta F_i y_i^2 + \sum_{i=1}^n \frac{(\Delta\delta_i)^3 b_i}{12}. \quad (65.2)$$

Полосаларнинг эни  $\Delta\delta_i$  ни нолга интилтириб лимит олсак, иккинчи йиғиндининг ҳадлари учинчи тартибли кичик сон бўлгани учун, лимитда нолга айланади, биринчи йиғинди эса лимитда текис шаклнинг  $x$  ўқига нисбатан инерция моментини ифодаловчи интегрални беради, яъни:

$$I_x = \lim_{n \rightarrow \infty} \sum_{i=1}^n \Delta F_i Y_i^2 = \int y^2 dF \quad (65.3)$$

бўлади. Шунинг учун текис шаклнинг бирор ўққа нисбатан инерция моментини тақрибий формула (65.2) нинг ўнг томонидаги биринчи қисми билан алмаштириш, яъни:

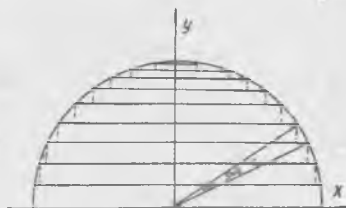
$$I_x = \sum_{i=1}^n \Delta F_i Y_i^2 \quad (65.4)$$

тарзида ёзиш мумкин. Бу тақрибий формуланинг аниқлик даражасини би-  
лиш учун қуйидаги мисолни оламиз.

Радиуси  $a$  бўлган ярим доиранинг инерция моментини диаметри орқали ўтувчи ўққа нисбатан аниқ ва тақрибий формулалар билан ҳисоблаб, натижаларини солиштирамиз (187- шакл).

Аниқ формула бўйича ярим доира юзасининг диаметрга нисбатан инерция momenti қуйидагича ифодаланади:

$$I_x = \int_F y^2 dF, \quad dF = \int_F \rho d\rho d\varphi, \quad y = \rho \sin \varphi.$$



187- шакл.

Булар кўзда тутилса:

$$I_x = \int_0^{\pi} \int_0^a \rho^3 \sin^2 \varphi d\varphi d\rho = \frac{\pi a^4}{8} = 0,39a^4 \text{ см}^4$$

бўлади.

Тақрибий формулани татбиқ қилиш учун ярим доирани вертикал диаметри бўйлаб ўнта полосага ажратамиз. Ҳар бир полосани тўғри тўртбурчак деб қараймиз. У ҳолда полосаларнинг эни  $\delta = \frac{a}{10}$  га тенг бўлиб,  $k$ -полосанинг узунлиги:

$$b_k = 2a \sin 9k^\circ$$

бўлади ( $k = 1, 2, \dots, 10$ ).

Мазкур  $k$ -полосанинг оғирлик марказидан инерция ўқи ( $x$ ) гача бўлган масофа  $y_k = a \cos 9k^\circ$ . Булар кўзда тутилса, (65.4) формула биз текшираётган ҳол учун қуйидагича ёзилади:

$$I_x = \sum_{k=1}^{10} \delta b_k y_k^2 = \sum_{k=1}^{10} \frac{a}{10} \cdot 2a \sin 9k^\circ a^3 \cos^2 9k^\circ,$$

$$k = 10 \text{ бўлганда } \cos 90^\circ = 0$$

бўлгани учун, йиғиндини  $k = 1 - 9$  гача олиб,  $k = 10$  қўшилувчини алоҳида ҳисоблаймиз.

Энг катта полоса (яъни  $k = 10$ ) учун  $b = 2a$ ,  $\delta = \frac{a}{10}$ ,  $y = \frac{a}{20}$  бўлади; шунингдек,  $k = 1$  бўлган энг кичик полоса учун баландлиги  $\delta = \frac{a}{10}$  га,

асоси  $a = 2a \sin 9^\circ$  бўлган учбурчакни олиб, унинг учун  $y$  ни  $a$  деб олишимиз мумкин. Булар кўзда тутилса, юқоридаги йиғинди қуйидагича ёзилади:

$$I_x = \frac{a^4}{10} \sum_{k=2}^9 2 \sin 9k^\circ \cos 9k^\circ + 2a \frac{a}{10} \left(\frac{a}{20}\right)^2 + \frac{1}{2} \frac{a}{10} 2a \sin 9^\circ a^2$$

ёки:

$$I_x = \frac{a^4}{10} \{ 0,157 \cdot 0,99^2 + 0,309 \cdot 0,95^2 + 0,454 \cdot 0,89^2 + 0,59 \cdot 0,81^2 + \\ + 0,71 \cdot 0,71^2 + 0,81 \cdot 0,59^2 + 0,89 \cdot 0,25^2 = 0,99 \cdot 0,857^2 + \frac{1}{200} + \\ + 0,157 \} = 0,3829a^4 \text{ см}^4.$$

Бу натижани олдинги аниқ формулани татбиқ қилиб чиқарилган натижа билан солиштирсак, фарқи % ҳисобида:

$$\frac{0,39a^4 - 0,383a^4}{0,39a^4} \cdot 100\% \cong 1,8\%$$

ни ташкил этади. Қўраимизки, юзани 10 та булакка бўлганимизда натижа етарли даражада аниқ чиқаётир.

□

## X БОБ

### КўНДАЛАНГ ЭГИЛИШ

#### 66-§. Эгилишга оид тушунчалар

Тўғри ўқли призматик стержень, ўкига тик йўналган кучлар ёки стерженнинг геометрик ўқи орқали ўтувчи текисликда ётадиган жуфт кучлар таъсиридан эгилади. Эгилиш деформацияси ўзаро параллел кўндаланг кесимларнинг бир-бирига нисбатан оғиши ва нукталарнинг вертикал қўчиши натижасида тўғри чизикли геометрик ўқнинг эгри чизикқа айланиши билан характерланади. Эгилишга қаршилик кўрсатувчи стерженлар *балка* деб аталади. Эгилувчи балкаларнинг кўндаланг кесимларида ҳосил бўладиган зўриқишларни аниқлаш масаласини ҳам кесиш усули ёрдамида ечамиз.

Эгилиш назариясида балканинг турли кўндаланг кесимларида ҳосил бўладиган зўриқишларни топиш, эгилган ўқнинг шаклини тасвирловчи эгри чизикни аниқлаш масалалари текширилади.

Балкага қўйилган юклар унинг симметрия текислигида ётса, эгилиш ҳам мазкур симметрия текислигида бўлиб, бундай эгилиш, *текис эгилиш* деб аталади. Бу ҳолда эгилган ўқ ўша симметрия текислигида ётадиган текис эгри чизик бўлади. Кўпинча, амалда ишлатиладиган балкалар кўндаланг кесимининг камида битта симметрия ўқи бўлгани учун, текис эгилиш энг кўп учратиладиган ҳолдир. Текис эгилишдаги балкаларнинг мустаҳкамлигини ҳисоблаш ва уларнинг деформацияларини аниқлаш учун, энг аввал, уларга қўйилган барча кучларни аниқлаш лозим. Балкага бевосита қўйилган юклардан ташқари, таянчларнинг реакциялари ҳам балкага таъсир қилувчи ташқи кучлар қаторига киради. Шунинг учун балкаларнинг ҳисобини чиқариш таянчларнинг реакцияларини аниқлашдан бошланади.

### 67-§. Таянчларнинг хиллари ва реакциялари

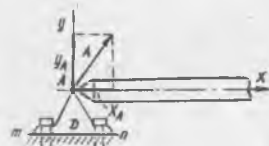
Таянчларнинг хиллари билан таништиришдан олдин, қуйидаги муҳим мулоҳазани эслатиб ўтамиз. Балкаларда ҳосил бўладиган эгилишлар етарли даражада кичик бўлгани учун мувозанат тенгламаларини тузишда, уларни абсолют қаттиқ деб қараш мумкин, яъни балкаларнинг деформацияси уларга қўйилган кучларнинг бир-бирига нисбатан жойлашувига ҳеч қандай таъсир кўрсатмайди, деб фараз қиламиз. Бу фикрнинг қатъийлиги ҳақида тегишли мулоҳазаларни китобнинг биринчи бобида берган эдик.

Энди, таянчларнинг реакцияларини ҳисоблашга ўтамиз. Бунинг учун таянчларнинг тузилиши билан танишиб чиқамиз. Улар қуйидаги уч типдан иборатдир:

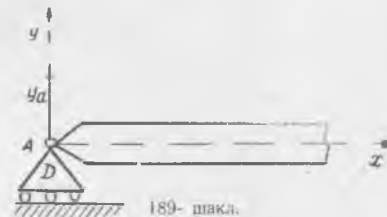
1. Цилиндрик шарнирли қўзғалмас таянч.
2. Цилиндрик шарнирли қўзғалувчи таянч.
3. Қисилиб тиралган таянч.

#### Цилиндрик шарнирли қўзғалмас таянч

Таянч текислиги  $m-n$  га бириктирилган катта таянч ёстиғи ( $D$ ) га балканинг учи цилиндрик шарнир воситаси билан туташтирилади (188-шакл). Таянч реакцияси ( $A$ ) шарнир маркази орқали ўтгани учун, қўйилган нуктаси маълумдир. Миқдори ва йўналиши унинг  $Ox$  ва  $Oy$  ўқлардаги проекциялари  $X_A$  ва  $Y_A$  орқали аниқланади.



188-шакл.



189-шакл.

Балканинг учи таянчга бу тарзда бириктирилганда, у горизонтал ва вертикал йўналишда кўча олмай, фақат шарнир ўқи атрофида эркин айлана олади.

#### Цилиндрик шарнирли қўзғалувчи таянч

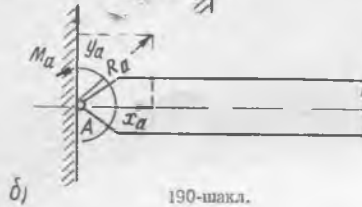
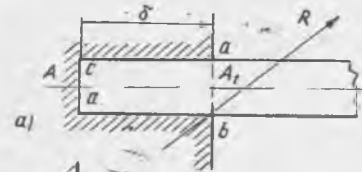
Бу типдаги таянч юқорида айтилган таянчдан шу билан фарқ қиладики, бу таянч ёстиғи ( $D$ ) цилиндрик ғалтакка ўрнатилиб (189-шакл), бунинг натижасида балканинг учи шарнир ўқи атрофида айланиш имкониятига эга бўлиш билан бирга, таянч текислиги  $m-n$  га параллел кўчиш имкониятига ҳам эга бўлади. Ғалтак билан таянч текислиги орасида ҳосил бўладиган ишқаланиш эътиборга олинмаса, таянч горизонтал кўчишга қаршилик кўрсата олмайди, шунинг учун реакциянинг горизонтал тузувчиси  $X_A = 0$  бўлади.

Демак, бу ҳолда таянч реакцияси таянч текислигига тик йўналишда бўлиб, унинг миқдоригина номаълумдир.

#### Қисилиб тиралган таянч

Бундай таянч балканинг қисилган учининг ҳеч қандай кўчишига йўл қўймайди. Бу ҳолда балканинг учидан бир қисми, масалан  $AA_1 = \delta$  қисми таянчга бириктирилган ҳолда қисилиб тиралади (190-шакл,  $a$ ). Балканинг қистирилган қисми  $ac$ ,  $cd$ ,  $db$  юзаларидаги реактив босимлар қисилган кесим марказига қўйилган бир бош вектор  $R_A$  билан балканинг эгилиш текислигига ётувчи бир бош момент  $M_A$  га келтирилади.

$R_A$  балканинг маҳкамланган учининг вертикал ва горизонтал йўналишлардаги кўчишига қаршилиқ кўрсатса,  $M_A$  балка учининг эркин айланишига қаршилиқ кўрсатади; шунинг учун  $M_A$  реактив момент деб аталади.



190-шакл.

Қисилиб тиралган таянчни қўзғалмас шарнирли таянч билан алмаштирадик, шарнир ўқи атрофидаги айланишни йўқотиш учун балканинг учига реактив момент қўйишимиз керак (190-шакл, в). Бу реактив момент балкага қўйилган барча кучларнинг шарнир ўқида нисбатан олинган моментлари йиғиндисига сон жиҳатидан тенг, йўналиши эса тескари бўлиши керак.

Демак, қисилиб тиралган балка учун реакциялар сони учта ( $X_A$ ,  $Y_A$  ва  $M_A$ ) бўлади.

Балка кўрсатилган типдаги таянчлардан бир нечтасига таяниб туриши мумкин. Масалан, 191-шаклда кўрсатилган балканинг чап учи қўзғалмас

шарнирли таянчга, ўнг учи эса қўзғалувчи шарнирли таянчга тиралган. Шунингдек, 192-шаклда кўрсатилган балканинг чап учи қисилиб тиралган ҳолда, ўнг учи эркиндир. Бир учи билан қисилиб тиралган ва бошқа учи эркин бўлган балка ва икки таянчли балканинг таянчдан чиқиб турган қисми (BC) (193-шакл) консол дейилади. Биз келтирилган бу схемаларда фақат таянчларнинг конструкцияларига оид ва қўйилган юклар таъсиридан ҳосил бўладиган реакцияларнигина тасвирлаб, балкага қўйиладиган юкларни кўрсатмадик. Реакцияларни аниқлаш учун балканинг мувозанатини текширадик. Балка қўйилган юклар ва таянч реакциялари таъсирида мувозанатда туради. Бу кучларнинг ҳаммаси бир текисликда ётгани учун, мувозанат тенгламалари учта бўлади. Шунинг учун, статиканинг тенгламаларидан фақат учта номаълум реакцияни аниқлаш мумкин. Таянч реакцияларининг сони учтадан ортиқ бўлмаган балкалар статик аниқ балкалар дейилади.

Таянч реакцияларининг сони учтадан ортиқ балкалар статик аниқмас бўлиб, бундай балкаларнинг ҳисобига махсус боб бағишлаймиз.

Балка таянчларининг ҳақиқий тузилиши биз келтирган схемаларга мос келмайди. Шунинг учун балкаларни ҳисоблашдан аввал, уларнинг таянчларининг 191, 192, 193-шаклларда келтирилган схемалардан бирортасига мослаш лозим. Тажрибада фақат катта ораликларга ўрнатиладиган бақувват



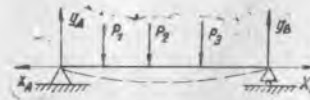
191-шакл.



192-шакл.



193-шакл.



194-шакл.

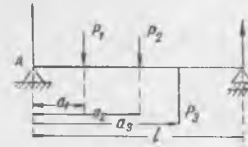
балкалардагина бир учининг қўзғалишига имкон туғдириш учун тегишли тадбирлар кўрилади. Кўпинча, балкаларнинг учи қўзғалмас таянчларга тиралади. Бу тарзда тиралганда балканинг учи таянч маркази атрофида айланиш имкониятига эга бўлгани учун, у 194-шаклда тасвирланган схемага мос келади.

Бу схемадаги балкага фақат вертикал йўналишдаги кучлар таъсир қилса ҳам,  $У_A$  ва  $У_B$  реакциялардан ташқари, горизонтал йўналишдаги  $X_A$  ва  $X_B$  реакциялар ҳам ҳосил бўлади. Бу реакциялар балка эгилганда учларининг яқинлашишига имкон бермай, қўшимча чўзувчи кучланишлар ҳосил қилади. Бу реакцияларни статика тенгламаси  $\Sigma X = 0$  дан аниқлаб бўлмайди. Бу тенглама  $X_A$  нинг  $X_B$  га тенг ва ўзаро қарама-қарши йўналишда эканлигини кўрсатади холос.

Масалага қатъий қаралганда, бу схемадаги балка статик аниқмас ҳолдир. Аммо масалани амалий жиҳатдан осонлаштириш учун горизонтал реакциялар эътиборга олинмайди. Бундай тадбир эгилиши кичик бўлган балкалар учун катта хатоларга олиб бормади.

### 68- §. Таянч реакцияларини аниқлаш

Турли юклар таъсиридаги статик аниқ балкалар учун таянч реакцияларини аниқлаш йўлини кўрсатамиз. Икки учи билан қўзғалувчи ва қўзғалмас шарнирли таянчларга тиралган балка тўпланган  $P_1, P_2, P_3$  кучлар таъсирида бўлсин (195-шакл). Мазкур балканинг таянч реакцияларини аниқлаймиз. Балканинг чап таянч реакциясини  $A$  ва ўнг таянч реакциясини  $B$  ҳарфлари билан белгилаймиз. Балкага қўйилган ҳамма кучларнинг иккала таянч шарниррига нисбатан олинган моментлари йиғиндиларини нолга тенглаштириб, қўйидаги иккита тенгламани ҳосил қиламиз:



195- шакл.

$$\sum_{i=1}^n M_B(P) = +Al - P_1(l - a_1) - P_2(l - a_2) + P_3(l - a_3) = 0,$$

$$\sum_{i=1}^n M_A(P) = -B \cdot l + P_1 a_1 + P_2 a_2 - P_3 a_3 = 0.$$

Балкага қўйилган актив кучлар моментларининг йиғиндиларини тегишлича  $\Sigma M_A$  ва  $\Sigma M_B$  десак, юқоридаги мувозанат тенгламалари қўйидагича ёзилади:

$$Al + \Sigma M_B = 0, \quad -Bl + \Sigma M_A = 0.$$

Бу тенгламалардан:

$$\left. \begin{aligned} A &= -\frac{\Sigma M_B}{l}, \\ B &= \frac{\Sigma M_A}{l}. \end{aligned} \right\} \quad (68.1)$$

Чиқарилган бу формулаларда иккала реакцияни юқорига йўналтириб, бу йўналишни мусбат деб қабул қилдик. (68.1) формулалардан фойдаланиб, тўпланган юклар учунгина эмас, балки ҳар қандай қўринишдаги юклар учун ҳам таянч реакцияларини аниқлашимиз мумкин.

Ўйилган юклар таъсиридаги балкаларнинг таянч реакцияларини аниқлашга ўтамиз. Қўпинча, балкага ўйилган юк қўйилади. Балканинг хусусий оғирлиги ўйилган юк учун мисол бўла олади; балка бўйича тўкилган чочилувчи (қум, тупроқ, шағал каби) юк ҳам ўйилган юкдир. Балка бўйича ўйилган юк тенг тарқалган бўлса, юкнинг умумий оғирлиги ( $P$ ) ни балка узунлиги ( $l$ ) га бўлиб, унинг узунлик бирлигидаги қиймати ( $q$ ) ни аниқлаш мумкин, яъни  $q = \frac{P}{l}$ ;  $q$  ўйилган юкнинг интенсивлиги дейилади. У  $\frac{\text{кг}}{\text{см}}$  ёки  $\frac{\text{т}}{\text{м}}$  ҳисобида ўлчанади (196- шакл).

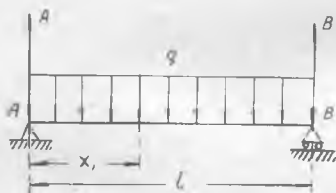
Ўйилган юк тенг тарқалмаган бўлса, унинг интенсивлиги ўзгаришчи бўлиб, унинг балка бўйича ўзгариш қонуни берилган бўлиши, яъни

$$q = q(x)$$

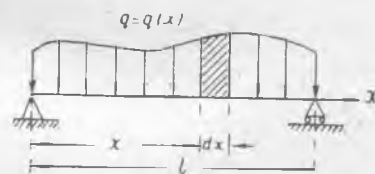
функция олдиндан маълум бўлиши керак (197-шакл). Бу тенглама билан тасвирланган график ўйилган юк эпюраси дейилади. Эпюранинг юзи эса юк юзи дейилади.

Тенг ўйилган юк учун, унинг интенсивлиги балканинг барча нуқталари учун бир хилда бўлиб, юк эпюраси тўғри тўртбурчак шаклида бўлади. Юк эпюраси берилган бўлса, балкага қўйилган юкнинг ҳаммасини ёки бир қисмини топиш мумкин. Масалан, тенг ўйилган юк учун балканинг чап учидан  $x_1$  ораликдаги қисмига таъсир этувчи юкнинг қиймати бўлади

$$P_1 = qx_1$$



196- шакл.



197- шакл.

(196-шакл). Юк тенг тарқалмаган бўлса, ундан оирор  $dx$  ораликдаги элементар юза ажратиб, бу юзадаги юкни  $dP$  билан белгиласак, у 197-шаклда штрихланган юзага тенг бўлади:

$$dP = qdx.$$

Балка бўйича таъсир қилувчи  $P$  юкни аниқлаш учун юқоридаги ифодани интеграллаймиз:

$$P = \int_0^l q(x)dx;$$

$q = q(x)$  берилган бўлса, балкага таъсир этувчи  $P$  кучни ҳисоблаш қийин эмас. Ўйилган юк таъсиридаги балканинг таянч реакцияларини топишда ҳам (68.1) формулалардан фойдаланамиз. Бунинг учун ўйилган юкнинг таянч шарнирларига нисбатан моментлари йиғиндисини ҳисоблаш лозим. Тенг тарқалган юк учун бу масала жуда осон ечилади. Ўйилган юк текис тарқалмаган бўлса  $\Sigma M_A$  ёки  $\Sigma M_B$  ни ҳисоблаш учун куч эпюраси юзасидан элементар юза ажратиб (197-шакл), мазкур юза билан ифодаланган куч  $dP = q dx$  нинг моментини ҳисоблаш зарур.

Бу кучнинг чап таянч шарнирига нисбатан momenti  $x dP = x q dx$  бўлади. Бу тарзда ҳисобланган элементар моментлар йиғиндиси бутун балка бўйича таъсир этувчи ёйилган юкнинг чап таянч шарнирига нисбатан олинган моментига тенг, яъни:

$$\Sigma M_A = \int_0^l q x dx \quad (68.2)$$

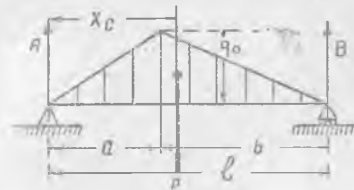
бўлади. Бу ифодадан фойдаланиб, (68.1) га мувофиқ ўнг таянч реакцияси-ни аниқлаймиз:

$$B = \frac{\int_0^l q x dx}{l} \quad (68.3)$$

Чап таянч реакцияси ( $A$ ) ни балкага таъсир қилувчи кучлар йиғиндиси нолга тенг бўлиши шартидан аниқласа ҳам бўлади:  $A + B - P = 0$

$$\text{Бундан: } A = P - B = \int_0^l q(x) dx - \frac{1}{l} \int_0^l q(x) x dx.$$

Ёйилган юк эпюраси оддий геометрик шаклда, масалан, учбурчак ёки тўртбурчак шаклида бўлса, уларнинг юзлари ва оғирлик марказлари жуда осон ҳисобланади. Бундай вазиятларда интеграл ҳисобини татбиқ этишнинг ҳожиати йўқ. Масалан, ёйилган юк эпюраси учбурчак билан тасвирланган ҳолда учлари билан шарнирли таянчларга тиралган балканинг таянч реакцияларини ҳисоблаймиз (198-шакл). Ёйилган юкнинг энг катта интенсивлиги балканинг чап учидан  $a$  масофада бўлиб, қиймати  $q_0$  га тенг.



198-шакл.

Ёйилган юкнинг тенг таъсир қилувчиси  $P = \frac{q_0 l}{2}$  бўлади.

Бу куч қўйилган нукта учбурчак юзининг оғирлик маркази бўлгани учун, уни қуйидаги формуладан топамиз:

$$x_c = \frac{S_y}{F}.$$

$S_y$  — учбурчак юзининг  $y$  ўқига нисбатан статик momenti,  $F$  — учбурчакнинг юзи.  $S_y$  ни ҳисоблаш учун учбурчакни асослари  $a$  ва  $b$ , баландлиги  $q_0$  бўлган иккита учбурчакка ажратамиз, у ҳолда:

$$S_y = \frac{q_0 a}{2} \cdot \frac{2}{3} a + \frac{q_0 b}{2} \cdot \left(a + \frac{b}{3}\right) = \frac{q_0 l(l+a)}{6}; \quad F = \frac{q_0 l}{2}.$$

Шунинг учун:

$$x_c = \frac{S_y}{F} = \frac{l+a}{3}.$$

$P$  кучнинг қўйилган нуктаси маълум бўлгани учун  $\Sigma M_B$  ёки  $\Sigma M_A$  ни аниқлаш қийин эмас:

$$\Sigma M_A = P x_c = \frac{q_0 l}{2} \cdot \frac{l+a}{3} = \frac{q_0 l}{6} (l+a),$$

$$B = \frac{\Sigma M_A}{l} = \frac{q_0 l(l+a)}{6}.$$

Чап реакция  $A + B = P$  тенгламадан аниқланади, у:

$$A = \frac{q_0(2l - a)}{b} = \frac{q_0(l + b)}{b}$$

булади

### 69-§. Балкаларда ҳосил бўладиган кучланишларнинг характери. Эгувчи момент ва кўндаланг куч

Таянч конструкциясини танлаш ва таянч реакцияларини ҳисоблаш билан балкага қўйилган ташқи юкларни аниқлаш яқунланади.

Энди, балканинг турли кесимларида ҳосил бўладиган кучланишларни аниқлаш масаласига ўтамиз.

Бунинг учун икки учи билан шарнирли таянчларга тиралган ва  $P_1$  ҳамда  $P_2$  кучлар таъсирида бўлган балкани оламиз (199-шакл).

Таянч реакциялари  $A$  ва  $B$  (68.1) дан аниқланади. Демак, биз текшираётган балка қўйилган  $P_1$  ва  $P_2$  юклар,  $A$  ва  $B$  таянч реакциялари таъсирида мувозанатда туради.

Балканинг турли кесимларида ҳосил бўладиган кучланишларни ҳисоблашдан олдин, унинг кўндаланг кесимларида ҳосил бўладиган зўриқишларни аниқлаймиз. Бунинг учун балканинг чап таянчидан  $x$  масофадаги  $mn$  кесимни оламиз (199-шакл). Мазкур  $mn$  кесимдаги зўриқишларни ҳисоблаш учун, балканинг бир қисмини (масалан, ўнг қисмини) ташлаб, қолган чап қисмининг мувозанатда бўлиши учун кесим юзаси бўйича ташлаб юборилган қисмининг таъсирини алмаштирувчи зўриқишларни қўямиз.

Кўндаланг кесимнинг ҳар бир нуқтасига, умумий ҳолда, нормал кучланиш ( $\sigma$ ) ва уринма кучланиш ( $\tau$ ) таъсир қилади (200-шакл.) Кесим бўйича ёйилган бу кучланишлар балканинг текширилаётган қисмига қўйилган ташқи кучлар ( $A$  ва  $P_1$ ) билан мувозанатлашади. Демак, ташқи  $A$  ва  $P_1$  кучлар билан кесим бўйича ёйилган кучланишлар узаро мувозанатлашган фазовий кучлар системасини ташкил қилади.

Мазкур кучлар системаси учун тузилган олти та статика тенгласидан  $\sigma$  ва  $\tau$  кучланишларни аниқлаш мумкин. Аммо турли кўндаланг кесимлар учун, яъни  $x$  нинг ҳар хил қийматлари учун бу тарздаги мувозанат тенгламаларини такрорлашга тўғри келади. Чунки, текширилаётган қисмга қўйилган ташқи кучлар, умуман, турли кесимлар учун турлича бўлади. Масалан,  $rl$  кесимни олсак, унинг чап қисмига  $A$  реакциядан ташқари,  $P_1$  ва  $P_2$  кучлар таъсир қилади (199-шакл).

Ҳар бир кўндаланг кесим учун  $\sigma$  ва  $\tau$  кучланишларни статика тенгламаларидан аниқлаш жуда ноқулайдир. Балканинг ҳар қандай кўндаланг кесимида ҳосил бўладиган  $\sigma$  ва  $\tau$  кучланишлар аниқланадиган умумий формулаларни чиқариш учун, текширилаётган қисмга таъсир этувчи ташқи кучларни маълум бир стандарт кўринишга келтириш лозим. Энг қу-



199-шакл.



200-шакл.

лайи, текшириладиган қисмга қўйилган кучларни уларга статик эквивалент бўлган бир бош вектор ва бир бош момент билан алмаштиришдир. Бунинг учун текшириладиган қисмга таъсир қилувчи кучларни маълум бир нуқтага келтириш лозим. Келтириш марказини кесилган кўндаланг кесим марказида олиш қулайдир. Биз текшириладиган ҳолда кучлар параллел ва бир текисликда ётувчи бўлгани учун, уларни келтириш марказига кўчирганимизда, куч текислигида ётувчи бир жуфт куч билан вертикал йўналишдаги бир кучни оламиз. Масалан,  $A$  реакция билан  $P_1$  юқни кўндаланг кесимнинг маркази ( $O$ ) га келтириш учун, мазкур  $O$  нуқтага ноль системалар ( $A' A''$ ) ва ( $P_1' P_1''$ ) ни қўямиз, уларни тегишлича  $A' = A'' = A$  ва  $P_1' = P_1'' = P_1$  қилиб танлаймиз. У ҳолда  $AA'$  ва  $P_1P_1'$  жуфт ҳосил бўлиб, улар моментларининг йиғиндисини  $M$  десак,

$$M = Ax - P_1(x - a_1)$$

бўлади.

$O$  нуқтадаги кучларнинг йиғиндисини  $Q$  десак,  $Q = A - P_1$  бўлади. Шундай қилиб, балканинг қирқилган кесимидан чап қисмига қўйилган  $A$  ва  $P_1$  кучларнинг ўрнига, қирқилган кесимнинг марказига қўйилган  $Q$  куч билан momenti  $M$  га тенг бўлган жуфт кучни олдик.

Балканинг текшириладиган қисмига қўйилган жуфт куч танланган кесимдаги *эгувчи момент* деб аталади. Эгувчи момент балканинг текшириладиган кесимидач бир томондаги қисмига қўйилган ташқи кучларнинг мазкур кесим марказига нисбатан олинган моментларининг йиғиндисига тенг.

$Q$  куч балканинг текшириладиган қисмини ташлаб юборилган кесимига нисбатан силжитишга интилгани учун, у мазкур кесимдаги *кўндаланг* ёки *кесиб ётувчи* куч деб аталади.

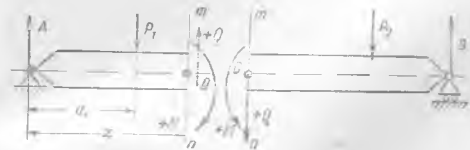
Кўндаланг  $Q$  куч балканинг текшириладиган қисмига қўйилган барча ташқи кучларнинг балка ўқига тик йўналишдаги ўқда туширилган проекцияларининг йиғиндисига тенг.

Қўрамизки,  $Q$  ва  $M$  бирликда балканинг текшириладиган қисмига қўйилган кучлар системасини алмаштириш билан бирга, ташлаб юборилган қисм томонидан қирқилган кесим бўйича кўрсатиладиган таъсир билан мувозанатланиши.

Келтирилган мисолда эгувчи момент ( $M$ ) билан кесиб утувчи куч ( $Q$ ) ни балканинг чап қисми учун ҳисобладик. Аммо, баъзан балканинг ўнг қисмини ташлаб юбориб чап қисмини текшириш қулайроқ бўлади.

Балканинг чап ва ўнг қисмлари учун  $M$  ва  $Q$  лар орасидаги муносабатни текширамиз. 201- шаклда:

балканинг  $mn$  кесимидан чап томондаги қисмига  $A$  ва  $P_1$  ташқи кучлар қўйилган бўлиб, ўнг қисмига эса  $P_2$  ва  $B$  кучлар қўйилган. Балка бутунлай мувозанатда бўлгани учун  $A$  ва  $P_1$  кучлар системаси  $P_2$  ва  $B$  кучлар системаси билан мувозанатланиши.  $A, P_1$  кучлар системаси қирқилган кесимнинг маркази ( $O$ ) га қўйилиб, юқорига қараб йўналган  $Q$  куч ва соат стрелкаси айланадиган томонга қараб йўналган  $M$  жуфт куч билан алмаштирилган. Шунинг учун балканинг ўнг қисмига қўйилган  $P_2$  ва  $B$  кучлар системаси қирқилган кесимнинг марказига келтирилганда,  $O$  нуқтага қўйилиб, пастга қараб йўналган  $Q$  куч билан соат стрелкаси айланадиган томонига тесқари йўналишдаги  $M$  моментга тенг жуфт кучга эквивалент

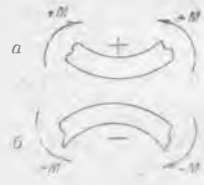


201- шакл.

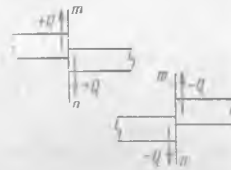
бўлади (201-шакл.) Демак, балканинг ўнг қисми текширилса,  $M$  ва  $Q$  учун чап қисми текширилганда олинган миқдорларни оламиз; ўнг қисми учун бу миқдорларнинг ишораси тескари бўлади.

Эгувчи момент билан кесиб ўтувчи куч ифодаси балканинг чап ва ўнг қисмларини танлашдан қатъи назар бир хилда қийматга эга бўлиши билан бирга, ишораси ҳам бир хилда бўлсин учун қуйидаги қондани қабул қиламиз:

Балканинг чап томони учун эгувчи момент ( $M$ ) соат стрелкаси айланган томон йўналиб, кесиб ўтувчи  $Q$  куч юқорига йўналган, ўнг қисми учун эса  $M$  соат стрелкаси айланишига тескари йўналиб,  $Q$  пастга қараб йўналган бўлса, бу миқдорлар мусбат ҳисобланади. Бу қондага мувофиқ  $M$  ва  $Q$  нинг йўналиши 201-шаклда тасвирланган. Ишоралар бу тарзда танланса, балканинг ўнг ёки чап қисмини текширишдан қатъи назар  $M$  ва  $Q$  учун бир хилда қийматлар оламиз.  $M$  ва  $Q$  нинг ишорасини балканинг ташқи юклар таъсиридан оладиган деформацияси билан боғлаш ҳам мумкин. Бал-



202-шакл.



203-шакл.

канинг  $m$  кесимида эгувчи момент мусбат бўлса, балка бу кесимда юқорига қараб эгилади, яъни эгилган ўқининг ботиғи бу нуқтада юқорига қараган бўлади (202-шакл, а) агар эгувчи момент манфий бўлса, эгилган ўқининг ботиғи пастга қараган бўлади (202-шакл, б).

Бирор кўндаланг кесимда  $M$  нолга айланса, эгилган ўқининг бу нуқтадаги эрилиги ўз йўналишини ўзгартиради, яъни бу кесимда балка ўқининг бурилиш нуқтаси бўлади.

203-шаклда мусбат ва манфий кўндаланг кучлар таъсиридан ҳосил бўладиган деформациялар тасвирланган.

Энди,  $\sigma$  ва  $\tau$  кучланишларни  $M$  ва  $Q$  орқали ифодалаш масаласига ўтшимиз мумкин. Кесилган кўндаланг кесим бўйича ташлаб юборилган қисмининг таъсирини алмаштирувчи  $\sigma$  ва  $\tau$  кучланишлар  $M$  ва  $Q$  кучлар системасини мувозанатлаштириши керак. Нормал кучланишларнинг кесим бўйича кўрсатдиган таъсири  $Q$  ни мувозанатлай олмайди, чунки улар  $Q$  га тик йўналган. Аммо нормал кучланишлар жуфт куч ҳосил қилиб, эгувчи момент ( $M$ ) ни мувозанатлаши мумкин, чунки бу кучланишлар эгувчи момент ётган симметрия текислигига параллелдир. Демак, нормал кучланиш ( $\sigma$ ) фақат эгувчи моментга боғлиқ бўлади. Шуниси ҳам борки, тангенциал кучланиш ( $\tau$ ) кўндаланг кесим юзасида ётиши муносабати билан, унга тик текисликда ётувчи жуфт куч  $M$  ни мувозанатлай олмайди.

$Q$  куч кўндаланг кесим юзасида ётгани учун уни тангенциал кучланишлар мувозанатлаши мумкин.

Бинобарин, бундай хулосага келамиз: кесим юзаси бўйича таъсир қилаётган тангенциал кучланишлар йиғиндиси фақат  $Q$  куч билан мувозанатлашиб, у сон жиҳатидан  $Q$  га тенг, йўналиши эса қарама-қарши бўлади.

Демак:

$$\sigma = \sigma(M), \quad (69.1)$$

$$\tau = \tau(Q), \quad (69.2)$$

Бу формулаларни бирорта кесим учун чиқарсак, улар қолган барча кесимлар учун ҳам ярайди, фақат турли кесимлар учун  $M$  ва  $Q$  нинг қийматининг аниқлаш зарур, холос

$M$  ва  $Q$  қанча катта бўлса,  $\sigma$  ва  $\tau$  кучланишлар ҳам шунча катта бўлади. Балканинг мустаҳкамлигини текшириш учун бу кучланишларнинг энг катта қийматларини аниқлашимиз лозим. Албатта, қайси кесимда  $M$  ва  $Q$  энг катта қийматга эришса, шу кесимда  $\sigma$  ва  $\tau$  кучланишлар ҳам энг катта қийматларга эришади.  $M$  ва  $Q$  максимал қийматларга эришган кесим *хавфли кесим* дейилади. Хавфли кесимларни излашда балканинг ўқи бўйлаб  $M$  ва  $Q$  нинг ўзгаришини тасвирловчи график катта ёрдам беради.

Балканинг ўқи бўйлаб эгувчи момент ( $M$ ) ва кўндаланг куч ( $Q$ ) нинг ўзгаришини тасвирловчи график, тегишлича, эгувчи момент ва кўндаланг куч *эпюраси* деб аталади.  $M$  ва  $Q$  балканинг турли кесимларида ҳар хил қийматларга эга бўлгани учун, улар  $x$  нинг функциялари, яъни:

$$M = M(x), \tag{69.3}$$

$$Q = Q(x) \tag{69.4}$$

бўлади.  $M$  ва  $Q$  эпюраларини чизиш учун, балканинг ўқига параллел қилиб абсцисса ўқи ўтказилади. Ордината ўқи бўйлаб маълум масштабда ҳар қайси кесимдаги  $M$  ва  $Q$  нинг қийматлари мазкур кесим остига қўйилади. Агар  $M$  ва  $Q$  ни  $x$  нинг функциялари тарзида балканинг маълум участкалари учун ифодаласак, яъни (69.3) ва (69.4) функциялар маълум бўлса, эгувчи момент ва кесиб ўтувчи куч эпюрасини чизиш жуда осонлашади.

**70-§. Эгувчи момент ва кўндаланг кучлар эпюрасини аналитик равишда тузиш**

Юқоридаги мулоҳазаларга суяниб, бир неча хараakterли ҳоллар учун эгувчи момент ва кўндаланг кучлар эпюраларини тузамиз.

**59- масала.** Чап учидан  $a$  масофада бўлган  $P$  куч таъсиридаги балка учун кўндаланг куч ва эгувчи момент эпюралари чизилсин (204- шакл).

Балканинг бирор кесимда ҳосил бўладиган  $Q$  ва  $M$  ларни ҳисоблашдан олдин, таянч реакцияларини ҳисоблаш керак. Бунинг учун (68.1) тенгламани татиқ этиб,  $A$  ва  $B$  реакцияларни ҳисоблаймиз:

$$A = \frac{\Sigma M_B}{l} = \frac{Pb}{l}; \quad B = \frac{\Sigma M_A}{l} = \frac{Pa}{l}.$$

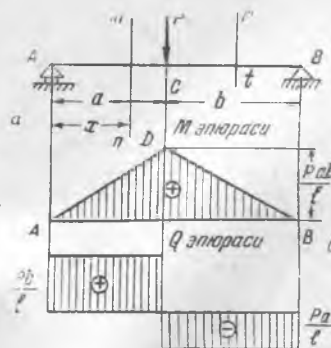
Балкага қўйилган куч ва таянч реакцияларининг алгебраик йиғиндиси нолга тенглигидан  $A$  ва  $B$  реакцияларнинг тўғри аниқланганлигига ишонамиз.

Кўндаланг куч ( $Q$ ) билан эгувчи момент ( $M$ ) нинг маълум кесимдаги ифодаларини тузиш учун балканинг чап учидан  $x$  масофадаги бирор кесимни оламиз. Бу кесимдаги кесиб ўтувчи кучни балканинг чап қисми учун ҳисоблаш қулай, чунки чап қисмида фақат таянч реакцияси ( $A$ ) қўйилган, холос.

Текширилатган чап қисмга қўйилган кучларни балканинг ўқига тик йўналишдаги ўққа проекциялаб,  $mn$  кесимдаги кесиб ўтувчи куч ( $Q_1$ ) нинг ифодасини тузган бўламиз. У:

$$Q_1 = A = \frac{Pb}{l} \tag{1}$$

бўлади.



204- шакл.

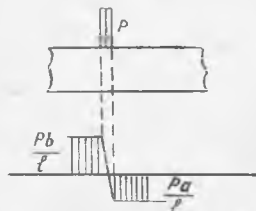
Курамизки, чап таянчдан  $x$  масофадаги кўндаланг кесимда ҳосил бўладиган кесиб ўтувчи куч ( $Q_1$ ) абсцисса ( $x$ ) га боғлиқ бўлмайди, яъни  $0 \leq x \leq a$  бўлганда  $Q_1$  нинг қиймати ўзгармайди. Шунинг учун бу ораликда  $Q$  нинг эпюраси абсцисса ўқига параллел бўлган тўғри чизик билан тасвирланади.  $Q$  учун тузилган ифода балканинг  $C$  кесимигача, яъни  $x$  нинг қиймати  $a$  дан ошмагунча ( $0 \leq x \leq a$ ) тўғридир.  $x > a$  бўлса, балканинг чап қисмига иккита куч, яъни  $A$  ва  $P$  кучлар қўйилган бўлади. Бунинг натижасида чап қисмга қўйилган кучлар проекцияларининг йиғиндиси ҳам ўзгаради. Иккинчи участка учун кўндаланг куч ифодасини қайтадан тузиш лозим. Балканинг  $CB$  участкасида бирорта  $rt$  кесимни оламиз. Бу кесим балканинг чап учидан  $x_2$  масофада бўлсин. Балканинг чап қисми учун:

$$Q_2 = A - P < 0 \quad (2)$$

бўлади. Унг қисмини текширсак, унинг учун:

$$Q_2 = -B \quad (2')$$

бўлар эди. Ишорасининг манфий олиншига сабаб, унг қисмга қўйилган кучнинг юқорига қараб йўналгандир. Дарҳақиқат, бу кучнинг манфий эканлиги (2) дан кўриниб турибди. (2) ёки (2') тенгликлар фақат  $CB$  участка учунгина, яъни  $a \leq x_2 \leq l$  ораликдагина кесиб ўтувчи кучни ифодалайди.  $Q_2$  нинг ҳам  $x_2$  абсциссага боғлиқ эмаслиги (2) дан кўриниб турибди. Иккинчи участка учун ҳам кесиб ўтувчи куч эпюраси абсцисса ўқига параллел бўлган тўғри чизик билан тасвирланади (204-шакл, б).



205-шакл.

Кесиб ўтувчи куч эпюраси  $C$  кесимда узилади.

$C$  кесимнинг бевосита чап томонида:

$$Q_1 = \frac{Pb}{l},$$

унг томонида эса:

$$Q_2 = -\frac{Pa}{l}$$

бўлади. Узилишнинг абсолют қиймати шу кесимга қўйилган  $P$  кучга тенгдир. Бу тарздаги узилишнинг ҳосил бўлишига сабаб шуки, кичик участкага таъсир этувчи ёйилган  $P$  юкни бир нуқтага қўйилган тўпланма куч билан алмаштирдик.  $P$  кучни кичик участкада ёйилган деб қарасак, кесиб ўтувчи куч узлуксиз равишда  $+\frac{Pb}{l}$  дан  $-\frac{Pa}{l}$  га ўзгариб (205-шакл), тегишли эпюра 1—2 қия чизик билан тасвирланади. Бу ҳолда энг катта кесиб ўтувчи кучнинг абсолют қиймати:

$$Q_{\max} = \frac{Pb}{l}$$

бўлади ( $a < b$  бўлган ҳолда).

Шунинг учун  $AC$  участкадаги барча кесимлар тангенциал кучланишга нисбатан бир хилда хавфлидир.

Эгувчи момент эпюрасини тузиш учун ҳалиги биринчи участкадаги  $mn$  ва иккинчи участкадаги  $rt$  кесимларидан фойдаланамиз.

Балканинг  $mn$  кесимдан чап томонидаги кесимга фақат  $A$  реакция кучи таъсир қилгани учун, мазкур кесимдаги эгувчи момент:

$$M_1 = Ax = \frac{Pb}{l} x_1 \quad (3)$$

бўлади.  $C$  нуқтанинг чап томонида эгувчи момент  $x_1$  нинг биринчи даражали функцияси тарзида ўзгаради. Демак балканинг  $AC$  участкасида эгувчи момент эпюраси тўғри чизиқ билан тасвирланади (3) тенглама  $0 < x < a$  ораликдагина эгувчи моментни ифодалайди,  $x$  нинг қиймати  $a$  дан ошуви биланоқ, кесимнинг чап томонидаги кучлар таркибига  $P$  куч ҳам кириб, оқибатда, эгувчи моментнинг ифодаси ўзгаради. Шунинг учун (3) тенглама тўпланган куч қўйилган кесимнинг ўнг томонидаги моментни ифодалай олмайди. Ўнг томон учун эгувчи момент ифодасини янгидан тузиш лозим.  $P$  юк қўйилган кесимнинг ўнг томонидаги бирор  $rl$  кесимда ҳосил бўладиган эгувчи момент:

$$M_2 = Ax_2 - P(x_2 - a) \quad (4)$$

бўлади. Бунда аргумент  $a < x_2 < l$  ораликда ўзгаради.  $M_2$  ифодасини  $rl$  кесимнинг ўнг томони учун тузса ҳам бўлади. Ҳатто ўнг томонда момент ифодаси анчагина ихчам бўлади. Чунки у томонда фақат биттагина  $B$  кучнинг моментини олишга тўғри келади. Умуман, текширилаётган кесимнинг қайси томонида кучлар сони кам бўлса, шу томондаги кучлар учун эгувчи момент ифодаси ихчам бўлади.

Энди, (3) ва (4) тенгламалардан фойдаланиб, эгувчи момент эпюрасини чизамиз. Унинг учун балка ўқига параллел ўқ ўтказиб, координаталар бошини  $A$  учининг остида олиб, ордината ўқини юқорига қараб йўналтирамиз. (3) ва (4) тенгламалар тўғри чизиқнинг тенгламалари бўлгани учун, уларнинг графигини чизишда ҳар қайси тўғри чизиқ учун унинг иккита нуқтасининг ҳолатини билиш kifоядир. (3) тенглама учун  $x = 0$  бўлганда,  $M_1 = 0$ ;  $x = a$  бўлганда,  $M = \frac{Pab}{l}$  бўлади. Бу кейинги ифода куч қўйилган  $C$  кесимдаги эгувчи моментнинг қийматидир. Шунингдек, иккинчи участка эгувчи momenti ( $M_2$ ) нинг ҳам тегишли қийматларини аниқлаймиз:  $x_2 = a$  бўлганда,  $M_2 = \frac{Pab}{l}$ ;  $x_2 = l$  бўлганда,  $M_2 = 0$  бўлади.

Эгувчи моментлар эпюрасини чизишда, мусбат моментни  $y$  ўқининг мусбат йўналиши бўйича қўямиз. Баъзан, эгувчи моментлар балканинг қавариқ томонига қараб қўйилади. Масалан балканинг қавариғи пастга қараган бўлса, тегишли момент пастга қаратиб, қавариғи юқоригача қараган бўлса, юқорига қаратиб қўйилади.

Бу қоида, кўпинча, қурилиш механикасида қўлланилади. Биз курсимизнинг охиригача, мусбат моментни юқорига, манфий моментни эса пастга қаратиб қўйишни шарт қилиб оламиз.

$A$  ва  $B$  нуқталарда эгувчи момент нолга тенг бўлгани учун, уларга тегишли ординаталар ҳам нолга тенг бўлади.  $C$  даги момент  $\frac{Pab}{l}$  га тенг бўлгани учун уни маълум масштабда  $CD$  кесма билан ордината ўқи бўйлаб қўйсак, эгувчи момент эпюрасини  $A$  ва  $D$  ҳамда  $B$  ва  $D$  нуқталарни туташтириб,  $AD$  ва  $BD$  чизиқлар орқали тасвирлаган бўламиз (204-шакл, а).

Балка бўйича эгувчи момент мусбат бўлиб, у куч қўйилган  $C$  кесимда максимал қийматга эришади:

$$M_{\max} = \frac{Pab}{l}.$$

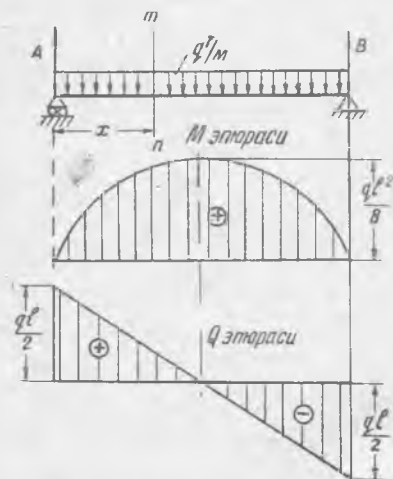
Куч балканинг ўртасига қўйилган бўлса,  $a = b = \frac{l}{2}$  бўлиб, максимал эгувчи момент:

$$M_{\max} = \frac{Pl}{4}$$

бўлади.

60- масала. 206- шаклда тасвирланган икки таянчда ўтувчи балкага интенсивлиги  $q$  т/м бўлган тенг ёйилган юк таъсир қилади. Шу балка учун эгувчи момент ва кесиб ўтувчи куч эпюраларини чизамиз. Юк балка бўйича симметрик ёйилгани учун,  $A$  ва  $B$  таянч реакциялари бир хилда бўлиб, қўйилган юкнинг ярмига тенгдир:

$$A = B = \frac{ql}{2}.$$



206- шакл.

Кесиб ўтувчи куч ва эгувчи момент ифодасини тузиш учун, балканинг чап учидан  $x$  масофадаги бирор кесимни оламиз ва балканинг чап қисмини текшираемиз. Унинг чап қисмига юқо ига қараб йўналган таянч реакцияси  $A = \frac{ql}{2}$ , ва пастга қараб йўналган,  $x$  давомида тенг ёйилган юк қўйилган. Ёйилган юкнинг тенг таъсир қилувчиси  $qx$  га тенг.

Текширилаётган кесимдаги кесиб ўтувчи куч балканинг чап қисмига қўйилган кучларнинг алгебраик йиғиндисига тенгдир. Шунинг учун:

$$Q = \frac{ql}{2} - qx.$$

Юк балка бўйича узлуксиз таъсир қиладиган бўлгани учун тенглама балканинг барча кесимларидаги кесиб ўтувчи кучни ифодалайди. Кесиб ўтув-

чи куч эпюраси тўғри чизиқ билан тасвирлангани учун унинг икки нуқтасини аниқлаймиз:  $x = 0$  бўлганда  $Q = \frac{ql}{2}$ ,  $x = l$  бўлганда  $Q = -\frac{ql}{2}$  бўлади. Бу нуқталар воситаси билан кесиб ўтувчи куч эпюрасини чизиш қийин эмас. У 206- шаклда тасвирланган. Бу ҳолда  $Q_{\max} = \frac{ql}{2}$  бўлади.

Эгувчи момент эпюрасини чизиш учун, текширилаётган кесимнинг чап томонидаги кучларнинг кесим марказига нисбатан олинган моментлари йиғиндисини топамиз.

$x$  мобайнида ёйилган юкнинг тенг таъсир қилувчиси  $qx$  га тенг бўлиб, у  $x$  кесманинг ўртасига қўйилган. Шунинг учун унинг елкаси  $\frac{x}{2}$  га тенг.

Демак:

$$M = \frac{ql}{2}x - qx \frac{x}{2} = \frac{ql}{2}x - \frac{qx^2}{2}$$

ёки:

$$M = \frac{qx}{2}(l - x).$$

Бу тенгламадан балканинг барча кесимларидаги эгувчи моментларни ҳисоблаш мумкин. Бу ҳолда эгувчи момент  $x$  нинг иккинчи даражали функцияси орқали ифодалангани учун, унга тегишли эпюра квадратик парабола бўлади. Бу эгри чизиқни ясаш учун унинг бир нечта нуқтасини белгилаш керак.

Масалан:

$$x = 0, \quad M = 0;$$

$$x = \frac{l}{4}, \quad M = \frac{ql}{2 \cdot 4} \left( l - \frac{l}{4} \right) = \frac{3}{32} ql^2,$$

$$x = \frac{l}{2}, \quad M = \frac{ql}{2 \cdot 2} \left( l - \frac{l}{2} \right) = \frac{4}{32} ql^2,$$

$$x = \frac{3}{4}l, \quad M = \frac{3ql}{2 \cdot 4} \left( l - \frac{3}{4}l \right) = \frac{3}{32} ql^2;$$

$$x = l, \quad M = 0.$$

Эгувчи момент эпюраси 206-шаклда тасвирлангандек бўлади.

$M_{\max}$  ни ҳисоблаш учун балканинг қайси кесимида, яъни  $x$  нинг қандай қийматида максимумга эришувини аниқлаймиз. Бунинг учун эгувчи момент ифодасидан  $x$  га нисбатан ҳосила оламиз:

$$\frac{dM}{dx} = \frac{ql}{2} - qx = 0;$$

бундан:

$$x = \frac{l}{2}.$$

Демак:

$$M_{\max} = \frac{ql^2}{8}.$$

Энг катта эгувчи момент балканинг ўрта кесимида, яъни кесиб ўтувчи куч нолга тенг жойда ҳосил бўлади.

**61-масала.** Бир учи билан маҳкамланган (қисилиб тиралган) балкага унинг бутун бўйича тенг ёйилган  $q$  кг/м юк қўйилган (207-шакл). Бу балка учун кесиб ўтувчи куч эпюраси билан эгувчи момент эпюрасини чизамиз. Бу ҳолда таянч реакциясини аниқлашнинг ҳожати йўқ. Балканинг эркин учидан  $x$  масофадаги кесимни олиб, унинг чап томонидаги қисмини текширамиз. Бу қисми учун кесиб ўтувчи куч билан эгувчи момент қуйидагича ифодаланади:

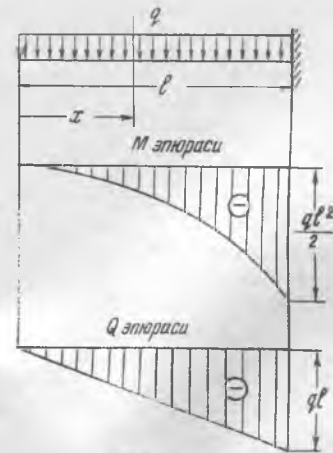
$$Q_x = -qx, \quad (1)$$

$$M_x = -qx \frac{x}{2} = -\frac{qx^2}{2}. \quad (2)$$

Қўндаланг куч чизиқли қонун билан, эгувчи момент эса квадратик параболо қонуни билан ўзгаради (207-шакл).

Энг катта қўндаланг куч ва эгувчи момент балканинг маҳкамланган кесимига мос келади:

$$Q_{\max} = -ql, \quad M_{\max} = \frac{ql^2}{2}.$$



207-шакл.

**62-масала.** Бир учи билан маҳкамланган (қисилиб тиралган) балканинг бир қисмига тенг ёйилган  $q$  кг/м юк қўйилган (208-шакл). Шу балка учун қўндаланг куч эпюраси билан эгувчи момент эпюрасини чизамиз.

Бу ҳолда тенг ёйилган юк балканинг бир қисмига қўйилгани учун балкани икки участкага бўлади. Биринчи участкада, яъни  $a$  узунлик давомида олдинги масала учун тузилган қўндаланг куч билан эгувчи момент

ифодаси яради. Иккинчи участка учун  $x_2$  масофадаги бирор  $ml$  кесимни олиб, балканинг чап қисми учун  $Q_2$  ва  $M_2$  ифодаларини тузамиз. Улар:

$$Q_2 = -qa. \quad M_2 = -qa \left( x_2 - \frac{a}{2} \right)$$

кўринишда ёзилади. Демак, иккинчи участка учун кесиб ўтувчи куч эпюраси абсцисса ўқига параллел чизиқ билан, эгувчи момент эпюраси эса туғри чизиқ билан тасвирланади (208-шакл). Энг катта кесиб ўтувчи куч:

$$Q_{\max} = -q \cdot a$$

булади. Энг катта эгувчи момент маҳкамланган кесимда бўлиб, у:

$$M_{\max} = q \cdot a \left( l - \frac{a}{2} \right)$$

булади.

63-масала. Икки учи билан таянчга тиралган балка учбурчак қонуни билан ўзгарувчи ёйилган юк таъсирида бўлиб, юкнинг ўнг таянчдаги қиймати  $q_0$  кг/м га тенг (209-шакл). Бу ҳолда ёйилган юкнинг тенг таъсир этувчиси  $ACB$  учбурчакнинг юзи билан ифодаланиб,  $p = \frac{q_0 l}{2}$  булади. Бу куч балканинг ўнг учидан  $\frac{l}{3}$  масофадаги нуқтага қўйилган. Шунинг учун  $A$  ва  $B$  таянч реакциялари (68.1) формулага мувофиқ қуйидагича аниқланади:

$$A = \frac{q_0 l}{2} \cdot \frac{1}{3} \cdot \frac{1}{l} = \frac{q_0 l}{6} = \frac{p}{3},$$

$$B = \frac{q_0 l}{2} \cdot \frac{2}{3} \cdot \frac{1}{l} = \frac{q_0 l}{3} = \frac{2}{3} p.$$

Энди, балканинг чап учидан  $x$  масофадаги бирор кесимни олиб, бу кесимдаги қўндаланг куч билан эгувчи момент ифодасини тузамиз. Бунинг учун балканинг танланган кесимдан чап томондаги қисмини текшираемиз. Бу қисмга таянч реакцияси  $A$  ва  $x$  давомида учбурчак қонуни билан ёйилган  $q$  кг/м юк таъсир қилади. Ёйилган юкнинг тенг таъсир қилувчиси  $\frac{q'x}{2}$  га тенг бўлиб, у текширилаётган кесимдан  $\frac{x}{3}$  масофадаги нуқтага қўйилган (бу ифодадаги  $q'$  — юк интенсивлигининг олинган кесимдаги қиймати). Аммо бу ҳолда ёйилган юк интенсивлиги  $q'$  ўзгарувчи бўлгани учун кесиб ўтувчи куч ва эгувчи момент ифодасини тузишдан аввал, уни  $x$  нинг функцияси тарзида ифодалашимиз зарур. Уни бутун юкни тасвирловчи учбурчак билан  $x$  масофадаги кесимнинг чап томонидаги юкни тасвирловчи учбурчакнинг ўхшашлигидан аниқлаймиз:

$$\frac{q'}{q_0} = \frac{x}{l}; \text{ бундан } q' = q_0 \frac{x}{l}$$

Бу кўзда тутилса, кесиб ўтувчи куч билан эгувчи моментларини ифодаси қуйидагича ёзилади:

$$Q = A - \frac{q'x}{2} = \frac{q_0 l}{6} - \frac{q_0 x^2}{2l} = \frac{q_0 l}{6} \left( 1 - 3 \frac{x^2}{l^2} \right), \quad (1)$$

$$M = Ax - \frac{q'x}{2} \cdot \frac{x}{3} = \frac{q_0 l x}{6} - \frac{q_0 x^3}{6l} = \frac{q_0 l}{6} x \left( 1 - \frac{x^2}{l^2} \right). \quad (2)$$

Кўндаланг кучни ифодаловчи функция  $x$  га нисбатан иккинчи даражали бўлгани учун у чўққиси балканинг чап таянчи остида бўлган квадрат параболадир (209-шакл), чап таянчдаги кесимда, яъни  $x = 0$  бўлганда:

$$Q_A = \frac{q_0 l}{6} = A;$$

ўнг таянчдаги кесимда, яъни  $x = l$  бўлганда,

$$Q_B = \frac{q_0 l}{3} = -B$$

бўлади.

(1) тенгламанинг ўнг томонини нолга тенглаштириб, кесиб ўтувчи куч нолга тенг бўладиган кесимнинг ҳолатини аниқлаймиз:

$$\frac{q_0 l}{6} \left( 1 - 3 \frac{x^2}{l^2} \right) = 0; \text{ бундан:}$$

$$x = \frac{l}{\sqrt{3}} \cong 0,577l.$$

(2) тенглама, яъни эгувчи моментни ифодаловчи функция учинчи даражали парабола билан тасвирланади (209-шакл).

Энг катта эгувчи моментнинг қийматини (2) тенгламанинг максимумини аниқлаш билан топимиз мумкин. Бунинг учун ҳалиги тенглама (2) дан  $x$  га нисбатан ҳосила олиб, уни нолга тенглаштирамиз ва энг катта момент ҳосил бўладиган кесимни аниқлаймиз:

$$\frac{dM}{dx} = \frac{q_0 l}{6} \left( 1 - 3 \frac{x^2}{l^2} \right) = 0; \quad \text{бундан:} \quad x = \frac{l}{\sqrt{3}} \cong 0,577l.$$

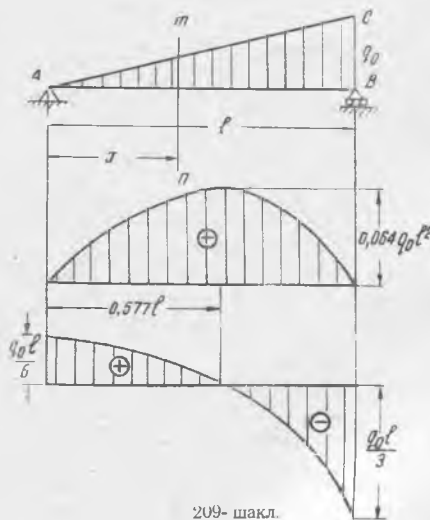
Буни (2) тенгламага олиб бориб қўйсак,  $M_{\max}$  учун қуйидаги қийматни оламиз:

$$M_{\max} = 0,064 q_0 l^2.$$

### 71-§. Мураккаб юклар учун кўндаланг куч ва эгувчи момент эпюраларини ясаш

Тенг ёйилган ва чизиқли қонун билан ўзгарувчи юклар учун  $Q$  ва  $M$  ифодаларини тузиш кўриб ўтилган эди. Энди, ҳар қандай қонун билан ёйилган юклар учун  $Q$  ва  $M$  ларнинг ифодасини тузишга ўтишимиз мумкин. Икки таянчда ётувчи балка бутун узунлиги бўйлаб  $x$  нинг ихтиёрий функцияси бўлган, яъни  $q = q(x)$  қонун билан ўзгарувчи ёйилган юк таъсирида бўлади, деб фараз қилайлик (210-шакл). У ҳолда кесиб ўтувчи куч билан эгувчи момент ҳам  $x$  нинг қандайдир функциялари бўлади.

Ёйилган  $q$  юкнинг қандай қонун билан ўзгаришини тасвирловчи  $abc$  чизиқ юк чизиги деб, бу чизиқ билан чекланган юза эса юк юзиси деб



209-шакл.

аталади.  $Q$  ва  $M$  функцияларни  $q(x)$  оркали ифодалашдан аввал ёйилган юкнинг тенг таъсир қилувчисини, яъни юк юзасини ва унинг оғирлик марказини аниқлаш зарур. Бунинг учун юк юзасидан  $x$  масофадаги чексиз кичик юзачани оламиз. У 210-шаклда штрихлаб қўйилган. Бу юзача  $q(x) dx$  га тенг; юк юзаси бундай юзачаларнинг балка бўйича олинган йиғиндисига тенгдир. Ёйилган юкнинг тенг таъсир қилувчисини  $p$  десак,

$$p = \int_0^l q(x) dx \quad (71.1)$$

бўлади.

Бу кучнинг қўйилган нуқтасини, яъни юк юзасининг оғирлик марказини топиш учун, ҳалиги чексиз кичик юзачанинг статик моментини олиб, уни интеграллаймиз:

$$S_y = \int_0^l xq(x) dx; \quad (71.2)$$

(71.1) ва (71.2) тенгликлардан фойдаланиб,  $p$  куч қўйилган нуқтани аниқлаш қийин эмас:

$$x_c = \frac{S_y}{p} = \frac{\int_0^l xq(x) dx}{\int_0^l q(x) dx}. \quad (71.3)$$

Энди,  $A$  ва  $B$  таянч реакцияларини топиш мумкин. Улар тегишлича:

$$A = p \frac{l - x_c}{l}, \quad B = p \frac{x_c}{l} \quad (71.4)$$

бўлади.

Чап таянчдан  $x$  масофада бўлган бирор  $mn$  кесим учун  $Q$  ва  $M$  ифодаларини тузишга ўтамиз:

$$Q = A - \int_0^x q(x) dx = p \frac{l - x_c}{l} - \int_0^x q(x) dx, \quad (71.5)$$

$$M = Ax - \int_0^x xq(x) dx = p \frac{l - x_c}{l} x - \int_0^x xq(x) dx. \quad (71.6)$$

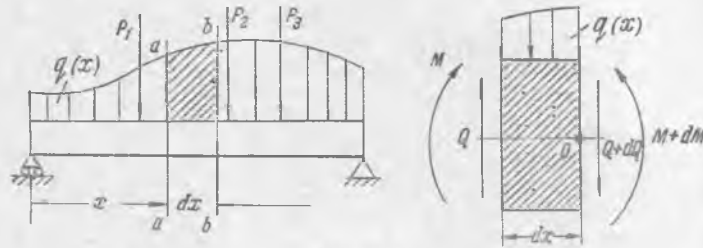
Интеграл чегараси  $x$  гача олинди, чунки  $Q$  ва  $M$  ни  $x$  масофадаги кесим учун ҳисобладик. Булардан фойдаланиб, ҳар қандай қонун билан ёйилган юк учун  $Q$  ва  $M$  нинг ифодаларини тузишимиз мумкин. Юқорида келтирилган 60 ва 63-масалаларни ҳам бу формулалардан фойдаланиб, бавосита ечиш мумкин.

#### 72-§. Эгувчи момент, қундаланг куч ва ёйилган куч интенсивлиги орасидаги дифференциал муносабатлар

Балкага қўйилган ташқи кучлар унинг ҳар бир қундаланг кесимида кесиб ўтувчи кучга ва эгувчи моментга келтирилишини текширдик.

Шунинг билан бирга, балканинг текширилаётган қисми мувозанатда бўлсин учун, қирқилган кесимдаги ички кучларнинг ҳам ҳалиги  $Q$  ва  $M$  га келтирилиши зарурлигини аниқладик.

Энди, ана шу  $Q$  ва  $M$  орасидаги дифференциал муносабатни ҳамда балкага ёйилган юк қўйилган бўлса, унинг интенсивлиги ( $q$ ) билан  $Q$  ва  $M$  орасидаги муносабатларни аниқлашга ўтамиз. Бунинг учун ихтиёрий юклар таъсиридаги балканинг чап учидан  $x$  ва  $x + dx$  масофалардаги  $a$  —  $a$  ва  $b$  —  $b$  кесимлар билан чегараланган чексиз кичик элемент ажрата-



211-шакл.

миз. Бу элементга интенсивлиги  $q(x)$  бўлган ёйилган юкдан ташқари ҳеч қандай ташқи куч қўйилмаган бўлсин. Қўрилган кесимларга эса тегишлича  $Q$ ,  $M$  ва  $Q + dQ$ ,  $M + dM$  қўйилган (211-шакл). Ажратилган элемент ана шу кучлар таъсирида мувозанатда тургани учун унинг мувозанат шарти қуйидаги икки тенглама билан ифодаланади:

$$\sum Y = Q - (Q + dQ) - q(x)dx = 0,$$

$$\sum M_0 = M + Qdx + q(x)dx \frac{dx}{2} - (M + dM) = 0.$$

Чексиз кичик  $dx$  давомида  $q$  ни тенг ёйилган деб олдик. Бу тенгламаларнинг биринчисидан:

$$\frac{dQ}{dx} = -q(x). \quad (72.1)$$

Иккинчи тенгламадаги иккинчи тартибли кичик миқдор эътиборга олинмаса.

$$\frac{dM}{dx} = Q \quad (72.2)$$

муносабат келиб чиқади.

$Q$  нинг қийматини (72.2) дан (72.1) га қўйсак:

$$\frac{d^2M}{dx^2} = -q(x). \quad (72.3)$$

Демак, бирор кесимдаги кесиб ўтувчи куч ( $Q$ ) ва эгувчи момент ( $M$ ) дан шу кесимнинг абсциссасига нисбатан олинган ҳосилалар тегишлича ёйилган юк интенсивлигининг тескари ишора билан олинган қийматига ва кесиб ўтувчи кучга тенг бўлар экан.

Худди шунингдек, бирор кесимдаги эгувчи моментдан, шу кесимнинг абсциссага нисбатан олинган иккинчи ҳосила ёйилган юк интенсивлигининг тескари ишора билан олинган қийматига тенг булар экан. Бу дифференциал муносабатлар, кўпинча, адабиётда Журавский теоремаси деб юритилади.

$$q = q(x), \quad Q = Q(x), \quad M = M(x)$$

функцияларни тасвирловчи графикларга ёйилган юк чизиги ва кесиб ўтувчи куч ҳамда эгувчи момент эпюралари деб ном бердик.

Ҳосиланинг геометрик маъносини, яъни ҳосила эгри чизиқнинг бирор нуқтасидан ўтказилган уринманинг оғиш бурчаги тангенсига тенглигини эсласак, (73.1), (73.2) ва (73.3) дифференциал муносабатларнинг геометрик маъносини чиқарган бўламиз. Ҳақиқатан ҳам, агар кесиб ўтувчи куч эпюрасини олиб, унинг бирор нуқтасидан уринма ўтказсак, шу уринма оғиш бурчагининг тангенси (72.1) га мувофиқ, қуйидагича ёзилади:

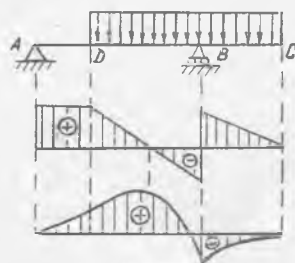
$$\operatorname{tg} \alpha = \frac{dQ}{dx} = -q(x).$$

Бошқача қилиб айтганда, ёйилган юкнинг бирор нуқтадаги (интенсивлиги)  $q$  кўндаланг куч эпюрасига шу нуқтада ўтказилган уринманинг оғиш бурчаги тангенсининг тескари ишора билан олинган кийматига тенг бўлар экан. Худди шундай хулосани (72.2) тенглама асосида ҳам чиқаришимиз мумкин:

$$\operatorname{tg} \beta = \frac{dM}{dx} = Q.$$

Бирор кесимдаги кўндаланг куч  $Q$  эгувчи момент эпюрасининг шу кесимга тегишли нуқтасидан ўтказилган уринманинг оғиш бурчагининг тангенсига тенг бўлар экан.

Бу хулосалар чизилган  $Q$  ва  $M$  эпюрасининг тўғрилигини текширишда катта аҳамиятга эгадир. 212-шаклда кўрсатилган ҳол учун чизилган эпюраларни анализ қиламиз. Бирор участкада:



212-шакл.

$Q > 0$  бўлса, яъни  $\operatorname{tg} \beta > 0$  бўлса, момент узлуксиз равишда ўсади,  $Q < 0$  бўлса, яъни  $\operatorname{tg} \beta < 0$  бўлса, момент кемайди. 212-шаклда биринчи участкада  $Q$  ўзгармас мусбат сон бўлгани учун  $\beta = \text{const}$  дир. Бу участкада эгувчи момент эпюраси оғиш бурчаги  $\beta$  бўлган тўғри чизиқ билан тасвирланади.  $DB$  ва  $BC$  участкаларда интенсивлиги ўзгармас  $q$  га тенг юк таъсир кўрсатгани учун,  $\operatorname{tg} \alpha = -q$  бўлади. Тегишли  $Q$  эпюраси оғиш бурчаги  $\alpha$  ва тенг бўлган пасаювчи тўғри чизиқ билан тасвирланади.  $Q$  нолга айланиб, ишорасини  $+$  дан  $-$  га айлантиргэнди,

$M = M_{\max}$  бўлади. Ишорасини  $-$  дан  $+$  га айлантирса,  $M = M_{\min}$  бўлади.  $Q = 0$  бўлса,  $\operatorname{tg} \beta = 0$  бўлиб,  $M = \text{const}$  бўлади.

$$q = 0 \text{ бўлса, яъни } \frac{dQ}{dx} = 0 \text{ бўлса, } Q = \text{const}$$

бўлади. Демак, ёйилган юк қўйилмаган участкаларда  $Q$  абсцисса ўқига параллел бўлган тўғри чизиқлар билан тасвирланар экан (212-шаклдаги  $AD$  участка).

Тенг ёйилган юк таъсиридаги участкаларда,  $M$  квадратик парабола билан,  $Q$  эса абсцисса ўқига қия тўғри чизиқ билан тасвирланади.  $q$  тенг ёйилмаган бўлса,  $Q$  ва  $M$  эпюралари эгри чизиқлар билан тасвирланиб, уларнинг характери ёйилган юкнинг типига боғлиқ бўлади. Тўпланган юк таъсир қилаётган кесимларда  $Q$  узилиб, узилиш миқдори шу кесимга қўйилган кучга тенг бўлади. Бу кесимда  $M$  ни тасвирловчи чизиқ ўз йўналишини кескин равишда ўзгартиради (212-шаклдаги балканинг  $B$  кесими), яъни эпюра чизиғи синиб, бу кесимнинг иккала томонида  $M$  чизигининг йўналиши ҳар хил бўлади.

Консол балкалар пастга қараб йўналган ёйилган юк таъсирида бўлса (72.3) га мувофиқ:

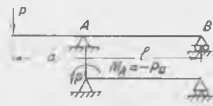
$$\frac{d^2M}{dx^2} = -q < 0,$$

яъни  $M$  чизигининг эгрилигини характерловчи иккинчи хосила манфий бўлгани учун, тегишли чизиқнинг қавариғи юқорида, эгрилигининг маркази пастда бўлади. Аксинча, ёйилган юк юқорига йўналган бўлса,  $\frac{d^2M}{dx^2} = q < 0$  бўлиб, тегишли эгри чизиқнинг қавариғи пастга қараган, эгрилик маркази эса юқорида бўлади. Балканинг учи таянчга шарнир воситаси билан туташтирилган бўлса, бу кесимдаги кесиб ўтувчи  $Q$  куч таянч реакциясига, эгувчи момент эса нолга тенг бўлади (агар таянч кесимига ташқи жуфт куч қўйилмаган бўлса). Консол балканинг эркин учига жуфт куч ёки тўпланган куч таъсир кўрсатмаса,  $Q$  ва  $M$  нолга тенг бўлади.

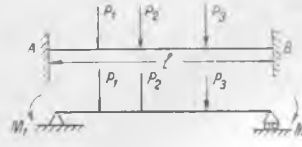
Балканинг қисилиб тиралган учигадаги  $Q$  ва  $M$  тегишли таянч реакциялари билан реактив моментларга тенг бўлади. Бу мулоҳазалар яхши билиб олинса,  $Q$  ва  $M$  эпюраларини чизиш масаласи анча осонлашади.

### 73- §. Жуфт кучлар билан юкланган балкалар учун $Q$ ва $M$ эпюраларини ясаш

Балкаларнинг ҳисобида жуфт кучлар билан юкланган ҳоллар жуда кўп учрайди. Масалан, икки таянчда ётувчи балканинг бир учи консол бўлиб, унга  $P$  куч қўйилган бўлса (213-шакл) ва унинг консол қисми ташлаб юборилса,  $A$  таянч кесимига ташланган қисмининг таъсирини алмаштирувчи  $M_A = -P \cdot a$  жуфт кучни ва  $P$  кучни қўйишга тўғри келади.



213- шакл.



214- шакл.

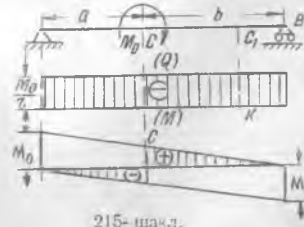
Агар  $AB$  балкани мустақил балка деб қарасак,  $M_A$  моментни балкага қўйилган ташқи момент дейишимиз мумкин,  $P$  куч бевосита таянч устига қўйилгани учун, у балканинг эгилишига ҳеч қандай таъсир кўрсатмай, фақат  $A$  таянчда ўзига тенг ва қарама-қарши реакция ҳосил қилади.

Икки учи билан қисилиб тиралган балкани шарнирли таянчларга тиралган балкага айлантириш мумкин (214-шакл). Бунинг учун қисилишнинг таъсирини тегишли реактив моментлар ( $M_1$  ва  $M_2$ ) билан алмаштириш лозим. У ҳолда бу  $M_1$  ва  $M_2$  реактив моментлар балкага қўйилган ташқи моментлар деб қаралади. Бу тарздаги юклар учун ҳам  $Q$  ва  $M$  эпюраларини чизиш усули одатдагичадир.

64-масала. Икки таянчга тиралган балканинг  $C$  кесимига momenti  $M_0$  га тенг бўлган жуфт куч қўйилган (215-шакл). Бу ҳол учун  $Q$  ва  $M$  эпюраларини ясаймиз.

Таянч реакциялари:

$$A = -\frac{M_0}{l}, \quad B = \frac{M_0}{l}.$$



215- шакл.

Кўраминики, бу реакциялар моменти  $M_0$  га тенг бўлган жуфт куч ҳосил қилаётир; бу жуфт балкага қўйилган жуфтни мувозанатлайди.

Балканинг қайси кесимини олмайлик, ундаги кесиб ўтувчи кучнинг ишораси манфий бўлиб, миқдори балканинг чап қисми учун  $A$  га, ўнг қисми учун эса  $B$  га тенгдир:

$$A = -B = -\frac{M_0}{l}.$$

Эгувчи момент  $C$  кесимнинг чап ва ўнг қисмлари учун ҳар хил бўлади.

АС участка учун:

$$M_x = Ax = -\frac{M_0}{l}x; \quad (2)$$

ВС участка учун:

$$M_x = B(l-x) = \frac{M_0}{l}(l-x). \quad (3)$$

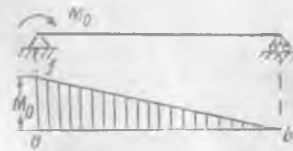
Жуфт куч қўйилган кесимда  $M$  функция узилади. Узилиш миқдори:

$$\frac{M_0}{l}(l-x) - (-\frac{M_0}{l}x) = M_0$$

бўлади.

Шунинг учун, эгувчи момент эпюраси жуфт куч қўйилган кесимда, тўпланган юк қўйилган кесимда  $Q$  қандай сакраса, шундай сакрайди.  $Q$  ва  $M$  эпюраси 215- шаклда тасвирланган.

Жуфт куч  $C$  кесимга қўйилмай, бошқа бирор  $C_1$  кесимда бўлса, тегишли таянч реакциялари ва эгувчи момент ифодаси ўзгармайди. Аммо  $M$  эпюрасининг кўриниши ўзгаради, чунки ҳалиги эгувчи моментнинг сакраши бошқа кесимга кўчади.  $C$  кесимдаги жуфт куч учун эгувчи момент эпюраси  $acdb$  билан жуфт куч  $C_1$  га кўчгандаги ҳол учун  $aklb$  синиқ чизиқ билан тасвирланади. Жуфт куч балканинг чап учига қўйилса, эгувчи момент эпюраси мусбат ишорали  $ajb$  учбурчак кўринишида бўлади (216- шакл). Унинг энг катта ординатаси  $af = M_0$  бўлади. Жуфт куч балканинг ўнг учига қўйилган бўлса,  $M$  эпюраси  $geb$  учбурчак билан тасвирланиб, балка бўйича ҳамма жойда манфий бўлади; унинг энг катта қиймати  $be = -M_0$  дир (217- шакл).



216-шакл.



217-шакл.

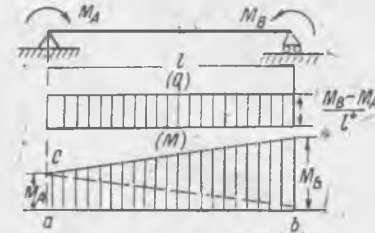
Шуни ҳам эслатиб ўтиш керакки, чап таянчдаги эгувчи момент ( $M_A$ ) шу кесимга қўйилган ташқи жуфт моментига тенг, яъни:  $M_A = M_0$ .

Шунингдек, ўнг таянчдаги эгувчи момент ( $M_B$ ) шу кесимга қўйилган жуфт моменти ( $M_0$ ) га тенг, аммо унинг белгиси чап кесимдаги момент белгисига тесқаридир, яъни:  $M_B = -M_0$ .

Таянч кесимига қўйилган  $M_A$  ва  $M_B$  эгувчи моментлар таянч моментлари деб аталади.

65-масала. Икки таянчда ётувчи балканинг учларига  $M_A$  ва  $M_B$  моментлар қўйилган (218-шакл). Уларнинг йўналиши шаклда кўрсатилгандек. Бу ҳол учун  $Q$  ва  $M$  эпюралари чизилсин.

Балка давомида ҳеч қандай юк таъсир кўрсатмагани учун,  $M$  нинг эпюрасини чизиш жуда осон. Абсцисса ўқининг  $A$  ва  $B$  нуқталарига маълум масштабда  $M_A$  ва  $M_B$  ординаталарини қўйиб, уларнинг учларини туташтириш билан  $M$  нинг эпюрасини ҳосил қиламиз. Шаклда бу эпюра  $abcd$  трапеция билан тасвирланган. Аммо  $M$  нинг эпюрасини унинг аналитик ифодасидан фойдаланиб чизиш қулай. Шунинг учун олдин таянч реакциялари ( $A$  ва  $B$ ) ни аниқлаймиз.



218-шакл.

$$A = \frac{M_A - M_B}{l}, \quad B = \frac{M_B - M_A}{l}.$$

Агар  $M_B > M_A$  бўлса,  $A > 0$ ,  $B < 0$  бўлади.

$x$  масофадаги кесимнинг эгувчи momenti балканинг чап қисми учун қуйидагича ёзилади:

$$M_x = -\frac{M_A - M_B}{l} x + M_A = M_A \frac{l-x}{l} + M_B \frac{x}{l}. \quad (4)$$

Бу ифодани дифференциаллаб, текширилаётган кесимдаги кесиб ўтувчи кучни топамиз:

$$Q = \frac{dM_x}{dx} = \frac{M_B - M_A}{l} = \text{const}. \quad (5)$$

(4) тенглама ҳақиқатан ҳам ҳалиги трапеция билан тасвирланадиган эпюрага мос келади.

$x = 0$  бўлганда  $M_x = M_A$ ,  $x = l$  бўлганда  $M_x = M_B$  бўлади.

(5) тенглама эса ординатаси  $Q_x = \frac{M_B - M_A}{l}$  бўлган ва абсцисса ўқига параллел чизиқни тасвирлайди.

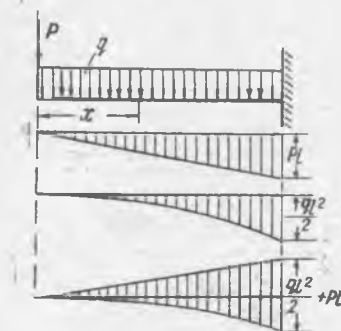
#### 74-§. Q ва M эпюраларини чизишда кучлар таъсирини қўшиш усули

Балка бир неча куч таъсирида бўлса, унинг турли кўндаланг кесимларида ҳосил бўладиган  $Q$  ва  $M$  ни мазкур балкага ҳар қайси кучнинг алоҳида таъсиридан ҳосил бўлган  $Q$  ва  $M$  ларни тегишлича қўшиш билан аниқлаш мумкин, чунки  $Q$  ва  $M$  ифодасига ташқи кучлар биринчи даражада киради. Балкага қўйилган юкларнинг ҳар қайсиси учун алоҳида  $Q$  ва  $M$  эпюраларини чизиб, мазкур эпюраларни тегишлича график равишда қўшиш билан умумий  $Q$  ва  $M$  эпюрасини оламиз. Бу усул механикада кучлар таъсирини қўшиш усули деб аталади. Масалан, 219-шаклдаги консол балка тенг ёйилган юк ва чап учига қўйилган тўпланма куч ( $P$ ) таъсирида бўлсин. Мазкур юклар учун  $Q$  ва  $M$  эпюраларини чизиш керак.

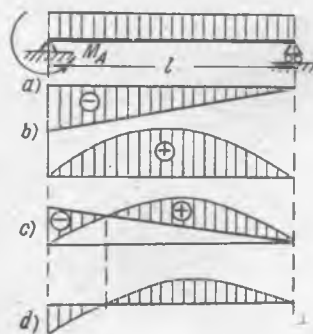
Биз олдин бу масалани кучлар таъсирини қўшиш усулидан фойдаланмай ечамиз.

Балканинг чап учидан  $x$  масофадаги кесим учун  $Q$  ва  $M$  ифодасини тузамиз:

$$\left. \begin{aligned} Q &= -P - qx, \\ M &= -Px - \frac{qx^2}{2} \end{aligned} \right\} \quad (74.1)$$



219- шакл.



220- шакл.

Турли ишорада бўлган момент эпюралари ўзаро ейишиб, натижада 220-шакл,  $c$  да штрихланган юза қолади. Ниҳоят, балкага қўйилган юклардан ҳосил бўлган якунловчи эгувчи момент эпюраси ўша штрихланган юза билан тасвирланади. Унинг ординаталарини янги горизонтал ўқдан ҳисобласак, фойдаланиш учун қулай кўринишдаги эпюрани ҳосил қиламиз. У 220-шакл,  $d$  да тасвирланган. Худди шу мулоҳаза асосида якунловчи кесиб ўтувчи куч эпюрасини ҳам чиза оламиз.

Худди шундай мулоҳазалар юргизиб, ҳар қандай мураккаб куч билан юкланган балкалар учун  $Q$  ва  $M$  эпюраларини чизишимиз мумкин.

#### 75-§. $M$ ва $Q$ эпюраларини график усулда ясаш

Параллел кучларнинг моментини аниқлаш учун арқон кўпбурчаги татбиқ этилиб, қуйидаги формула чиқарилган:

$$M = Hy; \quad (75.1)$$

Кўрамизки, бу кесимдаги  $Q$  ва  $M$  икки тузувчидан иборатдир, улар тегишлича  $-P$  ва  $-qx$  ҳамда  $-Px$  ва  $-\frac{qx^2}{2}$  га тенг.

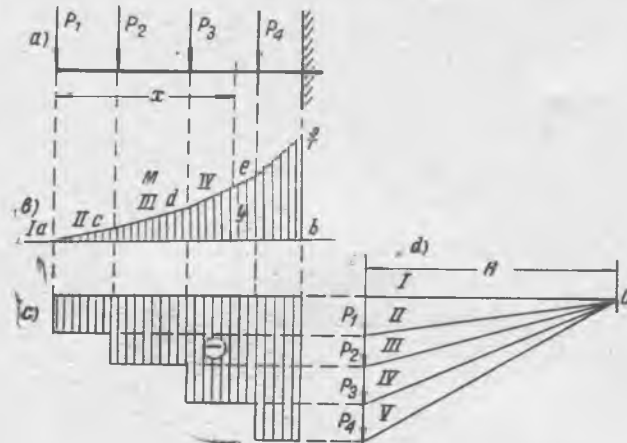
Булардан биринчиси  $P$ , иккинчиси эса  $q$  юклардан вужудга келган. Шунинг учун  $P$  ва  $q$  нинг таъсирини алоҳида текшириб, ҳар қайси юк учун тегишли эпюралар чизилгач, уларни қўшиш натижасида юқорида чиқарилган (74.1) тенгламаларни ҳосил қиламиз. Бу эса кучлар таъсирини қўшиш усулининг татбиқи бўлади. Бу процесс эгувчи момент учун 219-шаклда тасвирланган.

Иккинчи мисол тариқасида, икки таянчга тиралиб узунлиги буйича тенг ейилган юк ва чап таянчига қўйилган жуфт куч ( $M_A$ ) таъсирида бўлган балкани оламиз (220-шакл).

Ейилган юк билан таянч momenti  $M_A$  таъсиридан ҳосил бўладиган эгувчи моментларнинг алоҳида эпюралари тегишлича 220-шакл,  $a$  ва  $b$  да тасвирланган. Бу ҳолда  $q$  ва  $M_A$  дан ҳосил бўлган эпюраларнинг ишораси ҳар хилдир. Буларни геометрик равишда қўшиш учун иккала эпюрани бир абсцисса чизиғига қўйиш лозим.

бунда,  $H$  — қутб масофаси, яъни куч қўпбурчагининг ёпувчиси билан қутб орасидаги масофа;  $y$  — ёпиқ арқон қўпбурчагининг момент маркази остидаги ординатаси. Биз бу ерда формуланинг қандай чиқарилганини такрорлаб ўтирмаймиз, бу формула ҳақида мукаммал маълумот олишни хоҳлаганларга назарий механика курсига мурожаат қилишни тавсия этамиз.

Куч ва арқон қўпбурчақларини ҳамда (75.1) формулани  $M$  ва  $Q$  эпюраларини тузиш учун татбиқ қиламиз.  $P_1, P_2, P_3$  ва  $P_4$  кучлар таъсиридаги консол учун  $Q$  ва  $M$  эпюраларини график усулда ясаймиз (221- шакл, а).



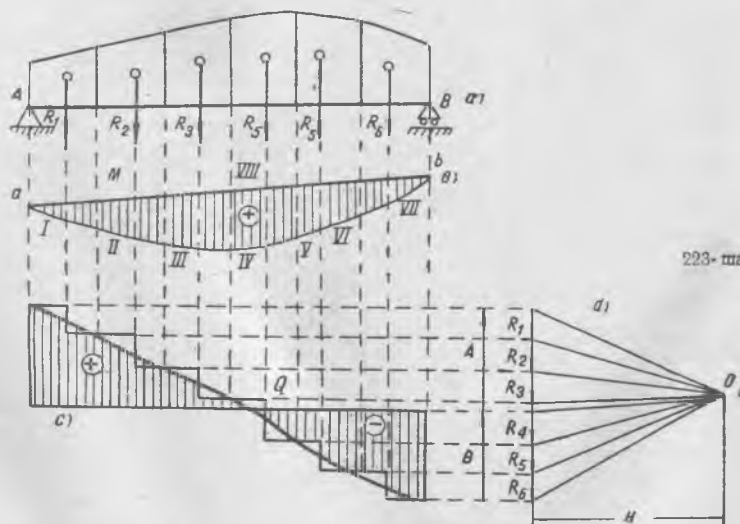
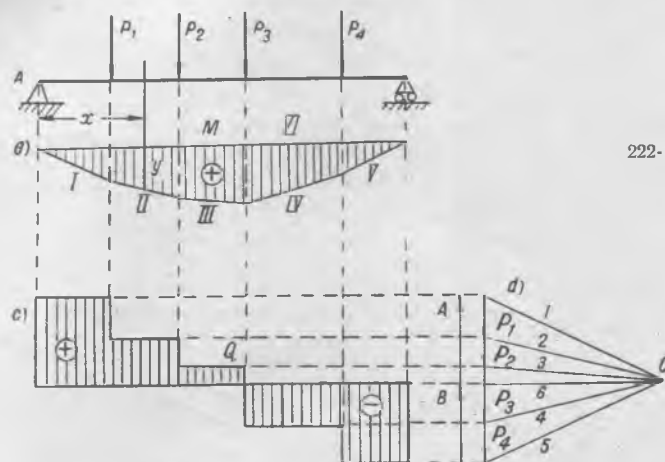
221- шакл.

Олдин куч қўпбурчагини чизамиз. Қутбни шундай танлаймизки, биринчи нур горизонтал йўналишда бўлади. У ҳолда арқон қўпбурчаги ( $acdef$ ) эгувчи момент эпюрасини тасвирлайди.  $x$  билан аниқланган ҳар бир кесим учун арқон қўпбурчагининг ординатаси ( $y$ ) нинг қутб оралиғи ( $H$ ) га қўпайтмаси, (75.1) га мувофиқ, ҳалиги кесимдаги эгувчи моментга тенг бўлади.  $Q$  нинг эпюрасини чизиш учун тегишли кесимлардаги  $P_1, P_2, P_3$  ва  $P_4$  кучларни ўз-ўзига параллел равишда куч қўпбурчагидан келтириш лозим (221- шакл, с).

Икки таянчга тиралган балка  $P_1, P_2, P_3, P_4$  кучлар билан юкланган (222- шакл, а). Мазкур балка учун  $M$  ва  $Q$  нинг эпюраларини график усулда чизамиз. Бу ҳолда, балкага қўйилган  $P_1, P_2, P_3$  ва  $P_4$  кучлар таянч реакциялари  $A$  ва  $B$  билан мувозанатлашгани учун куч қўпбурчаги билан бирга арқон қўпбурчаги ҳам ёпиқ бўлади. Олдин куч қўпбурчагини чизиб, қутб учун ихтиёрий  $O$  нуқтани оламиз ва 1, 2, 3, 4, 5 нурларни ўтказамиз (222- шакл, d). Бу нурларга тегишли арқон қўпбурчагини чизиб, ундаги I ва V нурларни таянч реакцияларининг йўналиши билан кесишгунча давом эттираемиз. Бу кесишган нуқталарни туташтириб, арқон қўпбурчагини ёпувчи VI нурнинг йўналишини аниқлаймиз. Энди мазкур VI чизиққа параллел қилиб, қутбдан 6- нурни ўтказсак, бу нур ташқи кучлар тенг таъсир этувчиси ( $P$ ) ни тегишлича  $A$  ва  $B$  реакцияларга тенг қисмларга ажратади.

Ҳар бир кесимдаги эгувчи момент ёпиқ арқон қўпбурчагининг текширилаётган кесимга тегишли ординатаси ( $y$ ) билан қутб оралиғи ( $H$ ) нинг қўпайтмасига тенг бўлади.  $y$  ни ёпувчи VI нурдан вертикал йўналиш бўйи-

ча ўлчаш лозим. Демак, ёпиқ арқон қўпбурчаги маълум масштабда эгувчи момент эпюрасини тасвирлайди. Агар  $H = 1$  деб олинса, арқон қўпбурчаги  $M$  эпюрасини асли масштабида тасвирлайди. График равишда чизилган  $M$  эпюрасини горизонтал чизиқдан ҳисоблаш учун, куч қўпбурчагидаги 6-нурни горизонтал ҳолатга келтириб, қутбни шу чизиқ устида олиш лозим. Қутб ихтиёрий танлангани учун, унинг вертикал йўналишда кўчирилиши



на  $y$  ни ва на қутб оралиғи ( $H$ ) ни ўзгартиради; фақат арқон кўпбурчаги қулай кўринишда тасвирланади, холос.

Эгувчи моментни аниқлаш учун  $y$  ни узунлик масштабида, қутб оралиғи ( $H$ ) ни эса куч масштабида ўлчаш лозим.  $Q$  нинг эпюраси олдинги масаладаги усул билан чизилади (222-шакл, с).

Энди, ёйилган юк учун  $M$  ва  $Q$  эпюраларини чизишга ўтамиз. Балкага таъсир этувчи ёйилган юкни балка бўйича бир қанча участкага ажратиб, ҳар қайси участкадаги ёйилган юкни унинг тенг таъсир қилувчисига алмаштирамиз. Ҳар қайси тенг таъсир қилувчининг миқдори тегишли юк юзига тенг бўлиб, унинг оғирлик марказига қўйилган. Ёйилган юкни ўзаро параллел бир қанча  $R_1, R_2, R_3 \dots R_n$  тўпланган юк билан алмаштирдик.

Бу юклар учун куч ва арқон кўпбурчақларини чизиб, арқон кўпбурчагининг ичидан унинг ҳар қайси томонига лекало ёрдами билан уринма эгри чизиқ ўтказиш лозим. Бу эгри чизиқ арқон чизиғи деб аталади. Ҳалиги участкаларнинг сони қанча кўп олинса, арқон кўпбурчагига ички чизилган арқон эгри чизиғи ўзининг ҳақиқий ҳолатига шунча яқин келади.

223-шаклда икки таянчга тиралган ва ихтиёрий қонун билан ёйилган юк таъсир этаётган балка учун арқон эгри чизиғи ясалган.

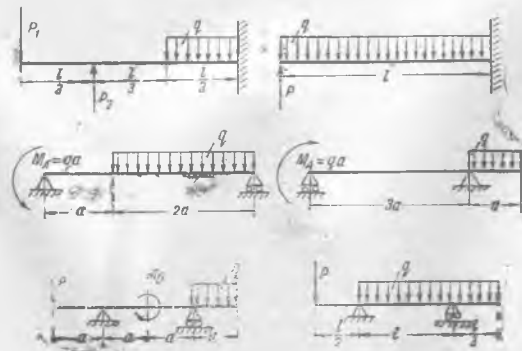
Бу ҳолда балка давомида таъсир этувчи ёйилган куч юзи олтига участкага ажратилган. Арқон чизигининг егувчи нури (VIII) ёрдами билан куч кўпбурчагидан таянч реакциялари аниқланади.

$Q$  нинг эпюраси куч кўпбурчаги ёрдамида чизилганда погонали шакл ҳосил булади. Ҳар қайси погонанинг уртасидаги нуқталарни олиб, уларни лекало билан туташтириш натижасида  $Q$  нинг эпюрасини чиқарамиз.

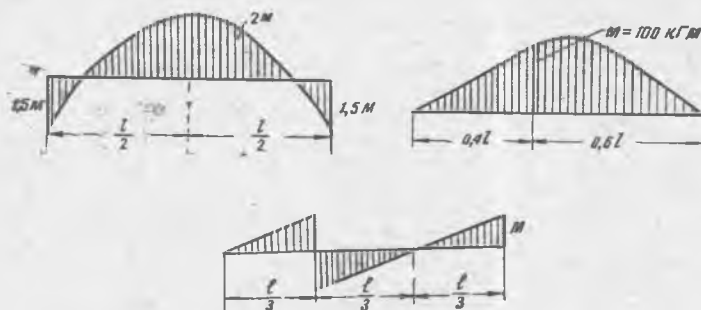
МАСАЛАЛАР

66. 224—229-шаклларда келтирилган схемаларда юкланган балкалар учун кесиб ўтувчи куч ва эгувчи момент эпюралари чизилсин.

67. 230—232-шаклларда келтирилган эгувчи момент эпюралари икки таянчга тиралган балкага қўйилган қандай юкларга мос келади? Шу юклар учун кесиб ўтувчи кучлар эпюраси чизилсин.

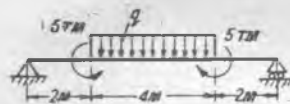


224 — 229-шакллар.



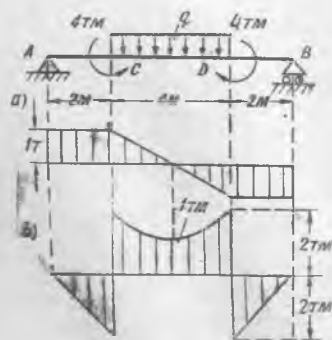
230 — 232- шакллар.

68. 233- шаклда кўрсатилган балкага таъсир қилувчи тенг ёйилган куч интенсивлиги ( $q$ ) нинг қандай қийматида балканинг урта кесимида эгувчи момент нолга тенг бўлади?  
 Жавоби.  $q = 0,833 \text{ т/м}$ .



233- шакл.

69. 234- шаклда кўрсатилган балкага таъсир қилувчи тенг ёйилган юк интенсивлиги ( $q$ ) нинг қандай қийматида  $C$  кесимнинг бевосита чап ва ўнг томонларида эгувчи моментнинг абсолют қийматлари бир хил бўлади? Шу ҳол учун  $Q$  ва  $M$  эпюралари чизилсин.  
 Жавоби.  $q = 0,5 \text{ т/м}$ ;  $Q$  ва  $M$  эпюралари 234-шакл,  $a$  ва  $b$  да тасвирланган.



234- шакл.

70. 235-шаклда тасвирланган балка учун  $C$  ва  $D$  кесимларга қўйилган моментнинг қандай қийматида  $C$  кесимнинг бевосита ўнг томонида эгувчи момент нолга тенг бўлади? Бу ҳол учун  $Q$  ва  $M$  эпюралари чизилсин.

Жавоби.  $M_0 = 2 \text{ т/м}$ ;  $Q$  ва  $M$  эпюралари 235-шакл,  $a$  ва  $b$  да тасвирланган.

71. 236- шаклда тасвирланган балка учун  $P$  кучининг қандай қийматида  $C$  кесимнинг бевосита чап томонида кесиб ўтувчи куч нолга тенг бўлади? Бу ҳол учун  $Q$  ва  $M$  эпюралари чизилсин.

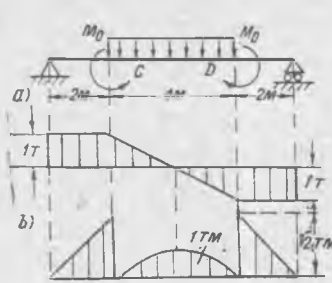
Жавоби.  $P = 2т$ ;  $Q$  ва  $M$  эпюралари 236- шакл,  $a$  ва  $b$  да тасвирланган.

72. 237 — 239-шакллардаги балкалар учун  $Q$  эпюралари тасвирланган. Бу ҳоллар учун  $M$  эпюралари чизилсин.

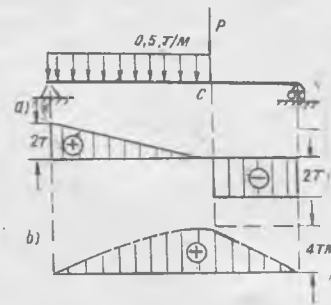
К ў р с а т м а. 72- параграфда келтирилган мулоҳазалардан фойдаланилсин;  $M$  эпюраси 237 — 239-шаклларнинг пастиди тасвирланган.

73. 240- шаклдаги балка учун  $M$  эпюраси берилган. Бу ҳол учун  $Q$  эпюраси чизилсин.

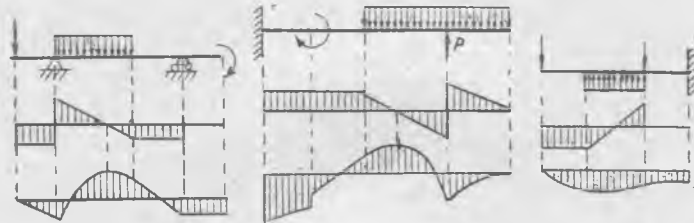
К ў р с а т м а. Бу масала ҳам 72- параграфдаги мулоҳазалар асосида ечилади.



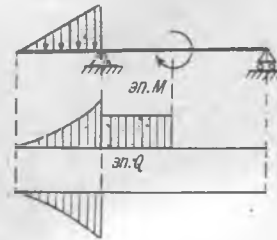
235- шакл.



236- шакл.



237 — 239- шакллари

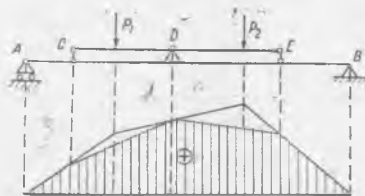


240- шакл.

### 76-§. Тугунлар орқали юкланган балкалар учун $M$ ва $Q$ эпюраларини яшаш

Тугунлар ёрдами билан таъсир қиладиган юкларнинг схематик кўриниши 241-шаклда тасвирланган. Балкага қўйиладиган  $P_1$  ва  $P_2$  юклар ёрдамчи балкалар  $CD$  ва  $DE$  орқали асосий балкага узатилади. Юклар ёрдамчи балкаларга қандай тартибда қўйилмасин, асосий балка узнинг маълум кесимларига ўрнатилган ёрдамчи балкалар таянчлари орқали узатиладиган босимларни қабул қилади. Статика нуқтан назаридан бу ҳол ёрдамчи балкаларга қўйилган ҳар бир юкни мазкур ёрдамчи балкаларнинг таянчлари орқали асосий балкага узатиладиган эквивалент кучларга ажратишдир. Юкларни тугунлар орқали асосий балкага узатишда унинг таянч реакцияси узгармайди. Шунингдек, асосий балкага бевосита қўйилган ва ёрдамчи балкалар орқали узатилган юклардан тугунлардаги кесимларда эгувчи моментлар бир хил бўлади. Ҳақиқатав ҳам, асосий балканинг  $D$  кесимидаги (241- шакл) эгув-

чи момент асосий балканинг чап таянч реакцияси ( $A$ ) билан  $P_1$  кучдан ҳосил бўлади. Тугун орқали узатилган юк учун эса эгувчи момент яна ҳалғи реакция билан  $P_1$  га статик эквивалент бўлган ёрдамчи балкаларнинг иккита реакциясининг моментига тенг. Бу хулосадан фойдаланиб, тугунлар орқали узатилган юклар учун эгувчи момент эпюраларни чизиш қондасини қуйидагича таърифлаймиз. Юклар бевосита асосий балкага қўйилган деб



241-шакл.

эгувчи момент эпюраси чизилади, сўнгра тугунларнинг проекцияси эпюра чизигига туширилиб, уларни туташтириш билан тугунлар орқали юкланган балка учун эгувчи момент эпюраси 241-шаклда штрихланган кўринишда ҳосил қилинади.

Кесиб ўтувчи кучнинг эпюрасини одатдаги йўл билан чизиш мумкин.

□

## XI боб

### ЭГИЛИШДАГИ КУЧЛАНИШЛАРНИ ҲИСОБЛАШ

#### 77-§. Соф эгилиш. Эгилиш назариясига оид гипотезалар

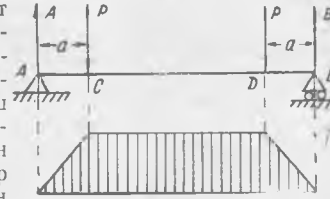
Балкаларнинг турли кўндаланг кесимларида ҳосил бўладиган эгувчи момент ва кўндаланг кучларни юқорида текшириб ўтдик. Энди, мазкур кесимлардаги нормал ва тангенциал кучланишларни аниқлаш масаласига ўтмиш. Нормал кучланишнинг фақат эгувчи моментга, тангенциал кучланишнинг эса фақат кесиб ўтувчи кучга боғлиқлигини, яъни:

$$\sigma = \sigma(M), \quad (77.1)$$

$$\tau = \tau(Q) \quad (77.2)$$

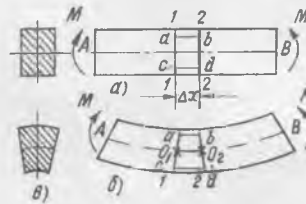
эканлигини исботлаган эдик. Бу хулоса нормал ва тангенциал кучланишларни бир-бирдан қатъий назар аниқлашга имкон беради. Олдин балкага қўйилган кучлар системасининг ҳамма кўндаланг кесимларда бир хил эгувчи момент берадиган холини текшираемиз, яъни балка давомида  $M = \text{const}$  бўлсин. Ундай бўлса, Д. И. Журавский теоремасига мувофиқ,  $Q = \frac{dM}{dx} = 0$  бўлади. Балканинг хусусий оғирлиги эътиборга олинмаганда, бундай ҳолнинг мавжуд бўлиши мумкин. Масалан, бир учи қисилиб тиралган балканинг бошқа учига жуфт куч қўйилган бўлса, унинг барча кўндаланг кесимларидаги эгувчи моментлар бир хил бўлиб, ўзгармас қийматга эга ва  $Q = 0$  бўлади. Ёки учлари билан икки таянчга тиралган балкага таянчлардан бир таянч масофадаги  $C$  ва  $D$  нуқталарга  $P$  кучи қўйилган бўлса (242-шакл),  $CD$  оралиғида  $M = \text{const}$  бўлиб,  $Q = 0$  бўлади.

Бундай эгилиш соф эгилиш дейилади. 242-шаклдаги балканинг чап таянчидан  $a$  масофадаги кесимни олсак, бу кесимда фақат эгувчи момент  $M=Pa$  таъсир этиб,  $Q=0$  булади. Шунинг учун кесим юзаси бўйича нормал кучланишлар бўлиб, уларнинг моменти ҳалиги эгувчи моментга тенг жуфт кучга келтирилади. Қўндаланг кесимнинг қайси нуқтаида энг катта нормал кучланиш ҳосил бўлишини билиш учун, нормал кучланишнинг кесим юзаси бўйича қандай қонун билан ўзгаришини билиш зарур. Аммо мувозанат шартидан бу масаланинг жавобини ололмаймиз. Бу жиҳатдан олганда масала статик аниқмасдир. Қўшимча тенгламани балканинг деформацияланишини текшириш учун ўтказилган тажрибаларнинг оқибатларидан фойдаланиб чиқарамиз. Бунинг учун симметрия текислигида ётувчи жуфт кучлар таъсирида соф эгилишда бўлган балка учун кузатиш натижаларини кўздан кечирамиз (243-шакл).



242-шакл.

Балканинг сиртида, унинг бир-бирига чексиз яқин икки кесимини аниқловчи 1—1 ва 2—2 чизиқларни оламиз. Уларнинг оралиги  $dx$  бўлсин. Ҳалиги кесимлар орасида балканинг ўқига параллел қилиб,  $ab$  ва  $cd$  чизиқларни ўтказамиз. Булардан  $ab$  ни балканинг юқориги юзасига,  $cd$  ни эса пастки юзасига яқин қилиб оламиз (243-шакл, а). Балка деформациялангунча:  $ab = cd = dx$  эди.



243-шакл.

Ўтказилган тажрибалар қуйидагиларни кўрсатади:

1. Деформация натижасида 1—1 ва 2—2 тўғри чизиқлар тўғрилигича қолиб, фақат бир-бирига нисбатан  $d\theta$  бурчакка айланади.
2.  $ab$  кесма қисқариб,  $cd$  кесма узаяди (243-шакл, б).
3. Балканинг кенглиги толаларининг сиқилган зоналарида ортиб, узайган зоналарида эса камаяди (243-шакл, в). Бу ҳодисани Пуассон коэффициентини воситаси билан ҳисобга олиш мумкин.

Келтирилган тажриба оқибатларидан, соф эгилишдаги балканинг деформацияси ҳақида қуйидаги хулосаларни чиқаришимиз мумкин:

Модомки, балка сиртидаги 1—1 ва 2—2 чизиқлар деформация натижасида тўғрилигича қолиб, фақат бир-бирига нисбатан айланар экан, балканинг қўндаланг кесим юзалари текислигича қолиб, фақат бир-бирига нисбатан  $d\theta$  бурчакка айланади. Қўйилган жуфт куч моменти мусбат бўлган ҳолда  $ab$  қисқариб,  $cd$  узайгани учун, балканинг юқори қатламларидаги толалари сиқилиб, пастки қатламларидаги толалари чўзилади.

Балканинг деформацияси баландлиги бўйича узлуксиз равишда ўзгариши учун, пастки қатламдаги толалар чўзилишдан сиқилишга ўтишда, бу қатламларни ажратувчи шундай бир қатламни учратамизки, ундаги толалар ўз узунлигини ўзгартирмайди. Бу қатлам *нейтрал* қатлам деб аталади. 243-шакл, б да нейтрал қатлам нуқтали чизиқ билан тасвирланган. Нейтрал қатламда олинган  $O_1O_2$  кесманинг узунлиги ( $dx$ ) ўзгармаган.

Биз текшираётган ҳолда, кучлар текислиги балканинг симметрия текислиги бўлгани учун, унинг иккала томонидаги қисмлари мазкур симметрия текислигига нисбатан симметрик деформацияланади. Шунинг учун, нейтрал

қатламга параллел ҳар қандай қатламдаги толаларнинг деформацияси балканинг кенглиги бўйича қандай ҳолатда эканлигига боғлиқ бўлмайди, деган хулласани чиқаришимиз мумкин. Нейтрал қатламнинг ҳар бир кўндаланг кесим юзаси билан аниқланган чизиғи мазкур кесимнинг *нейтрал ўқи* деб аталади. Нейтрал қатлам балканинг симметрия текислигига тик бўлгани учун, нейтрал ўқ ҳам шу текисликка тикдир. Балка эгилганда ҳар бир кўндаланг кесим ўз нейтрал ўқи атрофида айланади. Масалан, 243-шаклда 1—1 чизиқ билан аниқланган кўндаланг кесим нейтрал ўқ  $O_1$  атрофида, 2—2 билан аниқланган кўндаланг кесим эса  $O_2$  атрофида айланиши тасвирланган. 1—1 ва 2—2 чизиқлар билан аниқланган кўндаланг кесимлар нейтрал ўқ устида ётмаган бошқа ўқлар атрофида айланса,  $O_1O_2$  кесимнинг узунлиги ўзгарган бўлар эди.

Кўндаланг кесимлар кучлар текислигига тик бўлган нейтрал ўқлар атрофида айлангани учун, мазкур текисликдаги нуқталар деформациядан кейин ҳам шу текисликда қолади. Демак, балканинг ўқи деформациядан кейин кучлар текислигида қолиб, фақат текис эгри чизиққа айланади. Шунинг учун ҳам бундай эгилиш *текис эгилиш* дейилади.

Юқорида келтирилган мулоҳазалар асосида соф эгилиш назариясининг гипотезаларини қуйидагича таърифлаймиз:

а) Соф эгилишда балканинг деформациягача текис бўлган кўндаланг кесимлари деформациядан кейин ҳам текислигича қолади. Бу қоида, кўпинча, «текис кўндаланг кесим гипотезаси» ёки Бернулли гипотезаси дейилади. Энг аввал бу гипотезани 1705 йилда Я. Бернулли деган олим баён этган эди.

б) Балканинг бўйлама толалари кесимнинг кенглиги бўйича ўзаро ҳеч қандай босим кўрсатмайди, нормал кучланишлар таъсиридан толалар фақат чўзилади ёки сиқилади.

Толалар балканинг кенглиги бўйича бир хилда деформацияланади. Шунинг учун нормал кучланиш ҳам балканинг баландлигига ўзгариб, кенглигига ўзгармайди. Бу гипотезалар соф эгилиш учун тажриба оқибатининг хулосалари бўлган ҳолда, кўндаланг эгилиш учун тақрибий аҳамиятга эгадир. Аммо кўпчилик ҳолларда бу гипотезаларни татбиқ қилиш натижасида рўй берадиган хатоларни амалий масалаларни ечишда эътиборга олмасан ҳам бўлади.

### 78-§. Соф эгилишдаги нормал кучланишлар

Моменти  $M$  га тенг жуфт кучлар таъсиридан соф эгилишда бўлган балкани олиб, унинг ўқиға тик қилиб 1—1 текислигини ўтказамиз. Бу текислик билан балкани фикран икки қисмга ажратиб, чап қисмининг мувозанатини текширамиз (244-шакл). Тасвирлаш жиҳатидан оддий бўлгани учун тўғри тўртбурчак кесимли балкани олдик. Балканинг чап қисмини қолдириб, унинг мувозанатини текширамиз. Мувозанат тенгламаларини тузишда текшириладиган қисмининг деформациясини эътиборга олмаслигимиз мумкин, чунки бу деформация балка ўлчамларига қараганда жуда кичикдир. Координата ўқларининг йўналишини қуйидагича танлаймиз. Балканинг симметрия текислиги (ташқи кучлар ҳам шу текисликда ётади) билан кўндаланг кесим юзаларининг кесишган чизиқларини  $z$  ўқи деб қабул қиламиз,  $y$  ўқини кесимнинг нейтрал ўқи бўйлаб йўналтирсак,  $x$  ўқи  $yz$  текислигига тик бўлиб, нейтрал қатламда ётади. Аммо нейтрал қатламнинг ҳолати маълум бўлмагани учун, ҳозирча  $y$  ва  $x$  ўқларининг ҳолати ҳам маълум эмас.

Кундаланг кесимнинг ҳар бир нуқтасига нормал кучланиш ( $\sigma$ ) таъсир қилади. Координатлари  $y$  ва  $z$  бўлган бирор нуқтанинг атрофидан элементар  $dF$  юза ажратамиз (244-шакл). Мазкур элементар юзага таъсир этувчи нормал зўриқиш  $dN = \sigma dF$  бўлади.

Балканинг қолдирилган қисми моменти  $M$  га тенг бўлган ташқи жуфт ва ташлаб юборилган қисмининг таъсирини алмаштирувчи  $dN$  нормал зўриқишлар таъсирида мувозанатда туради. Шунинг учун мазкур кучлар системаси статиканинг олти таъ мувозанат тенгламасини қаноатлантириши керак.

Олдин  $x, y, z$  ўқларидаги проекциялар тенгламасини ёзамиз. Жуфт кучнинг ҳар қандай ўқдаги проекцияси айнан нолга тенг бўлгани учун, координата ўқларидаги проекциялар тенгламаси  $dN$  нормал зўриқишларнинг тегишли ўқлардаги проекцияларининг йиғиндисини нолга тенглашдан иборат бўлади:

$$\sum X = \int_F \sigma dF = 0. \quad (78.1)$$

Нормал зўриқиш  $dN$  координата ўқлари  $y$  ва  $z$  га тик йўналгани учун, унинг бу ўқлардаги проекцияси айнан нолга тенг, шунинг учун қуйидаги икки тенглама айниятга айланади:

$$\sum Y = 0, \quad \sum Z = 0.$$

Энди,  $x, y, z$  ўқларига нисбатан моментлар тенгламаларини тузамиз. Балкага қўйилган жуфт куч  $хоз$  текислигида ётгани учун, унинг  $x$  ва  $z$  ўқларига нисбатан моменти нолга тенгдир.  $dN$  нормал зўриқиш  $x$  ўқига параллел бўлгани учун мазкур  $x$  ўқига нисбатан олинган моментлар йиғиндиси ҳам айнан нолга тенг бўлиб, тегишли тенглама айниятга айланади:

$$\sum M_x = 0.$$

$y$  ва  $z$  ўқларига нисбатан олинган моментлар йиғиндиси қуйидагича ёзилади:

$$\sum M_y = - \int_F \sigma dF \cdot z + M = 0.$$

Бундан:

$$M = \int_F \sigma z dF. \quad (78.2)$$

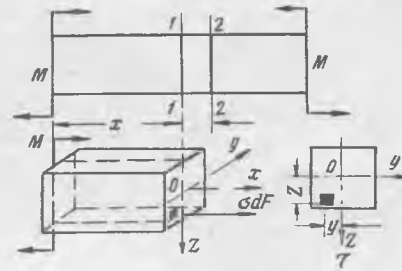
$$\sum M_z = \int_F \sigma dF \cdot y = 0. \quad (78.3)$$

Бинобарин, статиканинг олти таъ тенгламасидан фақат учтасидангина фойдаланиш мумкин экан, улар қуйидагилардир:

$$\sum X = 0 \text{ ёки } \int_F \sigma dF = 0; \quad (78.1)$$

$$\sum M_y = 0 \text{ ёки } \int_F \sigma z dF = M; \quad (78.2)$$

$$\sum M_z = 0 \text{ ёки } \int_F \sigma y dF = 0. \quad (78.3)$$

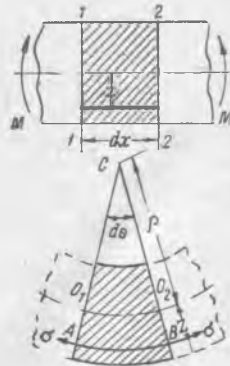


244-шакл.

Аммо бу тенгламалардан кучланиш ( $\sigma$ ) ни аниқлаб бўлмайди, чунки у элементар  $dF$  юзанинг координатаси ( $z$ ) га боғлиқдир.

$\sigma$  кучланиш балканинг баландлиги бўйича қандай қонун билан ўзгариши маълум эмас. Ундан ташқари, нейтрал ўқ ( $y$ ) нинг ҳолати ҳам маълум бўлмагани учун, оралиқ ( $z$ ) ҳам номаълумдир.

Қўшимча тенгламани тузиш мақсадида балканинг деформациясини текшираемиз. Бунинг учун балкадан бир-бирига чексиз яқин 1—1 ва 2—2



245- шакл.

кўндаланг кесимлар воситаси билан узунлиги  $dx$  га тенг бўлган бир элемент ажратамиз. Бу элементнинг деформациягача ва ундан кейинги кўриниши 245- шаклда тасвирланган. 1—1 ва 2—2 кўндаланг кесимлар текис қолган ҳолда нейтрал ўқлар атрофида айланиб бир-бири билан  $d\theta$  бурчак ҳосил қилади. Шаклда нейтрал қатлам нуқтали чизик билан кўрсатилган.  $O_1O_2$  кесма нейтрал қатлам устида ётгани учун деформациядан кейин ҳам ўзининг олдинги узунлиги ( $dx$ ) ни сақлайди.

Нейтрал қатламдан юқоридаги барча толалар сиқилиб, пастдагилари чўзилади. Нейтрал қатламдан  $z$  масофадаги бирор  $AB$  толанинг  $\sigma$  кучланиш таъсиридан чўзилишини аниқлаймиз. Бу толанинг деформациягача узунлиги  $AB = dx = \rho d\theta$  эди. Деформациядан кейин у  $A_1B_1$  ёй билан тасвирланади, бу ёйнинг узунлиги  $A_1B_1 = (\rho + z)d\theta$ .

Текширилаётган толанинг абсолют чўзилиши

$$\Delta(dx) = A_1B_1 - AB = (\rho + z)d\theta - \rho d\theta = z d\theta$$

бўлади. Бу толанинг nisбий чўзилиши ( $\epsilon$ ) ни аниқлаш учун  $\Delta(dx)$  ни текширилаётган толанинг олдинги узунлиги ( $dx$ ) га бўлиш керак:

$$\epsilon = \frac{\Delta(dx)}{dx} = \frac{z d\theta}{\rho d\theta} = \frac{z}{\rho}. \quad (78.4)$$

Демак, текширилаётган толанинг nisбий чўзилиши унинг нейтрал ўқгача бўлган масофасига пропорционал экан. Бунда  $\rho$  — нейтрал қатламнинг эгрилик радиуси;  $z$  ажратилган элемент учун маълум қийматга эгадир.

Юқорида қабул қилинган гипотезаларга мувофиқ, эгилишда балканинг толалари бир-бирига ҳеч қандай босим кўрсатмасдан, ҳар қайси тола ўзича чўзилиб ёки сиқилади. Бундай чўзилишдаги ёки сиқилишдаги толаларда ҳосил бўлган кучланишларни ҳисоблаш учун Гук қонунидан фойдаланишимиз мумкин. Шунинг учун:

$$\sigma = E\epsilon = E \frac{z}{\rho}. \quad (78.5)$$

Кўрамизки, кўндаланг кесимнинг бир нуқтасидаги нормал кучланиш, мазкур нуқтанинг нейтрал ўқгача бўлган масофасига пропорционал экан. Демак, соф эгилишда нормал кучланиш балканинг баландлиги бўйича чизикли қонун билан ўзгаради. Бу (78.5) формула кўндаланг кесим бўйича нормал кучланиш ( $\sigma$ ) нинг қандай қонун билан ўзгаришининггина ифодалайди, аммо унинг ёрдами билан кучланишни ҳисоблаб бўлмайди, чунки нейтрал ўқнинг ҳолати, шунинг билан бирга, нейтрал қатламнинг эгрилик радиуси ( $\rho$ ) маълум эмас. Кучланиш ( $\sigma$ ) ни эгувчи момент ( $M$ ) билан боғ-

лаш учун, деформация шартидан чиқарилган тенглама (78.5) билан статика тенгламалари (78.1), (78.2) ва (78.3) ни биргаликда ечиш лозим. Кучланиш ( $\sigma$ ) нинг қийматини (78.5) дан (78.1) тенгламага қўямиз:

$$\int_V \frac{E}{\rho} z dF = 0.$$

$\frac{E}{\rho} = \text{const}$  ва нолга тенг бўлмагани учун:

$$\int_V z dF = 0 \quad (78.6)$$

бўлади.

Бу интеграл кўндаланг кесим юзасининг нейтрал ўққа нисбатан статик моментидир. У нолга тенг бўлаётир; демак, нейтрал ўқ кесим юзасининг оғирлик марказидан ўтар экан. Оз ўқи кесимнинг симметрия ўқи бўлгани учун оғирлик маркази бу ўқнинг устида ётади. Ҳар бир кўндаланг кесимда оғирлик маркази ( $O$ ) икки ўқнинг кесишган нуқтасида ётгани учун, координаталар ўқи ( $Ox$ ) балканинг геометрик ўқи бўлади. Демак, (79.6) тенглама нейтрал ўқ ва нейтрал қатламнинг ҳолатини тўла аниқлайди.

Энди, (78.5) ифодани (78.3) га қўямиз:

$$\int_V \frac{E}{\rho} zy dF = 0 \quad \text{ёки} \quad \frac{E}{\rho} \int_V zy dF = 0;$$

бундан:

$$\int_V zy dF = 0. \quad (78.7)$$

Бу интеграл кўндаланг кесим юзасининг  $y$  ва  $z$  ўқларига нисбатан марказдан қочувчи инерция моментидир.  $z$  ўқи симметрия ўқи бўлганлигидан  $y$  бош ўқдир, шунинг билан бирга, нейтрал ўқ ( $y$ ) ҳам кўндаланг кесимнинг иккинчи бош ўқи бўлади.

Масалани осонлаштириш учун  $z$  ўқини кўндаланг кесимнинг симметрия ўқи деб фараз қилдик. Бундан фойдаланиб, эгилиш текислиги билан кучлар ётган текисликларни мос келади ва нейтрал ўқ ( $y$ ) бу текисликларга тик йўналади, деган хулосани чиқардик. Нейтрал ўқнинг кучлар текислигига тик йўналишини умумий ҳол учун, яъни  $z$  ўқи симметрия ўқи бўлмаган ҳол учун ҳам исботлаш мумкин. Олдинги хулосага диққат билан қарасак,  $z$  ўқининг симметрия ўқи эканлигидан фақат кўндаланг кесим юзаси марказдан қочувчи инерция моменти ( $I_{yz}$ ) нинг нолга тенг бўлиши учун фойдаландик. Аммо марказдан қочувчи инерция моменти ( $I_{yz}$ ) симметрия ўқи бор кесим учунгина эмас, балки ихтиёрий шаклдаги кесим учун  $z$  ва  $y$  ўқлар бош инерция ўқлари бўлган ҳолда ҳам нолга тенг бўлади. Бунга асосланиб, қуйидаги хулосани чиқаришимиз мумкин: эгувчи момент кўндаланг кесим юзасининг бош ўқларидан биттаси орқали ўтувчи  $zx$  текисликда ётса, нейтрал ўқ кўндаланг кесимнинг иккинчи бош ўқи бўлади. Балканинг геометрик ўқи ва кўндаланг кесим юзасининг бирор бош инерция ўқи орқали ўтувчи текислик бош текислик деб аталади. Балкага қўйилган жуфт унинг бош текисликларидан биттасида ётса, эгилиш шу текисликда бўлади. Ниҳоят, статиканинг энг кейинги тенгламаси (78.2) дан фойдаланамиз. Унга (78.5) ни қўйсак:

$$\int_V \frac{E}{\rho} z^2 dF = M \quad \text{ёки} \quad \frac{E}{\rho} \int_V z^2 dF = M$$

келиб чиқади. Бу тенгликнинг чап томонидаги интеграл кўндаланг кесим юзасининг нейтрал ўққа нисбатан инерция моменти бўлгани учун, уни  $I_y$  орқали белгилаймиз:

$$I_y = \int_F z^2 dF. \quad (78.8)$$

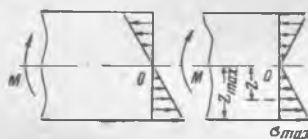
Бу кўзда тутилса, юқоридаги тенглама қуйидагича ёзилади:

$$\frac{EI_y}{\rho} = M \quad \text{ёки} \quad \frac{1}{\rho} = \frac{M}{EI_y}. \quad (78.9)$$

Эгилган ўқнинг эгрилиги  $\frac{1}{\rho}$  эгувчи момент ( $M$ ) га тўғри пропорционал бўлиб,  $EI_y$  га тескари пропорционал экан.  $EI_y$  балканинг эгилишдаги бикирлиги деб аталади. (78.9) тенглама эгилиш назариясининг асосий муносабатларидан биридир. Бу муносабатдан фойдаланиб, келгусида балканинг эгилган ўқини текшираемиз; ҳозирча ундан фойдаланиб, нормал кучланиш формуласини чиқарамиз.

$\frac{1}{\rho}$  нинг қийматини (78.9) дан (78.5) га қўйсак, қуйидаги формула ҳосил бўлади:

$$\sigma = \frac{M}{I_y} z. \quad (78.10)$$



246- шакл.

Кўндаланг кесимнинг ҳар бир нуқта-сидаги нормал кучланиш эгувчи момент ва мазкур нуқтанинг нейтрал ўққача бўлган масофасига тўғри пропорционал бўлиб, кўндаланг кесим юзасининг нейтрал ўққа нисбатан олинган инерция моментига тескари пропорционал экан. (78.10) дан фойдала-

ниб, балканинг кўндаланг кесими бўйича нормал кучланиш ( $\sigma$ ) нинг ўзгариш қонунини тасвирлашимиз мумкин. Пастки қатламлардаги толалар чўзилиб, нейтрал ўқда ( $z = 0$ ),  $\sigma = 0$  бўлади. Сиқилиш зонасига ўтиш билан кучланиш ( $\sigma$ ) координата  $z$  билан бирга ишорасини  $+$  дан  $-$  га ўзгартиради, унинг абсолют қиймати эса нейтрал ўқдан узоқлашган сари кўпая боради. Демак, кучланишнинг энг катта қиймати кесимнинг энг юқори ва энг паст толаларида  $z = z_{\max}$  бўлганда ҳосил бўлар экан. Кучланиш ( $\sigma$ ) нинг тўғри тўрт бурчакли кесим бўйича тарқалиши 246-шаклда тасвирланган.

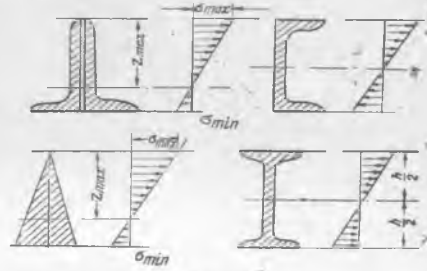
### 79-§. Эгилиш учун ҳисоб тенгламаси

Соф эгилиш учун балканинг кўндаланг кесимидаги нормал кучланиш (78.10) формуладан ҳисобланади. Ўтказилган текширишлар бу формула ёрдами билан  $Q$  нолга тенг бўлмаганда ҳам нормал кучланишни ҳисоблаш мумкинлигини кўрсатади.  $Q$  нинг мавжуд бўлиши текис кўндаланг кесимларни бирмунча қийшайтиради, аммо бу қийшайиш иккита қўшни кўндаланг кесим орасидаги элемент толаларининг бўйлама деформациялари характерини ўзгартирмайди. 247-шаклда турли шаклдаги кўндаланг кесимлар учун нормал кучланишнинг ёйилиш характери тасвирланган. Нейтрал ўқдан бир хил узоқликдаги барча нуқталарда нормал кучланишлар бир хилдадир. Нейтрал ўқнинг бир томонида кучланиш чўзувчи бўлиб, бошқа томонида сиқувчидир. Энг катта нормал кучланишлар нейтрал ўқдан энг узоқ нуқталарда ҳосил бўлади.

$M$  ва  $z$  нинг 244-шаклда кўрсатилганча йўналиши  $\sigma$  учун тўғри ишорани беради. Эгувчи момент мусбат бўлган ҳолда, балканинг дўнг томони пастга қараган бўлиб, юқоридаги толалар сиқилади;  $z < 0$  бўлганидан (78.10) формула манфий ишорада бўлади;  $M < 0$  бўлса, юқоридаги толалар чўзилар эди:  $z < 0$  бўлгани учун  $\sigma > 0$  бўлар эди.

Кўндаланг кесимнинг чўзувчи толаларига мос нуқталарда  $\sigma$  ни мусбат, сиқилувчи толаларга мос нуқталарда эса манфий ишора билан олиш лозим.

Балка материалнинг нормал кучланишга нисбатан мустақамлигини текшириш учун, энг катта чўзувчи ва сиқувчи кучланиш таъсиридаги юзачани топиш лозим. Бунинг учун олдин хавфли кесимни ва ундаги энг катта эгувчи моментнинг қийматини аниқлаш лозим. Мазкур кесимнинг нейтрал ўқдан энг узоқ нуқтаси учун  $z_{\max}$  ни топиб, (78.10) га қўйиш керак. У ҳолда энг катта нормал кучланиш учун қуйидаги формулани оламиз:



247-шакл.

$$\sigma_{\max} = \frac{M_{\max} z_{\max}}{I_y} \quad (79.1)$$

Бу формуланинг сурати ва маҳражини  $z_{\max}$  га бўлиб, қуйидаги кўринишда ёзамиз:

$$\sigma_{\max} = \frac{M_{\max}}{\left(\frac{I_y}{z_{\max}}\right)}$$

$\frac{I_y}{z_{\max}}$  эгилишдаги қаршилик momenti деб аталади ва  $W_y$  билан белгиланади:

$$\frac{I_y}{z_{\max}} = W_y \quad (79.2)$$

Кўндаланг кесимнинг нейтрал ўққа нисбатан инерция momenti  $I_y \text{ см}^4$  ҳисобида ўлчангани учун қаршилик momenti  $W \text{ см}^3$  ҳисобида ўлчанади. (79.2) ни кўзда тутиб, максимал нормал кучланишни қуйидаги кўринишда ёзамиз:

$$\sigma_{\max} = \frac{M_{\max}}{W_y} \quad (79.3)$$

Кўрамызки, балканинг кўндаланг кесими учун қаршилик momenti ( $W_y$ ) қанча катта бўлса, ундаги максимал нормал кучланиш шунча кичик бўлар экан. Қаршилик momenti ( $W_y$ ), инерция momenti ( $I_y$ ) каби, кўндаланг кесим ўлчамлари билан бирга унинг шаклига ҳам боғлиқдир. Қандай кўринишдаги кўндаланг кесимнинг энг рационал бўлиши ҳақида кейинги параграфда тўхталиб ўтамиз. Қаршилик momenti ( $W$ ) оддий кўринишдаги шакллар учун инерция momenti ( $J$ ) каби ҳисобланади. Масалан, тўғри тўртбурчакли кесим учун:

$$W_y = \frac{I_y}{h/2} = \frac{bh^3}{12} : \frac{h}{2} = \frac{bh^2}{6}$$

бўлади. Кўп тарқалган стандарт профиллар учун  $W$  нинг қийматлари ГОСТ нинг махсус жадвалларида берилади.

Балка материалнинг рухсат этилган кучланиши  $[\sigma]$  чўзилиш ва сиқилиш учун бир хил бўлса, кўндаланг кесим шакли ва ўлчамлари маълум бўлган балканинг мустаҳкамлик шarti (79.3) га мувофиқ, қуйидагича ёзилади:

$$\sigma_{\max} = \frac{M_{\max}}{W_y} \leq [\sigma]. \quad (79.4)$$

Маълум юк таъсиридаги балканинг материали берилган бўлса, унинг мустаҳкамлигини таъмин этувчи кўндаланг кесимни танлаш учун олдин (79.4) дан қаршилик моменти ( $W_y$ ) ни аниқлаш лозим:

$$W_y \geq \frac{M_{\max}}{[\sigma]}. \quad (79.5)$$

Кесим учун энг маъқул шакл танланиб, унинг ўлчамлари ГОСТ жадвалидан олинади ёки бевосита ҳисобланади. Бу тарзда танланган қаршилик моментининг қиймати (79.5) формуладан чиқарилган қийматга мумкин қадар яқин бўлиши керак. Танланган қаршилик моментининг қиймати унинг ҳақиқий қийматидан 5% чегарасида кагта ёки кичик бўлиши мумкин. Қаршилик моменти стандарт профиллар учун ГОСТ нинг жадвалидан танланганда бундай фарқ албатта бўлади; бундай ҳолларда фарқнинг ортиқча мустаҳкамлик берадиган томонини олиш зарур.

Балканинг материали ва кўндаланг кесим юзи маълум бўлса, унга қўйилиши мумкин бўлган юкни аниқлаш учун олдин (79.4) формуладан  $M_{\max}$  ни ҳисоблаш зарур:

$$M_{\max} \leq W_y [\sigma]. \quad (79.6)$$

Бу қийматга асосланиб, балканинг маълум оралиғи учун қўйилиши мумкин бўлган юк аниқланади.

Нейтрал ўқ кесимнинг симметрия ўқи бўлмаса, бунинг устига, балканинг материали чўзилиш ва сиқилишга бир хилда қаршилик кўрсатмаса, мустаҳкамлик шартини чўзилувчи ва сиқилувчи қисмлар учун алоҳида тузиш зарур. Рухсат этилган кучланишлар тегишлича  $[\sigma_{\text{чўз}}]$  ва  $[\sigma_{\text{сиқ}}]$  бўлса, қаршилик моментини чўзилувчи зона учун  $W_1$ , сиқилувчи зона учун эса  $W_2$  билан белгилаб, мустаҳкамлик шартини қуйидагича ёзамиз:

$$\sigma_{\text{чўз}} = \frac{M_{\max}}{W_1} \leq [\sigma_{\text{чўз}}], \quad \sigma_{\text{сиқ}} = -\frac{M_{\max}}{W_2} \leq [\sigma_{\text{сиқ}}]. \quad (79.7)$$

Прокат ва қўйма пулатлар учун эгилишдаги рухсат этилган кучланиш оддий чўзилишдагидек олинади.

Турли тошлар, улардан ишланган иншоот қисмлари ва бетонлар сиқилишга яхши қаршилик кўрсатгани ҳолда чўзилишга жуда ёмон ишлайди. Шунинг учун уларни чўзилишга мумкин қадар ишлатмаслик тадбирлари кўрилади. Иложи бўлмаган ҳолларда ортиқча запас қўйиб ишлатилади.

#### 80-§. Балка кесимларининг рационал шакллари

Балкага қўйилган юклар ва кўндаланг кесим ўлчамлари маълум бўлса, унинг ҳар бир нуқтасидаги кучланиш миқдорини аниқлаб, шу билан бирга, балканинг мустаҳкамлиги тўғрисида мулоҳаза юргизишимиз мумкин. Аммо иншоотларни лойи ҳалашда, кўпинча, юқорида айtilган масаланинг тескарисини ечишга тўғри келади.

Балканинг кўндаланг кесими шундай танланиши зарурки, у мустаҳкамлик шартини қаноатлантириш билан бирга, енгил бўлсин, яъни балканинг материали маълум хусусиятга эга бўлган ҳолда мустаҳкамлик шартини қаноатлантириши билан иқтисодий шартни ҳам қаноатлантирсин. Балкага

сарфланган материалнинг миқдори унинг кўндаланг кесим юзига пропорционал бўлади, шунинг учун кўндаланг кесим юзининг қиймати ўзгармаган ҳолда, унинг қаршилик моменти қанча катта бўлса, кесим шунча рационал шаклда, яъни шунча қулай бўлади.

Бу муносабат билан, кўндаланг кесим рационал шаклининг ўлчами учун  $\frac{W}{F}$  нисбатни олиш мумкин. Масалан, тўғри тўртбурчакли кесим учун,  $W = \frac{bh^2}{6}$ ,  $F = bh$  бўлади. Унинг рационал ўлчами:  $\frac{W}{F} = \frac{h}{6} = 0,167 h$  дир. Қўрамизки, тўғри бурчакли кесимнинг рационаллиги унинг баландлиги ( $h$ ) га пропорционал ўсаётир. Бу пропорционалликни бошқа шаклдаги кесимлар учун ҳам шу тарзда ёзиш мумкин, лекин бунда пропорционаллик коэффициенти бошқа бўлади. Дарҳақиқат, қаршилик моменти ( $W$ ) ни қуйидагича ифодалаш мумкин:

$$W = \lambda Fh. \quad (80.1)$$

Бундай кесимнинг рационал ўлчамини қуйидагича ёзишимиз мумкин:

$$\frac{W}{F} = \lambda h; \quad (80.2)$$

бунда  $\lambda$  — фақат кесимнинг шаклига боғлиқ коэффициент. Қандай кўринишдаги кесим энг рационал бўлишини текшириш учун, бир хил баландликдаги кесимларни солиштириш лозим. Масалан, диаметри  $d = h$  бўлган доиравий кесимнинг рационал ўлчамини топамиз:

$$W = \frac{\pi r^3}{4}; \quad F = \pi r^2; \quad \frac{W}{F} = \frac{r}{4} = \frac{d}{8} = 0,125 h.$$

Демак, доиравий кесим учун  $\lambda = 0,125$  бўлади. Тўғри бурчакли кесим доиравий кесимга қараганда бирмунча рационал бўлар экан. Шунинг учун баландлиги катта бўлган тўғри тўрт бурчакли кесим энг рационал бўлади, деган хулоса чиқаришимиз мумкин. Аммо кесимнинг кенглиги ҳисобига унинг баландлигини беҳад кўпайтириб бўлмайди, чунки ингичка кесимли балка эгилиш текислигидан оғиб, буралиб кетиши, яъни балканинг эгилишдаги мувозанати етарли даражада усгивор бўлмаслиги мумкин. Кўндаланг кесим бўйича нормал кучланишнинг тарқалишига қарасак, нейтрал ўқ атрофидаги материал жуда оз фойдаланилган ҳолда, кесимнинг пастки ва юқоридаги чеккаларига яқин жойлашган материал катта кучланиш таъсирида бўлишини кўрамиз. Шунинг учун кўндаланг кесим материални кўпроқ юқори ва пастки чеккаларга яқин элементларга суриб, нейтрал ўққа яқин элементларда озайтирса ҳам бўлади. Бу мулоҳазалар оқибати қўш таврли ва швеллер кесимларнинг вужудга келишига сабаб бўлди.

Қўш таврли кесим учун  $\lambda = 0,29 \div 0,31$  гача бўлади. Демак, қўш таврли кесимли прокат балка баландлиги  $u$  билан бир хил бўлган тўғри тўртбурчак кесимли балкага қараганда тахминан икки марта рационал бўлар экан, яъни унга баландлиги бир хилда тўғри тўртбурчак кесимли балкага қараганда тахминан икки ҳисса кўп юк қўйилиши мумкин экан. Швеллер кесимлар учун  $\lambda = 0,27 \div 0,31$  орасида бўлади.

Агарда кўндаланг кесим бўйича барча материални кесимнинг тепа ва паст чеккасига жойласак,  $I = I_0 + F \left(\frac{h}{2}\right)^2$  бўлади, бунда  $I_0 = 0$  дейишимиз мумкин, чунки  $I_0 = \frac{b(\Delta h)^3}{12} \approx 0$ ; шунинг учун:  $I = F \left(\frac{h}{2}\right)^2$  дир.

Бу ҳолда:

$$\frac{W}{F} = \frac{F \left(\frac{h}{2}\right)^2}{F} = \frac{h}{2} = 0,5h; \quad \lambda = 0,5.$$

Аммо бу иккита юқори ва пастки чеккалардаги юзаларни бир-бири билан туташтириш учун бир девор бўлиши зарур. Бу деворнинг қалинлигини шундай танлаш керакки, у кесиб ўтувчи куч таъсирига бардош бера олсин. Ҳар ҳолда қўш таврли ва швеллер кесимлар идеал ҳолга анча яқиндир. Бу тарикадаги кесимларнинг баландлигини ҳам қалинлиги ҳисобига беҳад кўпайтириб бўлмайди. Масалан, бизда Совет Иттифокида тарқалган қўш таврли кесимнинг баландлиги 70 см, швеллерники 40 см гачадир. Бундан баланд кесимлар пайвандлаш ёки парчинлаш ёрдами билан туташтириладиган алоҳида полосалардан тузилади.

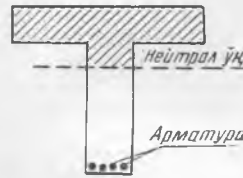
Балка материали чўзилиш ва сиқилишга бир хилда қаршилиқ кўрсатса, кўпинча, нейтрал ўққа нисбатан симметрик кесимлар қўлланилади. Нейтрал ўққа нисбатан симметрик бўлмаган кесимлар бундай ҳолларда ноқулайдир, чунки нейтрал ўқ билан энг четдаги толаларнинг оралиғи бир хил бўлмагани ҳолда, нейтрал ўқдан камроқ узоқдаги элементларда кучланишлар қиймати рухсат этилган кучланишдан пастдир. Аксинча, чўзилиш ва сиқилишга бир хилда қаршилиқ кўрсатмайдиган материаллар учун нейтрал ўққа нисбатан симметрик бўлмаган кесимларни ишлатиш қулайдир. Нейтрал ўқ билан энг четки толалар оралиғи ( $z_1$  ва  $z_2$ ) ни шундай танлаш керакки, улар тегишли рухсат этилган кучланишларга пропорционал, яъни:

$$\frac{M_{\max}}{I_y} z_1 = [\sigma_{\text{чўз}}]$$

бўлсин, булардан:

$$\frac{M_{\max}}{I_y} z_2 = [\sigma_{\text{сиқ}}]$$

$$\frac{[\sigma_{\text{чўз}}]}{[\sigma_{\text{сиқ}}]} = \frac{z_1}{z_2} \quad (80.3)$$



248- шакл.

Бу муносабат энг катта чўзилиш ва сиқилишдаги элементларда ҳосил бўладиган кучланишлар тегишли рухсат этилган кучланишларга тенг бўлишини таъмин этади. Бетоннинг сиқилишга яхши қаршилиқ кўрсатиш қобилиятидан эгилишда яхши фойдаланиш ниятида темир-бетон балкалар вужудга келтирилди. Энг четдаги чўзилган элементлар зонасига ўрнатилган доиравий кўндаланг кесимли пулат арматура чўзувчи кучланишларнинг деярли ҳаммасини қабул қилади. Бунда бетоннинг чўзилишга кўрсатадиган қаршилиги эътиборга олинмайди. Шунинг учун ҳам бетон юзасини чўзилган зоналарда мумкин қадар камайтириб, сиқилган зоналарда, аксинча, кўпайтириш зарурдир. Бундай талабни темир-бетон балкаларда кенг кўламда фойдаланиладиган таврли кесим қаноатлантиради (248- шакл).

### 81- §. Кўндапанг кесими тўғри тўрт бурчакли балкадаги тангенциал кучланишлар

Эгилишдаги тангенциал кучланишлар кесиб ўтувчи  $Q$  куч билан мувозанатлашуви бизга маълум. Юпқа тўғри тўртбурчак ва ундан ҳосил бўлган профилларда (қўш тавр, швеллер каби профилларда) тангенциал кучланишлар эътиборга оладиган даражадаги қийматларга эришишини кейинчалик кўрсатамиз.

Шунинг учун, энг олдин эгилишдаги тангенциал кучланишларни кўндаланг кесими тўғри тўртбурчак бўлган балкалар учун ҳисоблаймиз.

Баландлиги  $h$ , кенлиги  $b$  бўлган тўғри тўртбурчак кесимли балкани оламиз (249-шакл). Балканинг чап томондаги қирқилган кесимига мусбат кесиб ўтувчи  $Q$  куч таъсир этади, деб фараз қилайлик. Бу куч текшири-лаётган кесим бўйича бирор қонун асосида ёйилган тангенциал кучланиш-лар билан мувозанатлашади.

1855 йилда инженер-олим Д. И. Журавский эгилишдаги тангенциал кучланишларнинг тақрибий назариясини ишлаб чиқди. Бу назария қуйидаги икки гипотезага асосланган:

1. Кўндаланг кесимдаги барча тангенциал кучланишларнинг йўнали-ши уларни мувозанатловчи кўндаланг  $Q$  кучга параллелдир

2. Нейтрал ўқдан бир хил масо-фадаги элементларда ҳосил бўладиган тангенциал кучланишлар бир хил қий-матларга эгадир.

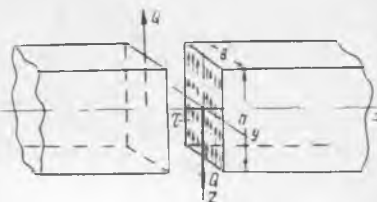
Юпқа тўғри тўрт бурчакли ва улар-дан ташкил топган кўндаланг кесим-лар учун бу гипотезаларнинг тўғри-лигини эластиклик назарияси тасдиқ-лайди.

Масалан,  $\frac{h}{b} = 1$  бўлганда, тақ-рибий назариянинг хатоси 6% ни таш-кил этади,  $\frac{h}{b} = 2$  бўлганда эса 2%

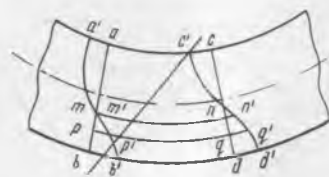
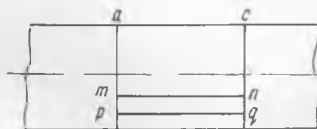
га бормайди. Амалда ишлатиладиган тўғри тўрт бурчакли ва улардан ту-зилган кўндаланг кесимлар учун ҳам-ма вақт  $\frac{h}{b} \geq 2$  бўлгани учун, бу тақ-рибий назария етарли даражада аниқ натижаларни беради. Балканинг ба-ландлиги бўйича тангенциал кучланиш-нинг қандай қонун билан ўзгариши-ни аниқлаш учун эгилишдаги силжиш деформациясини текшираемиз.

Тўғри тўрт бурчакли параллелепипеднинг томонларига, унинг қиррасига тик йўналган тангенциал кучланишлар қўйилса, параллелепипеднинг тўғри бурчаклари қийшайиб, чизикли элементларнинг оғиши бизга маълум. Бал-канинг иккита  $ab$  ва  $cd$  кўндаланг кесимини олиб, уларга тик йўналишдаги  $ml$  ва  $pq$  чизикларни ўтказамиз (250-шакл)

Деформациягача балканинг кўндаланг кесимига тик бўлган  $ml$  ва  $pq$  чизиклар деформациядан кейин эгилган ҳолда кўндаланг кесим юзасига тик бўлмайди. Натижада  $mlpq$  элемент  $m'n'p'q'$  га айланади. Элементлар-нинг силжиши балканинг баландлиги бўйича турли нуқталарда ҳар хил бўл-гани учун, кўндаланг кесим текис қолмай эгриланади. 250-шаклдаги  $a'b'$  ва  $c'd'$  чизиклар эгриланган кўндаланг кесимларни схематик равишда тас-вирлайди. Кўраемизки, энг катта эгриланиш нейтрал ўқдаги элементларга тўғри келаётир. Кўндаланг кесимнинг юқориги ва пастки четларидаги эле-ментларда эса, масалан,  $a_1, b_1, c_1$  ва  $d_1$  нуқталарида ҳеч қандай эгриланиш йўқ. Чунки бу нуқталардаги элементлар кўндаланг кесим юзасига тик бул-ган ҳолда  $a$  нуқтадан  $a_1$  га ва  $b$  нуқтадан  $b_1$  га кўчмоқда.

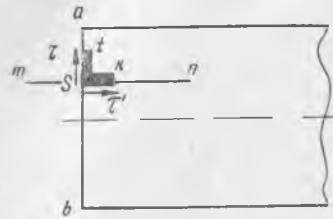


249-шакл.



250-шакл.

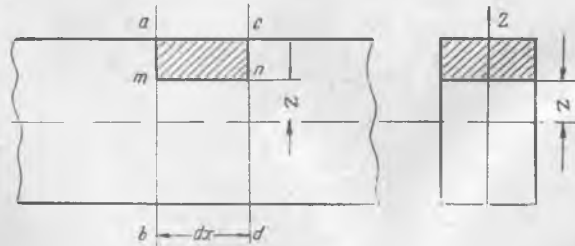
Демак, силжиш деформацияси балканинг баландлиги бўйича узлуксиз равишда ўзгаргани холда, унинг кўндаланг кесимини эгрилаштирар экан. Аммо силжиш натижасида балканинг бўйлама толаларининг чўзилиш ёки сиқилиш деформациялари ўзгармайди; чунки  $ab$  кесим  $cd$  га нисбатан айланганда,  $mn$  ва  $pq$  элементлар чўзилади. Кўндаланг кесимлар силжиш натижасида эгриланганда, ҳалиги элементлар ўз узунлигини ўзгартмасдан, фақат янги  $m_1n_1$  ва  $p_1q_1$  ҳолатларга кўчадв. Шунинг учун эгувчи момент таъсиридан кўндаланг кесимларнинг айланиши натижасида ҳосил бўладиган чўзувчи ва сиқувчи кучланишлар кўндаланг кесимлар тангенциал кучланиш таъсиридан эгриланганда ҳам ўз қийматини ўзгартмайди.



251- шакл.

Кўндаланг кесим ( $ab$ ) нинг бирор  $st$  элементига тангенциал кучланиш ( $\tau$ ) таъсир қилса, тангенциал кучланишларнинг жуфтлик принципига мувофиқ, нейтрал қатламда параллел ва кўндаланг кесимга тик  $mn$  қатламдаги  $sk$  элементга ҳам  $\tau' = -\tau$  тангенциал кучланиш таъсир қилади (251-шакл). Бу кучланиш ( $\tau'$ ) юқоридаги қисмнинг пастки қисмга  $mn$  текислик бўйича кўрсатадиган таъсирини ифодалайди.

Юқорида қабул қилинган икки гипотеза ва силжиш деформациясининг баландлик бўйича ўзгариш характери эгилишдаги тангенциал кучланишни тўғри тўрт бурчакли кесим учун статика тенгламаларидан аниқлашга имкон беради. Балкадан бир-бирига чексиз яқин  $ab$  ва  $cd$  кўндаланг кесимлар ва нейтрал қатламдан  $z$  масофадаги  $mn$  текислик воситаси билан тўғри бурчакли параллелепипед ажратамиз (252-шакл). Кесиб ўтувчи кучни ажратил-



252- шакл.

ган элемент бўйича ўзгармайди деб фараз қиламиз, яъни  $ac$  мобайнида ҳеч қандай куч таъсир кўрсатмайди. Шунинг учун ажратилган элементнинг  $ab$  ва  $cd$  кўндаланг кесимларидаги тангенциал кучланишлар бир хилда бўлади.  $ab$  кесимдаги эгувчи момент  $M$  бўлса,  $cd$  да  $M + dM$  га тенг бўлади, чунки бу кесим қўшни кесимга чексиз яқин бўлгани учун ундаги эгувчи момент ҳам чексиз кичик миқдор ( $dM$ ) га фарк қилади. Олдин  $ab$  ва  $cd$  кўндаланг кесимлар орқали ўтувчи текисликлар воситаси билан  $abcd$  элементни ажратамиз. Ташланган қисмларнинг бу кесимлар бўйича таъсирини тегишлича нормал ва тангенциал кучланишлар билан алмаштирамиз

(253-шакл, а). Энди, ажратилган элементни  $mn$  текислик билан кесиб  $mnb$  қисмини ажратиб ташлаймиз. Ташланган бу қисмининг  $mn$  ёғи бўйича кўрсатадиган таъсири ўнг томонга йўналган тангенциал кучланиш ( $\tau$ ) билан ифодаланади (253-шакл, в). Тангенциал кучланиш ( $\tau$ ) ни аниқлаш учун, ажратилган элементга қўйилган кучларнинг горизонтал ўқдаги проекциялари йиғиндисини нолга тенглаштираемиз.

Бунинг учун ҳалиги  $amnc$  элементнинг ёқларига таъсир қилувчи кучларнинг тенг таъсир этувчиларини аниқлаймиз. 253-шакл, с да ўша элементнинг аксонометрик кўриниши тасвирланган. Вертикал ёқлардаги тангенциал кучланишлар тенг таъсир этувчисининг горизонтал ўқдаги проекциялари нолга тенг бўлгани учун улар шаклда кўрсатилмаган. Мазкур вертикал ёқлардаги нормал кучланишларнинг тенг таъсир этувчиларини тегиш-лича  $N$  ва  $N_1$  деб, ажратилган элементнинг пастки ёғидаги тангенциал кучланишлар тенг таъсир этувчисини  $dT$  деб белгиласак, мувозанат тенгламаси қуйидагича ёзилади:

$$N + dT - N_1 = 0. \quad (81.1)$$

Ажратилган элементнинг чап ёғида  $dF$  элементар юза олиб, ундаги нормал зўриқиш ( $dN$ ) ни аниқлаймиз:  $dN = \sigma dF$ ; буни интеграллаб,  $N$  ни топамиз:

$$N = \int_{F_1} \sigma dF,$$

бунда  $F_1$  — ажратилган элемент чап ёғининг юзи; интеграл шу юз бўйича олинмоқда. Нормал кучланишни соф эгилишдагидек бўлади деб ҳисобласак ва унинг қийматини (78.10) формуладан келтириб қўйсақ:

$$N = \frac{M}{I_y} \int_{F_1} z dF$$

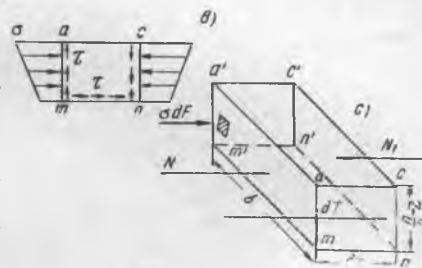
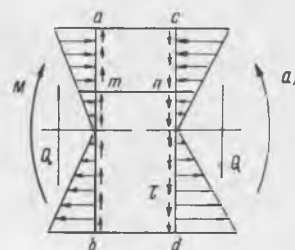
ни ҳосил қиламиз. Ўнг томондаги интеграл кўндаланг кесимнинг  $mn$  дан юқорида жойлашган қисми юзасининг нейтрал ўққа нисбатан статик моментидир. У  $S_y(z)$  билан белгиланади:

$$S_y(z) = \int_{F_1} z dF. \quad (81.2)$$

$z$  баландликдаги юзани олганимиз учун, статик момент  $z$  нинг функцияси бўлади.

Шунинг учун:

$$N = \frac{M}{I_y} S_y(z).$$



253-шакл.

Ўнг еққа қўйилган  $N_1$  нормал кучни ҳам худди шу тарзда толамиз:

$$N_1 = \frac{M + dM}{I_y} S_y(z).$$

Қабул қилинган гипотезага мувофиқ, балканинг кенглиги бўйича тангенциал кучланиш ( $\tau$ ) бир хил бўлгани учун  $dT$  ни ажратилган элементар параллелепипеднинг пастки ёғи юзини  $\tau$  га кўпайтириш йўли билан аниқлаймиз:

$$dT = \tau b dx.$$

$N$ ,  $N_1$  ва  $dT$  ларнинг топилган қийматларини мувозанат тенгламасига қўйсак:

$$\frac{M}{I_y} S_y(z) + \tau b dx - \frac{M + dM}{I_y} S_y(z) = 0$$

келиб чиқади. Бундан:

$$\tau = \frac{S_y(z)}{I_y b} \cdot \frac{dM}{dx}.$$

Д. И. Журавский теорамасига мувофиқ:  $\frac{dM}{dx} = Q$ ; буни кўзда тутсак, эгилишдаги тангенциал кучланишларни ҳисоблаш учун қуйидаги формулани оламиз:

$$\tau = \frac{Q S_y(z)}{I_y b}. \quad (81. 3)$$

Мувозанат шартидан горизонтал  $mn$  кесимдаги тангенциал кучланишларни аниқладик. Тангенциал кучланишларнинг жуфтлик принцига мувофиқ, шу формула кўндаланг кесимнинг нейтрал ўқдан  $z$  масофадаги нуқталарида таъсир қилувчи тангенциал кучланишларни ҳам аниқлайди.

(81. 3) дан кўрамизки, ҳар бир кўндаланг кесим учун  $Q$ ,  $I_y$  ва балканинг кенглиги ( $b$ ) ўзгармас сон бўлганидан, кўндаланг кесим давомида  $\tau$  фақат  $S_y(z)$  нинг ўзгаришига боғлиқ бўлади. Тўғри тўрт бурчакли кесимнинг нейтрал ўқдан  $z$  баландликдаги қисми учун (81. 2) дан  $S_y(z)$  ни ҳисоблаймиз. 254-шаклдан:  $dF = b dz$ .

$F_1$  юза  $z$  билан  $h/2$  орасида бўлганидан, бу юзанинг статик моменти қуйидагича бўлади:

$$S_y(z) = \int_z^{h/2} z b dz = \frac{b}{2} \left( \frac{h^2}{4} - z^2 \right) = \frac{h^2 b}{8} \left( 1 - \frac{4z^2}{h^2} \right).$$

Тўғри тўртбурчак учун:

$$I_y = \frac{bh^3}{12}$$

бўлганидан:

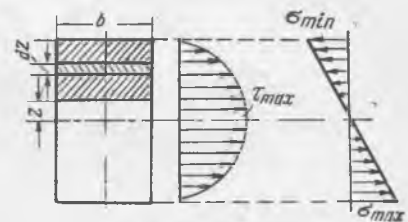
$$\tau = \frac{12 Q b h^2}{8 b \cdot b h^3} \left( 1 - \frac{4z^2}{h^2} \right) = \frac{3 Q}{2 b h} \left( 1 - \frac{4z^2}{h^2} \right),$$

$b h = F$  бўлганидан эса:

$$\tau = \frac{3 Q}{2 F} \left( 1 - \frac{4z^2}{h^2} \right) \quad (81. 4)$$

бўлади. Демак, тўғри тўртбурчакнинг баландлиги бўйича тангенциал кучланиш парабола қонуни билан ўзгарар экан. Кесимнинг энг пастки ва энг юқориги нуқталарида, яъни  $z = \pm \frac{h}{2}$  бўлганда  $\tau$  нолга айланади. Бу ҳуло-са тангенциал кучланишларнинг ўз-аро муносабатда бўлиш қонунига мувофиқ келади. Нейтрал ўқда,  $z=0$  бўлганда  $\tau$  максимал қийматга эришади. Бу нуқтада нормал кучланиш нолга тенг эди. Текширилаётган кесимда кесиб ўтувчи куч  $Q(x) = Q_{\max}$  бўлса, энг катта тангенциал кучланиш

$$\tau_{\max} = \frac{3}{2} \cdot \frac{Q_{\max}}{F} \quad (81.5)$$



254-шакл.

бўлади. Қўрамизки, энг катта тангенциал кучланиш тўғри тўрт бурчакли кесим учун ўзининг ўртача қийматидан бир ярим марта катта бўлар экан. 254-шаклда тангенциал ва нормал кучланишларнинг балка баландлиги бўйича ўзгариш қонуни тасвирланган.

### 82-§. Қўш таврли кесим учун тангенциал кучланишлар

Қўш таврли, бир таврли балкалар тўғри тўртбурчакликлардан тузилгани учун, улардаги тангенциал кучланишларни ҳисоблашда юқорида баён этилган назарияларни бевосита татбиқ этишимиз мумкин. Умуман, юпқа деворли профилларнинг вертикал деворлари учун юқорида тасвир этилган назария етарли даражада аниқ натижалар бериши ҳақида олдинги параграфда тўхталиб ўтган эдик.

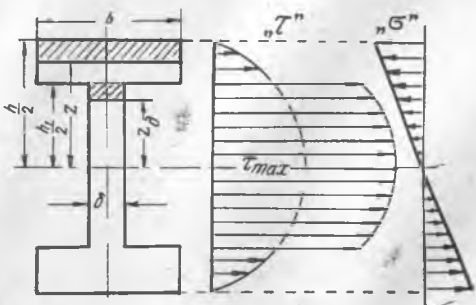
Қўш таврли кесимга эга бўлган балканинг нейтрал ўқдан  $z$  баландликдаги нуқталарида таъсир қилувчи тангенциал кучланишларнинг ўзгариши қонунини

$$\tau = \frac{QS(z)}{I_y b}$$

формуладан аниқлаймиз. Қўш таврли кесим учун бу формуладан фойдаланишда, статик моментни олдин кесимнинг тоқчаси учун, сўнгра девори учун ҳисоблаш лозим. Тоқча учун  $\tau$  ни аниқлаганда формуладаги  $b$  нинг ўрнига тоқчанинг кенглигини, деворнинг кенглигини қўйиш лозим.

Қўш таврли кесимнинг тоқчасидаги тангенциал кучланишни  $\tau_T$  билан, девордагисини эса  $\tau_D$  билан белгилаймиз (255-шакл). У ҳолда тоқчанинг  $z$  баландликдаги элементда таъсир қилувчи кучланиш

$$\tau = \frac{4z}{h} \left( 1 - \frac{4z^2}{h^2} \right) \quad (82.1)$$



255-шакл.

формуладан аниқланади. Бу формуладан  $z_T$  девор баландлигининг ярмисига, яъни  $\pm \frac{h_1}{2}$  га эришгунча фойдаланиш мумкин.  $z_T = \pm \frac{h_1}{2}$  бўлганда токчага оид элементларнинг тангенциал кучланиши (82.1) дан аниқланиб, деворга оид элементларнинг кучланишини аниқлаш учун (82.1) даги  $b$  нинг ўрнига деворнинг қалинлиги ( $\delta$ ) ни қўйиш лозим, яъни:

$$\tau_a = \frac{Qh^2b}{8I_y\delta} \left(1 - \frac{h_1^2}{h^2}\right). \quad (82.2)$$

Қўрамизки, токча билан деворнинг қўйилган жойида тангенциал кучланишнинг қиймати узлуксиз эмас.  $z_T = \pm \frac{h_1}{2}$  бўлганда  $\tau_T$  билан  $\tau_a$  нинг нисбати  $\frac{\delta}{b}$  га тенг, яъни:

$$\frac{\tau_T}{\tau_a} = \frac{\delta}{b}; \quad \tau_a = \frac{b}{\delta} \tau_T \quad (82.3)$$

бўлади. Демак,  $\frac{b}{\delta}$  нисбат қанча катта бўлса, токчадан деворга ўтишдаги тангенциал кучланишнинг ўсиши шунча катта бўлади.

Энди, нейтрал ўқдан  $z_a$  баландликдаги девор элементида ҳосил бўладиган тангенциал кучланишни ҳисоблаймиз. Бунинг учун текширилаётган элементнинг юқорисидаги юзаларнинг статик моментини ҳисоблаб топамиз. Токча юзасининг статик momenti:

$$S_T = \frac{bh^2}{8} \left(1 - \frac{h_1^2}{h^2}\right)$$

бўлади.

Деворнинг  $z_a$  баландлик юқорисидаги юзасининг статик momenti:

$$S_a = \frac{\delta h^2}{8} \left(1 - \frac{4z_a^2}{h_1^2}\right)$$

бўлади. Демак,  $z_a$  баландлик тепасидаги юзанинг статик momenti бундай бўлади:

$$S(z) = \frac{bh^2}{8} \left(1 - \frac{h_1^2}{h^2}\right) + \frac{\delta h_1^2}{8} \left(1 - 4 \frac{z_a^2}{h_1^2}\right).$$

Энди, қўш таврли балка деворининг  $z_a$  баландликдаги элементида ҳосил бўладиган тангенциал кучланишни аниқлашимиз мумкин:

$$\tau_a = \frac{Q}{8I_y\delta} \left\{ bh^2 \left(1 - \frac{h_1^2}{h^2}\right) + \delta h_1^2 \left(1 - 4 \frac{z_a^2}{h_1^2}\right) \right\}. \quad (82.4)$$

(82.1) ва (82.4) га мувофиқ, қўш таврли балка учун тангенциал кучланишнинг баландлик бўйича ўзгаришини тасвирловчи графикни чизиш мумкин. У иккала тенглама учун ҳам парабола чизигидир, бу чизиқ 225-шаклда тасвирланган.

Шуни айтиб ўтиш керакки, қўш таврли балкаларда токча билан деворнинг қўшилган жойида кучланиш биз тасвирлаганча сакрамайди. Аниқроқ текширишлар бу жойда кучланишлар тўпланишини кўрсатади. Аммо кучланишлар тўпланиши биз чиқарган формула (82.2) билан аниқланадиган қийматдан ошмайди, чунки реал профиллар тўғри тўртбурчакликлардан иборат эмас.

Бу ҳолда ҳам энг катта тангенциал кучланиш нейтрал ўқда ҳосил бўлади. Унинг қиймати қуйидагичадир:

$$\tau_{\max} = \frac{Ch^2b}{8I_y\delta} \left( 1 - \frac{h_1^2}{h^2} \left( 1 - \frac{\delta}{o} \right) \right). \quad (82.5)$$

Кесиб ўтувчи кучнинг кўп қисмини кесимнинг девори қабул қилиб олиши, тоқчага эса жуда ҳам оз қисми тўғри келиши 255-шаклдаги тангенциал кучланиш эпюрасидан кўриниб турибди.

Масалан, қўш таврли кесимнинг ўлчамлари  $b = 12$  см,  $\delta = 1,2$  см,  $h = 30$  см,  $h_1 = 26$  см,  $I_y = 11200$  см<sup>4</sup> бўлса, (82. 2) ва (82. 5) формулалардан қуйидагиларни чиқарамиз:

$$\tau_{\max} = 0,0326 Q \text{ кг/см}^2, \tau_g = 0,0250 Q \text{ кг/см}^2.$$

Бу мисолда қўш таврли балканинг девори  $Q$  нинг қандай қисмини қабул қилишини ҳисоблаймиз. Бунинг учун деворнинг юзини эпюра юзининг шу деворга тегишли қисмига кўпайтирамиз:

$$Q_d = 26 \cdot 1,26 \left\{ 0,0250 + \frac{3}{2} (0,0326 - 0,0250) \right\} Q = 0,94Q$$

$$\text{ёки } Q_g = \int_{F_d} \tau_g dF = 0,94 Q.$$

Демак, қўш таврли балканинг девори кесиб ўтувчи кучнинг 94 процентини қабул қилар экан. Шунинг учун ҳам девор нормал кучланишларнинг 0,3 қисмини қабул қилади деб уни жуда юпқа олиш хавфлидир.

### 83-§. Доиравий кесим учун тангенциал кучланиш

Доиравий кесим учун тангенциал кучланишларни ҳисоблаймиз. Тўғри тўрт бурчакли кесим учун қабул қилинган гипотезалардан биринчиси доиравий кесимга нисбатан унча тўғри бўлмайди. Тўғри тўрт бурчакли кесимлар учун чиқарилган (81. 3) формула доиравий кесим учун тангенциал кучланишнинг кесиб ўтувчи куч ( $Q$ ) га параллел тузувчисинигина беради. Аммо у формула доиравий кесим учун қуйидагича ёзилади:

$$\tau_z = \frac{QS(z)}{I_y b(z)}. \quad (83.1)$$

Бунда  $S(z)$  илгаригидек кўндаланг кесим юзасининг  $z$  баландликдан юқоридаги қисмининг статик моменти бўлиб (256-шакл),  $y$

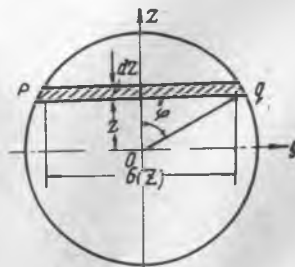
$$S(z) + \int_{F_1} z dF = \int_{F_1} z b(z) dz$$

формуладан аниқланади.  $S(z)$  ни бу интегралдан ҳисоблаш учун, ўзгарувчи  $z$  нинг ўрнига  $\varphi$  бурчакни киритамиз. 256-шаклдан:

$$z = r \cos \varphi; b(z) = 2r \sin \varphi, dz = -r \sin \varphi d\varphi;$$

у ҳолда:

$$\begin{aligned} S(z) &= \int_0^{\varphi} 2r^2 \sin^2 \varphi \cos \varphi d\varphi = \\ &= 2r^2 \int_0^{\varphi} \sin^2 \varphi d(\sin \varphi) = \frac{2}{3} r^3 \sin^3 \varphi \end{aligned}$$



256-шакл.

бўлади. Буни (83. 1) формулага қўйиб ва  $b(z) = 2r \sin \varphi$  ни қўзда тутсақ тангенциал кучланишнинг вертикал тузувчиси учун қуйидаги формулани оламиз:

$$\tau_z = \frac{Qr^2 \sin^2 \varphi}{3I_y} = \frac{Qr^2(1 - \cos^2 \varphi)}{3I_y} = \frac{Q(r^2 - z^2)}{3I_y} \quad (83.2)$$

$pq$  чизиқнинг турли нуқталарида тангенциал кучланишнинг горизонтал тузувчиси ҳар хил бўлади. Унинг энг катта қиймати мазкур  $pq$  чизиқнинг  $p$  ва  $q$  нуқталарида ҳосил бўлади. Шунинг учун унинг қийматини (83. 2) дан фойдаланиб, қуйидагича ёзамиз:

$$\tau_y = \tau_z \operatorname{ctg} \varphi = \frac{Qr^2 \sin^2 \varphi}{3I_y} \operatorname{ctg} \varphi.$$

Тангенциал кучланишнинг  $p$  ва  $q$  нуқталардаги тўла қиймати:

$$\tau = \sqrt{\tau_z^2 + \tau_y^2} = \frac{Qr^2 \sin^2 \varphi}{3I_y} \sqrt{1 + \operatorname{ctg}^2 \varphi} = \frac{Qr^2 \sin \varphi}{3I_y}$$

бўлади.

Тангенциал кучланиш нейтрал ўқда ўзининг энг катта қийматига эришади. У ерда  $\varphi = \frac{\pi}{2}$  дир. Демак,

$$\tau_{\max} = \frac{Qr^2}{3I_y} = \frac{Qr^2}{3 \frac{\pi r^4}{4}} = \frac{4}{3} \cdot \frac{Q}{F} \quad (83. 3)$$

бўлади.  $F$  — кўндаланг кесимнинг юзи. Бу ҳолда энг катта тангенциал кучланиш ўртача қийматининг  $\frac{4}{3}$  қисмига тенг бўлар экан.

#### 84- §. Балкаларнинг мустаҳкамлигини тангенциал кучланишларга нисбатан текшириш

Балканинг бўйи билан кўндаланг кесими баландлиги одатдаги нисбатда бўлганда, максимал нормал кучланиш максимал тангенциал кучланишдан бир неча марта катта бўлади. Шунинг учун балканинг кўндаланг кесим ўлчамлари асосан, максимал эгувчи моментнинг қийматига мувофиқ:

$$W \geq \frac{M_{\max}}{[\sigma]}$$

формуладан топилади. Зарур бўлган ҳолларда, балканинг мустаҳкамлиги тангенциал кучланишга нисбатан ҳам текширилади. Қурилиш тажрибасида ишлатиладиган балкалар учун максимал тангенциал кучланишлар уларнинг нейтрал ўқидаги элементларида ҳосил бўлади. Максимал тангенциал кучланишларни ҳисоблаш учун кўндаланг кесимнинг нейтрал ўқи юқорисидаги юзининг мазкур ўққа нисбатан статик momenti ( $S_{\max}$ ) ни ҳисоблаш зарур. Балканинг тангенциал кучланишга нисбатан мустаҳкамлик шarti қуйидагича ёзилади:

$$\tau_{\max} = \frac{Q_{\max} S_{\max}}{I_y \cdot b_0} = [\tau]; \quad (84.1)$$

бунда  $b_0$  — кўндаланг кесимнинг нейтрал ўқ бўйича кенглиги. Пулат ст. 2 учун:  $[\tau] = 900 \text{ кг/см}^2$  ёки  $[\tau] = 1000 \text{ кг/см}^2$  бўлади.

Стандарт прокат балкалар кўндаланг кесимининг қалинлиги  $h/l$  нисбатининг одатдаги қийматлари учун етарли даражада бўлиб, ҳамма вақт  $\tau_{\max}$

тегишли рухсат этилган кучланишдан кичик бўлади. Шунинг учун прокат балкаларни тангенциал кучланишга нисбатан текширмаса ҳам бўлади.

Парчин миҳ билан ва пайвандлаш йўли билан уланган баланд балкаларнинг ҳисобини чиқаришда, уларнинг девори юпқа бўлгани учун, мустаҳкамлик шартини, албатта, тангенциал кучланишга нисбатан ҳам текшириш зарур. Биз бу ҳақда кейинроқ батафсил тўхтаб ўтамиз.

Бундан ташқари, балка кесимини танлашга асос бўладиган эгувчи моментнинг миқдори кесиб ўтувчи кучга қараганда кичик бўлган ҳолларда ҳам балканинг мустаҳкамлигини тангенциал кучланишга нисбатан текшириш лозим. Бундай ҳоллар оғир юк таъсиридаги балканинг оралиғи қисқа бўлганда ёки балкага қўйилган оғир юк таянчга яқин бўлганда учрайди.

Бир нечта тузувчидан ҳосил бўлган балкадаги туташтирувчи элементларнинг ҳисобини чиқариш учун, мазкур балканинг маълум участкасида горизонтал кесимларда ҳосил бўладиган силжитувчи зўриқишларни аниқлашга тўғри келади. Бунинг учун, олдин, балканинг узунлик бирлигига тўғри келадиган силжитувчи куч ( $t$ ) ни аниқлаймиз. Бу  $t$  кучни аниқлаш учун, тангенциал кучланиш ( $\tau$ ) ни қўндаланг кесимнинг кенлиги ( $b$ ) га кўпайтириш керак:

$$t = \tau \cdot b \cdot l = \frac{QS_y(z)}{I_y}. \quad (84.2)$$

Балканинг кесими ўзгармас бўлса,  $I_y = \text{const}$  бўлади. Текширилаётган горизонтал кесим учун ҳам  $S(z) = \text{const}$  дир. Демак, балканинг буйига йўналган силжитувчи куч ( $t$ ) кесиб ўтувчи куч ( $Q$ ) га пропорционал равишда ўзгаради. Балканинг бирор  $a$  қисми давомида кесиб ўтувчи куч ўзгармаса, горизонтал силжитувчи куч бу участкада

$$T = \frac{QS_y}{I_y} \cdot a \quad (84.3)$$

бўлади. Бу қисм давомида кесиб ўтувчи куч ўзгарувчи бўлса, горизонтал силжитувчи куч қуйидагича ифодаланади:

$$T = \int_{x_1}^{x_2} t dx = \frac{S_y}{I_y} \int_{x_1}^{x_2} Q(x) dx.$$

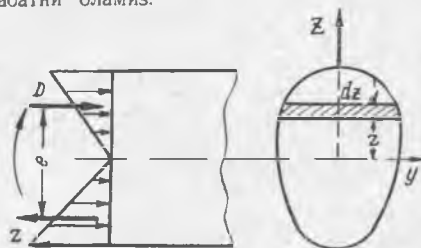
Бундаги  $x_1$  ва  $x_2$  координаталар  $a$  қисмини аниқлайди. Д. И. Журавский теоремасига мувофиқ:  $Q(x)dx = dM$ ; ҳалиги участканинг бошидаги эгувчи моментни  $M_1$ , охиридагисини  $M_2$  десак, юқоридаги интеграл қуйидагича ёзилади:

$$T = \frac{S_y}{I_y} (M_2 - M_1). \quad (84.4)$$

Бу формула горизонтал силжитувчи кучни ҳисоблаш учун жуда қулайдир.

(84.1) формулани фойдаланиш учун қулайроқ ҳолга келтириш мумкин. Бунинг учун ички жуфтнинг елкаси тушунчасини киритиш лозим. Қўндаланг кесимда таъсир қилувчи чўзувчи зўриқишларнинг тенг таъсир этувчиси қўйилган нуқта билан сиқувчи зўриқишларнинг тенг таъсир этувчиси қўйилган нуқта оралиғи ички жуфтнинг елкаси деб аталади.

Бу тенг таъсир этувчиларни  $Z$  ва  $D$  орқали белгилаймиз (257-шакл). Маълумки  $Z = D$  бўлади. Кўндаланг кесим бўйича таъсир қилувчи ички кучларнинг моменти эгувчи моментга тенглигини эсласак, қуйидаги муносабатни оламиз:



257-шакл.

$$\int_F z \sigma dF = Ze = De = M; \quad (84.5)$$

бунда  $e$  — ички жуфтнинг елкаси;  $Z$  билан  $D$  қуйидагича аниқланади:

$$Z = \int_0^{z_1} \sigma b dz = \frac{M}{I_{y0}} \int_0^{z_1} z b dz = \frac{MS_1}{I_y}$$

$$D = \int_0^{z_2} \sigma b dz = \frac{M}{I_{y0}} \int_0^{z_2} z b dz = \frac{MS_2}{I_y}$$

$S_1$  ва  $S_2$  — кесим юзасининг нейтрал ўқдан юқориги ва пастки қисмларининг статик моментларидир.  $S_1 = S_2 = S_{\max}$  бўлгани учун,  $Z$  ва  $D$  нинг қийматини (84.5) га қўйсак, ички жуфтнинг елкаси ( $e$ ) ни аниқлаган бўламиз:

$$e = \frac{I_y}{S_{\max}}. \quad (84.6)$$

Бу хулосага мувофиқ, (84.1) ни қуйидагича ёзиш мумкин:

$$\tau_{\max} = \frac{Q_{\max}}{b_0 \cdot e}. \quad (84.7)$$

Тўғри тўрт бурчакли кесим учун:

$$S_{\max} = \frac{bh^2}{8}, \quad e = \frac{2}{3}h;$$

доиравий кесим учун:

$$S_{\max} = \frac{2}{3}r^3, \quad e = \frac{\pi r^4}{4} : \frac{2r^3}{3} = \frac{3}{8}\pi r, \quad e \approx 0,6d$$

бўлади. Ёйма профиллардан, масалан, қўш таврли балкалар учун ички жуфтнинг елкаси «Сортамент» жадвалларида берилган, унинг ўртача қиймати  $0,85h$  га тенгдир.

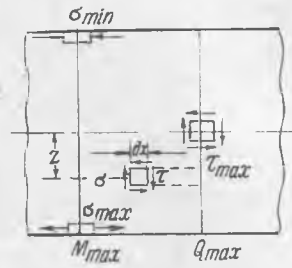
#### 85-§. Балканинг мустаҳкамлигини бош кучланишлар асосида текшириш

Ҳозиргача балканинг мустаҳкамлигини нормал ва тангенциал кучланишларга нисбатан қуйидаги мустаҳкамлик тенгламалари асосида текширдик:

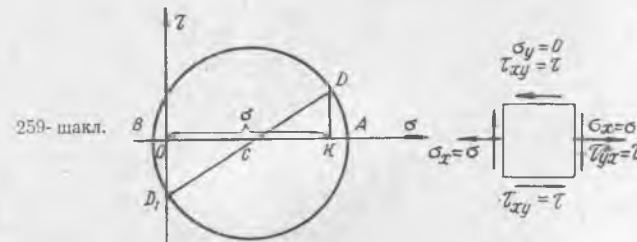
$$\sigma_{\max} = \frac{M_{\max}}{W} \leq [\sigma], \quad \tau_{\max} = \frac{Q_{\max} S_{\max}}{I b} \leq [\tau].$$

Максимал нормал кучланишни эгувчи момент максимум бўлган кўндаланг кесимдаги нейтрал ўқдан энг узоқ нуқталар учун ҳисобладик. Бу

нуқталар оддий чўзилиш ва сиқилишга дуч келади. Худди шунингдек, максимал тангенциал кучланишни ҳам кесиб ўтувчи куч максимум бўлган кесимнинг нейтрал ўқдаги элементлари учун ҳисобладик. Бу элементлар соф силжиш деформациясига дуч келади. 258-шаклда мустаҳкамлиги текшириляётган балканинг фасади кўрсатилган. Унда  $M_{\max}$  таъсир қилувчи кесимдаги энг катта нормал чўзувчи ва сиқувчи кучланишлар ҳосил бўладиган элементлар ва  $Q_{\max}$  таъсир этувчи кесимдаги соф силжиш деформациясига дуч келадиган элемент кўрсатилган. Балканинг мустаҳкамлик шартини бу учта элементдаги оддий чўзилиш ва сиқилиш ҳамда соф силжишга нисбатан текшириш билан чекландик. Бу уч элементни энг хавфли кучланиш ҳолатида дейишга бизда ҳеч қандай ишонч йўқ, чунки бу элементларнинг ҳар қайсиси фақат битта кўринишдаги деформациягагина дуч келаетир. Ҳолбуки, нейтрал ўқдан ихтиёрий  $z$  масофадаги ҳар қандай элемент нормал ва тангенциал кучланишларнинг қўшилиб кўрсатадиган таъ-



258-шакл.



259-шакл.

сирига дуч келади. Шунинг учун бу шароитдаги элементлар, эҳтимол, ҳалиги оддий кучланиш ҳолатидаги учта элементга қараганда хавфлироқ ҳолатдадир. Бу мулоҳазаларга кўра, нейтрал қатламдан оралиқда мусбат белгили нормал ва тангенциал кучланишлар таъсиридаги бирор элементни оламиз (258-шакл). Бу элементнинг балка ўқиға тик ёқларига нормал кучланиш ( $\sigma$ ) ва тангенциал кучланиш ( $\tau$ ), балка ўқиға параллел ёқларига эса фақат тангенциал кучланиш ( $\tau$ ) таъсир қилади. Буларнинг қиймати тегишлича:

$$\sigma = \frac{M}{I_y} z; \quad \tau = \frac{QS(z)}{I_y b} \quad (85.1)$$

формулалар билан аниқланади.

$M$  ва  $Q$  текшириляётган элемент ажратилган кўндаланг кесимдаги эгувчи момент ва кесиб ўтувчи кучдир. Ажратилган элементнинг фасад томонига ҳеч қандай кучланиш таъсир қилмайди. Шунинг учун биз текшираётган элемент, шу билан бирга, текис эгилишдаги балка текис кучланиш ҳолатида бўлади. Текис кучланиш ҳолатининг умумий назариясини 33-параграфда текширган эдик. Ҳозирги текшириляётган конкрет хусусий ҳол учун умумий назарияни татбиқ қиламиз. Бу ҳолда (259-шакл):

$$\sigma_x = \sigma = \frac{M}{I_y} z, \quad \sigma_y = 0, \quad \tau_{xy} = \tau = \frac{QS(z)}{I_y b}$$

бўлади. Энди, ана шу текис кучланиш ҳолатидаги элементлар учун бош кучланишлар билан бош юзларни аниқлаймиз, чунки балканинг текшири-лаётган элементи учун мустаҳкамлик шартини бош кучланишсиз туза олмай-миз.  $(\sigma, \tau)$  текислигида координаталар боши  $(0)$  дан  $\sigma$  ўқи бўйлаб  $\sigma_x = \sigma = OK$  кесмани қўямиз;  $K$  нуқтадан  $\sigma$  ўқига тик чизиқ ўтказиб, бу чизиқ бўйича юқорига қараб  $KD = \tau$  кесмани қўямиз ва  $D$  нуқтани аниқ-лаймиз. Бу нуқта кучланиш доирасида ётади. Бу нуқтага тегишли кучла-нишлар балканинг ўқига тик юзлардаги кучланишлардир. Балканинг ўқи-га параллел юзларда нормал кучланиш  $\sigma_y = 0$  бўлиб, тангенциал кучла-ниш  $\tau_z = -\tau$  манфий ишорали бўлгани учун, бу юзга тегишли кучланиш-ларни аниқловчи нуқта  $\tau$  ўқининг манфий томонида  $OD_1 = -\tau$  кесма билан аниқланади. Ҳалиги  $D$  нуқта билан бу  $D_1$  нуқтани туташтириб, куч-ланиш доирасининг маркази  $(C)$  ни доира радиуси  $CD$  ва  $CD_1$  ни аниқ-лаймиз (259-шакл). Чизилган доира бош кучланишларни аниқловчи  $A$  ва  $B$  нуқталарни беради.  $B$  нуқта абсцисса ўқининг чап томонида ётгани учун тегишли бош кучланиш манфий бўлади. Демак:

$$\sigma_1 = OA > 0, \quad \sigma_2 = -OB < 0.$$

36-параграфдаги (36.5) формулага биноан,  $\sigma_1$  ва  $\sigma_2$  нинг қиймати биз текшираётган ҳол учун қуйидагича ёзилади:

$$\begin{aligned} \sigma_1 &= \frac{1}{2} \left\{ \sigma + \sqrt{\sigma^2 + 4\tau^2} \right\} > 0, \\ \sigma_2 &= \frac{1}{2} \left\{ \sigma - \sqrt{\sigma^2 + 4\tau^2} \right\} < 0. \end{aligned} \quad (85.2)$$

Бу натижаларни, бевосита кучланиш доирасидан, яъни 259-шаклдан чиқаришимиз ҳам мумкин эди. (85.2) формулаларни  $\sigma > 0$ ,  $\tau > 0$  бўлган элемент учун чиқардик. Бу кучланишлардан бирортаси манфий бўлса, (85.2) даги тегишли ҳадларнинг ишорасини ўзгартириш керак бўлади. Кучланиш доираси ҳам тегишлича ўзгаради.

Текис кучланиш ҳолати учун, бош кучланишлар аниқлангандан кейин, мустаҳкамлик назарияларидан фойдаланиб, балканинг мустаҳкамлик шартини тузишимиз мумкин.

Биринчи назарияга мувофиқ:

$$\sigma_1 \leq [\sigma] \text{ ёки } \frac{1}{2} \left\{ \sigma + \sqrt{\sigma^2 + 4\tau^2} \right\} \leq [\sigma]. \quad (85.3)$$

Иккинчи назарияга мувофиқ:

$$\sigma_1 - \mu \sigma_2 \leq [\sigma];$$

$\sigma_1$  ва  $\sigma_2$  нинг қийматини (85.2) дан келтириб қўйсақ:

$$\left[ \frac{1}{2} \sigma + \sqrt{\sigma^2 + 4\tau^2} - \frac{1}{2} \mu \left( \sigma - \sqrt{\sigma^2 + 4\tau^2} \right) \right] \leq [\sigma]$$

ёки

$$\frac{1-\mu}{2} \sigma + \frac{1+\mu}{2} \sqrt{\sigma^2 + 4\tau^2} \leq [\sigma] \quad (85.4)$$

бўлади. Пулат учун  $\mu = 0,3$  деб қабул қилиб, (85.4) ни қуйидагича ёзамиз:

$$0,356 + 0,65 \sqrt{\sigma^2 + 4\tau^2} \leq [\sigma]. \quad (85.4')$$

Учинчи назарияга мувофиқ:

$$(\sigma_1 - \sigma_2) \leq [\sigma].$$

$\sigma_1$  ва  $\sigma_2$  нинг қийматини қўйсақ:

$$\frac{1}{2} \left[ \sigma + \sqrt{\sigma^2 + 4\tau^2} - \sigma + \sqrt{\sigma^2 + 4\tau^2} \right] \leq [\sigma]$$

ёки

$$\sqrt{\sigma^2 + 4\tau^2} \leq [\sigma] \quad (85.5)$$

бўлади. Ниҳоят, тўртинчи энергетик назарияга мувофиқ:

$$[(\sigma_1 - \sigma_2)^2 + (\sigma_2 - \sigma_3)^2 + (\sigma_3 - \sigma_1)^2] \leq 2[\sigma]^2.$$

$\sigma_1$  ва  $\sigma_2$  нинг қийматини қўйиб,  $\sigma_3 = 0$  эканлигини эътиборга олсак,

$$\frac{1}{4} \left[ \left( 2\sqrt{\sigma^2 + 4\tau^2} \right)^2 + (\sigma + \sqrt{\sigma^2 + 4\tau^2})^2 + (\sigma - \sqrt{\sigma^2 + 4\tau^2})^2 \right] \leq 2[\sigma]^2$$

бўлади; соддалаштиришлардан кейин эса:

$$\sigma^2 + 3\tau^2 \leq [\sigma]^2 \quad (85.6)$$

ҳосил бўлади.

Балканинг мустақкамлигини текшириш учун, унинг қандай нуқталарида бу кучланишларни аниқлаш лозимлиги устида тўхталиб ўтамиз. Мустақкамлик шarti қандай назарияга асосланмасин,  $\sigma$  ва  $\tau$  кучланишларга боғлиқ бўлгани учун, уни шундай элементлар учун тузиш зарурки, бу элементларда  $\sigma$  ва  $\tau$  нинг иккаласи ҳам бирданига етарли даражада катта қийматга эга бўлсин. Бундай элемент албатта,  $M$  билан  $Q$  бирданига максимал қийматга эришувчи кесимда бўлади. Умуман,  $M$  максимал бўлган кесим  $Q$  максимал бўлган кесимга мос келмайди. Аммо хусусий ҳолларда  $M$  ва  $Q$  бирданига энг катта қийматга эришуви мумкин. Масалан, бундай қиймат консол балкаларнинг қисиб қўйилган кесимида ёки оғир юк қўйилган нуқта таянчга яқин ўрнатилган ҳолларда учратилади. Бундай ҳоллар учун  $M$  билан  $Q$  энг катта қийматга эришган кўндаланг кесимдаги  $\sigma$  ва  $\tau$  нинг кесим бўйича ўзгариш графигини тузиш лозим. Тўғри тўрт бурчакли ва доиравий кесимлар учун олдиндан айтиш мумкинки, унинг ҳар қандай нуқтасидаги бош кучланиш кўндаланг кесимнинг энг узоқ нуқтасидаги нормал кучланиш  $\sigma_{\max}$  дан ошмайди. Бу тарздаги кесимлар учун, нормал кучланиш  $\sigma$  нейтрал ўқдан узоқлашган сари тўғри чизиқли қонун билан ўсиб, тангенциал кучланиш ( $\tau$ ) эса параболик қонун билан шу йўналишда болгача камаяди. Шунинг учун кесим бўйича бирданига  $\sigma$  ва  $\tau$  энг катта қийматга эга бўладиган нуқта учрамайди. Аммо кўндаланг кесим қўш таврли ёки ичи ковак тўғри тўртбурчаклик бўлса, тангенциал кучланиш нейтрал ўқдан четга томон жуда секин озаяди. Кесимнинг девори билан тоқчаси қўшилган жойда бу кучланишнинг қиймати етарли даражадан катта бўлади, бу жойда нормал кучланиш ҳам катта қийматга эгадир (255-шакл). Ана шундай нуқталар учун бош кучланишларни ҳисоблаш зарур.

Бош кучланишлар ҳисоблангандан кейин, қайси назария асосида балканинг мустақкамлик шартини тузиш лозим деган савол тушади. Энг такомиллашган назария энг катта потенциал энергия назарияси бўлгани учун (85. 6) тенгламага мувофиқ текшириш керак. Аммо, шундай бўлишига қарамай, балкалар ҳисобини чиқаришда энг катта нормал кучланиш назарияси кўпроқ ишлатилади.

Айтилганларни ойдинлаштириш учун битта мисол келтираемиз. Икки гаянчада ётувчи  $AB$  балка симметрик ўрнатилган, балкада таянчлардан  $z = 50$  см масофада таъсир қилувчи  $P = 6,4$  т юклар туради (260-шакл). Рухсат этилган нормал кучланиш  $[\sigma] = 1400$  кг/см<sup>2</sup>, тангенциал кучланиш

$[\tau] = 900 \text{ кг/см}^2$  Балканинг кундаланг кесимини қўш таврли қилиб олиб, унинг улчамларини танлаш ва кесимнинг девори билан тоқчасининг қўшилган жойидаги элементнинг мустаҳкамлигини текшириш.

Энг катта  $M$  ва  $Q$  нинг қийматини 260-шаклдаги эпюралардан оламиз; улар мана бундай:

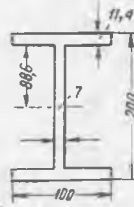
$$M_{\max} = Pa = 0,5 \cdot 6,4 = 3,2 \text{ т. } M = 320000 \text{ кг} \cdot \text{см},$$

$$Q_{\max} = P = 6,4 \text{ т} = 6400 \text{ кг}.$$

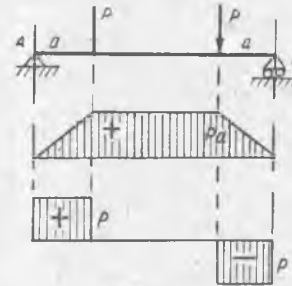
Кундаланг кесимни танлаймиз.

$$W \leq \frac{M_{\max}}{[\sigma]} = \frac{320000}{1400} = 229 \text{ см}^3.$$

Сортамент жадвалидан  $N 20^a$  бўлган қўш таврни оламиз. Унинг учун:  $W = 237 \text{ см}^3$ ;  $I_y = 2370 \text{ см}^4$  бўлади. Қолган улчамлари схематик равишда тасвирланган 261-шаклда кўрсатилган.



260-шакл.



261-шакл.

Биз танлаган профиль учун:

$$\sigma_{\max} = \frac{320000}{237} = 1350 \frac{\text{кг}}{\text{см}^2} < 1400 \frac{\text{кг}}{\text{см}^2}.$$

Кундаланг кесим, 3,6% ортиқча запас билан танланган.

Нейтрал ўқдаги энг катта тангенциал кучланишни (84. 7) формуладан аниқлаймиз:

$$\tau_{\max} = \frac{Q}{be} = \frac{6400}{0,7 \cdot 10} = 914 \frac{\text{кг}}{\text{см}^2} > 900 \frac{\text{кг}}{\text{см}^2}.$$

Максимал тангенциал кучланиш нейтрал ўқда фақат 1,6% кўп, холос. Қўшимча текширишни  $z = 8,86 \text{ см}$  баландликдаги элемент учун ўтказамиз. У элементдаги нормал ва тангенциал кучланишларни ҳисоблаймиз:

$$\sigma = \frac{M}{I_y} z = \frac{320000 \cdot 8,86}{2370} = 1195 \frac{\text{кг}}{\text{см}^2}.$$

$$\tau = \frac{QS(z)}{I_y b} = \frac{6400 \cdot 107}{2370 \cdot 0,7} = 413 \frac{\text{кг}}{\text{см}^2}.$$

$$S(z) = 10 \cdot 1,14 \cdot \left( \frac{1,14}{2} + 8,86 \right) = 107 \text{ см}^3.$$

Энди, энг катта нормал кучланиш назариясига мувофиқ, мустаҳкамлик шартини тузамиз:

$$\frac{1}{2} \left[ 1195 + \sqrt{1195^2 + 4 \cdot 413^2} \right] = 1323 \frac{\text{кг}}{\text{см}^2} < 1400 \frac{\text{кг}}{\text{см}^2}.$$

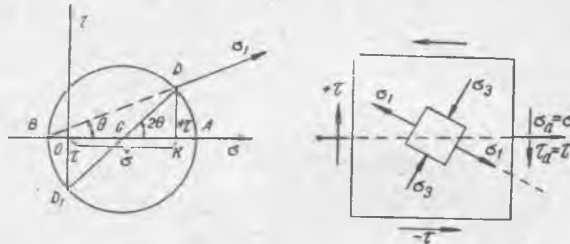
Энг катта тангенциал кучланиш назариясига кўра:

$$\sqrt{1195^2 + 4 \cdot 413^2} = 1392 \frac{\text{кг}}{\text{см}^2} < 1400 \frac{\text{кг}}{\text{см}^2}$$

бўлади. Иккала назарияга кўра ҳам энг хавфли элементлар учун мустақамлик шарти қаноатлантирилади.

### 86-§. Бош кучланишларнинг йўналиши. Кучланишлар траекторияси

Балканинг ихтиёрий элементларидаги бош кучланишларни аниқлашда уларнинг йўналишига эътибор қилмаган эдик. Чўзилиш ва сиқилишга бир хилда қаршилиқ кўрсатувчи материаллар учун бош кучланишларнинг, йўналишидан қатъи назар, фақат миқдоригина аҳамиятга эгадир. Аммо чўзилиш ва сиқилишга бир хилда қаршилиқ кўрсатмайдиган материаллар учун,



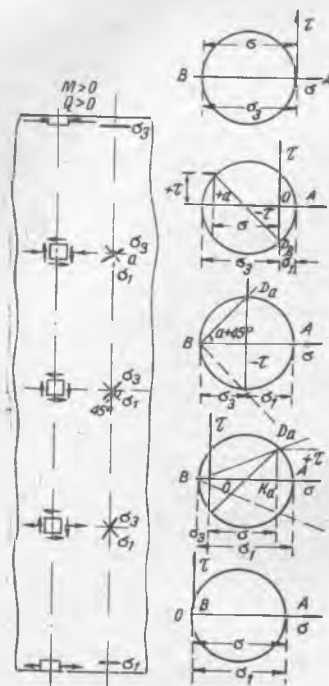
262-шакл.

масалан, темир-бетондан ясалган балкалар учун чўзувчи бош кучланишларнинг йўналишини олдиндан билиш муҳим аҳамиятга эга. Бу йўналиш бўйича чўзувчи кучланишларни қабул қилувчи пўлат арматура ўрнатилади. Бош кучланишларнинг йўналиши кучланиш доираси воситаси билан аниқланиши мумкин (262-шакл). Биз текшираётган ҳолда, балканинг ўқига тик кесимдаги  $\sigma_a$  ва  $\tau_a$  кучланишлар мусбат бўлади, деб фараз қилайлик:

$$\sigma_a = \sigma = \frac{M}{I_y} z > 0, \quad \tau_a = \tau = \frac{QS(z)}{I_y b} > 0.$$

Бу кучланишлар учун чизилган кучланиш доираси 262-шаклда тасвирланган. Кучланиш доирасидан кўринадики, бош кучланиш ( $\sigma_1$ ) нинг йўналишини аниқлаш учун,  $\sigma_a$  нинг йўналишини соат стрелкаси йўналиши бўйича  $\theta$  бурчакка айлантириш лозим.

Текширилаётган элемент кесим бўйича қўзғалганда  $\sigma_1$  нинг йўналиши ҳам ўзгара боради. Кесимнинг юқориги ва пастки қиргоқларида бош кучланишлардан биттаси ноль, иккинчиси эса балканинг ўқига параллел йўналишда бўлади. Нейтрал қатламда бош кучланишлар балка ўқи билан  $45^\circ$  ва  $135^\circ$  бурчаклар тузади. 263-шаклда кўндаланг кесимнинг 5 та элементи учун  $M$  ва  $Q$  мусбат бўлган ҳолдаги кучланиш доиралари ва тегишли бош кучланишларнинг йўналиши тасвирланган. Сиқувчи бош кучланишларнинг йўналиши балканинг фасадида йўгон чизиқ билан, чўзувчи бош кучланишларнинг йўналиши эса ингичка чизиқ билан тасвирланган. Балканинг бирор кўндаланг кесимида олинган нуқта учун бош кучланишнинг йўналишини аниқлаб, бу йўналишнинг қўшни кесим билан кесишган нуқтаси учун яна бош кучланиш ва унинг йўналишини аниқлаймиз. Бу иккинчи нуқта бош кучланиш йўналишининг учинчи қўшни кесим билан кесишув нуқтасини топиб, у нуқта учун яна бош кучланиш йўналишини аниқлаймиз. Шу тарзда ясашни давом эттириб, бир синиқ чизиқ ҳосил қиламиз. Ҳалиги бош кучланишлар йўналиши билан кесишган кесимларни бир-бирига чексиз яқин олсак, лимитда бу синиқ чизиқ узлуксиз эгри чизиққа айланади. Бу чизиқ



263- шакл.

нинг ҳар бир нуқтасида ўтказилган уринмаси шу нуқтага тегишли бош кучланишнинг йўналишини аниқлайди. Мазкур эгри чизиқ бош кучланишнинг *траекторияси* деб аталади.

Балканинг ҳар бир нуқтасидан иккита ўзаро тик бўлган чўзувчи ва сиқувчи бош кучланишлар траекториясини ўтказиш мумкин. Қундаланг кесимнинг баландлиги бўйлаб бош кучланишлар йўналишининг ўзгаришини аниқлаганимиздан кейин, кучланиш траекториясининг умумий характерини белгилаш қийин эмас. Балканинг юқори қиррасида  $\sigma_1 = 0$  бўлиб,  $\sigma_3 = -\sigma_{\max}$  дир. Шунинг учун чўзувчи бош кучланиш траекторияси юқори қиррадаги сиқилган толадан бошланиб, балканинг ўқиға  $90^\circ$  қиядир (263- шакл); нейтрал қатламда эса балканинг ўқиға  $45^\circ$  бурчак билан қияланиб, пастки қиррасида чўзилган толалар йўналишига мос келади. Сиқувчи бош кучланиш траекторияси сиқилган толаларга уринма бўлиб, нейтрал қаватда балка ўқиға  $45^\circ$  қия ҳолда чўзилган толалар билан  $90^\circ$  бурчак ҳосил қилади (263- шакл).

264- шаклда икки таянчга тиралган ва тенг ёйилган юк таъсирида бўлган балкадаги кучланиш траекториялари тасвирланган.

Бош кучланишлар траекториясининг дифференциал тенгламасини чиқариб, унинг интегралини топиш ҳам мумкин. Балканинг

бирор нуқтаси ( $xz$ ) даги бош кучланишларнинг йўналиши қуйидаги тенгламадан аниқланади:

$$\operatorname{tg} 2\theta = \frac{2\tau_{xy}}{\sigma_y - \sigma_x} \quad (a)$$



264- шакл.

Биз текшираётган ҳол учун:

$$\tau_{yx} = \tau = \frac{Q(x) S(z)}{I_y b(z)}, \quad \sigma_y = 0, \quad \sigma_x = \sigma = \frac{M(x)}{I_y} z$$

Ундан ташқари:

$$\operatorname{tg} 2\theta = \frac{2\operatorname{tg} \theta}{1 - \operatorname{tg}^2 \theta} = \frac{2 \frac{dz}{dx}}{1 - \left(\frac{dz}{dx}\right)^2}$$

Булар кўзда тутилса, (а) тенглама қуйидагича ёзилади:

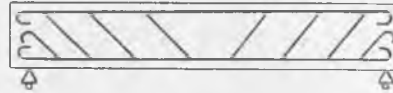
$$\left(\frac{dz}{dx}\right)^2 - \frac{\sigma}{\tau} \frac{dz}{dx} - 1 = 0.$$

Бу тенгламадан:

$$\frac{dz}{dx} = \frac{\sigma \pm \sqrt{\sigma^2 + 2\tau^2}}{2\tau}.$$

Бу тенгламаларнинг интегралли балканинг ҳар бир нуқтаси учун, тегишлича қўзувчи ва сиқувчи бош кучланишларнинг траекториясини беради.

Бош кучланишлар траекторияси назарий жиҳатдангина эмас, балки амалий жиҳатдан ҳам катта аҳамиятга эгадир. Масалан, темир-бетон балкаларнинг қўзилишга ишлайдиган қисми темир арматура билан кучайтирилганда арматура тахминан қўзувчи бош кучланиш траекторияси бўйича ўрнатилади. Таянчлар яқинида ҳосил бўладиган қийшиқ ёриқлар темир-бетон балкаларни парчалайди. Шунинг учун пастки томондаги горизонтал арматура симларининг учи 265-шаклда кўрсатилгандек букиб қўйилади.



265-шакл.

### МАСАЛАЛАР

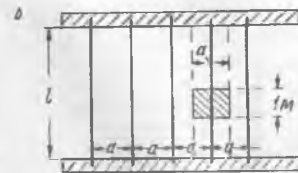
74. Бино қаватларини ёпадиган бир пролётли, қундаланг кесими қўш таврли балканинг ўлчамлари аниқлансин (266-шакл). Балканинг узунлиги  $l = 6$  м, қатор ўрнатилган балкалар оралиғи  $a = 1,5$  м. Ёпиш материалларининг (балка билан бирга) ҳар бир квадрат метрдаги оғирлиғи  $p = 520$  кг/м<sup>2</sup>. Рухсат этилган кучланиш  $[\sigma] = 1200$  кг/см<sup>2</sup>.

Ечиш. Ҳар бир балкага кенглиги  $a$  га тенг полюсадаги юк туғри келади. Бу полосадан бир метр узунликдаги қисмини ажратиб (266-шакл, в), ёйилган юкнинг интенсивлиғи ( $q$ ) ни топамиз:

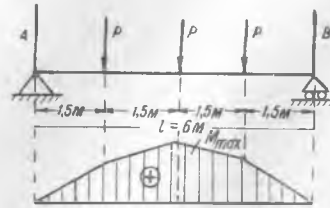
$$q = p \cdot a \cdot l = 520 \cdot 1,5 \cdot 1 = 780 \text{ кг/м}.$$



Кесими



266-шакл.



267-шакл.

Максимал эғувчи момент балка оралиғининг ўртасида бўлади:

$$M_{\max} = \frac{ql^2}{8} = \frac{780 \cdot 6^2}{8} = 3510 \text{ кгм}, \quad M = \frac{M_{\max}}{[\sigma]} = \frac{351000}{1200} = 293 \text{ см}^3.$$

Сортамент жадвалидан қаршилик моменти  $W = 293$  см<sup>3</sup> га мос бўлган № 22<sup>а</sup> қўш таврин оламиз. Унинг учун:  $W_x = 309$  см<sup>3</sup> (сортамент жадвалида нейтрал ўқ  $x$  билан белгиланади)

75. Узунлиги  $l = 6$  м бўлган қўш таврли балканинг сортамент жадвалидаги номери 30<sup>а</sup> дир. Бу балкага гаянчлар оралиғини тўртта тенг булакка бўладиган учта бир хил тупланма куч таъсир қилади. Нормал кучланиш  $\sigma = 1200$  кг/см<sup>2</sup> дан ошмаслиги учун  $P$  кучнинг энг катта қиймати қанча бўлиши мумкин (267-шакл)?

Е ч и ш. № 30<sup>а</sup> профиль учун  $W_x = 597$  см<sup>3</sup>; балканинг мустақамлик шартидан:

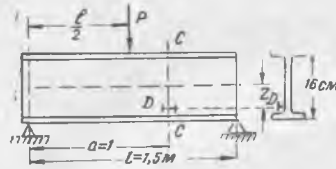
$$M_{\max} = 597 \cdot 1200 = 716400 \text{ кгсм} \quad (1)$$

бўлади.

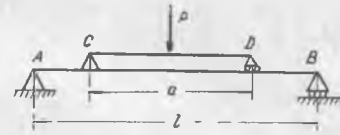
Иккинчи томондан, энг катта эғувчи момент балканинг ўрта кесимига мос келгани учун унинг қиймати:

$$M_{\max} = 1,5P \cdot 300 - P \cdot 150 = 300P \text{ кгсм}. \quad (2)$$

(1) ва (2) ни солиштириб,  $P$  ни топамиз:  $P = 2,388$  т.



268-шакл.



259-шакл.

76. 268-шаклда тасвирланган балкага қўйилган  $P$  куч таъсирдан,  $CC$  кесимдаги нейтрал ўқдан  $z_D = 5$  см ораликда турган  $D$  тола  $\Delta S = 0,005$  мм чўзилган. Балканинг кундаланг кесими 16-номерли қўш тавр билан, узунлиги  $l = 1,5$  м, эластиклик модули  $E = 2 \cdot 10^6$  кг/см<sup>2</sup>.  $D$  толадаги чўзилиш  $S = 2$  см базали танзометр билан ўлчанган (269-шакл). Шу  $P$  кучнинг қиймати аниқлансин.

Е ч и ш.  $CC$  кесимнинг  $D$  толасидаги нормал кучланиш бундай бўлади:

$$\sigma = \frac{M}{I_y} \cdot z_D = \frac{P \cdot 50 \cdot 5}{2 \cdot 1130} \cong 0,11P \text{ кг/см}^2. \quad (1)$$

$I_y = 1130$  бўлган қиймат 16-номерли қўш тавр учун сортамент жадвалидан олинади.  $D$  толанинг нисбий чўзилиши:

$$\varepsilon = \frac{\Delta S}{S} = \frac{0,005}{20}$$

бўлади.

Гук қонунидан:

$$\sigma = E\varepsilon = E \frac{0,005}{20} \quad (2)$$

келиб чиқади: (1) билан (2) ни солиштириб,  $P$  ни топамиз:  $P \cong 5$  т.

77. 269-шаклда тасвирланган балканинг ўртасига  $P$  куч таъсир этганда,  $u$  кесимда ҳосил бўладиган максимал норма кучланиш тегишли руҳсат этилган кучланишдан 30% ошадди. Ортиқча кучланишни йўқотиш учун ёрдамчи  $CD$  балкача ўрнатилган. Мазкур  $CD$  балкачанинг узунлиги ( $a$ ) аниқлансин.

Е ч и ш. Ёрдамчи балкача бўлмаганда:

$$M_{\max} = \frac{Pl}{4},$$

ёрдамчи балкача бўлганда:

$$M = \frac{P}{2} \left( \frac{l}{2} - \frac{a}{2} \right) = \frac{Pl}{4} - \frac{Pa}{4},$$

30% ортиқча кучланишни йўқотиш учун  $M_{\max}$  ни 30% камайтириш лозим:

$$\frac{Pa}{4} = 0,3 \frac{Pl}{4}; \text{ бундан } a = 0,3l \text{ бўлади.}$$

78. 20<sup>a</sup> номерли қуш тавр балканинг узунлиги  $l = 3$  м, учлари таянчларга шарнир воситаси билан тиралган. Таянчларнинг биридан  $a = 1,2$  м масофадаги нуқтага тўпланган  $P = 2,5$  т юк қўйилган. Рухсат этилган кучланиш  $[\sigma] = 1200$  кг/см<sup>2</sup> бўлса, балканинг уртасига яна қандай миқдор тўпланган  $X$  юкни қўйиш мумкин?

Е ч и ш. Мустаҳкамлик шартидан  $M_{\max}$  ни аниқлаймиз:

$$M_{\max} = W[\sigma] = 237 \cdot 1200 = 284400 \text{ кгсм.} \quad (1)$$

Сортамент жадвалидан I 20А учун:  $W_x = 237$  см<sup>3</sup>. Балкага қўйилган юклар учун  $M_{\max}$  қуйидагича бўлади:

$$M_{\max} = (1500 + 0,5X)1,2 \text{ кг-м.} \quad (2)$$

(1) билан (2) ни солиштириб,  $X$  ни топамиз:

$$X = 1,74.$$

79. Бир учи билан қисилиб тиралган балканинг қўндаланг кесими баландлиги  $h$  бўлган тўғри тўрт бурчакликдир. Қуйидаги уч ҳол учун мазкур балканинг нейтрал қатламида ҳосил бўладиган тангенциал зўриқиш  $(T)$  аниқлансин.

1. Эркин учига  $P$  юк қўйилган.

2. Балкага интенсивлиги  $q$  бўлган тенг ёйилган юк таъсир этади.

3. Энг катта интенсивлиги  $q_0$  бўлган ва учидан таянчга қараб ўсиб борувчи учбурчак қонуни билан ёйилган юк таъсир этади (270-шакл).

Е ч и ш. Учала ҳол учун ҳам дастлаб эркин учидан  $x$  масофадаги кесимдаги  $Q$  ни аниқлаш лозим:

1)  $Q = -P,$

2)  $Q = -qx,$

3)  $Q = -\frac{q_x x}{2} = -q_0 \frac{x^2}{2l}.$

$x$  масофадаги қўндаланг кесимнинг нейтрал ўқидаги элементар ҳосил бўладиган тангенциал кучланиш қуйидагича аниқланади:

$$\tau_{\max} = \frac{Q(x) S(z)_{\max}}{I_y b}.$$

Тўғри тўрт бурчакли кесим учун нейтрал ўқидаги элемент юқорисидаги юзанинг статик моменти:

$$S(z)_{\max} = \frac{bh^2}{6}; \quad I_y = \frac{bh^3}{12}$$

бўлади. Шунинг учун:

$$\tau_{\max} = \frac{3}{2} \frac{Q(x)}{bh}.$$

Биринчи ҳолда  $|Q| = P = \text{const}$  бўлгани учун:  $\tau_{\max} = \text{const}$ , демак:

$$T = \tau_{\max} b l = \frac{3}{2} \frac{P}{h} l.$$

Иккинчи ҳолда  $|Q| = qx$  бўлгани учун, нейтрал қатлам юзасидан элементар  $b dx$  юзани ажратиб, олдин бу юзада ҳосил бўладиган тангенциал зўриқиш  $dT$  ни аниқлаймиз:

$$dT = \tau_{\max} b \cdot dx = \frac{3}{2} \frac{qx}{bh} b dx.$$

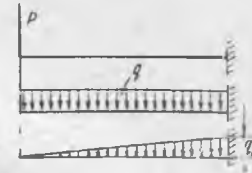
Балканинг нейтрал қатламидаги тангенциал зўриқиш  $T$  ни топниш учун  $dT$  нинг интегралини оламиз:

$$T = \frac{3q}{2h} \int_0^l x dx = \frac{3ql^2}{4h}.$$

Худди шундай мулоҳаза юргизиб, учинчи ҳол учун ҳам  $T$  ни аниқлаш қийин эмас. Бу ҳолда:

$$T = \frac{q_0 l^2}{4h}$$

бўлади.



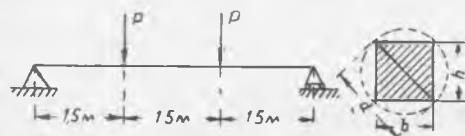
270-шакл.

Агар  $P = ql$  ва  $q_0 = q$  бўлса, тангенциал эуриқиш ( $T$ ) уч ҳол учун қуйидагича бўлади:

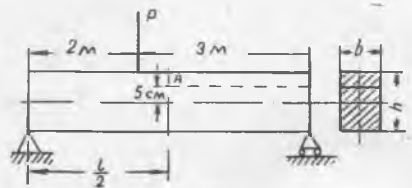
$$T = 1,5 \frac{Pl}{h}, \quad T = 0,75 \frac{Pl}{h},$$

$$T = 0,25 \frac{Pl}{h}.$$

80. Қўндаланг кесими квадрат ва тўғри тўрт бурчакли балкаларга қўйилган юкнинг кўрениши, балканинг узунлиги ва рухсат этилган кучланиш ўзгартирилмай, фақат юкнинг миқдори икки хисса кўпайтирилса, балканинг ҳажми неча марта кўпаяди? Тўғри тўрт бурчакли кесимнинг кенглиги сақланиб фақат баландлиги ўзгартирилади.



271-шакл.



272-шакл.

Кўрсатма. Мустаҳкамлик шarti:  $W = \frac{M_{\max}}{[\sigma]}$  дан ва эгувчи моментнинг юкка пропорционал ўсишидан фойдаланиш керак. Квадрат кесимли балканинг ҳажми  $\sqrt[3]{4}$  марта тўғри тўртбурчак кесимли балканинг ҳажми эса  $\sqrt{2}$  марта кўпаяди.

81. Қўндаланг кесим юзи, материали, узунлиги, қўйилган юкнинг характери бир хилда бўлган иккита балкадан бири доиравий кесимли бўлиб, иккинчиси квадрат кесимлидир. Доиравий кесимли балка учун хавфсиз юкнинг миқдори  $P_1 = 1000$  кг бўлса, квадрат кесимли балка учун хавфсиз  $P_2$  юкнинг миқдори қанча бўлади?

Кўрсатма. Доиравий в квадрат қўндаланг кесим юзлари

нинг тенглигидан  $a = \frac{\sqrt{\pi}}{2} d$  ни ҳосил қиламиз. Энди, иккала ҳол учун мустаҳкамлик тенгламасини тузиб, ундан  $P_2$  ни аниқлаймиз:

$$P_2 = \frac{2\sqrt{\pi}}{3} P_1 \cong 1180 \text{ кг.}$$

82. Икки таянчда ётган ва қарағай ёғочдан ишланган балканинг қўндаланг кесими  $b \times h$  тўғри тўртбурчак бўлиб, узунлиги  $l = 4,5$  м дир. Балка узунлигининг учдан бир ораликларига иккита  $P = 2$  т юк қўйилган (271-шакл). Қўндаланг кесими доира бўлган тўсиндан ҳалиги тўғри тўртбурчак кесимли балка арралаш учун тўсиннинг минимал диаметри қанча бўлиши керак?

$\frac{h}{b}$  нисбатнинг қандай қийматидан балканинг қаршилик momenti энг катта бўлади?

Ечиш. Қўндаланг кесимнинг қаршилик momenti тўсиннинг диаметри ва тўғри тўртбурчакнинг кенглиги орқали қуйидагича ифодланади:

$$W = \frac{bh^2}{6} = \frac{b(d^2 - b^2)}{6}.$$

$W_{\max}$  бўлиши учун, бу ифоданинг  $b$  га нисбатан ҳосиласи нолга тенг бўлиши керак:

$$\frac{dW}{db} = d^2 - 3b^2 = 0, \quad b^2 = \frac{d^2}{3} \quad \text{ва} \quad h^2 = \frac{2}{3} d^2.$$

Бундан:

$$\frac{b^2}{d^2} = 0,33 \quad \text{ва} \quad \frac{h}{d} = 0,82;$$

демак:

$$W_{\max} = \frac{d}{\sqrt{3}} \cdot \frac{2d^2}{3 \cdot 6} = \frac{d^3}{9\sqrt{3}}$$

Ҳисоб тенгласидан қаршилик моментини аниқлаймиз:

$$W = \frac{M_{\max}}{[\sigma]} = \frac{2000 \cdot 150}{100} = 3000 \text{ см}^3.$$

Бу ифодани ҳалиги  $W_{\max}$  га тенглаштириб,  $d$  ни топамиз:

$$d \cong 36 \text{ см.}$$

83. Икки таянчга тиралган балкага, 272- шаклда кўрсатилгандек  $P = 1000 \text{ кг}$  куч таъсир этади. Балканинг ўртасидаги кўндаланг кесимининг, нейтрал қатламдан  $5 \text{ см}$  масофадаги  $A$  элементда ҳосил бўладиган нормал ва тангенциал кучланишлар ҳисоблансин. Кўндаланг кесим тўғри тўртбурчак бўлиб, унинг ўлчамлари:  $h = 20 \text{ см}$ ,  $b = 12 \text{ см}$  дир. Кўрсатма. Нормал ва тангенциал кучланишлар

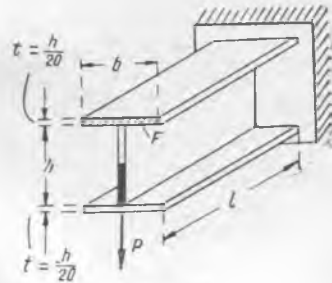
$$[\sigma] = \frac{M}{I_y} z; \quad \tau = \frac{Qh^2}{8I_y} \left(1 - \frac{4z^2}{h^2}\right)$$

формулалардан аниқланади:

$$\sigma_A = 62,5 \text{ кг/см}^2, \\ \tau_A = 1,88 \text{ кг/см}^2.$$

84. Тоқчаси билан девори бир хил қалинликдаги листларнинг туташтирилишидан ҳосил бўлган қўш таврли кўндаланг кесимга эга консолнинг учига 273- шаклда кўрсатилгандек,  $P$  куч таъсир этади. Консол узунлиги ( $l$ ) нинг қандай қийматида энг катта нормал ва тангенциал кучланишлар тегишли руҳсат этилган кучланишларга тенг бўлади. Руҳсат этилган кучланишларнинг нисбати:  $\frac{[\tau]}{[\sigma]} = 0,8$ ;  $b = h$ . Масала шартини шундай қолдириб,  $l$  нинг қиймати тўғри тўрт бурчакли кесим учун аниқлансин.

Ечиш. Юпка листлардан тузилган қўш тавр учун  $I_y$ ,  $W$  ва  $S(z)_{\max}$  ни ҳисоблаймиз:



273- шакл.

$$I_y = 2F \frac{h^2}{4} + \frac{th^3}{12} = 2h \frac{h}{20} \cdot \frac{h^2}{4} + \frac{h^4}{20 \cdot 12} = \frac{7h^4}{240}, \quad W = I_y \cdot \frac{h}{2} = \frac{7h^3}{120}$$

$$S(z)_{\max} = \frac{h}{20} \cdot h \cdot \frac{h}{2} + \frac{h}{2} \cdot \frac{h}{20} \cdot \frac{h}{4} = \frac{h^3}{32}, \quad \sigma_{\max} = \frac{M}{W} = \frac{Pl}{7h^3} \cdot 120;$$

$$\tau_{\max} = \frac{QS(z)_{\max}}{I_y b} = \frac{Ph^3 240 \cdot 20}{32 \cdot 7h^4 h} = \frac{300P}{2 \cdot 7h^2}.$$

Масала шартига мувофиқ:

$$\tau_{\max} \geq 0,8\sigma_{\max}; \quad \frac{300P}{2 \cdot 7 \cdot h^2} \geq 0,8 \frac{Pl}{7h^3} \cdot 120,$$

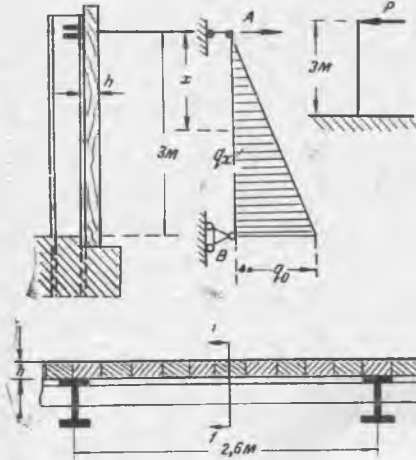
бундан:

$$l \leq \frac{300h}{2 \cdot 120 \cdot 0,8} = 1,56h.$$

Тўғри тўрт бурчакли кесим учун:

$$\sigma_{\max} = \frac{6Pl}{bh^2}; \quad \tau_{\max} = \frac{3P}{2bh}; \\ \frac{3P}{2bh} \geq 0,8 \frac{6Pl}{bh^2}; \quad l \geq \frac{h}{2 \cdot 2 \cdot 0,8} = 0,31h.$$

85. Уч метр баландликдаги сув босимини тутиб турувчи туғон зич урнатилган туғри тўртбурчак кесимли вертикал тахталардан иборат бўлиб, улар пастки учи билан, 274-шаклда тасвирланганидек, фундамент қиррасига (поғонасига) тиралиб, юқориги учи билан тенг ёқли бўлмаган иккита бурчакликдан тузилган горизонтал балкага тиралган. Бу балкалар пастки учи фундаментга қостириб тиралган қўш таврли устунларга болтлар ёрдами билан бириктирилган. Устунлар бир-биридан 2,6 м масофада туради. Ёғоч тахталарнинг қалинлиги ( $h$ ) ни, горизонтал балкаларнинг ҳамда вертикал устунларнинг кесимларини аниқлаш керак. Рухсат этилган кучланишлар ёғоч учун:



274-шакл.

дир. Бу юкнинг интенсивлиги халиги балканинг  $A$  таянч реакциясидир, шунинг учун:

$$A = q = 1,5 \text{ т/м.}$$

$$M_{\max} = \frac{q l^2}{8} = \frac{1,5 \cdot 2,6^2}{8} = 1,27 \text{ тм;}$$

$$W = \frac{M_{\max}}{[\sigma_n]} = \frac{127000}{1000} = 127 \text{ см}^3.$$

Сортамент жадвалидан  $150 \times 100 \times 12$  мм бурчакликни танлаймиз. Бу бурчаклик учун:

$$W = 130 \text{ см}^3.$$

Устунлар икки балканинг таянч боси лари билан юкланган (274-шакл). Шунинг учун устуннинг учига қўйилган юк:

$$P = 1,5 \cdot 2,6 = 3,9 \text{ Т.}$$

$$W_{\max} = 3,9 \cdot 3 = 11,7 \text{ тм; } W = \frac{1170000}{1000} = 1170 \text{ см}^3.$$

Бунга мос қесим: I № 40<sup>с</sup> дир:  $W = 1190 \text{ см}^3$ .

86. Қўш таврли балканинг кесимидаги эгувчи момент  $M = 3000$  кгм, кесиб ўтувчи куч  $Q = 10000$  кг. Мазкур кесимнинг қуйидаги икки нуқтаси учун максимал бош кучланишлар аниқлансин:

1. Деворнинг ёғига мос келган  $mm$  чизикдаги энг юқори  $a$  нуқта учун.

2. Токчанинг паст ёғига мос келган, деворнинг энг баланд толаси  $nn$  учун (275-шакл).

Ечиш. Биринчи ва иккинчи ҳол учун нормал кучланиш бир хил қийматга эга, у қуйидаги формуладан аниқланади:

$$\sigma = \frac{M}{I_y} \cdot z.$$

$$\sigma = \frac{300000 \cdot 8,5}{1765} \cong 1445 \text{ кг/см}^2.$$

$$[\sigma] = 50 \text{ кг/см}^2, \text{ пўлат учун: } [\sigma_n] = 1000 \text{ кг/см}^2.$$

Бурчакликларнинг болтлар учун тешиллиши натижасида заифланиши ҳисобга олинмасин.

Ечиш. Кенглиги 1 м ли вертикал тахталар учун (274-шакл):

$$q_0 = 3 \text{ т/м, } A = 1,5 \text{ т}$$

бўлади, хавfli кесим  $A$  таянчдан  $x = \frac{b \sqrt{3}}{3} = 1,73 \text{ тм}$  масофададир. Шунинг учун:  $M_{\max} = 1,73 \text{ м}$  бўлади. Тегишли қаршилик моментини ҳисоб тенгламасидан топамиз:

$$W \geq \frac{M_{\max}}{[\sigma]} = \frac{173000}{50} = 3460 \text{ см}^3.$$

$$\text{Иккинчи томондан: } W = \frac{100h^3}{6} =$$

$= 3460$ ; бундан тахталарнинг қалинлиги ( $h$ ) ни аниқлаймиз:  $h = 14,4 \text{ см}$ .

Вертикал тахталарнинг босими горизонтал балка учун тенг ёйилган юк-

Тангенциал кучланиш эса иккала нуқта учун ҳар хил бўлади: биринчи нуқта тоқчага оид бўлиб, иккинчиси деворга оиддир; шунинг учун (82.1) ва (82.3) дан фойдаланамиз:

$$\tau_1 = \frac{Qh^2}{8I_y} \left(1 - \frac{h_1^2}{h^2}\right) = \frac{10000 \cdot 21^2}{8 \cdot 1765} \left(1 - \frac{19^2}{21^2}\right) = 62,3 \text{ кг/см}^2,$$

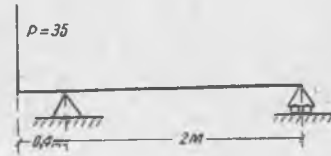
$$g = \frac{b}{\sigma} \tau_1 = \frac{12}{1} \cdot 62,3 = 747,6 \text{ кг/см}^2.$$

Максимал бош кучланиш:

1) ҳолда:



275- шакл.



276- шакл.

$$\sigma_1 = \frac{1}{2} \{1445 + \sqrt{1445^2 + 4 \cdot 62,3^2}\} \cong 1448 \text{ кг/см}^2,$$

2) ҳолда:

$$\sigma_1 = \frac{1}{2} \{1445 + \sqrt{1445^2 + 4 \cdot 747,6^2}\} \cong 1764 \text{ кг/см}^2.$$

87. 276- шаклда тасвирланган балка учун сортамент жадвалидан қуш таврли кесим танлансин. Консол учига қўйилган куч:  $P = 3,5 \text{ т}$  рухсат этилган кучланиш:  $[\sigma] = 1400 \text{ кг/см}^2$ . Танланган кесим туртала мустаҳкамлик назариясини татбиқ этиб текшириб қўрилсин.

Е чи ш. Кесиб ўтувчи куч ва эғувчи момент эпюраларидан:

$$Q_{\max} = 3500 \text{ кг}; M_{\max} = 140000 \text{ кгсм}.$$

Эпюраларни чизиш ўқувчиларга тавсия этилади. Ҳисоб тенгламасидан:

$$W = \frac{M_{\max}}{[\sigma]} = \frac{140000}{1400} = 100 \text{ см}^3$$

келиб чиқади. Сортамент жадвалидан 14-номерли I ни оламиз.  $I = 712 \text{ см}^4$ . Мазкур кесим тоқчасининг статик моменти:

$$S_1 = 8 \cdot 0,91 \cdot 6,54 = 47,6 \text{ см}^3.$$

Кесим юзаси ярмисининг статик моменти:

$$S_2 = 47,6 + \frac{6 \cdot 0,9^2}{2} \cdot 0,55 = 57,8 \text{ см}^3$$

бўлади. Тоқчанинг юқори қиррасидаги кучланишлар:

$$\sigma_{\max} = \frac{140000}{712} \cdot 7 = 1376 \frac{\text{кг}}{\text{см}^2} < 1400,$$

$$\tau = 0$$

бўлади.

Тоқчанинг пастки қиррасида девор билан қўшилган жойдаги кучланишлар:

$$\sigma = \frac{140000}{712} \cdot 6,09 = 1197 \text{ кг/см}^2.$$

$$\tau = \frac{3500 \cdot 47,6}{712 \cdot 0,55} = 425 \text{ кг/см}^2.$$

Бу нуқта учун балканинг мустаҳкамлигини текшираимиз:

Биринчи назарияга мувофиқ:

$$\frac{1}{2} \{ 1197 + \sqrt{1197^2 + 4 \cdot 425^2} \} = \frac{1}{2} (1197 + 1467) = 1332 \text{ кг/см}^2 < 1400.$$

Иккинчи назарияга мувофиқ:

$$0,35 \cdot 1197 + 0,65 \cdot 1467 = 1373 \text{ кг/см}^2 < 1400.$$

Учинчи назарияга мувофиқ:

$$\sigma_1 - \sigma_2 = 1332 - (-135) = 1467 \text{ кг/см}^2 > 1400.$$

Тўртинчи назарияга мувофиқ:

$$\sqrt{\sigma^2 + 3\tau^2} = \sqrt{1197^2 + 3 \cdot 425^2} = 1405 \text{ кг/см}^2 > 1400.$$

Фақат учинчи назария асосида чиқарилган кучланиш тахминан +5% фарқ қилади. Биз девор билан тоқчанинг қўшилган жойидаги тадрижий утишни кескиш бурчак билан алмаштирганимиз учун бу фарқнинг аҳамияти йўқ.

□

## XII боб

### БАЛКАЛАРНИНГ ЭГИЛИШДАГИ ДЕФОРМАЦИЯЛАРИНИ АНИҚЛАШ

#### 87-§. Балкаларнинг салқилигини ва кўндаланг кесимларнинг айланишини аналитик усулда аниқлаш

Балкаларни ҳисоблашда инженерни балкага қўйилган юклар таъсиридан унда ҳосил бўладиган кучланишлар билан бирга деформациялар, яъни турли нуқталарининг салқилиги ва турли кўндаланг кесимларининг айланиши ҳам қизиқтиради. Балкалар қўйилган юклар таъсиридан салқилиши натижасида таянчлардан ажраб кетмаслиги ва, шунингдек, юклар динамик бўлган ҳолда тебраниш ҳаддан ташқари кучли бўлмаслиги учун, одатда, уларнинг салқилигига чек қўйилади. Масалан, пўлат балкалар учун максимал салқилик  $\frac{l}{1000} \div \frac{l}{250}$  орасида бўлиш керак.

Статик аниқмас масалаларни ечишда балкаларнинг эгилишдаги деформациясини аниқлашдан фойдаланиб, қўшимча тенгламалар тузилади. Шунинг учун ҳам эгилишдаги деформацияларни аниқлашнинг аҳамияти каттадир. Эгилиш назариясини баён этишда қабул қилинган асосий гипотезаларнинг ҳаммасини ўз кучида қолдирамиз. Шунинг учун бу ерда уларни такрорлаб ўтирмасдан, фақат текис эгилиш назариясини ривожлантираётганлигимизни яна бир қарра эслатиб ўтамиз. Балканинг симметрия текислиги  $XOZ$  да ётувчи ҳар хил юклар таъсиридан эгилган ўқи  $AC_1B$  277-шаклда тасвирланган. Эгилган бу ўқ баъзан эластик чизиқ деб аталади, чунки балкадан юк таъсири олинганда, ундаги деформация йўқолиб, эгилган ўқ ўзининг олдинги тўғри чизиқли ҳолатига қайтади. 277-шаклда тасвирланган балканинг чап таянчидан  $x$  масофадаги кесимининг  $C$  маркази деформация натижасида  $C_1$  га кўчади. Балканинг ўқиға тик йўналишдаги  $CC_1$  кўчиш мазкур  $C$  кесимининг салқилиги дейилади. Балка ўқининг ҳар бир нуқтасидаги салқиликни  $w$  билан белгилаймиз.

Балка деформацияланганда унинг қўндаланг кесими текис қолган ҳолда нейтрал ўқ атрофида ўзининг олдинги ҳолатига нисбатан айланади. 277-шаклда  $C$  кесимнинг деформациягача ва ундан кейинги ҳолатлари  $mC$  ва  $m_1C_1$  чизиқлар билан кўрсатилган. Ҳар бир қўндаланг кесим ўзининг олдинги ҳолатига нисбатан деформация натижасида қандайдир  $\theta$  бурчакка айланади. Бу бурчак кесимнинг айланиш бурчаги дейилади. Балка ўқининг ҳар бир нуқтасидаги салқилик ( $w$ ) ни аниқлаш учун унинг эгилган ўқини, яъни унинг салқилиги қандай эгри чизиқ билан тасвирланишини яъни:

$$w = w(x) \quad (87.1)$$

тенгламани билишимиз керак. Бу тенглама эгилган ўқ ёки эластик чизиқ тенгламаси дейилади. Эгилган ўқнинг  $C_1$  нуқтасидан ўтказилган уринма  $x$  ўқи билан  $\theta$  бурчак ҳосил қилади. Бу  $\theta$  бурчак мазкур  $C$  кесимнинг олдинги ҳолатига нисбатан айланиш бурчагидир. Бу бурчакнинг тангенсини  $w(x)$  функциянинг  $x$  га нисбатан олинган ҳосиласига тенг:

$$\operatorname{tg} \theta = \frac{dw}{dx} \quad (87.2)$$

Балканинг ҳар қандай нуқта-сидаги салқилиги унинг узунлиги-га қараганда жуда ҳам кичик бўлгани учун кесимнинг энг катта айланиш бурчаги  $1^\circ$  дан ошмайди. Шунинг учун  $\theta$  бурчакнинг тангенсини шу бурчакнинг радианларда ифодаланган қиймати билан алмаштиришимиз мумкин:  $\operatorname{tg} \theta \approx \theta$ . Шуни кўзда тутиб, (87.2) ни бундай кўринишда ёзса бўлади:

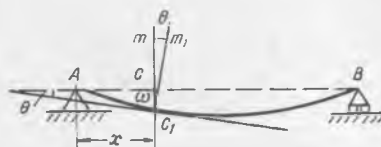
$$\theta = \frac{dw}{dx} \quad (87.3)$$

Демак, деформация вақтида бирор қўндаланг кесимнинг айланиш бурчаги  $\theta$  мазкур кесимнинг салқилиги ( $w$ ) дан  $x$  га нисбатан олинган биринчи ҳосилга тенг бўлар экан.

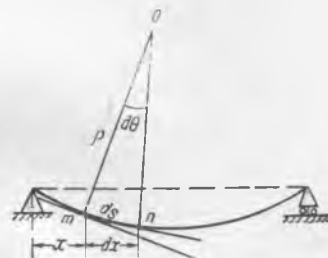
Балканинг деформациясини текшириш масаласи ўнинг эгилган ўқининг тенгламаси  $w = w(x)$  ни аниқлашга келтирилади. Бу тенгламани аниқлаш учун, эгувчи момент ( $M$ ) билан эластик чизиқ эгрилиги  $\left(\frac{1}{\rho}\right)$  орасидаги муносабат (78.9) дан, яъни:

$$\frac{1}{\rho} = \frac{M(x)}{EI_y} \quad (87.4)$$

дан фойдаланамиз. Эластик чизиқ эгрилиги билан тегишли кесимнинг айланиш бурчаги ( $\theta$ ) орасидаги муносабатни топамиз. Бунинг учун эластик чизиқнинг бир-бирига чексиз яқин бўлган бирор  $m$  ва  $n$  нуқталаридан уринмалар ўтказамиз (278-шакл). Бу нуқталар орасидаги ёй  $ds$  бўлсин,  $m$  ва  $n$  нуқталардаги уринмаларга ўтказилган нормаллар орасидаги  $d\theta$  бурчак  $n$  кесимининг  $m$  кесимга нисбатан айланиш бурчагидир. Нормалларнинг кесиш-



277-шакл.



278-шакл.

ган нуқтаси ( $O$ ) эса эластик чизиқнинг  $m$  нуқтадаги эгрилик марказини беради. Шунинг учун:

$$\frac{1}{\rho} = \pm \frac{d\theta}{ds} \quad (87.5)$$

бўлади. Балканинг эластик чизиғи нейтрал қатламда ётгани учун  $ds \approx dx$  деб олишимиз мумкин. Ундан ташқари, (87.3) кўзда тутилса, эластик чизиқнинг эгрилиги  $\left(\frac{1}{\rho}\right)$  учун қуйидаги тақрибий ифодани оламиз:

$$\frac{1}{\rho} = \pm \frac{d^2w}{dx^2}. \quad (87.6)$$

$\frac{1}{\rho}$  нинг қийматини бу тенгламадан (87.4) га қўйсак, қуйидаги тақрибий дифференциал тенглама ҳосил бўлади:

$$\pm EI_y \frac{d^2w}{dx^2} = M(x). \quad (87.7)$$

Бу тенглама эластик чизиқнинг дифференциал тенгламаси дейилади. Бу тенгламанинг интегралли ҳар бир хусусий ҳолда балка эластик чизиғининг тенгламаси  $w = w(x)$  ни беради.

Биз  $\frac{d^2w}{dx^2}$  олдида икки хил ишора қўйдик, чунки 278-шаклда  $z$  ўқининг йўналишини кўрсатмадик. Эгувчи момент  $M$  нинг ишораси координата ўқларининг йўналишидан қатъи назар белгилангани учун  $\frac{d^2w}{dx^2}$  нинг ишораси координата ўқларининг йўналишига боғлиқдир. Иккинчи ҳосила  $\frac{d^2w}{dx^2}$  мусбат бўлиши учун,  $z$  ўқининг мусбат йўналиши эгри чизиқнинг ботиқ томонига, манфий бўлиши учун эса қавариқ томонига қараб йўналган бўлиши керак (279-шакл). Демак,  $M$  мусбат бўлган ҳолда  $z$  ўқи юқорига йўналганда тенглама  $+$  ишора билан, пастга йўналганда  $-$  ишора билан олинади. Эластик чизиқнинг дифференциал тенгламаси (87.7) га қатъий бир ишора бериш учун  $z$  ўқини китобимизнинг охиригача юқорига йўналтирамиз ва тенгламани мусбат белги билан ёзамиз:

$$EI \frac{d^2w}{dx^2} = M(x). \quad (87.8)$$

Эгувчи момент ( $M$ ) нинг ишорасини балкага қўйилган юқларга қараб, илгари белгиланган қоидага мувофиқ оламиз. Қўндаланг кесим инерция моментининг нейтрал ўқ ( $Y$ ) га нисбатан олиниши бизга маълум бўлгани учун (87.8) тенгламадаги  $I$  нинг  $y$  ишорасини тушириб қолдирдик.

13-параграфда чиқарилган  $M(x)$ ,  $Q(x)$  ва  $q(x)$  орасидаги дифференциал муносабатлардан фойдаланиб, (87.8) тенгламанинг бошқача кўринишларини ҳам келтирамиз.

$$\frac{dM}{dx} = Q(x) \text{ бўлгани учун:}$$

$$EI \frac{d^3w}{dx^3} = Q(x). \quad (87.9)$$

$$\frac{dQ}{dx} = -q(x) \text{ бўлгани учун:}$$

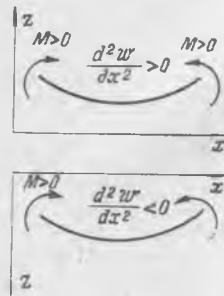
$$EI \frac{d^4w}{dx^4} = -q(x) \quad (87.10)$$

Энди, (87.3) ни қўзда тутиб, (87.8), (87.9) ва (87.10) тенгламаларни қўшиб ёзишимиз мумкин:

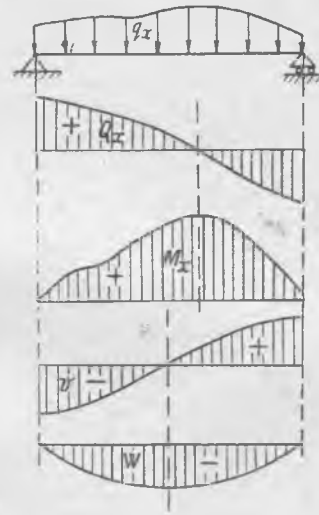
$$EI \frac{d^4 w}{dx^4} = EI \frac{d^4 \theta}{dx^4} = \frac{d^2 M}{dx^2} = \frac{dQ}{dx} = -q(x). \quad (87.11)$$

Юқоридаги тенгламалар бикрлиги ўзгармас ( $EI = \text{const}$ ) балкалар учун чиқарилди.

Қўрамизки балка таянчларининг тузилиши ва унга қўйилган ёйилма юк  $q(x)$  маълум бўлса, (87.11) ни кетма-кет интеграллаш билан  $Q(x)$ ,  $M(x)$ ,  $EI\theta$  ва  $EIw$  функцияларни оламиз. Шунингдек эластик чизиқ тенгламаси  $w = w(x)$  маълум бўлса,  $EIw(x)$  функцияни кетма-кет дифференциал-



279- шакл.



280- шакл.

лаш билан  $EI\theta$ ,  $M(x)$  ва  $Q(x)$  ни оламиз. Бу миқдорларнинг графикларини тасвирлашда, уларнинг мусбат қийматларини юқорига, манфий қийматларини эса пастга қаратиб қўямиз. 280-шаклда икки таянчга эркин тиралган ва ихтиёрий  $q(x)$  қонун билан ёйилиб, пастга қараб йўналган юк таъсири остида бўлган балка учун  $Q(x)$ ,  $M(x)$ ,  $\theta(x)$  ва  $w(x)$  ларнинг графиклари тасвирланган.

### 88-§. Тақрибий назариянинг қўлланиш чегараси

Тақрибий тенглама (87.8) нинг аниқлигини билиш учун, характерли бирор масалани олиб, уни ана шу тақрибий тенглама воситаси билан ечиш ва чиққан натижасини шу масаланинг аниқ тенгламадан фойдаланиб чиқарилган натижаси билан таққослаш лозим. Бир учи билан қисилиб тиралган консолнинг бошқа учига моменти  $M$  га тенг жуфт куч қўйилган (281-шакл).  $M = \text{const}$  бўлгани учун  $\frac{1}{\rho} = \text{const}$  бўлади. Эгрилиги ўзгармас чизиқ айлана бўлади. Бу ҳолда балка учи ( $B$ ) нинг салқилиги ( $w_{\max}$ ) ни аниқ ҳисоблашимиз мумкин:

$$w_{\max} = AA_1 = BB_1 = \rho - \rho \cos \theta = \rho \left( 1 - \cos \frac{l}{\rho} \right).$$

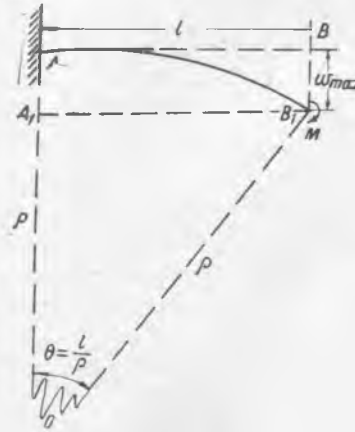
$\cos \frac{l}{\rho}$  ни қаторга ажратиб, унинг фақат уч ҳадинигина қолдираимиз, чунки  $\left(\frac{l}{\rho} < 1\right)$ :

$$\cos \frac{l}{\rho} = 1 - \frac{1}{2} \left(\frac{l}{\rho}\right)^2 + \frac{1}{24} \left(\frac{l}{\rho}\right)^4.$$

Бу ифода кўзда тутилса,  $w_{\max}$  қуйидагича ёзилади:

$$w_{\max} = \frac{1}{2} \frac{l^2}{\rho} + \frac{1}{24} \frac{l^4}{\rho^3}; \text{ бундан: } \frac{w_{\max}}{l} = \frac{1}{2} \frac{l}{\rho} + \frac{1}{24} \frac{l^3}{\rho^3}$$

ёки:



281-шакл.

$$\frac{w_{\max}}{l} = \frac{1}{2} \left(\frac{Ml}{EI}\right) + \frac{1}{24} \left(\frac{Ml}{EI}\right)^3. \quad (88.1)$$

Энди, шу масалани тақрибий тенглама (87.8) ёрдами билан ечамиз.  $M = \text{const}$  бўлгани учун, тенгламани икки қайта интеграллаб, қуйидагиларни ҳосил қиламиз:

$$\frac{dw}{dx} = \frac{Mx}{EI} + C_1;$$

$$w = \frac{Mx^2}{2EI} + C_1x + C_2.$$

Ихтиёрий ўзгармаслар  $C_1$  ва  $C_2$  ни балка учларининг тиралиш шартларидан аниқлаймиз. Биз текшираётган ҳолда,  $x = 0$  бўлган кесим қистириб тиралгани учун унинг айланиши ва салқиланиши нолга тенг бўлади.

Шунинг учун,  $x = 0$  бўлганда:  $\frac{dw}{dx} =$

$= 0$ ;  $w = 0$ . Бу шартларни  $C_1 = C_2 = 0$  бўлгандагина қаноатлантириш мумкин. Демак, балканинг  $B$  учининг нисбий салқилиги тақрибий назарияга мувофиқ, қуйидагича ёзилади:

$$\frac{w_0}{l} = \frac{1}{2} \frac{Ml}{EI}. \quad (88.2)$$

Энди, буни кўзда тутиб,  $B$  нинг нисбий салқилигининг аниқ қийматини қуйидагича ёзишимиз мумкин:

$$\frac{w_{\max}}{l} = \frac{w_0}{l} + \frac{1}{3} \left(\frac{w_0}{l}\right)^3.$$

Тақрибий назариянинг нисбий хатолиги:

$$\frac{w_{\max} - w_0}{l} = \frac{1}{3} \left(\frac{w_0}{l}\right)^3. \quad (88.3)$$

бўлади. Эластиклик модули ( $E$ ) тажрибадан аниқланганда, унинг хатоси 3—4% чегарасида бўлгани учун, балкалардаги салқиликнинг хатосини энг камида 3% олсак, уни жуда юқори аниқлик билан ҳисоблаган бўламиз.

Шунинг учун:

$$\frac{w_{\max} - w_0}{l} = \frac{1}{3} \left(\frac{w_0}{l}\right)^3 = \frac{3}{100};$$

бундан:

$$\frac{w_0}{l} \cong 0,4.$$

Кўрамизки, салқилик балка узунлигининг 40 процентини ташкил этганда ҳам (87.8) тенглама етарли даражада аниқ натижаларни берар экан. Бундан катта салқилик жуда юпқа балкаларда бўлиши мумкин. Ҳақиқатан ҳам, тақрибий назарияга мувофиқ:

$$\frac{w_0}{l} = \frac{1}{2} \frac{l}{\rho} \quad (88.4)$$

бўлса, балка қўндаланг кесимининг нейтрал ўқидан энг юқори қиррасигача бўлган масофа  $\frac{h}{2}$  га тенг бўлса, максимал нисбий чўзилиш:

$$e_{\max} = \frac{h}{2\rho}$$

бўлади; бундан:

$$\frac{1}{\rho} = 2 \frac{e_{\max}}{h} = 2 \frac{[\sigma]}{Eh}$$

ни ҳосил қиламиз. Буни (88.4) га қўйсақ,

$$\frac{w_0}{l} = \frac{l}{h} \cdot \frac{[\sigma]}{E}$$

чиқади, бундан:

$$\frac{l}{h} = \frac{w_0}{l} \frac{E}{[\sigma]} \quad (88.5)$$

$$E = 2 \cdot 10^8 \text{ кг/см}^2, [\sigma] = 2000 \text{ кг/см}^2 \text{ ва } \frac{w_0}{l} \cong 0,4$$

бўлса:

$$\frac{l}{h} = 400$$

бўлади.

Кўрамизки, балка баландлигининг узунлигига нисбати 400 дан катта бўлмаганда, тақрибий тенгламанинг хатолиги 3% га борар экан. Ҳолбуки металлдан ясалган конструкцияларда ишлатиладиган балкалар учун  $\frac{l}{h}$  нинг қиймати 33 дан ошмайди. Шунга кўра, материаллар қаршилигида ечиладиган эгилишга оид масалалар учун (87.8) тенгламани тақрибий демаса ҳам бўлади. Аммо жуда юпқа стерженларда, масалан, рессора ва пружиналарда кесимнинг айланиш бурчаги тангенсини бурчакнинг радиан ҳисобида ўлчанган қиймати билан алмаштириб бўлмайди. Ундай ҳолларда эгриликнинг аниқ қийматини олиш лозим бўлади.

### 89-§. Эластик чизиқнинг дифференциал тенгламасини интеграллаш

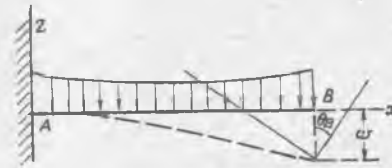
Эластик чизиқнинг дифференциал тенгламаси (87.8) ни интеграллаш, эгувчи момент  $M(x)$  балканинг узунлиги давомида битта аналитик тенглама билан ифодаланса, жуда ҳам осон бўлади. Бундай ҳоллар учун  $X$  бобда тегишли эгувчи момент ифодаларини тузган эдик. Эгувчи момент

$M(x)$  балканинг бутун узунлиги давомида битта аналитик ифода билан аниқланади деб, (87.8) тенгламанинг интегралини қуйидагича ёзамиз:

$$EI \frac{dw}{dx} = \int M(x) dx + C_1; \quad (89.1)$$

$$EIw = \int \left\{ \int M(x) dx + C_1 \right\} dx + C_2. \quad (89.2)$$

Бунда  $C_1$  ва  $C_2$  — интеграллашда ҳосил бўладиган ихтиёрий ўзгармаслар. Уларнинг қийматини балка учларининг тиралиш шартларидан, яъни масаланинг чегара шартларидан топамиз. Энг оддий иккита типдаги статик



282-шакл.



283-шакл.

аниқ балкаларни текшираемиз. Улар бир учи билан қисилиб тиралган консол ва икки учи билан эркин тиралган оддий балкалардир. Бу икки ҳол учун, балкага қўйилган юкларнинг қандай бўлишидан қатъи назар,  $C_1$  ва  $C_2$  ни аниқлашнинг иккита шартини оламиз. Бир учи билан қисилиб тиралган консол учун (282-шакл) балканинг чап учида салқилиги, шунингдек, шу кесимнинг нейтрал ўққа нисбатан айланиш бурчаги нолга тенг. Шунинг учун қуйидаги иккита чегара шартини оламиз:

$$x = 0 \text{ бўлганда: } \theta = \frac{dw}{dx} = 0 \text{ ва } w = 0 \quad (89.3)$$

Икки таянчга эркин тиралган оддий балка учун (283-шакл) таянчлардаги салқиликлар нолга тенг бўлади. Шунинг учун чегара шартлари қуйидагича ёзилади:

$$x = 0 \text{ бўлганда: } w_A = 0; \quad x = l \text{ бўлганда: } w_B = 0. \quad (89.4)$$

Балка учларининг тиралиш шартларидан, яъни (89.3) ёки (89.4) дан  $C_1$  ва  $C_2$  ни аниқлаб, уларнинг қийматини (89.1) ва (89.2) га қўйсак, ечилаётган масаланинг барча шартларини канонизациялаш эластик чизик тенгламасини оламиз. Балка давомида битта аналитик ифода билан аниқланадиган эгувчи моменти бўлган бир нечта хусусий ҳоллар учун эластик чизик дифференциал тенгламасини интеграллаймиз.

## МАСАЛАЛАР

88. Узунлиги  $l$  га тенг бўлиб, учи билан қисилиб тиралган балканинг эластик чизик тенгламаси қуйидаги уч ҳол учун аниқлансин: 1) ўнг учига  $P$  юк қўйилган; 2) балка давомида интенсивлиги  $q$  бўлган тенг ёйилган юк таъсир қилади; 3) максимал қиймати  $q_0$  бўлган учбурчак қонун билан ўзгарувчи ёйилган юк таъсир этади (284-шакл,  $a$ ,  $b$ ,  $c$ ).

Еч и ш. Масалани биринчи ҳол учун ечамиз:  $M = -P(l-x)$  бу ҳол учун (89.1) ва (89.2) қуйидагича бўлади:

$$\left. \begin{aligned} \theta &= \frac{dw}{dx} = \frac{P(l-x)}{2EI} + C_1, \\ w &= -\frac{P(l-x)^2}{6EI} + C_1x + C_2. \end{aligned} \right\} (a)$$

$C_1$  ва  $C_2$  ни (89.3) дан аниқлаймиз:  $x = 0$  бўлганда  $\frac{dw}{dx} = 0$ ;  $w = 0$ ;  $C_1 = -\frac{Pl^3}{2EI}$ ;  
 $C_2 = \frac{Pl^3}{6EI}$ . Буларни (а) га қўйсақ:

$$\left. \begin{aligned} \theta &= \frac{dw}{dx} = -\frac{P}{2EI} x(2l - x), \\ w &= -\frac{P}{6EI} (3lx^2 - x^3) \end{aligned} \right\} \quad (89.5)$$

келиб чиқади.

Кесимнинг энг катта айланиш бурчаги ( $\theta_A$ ) ва максимал салқилигининг қиймати ( $w_{\max} = f_A$ ) ни  $x = l$  ни қўйиб аниқлаймиз:

$$1) \theta_A = -\frac{Pl^2}{2EI}; f_A = -\frac{Pl^3}{3EI} \quad (89.6)$$

Иккинчи ва учинчи ҳоллар ҳам худди шундай усулда ечилади:

$$2) \theta_A = -\frac{ql^3}{6EI}; f_A = -\frac{ql^4}{8EI} \quad (89.7)$$

$$3) \theta_A = -\frac{q_0l^3}{24EI}; f_A = -\frac{q_0l^4}{30EI} \quad (89.8)$$

89. Икки таянчга тиралган ва узунлиги  $l$  бўлган балканинг эластик чизиги тенгмаси куйидаги уч ҳол учун аниқлансин: 1) балка мобайнида интенсивлиги  $q$  бўлган тенг ёйилган юк қўйилган; 2) балка давомида учбурчак қонун билан ёйилган ва максимал интенсивлиги  $q_0$  га тенг бўлган юк қўйилган; 3) балканинг таянч кесими  $B$  га momenti  $M_0$  га тенг жуфт куч қўйилган (285-шакл, а, б, с).

Е ч и ш. Биринчи ҳолни ечамиз. Таянч реакциялари  $A = \frac{ql}{2}$ ;  $B = \frac{ql}{2}$  бўлгани учун, эгувчи момент  $M = \frac{ql}{2}x - \frac{qx^2}{2} = \frac{q}{2}(lx - x^2)$  бўлади. Бу ҳолда (89.1) ва (89.2) куйидагича ёзилади:

$$\theta = \frac{dw}{dx} = \frac{q}{2EI} \left( lx^2 - \frac{x^3}{3} \right) + C_1;$$

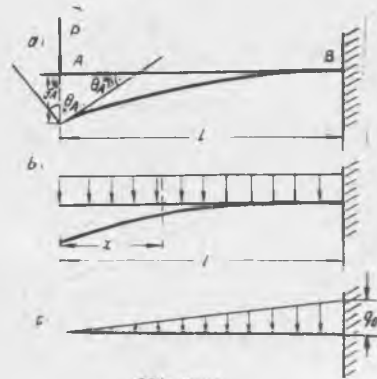
$$w = \frac{q}{2EI} \left( \frac{lx^3}{6} - \frac{x^4}{12} \right) + C_1x + C_2.$$

Ихтиёрий ўзгармаслар  $C_1$  ва  $C_2$  ни (89.4) дан аниқлаймиз. Таянч  $A$  да  $x = 0$  бўлганда,  $w_A = 0$ , шунингдек, таянч  $B$  дан  $x = l$  бўлганда  $w_B = 0$ . Бу шартлардан  $C_1$  ва  $C_2$  ни аниқлаймиз:

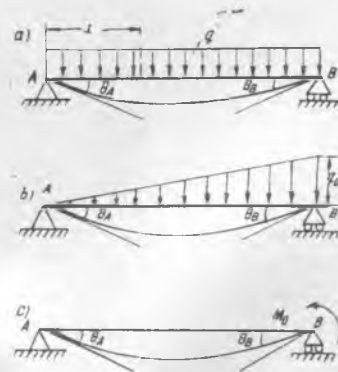
$$C_2 = 0; C_1 = -\frac{ql^3}{24EI}$$

$\theta$  ва  $w$  учун куйидаги ифодаларни оламиз:

$$\left. \begin{aligned} \theta &= \frac{dw}{dx} = -\frac{ql^3}{24EI} \left( 1 - 6\frac{x^2}{l^2} + 4\frac{x^3}{l^3} \right); \\ w &= -\frac{ql^3x}{24EI} \left( 1 - 2\frac{x^2}{l^2} + \frac{x^3}{l^3} \right) \end{aligned} \right\} \quad (89.9)$$



284-шакл.



285-шакл.

Максимал салқилик бу ҳолда балканинг ўртасида бўлади. У ерда  $\frac{x}{l} = \frac{1}{2}$  бўлгани учун:

$$\theta = 0 \text{ ва } w_{\max} = f = -\frac{5ql^4}{384EI}. \quad (89.10)$$

бўлади.

$\theta$  нинг энг катта қиймати таянчлардаги кесимларда бўлиб,  $x=0$  ва  $x=l$  бўлганда, унинг қиймати қуйидагича бўлади:

$$\theta_{\max} = \pm \frac{ql^3}{24EI}. \quad (89.11)$$

Иккинчи ва учинчи ҳоллар ҳам худди шундай ечилади. Аммо максимал салқилик ҳосил бўладиган кесимнинг ҳолатини  $\theta = \frac{dw}{dx} = 0$  дан аниқлаш лозим.

2-ҳолда:

$$\left. \begin{aligned} M &= \frac{q_0 l x}{6} \left(1 - \frac{x^2}{l^2}\right); \\ \theta = \frac{dw}{dx} &= \frac{q_0 l^3}{360EI} \left(7 - 30 \frac{x^2}{l^2} + 15 \frac{x^4}{l^4}\right); \\ w &= \frac{q_0 l x^3}{360EI} \left(7 - 10 \frac{x^2}{l^2} + 3 \frac{x^4}{l^4}\right). \end{aligned} \right\} \quad (89.12)$$

Максимал салқилик  $x = 0,519l$  бўлган кесимда ҳосил бўлади. Унинг қиймати:

$$w_{\max} = f = -0,0065 \frac{q_0 l^4}{EI}. \quad (89.13)$$

шунингдек, таянчлардаги кесимларнинг айланиши:

$$\theta_A = -\frac{7}{360} \frac{ql^3}{EI}; \quad \theta_B = \frac{8}{360} \frac{q_0 l^3}{EI} \quad (89.14)$$

бўлади.

3-ҳол учун:  $M = \frac{M_0}{l}x$ ; (89.1) ва (89.2) интеграллар қуйидагича ёзилади:

$$\left. \begin{aligned} \theta = \frac{dw}{dx} &= -\frac{M_0 l}{6EI} \left(1 - 3 \frac{x^2}{l^2}\right); \\ w &= -\frac{M_0 l x}{6EI} \left(1 - \frac{x^2}{l^2}\right). \end{aligned} \right\} \quad (89.15)$$

Энг катта салқилик ҳосил бўладиган кесимда  $\theta = \frac{dw}{dx} = 0$  бўлиб, унинг абсциссаси

$$x_0 = \frac{l}{\sqrt{3}} = 0,577l \text{ дир. Энг катта салқилик:}$$

$$w_{\max} = f = -\frac{M_0 l^2}{9\sqrt{3}EI}; \quad (89.16)$$

оалқанинг ўртасидаги салқилик:

$$w_{x=\frac{l}{2}} = -\frac{M l^2}{16EI} \quad (89.17)$$

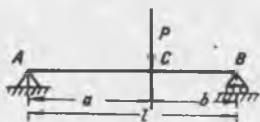
бўлади.

Бу миқдор  $w_{\max}$  дач 2,5% фарқ қилади, шунинг учун юк симметрик бўлмаган ҳолда ҳам, икки таянчда ётадиган балканинг максимал салқилиги унинг ўртасидаги кесимда деса бўлади.

### 90-§. Балка давомида эгувчи момент битта аналитик функция билан ифодаланмайдиган ҳоллар

Балка давомида эгувчи момент битта аналитик функция билан ифодаланмаса, эластик чизиқнинг тенгламасини аниқлаш масаласи бирмунча мураккаблашади. Масалан, балкага тўпланма  $P$  юк қўйилган бўлса (286-шакл), бу юк балкани иккита участкага ажратади, ҳар қайси участка учун эгувчи

момент турли функциялар билан ифодаланади. Шунинг учун ҳар қайси участканинг эластик чизиги дифференциал тенгламасини алоҳида тузиб уларнинг интегралини алоҳида топишга тўғри келади. Ҳар қайси участка учун тузилган дифференциал тенгламанинг интегралда иккитадан ихтиёрий ўзгармас бўлади. Балка  $n$  та участкага ажратилган бўлса, ихтиёрий ўзгармасларнинг умумий сони  $2n$  та бўлади. Уларни аниқлаш учун иккита



286-шакл.



287-шакл.

таянчдаги шартлардан ташқари,  $2n - 2$  та қўшимча шарт бўлиши зарур. Биз бу қўшимча шартларни эластик чизикнинг бир участкадан бошқа участкага ўтишда узлуксиз ва силлиқ бўлиши шартидан фойдаланиб тузамиз.

$(k - 1)$ - участканинг ўнг чегарасидаги салқилик  $w_{k-1}$  ва бу кесимнинг айланиши  $\frac{dw_{k-1}}{dx}$  бўлсин (287-шакл). Шунингдек,  $k$ - участканинг чап чегарасидаги салқилик  $w_k$  ва бу кесимнинг айланиши  $\frac{dw_k}{dx}$  бўлсин. У ҳолда бу участкаларнинг қўшилган жойида қуйидаги муносабатлар бўлиши керак:

$$w_{k-1} = w_k; \quad \frac{dw_{k-1}}{dx} = \frac{dw_k}{dx}. \quad (90.1)$$

Бундай чегара нукталаридан  $(n - 1)$  та бўлиб, улар учун  $2(n - 1)$  та тенглама тузишимиз мумкин. Балка учларининг тиралиш шартидан яна иккита тенглама оламиз. Буларнинг ҳаммаси  $2(n - 1) + 2 = 2n$  та тенглама бўлади. Бу  $2n$  тенгламадан ҳалиги  $2n$  та ихтиёрий ўзгармасларни аниқлаб, ҳар қайси участка учун тегишли эластик чизикнинг тенгламасини ҳосил қиламиз.

Конкрет масалаларни ечиш йўлини қуйида келтирилган масалалар билан ойдинлаштирамиз.

90- масала. Узунлиги  $l$  бўлган балканинг чап таянчидан  $a$  масофада  $P$  куч қўйилган (288-шакл). Ана шу балка эластик чизигининг тенгламасини, максимал салқилигини ва таянч кесимларининг бурилиши  $\theta_A$  ва  $\theta_B$  ни аниқланг.

Ечиш. Балкага қўйилган  $P$  юк уни иккита участкага ажратгани учун ҳар қайси участка эгувчи моментининг ифодасини тузамиз.

Биринчи участка учун чап таянчдан  $x_1$  масофадаги кесимнинг эгувчи momenti.

$$M = \frac{Pb}{l}x_1, \quad 0 < x_1 \leq a.$$

Бу участка учун эластик чизикнинг дифференциал тенгламаси:

$$EI \frac{d^2w_1}{dx^2} = \frac{Pb}{l}x_1$$



288-шакл.

кўринишда ёзилади. Бунинг интеграллини ёзамиз:

$$\left. \begin{aligned} \theta_1 &= \frac{dw_1}{dx} = \frac{Pb}{EI} \frac{x_1^2}{2} + C_1, \\ w_1 &= \frac{Pb}{EI} \frac{x_1^3}{6} + C_1 x_1 + C_2. \end{aligned} \right\} \quad (1)$$

Иккинчи участка учун, балканинг чап учидан  $x_2$  масофадаги кесими учун эгувчи момент:

$$M_2 = \frac{Pb}{l} x_2 - P(x_2 - a); \quad a \leq x_2 \leq l$$

бўлади.

Бу иккинчи участканинг дифференциал тенгламаси:

$$EI \frac{d^2 w_2}{dx^2} = \frac{Pb}{l} x_2 - P(x_2 - a)$$

бўлади. Бу тенгламанинг интеграллини ёзамиз:

$$\left. \begin{aligned} \theta_2 &= \frac{dw_2}{dx} = \frac{P}{EI} \left\{ \frac{b}{l} \frac{x_2^2}{2} - \frac{(x_2 - a)^2}{2} \right\} + D_1, \\ w_2 &= \frac{P}{EI} \left\{ \frac{b}{l} \frac{x_2^3}{6} - \frac{(x_2 - a)^2}{6} \right\} + D_1 x_2 + D_2. \end{aligned} \right\} \quad (2)$$

(90.1) шартларни татбиқ этиб, ихтиёрий ўзгармасларни аниқлаймиз:

$$\left. \begin{aligned} \left\{ \frac{Pb}{EI} \cdot \frac{x_1^2}{2} + C_1 \right\}_{x_1=a} &= \frac{P}{EI} \left\{ \frac{b}{l} \frac{x_2^2}{2} - \frac{(x_2 - a)^2}{2} + D_1 \right\}_{x_2=a}, \\ \left\{ \frac{Pb}{EI} \cdot \frac{x_1^3}{6} + C_1 x_1 + C_2 \right\}_{x_1=a} &= \frac{P}{EI} \left\{ \frac{b}{l} \frac{x_2^3}{6} - \frac{(x_2 - a)^3}{6} + D_1 x_2 + D_2 \right\}_{x_2=a}. \end{aligned} \right\}$$

Бу тенгламалардан:  $C_1 = D_1$ ;  $C_2 = D_2$  бўлади. Дифференциал тенгламаларни тузганда иккала участка учун ҳам координаталар бошини бир жойда олдик ва  $(x - a)^2$  каби полиноми интеграллашда қавсни очмадик. Шунинг учун ихтиёрий ўзгармаслар иккала участка учун мос равишда тенг бўлад.

Энди, (89.4) шартларни олдин (1) тенгламага, кейин (2) тенгламага татбиқ қилиб,  $C_1$  ва  $C_2$  ни аниқлаймиз.  $x_1 = 0$  бўлганда  $w_1 = 0$  бўлади. Шунинг учун:  $C_2 = D_2 = 0$ .  $x_2 = l$  бўлганда  $w_2 = 0$  бўлади. Бундан:

$$C_1 = D_1 = -\frac{Pb}{6l}(l^2 - b^2).$$

Энди,  $\theta$  ва  $w$  нинг қийматини иккала участка учун аниқлаймиз. 1-участка учун:

$$\left. \begin{aligned} \theta_1 &= \frac{dw_1}{dx} = \frac{Pb}{6EI} \{ 3x_1^2 - (l^2 - b^2) \} \\ w_1 &= \frac{Pb}{6EI} \{ x_1^3 - x_1(l^2 - b^2) \}. \end{aligned} \right\}$$

2-участка учун:

$$\left. \begin{aligned} \theta_2 &= \frac{dw_2}{dx} = \frac{Pb}{6EI} \left\{ 3x_2^2 - 3 \frac{l}{b}(x_2 - a)^2 - (l^2 - b^2) \right\}, \\ w_2 &= \frac{Pb}{6EI} \left\{ x_2^3 - \frac{l}{b}(x_2 - a)^3 - x_2(l^2 - b^2) \right\}. \end{aligned} \right\}$$

$\omega_{\max} = f$  нинг қийматини аниқлаймиз. У,  $0 = 0$  бўлган кесимга мос келади.  $\theta_1$  нинг қиймати  $x_1 = 0$  бўлганда:  $\theta_1 = -\frac{Pb}{6EI} \left(1 - \frac{l^2}{l^2}\right) < 0$  бўлади:  $x_1 = a$  бўлганда, яъни  $C$  кесимда:

$$\theta_c = \frac{2Pab}{3EI} \left(\frac{a}{l} - \frac{1}{2}\right);$$

масала шартига мувофиқ  $\frac{a}{l} > \frac{1}{2}$  бўлгани учун  $\theta_c > 0$  бўлади. Демак,  $\theta_1$  нинг қиймати  $A$  ва  $C$  нуқталар орасида ишорасини ўзгартираётир, яъни ноль орқали ўтаётир. Шунинг учун энг катта салқилик биринчи участкада бўлади. Шу  $\omega_{\max} = f$  бўлган кесим абсциссасини  $x_0$  деб, унинг ҳолатини аниқлаймиз:

$$0_1 = \frac{Pb}{6EI} \{3x_0^2 - (l^2 - b^2)\} = 0, \text{ бундан: } x_0 = \sqrt{\frac{l^2 - b^2}{3}};$$

бу қийматни  $\omega_1$  нинг ифодасига қўйиб,  $\omega_{\max} = f$  нинг абсолют қиймати учун қуйидаги ифодани оламиз:

$$\omega_{\max} = f = \frac{Pb(l^2 - b^2)\sqrt{3(l^2 - b^2)}}{27EI} = \frac{Pbl^2\sqrt{3}}{27EI} \sqrt{\left(1 - \frac{b^2}{l^2}\right)^3}. \quad (90.2)$$

$P$  қўйилган нуқтанинг ўзгариши билан энг катта салқилик ҳосил бўладиган кесим ҳам кўзғалади. Масалан, куч қўйилган нуқта балканинг ўртасида бўлса,  $b = \frac{l}{2}$  бўлиб,  $x_0 = \frac{l}{2}$  бўлади. У ҳолда:

$$f = \frac{Pl^3}{48EI}. \quad (90.3)$$

Куч қўйилган нуқтани балканинг ўнг таянчига яқинлаштирамиз,  $b \rightarrow 0$  бўлганда:

$$x_0 = \frac{l}{\sqrt{3}} = 0,577l$$

бўлади.

Курамызки, куч қўйилган нуқта, балканинг ўртасидан чеккасига яқинлашганда, энг катта салқилик ҳосил бўладиган кесимнинг абсциссаси  $0,5l$  дан фақат  $0,577l$  гача ўзгарар экан. Шунинг учун, одатда, энг катта салқиликни аниқлаш учун юклар симметрик бўлмаган ҳолларда ҳам балканинг ўрта кесимидаги салқилик ҳисобланади. Масалан, биз текшираётган ҳолда балканинг ўртасидаги салқиликни  $\omega_1$  нинг ифодасига  $x_1 = \frac{l}{2}$  ни қўйиб аниқлаймиз:

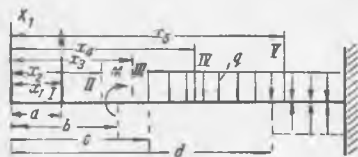
$$(\omega_1)_{x_1 = \frac{l}{2}} = \frac{Pb(3l^2 - 4b^2)}{48EI}. \quad (90.4)$$

Бу ифода (90.2) дан сон жиҳатидан жуда оз фарк қилади. Агар балкага бир неча  $P_1, P_2, \dots, P_n$  куч қўйилган бўлса ва улар қўйилган нуқталар балканинг ўнг таянчидан  $b_1, b_2, \dots, b_n$  масофаларда бўлса, балканинг ўртасидаги салқиликни (90.4) га мувофиқ, кучларнинг таъсирини қўшиб принцидан фойдаланиб, қуйидаги йиғинди шаклида аниқлаш мумкин:

$$\omega_{\max} \approx f = \frac{1}{48EI} \sum_{i=1}^n P_i b_i (3l^2 - 4b_i^2). \quad (90.5)$$

## 91-§. Эластик чизиқнинг универсал тенгламаси

Бундан олдинги параграфда ечилган масаладан шундай хулоса чиқаришимиз мумкин: эластик чизиқ дифференциал тенгламасини маълум тартибда тузиб, уни интеграллашда маълум қондаларга амал қилинса, ихтиёрий ўзгармаслар сонини иккитага келтириш мумкин. Балка давомида бир қанча куч таъсир этиб, унинг узунлиги бир нечта участкага ажратилганда бу



289-шакл.

хулосадан фойдаланиш эластик чизиқ тенгламасини аниқлашдаги ҳисоблар ҳажмини анча қисқартиради. Балканинг барча участкалари эластик чизиқларининг дифференциал тенгламаларини интеграллашдан чиққан ихтиёрий ўзгармаслар тегишлича бир-бирига тенг бўлиши (яъни  $C_1 = C_2 = C_3 = \dots = C_n$ ;  $D_1 = D_2 = D_3 = D_n$  бўлиши) учун қуйидаги шартлар бажарилиши керак:

1. Балканинг барча участкаларидаги ихтиёрий кесимларни аниқловчи абсциссаларни битта нуқтадан (масалан, балканинг чап учидан) ҳисоблаш лозим.

2. Балканинг барча участкалари учун эгувчи момент ифодасини балканинг фақат бир томонидаги кучларга (масалан, фақат чап томондаги кучларга) нисбатан тузиш лозим.

3.  $(x-a)^n$  каби қўлҳадларни интеграллашда қавсларни очмасдан, биномларни интеграллаш формуласидан, яъни.

$$\int (x-a)^n dx = \frac{(x-a)^{n+1}}{n+1} + C$$

формуладан фойдаланиб интеграллаш лозим.

Балканинг бирор жойида momenti  $M$  га тенг бўлган жуфт куч қўйилган бўлса, унинг қийматини эластик чизиқ дифференциал тенгламасида қуйидагича ифодалаш тавсия этилади:  $M = M(x-b)^0$ ; бунда  $b$  — жуфт куч қўйилган кесимнинг ҳолатини аниқловчи абсцисса. Ёйилган юк мавжуд бўлса, у ўзи таъсир кўрсата бошлаган кесимдан то балканинг охиригача узилмаслиги лозим. Агар, масаланинг шартига мувофиқ, унинг узилиши зарур бўлса, у ҳолда, бу юк сунъий равишда давом эттирилади. Аммо ўша юк узилган кесимдан бошлаб ҳалиги ёйилган юк давом эттирилган участка давомида қўйилган юкка сон жиҳатидан тенг ва унга тескари йўналишдаги юк қўйилади (289-шаклда пунктирли чизиқлар билан кўрсатилган).

Айтилган бу шартлар бажарилса, балка нечта участкага ажратилмасин, барибир ихтиёрий ўзгармаслар сони иккитага келтирилади, 289-шаклдаги балкага унинг узунлигини бешта участкага ажратуви турли юклар шаклда кўрсатилгандек таъсир қилаётган ҳол учун, барча участкаларнинг салқиликларини аниқлайдиган битта универсал тенглама чиқарамиз.

Координаталар бошини балканинг чап учидан олиб, балка давомидаги бешта участка учун қуйидаги дифференциал тенгламаларни тузамиз:

$$EI \frac{d^2 w_1}{dx_1^2} = -P_1 x_1, \quad 0 \leq x_1 \leq a;$$

$$EI \frac{d^2 w_2}{dx_2^2} = -P_1 x_2 + P_2 (x_2 - a); \quad a \leq x_2 \leq b;$$

$$EI \frac{d^2 w_3}{dx_3^2} = P_1 x_3 + P_2 (x_3 - a) + M (x_3 - b)^0; \quad b \leq x_3 \leq c$$

$$EI \frac{d^2 w_4}{dx_4^2} = -P_1 x_4 + P_2(x_4 - a) + M(x_4 - b)^0 - \frac{q(x_4 - c)^2}{2}, \quad C \leq x_4 \leq d;$$

$$EI \frac{d^2 w_5}{dx_5^2} = P_1 x_5 + P_2(x_5 - a) + M(x_5 - b)^0 - \frac{q(x_5 - c)^2}{2} + \frac{q(x_5 - d)^2}{2},$$

$$d \leq x_5 \leq l.$$

Бу тенгламаларнинг биринчи ва иккинчи интеграллини олиб, (90.1) шартларга қўямиз:

$$\begin{aligned} \left[ -P_1 \frac{x_1^2}{2} + C_1 \right]_{x_1=a} &= \left[ -P_1 \frac{x_2^2}{2} + \frac{P_2(x_2-a)^2}{2} + C_2 \right]_{x_2=a}, \\ \left[ -P_1 \frac{x_1^3}{6} + C_1 x_1 + D_1 \right]_{x_1=a} &= \left[ -P_1 \frac{x_2^3}{6} + \frac{P_2(x_2-a)^2}{6} + C_2 x_2 + D_2 \right]_{x_2=a}, \\ \left[ -P_1 \frac{x_2^2}{2} + \frac{P_2(x_2-a)^2}{2} + C_2 \right]_{x_2=b} &= \left[ -P_1 \frac{x_3^3}{2} + \frac{P_2(x_3-a)^2}{2} + \right. \\ &\quad \left. + \frac{M(x_3-b)}{1} + C_3 \right]_{x_3=b}, \\ \left[ -P_1 \frac{x_2^3}{6} + \frac{P_2(x_2-a)^2}{6} + C_2 x_2 + D_2 \right]_{x_2=b} &= \left[ P_1 - \frac{x_3^3}{6} + \frac{P_2(x_3-a)^2}{6} + \right. \\ &\quad \left. + \frac{M(x_3-b)^2}{2} + C_3 x_3 + D_3 \right]_{x_3=b}, \\ \left[ -P_1 \frac{x_3^2}{2} + \frac{P_2(x_3-a)^2}{2} + \frac{M(x_3-b)}{1} + C_3 \right]_{x_3=c} &= \left[ -P_1 \frac{x_4^2}{2} + \right. \\ &\quad \left. + \frac{P_2(x_4-a)^2}{2} + \frac{M(x_4-b)}{1} - \frac{q(x_4-b)^2}{6} + C_4 \right]_{x_4=c}, \\ \left[ -P_1 \frac{x_3^3}{2} + \frac{P_2(x_3-a)^2}{2} + \frac{M(x_3-b)^2}{2} + C_3 x_3 + D_3 \right]_{x_3=c} &= \left[ -P_1 \frac{x_4^3}{6} + \right. \\ &\quad \left. + \frac{P_2(x_4-a)^2}{6} + \frac{M(x_4-b)^2}{2} - \frac{q(x_4-c)^2}{24} + C_4 x_4 + D_4 \right]_{x_4=c}, \\ \left[ -P_1 \frac{x_4^2}{2} + \frac{P_2(x_4-a)^2}{2} + \frac{M(x_4-b)}{1} - \frac{q(x_4-c)^2}{6} + C_4 \right]_{x_4=d} &= \\ = \left[ -P_1 \frac{x_5^2}{2} + \frac{P_2(x_5-a)^2}{2} + \frac{M(x_5-b)}{1} - \frac{q_1(x_5-c)^2}{6} + \frac{q(x_5-d)^2}{6} + C_5 \right]_{x_5=d}, \\ \left[ -P_1 \frac{x_4^3}{2} + \frac{P_2(x_4-a)^2}{6} + \frac{M(x_4-b)^2}{2} - \frac{q(x_4-c)^2}{24} + C_4 x_4 + D_4 \right]_{x_4=d} &= \\ = \left[ -P_1 \frac{x_5^3}{6} + \frac{P_2(x_5-a)^2}{6} + \frac{M(x_5-b)^2}{2} - \frac{q(x_5-c)^2}{24} + \frac{q(x_5-d)^2}{24} + \right. \\ &\quad \left. + C_5 x_5 + D_5 \right]_{x_5=d}. \end{aligned}$$

Бу тенгликлардан  $C_1 = C_2 = C_3 = C_4 = C_5$  ва  $D_1 = D_2 = D_3 = D_4 = D_5$  ларни ҳосил қиламиз. Демак, унта ихтиёрий ўзгармас иккитага келтирилди; уларни  $C$  ва  $D$  деб, балка учларининг тиралиш шартларидан аниқлаймиз:

$$x_1 = 0 \text{ бўлганда } w_1 = w_0 \text{ ва } \frac{dw}{dx} = \theta_0 \text{ бўлса,}$$

$$C = \theta_0 EI, \quad D = w_0 EI \text{ бўлади.}$$

Демак:

$$\theta = \frac{d\omega}{dx} = \theta_0 + \frac{1}{EI} \left( \frac{M(x-b)}{1} + \frac{P_2(x-a)^2}{2} - \frac{P_1x^2}{2} - \frac{q(x-c)^3}{6} + \frac{q(x-d)^3}{6} \right), \quad (91.1)$$

$$\omega = \omega_0 + \theta_0 x + \frac{1}{EI} \left( \frac{M(x-b)^2}{2} + \frac{P_2(x-a)^3}{6} - \frac{P_1x^3}{6} - \frac{q(x-c)^4}{24} + \frac{q(x-d)^4}{24} \right). \quad (91.2)$$

Бу тенгламалардан балканинг ҳар қачдай участкасидаги салқиликни ва кундаланг кесимнинг айланишини аниқласа бўлади. Масалан, иккинчи участкага оид кесимлар учун  $M$  ва  $q$  ҳадларни ташлаб юбориш лозим, чунки бу участкадаги кесимларнинг чап томонида  $M$  билан  $q$  йўқ.

Ҳалиги балкага бир неча жуфт куч, тўпланган юк ва маълум оралликлар давомида таъсир қилувчи ёйилган юклар қўйилган бўлса, кучларнинг таъсирини қўшиш принципи мувофиқ, (91.1) ва (91.2) тенгламалар қуйидагича ёзилади:

$$\theta = \theta_0 + \frac{1}{EI} \sum_{i=1}^n \left( \frac{M_i(x-a_i)}{1} + \frac{P_i(x-b_i)^2}{2} - \frac{q_i(x-c_i)^3}{6} + \frac{q_i(x-d_i)^3}{6} \right), \quad (91.3)$$

$$\omega = \omega_0 + \theta_0 x + \frac{1}{EI} \sum_{i=1}^n \left( \frac{M_i(x-a_i)^2}{2} + \frac{P_i(x-b_i)^3}{6} - \frac{q_i(x-c_i)^4}{24} + \frac{q_i(x-d_i)^4}{24} \right). \quad (91.4)$$

Куч қўйилган кесимларнинг абсциссаларини кучлар тарғибига мувофиқлаштирдик. Бу (91.4) тенглама *эластик чизикнинг универсал тенгламаси* дейилади.

Агар ёйилган юк балканинг охиригача борса, бу тенгламалардан фойдаланишда кейинги ҳадни ташлаб юбориш лозим.

284-шаклдаги  $a$  ва  $b$  ҳоллар учун универсал тенгламани татбиқ қиламиз:

1- ҳолда:

$$M = 0, \quad q = 0, \quad b = 0, \quad P = -P.$$

$$\theta = \theta_0 - \frac{Px^2}{2EI}; \quad \omega = \omega_0 + \theta_0 x - \frac{Px^3}{6EI};$$

$x = l$  бўлганда:  $\theta = 0$  ва  $\omega = 0$ ; шунинг учун:

$$\theta = + \frac{Pl}{2EI}; \quad \omega_0 = - \frac{Pl^3}{2EI}.$$

Демак:

$$\theta = \frac{d\omega}{dx} = + \frac{P}{2EI} (l^2 - x^2); \quad \omega = - \frac{P}{2EI} (l^3 - 3l^2x + x^3).$$

2- ҳолда:

$$P = 0, \quad M = 0, \quad c = 0, \quad d = l.$$

$$\theta = \theta_0 - \frac{qx^3}{2EI}; \quad \omega = \omega_0 + \theta_0 x + \frac{ql^4}{24EI};$$

$x = l$  бўлганда:  $\theta = 0$ ;  $\omega = 0$ ; шунинг учун:

$$\theta = + \frac{ql^3}{6EI}; \quad \omega_0 = - \frac{ql^4}{8EI};$$

демак:

$$\omega = - \frac{q}{24EI} (x^4 - 4l^3x + 3l^4).$$

Энди, 285- шаклдаги  $a$  ва  $c$  ҳоллар учун, универсал тенгламани татбиқ қиламиз.

1- ҳолда:

$$M = 0, b = 0, c = 0, P = \frac{ql}{2}, d = l,$$

$$\theta = \theta_0 + \frac{1}{EI} \left[ \frac{ql}{2} \frac{x^2}{2} - \frac{qx^3}{6} \right]; \quad w = w_0 + \theta_0 x + \frac{1}{EI} \left[ \frac{ql}{2} \cdot \frac{x^3}{6} - \frac{qx^4}{24} \right].$$

$x = 0$  бўлганда:  $w = 0$ ;  $x = l$  бўлганда,  $w = 0$ ; шунинг учун

$$w_0 = 0; \quad \theta_0 = \frac{ql^3}{24EI}; \quad w = -\frac{q}{24EI} (x^4 - 2lx^3 + l^3x)$$

2- ҳолда:

$$P = \frac{M}{l}; \quad q = 0; \quad M = 0;$$

шунинг учун:

$$\theta = \theta_0 + \frac{1}{EI} \frac{M}{l} \frac{x^2}{2}; \quad w = w_0 + \theta_0 x + \frac{1}{EI} \frac{M}{l} \frac{x^3}{6};$$

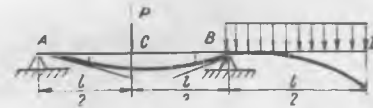
$x = 0$  бўлганда:  $w = w_0 = 0$ ;  $x = l$

бўлганда:  $w = 0$ ; шунинг учун:

$$\theta_0 = -\frac{Ml}{6EI}.$$

Демак:

$$w = \frac{Mx}{6EI} (x^2 - l^2).$$



290-шакл.

91-масала. Икки таянчда ётувчи консолли балка 290-шаклда кўрсатилгандек юкланган. Универсал тенгламани татбиқ этиб,  $C$  ва  $D$  нуқталардаги салқиликларни аниқланг ( $q = \frac{2P}{l}$ ).

Еч иш. Таянч реакциялари:  $A = \frac{P}{4}$ ;  $B = \frac{7}{4}$ ;  $P(91.2)$  ва (91.3) дан:

$$\theta = \theta_0 + \frac{1}{EI} \left\{ \frac{P}{4} \frac{x^2}{2} - \frac{P(x - \frac{l}{2})^2}{2} + \frac{7}{4} \frac{P(x-l)^2}{2} - \frac{q(x-l)^2}{6} \right\},$$

$$w = w_0 + \theta_0 x + \frac{1}{EI} \left\{ \frac{P}{4} \frac{x^3}{6} - \frac{P(x - \frac{l}{2})^3}{6} + \frac{7}{4} \frac{P(x-l)^3}{6} - \frac{q(x-l)^3}{24} \right\};$$

$x = 0$  бўлганда  $w = w_0 = 0$ ;  $\theta_0$  нинг қийматини  $x = l$  бўлганда  $w = 0$  бўлиши шартидан топамиз:  $\theta_0 = -\frac{Pl^3}{48EI}$

Демак:

$$\theta = -\frac{Pl^2}{48EI} + \frac{P}{EI} \left\{ \frac{x^2}{8} - \frac{(x - \frac{l}{2})^2}{2} + \frac{7(x-l)^2}{8} - \frac{2(x-l)^2}{6l} \right\}, \quad (a)$$

$$w = -\frac{Pl^3}{48EI} x + \frac{P}{EI} \left\{ \frac{x^3}{24} - \frac{(x - \frac{l}{2})^3}{6} + \frac{7(x-l)^3}{24} - \frac{(x-l)^3}{12l} \right\}. \quad (b)$$

А кесимнинг бурилиш бурчагини аниқлаш учун (а) тенгликнинг ҳадларидан биринчисини,  $\omega_C$  ни ҳисоблаш учун эса (в) тенгликнинг биринчи иккинчи ҳадини оламиз,  $\omega_D$  ни ҳисоблаш учун ҳамма ҳадлар сақланиши керак:

$$\theta_A = \theta_0 = -\frac{Pl^2}{48EI}; \quad \omega_C = -\frac{3Pl^2}{192EI}; \quad \omega_D = -\frac{5Pl^3}{172EI}.$$

## 92-§. Эластик чизиқни график усулда ясаш

Эластик чизиқни аниқлашда қуйидаги дифференциал тенгламани интеграллашга тўғри келади:

$$EI \frac{d^2w}{dx^2} = M(x).$$

Бу интеграллаш операциясини график усулда бажариш ҳам мумкин. Эластик чизиқни график усулда ясаш йўлини кўз олдимизга яққол келтириш ниятида, ихтиёрий равишда ёйилган юклар учун график усулда эғувчи момент эпюрасини ясаш йўлини эсга оламиз.

AB балка ихтиёрий қонун билан ўзгарувчи ёйилган юк таъсирида бўлади.  $mns$  эса юк чизиғини ифодалайди, деб фараз киламиз (291-шакл). Бу юк чизиғига тегишли арқон эгри чизиғи  $abc$  бўлсин. Мазкур арқон эгри чизиғининг дифференциал тенгламасини тузамиз. Арқон эгри чизиғининг ординатасини  $w$  деймиз. Арқон эгри чизиғининг бирор  $N$  нуқтасидан уринма ўтказамиз.  $x$  ўқи билан бу уринма  $\theta$  бурчагини ҳосил қилсин, унга тегишли нурни куч кўпбурчагида  $OF$  билан белгилаймиз.  $U$  ҳолда уринма қиялик бурчагининг тангенсини қуйидагича бўлади:

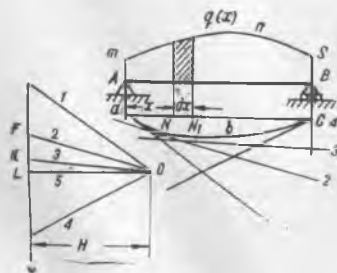
$$\operatorname{tg} \theta = \frac{dw}{dx} = -\frac{FL}{OL}. \quad (a)$$

$N$  нуқтага чексиз яқин бошқа бир  $N_1$  нуқтани олиб, у орқали уринма ўтказсак, унинг  $x$  ўқи билан ҳосил қилган бурчаги куч кўпбурчагида мазкур уринма тегишли  $OK$  нурини горизонтал чизиқ билан ҳосил қилган бурчагига тенг бўлади. Бу бурчакнинг тангенсини қуйидагичадир:

$$\operatorname{tg} = (\theta + d\theta) = \frac{dw}{dx} + d\left(\frac{dw}{dx}\right) = -\frac{KL}{OL} \quad (b)$$

(в) дан (а) ни айириб, бурчак тангенсининг орттирмасини аниқлаймиз:

$$d\left(\frac{dw}{dx}\right) = \frac{-KL + FL}{OL} = \frac{FK}{OL},$$



291-шакл.

$OF$  ва  $OK$  нурлар орасидаги  $FK$  кесма арқон кўпбурчагининг тегишли томонлари орасидаги кучларнинг тенг таъсир этувчиси бўлгани учун  $FK = qdx$  бўлади; ундан ташқари, қутб оралғи  $OL$  ни  $H$  деб белгиласак, юқоридаги тенглама бундай ёзилади:

$$\frac{d^2w}{dx^2} dx = \frac{qdx}{H} \text{ ёки } \frac{d^2w}{dx^2} = \frac{q(x)}{H}. \quad (92.1)$$

Бу тенглама арқон эгри чизиғининг дифференциал тенгламасидир. Бу тенгламанинг интегралини график усулда топишни биламиз, у ёйилган юкка

ясалган арқон чизигидир. Шунинг учун бу усулни эластик чизиқни график усулда ясаш учун татбиқ қиламиз. Бунинг учун олдин эластик чизиқ билан арқон чизигининг дифференциал тенгламаларини таққослаймиз.

Арқон чизиқнинг  
дифференциал тенгламаси:

$$\frac{d^2w}{dx^2} = \frac{q(x)}{H}$$

Эластик чизиқнинг  
дифференциал тенгламаси:

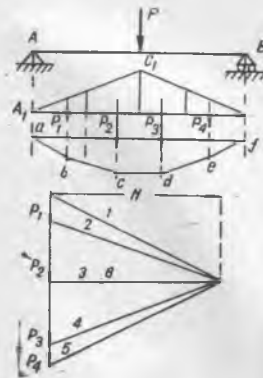
$$\frac{d^2w}{dx^2} = \frac{M(x)}{EI}$$

Арқон чизигининг дифференциал тенгламасидаги юк интенсивлиги ( $q(x)$ ) ва қутб оралиғи ( $H$ ) эластик чизиқнинг дифференциал тенгламасидаги эгувчи момент ( $M(x)$ ) ва балка бикирлиги ( $EI$ ) га мос келаётир. Эластик чизиқни ясаш учун, балкани эгувчи момент ( $M(x)$ ) қонуни билан ўзгарувчи ёйилган юк таъсирида деб, мазкур юкка тегишли арқон чизигини қуриш лозим. Шунинг билан бирга, қутб оралиғи ( $H$ ) нинг ўрнига балканинг бикирлиги ( $EI$ ) ни олиш керак.

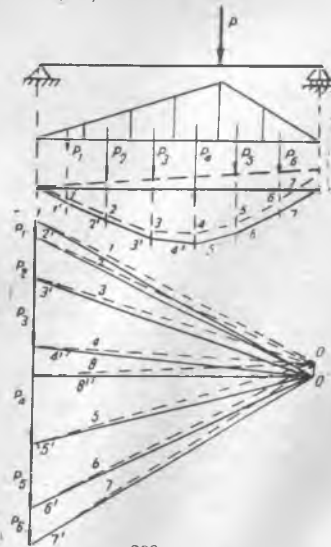
Бу тарзда ясалган арқон чизиги эластик чизиқ бўлади. Эгувчи момент билан тасвирланган юк *фиктив юк* дейилади. Демак, эластик чизиқни арқон чизиги каби ясаш учун балкага фиктив юк қўйиб, қутб оралиғи учун  $EI$  ни қабул қилиш зарур экан.

Фиктив юкни тасвирловчи эгувчи момент эпюрасининг юзаси бир нечта участкага ажратилиб, ҳар кайси участканинг юзи ҳисобланади; фиктив юкларни тасвирловчи бу юзаларни маълум масштабда олиб, улар учун куч купбурчагини ясаш лозим. Фиктив юклар чизигининг ординатаси момент билан, яъни  $кгсм$  ҳисобида ўлчангани учун, фиктив кучларни тасвирловчи юзлар  $кгсм^2$  ҳисобида ўлчанади, яъни бикирлик ( $EI$ ) нинг ўлчамлиги билан бир хилда бўлади.

Эластик чизиқни яққолроқ кўринишда ясаш, яъни салқиликни йирик-роқ масштабда тасвирлаш учун, қутб оралиғи ( $EI$ ) нинг масштабини юк юзасининг масштабига қараганда камида 100 марта кичик олиш керак, бу ҳолда  $H = 0,01EI$  бўлиб, ясалган эластик чизиқ графикнинг ординатасини 100 марта катта қилиб тасвирланган бўлади.



292- шакл.

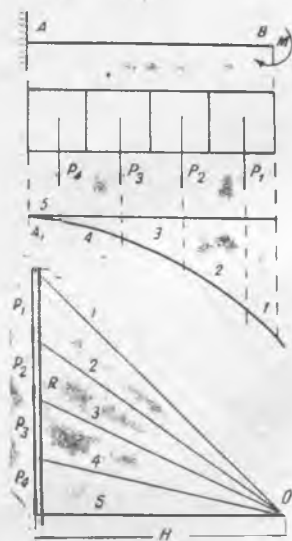


293- шакл.

Фиктив юк ва  $H = 0,01 EI$  қутб оралиги учун арқон чизиғини қуришда, ёпувчи чизиқни шундай ўтказиш керакки, салка учларининг тўралиш шарти қаноатлантирилсин.

Конкрет масалаларни ечиш билан айтилганларни ойдинлаштирамиз.

Икки учи билан тиралган балканинг ўртасига  $P$  куч қўйилган (292-шакл, а). Бу ҳол учун эгувчи момент эпюраси тенг ёнли  $A_1B_1C_1$  учбурчак юзи билан тасвирланади. Бу  $A_1B_1C_1$  учбурчак билан тасвирланган юзни фиктив юк юзи деб оламиз, уни тўртта участкага ажратиб, бу участкаларни тегишлича  $P_1, P_2, P_3, P_4$  билан белгилаймиз-да, улар учун куч кўпбурчагини тузамиз (292-шакл, б). Бу кучларга тегишли арқон чизиғи  $abcdef$  синиқ чизиқ билан тасвирланган. Чегара шартларини қаноатлантириш учун арқон чизиғининг ёпувчисини горизонтал йўналтириш лозим. Симметрик юклар учун, қутбни параллел кучлар тенг таъсир этувчисининг ўртасидан ўтказилган-дек чизиқ устида олиб, ёпувчи нурни горизонтал йўналтириш мумкин. Куч симметрик бўлмаган ҳолда, олдин ихтиёрий қутбга нисбатан ёпувчи нур йўналишини аниқлаб, кейин қутбни кўчириш билан у горизонтал вазиятга келтирилади. Масалан, икки таянчга тиралган балкага чап таянчидан  $a$  масофада таъсир қилувчи  $P$  куч қўйилган бўлсин. Бу ҳолда фиктив юкни тасвирловчи  $A_1B_1C_1$  учбурчак тенгёнли бўлмайди, демак юк симметрик эмас. Бу ҳолда, олдин ихтиёрий қутб учун фиктив юклардан ҳосил бўладиган реакцияларни аниқловчи нурнинг йўналишини аниқлаб, кейин қутбни му-



294-шакл.

вофиқ равишда кўчириш билан у горизонтал вазиятга келтирилади. 293-шаклда юқорида келтирилган мисол учун эластик чизиқ олдин ихтиёрий  $O$  қутб учун, кейин ёпувчи нур (8) нинг горизонтал ҳолатга келтирилган ҳоли (8') га тегишли  $O'$  қутб учун ясалган. Фиктив юкнинг юзаси еттита участкага ажратилиб, улар тегишлича  $P_1, P_2, P_3, \dots, P_7$  билан белгиланган.

Яна битта характерли мисол келтирамиз. Чап учи билан қисилиб тиралган балканинг унғ учига моменти  $M$  га тенг жұфт куч қўйилган (294-шакл). Бу ҳол учун эластик чизиқни арқон чизиғи каби тузамиз. Эгувчи момент эпюраси тўғри тўртбурчак бўлиб, биз уни тўртта тенг қисмларга ажратамиз, уларнинг юзларига тегишли фиктив юклар  $P_1 = P_2 = P_3 = P_4 = P$  бўлади. Бу ҳолда параллел кучларнинг тенг таъсир этувчиси қистириб тиралган таянч реакциясига тенг бўлганидан, ёпувчи нур охириги горизонтал нур бўлади. Балканинг салқилигини аниқловчи ордината ( $w$ ) ни, мазкур 5-нурдан ҳисоблаш лозим. Ёпувчи нур горизонтал йўналган ҳолда, эластик чизиққа  $A_1$  нуқтада уринма бўлиб ўтгани учун чегара шартларини ҳам қаноатлантиради, яъни у ерда:

$$w = 0, \theta = \frac{dw}{dx} = 0$$

бўлади.

### 93-§. Графоаналитик усулда балканинг деформацияларини текшириш

Бундан олдинги параграфда эластик чизиқни арқон чизиғи каби ясаб ва арқон чизиғи билан унинг эғувчиси орасидаги ординатасини маълум масштабда олиб балканинг салқилигини аниқладик. Аммо эластик мувозанатлашган кучлар учун арқон чизиғининг ординатаси шу кесимдаги эғувчи моментга пропорционал, яъни:

$$y = \frac{M}{H}$$

бўлар эди.

Бу хулосани фиктив юк билан юкланган фиктив балкага татбиқ қилсак, эластик чизиқнинг ординатаси шу кесимдаги фиктив эғувчи моментнинг қутб оралиғи ( $H = EI$ ) га нисбатига тенг, яъни:

$$w = \frac{M_{\phi}}{EI} \quad (93.1)$$

бўлади.

Бунда  $M_{\phi}$  — фиктив балкага қўйилган фиктив юклар эғувчи моментининг салқилиги аниқланаётган жойдаги қиймати. Салқиликнинг  $x$  бўйича ҳосиласини олиб, кўндаланг кесимнинг айланиш бурчаги ( $\theta$ ) ни ҳам аниқлашимиз мумкин:

$$\theta = \frac{dw}{dx} = \frac{1}{EI} \frac{dM_{\phi}}{dx} = \frac{Q_{\phi}}{EI}; \quad (93.2)$$

бунда  $Q_{\phi}$  — фиктив кесиб ўтувчи куч.

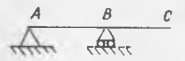
Демак, бирор кўндаланг кесимнинг айланиш бурчаги мазкур кесимдаги фиктив кесиб ўтувчи кучга пропорционал бўлар экан.

Аналитик усулда деформацияларни текширган вақтимизда дифференциал тенгламаларни интеграллаш натижасида ҳосил бўладиган ихтиёрий ўзгармасларни балка учларининг тиралиш шартларидан ва иккита қўшни участкаларни ажратувчи чегара кесимдаги деформацияларнинг тенглигидан аниқлаган эдик. Деформациялар графоаналитик усул билан, яъни (93.1) ва (93.2) тенгламалар ёрдамида аниқланганда, ихтиёрий ўзгармасларни излаш ўрнига, фиктив юклар билан юкланган фиктив балкаларни мослаб танлаш керак, яъни (93.1) ва (93.2) тенгламалар қўйидаги шартларни қаноатлантириши лозим:

1. Балканинг бирор кесимидаги салқилик  $w = 0$  бўлса, тегишли фиктив балканинг шу кесимдаги фиктив эғувчи momenti ҳам нолга тенг бўлиши керак. 2. Балканинг бирор кесимининг айланиш бурчаги  $\theta = 0$  бўлса, тегишли фиктив балканинг шу кесимида фиктив кесиб ўтувчи куч нолга тенг бўлиши керак.

Балканинг бирор кесимдаги салқилик ёки айланиш бурчаги нолга тенг бўлмаса, тегишли фиктив балканинг шу кесимидаги фиктив эғувчи момент ( $M_{\phi}$ ) ва фиктив кесиб ўтувчи куч ( $Q_{\phi}$ ) нолга тенг бўлмаслиги лозим.

Қўйидаги жадвалда асосий балка учларининг турли тиралиш шартларига фиктив балка мос учларининг қандай тиралиши тўғри келиши кўрсатилган.

| Асосий балка  |   | Фиктив балка   |   |
|---|---|--|---|
| асосий балка таянчларининг конструкцияси  | $w$ ва $\theta$ нинг мавжуд бўлиши  | $M_\phi$ ва $\theta_\phi$ га қўйилган талаб  | фиктив балка таянчларининг конструкцияси  |
|  | $w_A = 0$<br>$w_B = 0$<br>$\theta_A \neq 0; \theta_B \neq 0$  | $M_{\phi A} = 0$<br>$M_{\phi B} = 0$<br>$A_\phi \neq 0$<br>$B_\phi \neq 0$   |  |
|  | $w_A = 0$<br>$\theta_A = 0$<br>$w_B \neq 0$<br>$\theta_B \neq 0$                                      | $M_{\phi A} = 0$<br>$A_\phi = 0$<br>$M_{\phi B} \neq 0$<br>$B_\phi \neq 0$   |  |
|  | $w_A = 0$<br>$\theta_A \neq 0$<br>$w_B = 0$<br>$\theta_B \neq 0$<br>$w_C \neq 0$<br>$\theta_C \neq 0$ | $M_{\phi A} = 0$<br>$A_\phi \neq 0$<br>$M_{\phi B} = 0$<br>$B_\phi \neq 0$<br>$M_{\phi C} \neq 0$<br>$C_\phi \neq 0$ |  |

Демак, берилган асосий балканинг бирор кесимидаги салқилиги ( $w$ ) ни ёки кесимнинг бурилиш бурчаги ( $\theta$ ) ни графоаналитик усулда аниқлаш учун қуйидаги операцияларни кетма-кет бажариш лозим бўлар экан:

1. Берилган асосий балканинг қўйилган юклар билан бирга схемасини чизиш.
2. Эгувчи момент эпюрасини яшаш.
3. Эгувчи момент эпюрасининг ноль чизигини фиктив балканинг ўқи деб қабул қилиб, унга  $M(x)$  юзи билан тасвирланган фиктив юкни қуйиш.
4. Фиктив балканинг конструкциясини асосий балкага мослаб, юқорида келтирилган жадвалдан танлаш.
5. Кўрсатилган кесимлар учун тегишли фиктив момент ва фиктив кесиб ўтувчи кучларни ҳисоблаб, асосий балканинг мазкур кесимларидаги салқилиги ва бурилиш бурчагини (93.1) ва (93.2) дан аниқлаш.

Фиктив юк интенсивлиги (куч  $X$  узунлик<sup>1</sup>) ҳисобда ўлчангани учун, фиктив кесиб ўтувчи куч  $Q$  (куч  $X$  узунлик<sup>2</sup>) ҳисобида, фиктив момент эса (куч  $X$  узунлик<sup>3</sup>) ҳисобида ўлчанади.

Энди, графоаналитик усулни татбиқ қилиб, бир неча характерли масалалар ечамиз.

#### 94- §. График — аналитик усулнинг конкрет ҳоллар учун татбиқи

92-масала. Бир учи билан қисилиб тиралган балканинг бошқа учига  $P$  куч қўйилган (295-шакл). Балка  $B$  учининг салқилиги ( $f$ ) билан бурилиш бурчаги ( $\theta_B$ ) аниқлансин.

Ечиш. Эгувчи момент эпюраси  $A$  кесимидаги энг катта қиймати  $Pl$  га тенг бўлган учбурчакдир. Момент эпюрасининг абсцисса ўқини фиктив балканинг ўқи деб қабул қилиб, мазкур момент эпюрасини фиктив юкка айлантираемиз. Юқорида келтирилган жадвалга мувофиқ, фиктив балка конструкциясини танлаймиз. Фиктив балканинг  $B$  учи қисилиб тиралган ҳолда  $A$  учи эркин бўлиши керак.

Энди, фиктив балканинг  $B$  кесимидаги фиктив эгувчи момент билан фиктив кесиб утувчи кучни аниқлаймиз:

$$M_{\phi B} = -\frac{1}{2}Pl \cdot l \cdot \frac{2}{3}l = -\frac{Pl^2}{3}.$$

Буни балканинг бикирлиги ( $EI$ ) га бўлиб,  $f$  ни топамиз:

$$f = -\frac{Pl^2}{3EI}. \quad (94.1)$$

Бу формула 89-параграфда чиқарилган (89.6) формуланинг худди ўзидир.

Фиктив балканинг  $B$  кесимидаги кесиб ўтувчи куч ( $Q_{\phi B}$ ) фиктив юкни тасвирловчи учбурчакнинг юзига тенг:

$$Q_{\phi B} = -\frac{1}{2}Pl \cdot l = -\frac{Pl^2}{2};$$

$B$  кесимнинг бурилиш бурчаги

$$\theta_B = \frac{Q_{\phi B}}{EI} = -\frac{Pl^2}{2EI} \quad (94.2)$$

бўлади.

**93-масала.** Икки таянчда ётувчи  $AB$  балканинг чап учидан  $a$  масофадаги нуқтага  $P$  куч қўйилган (296-шакл). Балканинг куч қўйилган жойидаги ва ўртасидаги салқилиги ва учларининг бурилиш бурчаклари аниқлансин.

Ечиш. Эгувчи момент эпюраси балка учларига нисбатан симметрик бўлмаган  $A_1B_1C_1$  учбурчак билан тасвирланади. Момент эпюрасини фиктив юкка айлантираемиз, бу ҳолда фиктив юк мусбат бўлгани учун, юкорига томон йуналган. Фиктив балка конструкцияси асосий балкага мос келади. Фиктив юк тенг таъсир этувчиси  $A_1B_1C_1$  учбурчакнинг юзи билан ифодланади, уни  $\Omega$  билан белгилаймиз. Бу куч балканинг чап учидан  $x_0 = \frac{l+a}{3}$  масофадаги кесимга қўйилган (296-шакл).

Унинг қиймати:

$$\Omega = \frac{1}{2}l \cdot \frac{P \cdot a \cdot b}{l} = \frac{Pab}{2}.$$

Фиктив реакция  $A_{\phi}$  ва  $B_{\phi}$  ни аниқлаймиз:

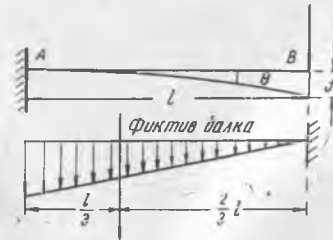
$$-B_{\phi}l + \Omega x_0 = 0; \text{ бундан } B_{\phi} = \Omega \frac{x_0}{l}$$

ёки

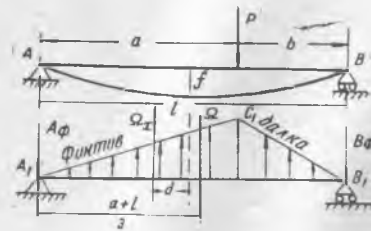
$$B_{\phi} = \frac{Pab(a+l)}{6l}; \text{ шунингдек,}$$

$$A_{\phi} = \frac{Pab(a+l)}{6l}.$$

Фиктив балканинг ўрта кесимидаги эгувчи момент ( $M_{\phi}$ ) ни аниқлаймиз:



295-шакл.



296-шакл.

$$M_\phi = -A_\phi \frac{l}{2} + \Omega_x d; \quad \Omega_x = \frac{Pb}{l} \cdot \frac{l}{2} \cdot \frac{1}{2} \cdot \frac{l}{2} = \frac{Pbl}{8};$$

$$d = \frac{1}{3} \cdot \frac{l}{2} = \frac{l}{6}; \quad M_\phi = -\frac{Pab(b+l)}{6l} \cdot \frac{l}{2} + \frac{Pbl^2}{48} = -\frac{Pb(3l^2 - 4b^2)}{48}.$$

Энди,  $A_\phi$ ,  $B_\phi$  ва  $M_\phi$  ни балканинг бикирлиги ( $EI$ ) га бўлиб, аниқла-  
ниш лозим бўлган  $\theta_A$ ,  $\theta_B$  ва  $f$  ни топамиз:

$$\theta_A = \frac{A_\phi}{EI} = \frac{Pab(l+b)}{6EI}; \quad \theta_B = \frac{B_\phi}{EI} = \frac{Pab(l+a)}{6EI}; \quad (94.3)$$

$$f = -\frac{Pb(3l^2 - 4b^2)}{48EI}. \quad (94.4)$$

94-масала. Икки таянчга эркин тиралган балканинг учларига момент-  
лари  $M_A$  ва  $M_B$  бўлган жуфт кучлар қўйилган ( $M_A > M_B$ ). Балканинг чап  
ва ўнг учларидаги кесимларининг бурилиш бурчаклари ( $\theta_A$  ва  $\theta_B$ ) аниқлан-  
син (297-шакл).

Ечиш. Таянчлардаги  $M_A$  ва  $M_B$  нинг таъсирини алоҳида текшира-  
миз У ҳолда:  $\theta_A = \theta'_A + \theta''_A$ ;  $\theta_B = \theta'_B + \theta''_B$ .

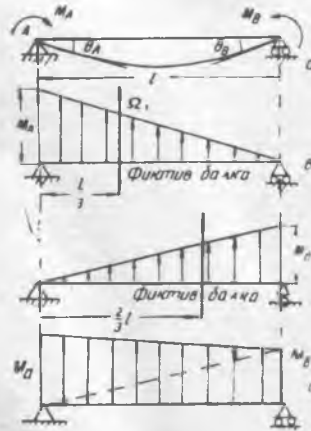
$\theta'$  бурчак  $M_A$  га,  $\theta''$  эса  $M_B$  га оиддир. 297-шакл,  $b$  ва  $c$  да тегишли  
эпюралар ёки фиктив балкалар алоҳида чизилган.

$$A'_\phi = \frac{2}{3} \cdot \frac{M_A \cdot l}{2} = \frac{M_A \cdot l}{3}; \quad B'_\phi = \frac{1}{3} \cdot \frac{M_A \cdot l}{2} = \frac{M_A \cdot l}{6};$$

$$A''_\phi = \frac{1}{3} \cdot \frac{M_B \cdot l}{2} = \frac{M_B \cdot l}{6}; \quad B''_\phi = \frac{2}{3} \cdot \frac{M_B \cdot l}{2} = \frac{M_B \cdot l}{3};$$

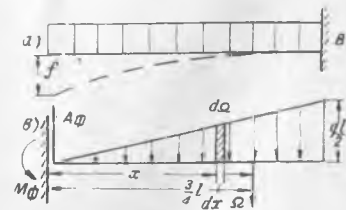
Демак:

$$\left. \begin{aligned} \theta_A &= \theta'_A + \theta''_A = \frac{A'_\phi}{EI} + \frac{A''_\phi}{EI} = \frac{M_A \cdot l}{3EI} + \frac{M_B \cdot l}{6EI} \cdot \\ \theta_B &= \theta'_B + \theta''_B = \frac{B'_\phi}{EI} + \frac{B''_\phi}{EI} = \frac{M_A \cdot l}{6EI} + \frac{M_B \cdot l}{3EI} \cdot \end{aligned} \right\} \quad (94.5)$$



297-шакл.

95-масала. Бир учи билан қисилиб ти-  
ралган балкага узунлиги ( $l$ ) давомида тенг  
ёйилган  $q$  юк қўйилган. Балка эркин учи-  
нинг салқилиги билан бурилиш бурчаги аниқ-  
лансин (298-шакл).



298-шакл.

Ечиш. Бу ҳолда эгувчи момент  $M_x = -\frac{qx^2}{2}$  тенглама билан ифодаланган квадратик парабола бўлгани учун, у билан юкланган фиктив балка конструкцияси 298-шакл, *b* да тасвирланганидек бўлади. Фиктив балканинг қисилиб тиралган кесимидаги кесиб ўтувчи куч билан эгувчи моментларни аниқлаймиз.

$A_\phi - \Omega = 0$ ;  $M_\phi = \Omega x_0$ ; бунда  $\Omega$  — фиктив юк юзи.

$$\Omega = \int_0^l d\Omega = \int_0^l M dx = \int_0^l \frac{qx^2}{2} dx = \frac{ql^3}{6};$$

$$M_\phi = - \int_0^l x d\Omega = - \int_0^l x \frac{qx^2}{2} dx = -\frac{ql^4}{8}; \quad x_0 = \frac{M_\phi}{\Omega} = \frac{dl^4}{8} : \frac{dl^3}{6} = \frac{3}{4} \cdot l.$$

Энди,  $A_\phi$  билан  $M_\phi$  ни балканинг бикирлиги ( $EI$ ) га бўлиб,  $\theta_A$  билан  $f_A$  ни топамиз:

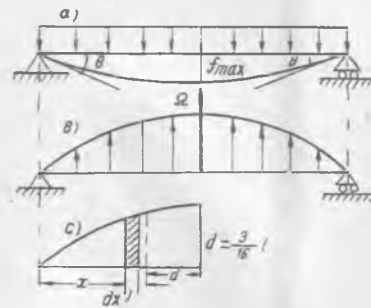
$$\theta_A = \frac{A_\phi}{EI} = \frac{ql^3}{6EI}; \quad f_A = -\frac{M_\phi}{EI}. \quad (94.6)$$

**96-масала.** Икки таянчга эркин тиралган балканинг узунлиги  $l$  бўлиб бутун узунлиги давомида тенг ёйилган юк таъсир қилади (299-шакл, *a*) Балканинг ўртасидаги салкилиги билан уч кесимларининг бурилиши аниқлансин.

Ечиш. Эгувчи момент эпюраси  $M = \frac{ql}{2}x - \frac{qx^2}{2}$  тенглама билан тасвирланадиган параболадир. Уни фиктив юкка айлантирсак, фиктив балка асосий балка каби икки таянчга тиралган ва парабола қонуни билан ўзгарувчи фиктив юк таъсирида бўлади (299-шакл, *b*). Фиктив юкнинг тенг таъсир этувчиси ( $\Omega$ ) парабола юзига тенг бўлиб,  $\Omega = \frac{2}{3} \frac{ql^2}{8} \cdot l = \frac{ql^3}{12}$  дир. Юк симметрик бўлгани учун  $A_\phi = B_\phi = \frac{ql^3}{24}$  бўлади; балканинг ўрта кесимидаги фиктив эгувчи моментни ҳисоблаймиз:

$$M_\phi = A_\phi \cdot \frac{l}{2} - \frac{\Omega}{2} \cdot d;$$

бунда  $d$  — параболанинг симметрия ўқидан ярим юзасининг марказигача бўлган масофа, у  $\frac{3}{16} l$  га тенгдир. Буни исбот қиламиз. Бунинг учун парабола ярим юзасининг  $A$  га нисбатан статик моментини олиб,  $\frac{\Omega}{2}$  га бўлаемиз (299-шакл, *c*):



299-шакл.

$$x_c = \frac{2}{\Omega} \int_0^{\frac{l}{2}} x \left( \frac{ql}{2}x - \frac{qx^2}{2} \right) dx = \frac{5}{16} l;$$

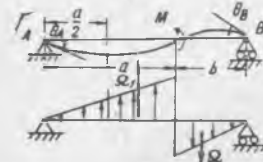
$$d = \frac{l}{2} - \frac{5}{16} l = \frac{3}{16} l;$$

$$M_\phi = A_\phi \frac{l}{2} - \frac{\Omega}{2} \cdot \frac{3}{16} l = -\frac{5ql^4}{384}.$$

Энди,  $A_\phi$  ва  $M_\phi$  ни  $EI$  га бўлиб,  $\theta_A$  билан  $f_{\max}$  ни аниқлаймиз:

$$\theta_A = \frac{qa^3}{24EI}; \quad f_{\max} = -\frac{5qa^4}{384EI}. \quad (94.7)$$

97- масала. Икки таянчда ётувчи балканинг узунлиги  $l$  бўлиб, чап учидан  $a$  масофадаги кесимига momenti  $M$  га тенг жуфт куч қўйилган (300-шакл). Балканинг  $A$  ва  $B$  учларидаги кесимларнинг бурилиш бурчаги ( $\theta_A$  ва  $\theta_B$ ) ҳамда



300- шакл.

$\frac{a}{2}$  масофадаги салқилик аниқлансин.

Ечиш. Фиктив балканинг юклари 300-шаклда кўрсатилган. Фиктив реакциялар ( $A_\phi$  ва  $B_\phi$ ) қуйидагича бўлади:

$$A_\phi = \frac{1}{l} \left[ \frac{Ma^2}{2l} \left( b + \frac{a}{3} \right) - \frac{Mb^2}{2l} \cdot \frac{2b}{3} \right]$$

$$B_\phi = \frac{1}{l} \left[ \frac{Ma^2}{2l} \cdot \frac{2a}{3} - \frac{Mb^2}{2l} \left( a + \frac{b}{3} \right) \right]$$

Буларни  $EI$  га бўлиб,  $\theta_A$  ва  $\theta_B$  ни аниқлаймиз:

$$\theta_A = \frac{M}{2l^2EI} \left[ a^2 \left( b^2 + \frac{a}{3} \right) - \frac{2b^3}{3} \right],$$

$$\theta_B = \frac{M}{2l^2EI} \left[ \frac{2}{3} a^3 - b^2 \left( a + \frac{b}{3} \right) \right]. \quad (94.8)$$

$\frac{a}{2}$  масофадаги кесимнинг фиктив эгувчи моментини ҳисоблаймиз:

$$M_\phi = A_\phi \cdot \frac{a}{2} - \frac{Ma^2}{2l} \cdot \frac{1}{4} \cdot \frac{a}{6} = \frac{Ma}{48l} [3a^2 + 8b(a-b)].$$

Буни  $EI$  га бўлиб, салқилик ( $f$ ) ни топамиз:

$$f = \frac{Ma}{48EI} [3a^2 + 8b(a-b)]. \quad (94.9)$$

Агар  $a = b = \frac{l}{2}$  бўлса,

$$\theta_1 = \theta_2 = \frac{Ml}{24EI};$$

$$f = \frac{Ml^2}{128EI}. \quad (94.10)$$

98- масала. Икки таянчга тиралган балканинг консол қисмига тенг ёйилган юк ва чап таянчига momenti  $M_0$  га тенг жуфт куч қўйилган (301-шакл, а).  $A$  кесимнинг бурилиши ва  $C$  учининг салқилиги аниқлансин.

Ечиш. Масалани кучларнинг таъсирини қўшиш принциpidан фойдаланиб ечамиз. Бунинг учун олдин балканинг  $A$  кесимига қўйилган  $M_0$  нинг таъсирини текшираемиз. Унинг таъсиридан  $BC$  консол қаттиқ жисм каби юқорига кўтарилади. Натижада балканинг  $C$  учи  $C_1$  га кўчади:  $CC_1 = f' = a\theta_B^i$ . Балкадаги консол бир учи билан кистириб тиралган балка каби эгилиб,  $C$  нинг салқилиги  $f'' = CC_2$  билан тасвирланади (301-шакл, с). Ундан ташқари ёйилган юкнинг балканинг  $AB$  қисмига кўрсатадиган таъсири  $M_B = -\frac{qa^2}{2}$  билан алмаштирилса, бунинг натижасида балка 301-шакл,

$d$  да тасвирлангандек эгилади. Шу билан бирга,  $BC$  консол қаттиқ жисм каби пастга огади,  $C$  нуқта  $C_3$  га кучади.  $CC_3 = f''' = a\theta_B''$  бўлади. Шундай қилиб,  $A$  кесимининг бурилиши ва  $C$  учининг салқилиги қуйидагича ёзилади:

$$\theta_A = \theta_A' - \theta_A''; \quad f_C = f_C' + f_C'' - f_C'''$$

$\theta_A'$ ,  $\theta_A''$ ,  $f_C'$ ,  $f_C''$  ва  $f_C'''$  ларнинг қийматларини ҳар қайси элементар балкага тегишли фиктив балкалардан аниқлаймиз. Уларнинг схемалари тегишли элементар балкалар остида берилган (301-шакл.  $b, c, d$ ).

$$\theta_A' = \frac{M_0 l}{3EI}; \quad \theta_A'' = \frac{Ml}{6EI} = \frac{qa^2 l}{12EI}; \quad \theta_B'' = \frac{qa^2 l}{6EI};$$

$$f_C' = \theta_B' a = \frac{M_0 l}{6EI} a; \quad f_C'' = \frac{qa^4}{8EI}; \quad f_C''' = \theta_B'' a = \frac{qa^3 l}{6EI}$$

Демак:

$$\theta_A = \frac{M_0 l}{3EI} - \frac{qa^2}{12EI}; \quad f_C = \frac{qa^4}{24EI} (4l + 3a) - \frac{M_0 l a}{6EI}$$

**МАСАЛАЛАР**

99. Икки таянчда ётувчи балканинг учларига 302-шаклда кўрсатилганидек, momenti  $M_0$  бўлган бир хил жуфт куч қўйилган. Мазкур балка учун  $M$ ,  $Q$ ,  $\theta$  ва  $w$  эпюралари ясалсин. Максимал салқилик ва ўрта кесимдаги салқилик аниқлансин.

Ечиш. Чап таянч реакцияси  $A = -\frac{2M_0}{l}$  бўлади. Шунинг учун, абсциссаси  $x$  билан аниқланган кесимдаги эгувчи момент:

$$M = M_0 - \frac{2M_0}{l} x = M_0 \left(1 - 2\frac{x}{l}\right)$$

дир.

Эластик чизиқнинг дифференциал тенгламаси:

$$EI \frac{d^2 w}{dx^2} = M_0 \left(1 - 2\frac{x}{l}\right);$$

бу тенгламадан:

$$\theta = \frac{M_0 l}{6EI} \left[ 6\frac{x}{l} \left(1 - \frac{x}{l}\right) - 1 \right];$$

$$w = \frac{M_0 l^2}{6EI} \left[ \frac{x}{l} \left(-2\frac{x}{l} + 3\frac{x}{l} - 1\right) \right];$$

$Q$ ,  $M$ ,  $\theta$  ва  $w$  эпюраси 302-шакл,  $a, b, c$  ва  $d$  да тасвирланган.

$\theta = 0$  булган кесимда  $w_{\max}$  бўлади. У ерда

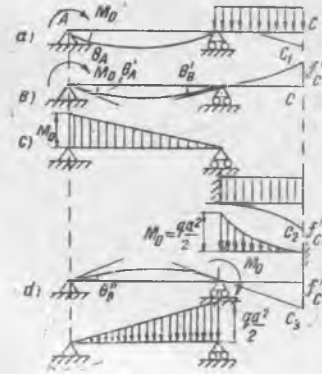
$$x_{1,2} = \frac{\sqrt{3} \pm 1}{2\sqrt{3}} l$$

бўлиб,

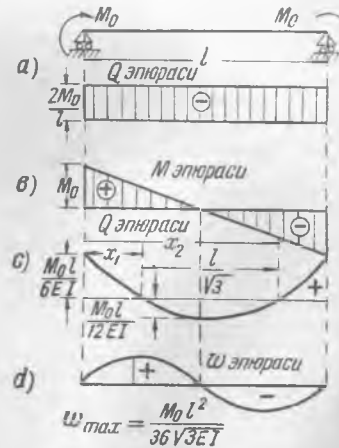
$$w_{\max} = \frac{M_0 l^2}{36\sqrt{3}EI}$$

дир.

100. Қарағай ёғочдан тилинган тахта балка икки таянчга тиралган бўлиб, ўртасига  $P = 400$  кг куч қўйилган (303-шакл). Балканинг ўртасидаги салқилик ( $f$ ) ўлчанганда  $0,2$  см чиқди. Балка материалнинг эластиклик модули аниқлансин.



301-шакл.



302-шакл.

Курсатма.

$$I = \frac{Pl^2}{48EI}, \quad I = \frac{bh^3}{12} = \frac{20 \cdot 6^3}{12} = 360 \text{ см}^4.$$

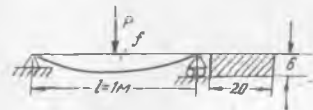
$$E = \frac{Pl^2}{48f} = \frac{400 \cdot 100^2}{48 \cdot 360 \cdot 0,2} \approx 1,16 \cdot 10^8 \text{ кг/см}^2.$$

101. Үнг учи билан қисилиб тиралган 12-номерли қўш таврли пулат балкага ёйилган юк қўйилган. Балка учининг бурялиш бурчаги  $\theta_0 = 0,00612$  бўлса, ёйилган юкнинг интенсивлиги қанча бўлади?

Курсатма.

$$\theta = \frac{ql^2}{8EI} \text{ дан: } q = \frac{8EI\theta}{l^2} = 400 \text{ кг/м.}$$

102. АВ пулат стерженининг бошланғич эгрилиги шундайки, унинг учларига  $P$  кучлар қўйилганда, 304-шаклда кўрсатилганидек тўғриланиб, қаттиқ таянч текислиги (ST) га стерженнинг узунлиги бўйича тенг ёйилган босим кўрсатади. Стерженни тўғрилаш учун зарур бўлган  $P$  куч ва стержендаги энг катта нормал кучланиш аниқлансин.  $l = 50 \text{ см}$ ;  $\delta = 0,25 \text{ см}$ . Стерженнинг қундаланг кесими томонлари  $0,25 \text{ см}$  га тенг бўлган квадратдир.



303-шакл.



304-шакл.

Ечиш. Таянч текислигида тенг ёйилган босим ҳосил бўлиши учун, стерженнинг бошланғич эгрилиги икки таянчда эркин ётувчи, интенсивлиги  $q = \frac{2P}{l}$  га тенг бўлган ёйилган юк таъсиридаги балканинг эластик чизиги билан бир хил бўлиши лозим. У ҳолда.

$$M_{\max} = \frac{ql^2}{8} = \frac{2P}{l} \cdot \frac{l^2}{8} = \frac{Pl}{4}; \quad \delta = f = \frac{5ql^4}{384EI} = \frac{5}{384} \cdot \frac{2P}{l} \cdot \frac{l^4}{EI}$$

бундан:

$$P = \frac{192EI}{5l^3} \delta; \quad \sigma_{\max} = \frac{M_{\max}}{W} = \frac{P \cdot l \cdot h}{8I} = \frac{24E\sigma \cdot h}{5l^2} = 2520 \text{ кг/см}^2.$$

$$P = 525 \text{ кг.}$$

103. Чап учи билан қисилган консолнинг узунлиги  $l = 4 \text{ м}$  бўлиб, унинг учига  $P = 1 \text{ т}$  юк қўйилган. Мустаҳкамлик ва бикрлик шартлари бўйича сортамент жадвалидан қўш таврли кесимнинг номери аниқлансин. Рухсат этилган кучланиш  $[\sigma] = 1400 \text{ кг/см}^2$ ; рухсат этилган салқилик:

$$[f] = \frac{l}{400}.$$

Ечиш.  $M_{\max} = Pl = 4000 \text{ кг/м}$ . Зарур бўлган кесимнинг қаршилик моменти  $W = \frac{400000}{1400} = 286 \text{ см}^3$ ; сортамент жадвалидан  $W$  нинг бу қийматига тегишли қўш таврнинг номери 20<sup>a</sup> мос келади.  $W = 309 \text{ см}^3$ ;  $l = 3400 \text{ см}^3$ ; балканинг бикрлигини текшириб кўрамиз.

$$f = \frac{Pl^3}{3EI} = \frac{1000 \cdot 400^3}{3 \cdot 2 \cdot 10^6 \cdot 3400} = 3 \text{ см.}$$

Нисбий салқилик:

$$\frac{f}{l} = \frac{3}{400} > \frac{1}{400}.$$

балканинг бикрлиги етарли эмас. Бикрлик шартидан кесимни танлаймиз:

$$\frac{Pl^3}{3EI} \leq [f]; \text{ бундан: } I = \frac{Pl^3}{3E[f]} = \frac{1000 \cdot 400^3}{3 \cdot 2 \cdot 10^6 \cdot \frac{1}{400}} = 10200 \text{ см}^4.$$

Бунга 33<sup>a</sup> номерли қўш тавр мос келади. Шунинг учун:

$$I = 11900 \text{ см}^4; \quad W = 721 \text{ см}^3;$$

бу ҳолда салқилик:

$$f = \frac{1000 \cdot 400^3}{3 \cdot 2 \cdot 10^9 \cdot 11900} = 0,855 \text{ см} < \frac{l}{400} = 1 \text{ см},$$

кучланиш:

$$\sigma = \frac{M_{\max}}{W} = \frac{400 \cdot 000}{721} = 555 \text{ кг/см}^2 < 1400.$$

104. Консолнинг қисилиб тиралган кесими  $\gamma$  бурчакка бурилади. Балка эркин учининг бурилиши бурчаги ( $\theta_A$ ) ва салқилиги ( $W_A$ ) аниқлансин (305-шакл).

Е ч и ш. Қисилиб тиралган кесим бурилмаса,

$$W_A = -\frac{ql^4}{8EI}, \quad \theta_A = -\frac{ql^3}{6EI}$$

булади, қисилиб тиралган кесимнинг бурилиши (305-шакл, б) натижасида балка қаттиқ жисм каби  $\gamma$  бурчакка бурилади. Натижада унинг учи кутарилади:

$$\omega_A = l\gamma, \quad \theta_B = \gamma.$$

Тўла кўчиш қуйидагича булади:

$$\omega_A = -\frac{ql^4}{8EI} + l\gamma, \quad \theta_A = -\frac{ql^3}{6EI} + \gamma.$$

105. Дюралдан тайёрланган трубаннинг ташқи диаметри  $D=50$  мм, ички диаметри  $d=44$  мм. Труба горизонтал вазиятда учлари билан икки таянчга эркин тиралган. Хусусий оғирлиги натижасида унинг максимал салқилиги  $f = \frac{l}{200}$  дап ошмаслиги учун узунлиги қанча

булиши керак. Солиштирма оғирлиги:

$$\gamma = 2,6 \text{ т/м}^3,$$

$$E = 7,5 \cdot 10^9 \text{ кг/см}^2.$$

К ў р с а т м а.

$$q = \frac{\pi(D^2 - d^2)}{4} \gamma; \quad f_{\max} = \frac{5ql^4}{384EI} \leq \frac{l}{200}; \quad I = \frac{\pi(D^2 - d^2)}{32};$$

бундан:

$$l = 6,75 \text{ м}.$$

106. Балка ўз учларидан бир хил масофалардаги таянчларда ётади. Таянчлар оралиги (а) балка узунлиги (l) нинг қандай қисмини ташкил этганда, балканинг хусусий оғирлигидан ҳосил буладиган максимал салқилик минимум қийматга эга булади?

К ў р с а т м а. Координаталар боши балканинг чап учида олинса, универсал тенглама қуйидагича ёзилади:

$$w = w_0 + \theta_0 x + \frac{1}{EI} \left\{ -\frac{qx^3}{24} + \frac{ql}{2} \left( x - \frac{l-a}{2} \right) + \frac{ql}{2} \left( x - \frac{l+a}{2} \right) \right\};$$

$x = \frac{l-a}{2}$ ;  $x = \frac{l+a}{2}$  бўлганда,  $w = 0$  булади. Ундан  $w_0$  ва  $\theta_0$  ни аниқлаб,  $x = \frac{l}{2}$  га тенг бўлган кесимдаги салқилик ( $w_{l/2}$ ) ни топиш лозим. Чиққан натижани  $w_0$  билан солиштириб, қайси бири катта бўлса, ушундан  $a$  га нисбатан ҳосила олинади ва уни нолга тенглаштириш натижасида, минимал салқилик берадиган  $a$  нинг қиймати топилади.

Ж а в о б:

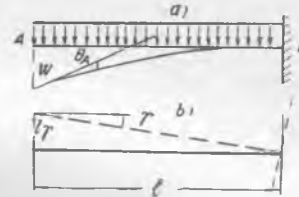
$$a = 0,52l.$$

107. ABC балканинг узунлиги 2l га тенг бўлиб, иккита A ва C таянчларига эркин тиралган ҳолда, биринчи ярми AB га интенсивлиги q бўлган тенг ёйилган юк қўйилган.

A, B, C кесимларнинг айланмиш бурчаклари ва B даги салқиликнинг қуйидаги қийматларга тенг бўлиши исботлансин:

$$\theta_B = \frac{ql^3}{48EI}; \quad \theta_A = -\frac{3ql^3}{16EI}; \quad \theta_C = \frac{7ql^3}{48EI}; \quad \omega_B = -\frac{5ql^4}{48EI}.$$

К ў р с а т м а. Масала графоаналитик усулда ечилиши керак. Фиктив юкнинг ярмиси: парабола юзи билан, ярмиси учбурчак юзи билан тасвирланади.



305-шакл.

108. Узунлиги  $l = 2$  м бўлган балка икки таянчда ётган ҳолда доира ёйи бўйича эгилади. Унинг ўртасидаги салқилиги  $f = 0,5$  см;  $E = 1 \cdot 10^6$  кг/см<sup>2</sup> ва  $I = 230$  см<sup>4</sup>; эластик чизиқнинг эгилик радиуси ( $\rho$ ) ва эгувчи момент ( $M$ ) аниқлансин.

Қўрсатма. Эластик чизиқ доира ёйи бўлса, балка соф эгилишда бўлиб, унинг узунлиги давомида эгувчи момент бир хил бўлади. Шунинг учун  $f = \frac{Ml^2}{8EI}$ ; иккинчи то-

мондан,  $\frac{1}{\rho} = \frac{M}{EI}$  бўлгани учун:

$$f = \frac{l^2}{8} \frac{1}{\rho};$$

бундан:

$$\rho = 100 \text{ м};$$

$$M = \frac{EI}{\rho} = 2300 \text{ кгм.}$$

□

### XIII боб

#### ҲАРАҚАТЧИ КЕСИМЛИ БАЛКАЛАР ҲИСОБИ

##### 95- §. Эгилишга тенг қаршилиқ кўрсатувчи балкалар

Призматик стерженлардан тайёрланган балкаларнинг кўндаланг кесимларини танлаб олишда энг катта эгувчи момент таъсир қилаётган кесимнинг мустаҳкамлик шартларини қаноатлантиришига асосландик. Бундай балкаларнинг бошқа кўндаланг кесимлари ортиқча запас билан ишлайди. Аммо бошқа кесимларнинг ўлчамларини ҳам тегишли эгувчи моментларга мувофиқ олиш мумкин. Бундай тадбир амалга оширилса, балканинг ҳар бир кўндаланг кесимидаги максимал кучланиш ўзининг рухсат этилган қийматидан ошмайди. Бу шартни қаноатлантирувчи шаклдаги балкалар *эгилишга тенг қаршилиқ кўрсатувчи балкалар* деб аталади. Эгилишга тенг қаршилиқ кўрсатувчи балкаларнинг барча кесимлари қуйидаги умумий шартларни қаноатлантириши лозим:

$$\frac{M(x)}{W(x)} = [\sigma], \quad (95.1)$$

ёки:

$$W(x) = \frac{M(x)}{[\sigma]}. \quad (95.2)$$

$M(x)$  балка бўйича қандай қонун билан ўзгарса,  $W(x)$  ҳам худди шундай қонун билан ўзгариши лозим. Акс ҳолда (95.2) шарт бажарилмайди. Бу (95.1) ёки (95.2) шартни кесимлари аста-секин ўзгарадиган балкалар учун татбиқ қилиш мумкин. Балканинг кесими кескин ўзгарса, бу жойда кучланиш тўплами ҳосил бўлиб, бу тўпلام балка материали учун белгиланган рухсат этилган қийматидан ошиб кетиши мумкин. Шунинг учун Гук қонуни чегарасида татбиқ этиладиган формулалардан фойдаланиб бўлмайди. Тенг қаршилиқ кўрсатувчи балкаларнинг бир қанча хусусий ҳолларини текширамиз.

## 96-§. Тенг қаршилик кўрсатувчи балкалар профили

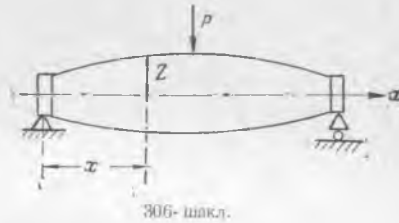
Тўғри тўртбурчак кесимли тенг қаршилик кўрсатувчи балкалар учун (95.1) ёки (95.2) тенгламани татбиқ этамиз. Тўғри тўртбурчакнинг кенглиги ўзгармай, баландлиги ўзгариши ёки баландлиги ўзгармай, кенглиги ўзгариши ёхуд иккала ўлчами ҳам маълум муносабатда ўзгариши мумкин. Бу ҳолларнинг ҳар қайсисини алоҳида текшираемиз. Олдин кенглиги ўзгармайдиган, яъни  $b = \text{const}$  бўлган ҳолни текшираемиз.

Икки таянчда ётувчи тенг қаршилик кўрсатувчи балканинг ўртасига  $P$  куч қўйилган, деб фараз қилайлик (306-шакл). Балканинг бўйи давомида кундаланг кесими кандай қонун билан ўзгаришини, яъни бўйлама кесими контурининг тенгламасини (95.2) дан аниқлаймиз:

$$M(x) = \frac{P}{2}x; \quad W(x) = \frac{bh^2(x)}{6};$$

$$h(x) = 2z(x); \quad \frac{b4z^3}{6} = \frac{Px}{2[\sigma]}; \quad (96.1)$$

$$z^3 = \frac{3Px}{4b[\sigma]}$$



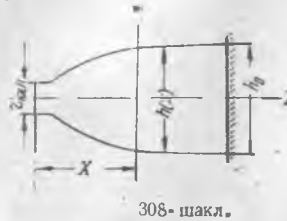
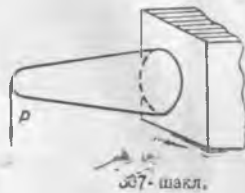
Бу тенглама парабола кесимининг тенгламасидир. Баландлиги  $h$  га ва узунлиги  $l$  га тенг бўлган парабола сегментининг юзи худди шундай ўлчамлари бўлган тўғри тўртбурчак юзининг  $\frac{2}{3}$  қисмига тенг. Шу муносабат билан тенг қаршилик кўрсатувчи балканинг ҳажми ва оғирлиги, кундаланг кесими ўзгармайдиган балканинг ҳажми ва оғирлигининг  $\frac{2}{3}$  қисмини ташкил этади.

Тенг қаршилик кўрсатувчи балка бир учи билан қисилиб тиралган, бошқа учига эса тўплаган  $P$  куч қўйилган бўлса (307-шакл), куч қўйилган кесимнинг баландлиги жуда кичик бўлгани учун, у ерда жуда катта кесувчи кучланишлар ҳосил бўлиши мумкин. Бундай кучланишларнинг ҳосил бўлишига йўл қўймаслик учун, балканинг учига кичкина супача ҳосил қилиш лозим. Унинг минимал баландлиги қуйидаги тенгламадан аниқланади:

$$\sigma_{\max} = \frac{3}{2} \frac{Q_{\max}}{b \cdot z_{\min}} \leq [\tau]; \quad (96.2)$$

$$Q_{\max} = P \text{ бўлгани учун } z_{\min} = \frac{3P}{2b[\tau]}. \quad (96.3)$$

$P$  ни қўйиш учун бу ўлчам билан ажратилган супачали балка 308-шаклда тасвирланган. Кейинги ҳол учун балка учининг салқилигини аниқ-



лаймиз. Призматик стерженлар учун чиқарилган дифференциал тенгламадан фойдаланамиз:

$$EI \frac{d^2 w}{dx^2} = -Px; \quad (96.4)$$

бу ерда  $I$  — ўзгарувчи сон; у балканинг чап учидан  $x$  масофадаги кесим учун  $I_y(x) = \frac{bh^3(x)}{12}$  кўринишда ёзилади.  $h(x)$  ни (95.2) дан аниқлаймиз:

$$\frac{M_0}{W_0} = \frac{M(x)}{W(x)} = [\sigma] = \text{const};$$

бундан:

$$\frac{Pl}{bh_0^2} = \frac{Px}{bh^2(x)}; \quad h^2(x) = h_0^2 \cdot \frac{x}{l}; \quad h(x) = h_0 \sqrt{\frac{x}{l}}.$$

Буни  $I(x)$  ифодасига қўйсак:

$$I_y(x) = I_0 \sqrt{\frac{x^3}{l^3}}$$

келиб чиқади.

(96.4) қўйидагича ёзилади:

$$\frac{d^2 w}{dx^2} = -\frac{PV\sqrt{l^3}}{EI_0} \cdot x^{-\frac{1}{2}}; \quad \frac{dw}{dx} = -\frac{2PV\sqrt{l^3}}{E_0 l} x^{\frac{1}{2}} + C_1.$$

$x = l$  бўлганда,  $\frac{dw}{dx} = 0$ . Шунинг учун:

$$C_1 = +\frac{2Pl^2}{EI_0}.$$

Яна бир марта интеграллаб,  $w$  учун:

$$w = -\frac{4}{3} \frac{PV\sqrt{l^3}}{EI_0} \cdot x^{\frac{3}{2}} + \frac{2Pl^2}{EI_0} x + C_2$$

ифодани ҳосил қиламиз;  $x = l$  бўлганда

$w = 0$  бўлади, шунинг учун:

$$C_2 = -\frac{2}{3} \frac{Pl^3}{EI_0}.$$

бу миқдор балка учининг салқилигидир.

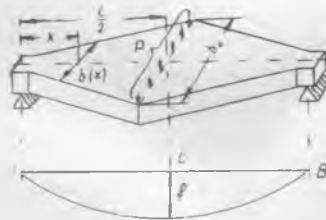
Шунинг учун,  $x = 0$  бўлганда:

$$w_B = f = -\frac{2}{3} \frac{Pl^3}{EI_0}$$

бўлади.

Бу салқиллик кўндаланг кесими  $bh$  га тенг бўлган призматик стержень салқилигининг икки қиссасига тенг бўлаётир. Демак, тенг қаршилик кўрсатувчи балкада материал тежалиши билан бирга унинг бикрлиги камаяди.

Энди, икки таянчда ётувчи ва тенг қаршилик кўрсатувчи балканинг тўғри тўрт бурчакли кўндаланг кесимининг баландлиги  $h = \text{const}$  бўлиб, кенглиги ( $b$ ) ўзгарсин, деб фараз қиламиз (309-шакл). Бу ҳолда (95.2) қўйидагича ёзилади:



309-шакл.

$$\frac{3M(x)}{b(x)h^2} = [\sigma], \text{ бундан: } b(x) = \frac{3M(x)}{[\sigma]h^2}.$$

Биз текшираётган ҳолда,  $M = P \frac{x}{2}$  бўлгани учун

$$b(x) = \frac{3}{2} \frac{P}{[\sigma]h^2} \cdot x. \quad (96.5)$$

бўлади.

Балканинг иккинчи участкаси учун ҳам симметрия туфайли, худди шундай тенгламани ёзишимиз мумкин. Демак, бу ҳолда тенг қаршилиқ кўрсатувчи балканинг кенлиги тўғри чизиқ қонуни билан ўзгарар экан. Бундай балкага призматик балка материалга қараганда кам материал кетади.

Эластик чизиқни текшираимиз. Бу ҳолда дифференциал тенглама қуйидагича ёзилади:

$$EI(x) \frac{d^2w}{dx^2} = \frac{P}{2} x, \text{ бунда: } I(x) = \frac{b(x)h^3}{12}.$$

$b(x)$  нинг қийматини (96.1) га кўра, қуйидагича ёзишимиз мумкин:

$$b(x) = 2b_0 \frac{x}{l}.$$

Чунки:

$$\frac{M_0}{W_0} = \frac{M(x)}{W(x)} = [\sigma] \quad (a)$$

ёки

$$\frac{3Pl}{2b_0h^2} = \frac{3Px}{b(x)h^2} = [\sigma];$$

бундан (a) ни оламиз. Шунинг учун:

$$I(x) = \frac{2b_0h^3}{12} \cdot \frac{x}{l} = 2I_0 \frac{x}{l}$$

бўлади.

Энди, эластик чизиқнинг дифференциал тенгламасини қуйидагича ёзишимиз мумкин:

$$\frac{d^2w}{dx^2} = \frac{Pl}{4EI_0} = \frac{1}{\rho} = \text{const}. \quad (96.6)$$

Тенг қаршилиқ кўрсатувчи балканинг узунлиги бўйича унинг эгрилиги ўзгармаётир, демак, эластик чизиқ айлана ёйи билан тасвирланадир экан.

Балканинг ўртасидаги максимал салқилиқни қуйидаги мулоҳазадан топамиз. Айлананинг  $A$  нуқтасидан унинг диаметрига туширилган тик  $AC = \frac{l}{2}$  нинг квадрати диаметрининг  $C$  нуқта билан бўлинган кесмалар кўпайтмасига тенгдир. Кесмалар эса тегишлича  $f$  ва  $2\rho - f$  га тенг (309-шакл). Шунинг учун:

$$\left(\frac{l}{2}\right)^2 = f(2\rho - f);$$

$f^2$  ни ҳисобга олмасак,  $f$  учун (96.6) ни кўзда тутиб, қуйидаги ифодани ҳосил қиламиз:

$$f = \frac{l^2}{8\rho} = \frac{Pl^2}{32EI_0} \quad (96.7)$$

Бу тарзда юкланган призматик балканинг эгилиши:

$$f_0 = \frac{Pl^3}{48EI_0}$$

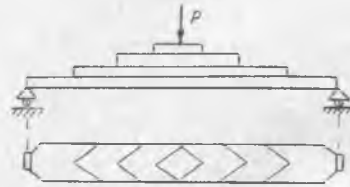
эди; шунинг учун:  $f = \frac{3}{2} f_0$  бўлаётир.

(96.7) формулани балканинг қалинлиги орқали ифодалаймиз. Унинг учун  $I_0$  нинг қийматини қуйидагича ёзамиз:

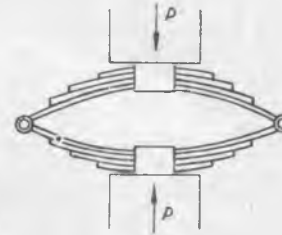
$$I_0 = W_0 \frac{h}{2} = \frac{M_0}{[\sigma]} \frac{h}{2} = \frac{Plh}{4[\sigma]};$$

бу кўзда тутилса, салқилик бундай бўлади:

$$f = \frac{[\sigma]l^2}{4Eh}$$



310- шакл.



311- шакл.

Демак, тенг қаршилиқ кўрсатувчи балканинг максимал салқилиги унинг қалинлигига тескари пропорционал бўлар экан. Эгилишга тенг қаршилиқ кўрсатувчи бу тарздаги балкалар листлардан тайёрланадиган рессораларда ишлатилади. Бундай рессораларнинг теладан кўриниши ромб шаклида бўлади (309-шакл). Қўйиладиган юкнинг миқдори етарли даражада катта бўлса, рессоранинг кенглиги жуда катта бўлиб, бундай қўпол габаритдаги элементни иншоотларга, хусусан машиналарга ўрнатиш ноқулайдир. Бундай ноқулайликни йўқотиш учун, рессора ҳалиги ромбсимон балкадан кесилган полосалардан тузилади (310-шакл). Бундай полосалардан тузилган рессора мустаҳкамлик ва бикрлик жиҳатидан, асосий балкага тахминан эквивалент бўлади. Чунки уларнинг қаршилиқ моментлари билан инерция моментлари бир хилдир.

Дарҳақиқат, ҳалиги асосий ромб  $n$  та полосага ажратилса, ҳар қандай  $i$ -полоса учун  $W_i$   $I_i$  қуйидагича бўлади:

$$W_i = \frac{bh^2}{6} = \frac{b}{n} \cdot \frac{h^2}{6}; \quad I_i = \frac{bh^3}{12} = \frac{b}{n} \cdot \frac{h^3}{12}.$$

Бундан рессора учун:

$$W_0 = \sum_{i=1}^n \frac{bh^2}{6} = \frac{h^2}{6} \sum_{i=1}^n b_i = \frac{bh^2}{6},$$

$$I_0 = \sum_{i=1}^n \frac{bh^3}{12} = \frac{h^3}{12} \sum_{i=1}^n b_i = \frac{bh^3}{12}.$$

Агар полосалар орасидаги нишқаланиш катта бўлмаса, бунда усулда тузилган рессоранинг салқилиги асосий балканинг салқилигидан фарқ қилмайди. Одатда, бундай рессорани салқилигининг йўналишига тескари томон-

га қараб бирмунча букилган ҳолда жуфтлаб ўрнатадилар. Бундай тадбир натижасида, қўйилган юк таъсиридан рессора янада кўп деформацияланиш қобилиятига эга бўлади (311-шакл). Шу муносабат билан рессора кўпроқ энергияни узига қабул қилиш имкониятига эга бўлади.

МАСАЛАЛАР

109. Кенглиги ўзгармас  $b$  га тенг, кўндаланг кесими тўғри тўрт бурчакли консол балка икки қисмдан иборат бўлиб, уларнинг баландлиги тегишлича  $h_0$  ва  $h$  га тенгдир (312-шакл).  $\frac{h}{h_0}$  ва  $\frac{a}{l}$  нисбатларнинг қандай қийматида балканинг мустаҳкамлик шартлари қаноатлантирилган ҳолда, балка минимал оғирликка эга бўлади? Масалани қуйидаги икки ҳол учун ечиш лозим:

1. Консол учига тўпланма  $P$  куч қўйилган.
2. Балканинг бутун бўйига тенг ёйилган юк қўйилган.

Ечиш. Тўпланган юк таъсир этган ҳолда мустаҳкамлик шarti қуйидагича ёзилади:

$$\frac{M_0}{W_0} = \frac{M}{W} \quad \text{ёки} \quad \frac{Pl}{bh_0^2} = \frac{Pa}{bh^2}, \quad \text{бундан:} \quad \frac{a}{l} = \frac{h^2}{h_0^2} \quad (1)$$

Бу муносабатни кўзда тутиб, балканинг оғирлигини қуйидагича ифодалаймиз:

$$G = \left[ h_0 l - (h_0 - h)a \right] b\gamma = \left[ h_0 - (h_0 - h) \frac{h^2}{h_0^2} \right] lb\gamma \quad (2)$$

Балканинг оғир-енгиллиги  $h$  га боғлиқ бўлади. Шунинг учун,  $G$  дан  $h$  га нисбатан ҳосила олиб,  $\frac{h}{h_0}$  ва  $\frac{a}{l}$  муносабатларини аниқлаймиз:

$$\frac{dG}{dh} = \frac{3h^2}{h_0^2} - \frac{2h}{h_0} = 0; \quad \frac{h}{h_0} = \frac{2}{3}; \quad \frac{a}{l} = \frac{4}{9}.$$

Худди шу ҳилдаги мулоҳаза билан иккинчи ҳол учун ҳам масаланинг жавобини олаемиз:

$$\frac{h}{h_0} = \frac{a}{l} = \frac{1}{2}.$$

110. Пулат листдан ишланган балка ўзгарувчи кесимли бўлиб, 313-шаклда кўрсатилганидек, бир учи билан қисилиб тиралган, бошқа учига эса  $P$  юк қўйилган. Мазкур юк қўйилган томондаги  $C$  нуқтанинг пасайиши аниқлансин. Балканинг барча ўлчамлари шаклда кўрсатилган.

Ечиш.  $C$  нуқтанинг пасайиши уч қисмдан иборат:

1.  $B$  нуқтанинг пасайиши,  $y$ :

$$i_1 = \frac{Pl^3}{2EI} + \frac{Pl^3}{3EI} = \frac{5Pl^3}{6EI} \quad (1)$$

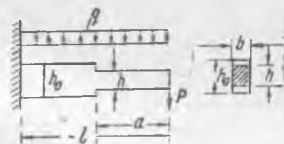
бўлади.

2.  $B$  кесимининг бурилиши натижасида,  $C$  нуқтанинг пасайиши,  $y$ :

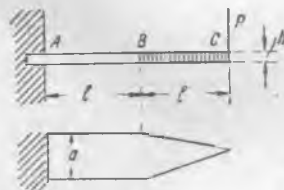
$$i_2 = \theta_B l = \frac{3Pl^3}{2EI} \quad (2)$$

бўлади, чунки:

$$\theta_B = \frac{Ml}{EI} + \frac{Pl^2}{2EI} = \frac{Pl^2}{EI} + \frac{Pl^2}{2EI} = \frac{3Pl^2}{2EI}.$$



312-шакл



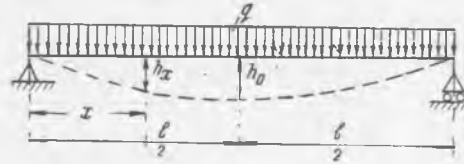
313-шакл.

3. BC қисмининг эгилиши натижасида C нуқтанинг пасайиши

$$f_3 = \frac{Pl^3}{2EI} \quad (3)$$

булади. C нуқтанинг тула пасайиши мана бундай:

$$f = f_1 + f_2 + f_3 = \frac{17Pl^3}{6EI}$$



314-шакл.

111. Икки учи билан таянчга эркин тиралган балкага 314-шаклда кўрсатилганидек, ёйилган юк қўйилган. Туғри тўртбурчак кесимли балка тенг қаршилиқ кўрсатувчи шаклда булиши учун, кундаланг кесимининг кенлиги ( $b$ ) ўзгармаса, унинг баландлиги ( $h$ ) балканинг узунлиги бўйича қандай қонун билан ўзгариши лозим?

Жавоби:

$$h_x^2 = \frac{4h_0^2}{l^2} (l-x)x.$$

□

## XIV боб

### СТАТИК АНИҚМАС БАЛКАЛАР ҲИСОБИ

#### 97-§. Ортиқча боғланишлар

Балканинг мувозанатини таъмин этадиган таянч реакцияларини аниқловчи параметрларнинг сони мувозанат тенгламаларининг сонига тенг бўлганда масала статик аниқ, параметрларнинг сони мувозанат тенгламалари сонидан ортиқ бўлганда эса масала статик аниқмас бўлади. Қўпинча, конструкция элементларидан яхшироқ фойдаланиш учун, яъни уларнинг бикрлигини ошириб, эгилишга мойиллигини камайтириш учун қўшимча боғланишлар киритиш зарурати туғилади. Масалан икки таянчга эркин тиралган балканинг салқилигини камайтириш учун оралиғига қўшимча таянч қўйилса, балканинг салқилиги камайиб, бикрлиги ошади. Шу билан бирга, унда қўшимча реакция ҳосил бўлиб, масала статик аниқмас бўлади (315-шакл,  $a$  ва  $b$ ). Ёки бир учи билан қисилиб тиралган балканинг бошқа эркин учи қўшимча таянчга эркин ёки қисилиб тиралса, балканинг эгилишга мойиллиги анча камайиб, бикрлиги анча ошади, шу билан бирга масала статик аниқмас бўлиб қолади (316-шакл,  $a$ ,  $b$  ва  $c$ ). Икки учи билан эркин тиралган ва тенг ёйилган юк таъсирида бўлган балканинг максимал салқилиги:

$$f = \frac{5ql^4}{384EI}$$

бўлади, учлари қисилиб тиралган ҳол учун бу балканинг максимал салқилиги:

$$f_1 = \frac{ql^4}{384EI}$$

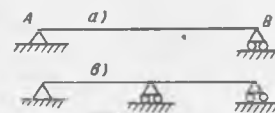
дир. Қўраимизки, балканинг учлари айланмайдиган қилиб қўйилиши натижасида, унинг максимал салқилиги беш марта камайиб, бикрлиги шунча кўпайди. Статик аниқмас балкалар, асосан, қуйидагилардан бирига мос келади.

1. Балка бир неча (иккитадан ортиқ) таянчга тиралади (315-шакл, *b*).

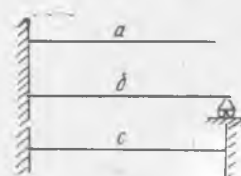
2. Бир учи билан қисилиб тирилади ва яна қўшимча битта ёки бир нечта таянчга суянади (316-шакл, *b* ва *c*).

3. Иккала учи билан қисилиб тиралган ҳолда ораллиғида ҳам таянчлар бўлиши мумкин (317-шакл).

Бу тарздаги балкалар учун таянч-реакцияларини аниқловчи параметрларнинг сони мувозанат тенгламалари сонидан ортиқдир. Шунинг учун ҳозиргина келтирилган учала схемадаги балкалар статик аниқмас балкалар қаторига киради. Статик аниқмас балкалардаги ортиқча номаълумларни аниқлаш усулларини текширишга ўтамиз.



315-шакл.



316-шакл.



317-шакл.

### 98-§. Ортиқча номаълумларни аниқлаш усуллари

Статик аниқмас балкаларга оид масалалар қуйидаги усуллар билан ечилади.

1. Балкалар деформациясини бевосита текшириш; бу тарзда қуйидаги икки усул билан статик аниқмас балкаларни ҳисоблаш мумкин:

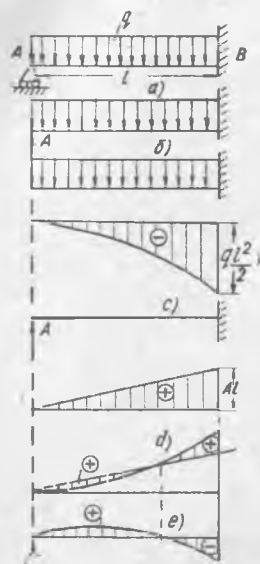
а) балка эгилган ўқининг дифференциал тенгламасини интеграллаш усули;

б) берилган статик аниқмас балкани бир нечта оддий балкаларга ажратиш, уларнинг тегишли нўқталаридаги деформацияларни ҳисоблаш усули.

2. Умуман, статик аниқмас эластик системаларни, шунингдек, статик аниқмас балкаларни махсус теоремаларни татбиқ этиб ҳисоблаш усули. Бу махсус теоремаларга асосланган усуллардан биз ҳозирча фақат уч момент теоремасига асосланган усулнинг устида тўхталиб ўтамиз. Махсус теоремаларга асосланган усуллар, асосан, деформациянинг потенциал энергияси билан боғлиқдир. Бу ҳақдаги тафсиллий маълумотларни курсимизнинг кейинги бобларда берамиз.

а) Статик аниқмас балка эгилган ўқининг дифференциал тенгламасини интеграллаш усули. Статик аниқмас балкалар учун эгилган ўқининг дифференциал тенгламалари тузилади. Бу дифференциал тенгламалар балкага қўйилган юклар билан бир қаторда, тегишли таянч реакцияларини ҳам ўз ичига олади. Балканинг ҳар қайси участкаси учун эгилган ўқ дифференциал тенгламаларининг интеграллари, номаълум реакциялар билан бирга, иккитадан ихтиёрий ўзгармасларни ўз

ичига олади. Статик аниқ балкалар учун бу ихтиёрий ўзгармасларнинг қай тартибда аниқланиши ҳақида 89-параграфда тўла маълумот берилган эди. Ортиқча номаълум реакцияларни аниқлаш учун, қуйидаги мулоҳазалар асосида қўшимча шартлар тузилади. Ортиқча номаълум реакциялар қўшимча боғланишлар натижасида ҳосил бўлади. Қўшимча боғланишларни киритиш билан балканинг тегишли нуқталарининг ёки чизиқли элементларининг кўчишлари чекланади. Мазкур боғланган нуқталар ёки чизиқли элементларнинг деформацияланишидан қўшимча чегара шартлари тузилади. Балканинг нуқта ёки чизиқли элементларининг кўчиши қанча чекланган бўлса, шунча қўшимча чегара шартини тузиш мумкин.



318-шакл.

Эгилган ўқ дифференциал тенгламаларини интеграллашда ҳосил бўлган ихтиёрий ўзгармасларни аниқлаш учун тузилган шартлар билан қўшимча чегара шартларидан чиқарилган тенгламаларни мувозанат тенгламалари билан бирга ечиш натижасида ихтиёрий ўзгармаслар ва барча таянч реакциялари аниқланади. Масалан, балканинг иккала учи қисилиб тиралган бўлса, деформация натижасида қисилиб тиралган кўнданг кесим бурилмаб, ўзининг олдинги ҳолатича қолади. Шунинг учун тегишли бурилиш бурчаклари нолга тенг бўлиб, иккита қўшимча чегара шартини беради. Бу усулни ойдинлаштириш учун қуйидаги масалани ечамиз.

112-масала. Чап учи эркин тиралган, ўнг учи эса қисилиб тиралган балкага тенг ёйилган юк қўйилган (318-шакл). Таянч реакциялари ( $A$  ва  $B$ ) билан реактив момент ( $M_B$ ) аниқлансин.

Ечиш. Эгилган ўқнинг дифференциал тенгламасини тузамиз. Чап таянчдан  $x$  масофадаги кесим учун эгувчи момент:

$$M = Ax - \frac{qx^2}{2}$$

бўлади. Шунинг учун:

$$EI \frac{d^2w}{dx^2} = Ax - \frac{qx^2}{2}.$$

Бу тенгламанинг интегралини ёзамиз:

$$EI \frac{dw}{dx} = A \frac{x^2}{2} - \frac{qx^3}{6} + C_1;$$

$$EIw = A \frac{x^3}{6} - \frac{qx^4}{24} + C_1x + C_2.$$

Ихтиёрий ўзгармас ( $C_1$  ва  $C_2$ ) ни ҳамда таянч реакцияси ( $A$ ) ни аниқлаш учун қуйидаги шартларни оламиз:

$$x = 0 \text{ бўлганда, } w = 0; \quad (1)$$

$$x = l \text{ бўлганда, } w = 0; \quad (2)$$

$$x = l \text{ бўлганда, } \frac{dw}{dx} = 0. \quad (3)$$

Бу учта шартдан қуйидаги учта тенгламани чиқарамиз:

$$C_2 = 0; A \frac{l^2}{6} - \frac{ql^3}{24} + C_1 = 0; A \frac{l^2}{2} - \frac{ql^3}{6} + C_1 = 0;$$

бу тенгламалардан:

$$A = \frac{3}{8} ql; C_1 = -\frac{ql^3}{48}.$$

Реакция ( $B$ ) билан реактив момент ( $M_B$ ) ни мувозанат тенгламаларидан аниқлаймиз:

$$A + B = ql; -Bl + M_B + \frac{ql^2}{2} = 0$$

булардан:

$$B = -\frac{5}{8} ql; M_B = \frac{pl^2}{8}.$$

Балкага қўйилган юклар балкани бир неча участкага ажратган тақдирда ҳам, ихтиёрий ўзгармасларнинг сони иккитадан ошмайди, уларни балка учларининг тиралиш шартларидан аниқлаш бизга маълум.

б) Статик аниқмас балкани статик аниқ балкаларга ажратиб ечиш усули. Статик аниқмас балка характерли нуқталарининг деформациялари маълум бўлган бир нечта содда балкаларга ажратилса, кўшимча тенгламаларни тузиш жуда осонлашади. Бунинг учун маълум типдаги юклар таъсирида бўлган статик аниқ балкалар характерли кесимларининг бурилиш бурчаклари ва салқиликлари олдиндан ҳисобланган бўлиши лозим. Биз энг типик юклар таъсиридаги статик аниқ балкаларнинг эгилган ўқи тенгламаларини, характерли кесимларида ҳосил бўладиган бурилиш бурчакларини ва салқиликларини ҳамда максимал эгувчи момент ва кесиб ўтувчи кўчларининг қийматларини XII бобда келтирдик.

Статик аниқмас балкалар оддий балкаларга ажратилиб қуйидаги тартибда ечилади:

1) Статик аниқмас балкадаги ортиқча боғланишлар ташланиб, уларнинг таъсири тегишли реакция ёки реактив моментлар билан алмаштирилади.

2) Балкага таъсир қилувчи юклар шундай энг оддий гурупларга ажратиладики, уларга тегишли деформацияларни балканинг характерли кесимлари учун, справочниклардан аниқлаш ёки бевосита ҳисоблаш жуда осон бўлсин.

3) Номаълум реакциялар ва балкага қўйилган юклар таъсиридан ҳосил бўладиган бурилиш бурчаклари ҳамда салқиликларнинг ифодаси тузилади.

4) Номаълум реакциялар қўйилган кесимлар учун деформациянинг мослик шартлари тузилади. Абсолют бикр таянчлар учун тегишли деформациялар нолга тенг бўлади. Агар таянчлар эластик бўлса (деформацияга мойил бўлса), уларнинг деформациялари ҳалиги юк ва реакциялар таъсиридан ҳосил бўладиган деформацияга тенг бўлади.

5) Деформацияларнинг мослик шартларидан чиқарилган тенгламалар мувозанат тенгламалари билан бирга ечилиб, барча номаълум реакциялар аниқланади.

Баён этилганларни ойдинлаштириш учун юқорида келтирилган 113-масалани шу усулда ечамиз.  $A$  таянчни ташлаб, унинг таъсирини тегишли реакция ( $A$ ) билан алмаштирамиз (318-шакл,  $a$ ). Балканинг чап учи  $A$  таянчга тиралмиганда, у  $f_1$  ча пасайган бўлар эди, аммо таянч балканинг

учини  $f_1$  ча пасайишига қўймайди. Демак, таянч реакцияси ( $A$ ) шундай миқдордаги кучки, у балканинг учини юқорига қараб сон жиҳатидан  $f_1$  га тенг бўлган  $f_2$  миқдорга кўтаради. Деформация натижасида балканинг чап учи ( $A$ ) пасаймаганидан,  $f_1 + f_2 = 0$  бўлиши керак.  $f_1$  ва  $f_2$  нинг қийматини 318-шакл,  $b$ ,  $c$  схемаларга мувофиқ 89-параграфдаги 90-масаладан келтириб қўямиз:

$$f_1 = -\frac{ql^4}{8EI}, \quad f_2 = \frac{Al^3}{3E}.$$

Буларнинг қийматини юқоридаги тенгламага қўйсақ  $A$  нинг қиймати қуйидагича бўлади:

$$A = \frac{3}{8}ql.$$

$B$  реакция билан  $M_B$  реактив моментни мувозанат тенгламаларидан олдиндагидек аниқлаймиз.

Статик аниқмас балкалар учун барча реакциялар юқорида айтнлган усуллардан фойдаланиб аниқлангач, тегишли эпюралар чизилиб, балканинг мустақамлигини таъмин этувчи кўндаланг кесим ўлчамлари максимал эгувчи момент ва кесиб ўтувчи кучлар қийматига мувофиқ танланади. Масалан, юқорида чиқарилган 114-масала учун эгувчи моментлар эпюраси балкага таъсир этувчи ёйилган юклар ва  $A$  реакция учун алоҳида чизилган (318-шакл,  $b$  ва  $c$ ) эпюраларни қўшиб умумий эпюрани ҳосил қиламиз. 318-шакл  $d$  да бу қўшиш тасвирланган. кейин бу эпюра координата ўқларининг йўналишига мувофиқлаб тасвирланган (318-шакл,  $e$ ).

### МАСАЛАЛАР

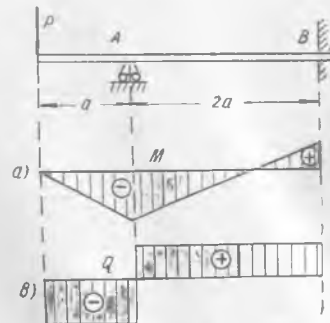
113. Бир учи билан қисилиб тиралган балканинг бошқа учига 319-шаклда курсатилгандек  $P = 10 \text{ т}$  юк қўйилган.

Бу балка чап учидан  $a = 2 \text{ м}$  ва ўнг учидан  $2a = 4 \text{ м}$  масофадаги таянчга суяниб туради. Бу балка учун эгувчи моментлар ва кесиб ўтувчи кучлар эпюралари ясалсин. Рухсат этилган кучланиш  $[\sigma] = 1000 \text{ кг/см}^2$ ; қўш таврли кесим танлансин ва юк қўйилган нуқтанинг салқилиги аниқлансин.

Ечиш. Масалани эгилган ўқнинг универсал тенгламалари (91.3) ва (91.4) дан фойдаланиб ечамиз. Олдин иккита мувозанат тенгласини тузамиз, улар:

$$A + B = P. \quad (1)$$

$$M_B + 2Aa - 3Pa = 0 \quad (2)$$



319-шакл.

бўлади.

Универсал тенгламалардан фойдаланишдан олдин, таянчлардаги деформация шартларини аниқлаб оламиз.  $x = a$  бўлганда,  $w_A = \theta$ .

Шунингдек,  $x = 3a$  бўлганда  $w_B = 0$ ;  $\theta_B = 0$ ; бу учта шартдан қуйидаги учта тенгламани оламиз:

$$w_0 + \theta_0 a - \frac{Pa^3}{6EI} = 0, \quad (3)$$

$$w_0 + 3\theta_0 a - \frac{27Pa^3}{6EI} + \frac{9Aa^3}{6EI} = 0, \quad (4)$$

$$\theta_0 - \frac{9Pa^2}{2EI} + \frac{4Aa^2}{2EI} = 0. \quad (5)$$

Бу тенгламаларни мувозанат тенгламалари (1) ва (2) билан биргачиб, бешта номмаълум  $\theta_0$ ,  $w_0$ ,  $A$ ,  $B$  ва  $M_B$  ни аниқлаймиз.

$\frac{a^3}{6EI} = \alpha$  десак, (3), (4) ва (5) тенгламалар қуйидагича ёзилади:

$$w_0 + \theta_0 a - aP = 0, \quad (3')$$

$$w_0 + 3\theta_0 a - 27\alpha P + 8\alpha A = 0. \quad (4')$$

$$\theta_0 a - 27P\alpha + 12A\alpha = 0. \quad (5')$$

Бу тенгламалардан:

$$A = \frac{7}{4}P, \quad \theta_0 = \frac{Pa^2}{EI}; \quad w_0 = -\frac{5Pa^3}{6EI}.$$

$A$  нинг қийматини (1) ва (2) тенгламаларга қўйсак,

$$B = -\frac{3}{4}P \quad \text{ва} \quad M_B = -\frac{Pa}{2}$$

келиб чиқади.

Энди, эгувчи моментлар билан кесиб ўтувчи кучлар эпюрасини чизамиз. Бунинг учун, улар ифодасини тузамиз. Биз текшираётган ҳолда балка иккита участкадан иборат; шунинг учун:

$$M_1 = -Px; \quad M_2 = -\frac{P}{4}(7a - 3x);$$

$$Q_1 = -P; \quad Q_2 = \frac{3}{4}P.$$

Бу тенгламаларга тегишли эпюралар 319- шакл,  $a$  ва  $b$  да тасвирланган. Курамизки энг катта эгувчи момент  $M_{\max} = Pa$  бўлаётир. Бу моментга тегишли қўш таврнинг номери ни аниқлаймиз:

$$W = \frac{M_{\max}}{[\sigma]} = \frac{10 \cdot 000 \cdot 200}{1000} = 2000 \text{ см}^3.$$

Ёйма пўлатлар учун тузилган соримент жадвалидан  $W_x = 2080 \text{ см}^3$  қўш таврли профилни оламиз. Бунга тегишли номер 50<sup>с</sup> дир.

114. Икки учи билан қисилиб тиралган балканинг чап учидан то ўртасигача тенг ёйилган юк қўйилган. Ёйилган юкнинг интенсивлиги  $q = 2 \text{ т/м}$  бўлиб, балканинг узунлиги  $l = 4 \text{ м}$ . Эгувчи моментлар ва кесиб ўтувчи кучлар эпюраси ясалсин ҳамда максимал эгувчи моментнинг қиймати ҳисоблансин (320- шакл).

Е ч и ш. Бу масалани ҳам эгилган ўқнинг универсал тенгласини татбиқ қилиб ечамиз. Олдин мувозанат тенгламаларини тузамиз:

$$A + B = \frac{ql}{2}, \quad (1)$$

$$-M_A + M_B + \frac{ql^2}{8} - Bl = 0. \quad (2)$$

Универсал тенгламадан фойдаланиш учун қуйидагиларни кўзда тутамиз:  $x = 0$  бўлганда,  $w_0 = 0$ ,  $\theta_0 = 0$ . Ундан ташқари,  $x = l$  бўлганда,  $w_B = 0$ ,  $\theta_B = 0$ . Бу шартлар қуйидаги иккита тенгламани беради:

$$48M_A + 24Al - 7ql^2 = 0 \quad (3)$$

$$4 \cdot 48M_A + 4 \cdot 16Al - 15ql^2 = 0. \quad (4)$$

Мазкур (3) ва (4) тенгламалардан:

$$A = \frac{13}{32}ql; \quad M_A = \frac{11}{192}ql^2.$$

бўлади. Буларни (1) ва (2) га қўйсак,  $B$  ва  $M_B$  нинг қийматини топамиз:

$$B = \frac{3}{32}ql; \quad M_B = \frac{5}{192}ql^2.$$

Энди, эгувчи момент ва кесиб ўтувчи кучлар ифодасини тузиш қийин эмас. Балка иккита участкадан иборат. Шунинг учун:

$$M_1 = A_x - M_A - \frac{qx^2}{2} = \frac{ql}{192}(78x - 11l) - \frac{qx^2}{2}; \quad Q_1 = \frac{13}{32}ql - qx;$$

$$M_2 = -M_B + B(l-x) = -\frac{ql}{192}(13l-18x); \quad Q_2 = -\frac{3}{32}ql.$$

булади. Бу тенгламаларга тегишли эпюралар 320-шакл,  $a$  ва  $b$  да тасвирланган. Ясалган эпюрада энг катта эгувчи момент:

$$M_{\max} = \frac{11}{192}ql^2$$

булади.

115. Юқорида келтирилган масала графоаналитик усулда ечилсин.

Ечиш. Қислиб гиралган кесимлар эркин тиралса, балка таянч моментлари ( $M_A$ ,  $M_B$ ) ва ёйилган юклар таъсирида булади (321-шакл). Ҳар кайси куч таъсирини алоҳида текшираимиз. У ҳолда иккита содда балкани оламиз. Улар 321-шакл,  $a$ ,  $b$  да тасвирланган. Иккала балканинг уч кесимлари бурилиш бурчакларини аниқлаймиз.

321-шакл,  $a$  даги балка учун олдин эгувчи момент эпюрасини чизиб, унинг юзини ва оғирлик маркази ҳолатини аниқлаймиз. Эпюра юзи балканинг ярмисигача парабола билан чегараланган юз бўлиб, балканинг иккинчи ярмисида учбурчакдир. Парабола қисмининг юзини  $\Omega_1$  десак, у:

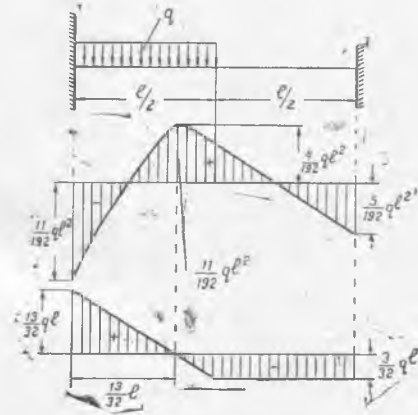
$$\Omega_1 = \int_0^{\frac{l}{2}} \left( \frac{3}{8}qlx - \frac{qx^2}{2} \right) dx = \frac{5}{192}ql^3$$

булади.

Мазкур юзанинг оғирлик марказини топамиз. Унинг учун олдин чап таянчдан ўтувчи ўққа нисбатан статик моментни ҳисоблаймиз:

$$S = \int_0^{\frac{l}{2}} \left( \frac{3}{8}qlx - \frac{qx^2}{2} \right) x dx = \frac{3}{384}ql^4;$$

$$x_0 = \frac{3}{10}l.$$



320-шакл.

Эпюра учбурчак қисмининг юзи:

$$\Omega_2 = \frac{1}{2} \cdot \frac{l}{2} \cdot \frac{ql^2}{16} = \frac{ql^3}{64}.$$

Эпюранинг умумий юзи:

$$\Omega = \Omega_1 + \Omega_2 = \frac{8}{192}ql^3.$$

Эпюра юзасининг оғирлик маркази:

$$x_c = \frac{\Omega_1 \frac{3}{10}l + \Omega_2 \left( \frac{l}{2} + \frac{1}{3} \cdot \frac{l}{2} \right)}{\Omega} = \frac{7}{16}l.$$

321-шакл.

Энди, текширилатган балканинг фиктив реакцияларини, шу билан бирга эса учларининг бурилишини аниқлаймиз:

$$A_{\varphi} = \frac{9}{16}\Omega = \frac{9ql^3}{384}; \quad B_{\varphi} = \frac{7}{16}\Omega = \frac{7ql^3}{384};$$

$$\theta_A = \frac{9ql^3}{384EI}; \quad \theta_B = \frac{7ql^3}{384EI}. \quad (*)$$

321-шакл, *b* даги балка учун тегишли бурилиш бурчакларининг қиймати (94.5) формулаларда берилган. Уларни тегишлича (\*) билан қўшсак,  $M_A$  ва  $M_B$  ни аниқлаш учун қуйидаги икки тенгламани ҳосил қиламиз:

$$\frac{9ql^3}{384EI} + \frac{M_A l}{3EI} + \frac{M_B l}{6EI} = 0, \quad \frac{7ql^3}{384EI} + \frac{M_A l}{6EI} + \frac{M_B l}{3EI} = 0.$$

Бу тенгламалардан:

$$M_A = \frac{11}{192} ql^2; \quad M_B = \frac{5}{192} ql^2,$$

реакцияларнинг қийматини статика тенгламаларидан аниқлаймиз.

Умумий эгувчи момент эпюрасини *a*, *b* балкалар учун чизилган эгувчи моментлар эпюраларини бир-бирига қўйиш билан чиқаришимиз мумкин. У 321-шакл, *d* да тасвирланган.

116. Бир учи билан қисилиб тиралган балкага тенг ёйилган юк таъсир қилади. Эркин учидан  $\delta$  масофада таянч урнатилган (322-шакл). Шу таянчнинг реакцияси аниқлансин.

Ечиш. *A* таянчдаги деформация шартини қуйидагича ёзишимиз мумкин:

$$f_1 - f_2 = \delta,$$

$f_1$  — балкага қўйилган тенг ёйилган юк таъсиридан ҳосил бўлган салқилик;  $f_2$  — аниқланиши лозим бўлган реакция кучи (*A*) таъсиридан ҳосил бўлган салқилик. Буларнинг қийматини аниқлаб, қуйидаги тенгламани ҳосил қиламиз:

$$\frac{ql^4}{8EI} - \frac{Al^3}{3EI} = \delta;$$

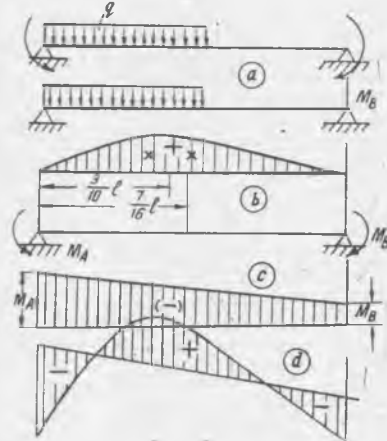
бундан:

$$A = \frac{3}{8} ql - \frac{3EI}{l^3} \delta.$$

117. Ҳеч қандай юк таъсирида бўлмаган *AB* балка иккала учи билан қисилиб тиралган.

Қуйидаги икки ҳолда балканинг қисилган кесимларида ҳосил бўладиган реактив моментлар аниқлансин:

1. Ҳанг таянч  $\theta_B$  га бурилса (323-шакл).
2. Ҳанг таянч  $\delta$  га илгариллама қўзғатилади (324-шакл).



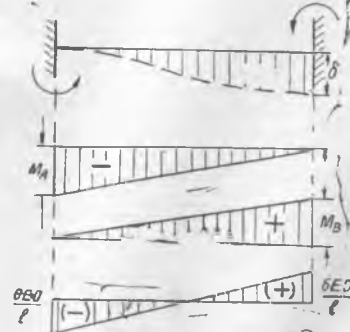
321-шакл.



322-шакл



323-шакл.



324-шакл.

Ечиш. Масаланинг биринчи ҳолдаги жавобини (94.5) формулалардан оламиз:

$$0_A = \frac{M_A l}{3EI} + \frac{M_B l}{6EI} = 0; \quad 0_B = \frac{M_A l}{6EI} + \frac{M_B l}{3EI}.$$

Булардан:

$$M_A = \frac{M_B}{2}; \quad M_B = \frac{4EI}{l} \theta_B.$$

Масаланинг иккинчи ҳолини қўйдагича ечиш мумкин. Балканинг ўнг учи вертикал йўналишда қўзғалгани учун, ундаги реакция нолга тенг, шу туфайли чап таянчдаги реакция ҳам нолга тенгдир. Мувозанат шarti  $M_A + M_B = 0$  кўринишда ёзилади. Ўнг учи кўчишининг таянч моментлари орқали ифодасини графоаналитик усулдан фойдаланиб тузамиз:

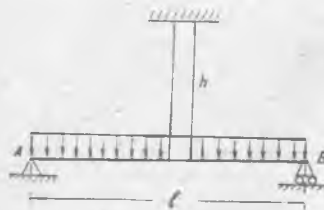
$$-\frac{1}{EI} \left[ \frac{M_A l}{2} \cdot \frac{2}{3} l + \frac{M_B l}{2} \cdot \frac{l}{3} \right] = \delta;$$

бундан:

$$M_A = -M_B = -\frac{6EI}{l^2} \delta.$$



325-шакл.



326-шакл.

118. Ўнг учи қисилиб тиралган пўлат балкага тенг ёйилган юк қўйилган бўлиб, балканинг чап учи шипга пўлат тортқи билан осилган (325-шакл). Балка кесимининг инерция momenti  $I$ , узунлиги  $l$ , тортқининг қўндаланг кесими  $F$ , узунлиги  $h$  бўлса, унда ҳосил бўладиган зўриқиш қандай?

Ечиш. Тортқи чўзилиб, балкани юқорига томон эгишга интилади. Шунинг учун балканинг А учининг пасайиши тортқининг чўзилишига тенг, яъни:

$$f_1 - f_2 = \Delta h;$$

$f_1$  — балкага қўйилган ёйиқ юк таъсиридан А нуқтанинг пасайиши;  $f_2$  — тортқида ҳосил бўладиган зўриқиш таъсиридан А нуқтанинг юқорига кўтарили-

ши;  $\Delta h$  — тортқининг абсолют чўзилиши.  $f_1$  ва  $f_2$  нинг қийматини олдий йул билан аниқлаб, тортқидаги зўриқиш  $X$  ни топамиз:

$$\frac{ql^4}{8EI} - \frac{Xl^3}{3EI} = \frac{Xh}{EF}.$$

бундан

$$X = \frac{3ql^4 F}{8(Fl^3 + 3hl)}.$$

119. Учлари билан икки таянчга тиралган пўлат балкага тенг ёйилган юк таъсир қилади. Балка пўлат тортқи билан ў тасидан юқорига тортиб қўйилган (326-шакл). Балканинг бикирлиги  $El$ , тортқиники  $EF$ ; таянч реакциялари билан тортқидаги зўриқиш аниқлансин.

Кўрсатма. Масаланинг жавобини олдинги масалада юргизилган мулоҳаза асосида оламиз:

$$A = B = \frac{3ql(Fl^3 + 128lh)}{16(Fl^3 + 48lh)}, \quad X = \frac{5ql^4 F}{8(Fl^3 + 48lh)}.$$

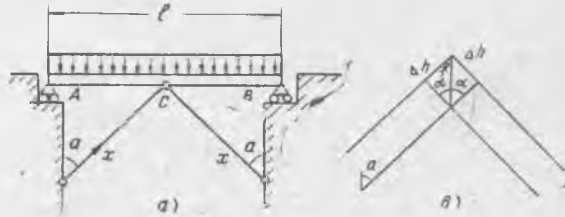
120. Қўприк балкаси киргоқларга эркин тиралган, унга тенг ёйилган юк таъсир қилади. Балканинг ўртасига, 327-шаклдагидек, тиргаклар қўйилган. Балка учун  $l, l$  ва  $a$ , тиргаклар учун  $F, \alpha$  берилган. Материал балка ва тиргаклар учун бир хилда. Тиргакларда ҳосил бўладиган зўриқиш аниқлансин.

Ечиш. Тиргаклардаги зўриқишни  $X$  десак, уларнинг тенг таъсир қилувчиси  $2X \cos \alpha$  га тенг бўлади (327-шакл, а). Балканинг ўрта кесимидаги салқилиги  $i$  билан тиргакларнинг сиқилиши  $\Delta h$  орасидаги муносабатни 327-шакл, в дан аниқлаймиз:

$$\Delta h = i \cos \alpha; \quad (*)$$

$f$  нинг қийматини оддий йўл билан ҳисоблаймиз:

$$f = \frac{5ql^4}{384EI} - \frac{2x\cos\alpha - l^3}{48EI}$$



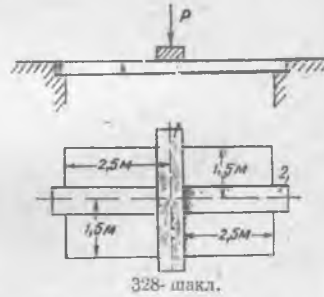
327-шакл.

Торқининг сиқилиши:

$$\Delta h = \frac{xl}{2EF\sin\alpha}$$

Буларни (\*) га қўйсак:

$$X = \frac{5ql^3\sin 2\alpha}{16 \left( 24 \frac{l}{F} + l^2\sin 2\alpha \cdot \cos\alpha \right)}$$



328-шакл.

келиб чиқади.

121. Тўғри тўрт бурчакли хонани ёгувчи иккита ёғоч балка устма-уст крестга ўхшатиб қўйилган, бу балка ўртасига таъсир қилувчи  $P = 2\text{ т}$  юкни кутариб туради (328-шакл). Балкаларнинг қундаланг кесимлари:  $h_1 = 20\text{ см}$ ;  $b_1 = 12\text{ см}$ ;  $h_2 = 30\text{ см}$ ;  $b_2 = 12\text{ см}$ . Балкаларнинг ўртасида ҳосил бўладиган ёгувчи моментлар аниқлансин.

Жавоби.  $M_1 = 867,5\text{ кгм}$ .  $M_2 = 1054\text{ кгм}$ .

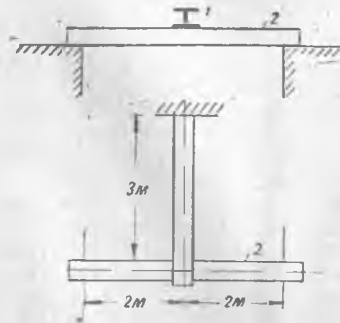
122. Юқоридаги масалада балкаларнинг учлари қисилиб тиралса, уларнинг ўртасида ҳосил бўладиган моментлар қиймати қандай ўзгаради?

Жавоби.  $M_1 = 433,7\text{ кгм}$ .  $M_2 = 527\text{ кгм}$ .

123. 10- номерли қўш таврли балка бир учи билан деворга қисилиб тиралган, бошқа учи икки таянчда ёгувчи, қундаланг кесими тўғри тўрт бурчакли ( $h = 30\text{ см}$ ,  $b = 24\text{ см}$ ) ёғоч балканинг ўртасига суялган (329-шакл). Ҳар қайси балкага интенсивлиги  $q = 100\text{ кг/м}$  бўлган тенг ёйилган юк қўйилган. Пулат балка учун  $E_n = 2 \cdot 10^8\text{ кг/см}^2$ , ёғоч балка учун  $E_{ёғ} = 10^8\text{ кг/см}^2$ . Балкаларда ҳосил бўладиган энг катта ёгувчи моментлар ва нормал кучланишлар ҳисоблансин.

Жавоби.  $M_1 = 12320\text{ кгсм}$ ;  $M_2 = 30980\text{ кгсм}$ ;  $\sigma_1 = 341\text{ кг/см}^2$ ;  $\sigma_2 = 8,6\text{ кг/см}^2$ .

124. Консол (AB) нинг B учига P куч қўйилган бўлиб, у қалта консол (DC) га суялиб туради (330-шакл). Иккала консолнинг материали ва қундаланг кесим ўлчамлари бир хил. Консолларнинг C нуқтадаги ўзаро босими аниқлансин.



329-шакл.



330-шакл.

Ечиш. С нуқтада иккала консолнинг салқилиги бир хилла. С нуқтага тегишли салқиликларни иккала балка учун алоҳида аниқлаб, уларни тенглаштирамиз:

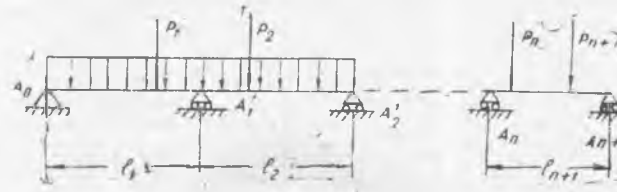
$$\frac{Xl_1^3}{3EI} = \frac{P}{EI} \left( \frac{l_1^2}{2} - \frac{l_1^3}{6} \right) - \frac{Xl_1^3}{3EI};$$

бундан.

$$X = \frac{3P}{4} \left( \frac{l}{l_1} - \frac{1}{3} \right).$$

### 99-§. Туташ балкалар ҳисоби

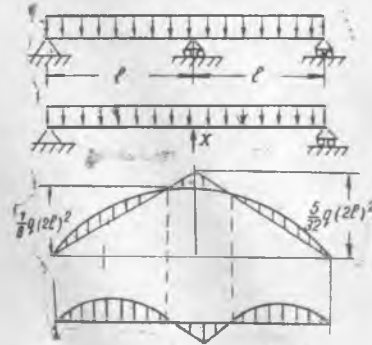
Иккитадан ортиқ таянчда ётиб, бир нечта ораликни қоплайдиган балкалар *туташ балкалар* деб аталади. Бундай балканинг фақат битта таянччи қўзғалмас деб, қолган таянчларини қўзғалувчан деб фараз қиламиз (331-шакл), яъни битта қўзғалмас таянчдан бошқа барча таянчлар горизонтал



331-шакл.

йўналишда кўча олади. Бу тарзда тузилган таянчлар учун вертикал йўналишдаги юкларга тегишли реакциялар ҳам вертикал йўналишда бўлади. Шунинг учун номаълум реакциялар сони таянчлар сонига тенг бўлади. Бу ҳолда статика фақат иккита тенглама беради, улардан иккита номаълум реакцияни аниқлаш мумкин, холос. Қолган реакциялар «ортиқча» бўлиб, уларни аниқлаш учун юқорида келтирилган усуллардан фойдаланиш мумкин.

Масалан, энг оддий ҳоллардан учта таянчда ётувчи балкани текширамиз. Ортиқча номаълум тарзида ўртадаги таянччи оламиз. Бу таянч балканинг шу таянчга суяниб турган кесимининг пасайишига йўл қўймайди. Агар бу таянччи ташлаб юборсак, икки таянчда ётувчи оддий балка ҳосил бўлади.



332-шакл.

Бундай балка учун ҳар қандай кесимдаги салқиликни ҳисоблаш кийин эмас. Шунингдек, ораликдаги таянчга тегишли кесимдаги салқиликни ҳам аниқлаш осон. Балканинг мазкур ораликдаги таянчга тегишли кесимда таянч реакцияси таъсиридан ҳосил бўладиган салқилигини мазкур кесим учун қўйилган юк таъсиридан ҳосил бўлган салқилик билан солиштириб, ораликдаги таянч реакциясини аниқлаш тенгламасини ҳосил қиламиз.

Мисол учун, иккита бир хил ораликни қопловчи тенг ёйилган юк таъсиридаги балкани оламиз (332-шакл). Ораликдаги таянччи ташлаб юборсак,

тегишли кесимдаги салқилик қуйидагича ифодаланади:

$$f = \frac{5q(2l)^4}{384EI}. \quad (*)$$

В нуқтага таянчнинг таъсирини алмаштирувчи юқорига қараб йўналган реакция ( $X$ ) ни қуйсак, бу нуқтадаги салқилик қуйидагича ифодаланади:

$$f_1 = \frac{X(2l)^3}{48EI}. \quad (**)$$

Энди,  $f$  билан  $f_1$  ни тенглаштириб,  $X$  ни топамиз:

$$\frac{5}{384} \frac{q(2l)^4}{EI} = \frac{X(2l)^3}{48EI};$$

бундан:

$$X = \frac{5}{8} ql.$$

Қолган иккита реакция статика тенгламаларидан аниқланади.

Ораликдаги таянч иккита бўлса, худди юқоридагидек мулоҳаза асосида икки номаълумли тенгламалар системасини оламиз, улар:

$$\alpha_1 X + \beta_1 Y = f_1,$$

$$\alpha_2 X + \beta_2 Y = f_2$$

кўринишда бўлади. Бунда  $\alpha_1, \alpha_2, \beta_1, \beta_2$  — маълум коэффициентлар.

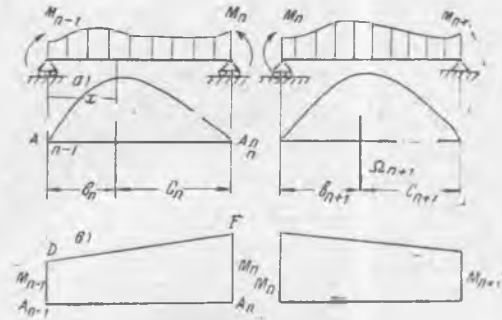
Биз текширган мисолда  $\alpha_1 = \frac{(2l)^3}{48EI}$  бўлиб  $\alpha_2 = 0, \beta_1 = \beta_2 = 0$  эди.  $f_1$  ва  $f_2$  эса ораликдаги таянч кесимларининг балкага қўйилган юклар таъсиридан ҳосил бўлган салқилигидир. Ораликдаги таянчлар бир нечта, масалан,  $n$  та бўлса,  $n$  та тенглама системасини тузишга тўғри келади. Бу хилдаги тенгламалар системасини ечиш принципнол жиҳатдан мумкин бўлса ҳам, амалий жиҳатдан жуда қийиндир. Шунинг учун туташ балкаларни ҳисоблашда бошқа усулларни излашга тўғри келади.

#### 100-§. Уч момент теоремаси

Кўп таянчда ётувчи туташ (кесилмаган) балкаларнинг ҳисобини осонлаштириш мақсадида ортиқча номаълумлар учун ораликдаги таянч реакциялар ўрнига, таянч кесимларидаги эгувчи моментларни (таянч моментларини) олиш қулайдир.

Туташ балка бир нечта таянчда ётсин.  $A_0, A_1, A_2, \dots, A_n$  орқали кетма-кет таянчларни ва  $l_1, l_2, \dots, l_n$  орқали ораликларнинг узунликларини белгилаймиз (331-шакл). Ҳар қайси ораликни таянч кесимлари бўйича кесилган деб фараз қилсак, икки таянчда ётадиган оддий балкалар ҳосил бўлади. Масалан,  $n$ -ораликни олсак, балканинг кесилмаган ҳолатда ишлаш шароитини сақлаш учун, кесилган таянч кесимлари  $A_{n-1}$  ва  $A_n$  бўйича ташлаб юборилган қисмларининг таъсирини алмаштирувчи зўриқишларни қўйишимиз лозим. Туташ балка вертикал юклар таъсирида бўлса, фикран кесиб ташланган қисмларнинг таъсирини тегишлича  $A_{n-1}$  ва  $A_n$  кесимлари марказига қўйилган битта вертикал куч билан бир жуфт кучга алмаштириш мумкинлиги статикадан маълум. Шунинг учун  $A_{n-1}$  ва  $A_n$  кесимлар бўйича кесим марказига қўйилган вертикал куч билан моментлари  $M_{n-1}$  ва  $M_n$  бўлган жуфтларни қўйиш лозим (333-шакл). Аммо вертикал кучлар бевосита таянчларга қўйилган бўлиб, ажратилган балканинг эгилишига ҳеч қандай таъсир кўрсатмайди. Шунинг учун биз ажратилган балкага бевосита

сита қўйилган юклар билан таянчлардаги номаълум моментлар ( $M_{n-1}$  ва  $M_n$ ) гагина эътибор қиламиз. Бу моментларни топиш мумкин бўлса, ажратилган балканинг мустақамлигига оид масалани ечишнинг ҳеч қандай қийинлиги қолмайди. Балканинг ҳар қандай кесими учун эғувчи момент ва кесиб ўтувчи кучлар ифодасини жуда осонлик билан туза оламиз. Таянч реакцияларини ҳам аниқлаш қийин бўлмайди.  $A_{n-1}C_nA_n$  эгри чи-



333-шакл.

зиқ билан чекланган юз  $n$ -ораликдаги юкнинг эғувчи моментини тасвирлайди, деб фараз қилайлик (333-шакл, а). Таянч моментлари ( $M_{n-1}$  ва  $M_n$ ) нинг эпюралари  $A_{n-1}DFA_n$  трапеция билан тасвирланган (333-шакл, в),  $n$ -ораликнинг чап таянчидан  $x$  масофада бўлган бирор кесимдаги эғувчи момент қуйидагича ифодаланади:

$$M_x = M_x^0 + M_{n-1} \frac{l_n - x}{l_n} + M_n \frac{x}{l_n}. \quad (100.1)$$

Бунда  $M_x^0$  орқали текширилаётган ораликдаги юкнинг эғувчи momenti белгиланди. Учлари билан таянчларга эркин тиралган балкалар учун эғувчи моментлар қандай аниқланса, бу момент ҳам худди шундай аниқланади. Ҳалиги кесимдаги кесиб ўтувчи кучнинг қиймати қуйидагича бўлади:

$$Q_x = \frac{dM_x}{dx} = \frac{dM_x^0}{dx} + \frac{M_n - M_{n-1}}{l_n} = Q_x^0 + \frac{M_n - M_{n-1}}{l_n}. \quad (100.2)$$

$Q_x^0$  — текширилаётган ораликдаги юкнинг кесиб ўтувчи кучидир. Икки таянчга эркин тиралган балка учун кесиб ўтувчи куч қандай ҳисобланса, унинг миқдори ҳам худди шундай ҳисобланади.

Қуйидаги белгиларни киритамиз:

$$[Q_x^0]_{x=0} = A_n; \quad [Q_x^0]_{x=l_n} = B_n.$$

$A_n$  ва  $B_n$  — икки таянчга тиралган  $n$ -ораликдаги оддий балкада ораликдаги юклардан ҳосил бўлган реакциялар. Булар кўзда тутилса,  $n$ -ораликнинг таянч кесимларидаги кесиб ўтувчи кучлар қуйидагича ёзилади:

$$[Q_x]_{x=0} = A_n + \frac{M_n - M_{n-1}}{l_n}; \quad [Q_x]_{x=l_n} = -B_n + \frac{M_n - M_{n-1}}{l_n}. \quad (100.3)$$

Чиқарилган бу формулаларни ҳар қандай оралик учун татбиқ қилиш мумкин. Бу формулалардан  $A_n$  таянч реакциясини ҳисоблаш учун фойдаланамиз. Бу таянч кесимнинг бевосита чап томонидаги кесиб ўтувчи куч:

$$[Q_x]_{x=l_{n-1}} = -B_n + \frac{M_n - M_{n-1}}{l_n}$$

булади.

Шунингдек, ҳалиги кесимнинг ёвосита ўнг томонидаги кесиб ўтувчи куч:

$$[Q_x]_{x=l_n+\epsilon} = A_{n+1} + \frac{M_{n+1} - M_n}{l_{n+1}}$$

булади.

$\epsilon$  — чексиз кичик оралик. Таянч кесимига чексиз яқин бўлган кесимлардаги кесиб ўтувчи бу кучларнинг айирмаси таянч кесимидаги кесиб ўтувчи кучни, яъни таянч реакцияси ( $R$ ) ни беради. (Албатта, таянчга бевосита қўйилган куч бўлмаса.) Бу реакциянинг қиймати:

$$R_n = A_{n+1} + B_n + \frac{M_{n+1} - M_n}{l_{n+1}} - \frac{M_n - M_{n-1}}{l_n} \quad (100.4)$$

булади.

Агар  $A_n$  таянчга бевосита қўйилган юк бўлса, уни (100.4) формуладан ҳисобланган реакция қийматига қўшиш лозим.

Текширилатган ораликка қўйилган юклар эпюрасининг юзини тегишлича  $\Omega_n$  ва  $\Omega_{n+1}$  билан, уларнинг оғирлик марказларининг чап ва ўнг таянчларга нисбатан вазиятини аниқловчи масофаларни  $b_n$ ,  $c_n$  ва  $b_{n+1}$ ,  $c_{n+1}$  билан белгилаймиз. У ҳолда  $n$ -ораликдаги икки таянчда ўтувчи балканинг ўнг таянчидаги кесимнинг бурилиши ( $\theta_B^{(n)}$ ) қуйидагича ифодаланлади:

$$\theta_B^{(n)} = \frac{1}{EI} \left[ \frac{M_{n-1}l_n}{6} + \frac{M_n l_n}{3} + \frac{\Omega_n b_n}{l_n} \right].$$

Бунда

$$\left( \frac{M_{n-1}l_n}{6} + \frac{M_n l_n}{3} \right)$$

$n$ -ораликнинг ўнг таянчида таянч моментларидан ҳосил бўлган фиктив реакцияси бўлиб,  $\frac{\Omega_n b_n}{l_n}$  эса шу балканинг оралигига қўйилган юклардан ҳосил бўлган фиктив реакциядир. Худди шунингдек,  $(n+1)$ -ораликдаги икки таянчга тиралган балка чап кесимининг бурилиш бурчаги ( $\theta_A^{(n+1)}$ ) ни қуйидагича ифодаalayмиз:

$$\theta_A^{(n+1)} = \frac{1}{EI} \left[ \frac{M_{n+1}l_{n+1}}{6} + \frac{M_n l_{n+1}}{3} + \frac{\Omega_{n+1} c_{n+1}}{l_{n+1}} \right].$$

$A_n$  таянч устидан ўтказилган уринма (334-шакл) иккала участканинг умумий уринмаси бўлгани учун

$$\theta_B^{(n)} = -\theta_A^{(n+1)}$$

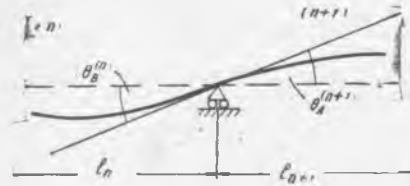
бўлиши керак, ёки:

$$\frac{M_n - l_n}{6} + \frac{M_n l_n}{3} + \frac{\Omega_n b_n}{l_n} = \frac{M_{n+1} l_{n+1}}{6} - \frac{M_n l_{n+1}}{3} - \frac{\Omega_{n+1} c_{n+1}}{l_{n+1}};$$

бундан:

$$M_{n-1}l_n + 2M_n(l_n + l_{n+1}) + M_{n+1}l_{n+1} = -6 \left( \frac{\Omega_n b_n}{l_n} + \frac{\Omega_{n+1} c_{n+1}}{l_{n+1}} \right) \quad (100.5)$$

Биз учта кетма-кет таянчдаги моментларни ўз ичига олган тенглама-ни ҳосил қилдик. Бу хилдаги тенгламаларни ҳар бир жуфт қўшни ораликлар учун тузишимиз мумкин. Натижада, туташ балканинг оралигида канча таянч бўлса, шунча тенглама оламиз. Демак, шунча таянч моментларини аниқлаш имкониятига эга бўламиз. Балканинг учлари эркин тиралган бўлса, ундаги моментлар нолга тенг бўлади. Балка кесими қисилиб тиралган бўлса, бу кесимнинг бурилиш бурчаги нолга тенг бўлиб, бу шарт, масалан, чап таянч учун қуйидагича ифодаланади:

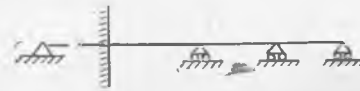


334-шакл.

$$\theta_0 = \frac{1}{EI} \left( \frac{M_0 l}{3} + \frac{M_1 l_1}{6} + \frac{\Omega_1 c_1}{1} \right) = 0$$

ёки

$$2M_0 l_1 + M_1 l_1 = -6 \frac{\Omega_1 c_1}{l_1}$$



335-шакл.

Бу шартни бошқача мулоҳаза юргизиб чиқариш ҳам мумкин. Туташ балкани фикран давом эттириб, яна бир оралик қўшамиз ва унинг учини эркин тиралади, деб фараз қиламиз (335-шакл). У ҳолда, фикран қўшилган

оралик билан қўшни ораликка уч момент тенгламасини татбиқ этиб, яна юқоридаги натижани чиқарамиз. Чиқарилган бу натижалар туташ балканинг барча ораликларида бикирлик ( $EI$ ) бир хил бўлган ҳоллар учун тўғридир.

### МАСАЛАЛАР

125. Учта бир хил ораликдан иборат туташ балкага тенг ёйилган юк қўйилган (336-шакл). Шу балка учун эғувчи момент ва кесиб ўтувчи кучлар эпюраси ясалсин.

Ечиш. Икки таянчга тиралган ва устига тенг ёйилган юк қўйилган балканинг эғувчи momenti эпюраси парабола бўлиб, унинг юзи қуйидагичадир:

$$\Omega_n = \frac{2}{3} \cdot \frac{q l_n}{8} = l_n \frac{q l_n^2}{12}$$

Оғирлик маркази эса балканинг ўртасига тўғри келади, шунинг учун

$$b_n = c_n = \frac{l_n}{2}$$

буларни (100.5) га қўйсак,

$$M_{n-1} l_n + 2M_n (l_n + l_{n+1}) + M_{n+1} l_{n+1} = -\frac{q l_n^3}{4} - \frac{q l_{n+1}^3}{4}$$

келиб чиқади. Буни текшираётган масалага татбиқ қилсак, чап ва ўнг таянчдаги моментларнинг нолга тенглигини ҳисобга олганимизда, биринчи жуфт қўшни ораликлар учун қуйидаги тенгламани ҳосил қиламиз:

$$4M_1 l + M_2 l = -\frac{q l^3}{2}$$

Ўртадаги оралик ваки четдаги ораликка нисбатан симметрик бўлгани учун:  $M_1 = M_2$  бўлади.

Шунинг учун юқоридаги тенгламадан:  $M_1 = -\frac{q\ell^2}{10}$  ни ҳосил қиламиз. Бу момент ва қўйилган юкларга тегишли эғувчи момент эпюраси 336- шакл, а да тасвирланган (336- шакл, б да бу эпюра координата ўқларининг йуналишига мослаштирилган).

1- таянч реакциясини ҳисоблаймиз:

$$R_0 = \frac{q\ell}{2} - \frac{q\ell^2}{10} \cdot \frac{1}{\ell} = \frac{4}{10} q\ell.$$

2- таянч реакциясини ҳисоблаймиз:

$$R_1 = q\ell + \frac{q\ell^2}{10} \cdot \frac{1}{\ell} = \frac{11}{10} q\ell.$$

Кесиб ўтувчи кучга тегишли эпюра 336- шакл, с да тасвирланган.

126. Битта консолли уч ораликли балка 337- шаклдагидек юкланган. Шу балканинг эғувчи momenti ва кесиб ўтувчи кучи эпюралари ясалсин ва таянч реакциялари аниқлансин.

Е ч и ш. Ораликдаги таянч иккита бўлиб, ортиқча номатъумлар сони ҳам иккита булгани сабабли уларни аниқлаш учун иккита тенглама тузамиз. Биринчи жуфт ораликлар учун:

$$M_0 l_1 + 2M_1(l_1 + l_2) + M_2 l_2 = -6 \left( \frac{\Omega_1 q_1}{l_1} + \frac{\Omega_2 c_2}{l_2} \right) \quad (*)$$

Иккинчи ва учинчи ораликлар учун:

$$M_1 l_1 + 2M_2(l_2 + l_3) + M_3 l_3 = -6 \left( \frac{\Omega_2 b_2}{l_2} + \frac{\Omega_3 c_3}{l_3} \right) \quad (**)$$

Биз текшираётган ҳолда:

$$M_0 = 0, M_3 = -P_3 l_3 = -3 \text{ тм.}$$

337- шакл, а дан:

$$\Omega_1 = \frac{2}{3} \cdot 6 \cdot \frac{1 \cdot 6^3}{8} = 18 \text{ тм}^2; b_1 = 3 \text{ м.}$$

$$\Omega_2 = \frac{1}{2} \cdot 4 \cdot \frac{3}{4} \cdot 5 = 7,5 \text{ тм}^2; b_2 = \frac{7}{3} \text{ м.}; c_2 = \frac{4+1}{3} = \frac{5}{3};$$

$$\Omega_3 = 8 \text{ тм}^2; c_3 = 2 \text{ м}$$

ларни олаимиз. Булар кўзда тутилса, юқоридаги (\*) ва (\*\*) тенгламалар қуйидагича ёзилади

$$80M_1 + 16M_2 = -291,$$

$$16M_1 + 64M_2 = -153.$$

Бу тенгламаларни ечиб,  $M_1$  ва  $M_2$  ларнинг қийматини топамиз:

$$M_1 = -3,32 \text{ тм.}; M_2 = -1,56 \text{ тм.}$$

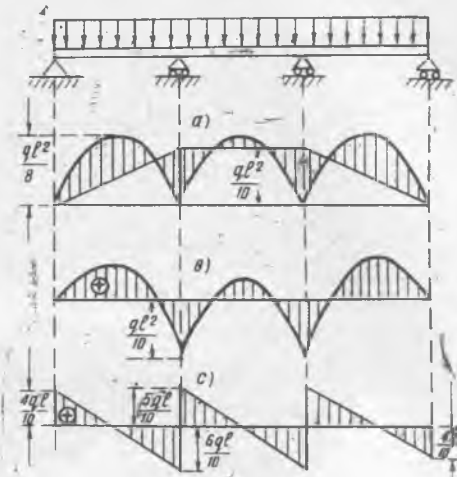
Эғувчи моментлар билан кесиб ўтувчи кучлар эпюрасини яшаш учун (100.1) ва (100.2) тенгламалардан фойдаланамиз.

1 оралик учун:

$$M_x^I = M_1^0 + M_0 \cdot \frac{l_1 - x}{l_1} + M_1 \cdot \frac{x}{l_1}$$

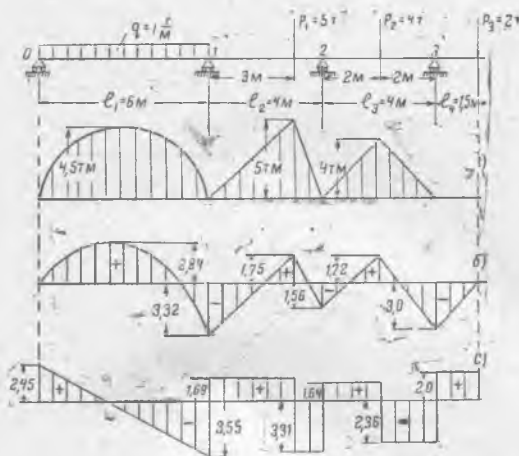
ёки

$$M_x^I = 3x - \frac{x^2}{2} - \frac{3,32}{6} x = 2,45x - 0,5x^2;$$



336- шакл.

$x = 0$  бўлганда,  $M_x^I = 0$ ;  $x = \frac{l_1}{2} = 3\text{ м}$  бўлганда,  $M_x^I = 2,84\text{ тм}$ ;  $x = l_1 = 6\text{ м}$  бўлганда,  $M_x^I = -3,32\text{ тм}$ ;  $Q_x^I = 3 - x - \frac{3,32}{6} = 2,45 - x$ ;  $x = 0$  бўлганда,  $Q_x^I = 2,45\text{ т}$ ;  $x = l_1 = 6\text{ м}$  бўлганда,  $Q_x^I = -3,55$ ;  $Q_x^I = 2,45 - x = 0$ ;  $x = 2,45\text{ м}$  бўлганда,  $Q_x^I = 0$  булар экан.



337- шакл.

II оралик учун:

$$M_x^{II} = M_x^0 + M_1 \frac{l_2 - x}{l_2} + M_2 \frac{x}{l_2}.$$

Биринчи участка учун:

$$M_x^{II} = 1,69x - 3,32; \quad x = 0, \quad M_x^{II} = -3,32\text{ тм};$$

$$x = 3\text{ м}, \quad M_x^{II} = 1,75\text{ тм}; \quad Q_x^{II} = 1,69\text{ т}.$$

Иккинчи участка учун:

$$M_x^{II} = 11,68 - 3,31x;$$

$$x = 4\text{ м}, \quad M_x^{II} = -1,56\text{ тм}, \quad Q_x^{II} = -3,31\text{ т};$$

III оралик учун:

$$M_x^{III} = M_x^0 = M_3 \frac{l_3 - x}{l_3} + M_4 \frac{x}{l_3}.$$

Биринчи участка учун:

$$M_x^{III} = 1,64x - 1,56; \quad x = 0, \quad M_x^{III} = -1,56\text{ тм};$$

$$x = \frac{l_3}{2} = 2\text{ м}, \quad M_x^{III} = 1,72\text{ тм}; \quad Q_x^{III} = 1,64\text{ т}.$$

Кейинги иккита участка учун тегишли тенгламаларни тузишни ўқувчиларимизнинг ўзларига тавсия этамиз.

Бу тенгламалардан фойдаланиб тузилган эпюралар 337- шаклнинг (б) ва (с) қисмларида тасвирланган.

Таянч реакцияларини (100.4) формуладан аниқлаймиз:

$$R_1 = A_1 + \frac{M_1}{l_1} = \frac{ql_1}{2} + \frac{M_1}{l_1} = \frac{1 \cdot 6}{2} + \frac{3,32}{6} = 2,45 \text{ т.}$$

$$R_2 = A_2 + B_2 + \frac{M_2 - M_1}{l_2} - \frac{M_1}{l_1} = \frac{ql_1}{2} + \frac{P_1 b_1}{l_2} + \frac{M_2 - M_1}{l_2} - \frac{M_1}{l_1} = 5,24 \text{ т.}$$

$$R_3 = A_3 + B_2 + \frac{M_3 - M_2}{l_3} - \frac{M_2 - M_1}{l_2} = 4,95 \text{ т.}$$

$$R_4 = B_3 + P_3 - \frac{M_3 - M_2}{l_3} = 4,36 \text{ т.}$$

Аниқланган таянч реакцияларининг тўғрилигини кесиб ўтувчи кучлар эпюрасидан текшириб куриш мумкин:

Дарҳақиқат, 1-таянчдаги кесиб ўтувчи куч:

$$Q_x^I = 2,45 \text{ т} = R_1;$$

Иккинчи таянчда:

$$Q_x^{II} - Q_x^I = 1,64 + 3,55 = 5,24 \text{ т} = R_2.$$

Учинчи таянчда:

$$Q_x^{III} - Q_x^{II} = 1,64 + 3,31 = 4,95 \text{ т} = R_3.$$

Тўртинчи таянчда эса:

$$Q_x^{IV} - Q_x^{III} = 2,0 = 2,36 = 4,36 \text{ т} - R_4$$

булади.

127. Уч ораликли туташ балканинг иккига консоли бўлиб, 338-шаклда кўрсатилгандек юкланган. Эгувчи момент эпюрасини ясаб, таянч реакцияларини аниқланг.

Е ч и ш. Бу балканинг иккала томонида ҳам консол бўлгани учун, биринчи ва охириги таянчлардаги моментлар нолга тенг бўлмайди, улар 1-таянчда:

$$M_0 = -\frac{qa^2}{2} = -1,62 \text{ тм.}$$

4-таянчда:

$$M_3 = -3 \text{ тм}$$

булади.

Биринчи жуфт ораликлар учун уч момент тенгласини ёзамиз:

$$M_0 l_1 + 2M_1 (l_1 + l_2) + M_2 l_2 = -6 \frac{ql^3}{24}.$$

Иккинчи жуфт ораликлар учун:

$$M_1 l_2 + 2M_2 (l_2 + l_3) + M_3 l_3 = -6 \frac{Pa}{2} (l - a).$$

Берилган рақамларни қўйсак, юқоридаги тенгламалар қуйидагича ёзилади:

$$18M_1 + 4M_2 = -23,15,$$

$$4M_1 + 20M_2 = -27.$$

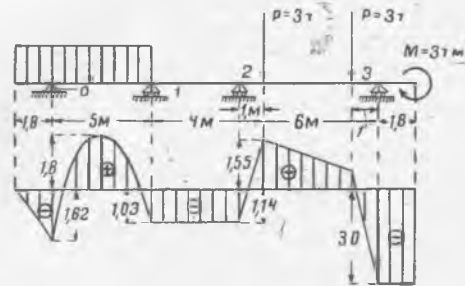
Бу тенгламаларни ечсак,  $M_1 = -1,03 \text{ тм}$ ,  $M_2 = -1,14 \text{ тм}$  келиб чиқади. Буларга тегишли эгувчи моментлар эпюраси 338-шаклда тасвирланган.

Таянч реакцияларини аниқлаймиз.  $R_0$  ни аниқлаш учун иккинчи таянчнинг чап томонидаги куч ва жуфтларнинг 2-таянчга нисбатан моментлари йиғиндисини нолга тенглаштирамиз:

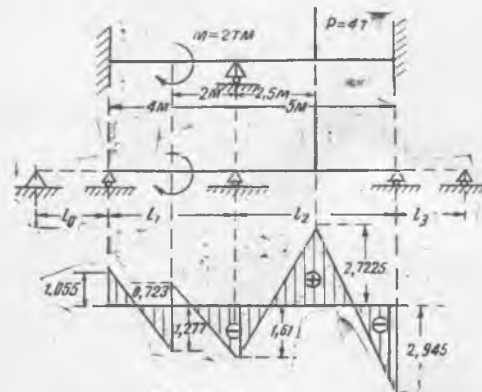
$$\Sigma M_B = 5R_0 - 1 \cdot 6,8 \cdot 3,4 + 1,03 = 0,$$

бундан:

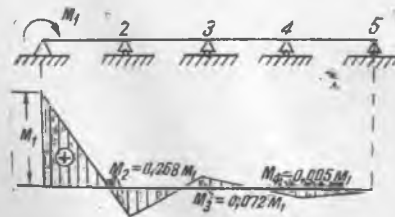
$$R_0 = 4,42 \text{ т.}$$



338- шакл.



339- шакл.



340- шакл.

Учинчи таянчнинг чап томонидаги куч ва жуфтларнинг моментларини нолга тенглаштирамиз:

$$\Sigma M_c = 4,42 \cdot 9 - 1 \cdot 6,8 \cdot 7,4 + 1,14 + 4R_1 = 0;$$

бундан:

$$R_1 = 2,35 \text{ т}$$

Учинчи таянчнинг ун-томонидаги куч ва жуфтларнинг моментларини нолга тенглаштирамиз:

$$\Sigma M_c = 3 - 6R_3 - 1,14 + 3 \cdot 5 + 3 \cdot 1 = 0;$$

бундан:

$$R_3 = 3,31 \text{ т.}$$

Барча кучларнинг ва реакцияларнинг йиғиндисини нолга тенглаштирамиз:

$$\Sigma P = 6,8 + 3 + 3 - 4,42 - 2,35 - 3,31 + R_2 = 0;$$

$$R_2 = 2,72 \text{ т.}$$

128. Иккала учи қисилиб тиралган туташ балка 339- шаклдагидек юкланган бўлиб, оралиғига таянч қўйилган. Эгувчи момент ва кесиб ўтувчи кучлар эпюраси ясалсин.

Е ч и ш. Бу масалада учта таянч momenti номаълум. Уларни аниқлаш учун учта тенглама тузиш лозим. Қисилиб тиралган таянчларнинг ун-ва чап томонларига фиктив ораликлар қўшамиз (339- шакл, а).  $l_0$  ва  $l_1$  ораликлар учун уч момент тенгламасини ёзамиз:

$$M_0 l_0 + 2M_1(l_0 + l_1) + M_2 l_1 = 6 \frac{M l_1}{24}$$

Аммо,  $M_0 = 0$  ва  $l_0 = 0$  бўлгани учун, юқоридаги тенглама бундай кўринишда ёзлади:

$$4M_1 + 2M_2 = 1. \quad (1)$$

$l_1$  ва  $l_2$  ораликлар учун:

$$M_1 l_1 + 2M_2(l_1 + l_2) + M_3 l_2 = -6 \left( \frac{M l_1}{24} + \frac{P l_2^2}{16} \right),$$

ёки:

$$4M_1 + 18M_2 + 5M_3 = -39,5.$$

$l_2$  ва  $l_3$  оралиқлар учун:

$$M_2 l_2 + 2M_3 (l_2 + l_3) + M_4 l_3 = -6 \frac{Pl_2^2}{15} \quad (2)$$

$M_4 = 0$  ва  $l_3 = 0$  бўлгани учун

$$5M_2 + 10M_3 = 37,5 \quad (3)$$

бўлади.

Бу учта тенглама системасини ечсак, қуйидагилар чиқади:

$$M_1 = 1,005 \text{ тм}; M_2 = -1,61 \text{ тм}; M_3 = -2,945 \text{ тм}.$$

Эгувчи момент ва кесиб ўтувчи кучлар эпюраларини яшаш учун (100.1) ва (100.2) дан фойдаланиб, уларнинг ифодаларини тузиш лозим. Эгувчи момент эпюраси 339-шакл, б да тасвирланган.

129. Бир неча бир хил ораликдан иборат туташ балканинг чап таянчига momenti  $M_1$  га тенг жуфт куч қўйилган (340-шакл). Шу балка учун эгувчи моментлар эпюраси ясалсин.

Ечиш. Биринчи икки оралик учун уч момент тенгламасини ёзамиз:

$$M_1 l + 2M_2 (l_1 + l) + M_3 l = 0;$$

бундан:

$$1 + 4 \frac{M_2}{M_1} + \frac{M_3}{M_1} = 0, \quad 1 + 4 \frac{M_2}{M_1} + \frac{M_3}{M_2} \cdot \frac{M_2}{M_1} = 0,$$

ёки

$$\frac{M_3}{M_1} = \frac{M_3}{M_2} = \dots = k \text{ десак, } 1 + 4k + k^2 = 0 \text{ тенгламасини ҳосил қиламиз, бундан:}$$

$$k = -2 \pm \sqrt{3}; k_1 = -0,27, k_2 = -3,73.$$

$k_1$  ни олсак таянч моментларининг қийматлари борган сари ошадй, ҳолбуки, улар таянчдан-таянчга ўтганда камая бориши керак. Шунинг учун  $k_2$  ни оламиз. Демак:

$$M_2 = -\frac{M_1}{3,73} = -0,268 M_1; \quad M_3 = -\frac{M_2}{3,73} = +0,072 M_1$$

бўлади ва ҳоказо.

Қўрамызки, таянч моментларининг қийматлари тобора камайиб боради (340-шакл).

## XV боб

### КОНСТРУКЦИЯ ЭЛЕМЕНТЛАРИНИНГ УСТИВОРЛИГИ

#### 101-§. Устивор ва устивормас мувозанатлар

Бутун курсимиз давомида иншоот ва машиналарнинг ҳар хил қисмларини турлича юкланган ҳолларда ҳисоблаш билан танишдик ва уларнинг кўндаланг кесим ўлчамларини мустаҳкамлик шартларидан аниқладик. Аммо призматик стерженлар, эгри стерженлар, шунингдек, цилиндрик ёки айланish сирти кўринишидаги идишлар (резервуарлар) фақат мустаҳкамлик шarti бузилгандагина ишдан чиқмай, балки уларга конструктор томонидан берилган муайян шакллар ўзгарганда ҳам ишдан чиқади. Бу ҳолда ҳалиги элементлардаги кучланиш ҳолатининг характери ҳам ўзгаради. Энг характерли ҳол сифатида геометрик ўқи бўйлаб қўйилган сиқувчи  $P$  куч таъсиридаги стерженни оламиз. Бундай юкланган стерженнинг мустаҳкамлик шартини

$$\sigma = \frac{P}{F} \leq [\sigma]$$

кўринишда ёзган эдик. Бу шарт ёзилганда  $\sigma$  кучланишнинг қиймати то  $\sigma_T$  ёки  $\sigma_b$  га эришгунча ҳам стержень фақат ўқи бўйлаб сиқилишга ишлайди, деб фараз қилган эдик. Аммо ингичка стерженлар учун бундай

фараз қилиш тўғри натижалар бермайди, чунки ингичка стерженлар тўғри чизиқли ҳолатини сақлаб тура олмайди. улар тасодифий сабаблар оқибатида бирор томонга эгилади (341- шакл). Бунинг натижасида сиқувчи  $P$  куч эгувчи момент ҳосил қилади. Сиқувчи кучдан ҳосил бўладиган кучланишга эгилишдан ҳосил бўладиган кучланиш қўшилади. Бу кучланишларнинг биргаликда таъсир этиши натижасида стержень устивор мувозанатини йўқотади. Шунинг учун, сиқилишга ишловчи ингичка стерженларнинг ва юпқа деворли профилларнинг мустаҳкамликнинг текширишда, мувозанатнинг устивор бўлишига ҳам албатта эътибор бериш лозим.



341- шакл.

Конструкция элементларининг мувозанати устивор бўлса, яъни олдиндан белгиланган шакли ва ҳолати ўзгармаса, қўйилган кучлар таъсиридан ҳосил бўладиган деформация, конструкция элементларининг ишлаш характерини ўзгартирмайди.

Мувозанатнинг устивор бўлишини таъмин этиш учун ингичка стерженлар мувозанатининг бузилиш сабабларини ўрганиш лозим. Бир учи билан қисилиб тиралган ингичка стержень бошқа томондан ўқи бўйлаб йўналган аста-секин ўсадиган сиқувчи  $P$  куч таъсирида бўлсин (341- шакл). Сиқувчи куч ҳали етарли даражада кичик қийматда бўлганда, стержень ўзининг тўғри чизиқли шаклини сақлайди.  $P$  кучнинг бундай қийматларида стерженга қисқа муддат ичида кўндаланг куч билан таъсир қилинганда, яъни кўндаланг йўналишда туртки берилганда ҳам, у бирмунча вақт тебраниб, яна ўзининг олдинги тўғри чизиқ шаклидаги мувозанат ҳолатига қайтади.  $P$  кучнинг миқдори катталашган сари стерженнинг ҳалигидек туртки натижасида ҳосил бўладиган тебранишдан ўзининг олдинги мувозанат ҳолатига қайтиши қийинлаша боради.  $P$  кучнинг қиймати шу даражагача олиб бориш мумкинки, унинг бу қийматида ҳалигидек туртки натижасида стержень тўғри чизиқли мувозанат ҳолатига қайтмасдан, эгилганича қолади.  $P$  кучнинг бу қийматида стерженни олдинги тўғри чизиқли ҳолатига қайтариб бўлмайди.

Сиқувчи  $P$  кучнинг бу қиймати *критик қиймат* ёки *критик куч* дейилади ва  $P_k$  билан белгиланади. Сиқувчи куч критик қийматга эришганда, призматик стержень ўзининг олдинги тўғри чизиқли шаклини сақлай олмайди. Сиқувчи  $P$  куч ўзининг критик қиймати ( $P_k$ ) га бирданига эришади. Сиқувчи кучни критик қийматидан бир оз озайтириш билан стерженни тўғри чизиқли шаклига қайтариб мувозанатни устивор қилиш мумкин. Шунингдек, бу куч бир оз кўпайтирилса, мувозанатнинг устиворлиги йўқолиб стержень яна янги эгилган шакли олади. Кўпинча, тўғри чизиқли сиқилган стерженлар устивор мувозанатининг бузилиши *бўйлама эгилиш* дейилади, чунки бу ҳолда стержень кўндаланг куч эмас, бўйлама куч таъсиридан эгилади. Критик куч ( $P_k$ ) сиқилувчи стерженда критик кучланиш ( $\sigma_k$ ) ни ҳосил қилади. Унинг қиймати

$$\sigma_k = \frac{P_k}{F} \quad (101.1)$$

бўлади. Бу кучланиш стержень учун хавфлидир.

Шунинг учун,  $P$  куч таъсирида сиқилувчи тўғри чизиқли стерженнинг устивор мувозанатини таъминлаш мақсадида, мустаҳкамлик шарти

$\sigma_{\max} = \frac{P}{F} \leq [\sigma]$  ни қаноатлантириш билан бирга, мувозанатнинг устивор бўлиш шarti

$$\sigma = \frac{P}{F} \leq [\sigma_y] \quad (101.2)$$

ни ҳам қаноатлантириши зарур. Бунда  $[\sigma_y]$  — устиворлик учун рухсат этилган кучланиш; бу кучланиш:

$$[\sigma_y] = \frac{\sigma_k}{n_y}$$

бўлади; бунда  $n_y$  — устиворлик запас коэффициенти.

### 102-§. Критик кучни аниқлаш учун Эйлер формуласи

Критик кучланиш ( $\sigma_k$ ) ни ҳисоблаш учун критик куч ( $P_k$ ) ни аниқлаш лозим. Бу масалани биринчи бўлиб 1744 йилда Л. Эйлер ечган эди. Бу масала курсимиз давомида ечилган масалалардан ўзининг қўйилиш жиҳатидан тамоман фарқ қилади. Ҳозиргача призматик стерженларда қўйилган юклар таъсиридан ҳосил бўладиган деформацияларни аниқлаган бўлсак, энди сиқувчи  $P$  кучнинг қандай қийматида стерженнинг тўғри чизиқли ўқи маълум эгри чизиқ шаклини олиб, шу кўринишда мувозанатда бўлишини текшираемиз.

Учлари шарнир воситаси билан туташтирилган ва кўндаланг кесими бутун узунлиги бўйича ўзгармайдиган призматик стерженни олиб, унга ўқи бўйлаб йўналган сиқувчи  $P$  кучни қўямиз (342-шакл). Сиқувчи куч  $P = P_k$  бўлганда, стержень бикирлиги минимал бўлган текисликда тўғри чизиқли ҳолатидан бир оз огдирилса, у эгилади ва бу ҳолатда мувозанатда бўлади. Стерженнинг деформацияси жуда кичик бўлганидан, қўйилган масалани ечиш учун эгилган ўқнинг тақрибий дифференциал тенгламасидан фойдаланишимиз мумкин. Координата ўқларининг йўналишини 342-шаклда тасвирланганидек танлаб, эгилган ўқ дифференциал тенгламасини қуйидагича ёзамиз:

$$EI_{\min} \frac{d^2 w}{dx^2} = M(x).$$

Координаталар бошидан  $x$  масофадаги кесимни оламиз. Эгилган ўқнинг уша кесимдаги ординатаси  $w$  бўлсин, у ҳолда бу кесимдаги эгувчи момент:

$$M = -Pw$$

бўлади. Юқорида келтирилган дифференциал тенглама қуйидагича ёзилади:

$$EI_{\min} \frac{d^2 w}{dx^2} = -Pw. \quad (102.1)$$

Бу тенгламанинг иккала томонини  $EI_{\min}$  га бўлиб,  $\frac{P}{EI_{\min}} = k^2$  десак, тенглама қуйидагича ёзилади:

$$\frac{d^2 w}{dx^2} + k^2 w = 0. \quad (102.2)$$

Бу тенглама математик маятник ҳаракатининг дифференциал тенгламасига ўхшайди, шунинг учун унинг умумий интегрални қуйидагича ёзилади:



342-шакл.

$$w = A \sin kx + B \cos kx. \quad (102.3)$$

Бу ифода учта номаълумни, яъни  $A$ ,  $B$  ва  $k$  ўзгармасларни ўз ичига олади.

Стержень учларининг бириктирилиш шarti қуйидаги икки тенгламани беради:

$A$  нуқтада,  $x = 0$  бўлганда, салқилик  $w = 0$  бўлади;

$B$  нуқтада,  $x = l$  бўлганда, салқилик  $w = 0$  бўлади.

Биринчи шартдан:  $B = 0$ ; шунинг учун, эгилган ўқнинг тенгламаси қуйидагича ёзилади:

$$w = A \sin kx. \quad (102.4)$$

Иккинчи шартдан:

$$A \sin kl = 0 \quad (102.5)$$

тенгламани ҳосил қиламиз. Бу тенгламадан:

$$A = 0 \text{ ёки } \sin kl = 0$$

келиб чиқади.

$A$  нолга тенг бўлиши мумкин эмас, чунки бу ҳолда стерженнинг ўқи тўғри чизиқлигича қолади ва бу масала шартига зид бўлади. Шунинг учун  $\sin kl = 0$  бўлади. Бу тенглама  $k$  учун қуйидаги чексиз кўп илдишларни беради:

$$kl = 0, \pi, 2\pi, \dots, n\pi; \quad (102.6)$$

$n$  — ҳар қандай бутун сон; бундан:  $k = \frac{n\pi}{l}$ . Аммо

$$k^2 = \frac{P}{EI_{\min}} \text{ бўлгани учун } \frac{P}{EI_{\min}} = \frac{n^2\pi^2}{l^2}.$$

бундан:

$$P = \frac{EI_{\min} \pi^2}{l^2} \cdot n^2. \quad (102.7)$$

Бундан кўраимизки, стерженни эгилган ҳолатда мувозанатда тутиб турувчи куч назарий жиҳатдан бир неча қийматга эга бўлар экан. Аммо бўйлама эгилишини вужудга келтирувчи ўқ бўйлаб йўналган сиқувчи кучнинг минимал қийматини аниқлаш амалий жиҳатдан муҳим аҳамиятга эгадир. Шу туфайли сиқувчи  $P$  кучнинг  $n = 1$  бўлгандаги қийматини олиш зарур. Эгилган ҳолдаги мувозанатни таъмин этувчи сиқувчи кучнинг энг кичик қиймати

$$P_k = \frac{\pi^2 EI_{\min}}{l^2} \quad (102.8)$$

бўлади. Бу формула Эйлер формуласи деб аталади. Эгилган ўқнинг бунга оид шакли қуйидагича ифодаланади:

$$w = A \sin \frac{\pi x}{l}. \quad (102.9)$$

Бунда  $A$  нинг қиймати аниқсизлигича қолади. Унинг қийматини аниқлаш қийин эмас:  $x = \frac{l}{2}$  бўлганда,  $w_{\max} = A$  бўлади.

Демак,  $A$  — терженнинг ўртасидаги салқилиги экан. Бунинг қиймаги ни аниқлаш учун эгилган ўқ дифференциал тенгламасини

$$\frac{1}{\rho} = \frac{d\theta}{ds} = \frac{M}{EI_{\min}}$$

кўринишда олиш керак. Аммо бу тенгламани интеграллаш мураккаб математик аппаратни талаб қилгани сабабли биз уни интегралламай қолдирамиз. Бундан ташқари, олдимизга қўйилган масалада эгилган ўқнинг тенгламасини аниқлаш талаб ҳам қилинмайди.

Критик  $P_k$  кучни аниқлагач унга тегишли критик кучланиш ( $\sigma_k$ ) ни ҳам ҳисоблашимиз мумкин.  $\sigma_k$  нинг қийматини ҳисоблашдан олдин, стерженнинг кўндаланг кесими юзасининг инерция моментини инерция радиуси орқали ифодалаймиз:  $I_{\min} = Fr_{\min}^2$ ; бу кўзда тутилса,  $\sigma_k$  қуйидагича ифодаланади:

$$\sigma_k = \frac{P_k}{F} = \frac{\pi^2 EI_{\min}}{l^2 F} = \frac{\pi^2 E r_{\min}^2}{l^2} = \frac{\pi^2 E}{\left(\frac{l}{r_{\min}}\right)^2} \quad (102.10)$$

$\frac{l}{r_{\min}}$  нисбат стерженнинг *эгилювчанлиги* деб аталади. Берилган материал учун эластиклик модули ( $E$ ) ўзгармас деб қаралса, (102.10) нинг сурати ўзгармас сон бўлади. У ҳолда критик кучланиш ( $\sigma_k$ ) эгилювчанлик  $\left(\frac{l}{r_{\min}}\right)$  нинг функцияси бўлади.

### 103-§. Учлари турлича маҳкамланган стерженлар учун критик куч ифодаси

Биз юқорида учлари шарнирлар воситаси билан маҳкамланган стержень учун критик куч ва кучланишни аниқладик. Бошқа кўринишларда маҳкамланган стерженлар учун критик куч ва кучланиш ифодасини кўриниш жиҳатидан худди (102.8) ва (102.10) га ўхшаш формулалар шаклида олишимиз мумкин. Агар стержень тўғри чизиқли мувозанат ҳолатидан чиқарилса, у бир нечта ярим тўлқинлардан иборат мувозанат ҳолатларга ўтади. Масалан, биз текширган ҳолда  $P$  нинг минимал қиймати учун  $n = 1$  эди. Турлича маҳкамланган ҳолларда  $n$  нинг қийматини мувофиқлаб танлаш лозим. Бунинг учун (102.7) формуладан фойдаланамиз. У формулани қуйидагича ёзишимиз мумкин:

$$P_k = \frac{\pi^2 EI_{\min}}{\left(\frac{l}{n}\right)^2} \quad (103.1)$$

$\frac{l}{n} = l'$  — ҳар ярим тўлқиннинг узунлиги; бу узунликини келтирилган узунлик деб, уни қуйидагича ифодалаш мумкин:

$$l' = \frac{l}{n} = \mu l; \quad \text{бунда } \mu = \frac{1}{n}.$$

У ҳолда (103.1) қуйидагича ёзилади:

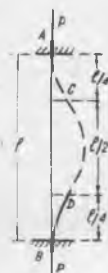
$$P_k = \frac{\pi^2 EI_{\min}}{(l')^2} \quad (103.2)$$

Бу формула (102.7) формуладан ҳеч нарса билан фарқ қилмайди, фақат стерженнинг ҳақиқий узунлиги ( $l$ ) ўрнига келтирилган узунлик ( $l'$ ) қу-

йилган. ( $\mu$ ) коэффициенти стержень учларининг таянчларда маҳкамланиш турларини назарга олувчи узунлик коэффициенти деб аталади. Энди, турли



343- шакл.



344- шакл.

усуллар билан маҳкамланган стерженлар учун  $\mu$  нинг қийматларини аниқлаймиз. Масалан, бир учи билан қисилиб тиралган стерженни оламиз (343- шакл). Буни 342- шакл билан солиштирадик, ярим тўлқин  $2l$  узунликка мос келади. Шунинг учун  $l' = 2l$ ;  $\mu = 2$

Иккала учи билан қисилган стерженни олсак (344- шакл), ярим тўлқин стерженнинг  $\frac{l}{2}$  узунлигига тўғри келади; шунинг узун:  $l' = \frac{l}{2}$ ;  $\mu = \frac{1}{2}$ .

Қуйидаги жадвалда турлича маҳкамланган стерженлар учун  $\mu$  нинг қийматлари берилган.

Учлари турли усуллар билан маҳкамланган стерженлар учун  $\mu$  нинг қийматлари

| Маҳкамланиш усуллари  | $\mu$ |
|---|-------|
| Стерженнинг иккала учи шарнир воситаси билан маҳкамланган.      | 1     |
| Стерженнинг бир учи қисилиб тиралган.                           | 2     |
| Стерженнинг иккала учи қисилиб тиралган.                        | 0,5   |
| Стерженнинг бир учи шарнир билан ва бошқа учи қисилиб тиралган. | 0,7   |

Бундан кўрамызки, узунлик коэффициенти ( $\mu$ ) ёрдами билан ҳар қандай турдаги таянчлар учун критик кучни аниқловчи формуланинг ифодасини асосий формула кўринишида ёзиш мумкин экан. Критик кучланиш муайян турдаги таянчлар учун қуйидагича ифодаланади:

$$\sigma_k = \frac{P_k}{F} = \frac{\pi^2 E I_{\min}}{F (l')^2} = \frac{\pi^2 E}{\left(\frac{l'}{r_{\min}}\right)^2} \quad (103.3)$$

Эгилувчанлик  $\left(\frac{l'}{r_{\min}}\right)$  ни ҳисоблашда келтирилган узунлик  $l' = \mu l$  ни таянч турларига мослаб олиш лозим.

#### 104- §. Эйлер формуласининг татбиқ этилиш чегараси

Критик кучланиш ( $\sigma_k$ ) ни аниқловчи (103.3) формуланинг сурати ўзгармас сондир, чунки  $E$  ҳар бир материал учун пропорционаллик чегарасигача ўзгармайди. Тўғри бурчакли координаталар системасини олиб, абсцисса ўқи бўйлаб эгилувчанлик  $\left(\frac{l'}{r_{\min}}\right)$  ни, ордината ўқи бўйлаб критик кучланиш ( $\sigma_k$ )

ни қўйсақ, (103.3) тенглама гиперболоа чизиғи билан тасвирланади (345-шакл). Бу чизиқ Эйлер гиперболоаси дейилади.

Эгилувчанлик  $\left(\frac{l'}{r_{\min}}\right)$  нинг ҳар бир

қиймати учун  $\sigma_k$  нинг тегишли қиймати гиперболанинг ординатаси билан ўлчанади. Масалан, пўлат Ст. 3 учун  $E = 2 \cdot 10^6$  кг/см<sup>2</sup>,  $\pi^2 \approx 10$  деб қабул қилинса,

эгилувчанлик  $\left(\frac{l'}{r_{\min}}\right)$  нинг қиймати 150,

100, 80 ва 50 бўлганда  $\sigma_k$  нинг қиймати тегишлича 870, 2000, 3300 кг/см<sup>2</sup> га тенг бўлади. Аммо пўлат Ст. 3 учун пропорционаллик чегараси  $\sigma_n = 2000$  кг/см<sup>2</sup> бўлади, шунинг учун Эйлер формуласи (103.3) дан аниқланадиган  $\sigma_k$  нинг

қиймати, шу чегарадан ошмаслиги керак. Чунки у формула чиқарилганда Гук қонуни асос қилиб олинган эди, яъни стерженнинг эгилган ўқини аниқлаш учун Гук қонуни асосида чиқарилган дифференциал тенгламадан фойдаланилган эди. Шунинг учун Эйлер формуласидан факат пропорционаллик чегарасигача фойдаланишимиз мумкин, яъни  $\sigma_k \leq \sigma_n$  шарт бузилмаслиги керак. Бу шартни (103.3) га қўйиб, Эйлер формуласидан фойдаланиш чегарасини аниқлаймиз:

$$\sigma_k = \frac{\pi^2 E}{\left(\frac{l'}{r_{\min}}\right)^2} \leq \sigma_n \quad (104.1)$$

бундан:

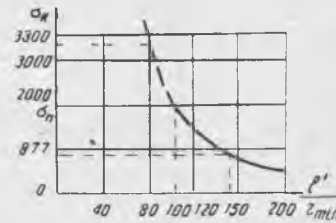
$$\frac{l'}{r_{\min}} \geq \sqrt{\frac{\pi^2 E}{\sigma_n}} \quad (104.2)$$

Эгилувчанлик  $\frac{l'}{r_{\min}}$  бу чегарадан пастда бўлса,  $\sigma_k$  ни Эйлер формуласидан аниқлаб бўлмайди. Масалан, пўлат Ст. 3 учун Эйлер формуласининг татбиқ қилиниш чегараси  $\frac{l'}{r_{\min}} \geq 100$  бўлса, Ст. пўлат Ст. 5 учун  $\sigma_n = 3000$  кг/см<sup>2</sup> бўлганидан,  $\frac{l'}{r_{\min}} \geq 85$  дир; чўян учун  $\frac{l'}{r_{\min}} \geq 80$ ; карағай ёғоч учун 110 ва ҳоказо.

$\sigma_k$  тегишли пропорционаллик чегарасидан ошиб кетса

$$\frac{l'}{r_{\min}} = \left(\frac{\mu l}{r_{\min}}\right) < \sqrt{\frac{\pi^2 E}{\sigma_n}}$$

бўлади. Бу ҳолда эластиклик модули ( $E$ ) пропорционаллик чегарасидан юқорида бўлгани учун ўзгарувчи миқдор бўлади. Шу сабабли, критик кучланиш ( $\sigma_k$ ) нинг қиймати Эйлер гиперболасининг тегишли ординаталарига караганда бирмунча кичик бўлади. Бундай кучланиш стерженда пластик деформация ҳосил қилади. Пропорционаллик чегарасидан кейин критик кучланишнинг қиймати, асосан, эксперимент йўли билан аниқланади. Ҳозирги даврда пластиклик назариясининг айниқса Совет Иттифоқидаги ғараққиёти бу масалани назарий жиҳатдан ечишга имкон берса ҳам, биз бу китобда назарий текширишлар усули устида тўхтамасдан, эксперимент йўли билан чиқарилган натижаларгагина эътибор берамиз.



345- шакл.

Критик кучланишнинг қийматини пропорционаллик чегарасидан кейин битта формула билан ифодалаб бўлмайди. Масалан, калта стерженлар учун эгилювчанлик  $\frac{l'}{r_{\min}}$  нинг қиймати 0 дан 30—40 гача ўзгаради; бундай стерженлардаги сиқувчи кучланиш, асосан, оқиш чегараси ( $\sigma_T$ ) га ёки мустақамлик чегараси ( $\sigma_b$ ) га эришиш натижасида, сиқилувчи стерженни ишдан чиқаради. Шунинг учун эгилювчанлиги 30 ÷ 40 орасида ўзгарадиган стерженларнинг устивор мувозанати ҳақида фикр юргизиш ортиқчадир.

Сиқилишдаги стерженлар икки хил шароитда ишлайди: калта стерженлар юк кўтариш қобилиятини сиқилиш натижасида ҳосил бўладиган кучланишнинг қиймати  $\sigma_T$  ёки  $\sigma_b$  га эришуви натижасида йўқоғса, ингичка, узун стерженлар тўғри чизиqli устивор мувозанат ҳолатидан оғиши натижасида юк кўтариш қобилиятини йўқотади. Демак, стерженнинг бўйлама ўлчами билан кўндаланг ўлчамлари нисбатининг ўзгариши унинг ишдан чиқиш характерини тамомила ўзгартирар экан. Эгилювчанлик 30 ÷ 40 дан юқори бўлган, яъни (104.1) шартни қаноатлантирмайдиган ҳолни олайлик. Масалан, пўлат Ст. 3 учун эгилювчанлик 40 ÷ 100 чегарада ўзгарадиган конструкция элементлари тажрибада жуда кўп учрайди. Бу чегарада ҳосил бўладиган критик кучланишнинг қиймати пропорционаллик чегарасига тегишли кучланишдан баланд бўлиб, оқиш чегарасидан пастдир. Бу чегарада критик кучланишнинг қийматини аниқлаш учун жуда кўп тажрибалар ўтказилган. Энг муҳим хулосалар чиқаришга эришганлардан бири профессор Ф. Ясинскийдир. Бу олим ўзи ўтказган тажрибалар асосида бир қанча материаллар учун эгилювчанлик  $\left(\frac{l'}{r_{\min}}\right)$  нинг турли қийматларига тегишли  $\sigma_k$  нинг жадвалларини тузди. Мазкур жадваллар сиқилишдаги стерженларнинг устиворлигини текширувчи назариянинг асоси бўлиб қолди. Ўтказилган тажрибалар критик кучланишнинг қиймати пропорционаллик чегарасидан паст бўлган ҳолларда Эйлер формуласининг тўғрилигини тасдиқлайди. Эгилювчанлиги «ўртача» қийматга эга бўлган ҳоллар учун профессор Ф. Ясинский қуйидаги эмпирик формулани тавсия этди:

$$\sigma_k = a - b \left( \frac{l'}{r_{\min}} \right). \quad (104.3)$$

$a$  ва  $b$  коэффициентлар сиқилувчи стерженнинг материалига ва эгилювчанлиги  $\left(\frac{l'}{r_{\min}}\right)$  га боғлиқ коэффициентлардир. Турли материаллар учун  $a$  ва  $b$  нинг қийматлари қуйидаги жадвалда берилган.

Эмпирик формула коэффициентларининг жадвали

| Материал     | $\frac{l'}{r_{\min}}$ | $a, \text{ кг/см}^2$ | $b, \text{ кг/см}^2$ |
|--------------|-----------------------|----------------------|----------------------|
| Қарағай ёғоч | < 110                 | 293                  | 1,94                 |
| Чўян         | < 80                  | 7760                 | 12,0                 |
| Пўлат Ст. 3  | < 105                 | 3100                 | 11,4                 |
| Пўлат Ст. 5  | < 89                  | 3350                 | 6,2                  |



$[\sigma_y]$  билан  $[\sigma]$  орасидаги муносабатни аниқлаш учун уларнинг нисбатини оламиз:

$$\frac{[\sigma_y]}{[\sigma]} = \frac{\sigma_k n}{\sigma_t n_y}; \quad \text{ёки} \quad [\sigma_y] = \frac{\sigma_k}{\sigma_t} \cdot \frac{n}{n_y} [\sigma];$$

$[\sigma]$  олдидаги коэффициентни

$$\frac{\sigma_k \cdot n}{\sigma_t \cdot n_y} = \varphi \quad (105.5)$$

орқали белгилаймиз. У ҳолда  $[\sigma_y]$  учун қуйидаги ифодани оламиз:

$$[\sigma_y] = \varphi [\sigma]; \quad (105.6)$$

бунда  $\varphi$  — сиқилиш учун олинган рухсат этилган кучланишни камайтирувчи коэффициент. Бу коэффициент  $\sigma_k$ ,  $\sigma_t$ ,  $n$  ва  $n_y$  га боғлиқ. Аммо ҳар бир материал учун  $\sigma_t$ ,  $n$  ва  $n_y$  ўзгармас сон бўлади. Шунинг учун  $\varphi$  ҳар бир материал учун  $\sigma_k$  нинг, демак эгилювчанлик  $\left(\frac{r}{r_{\min}}\right)$  нинг функциясидир. Эгилювчанлик  $\left(\frac{r}{r_{\min}}\right)$  нинг турли қийматлари учун  $\varphi$  нинг қийматлари ҳисобланиб, тегишли жадваллар тузилади. Иншоотларни лойиҳалашда ишлатиладиган техник справочникларда ҳар хил материаллар учун тузилган шундай жадваллар бор.

Бундай жадвалдан фойдаланиб, сиқилган элементнинг кўндаланг кесимини аниқлашимиз мумкин. Кўндаланг кесимнинг шаклини танлаб, унинг ўлчамларини тайинлаймиз. Буларга тегишли минимал инерция радиусини ҳисоблаб, эгилювчанликни аниқлаймиз. Бу эгилювчанликка тегишли  $\varphi$  нинг қийматини жадвалдан толамиз ва (105.6) формуладан  $[\sigma_y]$  ни ҳисоблаймиз. Стерженьнинг кўндаланг кесимида ҳосил бўладиган  $\sigma = \frac{P}{F}$  кучланишни устиворликни таъмин этувчи рухсат этилган кучланиш  $[\sigma_y]$  билан солиштириш лозим. Агар устиворлик шarti:

$$\sigma = \frac{P}{F} \leq [\sigma_y]$$

қаноатлантирилмаса ёки жуда катта запас билан қаноатлантирилса, кўндаланг кесим ўлчамларини ўзгартириб, ҳисобни такрорлаш лозим. Устиворлик шarti билан бирга, албатта мустаҳкамлик шartини қаноатлантириш зарур. Мустаҳкамлик шartини қаноатлантиришда энг заиф кўндаланг кесимни, масалан, парчин миҳлар воситаси билан бириктирилган элементлар учун кўндаланг кесимнинг нетто юзини олиш, яъни:

$$\sigma = \frac{P}{F_{\text{netto}}} \leq [\sigma]$$

шartни қаноатлантириш лозим. Айтилган бу фикрларни конкрет масалалар билан ойдинлаштирамиз.

### МАСАЛАЛАР

130. Учлари шарнирлар воситаси билан туташтирилган пўлат стержень учун Эйлер буйича критик куч билан рухсат этилган сиқувчи  $P$  куч аниқлансин (347-шакл). Стержень ўлчамлари  $60 \times 60 \times 8$  мм бўлган пайвандланган тўртта бурчакликдан иборат.

$$E = 2,1 \cdot 10^6 \text{ кг/см}^2;$$

$$[\sigma_c] = 1400 \text{ кг/см}^2; \quad \sigma_n = 2200 \text{ кг/см}^2.$$

Ғ. ч. и. ш. Эйлер формуласидан  $P_n$  ни аниқлаш учун  $I_{\min}$  ни ҳисоблаймиз. Бунинг учун кўндаланг кесимнинг марказий бош инерция ўқлари ҳолатини аниқлаймиз. Кўндаланг кесим

симда симметрия ўқлари бўлгани учун улар бош марказий инерция ўқлари ҳам бўлади. Уларни X ва Y десак,  $I_x = I_y$  бўлади. Ейма пўлатларнинг сортамент жадвалидан бурчакликнинг қирғоғидан ўтувчи ўқига нисбатан инерция моментини топамиз, у  $58,2 \text{ см}^4 \text{ га}$  тенг. Бутун кўндаланг кесимнинг инерция momenti:

$$I_x = 4 \cdot 58,2 = 232,8 \text{ см}^4$$

бўлади. Эйлер формуласига мувофиқ:

$$P_k = \frac{\pi^2 EI_{\min}}{l^2} = \frac{9,85 \cdot 2,1 \cdot 10^8 \cdot 232,8}{(340)^2} = 417000 \text{ кг.}$$

Ҳалиги сортамент жадвалидан кўндаланг кесим юзини аниқлаймиз:

$$F = 4 \cdot 9,03 = 36,12 \text{ см}^2.$$

Критик кучланиш:

$$\sigma_k = \frac{P_k}{F} = \frac{41700}{36,12} = 1150 < 2200 \text{ кг/см}^2$$

бўлади.

Критик кучланиш пропорционаллик чегарасидан пастда бўлгани учун, бу ҳолда Эйлер формуласидан фойдаланиш лозим.

Энди, рухсат этилган сиқувчи  $P$  куччи аниқлаймиз. Бунинг учун эгилувчанликни ҳисоблаш керак. Биз текшираётган ҳолда ҳар бир марказий ўқ бош ўқ бўлиб, унга нисбатан  $I = 232,8 \text{ см}^4$  ва  $F = 36,12 \text{ см}^2$  бўлганидан кесимнинг инерция радиуси:

$$r_{\min} = \sqrt{\frac{I}{F}} = \sqrt{\frac{2328}{36,12}} = 2,54 \text{ см,}$$

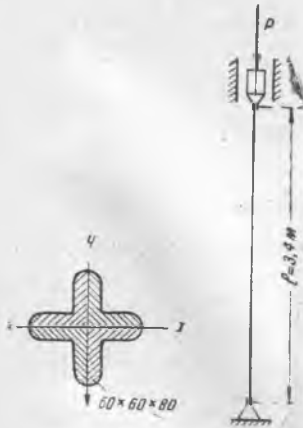
эгилувчанлик эса:

$$\frac{l'}{r_{\min}} = \frac{340}{2,54} = 134$$

бўлади.  $\varphi$  коэффициентни аниқловчи жадвалдан  $\frac{l'}{r_{\min}} = 130$  учун  $\varphi = 0,40$  ва  $\frac{l'}{r_{\min}} = 140$

учун  $\varphi = 0,36$  қийматларни оламиз. Интерполяция ёрдами билан эгилувчанлик  $\frac{l'}{r_{\min}} = 134$  учун  $\varphi$  нинг қийматини аниқлаймиз:

$$\varphi = 0,40 - \frac{0,40 - 0,36}{10} \cdot 4 = 0,40 - 0,016 = 0,384.$$



347- шакл.



348- шакл.

Устиворлик учун рухсат этилган кучланиш бундай бўлади:

$$[\sigma_y] = \varphi [\sigma_c] = 0,384 \cdot 1400 = 537 \text{ кг/см}^2.$$

Устивор мувозанатни таъмин этувчи рухсат этилган сиқувчи куч:

$$P = [\sigma_y] F = 537 \cdot 36,12 = 19400 \text{ кг}$$

бўлади. Бу ҳол учун устиворлик коэффициенти:

$$n_y = \frac{P_k}{P} = \frac{41700}{19400} = 2,15$$

бўлади.

131. Призматик стержень бутун узунлиги бўйича эритиб уланган иккита тенг ёқли бурчакликдан иборат бўлиб,  $P = 24 \text{ т}$  сиқувчи куч таъсиридадир (348- шакл). Сиқилиш учун рухсат этилган кучланиш  $[\sigma_c] = 1400 \text{ кг/см}^2$ ; кўндаланг кесим ўлчамлари топилсин.

Ечиш. Сиқилувчи стерженнинг кўндаланг кесимида ҳосил бўладиган кучланиш ( $\sigma$ ) қуйидаги устивор мувозанат шартини қаноатлантириши лозим:

$$\sigma = \frac{P}{F} < [\sigma_y].$$

Бу тенгламада иккита номаълум бор, улар:  $F$  ва  $[\sigma_y]$ .

Шунинг учун, булардан биттасини ихтиёрй равишда танлаб олиш керак. Олинган бу миқдор орқали қолган номаълум аниқланади. Булар устиворлик ва мустаҳкамлик шартларини қаноатлантирса, масала ечилган бўлади; акс ҳолда ҳалиги ихтиёрй танланган миқдорни тегишлича ўзгартириб ҳисобни яна бошидан бошлаш лозим. Бу тарзда ҳисобни икки-уч марта такрорлаб, ниҳоят, қаноатланарли натижани топиб олиш мумкин.

Одагда, ихтиёрй танланган миқдор учун камайтирувчи коэффициент ( $\varphi$ ) нинг қиймати олинади.  $\varphi < 1$  бўлганидан, уни дастлабки ҳисоб учун  $\varphi = 0,6$  деб оламиз. У ҳолда:

$$[\sigma_y] = \varphi [\sigma_c] = 0,6 \cdot 1400 = 840 \text{ кг/см}^2.$$

Бунга тегишли юз:

$$F = \frac{P}{[\sigma_y]} = \frac{24000}{840} \approx 30 \text{ см}^2$$

бўлади.

Бунга мослаб, сортамент жадвалидан иккита  $75 \times 75 \times 10 \text{ мм}$  ўлчамли бурчакликни оламиз. Бу бурчакликларнинг юзи:  $2 \cdot 14,1 = 28,2 \text{ см}^2$ . Танланган юзнинг тўғрилигини текширишни кесимнинг минимал инерция моментини аниқлашдан бошлаймиз. Бунинг учун олдин марказий бош инерция ўқларининг ҳолатини аниқлаймиз.  $y$  ўқи кесимнинг симметрия ўқи бўлгани учун  $y$  бош ўқлардан биттаси бўлиб, кесимнинг маркази ҳам шу ўқ устида ётади. Унинг ҳолати ҳар қайси бурчакликнинг марказини туташтирувчи чизиқ ( $C_1C_2$ ) билан  $y$  ўқининг кесишган нуқтасида бўлади.  $y$  ўқига тик йўналиб, кесим марказидан ўтувчи  $x$  ўқи иккинчи бош ўқ бўлади. Энди, бу  $x$  ва  $y$  ўқларга нисбатан инерция моментлари ( $I_x$  ва  $I_y$ ) ни ҳисоблаб, улардан кичигини олиш лозим. Сортамент жадвалидан:

$$I_x = 2 \cdot 72,2 = 144,4 \text{ см}^4; I_y = 2 \cdot 142 = 284 \text{ см}^4.$$

Демак:

$$I_{\min} = 144,4 \text{ см}^4; F = 2 \cdot 14,1 = 28,2 \text{ см}^2.$$

Минимал инерция радиуси:

$$r_{\min} = \sqrt{\frac{I_{\min}}{F}} = \sqrt{\frac{144,4}{28,2}} = 2,26 \text{ см}.$$

Биз текшираётган схема учун, 103- параграфдаги жадвалга мувофиқ, келтирилган узунлик:

$$l' = \mu l = 0,7 \cdot 280 = 196 \text{ см}.$$

Эгилувчанлик:

$$\frac{l'}{r_{\min}} = \frac{196}{2,26} = 86,7.$$

Бунга тегишли камайтирувчи коэффициент ( $\varphi$ ) нинг қиймати:

$$\varphi = 0,75 - \frac{0,75 - 0,69}{10} \cdot 86,7 = 0,71.$$

Тегишли рухсат этилган кучланиш:

$$[\sigma_y] = \varphi [\sigma_c] = 0,71 \cdot 1400 = 965 \text{ кг/см}^2.$$

Стержень кесимида ҳосил бўладиган кучланиш:

$$\sigma = \frac{P}{F} = \frac{24000}{28,2} = 850 \text{ кг/см}^2.$$

Етишмайдиган кучланиш миқдори:

$$\frac{965 - 850}{965} \cdot 100\% = 12,1\%.$$

Етишмайдиган кучланишнинг бунчалик катта бўлиши масаланинг бошқа қулайроқ ечилишини излашни талаб қилади.

Иккинчи вариантда иккита  $65 \times 65 \times 10$  мм ли бурчакликни оламыз. Бизга олдинги вариантдан  $I_x$  инерция моменти минимум эканлиги маълум:

$$I_x = I_{\min} = 2 \cdot 45,8 = 91,6 \text{ см}^4,$$

$$F = 2 \cdot 12,1 = 24,2 \text{ см}^2.$$

$$r_{\min} = \sqrt{\frac{I_{\min}}{F}} = \sqrt{\frac{91,6}{24,2}} = 1,94 \text{ см.}$$

$$\frac{l'}{r_{\min}} = \frac{196}{1,94} \approx 100.$$

Бунга тегишли камайтирувчи коэффициент:

$$\varphi = 0,6; [\sigma_y] = 0,6 \cdot 1400 = 840 \text{ кг/см}^2$$

Стержень кесимида ҳосил бўладиган кучланиш:

$$\sigma = \frac{P}{F} = \frac{24000}{24,2} = 990 \text{ кг/см}^2.$$

Ортиқча кучланиш:

$$\frac{990 - 840}{840} \cdot 100\% = 17,9\%.$$

Бу қадар ортиқча кучланишга йул қўйиб бўлмайди. Шунинг учун учинчи вариантни олишга тўғри келади. Бу вариант учун  $75 \times 75 \times 8$  мм ли иккита бурчакликни оламыз. Бунинг юзи иккинчи вариантдаги  $65 \times 65 \times 10$  мм бурчаклик юзидан кичик бўлса ҳам, ammo минимал инерция моментининг қиймати ошиқдир, яъни:

$$I_x = I_{\min} = 2 \cdot 60,1 = 120,2 \text{ см}^4; F = 2 \cdot 11,5 = 23 \text{ см}^2,$$

$$r_{\min} = \sqrt{\frac{I_{\min}}{F}} = \sqrt{\frac{120,2}{23}} = 2,29,$$

$$\frac{l'}{r_{\min}} = \frac{196}{2,29} = 85,5.$$

Бунга тегишли камайтирувчи коэффициент:

$$\varphi = 0,75 - \frac{0,75 - 0,69}{10} \cdot 5,5 = 0,75 - 0,033 = 0,717.$$

Рухсат этилган кучланиш:

$$[\sigma_y] = \varphi [\sigma_c] = 0,717 \cdot 1400 = 1000 \text{ кг/см}^2.$$

Стержень кесимида ҳосил бўладиган кучланиш:

$$\sigma = \frac{P}{F} = \frac{24000}{23} = 1042 \text{ кг/см}^2.$$

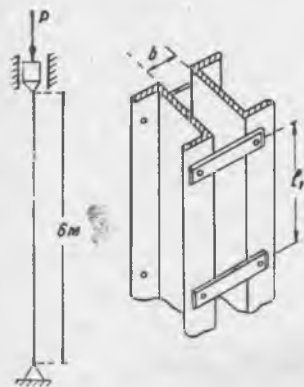
Ортиқча кучланиш:

$$\frac{1042 - 1000}{1000} \cdot 100\% = 4,2\% < 5\%.$$

Ортиқча кучланиш 5% дан кам, бу эса унча катта эмас. Демак, бу вариант ҳамма талабни тула қондиради.

132. Баландлиги  $h = 6$  м бўлган устуннинг қўндаланг кесими иккита швеллердан иборат бўлиб, учлари шарнирлар воситаси билан туташтирилган. Устунга қўйилган юк  $P = 14$  т бўлиб, устиворлик коэффициенти  $n = 4$  бўлса, унинг улчамлари қандай?

Еч иш.  $I_x = I_y$  бўлганда, швеллерлардан рационал фойдаланган бўламиз (349-шакл). Кесимнинг улчамларига тегишли масала  $I_{\min}$  ни аниқлаш билан ечилади.  $I_{\min}$  нинг қийматини Эйлер формуласидан аниқлаймиз:



349-шакл.

$$I_{\min} = \frac{P_k l^2}{\pi^2 E} = \frac{14000 \cdot 4 \cdot 360\,000}{10 \cdot 2 \cdot 10^6} \cong 1000 \text{ см}^4.$$

Битта швеллер учун:

$$I_x = \frac{I_{\min}}{2} = 500 \text{ см}^4.$$

Сортамент жадвалидан бунга мос бўлган 14<sup>а</sup> номерли швеллерни оламиз, унинг учун  $I = 564 \text{ см}^4$ ; иккита швеллер учун  $I_x = 1128 \text{ см}^4$ . Бу профил учун Эйлер формуласини татбиқ қилиш мумкинчилигини текшираемиз:

$$r = \sqrt{\frac{I_{\min}}{F}} = \sqrt{\frac{1128}{2 \cdot 18,5}} = 5,52 \text{ см.}$$

Эгилувчанлик:

$$\frac{l'}{r_{\min}} = \frac{600}{5,52} = 109 > 100.$$

Демак, Эйлер формуласини татбиқ қилиш мумкин.

Швеллерлар оралиги ( $b$ ) ни аниқлаймиз.  $I_x = I_y$  шартидан:

$$I_y = 2 \left[ 58,2 + 18,5 \left( \frac{b}{2} + 1,71 \right)^2 \right] = I_x = 1128 \text{ см}^4.$$

Бу тенгламадан:

$$b = 7 \text{ см.}$$

Устун бўйича бу ораликни таъминлаш учун швеллерлар полосалар билан боғланади (349-шакл). Белбоғ полосаларнинг оралиги ( $l_1$ ) шундай мулоҳазадан аниқланади. Полосалар оралигидаги ҳар бир швеллер учлари шарнир билан туташтирилган ҳолда  $\frac{P}{2}$  юк таъсирида мустақил ишлайди, деб Эйлер формуласидан фойдаланамиз:

$$\frac{P}{2} = \frac{\pi^2 E I}{n l_1^2},$$

бундан:

$$l_1 = \sqrt{\frac{\pi^2 E I}{\frac{P}{n}}} = \sqrt{\frac{10 \cdot 2 \cdot 10^6 \cdot 58,2}{4 \cdot 7000}} = 204 \text{ см.}$$

133. Қўш таврли устунга сиқувчи  $P = 50$  т юк қўйилган. Устуннинг баландлиги  $h = 2,5$  м бўлиб, учлари шарнирлар воситаси билан боғланган. Мустақамлик коэффициенти  $n = 3,5$  ва  $\sigma_T = 3100 \text{ кг/см}^2$  бўлса, қўндаланг кесимнинг улчамлари қандай бўлади? Еч иш. Эйлер формуласидан  $I_{\min}$  ни аниқлаймиз:

$$I_{\min} = \frac{P n l^2}{\pi^2 E} \cong 546 \text{ см}^4.$$

Сортамент жадвалидан бунга 36<sup>а</sup> номерли қўш таврли балка тўғри келади. Унинг учун  $I = 552 \text{ см}^4$ , тегишли инерция радиуси  $= 2,69 \text{ см}$ , эгилувчанлик:

$$\frac{l'}{r_{\min}} = \frac{250}{2,69} = 93 < 100.$$

Шунинг учун Эйлер формуласини татбиқ қилиб бўлмайди. Ҳисобни Ф. Ясинский формуласи асосида бажарамиз. Олдин оддий сиқилиш учун рухсат этилган кучланишни аниқлаймиз:

$$[\sigma_c] = \frac{\sigma_T}{n} = \frac{3100}{3,5} = 885 \text{ кг/см}^2.$$

Дастлабки ҳисоб учун  $\varphi = 0,6$  қабул қилиб,  $[\sigma_y]$  ни ҳисоблаймиз:

$$[\sigma_y] = \varphi [\sigma_c] = 0,6 \cdot 885 = 530 \text{ кг/см}^2.$$

$$F = \frac{P}{[\sigma_y]} = \frac{50000}{530} = 90 \text{ см}^2.$$

Қўш таврли балкалар жадвалида бунга яқини бўлган 36<sup>с</sup> номерли балка учун:

$$F = 90,9 \text{ см}^2;$$

$$r_{\min} = 2,6.$$

Буларга тегишли эгилувчанлик:

$$\frac{l'}{r_{\min}} = \frac{250}{2,6} = 95.$$

Бунга тегишли камайтирувчи коэффициент ( $\varphi$ ) ни жадвалдан интерполяция ёрдами билан аниқлаймиз:

$$\varphi = 0,645.$$

Демак:

$$[\sigma_y] = \varphi [\sigma_c] = 0,645 \cdot 885 \cong 570 \text{ кг/см}^2.$$

Бунга оид юз:

$$F = \frac{P}{[\sigma_y]} = \frac{50000}{570} \cong 88 \text{ см}^2.$$

Бу юз дастлаб танланган юздан жуда оз, яъни:

$$\frac{90 - 88}{90} \cdot 100\% = 2\%$$

фарқ қилади. Шунинг учун 36<sup>с</sup> номерли қўш таврли балка жуда ҳам мосдир.



## XVI боб

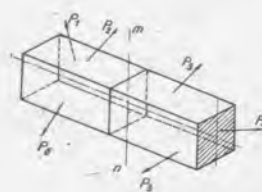
### МУРАККАБ ҚАРШИЛИК

Курсимизнинг илгари ўтган бобларида конструкция элементларида бир турдаги оддий деформацияларни ҳосил қилувчи кучлар таъсиринигина текширдик. Масалан, стерженнинг ўқи бўйлаб қўйилган кучлар таъсирида стерженда ҳосил бўладиган чўзилиш ёки сиқилиш, шунингдек, стерженнинг кўндаланг кесими текисликларида ётган жуфт кучлар таъсирида ҳосил бўладиган буралиш, стерженнинг геометрик ўқи ва кўндаланг кесимининг бош инерция ўқларидан биттаси орқали ўтувчи текисликда ётган жуфт кучлар ёки мазкур текисликда ётиб, стержень ўқига тик йўналган кўндаланг кучлар таъсирида ҳосил бўладиган эгилиш оддий деформациялардандир. Аммо амалда шундай ҳоллар ҳам учрайдики, иншоот элементларига ёки машина қисмларига юқорида келтирилган оддий деформацияларнинг бир нечтаси бир йўла таъсир қилади. Масалан, машина валлари буралиш билан

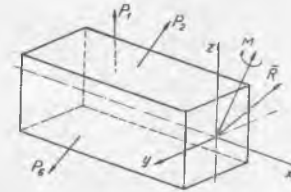
бирга эгилиши ҳам мумкин. Қўприк ва кран фермаларининг қистириб тиралган стерженлари чўзилишга қаршилик кўрсатиш билан бирга, эгилишга ҳам қаршилик кўрсатади. Қўйилган юклар таъсирида стерженларда оддий деформацияларнинг комбинациялари ҳосил бўладиган барча ҳоллар *муракқаб қаршилик* деб аталади.

#### Муракқаб қаршилик тушунчасига оид мулоҳазалар

Призматик брус унга ихтиёрий равишда қўйилган фазовий кучлар таъсирида мувозанатда бўлсин (350-шакл). Бруснинг бирор кўндаланг кесими ни олиб, брусни шу кесим орқали ўтказилган *mn* текислик билан фикран икки қисмга ажратамиз ва унинг ўнг қисмини ташлаб, чап қисмининг му-



350-шакл



351-шакл

возанатини текшираимиз. Текширилаётган қисмга ташланган қисмининг таъсирини алмаштирувчи кучларнинг тенг таъсир этувчилари қўйилган деб фараз қилсак, бу тенг таъсир этувчилар, энг умумий ҳолда, бир бош вектор билан бир бош моментдан иборат бўлади. Бу бизга назарий механиканинг статика қисмидан маълумдир. Бош векторни  $R$  ва бош моментни  $M$  ҳарфлари билан белгилаймиз (351-шакл). Бу зўриқишларнинг брусга кўрсатадиган таъсирини ва улардан ҳосил бўладиган деформация турларини аниқлаш учун олдин уларнинг махсус танланган координата ўқларидаги проекцияларини ҳисоблаймиз. Координата ўқларининг марказини кесим марказида турадиган қилиб олиб,  $y$  ва  $z$  ўқларини кесимнинг бош инерция ўқлари бўйлаб,  $x$  ўқини эса бруснинг геометрик ўқи бўйлаб йўналтирамиз. Бош вектор билан бош моментнинг мазкур ўқлардаги проекцияларини тегишлича:

$$N_x, Q_y, Q_z \text{ ва } M_x, M_y, M_z$$

ҳарфлари билан белгилаймиз. Буларнинг ҳар қайсиси, бруснинг фикран ташлаб юборилган қисмига қўйилган барча куч ва жуфтларнинг тегишли ўқларга нисбатан олинган проекциялари ва моментларининг йиғиндисига тенгдир. Масалан,  $N_x$  ташлаб юборилган қисмга қўйилган барча кучларнинг  $x$  ўқидаги проекцияларининг йиғиндисига,  $M_x$  эса ташлаб юборилган қисмга қўйилган барча кучларнинг  $z$  ўқида нисбатан олинган моментларининг йиғиндисига тенг.

Энди, бу олтита компонентдан ҳар қайсисининг брусга кўрсатадиган таъсирини алоҳида текшираимиз.  $N_x$  кесим *mn* га қўйилган чўзувчи (ёки сиқувчи) куч бўлиб,  $Q_y$  ва  $Q_z$  эса шу кесимнинг бош инерция ўқлари бўйлаб йўналган кўндаланг учлардир.  $M_x$  бруснинг геометрик ўқида нисбатан олинган момент бўлгани учун,  $y$  буровчи моментдир.  $M_y$  ва  $M_z$  эса кесимнинг бош инерция ўқларига нисбатан олинган вертикал ва горизонтал

текисликлардаги эгувчи моментлардир. Бир текисликка мос келган эгувчи момент билан қўндаланг кучнинг таъсири қўшиб текширилса,  $(M_y, Q_z)$  ва  $(M_z, Q_y)$  нинг ҳар бири оддий эгилишларни ҳосил қилади, лекин энг умумий ҳолда брус бирданига чўзилиш, буралиш ва икки бош текисликда қўндаланг эгилиш деформацияларига дуч келиши мумкин. Аммо бундай умумий ҳол кам учрайди. Амалда кўпроқ учратиладиган энг муҳим хусусий ҳоллар қуйидагилардир:

1. Мураккаб эгилиш ёки қийшиқ эгилиш (икки бош текисликда бирданига ҳосил бўладиган эгилиш).

2. Мураккаб ёки оддий эгилишнинг чўзилиш ёки сиқилиш билан бирга таъсири.

3. Мураккаб ёки оддий эгилишнинг буралиш билан бирга таъсири.

Мураккаб каршиликка онд масалаларни ечишда қуйидаги икки тип конструкциянинг фарқига бориш зарур.

1. Конструкция элементларида ҳосил бўладиган деформациялар жуда кичик бўлгани сабабли, уларга қўйилган ташқи кучлар абсолют қаттиқ жисмга таъсир кўрсатганидек ўз йўналишини ва таъсир этиш характерини ўзгартирмайди. Бундай типдаги конструкциялар *бикр конструкциялар* деб аталади.

2. Конструкция элементлари эгилувчан бўлиб, деформацияларининг миқдори шу қадарки, уларнинг куч компонентлари миқдорига ва йўналишига кўрсатадиган таъсирини ҳисобга олмай бўлмайди.

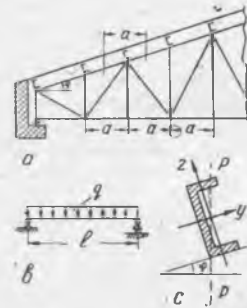
Биринчи тип конструкциялар амалда жуда кўп учрайди. Масалан, иншоот элементлари ва машина қисмлари асосан шу типдаги конструкциялар қаторига киради. Иккинчи тип конструкциялар амалда бирмунча кам учраса ҳам, улар қурилиш техникасида махсус ўрин эгаллайди. Масалан, самолёт ва дирижабль конструкцияларининг элементлари, шунингдек, ўлчаш асбобларидаги элементларнинг деформациялари маълум даражада катта бўлади.

Биринчи тип конструкция элементларини ҳисоблашда кучларнинг бир-бирига боғлиқсиз таъсир кўрсатиши принциpidан фойдаланиш мумкин, яъни конструкция элементига куч компонентларининг бир нечаси бирданига таъсир кўрсатганда уларнинг умумий таъсирини ҳар қайси алоҳида кўрсатадиган таъсирларнинг йиғиндисига тенг деб қараш мумкин. Биз бу усулни назарий механикада кучлар таъсирини қўшиш усули деган эдик. Бироқ иккинчи тип конструкция элементлари эгилувчан бўлгани сабабли, уларга кучлар таъсирини қўшиш принципини татбиқ этиб бўлмайди. Бу бобда бикр элементлардан иборат конструкциялар ҳисобига онд маълумотларгина берилди.

#### 106-§. Мураккаб эгилиш [қийшиқ эгилиш]

Қўндалангига эгилган балкаларда ҳосил бўладиган нормал кучланишларни ҳисоблашда ҳозиргача  $\sigma = \frac{M}{I_y} \cdot z$  формуладан фойдаланиб келдик. Аммо бу формуладан балкага қўйилган кучлар унинг бирор бош инерция текислигида ётгандагина фойдаланиш тўғридир. Бу ҳолда балканинг эгилган ўқи куч ётган текисликда, нейтрал ўқ эса кесимнинг иккинчи инерция ўқи бўйлаб куч текислигига тик йўналган бўлади. Тажрибада кўпинча шундай ҳоллар ҳам учрайдики, бунда балкага қўйилган кучлар унинг ўқида тик бўлган ҳолда, бош инерция ўқларидан ўтмайдиган текисликларда ётади. Шунинг учун балканинг бундай ҳоллардаги эгилиши *қийшиқ*

эгилиш деб аталади. Томларни ёпишда ишлатиладиган обрешёткаларга шундай кучлар таъсир қиладики, бу кучлар ётган текисликлар обрешёткалар кўндаланг кесимларининг бош инерция ўқлари орқали ўтувчи текисликлар билан хийлагина бурчак ҳосил қилади (352-шакл). Масалан, куч ётган  $P-P$  текислик балка кесимининг бош инерция ўқи  $oz$  билан  $\varphi$  бурчак ҳосил қилади дейлик (353-шакл). Балканинг бирор кесимидаги эгувчи момент ва кўндаланг кучлар вектори  $\vec{M}$  ва  $\vec{Q}$  бўлсин. Момент векторининг



352-шакл.



353-шакл.

куч ётган текисликка тик йўналиши назарий механика курсидан маълум. Шунинг учун, мусбат момент вектори  $\vec{M}$  куч ётган  $P-P$  текисликка тик қилиб олинди. Умуман бу вектор текширилаётган кесимнинг ўрнини аниқловчи  $x$  нинг функцияси.

Момент вектори  $\vec{M}$  ни кесимнинг бош инерция ўқлари  $y$  ва  $z$  бўйлаб иккита ташкил этувчига ажратиб, уларни  $M_y$  ва  $M_z$  ҳарфлари билан белгиласак:

$$M_y = M \cos \varphi; \quad M_z = M \sin \varphi \quad (106. 1)$$

бўлади. Кесим текислигининг биринчи чорагида координаталари  $y$  ва  $z$  бўлган бирор  $C$  нуқтани олиб, ундаги кучланишни аниқлаймиз. Бу нуқтадаги нормал кучланишни текис эгилиш учун чиқарилган формуладан фойдаланиб ҳисоблаймиз. Бунинг учун  $OXY$  ва  $OXZ$  текисликлардаги  $M_y$  ва  $M_z$  эгувчи моментлардан ҳар қайсисининг таъсирини алоҳида-алоҳида текшираимиз.  $C$  нуқтада эгувчи момент  $M_y$  таъсирида сиқувчи кучланиш ҳосил бўлади, уни қуйидаги формула билан ифодалаш мумкин:

$$-\frac{M_y}{I_y} z = -\frac{M \cdot z}{I_y} \cos \varphi.$$

бу ерда  $I_y$  — кўндаланг кесимнинг  $y$  ўқиға нисбатан инерция momenti, чунки балка  $M_y$  таъсирида эгилганда шу ўқ кўндаланг кесимнинг нейтрал ўқи бўлади.  $C$  нуқтада  $M_z$  момент чўзувчи кучланиш ҳосил қилади, бу кучланиш қуйидаги формула билан ифодаланади:

$$\frac{M_z}{I_z} \cdot y = \frac{M \cdot y}{I_z} \sin \varphi,$$

бу ерда  $I_z$  — кўндаланг кесимнинг  $z$  ўқига нисбатан инерция моменти.  $C$  нуқтадаги тула кучланиш юқорида ҳисобланган кучланишларнинг алгебраик йиғиндисига тенгдир, яъни

$$\sigma = \frac{M_z}{I_z} y - \frac{M_y}{I_y} z = M \left( \frac{y \sin \varphi}{I_z} - \frac{z \cos \varphi}{I_y} \right). \quad (106. 2)$$

$C$  нуқтани ихтиёрый равишда танлаб олдик, шунинг учун бу формула ёрдамида ҳар қандай кўндаланг кесимнинг турли нуқталаридаги кучланишларни ҳисоблай оламиз. Масалан,  $C$  нуқтани кесим юзасининг иккинчи чорагида олсак, нуқта координаталаридан  $z$  манфий ишорали, (106. 2) формуланинг иккала қўшилувчиси мусбат бўлади. Ҳақиқатан ҳам бу чоракдаги барча нуқталарда  $M_y$  ва  $M_z$  моментлар таъсирида чузувчи кучланишлар ҳосил бўлади.

Энг катта кучланишни аниқлаш учун олдин балканинг энг хавfli кесимини аниқлаб, шундан кейин бу кесимда энг катта кучланиш ҳосил бўладиган нуқтани топиш керак. Балканинг хавfli кесими ҳамма вақт эгувчи момент энг катта бўлган нуқтага тўғри келади. Бу ҳол (106. 2) формуладан яққол кўриниб турибди.

Текис эгилишда нормал кучланишга тегишли деформация кесимнинг нейтрал ўқ атрофида айланиши билан ифодаланар эди. Кесимдаги энг катта кучланган нуқтанинг нейтрал ўқдан энг узоқ масофада туриши бизга аввалдан маълум.

Биз текшираётган ҳол, яъни қийшиқ эгилишда балканинг кўндаланг кесими кесим марказида кесишувчи иккита ўзаро тик бўлган нейтрал ўқ атрофида бирданига айланаётир.

Кинематикадан маълумки, иккита кесишувчи ўқ атрофидаги айланиш ҳаракатини мазкур ўқлар кесишган нуқтадан ўтувчи бир ўқ атрофида айлантириш билан алмаштириш мумкин. Демак, қийшиқ эгилишда ҳам ҳар бир кўндаланг кесим учун шундай бир чизиқ топиш мумкин эканки, балканинг деформацияси текширилаётган кўндаланг кесими ўша чизиқ атрофида айланади. Ана шу чизиқ балканинг қийшиқ эгилиш ҳолатида текширилаётган кўндаланг кесими *учун нейтрал ўқ бўлади*. Биз шу ўқни нуль чизиқ деб оламиз ва уни  $n-n$  билан белгилаймиз (354-шакл). Нейтрал ўқдан энг узоқ нуқталарда энг катта нормал кучланишлар ҳосил бўлади. Шунинг учун қийшиқ эгилишда кўндаланг кесимнинг энг кучланган нуқтасини топиш унинг нейтрал ўқини топишдан ва бу ўққа нисбатан кесимнинг энг узоқ нуқтасининг ҳолатини аниқлашдан иборатдир. Нейтрал ўқнинг тенгламасини қуйидаги шартдан топамиз. Нейтрал ўқ устида нормал кучланиш йулга тенг бўлади. Нейтрал ўқ устидаги нуқталарнинг координаталарини  $y_0$ ,  $z_0$  билан белгилаб, уларни (106. 2) га қўйсак,  $\sigma$  нинг қиймати нулга тенг бўлади:  $\sigma=0$  ёки:

$$M \left( \frac{y_0 \sin \varphi}{I_z} - \frac{z_0 \cos \varphi}{I_y} \right) = 0; \quad M \neq 0.$$

шунинг учун бу тенглама қуйидагича ёзилади:

$$\frac{y_0 \sin \varphi}{I_z} - \frac{z_0 \cos \varphi}{I_y} = 0 \quad (106. 3)$$

Бу, кўндаланг кесимнинг марказидан ўтувчи тўғри чизиқнинг тенгламасидир: тенгламани  $y_0=0$ ,  $z_0=0$  қаноатлантираётир. Бу тенглама нейтрал ўқнинг тенгламасидир.

Ноль чизиқнинг  $y$  ўқига нисбатан оғиш бурчаги  $\alpha$  ни қуйидаги тенгламадан аниқлаймиз (354-шакл).

$$\operatorname{tg} \alpha = \frac{y_0}{y_0} = \frac{I_y}{I_z} \operatorname{tg} \varphi. \quad (106.4)$$

$I_y = I_z$  бўлса, эгилиш текислиги куч ётган текислик устида ётади яъни  $\alpha = \varphi$  бўлади. Бу ҳолда куч балканинг геометрик ўқидан ўтувчи ҳар қандай текисликда бўлса ҳам, эгилиш шу текисликка тўғри келади. Аммо умумий ҳолда кесимнинг иккала бош инерция ўқига нисбатан инерция моментлари ҳар хил бўлгани сабабли, эгилиш текислиги нейтрал текисликка тик бўлиб, куч текислигига қиядир (354-шакл).

Нейтрал ўқ ҳолати аниқлангандан кейин, кесим бўйича нормал кучланишнинг эпюрасини чизиш қийин эмас. 354-шаклда қийшиқ эгилишдаги балка учун кундаланг кесимнинг иккала бош инерция ўқи орқали ўтувчи текисликлардаги эгилишларга онд нормал кучланишлар эпюраси ҳамда кундаланг кесимнинг умумий нейтрал ўқ атрофида айланиши натижасида ҳосил бўлган кучланишларнинг умумий эпюраси тасвирланган.

Кесимнинг инерция эллипсидан фойдаланиб, нейтрал ўқни график усулда аниқлаш қондасини чиқарамиз. Масалан,  $r_y$  ва  $r_z$  кундаланг кесимнинг бош инерция радиуслари бўлсин. У ҳолда:

$$I_y = Fr_y^2, \quad I_z = Fr_z^2$$

формулалар назарга олинса, юқоридаги (106.4) тенглама бундай кўринишда ёзилади:

$$\operatorname{tg} \alpha = \frac{r_y^2}{r_z^2} \operatorname{tg} \varphi. \quad (106.4')$$

Куч текислиги  $P-P$  нинг ҳолатини  $oy$  ўқига нисбатан  $\beta$  бурчак билан белгилаймиз (354-шакл). У ҳолда  $\beta = \varphi + 90$ ,  $\operatorname{tg} \varphi = -\frac{1}{\operatorname{tg} \beta}$  бўлади. Бу муносабатни (106.4) га қўйсак, нейтрал ўқ ҳолатини аниқловчи бурчак тангенсини учун қуйидаги тенгламани ҳосил қиламиз:

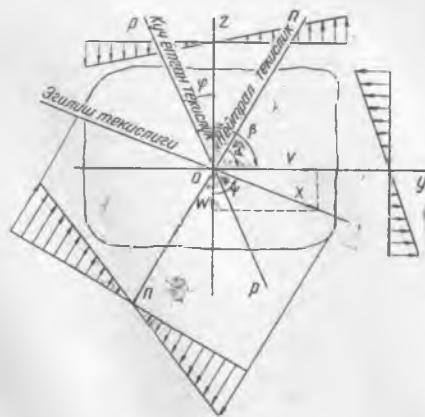
$$\operatorname{tg} \alpha = -\frac{r_y^2}{r_z^2} \cdot \frac{1}{\operatorname{tg} \beta};$$

$$\operatorname{tg} \alpha \cdot \operatorname{tg} \beta = -\frac{r_y^2}{r_z^2}. \quad (106.5)$$

Эллипснинг қўшма диаметрлари қуйидаги муносабат билан ифодаланиши аналитик геометриядан маълум:

$$\operatorname{tg} \alpha \cdot \operatorname{tg} \beta = -\frac{b^2}{a^2}.$$

Бу ерда  $a$  ва  $b$  эллипснинг ярим ўқларидир. Бу муносабатни юқоридаги (106.5) муносабат билан солиштириб, қуйидаги хулосани чиқарамиз: қийшиқ эгилишдаги нейтрал ўқ ва куч ётган текислик-



354-шакл.

нинг кўндаланг кесим текислиги билан кесишган чизиғи кўндаланг кесим инерция эллипсининг қўшма диаметрларини ҳосил қилар экан. Инерция эллипси ярим ўқларининг  $r_y$  ва  $r_z$  га тенглиги бизга маълум (152-бет). Бу хулосадан фойдаланиб, қийшиқ эгилишдаги нейтрал чизиқ ҳолатини график усулда аниқлашимиз мумкин. Бунинг учун кўндаланг кесимнинг инерция эллипсини чизиб, куч текислигининг кўндаланг кесим билан кесишган чизиғи  $P-P$  га параллел ватар ўтказамиз. Бу ватарнинг ўртасидаги бирор  $D$  нуқта билан кесим маркази орқали ўтказилган чизиқ ҳалиги куч текислиги чизиғи билан инерция эллипсининг қўшма диаметрларини ҳосил қилади (355-шакл). Шу билан бирга, юқоридаги хулосага мувофиқ, бу чизиқ кесимнинг

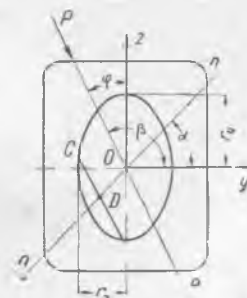
нейтрал чизиғи бўлади. Нейтрал ўқнинг ҳолати аниқлангандан кейин кесимнинг энг катта кучланишли нуқтасини аниқлаш қийин эмас; кўндаланг кесимнинг симметрия ўқлари аниқ бўлса, энг катта кучланишли нуқталар ҳолатини аниқлаш масаласи яна ҳам осонлашади. Масалан кўндаланг кесим тўғри тўрт бурчакдан иборат бўлсин (356-шакл). Нейтрал чизиқ  $n-n$  нинг қандай ҳолатда бўлишидан қатъи назар, энг катта кучланишлар тўғри тўртбурчакнинг бурчакларидаги нуқталарга тўғри келади. Куч текислиги  $p-p$  да ётувчи юклардан ҳосил бўлган эгувчи момент  $M$  357-шаклда кўрсатилгандек мусбат бўлсин. У ҳолда бу моментнинг бош инерция ўқларидаги проекциялари  $M_y$  ва  $M_z$  ҳам мусбат бўлади.  $M_y$  момент тўғри тўртбурчакнинг пастки томони  $DB$  даги толаларида энг катта чўзувчи кучланиш ва юқори томони  $AC$  даги толаларида эса энг катта сиқувчи кучланиш ҳосил қилади. Биз уларни (+) ва (-) ишоралари билан белгиладик. Бу кучланишларнинг

максимал қиймати  $\pm \frac{M_y}{W_y}$  га тенг бўлади;

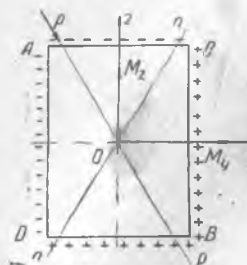
шунингдек,  $M_z$  ҳам кесимнинг ўнг томонидаги энг четки толаларида максимал чўзувчи кучланиш ва чап томонидаги энг четки толаларида максимал сиқувчи кучланиш ҳосил қилади; уларнинг қиймати  $\pm \frac{M_z}{W_z}$  га тенг. Ик-

кала моментнинг бирданига таъсир қилишидан ҳосил бўлган кучланиш  $A$  ва  $B$  нуқталарда қўшилиб,  $D$  ва  $C$  нуқталарда айрилади. Бинобарин, кесимда энг кучланган нуқталар  $A$  ва  $B$  экан. Бу энг кучланган нуқталардаги кучланишларнинг абсолют қиймати:

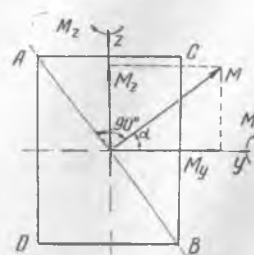
$$\sigma_{\max} = \frac{M_y}{W_y} + \frac{M_z}{W_z} \quad (106. 6)$$



355-шакл.

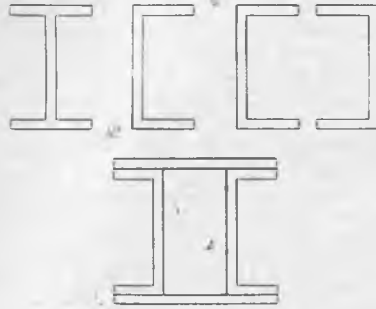


356-шакл.



357-шакл.

бўлади. Бу формуладан тўртта бурчаги тўғри тўртбурчакнинг бурчаклари-га тўғри келадиган ва унга ички равишда чизилган контурли кесимлар-учун ҳам фойдаланилса бўлади (масалан, қўш тавр, швеллер ва шунга ўх-шаган кесимлар учун, 358-шакл). Бошқа ҳолларда энг катта кучланишлар-ни ҳисоблаш учун (106. 2) формуладан фойдаланишга тўғри келади. Бу ҳолда аввал кесим нейтрал ўқининг ҳолати ва ундан энг узоқда бўлган нуқталарнинг координаталари аниқла-нади.



358-шакл.

Қийшиқ эгилишда кўндаланг юк-лар таъсирида  $M_y$  ва  $M_z$  эгувчи мо-ментлардан ташқари, тангенциал куч-ланишларни ҳосил қилувчи кўндаланг кучлар  $Q_y$  ва  $Q_z$  ҳам пайдо бўлади. Булардан ҳосил бўладиган тангенциал кучланишлар текис кўндаланг эгилиш учун чиқарилган формуладан аниқ-ланади:

$$\tau = \frac{QS_y}{I_y b}$$

Қийшиқ эгилишда кўндаланг кесимни танлаш текис эгилишдагига қараганда бирмунча мураккабдир. Ҳақиқатан ҳам хавфли кесим учун  $M_y$  ва  $M_z$  ни аниқлаб, (106. 2) га мувофиқ қуйидаги мустаҳкамлик тенглама-сини ҳосил қиламиз:

$$\frac{M_z}{I_z} y - \frac{M_y}{I_y} z \leq [\sigma]. \quad (106. 7)$$

Бу тенгламада тўртта номаълум  $I_y$ ,  $I_z$ ,  $y$  ва  $z$  лар бор. Бунда  $y$ ,  $z$  кесимда ги энг катта кучланишли нуқтанинг координаталаридир. Масалани ечиш учун кўндаланг кесим инерция моментларининг рационал нисбати  $\frac{I_y}{I_z}$  нинг қийматини олдиндан белгилаб олишга тўғри келади. Аммо тўғри тўрт бур-чакли ва тўғри тўртбурчакка ички чизилган контурларнинг кўндаланг ке-симини танлашда (106. 6) формуладан фойдаланиш мумкин. Фақат  $\frac{W_y}{W_z}$  нисбат олдиндан танланса, бир номаълумли тенглама ҳосил бўлади. Шунинг ҳам эслатиб ўтиш керакки, тўғри тўртбурчакли кесим учун  $\frac{W_y}{W_z}$  нисбат тўғри тўртбурчак томонларининг нисбатига тенг бўлади:

$$\frac{W_y}{W_z} = \frac{bh^3}{6} : \frac{hb^3}{6} = \frac{h}{b}$$

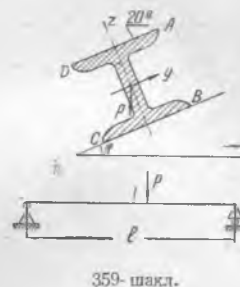
бу нисбатни олдиндан танлаш лозим. Ёйма кесимлар учун бу нисбат а-нчагина ўзгаради ва у профилларнинг номерига боғлиқ бўлади. Масалан, қўш таврли кесим учун  $y \div 11,7$  оралигида ўзгариб туради, баъзан ундан ҳам кўп бўлади. Умуман, қурилиш тажрибасида бу нисбат ёйма кесимлар-нинг профилига қараб, махсус белгилаб олинади.

### 107-§. Балкаларнинг қийшиқ эгилишдаги деформациялари

Нейтрал ўқнинг ҳолатини аниқловчи (106. 4) формуладан кўриниб турибдики, қийшиқ эгилишда нейтрал ўқнинг ҳолати фақат кучлар текислигининг йўналишига боғлиқдир. Шу туфайли нейтрал чизиқ барча кесимлар билан ўзаро параллел бўлади. Аммо кундаланг кесим юзаси қийшиқ эгилишда ҳам текис қолгани учун эгилиш, текис эгилишдагидек нейтрал қатламга тик текисликда ҳосил бўлади. Бу текислик эгилиш текислиги деб аталади. Эгилиш текислиги 354-шаклда кўрсатилганидек кучлар текислиги  $p-p$  га қия йўналган бўлади. Эгилиш текислигидаги салқилик векторини  $\bar{H}$  билан ифодалаб, уни иккита бош инерция текисликлари  $OXY$  ва  $OXZ$  бўйича ташкил этувчиларга ажратамиз, бу ташкил этувчиларни тегишлича  $v$  ва  $w$  билан белгилаймиз.  $v$  ва  $w$  ни аналитик ёки графоаналитик усуллар билан аниқлаш мумкин.

Аналитик усулда қуйидаги дифференциал тенгламаларни интеграллашга тўғри келади:

$$\left. \begin{aligned} \frac{d^2v}{dx^2} &= \frac{M_z}{EI_z} \\ \frac{d^2w}{dx^2} &= \frac{M_y}{EI_y} \end{aligned} \right\} \quad (107.1)$$



Графоаналитик усулда  $v$  ва  $w$  қуйидаги формулалардан аниқланади:

$$v = \frac{(M_z)_{\text{фикт}}}{EI_z}; \quad w = \frac{(M_y)_{\text{фикт}}}{EI_y}. \quad (107.2)$$

Бу ерда  $(M_y)_{\text{фикт}} = M_{\text{фикт}} \cdot \cos \varphi$ ;  $(M_z)_{\text{фикт}} = M_{\text{фикт}} \cdot \sin \varphi$  бош инерция текисликларидаги фиктив эгувчи моментлардир.  $v$  ва  $w$  аниқлангандан кейин  $oz$  ўқиға нисбатан эгилиш текислигининг ҳолатини ва бу текисликдаги салқилик вектори  $\bar{H}$  ни қуйидаги тенгламалардан аниқлаш қийин эмас:

$$\left. \begin{aligned} \bar{H} &= \sqrt{v^2 + w^2}; \\ \text{tg } \psi &= \frac{v}{w}. \end{aligned} \right\} \quad (107.3)$$

Бу ерда  $\psi$  — салқилик вектори  $\bar{H}$  билан бош инерция ўқи  $z$  орасидаги бурчак.

### ҚИЙШИҚ ЭГИЛИШГА ОИД МАСАЛАЛАР

134. Икки таянчда ётувчи балканинг кундаланг кесими 20<sup>а</sup> номерли қўш тавр бўлиб, ўнинг ўртасига вертикал йўналишда  $P = 200$  кг юк қўйилган. Таянчлар оралиғи  $l = 400$  см. Балка кундаланг кесимининг девори вертикал билан  $\varphi = 30^\circ$  бурчак ҳосил қилади (359-шакл). Кундаланг кесим юқори тоқчасининг энг четки нуқталарида ҳосил бўладиган кучланишлар ҳисоблансин.

Ечиш. Дастлаб сортаментлар жадвалидан 20<sup>а</sup> номерли қўш таврга оид маълумотларни оламиз:

$$\left. \begin{aligned} W_y &= 237 \text{ см}^3, \\ W_z &= 31,5 \text{ см}^3. \end{aligned} \right\}$$

Энди максимал эғувчи моментни ҳисоблаймиз:

$$M_{\max} = \frac{Pl}{4} = \frac{200 \cdot 400}{4} = 20\,000 \text{ кгсм.}$$

Эғувчи моментнинг  $y$  ва  $z$  ўқлардаги проекцияларини ҳисоблаймиз:

$$M_y = M \cos \varphi = 20\,000 \cdot 0,866 = 17\,300 \text{ кгсм,}$$

$$M_z = M \sin \varphi = 20\,000 \cdot 0,5 = 10\,000 \text{ кгсм.}$$

$\sigma = \frac{M_y}{W_y} + \frac{M_z}{W_z}$  формула ёрдамида кесимнинг  $A$ ,  $B$ ,  $C$  ва  $D$  нуқталаридаги кучланишларни ҳисоблаймиз.

$A$  нуқтадаги кучланиш:

$$\sigma_A = -\frac{M_y}{W_y} - \frac{M_z}{W_z} = -\frac{17\,300}{237} - \frac{10\,000}{31,5} = -73 - 317 = -390 \text{ кг/см}^2.$$

$B$  нуқтадаги кучланиш:

$$\sigma_B = \frac{M_y}{W_y} - \frac{M_z}{W_z} = +73 - 317 = -244 \text{ кг/см}^2.$$

$C$  нуқтадаги кучланиш:

$$\sigma_C = \frac{M_y}{W_y} + \frac{M_z}{W_z} = +73 + 317 = 390 \text{ кг/см}^2$$

ва, ниҳоят,  $D$  нуқтадаги кучланиш:

$$\sigma_D = -\frac{M_y}{W_z} + \frac{M_z}{W_y} = -73 + 317 = 244 \text{ кг/см}^2.$$

Балканинг куч қўйилган нуқтасидаги салқиликни ҳисоблаймиз, бунинг учун аввал салқилчқининг  $y$  ва  $z$  ўқларидаги проекцияларини ҳисоблаймиз:

$$f_y = \frac{P \sin \varphi l^3}{48EI_z} = \frac{2\,000 \cdot 0,5 \cdot (400)^3}{48 \cdot 2 \cdot 10^6 \cdot 158} = 0,42 \text{ см,}$$

$$f_z = \frac{P \cos \varphi l^3}{48E \cdot I_y} = \frac{2\,000 \cdot 0,866 \cdot (400)^3}{48 \cdot 2 \cdot 10^6 \cdot 2\,370} = 0,048 \text{ см}$$

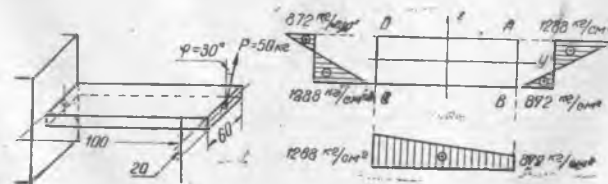
Тўла салқилик:

$$f = \sqrt{f_y^2 + f_z^2} = \sqrt{(0,42)^2 + (0,048)^2} \approx 0,42 \text{ см}$$

бўлади.

135. Консолли балканинг қўндаланг кесими  $6 \times 2 \text{ см}^2$  ли тўғри тўртбурчак бўлиб, унинг учига қўндаланг кесим текислигида эғувчи  $P=50 \text{ кг}$  юк қўйилган. Балканинг хавфли кесими учун нормал кучланиш эпюраси қурилсин ҳамда унинг мустақамлик шarti текширилсин (360-шакл). Балканинг материал пўлат бўлиб, унинг учун  $[\sigma] = 1400 \text{ кг/см}^2$ ,  $E = 2,1 \cdot 10^6 \text{ кг/см}^2$ .

Ечиш. Бу масалани ечишда (106. 2) формулага кирган қавс ичидаги ҳадларнинг ишораларини механик равишда ҳисобга олишни ўрганамиз. Бунинг учун координаталар системасини шундай танлаб оламизки, балкага таъсир қилган куч биринчи чоракка тўғри келсин; шунда қавс ичидаги ҳадларнинг ишораси кучланиши топилаётган нуқталарга таал-



360-шакл.

луқли бўлган координаталарнинг ишоралари билан ўз-ўзидан аниқланади. Шарҳланган қонда асосида берилган масалани ечамиз.

Хавfli кесим балканинг маҳкамланган ерида бўлади, бу кесимга нисбатан олинган максимал эгувчи момент:

$$M_{\max} = Pl = 50 \cdot 100 = 5\,000 \text{ кгсм}$$

бўлади. Кесим юзасининг қирралари бўйича нормал кучланиш эпюраларини чизиб учун  $A$ ,  $B$ ,  $C$  ва  $D$  нуқталардаги кучланишларни (106. 2) формула ёрдамида ҳисоблаш керак.

Аввало кесим юзасининг  $y$  ва  $z$  ўқларга нисбатан инерция моментларини топамиз.

$$I_y = \frac{bh^3}{12} = \frac{6 \cdot 2^3}{12} = 4 \text{ см}^4,$$

$$I_z = \frac{b^3h}{12} = \frac{6^3 \cdot 2}{12} = 36 \text{ см}^4.$$

Энди кучланишларни ҳисоблаймиз:

$A$  нуқта учун ( $y_A = 3 \text{ см}$ ;  $z_A = 1 \text{ см}$ ):

$$\sigma_A = -5\,000 \left( \frac{1 \cdot 0,866}{4} + \frac{3 \cdot 0,5}{36} \right) = -1\,288 \text{ кг/см}^2.$$

$B$  нуқта учун ( $y_B = 3 \text{ см}$ ;  $z_B = -1 \text{ см}$ ):

$$\sigma_B = -5\,000 \left( -\frac{1 \cdot 0,866}{4} + \frac{3 \cdot 0,5}{36} \right) = 872 \text{ кг/см}^2.$$

$C$  нуқта учун ( $y_C = -3 \text{ см}$ ;  $z_C = -1 \text{ см}$ ):

$$\sigma_C = -5\,000 \left( \frac{1 \cdot 0,866}{4} - \frac{3 \cdot 0,5}{36} \right) = 1\,288 \text{ кг/см}^2.$$

$D$  нуқта учун ( $y_D = -3 \text{ см}$ ;  $z_D = 1 \text{ см}$ ):

$$\sigma_D = -5\,000 \left( -\frac{1 \cdot 0,866}{4} - \frac{3 \cdot 0,5}{36} \right) = -872 \text{ кг/см}^2.$$

Ҳисобланган кучланишларга кўра кесим томонларига тааллуқли нормал кучланиш эпюралари 360-шаклда кўрсатилган.

Энг четки  $B$  ва  $C$  нуқталардаги нормал кучланишлар рухсат этилган кучланишлардан кичик. Демак, балка етарлича мустаҳкамдир, чунончи:

$$\sigma_C = 1\,288 \text{ кг/см}^2 < [\sigma] = 1\,400 \text{ кг/см}^2$$

ва

$$\sigma_B = 872 \text{ кг/см} < [\sigma] = 1\,400 \text{ кг/см}^2.$$

Ниҳоят, бош инерция ўқлари бўйлаб ҳосил бўладиган салқиликларни ҳисоблаймиз:

$$f_y = \frac{P \sin \varphi \cdot l^3}{3EI_z} = \frac{50 \cdot 0,5 \cdot 100^3}{3 \cdot 2,1 \cdot 10^6 \cdot 36} = \frac{25}{226,8} = 0,11 \text{ см},$$

$$f_z = \frac{P \cos \varphi \cdot l^3}{3EI_y} = \frac{50 \cdot 0,866 \cdot 100^3}{3 \cdot 2,1 \cdot 10^6 \cdot 4} = \frac{43,3}{25,2} = 1,72 \text{ см}.$$

Тўла салқилик:

$$f = \sqrt{f_y^2 + f_z^2} = \sqrt{(0,11)^2 + (1,72)^2} = 1,73 \text{ см}$$

бўлади. Тўла салқиликнинг йўналишини топамиз:

$$\operatorname{tg} \alpha = \frac{f_y}{f_z} = \frac{0,11}{1,72} = 0,064 \text{ ва } \alpha = 3^\circ 40'$$

Тўла салқилик бош вертикал  $z$  ўқ билан  $\alpha$  бурчак ҳосил қилади.

136. Узунлиги  $l = 4 \text{ м}$ , кўндаланг кесим ўлчамлари  $(80 \times 80 \times 8)$  бўлган шўлт балка (бурчаклик) учлари билан икки таянчга эркин тиралган. Бурчакликнинг тошчалари горизонтал ва вертикал ҳолатда ўрнатилган. Балканинг ўз оғирлигидан ҳосил бўладиган энг катта кучланиш ва горизонтал ҳамда вертикал текисликлардаги салқиликларни аниқлансин.  $E = 2,1 \cdot 10^8 \text{ кг/см}^2$ .

Жавоб:  $\sigma_{\max} = 178 \text{ кг/см}^2$ ;  $v = 0,20 \text{ см}$ ;  $w = 0,32 \text{ см}$ .

137. Кундаланг кесими улчамининг номери  $20^a$  булган қуш таврли консолнинг учига вертикал текислик билан  $\varphi=30^\circ$  ҳосил қилувчи  $P$  куч қўйилган. Нейтрал ўқнинг вертикал ўқ  $z$  билан ҳосил қиладиган бурчаги ҳамда консол тўла салқилигининг йўналиши аниқлансин.

Жавоб: нейтрал ўқ вертикал ўқ  $oz$  билан  $6^\circ 40'$  бурчак ҳосил қилади. Тўла салқилик нейтрал ўққа тик булган текисликда ётади.

138. Томнинг саррови (прогон)  $16^a$  номерли швеллер бўлиб, унинг тагига ҳар  $4,2$  м да таянч қўйилган. Қор ва прогоннинг оғирликлари биргаликда  $q=200$  кг/м<sup>2</sup> булган, вертикал йўналишида тенг тақсимланган юк ҳосил қилади. Том қиялиги горизонт билан  $\varphi=20^\circ$  бурчак ҳосил қилади. Прогонни узунлиги  $l=4,2$  м ли икки таянчга тиралган балка деб ҳисоблаб, унда ҳосил буладиган энг катта кучланиш ҳисоблансин (361-шакл).



361-шакл

Жавоб: прогон кундаланг кесимининг  $A$  нуқтасида энг катта сиқувчи кучланиш ҳосил бўлиб,  $\sigma_{\max}=1340$  кг/см<sup>2</sup>.

$B$  нуқтасида энг катта қўзувчи кучланиш ҳосил бўлиб,  $\sigma_{\max}=780$  кг/см<sup>2</sup> дир.

139. Қийшиқ эгилган балканинг кундаланг кесими тўғри тўртбурчак бўлиб, унинг нейтрал ўқи кесимнинг диагоналига мос келади; бу

ҳол учун кундаланг кесим юзасидаги куч таъсир чизигининг ҳолати аниқлансин.

Жавоб: тўғри тўртбурчакнинг иккинчи диагонали кучнинг таъсир чизигига мос келади.

140. Симметрия ўқлари булмаган кундаланг кесимнинг ихтиёрий нуқтаси  $C$  даги нормал кучланиш  $\sigma$  аниқлансин.

Ечнш. Қийшиқ эгилишда ҳам кундаланг кесим текис қолгани учун, унинг ҳар қандай нуқтасидаги нормал кучланиш қуйидагича ифодаланади:

$$\sigma = Ay + Bz, \quad (1)$$

бу ерда  $y$  ва  $z$  —  $C$  нуқтанинг бош ўқ бўлмаган ҳар қандай марказий ўққа нисбатан координатаси. Кундаланг кесимдаги нормал кучланишлардан ҳосил булган моментлар ташқи кучлар momenti билан мувозанатлашиши лозим. Шунинг учун  $y$  ва  $z$  ўқларига нисбатан ички кучлар моментини тегишлича ташқи кучлар моментига тенглаштирамиз:

$$\int \sigma dF \cdot z = AI_{yz} + BI_y = M_y,$$

$$\int \sigma dF \cdot y = AI_z + BI_{zy} = M_z.$$

Бу тенгламалардан  $A$  ва  $B$  ни аниқлаймиз:

$$A = \frac{I_y M_z - I_{zy} M_y}{I_y I_z - I_{zy}^2}; \quad B = \frac{I_z M_y - I_{yz} M_z}{I_z I_y - I_{yz}^2}. \quad (2)$$

Буларни (1) га қўйсак, нормал кучланиш учун қуйидаги формулани ҳосил қиламиз:

$$\sigma = \frac{I_y M_z - I_{zy} M_y}{I_y I_z - I_{zy}^2} y + \frac{I_z M_y - I_{yz} M_z}{I_z I_y - I_{yz}^2} z. \quad (3)$$

$y$  ва  $z$  ўқлари кундаланг кесимнинг бош инерция ўқлари бўлса, яна юқорида чиқарилган (106. 2) формулани оламиз; ҳақиқатан ҳам, бош инерция ўқлари учун:

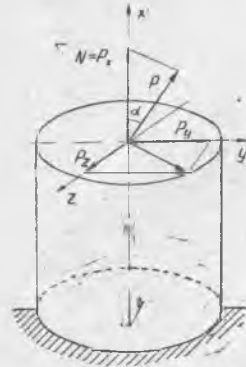
$$I_{yz} = 0,$$

$$\sigma = \frac{M_z}{I_z} y + \frac{M_y}{I_y} z.$$

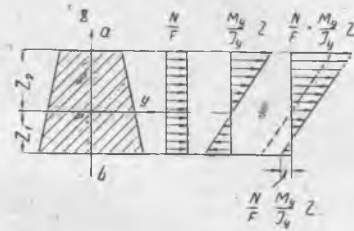
### 108-§. Чўзилиш ёки сиқилишнинг эгилиш билан бирга таъсири

Кўпинча, иншоот элементларига қўйилган кучлар уларнинг геометрик ўқларини турли бурчаклар остида кесиб ўтади. Бу ҳолда призматик стерженлар эгилиш билан бирга чўзилиш ёки сиқилишга ҳам дуч келади. Бу эса юқорида келтирилган мураккаб кучланишга ҳосил қилувчи олтига параметр-

дан учтаси  $M_y$ ,  $M_z$  ва  $N$  қилишини тақозо қилади. Ҳақиқатан ҳам, пастки учи билан қистирилган призматик стерженнинг юқори учига унинг ўқи билан  $\alpha$  бурчак ҳосил қилувчи  $P$  куч таъсир қилаётган бўлса (362-шакл), бу кучнинг стержень ўқи ва қўндаланг кесими юзасидаги проекциялари стерженда чўзилиш ва қийшиқ эгилиш ҳосил қилади. Қўндаланг кесим юзасидаги кучни бош инерция текисликлари бўйича ажратиб, уларга тегиш-



362-шакл.



363-шакл.

ли моментларни  $M_y$  ва  $M_z$  билан белгилаймиз.  $P$  кучнинг стержень ўқи бўйлаб йўналган компонентини  $N$  деймиз. Қўндаланг кесимнинг ихтиёрый нуқтасидаги нормал кучланиш (106. 2) формула билан ифодаланадиган кучланиш ва марказий чўзилишдан ҳосил бўладиган кучланиш  $\frac{N}{F}$  ни қўшиш натижасида аниқланади:

$$\sigma = \frac{M_z}{I_z} y - \frac{M_y}{I_y} z + \frac{N}{F}. \quad (108. 1)$$

Ҳалиги  $P$  куч стерженнинг ўқини кесиб ўтган ҳолда, бош инерция текисликларидан бирортасида ётса, у ҳолда (108. 1) қуйидагича ёзилади:

$$\sigma = \frac{N}{F} + \frac{M_z}{I_z} y \quad (108. 2)$$

ёки

$$\sigma = \frac{N}{F} - \frac{M_y}{I_y} z. \quad (108.3)$$

Бу формулалардан бирига, яъни (108.3) га тегишли кучланишнинг эпюраси 363-шаклда тасвирланган. Чўзувчи ёки сиқувчи  $N$  куч таъсирида ҳосил бўлган кучланишлар барча кесимлар учун бир хилда ўзгармас миқдор бўлади ва у ҳар қайси кесим учун текис тақсимланади. Бинобарин, толаларнинг кучланишлари эгувчи моментгагина боғлиқ равишда ўзгаради. Демак, энг кучланган толалар хавфли кесимнинг энг четида бўлади. У толалар учун эгилишдан ҳосил бўладиган максимал кучланиш  $\pm \frac{M_{\max}}{W}$  га тенг. Шу тўғрисида хавфли кесимнинг энг четидаги  $a$  ва  $b$  нуқталарда ҳосил бўладиган кучланишлар қуйидагича бўлади:

$$\sigma_{1,2} = \frac{N}{F} \pm \frac{M_{\max}}{W}. \quad (108.4)$$

Стерженнинг мустаҳкамлигини текшириш учун

$$\sigma_{\max} = \sigma_1 = \frac{N}{F} + \frac{M_{\max}}{W} \quad (108. 5)$$

кучланиш олинади.  $N$  сиқувчи куч бўлса, уни

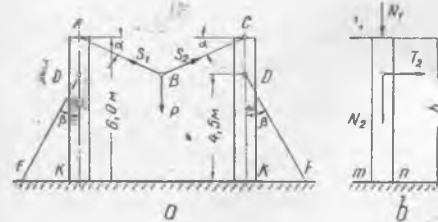
$$\sigma_{\max} = - \left( \frac{N}{F} + \frac{M_{\max}}{W} \right) \quad (108. 5^1)$$

кўринишда олиш лозим. Буларнинг иккаласини битта формула билан ифода қилиш ёки сиқилиш билан текис эгилишга баробар қаршилик кўрсатувчи стерженнинг мустаҳкамлик шартини қуйидагича ёзамиз:

$$\sigma_{\max} = \pm \left( \frac{N}{F} + \frac{M_{\max}}{W} \right) \leq [\sigma]. \quad (108. 6)$$

### МАСАЛАЛАР

141. Баландлиги  $h=6$  м, кўндаланг кесими доиравий, унинг диаметри эса  $d=20$  см бўлган ёғоч устун 364-шаклда тасвирлангандек юкланган.  $ABC$  симга осилган  $P$  юкнинг оғирлиги 30 кг;  $DF$  тортқиларда ҳосил бўладиган чузувчи зўриқишларнинг ҳар қайсиси  $S_1=500$  кг.  $\operatorname{tg} \alpha = 0,1$ ;  $\sin \beta = 0,2$  бўлиб, қолган улчамлар шаклда кўрсатилган. Устунда ҳосил бўладиган сиқувчи кучланиш аниқлансин.



364- шакл.

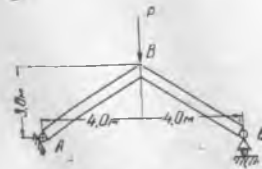
Е ч и ш.  $B$  нуқтанинг мувозанатидан  $BC$  симдаги зўриқиш  $S_2$  ни топиб, унинг вертикал ва горизонтал ташкил этувчилари  $N_1$  ва  $T_1$  ни аниқлаймиз.  $N_1=15$  кг,  $T_1=150$  кг. Тортқи  $DF$  даги зўриқишнинг ташкил этувчилари тегишлича  $N_2=490$  кг,  $T_2=100$  кг. Бу кучлар билан юкланган устун 364-шаклнинг  $b$  қисмида алоҳида тасвирланган. Энг катта эгувчи момент устуннинг қистириб тиралган  $m-n$  кесимидадир.  $M_{\max}=45\,000$  кгсм. Устуннинг шу кесимдаги ўқи бўйлаб йўналган кучлардан ҳосил бўлган

босим  $N_1+N_2=505$  кг.  $m$  нуқтадаги энг катта сиқувчи кучланиш:

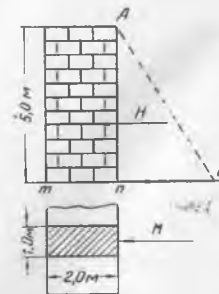
$$\sigma = - \left( \frac{505}{\frac{\pi d^2}{4}} + \frac{45\,000}{\frac{\pi d^3}{32}} \right) = - (1,6+57,2) = - 58,8 \text{ кг/см}^2.$$

142.  $ABC$  ёғоч конструкцияси  $B$  нуқтада биқр қилиб бириктирилган бўлиб,  $A$  нуқтада қўзғалмас,  $C$  нуқтада эса қўзғалувчи шарнирли таянчларга тиралган (365-шакл). Конструкциянинг бошқа улчамлари шаклда кўрсатилган.  $B$  нуқтага  $P=900$  кг юк қўйилган.  $AB$  ва  $BC$  ёғоч брусларнинг кўндаланг кесимлари  $25 \times 25$  см<sup>2</sup> улчамли квадратдан иборат. Конструкцияда ҳосил бўладиган энг катта сиқувчи кучланиш аниқлансин.

Е ч и ш.  $A$  нуқтага нисбатан момент олиб,  $C$  реакцияни аниқлаймиз:



365- шакл.



366- шакл.

$$\sum M_A = P_4 \cdot 4 - C8 = 0; \quad C = \frac{P}{2}.$$

С нинг *CB* йўналишдаги проекцияси  $N = \frac{P}{2} \cdot \frac{3}{5} = \frac{3}{10} P$ . Энг катта сиқувчи кучланиш *B* кесимнинг юқори нуқтасида ҳосил бўлади:

$$\sigma_{\max} = -\left(\frac{N}{F} + \frac{M_{\max}}{W}\right) = -\left(\frac{3 \cdot 900}{10 \cdot 25^2} + \frac{900 \cdot 400}{2 \cdot \frac{25^3}{6}}\right) = -69,8 \text{ кг/см}^2.$$

143. Гишдан кўтарилган деворнинг баландлиги  $h = 5$  м, қалинлиги  $b = 2$  м бўлиб, у орқасига уйилган қум боқимининг таъсирида туради (366-шакл). Деворнинг тагидаги нуқталарда ҳосил бўладиган энг катта сиқувчи ва чўзувчи кучланишлар ҳисоблансин. Девор  $1 \text{ м}^3$  ҳажмининг оғирлиги  $\gamma = 2400$  кг, қум деворнинг ҳар метр узунлигида  $H = 5000$  кг куч билан таъсир қилади. Бу куч у деворнинг баландлиги бўйлаб 366-шаклда кўрсатилгандек чизикли қонун билан ёйилган.

Жавоби: девор тагидаги  $m$  нуқтада ҳосил бўладиган сиқувчи кучланиш:

$$\sigma_m = -\frac{2400 \cdot 5 \cdot 2 \cdot 1}{200 \cdot 100} - \frac{5000 \cdot 500}{3 \cdot \frac{100 \cdot 200^2}{6}} = -2,45 \text{ кг/см}^2;$$

$n$  нуқтадаги кучланиш чўзувчи кучланиш бўлиб, унинг қиймати:

$$\sigma_n = -\frac{2400 \cdot 5 \cdot 2 \cdot 1}{200 \cdot 100} + \frac{5000 \cdot 500}{3 \cdot \frac{100 \cdot 200^2}{6}} = 0,25 \text{ кг/см}^2.$$

144. *B* нуқтасида шарнири бўлган доиравий кесимли *AB* стержень *A* нуқтаси билан силлиқ вертикал деворга тиралган ҳолда ўз оғирлиги таъсирида мувозанатда туради (367-шакл). Стерженнинг шундай бир  $m-n$  кесимини топиш керакки, ундаги сиқувчи кучланишнинг қиймати максимал бўлсин.

Еч иш. Стерженнинг узунлик бирлигидаги оғирлигини  $q$ , узунлигини  $l$  ва горизонт билан тузган бурчагини  $\alpha$  орқали белгилаймиз. *A* нуқтадаги горизонтал реакция:

$$R = \frac{ql}{2} \operatorname{ctg} \alpha.$$

Стерженнинг *A* учидан  $x$  ораликдаги кўндаланг кесим  $m-n$  даги сиқувчи зўриқиш ва эгувчи момент тегишлича:

$$N = qx \sin \alpha + \frac{ql \cos^2 \alpha}{2 \sin \alpha}.$$

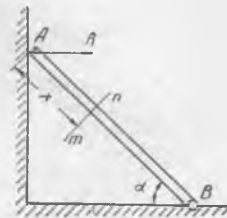
$$M = \frac{qlx}{2} \cos \alpha - \frac{qx^2}{2} \cos \alpha$$

бўлади. Бу кесимдаги энг катта сиқувчи кучланиш:

$$\sigma = -\left[\frac{4}{\pi d^2} \left(qx \sin \alpha + \frac{ql \cos^2 \alpha}{2 \sin \alpha}\right) + \frac{32}{\pi d^3} \left(\frac{ql}{2} - \frac{qx}{2}\right) x \cos \alpha\right],$$

бу ерда  $d$  — стерженнинг диаметри.  $\sigma$  нинг  $x$  га нисбатан ҳосиласиния поғча тенглаштириб, максимал кучланиш ҳосил бўладиган кесимнинг ҳолатини аниқлаймиз:

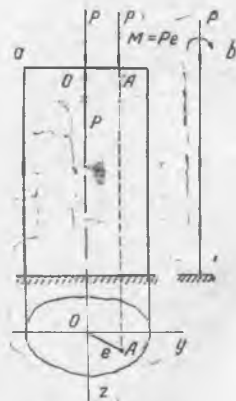
$$x = \frac{l}{2} + \frac{d}{8} \operatorname{tg} \alpha.$$



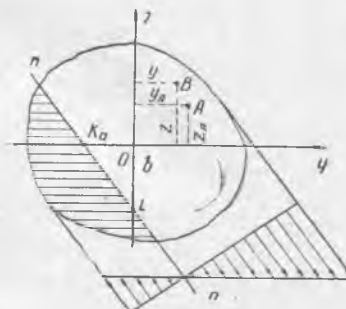
367-шакл.

### 109-§. Марказий қўйилмаган чўзувчи ёки сиқувчи кучлар таъсири

Призма шаклидаги стерженга унинг ўқига параллел йўналишда таъсир қилувчи куч қўндаланг кесимининг марказига қўйилмаган бўлса, бундай куч таъсирида юқорида текширилган эгилиш билан чўзилиш ёки сиқилиш деформациясининг биргаликдаги таъсири ҳосил бўлади. Аммо марказий қўйилмаган куч таъсирида ҳосил бўладиган деформация 108- параграфда текширилган ҳолнинг хусусий кўринишидир.



368-шакл.



369-шакл.

Призма шаклидаги стерженнинг ўқига параллел йўналишдаги куч  $P$  призма қўндаланг кесимининг  $A$  нуқтасига қўйилган бўлсин (368-шакл). Куч қўйилган бу нуқтани *қутб* деб атаймиз; мазкур қутб билан стержень ўқи орасидаги масофа *эксцентриситет* деб аталади. У аналитик геометриядагидек  $e$  орқали белгиланади. Бизнинг вазифамиз мазкур  $P$  куч таъсирида стерженда ҳосил бўладиган энг катта кучланишни аниқлаб, стерженнинг мустаҳкамлик шартини текширишдир. Бу масалани ечиш учун куч қўйилган кесимнинг маркази  $O$  нуқтага стерженнинг ўқи бўйлаб қарама-қарши йўналган икки кучни қўямиз. У кучларнинг ҳар бирини стерженга қўйилган  $P$  кучга тенг қилиб оламиз. Бундай система таъсирида стерженнинг мувозанати бузилмайди ва, шу билан бирга, қўндаланг кесимларидаги кучланишлар ҳам ўзгармайди. Аммо шаклда икки чизиқ билан тасвирланган  $P - P$  кучлар моменти  $Pe$  га тенг бўлган жуфт куч ҳосил қилади. Бу жуфт кучнинг моменти ўзгармас бўлгани учун стерженда соф эгилиш ҳосил бўлади. Қўндаланг кесим маркази  $O$  га қўйилган  $P$  куч эса стерженда оддий сиқилиш ҳосил қилади. Стерженда моменти  $M = Pe$  га тенг жуфт куч билан стержень ўқи бўйлаб йўналган  $P$  куч таъсири натижасида ҳалиги айтилган мураккаб деформация ҳосил бўлади.

Шу тарзда юкланган стерженни ҳисоблаш схемаси 368-шакл,  $b$  да тасвирланган. Аммо эгувчи жуфт куч ётган  $OA$  текислик бош инерция текисликларидан бирортасига ҳам мос келмаслиги мумкин. Бу ҳолда призма шаклидаги стержень бўйлама сиқилиш билан бирга соф қийшиқ эгилишга дуч келади. Соф эгилишда барча кесимлар учун кучланиш бир хил бўл-

ганидан, марказий қўйилмаган куч таъсиридаги кучланишни стерженнинг ҳар қандай кесими учун ҳисобласа ҳам бўлаверади.

Стерженнинг бирор қўндаланг кесимини олиб, унинг бош инерция ўқлари орқали  $ou$  ва  $oz$  ўқларини ўтказамиз (369-шакл). Куч қўйилган нуқта  $A$ , яъни қутб координаталар текислигининг биринчи чорагида бўлиб, унинг координаталари  $y_A$  ва  $z_A$  бўлсин. У ҳолда бош инерция текисликларидаги жуфтларнинг моментлари қуйидагича ёзилади:

$$M_y = P \cdot z_A; \quad M_z = P \cdot y_A.$$

Булар, ўз навбатида, эгўвчи момент  $M$  нинг бош инерция ўқларидаги проекцияларидир.

Энди, қўндаланг кесимнинг координаталари  $y$  ва  $z$  бўлган бирор  $B$  нуқтада ҳосил бўладиган нормал кучланишни аниқлаймиз. Бу нуқтадаги нормал кучланиш уч қисмдан иборатдир.

1. Кесимнинг барча нуқталари учун бир хилда бўлган ва  $P$  кучдан ҳосил бўладиган  $\frac{P}{F}$  сиқувчи кучланиш.

2.  $XOY$  текислигида ётган момент таъсирида кесим текислигининг  $oz$  нейтрал ўқ атрофида айланишидан ҳосил бўладиган эгилишдаги  $\frac{M_z \cdot Y}{I_z}$  сиқувчи кучланиш.

3.  $XOZ$  текислигидаги момент таъсирида кесим текислигининг нейтрал ўқи  $ou$  атрофида айланишидан ҳосил бўладиган эгилишдаги  $\frac{M_y Z}{I_y}$  сиқувчи кучланиш.

Бу кучланишларни қўшсак,  $B$  нуқтадаги кучланиш учун қуйидаги формулани ҳосил қиламиз:

$$\sigma = - \left( \frac{P}{F} + \frac{M_z}{I_z} y + \frac{M_y}{I_y} z \right).$$

Бу формулага  $M_y$  ва  $M_z$  ларнинг қийматини қўйсак,  $y$  қуйидагича ёзилади:

$$\sigma = - \left( \frac{P}{F} + \frac{P y_A y}{I_z} + \frac{P z_A z}{I_y} \right) \quad (109.1)$$

Бу формула билан қўндаланг кесимнинг ҳар қандай нуқтасидаги кучланишни аниқласа бўлади. Фақат кучланиши аниқланаётган нуқтанинг координаталари  $y$  ва  $z$  ни тегишли ишоралари билан олиш лозим. Марказий қўйилмаган  $P$  куч чўзувчи куч бўлган (109.1) формуланинг олдидаги манфий (—) ишорани мусбат (+) қилиб олиш лозим. Қўндаланг кесим юзасининг инерция моментларини инерция радиуслари орқали ифодаланган  $I_y = Fr_y^2$ ,  $I_z = Fr_z^2$  формулалар билан алмаштирсак, (109.1) формула қуйидаги кўринишда ёзилади:

$$\sigma = - \frac{P}{F} \left( 1 + \frac{y_A y}{r_z^2} + \frac{z_A z}{r_y^2} \right). \quad (109.2)$$

Бу формуланинг қавслар ичидаги ҳадларига тегишли ишоралар, қутб ва кучланиш топиладиган нуқтага тааллуқли координаталарнинг ишоралари билан ўз-ўзидан аниқлана беради.

Маълумки, эгилишда кесимнинг нейтрал ўқдан энг узоқ нуқталарида максимал кучланишлар ҳосил бўлади. Шунинг учун, қийшиқ эгилишдагидек, бу ҳолда ҳам нейтрал ўқ ҳолатини аниқлаш зарур. Нейтрал ўқ устида

кучланиш нолга тенг бўлгани учун, ундаги нуқталарнинг координаталарини  $y_0, z_0$  десак, нейтрал ўқ тенгламаси қуйидагича ёзилади:

$$-\frac{P}{F} \left( 1 + \frac{y_A y_0}{r_z^2} + \frac{z_A z_0}{r_y^2} \right) = 0$$

ёки

$$1 + \frac{y_A y_0}{r_z^2} + \frac{z_A z_0}{r_y^2} = 0 \quad (109.3)$$

Тўғри чизик тенгламасини координата кесмалари орқали кўрсатилган тенглама шаклида ёзамиз, яъни уни қуйидаги кўринишга келтирамиз:

$$\frac{y}{a} + \frac{z}{b} = 1.$$

Бунинг учун (109.1) ни қуйидагича ёзамиз:

$$\frac{y_0}{\left(-\frac{r_z^2}{y_A}\right)} + \frac{z_0}{\left(-\frac{r_y^2}{z_A}\right)} = 1. \quad (109.3')$$

Бу тенгламадан кўришиб турибдики, нейтрал ўқ бош инерция ўқларидан қуйидаги кесмаларни ажратади:

$$a = -\frac{r_z^2}{y_A}, \quad b = -\frac{r_y^2}{z_A}. \quad (109.4)$$

Демак, бирор кесим учун нейтрал ўқнинг ҳолати фақат куч қўйилган нуқтанинг ҳолатигагина боғлиқ бўлиб, куч миқдорининг эса аҳамияти йўқ.

Нейтрал ўқнинг координата ўқларидан ажратадиган кесмалари  $a$  ва  $b$  нинг ишораси қутб координаталарининг ишораларига тескаридир. Шунинг учун қутб  $A$  координата текислигининг биринчи чорагига тўғри келганда, нейтрал чизик  $n-n$  албатта учинчи чорақда бўлади ва  $K$  ҳам  $L$  нуқталар орқали ўтади (369-шакл). Нейтрал ўқнинг ҳолати аниқлангандан кейин кесим бўйича нормал кучланиш эпюрасини кўриш қийин эмас; у 369-шаклда тасвирланган.

109.4 тенгликлар орқали ифодаланган  $a$  ва  $b$  кесмалар билан қутб координаталари  $y_A$  ва  $z_A$  орасидаги муносабат устида тўхтаб ўтамиз. У тенгламалардаги координата кесимларини ифодаловчи  $a$  ва  $b$  ҳарфлар билан қутб координаталарини ифодаловчи  $y_A$  ва  $z_A$  ҳарфларининг ўринларини алмаштирсак, тенгламалар ўз кучини йўқотмайди, яъни:

$$y_A = -\frac{r_z^2}{a}, \quad z_A = -\frac{r_y^2}{b}. \quad (109.4')$$

Бу муносабатдан қуйидаги хулосани чиқариш мумкин: *куч координаталари  $a$  ва  $b$  бўлган янги бир  $A'$  қутбга қўйилса, унга бошқа бир нейтрал ўқ  $n'-n'$  мос келади, бу янги ўқ бош инерция ўқларидан эски  $A$  қутбнинг координаталари  $y_A$  ва  $z_A$  га тенг бўлган кесмалар ажратади* (370-шакл). Демак,  $A$  қутбнинг координаталари  $y_A, z_A$  ва нейтрал ўқнинг ажратган кесмалари  $a$  ва  $b$  ўзаро боғланган бўлади.  $A$  қутб кесимнинг марказидан узоқлашган сари  $a$  ва  $b$  кесмалар кичиклашиб, нейтрал ўқ кесим марказига яқинлашади.  $A$  қутб кесим марказига етганда  $y_A = 0, z_A = 0$  бўлиб,  $a = \infty$  ва  $b = \infty$  бўлади; бу ҳолда призма шаклидаги стержень оддий чўзилган ёки сиқилган бўлади.  $A$  қутбнинг маълум бирор ҳо-

лати учун нейтрал ўқ кесим контурининг бирор нуқтасига уриниб ўтиши мумкин. Нейтрал ўқ кесим контурининг бирор  $C$  нуқтасига уриниб ўтади деб фараз қилайлик. У ҳолда кучланиш бу нуқтада нолга тенг бўлиб, нейтрал чизиқдан энг узоқ жойлашган  $D$  нуқтада эса максимал қийматга эришади. Тегишли кучланиш эпюраси учбурчак билан тасвирланади (371-шакл).

Нейтрал ўқ билан қутб орасида яна қуйидаги бир муҳим муносабат бор: *нейтрал ўқ ўзи устида олинган бирор нуқта атрофида айланса,  $A$  қутб тўғри чизиқ устида кўчади.*

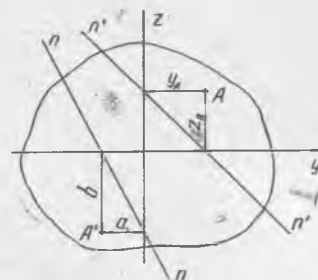
Буни исботлаймиз.  $A(y_A, z_A)$  қутбга тегишли нейтрал ўқ  $n-n$  бўлсин (372-шакл). Мазкур  $n-n$  нейтрал ўқ устида бирор  $C(y_C, z_C)$  нуқтани оламиз. Нейтрал ўқ  $n-n$  ни шу  $C$  нуқта атрофида айлантириб,  $A$  қутбнинг ҳолатини кузатамиз, яъни қутб координаталарининг қандай қонун билан ўзгаришини урганамиз. Нейтрал ўқ  $n-n$  ҳар қандай вазиятда ҳам  $C$  нуқта орқали ўтгани учун, унинг координаталари  $y_C, z_C$  (109.3) тенгламани қаноатлантириши керак. Шунинг учун (109.3) даги  $y_0, z_0$  ўрнига  $y_C, z_C$  ни қўйсак:

$$\frac{y_A y_C}{r^2} + \frac{z_A z_C}{r^2} + 1 = 0 \quad (109.5)$$

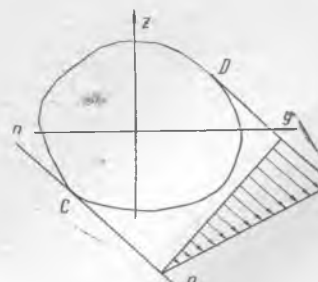
тенгламани ҳосил қиламиз. Бу тенгламани ўзгарувчи координаталари  $y_A, z_A$  бўлган тўғри чизиқнинг тенгламаси деб ҳисоблаш мумкин. У ҳолда, нейтрал ўқ  $C$  нуқта атрофида айланганда  $A$  қутб (109.5) тенглама билан ифодаланган  $k-l$  тўғри чизиқ устида кўчади. Аммо (109.5) тенгламага тааллуқли  $y_C, z_C$  координаталари билан  $A$  қутбнинг координаталари  $y_A, z_A$  тенгламада бир хил ўрин тутгани учун ҳалиги таърифланган теореманинг тескарисини ҳам исботлашимиз мумкин, яъни:

$A$  қутб тўғри чизиқ бўйлаб кўчганда, нейтрал ўқ  $n-n$  ўз устида олинган бирор  $C$  нуқта атрофида айланади.

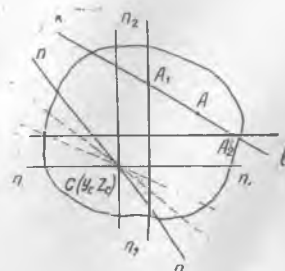
Қутб  $k-l$  тўғри чизиқнинг  $A_1$  ва  $A_2$  нуқталарига тўғри келганда, буларга тегишли нейтрал ўқлар  $n_1-n_1$  ва  $n_2-n_2$  ҳолатида бўлиб, уларнинг кесишган нуқтаси  $C$  нейтрал ўқнинг айланиш марказини аниқлайди.  $A_1$  ва  $A_2$  қутбларга тегишли нейтрал ўқлар  $C$  орқали ўтиб, кесимнинг бош инерция ўқларига параллел бўлган ҳолда, улардан  $y_C$  ва  $z_C$  кесимларини ажратади (372-шакл).  $A$  қутб тўғри чизиқ  $k-l$  устида кўчса нейтрал ўқ  $n-n$  ўзининг устида олинган бирор  $C$  нуқта атрофида айланар экан.



370-шакл.



371-шакл.



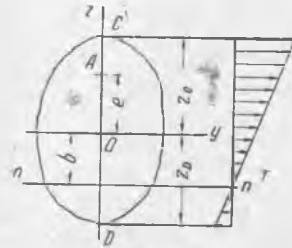
372-шакл.

Энди, бир муҳим хусусий ҳол устида тўхтаб ўтамиз,  $A$  қутб кесим бош инерция ўқларидан биттасининг устида, масалан  $oz$  ўқида бўлсин.  $Y$  ҳолда  $z_A = e$ ,  $y_A = 0$  бўлади; кўндаланг кесимнинг ҳар қандай нуқта-сидаги нормал кучланиш (109.2) га мувофиқ қуйидагича ифодаланади:

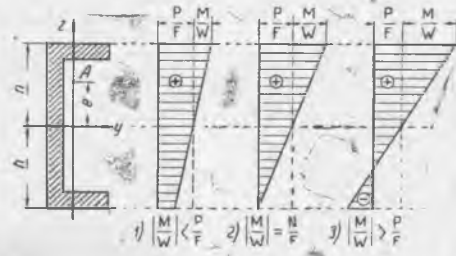
$$\sigma = -\frac{P}{F} \left( 1 + \frac{ze}{r_y^2} \right). \quad (109.6)$$

Бу ҳол учун нейтрал ўқнинг тенгламаси қуйидагича бўлади:

$$1 + \frac{e}{r_y^2} z = 0 \quad (109.7)$$



373-шакл.



374-шакл.

Нейтрал ўқ кесим марказидан  $b = -\frac{r_y^2}{e}$  масофада  $oy$  ўқига параллел йўналади (373-шакл). Қўрамик, нейтрал ўқ билан  $A$  қутб бош инерция ўқи  $oy$  нинг турли томонларидадир. Энг катта чузувчи ва сиқувчи кучланишлар кесимнинг нейтрал ўқдан энг узоқ нуқталари  $C$  ва  $D$  да ҳосил бўлади. Шунинг ҳам эслатиб ўтиш керакки, нейтрал ўқнинг қутб ётган томондаги кучланишнинг ишораси кучнинг ишорасига мос келади.

$C$  ва  $D$  нуқталарнинг координаталари  $z_C$  ва  $z_D$  ни (109.6) га қўйсақ, максимал ва минимал кучланишлар учун қуйидаги формулаларни ҳосил қиламиз:

$$\begin{aligned} \sigma_{\max} &= -\frac{P}{F} \left( 1 + \frac{z_C e}{r_y^2} \right) = -\left( \frac{P}{F} + \frac{M_y z_C}{I_y} \right) = -\left( \frac{P}{F} + \frac{M_y}{W_C} \right), \\ \sigma_{\min} &= -\frac{P}{F} \left( 1 - \frac{z_D e}{r_y^2} \right) = -\left( \frac{P}{F} - \frac{M_y z_D}{I_y} \right) = -\left( \frac{P}{F} - \frac{M_y}{W_D} \right). \end{aligned} \quad (109.8)$$

Бунда  $W_C$  ва  $W_D$  кўндаланг кесимнинг энг четки  $C$  ва  $D$  нуқталарига нисбатан қаршилик моментларидир. Кўндаланг кесим  $oy$  ўқига нисбатан симметрик бўлса,  $z_C = z_D = \frac{h}{2}$  бўлиб,  $W_C = W_D = W_y$  бўлади. Шунинг учун бу ҳолда (109.8) қуйидагича ёзилади:

$$\sigma_{\max/\min} = -\left( \frac{P}{F} \pm \frac{M_y}{W_y} \right) = -\frac{P}{F} \left( 1 \pm \frac{h \cdot e}{2r_y^2} \right). \quad (109.9)$$

Бу формулага мувофиқ, қуйидаги уч ҳол учун (374-шаклда) нормал кучланиш эпюраси тасвирланган.

$$1) \frac{M_y}{W_y} < \frac{P}{F}; \quad 2) \frac{M_y}{W_y} = \frac{P}{F}; \quad 3) \frac{M_y}{W_y} > \frac{P}{F}.$$

Бу эпоралар оддий сиқилишда ҳосил бўлган кучланиш билан эгилиш кучланишларини алгебраик қўшиш натижасида олинган. Энг кейинги ҳолда кесим юзида кучланишнинг ишораси ҳар хилдир, яъни:

$$1 - \frac{h \cdot e}{2} < 0 \text{ ёки } \frac{h \cdot e}{2} > 1;$$

бунга тегишли эксцентриситет  $e > \frac{2}{h}$  бўлади.

Иккинчи ҳолда кесимнинг энг четки нуқталаридаги кучланишлар-тегишлича:

$$\sigma_{\max} = \frac{2P}{F}; \quad \sigma_{\min} = 0$$

бўлади, бу ҳолда

$$e = \frac{2r^2 y}{h}$$

Қўндаланг кесим баландлиги  $h$ , кенглиги  $b$  бўлган тўғри тўртбурчак шаклида бўлсин, у ҳолда (109.9) қуйидагича ёзилади:

$$F = hb; \quad r^2 y = \frac{I_y}{F} = \frac{bh^3}{12bh} = \frac{h^2}{12} \quad (109.10)$$

$$\sigma_{\max} = -\frac{P}{bh} \left( 1 \pm \frac{6e}{h} \right)$$

Бу формуладан, одатда, марказий қўйилмаган куч таъсиридаги тўғри тўртбурчак кесимли устунлар, аркалар ва тиргак деворлар каби иншоот қисмларини ҳисоблашда фойдаланилади. Бу хилдаги иншоот қисмлари, кўпинча, сиқилишга яхши қаршилиқ кўрсатган ҳолда, чўзилишга жуда ҳам ёмон қаршилиқ кўрсатади. Шунинг учун уларда чўзувчи кучланишлар ҳосил бўлишига йўл қўймаслик зарур. Қўндаланг кесим юзасида фақат сиқувчи кучланиш ҳосил бўлиши учун қуйидаги шарт бажарилиши зарур:

$$1 - \frac{6e}{h} \geq 0 \text{ ёки } \frac{6e}{h} < 1.$$

бундан:

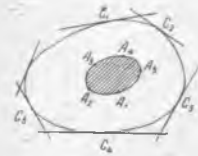
$$e \leq \frac{h}{6}$$

### 110- §. Кесим ядроси

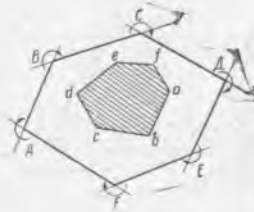
А қутбнинг маълум ҳолатида кесим бўйича бир хил ишорадаги кучланишлар ҳосил бўлишини юқорида келтирилган хусусий ҳол учун кўрсатган эдик. Энди, амалий жиҳатдан катта аҳамияти бўлган оу ҳолни умумлаштираемиз. Ҳар қандай қўринишдаги қўндаланг кесим учун марказий бўлмаган куч таъсирида кесим юзасида бир хил ишорали кучланиш ҳосил бўлишини таъмин этадиган умумий коидани чиқарамиз.

Нейтрал чизиқ кесим юзасини кесиб ўтса, унинг бир томонида сиқувчи, иккинчи томонида эса чўзувчи кучланишлар ҳосил бўлиши бизга маълум. Нейтрал ўқ кесим марказидан узоклашган сари, А қутб кесим марказига яқинлашади. Нейтрал ўқ кесим контурига уринма бўлганда, кучланиш бутун кесим юзаси бўйича бир хил ишорада ва нейтрал ўқ уринган нуқтада нолга тенг бўлади. Нейтрал ўқнинг бу ҳолатига тегишли А қутбнинг ўрнини аниқлаш қийин эмас. Уни (109.4') тенгликлардан аниқлаш мумкин, чунки нейтрал ўқнинг ҳолати берилганлигидан, унинг кесим бош инерция ўқларида ажратган кесмалари маълумдир. Энди нейтрал чизиқни кесим кон-

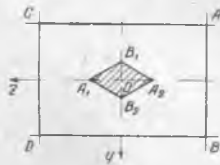
турига уринма ҳолда унинг атрофида айлантира бошласак (375-шакл), нейтрал ўқнинг ҳар бир ҳолатига тўғри келган қутб нуқталарининг геометрик ўрни кесим юзасининг маркази атрофида битта ёпик контур ҳосил қилади. Бу контур билан чегараланган юза *кесим ядроси* деб аталади. У 375-шаклда штрихлаб кўрсатилган. Демак, қутб кесим ядросида ёки унинг контурида бўлса, кесим юзаси бўйича кучланиш бир хил ишорали бўлади. Қутб ядродан ташқариде бўлса, унга тегишли нейтрал ўқ кесим контурини кесиб ўтади ва кесим юзасида икки хил ишорали кучланиш ҳосил қилади.



375-шакл.



376-шакл.



377-шакл.

Қўндаланг кесим кўпбурчак шаклида бўлса, бундай кесимга тегишли ядро ҳам кўпбурчак шаклида бўлади. Қўндаланг кесим *ABCDEF* кўпбурчакдан иборат деб фараз қилайлик (376-шакл). Нейтрал ўқ қўндаланг кесимнинг *AB* томонига мос келганда, унга тегишли қутб *a* нуқтада бўлсин. Нейтрал чизиқни *AB* ҳолатидан *BC* ҳолатига кучириш учун уни *B* нуқта атрофида айланттириш лозим. Нейтрал ўқнинг айланиши натижасида қутбнинг *ab* тўғри чизиқ бўйича кўчишини юқорида исбот қилган эдик. Кесим юзининг *AB* томони орқали ўтувчи нейтрал ўқ *B* нуқта атрофида айланиб, унинг *BC* томонини қоплаганда қутб *a* тўғри чизиқ бўйича кўчади ва *b* нуқтага келиб тўхтайд. Бу *a* ва *b* нуқталарни туташтириб, кесим ядросининг бир томони *ab* ни аниқлаган бўламиз. Худди шу тарзда кесим юзининг *BC* томонидан ўтувчи нейтрал ўқни *e* нуқта атрофида кесим юзи то *CD* томони билан устма-уст тушгунча айланттириб, нейтрал ўқнинг бу ҳолатига тегишли қутб *c* ни оламиз. Бу *c* нуқтани олдин аниқланган *b* нуқта билан тугаштириб, ядронинг иккинчи томони *bc* ни аниқлаймиз. Бу мулоҳаза асосида кўпбурчак кесим ядросининг барча томонларини аниқлаймиз. Ҳосил бўлган ядро *abcdef* 376-шаклда штрихлаб кўрсатилган.

Бу айтилганларни ойдинлаштириш учун бир нечта оддий мисоллар келтирамиз.

Тўғри тўртбурчак учун кесим ядросини қурамиз (377-шакл). Нейтрал ўқ кесимнинг *AB* томонидан ўтганда, *y* бош инерция ўқи *oz* дан

$b = -\frac{h}{2}$  кесмани ажратади ва *oy* ўқи билан чексизликда кесишади. Шунинг учун  $a = \infty$  бўлади. Нейтрал ўқнинг бу ҳолатига тегишли  $A_1$  қутбнинг координаталари:

$$z_{A_1} = -\frac{r^2}{b} = +\frac{2h^2}{12h} = \frac{h}{6}, \quad y_{A_1} = 0.$$

Нейтрал ўқ *CD* орқали ўтганда,  $A_2$  қутбнинг координаталари  $z_{A_2} = -\frac{h}{6}$ ,  $y_{A_2} = 0$  бўлади. Нейтрал ўқ *BD* ва *AC* орқали ўтганда, қутбнинг координаталари тегишлича

$$z_B = 0; \quad y_{B_2} = \pm \frac{b}{6} \text{ бўлади.}$$

Энди бу координаталар билан аниқланган қутбларни туташтирсак,  $A_1B_1A_2B_2$  ромб ҳосил бўлади. Демак, тўғри тўртбурчак кесимнинг ядроси диагоналлари  $\frac{h}{3}$  ва  $\frac{b}{3}$  га тенг ромб бўлар экан.

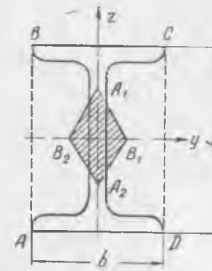
Қўштак кесим учун (378-шакл) нейтрал чизиқнинг энг четки ҳолатлари  $AB, BC, CD$  ва  $AD$  чизиқлар билан аниқланади. Қўштак кесимнинг ички контуридаги чизиқлар орқали нейтрал ўқлар ўтказилса, улар кесимни кесиб ўтади. Шунинг учун улар текширилмайди. Ядрони қуриш учун нейтрал чизиқнинг ҳалиги тўртта ҳолатига тегишли қутбларни аниқлаш лозим. Кесимнинг симметрия ўқлари бўлгани учун бу ҳолда ҳам ядро ромб бўлади. Ромбнинг учларини аниқловчи нуқталарнинг координаталари (109.4') дан аниқланади. Масалан,  $A_1$  ва  $A_2$  қутбларнинг координаталари учун:

$$z_{A_1} = \pm \frac{2r^2}{h} y;$$

шунингдек,  $B_1$  ва  $B_2$  қутбларнинг координаталари учун:

$$y_B = \pm \frac{2r^2}{b} z$$

$r_y^2$  ва  $r_z^2$  ларнинг қийматлари берилган қўштак учун сортаментлар жадвалидан аниқланади. Худди шундай мулоҳазалар юргизиб, турли шаклдаги кесимлар учун кесим ядроларини қуришимиз мумкин.



378-шакл.

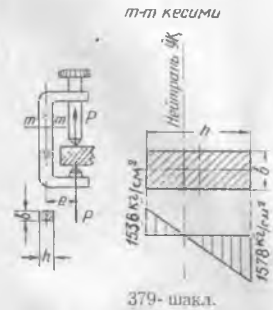
МАСАЛАЛАР

145. 379-шаклда кўрсатилган қисқич устунининг кўндаланг кесими  $m-m$  тўғри тўртбурчакдир.  $P = 200$  кг,  $e = 60$  мм,  $b = 10$  мм ва  $|\sigma| = 1600$  кг/см<sup>2</sup>, кесим баландлиги  $h$  аниқлансин.

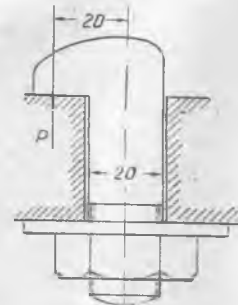
Ечиш. Тўғри тўртбурчак кесимли стержень марказий бўлмаган қўзувчи куч таъсиридадир. Бу ҳолга тегишли мустақамлик шarti:

$$\frac{P}{hb} \left( 1 + \frac{6e}{h} \right) \leq |\sigma|$$

кўринишда ёзилади.

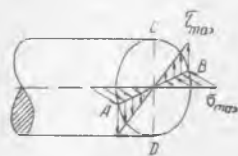


379-шакл.

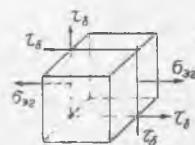


380-шакл.

сий оғирлиги таъсирида ва шу туфайли айланиш вақтида ҳосил бўладиган марказдан қочма инерция кучи таъсирида эгилади. Трансмиссион ва тирсақли валлар ҳамда шестернялар ўрнатилган валлар буралиш билан бирга, шубҳасиз, эгилади ҳам. Биз олдин буралиш билан эгилиш таъсирига биргаликда дуч келган вал ёки бошқа бир машина қисмининг кўндаланг кесимини доира шаклида деб олиб, унинг энг хавфли кўндаланг кесими юзасидаги кучланишларни текшираемиз (385-шакл).



385-шакл.



386-шакл

Даставвал мазкур кесимда эгилишдан ҳосил бўладиган нормал кучланишни ҳисоблаб, кейин унга буралишдан ҳосил бўладиган тангенциал кучланишни қўшамиз.

Доира шаклидаги кўндаланг кесим учун эгувчи момент қандай текисликда ётса ҳам, текис эгилиш ҳосил бўлади. Шунинг учун эгувчи моментнинг қандай текисликда ётишининг аҳамияти йўқ. Эгувчи момент горизонтал текисликда ётибди деб фараз қилайлик. У ҳолда текшириляётган кесим учун энг катта нормал кучланиш горизонтал диаметрининг учларидаги  $A$  ва  $B$  нуқталарида ҳосил бўлади. Буралишдан ҳосил бўладиган максимал тангенциал кучланиш кўндаланг кесимнинг четки нуқталарида ҳосил бўлиши бизга маълум.  $A$  ва  $B$  нуқталарда ҳам тангенциал кучланишлар энг катта қийматга эга бўлади. Шундай қилиб, кесимдаги  $A$  ва  $B$  нуқталарда энг катта нормал ва тангенциал кучланишлар ҳосил бўлар экан.

Вертикал диаметрининг учларидаги  $C$  ва  $D$  нуқталарда эса буралишдан ҳосил бўладиган энг катта тангенциал кучланиш билан эгилишдан ҳосил бўладиган энг катта тангенциал кучланиш алгебраик равишда қўшилади. Аммо бу кучланишларнинг қиймати  $A$  ва  $B$  нуқталардаги кучланишларга қараганда жуда кичикдир, шунинг учун уларни ҳисобга олинмаса ҳам бўлади, чунки материалнинг мустаҳкамлигини текширганда унинг учун хавфли кучланиш ҳолати  $A$  ва  $B$  нуқталарда бўлишини тегишли ҳисоблар билан тасдиқлаш мумкин.  $A$  ёки  $B$  нуқталарга яқин жойда стержендан ёқлари текшириляётган кўндаланг кесим юзасига параллел ва унга тик бўлган куб шаклидаги бир элемент ажратади (386-шакл). Бу кубнинг тўртала ёғига тангенциал кучланиш  $\tau_2$  таъсир қилади; бу ёқларнинг иккита қарама-қарши вертикал томонларига нормал кучланишлар ҳам таъсир қилади. Унинг қолган икки ёғига кучланишлар таъсир қилмайди. Шунинг учун ажратилган элемент текис кучланиш ҳолатида бўлади. Бундай ҳолларда материалнинг мустаҳкамлигини текшириш учун аввало бу кучланиш ҳолатига тегишли бош кучланишлар  $\sigma_1$  ва  $\sigma_2$  ни аниқлаб, сўнг уларнинг қийматини мустаҳкамлик назариялардан бирортасига қўйиш лозим.

Биз текширяётган ҳол учун 36-параграфда берилган бош кучланишларни ифодаловчи (36.5) формуладан фойдаланамиз. бироқ ундаги нормал ва тангенциал кучланишлар ўрнига эгилиш ва буралишдаги нормал ва тангенциал кучланишларнинг қийматларини қўямиз. Тўртала мустаҳкамлик назариясининг ҳар бирига мувофиқ қуйидаги ҳисоб тенгламаларини оламиз:

1. Энг катта нормал кучланиш назариясига мувофиқ:

$$\frac{1}{2} (\sigma_{\text{эр}} + \sqrt{\sigma_{\text{эр}}^2 + 4\tau^2}) \leq [\sigma]. \quad (111.1)$$

II. Энг катта нисбий чўзилиш назариясига мувофиқ:

$$(0,35 \sigma_{gr} + 0,65 \sqrt{\sigma_{gr}^2 + 4 \tau_0^2}) \leq [\sigma]. \quad (111.2)$$

III. Энг катта тангенциал кучланиш назарияга мувофиқ:

$$\sqrt{\sigma_{gr}^2 + 4 \tau_0^2} \leq [\sigma]. \quad (111.3)$$

IV. Энергетик назарияга мувофиқ:

$$\sqrt{\sigma_{gr}^2 + 3 \tau_0^2} \leq [\sigma]. \quad (111.4)$$

Тўртала мустаҳкамлик назариясига мувофиқ чиқарилган бу ҳисоб тенгламаларини мустаҳкамлиги текшириладиган вал ёки доира шаклидаги кесимли бошка жисмнинг ўлчамлари ва унга қўйилган буровчи ҳамда эгувчи моментлар билан боғлаш лозим. Бунинг учун машина ёки иншоотнинг буралиш билан эгилиш таъсирига биргаликда дуч келадиган элементига таъсир кўрсатадиган буровчи ва эгувчи моментларни ҳисоблаш лозим. Буларни ҳисоблаш усулини трансмиссион вал учун келтириб ўтаемиз.

Трансмиссион валлар ўз оғирлигидан, улардаги шкив ва шестернялар оғирлигидан, шкивларни айлантирувчи тасмаларнинг тортилишидан эгилади. Валга ўрнатилган шкив  $l$  ни етакловчи деб фараз қилайлик. Уни айлантирувчи тасма етакловчи томонининг тортилиши  $T$ , эргашувчи томонининг тортилиши  $T_0$  бўлсин (387-шакл). Механизм ва машиналар назарияси курсида тасманинг етакловчи учидаги тортилиш билан эргашувчи учидаги тортилиш орасидаги муносабат қуйидаги формула билан берилади:

$$T = T_0 e^{f\varphi}.$$

бу ерда  $\varphi$  — шкивнинг тасма қоплаган ёйини аниқловчи марказий бурчак;  $f$  — тасма билан шкив сирти орасидаги ишқаланиш коэффициентини;  $e$  — натурал логарифмнинг асоси. Ҳайвон терисидан тайёрланган тасманинг етакловчи ва эргашувчи учлари параллел бўлган ҳолда сирти силлиқланган чўя шкив учун  $e^{f\varphi} = 2$  бўлади. Шунинг учун:

$$T = 2T_0. \quad (111.5)$$

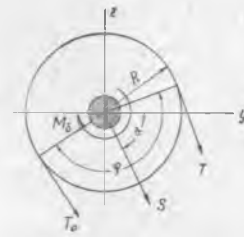
Шкив айланасидаги зўриқишни  $P$  десак, тасманинг етакловчи учидаги тортилиш  $T_0 = P$  бўлади. Энди бу тортилиш кучларини вал маркази  $O$  га келтирамиз. Келтириш натижасида вал маркази  $O$  да бир томонга қараб йўналган  $T = 2P$  ва  $T_0 = P$  кучлар билан моментлари  $2PR$  ва  $PR$  бўлган жуфт кучлар ҳосил бўлади; бунда  $R$  — шкивнинг радиуси. Булар мос ҳолда қўшилса, вал марказига қўйилган:

$$S = T + T_0 = 3P \quad (111.6)$$

куч билан, momenti:

$$M_0 = TR - T_0R = (T - T_0)R = PR \quad (111.7)$$

бўлган жуфт куч ҳосил бўлади. Тасма учлари параллел бўлмаган ҳолларда  $S < 3P$  бўлади. Аммо, ҳисобни мураккаблаштирамаслик учун бундай ҳолларда ҳам  $S = 3P$  деб қабул қилинади.



387-шакл.

Валнинг ҳар минутдаги айланиш сони  $n$ , шкив орқали узагиладиган қувват  $N$  (от кучи ҳисобида) маълум бўлса, буровчи момент қуйидагича ифодаланиши бизга маълум:

$$M_6 = 71620 \frac{N}{n} \text{ кгсм.} \quad (111.7')$$

Буни (111.6) билан солиштириб, айланадаги зўриқишни аниқлаймиз:

$$P = \frac{M_6}{R} = 71620 \frac{N}{Rn}. \quad (111.8)$$

Айланадаги зўриқиш  $P$  аниқлангандан кейин эгувчи моментни ҳисоблаш қийин эмас, чунки вал марказига қўйилган  $S = 3P$  кучни вертикал ва горизонтал ташкил этувчиларга ажратиб, қуйидаги кучларни ҳосил қиламиз:

$$S_y = 3P \cos \alpha, \quad S_z = 3P \sin \alpha.$$

Бунда  $oy$  ўқи горизонтал,  $oz$  ўқи эса вертикал йўналтирилди.

Бу кучларга тегишли эгувчи момент эпюраларини қуришда, уларнинг вертикал ташкил этувчисига шкивнинг оғирлиги  $G$  ни қўшиш лозим. Валга бир неча шкив ўрнатилган бўлса, ҳар қайси шкивдаги қайишлар тортилишидан ҳосил бўладиган айланадаги зўриқишни алсҳида аниқлаб, унга тегишли эгувчи куч  $S$  ни ҳисоблаш зарур. Агар валнинг учида кривошип ёки тишли филдирак бўлса, тегишли айланадаги зўриқиш қуйидаги формуладан аниқланади:

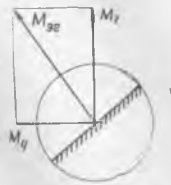
$$P = \frac{M_6}{a},$$

бу ерда  $a$  — кривошипнинг узунлиги ёки тишли филдиракнинг босим  $P$  қўйилган нуқтасидан вал марказигача бўлган масофа. Валнинг шкив шестерня ёки кривошип ўрнатилган кесимларидаги зўриқишларнинг вертикал ва горизонтал ташкил этувчилари аниқлангандан кейин, тегишли текисликлардаги эгувчи моментларнинг эпюраларини қуриш қийин эмас. Уларни қуриб, валнинг ҳар қайси кесими учун вертикал ва горизонтал текисликлардаги эгувчи моментларни геометрик қўшиб, тўла эгувчи момент  $M_{\text{эг}}$  ни ҳисоблаш мумкин. Бирор қўндаланг кесимдаги эгувчи момент вектори  $M_{\text{эг}}$  388-шаклда тасвирланган. Ҳар бир кесим учун бу эгувчи момент вектори  $M_{\text{эг}}$  нинг йўналиши ҳар хил бўлади. Шунинг учун валнинг ўқи бўйлаб бу вектор ўз йўналишида қўйиб борилса, уларнинг учини туташтирувчи чизик қандайдир винтсимон фазовий эгри чизилни ҳосил қилади. Аммо доира шаклидаги кесим юзаси учун ҳар қандай марказий ўққа нисбатан олинган қаршилик моментлари тенг бўлгани сабабли бу моментларнинг натурал қийматларини вал ўқи бўйлаб вертикал текисликка ўнатишимиз мумкин. Эгувчи момент эпюрасининг бу хилда қурилиши ҳисоб натижасига таъсир қилмайди. Бу айтилганларни кейинча конкрет масалалар ечиб ойдинлаштирамиз.

Эгувчи ва буровчи моментлар аниқлангач, уларга тегишли нормал ва тангенциал кучланишларни ҳисоблаш қийин эмас. Уларнинг энг катта қийматлари қуйидагича ёзилади:

$$\sigma_{\text{эг}} = \frac{M_{\text{эг}}}{W}; \quad \tau_6 = \frac{M_6}{W_6}.$$

Доира шаклидаги кесим учун эгилиш ва буралишдаги қаршилик моментлари:



388-шакл.

$$W = \frac{\pi d^3}{32}; \quad W_0 = \frac{\pi d^3}{16}$$

бўлади, буларни солиштирсак,  $W_0 = 2W$  муносабатни оламиз. Бу муносабатга кўра, тангенциал кучланиш қуйидагича ёзилади:

$$\tau_0 = \frac{M_0}{2W}$$

Кучланишларнинг бу қийматларини юқорида чиқарилган мустақамлик шартларини ифодаловчи (111.1), (111.2), (111.3) ва (111.4) формулаларга қўйсак, қуйидаги ҳисоб формулаларини оламиз:

$$\frac{1}{2} \left[ \frac{M_{\text{эг}}}{W} + \sqrt{\left( \frac{M_{\text{эг}}}{W} \right)^2 + 4 \frac{M_0^2}{(2W)^2}} \right] = \frac{M_{\text{эг}} + \sqrt{M_{\text{эг}}^2 + M_0^2}}{2W} \leq [\sigma], \quad (111.1')$$

$$\frac{0,35 M_{\text{эг}} + 0,65 \sqrt{M_{\text{эг}}^2 + M_0^2}}{W} \leq [\sigma], \quad (111.2')$$

$$\frac{\sqrt{M_{\text{эг}}^2 + M_0^2}}{W} \leq [\sigma], \quad (111.3')$$

$$\frac{\sqrt{M_{\text{эг}}^2 + 0,75M_0^2}}{W} \leq [\sigma]. \quad (111.4')$$

Бу формулаларнинг ҳаммасини бирлаштириб, битта формула кўринишида ёзиш мумкин. Бунинг учун чап томондаги касрларнинг суратларини  $M_x$  деб белгилаб, уни ҳисоб моменти деб атаймиз ва қуйидаги ҳисоб тенгламасини оламиз:

$$\frac{M_x}{W} \leq [\sigma]. \quad (111.9)$$

Ҳисоб моменти  $M_x$  эгувчи момент  $M_{\text{эг}}$  буровчи момент  $M_0$  ва мустақамлик назарияларига боғлиқдир. Ҳисоб моменти  $M_x$  нинг қиймати тўрттала назарияга мувофиқ қуйидагича бўлади:

$$\left. \begin{aligned} M_{x1} &= \frac{1}{2} (M_{\text{эг}} + \sqrt{M_{\text{эг}}^2 + M_0^2}), \\ M_{x2} &= 0,35 M_{\text{эг}} + 0,65 \sqrt{M_{\text{эг}}^2 + M_0^2}, \\ M_{x3} &= \sqrt{M_{\text{эг}}^2 + M_0^2}, \\ M_{x4} &= \sqrt{M_{\text{эг}}^2 + 0,75M_0^2} \end{aligned} \right\} \quad (111.10)$$

Ҳисоб тенгламаси (111.9) кўриниши жиҳатидан оддий эгилишдаги балкани нормал кучланишга текшириш учун чиқарилган ҳисоб тенгламасига ўхшайди, фақат ҳисоб моменти  $M_x$  мураккаб қаршилиқда ҳисоблаб чиқарилган моментни ифодалайди, холос.

Агарда вал эгилиш билан буралишдан ташқари, яна  $N$  куч таъсирида сиқилса ёки чўзилса, бунга кучланиш  $\sigma_0 = \frac{N}{F}$  ни эгилишдан ҳосил бўлган нормал кучланиш  $\sigma_{\text{эг}}$  га қўшиш лозим ( $N$  критик қийматига етмаган бўлиши керак).

Валнинг мустаҳкамлигини таъмин этувчи диаметри (111.9) дан ҳисоблашимиз мумкин:

$$W = \frac{\pi d^3}{32} \geq \frac{M_x}{[\sigma]}$$

Бундан, вал диаметри

$$d \geq \sqrt[3]{\frac{32M_x}{\pi[\sigma]}} \approx \sqrt[3]{10 \frac{M_x}{[\sigma]}} \quad (111.11)$$

чунки  $\frac{32}{\pi} \approx 10$ . Бу формуладан фойдаланиш учун мустаҳкамлик назарияларидан қайси бири ишлатилишини олдиндан танлаб, тегишли ҳисоб моменти  $M_x$  ни аниқлаб олиш керак бўлади.

Валлар одатда пўлатдан, умуман, пластик материаллардан тайёрланади. Бундай материалларнинг ҳисоби учун биринчи мустаҳкамлик назариясини ишлатиш мумкин эмаслиги маълумдир. Шу вақтгача машинасозликда пластик материаллар учун, очикдан-очик нотўғри натижа беришига қарамай, иккинчи назарияга катта эътибор берилиб келинмоқда. Унга асосланиб тузилган ҳисоб формуласи баъзан Сен-Венан формуласи деб юритилади, у қуйидагича ёзилади:

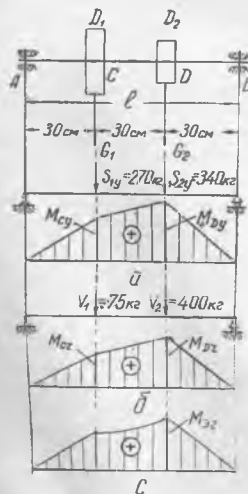
$$\frac{1}{W} [0,35 M_{gr} + 0,65 \sqrt{M_{gr}^2 + M_0^2}] \leq [\sigma]$$

Кейинги вақтларда пластик материалларни ҳисоблашда учинчи ёки тўртинчи (энергетик) назариядан фойдаланилмоқда.

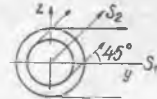
Энди бу айтилганларни қуйида келтирилган масалалар билан ойдинлаштирамиз.

### МАСАЛАЛАР

151. 389-шаклда тасвирланган пўлат трансмиссион валнинг диаметри II, III ва IV назарияларга мувофиқ аниқлансин. Вал  $N = 7$  от кучи қувватни шаклда кўрсатилгандек ўрнатилган ва оғирлиги  $G_1 = 75$  кг, диаметри  $D_1 = 900$  мм бўлган C шкив ҳамда оғирлиги  $G_2 = 60$  кг, диаметри  $D_2 = 500$  мм бўлган D шкив орқали станокка узатади. C шкивдаги тасмаларнинг йўналиши горизонтал бўлиб, шкивдаги тасмалар горизонт билан  $45^\circ$  бурчак ҳосил қилади. Вал минутига  $n = 125$  марта айланади. Эгилишга рухсат этилган нормал кучланиш  $[\sigma] = 1000$  кг/см<sup>2</sup>.



389-шакл.



Ечиш. Аввал вални эгувчи тасма тортилишларини аниқлаймиз. C шкивдаги айлана зўриқиш  $P_1$  бўлса, валнинг бу шкив ўтказилган кесимидаги горизонтал эгувчи куч  $S_1 = 3P_1$  бўлади. D шкивдаги айлана зўриқиш  $P_2$  бўлса, валнинг бу шкив ўрнатилган кесимидаги эгувчи куч  $S_2 = 3P_2$  бўлиб, у горизонт билан  $45^\circ$  бурчак ҳосил қилади. Бу кучни горизонтал ва вертикал ташкил этувчиларга ажратамиз. Бунинг учун олдин иккала шкивдаги айлана зўриқишини аниқлаймиз.

(111.7) формулага мувофиқ:

$$P_1 = \frac{M_0}{R_1} = \frac{2M_0}{D_1}; \quad P_2 = \frac{2M_0}{D_2};$$

$$M_0 = 71620 \frac{N}{n} = 71620 \frac{7}{125} = 4010 \text{ кгсм};$$

$$P_1 = 90 \text{ кг}; \quad P_2 \approx 160 \text{ кг}.$$

$$S_1 = 3P_1 = 270 \text{ кг}; \quad S_2 = 3P_2 = 480 \text{ кг}.$$

$S_1$  горизонтал йўналишда бўлгани учун, унинг вертикал ташкил этувчиси:

$$\begin{aligned} S_{1z} &= 0, & S_{1y} &= S_1 = 270 \text{ кг}; \\ S_{2y} &= S_2 \cos 45^\circ = 480 \cdot 0,77 = 340 \text{ кг}; \\ S_{2z} &= S_2 \sin 45^\circ = 480 \cdot 0,77 = 340 \text{ кг}. \end{aligned}$$

Вертикал ташкил этувчиларга тегишлича шкивларнинг оғирлиги қўшилади:

$$V_1 = G_1 = 75 \text{ кг}; \quad V_2 = S_{2z} + G_2 = 340 + 60 = 400 \text{ кг}.$$

Вални икки таянчга тиралган балка деб қараб, ҳар қайси текисликдаги кучлар билан юкланган ҳолатларини алоҳида текширамиз; улар 389-шаклнинг  $a$  ва  $b$  қисмларида тасвирланган. Иккала ҳол учун эгувчи моментлар эпюраси ҳам шу шаклларда қурилган. Уларнинг ҳар қайси кесимдаги геометрик йиғиндиси 389-шакл,  $c$  да тасвирланган. Энг катта эгувчи момент  $D$  кесимда ҳосил бўлиши кўриниб турибди. Унинг қиймати:

$$M_{эг} = \sqrt{M_{0z}^2 + M_{0y}^2} = l/3 \sqrt{B_y^2 + B_z^2} = 30 \sqrt{304^2 + 293^2} = 12\,720 \text{ кгсм}.$$

Горизонтал  $B_y$  ва вертикал  $B_z$  реакцияларнинг қийматларини ҳисоблаб момент эпюраси қуришни ўқувчиларимизга қолдирдик.

Буровчи моментни юқорида аниқлаган эдик. Энди учала мустаҳкамлик назарияси учун чиқарилган формулалардан фойдаланиб, вал диаметрини аниқлаймиз.

II назарияга мувофиқ:

$$M_{х2} = 0,35 M_{эг} + 0,65 \sqrt{M_{эг}^2 + M_0^2} = 13\,029 \text{ кгсм};$$

(111.11) формулага мувофиқ:

$$d = \sqrt[3]{10 \frac{M_{х2}}{[\sigma]}} = \sqrt[3]{10 \frac{13\,029}{1000}} = 5,07 \text{ см}.$$

III назарияга мувофиқ:

$$M_{х3} = \sqrt{M_{эг}^2 + M_0^2} = 13\,350 \text{ кгсм}.$$

$$d = \sqrt[3]{10 \frac{13\,350}{1000}} = 5,10 \text{ см}.$$

IV назарияга мувофиқ:

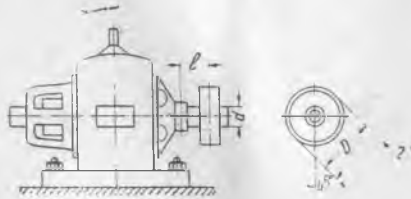
$$M_{х4} = \sqrt{M_{эг}^2 + 0,75 M_0^2} = 13\,200 \text{ кгсм}; \quad d = \sqrt[3]{10 \frac{13\,200}{1000}} = 5,09 \text{ см}.$$

Учала назария ҳам биз текширган ҳол учун бир-биридан кам фарқ қиладиган натижаларни берди.

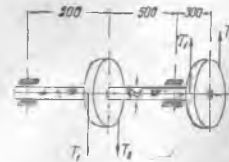
152. Электр двигателининг қуввати ( $N$ ) 12 от кучига тенг бўлган вали минутига  $n = 800$  марта айланади. Ҳаракат тасма орқали узатилади. Шкивнинг диаметри  $D = 250$  мм, оғирлиги  $G = 70$  кг (390-шакл). Валнинг диаметри III мустаҳкамлик назариясига асосланиб аниқлансин. Вални узунлиги  $l = 120$  мм бўлган консол деб қараш мумкин. Рухсат этилган кучланиш  $[\sigma] = 1000$  кг/см<sup>2</sup>.

Бу масала худди юқоридаги масала каби ечилади.

Жавоб:  $d = 3,4$  см.



390-шакл.

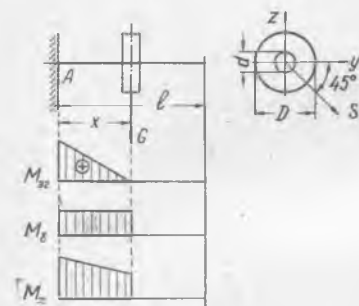


391-шакл.

153. Вал буровчи момент  $M_G = 15000 \text{ кг см}$  таъсирида буралиб, эгувчи момент  $M_{\text{эг}} = 8000 \text{ кг см}$  таъсирида эгилади. Унинг диаметри мустаҳкамлик назариясига мувофиқ аниқлансин. Рухсат этилган кучланиш  $[\sigma] = 1000 \text{ кг/см}^2$ .

Жавоб:  $d = 5,35 \text{ см}$ .

154.  $N = 10$  от кучини узатиб, минутига  $n = 300$  марта айланувчи валга диаметри бир хилда  $D = 700 \text{ мм}$  бўлган иккита шкив ўрнатилган (391-шакл). Рухсат этилган кучланиш  $[\sigma] = 900 \text{ кг/см}^2$ . Валнинг диаметри  $d$  аниқлансин.



392-шакл.

Курсатма: тасмаларнинг тортилиши вертикал йўналишда бўлгани учун вал шу текисликда эгилади. Ҳисоб схемаси икки таянчда ётувчи балка бўлади. Энг катта эгувчи момент таянчлар оралигининг қоқ уртасида бўлиб, унинг қиймати:

$$M_{\text{эг}} = 163,2 \cdot 50 = 8160 \text{ кг см};$$

$$M_{\text{хз}} = 8370 \text{ кг см}$$

$$d = \sqrt[3]{\frac{8370}{10 \cdot 900}} = 4,52 \text{ см}.$$

155. Минутига  $n = 120$  марта айланувчи ва диаметри  $d = 8 \text{ см}$  бўлган трансмиссион валнинг узунлиги  $l = 80 \text{ см}$  бўлган консолга диаметри  $D = 100 \text{ см}$ , оғирлиги  $G = 200 \text{ кг}$  ва  $N = 16$  от кучига тенг қувватни узатувчи шкив ўрнатиш керак (392-шакл). Шкив тасмаларнинг тортилиши горизонтга  $45^\circ$  қия. Валнинг хавфсиз ишлаши учун шкивни А таянчдан қандай  $x$  масофада ўрнатиш лозим? Ҳисоб III мустаҳкамлик назариясига мувофиқ бажарилсин. Рухсат этилган кучланиш  $[\sigma] = 700 \text{ кг/см}^2$ .

Ечиш. Аввало буровчи моментни аниқлаймиз:

$$M_G = 71620 \frac{N}{n} = 71620 \frac{16}{120} = 9449,2 \text{ кг см};$$

айлана зўрқиш:

$$P = \frac{2M_G}{D} = 188,98 \text{ кг}.$$

$$S = 3P = 566,94 \text{ кг}.$$

$$S_y = S \cos 45^\circ = 566,94 \cdot 0,77 = 436,5 \text{ кг},$$

$$S_z = S \sin 45^\circ = 566,94 \cdot 0,77 = 436,5 \text{ кг}.$$

Вертикал йўналишдаги  $S_z$  га шкив оғирлигини қўшамиз:

$$V = S_z + G = 436,5 + 200 = 636,5 \text{ кг}.$$

Эгувчи моментни ҳисоблаймиз:

$$M_{\text{эг}} = x \sqrt{S_y^2 + V^2} = x \sqrt{436,5^2 + 636,5^2} = 771,8 x.$$

Энди  $M_{\text{эг}}$  билан  $M_G$  нинг қийматини (6.10) даги учинчи формулага қўямиз:

$$M_{\text{хз}} = \sqrt{M_G^2 + M_{\text{эг}}^2} = \sqrt{9449,2^2 + 771,8 \cdot x^2}.$$

Буни (111.9) формулага қўйиб,  $x$  нинг қийматини аниқлаймиз:

$$\sqrt{9449,2^2 + 771,8^2 x^2} = 700 \frac{\pi d^3}{32},$$

бундан:

$$x = 42,8 \text{ см}.$$

## 112-§. Энг оддий тирсақли валларнинг ҳисоби

Тирсақли валларнинг ҳисоби билан танишамиз. Бунинг учун бир тирсақли энг оддий вални оламиз. У 393-шаклда барча улчамлари билан тасвирланган. Унинг маълум қисмлари эгилиш билан буралиш ва нормал зўриқиш таъсирига биргаликда дуч келади. Тирсақли вал асосан қуйидаги қисмлардан иборат:

1. Подшипникларга тиралган иккита асосий бўйинлар  $A$  ва  $B$ .

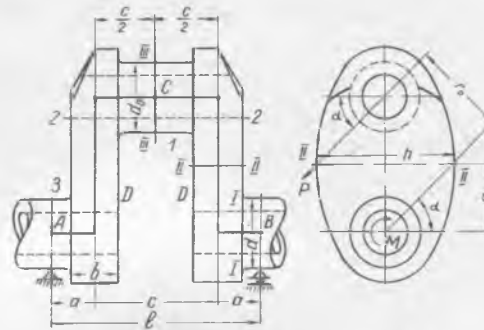
2. Горизонт билан  $\alpha$  бурчак ҳосил қилувчи шатун босими  $P$  ни қабул қилиб, вални айланттирувчи бўйин  $C$ ; бу мотило бўйни деб юритилади.

3. Иккита тўғри тўртбурчак кесимли қисмлар ( $D$ ). Улар валнинг чеккалари дейилади. Асосий бўйин  $B$  нинг подшипникдан чиқиб турган учига (консолига) маховик шкиви ўтказилиб, у тасма орқали узатувчи вазифасини ўтайди. Ҳалиги мотило бўйни орқали шатундан қабул қилинадиган босим  $P$  нинг вал ўқиға нисбатан моменти  $M_{AB} = Pr \cos \alpha$  шкив орқали валға бериладиган реактив момент  $M_0$  билан мувозанатлашади.

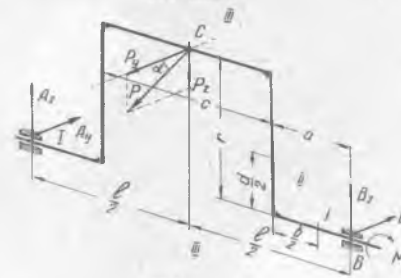
Тирсақли вал икки таянчға тиралган синиқ ўқли стержень деб қаралади

(394-шакл). Аммо тирсақли вални бу тарзда тасвирлаш ҳисоб схемасини тузиш учун қилинган бир шартли тадбирдир. Подшипникларни оддий таянч сифатида қарашдан мақсад ҳисоб схемасини соддалаштиришдир, ҳолос. Аслида эса подшипниклардаги валларни эластик муҳитға қистириб тиралган деб қараш лозим. Шунинг учун тирсақли валларнинг элементар ҳисобини жуда ҳам тақрибий ҳисоб деб қараш керак.

Валнинг барча қисмларидаги нормал зўриқиш ва буровчи ҳамда эгувчи моментларни ҳисоблаш учун  $C$  мотило бўйниға қўйилган  $P$  кучни иккита ташкил эгувчиға ажратамиз. Улардан тирсақ текислигида ётувчисини  $P_z$  билан, у текисликка тик йўналишдагисини  $P_y$  билан белгилаймиз (394-шаклда кўрсатилгандек). Шунга мос равишда подшипник реакциялари  $A$  ва  $B$  ни ҳам шундай ташкил эгувчиларға ажратамиз. Уларнинг қиймати иккала текисликдаги кучларнинг мувозанатлашиш шартидан аниқланади. Текшириладиган тирсақли валнинг энг хавфли кесимлари қуйидагилардир: 1) асосий бўйин билан чекканинг туташтирилган жойидаги I—I кесими; 2) чекканинг пастки кесими II—II; 3) мотило бўйни  $C$  нинг ўртасидаги куч қўйилган III—III кесимлар.



393-шакл.



394-шакл.

Бу кесимлардаги нормал зуриқишларни, буровчи ва эгувчи моментларни ҳисоблашда координата системаларини ҳар қайси текширилаётган кесим учун бундан олдин танланганидек танлаймиз, яъни  $x$  ўқини бруснинг ўқи бўйлаб,  $y$  ва  $z$  ўқларини кесимнинг оғирлик маркази орқали ўтказамиз.  $Y$  ҳолда ҳар бир кесим учун  $x$  га нисбатан олинган момент буровчи бўлиб,  $y$  ва  $z$  га нисбатан олинган моментлар тирсак текислигидаги ва унга тик текислигидаги эгувчи моментлардир.

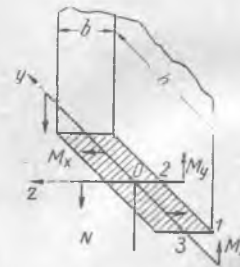
Энди, ҳалиги айtilган кундаланг кесимлардаги нормал куч, буровчи ва эгувчи моментларни текширилаётган кесимнинг ўнг томонидаги куч ва жуфт кучларга нисбатан ҳисоблаймиз. Уларнинг учала кесимдаги қийматларини қуйидаги жадвалга тузлаймиз.

| Валнинг қисми        | Кесим | Кесимдан ўнг таянчга бўлган масофа | Турли кесимлардаги $N$ , $M_x$ , $M_y$ ва $M_z$ ларнинг ифодаси |               |                                    |                                    |
|----------------------|-------|------------------------------------|---|---------------|------------------------------------|------------------------------------|
|                      |       |                                    | $N$   | $M_x$         | $M_y$                              | $M_z$                              |
| Валнинг асосий бўйви | I     | $a - \frac{b}{2}$                  | 0   | $M_0 = P_y r$ | $B_z \left(a - \frac{b}{2}\right)$ | $B_y \left(a - \frac{b}{2}\right)$ |
| Валнинг унг чеккаси  | II    | $a - \frac{d}{2}$                  | $-B_z$  | $B_y a$       | $B_z a$                            | $M_0 - B_y \frac{d}{2}$            |
| Мотило бўйви         | III   | $\frac{l}{2}$                      | 0   | $M_0 = B_y r$ | $B_z \frac{l}{2}$                  | $-B_y \frac{l}{2}$                 |

II кесимдаги моментларни ҳисоблашда 395-шаклдаги схемага эътибор қилинсин.



395-шакл.



396-шакл

I ва III кесимлардаги кучланишлар бирданга буровчи ва эгувчи моментларнинг қўшма таъсирида ҳосил бўлади. Мазкур кесимлардаги эгувчи моментларнинг қиймати қуйилагича бўлади:

$$M_{эгI} = \left(a - \frac{b}{2}\right) \sqrt{B_y^2 + B_z^2} = \left(a - \frac{b}{2}\right) B_y = \frac{1}{2} \left(a - \frac{b}{2}\right) P,$$

$$M_{эгIII} = \frac{l}{2} \sqrt{B_y^2 + B_z^2} = \frac{l}{2} B = \frac{Pl}{4}.$$

Бу кесимлар учун мустаҳкамлик шартини учинчи назарияга мувофиқ ёзамиз:

$$\frac{\sqrt{M_{gr}^2 + M_0^2}}{W} = \frac{32}{\pi d_0^3} \sqrt{M_{gr}^2 + \frac{1}{4} \left(a - \frac{b}{2}\right)^2 P^2} \leq [\sigma],$$

$$\frac{\sqrt{M_{gr}^2 + M_0^2}}{W} = \frac{32}{\pi d_0^3} \sqrt{\frac{P^2 l^2}{16} + (M_0 - B_y r)^2} \leq [\sigma].$$

Бу тенгламалардан асосий бўйин билан мотило бўйиннинг диаметрлари  $d$  ва  $d_0$  аниқланади. II кесимда буровчи ва эгувчи моментлардан ташқари, яна сиқувчи куч  $N$  ҳам таъсир кўрсатаётир (396-шакл.)

Чекка материалнинг мустаҳкамлиги текширилганда кесимнинг шаклда кўрсатилган учта нуқтаси 1, 2, 3 даги кучланишларни аниқлаш лозим. Биринчи нуқтада  $\tau_1 = 0$  бўлиб, ундаги нормал кучланиш қуйидагичадир:

$$\begin{aligned} \sigma_1 &= -\frac{N}{F} - \frac{M_y}{I_y} z_1 - \frac{M_z}{I_z} y_1 = \frac{B_z}{bh} + \frac{B_z a}{h^3 h} \cdot \frac{b}{2} + \frac{(M_0 - B_y \frac{d}{2})}{h^3 b} \cdot \frac{h}{2} = \\ &= \frac{bz}{bh} \left(1 + \frac{6a}{b}\right) + \frac{6(M_0 - B_y \frac{d}{2})}{h^2 b} \leq [\sigma] \end{aligned} \quad (1)$$

Иккинчи нуқтада  $M_z$  таъсирида ҳосил бўладиган кучланиш нолга тенгдир, шунинг учун:

$$\begin{aligned} \sigma_2 &= -\frac{N}{F} - \frac{M_y}{I_y} z_2 = \frac{B_z}{bh} + \frac{B_z a}{h^3 h} \cdot \frac{b}{2} = \frac{B_z}{h^2} (b + 6a), \\ \tau_2 &= \tau_{\max} = \frac{M_x}{W_x} = \frac{B_y a}{ab^3}. \end{aligned}$$

Тўғри тўртбурчак кесим учун  $\alpha$  коэффициентининг қиймати 53-параграфдаги жадвалда берилган. Бу нуқта учун мустаҳкамлик шarti қуйидагича ёзилади:

$$\sigma_{P_2} = \sqrt{\sigma_2^2 + 4\tau_2^2} = \frac{1}{h^2} \sqrt{B_z^2 (b + 6a)^2 + 4 \frac{B_y^2 a^2 h^2}{a^2 b^4}} \leq [\sigma]. \quad (2)$$

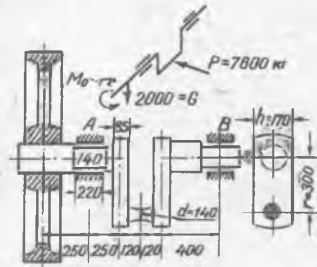
Учинчи нуқтада  $M_y$  дан ҳосил бўладиган нормал кучланиш нолга тенг.

$$\begin{aligned} \sigma_3 &= -\frac{N}{F} - \frac{M_z}{I_z} y_3 = \frac{B_z}{bh} + \frac{6(M_0 - B_y \frac{d}{2})}{bh^2}, \\ \tau_3 &= \lambda \tau_{\max} = \frac{B_y a}{b^3} \cdot \frac{\gamma}{\alpha}. \end{aligned}$$

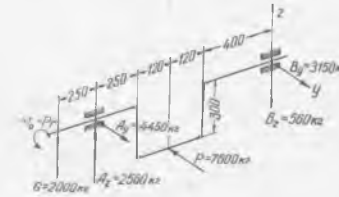
$\gamma$  нинг қиймати ҳам юқорида айтиб ўтилган жадвалда берилган. Бу ҳолда мустаҳкамлик шarti қуйидагича ёзилади:

$$\sigma_{P_3} = \sqrt{\sigma_3^2 + 4\tau_3^2} = \sqrt{\frac{1}{bh^2} \left[ B_z h + 6(M_0 - B_y \frac{d}{2}) \right]^2 + 4B_y^2 a^2 \left( \frac{h^2 \lambda}{b^2 \alpha} \right)^2} \leq [\sigma]. \quad (3)$$

$\frac{h}{b}$  нисбатнинг қиймати маълум бўлса, вал чеккасининг ўлчамларини учала (1), (2), (3) шартлардан аниқлашимиз мумкин. Бу учта формуладан қайси бири чекка ўлчамлари учун энг катта қийматни берса, шу қийматни қабул қилиш лозим. Бу айтилганларни битта конкрет масала билан ойдинлаштирамиз.



397-шакл



398-шакл.

156. 397-шаклда тасвирланган тирсақли валнинг асосий ва мотило бўйни (шатун цапфаси) диаметрлари  $d_1$ ,  $d_2$  ва чекка ўлчамлари  $b$ ,  $h$  ланинг учинчи мустаҳкамлик назариясига мувофиқ тўғри танланганлиги текширилсин. Ҳисоб тирсақли валнинг шаклда тасвирланган энг қулайсиз ҳолати учун бажарилсин. Тегишли юкларнинг қиймати шаклда курсатилган. Вал ва чекка материали учун рухсат этилган кучланиш  $[\sigma] = 900 \text{ кг/см}^2$ .

Ечиш. Тирсақли вал схематик равишда 398-шаклда тасвирланган.

Тирсақли валнинг асосий бўйнидаги буровчи момент:

$$M_z = 7600 \cdot 30 = 228\,000 \text{ кгсм.}$$

Вертикал текислик ағи эғувчи момент (A кесим учун):

$$M_{zg} = 2000 \cdot 25 = 50\,000 \text{ кгсм.}$$

III назарияга мувофиқ ҳисоб моменти:

$$M_x = \sqrt{M_{zg}^2 + M_z^2} = 233\,000 \text{ кгсм.}$$

Ҳисоб тенгламаси:

$$\sigma_{\max} = \frac{M_x}{W} = \frac{233\,000}{0.114^3} = 865 \text{ кг/см}^2 < [\sigma] = 900 \text{ кг/см}^2.$$

Асосий бўйиннинг мустаҳкамлиги етарлидир.

Мотило бўйнидаги буровчи ва эғувчи моментларни таянч реакциялари аниқлангандан кейин ҳисоблашимиз мумкин.  $y_A$ ,  $z_A$  ва  $y_B$ ,  $z_B$  ўқларга нисбатан тирсақли валга қўйилган кучларнинг моментлари йиғиндисини нолга тенглаштириб, таянч реакциялари  $A_y$ ,  $A_z$ ,  $B_y$ ,  $B_z$  ни топамиз:

$$\begin{aligned} A_y &= 4\,450 \text{ кг;} & A_z &= 2\,560 \text{ кг;} \\ B_y &= 3\,150 \text{ кг;} & B_z &= 560 \text{ кг.} \end{aligned}$$

Мотило бўйнида буровчи момент:

$$M_0 = 3\,150 \cdot 30 = 94\,500 \text{ кгсм.}$$

Горизонтал ва вертикал текисликлар ағи эғувчи моментлар:

$$M_z = 3\,130 \cdot 52 = 164\,000 \text{ кгсм.}$$

$$M_y = 560 \cdot 52 = 29\,100 \text{ кгсм.}$$

Тула эғувчи момент:

$$M_{zg} = \sqrt{M_y^2 + M_z^2} = \sqrt{(29\,100)^2 + (164\,000)^2} = 166\,000 \text{ кгсм.}$$

Ҳисоб моменти:

$$M_x = \sqrt{M_{zg}^2 + M_0^2} = \sqrt{(166\,000)^2 + (94\,500)^2} = 192\,000 \text{ кгсм.}$$

Мотило буйнидаги келтирилган кучланиш:

$$\sigma_{\max} = \frac{M_B}{W} = \frac{192\,000}{0,1 \cdot 14^3} = 710 < [\sigma] = 900 \text{ кг/см}^2.$$

Чекканинг энг хавфли кесими чап чекканинг юқори кесимида. Бу кесимдаги зуриқишлар 399-шаклда тасвирланган бўлиб, уларнинг қиймати қуйидагича ҳисобланади:

$$\begin{aligned} M_x = M_0 = A_y \cdot 25 = 4\,450 \cdot 25 = 111\,200 \text{ кг см}; & N_x = A_z - G = 560 \text{ кг}, \\ M_z = M_0 = 22\,800 \text{ кг см}; & Q_z = 0, \\ M_y = G \cdot 50 - A \cdot 25 = 2\,000 \cdot 50 - 2\,560 \cdot 25 = 36\,000 \text{ кг см}. & Q_y = 4\,450 \text{ кг}. \end{aligned}$$

Кесимда ҳосил буладиган бу зуриқишларга тегишли кучланишларни аниқлаймиз:

$$\begin{aligned} \tau_{M_0} &= \frac{M_0}{\alpha h b^2} = \frac{111\,200}{0,25 \cdot 17 \cdot 8,5^2} = 365 \text{ кг/см}^2; \quad \tau_{M_0} = \gamma \tau' M_0 = 0,795 \cdot 365 = 290 \text{ кг/см}^2; \\ \sigma_N &= \frac{N_x}{F} = \frac{560}{17 \cdot 8,5} = 4 \text{ кг/см}^2; & \sigma_{M_z} &= \frac{M_z}{W_z} = \frac{22\,800 \cdot 6}{8,5 \cdot 17^2} = 560 \text{ кг/см}^2; \\ \sigma_{M_y} &= \frac{M_y}{W_y} = \frac{36\,000 \cdot 6}{17 \cdot 8,5^2} = 176 \text{ кг/см}^2; & \tau_{M_y} &= \frac{3Q_y}{2bh} = \frac{3 \cdot 4\,450}{2 \cdot 8,5 \cdot 17} = 46 \text{ кг/см}^2. \end{aligned}$$

399-шаклда кесим буйича бу кучланишлар эпюраси тасвирланган. Чекка хавфли кундаланг кесимининг мустаҳкамлигини ундаги *A* ва *B* нуқталарга нисбатан текшираимиз. Улардаги энг катта нормал ва тангенциал кучланишлар қуйидагича бўлади:

$$\sigma_{чА} = 4 + 560 + 176 = 740 \text{ кг/см}^2 < [\sigma] = 900 \text{ кг/см}^2, \quad \tau_A = 0$$

*A* нуқтанинг кучланиши:

$$\sigma_{чА} = \sqrt{\sigma_A^2 + 4\tau_A^2} = 740 \text{ кг/см} < [\sigma] = 900 \text{ кг/см}^2.$$

*B* нуқтанинг кучланишлари:

$$\sigma_{чВ} = 4 - 176 = -172 \text{ кг/см}^2; \quad \tau_B = 365 + 46 = 411 \text{ кг/см}^2.$$

Бу нуқтадаги ҳисоб кучланиши:

$$\sigma_{чВ} = \sqrt{\sigma_B^2 + 4\tau_B^2} = \sqrt{(172)^2 + 4 \cdot (411)^2} = 840 \text{ кг/см}^2 < [\sigma] = 900 \text{ кг/см}^2$$

*C* нуқтанинг кучланишлари:

$$\sigma_C = 4 + 560 = 564 \text{ кг/см}^2; \quad \tau_C = 290 \text{ кг/см}^2$$

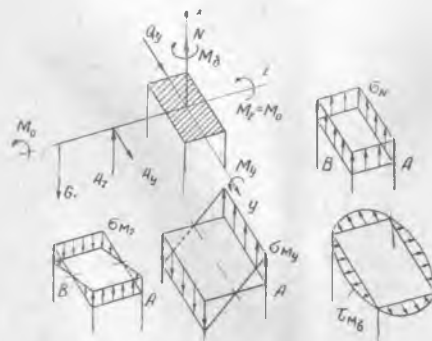
ва шу нуқтанинг ҳисоб кучланиши:

$$\sigma_{чС} = \sqrt{\sigma_C^2 + 4\tau_C^2} = \sqrt{(564)^2 + 4 \cdot (290)^2} = 620 \text{ кг/см}^2 < [\sigma] = 900 \text{ кг/см}^2.$$

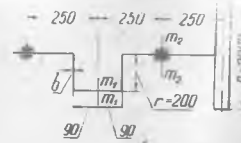
Чекканинг мустаҳкамлиги етарлидир.

Хавфли кундаланг кесимдаги энг кучланган *B* нуқтанинг мустаҳкамлиги етарлидир.

157. Бир цилиндрли горизонтал машина  $N = 25$  от кучи қувват беради (400-шакл). Валнинг минутига айланиш сови  $n = 200$ . Валнинг тирсак текислиги шатун билан бир текисликда ётганда, шатуннинг мотило буйнига курсатадиган босими 4 000 кг бўлиб, тирсак текислигининг вертикал ҳолатида 2 300 кг га тенгдир (кейинги ҳолда босимни горизонтал йуналишда деб қабул қилиш мумкин). Тирсакли валнинг энг учига



399-шакл.



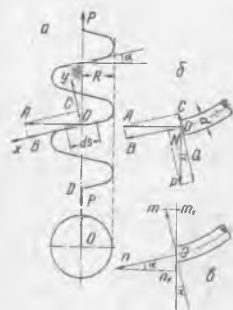
400-шакл.

ўрнатилган маховикнинг диаметри  $D = 2$  м бўлиб, оғирлиги  $G = 1000$  кг. Тасмаларнинг тортилишдан валга таъсир қиладиган босим айлана зуриқишининг уч қисса қийматига тенгдир. Валнинг қолган ўлчамлари шаклда берилган. III мустақкамлик назариясига мувофиқ,  $m_1 - m_2$  ва  $m_2 - m_3$  кесимларнинг диаметрлари  $d_1$  ва  $d_2$  аниқлансин. Чекканинг тўғри тўртбурчак қўндаланг кесими баландлиги  $h$  ни ҳалиги диаметрлардан каттасининг 1,2 қиссасига ва кенглигини  $b = 0,5h$  га тенг деб қабул қилиб, чекканинг мустақкамлиги текширилсин. Тасмалар горизонтал ҳолатда шатун томонга қараб йўналган. Рухсат этилган кучланиш  $[\sigma] = 800$  кг/см<sup>2</sup>.

Жавоб.  $d_1 = 8,9$  см;  $d_2 = 8,7$  см;  $h = 11$  см;  $b = 5,5$  см. Ҳисоб кучланиши:  
 $\sigma_x = 745$  кг/см<sup>2</sup> <  $[\sigma] = 800$  кг/см<sup>2</sup>.

### 113-§. Цилиндрик винтсимон пружиналар ҳисоби. Умумий ҳол

54-параграфда қадами кичик цилиндрик винт пружиналарни буралишгагина ҳисоблаган эдик. Энди, цилиндрик пружиналар ҳисобининг умумий ҳолини кўриб чиқамиз. Қадами катта цилиндрик винт пружинага ўқи бўйлаб чўзувчи  $P$  куч таъсир этади, деб фараз қилайлик (401-шакл). Винтсимон пружина ўрамининг бирор  $O$  нуқтасидан пружина ўқига ўтказилган уринма бўйлаб  $x$  ўқини йўналтирамиз.  $y$  ўқини шундай танлаймизки,  $y$   $O$  нуқтада  $x$  ўқи билан бирга пружина ўралган цилиндрнинг уринма текислигини ҳосил қилсин.



401-шакл

$O$  нуқтадан пружина ўрамининг ўқига ( $x$  ўқига) текислик билан ўрамини икки қисмга ажратиб, бир қисми кесимининг  $O$  нуқтасига  $P$  кучни келтирамиз (401-шакл, б). Натижада текширилаётган қисмда  $P$  кучдан ташқари,  $HOY$  текислигида ётувчи ва momenti  $PR$  га тенг бўлган жуфт куч ҳам ҳосил бўлади. Бу жуфт моментини  $OA$  вектор билан тасвирлаймиз. Векторнинг йўналишини ўнақай винт системаси қоида-сига мувофиқ танлаймиз, яъни  $OA$  векторнинг учи  $A$  дан момент йўналишини соат стрелкаси

айланишига тескари томонга каратиб қурамиз. Энди, текширилаётган қўндаланг кесимга қўйилган момент ва куч векторларини  $ox$  ва  $oy$  ўқлари бўйича ажратиб, ҳар қайси компонентнинг таъсирини алоҳида текширамиз.

Момент векторининг винт ўқига уринма бўлган  $ox$  ўқидаги проекцияси  $OB$  буровчи момент бўлиб, унинг қиймати қуйидаги ифодадан топилади:

$$M_x = PR \cos \alpha. \quad (a)$$

Момент векторининг  $oy$  ўқидаги проекцияси  $OC$  вектор эгувчи момент бўлиб, унинг қиймати:

$$M_y = PR \sin \alpha. \quad (b)$$

бўлади. Булардан ташқари кесим марказига нормал куч  $N = P \sin \alpha$  билан кесиб ётувчи куч  $Q = P \cos \alpha$  таъсир қилади. Қадами кичик винт ҳисобини текширганимизда кесиб ётувчи куч таъсиридан ҳосил бўладиган кучланиш жуда кичик бўлгани сабабли уни ҳисобга олмаган эдик. Бунда ҳам нормал ва кесиб ётувчи кучлар таъсирини юқоридаги мулоҳазага қўра, эгувчи ва буровчи моментларга нисбатан ҳисобга олмаймиз. Текширилаётган муқта атрофидан ажратилган элементар кубик мураккаб кучланиш ҳо-

латида бўлгани сабабли, олдин у нуқтадаги бош кучланишларни аниқлаймиз. Пружина кесимидаги энг катта нормал ва тангенциал кучланишларни топишда, буралиш билан эгилишнинг бирга таъсиридан ҳосил бўладиган кучланишни аниқлаш учун чиқарилган (111.1) ва (111.3) формулаларидан фойдаланамиз.

$$\sigma_{\max} = \frac{1}{2}(\sigma_{\text{сг}} + \sqrt{\sigma_{\text{сг}}^2 + 4\tau_y^2}) = \frac{M_y + \sqrt{M_y^2 + M_x^2}}{W_6} = \frac{16PR}{\pi d^3}(1 + \sin \alpha) \quad (113.1)$$

$$\tau_{\max} = \frac{1}{2}\sqrt{\sigma_{\text{сг}}^2 + 4\tau_0^2} = \frac{\sqrt{M_y^2 + M_x^2}}{W_6} = \frac{16PR}{\pi d^3}, \quad (113.2)$$

бу ерда  $d$  — пружина ўрамининг диаметри. (113.2) формула (54.2) формулага мос келаётир. Пружинанинг чузилиши  $\delta$  ни аниқлаш учун пружина деформациясининг потенциал энергиясини ҳисоблаймиз. Пружинадан ажратилган  $ds$  узунликдаги элементда тўпланган энергия буралиш ва эгилишдан ҳосил бўлган энергиялар йиғиндисига тенгдир. Буралишдаги потенциал энергияни (52.2) формула ёрдамида ҳисоблаган эдик, у ажратилган элемент учун  $\frac{M_x}{2GI_p}$  га тенг. Эгувчи момент таъсирида ажратилган  $ds$  элементининг

икки учига тегишли кесимлари бир-бирига нисбатан оғиб,  $d\varphi$  бурчагини ҳосил қилади. Бу оғишда эгувчи момент  $M_y$  иш бажаради, бу иш  $\frac{M_y d\varphi}{2}$

га тенг; бу ерда  $d\varphi = \frac{ds}{2} \cdot \frac{1}{\rho}$  нинг қиймати эгувчи момент  $M_y$  орқали (87.4) формула билан ифодаланган. Шунинг учун, ажратилган элементда эгилишдан ҳосил бўлган потенциал энергия  $\frac{M_y^2 ds}{2EI_y}$  га тенг. Ажратилган элементдаги тўла потенциал энергия қуйидаги формула билан ифодаланади:

$$dU = \left( \frac{M_x^2}{2GI_p} + \frac{M_y^2}{2EI_y} \right) ds.$$

Пружинида тўпланган тўла потенциал энергия қуйидаги формула орқали аниқланади:

$$U = \int_0^l \left( \frac{M_x^2}{2GI_p} + \frac{M_y^2}{2EI_y} \right) ds = P^2 R^2 \left( \frac{\cos^2 \alpha}{2GI_p} + \frac{\sin^2 \alpha}{2EI_y} \right) l, \quad (113.3)$$

бу ерда  $l$  — пружина ўрамининг ёйилгандаги узунлиги бўлиб, унинг қиймати:

$$l = \frac{2\pi Rn}{\cos \alpha}, \quad (113.4)$$

бу ерда  $n$  — ўрамлар сони. Пружина  $\delta$  қадар чузилганда чузувчи куч  $P$  қуйидаги ишни бажаради:

$$A = \frac{P\delta}{2}.$$

Бу иш пружинада тўпланган потенциал энергияга миқдор жиҳатидан тенг бўлади; шунинг учун юқорида  $U$  ва  $A$  учун ҳосил бўлган ифодаларни тенглаштириб,  $\delta$  ни аниқлаймиз:

$$\delta = \frac{32 PR^2 l}{\pi d^4} \left( \frac{2 \sin^2 \alpha}{E} + \frac{\cos^2 \alpha}{G} \right). \quad (113.5)$$

Бу формулада  $\alpha = 0$  бўлса, унда (54.4) формула ҳосил бўлади. Пружина чўзилганда унинг учларига тегишли кесимлар цилиндр ўқига нисбатан айланади. Бу айланишда ҳосил бўлган  $\varphi$  бурчакни ажратилган  $ds$  элементнинг бурчак деформациялари орқали ифодалаймиз.  $ds$  элементнинг бурилиш бурчаги (49.2) формулага мувофиқ  $\frac{M_x dx}{GI_p}$  га тенг. Бу бурчак кесимларнинг  $ox$  ўқига нисбатан айланишидан ҳосил бўлади. Кинематика курсидагидек, айланиш бурчагини вектор тарзида тасвирласак, у  $ox$  ўқи бўйлаб йўналган  $\overline{on}$  вектори бўлади. Унинг чўзувчи  $P$  куч йўналишидаги проекцияси  $\overline{on}_1$  дир (401-шакл, в):

$$\overline{on} = \frac{M_x dx}{GI_p} \sin \alpha. \quad (c)$$

Пружинадан ажратилган элементнинг эгилиши натижасида унинг кесимлари айланади, бу айланиш бурчаги (87.4) формулага мувофиқ  $\frac{M_y dx}{EI_p}$  га тенг.

Айланиш  $Q_y$  ўқи атрофида бўлади. Уни  $\overline{om}$  вектор билан тасвирлаймиз (401-шакл, в). Бу векторнинг  $P$  куч йўналишидаги проекцияси  $\overline{om}_1$  бўлади:

$$\overline{om}_1 = \frac{M_y dx}{EI_y} \cos \alpha. \quad (d)$$

$ds$  элементнинг  $P$  куч йўналиши атрофида тўла айланиш бурчаги:

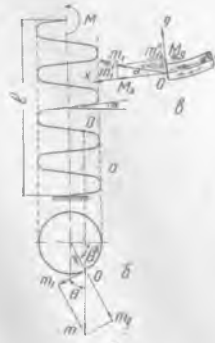
$$d\varphi = \left( \frac{M_x \sin \alpha}{GI_p} - \frac{M_y \cos \alpha}{EI_y} \right) ds$$

Пружинанинг бир учи маҳкамланган бўлса, бошқа учининг айланиш бурчагини топиш учун юқоридаги ифодани интеграллаймиз:

$$\varphi = \int_0^l \left( \frac{M_x \sin \alpha}{GI_p} - \frac{M_y \cos \alpha}{EI_y} \right) ds = \left( \frac{M_x \sin \alpha}{GI_p} - \frac{M_y \cos \alpha}{EI_y} \right) l. \quad (f)$$

Бу ифодага  $M_x$  ва  $M_y$  ларнинг қийматларини қўйиб ва доира шаклидаги сим учун  $I_p = 2I_y$  эканлигини эътиборга олиб,  $\varphi$  учун қуйидаги формулани оламиз:

$$\varphi = \frac{32}{\pi d^4} \frac{\mu}{E} PRl \sin 2\alpha. \quad (113.6)$$



402-шакл.

#### Пружинанинг жуфт куч таъсирида эгилиши

Пружинага унинг шакл текислигида ётувчи ва моменти  $M$  бўлган жуфт куч қўйилган бўлсин (402-шакл). Бундай ҳол амалда жуда кўп учрайди. Бунда пружина жуфт куч ётган текисликда эгилади. Шунинг учун пружина ўрамининг ҳар бир кўндаланг кесимидаги ички зўриқишларнинг бош момент вектори шакл текислигига тик йўналган. Шунга кўра, пружинанинг бирор кесимидаги ички кучларнинг моменти (402-шакл, б) да кўрсатилганидек  $\overline{om}$  вектори бўлсин. Координата ўқларини бундан олдин танланганидек танлаб,  $\overline{om} = \overline{M}$  векторини координата ўқлари бўйлаб ажратамиз:

$$\overline{om_2} = \overline{M_1} = M \sin \theta. \quad (a)$$

$M_1$  момент пружина стерженининг цилиндрига  $O$  нуқтадан ўтказилган уринма текислик сатҳида ётади.  $M_2$  momenti  $O$  нуқта билан винт чизиги ўралган цилиндр ўқи орқали ўтувчи текисликда ётгани сабабли уни иккита ташкил этувчига ажратамиз (402-шакл, в).  $\overline{om_1}$  моментнинг  $ou$  ўқидаги ташкил этувчиси:

$$\overline{om_1}'' = -om \sin \alpha = -M \sin \theta \sin \alpha \quad (b)$$

булади, бу ерда  $om_1''$  эгувчи моментдир, уни (a) ифода билан геометрик қўшиб, текширилатган кесимдаги тўла эгувчи моментни топамиз:

$$M_{\text{гр}} = M = \sqrt{\cos^2 \theta + \sin^2 \theta \sin^2 \alpha}$$

$\overline{om_1}$  векторнинг  $ox$  ўқидаги проекцияси буровчи момент бўлиб, унинг қиймати қуйидагига тенг:

$$om_1' = om_1 \cos \alpha = M \sin \alpha \cos \alpha. \quad (c)$$

Эгувчи ва буровчи моментлар топилгач, кучланишни ҳисоблаш қийин эмас. Энди пружинанинг деформациясини ҳисоблашга ўтамиз. Пружинадан ажратилган  $ds$  элементда тупланган потенциал энергия:

$$dU = M^2 \left\{ \frac{\cos^2 \theta + \sin^2 \theta \sin^2 \alpha}{2EI_y} + \frac{\sin^2 \theta \cos^2 \theta}{2GI_p} \right\} ds, \quad (d)$$

$$ds = \frac{Rd\theta}{\cos \alpha}.$$

Тўла потенциал энергияни топиш учун (d) ни  $\theta = 0$  ва  $\theta = 2\pi n$  чегарасида интеграллаймиз. Интегрални ҳисоблашда  $\int_0^{2\pi} \sin^2 \theta d\theta = \int_0^{2\pi} \cos^2 \theta d\theta = \pi$  эканлигини кўзда тутиб,  $U$  нинг қийматини топамиз:

$$U = \frac{M^2 R \pi n}{\cos \alpha} \left\{ \frac{1 + \sin^2 \alpha}{2EI_y} + \frac{\cos^2 \alpha}{2GI_p} \right\}. \quad (e)$$

Пружина тепа учининг айланиш бурчаги  $\psi$  ни аниқлаш учун, қўйилган жуфт куч momenti  $M$  нинг бажарган ишини  $U$  га тенглаштирамиз:

$$\frac{M\psi}{2} = \frac{M^2 R \pi n}{\cos \alpha} \left\{ \frac{1 + \sin^2 \alpha}{2EI_y} + \frac{\cos^2 \alpha}{2GI_p} \right\}.$$

бундан:

$$\psi = \frac{MR \pi n}{EI_y} \left\{ \frac{1 + \sin^2 \alpha}{EI_y} + \frac{\cos^2 \alpha}{GI_p} \right\}. \quad (113.7)$$

Пружина стерженининг узунлиги  $l = \frac{2\pi R n}{\cos \alpha} \sin \alpha$  ни кўзда тутиб, (113.7) ни қуйидагича ёзамиз:

$$\psi = \frac{M 2\pi R n \sin \alpha}{\cos \alpha} \frac{\left[ \frac{1 + \sin^2 \alpha}{2EI_y} + \frac{\cos^2 \alpha}{2GI_p} \right]}{\sin \alpha} = \psi. \quad (113.8)$$

бу ерда

$$B = \frac{\sin \alpha}{\frac{1 + \sin^2 \alpha}{2EI} + \frac{\cos^2 \alpha}{2GI_p}}. \quad (113.9)$$

Бир учи билан қистириб тиралган балканинг бошқа учига жуфт куч қўйилган ҳолда, бу учининг айланиш бурчаги  $\varphi = \frac{Ml}{EI}$  эди. Буни ҳозиргина чиқарилган (113.8) формула билан солиштириб,  $B$  ни пружинанинг соф эгилишдаги бикрлиги деб ҳисобласа бўлади. Бу хулосадан фойдаланиб, пружинанинг турли ҳолларда эгилишидаги кўчишларига (эгилиш, айланишига) оддий консол балкалар учун чиқарилган формулаларни қўлласа бўлади, бунда оддий бикрлик ўрнига (113.9) билан ифодаланган  $B$  бикрлик қўйилса kifоя. Масалан, пастки учи билан маҳкамланган пружинанинг тепа учига горизонтал йўналган  $P$  куч қўйилган бўлса (403- шакл), пружина тепа учининг горизонтал кўчиши



403- шакл.

$$\delta = \frac{Pl^3}{3B}$$

бўлади. Пружинанинг қадами кичик бўлса, тақрибан

$$\sin^2 \alpha = 0, \cos^2 \alpha = 1 \text{ деб } \sin \alpha = \frac{l}{s},$$

$$l = \sin \alpha \frac{2\pi Rn}{\cos \alpha} \sin \alpha$$

ни ҳосил қиламиз. Пружинанинг эгилишдаги бикрлиги қуйидаги формуладан аниқланади:

$$B = \frac{2El_y l}{s} = \frac{l}{\frac{E}{1+2G}}. \quad (113.10)$$

□

## XVII боб

### БАЛКАЛАРНИНГ ЭГИЛИШИГА ОИД БАЪЗИ МУРАККАБ ҲОЛЛАР

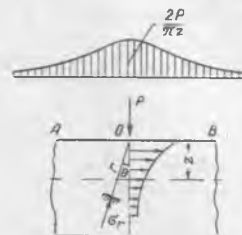
#### 114- §. Эгилишда ҳосил бўлган кучланишларнинг тўпланиши

Эгилишда ҳосил бўлган нормал кучланишлар учун юқорида чиқарилган формулалар куч қўйилган нуқталардан анча узоқда бўлган кесимлар учун қаноатланарли натижалар беради. Куч қўйилган нуқталардан бу кесимларгача бўлган масофа камида кўндаланг кесим ўлчамларига тенг бўлиши керак. Шу сабабли, балка кўндаланг ўлчамлари узунлигига қараганда қанча кичик бўлса, олинган натижалар шунча аниқроқ бўлади. Куч қўйилган нуқталар яқинида кучланишлар тўплами ҳосил бўлиб, уларга кучланишлар учун олдин чиқарилган ўзгариш қонунлари тўғри келмайди. Тўпланма куч таъсирида кучланишлар бўйлаб тўпланиш қонуни мураккаб характерда бўлиб, уни элементар назария асосида текшириб бўлмайди. Тўпланма кучдан ҳосил бўладиган кучланишлар тўпланими кўз олдимизга келтиришимиз учун баланд балка оламиз ва унинг тепасига қўйилган тўпланма  $P$  кучдан кесим юзасида ҳосил бўладиган кучланишнинг тўпланиш қонунини ифодаловчи формула билан танишамиз (404-шакл).

Бу масаланинг эластиклик назарияси асосида аниқ ечилиши шуни кўрсатадики, балканинг ҳар бир нуқтасида, шу нуқтани куч қўйилган  $O$  нуқта билан туташтирувчи радиус бўйлаб,  $O$  нуқтага қараб йўналган сиқувчи кучланиш ҳосил бўлади. Бундай кучланиш *радиал кучланиш* деб аталади ва у  $\sigma_r$  билан белгиланади. Унинг қиймати қуйидаги формуладан аниқланади:

$$\sigma_r = \frac{P}{\pi b} \cdot \frac{\cos \theta}{r}. \quad (114. 1)$$

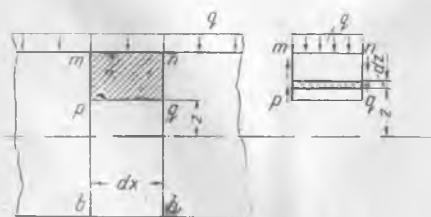
Бу формуладаги  $P$  ва  $\theta$  нинг қиймати 404-шаклда кўрсатилган;  $b$ —балканинг қалинлиги. Қўрамизки,  $A$  нуқта куч қўйилган  $O$  нуқтадан узоқлашган сари, радиал кучланиш  $\sigma_r$  тез камаяди. Шунинг учун кучланишлар туپланиши фақат куч қўйилган нуқтадагина аҳамиятга эгадир. Кучланишнинг  $P$  куч таъсир чизиги бўйича ўзгариш графиги ҳам 404-шаклда тасвирланган.



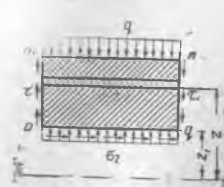
404-шакл.

Балка ёйилган юк таъсиридан эгилса, унда ҳосил бўладиган кучланишлар туپламни элементар мулоҳазалар асосида тақрибий равишда текшириш мумкин 405-шаклда текис ёйилган юк таъсирдаги тўғри тўртбурчак кесимли балка тасвирланган. Балканинг тепа юзига қўйилган ёйилма юк унинг бўйлама толаларини бир-бирига сиқади. Бунинг натижасида балка ўқиға тик йўналишда қўшимча сиқувчи кучланишлар ҳосил бўлади. Шу кучланишларнинг нейтрал қатламдан  $z$  масофадаги  $pq$  юзада ҳосил бўладиган қийматини аниқлаймиз. Бунинг учун балкадан бир-бирига чексиз яқин кўндаланг кесимлар ва ҳалиги  $pq$  текислик билан  $mnpq$  элементни ажратамиз. Бу элементнинг юқори томони  $mn$  балканинг ёйилган юк қўйилган сиртига мос келади (406-шакл). Шунинг учун бу томонга  $qdx$  куч таъсир қилади;  $mp$  ва  $nq$  томонларга эса нормал ва тангенциал кучланишлар таъсир қилади.  $mnpq$  элементнинг мувозанатини текшириш учун унга қўйилган кучларнинг вертикал  $oz$  ўқдаги проекциялари йиғиндисини нолга тенглаштирамиз. Шунинг учун расмда ҳалиги элементнинг  $mp$  ва  $nq$  томонларига таъсир этувчи кучланишлардан тангенциал кучланишларгина тасвирланган.

$mp$  кесимдаги кесиб ўтувчи куч  $Q$  бўлиб, у  $oz$  ўқи бўйлаб юқорига йўналган деб фараз қилайлик, у ҳолда  $nq$  кесимдаги кесиб ўтувчи куч



405-шакл.



406-шакл.

$(Q-qdx)$  га тенг бўлади. Нейтрал қаватдан  $z_1$  масофадаги элементни олсак, ундаги тангенциал кучланишлар  $\rho t$  ва  $q n$  томонлари учун тегишлича:

$$\tau = \frac{QS(z_1)}{I_y b}; \quad \tau_1 = \frac{(Q-qdx)S(z_1)}{I_y b}$$

бўлади. Бу кучланишларнинг  $\rho t$  ва  $q n$  бўйича кўрсатадиган таъсирини  $T$  ва  $T_1$  десак, улар тегишлича:

$$T = \frac{Q}{I_y b} \int_z^{h/2} S(z_1) b dz; \quad T_1 = \frac{(Q-qdx)}{I_y b} \int_z^{h/2} S(z_1) b dz$$

бўлади.  $\rho q$  томони бўйича таъсир кўрсатаётган нормал кучланишни  $\sigma_z$  билан белгилаймиз. Бу номаълум кучланишни  $dx$  мобайнида тенг ёйилган деб фараз қиламиз. У ҳолда  $\rho q$  юза бўйича таъсир қилувчи нормал куч  $\sigma_z dx$  га тенг бўлади. Энди, ажратилган элементнинг мувозанат тенгламасини тузамиз:

$$\sum Z = -qdx - \frac{(Q-qdx)}{I_y b} \int_z^{h/2} S(z_1) b dz_1 + \frac{Q}{I_y b} \int_z^{h/2} S(z_1) b dz_1 + \sigma_z dx = 0,$$

бундан:

$$\sigma_z = \frac{q}{b} \left[ 1 - \frac{1}{I_y z^2} \int_z^{h/2} S(z_1) dz_1 \right] \quad (114. 2)$$

келиб чиқади.

Статик момент  $S(z_1)$  ва инерция моменти  $I_y$  нинг қийматини

$$S(z_1) = \frac{bh^2}{8} \left( 1 - 4 \frac{z^2}{h^2} \right); \quad I_y = \frac{bh^3}{12}$$

формулалардан (114. 2) га қўйсак,  $\sigma_z$  учун қуйидаги ифодани оламиз:

$$\sigma_z = \frac{q}{2b} \left( 1 + 3 \frac{z}{h} - 4 \frac{z^2}{h^2} \right). \quad (114. 3)$$

Бу радиал кучланишнинг қийматини баҳолаш учун оралиғи  $l = 4$  м бўлган икки таянчга тиралган  $20^{\text{с}}$ -номерли қўштавр балкани оламиз. Балкага интенсивлиги  $q = 2$  т/м бўлган ёйилган юк қўйилган; балканинг юқори юзидаги максимал сиқувчи кучланиш  $\sigma_{\text{max}}$  нинг қийматини шу юзада ҳосил бўладиган радиал кучланиш  $(\sigma_z)_{\text{max}}$  билан таққослаб кўрамиз.

$20^{\text{с}}$ -номерли қўштавр учун:  $W = 250$  см<sup>3</sup>,  $b = 1,02$  см. Балканинг юқори юзидаги максимал сиқувчи кучланишни ҳисоблаймиз:

$$\sigma_{\text{max}} = \frac{M_{\text{max}}}{W_y} = \frac{ql^2}{8W_y} = \frac{20 \cdot 400^2}{8 \cdot 250} = 1600 \frac{\text{кг}}{\text{см}^2}$$

Максимал радиал кучланиш:

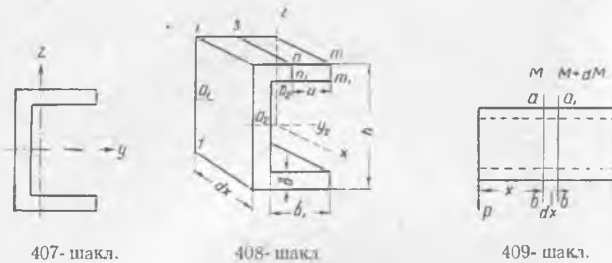
$$(\sigma_z)_{\text{max}} = \frac{q}{b} = \frac{20}{1,02} \approx 19 \text{ кг/см}^2$$

бўлади.

Агар бу кучланишни қўндаланг кесимда ҳосил бўладиган  $\sigma_{\text{max}}$  билан таққослаб кўрсак, унинг ҳақиқатан ҳам эътиборга олмаслик даражада кичик эканлигини кўрамиз.

### 115-§. Бош текислик симметрия текислиги бўлмаган ҳолдаги эгилиш. Эгилиш маркази

Балкаларнинг соф эгилиши текширилганда эгувчи момент бош эгилиш текисликларидан биттасида ётса, эгилишнинг ҳам шу текисликда бўлиши кўрсатиб ўтилган эди. Аммо амалда ҳамма балкалар ҳам ана шундай хусусиятга эга бўлавермайди. Масалан, бир симметрия текислиги бўлмаган балка, унинг бош текислигида ётган кўндаланг куч таъсирида бўлса, у ҳолда балка эгилиш билан бирга, албатта буралади ҳам.

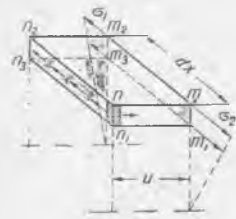


Эгилган балкаларда буралиш деформацияси рўй бериши хусусан юпқа деворли профиллар учун жуда ҳам хавфлидир, Балканинг куч ётган бош текислигини ўз-ўзига параллел кучириш йўли билан эгилган балкаларда рўй берадиган буралишни йўқотиш мумкин. Кўндаланг кесим юзида битта симметрия ўқи бўлган энг оддий ҳолларни текшираемиз. Балкага қўйилган юк симметрия текислигига тик бўлган бош текисликда ётсин. Масалан, ОУ кўндаланг кесимнинг симметрия ўқи бўлиб, балкани эгувчи куч шу ўққа тик йўналсин. 407-шаклда схематик равишда тасвирланган швеллер кесим учун буралишдан холи бўлган кўндаланг эгилишни таъмин этувчи куч ётадиган вертикал текисликнинг ҳолатини аниқлаймиз.

Координата ўқларини қуйидагича танлаймиз: кесимнинг симметрия ўқи бўйлаб  $y$  ўқини, унинг иккинчи бош ўқи бўйлаб юқорига қаратиб  $Z$  ўқини, балканинг геометрик ўқи бўйлаб эса  $x$  ўқини йўналтираемиз. Тангенциал кучланишларни яна илгаригидек координата ишоралари билан белгилаймиз, яъни  $x$  ўқига тик юзада  $Z$  ўқига параллел йўналган тангенциал кучланишни  $\tau_{xz}$  билан, шунингдек, ҳалиги юзадаги  $y$  ўқига параллел бўлганларини  $\tau_{xy}$  билан белгилаймиз. Кўндаланг кесимнинг вертикал девордаги тангенциал кучланиш  $\tau_{xz}$  ни аниқлаш учун (81. 3) формуладан фойдаланамиз. Кесиб ўтувчи куч  $Q$  ни вертикал девор асосан ўзи қабул қилиши ҳақида айтиб ўтган эдик. Модомики,  $Q_z \cong Q = \int_F \tau_{xz} dF$  экан, яъни вертикал девордаги тангенциал кучланишлар шу девор марказига қўйилган ва вертикал йўналишдаги  $Q_z \cong Q$  кучига келтирилса, қўшимча буралиш қаердан ҳосил бўлади, деган савол туғилади.

Буралиш деформациясининг кўндаланг кесимда ётувчи жуфт кучдан ҳосил бўлиши бизга маълум. Бундай жуфт куч кесимнинг тоқчаларида горизонтал йўналган қўшимча тангенциал кучланишлар ҳосил бўлгандагина вужудга келиши мумкин. Бу қўшимча тангенциал кучланишларнинг ҳосил бўлишини ва уларнинг қандай миқдорда бўлишини ҳамда кўндаланг кесим

юзиди қандай қонун билан тақсимланишини текшираемиз. Масалани мураккаблаштирмаслик учун, бир учи билан кистириб қўйилган ва бошқа учи вертикал бош текисликда ётувчи  $P$  қуч қўйилган консолни оламиз (408-шакл). Бу балканинг учидан  $x$  ва  $x + dx$  масофада ўтказилган  $ab$  ҳамда  $a_1b_1$  вертикал текислик ёрдамида ундан бир бўлак ажратамиз. Бу бўлак 409-шаклда тегишли ўлчамлари билан тасвирланган. Мазкур бўлакнинг тепасидаги



410-шакл.

токчасидан, шаклда кўрсатилганидек,  $u$  масофада  $mn_1m_1$  элементини ажратамиз. Бу элементнинг (410-шакл)  $nn_1n_2$  ва  $mm_1m_2m_3$  ёқлари-га  $M$  ва  $M + dM$  моментлар билан боғлиқ бўлган чўзувчи  $N_1$  ва  $N_2$  нормал зўриқишлар таъсир қилади.  $N_2 > N_1$  бўлгани учун токчадан ажратилган бу элементнинг деворга параллел  $mnn_1m_1$  кесимида тангенциал кучланиш  $\tau_{yx}$  ҳосил бўлиши керак. Акс ҳолда ажратилган элемент мувозанатда бўлмайди.  $mnn_1m_1$  кесим бўйича таъсир қилувчи тангенциал кучланиш чексиз кичик юзада:

$$dT = \tau_{xy} t dx$$

бўлади. Бу кучланиш ҳалиги нормал зўриқишлар айирмаси  $N_2 - N_1$  билан мувозанатлашади; шунинг учун:

$$N_2 - N_1 = \tau_{xy} t dx. \quad (115.1)$$

Энди  $N_1$  ва  $N_2$  нормал зўриқишларни аниқлаймиз. Ҳалиги ажратилган элементнинг  $nn_1m_1$  ва  $n_2n_3m_3m_4$  кесимлардаги нормал кучланишлар йиғиндисини, яъни  $N_1$  ва  $N_2$  кучлар тегишлича:

$$\left. \begin{aligned} N_1 &= \int_{F_1} \sigma_1 dF = \frac{M}{I_y} \int_{F_1} z dF, \\ N_2 &= \int_{F_1} \sigma_2 dF = \frac{M + dM}{I_y} \int_{F_1} z dF \end{aligned} \right\} \quad (115.2)$$

бўлади  $F_1$  юза кўндаланг кесимнинг тепа токчасидан  $u$  ораликда ажратилган элементнинг  $nn_1m_1$  кесимига оиддир. Шунинг учун 115-формулардаги статик моментни ифодаловчи интеграл қуйидагига тенг:

$$\int_{F_1} z dF = \int_{F_1} z u dz \approx u t \frac{h}{2}.$$

Буни кўзда тутиб, мувозанат тенгламаси (10.1) ни қуйидагича ёзамиз:

$$\frac{M + dM}{I_y} u t \frac{h}{2} - \frac{M}{I_y} u t \frac{h}{2} = \tau_{xy} t dx.$$

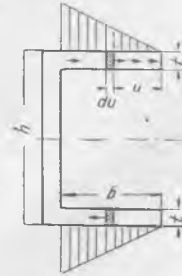
Бу тенгламадан қўшимча тангенциал кучланиш  $\tau_{xy}$  ни аниқлаймиз:

$$\tau_{xy} = \frac{dM}{dx} \cdot \frac{h}{2I_y} u = \frac{Qh}{2I_y} u. \quad (115.3)$$

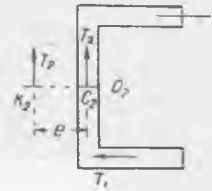
Тангенциал кучланишларнинг жуфтлик принципига мувофиқ,  $mn_1nn_1$  юзага тик бўлган  $nn_1n_2n_3$  юзада ҳам  $\tau_{yx} = \tau_{xy}$  тангенциал кучланиш ҳосил бўлади. (115.3) формуладан бу кучланиш ( $\tau_{xy}$ ) нинг  $u$  га пропорционал

равийида ўзгариши яққол кўриниб турибди. Ажратилган элементнинг  $mt$  қиррасида  $u=0$  бўлгани учун  $\tau_{xy}=0$  бўлади.

Худди шундай кучланишлар қундаланг кесимнинг пастки токчасида ҳам, лекин тескари ишора билан ҳосил бўлади. Бу қўшимча кучланишлар графиги 411-шаклда тасвирланган. Горизонтал йўналишдаги бу қўшим-



411- шакл.



412- шакл.

ча тангенциал кучланишдан токчаларнинг юзи бўйлаб ҳосил бўладиган тангенциал зўриқиш  $T_1$  ни аниқлаймиз. Бунинг учун тепа токчанинг ўнг қиррасидан  $u$  масофада битта элементар юзача ажратамиз. Юзачанинг кенглиги  $du$  бўлсин. Бу юзача 411-шаклда штрихлаб кўрсатилган. Мазкур юзачадаги тангенциал зўриқиш  $dT_1$  қуйидагича ифодаланади:

$$dT_1 = \tau_{yx} \cdot tdu = \frac{Qh}{2I_y} tdu.$$

Токчанинг бутун юзаси бўйича бу ифоданинг йиғиндисини олсак,  $T_1$  ни топган бўламиз:

$$T_1 = \int_0^b \frac{Qh}{2I_y} tdu = \frac{Qh}{4I_y} tb^2. \quad (115. 4)$$

Худди шу хилдаги куч кесим пастки токчасининг юзасига ҳам қўйилган, аммо  $T_1$  га тескари йўналган бўлади. Токчалар юзасига қўйилган бу кучлар 412-шаклда тасвирланган. Булардан ташқари, кесим деворининг юзаси бўйлаб вертикал йўналган  $\tau_{xz}$  кучланишдан ҳосил бўлган вертикал тангенциал зўриқиш  $T_2$  ҳам шу шаклда тасвирланган.

Токчалар юзасидаги вертикал тангенциал кучланишларни, агар улар девордаги тангенциал кучланишларга нисбатан эътиборга олинмаса, девор маркази  $C_2$  га қўйилган  $T_2 = \int_{Fg} \tau_{xz} dF$  ни кесиб ўтувчи куч  $Q$  га тенг дейиш мумкин. Демак, текширилаётган кесим юзасига жуфт ҳосил қилувчи  $T_1$ ,  $T_1$  кучлар ва девор марказига қўйилган вертикал йўналишдаги,  $T_2 \approx Q$  куч таъсир қилади.

Мазкур кучлар системасини девор марказидан  $C_2K_2 = e$  масофадаги  $K_2$  нуқтага қўйилган битта  $T_2$  куч билан алмаштиришимиз мумкин. Бунинг учун кучлар системасининг келтириш маркази  $K_2$  ни шундай танлашимиз керакки, кучлар системасининг бу нуқтага нисбатан кесим юзидаги моменти нолга тенг бўлсин. У ҳолда, система мазкур  $K_2$  нуқтага қўйилган вер-

тикал йўналишдаги биргина куч билан алмаштирилиб, кесим юзида ҳосил бўладиган буровчи жуфт куч моменти бўлмайди. Шу шартга кўра:

$$T_1 h - Qe = 0. \quad (115.5)$$

Бу ерда биз ( $T_1$ ,  $T_1$ ) жуфтининг елкаси учун қўндаланг кесим баландлиги  $h$  ни олдик. (10.5) дан:

$$e = \frac{T_1 h}{Q}; \quad (115.6)$$

$T_1$  нинг қийматини (115.4) дан келтириб қўйсак, (10.6) формула қуйидаги кўринишни олади:

$$e = \frac{h^2 b_1 t}{4I_y}. \quad (115.7)$$

Шу тарзда аниқланган нуқта эгилиш маркази деб аталади.

Куч ётган текислик симметрия текислиги бўлмаганда, балка нейтрал ўқи  $Y$  бўлган оддий эгилиш ҳолатида бўлиши учун, куч текислигини ўз-ўзига параллел ҳолда кўчириб, эгилиш марказидан ўтказиш лозим. Куч бундан бошқа текисликда ётган тақдирда эгилиш буралиш билан бирга вужудга келади ва кучланиш  $\sigma = \frac{M}{I_y} z$  каби оддий кўринишда бўлмай, анчагина мураккаблашади.

Швеллер кесим учун эгилиш марказининг ҳолати (115.7) формула ёрдамида аниқланади. Бу формулани бирмунча соддароқ кўринишга келтириш мумкин. Бунинг учун кесимнинг инерция моменти  $I_y$  ни девор ва токчалар инерция моментларининг йиғиндиси тарзида ифодалаймиз. Токчаларнинг инерция моментини ҳисоблашда уларнинг ўз ўқиغا нисбатан инерция моментларини эътиборга олмаймиз.

У ҳолда:

$$I_y = \frac{t_d h^3}{12} + 2 b_1 t \left( \frac{h}{2} \right)^2 = \frac{1}{2} b_1 t h^2 \left( 1 + \frac{1}{6} \frac{t_d h}{b_1 t} \right)$$

бўлади. Девор ва токчаларнинг юзаларини тегишлича  $F_d$ ,  $F_m$  деб белгиласак:  $F_d = t_d h$ ,  $F_m = b_1 t$  бўлади, буларни кўзда тутиб,  $I_y$  нинг қийматини қуйидагича ёзамиз:

$$I_y = \frac{1}{2} b_1 t h^2 \left( 1 + \frac{1}{6} \frac{F_d}{F_m} \right).$$

Бунинг (115.7) формулага қўйиб, қуйидаги ифодани ҳосил қиламиз

$$e = \frac{h^2 b_1 t}{4I_y} = \frac{\frac{b_1}{2}}{1 + \frac{1}{6} \frac{F_d}{F_m}}. \quad (115.8)$$

Бу ифодадан кўриниб турибдики, швеллер кесим учун  $e$  масофа токча кенлигининг ярмисидан кичик бўлар экан, яъни:

$$e < \frac{1}{2} b.$$

Қўндаланг кесим бурчаклик бўлса (413-шакл), унинг тепа токчасининг учидан  $u$  масофада бўлган  $ml$  чизикда ҳосил бўладиган тангенциал кучла-

нишлар швеллер кесим учун чиқарилган формулага ўхшаш формула билан топилади:

$$\tau = \frac{Q}{J_y I} \int_E z dF$$

бунда  $\int_E z dF$  — шаклда штрихлаб кўрсатилган юзанинг  $y$  ўқига нисбатан статик моменти. У биз текшираётган ҳол учун қуйидагича ифодаланади:

$$\int_E z dF = \int_{b-u}^b (b-u) \cos 45^\circ t dv = \frac{tu^2}{\sqrt{2}}$$

Буни назарда тутиб, бурчакликнинг тепа тоқчасига таъсир қилувчи тангенциал зўриқиш  $T$  ни аниқлаймиз. Бунинг учун олдин  $t du$  юзадаги  $dT$  ни топамиз, у:

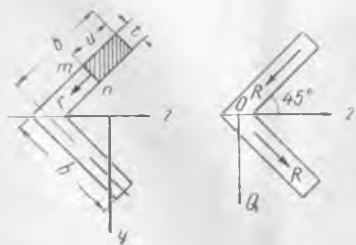
$$dT = \tau t du$$

бўлади. Бурчакликнинг тепа тоқча юзаси бўйича бу ифоданинг йиғиндисини олсак,  $T$  ни топган бўламиз.

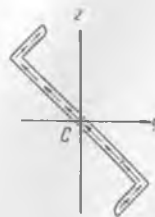
Бурчакликнинг пастки тоқчасига ҳам худди шундай катталиқдаги, лекин пастга қараб йўналган тангенциал зўриқиш таъсир қилади (413-шакл). Бу икки кўчнинг тенг таъсир этувчиси  $Q$  тоқчалар ўрта чизиқларининг кесилган нуқтаси  $O$  га қўйилган бўлиб, пастга томон йўналган. Шунинг учун  $O$  нуқта бурчаклик кесимнинг эгилиш маркази бўлади.

Худди шундай мулоҳаза билан  $Z$  шаклидаги кесим учун ҳам  $T$  нинг катталигини топиш мумкин. Бу ҳолда кесимнинг иккала тоқчасидаги зўриқишлар бир томонга йўналган бўлади. Шунинг учун уларнинг тенг таъсир этувчиси кесимнинг маркази  $C$  дан ўтади. Бу тенг таъсир этувчини кесим деворидаги вертикал тангенциал кучланишлар йиғиндисидан ҳосил бўлган тангенциал зўриқиш  $Q_z$  билан геометрик қўшиб, эгилиш текислигининг бош вертикал ўқ  $z$  га нисбатан йўналишини топамиз (414-шакл). Бу ҳолда ҳам эгилиш маркази кесим маркази  $C$  га мос келади.

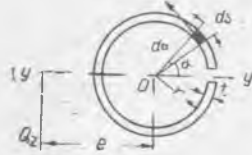
Текширилган ҳодисанинг амалий аҳамияти жуда ҳам каттадир. Юпқа деворли профиллар жуда ҳам осон буралади. Шунинг учун бундай ҳоллар-



413-шакл.



414-шакл.



415- шакл.

да кўндаланг юкларни эгилиш марказидан ташқарига қўйиш балкаларда катта қўшимча деформациялар ҳосил қилишга олиб боради.

Эгилиш марказига оид бу айтилган мулоҳазаларнинг ҳаммаси юпқа деворли элементлар учунгина уринлидир. Кўндаланг кесим улчамлари бир хил тартибли бўлса, эгилиш марказини аниқлаш масаласи анчагина мураккаблашади. Бундай ҳолларда масалани эластиклик назарияси усуллари билан ечиш мумкин.

158-масала. Юпқа деворли труба ясовяси буйича кесилган (415-шакл). Труба кўндаланг кесимининг ўртача радиуси  $r$ , деворининг қалинлиги  $t$ . Мазкур кесим учун эгилиш маркази аниқлансин.

Ечиш. Эгилиш маркази кесимнинг симметрия ўқида ётади. Унинг ҳолатини топиш учун ички тангенциал кучлар тенг таъсир этувчиси қўйилган нуқтани аниқлаймиз. Кесиб ўтувчи куч  $Q$  таъсирида труба кўндаланг кесимида тангенциал кучланиш  $\tau$  ҳосил бўлади. Унинг қиймати қуйидаги формуладан топилади:

$$\tau = \frac{Qz}{I_y t} \int_F z dF.$$

415-шаклдан:

$$dF_2 = t ds = t r d\alpha; \quad z = r \sin \alpha$$

$$\tau = \frac{Qz}{I_y} r^2 \int_0^\alpha \sin \alpha d\alpha = \frac{Qz}{I_y} r^2 (1 - \cos \alpha).$$

Эгилиш марказини аниқлаш учун мазкур марказга нисбатан олинган ички кучлар моменти билан кесиб ўтувчи куч  $Q_z$  моментининг йиғиндисини нолга тенг деб оламиз:

$$Q_z e - \int_F \tau r dF = 0.$$

Бундан:

$$e = F \frac{\int \tau r dF}{Q_z}$$

келиб чиқади. Бу ифодага  $\tau$ ,  $dF$  ва  $I_y = \pi r^3 t$  ларнинг қийматини қўйиб, уни интегралласак, эгилиш марказининг ҳолатини аниқловчи елка  $e$  ни топамиз:

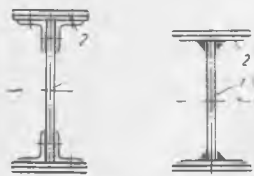
$$e = \frac{t r^3}{I_y} \int_0^{2\pi} (1 - \cos \alpha) d\alpha = 2z.$$

#### 116-§. Улама балкалар ва уларнинг ҳисоби

Инженерлик иншоотларида, хусусан, саноат биноларида, катта куприкларда ишлатиладиган балкаларнинг кўндаланг кесим улчамлари ёйилма профиллар учун сортамент жадвалларида бериладиган улчамлардан анча катта бўлади. Масалан, ёйилма профиллардан энг кўп ишлатиладигани — қўштакли кесимнинг энг катта номери 70<sup>а</sup> дир; бу номердаги балканинг баландлиги 700 мм бўлади. Ҳолбуки, ҳалиги айтилган иншоотларда ишлатиладиган балкаларнинг баландлиги кўпи билан 5 метрга етади. Шунинг

учун бундай ҳолларда листлар ва бурчакликлардан тузилган улама балкалар ишлатилади. Улама балкалар таркибидаги элементлар парчин михлар ёрдамида ва пайвандлаш усули билан туташтирилади.

Парчин михлар ёрдамида туташтирилган балка вертикал лист (1), бир нечта горизонтал лист (2) ва бурчакликлардан иборат бўлади (416-шакл). Пайвандлаб уланидиган балкалар эса вертикал ва горизонтал листлардан иборат бўлади (417-шакл).



416-шакл.

417-шакл.

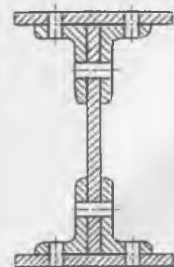
Энди, икки усулда уланган ана шу балкалар ҳисобининг асосий моментлари билан танишиб чиқамиз.

Улама балкаларнинг ҳисоби, асосан, мустақамлик шартидан фойдаланиб кўндаланг кесимнинг қаршилик моментини аниқлашдан ва топилган қаршилик моментига асосланиб, кўндаланг кесим таркибидаги элементларнинг ўлчамларини аниқлашдан иборат. Мустақамликни таъминловчи қаршилик momenti қуйидаги тенгламадан топилади:

$$W_{\text{нето}} = \frac{M_{\text{мах}}}{[\sigma]} \quad (116.1)$$

Бу ерда  $W_{\text{нето}}$  — кўндаланг кесимнинг тўла юзасидан парчин михлар тешигига тўғри келадиган юзачалар чиқариб ташланган соф юзанинг қаршилик momenti. 418-шаклда тасвирланган кесимда соф юза штрихлаб кўрсатилган.

$W_{\text{нето}}$  нинг кийматидан кесим таркибидаги элементларнинг ўлчамларини бевосита аниқлаб бўлмайди, чунки ҳар қайси элементнинг ўлчами кесимнинг умумий юзасига боғлиқ бўлмаган ҳолда топилади, яъни турли ўлчамлардаги элемент-



418-шакл.

лардан маълум кийматдаги  $W_{\text{нето}}$  га эга бўлган кесимни олиш мумкин. Шунинг учун улама балка кесимидаги элементларнинг ўлчамини танлашда, балканинг асосий элементи бўлган деворининг баландлигини олдиндан белгилаб олиш лозим.

Улама балканинг баландлиги, асосан, балка материалининг рухсат этилган кучланиши  $[\sigma]$  га ва максимал эгилишнинг балка узунлигига бўлган нисбати  $\frac{1}{l}$  га боғлиқ бўлиб, иқтисодий мулоҳазалар ҳам назарга олинган ҳолда қуйидаги эмпирик формулалардан аниқланади:

$$\left. \begin{aligned} h &\cong \sqrt[3]{220 W_{\text{нето}} - 15} \\ h &\cong 1,2 \sqrt{W_{\text{нето}}} \end{aligned} \right\} \quad (116.2)$$

Дастлабки ҳисоблашда, балка баландлиги девор баландлигига тахминан тенг қилиб олинади. Девор қалинлигини аниқлашда, кўндаланг кучни асосан деворга тушади деб фараз қилиб, тангенциал кучланишга мувофиқ ҳисоблаш тенгламасини тузиш лозим:

$$\tau_{\text{мах}} = \frac{3 Q_{\text{мах}}}{2 \delta_d h_d} \leq [\tau] \quad (116.3)$$

бундан:

$$\delta_{\partial} = \frac{3 Q_{\max}}{2 h_{\partial} [\tau]}. \quad (116. 4)$$

Конструктив ва иқтисодий мулоҳазалар назарда тутилиб  $\delta_{\partial}$ , кўпинча, қуйидаги содда муносабатдан аниқланади:

$$\delta_{\partial} = 7 + \frac{3h}{1000}. \quad (116. 5)$$

Бу муносабат фақат соддалиги жиҳатидан қулай, бироқ (116. 4) муносабат қатъийроқдир.

Балканинг дастлабки баландлиги  $h_{\partial}$  (116. 2) дан аниқлангандан кейин, кесимнинг инерция моменти осонгина ҳисобланади:

$$I_{\text{нетто}} = W_{\text{нетто}} \frac{h_{\partial}}{2}. \quad (116. 6)$$

Кесимнинг парчин михлар тешиги ҳисобига заифланишини дастлабки нисбатда тахминан 20% деб қабул қилиб,  $I_{\text{брутто}}$  учун қуйидаги формулани оламиз:

$$I_{\text{брутто}} = 1,2 W_{\text{нетто}} \frac{h_{\partial}}{2} = \frac{1,2 M_{\max}}{[\sigma]} \cdot \frac{h_{\partial}}{2}. \quad (116.7)$$

Бу формула билан аниқланадиган катталик улама балка кесимини танлаш учун асосий маълумотдир.  $I_{\text{брутто}}$  кўндаланг кесим таркибидаги элементларга тегишли инерция моментларининг йиғиндисига тенг бўлгани учун энди инерция моментларини ҳисоблаймиз.

Деворнинг инерция моменти:

$$I_{\partial} = \frac{\delta_{\partial} h_{\partial}^3}{12}.$$

Бурчакликларнинг қалинлиги ва тоқчасининг кенглиги, умуман олганда, номери, кесим тоқчасининг қалинлигига боғлиқ. Тоқчанинг қалинлиги эса балканинг узунлиги ва баландлигига боғлиқдир. Бурчакликларнинг кенглиги билан балканинг баландлиги орасида маълум муносабат бор. Бу муносабат конструктив мулоҳазалар асосида белгиланади. Масалан, баландлиги 1,5 м дан ошмайдиган балкалар учун  $b_{\text{бур}} \cong \frac{h_{\partial}}{10}$  деб олинади. Бу муносабат тақрибий бўлиб, ундан бурчакликнинг кенглигини чамалаш учун фойдаланилади. Катта миқдордаги юклар таъсиридаги балкалар учун кесим тоқчаси юзасининг 30 проценти бурчакликлар юзаси учун ажратилади. Бурчакликларнинг қалинлиги, одатда, девор қалинлиги билан бир хил қилиб олинади.

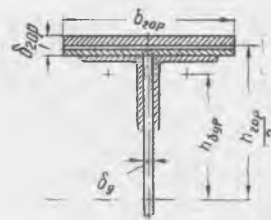
Бурчакликларнинг тегишли ўлчамлари аниқлангач, уларнинг инерция моментларини ҳисоблаш унча қийин эмас. Ҳар бир бурчакликнинг ўз марказий ўқиға нисбатан инерция моменти ( $I_{\text{бур}}$ ) ни, юзаси ( $F_{\text{бур}}$ ) ни ҳисоблаймиз, кейин бурчаклик марказидан нейтрал ўққача бўлган масофани  $a$  билан белгилаб, кесим тоқчасининг маълум қисмини ташкил қилувчи тўртта бурчакликнинг нейтрал ўққа нисбатан инерция моментини қуйидаги формула билан аниқлаймиз:

$$I_{\text{бур}} = 4 (I_{\text{бур}} + a^2 F_{\text{бур}}); \quad (116. 8)$$

бу формуладаги  $I_{\text{бур}}$  ва  $F_{\text{бур}}$  нинг қиймати сортамент жадвалларидан олинади.  $(I_{\text{бур}} + I_{\partial})$  — балка кесимининг минимал инерция моменти. Қуйидаги:

$$\Delta I = I_{\text{брутто}} - (I_{\text{бур}} + I_{\partial}) \quad (116. 9)$$

айирма кесим токчасидаги горизонтал листларга тўғри келадиган инерция моментидир. Агар  $\Delta I < 0$  бўлса, токча учун ҳеч қандай қўшимча горизонтал листга зарурат қолмайди. Кесим бу ҳолда девор билан тўртта бурчакликдангина иборат бўлади. Аммо кесимни етарли даражада бикр қилиш учун девор ва бурчакликларнинг ўлчамларини камайтириш ҳисобига токчани горизонтал листлар билан таъминлаш зарур. Агар  $\Delta I > 0$  бўлса, у ҳолда токчага қўшиладиган горизонтал листларнинг ўлчамлари ҳисобланади. Горизонтал листларнинг кенглиги токчадаги иккита бурчакликнинг кенглиги билан девор кенглигининг йиғиндисидан 10 мм ортиқроқ бўлиши керак. Горизонтал лист бурчакликнинг чиқиб турадиган қисмини ёпиб туриши лозим (418-шакл). Бу горизонтал листларнинг ўз марказий ўқига нисбатан инерция моментини ҳисобга олмай, фақат нейтрал ўққа нисбатан инерция моментини ҳисоблаймиз:



419-шакл

$$I_{\text{гор}} = 2 \left[ F_{\text{гор}} \cdot \left( \frac{h_{\text{гор}}}{2} \right)^2 \right] = b_{\text{гор}} \cdot \delta_{\text{гор}} \cdot \frac{h_{\text{гор}}^2}{2}, \quad (116.10)$$

бу ерда  $b_{\text{гор}}$  — горизонтал листларнинг кенглиги;  $\delta_{\text{гор}}$  — умумий қалинлиги;  $h_{\text{гор}}$  — горизонтал листлар марказлари орасидаги масофа (419-шакл),  $h_{\text{гор}} \cong h_{\text{с}}$  (116.9) билан (116.10) формулани солиштириб, горизонтал листларнинг умумий қалинлиги (тешиklar кенглиги ҳам шу ҳисобга киради)  $\delta_{\text{гор}}$  ни аниқлаймиз:

$$\Delta I = I_{\text{гор}} = b_{\text{гор}} \cdot \delta_{\text{гор}} \cdot \frac{h_{\text{с}}^2}{2};$$

бувдан:

$$\delta_{\text{гор}} = \frac{2\Delta I}{b_{\text{гор}} \cdot h_{\text{с}}^2}. \quad (116.11)$$

$\delta_{\text{гор}}$  нинг қийматидан фойдаланиб, горизонтал листларнинг қалинлигини стандарт ўлчамларга келтирамиз. Агар  $\delta_{\text{гор}}$  нинг қиймати жуда катта чиқса у ҳолда горизонтал листлар сони кўпайтирилади ва бир неча қават қилиб қўйилади. Ҳар ҳолда горизонтал листнинг қалинлиги бурчакликнинг қалинлигидан кам бўлмаслиги лозим.

Юқоридаги мулоҳазалар билан улама балка кўндаланг кесими таркибидаги элементларнинг ўлчамлари аниқлангач, мазкур элементлардан ҳосил бўлган кесим балканинг мустаҳкамлик шартини қаноатлантириши керак. Буни текшириб кўрамиз, чунки кўп ўлчамларни, турли мулоҳазалар асосида чамалаш билан танладик. Бунинг учун кўндаланг кесимнинг дастлабки чамалаб танланган ўлчамларига мувофиқ  $I$ ,  $W$  ва  $S$  ларнинг аниқроқ қийматларини ҳисоблаймиз. Булар мустаҳкамлик шартларини қаноатлантирса, дастлабки ҳисобимиз тўғри бўлади. Кўндаланг кесимнинг юзаси парчинмих тешиklари билан заифлангани учун (418-шакл), балканинг мустаҳкамлигини текширишда буни ҳисобга олиш лозим. Парчинмих тешиklарига тўғри келадиган юзачалар инерция моментларининг йиғиндисини қуйидагича аниқланади:

$$I_{\text{парч}} = \sum \delta \cdot d \cdot z^2; \quad (116.12)$$

бу ерда  $z_i$  — ҳар бир парчин миҳ тешигининг марказидан нейтрал ўққача бўлган масофа.  $I_{\text{парч}}$  ни парчин миҳларни ўрнатишдан олдин ҳисоблашга тўғри келгани учун  $z_i$  ларнинг аниқ қиймаги маълум эмас. Аммо олдин бажарилган ҳисоблар парчин миҳ тешикларига тегишли инерция моменти девор инерция моментининг 18% ини ташкил этишини кўрсатади. Шунинг учун деворнинг заифланиши туфайли инерция моменти 18% камаяди деб оламиз.

Кесим токчасидаги парчин миҳ тешикларининг инерция моментларини ҳақиқий юзаси бўйича ҳисоблаш лозим. Бу мулоҳазаларга мувофиқ,  $I_{\text{парч}}$  учун қуйидаги ифодани оламиз:

$$I_{\text{парч}} = 0,18I_3 + \sum \delta_T \cdot d \cdot z_T^2, \quad (116.13)$$

бу ерда  $\delta_T$  — токчанинг тўла қалинлиги (бурчакликнинг қалинлиги билан бирга);  $z_T$  — токчадаги парчин миҳ тешиги марказидан нейтрал ўққача бўлган масофа. Йиғинди кесим токчасидаги парчин миҳлар сонига кўра олинади. Булар кўзда тутилса, ҳақиқий инерция моменти ва қаршилик моменти қуйидагича ёзилади:

$$I_{\text{нето}}^{\text{ҳақ}} = I_{\text{брутто}}^{\text{ҳақ}} - I_{\text{парч}} \quad (116.14)$$

$$W_{\text{ҳақ}} = \frac{2I_{\text{нето}}^{\text{ҳақ}}}{h_3} \quad (116.15)$$

Энди максимал ҳақиқий кучланишни аниқлаймиз:

$$\sigma_{\text{max}} = \frac{M_{\text{max}}}{W_{\text{ҳақ}}} \leq [\sigma]. \quad (116.16)$$

Шунингдек, максимал ҳақиқий тангенциал кучланишни аниқлаймиз:

$$\tau_{\text{max}} = \frac{C_{\text{max}} \cdot S_{\text{брутто}}^{\text{ҳақ}}}{I_{\text{брутто}}^{\text{ҳақ}} \cdot \delta_3} = \frac{Q_{\text{max}}}{e \cdot \delta_3} = \frac{1,17 \cdot Q_{\text{max}}}{h_3 \delta_3} \leq [\tau]. \quad (116.17)$$

Бундан:

$$\frac{I_{\text{брутто}}^{\text{ҳақ}}}{S_{\text{брутто}}^{\text{ҳақ}}} = e \cong 0,8 \cdot 5h_3$$

бўлади, бу эса ички жуфтнинг елкасидир.

Девор билан токча қўшилган жойда нормал ва тангенциал кучланишлар катта бўлганидан, бу ердаги элементларда ҳосил бўладиган бош кучланишларни ҳисоблаш зарур. Парчин миҳлар билан туташтирилган улама балкаларда, бурчакликнинг девор билан туташтириладиган қисми, яъни парчин миҳлардан пастки қисмида деворни бурчакликдан мустақил деб қаралади. Бу ҳолда энг хавфли элемент бурчакликнинг парчин миҳлар горизонтал ўрнатилган жойига мос келади. Шунинг учун текширишни ана шу элементларга нисбатан ўтказиш қабул қилинган. Бундай элементлар учун нормал кучланиш  $\sigma = \frac{M_{\text{max}}}{I_{\text{нето}}^{\text{ҳақ}}} z_3$  формуладан, тангенциал кучланиш эса

$$\tau = \frac{Q_{\text{max}} \cdot S_T}{I_{\text{брутто}}^{\text{ҳақ}} \delta_3} \text{ формуладан тспилади, бу ерда } S_T \text{ — бурчакликнинг горизонтал ўрнатилган парчин миҳлар ўқидан юқоридаги юзанинг нейтрал ўққа нисбатан статик моменти. Балканинг мустақамлигини биринчи назария-}$$

га мувофиқ, яъни максимал бош нормал кучланиш назариясига мувофиқ текшираимиз:

$$\frac{1}{2}(\sigma + \sqrt{\sigma^2 + 4\tau^2}) \leq (\sigma). \quad (116.18)$$

Аммо металл конструкцияларни энергетик назарияга мувофиқ текшириш тавсия этилади. Шунинг учун:

$$\sqrt{\sigma^2 + 3\tau^2} \leq [\sigma]. \quad (116.19)$$

Улама балка элементларини туташтириш учун зарур бўлган парчинмихлар сонини ҳисоблашга ўтишдан аввал, юқорида тавсиф этилганларни ўзлаштириш учун бир масала ечамиз.

159-масала. Икки таянчда ўтувчи балканинг узунлиги  $l = 10$  м; балкага интенсивлиги  $q = 9$  т/м бўлган ёйилма юк таъсир қилади. Материал Ст. 3 маркали пулат бўлиб, унинг узунлик бирлигидаги оғирлиги 0,25 т/м га тенг (419-шакл). Балканинг кўндаланг кесими танлансин.

Ечиш. Балкага қўйилган ёйилма юкнинг интенсивлиги  $q = 9 + 0,25 = 9,25$  т/м. Максимал эгувчи момент:

$$M_{\max} = \frac{ql^2}{8} = \frac{9,25 \cdot 10^2}{8} = 115,6 \text{ т. м.}$$

Максимал кесиб ўтувчи куч:

$$Q_{\max} = \frac{ql}{2} = \frac{9,25 \cdot 10}{2} = 46,25 \text{ т.}$$

$M_{\max}$  га бардош берадиган қаршилик моменти:

$$W_{\text{нетто}} = \frac{M_{\max}}{[\sigma]} = \frac{11\,560\,000}{1\,400} = 8\,257 \text{ см}^3;$$

(116.2) формуладан балканинг дастлабки баландлиги  $h_d$  ни аниқлаймиз:

$$h_d = \sqrt[3]{220 \cdot 8257} - 15 \approx 121 - 15 = 106 \text{ см.}$$

Кесимнинг инерция моментини ҳисоблаймиз:

$$I_{\text{нетто}} = \frac{W_{\text{нетто}} h_d}{2} = \frac{8220 \cdot 105}{2} \approx 436\,000 \text{ см}^4.$$

$$I_{\text{брутто}} = 1,2 I_{\text{нетто}} = 1,2 \cdot 436\,000 \approx 520\,000 \text{ см}^4.$$

Энди кесим элементлари ўлчамини аниқлашга ўтамиз. Деворнинг қалинлигини (116.4) формуладан фойдаланиб топамиз:

$$\delta_d = \frac{3Q_{\max}}{2h_d [\tau]} = \frac{3 \cdot 46250}{2 \cdot 106 \cdot 1000} = 0,66 \text{ см.}$$

(116.5) муносабатга мувофиқ:  $\delta_d = 0,73$  см. Аммо биз  $\delta_d = 10$  мм деб оламиз. Балканинг девори бундан юққа бўлса, балка эгилмасдан туриб девори қийшайиб кетади.

Бурчакликнинг томонларини  $b_{\text{бур}} \approx \frac{h_d}{10}$  муносабатда аниқлаймиз:

$$b_{\text{бур}} = 100 \text{ мм.}$$

Бурчакликнинг қалинлигини девор қалинлигига тенг қилиб танлаб, энг кўп ишлатиладиган  $100 \times 100 \times 10$  ўлчамли бурчакликни оламиз. Бу, сортамент жадвалида 10-номерага туғри келади. Деворнинг баландлигини  $h_d = 1000$  мм деб оламиз. У ҳолда:

$$I_d = \frac{\delta_d h_d^3}{12} = \frac{1 \cdot 100^3}{12} \approx 83\,000 \text{ см}^4$$

бўлади. Бурчакликлар девордан 5 мм юқри чиқиб туради. Шунинг учун бурчакликларнинг ташқи текисликлари оралиғи  $h_T = 1010$  мм бўлади. Бурчакликлар маркази билан нейтрал ўқ оралиғи  $a = 505 - 28 = 477$  мм  $\approx 48$  см. Сортамент жадвалидан танланган 22\*

профиль учун  $z_0 = 2,83$  см ни олдик. Туртта бурчакликнинг нейтрал ўққа нисбатан инерция моменти қуйидагича бўлади:

$$I_{\text{бурч}} = 4(I_{\text{бурч}}^0 + a^2 F_{\text{бурч}}) = 4(176,3 + 48^2 \cdot 19,17) = 177\,000 \text{ см}^4.$$

Девор ва бурчакликларнинг инерция моментлари:

$$I_{\text{д}} + I_{\text{бурч}} = 83\,000 + 177\,000 = 260\,000 \text{ см}^4$$

бўлади. Токчаларнинг горизонтал листларига тўғри келган инерция моментлари:

$$\Delta I = I_{\text{брутто}} - (I_{\text{д}} + I_{\text{бурч}}) = 520\,000 - 260\,000 = 260\,000 \text{ см}^4.$$

Горизонтал листларнинг маркази билан бурчакликнинг ташқи текислиги орасидаги масофани 10 мм деб олсак, у ҳолда горизонтал листлар орасидаги масофа  $h_{\text{гор}} = 1\,010 + 20 = 1\,030$  мм бўлади. Горизонтал листларнинг кенглиги  $b_{\text{гор}}$  ни қуйидагича танлаймиз:

$$b_{\text{гор}} = 2b_{\text{бурч}} + \delta_{\text{д}} + 10 \text{ мм} = 250 \text{ мм}.$$

Буни кўзда тутиб, (116. 11) формуладан горизонтал листнинг қалинлиги  $\delta_{\text{гор}}$  ни аниқлаймиз:

$$\delta_{\text{гор}} = \frac{2\Delta I}{b_{\text{гор}} h_{\text{гор}}^2} = \frac{2 \cdot 260\,000}{25 \cdot 103^2} \approx 1,96 \text{ см}.$$

Қалинлиги 10 мм дан бўлган иккита горизонтал листни оламиз. Улар учун:

$$I_{\text{гор}} = b_{\text{гор}} \cdot \delta_{\text{гор}} \cdot \frac{h_{\text{гор}}^3}{12} = 25 \cdot 2 \cdot \frac{103^3}{12} = 265\,000 \text{ см}^4.$$

Энди кесимнинг тўғри танланганлигини текшириб курамиз.

Танланган кесимнинг ҳақиқий инерция моменти  $I_{\text{брутто}}^{\text{ҳақ}}$  нинг қиймати қуйидагича бўлади:

|  |  |
|--|--|
| Деворнинг инерция моменти . . . . .              | 83 000 см <sup>4</sup>                                   |
| Туртта бурчакликнинг инерция моменти . . . . .   | 177 000 см <sup>4</sup>                                  |
| Горизонтал листларнинг инерция моменти . . . . . | 265 000 см <sup>4</sup>                                  |
|  | $I_{\text{брутто}}^{\text{ҳақ}} = 525\,000 \text{ см}^4$ |

Қесим деворининг парчин миҳ тешиклари билан заифланишини ҳисобга олиб, шунингдек, парчин миҳлар диаметрини  $d = 20$  мм деб қабул қилиб, (116. 13) формуладан  $I_{\text{парч}}$  учун қуйидаги қийматни оламиз:

$$I_{\text{парч}} = 0,18 I_{\text{д}} + \sum \delta_{\text{ТД}} \cdot z^2 = 0,18 \cdot 83\,000 + 4 \cdot 3 \cdot 2 \cdot 51^2 = 77\,000 \text{ см}^4.$$

Кесимнинг ҳақиқий инерция ва қаршилик моментлари:

$$I_{\text{ҳақ}}^{\text{нетто}} = 525\,000 - 77\,000 = 448\,000 \text{ см}^4$$

$$W_{\text{ҳақ}}^{\text{нетто}} = \frac{2 I_{\text{ҳақ}}^{\text{нетто}}}{h_{\text{д}}} = \frac{2 \cdot 448\,000}{105} \approx 8\,530 \text{ см}^3.$$

Балканинг хавфли кесимида ҳосил бўлган ҳақиқий кучланиш:

$$\delta = \frac{M_{\text{мах}}}{W_{\text{ҳақ}}^{\text{нетто}}} = \frac{11\,560\,000}{8\,530} \approx 1\,350 \text{ кг/см}^2 < 1\,400 \text{ кг/см}^2$$

Рухсат этилган кучланиш  $[\sigma] = 1\,400 \text{ кг/см}^2$  га қараганда запас

$$\frac{1\,400 - 1\,350}{1\,400} 100\% \approx 3,5\% \text{ ни ташкил этади.}$$

Тангенциал кучланишга нисбатан текширишнинг зарурати йўқ, чунки деворнинг қалинлиги унинг кесилиш шартидан танланган қийматига кўра 30% ортиқ олинган эди. Шундай бўлишига қарамай, ҳақиқий  $\tau_{\text{мах}}$  ни ҳисоблаб чиқамиз. (116. 17) формулага мувофиқ:

$$\tau_{\text{мах}} = \frac{1,17 Q_{\text{мах}}}{h_{\text{д}} \delta_{\text{д}}} = \frac{1,17 \cdot 46 \cdot 250}{105 \cdot 1} \approx 516 \text{ кг/см}^2 < 1\,000 \text{ кг/см}^2.$$

Биз кўриб чиққан мисолда  $M_{\text{мах}}$  таъсир қиладиган кесим учун  $Q = 0$  бўлгани сабабли бош кучланишларга нисбатан текширишнинг ҳам зарурати йўқ.

### 117-§. Улама балкалар элементларини туташтирувчи парчин михлар ҳисоби

Улама балкалар таркибидаги элементлар бир-бири билан туташтирилмаса, бир бутун бўлиб ишлай олмайди. Шу билан бирга, уларни тугаштирувчи парчин михларнинг мустаҳкамлигини балка элементлари бўйича тўғри жойлаштирилишининг муҳим аҳамияти бор. Бурчакликлар балканинг вертикал ва горизонтал листлари билан туташтирилади (420-шакл). Вертикал листлар (балканинг девори) горизонтал парчин михлар билан, горизонтал листлар эса вертикал парчин михлар билан туташтирилади. Биз бу ерда асосан, бурчакликларни вертикал девор билан туташтирувчи горизонтал парчин михларнинг ҳисоби устида сўз юргизишимиз керак. Чунки бурчакликнинг вертикал девори билан вертикал листнинг туташтирилган жойида каттароқ тангенциал кучланишлар ҳосил бўлади. Бу кучланишлар йиғиндисидан ҳосил бўладиган тангенциал зўриқиш  $T$  кесим тоқчасини (бурчакликлар билан бирга горизонтал листларни кўшиб) деворга нисбатан силжитишга интилади. Бурчакликлар билан вертикал девор орасидаги ишқаланишни ҳисобга олмасак, тангенциал зўриқиш  $T$  горизонтал парчин михларга таъсир қилади. Бу зўриқишнинг қиймати яхлит балканинг нейтрал қатламга параллел бўлган қатлами учун 84- параграфда аниқланган эди. Шунинг учун бу ерда  $T$  ни ҳисоблаб ўтирмасдан, тайёр формула (111.3) дан фойдаланамиз. Горизонтал парчин михлар оралиғи, яъни қадамни  $a$  деб белгилеймиз; бу қадам мобайнида кесиб ўтувчи куч  $Q$  ўзгармаса, шу оралиқда таъсир қилувчи  $T_a$  куч қуйидагича бўлади:

$$T_a = \frac{QS_T}{l_y} a; \quad (117.1)$$

бу ерда  $S_T$ —кўндаланг кесим юзасининг мустаҳкамлиги текширилаётган парчин михлардан юқоридаги қисмининг нейтрал ўққа нисбатан статик моменти (брутто);  $l_y$ —бутун кесим юзасининг инерция моменти (брутто). Бу куч таъсирига парчин мих икки кесим бўйича қаршилик кўрсатиши лозим (421-шакл). Шунинг учун парчин мих кесимидаги уринма кучланиш:

$$\tau = \frac{T_a}{2\left(\frac{\pi d^2}{4}\right)} = \frac{QS_T a}{2l_y \frac{\pi d^2}{4}} \leq [\tau] \quad (117.2)$$

бўлади. Парчин михнинг сирти эзилмаслиги учун қуйидаги шарт қаноатлантирилиши лозим:

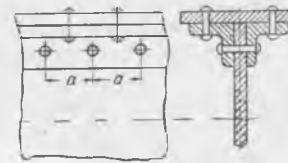
$$T_a = \delta_a \cdot d [\sigma]_{\text{ээ}}$$

ёки

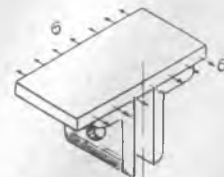
$$\frac{QS_T}{l_y} a = \delta_a \cdot d [\sigma]_{\text{ээ}};$$

бундан парчин михлар орасидаги  $a$  масофани аниқлаймиз:

$$a = \frac{l_y \delta_a d}{QS_T} [\sigma]_{\text{ээ}}. \quad (117.3)$$



420-шакл.



421-шакл.

Девор  $a$  масофа мобайнида  $\delta_d$  билан чегараланган икки текислик бўйича кесилмаслиги учун қуйидаги шарт қаноатлантирилиши зарур:

$$T_a = 2(a - d)\delta_d[\tau] \quad \text{ёки} \quad \frac{QS_T}{I_y} a = 2(a - d)\delta_d[\tau].$$

Бундан

$$a = \frac{2\delta_d d[\tau]}{2\delta_d[\tau] - \frac{QS_T}{I_y}} \quad (117.4)$$

(117.3) ва (117.4) формулалар билан девордаги горизонтал парчин михларнинг оралиғи (қадами) аниқланади. Горизонтал листларни бурчакликлар билан туташтирувчи вертикал парчин михлар горизонтал парчин михларга қараганда анча хавфсиз шароитда ишлайди. Чунки тўқчанинг кенглиги  $b_T$  девор кенлигига нисбатан бир неча марта катта бўлиши ва бунинг устига горизонтал листлар юзасининг нейтрал ўққа нисбатан статик моменти жуда кичик бўлиши туфайли, у ердаги тангенциал кучланишлар жуда ҳам кичик бўлади. Шунинг учун горизонтал листлар билан бурчакликларни туташтирувчи вертикал парчин михлар ҳисобига тўхталмаймиз. Конструктив мулоҳазаларга кўра, улар горизонтал парчин михлар билан бир хил қилиб олинади.

160-масала. Оралиғи  $l=12$  м бўлган икки таянчда ётувчи балкага интенсивлиги  $q=6$  Т/м бўлган текис ёйилган юк таъсир қилади. Балканинг кўндаланг кесими қўш таър улама балкадир; унинг деворидаги горизонтал парчин михлар орасидаги масофа аниқлансин. Парчин михлар тешигининг диаметри  $d=20$  мм, рухсат этилган кучланишлар  $[\sigma_{\text{сз}}]=2400$  кг/см<sup>2</sup>,  $[\tau]=1050$  кг/см<sup>2</sup>. Балка кесими таркибидagi элементлар ўлчами: вертикал листлар  $1100 \times 10$ , туртта бурчаклик  $100 \times 100 \times 10$  ва иккита горизонтал лист  $220 \times 10$  (422-шакл).

Ечиш. Дастлаб максимал кесиб ўтувчи кучни аниқлаймиз:

$$Q_{\text{max}} = \frac{ql}{2} = \frac{6 \cdot 12}{2} = 36 \text{ т.}$$

Кўндаланг кесимнинг геометрик характеристикаси қуйидагича:

|  | $F$ см <sup>2</sup> | $I_y$ см <sup>4</sup> | $S$ см <sup>3</sup> |
|--|---------------------|-----------------------|---------------------|
| Вертикал лист учун ( $1100 \times 10$ ) . . . . .              | 110                 | 111 000               | 1 510               |
| Туртта бурчаклик учун ( $100 \times 100 \times 10$ ) . . . . . | 70                  | 213 000               | 2 020               |
| Иккита горизонтал лист учун ( $220 \times 10$ ) . . . . .      | 44                  | 138 000               | 1 230               |
|  | 231                 | 462 000               | 4 760               |

Тўқча юзасининг горизонтал парчин михлардан юқориги қисмининг статик моменти:

$$S_T = 2 020 + 1 230 = 3 250 \text{ см}^3.$$

$S_T$  дан ҳамда (117.3) ва (117.4) формулалардан фойдаланиб, парчин михлар орасидаги  $a$  масофани топамиз:

$$a = \frac{I_y \delta_d d}{QS_T} [\sigma]_{\text{сз}} = \frac{462 000 \cdot 1 \cdot 2 \cdot 2400}{36 000 \cdot 3250} \cong 19 \text{ см.}$$

$$a = \frac{2\delta_d d[\tau]}{2\delta_d[\tau] - \frac{QS_T}{I_y}} = \frac{2 \cdot 1 \cdot 2 \cdot 1050}{2 \cdot 1 \cdot 1050 - \frac{6 000 \cdot 3 250}{462 000}} \cong 2,3 \text{ см.}$$

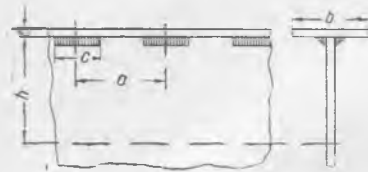


422-шакл.

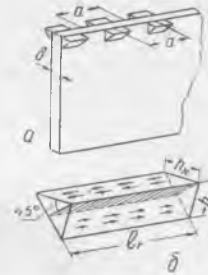
$a$  нинг энг катта қиймати 19 см, энг кичиги 2,3 см. Одатда, парчин михлар қадами (4÷8)  $a$  га қадар, яъни (8÷16) см гача олинади.

## 118-§. Пайвандлаб уланган улама балкалар ҳисоби

Пайвандлаб уланган улама балкалар кўндаланг кесимининг таркибидаги элементлар ўлчамини танлаш усули парчин миҳлар ёрдами билан туташтирилган улама балкалар учун берилган усулдан кўп фарқ қилмайди. Бунда кесимнинг парчин миҳлар учун тешилгандаги заифланиши ҳисобга олинмайди, ҳолос. Пайвандлаб уланган балкаларда бурчакликлар ва парчин миҳлар ўрнида эритиб ҳосил қилинган чоклар бўлади (423-шакл). Энг



423-шакл.



424-шакл.

кўп қўлланиладиган ва ҳосил қилиниши жиҳатидан қулай чок уч бурчакли валиқдир.

Пайвандлаб уланадиган балкалар лойиҳаловчи инженернинг вазифаси эритиб ҳосил қилинган чокларнинг устаҳкам бўлишини таъминлашдир.

Кесимнинг девори билан тоқчасини туташтирувчи иккита чок уланувчи элементларнинг узунаси бўйлаб таъсир қиладиган силжитувчи куч  $T$  га бардош бериши лозим. Чоклар сидирға (бошдан оёқ) ёки маълум узунликда бўлган қисқа (сидирғамас) чоклар кўринишида бўлиши мумкин. Биз олдин сидирғамас чокнинг мустаҳкамлигини текшириб, кейин сидирға чокка ўтамиз. Сидирғамас чокдаги энг хавfli кесим, унинг тўғри бурчаги биссектрисаси орқали ўтувчи кесимдир (424-шакл,  $a$ ,  $b$ ). Бу кесимнинг юзаси:

$$F_{\text{чок}} = l_{\text{чок}} h_{\text{чок}} \cos 45^\circ = 0.7 l_{\text{чок}} h_{\text{чок}}$$

бўлади.

Иккала чокнинг кесилиш юзаси бўйича таъсир этаётган кесувчи зўриқиш  $T$  қуйидагича аниқланади:

$$T = 2F_{\text{чок}}[\tau_3] = 2 \cdot 0.7 l_{\text{чок}} \cdot h_{\text{чок}}[\tau_3]. \quad (118.1)$$

Иккита қўшни участкадаги чокларнинг марказлари орасидаги масофа  $a$  мобайнида (424-шакл,  $a$ ) кесиб ўтувчи куч ўзгармаса, кесувчи зўриқиш  $T$  нинг қийматини қуйидагича ёзишимиз мумкин:

$$T_a = \frac{QS_T}{l_u} a.$$

Буни юқоридаги (117. 1) тенгламага қўйсак, сидирғамас чокнинг қалинлиги учун қуйидаги муносабатни оламиз:

$$h_{\text{чок}} = \frac{QS_T a}{1,4I_{\text{чок}} l_y |\tau_3|} \quad (118.2)$$

$h_{\text{чок}}$  нинг қиймати 4мм дан кам бўлмаслиги керак. Чокнинг қалинлиги берилган бўлса, (118. 2) дан  $\frac{a}{l_{\text{чок}}}$  нисбатни аниқлаш мумкин:

$$\frac{a}{l_{\text{чок}}} = \frac{1,4h_{\text{чок}} l_y |\tau_3|}{Q \cdot S_T} \quad (118.3)$$

$a$  нинг энг катта қиймати 16  $\delta_0$  дан ошмаслиги лозим ( $\delta_0$  — кесим деворининг қалинлиги). Чокнинг минимал узунлиги 40 мм қилиб олинади.

Чок сидирға бў. са, мустаҳкамлик шarti қуйидагича ёзилади.

$$\tau = \frac{QS_T}{1,4h_{\text{чок}} l_y} \leq [\tau_3];$$

бундан:

$$h_{\text{чок}} = \frac{QS_T}{1,4 l_y [\tau_3]} \quad (118.4)$$

келиб чиқади.

Чокларнинг мустаҳкамлигини ҳисоблашда зўриқиш кучи учун балка мустаҳкамлигини ҳисоблагандагидек зўриқиш кучини эътиборга олинади, яъни балкага қўйилган ҳақиқий юкка нисбатан ҳисоб юргизмай, балки балканинг пропорционал чегарасидаги юк қўтариш имконияти бўйича ҳисоблаймиз. У ҳолда эритиб уланган улама балка яхлит балкадан фарқ қилмайди. Чокда ҳосил бўладиган энг катта тангенциал кучланиш кўндаланг кесимнинг нейтрал қатламидаги максимал тангенциал кучланишга тенг бўлиши керак. Балкага пропорционаллик чегарасида қўйилиши мумкин бўлган максимал кесиб ўтувчи кучни топамиз:

$$\tau_{\text{max}} = \frac{Q_{\text{max}} \cdot S_{\text{max}}}{I_y \delta} \leq [\tau];$$

бундан:

$$Q_{\text{max}} = \frac{I_y \delta [\tau]}{S_{\text{max}}} \quad (118.5)$$

бўлади, бу ерда  $S_{\text{max}}$  — ярим кесим юзасининг нейтрал ўққа нисбатан статик моменти.

Энди чокдаги максимал кесувчи кучланишни аниқлаймиз:

$$\tau_{\text{max}} = \frac{Q_{\text{max}} \cdot S_T}{1,4 I_y \cdot h_{\text{чок}}} = \frac{\delta}{1,4 h_{\text{чок}}} \cdot \frac{S_T}{S_{\text{max}}} [\tau] \leq [\tau_3];$$

бундан:

$$h_{\text{чок}} = \frac{|\tau|}{1,4 [\tau_3]} \cdot \frac{S_T}{S_{\text{max}}} \delta \quad (118.6)$$

Аmmo  $\frac{|\tau|}{1,4 [\tau_3]} \approx 1$  бўлганлиги сабабли:

$$h_{\text{чок}} = \frac{S_T}{S_{\text{max}}} \delta \quad (118.7)$$

161- масала. Олдин чиқарилган 159- масалада берилган улама балкани парчин миҳ билан туташтирилмай, пайвандлаб улансин (425- шакл).

Ечиш. Балкани иккита горизонтал ва битта вертикал листлардан тузамиз. Токчанинг кенглигини олдинги масалада келтирилган мувофиқ  $b_T = 25$  см деб оламиз.

Балканинг кесимини таълаймиз:

$$W = \frac{M}{[\sigma]} = \frac{11\,560\,000}{1\,400} = 8\,257 \text{ см}^3.$$

Талаб қилинган инерция моменти:

$$I = \frac{Wh_d}{2} = \frac{8\,257 \cdot 106}{2} = 437\,600 \text{ см}^4.$$

Вертикал деворнинг инерция моменти:

$$I_d = \frac{\delta_d h_d^3}{12} = 83\,000 \text{ см}^4.$$

Горизонтал листлар учун инерция моментини куйидаги айирмадан аниқлаймиз:

$$\Delta I = I - I_d = 354\,600 \text{ см}^4.$$

Горизонтал лист кенглиги  $b_{\text{гор}} = 25$  см га тенг бўлганлиги учун унинг қалинлиги куйидагича бўлади:

$$\delta_{\text{гор}} = \frac{2\Delta I}{b_{\text{гор}} h_{\text{гор}}^2} = \frac{2 \cdot 354\,600}{25 \cdot 104^2} \approx 26 \text{ см}.$$

Кесимни текшираимиз:

Деворнинг инерция моменти . . . . .  $I_d = 83\,000 \text{ см}^4$

Горизонтал листларнинг инерция моменти . . . . .  $I_{\text{гор}} = 351\,000 \text{ см}^4$

Кесимнинг инерция моменти . . . . . 434 000 см<sup>4</sup>

Ҳақиқий қаршилик моменти:

$$W_{\text{ҳақ}} = \frac{434\,000}{52.6} = 8\,190 \text{ см}^3.$$

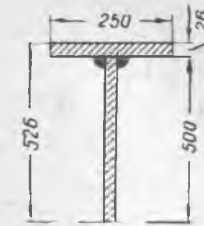
Кесимнинг энг четки нуқтасида ҳосил бўладиган нормал кучланиш:

$$\sigma = \frac{115\,100\,000}{8\,190} = 1\,404 \text{ кг/см}^2 \approx 1\,400 \text{ кг/см}^2.$$

Кесим учун чокдаги руҳсат этилган кучланишни  $[\tau_9] = 0.7[\sigma] = 1\,000 \text{ кг/см}^2$  қилиб оламиз. Чокнинг қалинлиги  $h_{\text{чок}}$  ни сиздирга чок учун аниқлаймиз:

$$h_{\text{чок}} = \frac{Q_{\text{тах}} \cdot S_T}{1.4 y [\tau_9]} = \frac{46\,250 \cdot 252.6 \cdot 52}{1.4 \cdot 434\,000 \cdot 1\,000} \approx 0.25 \text{ см} = 2.5 \text{ мм}.$$

Биз 4 мм қабул қиламиз.



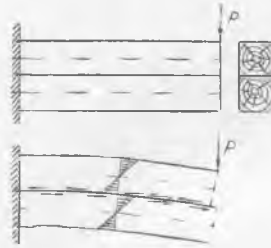
425- шакл.

### 119-§. Улама ёғоч балкалар ҳисоби ҳақида тушунча

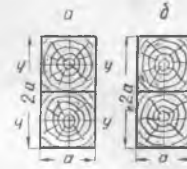
Катта юклар таъсирида бўладиган ёғоч балкаларнинг баландлиги мавжуд тўсинларнинг кўндаланг ўлчамларидан ошиб кетади. Бундай ҳолларда балканинг қаршилик моменти кесимнинг баландлигини сунъий равишда орттириш йўли билан кўпайтирилади. Масалан, устма-уст қўйилган иккита тўсиндан қаршилик моменти талабга мувофиқ даражада катта бўлган битта балка ҳосил қилиш мумкин. Аммо шу тарзда ҳосил қилинган улама балка таркибидаги ҳар қайси балка таъсирга мустақил равишда қаршилик кўрсатмай, балки уларнинг бир бутун бўлиб қаршилик кўрсатишини таъминлаш зарур. Агар улар 426-шаклда кўрсатилганидек ҳар қайсиси мустақил равишда қаршилик кўрсатса, улама балканинг қаршилик моменти, шундай ўлчамли кесимга эга бўлган яхлит балканинг қаршилик моменти-

дан анча кам бўлади. Ҳақиқатан ҳам, агар биз квадрат кесимли иккита балкани устма-уст қўйиб, уларнинг бир бутун бўлиб ишлашини таъминла- масак, кесимнинг қаршилик моменти ҳар қайси кесимнинг ўз  $y$  ўқиға нис- батан олинган қаршилик моментларининг йиғиндисига тенг бўлади (427- шакл, а), яъни

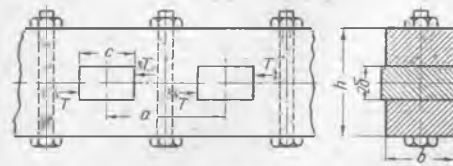
$$W = 2W_y = 2 \frac{a^3}{6} = \frac{a^3}{3}.$$



426- шакл.



427- шакл.



428- шакл.

Иккала балканинг бир бутун бўлиб ишлаши таъминланса (427-шакл, б)  $y$  ҳолда унинг қаршилик моменти:

$$W_y = \frac{a(2a)^3}{6} = \frac{2a^3}{3}$$

бўлади. Бу ифодадан кўриниб турибдики, улама балкалар- нинг бир бутун бўлиб ишла- ши таъмин этилган тақдирда унинг қаршилик моменти бир

бутун бўлиб ишламаган ҳолга қараганда икки марта катта бўлар экан. Ула- ма балкани ҳосил қилувчи балкаларнинг бир-бирига нисбатан силжиши йўқотилса, шу ҳолдагина уларнинг бир бутун бўлиб ишлаши таъминланган бўлади. Бунинг учун улама балкаларни ҳосил қилувчи тўсинлар орасига балканинг узунаси бўйлаб шпонкалар қўйилади. Шпонкаларни зичлашти- риш мақсадида улар 428-шаклда кўрсатилгандек болтлар билан тортиб қўйилади. Болтларни тортиб, тўсинлар зичланганда улар орасида қўшимча ишқаланиш кучлари ҳосил бўлади. Бу кучлар улама балкани ҳосил қилув- чи тўсинларни бир-бирига нисбатан сирпанишига қўшимча қаршилик кўр- сатади. Аммо биз бу кучларни ҳисобга олмаймиз. Бу, албатта, шпонка мустаҳкамлигини зиёдроқ қилиш учун ёрдам беради.

Ёғоч балка ва унинг шпонкасини ҳисоблашга ўтамиз. Бунинг учун тўғри тўртбурчак кесимли иккита қарағай тўсиндан тузилган балкани ола- миз (428-шакл). Шпонкалар дубдан ишланади. Балка эгилганда шпонка силжитувчи кучни бир тўсиндан иккинчисига ўтказди; бу силжитувчи куч қуйидаги формула билан ифодаланади:

$$T_a = \frac{QS_a}{l} a;$$

(119.1)

бу ерда  $S_0$ —улама балка кесимига тегишли ярим юзанинг, яъни битта тўсин кесимининг бутун кесимга тегишли нейтрал ўққа нисбатан олинган статик моменти;  $a$  — иккита қўшни шпонка марказлари орасидаги масофа. Шпонкага таъсир этувчи  $T$  кучнинг йўналиш характери 428-шаклда кўрсатилган. Бу куч шпонкага қўйилган ҳолда, юқориги тўсинни пастки тўсинга нисбатан силжитиш билан қуйидаги кучланишларни қўзғатади:

1. Балканинг  $b\delta$  юзаси бўйлаб шпонканинг босиши натижасида ҳосил бўладиган эзувчи кучланиш.

2. Икки шпонка оралиғида балканинг  $(a-c)b$  юзаси бўйлаб ажратадиган кучланиш.

3. Шпонканинг  $cb$  юзаси бўйлаб ҳосил бўладиган эзувчи кучланиш

4. Шпонканинг  $bc$  юзаси бўйлаб ҳосил бўлувчи ажратувчи кучланиш.

Бу юзалар учун рухсат этилган кучланишларнинг қиймати қуйидагича қабул қилинади:

Қарағай учун: тола бўйлаб эзилишга рухсат этилган кучланиш:

$$[\sigma_{\parallel}] = 70 \text{ кг/см}^2.$$

Тола бўйлаб ажратишга рухсат этилган кучланиш:

$$[\tau_{\parallel}] = 12 \text{ кг/см}^2.$$

Дуб учун: толага тик йўналган эзилиш учун рухсат этилган кучланиш:

$$[\sigma_{\perp}] = 50 \text{ кг/см}^2.$$

Толага тик йўналган ажратиш учун рухсат этилган кучланиш:

$$[\tau_{\perp}] = 10 \text{ кг/см}^2.$$

Мазкур тўртта юза учун мустаҳкамлик шартни қуйидагича ёзилади:

$$\begin{cases} \frac{T_a}{b\delta} \leq [\sigma_{\parallel}], & (119.2) & \frac{T_a}{b\delta} \geq [\sigma_{\perp}], & (119.4) \\ \frac{T_a}{(a-c)b} \leq [\tau_{\parallel}], & (119.3) & \frac{T_a}{bc} \geq [\tau_{\perp}], & (119.5) \end{cases}$$

Балканинг эгилишдаги мустаҳкамлик шартини ёзамиз:

$$\sigma_{\max} = \frac{M_{\max}}{W} \geq [\sigma]. \quad (119.6)$$

Қарағайдан тайёрланган балканинг эгилишдаги чўзилиши ёки сиқилиши учун рухсат этилган кучланиш  $[\sigma] = 80 \text{ кг/см}^2$  қабул қилинади. Кесим инерция моментининг қиймати кесимнинг шпонка учун қолдирилган бўшлиқ натижасида заифланиши кўзда тутилса, қуйидагича бўлади:

$$I = \frac{b}{12}[h^3 - (2\delta)^3]. \quad (119.7)$$

Ўтказилган тажриба ва кузатишлар шу тарзда тайёрланган улама ёғоч балкалар мустаҳкамлигининг ҳисоблаш топилган мустаҳкамликдан анча кам бўлишини кўрсатади. Шпонка ёрдамида тайёрланган балканинг ҳақиқий мустаҳкамлиги ҳисоб тенгламасидан чиқарилган натижанинг 70% ини ташкил этади. Шу сабабли қаршилик моменти учун (119.6) формула билан ҳисоблаб топилган қийматнинг 0,7 қисмини олиш лозим. Шу мулоҳазага кўра, ҳисоб тенгламаси қуйидагича ёзилади:

$$\sigma_{\max} = \frac{M_{\max}}{0,7W} \leq [\sigma]. \quad (119.8)$$

162-масала. Икки таянчда ётувчи улама ёғоч балканинг узунлиги  $l = 6$  м бўлиб, унинг ўртасига  $P = 47$  юк қўйилган. Балка ҳар бир метрининг сғирлиги 100 кг. Балканинг мустаҳкамлиги текширилсин (429-шакл). Рухсат этилган кучланиш  $[\sigma] \approx 100$  кг/см<sup>2</sup>. Е ч и ш. Даставвал максимал эғувчи момент билан кесиб ўтувчи кучни ҳисоблаймиз:

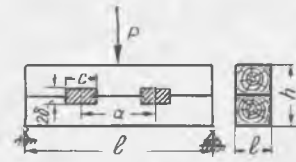
$$M_{\max} = \frac{Pl}{4} + \frac{ql^2}{8} = 6,45 \text{ тм},$$

$$Q_{\max} = \frac{P}{2} + \frac{ql}{2} = 23 \text{ т}.$$

Талаб қилинган қаршилик momenti ҳисоб тенгламаси (119.8) дан топамиз:

$$W = \frac{M_{\max}}{0,7[\sigma]} = \frac{645000}{0,7 \cdot 100} = 9214 \text{ см}^3.$$

Улама балка шпонка билан бирлаштирилган квадрат кесимли иккита тўсундан ҳосил қилинган деб ҳисоблаймиз ва кесимнинг ўлчамларини  $W = \frac{2}{3} a^3$



429-шакл.

дан аниқлаймиз,  $W = \frac{2}{3} a^3 = 9214$ , бундан  $a = 24$  см бўлади. Бинобарин, кесим ўлчамлари:  $h = 2a = 48$  см,  $b = a = 24$  см. Кесимнинг шпонка ўрнатиш учун қолдирилган бўшлиғи натижасида заифланишини кўзда туғиб (119.7) дан  $\delta$  ни аниқлаймиз:

$$W = \frac{2I}{h} = \frac{b}{12h} [h^3 - (2\delta)^3],$$

бундан  $\delta = 1,44$  см.

Шпонка бўшлиғининг чуқурлиги  $\delta$  ни 2,5 см деб қабул қиламиз; шпонканинг кенглиги  $c$  ни (119.4) ва (119.5) тенгламалар нисбатидан аниқлаймиз:

$$c = \frac{[\sigma_{\perp}]}{[\tau_{\perp}]} \delta = \frac{50}{10} \cdot 2,5 = 12,5 \text{ см}.$$

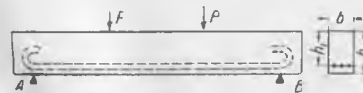
Шпонкалар маркази орасидаги масофа  $a$  ни (119.2) ва (119.3) нисбатидан аниқлаймиз:

$$a = \frac{[\sigma_{\parallel}]}{[\tau_{\parallel}]} \delta + c \approx 27,5;$$

$a$  ни 30 см қилиб оламиз.

#### 120-§. Темир-бетон балкаларни рухсат этилган кучланишлар асосида ҳисоблаш

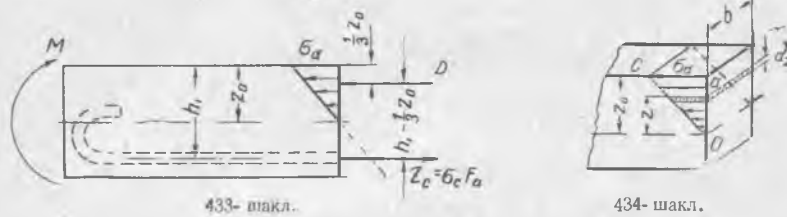
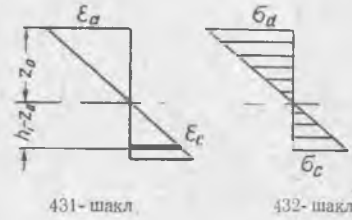
Турли материаллардан тайёрланган балкалар амалда жуда кўп ишлатилади. Масалан, ёғоч балкаларнинг мустаҳкамлигини ошириш учун уларнинг пастки қатламига темир листлар қопланади. Шунингдек, темир-бетон балкаларнинг чўзиладиган зоналари бўйлаб пулат стерженлар ўрнатилади. Улар *арматура* деб аталади. Бундай ҳолларда турли (бир жинсли бўлмаган) материаллардан ҳосил қилинган балкалар бир-бири билан шундай қовушадикки, улар бирга қўшилиб, бир бутун бўлиб ишлайди. Тузилиши жиҳатидан бундай мураккаб балкалар учун ҳам текис кесим гипотезасини татиқ этиш мумкин деб фараз қиламиз. Бу гипотезани қабул қилиш билан бирга, темир-бетон балкаларни ҳисоблашда бир жинсли балкаларнинг кўндаланг эгилиши учун чиқарилган нисбий деформация ифодасидан бевосита фойдаланамиз. Аммо бетон чўзувчи кучланишни қабул қилмай фақат сиқилишга ишлайди. Темир арматура бетонга ilmoқлик қилиб ўрнатилгани учун бетон билан қўшилган ҳолда, у билан биргаликда деформацияланиб, барча чўзувчи зўриқишларни қабул



430-шакл.

қилади. Темир-бетон балка схематик равишда 430-шаклда тасвирланган, Бу схемада балканинг чўзилишга ишлайдиган пастки қисмига учта пўлат стержендан тайёрланган арматура ўрнатилган.

Балканинг юқори толалари сиқилиб, пастки толалари чўзилгани учун унинг тепа қиррасидан қандайдир  $z_0$  масофада нейтрал қатлам ўтади. Кўндаланг кесим юзасининг текис қолиши туфайли, нисбий чўзилиш ва сиқилиш кесим бўйича 431-шаклда тасвирланганидек чизиқли қонун билан ўзгаради. Кесимнинг ҳар бир нуқтасидаги нисбий чўзилиш ёки сиқилишни ўша нуқтага тўғри келган материалнинг эластиклик модулига кўпайтириб, кесимда ҳосил бўладиган нормал кучланишлар эюрасини ҳосил қиламиз (432-шакл). Пўлатнинг эластиклик модули ( $E_c$ ) бетонники ( $E_b$ ) га қараганда 10—15 марта катта бўлади. Шунинг учун арматурадаги кучланиш бетондагига қараганда анчагина каттадир. Масалан,  $E_c = 2 \cdot 10^6$  кг/см<sup>2</sup> бўлса,  $E_b = (1,4 - 2) 10^5$  кг/см<sup>2</sup> бўлади.



Бетондаги энг катта сиқувчи кучланишни  $\sigma_b$  билан, арматурадаги чўзувчи кучланишни эса  $\sigma_c$  билан белгилаймиз. Чўзувчи кучланишни кесимга ўрнатилган арматура юзаси бўйича бир хил дейишимиз мумкин. Сиқилган томон қиррасидан арматура марказигача бўлган масофани  $h_1$ , арматура кўндаланг кесимининг юзасини  $F_a$ , кўндаланг кесим баландлигини  $h$ , кенглигини  $b$  билан белгилаймиз. Эластиклик модуллари нисбати  $\frac{E_c}{E_b} = n = 10 \div 15$ .

Темир-бетон балкада ҳосил бўладиган нормал кучланишларни ва сиқилган томон қиррасидан нейтрал қатламгача бўлган  $z_0$  масофани, балкадан ажратилган бўлакнинг мувозанат шартидан аниқлаймиз. Бу бўлак унга таъсир қиладиган эгувчи момент ва кесим юзасига нормал йўналган зўриқишлар таъсирида мувозанатда бўлади (433-шакл).

Ажратилган бўлакнинг мувозанат шартига кўра, қўйидаги икки тенгламани ёзамиз:

1. Кесим юзаси бўйича ёйилган сиқувчи зўриқишлар йиғиндиси чўзувчи зўриқишлар йиғиндисига тенг бўлади.

2. Эгувчи момент зўриқишлардан ҳосил бўлган моментга тенг бўлади.

Кесимдаги сиқувчи ва чўзувчи зўриқишларнинг тенг таъсир этувчиларини тегишлича  $D$  ва  $Z_c$  лар билан белгилаймиз (433-шакл).  $D$  нинг қийматини оддий балкаларга оид формула ёрдамида аниқлаймиз. Нейтрал ўқдан  $z$  масофадаги элементар юзача  $bdz$  даги зўриқиш  $\sigma bdz$  га тенг (434-шакл).

Сиқувчи зўриқишларнинг тенг таъсир этувчиси:

$$D = \int_0^{z_0} \sigma b dz$$

бўлади.  $\sigma$  нормал кучланиш кесим юзасида чизиқли қонун билан тақсимлангани сабабли, уни  $\sigma = \sigma_a \frac{z}{z_0}$  кўринишида ёзиш мумкин. Шунинг учун:

$$D = \int_0^{z_0} \sigma_a \frac{z}{z_0} b dz = \frac{1}{2} \sigma_a z_0 b$$

бўлади. Арматурадаги зўриқишларнинг тенг таъсир этувчиси  $Z_c = F_a \cdot \sigma_c$ . Булар қўзда тутилса, биринчи мувозанат тенгламаси қуйидагича ёзилади:

$$-D + Z_c = 0 \text{ ёки } \frac{1}{2} \sigma_a z_0 b + F_a \cdot \sigma_c = 0; \quad (120.1)$$

$\sigma_c$  кучланишни  $\sigma_a$  орқали ифодалаш мумкин. Деформациянинг чизиқли қонун билан ўзгариши сабабли, 431-шаклга мувофиқ  $\epsilon_c = \epsilon_\delta \frac{h_1 - z_0}{z_0}$  муносабатни оламиз.

Аmmo  $\sigma_c = E_c \epsilon_c$ ,  $\sigma_\delta = E_\delta \epsilon_\delta$  тенгламалардан  $\epsilon_c$  ва  $\epsilon_\delta$  ни тегишли кучланишлар орқали ифодалаш мумкин. Бу кучланишларни ҳозиргина чиқарилган муносабатга қўйсақ,  $\sigma_c$  ни  $\sigma_a$  орқали ифодалаган бўламиз:

$$\sigma_c = \sigma_a \frac{E_c}{E_\delta} \frac{h_1 - z_0}{z_0} = \sigma_a n \frac{h_1 - z_0}{z_0}. \quad (120.2)$$

Буни (120.1) га қўйсақ, тенглама қуйидагича ёзилади:

$$-\frac{1}{2} \sigma_a z_0 b + F_a \sigma_a n \frac{h_1 - z_0}{z_0} = 0$$

Бу тенгламани ўзгартириб,  $z_0$  га нисбатан қуйидаги квадрат тенгламани ҳосил қиламиз:

$$z_0^2 + \frac{2F_a n}{b} z_0 - \frac{2F_a n}{b} h_1 = 0. \quad (120.3)$$

Бу тенгламадан нейтрал қатлам ҳолатини аниқловчи  $z_0$  ни топамиз:

$$z_0 = \frac{nF_a}{b} \left[ -1 + \sqrt{1 + \frac{2h_1 b}{nF_a}} \right]; \quad (120.4)$$

$z_0$  аниқлангач, иккинчи мувозанат тенгламасини ёзишимиз мумкин.  $D$  зўриқиш сиқувчи кучланишнинг эпюрасини тасвирловчи учбурчак арказига қўйилганлиги назарга олинса, ички жуфт елкаси биз текшираётган ҳолда  $h_1 - \frac{z_0}{3}$  га тенг бўлади. Шунинг учун иккинчи мувозанат тенгламаси қуйидагича ёзилади:

$$M - D \left( h_1 - \frac{z_0}{3} \right) = 0$$

ёки

$$M - \frac{1}{2} \sigma_c z_0 b \left( h_1 - \frac{z_0}{3} \right) = 0. \quad (120.5)$$

Бу тенгламадан бетондаги кучланиш  $\sigma_c$  ни аниқлаш учун қуйидаги формулани оламиз:

$$\sigma_c = \frac{2M}{b z_0 \left( h_1 - \frac{z_0}{3} \right)}. \quad (120.6)$$

$\sigma_c$  ни билганимиз ҳолда, арматурада ҳосил бўладиган кучланиш  $\sigma_c$  ни аниқлай оламиз:

$$\sigma_c = \frac{Z_c}{F_a} = \frac{D}{F_a} = \frac{\sigma_c z_0 b}{2F_a} = \frac{M}{F_a (h_1 - \frac{z_0}{3})} \quad (120.7)$$

Темир-бетон балканинг мустаҳкамлиги қуйидаги шартлар ёрдамида текширилади:

$$(\sigma_c)_{\max} \leq [\sigma_c]; \quad (\sigma_c)_{\max} \leq [\sigma_c],$$

бу ерда  $[\sigma_c]$  — бетон учун рухсат этилган кучланиш.

**121- §. Темир-бетон балкалардаги тангенциал кучланишлар**

Курсимизнинг 81-параграфиди тавсиф этилган усулдан фойдаланиб, темир-бетон балкада ҳосил бўладиган тангенциал кучланишларни аниқлаймиз. Бир-бирдан  $dx$  масофада турган  $m$  ва  $m_1$  кесимлар воситаси билан балкадан бир бўлакча ажратамиз (435-шакл). Энг катта тангенциал кучланиш нейтрал қатламда ҳосил бўлиши керак. Уша ажратилган бўлакчадан  $m$  ва  $m_1$  элементни олиб, унинг мувозанатини текширамиз. Нейтрал қатламга тўғри келадиган  $n$  юзада энг катта тангенциал кучланиш  $\tau_{\max}$  ҳосил бўлади ва у юзадаги тангенциал зўриқиш  $dT = \tau_{\max} b dx$  бетоннинг  $m$  ва  $m_1$  юзалари бўйича сиқувчи зўриқишлар айирмаси  $dD$  билан мувозанатлашади:

$$\tau_{\max} b dx = dD,$$

бундан:

$$\tau_{\max} = \frac{1 dD}{b dx} \quad (a)$$

Эгувчи момент  $M$  ички жуфтнинг momenti билан мувозанатлашгани учун:

$$M = D (h_1 - \frac{z_0}{3})$$

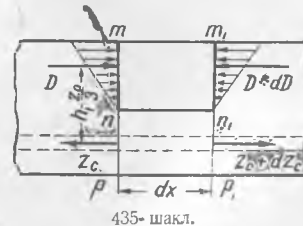
бўлади. Бундан  $D$  ни аниқлаб, унинг қийматини (a) га қўйсақ,  $\tau_{\max}$  қуйидагича ифодаланади:

$$\tau_{\max} = \frac{1}{b (h_1 - \frac{z_0}{3})} \frac{dM}{dx} = \frac{Q}{b (h_1 - \frac{z_0}{3})}$$

ёки

$$\tau_{\max} = \frac{3 Q}{b h_1 (3 - \frac{z_0}{h_1})} \quad (121.1)$$

Амалий ҳисобларни бажаришда, нейтрал қатламдаги тангенциал кучланишларни аниқлаш билан бирга, арматура ва бетоннинг тегишиб турган сиртларидаги кучланишни, яъни бетон билан арматуранинг қовушиш кучланишини ҳам аниқлаш лозим. Ҳалиги элементни арматура олдиан ажратиб, унинг мувозанатини текширамиз. Арматурадаги чўзувчи зўриқишларнинг  $dx$  мобайнидаги айирмаси унинг сиртидаги тангенциал зўриқишлар



билан мувозанатлашади. Олдин арматуранинг чўзувчи зўриқишлар айирмасининг қийматини топамиз:

$$\left(h_1 - \frac{z_0}{3}\right) dz_c = Q dx.$$

бундан

$$\frac{dz_c}{dx} = \frac{Q}{h_1 - \frac{z_0}{3}}.$$

Арматура стерженларининг узунлик бирлигидаги сиртини  $F$  десак, у сиртдаги тангенциал қучланиш  $\tau_{арм}$  қуйидагича бўлади:

$$\tau_{арм} = \frac{1}{F} \frac{dz_c}{dx} = \frac{3Q}{F h_1 \left(3 - \frac{z_0}{h_1}\right)} \quad (121.2)$$

Бу қовушиш қучланиши бетонда ҳосил бўладиган нейтрал қатламдаги  $\tau_{мах}$  дан ( $F < b$  бўлса) каттадир. Арматура материални қўпайтирмасдан  $F$  ни катталаштириш учун арматура стерженлари сонини ошириш, уларнинг диаметрларини кичик қилиб олиш керак.

### МАСАЛАЛАР

163. Улама балка диаметри  $d = 17$  мм ли парчин михлар билан туташтирилган тўртта  $20^2$  номерли швеллердан тайёрланган (436-шакл). Балканинг узунлиги  $l = 3$  м; унинг ўртасига қўйилиши мумкин бўлган  $P_{мах}$  куч ва швеллернинг тоқчаларини туташтирувчи вертикал парчин михлар орасидаги масофа аниқлансин. Рухсат этилган қучланишлар:

$$[\sigma] = 1400 \text{ кг/см}^2; \quad [\tau] = 1100 \text{ кг/см}^2.$$

$$\text{Е ч и ш. } I_{брутто} = 4(1804 + 29,9 \cdot 10^2) = 19176 \text{ см}^4.$$

Парчин михлар тешиги туфайли кесимнинг заифланишини 12% деб оламиз, у ҳолда:

$$I_{нетто} = 19176 \cdot 0,88 = 16875 \text{ см}^4;$$

$$W_{нетто} = \frac{16875}{20} = 843,8 \text{ см}^3$$

бўлади. Энг катта эгувчи моментни аниқлаймиз:

$$M_{мах} = \frac{Pl}{4} = W_{нетто}[\sigma] = 843,8 \cdot 1400 = 11,81 \text{ тм.}$$

ундан:

$$P_{мах} = \frac{11,81 \cdot 4}{3} = 15,7 \text{ т}$$

келиб чиқади.

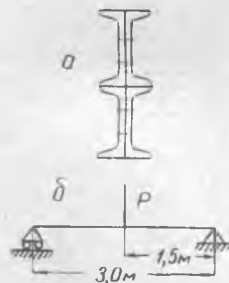
Максимал кесиб ўтувчи куч:  $Q_{мах} = \frac{P_{мах}}{2} = 7,85 \text{ т}$ . Нейтрал қатламдаги  $1 \text{ см}$

узунликка тўғри келадиган кесувчи зўриқишнинг қуйидаги формуладан аниқлаймиз:

$$\tau = \frac{Q_{мах} S_{брутто}}{I_{брутто}} = \frac{7850 \cdot 29,9 \cdot 10^2 \cdot 2}{19176} = 244 \text{ кг/см}^2.$$

Диаметри  $d = 17$  мм бўлган бир хил кесимли 2 та парчин михнинг синиб кетмасдан қўрсатадиган қаршилиги:

$$T = 2 \frac{\pi d^2}{4} [\tau] = 2 \frac{3,14 \cdot 1,7^2}{4} 1100 = 5000 \text{ кг.}$$



436-шакл.

Парчин михлар орасидаги масофа:

$$a = \frac{T}{\tau} = \frac{5000}{244} \approx 20 \text{ см.}$$

164. Кесими қўштавр шаклида бўлган улама балканинг энг катта эгувчи моменти  $M_{\max} = 1300 \text{ кгм}$ , кесиб ўтувчи куч  $Q = 2000 \text{ кг}$ . Парчин михлар тешиги туфайли кесимнинг заифланиши ҳисобга олинмаган ҳолда балканинг қўндаланг кесими танлансин (437-шакл).  $[\sigma] = 1400 \text{ кг/см}^2$ . Қўндаланг кесим  $200 \times 2 \text{ мм}^2$  бўлган девор, кенлиги  $b = 20 \text{ мм}$  ли тўртта тенг ёнли бурчаклик ва иккита горизонтал листдан иборат. Энг катта тангенциал кучланиш ҳам аниқлансин.

Ечиш. Олдин зарур бўлган қаршилик моментини аниқлаймиз:

$$W = \frac{M_{\max}}{[\sigma]} = \frac{130000}{1400} = 93 \text{ см}^3.$$

Кесимнинг инерция моменти:

$$I_y = Wz_{\max} = 93 \cdot 10 = 930 \text{ см}^4$$

булиши керак. Вертикал деворнинг ( $200 \times 2 \text{ мм}^2$ ) инерция моменти:

$$I_{\partial} = \frac{\delta h^3}{12} = 133 \text{ см}^4.$$

$20 \times 20 \times 3 \text{ мм}$  ўлчамли бурчакликларни оламиз. Шунинг учун:

$$I_{\text{бур}} = 4 \cdot 1,13 \cdot (9,2)^2 = 400 \text{ см}^4.$$



437-шакл.

Ҳар бир бурчакликнинг юзи  $F = 1,13 \text{ см}^2$  бўлиб, оғирлик марказининг ҳолатини сортамент жадвалидан аниқладик.

Горизонтал листларнинг инерция моменти:

$$\Delta I = I_y - (I_{\partial} + I_{\text{бур}}) = 930 - 533 = 397 \text{ см}^4.$$

Горизонтал листлар кенлигини  $50 \text{ мм}$  қилиб оламиз, чунки улар иккита бурчаклик билан девор қалинлигини қоплаши керак. У ҳолда:

$$\Delta I = 2b_T \delta_T \left(\frac{b_T}{2}\right)^2 = 2 \cdot 5\delta_T \cdot 10^2 = 397 \text{ см}^4;$$

демак

$$\delta_T = \frac{397}{1000} \approx 0,4 \text{ см} = 4 \text{ мм}$$

бўлади, бу ерда  $\delta_T$  — горизонтал листнинг қалинлиги;  $b$  — горизонтал листнинг кенлиги. Кесимнинг ҳақиқий инерция моменти:

$$I_{\text{ҳақ}} = I_{\partial} + I_{\text{бур}} + I_{\text{гор}} = 949 \text{ см}^4.$$

Ҳақиқий қаршилик моменти:

$$W_{\text{ҳақ}} = \frac{949}{10,4} = 91,3 \text{ см}^3.$$

Кесимда ҳосил бўладиган ҳақиқий кучланиш:

$$\sigma_{\max} = \frac{130000}{91,3} = 1425 \text{ кг/см}^2 > 1400 \text{ кг/см}^2,$$

яъни у рухсат этилган кучланишдан  $1,8\%$  зиёдроқ бўлиб чиқди.

$$\tau_{\max} = \frac{Q_{\max} S_{\max}}{I_{\text{ҳақ}} \cdot \delta_{\partial}} = \frac{2000}{949 \cdot 0,2} (5 \cdot 0,4 \cdot 10,2 + 2 \cdot 1,13 \cdot 9,4 + 10,02 \cdot 5) = 544 \text{ кг/см}^2.$$

165. Икки таянчда ётган улама балканинг ўртасига  $P = 25 \text{ т}$  юк қўйилган. Балканинг қўндаланг кесими 438-шаклда тасвирланган. Парчин михлар орасидаги масофа  $a = 120 \text{ мм}$ . Горизонтал ва вертикал парчин михларни кесувчи  $T_1$  ва  $T_2$  кучлар ҳисоблансин.

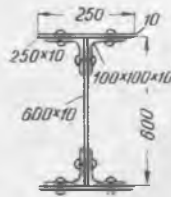
Қўрсатма.  $T_1$  ва  $T_2$  нинг қиймати (116.1) дан аниқланади.

Жавоб.  $T_1 \approx 262 \text{ кг}$ ,  $T_2 \approx 1092 \text{ кг}$ .

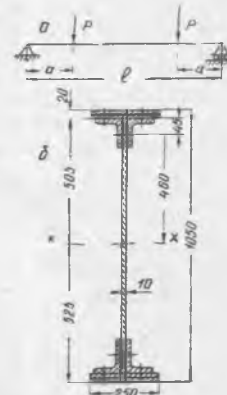
166. Икки таянчда ётган улама балкага таянчлардан  $a = 2$  м масофада бир-бирига тенг ва ҳар бири  $P = 50$  т бўлган иккита тўпланган куч қўйилган (439-шакл, а). Балканинг узунлиги  $l = 8$  м. Унинг қундаланг кесими  $1000 \times 10$  мм ўлчамли вертикал лист,  $100 \times 100 \times 10$  мм ўлчамли тўртта бурчаклик ва  $250 \times 10$  мм ўлчамли икки жуфт горизонтал листлардан тузилган қўштаврдир (439-шакл). Рухсат этилган кучланишлар:  $[\sigma] = 1200$  кг/см<sup>2</sup>,  $[\tau] = 900$  кг/см<sup>2</sup>; балканинг узунлик бирлигидаги оғирлиги  $q = 0,35$  т/м. Парчин михнинг диаметри  $d = 20$  мм бўлиб, унинг рухсат этилган кучланишлари  $[\tau] = 800$  кг/см<sup>2</sup>,  $[\sigma_{\text{эз}}] = 200$  кг/см<sup>2</sup>. Бурчакликларни вертикал девор билан туташтирувчи парчин михлар орасидаги масофа  $a = 10$  см.

Кесимнинг инерция моменти:  $I_{\text{брутто}} = 525\,000$  см<sup>4</sup>. Кесимнинг парчин михлар туфайли заифланишини 15% деб олиб, балканинг мустаҳкамлик шартини қаваотлантириши текшириб кўриلسин, яъни:

1) хавфли кесимдаги нормал кучланиш  $\sigma_{\text{тах}}$  ва нейтрал қатламдаги энг катта тангенциал кучланиш  $\tau_{\text{тах}}$  аниқлансин;



438-шакл.



439-шакл.

2) парчин михлардаги кесувчи  $\tau$  ва эзувчи  $\sigma_{\text{эз}}$  кучланишлар текшириб кўриلسин;  
3)  $M_{\text{тах}}$  ва  $Q_{\text{тах}}$  бўлган кесимларда горизонтал парчин михлар олдидаги элементларнинг максимал бош кучланишлари текшириб кўриلسин.

Жавоб.  $\sigma_{\text{тах}} = 1200$  кг/см<sup>2</sup>.

$$\tau_{\text{тах}} = 549 \text{ кг/см}^2 < 900 \text{ кг/см}^2,$$

$$\tau = \frac{T}{\frac{\pi d^2}{4}} = 680 \text{ кг/см}^2 < 800 \text{ кг/см}^2,$$

$$\sigma_{\text{эз}} = \frac{T}{\delta d} = 2\,135 \text{ кг/см}^2 > 2\,000 \text{ кг/см}^2; \text{ фарқи } 6,5\%.$$

Горизонтал парчин мих олдидаги элементда ҳосил бўладиган нормал ва тангенциал кучланишлар:

$$\sigma = \frac{Mz}{I_{\text{нетто}}} = 1\,050 \text{ кг/см}^2; \quad \tau = \frac{QS_T}{I_{\text{брутто}} \delta} = 446 \text{ кг/см}^2.$$

Энг катта бош кучланиш:

$$(\sigma_{\tau})_{\text{тах}} = \frac{1}{2} (\sigma + \sqrt{\sigma^2 + 4\tau^2}) = 1\,214 \text{ кг/см}^2.$$

$1214 \text{ кг/см}^2 > 1200 \text{ кг/см}^2$ , яъни атиги 1,2% фарқ қилади.

167. Узунлиги  $l = 6$  м улама балка икки таянчга қўйилган бўлиб, унга интенсивлиги  $q = 6$  т/м бўлган текис ёйилган куч таъсир қилади. Вертикал деворни тоқча элементлари билан туташтирувчи горизонтал парчин михнинг диаметри  $d = 20$  мм; парчин михлар орасидаги масофа  $a$  аниқлансин. Кесимнинг бошқа ўлчамлари 440-шаклда кўрсатилган. Рухсат этилган кучланишлар  $[\tau] = 1\,100$  кг/см;  $[\sigma_{\text{эз}}] = 2\,800$  кг/см<sup>2</sup>.

Кўрсатма. Тоқчанинг парчин мих орқали деворга курсатадиган босими

$$T_a = \frac{Q_{\text{тах}} S_T}{l} a = 315 a$$

$$S_T = 20 \cdot 1 \cdot 25,5 + 2 \cdot 14 \cdot 1 \cdot 22,78 = 1\,153 \text{ см}^3$$

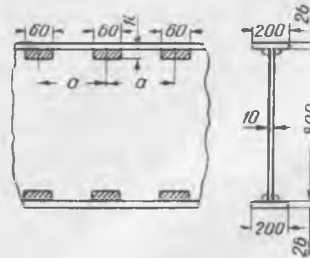
$$I_y = 65\,970 \text{ см}^4.$$

Парчин миҳнинг кесилмаслик шартидан:

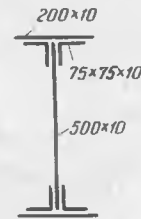
$$315a < 2 \frac{\pi d^2}{4} [\tau]; \quad a \approx 22 \text{ см.}$$

Деворнинг эзилмаслик шартидан:

$$315a < d\delta[\sigma_{33}]; \quad a = 18 \text{ см.}$$



440- шакл.



441- шакл.

Парчин миҳ деворни икки текислик бўйича ситиб юбормаслиги учун:

$$315a < \delta_x (a - d) [\tau]; \quad a \approx 3 \text{ см}$$

бўлиши лозим.

168. Қўндаланг кесим ўлчамлари 441-шаклда кўрсатилган, узунлиги  $l = 8 \text{ м}$  бўлган улама балка икки таянчга қўйилган. Улама балка қўйилиши мумкин бўлган энг катта тенг ёйилган  $q$  юк таъсирида турали; сидирғамас чокнинг қадами  $a$  аниқлансин. Балка учта элементдан иборат бўлиб, чокнинг қалинлиги  $1 \text{ см}$ , узунлиги  $6 \text{ см}$  дир. Балканинг эгилишдаги рухсат этилган кучланиши  $[\sigma] = 1400 \text{ кг/см}^2$ , чокнинг кесилишга рухсат этилган кучланиши  $[\tau] = 720 \text{ кг/см}^2$ . Чок сидирға қилинса, унинг қалинлиги қанча бўлиши керак?

Е ч и ш. Олдин қўйилиши мумкин бўлган кесиб ўтувчи кучни ҳисоблаймиз:

$$I = 2 \cdot 20 \cdot 2,6 \cdot 41,3^2 + \frac{1 \cdot 80^3}{12} = 219\,500 \text{ см}^4$$

$$W = \frac{I}{z_{\max}} = \frac{219\,500}{42,6} = 5\,150 \text{ см}^3 \quad M_{\max} = \frac{ql^2}{8} = 1\,400 \cdot 5\,150 \text{ кгсм}$$

қўйилиши мумкин бўлган ёйилма юкнинг интенсивлиги:

$$q = \frac{1\,400 \cdot 5\,150 \cdot 8}{l^2} \quad Q_{\max} = \frac{ql}{2} = \frac{1\,400 \cdot 5\,150}{800} \cdot 4 = 36\,050 \text{ кг.}$$

Иккала томондаги чокка тўғри келган энг катта кесувчи зўриқиш  $T_a = \frac{Q_{\max} S_T}{l}$  а ни чокка қўйилиши мумкин бўлган зўриқиш  $2 \cdot 0,7 h_{\text{чок}} l_{\text{чок}} [\tau]$  га тенглаштирамиз:

$$T = \frac{Q_{\max} S_T}{l} a = 353a = 2 \cdot 0,7 \cdot 1 \cdot 6 \cdot 720.$$

Бундан чокнинг қадами:  $a = 17 \text{ см}$ .

Сидирга чокнинг қаллинигини (118.4) дан аниқлаймиз:

$$h_{\text{чок}} = \frac{Q_{\text{max}} S_T}{1,4[\tau_s]} = \frac{36\,050 \cdot 20 \cdot 2,6 \cdot 41,3}{1,4 \cdot 219\,500 \cdot 720} = 0,35 \text{ см} \approx 4 \text{ мм.}$$

169. Номери 40<sup>a</sup> бўлган қўш тавр балкага  $300 \times 24$  см ўлчамли иккита горизонтал лист эритиб уланган. Балка деворининг қаллилиги 10 мм бўлиб, кесиб ўтувчи куч кўндаланг кесимда ўртача қиймати  $\frac{Q}{F} = 850 \text{ кг/см}^2$  га тенг бўлган тангенциал кучланиш

ҳосил қилади. Чокнинг баландлиги 10 мм; балканинг ҳар бир метрини улаш учун зарур бўлган чокнинг узунлиги аниқлансин.

Қўрсатма. Кесиб ўтувчи куч  $Q$  ни асосан кесимнинг девори қабул қилгани сабабли, унинг қиймати  $Q = 850F$  формула ёрдамида топилади;  $F$  нинг қиймати сортамент жадвалидан аниқланади. Бир метр узунликдаги кесувчи кучни

$$T = \frac{QS_T}{l} 100$$

формуладан аниқлаб, ҳосил бўлган қийматни (117.1) формулага қўямиз. Кейин  $[\tau_s]$  нинг қийматини белгилаб олиб, чокнинг узунлиги  $l_{\text{чок}}$  ни аниқлаш мумкин. Агар  $[\tau_s] = 720 \text{ кг/см}^2$  деб олинса,  $l_{\text{чок}} = 18 \text{ см}$  бўлади.

170. Қарағайдан тайёрланган балканинг кўндаланг кесими  $5 \times 2$  см ли тўғри тўртбурчак бўлиб, у  $2 \times 0,25$  см ли пўлат лист билан бақувватланган (442 шакл, а). Бу элементлар бир бутун бўлиб ишлайдиган қилиб туташтирилган. Пўлатнинг эластиклик модули  $E_c = 2 \cdot 10^6 \text{ кг/см}^2$ , қарағайники эса  $E_d = 1 \cdot 10^6 \text{ кг/см}^2$ . Балканинг узунлиги  $l = 30$  см бўлиб, унинг бир учи қистириб тиралган, иккинчи

учига эса  $P = 50$  кг юк қўйилган. Пўлат лист ва ёғоч балкада ҳосил бўладиган кучланишлар ҳисоблансин.

Ечиш. Текис кесим гипотезасидан фойдаланиб,  $\sigma_c = \frac{E_c}{E_d} \sigma_d$  ни оламиз, чунки

$$\sigma_c = \frac{E_c z}{\rho}; \quad \sigma_d = \frac{E_d z^*}{\rho}$$

Нейтрал ўқнинг ҳолатини аниқлаш учун ёғоч ва пўлатдаги ички зўриқишлар йиғиндисини нолга тенглаштирамиз:

$$\int_{F_c} \sigma_c dF_c + \int_{F_d} \sigma_d dF_d = 0$$

ёки

$$\int_{F_c} \sigma_d \left( \frac{E_c}{E_d} dF_c + dF_d \right) = \int_{F_c} \sigma_d d \left( \frac{E_c}{E_d} F_c + F_d \right) = 0.$$

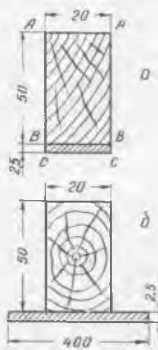
Кейинги интегралнинг кавс ичига олинган ҳадини келтирилган юза деб атаб, уни  $F_{\text{келт}}$  ҳарфи билан белгилаймиз, яъни:

$$\frac{E_c}{E_d} F_c + F_d = F_{\text{келт}}$$

Икки хил материалдан тузилган юзага мустақамлик жиҳати билан эквивалент бўлган юза келтирилган юза деб аталади. Бу ҳолда пўлат полоса юзани мустақамлик жиҳатидан унга эквивалент бўлган ёғоч юза билан қуйидагича алмаштириш лозим.

$$F_c \frac{E_c}{E_d} = 2 \cdot 0,25 \cdot 20 = 10 \text{ см}^2,$$

\*Бу ифодалардаги «с» индекси пўлатни, «д» индекси эса ёғочни билдиради.



442-шакл.

яъни кенглиги 2 см бўлган пўлат полоса кенглиги 40 см ли ёғоч полоса билан алмаштирилди (442-шакл. б).

Демак, юқоридаги формулани қуйидагича ёзишимиз мумкин:

$$\frac{E_{\partial}}{\rho} \int z dF_{\text{келт.}} = 0.$$

Бу формуладан кўришиб турибдики, нейтрал ўқ келтирилган юзанинг оғирлик марказидан утар экан. Нейтрал ўқнинг ҳолати одатдагича аниқланади, фақат пўлат полоса юзани унга мустаҳкамлик жиҳатидан эквивалент бўлган ёғоч юза билан алмаштириш лозим. Нейтрал ўқ эквивалент ёғоч юзанинг пастки қиррасидан  $z = 1,437$  см масофа утади. Кучланишларни аниқлаш учун нейтрал ўққа нисбатан моментлар тенгламасини тузамиз:

$$M = \int_{F_c} z \sigma_c dF + \int_{F_{\partial}} z \sigma_{\partial} dF = \frac{E_{\partial}}{\rho} \int_F z^2 d \left[ \frac{E_c}{E_{\partial}} F_c + F_{\partial} \right] = \frac{E_{\partial}}{\rho} \int_{F_{\text{келт.}}} z^2 dF_{\text{келт.}}$$

Келтирилган кесимнинг инерция momenti  $I_{y \text{ келт}}$  ни аниқлаймиз:

$$I_{y \text{ келт}} = \int_{F_{\text{келт}}} z^2 dF_{\text{келт}} = \frac{2 \cdot 5^3}{12} + 10 \cdot 1,313^2 + 40 \cdot 0,25 \cdot 1,313^2 = 55,28 \text{ см}^4.$$

Демак,

$$\frac{1}{\rho} = \frac{M}{E_{\partial} I_{\text{келт}}}$$

$$\sigma_{\partial} = \frac{E_{\partial} z_{\text{max}}}{\rho} = \frac{M}{I_{\text{келт}}} z_{\text{max}} = \frac{50 \cdot 30 \cdot 3,813}{55,28} = 104 \text{ кг/см}^2.$$

Пўлатдаги кучланишни аниқлаш учун бу нуқталарда ёғочга таъсир қилувчи кучлавишни ҳисоблаймиз:

$$\sigma_{\partial}^* = - \frac{M}{I_{\text{келт}}} z_1 = - \frac{50 \cdot 30 \cdot 1,187}{55,28} = - 32,2 \text{ кг/см}^2;$$

$$\sigma_{\partial}^* = - \frac{50 \cdot 30 \cdot 1,437}{55,28} = - 39 \text{ кг/см}^2$$

Энди пўлатдаги кучланишни  $\sigma_c = \sigma_{\partial} \frac{E_c}{E_{\partial}}$  формуладан топиш қийин эмас.

$$\sigma_c^* = - 644 \text{ кг/см}^2. \quad \sigma_c^* = - 780 \text{ кг/см}^2.$$

171. Қоробка шаклида ясалган пўлат балка ичига ёғоч брус зич киритилиб кучайтирилган (443-шакл).

Ёғоч брус билан кучайтирилгангача ва ундан кейин пўлат балкада қандай кучланиш ҳосил бўлиши аниқлансин. Ёғоч брусдаги кучланиш ҳам ҳисоблансин. Эғувчи момент  $M = 200$  кгсм. Эластиклик модуллари:  $E_c = 2 \cdot 10^6$  кг/см,  $E_{\partial} = 1 \cdot 10^5$  кг/см<sup>2</sup>.

Е чи ш. Пўлат балка ёғоч брус билан кучайтирилишидан олдин:

$$I_y = \frac{4 \cdot 8^3 - 3,4 \cdot (7,4)^2}{12} = 54 \text{ см}^4; \quad W = \frac{54}{4} = 13,5 \text{ см}^3.$$

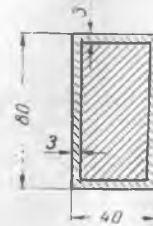
$$\sigma_c = \frac{20 \ 000}{13,5} = 1480 \text{ кг/см}^2.$$

Кучайтирилганидан кейин:

$$\frac{E_c}{E_{\partial}} = 20.$$

$$I_{\text{келт}} = I_c + \frac{E_{\partial}}{E_c} I_{\partial} = 54 + \frac{1}{20} \cdot \frac{3,4 \cdot 7,4^3}{12} = 59,8 \text{ см}^4,$$

$$\sigma_c = \frac{M}{W_{\text{келт}}} = \frac{20 \ 000}{15} \cong 1 \ 330 \text{ кг/см}^2.$$



443-шакл.

Ёғочнинг тепа қиррасида жойлашган пулатнинг кучланиши:

$$\sigma_c = \frac{2000}{60} \cdot 3,6 = 1200 \text{ кг/см}^2.$$

Ёғочнинг тепа қиррасидаги кучланиш:

$$\sigma_d = \frac{E_d}{E_c} \cdot \sigma_c = \frac{1200}{20} = 60 \text{ кг/см}^2.$$

172. Тўғри тўртбурчак кесимли темир-бетон балка берилган.  $\frac{E_c}{E_b} = 15$  ва арматуранинг юзаси  $F_a = 0,008 bh_1$ , балканинг юқори қиррасидан нейтрал қатламгача бўлган масофа  $z_0$  аниқлансин.

Е ч и ш. Бу масала (119.4) формула билан ечилади, яъни

$$z_0 = \frac{hF_a}{b} \left[ -1 + \sqrt{1 + \frac{2h_1b}{nF_a}} \right] \cong 0,385h_1.$$

173. Тўғри тўртбурчак кесимли темир-бетон балка берилган. Балкадаги пулат арматура учун энг катта сиқувчи кучланиш  $\sigma_c = 840 \text{ кг/см}^2$ , бетон учун энг катта сиқувчи кучланиш  $\sigma_d = 45 \text{ кг/см}^2$ . Агар  $\frac{E_c}{E_b} n = 15$  берилган бўлса, балкадаги арматуралар кесимлари юзачаларининг йиғиндисы, балка умумий кесим юзасининг қанча қисмини ташкил қилади?

Е ч и ш. (120.2) формулага биноан,  $\frac{840}{45} = 15 \frac{h_1 - z_0}{z_0}$  (431-шакл),

бундан:

$$z_0 = \frac{45h_1}{101}.$$

Энди (120.1) формулани ёзамиз:  $-D + z_c = 0$ ,

бундан

$$D = \int_0^{z_0} \sigma_d \frac{z}{z_0} b dz = \frac{1}{2} \sigma_d z_0 b \quad \text{ва} \quad z_c = F_a \cdot \sigma_c.$$

Юқорида ёзилганларга биноан:

$$-\frac{1}{2} \sigma_d z_0 b + F_a \cdot \sigma_c = 0,$$

бундан:

$$\frac{F_a}{h_1 b} \approx 0,012.$$

174. Бетон учун рухсат этилган кучланиш  $[\sigma_b] = 45 \text{ кг/см}^2$  ва  $\frac{E_c}{E_b} = 15$  бўлса, икки таянчда ётган темир-бетон балканинг ўртасига қанча куч қўйиш мумкин?

$$l = 3 \text{ м}, \quad b = 25 \text{ см}, \quad h = 30 \text{ см}, \quad F_a = 7,5 \text{ см}^2.$$

Жавоби.  $P = 2 \text{ 430 кг}$ .

175. Нейтрал қатламнинг ҳолатини аниқловчи  $z_0$  нинг қандай қийматида энг катта кучланишлар бетон ва арматура учун бир вақтда ўзининг рухсат этилган қийматига эришади?

Е ч и ш:  $[\sigma]$  ва  $[\sigma_b]$  арматура ҳамда бетон учун рухсат этилган кучланишлар бўлсин. Буларнинг нисбатини аниқлаймиз:

$$\frac{[\sigma_b]}{[\sigma_c]} = \frac{E_b}{E_c} \frac{z_0}{h_1 - z_0};$$

Бундан:

$$z_0 = \frac{|\sigma_\delta|}{|\sigma_\delta| + |\sigma_c|} \frac{E_c}{E_\sigma}.$$

Бу шартни қаноатлантирувчи балка арматуралари мувозанатланган балка деб аталади.

### 122-§. Эластик таянчда ётувчи балкалар

Балка эластик таянчда ётибди, деб фараз қилайлик (444-шакл). Бундай балкага фундаментга қўйилган балкалар ёки чуқувчи таянчларда ётувчи балкалар мисол бўла олади. Балка қўйилган юк  $q(x)$  таъсирида эгилганда унинг эластик таянчида реакция кучи ҳосил бўлади. Бу реакция кучини  $P(x)$  билан белгилаймиз. Балканинг ҳар бир нуқтаси учун тегишли бу реактив куч шу нуқтанинг кучиш катталигига пропорционал деб фараз қиламиз. Эластик таянчдаги ҳар бир нуқтада ҳосил бўладиган реактив куч айни шу нуқтанинг кучишига пропорционал бўлиши хақидаги гипотезани энг аввал проф. Винклер таърифлаганлигидан у *Винклер гипотезаси* дейилади. Балка қўйилган эластик таянчни бир жинсли деб қараймиз. Эластик таянчнинг балка узунлик бирлигига кўрсатган реакция кучлари қиймати қўйидаги кўринишда ифодаланади:

$$P(x) = -k\omega(x). \quad (122.1)$$

Пропорционаллик коэффициент  $k$  нинг ўлчами куч/(узунлик)<sup>3</sup> деб қабул қилинади. Бу коэффициент эластик таянчнинг *мойиллик коэффициенти* деб аталади. Реактив куч, балканинг шаклида тасвирлангандек, остки томондан таъсир кўрсатувчи ёйилган кучдан иборатдир. Шунинг учун уни балкага бевосита қўйилган куч  $q(x)$  билан қўшиш мумкин. Шунга кўра, балканинг ҳар бир узунлик бирлигига таъсир этувчи кучнинг қиймати:

$$q_1(x) = q(x) - k\omega(x) \quad (122.2)$$

бўлади. Бош текислик  $OZX$  ни шаклдагидек танлаб, эгилган ўқ дифференциал тенгламасини ёзамиз:

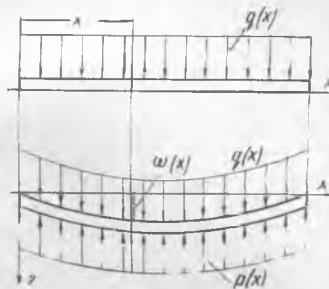
$$EI \frac{d^4\omega}{dx^4} = q(x) - k\omega(x)$$

ёки

$$EI \frac{d^4\omega}{dx^4} + k\omega(x) = q(x).$$

Бу тенгламани содда кўринишга келтирамиз:

$$\frac{d^4\omega}{dx^4} + 4\alpha^4\omega(x) = \frac{p(x)}{EI} \quad (122.3)$$



444-шакл.

бу ерда

$$4\alpha^4 = \frac{k}{EI} \quad \text{ёки} \quad \alpha = \sqrt[4]{\frac{k}{4EI}} \quad (122.4)$$

(122.4) тенгламанинг интегралли унинг бир жинсли қисми умумий интегралли билан тенгламанинг хусусий интеграллари йиғиндисидан иборат. Шунинг учун олдин (122.4) нинг бир жинсли қисмининг умумий интеграллини топамиз:

$$\frac{d^4 w}{dx^4} + 4\alpha^4 w = 0. \quad (122.5)$$

Бу тенгламанинг умумий интеграллини топишда бизга маълум бўлган усуллардан фойдаланиб, унинг характеристик тенгласини тузамиз:

$$\lambda^4 + 4\alpha^4 = 0. \quad (122.6)$$

(122.6) нинг илдизларини топиш учун Эйлер формуласидан фойдаланамиз:

$$\lambda = \rho (\cos \varphi + i \sin \varphi). \quad (a)$$

Моор формуласига мувофиқ:

$$\lambda^4 = \rho^4 (\cos^4 \varphi + i \sin 4\varphi).$$

Буни (122.4) га қўйиб, тенгламанинг чап томони ва ҳақиқий ҳамда мавҳум қисмини ажратиб, қуйидаги тенгламани оламиз:

$$\rho^4 \cos^4 \varphi + i \rho^4 \sin 4\varphi = -4\alpha^4 + i \cdot 0.$$

Ҳақиқий қисми билан мавҳум қисми солиштириб, қуйидаги тенгламаларни ҳосил қиламиз:

$$\rho^4 \cos 4\varphi = -4\alpha^4, \quad \rho^4 \sin 4\varphi = 0.$$

Булардан:

$$\rho^4 = 4\alpha^4, \quad \cos 4\varphi = -1, \quad \sin 4\varphi = 0,$$

демак:

$$4\varphi = \pi, \quad 3\pi, \quad 5\pi, \quad 7\pi$$

ёки

$$\varphi_1 = \frac{\pi}{4}, \quad \varphi_2 = \frac{3\pi}{4}, \quad \varphi_3 = \frac{5\pi}{4}, \quad \varphi_4 = \frac{7\pi}{4}.$$

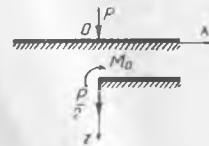
$\rho$  билан  $\varphi$  нинг бу қийматларини (a) га қўйиб, характеристик тенгламанинг тўртта илдизини топамиз:

$$\lambda_1 = \alpha \sqrt[4]{2} \left( \frac{\sqrt{2}}{2} + i \frac{\sqrt{2}}{2} \right) = \alpha(1 + i),$$

$$\lambda_2 = \alpha(-1 + i); \quad \lambda_3 = -\alpha(1 + i); \quad \lambda_4 = \alpha(1 - i).$$

Энди (122.4) тенгламанинг умумий интеграллини ёзиш қийин эмас:

$$w(x) = e^{\alpha x} (A \cos \alpha x + B \sin \alpha x) + e^{-\alpha x} (C \cos \alpha x + D \sin \alpha x), \quad (122.7)$$



445- шакл.

Бу интегралдан фойдаланиб, турлича юкланган ва чегара шартлари ҳар хил бўлган эластик таянчда ётувчи балкаларни ҳисоблаш анча қулайдир. Олдин бирор нуқтасига тўпланган юк қўйилган чексиз узун балкани текшираемиз (445-шакл), юк қўйилган  $O$  нуқтани координаталар боши деб қабул қиламиз. Балка

симметрик равишда деформациялангани сабабли, унинг юк қўйилган кесимининг бир томонидаги қисмини текшириш kifоя. Балкани фикран кесиб, унинг ўнг томонини қолдирамиз ва унга ташланган қисмининг таъсирини тегишлича  $P/2$  куч ҳамда эгувчи момент  $M_0$  билан алмаштирамиз. Текшириляётган ҳолга (122.7) формулани татбиқ этиш учун ўзгармас ихтиёрий  $A, B, C, D$  миқдорларни аниқлаш лозим.  $P$  куч қўйилган нуқтадан чексиз узоқликда жойлашган нукталарда эгилиш ва эластик ўқнинг эгрилиги нолга тенгдир. Бу шарт бажарилиши учун ўзгармас ихтиёрий миқдорлар  $A$  билан  $B$  нолга тенг бўлиши керак. У ҳолда балка ўнг қисмининг эластик чизик тенгламаси (122.7) га мувофиқ қуйидагича ёзилади:

$$w = e^{-\alpha x}(C \cos \alpha x + D \sin \alpha x). \quad (122.8)$$

Ўзгармас миқдорлар  $C$  билан  $D$  ни куч қўйилган кесимнинг деформацияланиш шартидан топамиз. Бу кесимда симметрик эгилган ўқнинг уринмаси горизонтал йўналишда бўлиши керак, шунинг учун:

$$\left(\frac{dw}{dx}\right)_{x=0} = 0.$$

$w$  нинг қийматини (122.8) дан келтириб қўямиз:

$$[e^{-\alpha x}(C \cos \alpha x + D \sin \alpha x + C \sin \alpha x - D \cos \alpha x)]_{x=0} = 0,$$

бундан:

$$C = D$$

бўлади.

Эластик чизик тенгламаси (122.8)

$$w = Ce^{-\alpha x}(\cos \alpha x + \sin \alpha x) \quad (122.9)$$

куринишда ёзилади. Бу тенгламанинг кетма-кет учта ҳосиласини оламиз:

$$\left. \begin{aligned} \frac{dw}{dx} &= 2\alpha Ce^{-\alpha x} \sin \alpha x, \\ \frac{d^2w}{dx^2} &= -2\alpha^2 Ce^{-\alpha x}(\sin \alpha x - \cos \alpha x), \\ \frac{d^3w}{dx^3} &= -4\alpha^3 Ce^{-\alpha x} \cos \alpha x. \end{aligned} \right\} \quad (122.10)$$

Балканинг куч қўйилган нуқтасидаги кесиб ўтувчи куч  $-\frac{P}{2}$  га тенг. Бу шарт ўзгармас  $C$  миқдорни аниқлаш учун ишлатилади. Бундаги минус ишора кесувчи куч ишоралари ҳақидаги қоидага мувофиқ олинди. Демак:

$$[Q]_{x=0} = -EI \left(\frac{d^3w}{dx^3}\right)_{x=0} = -\frac{P}{2}$$

бўлади. Бу тенгликка (122.10) тенгламаларнинг учинчисини келтириб қўйсак,  $C$  ни аниқлаймиз:

$$C = \frac{P}{8\alpha^3 EI}.$$

$C$  нинг олинган қийматини (122.9) ва (122.10) га қўйиб эгилган ўқ тенгламаси билан эгувчи момент ифодаларини оламиз:

$$w = \frac{P}{8\alpha^3 EI} e^{-\alpha x}(\cos \alpha x + \sin \alpha x), \quad (122.11)$$

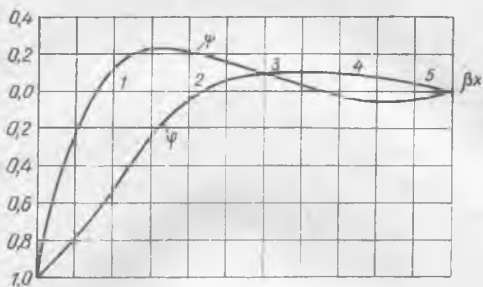
$$M = -EI \frac{d^2w}{dx^2} = +\frac{P}{4\alpha} e^{-\alpha x}(\cos \alpha x - \sin \alpha x). \quad (122.12)$$

Бу ҳар иккала тенгламанинг графиги сўнувчи амплитудали тўлқинлардан иборатдир. Бу тўлқинларнинг узунлиги

$$z = \frac{2\pi}{\alpha} = 2\pi \sqrt[4]{\frac{4EI}{k}}. \quad (122.13)$$

Эгилиш тенгламаси, эгувчи момент ва кесиб ўтувчи кучларни аниқлашни осонлаштириш учун қуйидаги функцияларнинг жадвалларини келтирамиз:

$$\begin{aligned} \varphi &= e^{-\alpha x} (\cos \alpha x + \sin \alpha x), \\ \psi &= \alpha^{-1} e^{-\alpha x} (\cos \alpha x + \sin \alpha x), \\ \theta &= e^{-\alpha x} \cos \alpha x. \end{aligned}$$



446-шакл.

446-шаклда  $\varphi$  ва  $\psi$  функцияларининг графиги тасвирланган. Энг катта эгилиш ва эгувчи момент координаталар бошига тўғри келган кесимда ҳосил бўлади, уларнинг қиймати тегишлича:

$$\psi_{\max} = w(0) = \frac{P}{8a^3 EI} = \frac{Pa}{2k} \quad (122.14)$$

$$M_{\max} = M(0) = \frac{P}{4a}. \quad (122.15)$$

Эластик таянчда ўтувчи балкалар учун салқилик, эгувчи момент ва қўндаланг кучларни ҳисоблашда зарур бўлган  $\varphi$ ,  $\psi$  ва  $\theta$  функциялари

| $\alpha$ | $\varphi$ | $\psi$  | $\theta$ | $\alpha$ | $\varphi$ | $\psi$  | $\theta$ |
|----------|-----------|---------|----------|----------|-----------|---------|----------|
| 0,0      | 1,0000    | -1,0000 | 1,0000   |          | -0,0366   | 0,0124  | -0,0245  |
| 0,1      | 0,9907    | -0,8100 | 0,9003   | 3,6      | -0,0341   | 0,0079  | -0,0210  |
| 0,2      | 0,9651    | -0,6398 | 0,8024   | 3,7      | -0,0314   | 0,0040  | -0,0177  |
| 0,3      | 0,9267    | -0,4888 | 0,7077   | 3,8      | -0,0286   | 0,0008  | -0,0147  |
| 0,4      | 0,8784    | -0,3564 | 0,6174   | 3,9      | -0,0258   | -0,0019 | -0,0120  |
| 0,5      | 0,8231    | -0,2415 | 0,5323   | 4,0      | -0,0231   | -0,0040 | -0,0095  |
|          |           |         |          | 4,1      |           |         |          |

Жадвалнинг давоми

| α   | φ       | ψ       | θ       | α   | φ       | ψ       | θ       |
|-----|---------|---------|---------|-----|---------|---------|---------|
| 0,6 | 0,7628  | -0,1431 | 0,4530  | 4,2 | -0,0204 | -0,0057 | -0,0074 |
| 0,7 | 0,6997  | -0,0599 | 0,3798  | 4,3 | -0,0179 | -0,0070 | -0,0054 |
| 0,8 | 0,6354  | ±0,0093 | 0,3131  | 4,4 | -0,0155 | -0,0079 | -0,0038 |
| 0,9 | 0,5712  | 0,0657  | 0,2527  | 4,5 | -0,0132 | -0,0085 | -0,0023 |
| 1,0 | 0,5083  | 0,1108  | 0,1988  | 4,6 | -0,0111 | -0,0089 | -0,0011 |
| 1,1 | 0,4476  | 0,1457  | 0,1510  | 4,7 | 0,0092  | -0,0090 | -0,0001 |
| 1,2 | 0,3899  | 0,1716  | 0,1091  | 4,8 | -0,0075 | -0,0089 | ±0,0007 |
| 1,3 | 0,3355  | 0,1897  | 0,0729  | 4,9 | -0,0059 | -0,0087 | 0,0014  |
| 1,4 | 0,2849  | 0,2011  | 0,0419  | 5,0 | -0,0046 | -0,0084 | 0,0019  |
| 1,5 | 0,2384  | 0,2068  | 0,0158  | 5,1 | -0,0033 | -0,0080 | 0,0023  |
| 1,6 | 0,1959  | 0,2077  | -0,0059 | 5,2 | -0,0023 | -0,0075 | 0,0026  |
| 1,7 | 0,1576  | 0,2047  | -0,0235 | 5,3 | -0,0014 | -0,0069 | 0,0028  |
| 1,8 | 0,1234  | 0,1985  | -0,0376 | 5,4 | -0,0006 | -0,0064 | 0,0029  |
| 1,9 | 0,0932  | 0,1899  | -0,0484 | 5,5 | 00      | -0,0058 | 0,0029  |
| 2,0 | 0,0667  | 0,1794  | -0,0563 | 5,6 | ±0,0005 | -0,0052 | 0,0029  |
| 2,1 | 0,0439  | 0,1675  | -0,0618 | 5,7 | 0,0010  | -0,0046 | 0,0028  |
| 2,2 | 0,0244  | 0,1548  | -0,0652 | 5,8 | 0,0013  | -0,0041 | 0,0027  |
| 2,3 | 0,0080  | 0,1416  | -0,0668 | 5,9 | 0,0015  | -0,0036 | 0,0026  |
| 2,4 | -0,0056 | 0,1282  | -0,0669 | 6,0 | 0,0017  | -0,0031 | 0,0024  |
| 2,5 | -0,0166 | 0,1149  | -0,0658 | 6,1 | 0,0018  | -0,0026 | 0,0022  |
| 2,6 | -0,0254 | 0,1019  | -0,0636 | 6,2 | 0,0019  | -0,0022 | 0,0020  |
| 2,7 | -0,0320 | 0,0895  | -0,0608 | 6,3 | 0,0019  | -0,0018 | 0,0018  |
| 2,8 | -0,0369 | 0,0777  | -0,0573 | 6,4 | 0,0018  | -0,0015 | 0,0017  |
| 2,9 | -0,0403 | 0,0666  | -0,0534 | 6,5 | 0,0018  | -0,0012 | 0,0015  |
| 3,0 | -0,0423 | 0,0563  | -0,0493 | 6,6 | 0,0017  | -0,0009 | 0,0013  |
| 3,1 | -0,0431 | 0,0469  | -0,0450 | 6,7 | 0,0016  | -0,0006 | 0,0011  |
| 3,2 | -0,0431 | 0,0383  | -0,0407 | 6,8 | 0,0015  | -0,0004 | 0,0010  |
| 3,3 | -0,0422 | 0,0306  | -0,0364 | 6,9 | 0,0014  | -0,0002 | 0,0008  |
| 3,4 | -0,0408 | 0,0237  | -0,0323 | 7,0 | 0,0013  | -0,0001 | 0,0007  |
| 3,5 | -0,0389 | 0,0177  | -0,0283 |     |         |         |         |

Бу назариядан ва кучларнинг таъсирини қўшиш принциpidан фойдаланиб, чексиз узун балкаларнинг бошқа тарзда қўйилган юклар таъсиридан эгилишини ҳам аниқлаш мумкин. Тўпланган юк таъсирини бевосита юқоридаги жадвалдан ёки 446-шаклда кўрсатилган график ёрдамида аниқлаш мумкин.

## XVIII боб



## МАТЕРИАЛЛАР ҚАРШИЛИГИНИНГ УМУМИЙ ТЕОРЕМАЛАРИ

## 123- §. Деформациянинг потенциал энергияси

Эластик системалар инженерлик иншоотларининг бир қисми бўлиб, улар ҳам қўйилган юклар таъсирида деформацияланади. Эластик система деформацияланганда унга қўйилган юклар иш бажаради. Ташқи кучнинг иш бажариши процессида эластик системада унинг деформацияланишидан ҳосил бўлган потенциал энергия тўплана боради. Ташқи куч бажарган иш миқдор жиҳатидан ана шу энергияга тенг бўлади. Тўпланган потенциал энергия миқдори эластик системанинг охириги вазиятидаги шаклига тўла боғлиқдир, ammo эластик системанинг ана шу охириги вазиятига келгунча бўлган ўзгариш қонунига боғлиқ эмас.

Эластик системада тўпланган энергия миқдори қуйидагича ҳисобланади. Эластик системада деформация натижасида ҳосил бўлган юкларнинг миқдори нолдан ўзининг энг катта миқдоригача аста-секин ўса боради, деб фараз қилайлик. Юкларнинг миқдори секин ўсиши туфайли эластик системанинг қисмларида ҳосил бўладиган деформацияларнинг тезлиги жуда кичик бўлади. Шунинг учун ҳаракатланаётган массаларда ҳосил бўладиган инерция кучларини ҳисобга олмаслик ҳам мумкин. Бу шартга кўра деформация давомида ташқи юклар билан ички эластик зўриқишлар орасида ҳамма вақт мувозанат сақланади. Шундай қилиб, деформация потенциал энергияси миқдорини ҳисоблаш ташқи кучлар бажарган ишни ҳисоблашга келтирилади. Эластик системада тўпланган потенциал энергияни ҳисоблаш учун назарий механика курсида механик системаларнинг мувозанатини текшириш учун чиқарилган мумкин бўлган қўчишлар принципини татбиқ қиламиз.

Эластик системадан битта нуқтани ажратамиз. Ажратилган нуқтага ташқаридан қўйилган юклардан ташқари, система бошқа нуқталарининг таъсирини ифодаловчи ички эластик кучлар ҳам таъсир қилади. Ажратилган нуқта мувозанатда бўлиши учун нуқтага таъсир қилувчи ташқи ва ички кучларнинг мумкин бўлган ихтиёрий қўчишда бажарган элементар ишларининг йиғиндиси нолга тенг бўлиши керак. Ташқи кучлар бажарган элементар ишни  $\delta A^{(e)}$  билан, ички кучларнинг бажарган элементар ишини  $\delta A^{(i)}$  билан белгиласак, нуқтанинг мувозанат шarti қуйидагича ёзилади:

$$\delta A^{(e)} + \delta A^{(i)} = 0. \quad (123.1)$$

Худди шундай ифодани эластик системанинг ҳар бир нуқтаси учун ёзишимиз мумкин. Улар системанинг барча нуқталари учун умумлаштирилса, мувозанат тенгламаси қуйидагича ёзилади:

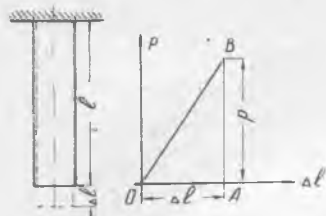
$$\sum \delta A^{(e)} + \sum \delta A^{(i)} = 0. \quad (123.2)$$

Бу тенгламанинг биринчи йиғиндиси системага қўйилган барча ташқи кучларнинг эластик система нуқталарининг мумкин бўлган қўчишидаги бажарган элементар иши, иккинчиси эса ички кучларнинг ўша ихтиёрий мумкин бўлган қўчишда бажарган ишидир. Ички кучларнинг элементар иши миқдор жиҳатидан деформация потенциал энергиясининг орттирмаси-

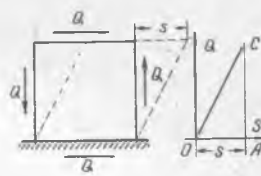
га тенг бўлади, ammo ишораси тескари бўлгани учун уни  $-\delta U$  билан белгилаб, юқорида чиқарилган (123.2) тенгламани қуйидаги кўринишда ёзамиз:

$$\sum \delta A^{(e)} - \sum \delta U = 0. \quad (123.3)$$

Бу (123.2) ёки (123.3) тенгламалар эластик система учун мумкин бўлган кўчишлар принципини ифодалайди.



447- шакл.



448- шакл.

Энди бу чиқарилган хулосага мувофиқ энг оддий ҳоллар учун деформациянинг потенциал энергиясини ҳисоблаймиз.

1. Чўзилган ёки сиқилган стерженларда деформациянинг тўпланган потенциал энергияси чўзилиш диаграммасидаги  $OAB$  учбурчакнинг юзаси орқали (447- шакл) тасвирланиши бизга маълум.  $OA$  — стержень абсолют чўзилишининг энг катта қиймати,  $BA$  — стерженга тегишли чўзувчи куч. Бу ҳолда стерженнинг потенциал энергияси қуйидагича ёзилади:

$$U = A^{(e)} = \frac{P \Delta l}{2};$$

$$\Delta l = \frac{Pl}{EF}$$

бўлгани учун:

$$U = A^{(e)} = \frac{Pl^2}{2EF} = \frac{EF}{2l} (\Delta l)^2 \quad (123.4)$$

бўлади.

2. Соф силжишдаги элемент деформациясининг потенциал энергиясини ҳисоблаймиз (448- шакл). Силжиган элементни пастки томондан маҳкамлаб, юқори томонига силжитувчи  $Q$  куч қўйилса, бу куч таъсирдан юқори томони  $s$  масофага силжийди. Бунинг натижасида  $Q$  куч қуйидаги ишни бажаради:

$$U = A^{(e)} = \frac{Q \cdot s}{2}.$$

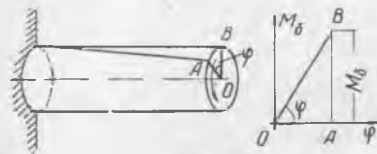
Абсолют силжиш  $s$  ни қуйидагича аниқлаймиз:

$$s = a\gamma = a \frac{\tau}{G} = \frac{Qa}{GF}.$$

Бу ифодага кўра,  $U$  қуйидагича ёзилади:

$$U = \frac{Qs}{2} = \frac{Q^2 a}{2GF} = \frac{GFs^2}{2a}. \quad (123.5)$$

3. Кесими доира шаклида бўлган цилиндрик стерженнинг буралиш деформациясининг потенциал энергиясини ҳисоблаймиз. Стерженнинг бир учини маҳкамлаб, бошқа учига буровчи момент  $M_0$  қўямиз (449-шакл). Стержень буровчи момент  $M_0$  таъсиридан  $\varphi$  бурчакка буралади. Буровчи момент  $M_0$  билан  $\varphi$  орасидаги муносабат тўғри чизиқли қонун билан тас-



449-шакл.

вирлангани учун, буровчи моментнинг иши  $OBA$  учбурчакнинг юзаси орқали ифодаланади:

$$U = A^{(e)} = \frac{M_0 \varphi}{2},$$

бунда  $\varphi = \frac{M_0 l}{GI_p}$  бўлгани учун, деформациянинг потенциал энергияси қуйидагича ёзилади:

$$U = \frac{M_0^2 l}{2GI_p} = \frac{GI_p}{2l} \varphi^2. \quad (123.6)$$

Худди шундай мулоҳаза юритиб, соф эгилган балка деформациясининг потенциал энергиясини ҳисоблаймиз. Икки таянчга тиралган балканинг икки учига моментлари  $M$  га тенг бўлган икки жуфт куч қўйилган (450-шакл). Балканинг учки томонидаги кесимлари қўйилган эгувчи моментлар таъсиридан  $\theta = \frac{\varphi}{2}$  бурчакка айланади (бу ерда  $\varphi$  — балканинг айлана ёйи бўйича эгилган ўқининг марказий бурчаги). Эгувчи момент бажарган иш:

$$U = A^{(e)} = \frac{M \cdot \varphi}{2}$$

Айлана ёйи учун марказий бурчак:

$$\varphi = \frac{l}{\rho}.$$

Ўқнинг эгрилиги  $\frac{1}{\rho}$  нинг  $\frac{M}{EI}$  орқали ифодаси бизга аввалдан маълум. Шунинг учун:

$$U = \frac{M^2 l}{2EI} = \frac{EI}{2l} \left(\frac{l}{\rho}\right)^2 = \frac{EI}{2l} \varphi^2. \quad (123.7)$$

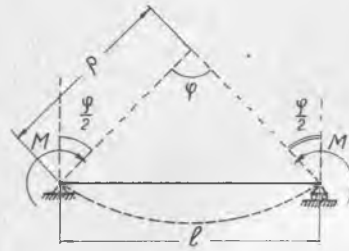
Умуман, эгувчи момент  $M(x)$  қўндаланг эгилишда ўзгарувчи миқдордир. У текширилаётган кесимнинг ҳолатини аниқловчи  $x$  нинг функцияси бўлиб, ҳар бир қирқимда кесиб ўтувчи куч  $Q(x)$  билан бирга ҳосил бўлади. Шунинг учун бундай ҳолларда эгилишдаги деформациянинг потенциал энергиясини ҳисоблашда бутун балкани текширмасдан, ундан ажратилган  $dx$  узунликдаги чексиз кичик элементни текшириш лозим (451-шакл, а). Ажратилган элемент кесимлари эгувчи моментлар таъсирида бир-бирига нисбатан айланиб, ўзаро  $d\varphi$  бурчак ҳосил қилади (451-шакл, б). Кесиб ўтувчи кучлар эса элементни қийшайтиради (451-шакл, с).  $M(x)$  ва  $Q(x)$  таъсирида ҳосил бўладиган кўчишлар бир-бирига нисбатан тик йўналишда бўлгани учун улар бажарадиган ишни бир-биридан мустасно ҳолда ҳисоблаш мумкин. Даставвал эгувчи момент таъсирида ҳосил бўладиган деформациянинг потенциал энергияси ҳисобланади. Эгувчи момент бажарган элементар иш:

$$dU = dA^{(e)} = \frac{M(x) d\varphi}{2} = \frac{M^2(x) dx}{2EI},$$

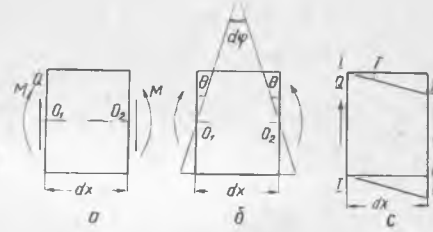
чунки:

$$d\varphi = \frac{dx}{\rho} = \frac{M(x) dx}{EI}$$

Эгувчи момент таъсирида ҳосил бўлган деформациянинг тула потенциал энергияси балка узунлиги бўйича олинган интегралга тенг бўлади:



450- шакл.



451- шакл.

$$U = \int_0^l \frac{M^2(x) dx}{2EI} = \int_0^l \frac{EI}{2I} \left( \frac{d^2w}{dx^2} \right)^2 dx. \quad (123.8)$$

Бу ерда интеграллаш чегараси балканинг узунлигига тенг қилиб олинди. Аммо балканинг узунлиги бўйича  $M(x)$  учун бир нечта участка бўлса, интеграллаш чегарасини ҳар қайси участка учун алоҳида олиб, юқоридаги (123.8) интегрални барча участкалардаги интеграллар йиғиндиси тарзида ифодалаш лозим, у ҳолда  $U$  куйидагича ифодаланади:

$$U = \sum_{i=1}^n \int_0^l \frac{M^2(x) dx}{2EI} = \sum_{i=1}^n \int_0^l \frac{EI}{2I} \left( \frac{d^2w_i}{dx^2} \right)^2 dx. \quad (123.9)$$

Чиқарилган бу формулалардан балканинг кўндаланг кесими ўзгарувчан бўлган ҳолларда ҳам фойдаланиш мумкин. Фақат бу ҳолда балка бикрлиги  $EI$  координата  $x$  нинг маълум функцияси бўлади. Энди, кўндаланг куч  $Q(x)$  таъсирида ҳосил бўладиган потенциал энергияни ҳисоблаймиз. Силжишдаги солиштирма потенциал энергия формуласи курсимизнинг биринчи қисмида  $a_{\text{силж.}} = \frac{\tau^2}{2G}$  кўринишида чиқарилган эди. Бу формуладан фойдаланиб,  $dx$  узунликдаги балка элементининг потенциал энергиясини ҳисоблаймиз. Бунинг учун  $dx$  узунликдаги элементнинг кўндаланг кесимидан  $dF$  юзача ажратиб, шу юзачага тўғри келган  $dx$  узунликдаги элемент ҳажмида ҳосил бўлган энергияни ҳисоблаймиз, у  $\frac{\tau^2 dx dF}{2G}$  га тенг бўлади. Ажратилган  $dx$  узунликдаги бутун элементда тўпланган энергияни ҳисоблаш учун ҳалиги ҳажмда тўпланган энергия ифодасини кўндаланг кесим юзаси бўйича интеграллаймиз:

$$dU = \int_F \frac{\tau^2 dx}{2G} dF.$$

т нинг  $Q$  орқали ифодаланган қийматини бу ифодага келтириб қўямиз. У ҳолда силжиш деформациясидан балкада тўпланган потенциал энергия қуйидагича ифодаланади:

$$U_{\text{силж}} = \int_0^l \int_F \left[ \frac{Q(x) S(x)}{Ib} \right]^2 \frac{dF}{2G} \cdot dx. \quad (123.10)$$

Тўғри тўртбурчак кесимнинг нейтрал ўқидан  $z$  масофада жойлашган нуқталар учун  $S(z)$  нинг қиймати:  $S(z) = \frac{b}{8} (h^2 - 4z^2)$  эди (бу ерда  $h$  — кўндаланг кесимнинг баландлиги,  $b$  — кўндаланг кесимнинг кенглиги).  $dF = b dz$  ни ва  $S(z)$  нинг қийматини (123.10) га қўйиб, ички интегрални ҳисоблаганимиздан кейин,  $U_{\text{силж}}$  учун қуйидаги формулани ҳосил қиламиз:

$$U_{\text{силж}} = \frac{3}{5} \int_0^l \frac{Q^2}{bhG} dx. \quad (123.11)$$

Силжиш энергиясини бошқа шаклдаги кўндаланг кесимлар учун ҳам худди шу тарзда ҳисоблаш мумкин. Умумий ҳолда, турли шаклдаги кесимлар учун (123.11) ни қуйидагича ёзиш мумкин:

$$U_{\text{силж}} = k \int_0^l \frac{Q^2 dx}{2GF}, \quad (123.12)$$

бу ерда  $k$  — ўзгармас коэффициент бўлиб, кўндаланг кесимнинг шаклига боғлиқ. Тўғри тўртбурчак учун  $k = 1,2$ . Ёйма профиллар учун  $k = 2-2,4$  орасида ўзгаради. Кўндаланг эгилишдаги балка деформациясининг тўла потенциал энергияси қуйидагича бўлади:

$$U = \int_0^l \left\{ \frac{M^2(x)}{2EI} + k \frac{Q^2(x)}{2GE} \right\} dx. \quad (123.13)$$

Юқорида чиқарилган потенциал энергия қиймати ифодалари барча оддий ҳоллар учун қуйидаги жадвалда келтирилган

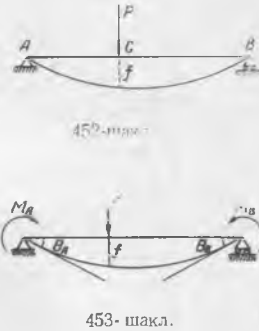
| Деформациянинг тури           | Деформациянинг потенциал энергияси  |
|-------------------------------|---|
| Чўзилиш ёки сиқилиш . . . . . | $A^{(e)} = U = \frac{P\Delta l}{2} = \frac{P^2 l}{2EF} = \frac{EF}{2l} (\Delta l)^2$                    |
| Силжиш . . . . .              | $A^{(e)} = U = \frac{QS}{2} = \frac{Q^2 a}{2GF} = \frac{GF}{2a} S^2$                                    |
| Бураллиш . . . . .            | $A^{(e)} = U = \frac{M_{\phi}^2}{2} = \frac{M_{\phi}^{-2} l}{2GI_{\rho}} = \frac{GF_{\rho}}{2l} \Phi^2$ |
| Соф эгилиш . . . . .          | $A^{(e)} = U = \frac{M\phi}{2} = \frac{M^2 l}{2EI} = \frac{EI}{2l} \phi^2$                              |
| Кўндаланг эгилиш . . . . .    | $U = \int_0^l \frac{M^2}{2EI} dx = \int_0^l \frac{EI}{2l} \left( \frac{d^2 W}{dx^2} \right)^2 dx$       |
| Эгилишдаги силжиш . . . . .   | $U = k \int_0^l \frac{Q^2(x)}{2GF} dx$  |

### 124-§. Умумлаштирилган координаталар ва умумлаштирилган кучлар

Эластик системанинг деформацияланган ҳолатини аниқловчи параметрлар ҳақида тўхталиб ўтамиз. *Эластик системанинг деформацияланган ҳолатини тўла аниқлайдиган ва ўзаро боғлиқ бўлмаган параметрлар умумлаштирилган координаталар деб аталади.* Бу координаталар эластик системанинг ҳар бир деформацияланган ҳолати учун маълум бўлса, у ҳолда потенциал энергия уларнинг функцияси тарзида ифодаланади. Турли хусусий ҳолларда умумлаштирилган координаталар учун турли миқдорлар қабул қилиниши мумкин. Масалан, призма шаклидаги стерженларнинг чўзилиши  $\Delta l$  билан тўла аниқланганлигидан,  $\Delta l$  бу хилдаги деформация учун умумлаштирилган координата бўлади. Бу ҳолга тегишли потенциал энергия шу координата орқали (123.4) формула билан, буралувчи стерженнинг буралиш бурчаги эса  $\varphi$  билан аниқланади, шу сабабли  $\varphi$  бу ҳол учун умумлаштирилган координата бўлади. Соф эгилишда балка кесимларининг айланиш бурчаклари унинг деформацияланган ҳолатини тўла аниқлагани учун бу бурчаклар ҳам умумлаштирилган координата бўлади. Мисол қилиб келтирилган бу энг оддий ҳолларда деформацияланган ҳолат биргина миқдор — битта координата билан аниқланаётир. Қўпчилик ҳолларда эса эластик системанинг деформацияланган ҳолатини бир нечта координата билан аниқлашга тўғри келади.

Умумлаштирилган координаталар тушунчаси киритилганлиги учун уларга тегишли умумлаштирилган кучлар тушунчасини ҳам киритиш зарурати туғилади.

Бундан олдин ўтилган материалларда гарчи бу ҳақда гапирилмаган бўлса-да, умумлаштирилган кучлар тушунчасидан фойдаланиб келинди. Масалан, призма шаклидаги стерженнинг деформацияси ўқ бўйлаб қарама-қарши йўналган икки куч таъсиридан ҳосил бўлади; бу икки куч айна ҳол учун битта умумлаштирилган куч ҳосил қилади. Шунингдек, буралишда ва соф эгилишда ҳам қарама-қарши йўналишдаги икки момент битта умумлаштирилган куч ҳосил қилади. Умумлаштирилган координаталарга тегишли умумлаштирилган кучларни танлашда улар орасидаги маълум муносабатни кўзда тутиш лозим. Умумлаштирилган координаталар турли ўлчов бирликларида ифодаланган бўлиши, баъзан эса ўлчовсиз сон билан ифодаланган бўлиши ҳам мумкин. Ҳар бир типдаги умумлаштирилган координатага маълум типдаги умумлаштирилган куч мос келиши керак. Оддий чўзилишдаги стержень учун умумлаштирилган координата тариқасида абсолют чўзилиш  $\Delta l$  олинган эди. Бу ҳол учун умумлаштирилган куч стержень ўқи бўйлаб, қарама-қарши йўналган  $P$  кучлардан иборат бўлади. Агар  $\Delta l$  кандайдир  $\delta(\Delta l)$  миқдор орттирилса, ташқи куч  $P$  қўшимча иш бажаради. Бу иш  $P\delta(\Delta l)$  га тенг бўлади. Шунингдек, буровчи момент  $M_0$  таъсирида ҳосил бўлган буралиш бурчаги  $\varphi$  ни  $\delta\varphi$  қадар орттирсак, буровчи момент қўшимча иш бажаради, бу иш  $M_0\delta\varphi$  га тенг бўлади. Демак, умумлаштирилган координата ўзгарганда, унга тегишли умумлаштирилган куч қўшимча иш бажарар экан. *Бу иш умумлаштирилган куч билан унга тегишли координата орттирмасининг кўпайтмасига тенг бўлади.*



453-шакл.

Текширилаётган эластик система учун маълум типдаги умумлаштирилган координата танланса, унга тегишли умумлаштирилган кучни шундай танлаш мумкинки, у координатанинг ҳар қандай мумкин бўлган орттирмаси учун қўшимча иш бажарсин. Бу айтилганларни ойдинлаштириш учун яна бир нечта мисол келтирамиз.

Икки учи билан таянчларга тиралган балка  $C$  нуқтага қўйилган  $P$  куч таъсирида эгилган бўлсин (452-шакл).  $P$  куч билан таянч реакциялари  $A$  ва  $B$  балканинг деформацияланган ҳолатини тўла аниқлайди. Бу кучларни умумлаштирилган кучлар деб қабул қиламиз; улар бажарадиган қўшимча иш куч қўйилган нуқтанинг салкилиги  $f$  нинг орттирмаси билан тўла аниқланади. Шунинг учун  $f$  бу кучларга тегишли умумлаштирилган координата бўлади.

Икки таянчда ётувчи балкани мисол қилиб олайлик (453-шакл). Бу балка  $P$  куч ва таянч нуқталарига қўйилган  $M_A$  ва  $M_B$  моментлар таъсирида эгилсин. Бу ҳолда бир-бирига соғлиқ бўлмаган учта куч группасини бир-биридан фарқ қилиш лозим. Биринчи группа  $P$  куч билан унга тегишли реакциялардан иборат. Иккинчи ва учинчи группа  $M_A$  ва  $M_B$  моментлар билан уларга тегишли таянч реакцияларидан иборат. Бу уч группа кучларни умумлаштирилган кучлар деб қабул қиламиз. Буларга тегишли умумлаштирилган координаталарни топиш учун балканинг мувозанат ҳолатини бир оз ўзгартириб, бу ўзгариш натижасида ташқи кучлар бажарган ишни текширамиз. Балканинг таянч нуқталаридаги  $M_A$  ва  $M_B$  моментлар таянч кесимларининг айланиш бурчаги  $\theta_A$  ва  $\theta_B$  ўзгаргандагина иш бажаради;  $P$  куч эса ўзи қўйилган нуқта салкилиги  $f$  ўзгарганда иш бажаради. Балканинг мувозанати ўзгарганда ҳосил бўладиган  $\theta_1$ ,  $\theta_2$  ва  $f$  орттирмаларини тегишлича  $\delta\theta_A$ ,  $\delta\theta_B$ ,  $\delta f$  билан белгиласак, ташқи кучларнинг қўшимча бажарган иши қуйидагича ифодаланади:

$$\delta A^{(e)} = M_1 \delta\theta_1 + M_2 \delta\theta_2 + P \delta f.$$

Демак,  $\theta_1$ ,  $\theta_2$ ,  $f$  биз текширган ҳол учун умумлаштирилган координаталардир.

#### 125-§. Эластик система потенциал энергиясининг умумий ифодаси

Механиканинг мумкин бўлган кўчишлар принциpidан фойдаланиб, эластик система учун деформация потенциал энергиясининг умумлаштирилган куч ёки умумлаштирилган координаталар орқали ифодасини топамиз. Эластик системага қўйилган умумлаштирилган кучлар  $R_1, R_2, R_3, \dots, L_1, L_2, \dots$  бўлсин. Бу умумлаштирилган кучларга тегишли умумлаштирилган координаталар эса  $r_1, r_2, r_3, \dots, \theta_1, \theta_2, \dots$  бўлсин. У ҳолда эластик системанинг мувозанат ҳолатдан ҳар қандай мумкин бўлган ўзгаришида бажарилган элементар иш:

$$\delta A^{(e)} = R_1 \delta r_1 + R_2 \delta r_2 + R_3 \delta r_3 + \dots + L_1 \delta\theta_1 + L_2 \delta\theta_2 + \dots$$

бўлади (бу ерда  $\delta r_1, \delta r_2, \delta r_3, \dots, \delta\theta_1, \delta\theta_2, \dots$  умумлаштирилган координаталарнинг эластик системани мувозанат ҳолатдан олиб чиқуви мумкин бўлган кўчишдаги ўзгаришлари). Ташқи кучлар бажарган элементар иш  $\delta A^{(e)}$  нинг қийматини (123.3) га қўямиз, у ҳолда:

$$R_1 \delta r_1 + R_2 \delta r_2 + R_3 \delta r_3 + \dots + L_1 \delta\theta_1 + \dots = \delta U \quad (125.1)$$

бўлади. Потенциал энергия  $U$  умумлаштирилган координаталар  $r_1, r_2, r_3, \dots, \theta_1, \theta_2, \dots$  нинг функцияси бўлгани учун унинг орттирмаси  $\delta U$  ни қуйидагича ёзиш мумкин:

$$\delta U = \frac{\partial U}{\partial r_1} \delta r_1 + \frac{\partial U}{\partial r_2} \delta r_2 + \frac{\partial U}{\partial r_3} \delta r_3 + \dots + \frac{\partial U}{\partial \theta_1} \delta \theta_1 + \dots$$

Буни (125.1) га қўйиб, барча ҳадларни тенгликнинг бир томонига ўтказсак, тенглама қуйидагича ёзилади:

$$\left(R_1 - \frac{\partial U}{\partial r_1}\right) \delta r_1 + \left(R_2 - \frac{\partial U}{\partial r_2}\right) \delta r_2 + \left(R_3 - \frac{\partial U}{\partial r_3}\right) \delta r_3 + \dots + \left(L_1 - \frac{\partial U}{\partial \theta_1}\right) \delta \theta_1 + \dots = 0,$$

Умумлаштирилган координаталар  $r_1, r_2, r_3, \dots, \theta_1, \theta_2, \dots$  бир-бирига боғлиқ бўлмагани учун уларнинг орттирмалари  $\delta r_1, \delta r_2, \delta r_3, \dots, \delta \theta$  ҳам бир-бирига боғлиқ бўлмайди. Бу шартни қаноатлантириш учун ҳозиргина чиқарилган тенгликда  $\delta r_1, \delta r_2, \delta r_3, \dots, \delta \theta_1, \dots$ , олдидаги коэффициентларни nolга тенглаштиришимиз керак, яъни:

$$R_1 - \frac{\partial U}{\partial r_1} = 0; \quad R_2 - \frac{\partial U}{\partial r_2} = 0; \quad R_3 - \frac{\partial U}{\partial r_3} = 0; \dots$$

ёки

$$\frac{\partial U}{\partial r_1} = R_1; \quad \frac{\partial U}{\partial r_2} = R_2; \quad \frac{\partial U}{\partial r_3} = R_3; \dots \quad (125.2)$$

бўлиши керак. Чиқарилган натижалардан кўриниб турибдики, *умумлаштирилган кучлар система деформациясининг потенциал энергиясидан тегишли умумлаштирилган координаталар бўйича олинган хусусий ҳосилларга тенг бўлар экан*. Бу теорема назарий механика курсида потенциалли кучлар учун Лагранж теоремаси номи билан баён қилинган. Бу теоремани Гук қонунига бўйсунувчи эластик система учун татбиқ этиб, турли ҳоллар учун потенциал энергиянинг қийматини ҳисоблаймиз. Бунинг учун ҳар бир хусусий ҳолда умумлаштирилган кучлар  $R_1, R_2, R_3, \dots, L, \dots$ , ни умумлаштирилган координаталар орқали ифодалаб (125.2) дифференциал тенгламага қўйиш лозим. У хусусий ҳосиллари, биринчи тартибли дифференциал тенгламадир. Унинг умумий интегралли текшириладиган ҳол учун потенциал энергиянинг ифодасини беради. Икки таянчга тиралган балканинг таянч нуқталарига  $M_1$  ва  $M_2$  моментлар қўйилган бўлсин. Балкада тўпланган потенциал энергиянинг қийматини аниқлаймиз. Балка учки таянч кесимларининг айланиш бурчаги учун курсимизнинг биринчи қисмида қуйидаги ифодани чиқарган эдик:

$$\theta = \frac{M_1 l}{3EI} + \frac{M_2 l}{6EI}; \quad \theta_2 = \frac{M_1 l}{6EI} + \frac{M_2 l}{3EI}.$$

Бу тенгламаларни умумлаштирилган  $M_1$  ва  $M_2$  кучларга нисбатан ечимиз:

$$M_1 = \frac{2EI}{l} (2\theta_1 - \theta_2); \quad M_2 = \frac{2EI}{l} (2\theta_2 - \theta_1).$$

Бу хусусий ҳол учун (125.2) қуйидагича ёзилади:

$$\frac{\partial U}{\partial \theta_1} = M_1 = \frac{2EI}{l} (2\theta_1 - \theta_2); \quad (1)$$

$$\frac{\partial U}{\partial \theta} = M_2 = \frac{2EI}{l} (2\theta_2 - \theta_1). \quad (2)$$

(1) тенгламанинг интегралини топамиз:

$$U = \frac{2EI}{l} (\theta_1^2 - \theta_2^2) + C_1(\theta_2). \quad (3)$$

Бу ерда  $C_1(\theta_2)$  биринчи координата  $\theta_1$  га нисбатан ихтиёрий узгармас миқдор бўлиб,  $\theta_2$  нинг функцияси (3) ни (2) га қўйиб,  $C_1(\theta_2)$  нинг қийматини аниқлаймиз:

$$\frac{\partial U}{\partial \theta_2} = \frac{2EI}{l} (2\theta_2 - \theta_1) = -\frac{2EI}{l} \theta_1 + \frac{\partial C_1}{\partial \theta_2}$$

бундан:

$$\frac{\partial C_1}{\partial \theta_2} = \frac{2EI}{l} 2\theta_2; \quad \text{ёки} \quad C_1 = \frac{2EI}{l} \theta_2^2 + C_0.$$

Балкага юк қўйилмаса, унда бошланғич энергия бўлмайди, бинобарин,  $C_0 = 0$  бўлиши керак.

Демак, биз текшираётган ҳолда потенциал энергия қуйидагича бўлар экан:

$$U = \frac{2EI}{l} (\theta_1^2 - \theta_1\theta_2 + \theta_2^2).$$

Умумлаштирилган координаталар  $\theta_1, \theta_2$  ўрнига, уларнинг умумлаштирилган кучлар  $M_1$  ва  $M_2$  орқали ифодаланган қийматини қўйсак, потенциал энергия қуйидагича бўлади:

$$U = \frac{l}{6EI} (M_1^2 + M_1M_2 + M_2^2).$$

Бу ифодадан кўриниб турибдики, *деформациянинг потенциал энергияси эластик система учун умумлаштирилган координаталарнинг ёки тегишли умумлаштирилган кучларнинг квадратик функцияси бўлар экан.*

#### 126-§. Кастильяно теоремаси

Эластик система учун юқорида исбот этилган Лагранж теоремасига асосланиб, Кастильяно теоремаси деб аталган бошқа бир теоремани таърифлаш мумкин.

*Деформациянинг потенциал энергиясидан бирор умумлаштирилган кучга нисбатан олинган хусусий ҳосила шу умумлаштирилган кучга тегишли умумлаштирилган координатага тенг.*

Теоремани исбот қилишдан олдин унинг таърифига эътибор берамиз. Агар балкага қўйилган умумлаштирилган куч жуфт куч бўлса, унга тегишли координата куч қўйилган айни кесимнинг айланиш бурчаги бўлади; шунингдек, умумлаштирилган куч балкага қўйилган кўндаланг куч бўлса, унга тегишли умумлаштирилган координата куч қўйилган айни нуқтанинг салқилигидан иборат бўлади. Шунинг учун юқорида таърифланган Кастильяно теоремасини бошқача таърифлаш ҳам мумкин. *Деформациянинг потенциал энергиясидан бирор турсаги умумлаштирилган кучга нисбатан олинган хусусий ҳосила куч қўйилган айни нуқта ёки элементнинг куч йўналишидаги кўчишига тенг.*

Потенциал энергиянинг хусусий ҳосиласини топиш учун эластик системага таъсир қилувчи умумлаштирилган кучлардан бирортасига, масалан,  $R_1$  га орттирма бериб, потенциал энергия  $U$  нинг тегишли орттирмасини ҳисоблаш лозим. Кучларнинг бир-бирига боғлиқсиз мустақил таъсир этиш принципи ва Гук қонунига мувофиқ, умумлаштирилган координаталар  $r_1, r_2, r_3, \dots$



Бунинг иккала томонини  $\delta R_1$  га бўламиз ва  $\delta R_1$  ни нолга интиштириб лимит оламиз:

$$\lim_{\delta R_1 \rightarrow 0} \frac{\delta U}{\delta R_1} = \lim_{\delta R_1 \rightarrow 0} \left\{ R_1 \frac{\partial r_1}{\partial R_1} + R_2 \frac{\partial r_2}{\partial R_1} + R_3 \frac{\partial r_3}{\partial R_1} + \frac{\partial r_4}{\partial R_1} \delta R_1 + \dots \right\}$$

ёки

$$\frac{\partial U}{\partial R_1} = R_1 \frac{\partial r_1}{\partial R_1} + R_2 \frac{\partial r_2}{\partial R_1} + R_3 \frac{\partial r_3}{\partial R_1} + \dots \quad (в)$$

Потенциал энергия иккинчи даражали бир жинсли функция бўлгани учун, Эйлернинг бир жинсли функциялар ҳақидаги теоремасига мувофиқ, уларнинг тўла дифференциалидаги ўзгарувчи миқдорлар дифференциаллари ўзгарувчи миқдорларнинг ўзи билан алмаштирилганда чиққан ифода потенциал энергиянинг икки ҳисса кийматига тенг бўлади. Бу теоремадан фойдаланиш учун потенциал энергиянинг тўла дифференциалини оламиз:

$$dU = \frac{\partial U}{\partial r_1} dr_1 + \frac{\partial U}{\partial r_2} dr_2 + \frac{\partial U}{\partial r_3} dr_3 + \dots + \frac{\partial U}{\partial \theta_1} \delta \theta_1 + \dots$$

Бу ифодадаги  $dr_1$ ,  $dr_2$ ,  $dr_3$ , ... ларни тегишлича  $r_1$ ,  $r_2$ ,  $r_3$  билан алмаштира-сак, Эйлер теоремасига мувофиқ,  $2U$  ни оламиз:

$$2U = \frac{\partial U}{\partial r_1} r_1 + \frac{\partial U}{\partial r_2} r_2 + \frac{\partial U}{\partial r_3} r_3 + \dots \quad (с)$$

Лагранж теоремасига мувофиқ  $\frac{\partial U}{\partial r_1}$ ,  $\frac{\partial U}{\partial r_2}$ ,  $\frac{\partial U}{\partial r_3}$  ... тегишлича  $R_1$ ,  $R_2$ ,  $R_3$ , ... умумлаштирилган кучларга тенг бўлгани учун, (с) қуйидагича ёзилади:

$$U = \frac{1}{2} (R_1 r_1 + R_2 r_2 + R_3 r_3 + \dots + L_1 \theta_1 + \dots) \quad (126.2)$$

Демак, деформациянинг потенциал энергияси умумлаштирилган кичлар билан тегишли умумлаштирилган координаталар кўпайтмалари йиғиндиларининг ярмига тенг бўлар экан. Бу хулоса Клапейрон теоремаси деб аталади.

(126.2) дан  $R_1$  га нисбатан ҳосила оламиз:

$$2 \frac{\partial U}{\partial R_1} = r_1 + R_1 \frac{\partial r_1}{\partial R_1} + R_2 \frac{\partial r_2}{\partial R_1} + R_3 \frac{\partial r_3}{\partial R_1} + \dots$$

Ҳосила олинганда  $R_1$ ,  $R_2$ ,  $R_3$ , ... ларнинг бир-бирига боғлиқ эмаслиги кўзда тутилади. Бу тенгликни (в) билан солиштириб, Кастильяно теоремасини исботлаймиз:

$$\frac{\partial U}{\partial R_1} = r_1. \quad (126.3)$$

Умумлаштирилган кучлардан бошқасига, яъни  $R_2$  ёки  $R_3$  га орттирма берилса, буларга нисбатан ҳам худди (126.3) га ўхшаган муносабатларни оламиз:

$$\frac{\partial U}{\partial R_2} = r_2, \quad \frac{\partial U}{\partial R_3} = r_3; \dots \quad (126.4)$$

Кастильяно теоремаси, эластик система нуқталари ва чизиқли элементларининг кўчишларини аниқлаш учун жуда қулай усулдир. Шунинг эсдан чиқармаслик керакки, деформациянинг потенциал энергияси умумлаштирил-

ган кучларнинг иккинчи даражали бир жинсли функцияси бўлиши керак. Иккинчи томондан, эластик система учун кучларнинг таъсирини қўшиш қоидадан фойдаланиш мумкин бўлмаса, Кастильяно теоремасидан фойдаланиб бўлмайди.

### 127- §. Кастильяно теоремасининг бошқача исботи

Биз бундан олдинги параграфда Кастильяно теоремасини чиқариш учун Лагранж ва Клапейрон теоремаларидан фойдаландик. Аммо бу теоремани Лагранж ва Клапейрон теоремаларидан фойдаланмасдан туриб чиқарса ҳам бўлади. Эластик системага қўйилган кучлардан бири, чунончи  $K$  нуқтага қўйилган  $\bar{P}$  куч  $\delta\bar{P}$  орттирма олади деб фараз қилайлик. Эластик системага қўйилган барча кучлар таъсиридан ҳа-лиги  $K$  нуқта  $K_1$  га кўчсин (454-шакл).  $KK_1$  кўчиш векторини  $\bar{x}$  билан белгилай-миз. Орттирмага тегишли қўшимча иш ёки қўшимча потенциал энергия  $\delta\bar{P}$  вектор би-лан кўчиш вектори  $\bar{x}$  нинг скаляр кўпайт-масига тенг бўлади:

$$\delta A^{(e)} = \delta U = (\delta\bar{P}, \bar{x}) \quad (a)$$

$K$  нуқтани координаталар боши қилиб олиб,  $x, y, z$  ўқларни ўтказамиз,  $\delta\bar{P}$  нинг  $x, y, z$  ўқлар билан ҳосил қилган бурчак-ларининг косинуслари  $l, m, n$  бўлсин.  $\delta\bar{P}$  нинг  $x, y, z$  ўқлардаги проекциялари  $\delta x, \delta y, \delta z$  қуйидагича ёзилади:

$$\delta x = \delta Pl; \quad \delta y = \delta Pm; \quad \delta z = \delta Pn. \quad (b)$$

Кўчиш вектори  $\bar{x}$  нинг координата ўқларидаги проекциялари  $u, v, w$  бўлсин  $U$  ҳолда потенциал энергия орттирмаси  $\delta U$  ни қуйидагича ифода-лашимиз мумкин:

$$\delta U = \delta xu + \delta yv + \delta zw$$

ёки (b) ҳисобга олинса,

$$\delta U = (ul + vm + wn)\delta P$$

бўлади.

Бу ифоданинг икки томонини  $\delta P$  га бўлиб, ундан лимит олсак, қуйи-даги ифода ҳосил бўлади:

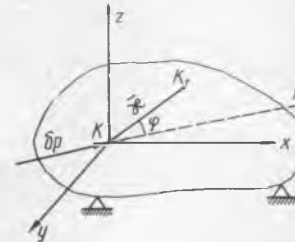
$$\frac{\partial U}{\partial P} = ul + vm + wn. \quad (c)$$

Кўчиш вектори  $\bar{x}$  билан  $\delta\bar{P}$  нинг йўналиши орасидаги бурчакни  $\varphi$  десак, (c) нинг ўнг томонини қуйидагича ёзиш мумкин:

$$\bar{x} \cos\varphi = ul + vm + wn,$$

яъни ташкил этувчиларнинг бирор ўқдаги проекцияларининг йиғиндиси, ёлғувчининг шу ўқдаги проекциясига тенг. Кўчиш вектори  $\bar{x}$  нинг  $\bar{P}$  йўна-лишидаги проекциясини  $\rho$  десак, (c) тенглик қуйидагича ёзилади:

$$\frac{\partial U}{\partial P} = \rho. \quad (127.1)$$



454- шакл

Демак, яна Кастильено теоремасини чиқардик. Бундан кўриниб турибдики, потенциал энергиянинг бирор кучга нисбатан олинган хусусий ҳосиласи куч қўйилган нукта кучишининг шу куч йўналишидаги проекциясига тенг бўлар экан. Ҳосила моментга нисбатан олинса, у эластик система чизиқли элементининг момент йўналишидаги айланиш бурчагига тенг бўлади:

$$\frac{\partial U}{\partial M} = \theta. \quad (127.2)$$

### 128-§. Кастильено теоремасининг татбиқи

Кастильено теоремасидан фойдаланиб, турли конструкция элементларининг деформацияларини аниқлаш мумкин. Эгилиш учун деформациянинг потенциал энергияси, кесиб ўтувчи куч таъсири ҳисобга олинмаганда, куйидагича ёзилган эди:

$$U = \int_0^l \frac{M^2(x) dx}{2EI}$$



455-шакл

Эгувчи момент  $M(x)$  балкага қўйилган барча  $q, P_1, P_2, \dots, m_1, m_2$  ва ҳоказо куч ҳамда жуфтларнинг чизиқли функциясиدير.

$$M(x) = a_1 q + b_1 P_1 + b_2 P_2 + \dots + c_1 m_1 + c_2 m_2 + \dots \quad (128.1)$$

Ҳақиқатан ҳам, агар консолли балкага тенг ёйилган юк  $q$ , тўпланган куч  $P$  ва жуфт куч  $m$  455-шаклда кўрсатилгандек қўйилган бўлса, эгувчи момент тенгламаси қуйидагича ёзилади:

$$M(x) = -q \frac{x^2}{2} - Px - m = ax + bP + cm$$

бу ерда

$$a = -\frac{x^2}{2}; \quad b = -x; \quad c = -1.$$

$U$  нинг  $P$  куч ва  $m$  моментга нисбатан ҳосиласини оламиз:

$$\frac{\partial U}{\partial P} = \frac{\partial}{\partial P} \int_0^l \frac{M^2(x) dx}{2EI}.$$

Биз бу ерда аниқ интегрални параметр бўйича дифференциалламоқчимиз.  $M(x)$  функция  $P$  билан  $x$  га боғлиқ бўлиб, интеграллаш  $x$  бўйича ўзгармас чегараларда бажарилаётгани сабабли интеграл остида параметр  $P$  га нисбатан дифференциаллашимиз мумкин. Шундай қилиб,  $P$  куч қўйилган нуктанинг салқилиги:

$$\omega = \frac{\partial U}{\partial P} = \int_0^l \frac{M(x)}{EI} \cdot \frac{\partial M(x)}{\partial P} dx. \quad (128.2)$$

Шунингдек,  $m$  жуфт қўйилган кўндаланг кесимнинг айланиши:

$$\theta = \frac{\partial U}{\partial m} = \int_0^l \frac{M(x)}{EI} \cdot \frac{\partial M(x)}{\partial m} dx. \quad (128.3)$$

бўлади. Бу формулалардан фойдаланиб, балканинг куч ва жуфт қўйилган кесимларидаги салқиликни ва бурилиш бурчакларини аниқлаш мумкин. Ми-

сол учун 455-шаклдаги балка учининг салқилигини ва бурилиш бурчагини аниқлаймиз. Бу ҳол учун эгувчи момент:

$$M(x) = -\frac{qx^2}{2} - Px - m;$$

(125.2) ва (125.3) дан фойдаланиш учун  $\frac{\partial M(x)}{\partial P}$  ва  $\frac{\partial M(x)}{\partial m}$  ни ҳисоблаш лозим:

$$\frac{\partial M(x)}{\partial P} = -x; \quad \frac{\partial M(x)}{\partial m} = -1.$$

Эгувчи момент ҳамда унинг  $P$  ва  $m$  га нисбатан олинган ҳосилалари қийматини (128.2) ва (128.3) формулаларга қўйиб,  $B$  кесимнинг салқилигини ва бурилиш бурчагини топамиз:

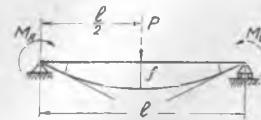
$$\omega_B = \frac{1}{EI} \int_0^l \left[ -\frac{qx^2}{2} - Px - m \right] (-x) dx = \frac{ql^4}{8EI} + \frac{Pl^3}{3EI} + \frac{ml^2}{2EI},$$

$$\theta_B = \frac{1}{EI} \int_0^l \left[ -\frac{qx^2}{2} - Px - m \right] (-1) dx = \frac{ql^3}{6EI} + \frac{Pl^2}{2EI} + \frac{ml}{EI}.$$

Консолга интенсивлиги  $q$  бўлган тенг ёйилган юккини қўйилган бўлса,  $P = 0$  ва  $m = 0$  бўлади. Бу ҳолда тегишли салқилик ва бурилиш бурчаги бундай ёзилади:

$$\omega_B = \frac{ql^4}{8EI}; \quad \theta_B = \frac{ql^3}{6EI}.$$

Демак, аниқланиши зарур бўлган умумлаштирилган координаталарга тегишли умумлаштирилган кучлар маълум бўлмаган тақдирда ҳам, уларни Кастильяно теоремасидан фойдаланиб аниқласа булар экан. Бундай ҳолларда тегишли умумлаштирилган кучларни, тенгламага уларга нисбатан потенциал энергия ҳосиласини олгунча киритиб, кейин уларни нолга тенглаштириш лозим. Бу мулоҳазанинг мазмунига диққатни кўпроқ жалб этиш керак. Масалан, икки таянчда ётувчи балканинг чап таянчига жуфт куч  $M_A$  қўйилган бўлсин. Бу жуфт таъсирдан балканинг ўртасидаги кесимнинг салқилиги ва ўнг учининг бурилиш бурчагини Кастильяно теоремасидан фойдаланиб аниқлаш талаб қилинсин (456-шакл). Чап таянчга қўйилган жуфт куч масаладаги иккала талаб учун ҳам умумлаштирилган куч бўла олмайди. Шу туфайли, салқилиги аниқланиши зарур бўлган ўрта кесимга умумлаштирилган  $P$  куч қўйиб, унга тегишли  $M$  нинг ифодасини тузамиз.  $P$  куч балкани икки участкага бўлгани учун:



456-шакл.

$$M_1 = M_A \left(1 - \frac{x_1}{l}\right) + \frac{P}{2} x_1; \quad M_2 = \left(\frac{M_A}{l} + \frac{P}{2}\right) x_2$$

бўлади. (125) дан фойдаланиш учун  $\frac{\partial M_1}{\partial P}$  ва  $\frac{\partial M_2}{\partial P}$  ни ҳисоблашимиз зарур:

$$\frac{\partial M_1}{\partial P} = \frac{x_1}{2}; \quad \frac{\partial M_2}{\partial P} = \frac{x_2}{2}.$$

$M_1$ ,  $M_2$ ,  $\frac{\partial M_1}{\partial P}$  ва  $\frac{\partial M_2}{\partial P}$  ларнинг қийматини (128.2) га қўйишда  $P = 0$  қилиб олиш керак, чунки бу куч аслида балкага қўйилган эмас:

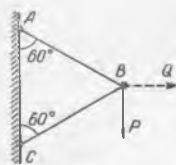
$$f = \int_0^{l/2} \frac{M_A \left(1 - \frac{x_1}{2}\right)}{EI} \cdot \frac{x_1}{2} dx + \int_0^{l/2} \frac{M_A x_2}{EI} \cdot \frac{x_2}{2} dx = \frac{M_A l^2}{16EI}.$$

Ўнг кесимнинг бурилиш бурчагини аниқлаш учун олдин унга  $M_B$  ни қўйиб, тегишли эгувчи момент ифодасини тузамиз:

$$M = M_A + \frac{M_B - M_A}{l} x; \quad \frac{\partial M}{\partial M_B} = \frac{x}{l}.$$

$M_B = 0$  деб олиб, олинган қийматни (125.3) га қўямиз:

$$\theta_B = \int_0^l \frac{M_A \left(1 - \frac{x}{l}\right)}{EI} dx = \frac{M_A l}{6EI}.$$



457-шакл.

Кастильяно теоремасидан фойдаланиб, 457-шаклда тасвирланган шарнирли система  $B$  нуқтасининг вертикал ва горизонтал кўчишини аниқлаймиз. Шарнирлар борлиги туфайли, стерженлар фақат чўзилиши ёки сикилиши мумкин. Шаклда кўрсатилган бурчаклар учун  $AB$  стержендаги чўзувчи ва  $BC$  стержендаги сиқувчи зўриқишлар  $P$  га тенгдир. Демак:

$$U = 2 \frac{P^2 l}{2EF}.$$

Бу ифодадан фойдаланиб,  $B$  нуқтанинг фақат вертикал кўчишинигина аниқлай оламиз. Уни  $\delta_y$  билан белгиласак,

$$\delta_y = \frac{\partial U}{\partial P} = \frac{2Pl}{EF}$$

бўлади.

Горизонтал кўчиш  $\delta_x$  ни аниқлаш учун  $B$  нуқтага горизонтал йўналган  $Q$  кучни қўямиз. Фикран қўйилган  $Q$  куч билан ҳақиқатан қўйилган  $P$  куч таъсирида  $AB$  ва  $BC$  даги зўриқишлар тегишлича:

$$P + \frac{Q}{\sqrt{3}} \quad \text{ва} \quad P - \frac{Q}{\sqrt{3}}$$

бўлади.

Бу зўриқишларга тегишли потенциал энергия:

$$U = \frac{\left(P + \frac{Q}{\sqrt{3}}\right)^2 l}{2EF} + \frac{\left(P - \frac{Q}{\sqrt{3}}\right)^2 l}{2EF}.$$

Демак,  $B$  нуқтанинг горизонтал кўчиши:

$$\delta_x = \frac{\partial U}{\partial Q} = \frac{\left(P + \frac{Q}{\sqrt{3}}\right) l}{EF} - \frac{\left(P - \frac{Q}{\sqrt{3}}\right) l}{EF} = \frac{2Ql}{3EF}.$$

$Q$  куч ҳақиқатда қўйилмаган, шунинг учун  $Q = 0$ , демак:

$$\delta_x = 0.$$

## 129-§. Минимал иш ҳақидаги теорема

Бу теорема статик аниқмас системалардаги ортиқча номаълумларни аниқлашда жуда ҳам қулай усулдир. У бевосита Кастильяно теоремасидан келиб чиқади. Бу теоремадан фойдаланиш учун эластик системанинг потенциал энергиясини унга қўйилган кучлар билан ортиқча номаълум реакциялар функцияси тарзида ифодалаш лозим. Потенциал энергия ифодасига фақат ортиқча номаълум реакциялар киради, чунки қолган реакцияларни, статика тенгламаларидан фойдаланиб, ортиқча номаълумлар ва қўйилган юклар орқали ифодалаш мумкин. Ортиқча номаълум реакциялар  $X, Y, Z, \dots$  бўлсин. Агар таянч бикр бўлса, бу реакциялар қўйилган нуқталарнинг кўчиши нолга тенг бўлади. Шунинг учун Кастильяно теоремаси бу ҳолда қуйидагича ёзилади:

$$\frac{\partial U}{\partial X} = 0; \quad \frac{\partial U}{\partial Y} = 0; \quad \frac{\partial U}{\partial Z} = 0. \quad (129.1)$$

Бу тенгламалар  $X, Y, Z$  ларнинг изланган қийматида потенциал энергия  $U$  нинг максимал ёки минимал қийматга эришиш шартини ифодалайди. Аммо, бу шартлар  $U$  нинг минимал бўлиш шarti эканлигини исботлаш қийин эмас. Маълумки,  $U$  ташқи кучларнинг иккинчи даражали бир жинсли функциясидир. Шунинг учун уни энг умумий ҳолда қуйидагича ифодалаш мумкин:

$$U = A_1 R_1^2 + A_2 R_2^2 + A_3 R_3^2 + \dots + B_1 L_1^2 + \dots + C_1 R_1 R_2 + \dots$$

$U$  ҳамма вақт мусбат бўлиши керак, шунинг учун  $A_1, A_2, \dots, B_1, \dots$  кoeffициентлар ҳам мусбат сондир. Демак,  $U$  нинг иккинчи ҳосиласи ҳам мусбат сон бўлиши керак, яъни:

$$\frac{\partial^2 U}{\partial X^2} > 0; \quad \frac{\partial^2 U}{\partial Y^2} > 0; \quad \frac{\partial^2 U}{\partial Z^2} > 0.$$

Бу шартлар потенциал энергия  $U$  нинг минималлик шартидир. Демак, ортиқча номаълум  $X, Y, Z$  реакцияларни аниқлаш учун уларнинг миқдорини шундай танлаш керак эканки, бу танланган реакцияларнинг қийматлари учун эластик системанинг потенциал энергияси минимал қийматга эга бўлсин. Минимал иш ҳақидаги теореманинг моҳияти ана шундан иборат.

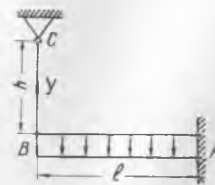
Таянчлардан бирортаси ёки бир нечаси кўчишга мойил бўлса, у ҳолда (129.1) тенгламаларнинг шу таянч тегишли қисмининг ўнг томонидаги миқдор ноль бўлмай, балки у таянч нуқтасининг кўчишига тенг бўлади. Масалан, тенг ёйилган юк қўйилган, ўнг учи билан қистириб тиралган балканинг чап учи узунлиги  $h$  бўлган сим билан шипга осиб қўйилган бўлсин (458-шакл). Бу ҳол учун (129.1) тенгламаларнинг иккинчиси қуйидагича ёзилади:

$$\frac{\partial U}{\partial Y} = \Delta h; \quad \text{бунда } \Delta h = \frac{Yh}{EF} \quad (129.2)$$

( $Y$  — симни чўзувчи куч ёки балка учун  $B$  нуқтанинг реакцияси).

Энди, минимал иш теоремасини бир неча хусусий ҳолларга татбиқ қиламиз ва шу муносабат билан қуйидаги мисолни ечамиз.

Ўнг учи билан қистириб тиралган балканинг чап учи таянчга эркин тиралган бўлиб, унга тенг ёйилган  $9 \text{ кг/м}$  юк таъсир қилади. Балканинг эркин тиралган учидаги реакция кучини аниқлаймиз. Бу масалани ечишда ортиқча но-



458-шакл.

маълум учун чап таянч реакцияси  $Y$  ни кабул қиламиз. Кесиб ўтувчи кучнинг таъсири ҳисобга олинмаса, балкада тўпланган потенциал энергия  $U$  қуйидагича ифодаланади:

$$U = \int_0^l \frac{M^2(x) dx}{2EI}; \quad M(x) = Y \cdot x - \frac{qx^2}{2}; \quad \frac{\partial M}{\partial Y} = x$$

Минимал иш ҳақидаги теоремага мувофиқ:

$$\frac{\partial U}{\partial Y} = \frac{1}{EI} \int_0^l M \frac{\partial M}{\partial Y} dx = \frac{1}{EI} \left( \frac{Yl^3}{3} - \frac{ql^4}{8} \right) = 0$$

бундан:

$$Y = \frac{3}{8} ql.$$

Биз бу натижани курсимизнинг 98- параграфиди мутлақо бошқача усул билан чиқарган эдик.

Бу масалани (129.1) тенгламалар ёрдамида ечганда ортикча номаълум учун чап таянч реакцияси  $Y$  ни олмасдан, балки ўнг таянчдаги реактив момент  $M_0$  ни олишимиз ҳам мумкин. У ҳолда қистириб тиралган кесимнинг бурилиш бурчаги нолга тенг бўлади. Балканинг ўнг учи қистирма боғланишдан озод қилинса, унга қистириш таъсирини жуфт  $M_0$  билан алмаштириб, берилган балка ўрнига тенг ёйилган юк таъсири остида бўлган ва ўнг учига момент қўйилган икки таянчда ётувчи балка оламиз. Унинг бирор кесимидаги эгувчи момент:

$$M(x) = \frac{ql}{2} x - \frac{qx^2}{2} + M_0 \frac{x}{l}; \quad \text{ва} \quad \frac{\partial M}{\partial M_0} = \frac{x}{l}$$

$$\frac{\partial U}{\partial M_0} = \frac{1}{EI} \int_0^l M \frac{\partial M}{\partial M_0} dx = \frac{1}{EI} \int_0^l \left( \frac{ql}{2} x - \frac{qx^2}{2} + M_0 \frac{x}{l} \right) \frac{x}{l} dx = 0.$$

Интегрални ҳисоблаб, илгари чиқарилган натижани оламиз:

$$M_0 = -\frac{ql^2}{8}.$$

Энди 458-шаклда тасвирланган балка учун сим  $BC$  нинг чўзилишини аниқлаймиз. (129.2) га мувофиқ:

$$\frac{\partial U}{\partial Y} = \frac{1}{EI} \int_0^l M \frac{\partial M}{\partial Y} dx = \frac{1}{EI} \left( \frac{Yl^3}{3} - \frac{ql^4}{8} \right) = \frac{Yh}{EF}$$

Бундан:

$$Y = \frac{1}{1 - \frac{3}{EI^3} \frac{lh}}{8} ql.$$

### 130-§. Кўчишларнинг ўзаро муносабатда бўлиши ҳақидаги теорема (Максвелл-Бетти теоремаси)

Эластик системанинг деформацияланишида системага қўйилган умумлаштирилган кучларнинг бажарган иши ёки деформация оқибатида системада тўпланган потенциал энергия, умумлаштирилган координаталар ёки умумлаштирилган кучларнинг бир жиисли квадратик функцияси эканлиги

бундан олдинги параграфларда айтиб ўтилди. Буни қуйидаги мулоҳазалар учун асос қилиб оламиз. Эластик системага бир нечта  $R_1, R_2, \dots, R_n$  умумлаштирилган кучлар қўйилган бўлсин. Бирор нуқтанинг кўчиши айти нуқтанинг ҳалиги кучлар алоҳида-алоҳида таъсир қилганда оладиган кўчишларнинг геометрик йиғиндисига тенг. Бу кўчиш ифодасини аниқлаш учун қуйидаги тушунчани киритамиз.

Эластик система сифатида икки таянчга тиралган, бикрлиги етарли даражада катта бўлган эластик жисми оламиз (459-шакл). Унинг бирор нуқтаси  $C_1$  га  $l_1$  йўналишда миқдори  $1 \text{ кг}$  бўлган куч қўйилган бўлсин. Бу нуқтанинг айти куч таъсирида  $l_1$  йўналишда ҳосил бўлган кўчишини  $r_{11}$  билан белгилаймиз. Системанинг бошқа бирор  $C_2$  нуқтасига  $l_2$  йўналишда бирлик куч қўйилган бўлсин. Мазкур куч таъсирида  $C_2$  нуқтанинг  $l_2$  йўналишдаги кўчиши  $r_{22}$  бўлсин.  $C_1$  нуқтанинг  $l_1$  йўналиш бўйича  $C_2$  нуқтага қўйилган бирлик куч таъсирида ҳосил бўлган кўчишини  $r_{12}$  билан белгилаймиз. Бу белгидаги биринчи индекс кўчаётган нуқтанинг ўрнини, иккинчи индекс эса айти нуқтани кўчираётган бирлик куч қўйилган нуқтанинг ўрнини кўрсатади. Шунингдек,  $r_{21}$  билан  $C_2$  нуқтанинг  $C_1$  га қўйилган бирлик куч таъсирида  $l_2$  йўналишдаги кўчиши белгиланади.  $r_{12}$  ёки  $r_{21}$  кўчишларнинг миқдори  $C_1$  ва  $C_2$  га қўйилган бирлик кучларнинг йўналиши  $l_1$  ва  $l_2$  боғлиқ эканлиги табиийдир. Бу мулоҳазалар асосида қуйидаги теоремани исботлаймиз.  $C_1$  нуқтага  $l_1$  йўналишда қўйилган бирлик куч таъсирида  $C_2$  нуқтанинг  $l_2$  йўналишдаги кўчиши  $C_2$  нуқтанинг  $l_2$  йўналишда қўйилган бирлик куч таъсиридан  $C_1$  нуқтанинг  $l_1$  йўналишдаги кўчишига тенг бўлади, яъни:

$$r_{12} = r_{21}. \quad (130.1)$$

Бу теоремани исботлаш учун қуйидаги мулоҳазадан фойдаланамиз. Эластик системанинг деформацияси натижасида тупланган потенциал энергиянинг натижавий қиймати унга таъсир этувчи кучларнинг қандай тартибда қўйилишига боғлиқ бўлмайди. Бу мулоҳазани назарда тутиб, текширилаётган эластик системанинг олдин  $C_1$  нуқтасига  $R_1$ , кейин  $C_2$  нуқтасига  $R_2$  умумлашгирилган кучларни қўямиз.  $R_1$  куч ўзи қўйилган  $C_1$  нуқтада  $r_{11}$   $R_1$  кўчишини  $R_2$  куч  $C_2$  нуқтада  $r_{21}$   $R_1$  кўчишини ҳосил қилади.  $R_1$  куч  $r_{11}$   $R_1$  кўчиш давомида қуйидаги ишни бажаради:

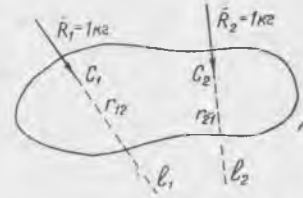
$$U_{11} = \frac{1}{2} r_{11} R_1 \cdot R_1 = \frac{r_{11} R_1^2}{2}.$$

$R_1$  куч қўйилиб бўлгандан кейин  $C_2$  нуқтага қўйилган  $R_2$  куч, бу нуқтада  $r_{22} R_2$  кўчишни ва  $C_1$  нуқтада  $r_{12} R_2$  кўчишни ҳосил қилади. Бу кўчишда  $R_2$

бажарган иш  $U_{22} = \frac{1}{2} r_{22} R_2 \cdot R_2 = \frac{r_{22} R_2^2}{2}$ ,  $R_1$  бажарган иш эса  $U_{12} = r_{12} R_2 \cdot R_1$

бўлади. Бу ифодага  $\frac{1}{2}$  кирмади, чунки  $C_1$  нуқта  $R_2$  таъсирида  $r_{12} R_2$  га кучмасдан илгари  $R_1$  куч қўйилган эди. Шундай қилиб, эластик системага  $R_1$  ва  $R_2$  кучлар юқорида айтилган тартибда қўйилиши натижасида, уларнинг бажарган иши ёки потенциал энергияси:

$$U = U_{11} + U_{12} + U_{22} \quad (130.2)$$



459-шакл.

бўлади. Аксинча, аввал  $R_2$  ни қўйиб  $R_1$  қўйилса, юқоридаги каби мулоҳазаларни юргизиб, иш ёки потенциал энергия ифодасини қуйидагича ёзамиз:

$$U = U_{22} + U_{21} + U_{11}. \quad (130.3)$$

Бу ифодадаги айрим ҳадларнинг қиймати юқоридаги мулоҳаза асосида топилади, чунончи:

$$U_{22} = \frac{1}{2} r_{22} R_2^2, \quad U_{11} = \frac{1}{2} r_{11} R_1^2, \quad U_{21} = r_{21} R_1 R_2.$$

Энди бажарилган ишларни солиштириб, қуйидаги хулосани чиқарамиз:

$$U_{12} = U_{21}. \quad (130.4)$$

Демак,  $C_1$  нуқтага қўйилган  $R_1$  кучнинг  $C_2$  нуқтадаги  $R_2$  куч таъсирида ҳосил бўлган кучида бажарган иши  $C_2$  нуқтага қўйилган  $R_2$  кучнинг  $C_1$  нуқтадаги  $R_1$  куч таъсирида ҳосил бўлган кучида бажарган ишига тенг бўлар экан. Юқорида топилган  $U_{12}$  ва  $U_{21}$  ифодаларни (130.4) га қўйиб (130.1) нинг тўғрилигини исботлаймиз, яъни:

$$r_{12} R_2 R_1 = r_{21} R_1 R_2;$$

бундан:

$$r_{12} = r_{21}.$$

Бу хулоса кўчишларнинг ўзаро муносабатда бўлиши ҳақидаги Максвелл теоремасининг ифодасидир. Бу икки куч учун чиқарилган хулосани исталган сондаги кучлар учун ҳам татбиқ қилиш мумкин. Масалан, эластик системага бир нечта  $R_1, R_2, \dots, R_n$  кучлар қўйилган бўлиб, уларнинг ҳар бир қўйилган нуқтасининг шу нуқтага қўйилган куч йўналишидаги кўчиши тегишлича  $\Delta_1, \Delta_2, \dots, \Delta_n$  бўлса, буларнинг қийматини бирлик куч таъсирида ҳосил бўладиган  $r_{kl}$  кўчишлар куч таъсирдан фойдаланиб, қуйидагича ёзамиз:

$$\left. \begin{aligned} \Delta_1 &= r_{11} R_1 + r_{12} R_2 + r_{13} R_3 + \dots + r_{1n} R_n \\ \Delta_2 &= r_{21} R_1 + r_{22} R_2 + r_{23} R_3 + \dots + r_{2n} R_n \\ &\dots \\ \Delta_n &= r_{n1} R_1 + r_{n2} R_2 + r_{n3} R_3 + \dots + r_{nn} R_n \end{aligned} \right\} \quad (130.5)$$

Максвелл теоремасига мувофиқ, бирлик куч таъсирида ҳосил бўладиган кўчишлар ҳар бир жуфт индекс  $k$  ва  $l$  учун қуйидаги шартни қаноатлантиради:

$$r_{kl} = r_{lk}.$$

Бу хулосадан ва (130.5) дан фойдаланиб, деформациянинг потенциал энергиясини ёки ташқи кучларнинг деформация натижасида бажарган ишини қуйидагича ифодалаш мумкин:

$$A^{(e)} = U = \frac{1}{2} (R_1 \Delta_1 + R_2 \Delta_2 + \dots + R_n \Delta_n) = \frac{1}{2} \sum_{k=1}^n R_k \Delta_k$$

$\Delta_k$  ларнинг қиймати (25.5) дан келтириб қўйилса:

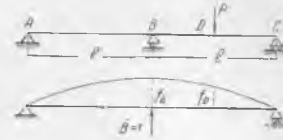
$$\begin{aligned} A^{(e)} = U &= \frac{1}{2} (r_{11} R_1^2 + 2r_{12} R_1 R_2 + r_{22} R_2^2 + 2r_{13} R_1 R_3 + \dots) = \\ &= \frac{1}{2} \sum_{k=1}^n \sum_{l=1}^n r_{kl} R_k R_l \end{aligned} \quad (130.6)$$

бўлади. Бу ифодадан  $R_k$  га нисбатан олинган хусусий ҳосиланинг  $\Delta_k$  га тенг бўлишини исботлаш қийин эмас. Бу эса Кастильяно теоремасини ифо-

далайди. Демак, Кастильяно теоремасини, Максвелл теоремасидан келтириб чиқариш мумкин экан.

Максвелл теоремасининг ифодаси (130.4) дан фойдаланиб, статик аниқмас масалаларни ечиш мумкин. Бунинг учун текширилаётган эластик системани икки ҳолатда олиб қараш зарур. Биринчи — асосий ҳолатда системага қўйилган ташқи кучлар билан бирга ортиқча номаълум реакция ҳам олинади, иккинчи — «ёрдамчи» ҳолатда эса система ортиқча номаълум реакция ҳосил бўладиган кесимларга қўйилган бирлик куч таъсиридагина қаралади.

Асосий ҳолатда таъсир этувчи кучларнинг «ёрдамчи» ҳолатга тегишли бирлик куч таъсирида ҳосил бўлган кўчидаги бажарган иши бирлик кучнинг асосий ҳолатдаги кучларга тегишли кўчида бажарган ишига тенг. Масалада бир нечта ортиқча номаълум бўлса, «ёрдамчи» ҳолатлар сони ортиқча номаълумлар сонига тенг қилиб олиниши керак. Масалан, уч таянчда ётувчи балкани олиб қарайлик. Унинг ўртасидаги таянч реакцияси  $B$  ни ортиқча номаълум учун қабул қилсак (460-шакл), асосий ҳолатда эластик системага  $P$  ва  $B$  кучлар таъсир қилади. «Ёрдамчи» ҳолатни ҳосил қилиш учун балканинг  $B$  кесимида бирлик куч қўямиз. Унинг таъсирида ҳосил бўладиган  $B$  ва  $D$  нуқталардаги кўчишларни  $f_B$  ва  $f_D$  орқали белгилаймиз. У ҳолда (130.4) қуйидагича ёзилади:



460-шакл.

$$Bf_B - Pf_D = 0,$$

бундан:

$$B = P \frac{f_D}{f_B} \quad (a)$$

$f_D$  ва  $f_B$  нинг қийматларини тегишли жадваллардан оламиз:

$$f_D = \frac{11 \cdot 1(2l)^3}{16 \cdot 48EI}; \quad f_B = \frac{1 \cdot (2l)^3}{48EI}$$

Буларнинг қийматини (a)га қўйиб,  $B$  ни аниқлаймиз:  $B = \frac{11P}{16}$ ; қолган иккита  $A$  ва  $C$  реакция статика тенгламаларидан фойдаланиб аниқланади.

### 131-§. Мор ўсули

Эластик система деформацияланганда ундаги бирор нуқтанинг кўчиши система деформациясининг потенциал энергиясидан кўчишга тегишли умумлаштирилган кучга нисбатан олинган хусусий ҳосилага тенглиги Кастильяно теоремасидан маълум. Эластик система сифатида балка олсак, унинг бирор кесимининг салқилиги ва бурилиши (128.2) ва (128.3) га мувофиқ, қуйидагича ёзилиши ҳам маълум:

$$\omega = \frac{\partial U}{\partial P} = \int_0^l \frac{M(x)}{EI} \cdot \frac{\partial M}{\partial P} dx, \quad \theta = \frac{\partial U}{\partial m} = \int_0^l \frac{M(x)}{EI} \cdot \frac{\partial M}{\partial m} dx.$$

Бу формулалардаги  $\frac{\partial M}{\partial P}$  ва  $\frac{\partial M}{\partial m}$  ларни тушунтирамиз. Балкага бир нечта  $P_1, P_2, \dots, q_1, q_2, \dots$  ва  $m_1, m_2, \dots$  тупланган ва ёйилган юклар ҳамда жуфт кучлар

қўйилган бўлса, ундай балканинг ҳар қандай қўндаланг кесимидаги эгувчи момент мазкур кучларнинг чизиқли функцияси тарзида ифоделанади:

$$M = a_1 m_1 + a_2 m_2 + \dots + b_1 P_1 + b_2 P_2 + \dots + c_1 q_1 + c_2 q_2 + \dots \quad (131.1)$$

Бу ерда  $a_i$ ,  $b_i$ ,  $c_i$  коэффициентлар текширилатган кесимга қўйилган юкларнинг ўрнига ҳамда балканинг узунлигига боғлиқдир. Масалан, 455-шаклда тасвирланган балкага қўйилган юклар учун балканинг бирор кесимидаги эгувчи момент:

$$M = -m - Px - \frac{qx^2}{2}$$

кўринишда ёзилади. Бунини (131.1) билан солиштирсак:

$$a_1 = -1; \quad b_1 = -x; \quad c_1 = -\frac{x}{2}$$

бўлади.

$P_i$  куч қўйилган нуқтадаги салқиликни аниқлаш талаб қилинсин. У ҳолда  $\frac{\partial M}{\partial P_i} = b_i$  бўлади. Аммо  $b_i$  ни балканинг  $P_i$  таъсир қилаётган қўндаланг кесимидаги бирлик кучдан ҳосил бўлган эгувчи момент деб қараш мумкин.

Дарҳақиқат,  $M$  нинг ифодаси (131.1) га  $P_i$  нинг хусусий қиймати  $P_i = 1$  ни қўйиб, қолган барча кучларни нолга тенглаштирсак:  $M_{(x)} = b_i$  ни олаемиз.

455-шаклда тасвирланган балканинг эгувчи моментидан  $P$  га нисбатан ҳосила олсак,  $\frac{\partial M}{\partial P} = -x$  чиқади. Бу эса балканинг учига фақат бирлик куч

қўйилган ҳол учун эгувчи момент ифодасидир. Худди шундай  $\frac{\partial M}{\partial m} = a_i$  бирор кесимдаги бирлик жуфт кучдан ҳосил бўладиган эгувчи моментни ифодалайди. Шундай қилиб, эгувчи моментнинг бирор умумлаштирилган кучга нисбатан олинган ҳосиласини ҳисоблашни бирлик кучнинг эгувчи моментини ҳисоблаш билан алмаштириш мумкин экан. Бирлик куч моментини  $M^0$  билан белгилаймиз. Кастильяно теоремасини татбиқ қилиш вақтида, агар тегишли умумлаштирилган кучлар мавжуд бўлмаса, бундай кучларни ҳисобга фикран киритиб, потенциал энергиянинг ҳосиласи ҳисоблангандан кейин, уларни гашлаб юборган эдик. Энди бундай ҳолларда қўшимча кучлар киритиб, уларга нисбатан тегишли хусусий ҳосилаларни ҳисоблаш ўрнига, кўчиши аниқланаётган нуқталарга бирлик кучлар қўйиб, уларнинг эгувчи моментларини ҳисоблаш кифоя. Шундай қилиб, балканинг ҳар қандай кесимининг кўчиши  $\delta$  ни (салқилик ёки бурилиш бурчагини) аниқлаш учун, бу кесимга тегишли куч қўйилиши ёки қўйилмаслигидан қатъи назар, дастлаб эгувчи момент  $M(x)$  ифодасини ҳисоблаймиз, кейин кўчиши аниқланаётган кесимга тегишлича қўйилган бирлик кучдан ҳосил бўлган  $M_0$  эгувчи моментни топамиз. Шундан сўнг қўйидаги ифодадан кўчиш  $\delta$  ни аниқлаймиз:

$$\delta = \int_0^l \frac{M M_0}{EI} dx. \quad (131.2)$$

Бу формулани ҳисоблаш практикасига биринчи марта 1874 йилда О. Мор киритган эди. Агар (26.2) формуладаги  $\delta$  салқилик деб тушунилса,  $M^0$  салқилиги аниқланаётган нуқтага қўйилган тўпланган бирлик юк учун ҳисобланади; мабодо кесимнинг бурилиш бурчагини ҳисоблаш тўғри келса, у ҳолда тегишли кесимга қўйилган бирлик жуфт куч учун ҳисобланади.

(131.2) формуладан статик аниқмас масалаларни ечишда ҳам фойдаланса бўлади. Бунинг учун худди Максвелл усулидан фойдалангандагидек, статик аниқмас эластик системанинг бир нечга ҳолатини текшириш зарур. Асосий ҳолатда қўйилган юклар билан таянч реакцияларини олиб, «ёрдамчи» ҳолатларда эса барча юкларни ташлаб, фақат ортиқча номаълум қўйилган кесимга мувофиқлаб бирлик юк қўйиш ва унинг моменти  $M^0$  ни ҳисоблаш лозим. Ортиқча номаълум, одатда, таянч реакцияси ёки таянч моменти бўлгани учун уларга тегишли кўчишлар нолга тенг бўлади, шунинг учун (131.2) қуйидагича ёзилади:

$$\int_0^l \frac{MM^0}{EI} dx = 0. \quad (131.3)$$

Масалан, бутун узунлиги бўйлаб ёйилган  $q$  юк таъсирида бўлган балканинг чап учи таянчга эркин тиралган. ўнг учи эса қистириб тиралган (461-шакл). Ортиқча номаълум учун таянч реакцияси  $A$  ни олиб, асосий ва «ёрдамчи» ҳолатларни тасвирлаймиз (461-шакл,  $a$  ва  $b$ ). Иккала ҳолат учун  $M$  ва  $M^0$  ни ҳисоблаб (131.3) га қўямиз:

$$M = Ax - \frac{qx^2}{2}; \quad M^0 = 1 \cdot x;$$

$$\frac{1}{EI} \int_0^l \left( Ax - \frac{qx^2}{2} \right) (1 \cdot x) dx = 0;$$

бундан:

$$A = \frac{3}{8} ql$$

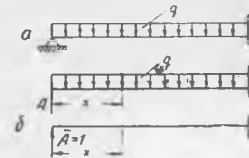
бўлади; қолган иккита  $B$  ва  $M_A$  реакцияларни статика тенгламаларидан аниқлаш мумкин.

Агар балка бир қанча участкадан иборат бўлса, (131.2) ва (131.3) ифодалар ҳар қайси участка учун ахсус кийматга эга бўлади ва ҳар бир интегралнинг чегараси ўз участкасига мувофиқ равишда белгиланади ҳамда уларни интеграллар йиғиндиси тарзида ифодалаш лозим бўлади. Мор усули амалий жиҳатдан Кастильяно теоремасига қараганда бир қанча афзалликларни Сорлигидан, у сўнги вақтда Кастильяно теоремаси ўрнида ишлатилмоқда.

### 132- §. Верешчагин усули

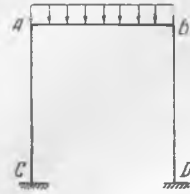
Рус инженери Верешчагин 1924 йилда (131.2) ифодадаги интегрални ҳисоблашни осонлаштирди. Балканинг ёрдамчи ҳолатида қўйиладиган бирлик куч тўпланган ёки жуфт кучдан иборат бўлгани учун  $M^0$  моментнинг эпюраси тўғри чизиқ билан чегараланади. Шу сабабли  $\int MM^0 dx$  интегрални балкага қўйилган ҳақиқий юкдан ҳосил бўлган эгувчи момент эпюрасининг ҳар қандай кўриниши учун қуйидагича ҳисоблаш мумкин:  $M$  эпюраси 462-шаклдагидек эгри чизиқли бўлиб,  $M^0$  тўғри чизиқли бўлсин (462-шакл, б). Интеграл остидаги  $M dx$  ни  $M$  эпюрасининг шаклда штрихлаб кўрсатилган элементар юзаси  $d\Omega$  деб қараш мумкин. Бирлик юкдан ҳосил бўлган эгувчи момент эпюрасига тегишли ординатани қуйидагича ифодалаш мумкин:

$$M^0 = x \operatorname{tg} \alpha,$$

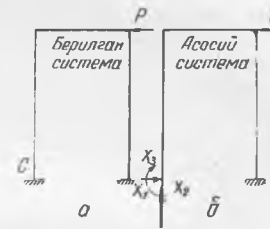


461-шакл.

рама деб аталади (463-шакл). Рама элементларидан  $AC$  ва  $BD$  стерженлар устун деб,  $AB$  стержень эса ригель деб аталади. Элементлар тугун  $A$ ,  $B$  да бикр қилиб туташтирилган, яъни улар шундай туташтирилганки, рама деформацияланганда тугунга туташган элементлар бир-бирига нисбатан бурила олмайди. Тугунда устун билан ригель тўғри бурчак ҳосил қилган бўлса, бу тўғри бурчак деформациядан кейин ҳам ўзгармайди.



463-шакл.



464-шакл.

Конкрет ҳол учун каноник тенгламалар тузамиз. Бунинг учун 464-шаклда тасвирланган рамани оламиз. Дастлаб, раманинг мувозанатини бузмасдан, қистириб тиралган  $C$  учини боғланишдан қутқазиб, уни статик аниқ системага айлантирамиз (464-шакл, б).  $C$  кесими қистириб тиралгани учун боғланиш таъсирини алмаштирувчи реакциялар сони учта бўлади. Улар: 1) горизонтал йўналган кўчишга қаршилик кўрсатувчи  $X_1$  реакция; 2) вертикал кўчишга қаршилик кўрсатувчи  $X_2$  реакция; 3) қистирилган кесимнинг айланишига қаршилик кўрсатувчи реактив момент  $X_3$  дан иборат. Демак, биз текшираётган рамада учта ортиқча номаълум бўлади.

Эластик системанинг мувозанатини бузмасдан, системани ортиқча боғланишдан қутқазиб, унинг таъсирини тегишли реакциялар билан алмаштиришдан ҳосил бўлган система асосий система еб аталади. Ортиқча номаълумлар  $X_1$ ,  $X_2$ ,  $X_3$  ни шундай танлаймизки, берилган система билан асосий системанинг деформацияси бир хил бўлсин. Берилган системанинг  $C$  учи таянчга қистирилганлиги учун асосий системада ҳам  $C$  қўзғалмас бўлиши шарт.  $C$  қўзғалмаслиги учун горизонтал ва вертикал йўналишда и кўчишлар ҳамда буралиш бўлмаслиги керак. Ортиқча номаълумлар қўйилган  $C$  нуқтанинг кўчишини  $\Delta_c$  деб, унинг горизонтал, вертикал ва буралишга оид ташкил этувчиларини тегишлича  $\Delta_1$ ,  $\Delta_2$ ,  $\Delta_3$  десак, горизонтал, вертикал йўналишдаги кўчишларнинг бўлмаслиги ва буралмаслик шarti қуйидагича ёзилади:

$$\begin{aligned} \Delta_1 &= \Delta_{11} + \Delta_{12} + \Delta_{13} + \Delta_{1p} = 0, \\ \Delta_2 &= \Delta_{21} + \Delta_{22} + \Delta_{23} + \Delta_{2p} = 0, \\ \Delta_3 &= \Delta_{31} + \Delta_{32} + \Delta_{33} + \Delta_{3p} = 0. \end{aligned} \quad (133.1)$$

Бунда, олдин белгиланган қоидага мувофиқ, биринчи индекс кўчишнинг йўналишини, иккинчи индекс эса кўчишни ҳосил қилаётган куч қўйилган ўринни кўрсатади. Бирлик юклар таъсирида ҳосил бўладиган кўчиш-

ларни тегишли индекслар билан  $\delta$  орқали белгиласак, (129.5) формулага мувофиқ қуйидагиларни оламиз:

$$\begin{cases} \Delta_{11} = X_1 \delta_{11}, \\ \Delta_{12} = X_2 \delta_{12}, \\ \dots \\ \Delta_{33} = X_3 \delta_{33}. \end{cases} \quad (133.2)$$

$\delta_{ki} = \delta_{ik}$  эканлигини назарга олиб, (133.2) ни (133.1) га қўйсак  $X_1, X_2, X_3$  ларни аниқлаш учун қуйидаги тенгламалар ҳосил бўлади:

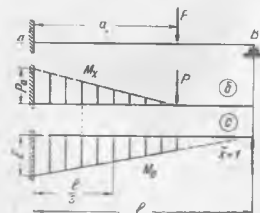
$$\begin{cases} X_1 \delta_{11} + X_2 \delta_{12} + X_3 \delta_{13} + \Delta_{1p} = 0, \\ X_1 \delta_{21} + X_2 \delta_{22} + X_3 \delta_{23} + \Delta_{2p} = 0, \\ X_1 \delta_{31} + X_2 \delta_{32} + X_3 \delta_{33} + \Delta_{3p} = 0. \end{cases} \quad (133.3)$$

Бу ерда  $\Delta_{1p}, \Delta_{2p}, \Delta_{3p}$  — рама асосий системасининг чап учи  $C$  нинг қўйилган юк таъсирида горизонтал, вертикал ва буралма кўчишлари. Бу тенглама системаси берилган рама чап учи  $C$  нинг горизонтал, вертикал, буралишга оид кўчишларининг нолга тенглигини, яъни  $C$  нуқтанинг қўзғалмаслигини ифодалайди. Бу тенгламалар *каноник тенгламалар* деб аталади. Каноник тенгламаларнинг коэффициенти  $\delta_{ik}$  нинг маъносини яна бир қарра такрорлаб ўтамиз;  $\delta_{ik}$  — нуқтанинг  $k$  йўналишдаги *бирлик куч* таъсирида  $i$  йўналишдаги кўчишидир. Унинг қийматини аниқлаш учун Мор формуласидан фойдаланамиз. Бу ҳолда Мор формуласи қуйидагича ёзилади:

$$\delta_{ik} = \delta_{ki} = \int_0^l \frac{M_i M_k}{EI} dx. \quad (133.4)$$

Бу ерда  $M_i$  ва  $M_k$  ларнинг иккаласи ҳам бирлик юк моменти бўлгани учун, (133.4) нинг қиймати бевосита жадвалдан аниқланади,  $\Delta_{ip}$  эса қўйилган юк эгувчи моментнинг эпюраси мутлақ бўлган ҳолда Мор интегралини ҳисоблаб аниқланади, яъни:

$$\Delta_{ip} = \int_0^l \frac{M(x) M_i}{EI} dx.$$



465- шакл.

Каноник тенгламаларнинг коэффициентлари  $\delta_{ik}$  ва эркин ҳади  $\Delta_{ip}$  аниқлангандан кейин, (133.3) системани ечиш қийин эмас. Ундан  $X_1, X_2, X_3$  аниқланади.

Энди каноник тенгламаларни конкрет масалага татбиқ қиламиз. Бунинг учун олдин оддийроқ бир масalani ечамиз. 465- шаклда тасвирланган балка учун, каноник тенгламалардан фойдаланиб,  $B$  реакциясини аниқлаймиз.

Таянч  $B$  йўқотилиб, асосий система олинади ва ташланган таянч нуқтасига  $X_1 = 1$  куч қўйилади (465-шакл,  $c$ ). Бу ҳолда каноник тенглама қуйидагича ёзилади:

$$X_1 \delta_{11} + \Delta_{1p} = 0.$$

$\Delta_{1p}$  билан  $\delta_{11}$  ни ҳисоблаш учун қўйилган юк ва  $B$  га қўйилган бирлик юкларнинг эгувчи моментлари  $M(x)$  ва  $M_0$  ларнинг эпюраларини кўрамиз (465-шакл.  $b$  ва  $c$ ). Шаклдан (132.1) га мувофиқ  $\Delta_{ip}$  ва  $\delta_{11}$  учун қуйидагиларни оламиз:

$$\Delta_{1p} = -\frac{Pa^3}{2EI} \left(1 - \frac{a}{3}\right) = -\frac{Pa^3(3l-a)}{6EI}$$

бу ерда:  $\eta = l - \frac{a}{3}$ .

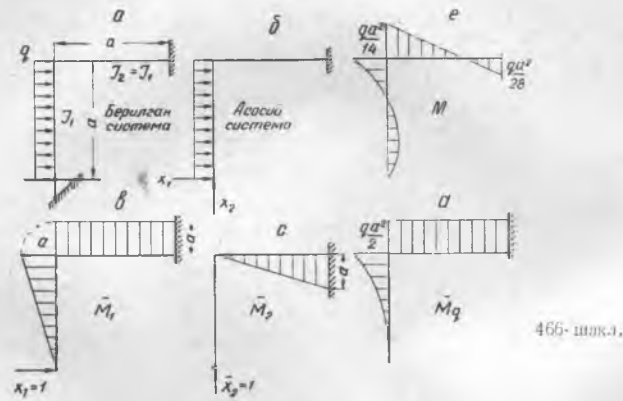
$$\delta_{11} = \frac{1 \cdot l^3}{2EI} \cdot \frac{2}{3} = \frac{1 \cdot l^3}{3EI}; \quad \eta_1 = \frac{2}{3}l.$$

$\Delta_{1p}$  ва  $\delta_{11}$  ning қийматини каноник тенгламага қўйиб,  $B$  ning реакцияси  $X$  ни аниқлаймиз:

$$X = B = \frac{Pa^3(3l-a)}{2l^3};$$

$a = \frac{l}{2}$  бўлганда  $X = B = \frac{5}{16}P$  бўлар эди.

Эгувчи момент эпюрасини қуриш учун бирлик куч эпюрасини  $X$  марта қўлайтириб, уни  $M$  ning эпюраси билан қўшиш керак.



466-шакл.

Иккинчи мисол учун 466-шакл,  $a$  да тасвирланган рамани оламиз. Эластик системада иккита ортиқча номаълум бор. Асосий система учун 466-шакл,  $b$  да тасвирланган схемани оламиз. Каноник тенгламалар тузимиз:

$$\begin{aligned} X_1 \delta_{11} + X_2 \delta_{12} + \Delta_{1q} &= 0, \\ X_1 \delta_{21} + X_2 \delta_{22} + \Delta_{2q} &= 0. \end{aligned}$$

$X_1$  ва  $X_2$  ning йўналишидаги бирлик кучлар учун тегишли эгувчи момент эпюраларини қурамиз; улар 466-шакл,  $e$  ва  $d$  да тасвирланган: рамага қўйилган куч таъсиридан асосий системада ҳосил бўлган эгувчи момент эпюраси 466-шакл,  $d$  да тасвирланган. Бу эпюралардан фойдаланиб, каноник тенгламаларнинг коэффициентларини ҳисоблаймиз:

$$\begin{aligned} \delta_{11} &= \left(\frac{a^2}{2} \cdot \frac{2}{3}a + a^2 \cdot a\right) \frac{1}{EI} = \frac{4}{3} \frac{a^3}{EI}; \quad \delta_{22} = \frac{a^2}{2} \cdot \frac{2}{3}a \frac{1}{EI} = \frac{a^3}{3EI}; \\ \delta_{12} &= -\delta_{21} = -\frac{a^2}{2} \cdot a \frac{1}{EI} = -\frac{a^3}{2EI}; \end{aligned}$$

$$\Delta_1 q = \frac{1}{EI} \left( \frac{1}{3} q_1 a^2 \frac{3}{4} a + \frac{qa^2}{2} a \cdot a \right) = \frac{5}{8} \frac{qa^4}{EI};$$

$$\Delta_2 q = -\frac{qa^2}{2} a \cdot \frac{a}{2} \frac{1}{EI} = -\frac{qa^4}{4EI}.$$

Буларнинг қийматини каноник тенгламаларга қўйиб, қуйидаги тенгламаларни олаемиз:

$$\frac{4}{3} X_1 - \frac{1}{2} X_2 + \frac{5}{8} qa = 0; \quad -\frac{1}{2} X_1 + \frac{1}{3} X_2 - \frac{1}{4} qa = 0.$$

Бу тенгламалар системасини ечиб,  $X_1$  ва  $X_2$  ни аниқлаймиз:

$$X_1 = -\frac{3}{7} qa; \quad X_2 = \frac{3}{28} qa.$$

Энди бирлик кучларга тегишли  $M_1$  ва  $M_2$  эпюраларнинг ординаталарини тегишлича  $X_1$  ва  $X_2$  марта кўпайтириб, уни юк моменти эпюраси билан қўшиш лозим. Умумий эпюра 466-шакл,  $e$  да тасвирланган.

### МАСАЛАЛАР

176. Узунлиги ва кўндаланг кесим юзаси бир хил бўлган икки стерженнинг потенциал энергияси  $U_1$  ва  $U_2$  қуйидаги икки ҳол учун ҳисоблансин.

1. Стерженнинг хусусий оғирлиги  $P$  бўлиб, у ҳам эътиборга олинсин.
2. Стержень учига стержень оғирлигига тенг юк қўйилган бўлсин.

Е ч и ш. Биринчи ҳолда олдин солиштирма ишни ҳисоблаймиз:

$$a = \frac{\sigma^2}{2E} = \frac{\gamma^2 x^2}{2E};$$

чунки

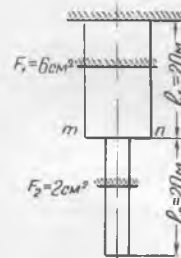
$$\sigma = \gamma x$$

Бутун стерженнинг потенциал энергияси:

$$U_1 = \int_0^l a F dx = \int_0^l \frac{\gamma^2 x^2}{2E} F dx = \frac{\gamma^2 F^2 l^2}{6EF} \cdot l = \frac{P^2 l}{6EF}.$$

Иккинчи ҳолда бевосита 486-бетда берилган жадвалдаги формуладан фойдаланамиз

$$U_2 = \frac{P^2 l}{2EF}.$$



467-шакл.

177. Шаклда тасвирланган стерженнинг (467-шакл) потенциал энергияси ҳисобланиб,  $mn$  кесимининг кўчиши Кастильяно теоремаси ёрдамида аниқлансин. Барча ўлчамлар шаклда берилган. Стерженнинг юқори қисми учун узунлик бирлигидаги оғирлик  $q_1 = 6 \text{ кг/м}$ , пастки қисми учун  $q_2 = 1,5 \text{ кг/м}$ .  $E = 2 \cdot 10^6 \text{ кг/см}^2$ .

Е ч и ш. Стержень юқори қисмининг оғирлигини  $Q = q_1 l_1$ , пастки қисмининг оғирлигини  $Q_2 = q_2 l_2$  десак, пастки қисмининг потенциал энергияси:

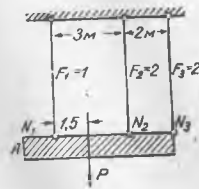
$$U_2 = \frac{Q_2^2 l_2}{6EF_2} = \frac{q_2^2 l_2^3}{6EF_2} = \frac{1,5 \cdot 20^3 \cdot 10^3}{6 \cdot 2 \cdot 10^6 \cdot 2} = 0,075 \text{ кг/см}.$$

Юқори қисмининг потенциал энергияси:

$$U = \frac{Q_1^2 l}{6EF} + \frac{Q_2^2 l_1}{2EF_1} + \frac{Q_1 Q_2 l_1}{2EF_1} = 0,775 \text{ кг/см}.$$

Стерженнинг тўла потенциал энергияси:

$$U = U_1 + U_2 = 0,85 \text{ кг/см}$$



468-шакл.

бўлади.  $ml$  кесимнинг пасайишини Кастильяно теоремасига мувофиқ аниқлаш учун у кесимга  $P$  кучни қўйиб, стержень юқори қисмининг барор кесимидаги кучланишни аниқлаймиз:

$$\sigma = \frac{Q_2 + P + \gamma x F_1}{F_1}$$

Буни назарга олиб, стержень юқори қисмининг потенциал энергиясини ҳисоблаймиз:

$$U = \int_0^l \frac{(Q_2 + P + \gamma x F_1)^2}{2EF_1^2} F_1 dx,$$

$$\Delta l = \frac{\partial U}{\partial P} = \int_0^l \frac{(Q_2 + \gamma F_1 x) dx}{EF_1}$$

$$\Delta l_1 = \frac{Q_2 l_1}{EF_1} + \frac{Q_1 l_1^2}{2EF_1} = 0,015 \text{ см.}$$

178. Оғирлиги  $P = 2m$  бўлган абсолют бикр  $AB$  балка учта стерженга осилган (468-шакл). Шу стерженларда ҳосил бўладиган  $N_1, N_2, N_3$  зўриқиш аниқлансин.

Е ч и ш. Эластик система учун потенциал энергия ифодасини ёзамиз:

$$U = \frac{N_1^2 l}{2EF_1} + \frac{N_2^2 l}{2EF_2} + \frac{N_3^2 l}{2EF_3}$$

$N_1, N_2$  ва  $N_3$  зўриқишлар орасидаги муносабатларни статика тенгламаларидан аниқлаймиз:

$$N_1 + N_2 + N_3 = P; \quad 3N_2 + 5N_3 = 1,5P.$$

$\Delta_1$  билан  $N_3$  ни  $N_2$  орқали ифодалаймиз:

$$N_1 = 1,4 - 0,4N_2; \quad N_3 = 0,6(1 - N_2). \quad (a)$$

Энг минимал иш теоремасига мувофиқ:

$$\frac{\partial U}{\partial N_2} = \frac{N_1 l}{EF_1} \frac{\partial N_1}{\partial N_2} + \frac{N_2 l}{EF_2} + \frac{N_3 l}{EF_3} \frac{\partial N_3}{\partial N_2} = 0, \quad (b)$$

(a) дан:  $\frac{\partial N_1}{\partial N_2} = -0,4; \quad \frac{\partial N_3}{\partial N_2} = -0,6.$

Буларни (b) га қўйиб, (a) ни назарга олсак:

$$N_2 = 0,381 m; \quad N_1 = 1,048 m; \quad N_3 = 0,071 m$$

бўлади.



469-шакл.

179. Призматик стержень 469-шаклда кўрсатилгандек юкланган.  $X$  нинг қандай қийматида стерженнинг потенциал энергияси минимал бўлади.  $X$  нинг бу қийматида стерженнинг абсолют ҳузилиши аниқлансин.

Е ч и ш. Стерженнинг потенциал энергияси:

$$U = \frac{X^2 l}{2EF} + \frac{(P-X)^2 2l}{2EF} = \frac{3X^2 l + 2P^2 l - 4PXl}{4EF}$$

бундан:

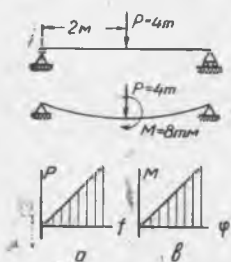
$$f\left(\frac{X}{P}\right) = \frac{UEF}{P^2 l} = \frac{3}{2}\left(\frac{X}{P}\right)^2 - 2\left(\frac{X}{P}\right); \quad \frac{X}{P} = \psi$$

десак:

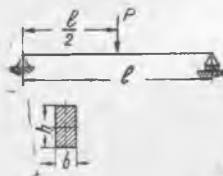
$$\frac{\partial f}{\partial \psi} = 3\psi - 2 = 0; \quad \psi = \frac{X}{P} = \frac{2}{3}; \quad X = \frac{2}{3}P.$$

Стержень учига қўйилган  $X$  кучнинг ҳосил бўлган қийматида тегишли абсолют ҳузилиши топишни ўқувчиларнинг ўзларига ҳавола қиламиз.

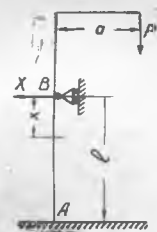
180. Узунлиги  $l = 4 m$  бўлган  $AB$  балканинг ўртасига бирин-кетин олдин  $P = 4 m$  юк, кейин  $M = 4 m$  жуфт куч қўйилган. Бу ҳол учун балканинг потенциал энергияси ҳисоблансин ва энергияларнинг тўпланиш процессини тасвирловчи графиклар тузилсин (470-шакл).



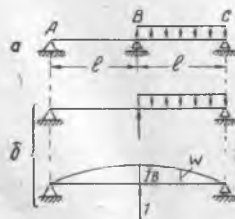
470- шакл.



471- шакл.



472- шакл.



473- шакл.

Е ч и ш. Балкага аввал кучни қўямиз:

$$U_1 = 2 \int_0^{l/2} \frac{M^2 dx}{2EI} = \int_0^{l/2} \frac{P^2 X^2}{4EI} dx = \frac{P^2 l^3}{4 \cdot 24EI} = \frac{32}{3EI}$$

$P$  нинг устига қўйилган  $M$  таъсирдан ҳосил бўлган энергия:

$$U_2 = 2 \int_0^{l/2} \frac{M^2 X^2}{l^2 EI} dx = \frac{M^2 l^3}{l^2 \cdot 24 \cdot EI} = \frac{32}{3EI}$$

$U_{12} = 0$ , чунки  $P$  симметрик равишда таъсир қилганлигидан балканинг ўрта кесими бурлмайд, шунингдек,  $M$  таъсирдан бу кесим пасаймайди ҳам, шу туфайли  $P$  таъсирида ҳосил бўлган деформацияда жуфт куч  $M$  бажарган иш, худди шунингдек,  $M$  таъсирида ҳосил бўлган деформацияда ҳам  $P$  бажарган иш нолга тенг бўлади. Балкада тўпланган тўла энергия:

$$U = U_1 + U_2 = \frac{64}{3EI}$$

бўлади.

$U_1$  ва  $U_2$  нинг графиги 470-а ва б шаклларда тасвирланган.

181.  $AB$  балканинг узунлиги  $l = 2$  м бўлиб, унинг қўндаланг кесим баландлиги  $n = 12$  см, кенглиги  $b = 10$  см бўлган тўғри тўртбурчакдан иборат. Балканинг ўртасига  $P = 500$  кг юк қўйилган (471-шакл). Силжиш деформациясини ҳисобга олиб, балканинг ўртасидаги салқилиқ ва силжишдан ҳосил бўладиган салқилиқ умумий салқиликнинг неча процентини ташкил қилиши аниқлансин.  $E = 10^8$  кг/см<sup>2</sup>;

$G = 5 \cdot 10^9$  кг/см<sup>2</sup>; тўғри тўртбурчак учун  $k = \frac{6}{5}$  га тенг.

Е ч и ш. Бу масалани ечиш учун потенциал энергия ифодасини ёзамиз:

$$U = 2 \int_0^{l/2} \left( \frac{M^2}{2EI} + k \frac{Q^2}{2GF} \right) dx; \quad M = \frac{P}{2} X; \quad Q = \frac{P}{2};$$

$$\begin{aligned} f_{ум} &= \frac{\partial U}{\partial P} = 2 \int_0^{l/2} \left( \frac{M}{EF} \cdot \frac{\partial M}{\partial P} + k \frac{Q}{GF} \cdot \frac{\partial Q}{\partial P} \right) dx = \\ &= 2 \int_0^{l/2} \left( \frac{P}{2EI} \cdot \frac{X}{2} + k \frac{P}{2GF} \right) dx, \end{aligned}$$

Интеграл ҳисобланиб, берилганлар ҳисобга олинса:

$$f_{ум} = 0,629 \text{ см. } f_{силж} = 0,05 \text{ см} = 0,8\%$$

бўлади.

182. 472-шаклда тасвирланган эластик системанинг горизонтал реакцияси  $X$  аниқлансин.

Е ч и ш. Номълум реакция  $X$  система  $AB$  қисмининг эгилиш шартидан аниқланади. Бу қисмининг  $X$  оралиқдаги қўндаланг кесимидаги эгувчи момент  $M = Pa - Xx$ . Бу ҳол учун минимал иш теоремасини татбиқ қиламиз:

$$\begin{aligned} \frac{\partial U}{\partial X} &= \frac{\partial}{\partial X} \int_0^l \frac{M^2}{2EI} dx = \frac{1}{EI} \int_0^l M \frac{\partial M}{\partial X} dx = \\ &= \frac{1}{EI} \int_0^l (Pa - Xx)(-x) dx = 0; \end{aligned}$$

бу интегрални ҳисоблаб  $\frac{Xl^3}{3} = \frac{Pa l^2}{2} = 0$  тенгламани оламиз; бундан

$$X = \frac{3}{2} \cdot \frac{Pa}{l}.$$

183. Бутун (кесилмаган) балка уч таянчга тиралган бўлиб (473-шакл), унги томонидаги балкага қўйилган ва интенсивлиги  $q$  га тенг ёйилган юк таъсирида эгилади. Берилган балканинг таянч реакциялари аниқлансин.

Ечиш. Масалани Максвелл теоремаси ёрдамида ечамиз. Асосий ва ёрдамчи системалар 473-шакл,  $a$  ва  $b$  да тасвирланган. Бу масала учун Максвелл тенгламаси қуйидагича ёзилади:

$$Bf_B - \int_0^l wq dx = 0.$$

$w$  нинг ифодасини тегишли жадвалдан оламиз.  $w = \frac{3(2l)^2 x - 4x^3}{48EI} = \frac{3l^2 x - x^3}{12EI}$ ;

$$\int_0^l wq dx = \frac{q}{12EI} \int_0^l (3l^2 x - x^3) dx = \frac{5ql^4}{48EI};$$

$$f_B = \frac{1 \cdot (2l)^3}{48EI} = \frac{8l^3}{48EI}$$

Буларни юқорида ёзилган тенгламага қўйиб, уни статика тенгламалари билан бирга ечсак, таянч реакциялари аниқланади:

$$A = -\frac{ql}{16}; \quad B = \frac{5}{8}ql; \quad C = \frac{7}{16}ql.$$

□

## XIX боб

### ЭГРИ СТЕРЖЕНЛАР ҲИСОБИ

#### 134-§. Эгри стержень кесимида ҳосил бўладиган кучланишлар

Машина ва иншоот элементларида тўғри ўқли стерженлар билан бир қаторда, эгри ўқли стерженлар ҳам бўлади. Эгри ўқли стерженларнинг мустаҳкамлигини текширишда қуйидаги шартлар назарда тутилиши зарур:

1. Эгри стержень кўндаланг кесимининг энг камида битта симметрия ўқи бўлади.

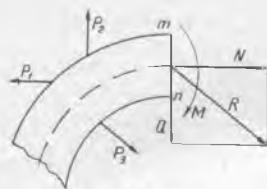
2. Эгри стержень ўқи текис эгри чизиқдан иборат бўлади ва симметрия текислигида ётади. Симметрия текислиги стерженнинг эгрилик текислиги бўлади.

3. Эгри стерженга қўйилган кучлар унинг симметрия текислигида ётади.

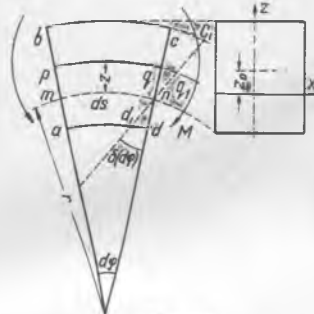
Бу шартларга мувофиқ, эгри ўқнинг деформацияси ҳам симметрия текислигида бўлиб, ўқ деформациядан кейин ҳам текис эгри чизиқлигича қолади. Бу шартлар асосида тузилдиган ҳисоб тенгламалари тажрибада учрайдиган барча ҳолларни асосан ўз ичига олади. Эгри стерженлардаги

кучланишларни текшириш учун тўғри стерженларнинг кучланишларини текширишда фойдаланилган усул ишлатилади.

$P_1, P_2, \dots, P_n$  кучлар таъсирида мувозанатда турган эгри стерженни бирор кўндаланг кесими  $m-n$  орқали кесиб, икки қисмга ажратамиз (474-шакл). Стерженнинг ўнг қисмини ташлаб, чап қисмининг мувозанатини текширёмиз. Ташланган ўнг қисмининг  $mn$  кўндаланг кесим бўйича кўрсатилган таъсири энг умумий ҳолда кесимнинг марказига қўйилган бир бош вектор  $R$  билан, симметрия текислигида ётувчи бир бош момент  $M$  га келтирилади.



474-шакл.



475-шакл.

Олдин кўндаланг кесим  $mn$  бўйича  $M$  таъсирида ҳосил бўладиган кучланишни текшираёмиз. Бунинг учун ташланган ўнг қисмга қўйилган кучларнинг  $mn$  кесим бўйича таъсири фақат  $M$  га келтирилади ва  $R = 0$  бўлади деб фараз қилаёмиз. Кўндаланг кесим бўйича ҳосил бўладиган кучланишнинг қандай қонун билан тарқалишини аниқлаш учун призма шаклидаги стерженларнинг эгилишини текширганда, қабул қилинган гипотезадан фойдаланамиз. Эгувчи момент  $M$  таъсирида кўндаланг кесим бўйича фақат нормал кучланиш ҳосил бўлиб, текис кўндаланг кесим эгилишдан кейин ҳам текислигича қолади. Бу гипотезага асосланиб чиқарилган натижанинг нақадар тўғрилиги ўтказилган назарий текширишлар ва тажрибалар билан тасдиқланган.

Эгри стержендан бир-бирига чексиз яқин иккита кўндаланг кесим билан чексиз кичик  $abcd$  элементни ажратамиз (475-шакл). Эгувчи момент  $M$  таъсирида  $cd$  кесим  $ab$  га нисбатан  $\delta$  ( $d\phi$ ) бурчаги қадар айланиб  $c_1d_1$  ҳолатини олади. Бунинг натижасида юқоридаги толалар чўзилади, пастдаги толалар эса сиқилади. Нейтрал қатлам  $mn$  устида ётган толаларнинг узунлиги  $ds$  деформация натижасида ўзгармайди. Бу нейтрал қатламдаги ёйнинг эгрилик радиусини  $r$  билан,  $mn = ds$  га тегишли марказий бурчакни  $d\phi$  билан белгилаймиз. У ҳолда:

$$ds = rd\phi$$

бўлади. Нейтрал қатламдан  $z$  масофага жойлашган бирор  $pq$  толанинг деформациягача бўлган узунлиги  $pq = (r+z)d\phi$  бўлади. Эгилиш натижасида бу тола  $qq_1$  узунликка чўзилади (абсолют чўзилиш):

$$qq_1 = z\delta(d\phi).$$

У толанинг нисбий чўзилиши:

$$\epsilon = \frac{qq_1}{pq} = \frac{z\delta(d\phi)}{(r+z)d\phi} \quad (a)$$

бўлади. Бўйлама толалар бир-бирига ҳеч қандай босим кўрсатмайдн деб ҳисоблаймиз ва Гук қонунидан фойдаланиб, нисбий чўзилишдан нормал кучланишни аниқлаймиз:

$$\sigma = E \frac{(\delta d\phi)}{d\phi} \cdot \frac{z}{r+z} \quad (134.1)$$

Ҳар бир кўндаланг кесим учун  $E \frac{\delta(d\varphi)}{d\varphi}$  ўзгармас сон бўлади, уни  $A$  билан белгиласак, нормал кучланиш қуйидагича ёзилади:

$$\sigma = A \frac{z}{r+z}$$

Кўндаланг кесим бўйича бу кучланишнинг тақсимланишини кўрсатувчи графиклар 476- шаклда берилган. Кўндаланг кесим  $ab$  нинг ҳар бир нуқтасига унга тик йўналган нормал кучланиш  $\sigma$  ни маълум масштабда қўйиб, уларнинг учларини туташтириш натижасида кучланиш графиги олинади. Юқорида чиқарилган (134.1) формуладан кўришиб турибдики, эгри стерженнинг кўндаланг кесимидаги нормал кучланишлар ҳосила баландлиги бўйича гиперболо қонуни билан тақсимланар экан. Бу гиперболанинг асимптотаси  $ab$  кесимга тик бўлиб, эгрилик маркази  $O$  дан ўтади.

Нормал кучланишни ифодаловчи (134.1) формулада иккита номаълум:  $r$  ва  $\frac{\delta(d\varphi)}{d\varphi}$  бор. Буларни аниқлаш учун мувозанат тенгламаларидан фойдаланамиз. Кўндаланг кесим бўйича барча ички қучларнинг йиғиндисини нолга, уларнинг нейтрал ўққа нисбатан олинган моментларининг йиғиндиси эса эғувчи момент  $M$  га тенгдир, яъни:

$$\int_F \sigma dF = E \frac{\delta(d\varphi)}{d\varphi} \int_F \frac{z}{r+z} dF = 0, \quad (b)$$

$$\int_F z \sigma dF = E \frac{\delta(d\varphi)}{d\varphi} \int_F \frac{z^2}{r+z} dF = M. \quad (c)$$

Биринчи тенгламадан:

$$\int_F \frac{z}{r+z} dF = 0. \quad (134.2)$$

Иккинчи тенгламанинг интегралини қуйидагича ёзамиз:

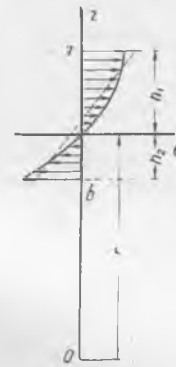
$$\int_F \frac{z^2}{r+z} dF = \int_F \frac{rz + z^2 - rz}{r+z} dF = \int_F \left( z - \frac{rz}{r+z} \right) dF = \int_F z dF - r \int_F \frac{z}{r+z} dF.$$

(134.2) га мувофиқ бу интеграл нолга, биринчи интеграл эса кўндаланг кесим юзасининг нейтрал ўққа нисбатан статик моментига тенг. Шунинг учун:

$$\int_F \frac{z^2}{r+z} dF = \int_F z dF = S = Fz_0. \quad (134.3)$$

$z_0$  — кўндаланг кесимнинг нейтрал ўқи билан оғирлик маркази орасидаги масофа (134.3) ни (c) тенгламага қўйиб қуйидаги муносабатни ҳосил қиламиз:

$$E \frac{\delta(d\varphi)}{d\varphi} = \frac{M}{S}. \quad (134.4)$$



476- шакл

Бу назарга олинса, нормал кучланиш формуласи (134.1) қуйидагича ёзилади:

$$\sigma = \frac{M}{S} \frac{z}{r+z}. \quad (134.5)$$

Энг катта чўзувчи ва сиқувчи кучланиш учун қуйидаги формулаларни оламиз:

$$\sigma_{\max} = \frac{M}{S} \frac{h_1}{r+h_1} \quad \text{ва} \quad \sigma_{\min} = -\frac{M}{S} \frac{h_2}{r-h_2}. \quad (134.6)$$

Демак, эгри стерженнинг эгилишидаги нормал кучланишларни ҳисоблаш учун кўндаланг кесим нейтрал ўқининг ҳолатини, яъни  $r$  ни аниқлаш зарур бўлар экан. Нейтрал ўқининг ҳолатини аниқламасдан,  $S$  ни ҳисоблаб бўлмайди, чунки  $S = Fz_0 = F(\rho - r)$  бўлиб, бу ерда  $\rho$  — кўндаланг кесимларнинг оғирлик марказларини туташтирувчи ўқининг эгрилик радиуси,  $r$  — нейтрал ўқининг эгрилик радиуси. Бу миқдорларни ҳар бир хусусий ҳол учун аниқлаш қийин эмас.

Кўндаланг кесимнинг ўлчамлари нейтрал ўқининг радиусига нисбатан жуда кичик бўлса, (134.2) формуланинг махражидagi  $z$  ни  $r - 2R$  нисбатан ҳисобга оymasлик мумкин: у ҳолда (134.2) формула  $s = sz \cdot dF = 0$  кўринишда ёзилади. Демак, ингичка стерженлар учун нейтрал ўқ марказий ўқ бўлар экан. Бу ҳолда (134.4) тенглама қуйидагича ёзилади:

$$E \frac{\delta(d\varphi)}{d\varphi} = \frac{rM}{I} \quad \text{ёки} \quad \delta(d\varphi) = \frac{M dS}{EI}. \quad (134.7)$$

Шунингдек, (134.5) формула ҳам тўғри балкалар кўндаланг кесимида ҳосил бўладиган нормал кучланишлар формуласига ўхшаш формулага айланади. Кейинча, қандай шарт бажарилганда гипербола қонуни билан ўзгарувчи кучланишни чизиқли қонун билан ўзгаради деб ҳисоблаш мумкинлигини кўрсатиб ўтамиз.

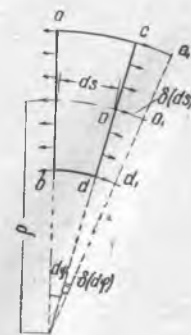
Энди  $R$  нинг таъсирини ҳисобга оламиз. Уни иккита ташкил этувчига ажратамиз. Улардан бири кўндаланг кесим юзасига тик йўналган  $N$  ва иккинчиси кесим юзасида ётувчи  $Q$  бўлсин. Нормал зуриқиш кўндаланг кесим бўйича тенг ёйилган ҳолда толаларда  $\frac{N}{EF}$  нисбий чўзилишни ҳосил қилади;  $ab$  ва  $cd$  кесимлар орасидаги элемент чўзилиб,  $cd$  кесим  $c_1d_1$  ҳолатни олади (477- шакл). Абсолют чўзилиш тола узунлигига пропорционал бўлгани учун эгрилик маркази  $O$  гача бўлган масофага ҳам пропорционал бўлади. Шунинг учун  $c_1d_1$  йўналиши эгрилик маркази  $O$  дан ўтади. Бу тарздаги деформация натижасида стерженнинг эгрилик радиуси ўзгармайди, лекин иккита кўшни кўндаланг кесим орасидаги  $d\varphi$  бурчак ўзгаради. Бу ўзгариш  $\delta(d\varphi) = \frac{\delta(\varphi s)}{\rho}$  бўлади. Бу ерда  $\rho$  стержень ўқининг радиуси нисбий чўзилишни шу бурчак орқали ифодалаймиз:

$$\frac{\delta dS}{dS} = \frac{\delta(d\varphi)}{d\varphi} = \frac{N}{EF},$$

бундан:

$$\delta(d\varphi) = \frac{N}{EF} d\varphi. \quad (134.8)$$

Нормал зуриқиш таъсирида ҳосил бўладиган нор-



477- шакл.

мал кучланиш  $\frac{N}{F}$  ни эгилишда ҳосил бўладиган максимал нормал кучланиш (134.6) га қўшиш зарур. У ҳолда ҳисоб тенгламаси қуйидагича ёзилади:

$$\left. \begin{aligned} \sigma_{\max} &= \frac{N}{F} + \frac{M}{S} \frac{h_1}{r+h_1} \leq [\sigma], \\ \sigma_{\max} &= \frac{N}{F} - \frac{M}{S} \frac{h_2}{r-h_2} \leq [\sigma]. \end{aligned} \right\} \quad (134.9)$$

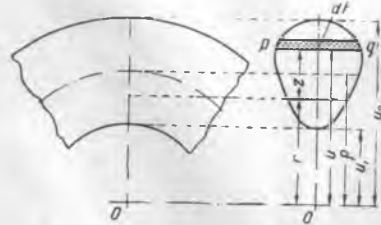
Кўндаланг куч  $Q$  тангенциал кучланишлар ҳосил қилади. Бу кучланишларнинг эгри стерженлар эгилишига қўрсатадиган таъсири кам бўлгани учун уларни эътиборга олмаслигимиз ҳам мумкин. Бу кучланишларнинг қийматини эътиборга олиш зарур бўлиб қолган ҳолларда, уларнинг қиймати тўғри ўқли балка учун қандай бўлса, эгри стержень учун ҳам худди шундай қилиб олинади.

### 135-§. Эгри стержень кўндаланг кесими нейтрал ўқининг ҳолатини аниқлаш

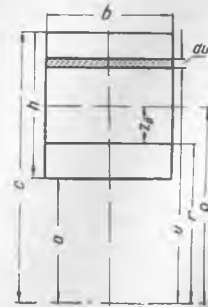
Текис кесим гипотезасига мувофиқ чиқарилган (134.5) формула билан нормал кучланишни ҳисоблаш учун кўндаланг кесим нейтрал ўқининг ҳолатини аниқлаш зарур. Бунинг учун (134.2) формуладан фойдаланамиз. Бу формуладаги  $r$  ни аниқлаш учун  $z$  нинг ўрнига бошқа ўзгарувчи киритиб, уни нейтрал ўққа эмас, балки эгрилик марказидан ўтувчи горизонтал ўққа нисбатан аниқлаймиз (478-шакл). Кўндаланг кесимдаги бирор  $pq$  юзачанинг эгрилик марказидан ўтувчи ўққача бўлган масофасини  $u$  десак,  $z = u - r$  бўлади. Буни (134.7) тенгламага қўйиб,  $r$  ни аниқлаш учун қуйидаги формулани оламиз:

$$r = \frac{F}{\int_{u_1}^{u_2} \frac{dF}{u}} \quad (135.1)$$

Бу формуладан ҳар хил шкалли кесимлар учун нейтрал ўқ ҳолатини аниқловчи радиусни топишимиз мумкин. Масалан, тўғри тўртбурчак шаклидаги кўндаланг кесим учун  $r$  ни ҳисоблаймиз (479-шакл). Стержень кўндаланг кесимининг юзаси  $F = bh$  стержень кўндаланг кесимидан ажратилган элементнинг юзаси  $dF = b du$  ва эгри стерженнинг ички радиуси  $a$ ,



478-шакл.



479-шакл.

ташқи радиусни  $C$  бўлсин;  $u$  ҳолда нейтрал ўқ ҳолатини қуйидагича аниқлаймиз:

$$r = \frac{bh}{b \cdot \ln \frac{c}{a}} \quad (135.2)$$

Шаклда кўрсатилган  $C$  билан  $a$  нинг қийматини эгри стержень марказий ўқининг радиуси  $\rho$  ва кўндаланг кесим баландлиги  $h$  орқали ифодалаймиз:

$$\ln \frac{c}{a} = \ln \frac{\rho + \frac{h}{2}}{\rho - \frac{h}{2}} = \ln \frac{1 + \frac{h}{2\rho}}{1 - \frac{h}{2\rho}} = \ln \frac{1+x}{1-x},$$

бу ерда

$$x = \frac{h}{2\rho} < 1.$$

Бу ифодани қатор шаклида ёзамиз:

$$\lg \frac{1 + \frac{h}{2\rho}}{1 - \frac{h}{2\rho}} = \frac{h}{\rho} \left\{ 1 + \frac{1}{3} \left( \frac{h}{2\rho} \right)^2 + \frac{1}{5} \left( \frac{h}{2\rho} \right)^4 + \dots \right\},$$

шунинг учун:

$$r = \frac{\rho}{1 + \frac{1}{3} \left( \frac{h}{2\rho} \right)^2 + \frac{1}{5} \left( \frac{h}{2\rho} \right)^4 + \dots}$$

Нейтрал ўқ билан марказий ўқ оралигини қуйидаги ифода орқали аниқлаймиз:

$$z_0 = \rho - r = \rho - \frac{\rho}{1 + \frac{1}{3} \left( \frac{h}{2\rho} \right)^2 + \frac{1}{5} \left( \frac{h}{2\rho} \right)^4 + \dots}$$

Бу ифоданинг биринчи тақрибий қийматини олиш учун махраждаги ифоданинг биринчи икки ҳади билан чекланамиз:

$$z_0 = \rho \left\{ 1 - \frac{1}{1 + \frac{1}{3} \left( \frac{h}{2\rho} \right)^2} \right\} \approx \frac{h^2}{12\rho} \quad (135.3)$$

Юқоридаги қаторнинг биринчи уч ҳади олинса,  $z_0$  нинг иккинчи тақрибий қиймати келиб чиқади:

$$z_0 = \frac{h^2}{12\rho} \left[ 1 + \frac{4}{15} \left( \frac{h}{2\rho} \right)^2 \right]. \quad (135.4)$$

Бундан кўрамизки,  $\frac{h}{\rho}$  нинг қиймати камайган сари  $z_0$  ҳам камайиб, нейтрал ўқ марказий ўққа яқинлаша боради. Қуйида келтирилган жадвалда  $\frac{\rho}{h}$  нинг турли қийматлари учун (134.5) формуладан ҳисобланган ва гиперболо қонуни билан ўзгарувчи кучланишларнинг максимал ва минимал қийматлари чизиқли қонун асосида ҳисобланган максимал ва минимал нормал кучланишлар қиймати билан таққосланган.

## Нормал кучланишларнинг гипербола ва чизиқли қонун билан ҳисобланган қийматларини таққослаш

| $\frac{\rho}{h}$ | Гипербола қонуни билан ҳисобланган кучланишлар          |   | Чизиқли қонун билан ҳисобланган кучланишлар |                                    | Чизиқли қонун билан олинган натижанинг хатолиги, % ҳисобида |
|------------------|---|---|---|------------------------------------|---|
|                  | $\frac{h_1}{r+h_1}$<br>$\frac{M}{S}$<br>$\sigma_{\max}$ | $\frac{h_2}{r-h_2}$<br>$\frac{M}{S}$<br>$\sigma_{\min}$ | $\frac{M}{W_2}$<br>$\sigma_{\max}$          | $\frac{M}{W_2}$<br>$\sigma_{\min}$ |   |
| 1                | 9,2   | -4,4  | 6   | -6                                 | 35  |
| 2                | 14,4  | -10,3   | 12  | -12                                | 17  |
| 3                | 20,2  | -16,1   | 18  | -18                                | 10,9  |
| 4                | 26,2  | -22,2   | 24  | -24                                | 9,2   |
| 10               | 62,0  | -58,0   | 60  | -60                                | 3,2   |

Жадвалдан кўриниб турибдики,  $\frac{\rho}{h} > 10$  бўлганда, эгри стержень учун кучланишларни тўғри стерженларга татбиқ қилинган формула билан ҳисобласа бўлар экан, чунки улар орасида жуда кам фарқ бўлади.  $\frac{\rho}{h} > 5$  бўлганда стерженлар «кичик эгриликли» стерженлар деб аталади. Бу стерженларга кўприк аркаларини, гумбазларни ва шу кабиларни мисол қилиб кўрсатиш мумкин.  $\frac{\rho}{h} < 5$  бўлганда стерженлар «катта эгриликли» стерженлар дейилади. Бу тарздаги эгри стерженлар машина қисмлари шаклида кўпроқ учратилади. Масалан, ҳалқалар, занжир звенолари, юк кўтарадиган илмоқлар ва ҳоказо. Бундай эгри стерженлардаги кучланишлар фақат (134.5) формуладан фойдаланиб ҳисобланади.

## 136-§. Баъзи хусусий ҳоллар учун нейтрал қатламнинг эгрилик радиусини аниқлаш

Қўндаланг кесими шакли трапеция бўлган ҳол учун нейтрал қатламнинг эгрилик радиусини аниқлаймиз (480-шакл). Стерженнинг эгрилик марказидан ўтувчи  $OO$  ўқдан  $u$  масофадаги штрихланган юзачанинг кенглиги:

$$b = b_2 + (b_1 - b_2) \frac{c-u}{c-a}$$

бўлади. Шунинг учун:

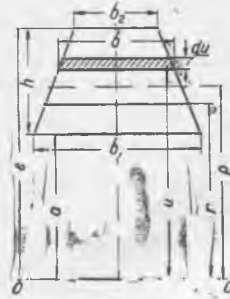
$$dF = b du = \left\{ b_2 + (b_1 - b_2) \frac{c-u}{c-a} \right\} du; \quad F = \frac{b_1 + b_2}{2} h.$$

Буларни (135. 1) га қўйсақ:

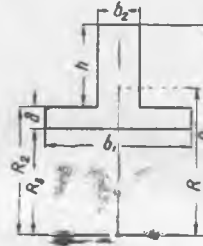
$$r = \frac{F}{\int \frac{dF}{u}} = \frac{F}{\frac{b_1 c - b_2 a}{h} \ln \frac{c}{a} - (b_1 - b_2)} \quad (136.1)$$

келиб чиқади.  $b_1 = b_2 = b$  бўлса, бу формуладан яна тўғри тўртбурчак учун чиқарилган (135. 2) ни оламиз.  $b_2 = 0$  деб олсак, учбурчак кесим учун нейтрал қатламнинг эгрилик радиусини аниқлаган бўламиз:

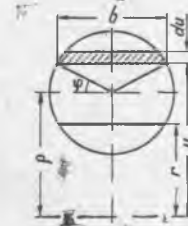
$$r = \frac{h^2}{2c \ln \frac{c}{a} - 2h} \quad (136. 2)$$



480-шакл.



481-шакл.



482-шакл.

Таврли кесим учун нейтрал қатламнинг эгрилик радиуси (481-шакл) қуйидагича ҳисобланади:

$$r = \frac{b_1 \delta + b_2 h_1}{b_1 \int_{R_2}^{R_1} \frac{du}{u} + b_2 \int_{R_2}^{R_1} \frac{du}{u}} = \frac{b_1 \delta + b_2 h_1}{b_1 \ln \frac{R_1}{R_2} + b_2 \ln \frac{R_1}{R_2}} \quad (136.3)$$

Худди шу тарзда қўштаврли кесим учун ҳам нейтрал қатламнинг эгрилик радиусини аниқлаш мумкин.

Доира шаклидаги кесим учун нейтрал қатламнинг эгрилик радиусини аниқлаймиз (482-шакл). Доиранинг диаметрини  $d$  билан белгилаймиз ва доирадан горизонтал диаметрга параллел  $dF$  юзачани ажратамиз. Бу элементнинг юзаси  $dF$  ни ва  $u$  ни марказий бурчак  $\varphi$  нинг функциялари тарзида ифодалаймиз:

$$u = \rho - \frac{d}{2} \sin \varphi; \quad dF = b du; \quad b = d \cos \varphi; \quad du = \frac{d}{2} \cos \varphi d \varphi.$$

Шунинг учун:  $dF = \frac{d^2}{2} \cos^2 \varphi d \varphi$  бўлади; олдин (135. 1) нинг махражини аниқлаймиз:

$$\int_{-\frac{\pi}{2}}^{\frac{\pi}{2}} \frac{dF}{u} = \int_{-\frac{\pi}{2}}^{\frac{\pi}{2}} \frac{d^2 \cos^2 \varphi d \varphi}{2\rho - d^2 \sin \varphi}$$

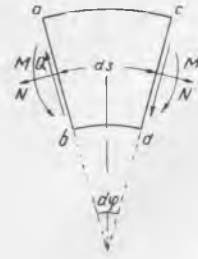
Бу интегрални ҳисоблаб,  $r$  ни қуйидагича ёзамиз:

$$r = \frac{d^2}{u [2\rho - \sqrt{4\rho^2 - d^2}]} \quad (136. 4)$$

134 ва 135-параграфларда баён қилинган материаллар асосан, рус академиги А. Р. Гадолин томонидан берилган. Тўғри тўртбурчак кесимли эгри стерженларнинг аниқ назариясини рус олимларидан Х. Головин текширган.

## 137-§. Эгри стерженларнинг деформацияси

Эгри стержень нуқталарининг ташқи кучлар таъсирида кўчишни Кастильяно теоремасидан ёки Мор усулидан фойдаланиб аниқлаш энг қулайдир. Кастильяно теоремасидан фойдаланиш учун эгри стержень деформацияси потенциал энергиясининг ифодасини аниқлаш зарур. Бунинг учун бир-бирига чексиз яқин  $ab$  ва  $cd$  кесимлар билан эгри стержендан бир элемент ажратиб оламиз (483-шакл). Энг умумий ҳолда бу элементга эгувчи момент  $M$ , нормал куч  $N$  ва кесиб ўтувчи куч  $Q$  таъсир қилади. Бу кучлар бажарадиган ишларнинг ифодасини тузамиз. Ажратилган элемент  $ab$  ва  $cd$  кесимларининг бир-бири билан тузган бурчаги  $d\varphi$  момент  $M$  таъсирида  $\delta(d\varphi)$  га ўзгаради; бунинг натижасида  $M$  моментнинг бажарган иши  $\frac{M\delta(d\varphi)}{2}$



483-шакл.

га тенг бўлади. Элементар бурчакнинг орттирмаси  $\delta(d\varphi)$  нинг қийматини (29.4) дан келтириб қўямиз, у ҳолда:

$$\frac{M\delta(d\varphi)}{2} = \frac{M^2 d\varphi}{2SE} = \frac{M^2 dS}{2SE\rho} \quad (a)$$

бўлади.

Нормал зўриқиш элементни стерженнинг ўқи бўйича чўзади, унинг бажарган иши:

$$\frac{N^2 dS}{2EF} \quad (b)$$

га тенг. Бундан ташқари, нормал куч элементар бурчак  $d\varphi$  ни  $\delta(d\varphi)$  миқдорга ўзгартиради ва бу ўзгаришда  $M$  қўшимча иш бажаради,  $\delta(d\varphi)$  нинг қиймати (134.8) формуладан топилади. Демак эгувчи моментнинг шу кўчишда бажарган иши қуйидаги формула билан аниқланади:

$$M\delta(d\varphi) = \frac{MN}{EF} d\varphi = \frac{MN dS}{EF\rho}. \quad (c)$$

Кесиб ўтувчи куч  $Q$  нинг иши, тўғри стержень учун қандай бўлса, бу ҳолда ҳам худди шундай бўлади, шунинг учун у (122.2) формуладан аниқланади. Сон жиҳатдан бу ишга тенг бўлган энергияни ва (a), (b), (c) формулалар билан ифодаланувчи энергияларни ўзаро қўшиб, ажратилган элементда тўпланган энергияни ҳисоблаймиз:

$$dU = \frac{M^2 dS}{2ES\rho} + \frac{N^2 dS}{2EF} + \frac{MN dS}{EF\rho} + k \frac{Q^2 dS}{2GF}.$$

Эгри стерженда тўпланган тўла энергияни ҳисоблаш учун буни интеграллаймиз:

$$U = \int_0^s \left( \frac{M^2}{2ES\rho} + \frac{N^2}{2EF} + \frac{MN}{EF\rho} + k \frac{Q^2}{2GF} \right) dS. \quad (137.1)$$

Амалда деформацияни аниқлаш масаласи кўпинча «кичик эгриликли» стерженлар учун талаб қилинади, шунинг учун (136.1) формуладаги кейинги икки ҳадни эътиборга олмаслик ва  $S\rho$  ни стержень кўндаланг кесимининг инерция моменти  $I$  билан алмаштириш мумкин. У ҳолда:

$$U = \int_0^s \left( \frac{M^2}{2EI} + \frac{N^2}{2EF} \right) dS \quad (137.2)$$

бўлади.

Бу тақрибий формуланинг қанчалик аниқлигини хусусий ҳолларни текширишда кўриб ўтаемиз.

Энди Кастильяно теоремасидан фойдаланиб, бирор кесим марказининг шу кесимга қўйилган  $P$  куч йўналишидаги кўчишини ва айна кесимнинг унга қўйилган  $M_0$  момент таъсирида айланишини аниқлаймиз:

$$\left. \begin{aligned} \delta &= \frac{\partial U}{\partial P} = \int_0^s \left( \frac{M}{EI} \frac{\partial M}{\partial P} + \frac{N}{EF} \frac{\partial N}{\partial P} \right) dS; \\ \theta &= \frac{\partial U}{\partial M_0} = \int_0^s \left( \frac{M}{EI} \frac{\partial M}{\partial M_0} + \frac{N}{EF} \frac{\partial N}{\partial M_0} \right) ds \end{aligned} \right\} \quad (137.3)$$

$\frac{\partial M}{\partial P}$ ,  $\frac{\partial M}{\partial M_0}$  ни бирлик куч ва бирлик жуфтнинг моменти деб,  $\frac{\partial N}{\partial P}$  ва  $\frac{\partial N}{\partial M_0}$  ни бирлик куч ва бирлик жуфтдан ҳосил бўлган нормал зўриқиш деб қарасак, уларни тегишлича  $M^0$  ва  $N^0$  орқали белгилаб, (137.3) ни Мор формуласи билан алмаштиришимиз мумкин:

$$\delta = \int_0^s \left( \frac{MM^0}{EI} + \frac{NN^0}{EF} \right) dS. \quad (137.4)$$

Бу формулаларни хусусий ҳоллар учун татбиқ қиламиз. Мисол учун, марказий ўқининг радиуси  $R$  бўлган ва бир учи  $A$  қистириб тиралган чорак айлана шаклидаги стерженни оламиз (484-шакл). Унинг эркин учига вертикал йўналган  $P$  куч қўйилган бўлсин.  $B$  нуқтанинг вертикал кўчишини аниқлаймиз. Куч йўналиши кўчиш йўналишига мос келгани учун (137.3) формуланинг биринчи қисмидан бевосита  $B$  нуқтанинг вертикал кўчишини аниқлаймиз. Бунинг учун олдин  $M$  ва  $N$  ни ҳамда уларнинг ҳосилаларини ҳисоблаймиз:

$$\begin{aligned} M &= PR \sin \varphi; & \frac{\partial M}{\partial P} &= R \sin \varphi; & N &= -P \sin \varphi; \\ \frac{\partial N}{\partial P} &= -\sin \varphi; & dS &= R d\varphi. \end{aligned}$$

Эгри стерженнинг ҳамма кесимларида  $M$  ва  $N$  битта тенглама билан ифодалангани учун интеграллаш битта участкада — 0 билан  $\frac{\pi}{2}$  чегараларда олинади. Аниқланган миқдорларни (137.3) га қўямиз:

$$\begin{aligned} \delta &= \int_0^{\frac{\pi}{2}} \frac{PR^3 \sin^2 \varphi d\varphi}{EI} + \int_0^{\frac{\pi}{2}} \frac{PR \sin \varphi d\varphi}{EF} = \left( \frac{PR^3}{EI} + \frac{PR}{EF} \right) \int_0^{\frac{\pi}{2}} \sin^2 \varphi d\varphi = \\ &= \left( \frac{PR^3}{EI} + \frac{PR}{EF} \right) \frac{\pi}{4} = \frac{\pi PR^3}{4EI} \left( 1 + \frac{r_0^2}{R^2} \right); \end{aligned}$$

бу ерда  $r_0$  — кундаланг кесим юзасининг инерция радиуси. Қавс ичидаги икки ҳаддан биринчиси  $B$  нуқтанинг пасайишига эгувчи моментнинг ҳиссасини ифодаласа, иккинчи ҳад  $\frac{r_0^2}{R^2}$  нормал зўриқишнинг ҳиссасини ифода-

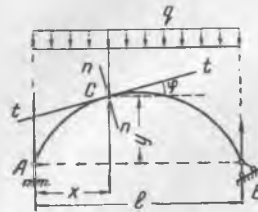


484-шакл

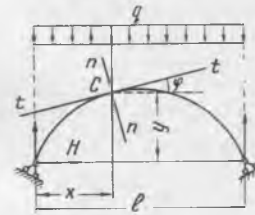
лайди.  $\frac{r_0^2}{R^2}$  нисбат, кўпинча, жуда кичик сон бўлгани учун, уни ҳисобга олмаса ҳам бўлади.

### 138-§. Икки шарнирли аркалар ҳисоби

Геометрик ўқи эгри чизиқдан иборат бўлган ва таянчлари  $a$  вертикал йўналган юклар таъсирида вертикал йўналган реакциялардан ташқари горизонтал йўналган реакциялар ҳам ҳосил бўладиган конструкциялар арка деб аталади. Бу горизонтал реакция кериб турувчи реакция кучи деб аталади. Аркалар балкага қараганда иқтисодий жиҳатдан афзал ҳисобланади. Бунини исбот қилиш учун чап таянчи қўзғалувчи, тенг ёйилган юк таъсирида бўлган тўғри тўртбурчак кесимли эгри ўқли балкани оламиз (485-шакл). Унинг  $C$  кесимидаги эғувчи момент:



485- шакл



486- шакл

$$M = Ax - \frac{qx^2}{2}.$$

$A = \frac{ql}{2}$  бўлгани учун  $M = \frac{qx}{2}(l-x)$  кесимдаги нормал куч  $N$  ни аниқлаш учун шу кесимнинг чап томонидаги барча кучларни  $C$  нуқтага ўтказилган уринма  $t-t$  тўғри чизиққа проекциялаб, проекцияларнинг йиғиндисини  $N$  га тенглаштирамиз:

$$N = A \sin \varphi + qx \sin \varphi = (A - qx) \sin \varphi = Q \sin \varphi;$$

бу ерда  $Q$  текширилаётган  $C$  кесимдаги кўндаланг куч.  $C$  кесимда  $M$  ва  $N$  таъсирида ҳосил бўладиган максимал нормал кучланиш:

$$\sigma = \frac{Q \sin \varphi}{bh} + \frac{3qx(l-x)}{bh^2}$$

бўлади. Энди, чап таянчни қўзғалмас қилиб олиб ва унда горизонтал йўналган  $H$  реакция кучи ҳосил қилиб,  $C$  кесимдаги кучланишнинг қандай ўзгаришини текширамиз (486-шакл).

Бу ҳолда эғувчи моментнинг миқдори камаяди ва унинг қиймати қуйидагича бўлади:

$$M = \frac{qx}{2}(l-x) - Hy, \quad (a)$$

бу ерда  $H$  — горизонтал реакция ёки кериб турувчи реакция кучи,  $y$  —  $C$  нуқтанинг ординатаси.

$C$  кесимдаги нормал куч  $N$  ҳам ўзгаради:

$$N = Q \sin \varphi + H \cos \varphi. \quad (b)$$

Кесимдаги нормал кучланиш, бир томондан, эгувчи момент озайиши туфайли камаяди, иккинчи томондан  $N$  нинг ортиши билан тегишли кучланиш ҳам қуйидаги миқдорча ортади:

$$\frac{H \cos \varphi}{bh}$$

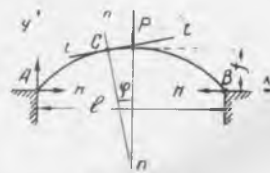
Эгувчи моментнинг озайишидан ҳосил бўлган кучланишнинг қиймати

$$\frac{Hy}{W} = \frac{6Hy}{bh^2}$$

бўлади. Кучланишлар ўзгаришидаги нисбатни текшираимиз:

$$\frac{6Hy}{bh^2} : \frac{H \cos \varphi}{bh} = \frac{6y}{h \cos \varphi} > 1;$$

масалан,  $y = 3$  м,  $h = 1$  м ва  $\cos \varphi = 0.9$  бўлса,  $\frac{6y}{h \cos \varphi} = 20$  бўлади. Бундан кўриниб турибдики, кериб турувчи реакция кучининг мавжуд бўлиши момент таъсирида ҳосил бўладиган кучланишни қўшимча нормал кучдан ҳосил бўладиган кучланишга қараганда 20 марта камайтирар экан. Шунинг учун эгри ўқли балкаларда горизонтал реакциянинг мавжуд бўлиши балканинг ишлашини анчагина оширади.



487-шакл.

Энди таянчлари битта горизонтал текисликда ётувчи вертикал юк таъсирида бўлган икки шарнирли аркани текшираимиз (487-шакл). Арканинг вертикал реакциялари  $A$  ва  $B$  ни бевосита статика тенгласидан аниқласа бўлади, ammo таянч шарнирларидаги горизонтал реакциялар бир-бирига тенг ва қарама-қарши йўналганлиги сабабли уни

статика тенгламалари билан аниқлаб бўлмайди. Горизонтал реакцияларни энг кичик иш теоремасини татбиқ этиб топамиз. Бу унинг учун эгрилиги кичик стерженлар учун чиқарилган потенциал энергия ифодасидан фойдаланамиз. У ҳолда горизонтал реакция  $H$  ни ҳисоблаш учун қуйидаги тенгламани оламиз:

$$\frac{\partial U}{\partial H} = \frac{\partial}{\partial H} \int_0^s \left( \frac{M^2}{2EI} + \frac{N^2}{2EF} \right) ds = 0. \quad (c)$$

$S$  кесимдаги эгувчи моментни топамиз:

$$M = M_0 - Hy; \quad (d)$$

бу ерда  $M_0$  шу аркага қўйилган юкни икки таянчда ётувчи балкага мослаб қўйиб, арка кесимига мос келган балка кесимидаги эгувчи момент.

Эгрилиги кичик арка учун  $\sin \varphi = 0$ ,  $\cos \varphi = 0$  деб олиб, (b) тенгликдан  $N = H$  ни ҳосил қиламиз. Буни кўзда тутиб, (c) дан қуйидаги тенгламани чиқарамиз:

$$\begin{aligned} \text{бундан:} \quad & - \int_0^h \frac{(M_0 - Hy)y}{EI} ds + \int_0^s \frac{H ds}{EF} = 0; \\ & H = \frac{\int_0^s \frac{M_0 y ds}{EI}}{\int_0^s \frac{y^2 ds}{EI} + \int_0^s \frac{ds}{EF}}. \end{aligned} \quad (138. 1)$$

Бу формуланинг махражидаги иккинчи ҳад арка стерженининг нормал куч таъсиридан қисқариши бўлиб, у кўп ҳолларда жуда кичик бўлганлигидан уни эътиборга олмаслик ҳам мумкин. Бу ҳолда ўзгармас кўндаланг кесим учун (138. 1) тенглама қуйидагича ёзилади:

$$H = \frac{\int_0^s M_0 y ds}{\int_0^s y^2 ds} \quad (138. 2)$$

Мисол тариқасида тенг ёйилган вертикал юк таъсири бўлган параболик аркани оламиз. Арка ўқининг тенгламасини қуйидагича ёзиш мумкин:

$$y = \frac{4fx(l-x)}{l^2}. \quad (e)$$

Эгувчи момент:

$$M_0 = \frac{qx}{2} (l-x). \quad (к)$$

(e) ва (к) дан чиққан қийматларни (138. 2) га қўйиб,  $H$  ни топамиз:

$$H = \frac{ql^2}{8f}. \quad (3)$$

**МАСАЛАЛАР**

**184. 488-** шаклда парчинлаш машинасининг станиниси схематик равишда тасвирланган. Станина пулатдан қуйилган бўлиб, унинг учун рухсат этилган кучланиш  $[\sigma] = 900 \text{ кг/см}^2$ .  $AB$  кесими учун мустаҳкамлик шarti текширилсин.

Е ч и ш.  $AB$  кесимнинг оғирлик марказига нисбатан эгувчи момент:

$$M = 10\,000 (150 + 5) - 2\,300\,000 \text{ кг/см};$$

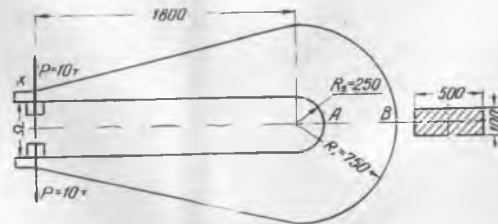
кесимга таъсир қилувчи нормал куч:

$N = 10\,000 \text{ кг}$ . Нейтрал ўқининг радиуси:

$$r = \frac{5}{\ln \frac{75}{25}} = \frac{5}{\ln 3} = \frac{5}{1,099} = 455 \text{ мм} = 45,5 \text{ см}.$$

Кесимнинг нейтрал ўқи билан оғирлик марказининг оралнги:

$$z_0 = 50 - 45,5 = 4,5 \text{ см}.$$



488- шакл.

Нейтрал ўқдан энг четдаги толаларгача бўлган масофалар:

$$h_1 = 75 - 45,5 = 29,5 \text{ см},$$

$$h_2 = 45,5 - 25 = 20,5 \text{ см}.$$

Энг катта кучланиш кесимнинг  $A$  нуқтасида ҳосил бўлади:

$$\sigma_{\max} = \frac{N}{F} + \frac{M}{Fz_0} \frac{h_2}{R_2} = \frac{10\,000}{50 \cdot 10} + \frac{2\,300\,000 \cdot 20,5}{50 \cdot 10 \cdot 4,5 \cdot 25} = 20 + 838 = 835 \text{ кг/см}^2 < 900.$$

185. Эгри стерженнинг кўндаланг кесими тўғри тўртбурчак бўлиб, у  $M = 6\,000 \text{ кг} \cdot \text{см}$  момент таъсирида соф эгилади; унинг кўндаланг кесими учун нормал кучланишлар эпюраси қурилсин. Ташқи толаларнинг эгрилик радиуси  $R_1 = 7 \text{ см}$ , ички толаларники эса  $R_2 = 3 \text{ см}$ , кесим юзасининг кенглиги  $b = 2 \text{ см}$ . Қурилган эпюра тўғри ўқли стержень учун чиқарилган формулага мувофиқ ҳисоблаб қурилган кучланишлар эпюраси билан таққослансин.

Е ч и ш. Олдин нейтрал ўқ радиусини аниқлаймиз:

$$r = \frac{h}{\ln \frac{R_1}{R_2}} = \frac{4}{0,8473} = 4,72 \text{ см},$$

$$z_0 = \frac{R_1 - R_2}{2} - r = 5 - 4,72 = 0,28 \text{ см}.$$

Нейтрал ўқдан  $z$  масофада таъсир қилувчи кучланиш (134. 2) га мувофиқ қуйдаги гиперболик қонун билан ўзгаради:

$$\sigma = \frac{M}{Fz_0} \frac{z}{r+z} = \frac{6\,000}{4 \cdot 2 \cdot 0,28} \frac{z}{4,72 + z}$$

Кесим энг четки нуқталарининг координаталари:

$$h_1 = 7 - 4,72 = 2,28 \text{ см},$$

$$h_2 = 4,72 - 3 = 1,72 \text{ см}.$$

Бу толалар учун:

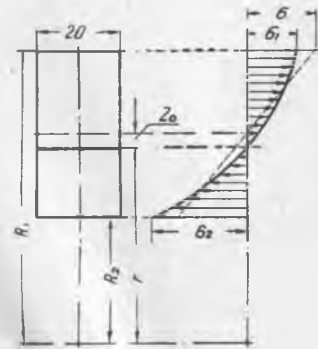
$$\sigma_1 = \frac{6\,000 \cdot 2,28}{4 \cdot 2 \cdot 0,28 \cdot 7} = 780 \text{ кг/см}^2,$$

$$\sigma_2 = \frac{6\,000 \cdot 1,72}{4 \cdot 2 \cdot 0,28 \cdot 3} = -1\,530 \text{ кг/см}^2.$$

Бу кучланишларга тегишли эпюра 489- шаклда тасвирланган. Тўғри ўқли стерженнинг энг четки толаларидаги кучланишлар:

$$\sigma = \frac{M}{W} = \frac{6\,000 \cdot 6}{2 \cdot 4^3} = 1\,120 \text{ кг/см}^2.$$

Бу кучланишга тегишли эпюра шаклда штрих чизиқ билан тасвирланган.



489- шакл.

186. Кесими доира шаклида бўлган эгри стерженнинг энг четки нуқталарида ҳосил бўладиган нормал кучланишлар худди шундай кесимли тўғри ўқли стерженда ҳосил бўладиган нормал кучланиш билан таққослансин. Эгри стержень ички томонининг эгрилик радиуси унинг кўндаланг кесим диаметрининг  $\frac{2}{3}$  қисмига тенг.

Е ч и ш. Нейтрал қатламнинг эгрилик радиусини (136. 4) формуладан ҳисоблаймиз. Кесим марказий ўқининг радиуси:

$$\rho = \frac{2}{3}d + \frac{d}{2} = \frac{7}{6}d,$$

$$r = \frac{d^2}{4(2R - \sqrt{4R^2 - d^2})} \cong 1,11 d;$$

$$z_0 = \rho - r \cong 0,056 d.$$

Нейтрал ўқдан энг четки толаларгача бўлган масофалар  $h_1$  ва  $h_2$  ни аниқлаймиз:

$$h_1 = R_1 - r = 1,666d - 1,11d = 0,556d,$$

$$h_2 = r - R_2 = 1,11d - 0,666d = 0,444d.$$

Энг четки нуқталардаги кучланишлар:

$$\sigma_1 = \frac{M}{\frac{\pi d^2}{4} \cdot 0,056d} \cdot \frac{0,556d}{\frac{5}{3}d} = 7,4 \frac{M}{d^2},$$

$$\sigma_2 = \frac{M}{\frac{\pi d^2}{4} \cdot 0,056d} \cdot \frac{0,444d}{\frac{2}{3}d} = 14,8 \frac{M}{d^2}.$$

Тўғри ўқли стерженга онд формулага мувофиқ:

$$\sigma = \frac{M}{0,1d^3} = 10 \frac{M}{d^3}.$$

Шундай қилиб,

$$\frac{\sigma_1}{\sigma} = 0,74; \quad \frac{\sigma_2}{\sigma} = 1,48.$$

187. Юк кўтариладиган илмоқнинг  $AB$  кесми учун нормал кучланишлар эпюраси қурилсин (490-шакл) ва унинг мустақамлиги текширилсин;  $P = 2,3т$ ,  $R_1 = 12 см$ ,  $R_2 = 3 см$ ; кўндаланг кесим трапеция бўлиб,  $b_1 = 2 см$ ,  $b_2 = 4 см$ ,  $h = 9 см$ , рухсат этилган кучланиш  $[\sigma] = 900 кг/см^2$ .

Е ч и ш: (135.1) дан нейтрал қатламнинг эгрилик радиусини аниқлаймиз:

$$r = \frac{F}{\frac{b_2 R_1 - b_1 R_2}{h} \ln \frac{R_1}{R_2} - (b_2 - b_1)} = \frac{(2 + 4)9 \cdot 0,5}{\frac{4 \cdot 12 - 2 \cdot 3}{9} \ln 4 - 2} = 6,04 см.$$

Марказий ўқ радиуси:

$$\rho = R_2 + \frac{b_2 + 2b_1}{b_1 + b_2} \frac{h}{3} = 3 + \frac{3 + 2 \cdot 2}{2 + 4} \cdot \frac{9}{3} = 7 см.$$

Кучланишлар эпюрасини қуриш учун кўндаланг кесим  $AB$  нинг нейтрал ўқидан  $z$  масофада бўлган нуқтага таъсир қилувчи кучланишнинг ифодасини ёзамиз:

$$\sigma = \frac{M}{Fz_0} \frac{z}{r+z} + \frac{P}{F} = \frac{2300 \cdot 7}{27 \cdot 0,96} \cdot \frac{z}{6,04+z} + \frac{2300}{27}.$$

$$\sigma = 85,2 + 621,46 \frac{z}{6,04+z}.$$

Бу тенгламага тегишли графикни тузиш учун нейтрал ўқдан энг четки толаларгача бўлган масофаларни аниқлаймиз:

$$h_1 = R_1 - r = 12 - 6,04 = 5,96 см,$$

$$h_2 = r - R_2 = 6,04 - 3 = 3,04 см,$$

$$\sigma_{\min} = 85,2 - \frac{621,46 \cdot 3,04}{6,04 - 5,96} = -223,4 кг/см^2,$$

$$\sigma_{\max} = 85,2 + \frac{621,46 \cdot 3,04}{6,04 - 3,04} = 115 кг/см^2 < 900,$$

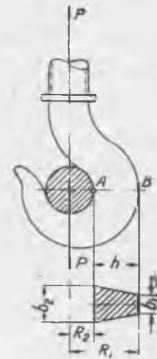
$$\sigma_0 = 85,2 + \frac{621,46 \cdot 0}{6,04 + 0} = 85,2 кг/см^2.$$

Булардан фойдаланиб, кучланишлар графигини тузиш қийин эмас.

188. Кўндаланг кесими тавр шаклида бўлган кесик пўлат ҳалқанинг мустақамлиги текширилсин (491-шакл).

$$P = 600 кг, \quad [\sigma] = 900 кг/см^2.$$

$P$  куч таъсирида кесилган жойда ҳосил бўладиган зазор  $\delta$  аниқлансин.



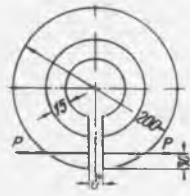
490-шакл.

Ечиш. Нейтрал қатламнинг эгрилик радиусини (135.3) дан аниқлаймиз:

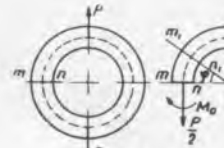
$$r = \frac{b_2 \delta + b_3 h_3}{b_1 \ln \frac{R_2}{R_3} + b_2 \ln \frac{R_1}{R_2}} = \frac{4 \cdot 1,5 + 1 \cdot 4,5}{4 \ln \frac{5,5}{4} + 1 \ln \frac{10}{5,5}} = 5,61 \text{ см.}$$

Кесимнинг оғирлик маркази ички асосидан:

$$\frac{4 \cdot 1,5 \cdot 0,75 + 4,5 \cdot 1 (2,25 + 1,5)}{4 \cdot 1,5 + 4,5 \cdot 1} = 2,03 \text{ см}$$



491- шакл.



492- шакл.

масофада бўлади. Шунинг учун марказий ўқнинг радиуси:

$$\rho = 4 + 2,03 = 6,03 \text{ см.}$$

Энди нейтрал ўқ билан кесим оғирлик маркази орасидаги масофани аниқлаймиз:

$$z_0 = \rho - r = 6,03 - 5,61 = 0,42 \text{ см.}$$

Кесик ҳалқа юқори кесимнинг ички сирти толаларидаги кучланишни аниқлаймиз:

$$\sigma = \frac{N}{F} + \frac{M}{Fz_0} \frac{z}{r+z} = \frac{600}{10,5} - \frac{600 \cdot 12,61}{10,5 \cdot 0,42} \frac{-1,61}{5,61 \cdot 1,61} = 767 \text{ кг/см}^2 < 900 \text{ кг/см}^2.$$

Юқоридаги кесимнинг ташқи толаларида эса:

$$\sigma = 57 - \frac{600 \cdot 12,61}{10,5 \cdot 0,42} \frac{4,39}{5,61 + 4,39} = 57 - 780 = -723 \text{ кг/см}^2.$$

Масаланинг яқинчи қисмини ечиш учун (137.2) формулага мувофиқ, ҳалқанинг потенциал энергиясини ҳисоблаймиз:

$$U = \int \left( \frac{M^2}{2ES\rho} + \frac{N^2}{2EF} \right) ds$$

$\varphi$  бурчакни вертикал чизиқдан ҳисоблаб,  $M$  билан  $N$  ни топаемиз:

$$M = Pr(1 - \cos \varphi); \quad N = -P \cos \varphi.$$

Энди эгрилик ва чўзилишдаги бикрликларни топаемиз:

$$2ES\rho = 2E(10,5 \cdot 0,42) 6,03 = 53E; \quad 2EF = 21E$$

Бу қийматларни кўзда тутиб, потенциал энергияни ҳисоблаймиз:

$$U = \int_0^{2\pi} \left\{ \frac{[Pr(1 - \cos \varphi)]^2}{53E} + \frac{(-P \cos \varphi)^2}{21E} \right\} R d\varphi = (38,9 + 0,9) \frac{P^2}{E} \pi = 40 \frac{P^2}{E}$$

Бу ифодадан кесилган жойда ҳосил бўлган зазорни аниқлаймиз:

$$\delta = \frac{\partial U}{\partial P} = 80 \frac{P}{E} = \frac{80 \cdot 600}{2 \cdot 10^6} = 0,024 \text{ см.}$$

189. Радиуси  $r$  бўлган ингичка ҳалқа вертикал диаметри бўйлаб қарама-қарши томонга йўналган чўзувчи  $P$  кучлар таъсиридадир. Ҳалқанинг ихтиёрий кесимларидаги эгувчи момент билан вертикал диаметрининг қанчага ортиши аниқлансин (492- шакл).

Ечиш. Ҳалқага қўйилган куч симметрик равишда таъсир қилгани учун ҳалқанинг чорагини текшириш кифоя (492- шакл). Горизонтал диаметр орқали ўтувчи  $m$  кесимда

кесиб ўтувчи куч нолга, нормал куч эса  $\frac{P}{2}$  га тенг. Мазкур *тл* кесимдаги эгувчи моментни  $M_0$  орқали белгилаб, унинг қийматини минимал иш ҳақидаги теоремадан фойдаланиб аниқлаймиз. Симметрия шартига мувофиқ, ҳалқа эгилганда унинг *тл* кесими айланмайди, шунинг учун:

$$\frac{\partial U}{\partial M_0} = 0; \quad (a)$$

бу ерда  $U$  — биз текшираётган чорак ҳалқанинг потенциал энергияси.  $\varphi$  бурчак билан аниқланадиган ихтиёрий кўндаланг кесимдаги эгувчи момент:

$$M = M_0 - \frac{P}{2} r (1 - \cos \varphi) \quad (b)$$

бўлади, бундан:

$$\frac{\partial M}{\partial M_0} = 1$$

келиб чиқади. Буларнинг қийматини (a) га қўямиз:

$$\frac{\partial U}{\partial M_0} = \int_0^{\frac{\pi}{2}} \frac{M}{EI} \frac{\partial N}{\partial M_0} r d\varphi = \frac{1}{EI} \int_0^{\frac{\pi}{2}} \left[ M_0 - P \frac{r}{2} (1 - \cos \varphi) \right] r d\varphi = 0;$$

бундан:

$$M_0 = \frac{Pr}{2} \left( 1 - \frac{2}{\pi} \right) = 0,182Pr.$$

$M_0$  нинг қийматини (b) га қўйиб, эгувчи момент ифодасини ҳосил қиламиз:

$$M = \frac{Pr}{2} \left( \cos \varphi - \frac{2}{\pi} \right). \quad (c)$$

Бу формуладан ҳалқанинг ихтиёрий кўндаланг кесимидаги эгувчи моментни ҳисоблаш мумкин. Вертикал диаметрининг ортисини Кастильяно теоремасидан фойдаланиб аниқлаймиз. Ҳалқанинг тула потенциал энергияси

$$U = 4 \int_0^{\frac{\pi}{2}} \frac{M^2 r c' \varphi}{2EI}$$

бўлади; бундаги  $M$  нинг қиймати (c) дан аниқланади.

$$\delta = \frac{\partial U}{\partial P} = \frac{4}{EI} \int_0^{\frac{\pi}{2}} M \frac{\partial M}{\partial P} r d\varphi = \frac{Pr^3}{EI} \int_0^{\frac{\pi}{2}} \left( \cos \varphi - \frac{2}{\pi} \right)^2 d\varphi = \left( \frac{\pi}{4} - \frac{2}{\pi} \right) \frac{Pr^3}{EI} = 0,149 \frac{Pr^3}{EI}.$$

□

## XX боб

### ЮПҚА ДЕВОРЛИ ИДИШЛАР ВА ҚАЛИН ДЕВОРЛИ ТРУБАЛАР ҲИСОБИ

#### 139- §. Ички босим таъсиридаги юпқа деворли идишлар

Айланма сирт шаклидаги юпқа деворли идиш айланиш ўқига нисбатан симметрик равишда қўйилган ички босим  $P$  таъсирида бўлсин (493- шакл). Бу тарздаги идишлар *юпқа деворли қобиқ* дейилади. Юпқа деворли қобиқлар эгилувчан ил каби, фақат чўзилишга қаршилик кўрсатади. Бу чўзувчи зўриқишлар меридиан уринмаси бўйлаб ва унга тик йўналган бўлади. Бу

зўриқишларни идишдан ажратилган элементнинг мувозанат шартларидан аниқлашимиз мумкин. Қобиқдан иккита меридиан орқали ўтувчи  $mn$  ва  $sq$  текисликлар ҳамда меридианларга тик йўналишдаги иккита  $mq$  ва  $ns$  текисликлар ёрдамида  $mqs$  элементини ажратамиз. Бу элементнинг томонларига фақат нормал зўриқишлар таъсир қилади. Ажратилган элементга қўйилган  $\sigma_1$  меридиан бўйлаб йўналган,  $\sigma_2$  эса меридианларга тик бўлган параллел айланалар бўйлаб йўналган нормал кучланиш ва  $\delta$  қобиқнинг калинлиги бўлсин. Ажратилган элементнинг меридиан бўйича узунлиги  $ds_1$ , параллел бўйича узунлиги  $ds_2$ , меридиан чизигининг эгрилик радиуси  $\rho_1$ , меридианга тик йўналишдаги айлананинг радиуси  $\rho_2$  бўлсин. Ажратилган элементнинг томонларига таъсир қилган чўзувчи зўриқишлар  $\sigma_1 \delta ds_2$  ва  $\sigma_2 \delta ds_1$  га тенгдир.  $mq$  ва  $ns$  ёқларига таъсир қилган чўзувчи зўриқишларнинг ажратилган элемент нормалидаги проекциялари йиғиндиси 493-шакл,  $b$  га мувофиқ қуйидагича бўлади:

$$2\sigma_1 \delta ds_2 \sin \frac{d\theta_1}{2} = \frac{\sigma_1 \delta ds_2 ds_1}{\rho_1}. \quad (a)$$

Худди шундай  $mn$  ва  $sq$  ёқларига таъсир қилган чўзувчи зўриқишларнинг нормалдаги проекциялари йиғиндисини қуйидагича ҳисоблаймиз:

$$2\sigma_2 \delta ds_1 \sin \frac{d\theta_2}{2} = \frac{\sigma_2 \delta ds_1 ds_2}{\rho_2}. \quad (b)$$

Бу нормал зўриқишлар ажратилган элементга таъсир қилувчи босим  $p ds_1 ds_2$  билан мувозанатлашади. Шунинг учун:

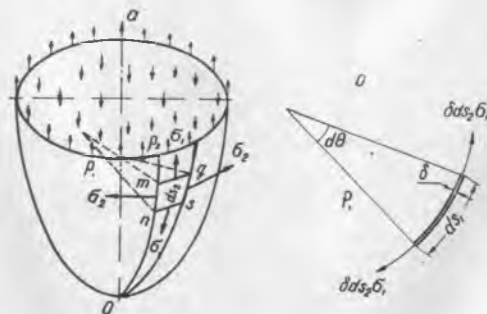
$$\frac{\sigma_1 \delta ds_1 ds_2}{\rho_1} + \frac{\sigma_2 \delta ds_1 ds_2}{\rho_2} = p ds_1 ds_2$$

бўлади; шунга кўра:

$$\frac{\sigma_1}{\rho_1} + \frac{\sigma_2}{\rho_2} = \frac{p}{\delta} \quad (139.1)$$

бўлади.

Айланма сирт шаклидаги юпқа қобиқ учун  $\sigma_1$  ва  $\sigma_2$  кучланишларни боғловчи бу муносабат Лаплас томонидан берилгани учун, у Лаплас формуласи деб аталади. Бу тенгламадаги  $\sigma_1$  ва  $\sigma_2$  ларнинг иккаласи ҳам номаълумдир. Аммо, биз текшираётган ҳолда айланма сирт шаклидаги қобиқни айланиш ўқиға тик бирор текислик билан кесиб, унинг пастки қисми  $ВOC$  нинг мувозанат шартини тузамиз; натижада ўз ичига  $\sigma_1$  ни



493-шакл.

олувчи яна битта тенгламани чиқарамиз (494-шакл, а). Ташланган юкори қисмининг таъсирини алмаштирувчи зўриқишнинг  $z$  ўқига бўлган проекцияси:  $\sigma_1 \delta \cdot 2\pi r_B \cos \varphi$  га тенг. Юпқа қобиқнинг  $BOC$  қисмига таъсир этувчи тўла босимнинг  $z$  даги проекциясини  $Q$  билан белгилаб, қуйидаги мувозанат тенгламасини ёзамиз:

$$2\pi r_B \delta \sigma_1 \cos \varphi = Q,$$

бундан  $\sigma_1$  ни аниқлаймиз:

$$\sigma_1 = \frac{Q}{2\pi r_B \delta \cos \varphi}. \quad (139.2)$$

(139.1) ва (139.2) тенгламалардан  $\sigma_1$  ва  $\sigma_2$  кучланишларни аниқлаймиз.

$Q$  ни ҳисоблаш учун юпқа қобиқдан кенглиги  $ds$  га тенг ингичка ҳалқа  $BB_1DD_1$  ни кесиб оламиз (494-шакл, б). Бу ҳалқага тўғри келадиган босимнинг  $z$  даги проекцияси:

$$dQ = Pds \cdot 2\pi r \cos \alpha$$

бўлади. Аммо:

$$\cos \alpha = \frac{dr}{ds}$$

бўлгани учун:

$$dQ = 2P\pi r dr.$$

бўлади.  $Q$  ни аниқлаш учун бу ифоданинг интегралини оламиз:

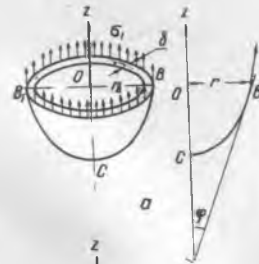
$$Q = \int_0^{r_B} 2P \pi r dr. \quad (139.3)$$

Юпқа қобиқнинг деворига таъсир қилаётган босим ўзгармас бўлса, яъни  $P = \text{const}$  бўлса, (139.3) қуйидагича ёзилади:

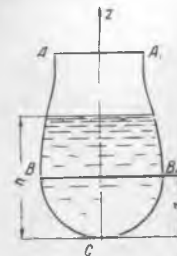
$$Q = 2\pi P \int_0^{r_B} r dr = P\pi r^2. \quad (139.4)$$

Демак, бу ҳолда юпқа қобиқнинг текширилатган параллел айланасидан пастки қисмига таъсир қилаётган босимнинг  $z$  ўқдаги проекцияси мазкур айлана юзаси билан босимнинг кўпайтмасига тенг бўлар экан.

Юпқа қобик 495-шаклда тасвирлангандек, солиштирма оғирлиги  $\gamma$  бўлган



494- шакл.



495- шакл.

суюқлик босими остида бўлса ички босим  $P = \gamma(h - z)$  бўлади ва (139.3) формула қуйидагича ёзилади:

$$Q = \int_0^r 2\pi\gamma(h - z)r = 2\pi\gamma rh - 2\pi\gamma \int_0^r zr dr. \quad (139.5)$$

Кейинги интегрални ҳисоблаш учун, юпқа қобикнинг сиртини ҳосил қилувчи эгри чизиқ  $ABC$  нинг тенгламасини билиш керак, бу тенглама қуйидагича ёзилади:

$$z = f(r), \quad (139.6)$$

у ҳолда:

$$\int_0^r zr dr = \int_0^r f(r)r dr. \quad (139.7)$$

интегрални ҳисоблаш қийин эмас.

#### 140-§. Юпқа қобикларнинг энг оддий кўринишлари

Юпқа сферик қобик босими  $P$  га тенг газ билан тўлдирилган бўлсин. Қобик сферик бўлгани сабабли икки эгрилик радиуси ва ундан ажратилган элементнинг икки қучланиши бир-бирига тенг бўлади, яъни:

$$\rho_1 = \rho_2 = R, \quad \sigma_1 = \sigma_2 = \sigma.$$

Шунинг учун (139.1) тенглама қуйидагича ёзилади:

$$\sigma = \frac{PR}{2\delta}. \quad (140.1)$$

Диаметри  $d$  бўлган цилиндрик қозон туби  $R$  радиусли сфера бўлсин (496-шакл). Қозоннинг туби сфера бўлгани сабабли, ундаги қучланиш (140.1) дан аниқланади, яъни:

$$\sigma = \frac{PR}{2\delta}.$$

Цилиндр қисми учун



496-шакл.

$$\rho_1 = \infty; \quad \rho_2 = \frac{d}{2};$$

(139.1) дан:

$$\frac{\sigma_2}{d/2} = \frac{P}{\delta}; \quad \sigma_2 = \frac{Pd}{2\delta}. \quad (140.2)$$

бўлади. Қозонни  $z$  ўқига тик текислик билан кесиб, (34.2) дан фойдаланиб,  $\sigma_1$  ни аниқлаймиз:

$$\sigma_1 = \frac{Q}{\pi d \delta}$$

(139.4) га мувофиқ,

$$Q = \frac{\pi \cdot d^2}{4} \cdot P;$$

шунинг учун:

$$\sigma_1 = \frac{\pi d^2 P}{4\pi \cdot d \cdot \delta} = \frac{P\rho}{4\delta} \quad (140.3)$$

бўлади.

Бу хулосаларни текис кучланиш ҳолатини текширишда чиқарган эдик. Конус шаклидаги идиш суюқлик билан тўлдирилган бўлсин (497-шакл); бу ҳолда ҳам меридиан бўйича  $\rho_1 = \infty$ , конуснинг ясовчиларига тик йўналган кучланиш  $\sigma_2$  ни бевосита (139.1) дан аниқлаймиз:

$$\sigma_2 = \frac{P\rho_2}{\delta};$$

бу ҳолда:

$$\rho = \gamma(h-z); \quad x = r = z \operatorname{tg} \alpha.$$

$$\rho_2 = \frac{x}{\cos \alpha} = \frac{z \operatorname{tg} \alpha}{\cos \alpha}$$

бўлади. Шунинг учун:

$$\sigma_2 = \frac{\gamma(h-z)z \operatorname{tg} \alpha}{\delta \cos \alpha} \quad (140.4)$$

бўлади.  $\sigma_1$  ни (139.2) дан аниқлаймиз. Бунинг учун олдин (139.5) дан  $Q$  ни аниқлаб оламиз:

$$Q = \gamma \pi x^2 h - \frac{2\pi\gamma}{\operatorname{tg} \alpha} \int_0^x x^2 dx = \gamma \pi x^2 h - \frac{2\pi\gamma x^3}{3 \operatorname{tg} \alpha};$$

$$\sigma_1 = \frac{\pi\gamma x^2}{2\pi x \delta \cos \alpha} \left( h - \frac{2}{3} \cdot \frac{x}{\operatorname{tg} \alpha} \right) = \frac{\gamma z \operatorname{tg} \alpha}{2\delta \cos \alpha} \left( h - \frac{2}{3} z \right). \quad (140.5)$$

Ҳосил бўлган (140.4) ва (140.5) ифодалардан  $\sigma_1$  ва  $\sigma_2$  нинг максимал қийматини аниқлаймиз; кўпайтма  $(h-z)z$  максимал қийматга эришганда  $\sigma_2$  максимум бўлади. Бунинг учун  $(h-z)z$  нинг ҳосиласини нолга тенглаштириб, мазкур кўпайтманинг максимал қийматга тўғри келадиган  $z$  ни топамиз, у  $z = \frac{h}{2}$  бўлади. Бу қийматга тегишли максимал кучланиш қуйидагича бўлади:

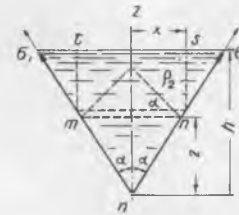
$$(\sigma_2)_{\max} = \frac{h^2\gamma}{4\delta} \cdot \frac{\operatorname{tg} \alpha}{\cos \alpha}. \quad (140.6)$$

Кучланиш  $\sigma_1$  нинг максимум бўлиши учун  $z = \frac{3}{4}h$  бўлиши керак, шунга биноан:

$$(\sigma_1)_{\max} = \frac{3h^2\gamma}{16\delta} \cdot \frac{\operatorname{tg} \alpha}{\cos \alpha}. \quad (140.7)$$

Конус шаклидаги қобиқ учун эгилиш ҳисобга олинмаса, (140.4) ва (140.5) формулалар масаланинг тўлиқ жавобини ифодалайди.

Юқориди келтирилган ҳолларда меридиан чизиқни, яъни айланма қобиқ сиртининг ясовчисини кескин равишда ўзгармайди деб олдик. Агар у кескин ўзгарса, масалан, цилиндрдан сферага ўтса, у ҳолда ўтиш жойидаги мувозанатни таъминлаш учун, ҳосил бўладиган реакция кучини қабул қилувчи бикрлик чамбараги ўрнатилади (бу чамбарак 498-шаклда  $mn$  билан белгиланган). Мазкур бикрлик чамбаранинг тақрибий ҳисобини келтираемиз. Суюқлик тўлдириладиган идишнинг туби сферик қобиқ, тепаси эса цилиндр бўлсин (498-шакл,  $a$ ). Улар бикрлик чамбараги билан туташтирилган. Сферик қобиқнинг қирғоғидаги чўзувчи кучланиш  $\sigma$  ни ҳисоблаб, қирғоқнинг



497-шакл.

узунлик бирлигига туғри келадиган зўриқиш  $\sigma$  ни аниқлаймиз (498-шакл, б). Бу зўриқишнинг вертикал тузувчиси  $\sigma \delta \sin \alpha$  ни идишнинг таянчи деб қабул қиламиз, горизонтал тузувчиси  $P = \sigma \delta \cos \alpha$  эса бикрлик ҳалқасининг айланаси бўйича радиал йўналишда тенг ёйилган юк тарзида таъсир қилади (498-шакл, в). Бу зўриқиш ҳалқада сиқувчи зўриқиш  $S$  ни ҳосил қилади; бу зўриқишни аниқлаш учун бикрлик ҳалқасидан  $ds$  элементни ажратиб, унинг мувозанатини текширамиз (498-шакл, з):

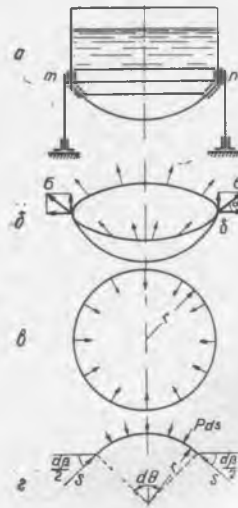
$$2s \sin \frac{d\theta}{2} = Pds = \sigma \delta \cos \alpha \cdot r d\theta;$$

сундан:

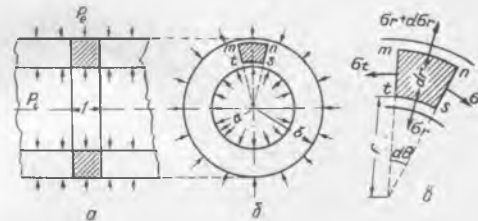
$$s = \sigma \delta r \cos \alpha$$

бўлади.

Бу зўриқиш бўйича бикрлик ҳалқаси кўндаланг кесимининг ўлчами аниқланади.



498-шакл.



499-шакл.

#### 141-§. Ички ва ташқи симметрик босим таъсиридаги қалин деворли трубалар ҳисоби

Қалин деворли доиравий кесимли узун труба­нинг ташқи радиуси  $b$ , ичкиси  $a$  бўлиб, симметрик равишда таъсир қилувчи ташқи босим  $P_e$  ва ички босим  $P_i$  таъсирида бўлсин (499-шакл, а). Қалин труба ва унга қўйилган юк симметрик бўлганидан, труба­нинг деформацияси ўқига нисба­тан симметрик бўлиб, барча кўндаланг кесимлари учун бир хилдир. Бун­дай шароитда ишлаётган труба­нинг деформациясини текшириш учун, ун­дан иккита кўндаланг кесим билан чегараланган, узунлиги бирга тенг бўлган ҳалқа ажратиб, мазкур ҳалқанинг деформациясини текшириш кифоя. Ҳалиги ҳалқадан иккита радиал ва иккита цилиндрик кесимлар воситаси билан  $mns$  элементни ажратамиз (499-шакл, б). Бу ажратилган элемент­нинг ён ёқларига кесиб ташланган қисмларнинг таъсирини алмаштирувчи кучларни қўямиз. Ҳалқа симметрик равишда деформациялангани сабабли ажратилган элементнинг ёқларига таъсир қилган зўриқишлар нормал йў­налган бўлади. Ажратилган элементнинг ёқларига таъсир қилган зўриқиш­ларнинг ўрнига уларга тегишли кучланишларни қўямиз (499-шакл, в). Де­формация симметрик бўлганидан  $mt$  ва  $ns$  ёқлардаги кучланишлар бир хилда бўлиши табиийдир, биз уни  $\sigma_r$  билан белгилаймиз. Цилиндрик сирт  $ts$  даги нормал кучланишини эса  $\sigma_t$  билан белгилаймиз. Бу кучланиш цилин-

дрик қатламларнинг ўзаро босими туфайли ҳосил бўлганидан, у текшири-  
лаётган қатламнинг радиуси  $r$  га боғлиқдир; бинобарин, ҳалиги элемент-  
нинг  $mn$  сиртидаги кучланиш  $\sigma_r + d\sigma_r = \sigma_r + \frac{\partial\sigma_r}{\partial r} dr$  бўлади. Элементнинг ёқ-  
лари тегишлича қуйидаги шу қийматларга тенг бўлади:

$$mt = ns = dr, \quad st = rd\theta, \quad mn = (r + dr) d\theta$$

Агар ҳалқа узунлиги бирга тенг қилиб олингани кўзда тутилса, ажратил-  
ган элементнинг ёқларидаги зўриқишлар қуйидагича бўлади:

$$mt \text{ ва } ns \text{ ёқда: } \sigma_r dr \cdot 1$$

$$st \text{ ёқда: } \sigma_r rd\theta \cdot 1$$

$$mn \text{ ёқда: } \left( \sigma_r + \frac{\partial\sigma_r}{\partial r} dr \right) (r + dr) d\theta = \sigma_r r d\theta + \sigma_r dr d\theta + \frac{\partial\sigma_r}{\partial r} r dr d\theta + \frac{\partial\sigma_r}{\partial r} dr^2 d\theta.$$

Бу кучлар бир нуқтада кесишадиган бўлгани учун ажратилган элемент-  
нинг мувозанат шarti иккита тенглама билан ифодаланади:

$$\sum R = 0; \quad \sum T = 0;$$

Аммо симметрик шarti иккинчи тенгламани айниятга келтиради. Би-  
ринчи тенглама қуйидагича ёзилади:

$$-\sigma_r rd\theta - 2 \left( \sigma_r dr \sin \frac{d\theta}{2} \right) + \sigma_r rd\theta + \frac{\partial\sigma_r}{\partial r} r dr d\theta + \sigma_r dr d\theta + \frac{\partial\sigma_r}{\partial r} dr^2 d\theta = 0.$$

Илгаригидек,  $\sin \frac{d\theta}{2} = \frac{d\theta}{2}$  деб олсак ва учинчи тартибли чексиз сон  $dr^2 d\theta$  ни  
эътиборсиз қолдириб, тенгликдаги кискаришларни қискартсак, қуйидаги  
тенгламани ҳосил қиламиз:

$$\sigma_t - \sigma_r - r \frac{\partial\sigma_r}{\partial r} = 0. \quad (141.1)$$

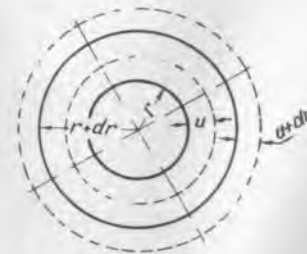
Бу битта тенгламада иккита номаълум  $\sigma_t$  ва  $\sigma_r$  бўлгани учун масала  
статик аниқмас бўлади.

Қўшимча тенгламани цилиндрнинг деформациясини текширишдан то-  
памиз. Деформация цилиндрининг ўқиға нисбатан симметрик бўлиб, унинг  
барча нуқталари радиал йўналишда кўчади. Бу кўчиш ҳар бир концентрик  
цилиндр сиртидаги барча нуқталар учун бир хилда бўлади. Аммо турли  
радиусли сиртлардаги нуқталар учун у кўчишлар ҳар хил бўлиб, ўзгарув-  
чи радиус  $r$  нинг функцияси бўлади. Ради-  
уси  $r$  бўлган цилиндрик сиртдаги нуқта-  
нинг радиал кўчишини  $u$  билан белгилай-  
миз.

Текширилаётган сиртга чексиз яқин  
 $r + dr$  радиусли цилиндрдаги нуқтанинг ра-  
диал кўчиши  $u + du = u + \frac{\partial u}{\partial r} dr$  бўлади  
(500-шакл). Ажратилган  $dr$  узунликда эле-  
ментнинг радиал йўналишдаги абсолют чў-  
зилиши  $\Delta(dr) = \frac{\partial u}{\partial r} dr$  бўлади, нисбий ради-  
ал чўзилиш эса:

$$\epsilon_r = \frac{\Delta(dr)}{dr} = \frac{\partial u}{\partial r} \quad (141.2)$$

бўлади.



500-шакл.

$\sigma_t$  кучланиш йўналишига мос келадиган нисбий чўзилишни аниқлаймиз. Деформациягача радиуси  $r$  бўлган доирадаги нуқта деформация натижасида  $r + u$  радиусли доирага кўчади. Доира узунлигининг ортиши радиуснинг ортиши билан пропорционал бўлади; шунинг учун  $r$  радиусли доиранинг абсолют чўзилиши қуйидагича бўлади:

$$\Delta s = 2\pi(r + u) - 2\pi r = 2\pi u. \quad (141.3)$$

Тегишли нисбий чўзилиш эса:

$$\epsilon_t = \frac{\Delta s}{s} = \frac{2\pi u}{2\pi r} = \frac{u}{r} \quad (141.4)$$

бўлади.

Ажратилган элемент  $mns$  нинг ёқлари ўзаро тик бўлиб, улар бош юзалар ҳисобланади, бинобарин, у  $\sigma_r$  ва  $\sigma_t$  бош кучланишлар таъсирида текис кучланиш ҳолатида бўлади. Текис кучланиш ҳолатида бўлган бу элементнинг деформациясини топишда (39.3) формуладан фойдаланамиз:

$$\left. \begin{aligned} \sigma_r &= \frac{E}{1-\mu^2} (\epsilon_r + \mu\epsilon_t) = \frac{E}{1-\mu^2} \left( \frac{\partial u}{\partial r} + \mu \frac{u}{r} \right); \\ \sigma_t &= \frac{E}{1-\mu^2} (\epsilon_t + \mu\epsilon_r) = \frac{E}{1-\mu^2} \left( \frac{u}{r} + \mu \frac{\partial u}{\partial r} \right). \end{aligned} \right\} \quad (141.5)$$

Буларни (141.1) га қўйиб, радиал кўчиш  $u$  ни аниқлаш учун қуйидаги тенгламани ёзамиз:

$$\frac{\partial^2 u}{\partial r^2} + \frac{1}{r} \cdot \frac{\partial u}{\partial r} - \frac{u}{r^2} = 0. \quad (141.6)$$

Бу ўзгарувчи коэффициентли бир жинсли ва чизиқли дифференциал тенгламадир. Унинг хусусий интегралини қуйидагича оламиз:

$$u = r^t, \quad (141.7)$$

$t$  ҳозирча номаълум параметрдир. (141.7) ни (141.6) га қўйиб,  $t$  ни аниқлаш учун қуйидаги характеристик тенгламани чиқарамиз:

$$t(t-1) + t - 1 = 0 \quad \text{ёки} \quad t^2 - 1 = 0.$$

Бу тенгламанинг илдизлари:  $t_1 = 1$ ;  $t_2 = -1$  бўлади.

Буларни (141.7) га қўйиб, (141.6) нинг иккита хусусий интегралини топамиз:

$$u_1 = r; \quad u_2 = \frac{1}{r}.$$

Шунинг учун (141.6) нинг умумий интегрални қуйидагича бўлади:

$$u = C_1 r + \frac{C_2}{r}. \quad (141.8)$$

Буни (141.5) га қўйиб, радиуси  $r$  бўлган сирт нуқталаридаги кучланишларни аниқлаймиз:

$$\sigma_r = \frac{E}{1-\mu^2} \left[ C_1(1+\mu) - C_2 \frac{1-\mu}{r^2} \right]; \quad (141.9)$$

$$\sigma_t = \frac{E}{1-\mu^2} \left[ C_1(1+\mu) + C_2 \frac{1-\mu}{r^2} \right]; \quad (141.10)$$

Ихтиёрий ўзгармаслар  $C_1$  ва  $C_2$  нинг қийматини цилиндрнинг ички ва ташқи сиртларидаги босимлар ёрдамида аниқлаймиз. Масалан,  $r = b$  бўл-

ганда  $\sigma_r = -P_e$  бўлиб,  $r = a$  бўлганда  $\sigma_r = -P_i$  бўлади. Бу шартлар  $C_1$  ва  $C_2$  ни аниқлаш учун қуйидаги иккита тенгламани беради:

$$\begin{aligned} -P_e &= \frac{E}{1-\mu^2} \left[ C_1(1+\mu) - C_2 \frac{1-\mu}{b^2} \right]; \\ -P_i &= \frac{E}{1-\mu^2} \left[ C_1(1+\mu) - C_2 \frac{1-\mu}{a^2} \right]. \end{aligned}$$

Бу тенгламалардан  $C_1$  ва  $C_2$  нинг қийматини аниқлаймиз:

$$\left. \begin{aligned} C_1 &= \frac{1-\mu}{E} \cdot \frac{a^2 P_i - b^2 P_e}{b^2 - a^2}; \\ C_2 &= \frac{1+\mu}{E} \cdot \frac{a^2 b^2 (P_i - P_e)}{b^2 - a^2}. \end{aligned} \right\} \quad (141.11)$$

Буларнинг қийматини (141.8), (141.9) ва (141.10) га қўйиб, радиал кўчиш  $u$  ҳамда нормал кучланишлар  $\sigma_r$  ва  $\sigma_t$  нинг қийматларини аниқлаймиз:

$$u = \frac{1-\mu}{E} \frac{a^2 P_i - b^2 P_e}{b^2 - a^2} r + \frac{1+\mu}{E} \frac{a^2 b^2 (P_i - P_e)}{(b^2 - a^2) r}; \quad (141.12)$$

$$\left. \begin{aligned} \sigma_r &= \frac{a^2 P_i - b^2 P_e}{b^2 - a^2} - \frac{a^2 b^2 (P_i - P_e)}{(b^2 - a^2) r^2}; \\ \sigma_t &= \frac{a^2 P_i - b^2 P_e}{b^2 - a^2} + \frac{a^2 b^2 (P_i - P_e)}{(b^2 - a^2) r^2}. \end{aligned} \right\} \quad (141.13)$$

Амалий жиҳатдан энг муҳим бўлган ҳолда қалин деворли труба фақат ички босим  $P_i$  таъсирида бўлади. Бунга биноан, (141.13) ифода қуйидагича ёзилади:

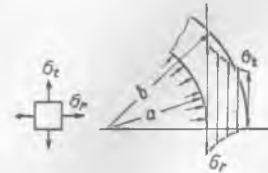
$$\left. \begin{aligned} \sigma_r &= \frac{a^2 P_i}{b^2 - a^2} \left( 1 - \frac{b^2}{r^2} \right); \\ \sigma_t &= \frac{a^2 P_i}{b^2 - a^2} \left( 1 + \frac{b^2}{r^2} \right). \end{aligned} \right\} \quad (141.14)$$

Бу ифодалардан кўрамизки,  $\sigma_r$  сиқувчи бўлиб,  $\sigma_t$  чўзувчи экан. Чўзувчи кучланиш  $\sigma_t$  трубанинг ички сиргида максимал қийматга эришиб, у қуйидаги қийматга тенг бўлади:

$$(\sigma_t)_{\max} = \frac{b^2 + a^2}{b^2 - a^2} P_i; \quad (141.15)$$

$\sigma_r$  трубанинг ташқи сиргида минимал қийматга эришади, у қуйидаги қийматга тенг бўлади:

$$(\sigma_r)_{\min} = \frac{2a^2}{b^2 - a^2} P_i. \quad (141.16)$$



501-шакл.

Труба деворининг қалинлиги бўйича  $\sigma_r$  ва  $\sigma_t$  нинг ўзгариш графиги 501-шаклда тасвирланган. Агар труба жуда қалин бўлмаса  $\sigma_r$  нинг максимал қиймати минимал қийматидан оз фарқ қилади. Масалан,  $b = 1,1 a$  бўлса, максимал кучланиш минимал кучланишдан фақат 5 — 10% фарқ қилади, холос. Шунинг учун девори жуда қалин бўлмаган трубаларни ҳисоблашда чўзувчи кучланиш  $\sigma_t$  ни труба деворининг қалинлиги бўйича тенг тарқал-

ган деб қабул қилсак, катта хато қялмаган бўламиз. Бу ҳолда (141.16) нинг тақрибий кинмати қуйидагича ёзилади:

$$\sigma_t = \frac{2a^2 P_i}{(b+a)(b-a)} = \frac{2a^2}{2a(b-a)} P_i = \frac{\mu}{\epsilon - a} P_i = \frac{DP_i}{2\delta};$$

бу ерда  $D = 2a$  ва  $\delta = b - a$  — трубаинг диаметри ва қалинлиги. Бу формула олдинги параграфда чиқарилган (140.2) формуланинг ўзидир.

Энди девори қалин труба учун, учинчи назарияга мувофиқ, мустақамлик шартини тузамиз. Труба фақат ички босим таъсирида бўлган ҳолда, энг катта бош кучланишлар трубаинг ички сиртидаги нуқталарда ҳосил бўлади. Шунинг учун, учинчи назарияга кўра бош кучланишларнинг энг катта айирмасини олишимиз керак:

$$(\sigma_t - \sigma_r)_{\max} = \frac{2b^2 P_i}{b^2 - a^2}. \quad (141.17)$$

Қурамизки, энг катта тангенциал кучланиш ички босим  $P_i$  га қараганда анчагини катта бўлар экан. Бу кучланиш оқим чегарасига етганда цилиндрнинг ички сиртида қолдиқ деформация ҳосил бўла бошлайди. Пластик деформация билан курашиш мақсадида трубаинг ташқи диаметрини оширишнинг фойдаси йўқ, чунки унинг ошуви билан (141.17) нинг махражи ва сурати қарийб бирдек усади. Аммо трубаинг ички сиртида ҳосил бўладиган пластик деформация юк кўтариш хусусиятининг камайишига жуда ҳам оз таъсир қилади. Трубаинг пярчаланиши учун пластик деформация унинг ташқи сиртигача ёйилиши керак.

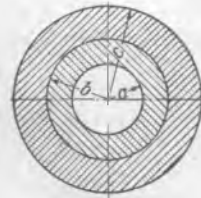
#### 142-§. Қўшма трубалар ҳисоби

Ички босим таъсиридаги қалин деворли трубаларда ҳосил бўладиган кучланишларни камайтириш учун унга ички диаметри қалин трубаинг ташқи диаметрдан кичикроқ бўлган бошқа бир труба қиздириб кийгизилади. Кийгизилган ташқи труба совиганда ички трубаи сиқиб, унда сиқувчи кучланиш ҳосил қилади. Бу ҳолда ички труба ичидан таъсир қилувчи  $P_i$  босим кучидан ҳосил бўладиган кучланишнинг бир қисми ички трубада дастлаб пайдо бўлган сиқувчи кучланишни йуқотиш учун сарфланади, қолгани эса кейинчалик унда чўзувчи кучланиш ҳосил қилади. Натижада ички труба «ташки» ва ички босимлар таъсирида бўлади. Ташқи трубаинг совиши натижасида ички трубага таъсир қиладиган босимини (141.12) формуладан фойдаланиб аниқлаш мумкин.

Масалан, ташқи трубаинг қиздирилмагандаги ички радиуси ички трубаинг ташқи радиусига қараганда  $\delta$  миқдорича кичик бўлсин. Ички труба қўндаланг кесимининг радиуслари  $a$  ва  $b$ , ташқи трубаиники эса  $b - \delta$  ва  $c$  бўлсин (502-шакл).

Ташқи трубаи қиздириб, ички трубага кийгизилгандан кейин, ташқи труба совиши натижасида унинг ички радиуси бир оз ортиб, ички трубаинг ташқи радиуси кичраяди; ички трубаинг ташқи сиртидаги нуқталарнинг ташқи трубаинг  $P$  босим таъсирида кўчиши (141.12) га мувофиқ қуйидагича ифодаланади:

$$u_{r=b} = \frac{Pb}{E} \left( \frac{b^2 + a^2}{b^2 - a^2} - \mu \right) \quad (142.1)$$



502-шакл.

Шунингдек, ички трубанинг ташқи труба босимига қаршилиқ кўрсатиши натижасида, ташқи трубанинг ички сиртидаги нуқталарнинг кучиши қуйидагича ифодаланади:

$$u_{r=b} = \frac{Pb}{E} \left( \frac{c^2 + b^2}{c^2 - b^2} + \mu \right); \quad (142.2)$$

(142.1) ва (142.2) нинг йиғиндиси  $\delta$  га тенг бўлиши керак:

$$\frac{Pb}{E} \left( \frac{b^2 + a^2}{b^2 - a^2} - \mu \right) + \frac{Pb}{E} \left( \frac{c^2 + b^2}{c^2 - b^2} + \mu \right) = \delta;$$

бундан:

$$P = \frac{E\delta}{b} \frac{(b^2 - a^2)(c^2 - b^2)}{2b^2(c^2 - a^2)}. \quad (142.3)$$

Ички босим  $P_i$  ва ташқи босим  $P$  таъсиридан ички трубада ҳосил бўладиган кучланишлар (141.13) дан аниқланади. Ташқи трубада  $P$  таъсиридан ҳосил бўладиган кучланишлар эса (141.14) га мувофиқ қуйидагича аниқланади:

$$\left. \begin{aligned} \sigma_r &= \frac{b^2 P}{c^2 - b^2} \left( 1 - \frac{c^2}{r^2} \right); \\ \sigma_t &= \frac{b^2 P}{c^2 - b^2} \left( 1 + \frac{c^2}{r^2} \right). \end{aligned} \right\} \quad (142.4)$$

Қўшма трубалар деворининг қалинлиги бўйича кучланишлар ўзгаришининг графигини конкрет ҳол учун келтираемиз.

### МАСАЛАЛАР

190. Ички трубанинг ички босими  $P_i = 2100 \text{ кг/см}^2$ ,  $a = 10 \text{ см}$ ,  $b = 15 \text{ см}$  ва  $c = 20 \text{ см}$  бўлган қўшма пулат труба учун  $\delta = 0,127 \text{ мм}$  бўлсин. Труба кесимида ҳосил бўладиган кучланишлар аниқлансин.

Ечиш. Олдин трубани бутун деб, учала сирт учун  $\delta_i$  ни (141.14) дан ҳисоблаймиз:

$$(\sigma_t)_{r=10} = \frac{10^2 \cdot 2100}{20^2 - 10^2} \left( 1 + \frac{20^2}{10^2} \right) = 3500 \text{ кг/см}^2;$$

$$(\sigma_t)_{r=15} = \frac{10^2 \cdot 2100}{20^2 - 10^2} \left( 1 + \frac{20^2}{15^2} \right) = 1944 \text{ кг/см}^2;$$

$$(\sigma_t)_{r=20} = \frac{10^2 \cdot 2100}{20^2 - 10^2} \left( 1 + \frac{20^2}{20^2} \right) = 1400 \text{ кг/см}^2.$$

Буларга тегишли кучланиш графиги 503-шакл, а да тасвирланган.

Энди трубаларни қўшма деб ҳисоблаб, ташқи трубанинг ички трубага кўрсатаётган босими  $P$  ни (142.3) дан топамиз.

$$P = \frac{2 \cdot 10^6 \cdot 0,0127 (15^2 - 10^2) (20^2 - 15^2)}{15 \cdot 2 \cdot 15^2 (20^2 - 10^2)} \cong 288 \text{ кг/см}^2.$$

Бу босим таъсиридан ички трубада ҳосил бўладиган кучланишларни (141.16) ва (141.15) формулалардан ( $P_i = 0$  деб) ҳисоблаймиз:

$$(\sigma_t)_{r=10} = - \frac{2Pb^2}{b^2 - a^2} = - \frac{2 \cdot 288 \cdot 15^2}{15^2 - 10^2} \cong - 1040 \text{ кг/см}^2;$$

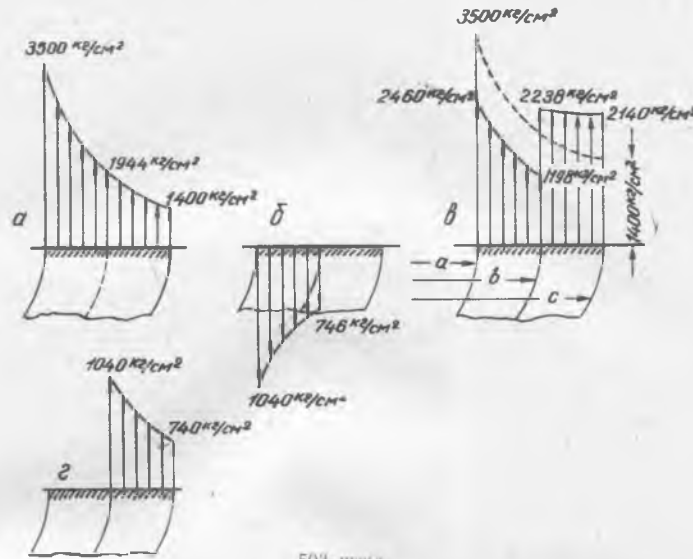
$$(\sigma_t)_{r=15} = - \frac{P(b^2 + a^2)}{b^2 - a^2} = - \frac{288(15^2 + 10^2)}{15^2 - 10^2} \cong - 746 \text{ кг/см}^2.$$

Буларга тегишли график (503-шакл, б) да тасвирланган. Ташқи трубада ҳосил бўладиган кучларни ҳам формулалардан топамиз:

$$(\sigma_t)_{r=15} = \frac{P(c^2 + b^2)}{c^2 - b^2} = \frac{288(20^2 + 15^2)}{20^2 - 15^2} = 1040 \text{ кг/см}^2.$$

$$(\sigma_t)_{r=20} = \frac{2Pb^2}{c^2 - b^2} = \frac{2 \cdot 288 \cdot 15^2}{20^2 - 15^2} = 740 \text{ кг/см}^2.$$

Буларга тегишли график 503- шакл. *г* да тасвирланган.  
503- шаклнинг *в* қисмида *а*, *б*, *г* кучланишлар йиғиндисининг графиги тасвирланган.  
Бу графикдан курамызки, қиздириб кийгизилган труба<sup>нинг</sup> сиқилиши натижасида ҳосил бўладиган кучланиш тўғрисида ички труба<sup>нинг</sup> ички сиртида ҳосил бўладиган кучланиш 3500 кг/см<sup>2</sup> дан 2460 кг/см<sup>2</sup> га камайди.



503- шакл.

191. Пулат труба<sup>нинг</sup> ички радиуси  $a = 10$  мм бўлиб, унга  $P_i = 2500$  кг/см<sup>2</sup> босим таъсир қилади. II ва IV назариялар бўйича, труба<sup>нинг</sup> қалинлиги  $\delta$  аниқлансин. Труба материали учун рұхсат этилган кучланиш  $[\sigma] = 5000$  кг/см<sup>2</sup>.

Е ч и ш. Энг катта бош кучланишлар труба<sup>нинг</sup> ички сиртидаги нуқталарда ҳосил бўлиши бизга маълум. У ерда кучланишлар қуйидагича ифодаланади:

$$\sigma_t = P_i \frac{b^2 + a^2}{b^2 - a^2}; \quad \sigma_r = -P.$$

II назарияни ёзамиз:  $\sigma_t - \mu\sigma_r = [\sigma]$  ёки  $P_i \left[ \frac{b^2 + a^2}{b^2 - a^2} + \mu \right] = [\sigma]$  бўлиши керак.

$\mu = \frac{1}{3}$  деб олсак:

$$b = a \sqrt{\frac{3[\sigma] + 2P_i}{3[\sigma] - 4P_i}} = \sqrt{\frac{3 \cdot 5000 + 2 \cdot 2500}{3 \cdot 5000 - 4 \cdot 2500}} = 2 \text{ см}$$

бўлади.

Труба<sup>нинг</sup> қалинлиги  $\delta = b - a = 2 - 1 = 1$  см.

IV назарияга мувофиқ:  $(\sigma_t - \sigma_r)^2 + \sigma_r^2 + \sigma_t^2 = 2[\sigma]^2$  ёки  $\sigma_t^2 + \sigma_r^2 - \sigma_t\sigma_r = [\sigma]^2$  бўлиши керак.

Бу формулага  $\delta_t$  ва  $\delta_r$  ларнинг қийматини қўямиз:

$$P_i^2 \left( \frac{b^2 + a^2}{b^2 - a^2} \right)^2 + P_i^2 + P_i^2 \left( \frac{b^2 + a^2}{b^2 - a^2} \right)^2 = [\sigma]^2.$$

Бундан  $b$  ни аниқлаш учун қуйидаги биквадрат тенгламани ҳосил қиламиз:

$$\left(\frac{|\sigma|}{P_i} - 3\right) b^4 - \left(2 \frac{|\sigma|}{P_i} \cdot a^2\right) b^2 + \left(\frac{|\sigma|}{P_i} \cdot a^2 - 1\right) a^2 = 0.$$

Бу тенгламадан  $b^2$  нинг қуйидаги қийматини оламиз:

$$b^2 = 4 \pm \sqrt{13}; \quad b^2 = 7,6; \quad b = 2,76 \text{ см}; \quad \delta = b - a = 1,7 \text{ см}.$$

192. Ички радиуси  $a = 10$  мм, ташқи радиуси  $b = 15$  мм бўлган трубага ташқи радиуси  $c = 20$  мм бўлган бошқа труба таранг қилиб кийгизилган. Ички труба нинг ички босими  $P_i = 2500$  кг/см<sup>2</sup>. Қўшма труба нинг ички сиртидаги кучланиш шундай улчамли бутун труба нинг ички сиртида ҳосил бўладиган кучланишдан 30% кам бўлса, ташқи труба нинг ички радиуси ички труба нинг ташқи радиусидан қанча кичик бўлиши керак?

Е ч и ш. Ташқи труба нинг ички труба ни сиқиб кучи қуйидаги формуладан аниқланади:

$$P = \frac{E\delta}{b} \cdot \frac{(c^2 - b^2)(b^2 - a^2)}{2b^2(c^2 - a^2)}. \quad (a)$$

Бутун труба нинг ички сиртида ҳосил бўладиган кучланиш қуйидагича ифодаланади:

$$\sigma_t' = P_i \frac{c^2 + a^2}{c^2 - a^2}.$$

Ички труба нинг ички сиртида ташқи босим  $P$  таъсирдан ҳосил бўладиган кучланиш эса қуйидагича ифодаланади:

$$\sigma_t'' = -P \frac{2b^2}{b^2 - a^2}.$$

Масала шартига мувофиқ:

$$\sigma_t'' = \frac{k}{100} \sigma_t'$$

Бўлиши керак, бундан:

$$P = \frac{k}{100} P_i \frac{c^2 + a^2}{c^2 - a^2} \cdot \frac{b^2 - a^2}{b^2}. \quad (б)$$

Бўлади.

(а) формуладан  $P$  нинг қийматини (б) га келтириб қўйсак:

$$\delta = \frac{k}{100E} \cdot P_i \frac{c^2 + a^2}{c^2 - a^2} \cdot b = \frac{30}{100 \cdot 2 \cdot 10^6} \cdot 2500 \frac{2^2 + 1}{2^2 - 1} \cdot 1,5 = 0,0009 \text{ см}$$

Бўлади.

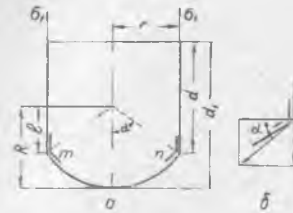
Энди  $P$  ни ҳисоблаймиз:

$$P = \frac{30}{100} \cdot 2500 \frac{4 + 1}{4 - 1} \cdot \frac{1,5^2 - 1}{1,5^2} \cong 700 \text{ кг/см}^2.$$

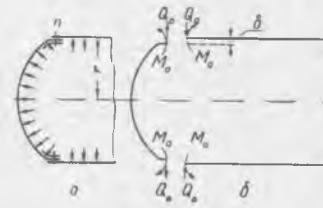
### 143-§. Резервуар деворида ҳосил бўладиган эгилиш

Суюқлик ёки газ сақланадиган катта идиш *резервуар* дейилади. Резервуарнинг туби билан уст қисмини туташтирадиган жойнинг бикрлигини ошириш мақсадида кўрилган тадбир, яъни бикрлик ҳалқаси туфайли резервуар деформациясининг характери тубдан ўзгаради (501-шакл). Масалан, цилиндрик резервуарнинг туби ярим сфера бўлгани ҳолда, у пайвандлаш ўрнига парчинлаш ёрдамида туташтирилади деб фараз қилайлик (505-шакл). Бу цилиндр билан сферанинг туташтирилган жойидаги кучланиш бир томондан цилиндрик сиртга тегишли бўлса, иккинчи томондан сферик сиртга тегишли бўлгани сабабли туташтирилган нуктадаги кучланиш иккита қийматга эга бўлиши керакдек куринади, аслида эса ундай эмас. Цилиндрик қисми билан сферик қисм туташиб бир бутун идишни ҳосил қилади, бинобарин, уларнинг туташтирилган жойида ҳосил бўладиган эгувчи момент  $M_0$  билан кўндаланг  $Q_0$  иккала қисм учун тенг бўлиб, юқорда

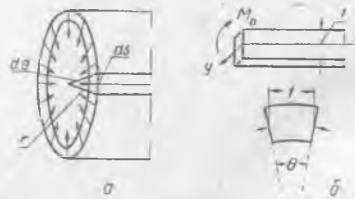
вужудга келган англашилмовчилик ўз-ўзидан ойдинлашади. Бу  $M_0$  билан  $Q_0$  резервуарнинг қўшни қисмларда эгилиш деформациясини ҳосил қилади. Резервуарнинг цилиндрик қисми унинг ўқиға нисбатан симметрик равишда деформациялангани сабабли, унинг эгилишини текшириш учун, ундан меридиан текисликлар билан кенглиги  $ds = rd\theta$  бўлган бир балка-полоса ажратамиз (506-шакл, а). Ажратилган бу балка-полоса бўйлама йўналишида



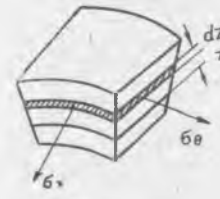
504-шакл.



505-шакл.



506-шакл.



507-шакл.

эгилиб, кўндаланг томони кесиб ташланган қисмларнинг таъсирини алмаштирувчи чўзувчи ёки сиқувчи кучланишлар таъсирида бўлади. Кўндаланг ва бўйлама кучланишлар 507-шаклда  $\sigma_x$  ва  $\sigma_\theta$  орқали кўрсатилган. Ажратилган элемент учун улар бош кучланишлар бўлганидан, бу ҳол учун Гук қонунини қуйидагича ёзилади:

$$\begin{aligned}\sigma_x &= \frac{E}{1-\mu^2} (\epsilon_x + \mu\epsilon_\theta); \\ \sigma_\theta &= \frac{E}{1-\mu^2} (\epsilon_\theta + \mu\epsilon_x)\end{aligned}\quad (a)$$

Ажратилган элементнинг бўйлама ва кўндаланг юзлари бўйича таъсир қилувчи кучланишларнинг йиғиндисини олиб, тегишли зуриқишларни топамиз:

$$N_x = \int_{-\frac{h}{2}}^{\frac{h}{2}} \sigma_x dz = \frac{Eh}{1-\mu^2} (\epsilon_x + \mu\epsilon_\theta) = 0 \quad (b)$$

( $N_x = 0$  эканлигининг сабаби шуки, резервуарга чўзувчи куч қўйилган эмас).

$$N_\theta = \int_{-\frac{h}{2}}^{\frac{h}{2}} \sigma_\theta dz = \frac{Eh}{1-\mu^2} (\epsilon_\theta + \mu\epsilon_x); \quad (c)$$

(b) дан  $e_x = -\mu e_0$ , буни (c) га қўйсак:

$$N_0 = E h e_0 \quad (d)$$

бўлади.

$e_0$  нинг қийматини 142-параграфда топган эдик.  $v$

$$e_0 = \frac{v}{r}$$

эди, шунинг учун:

$$N_0 = \frac{E h}{r} v \quad (143.1)$$

бўлади. Ажратилган элементнинг икки ёғига худди шундай кучлар (505-шакл, б да кўрсатилгандек) қўйилган. Уларнинг тенг таъсир этувчиси цилиндр радиуси бўйича йўналган бўлиб, қиймати қуйидагичадир:

$$R = 2 \frac{E h}{r} v \cdot \frac{d\varphi}{2} = \frac{E h}{r} \frac{d\varphi}{ds} \cdot v ds; \quad (e)$$

бунда  $\frac{d\varphi}{ds} = \frac{2}{r}$  бўлади. Масалани осонлаштириш учун балка-полосанинг кенглигини  $ds = 1$  қилиб оламиз. у ҳолда

$$R = \frac{E h}{r^2} v \quad (143.2)$$

бўлади. Бу куч эластик асосда ётувчи балканинг эластик реакциясига ўхшаб кетади, чунки у балка-полосанинг эгилиш салқилиги  $v$  га пропорционал ҳолда ўзгармоқда. Унинг пропорционаллик коэффициенти:

$$k = \frac{E h}{r^2}. \quad (143.3)$$

Энди балка-полосанинг дифференциал тенгламасини тузиш осон; бу тенглама эластик асосда ётувчи балка тенгламаси кабидир:

$$D \frac{d^4 w}{dx^4} + \frac{E h}{r^2} w = q; \quad (143.4)$$

бу ерда  $q$  — резервуардаги суюқлик ёки газнинг балка-полосага таъсир қилган босими. Бу тенгламада бикрликни ифодаловчи  $D$  ҳарфидан цилиндр бикрлик деб аталувчи маънони тушунмоқ лозим. Унинг қийматини ҳозирча исботсиз келтирамиз (бу қиймат XXII бобда исботланган):

$$D = \frac{E h^3}{12(1-\mu^2)}.$$

Дифференциал тенглама (143.4) ни қуйидаги кўринишда ёзамиз:

$$\frac{d^4 w}{dx^4} + 4\alpha^4 w = \frac{q}{D}; \quad (143.4^*)$$

бунда:

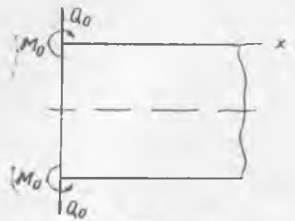
$$4\alpha^2 = \frac{12(1-\mu^2)}{r^2 h^2}; \quad \alpha = \sqrt[4]{\frac{3(1-\mu^2)}{r^2 h^2}} \quad (143.5)$$

бўлади. (143.4) тенгламанинг умумий интегралини юқорида қуйидагича ёзган эдик:

$$w = e^{\alpha x} (C_1 \cos \alpha x + C_2 \sin \alpha x) + e^{-\alpha x} (C_3 \cos \alpha x + C_4 \sin \alpha x) + f(x); \quad (143.6)$$

бу ерда  $f(x)$  — бир жинсиз (143.4) тенгламанинг хусусий интеграл;  $C_1, C_2, C_3, C_4$  — интеграллаш ўзгартувчилари бўлиб, улар ҳар қайси хусусий

қолда цилиндрик резервуар учларининг маҳкамланиш шартларидан аниқланади. Мисол учун чап қирғоғига тенг ёйилган эгувчи момент  $M_0$  ва қундаланг куч  $Q_0$  қўйилган узун трубани оламиз (508-шакл). Трубага бевосита қўйилган юк бўлмаганидан (143.4) нинг ўнг томони  $q = 0$ , (143.6) даги хусусий интеграл эса  $f(x) = 0$  бўлади. Трубанинг  $x = 0$  кесимига қўйилган



508-шакл.

кучлар фақат маҳаллий аҳамиятга эга бўлиб,  $x$  нинг қиймати ортган сари  $M_0$  ва  $Q_0$  нинг таъсири камайиб борганидан (143.6) тенгламадаги  $C_1 = C_2 = 0$  бўлиши керак; шунда (143.6) тенглама қуйидагича ёзилади:

$$w = e^{-\alpha x} (C_3 \cos \alpha x + C_4 \sin \alpha x); \quad (143.7)$$

$C_3$  ва  $C_4$  ни  $x = 0$  кесимининг қуйидаги юкланиш шартидан аниқлаймиз:

$$\left. \begin{aligned} (M)_{x=0} &= -D \left( \frac{d^2 w}{dx^2} \right)_{x=0} = M_0; \\ (Q)_{x=0} &= -D \left( \frac{d^3 w}{dx^3} \right)_{x=0} = Q_0. \end{aligned} \right\} \quad (143.8)$$

$w$  нинг қийматини (143.7) дан (143.8) га қўйсақ,  $C_3$  билан  $C_4$  нинг қиймати чиқади:

$$C_3 = -\frac{1}{2\alpha^3 D} (Q_0 + \alpha M_0); \quad C_4 = \frac{M_0}{2\alpha^2 D}. \quad (143.9)$$

Булар кўзда тутилганида  $w$  нинг қиймати қуйидагича ёзилади:

$$w = \frac{e^{-\alpha x}}{2\alpha^3 D} [\alpha M_0 (\sin \alpha x - \cos \alpha x) - Q_0 \cos \alpha x]. \quad (143.10)$$

Энг катта эгилиш трубанинг юкланган учига тўғри келади ва у қуйидагича ифодаланади:

$$(\omega)_{x=0} = -\frac{1}{2\alpha^2 D} (\alpha M_0 + Q_0). \quad (143.11)$$

Юкланган кесимнинг эгилишини топамиз:

$$\begin{aligned} \left( \frac{dw}{dx} \right)_{x=0} &= \frac{e^{-\alpha x}}{2\alpha^2 D} [2\alpha M_0 \cos \alpha x + Q_0 (\cos \alpha x + \sin \alpha x)]_{x=0} = \\ &= \frac{1}{2\alpha^2 D} (2\alpha M_0 + Q_0). \end{aligned} \quad (143.12)$$

122-параграфда қилганимиздек, қуйидаги функцияларни киритамиз:

$$\left. \begin{aligned} \varphi &= e^{-\alpha x} (\cos \alpha x + \sin \alpha x), & \theta &= e^{-\alpha x} \cos \alpha x; \\ \psi &= e^{-\alpha x} (\cos \alpha x - \sin \alpha x), & \xi &= e^{-\alpha x} \sin \alpha x. \end{aligned} \right\} \quad (143.13)$$

Бу функциялар орқали эгилиш  $w$  ва унинг кетма-кет ҳосилалари қуйидагича ёзилади:

$$\left. \begin{aligned} w &= -\frac{1}{2\alpha^3 D} [\alpha M_0 \psi(\alpha_1 x) + Q_0 \theta(\alpha_1 x)]; \\ \frac{dw}{dx} &= \frac{1}{2\alpha^2 D} [2\alpha M_0 \theta(\alpha_1 x) + Q_0 \psi(\alpha_1 x)]; \\ \frac{d^2 w}{dx^2} &= -\frac{1}{2\alpha D} [2\alpha M_0 \varphi(\alpha_1 x) + 2Q_0 \xi(\alpha_1 x)]; \\ \frac{d^3 w}{dx^3} &= \frac{1}{D} [2\alpha M_0 \xi(\alpha_1 x) - Q_0 \psi(\alpha_1 x)]. \end{aligned} \right\} \quad (143.14)$$

$\varphi$ ,  $\psi$ ,  $\theta$ ,  $\xi$  функцияларнинг қийматлари 479-бетдаги жадвалда ёки 446-шаклдаги графикда берилган. У жадвалдан ва графикдан аргумент  $\alpha x$  нинг кўпайиши билан  $\varphi(\alpha, x)$  ва  $\psi(\alpha, x)$  нинг нолга интилаётганини кўрамиз. Ҳақиқатан ҳам юпка қобиқларда ҳосил бўладиган эгилишнинг маҳаллий аҳамиятигина бор, холос.

#### 144-§. Цилиндрик резервуар ҳисоби

Пастки учи билан бикр асосга бириктирилган, солиштирма оғирлиги  $\gamma$  бўлган суюқлик билан тўлдирилган цилиндрик резервуарда ҳосил бўладиган кучланишни ҳисоблаймиз (509-шакл). Резервуар тўлдирилган суюқлик босими унинг эркин учидан ҳисобланган оралиққа пропорционал ўзгаради (509-шакл).  $x$  резервуар тагидан ҳисобланса, босим куйидагича бўлади:

$$P = -\gamma(h-x).$$

Дифференциал тенглама (143.4') нинг хусусий интеграл  $f_{(x)}$  куйидагича ёзилади:

$$f_{(x)} = \frac{\gamma(h-x)}{4a^4D}. \quad (144.1)$$

У ҳолда тенгламанинг умумий интеграл (143.6) га биноан, куйидагича ёзилади:

$$\omega = e^{\alpha x} (C_1 \cos \alpha x + C_2 \sin \alpha x) + e^{-\alpha x} (C_3 \cos \alpha x + C_4 \sin \alpha x) - \frac{\gamma(h-x)}{4a^4D}. \quad (144.2)$$

Амалда резервуар деворининг қалинлиги  $\delta$  унинг радиусига ва баландлигига қараганда жуда кичик бўлганидан, резервуарни чексиз узун деб қарашимиз мумкин. У ҳолда  $C_1$  ва  $C_2$  нолга тенг бўлади. Шунинг учун (143.2) куйидагича ёзилади:

$$\omega = e^{-\alpha x} (C_3 \cos \alpha x + C_1 \sin \alpha x) - \frac{\gamma(h-x)a^2}{E\delta}. \quad (144.2')$$

Резервуар асосининг деформацияланиш шартидан  $C_3$  ва  $C_4$  ни топамиз.

Резервуарнинг асоси абсолют бикр равишда қистириб тиралган бўлгани сабабли:

$$(w)_{x=0} = C_3 - \frac{\gamma a^2 h}{E\delta} = 0,$$

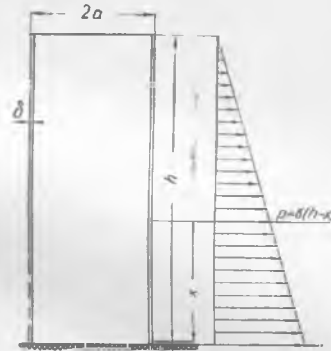
$$\left( \frac{d^2 w}{dx^2} \right)_{x=0} = \left[ -\alpha C_3 e^{-\alpha x} (\cos \alpha x + \sin \alpha x) + \alpha C_4 e^{-\alpha x} (\cos \alpha x - \sin \alpha x) + \frac{\gamma a^2}{E\delta} \right]_{x=0} = \alpha (C_4 - C_3) + \frac{\gamma a^2}{E\delta} = 0$$

бўлади. Бу тенгламалардан:

$$C_3 = \frac{\gamma a^2 h}{E\delta}, \quad C_4 = \frac{\gamma a^2}{E\delta} \left( h - \frac{1}{\alpha} \right)$$

келиб чиқади. Булар кўзда тутилганда (144.2') куйидагича ёзилади:

$$\omega = -\frac{\gamma a^2}{E\delta} \left\{ h - x - e^{-\alpha x} \left[ h \cos \alpha x + \left( h - \frac{1}{\alpha} \right) \sin \alpha x \right] \right\},$$



509-шакл.

(143.13) да ифодаланган функциялар орқали бу тенгламани қуйидагича ёзамиз:

$$w = -\frac{\gamma a^2 h}{E\delta} \left[ 1 - \frac{x}{h} - \theta(\alpha x) - \left( 1 - \frac{1}{ah} \right) \xi(\alpha x) \right]. \quad (144.3)$$

Бу ифода жадвал ва (143.1) дан фойдаланиб, цилинрик резервуарни ясовчиси бўйича ёрувчи айлана куч  $N_3$  ни ҳисоблашга имкон беради:

$$N_4 = -\frac{E\delta}{a} w = \gamma a h \left[ 1 - \frac{x}{h} - \theta(\alpha x) - \left( 1 - \frac{1}{ah} \right) \xi(\alpha_1 x) \right] \quad (144.4)$$

(144.3) нинг иккинчи ҳосиласи эғувчи моментни беради:

$$\begin{aligned} M_x &= -D \frac{d^2 w}{dx^2} = \frac{2a^2 \gamma a^2 D h}{E\delta} \left[ -\xi(\alpha_1 x) + \left( 1 - \frac{1}{ah} \right) \theta(\alpha_1 x) \right] = \\ &= \frac{\gamma a h \delta}{\sqrt{12(1-\mu^2)}} \left[ -\xi(\alpha_1 x) + \left( 1 - \frac{1}{ah} \right) \theta(\alpha_1 x) \right]. \end{aligned} \quad (144.5)$$

Худди шу тарзда кесиб ўтувчи куч  $Q$  ни ҳам ҳисоблашимиз мумкин.  $N_3$  ва  $M_x$  ифодасидан фойдаланиб, ҳар бир хусусий ҳол учун резервуарнинг ҳар қайси нуқтасидаги кучланишни ҳисоблаймиз. Эғувчи момент резервуарнинг асосида максимал қийматга эришади:

$$M_{\max} = (M_x)_{x=0} = \left( 1 - \frac{1}{ah} \right) \frac{\gamma a h \delta}{\sqrt{12(1-\mu^2)}} \quad (144.6)$$

Масалан, амалда ишлатилалиган цилинрик резервуар ўлчамларини оламиз, улар:  $a = 9,15$  м,  $h = 7,93$  м,  $\delta = 3,57$  мм,  $\mu = 0,25$  бўлсин. (142.5) дан  $\alpha = 0,00718 \frac{1}{см}$ ;  $\alpha h = 5,691$ . (144.6) дан  $M_{\max}$  ни топамиз, у:

$$M_{\max} = 6,338 \text{ кгм}$$

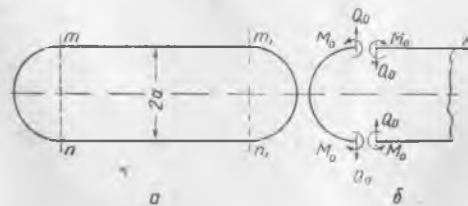
бўлади.

#### 145-§. Босим таъсиридаги газ баллонларининг ҳисоби

Газ баллонлари цилинрик резервуарларнинг уч томонларидаги асоси ярим сфералардан иборат бўлади (510-шакл). Цилиндр билан ярим сферанинг туташтирилган чоклари  $m$  ва  $m_1$ , дан узок жойлашган кесимлардаги кучланишларни юпка деворли идишлар ҳисоби учун чиқарилган (140.2) ва (140.3) формулалардан фойдаланиб қуйидагича ҳисоблашимиз мумкин:

$$N_x = \sigma_1 \delta = \frac{Pa}{2}, \quad N_\varphi = \sigma_2 \delta = Pa; \quad (145.1)$$

бу ерда  $P$  — газнинг баллонга кўрсатган ички босими.



510-шакл.

Сферик асосли баллон учун Лаплас тенгламаси, унга тенг ёйилган чўзувчи куч таъсир қилган чоқда қуйидагича ёзилади:

$$N = \frac{Pa}{2}. \quad (145.2)$$

Баллоннинг цилинрик қисми радиусининг абсолют чўзилиши (145.1) дан қуйидагича аниқланади:

$$\Delta a = \varepsilon_0 \cdot a - \mu \varepsilon_0 \cdot a, \text{ бунда } \varepsilon_0 = \frac{w}{a} \text{ бўлади, ёки:} \\ \Delta a = \frac{Pa^2}{E\delta} \left(1 - \frac{\mu}{2}\right). \quad (145.3)$$

Сферик асос радиусининг абсолют чўзилиши қуйидагича бўлади:

$$\Delta a_1 = \frac{Pa^2}{2E\delta} (1 - \mu). \quad (145.4)$$

Бу ифодалардан дарҳақиқат чок кесими бўйича узлуксизлик шартининг бажарилганлигини кўраимиз. Узлуксизлик шартининг тикланиши учун цилинрик қисм билан сферик қисм уланган жойдаги кесимда  $Q_0$  ва  $M_0$  нинг мавжуд бўлиши шарт. Қатъий усулни татбиқ этиб,  $Q_0$  билан  $M_0$  ни аниқлашда сферик қобик учун алоҳида, цилинрик қисми учун алоҳида тенгламалар тузиш ва узлуксизлик шартидан фойдаланиб, тегишли тенгламаларни чиқариш зарур эди. Аммо масалани мураккаблаштирмаслик учун, тақрибий равишда, туташтирилган чокни цилинрик сирт деб қараймиз. У ҳолда иккала қисмнинг қалинлиги бир хилда бўлса, айланиш бурчаги ҳам  $Q_0$  таъсиридан бир хилда бўлади. Модомики, узлуксизлик шартини  $Q_0$  нинг ўзи бажара олар экан,  $M_0 = 0$  бўлади.

Иккала қисми эгилишининг йиғиндисини радиал чўзилишлар айирмаси  $\Delta a - \Delta a_1$  га тенг бўлиши керак. Бу шартдан  $Q_0$  ни англашимиз мумкин. Баллон чоқида  $Q_0$  дан ҳосил бўлган эгилишни (143.11) дан аниқлаб, қуйидаги тенгламани оламиз:

$$\frac{Q_0}{a^3 D} = \Delta a - \Delta a_1 = \frac{Pa^2}{2E\delta}.$$

Бу тенгламадан (143.5) ни кўзда тутиб  $Q_0$  ни аниқлаймиз:

$$Q_0 = \frac{Pa^2 a^3 D}{2E\delta} = \frac{P}{\delta x}. \quad (145.5)$$

Энди (143.14) формуладан фойдаланиб,  $w$  ва  $M_x$  ни топамиз:

$$\left. \begin{aligned} w &= \frac{Q_0}{2a^2 D} \theta(\alpha_1 x); \\ M_x &= -D \frac{d^2 w}{dx^2} = -\frac{Q_0}{\alpha} \xi(\alpha_1 x). \end{aligned} \right\} \quad (145.6)$$

(145.5) даги  $Q_0$  нинг қийматини (145.6) га қўйиб, эгивчи момент  $M_x$  нинг қийматини аниқлаймиз:

$$M_x = -\frac{a\delta P}{b \sqrt{3(1-\mu^2)}} \xi(\alpha_1 x). \quad (145.7)$$

Бу момент абсолют қиймат жиҳатидан  $x = \frac{\pi}{4\alpha}$  бўлганида ўзининг максимал қийматига эга бўлади, чунки  $\xi(\alpha x)$  функциянинг биринчи ҳосиласи шу нуқтада нолга айланади. Лаплас тенгламаси билан аниқланган кучланиш ва  $(M_x)_{\max}$  дан ҳосил бўлган кучланишларни жамғариб, максимал чўзувчи кучланишни топish учун қуйидаги формулани оламиз:

$$(\sigma_x)_{\max} = \frac{Pa}{2\delta} \left[ 1 + \frac{3}{2} \frac{1}{\sqrt{3(1-\mu^2)}} \xi\left(\frac{\pi}{4}\right) \right] = 1,293 \frac{aP}{2\delta}. \quad (145.8)$$

## XXI боб

БАЛКАЛАРНИНГ УСТИВОРЛИГИГА ОИД БАЪЗИ  
МУРАККАБ МАСАЛАЛАР

## 146- §. Масаланинг қўйилиши

Балкаларнинг устивор мувозанатда бўлишига оид энг оддий масалаларни олдин тавсиф этган эдик. Замонамизда техниканинг тараққий этиши машиналар ва қурилиш конструкциялари элементларининг устивор мувозанатда бўлишига оид масалаларни кўплаб хал қилишни талаб қилади ва бу соҳани мукамалроқ баҳс қилиш учун амалий эластиклик назариясида, шунингдек, қурилиш механикасида махсус бўлим ажратилади. Бу бобда эластик системаларнинг устивор мувозанатда бўлиш шартига оид усулларни қисқача тавсифлаб, уларни амалда учрайдиган масалалар билан ойдинлаштирамиз. Эгилишга оид масалаларни текширганимизда, эластик деформацияланувчи стерженларнинг устиворлик мувозанати йўқолишига оид ҳодисанинг моҳиятини тушунтирган эдик; сиқувчи куч таъсиридан стержендаги сиқилиш деформацияси аста-секин ўсиб, куч маълум миқдорга егганда деформация ўз характерини ўзгартиб, сиқилишдан эгилишга айланади ва деформация жуда ҳам тез ортади. Айтилган масалани ечишда биз асосий сиқилиш деформациясini ҳисобга олмаган эдик; устиворлик масаласи текширилганда, стержень худди деформацияланмаган деб фарз қилинган эди; амалда учратиладиган муҳим масалаларни ечишда, кўпинча, худди шу тарзда фикр юритилади. 102- параграфда энг оддий ҳоллар учун устивор мувозанат шартини эгилган ўқ дифференциал тенгламаси интегралнинг маълум чегара шартларидан фойдаланиб текширган эдик. Эгилган ўқ дифференциал тенгламасини ечиш мураккаб оқибатларга келтирадиган чоқларда масалани энергетик усуллардан (материаллар қарши-лигининг умумий теоремаларидан) фойдаланиб ечиш қулай.

## 147- §. Бўйлама ва кўндаланг эгилиш

Материаллар қаршилигига оид масалалар каторига, бўйлама ва кўндаланг кучлар биргаликда таъсир этадиган призматик стерженлар ҳам кирди. Бу ҳолда кучланиш билан ташқи кучлар орасидаги тўғри чизиқли муносабат бузилади, шу билан бирга, кучлар таъсирининг бир-бирига боғлиқсизлик принципи ҳам ўз кучини йўқотади. Ҳақиқатан ҳам икки таянчда ётувчи балка ихтиёрий кўндаланг юк билан бирга, яна сиқувчи бўйлама куч  $N$  таъсирида бўлса, унинг бирор  $m = n$  кесимидаги эгувчи момент иккала йўналишда қўйилган кучларга боғлиқ бўлади (511- шакл). Бунда эгувчи моментининг бўйлама кучидан ҳосил бўладиган ҳиссаси балканинг тегишли кесимдаги салқилиги  $\omega$  га боғлиқ бўлади, яъни:

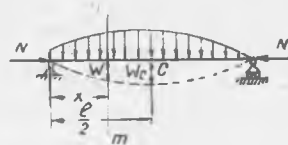
$$M = M_0 + N\omega; \quad (147.1)$$

бу ерда  $M_0$  — кўндаланг кучлардан ҳосил бўлган эгувчи момент.

Текширилаётган қирқимдаги энг катта кучланиш қуйидаги формула билан ифодаланади:

$$\sigma = \frac{N}{P} + \frac{M_0 + Nw}{W} \quad (147.2)$$

Текширилаётган ҳол учун кучлар таъсирининг бир-бирига боғлиқсизлик принциpidан фойдаланиб бўлмаслиги юқоридаги ифодадан яққол кўриниб турибди, чунки бўйлама ва қўндаланг кучларнинг таъсири алоҳида текширилганда эди, унда бўйлама кучнинг моменти нолга тенг бўлар эди. Ваҳоланки, балкага қўйилган юкларни  $n$  марта қўнай-тирсак, кучланиш  $n$  мартадан кўпроқ ошади. Чунки бўйлама куч  $N$  ва қўндаланг кучлардан ҳосил бўладиган эгувчи момент  $n$  марта ошгани сабабли  $Nw$  янада кўпроқ ошади. Шу туфайли кучланиш билан ташки юклар орасидаги тўғри муносабат бузилади.



511- шакл.

Бўйлама ва қўндаланг эгилишдаги кучланишни ҳисоблаш учун, аввало салқилик  $w$  ни аниқлаш лозим эканлиги (147.2) формуладан кўринади. Илгари текширилган масалаларда бундай ҳол учрамаган эди. Салқилик ( $w$ ) балканинг эгилган ўқнинг дифференциал тенгламасини интеграллаш йўли билан аниқланади:

$$\frac{d^2 w}{dx^2} = - \frac{M_0 + Nw}{EI} \quad (147.3)$$

Аmmo бу тенгламанинг интегралини ахтариш ўрнига эгилган ўқнинг бирор тақрибий формасига оид тенгламани олиш билан чегараланса ҳам бўлади. Қабул қилинган тақрибий формага оид тенглама таянч шартларини қаноатлантириш билан бирга максимал салқилик ҳосил бўладиган жойнинг ўрни юк схемасига мос келиши керак. Икки таянчда эгувчи балкага қўндаланг ёйилган ёки тўпланган юклар таъсир кўрсатса, энг катта салқиликни тахминан балканинг ўртасида деб ҳисоблаш мумкин. Шунинг учун бундай ҳолларда эгилган ўқнинг тақрибий формасига оид тенглама тарихида қуйидаги ифодани олса бўлади:

$$w = w_c \sin \frac{\pi x}{l} \quad (147.4)$$

Балканинг таянч нуқталарида салқилик нолга тенг бўлади; бу шартни қуйидагича ёзиш мумкин:  $x = 0$ ,  $x = l$  бўлганда,  $w = 0$  ва  $x = \frac{l}{2}$  бўлганда,  $w_{\max} = w_c$  бўлади. Бу шартдан  $w_c$  нинг киймати аниқланса, эгилган ўқнинг тақрибий формаси топилган бўлади. Юқорида келтирилган  $w$  ифодасининг  $x$  га нисбатан икки қайта ҳосиласини оламиз:

$$\frac{d^2 w}{dx^2} = - w_c \frac{\pi^2}{l^2} \sin \frac{\pi x}{l}$$

Буни эгилган ўқнинг дифференциал тенгламасига қўямиз:

$$w_c \frac{\pi^2}{l^2} \sin \frac{\pi x}{l} = \frac{M_0 + Nw}{EI}$$

Бу координатаси  $x$  бўлган ихтиёрый кесим марказининг салқилигидир. У ўрта кесими, яъни  $x = \frac{l}{2}$  учун қуйидагича ифодаланади:

$$w_c \frac{\pi^2}{l^2} = \frac{M_{c0} + Nw_0}{EI}$$

бу ерда  $M_{c0}$  — балканинг ўрта кесимидаги фақат кўндаланг кучлардан тузилган эғувчи момент. Бу момент қуйидагича аниқланади:

$$M_{c0} = \left( \frac{\pi^2 EI}{l^2} - N \right) w_c. \quad (147.5)$$

Қавс ичидаги биринчи хад Эйлер формуласи билан аниқланган критик кучдир, уни  $N_k$  билан белгиласак, балка ўртасидаги салқилик  $w_c$  қуйидагича ифодаланади:

$$w_c = \frac{M_{c0}}{N_c - N} = \frac{M_{c0}}{1 - \frac{N}{N_c}} \quad (147.6)$$

Агар  $N = 0$  бўлса, бу формуладан фойдаланиб, фақат балканинг қоқ ўртасида кўндаланг юк таъсирида ҳосил бўлган салқиликнинг тақрибий қиймати аниқланади:

$$w_{c0} = \frac{M_{c0}}{N_c}. \quad (147.7)$$

Бунинг назарда тутиб, (147.6) формулани қуйидагича ёзиш мумкин:

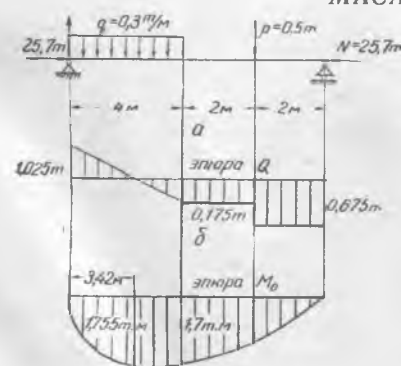
$$w_c = \frac{w_{c0}}{1 - \frac{N}{N_c}} \quad (147.8)$$

Шундай қилиб, эгилган ўқнинг тақрибий тенгламаси қуйидагича ёзилади:

$$w = \frac{w_{c0}}{1 - \frac{N}{N_c}} \cdot \sin \frac{\pi x}{l}. \quad (147.9)$$

Бу тақрибий назарияни битта конкрет масалага татбиқ қиламиз.

### МАСАЛА



8  
512- шакл.

193. 512- шаклда тасвирланган балка учун қуйидагилар маълум:

$$I = 1732 \text{ см}^4; \quad w = 216,6 \text{ см}^3; \quad E = 2,1 \cdot 10^6 \text{ кг/см}^2. \quad F = 43,9 \text{ см}^2.$$

Балка материали учун оқин чегараси  $\sigma_T = 3440 \text{ кг/см}^2$ . Мустаҳкамлик коэффициенти  $n$  аниқлансин.

Ечиш. Олдин кўндаланг кучлар, яъни эғувчи момент ва кесиб ўтувчи кучларнинг эпюраларини чизамиз. Улар тегишлича 512- шаклнинг б ва в қисмларида тасвирланган. Балканинг ўрта кесимидаги момент  $M_{c0} = 1,7 \text{ тм}$ . Қуйидаги формуладан критик кучни аниқлаймиз:

$$N_k = \frac{\pi^2 EI}{l^2} = \frac{10 \cdot 2,1 \cdot 10^6 \cdot 1732}{(800)^2} = 56,2 \text{ т.}$$

Балканинг қоқ ўртасида фақат кўндаланг юклар таъсиридан ҳосил бўлган салқиликни қуйидаги формуладан топамиз:

$$w_{c0} = \frac{M_{c0}}{P_k} = \frac{170}{56,2} = 3,03 \text{ см.}$$

Балканинг ўрта кесимида буйлама ва кундаланг кучлар таъсиридан ҳосил бўлган салқиликни эса қуйидаги формуладан аниқлаймиз:

$$w_c = \frac{w_{c0}}{1 - \frac{N}{N_{c0}}} = \frac{3,03}{1 - \frac{25,7}{56,2}} = 5,58 \text{ см.}$$

Хавфли кесим ҳам бу масалада балканинг ўртасига тўғри келаётир, шунинг учун:

$$M_{\max} = M_{c0} + Nw_c = 170 + 25,7 \cdot 5,58 = 313,5 \text{ тсм.}$$

бўлиши керак.

Энг катта кучланиш ботиқ томоннинг четдаги нуқтасида ҳосил бўлиб, у қуйидагича ифодаланади:

$$\sigma_{\max} = \frac{N}{F} + \frac{M_{\max}}{w} = \frac{25700}{43,9} + \frac{313500}{216,6} = 2030 \text{ кг/см}^2.$$

Бу масалани аниқроқ ечиш оқибатида чиққан натижа  $\sigma_{\max}$  учун 2085 кг/см<sup>2</sup> қийматини беради. Бу эса тақрибий қийматдан қуйидаги миқдорда фарқ қилади:

$$\frac{2085 - 2030}{2085} \cdot 100\% = 2,6\%.$$

Мустаҳкамлик коэффициентини ҳисоблаш учун оддий ҳолда оқим чегарасига тегишли кучланиш  $\sigma_T$  ни  $\sigma_{\max}$  га бўлар эдик, яъни:

$$\frac{\sigma_T}{\sigma_{\max}} = n; \quad n = \frac{3440}{2030} = 1,69.$$

Аммо буйлама кундаланг эгилишида кучланиш юкка қараганда тезроқ ўсгани сабабли, мустаҳкамлик коэффициенти  $n$  кичикроқ бўлиши керак, бу фикрнинг тўғрилигини қуйидагича исбот қилиш мумкин:

$$M_{\max} = M_{c0} + Nw_c = M_{c0} + N \frac{\frac{M_{c0}}{P_k}}{1 - \frac{N}{P_k}} \quad \text{бўлганидан:}$$

$$\sigma_{\max} = \frac{N}{F} + \frac{M_{c0}}{w} + \frac{N}{w} \cdot \frac{\frac{M_{c0}}{P_k}}{1 - \frac{N}{P_k}}$$

бўлади.

Барча юклар  $n$  марта кўпайтирилганда, хавфли нуқтада ҳосил бўладиган максимал кучланиш  $\sigma_{\max}$  балка материалнинг оқиш чегарасига тегишли қийматга эришсин, яъни  $\sigma_{\max} = \sigma_T$  бўлсин, у ҳолда:

$$\sigma_T = \frac{Nn}{F} + \frac{M_{c0}n}{w} + \frac{Nn}{w} \cdot \frac{\frac{M_{c0}n}{P_k}}{1 - \frac{Nn}{P_k}}$$

бўлади.

Берилган қийматларни ўз ўрнига қўйиб, тенгламани қуйидагича ёзамиз:

$$3440 = \frac{25700n}{43,9} + \frac{170000n}{216,6} + \frac{25700n}{216,6} \cdot \frac{\frac{170000n}{56,00}}{1 - \frac{25700n}{56200}}.$$

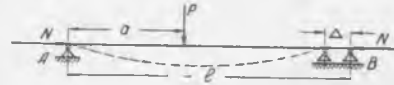
Бу тенгламадан  $n$  нинг қуйидаги иккита қийматини топамиз:

$$n = 5,55 \pm 4,21.$$

$n = 9,76$  илдининг ҳеч қандай физик маъноси йўқ, чунки  $n = 2,19$  бўлгандаёқ, охириги ҳаднинг махражи нолга айланиб, кучланиш чексиз қийматга интилади. Шунинг учун  $n = 1,34$  бўлади.

**148-§. Бўйлама ва кўндаланг куч таъсиридаги балканинг мустақамлигини энергетик усулда ҳисоблаш**

Олдинги параграфда балкаларнинг салкилигини топишда ишлатилган тенгламани (эгилган ўқнинг тенгламасини) тақрибий ифодалаш усулидан фойдаланиб, бўйлама ва кўндаланг юклар таъсиридаги икки учи билан тиралган балканинг салкилигини энергетик усулда ҳисоблаймиз (513-шакл).



513-шакл.

Балкага бўйлама куч  $N$  ва чап таянчдан  $a$  масофада жойлашган кўндаланг куч  $P$  таъсир қилмоқда деб фараз қилайлик.

Балка ўзига қўйилган кучлар таъсирдан эгилиб,  $A$  ва  $B$  нуқталар  $\Delta$  микдорга яқинлашади. Эгилган

балка ўқининг тақрибий ифодаси учун чегара шартларини қаноатлантирувчи синусоидани қабул қиламиз:

$$w = w_0 \sin \frac{\pi x}{l}$$

Бу ифодага кўра, балканинг эгилишдаги потенциал энергияси қуйидагича ифодаланади:

$$U = \frac{EI}{2} \int_0^l \left( \frac{d^2 w}{dx^2} \right)^2 dx = \frac{\pi^4 EI}{4l^3} w_0^2 \quad (148.1)$$

Балка учларининг яқинлашиши  $\Delta$  эгилган ўқнинг узунлиги билан унинг ватари айирмасыга тенг, яъни:

$$\Delta = \int_0^l (ds - dx); \quad ds = \sqrt{(dx)^2 + (dw)^2} = \left[ 1 + \left( \frac{dw}{dx} \right)^2 \right]^{\frac{1}{2}} dx$$

$w$  нинг кичиклигидан фойдаланиб  $\left[ 1 + \left( \frac{dw}{dx} \right)^2 \right]^{\frac{1}{2}}$  нинг тақрибий қийматини оламиз:

$$\left[ 1 + \left( \frac{dw}{dx} \right)^2 \right]^{\frac{1}{2}} \approx \left[ 1 + \frac{1}{2} \left( \frac{dw}{dx} \right)^2 + \dots \right] dx$$

Шунинг учун

$$\Delta = \frac{1}{2} \int_0^l \left( \frac{dw}{dx} \right)^2 dx$$

бўлади.  $w$  нинг қийматини келтириб қўйсақ:

$$\Delta = \frac{1}{2} \int_0^l \left( \frac{dw}{dx} \right)^2 dx = \frac{\pi w_0^2}{4l} \quad (148.2)$$

ҳосил бўлади. Балкага мумкин бўлган қўшимча эгилиш берамиз, у ҳолда унинг кўндаланг  $P$  юк қўйилган нуқтасининг мумкин бўлган кўчиши:

$$\delta w = \delta w_0 \sin \frac{\pi x}{l}$$

бўлади. Юк қўйилган нуқтанинг координатаси  $x = a$  бўлгандан:

$$\delta w = \delta w_0 \sin \frac{\pi a}{l}$$

бўлади. Бўйлама куч  $N$  қўйилган нуқта  $\delta \Delta$  га кўчади.  $\delta \Delta$  нинг қиймати қуйидагича аниқланади:

$$\delta \Delta = \frac{\pi^2 w_0}{2l} \delta w_0$$

Бу кўчишлар натижасида балканинг потенциал энергияси ўзгаради:

$$\delta v = \frac{\pi^4 E I}{2l^3} w_0 \delta w_0 \quad (a)$$

Юкларнинг энергиялари қуйидаги миқдорда озаяди:

$$\delta A = P \delta w + N \delta \Delta$$

ёки

$$\delta A = P \sin \frac{\pi a}{l} \delta w_0 + N \frac{\pi^2 w_0}{2l} \delta w_0 \quad (b)$$

$\delta v = \delta A$  бўлганидан (a) ва (b) тенгламалардан фойдаланиб, қуйидаги тенгламани ёзамиз:

$$\frac{\pi^4 E I}{2l^3} w_0 \delta w_0 = P \sin \frac{\pi a}{l} \delta w_0 + N \frac{\pi^2 w_0}{2l} \delta w_0.$$

$\delta w$  кўчиш тамоман ихтиёрий бўлганидан, унинг олдидаги коэффициентлар йиғиндиси нолга тенг бўлиши керак, яъни:

$$\left( \frac{\pi^4 E I}{2l^3} w_0 - N \frac{\pi^2 w_0}{2l} - P \sin \frac{\pi a}{l} \right) \delta w_0 = 0, \quad \delta w_0 \neq 0.$$

Шунинг учун

$$w_0 = \frac{2Pl \sin \frac{\pi a}{l}}{\pi^2 \left( \frac{\pi^2 E I}{l^2} - N \right)} \quad (148.3)$$

бўлади.  $\frac{\pi^2 E I}{l^2} = N_k$  Эйлер критик кучи бўлганидан (148.3) ни қуйидагича ёзамиз:

$$w_0 = \frac{2Pl^3 \sin \frac{\pi a}{l}}{\pi^4 E I \left( 1 - \frac{N}{N_k} \right)} \quad (148.4)$$

Бўйлама куч  $N$  мавжуд бўлмаса, кўндаланг юк қўйилган кесимнинг пайсайиши қуйидагича аниқланади:

$$f_0 = \frac{2Pl^3 \sin \frac{\pi a}{l}}{\pi^4 E I}$$

$P$  — куч балканинг қоқ ўртасига қўйилган бўлса:

$$f_0 = \frac{2Pl^3 \sin \frac{\pi a}{l}}{\pi^4 E I} = \frac{Pl^3}{48,7 EI}$$

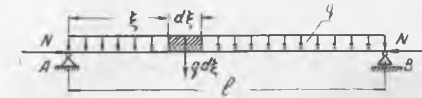
бўлади. Бу қиймат, шу ҳол учун чиқарилган аниқ қийматдан жуда ҳам кам фарқ қилади. Қўндаланг куч балка оралигининг қоқ ўртасига қўйилган ҳолда, бўйлама куч  $N$  ҳам мавжуд бўлса:

$$\omega_0 = \frac{f}{1 - \frac{N}{N_{\kappa}}} \quad (148.5)$$

бўлади. Эгилган ўқнинг ҳар қандай нуқтаси учун формулани қуйидагича ёзамиз:

$$\omega = \frac{f \sin \frac{\pi x}{l}}{1 - \frac{N}{N_{\kappa}}} \quad (148.6)$$

Бундан кўрамизки, бўйлама куч ўзининг критик қийматига эришса, эгилиш чексиз қийматга эга бўлади. Агар балкага унинг оралиги бўйича тенг ёйилган юк қўйилган тақдирда ҳам формула (148.3) ўз кучини сақлайди.



514-шакл.

Тенг ёйилган юк таъсиридаги балканинг бирор кесим координатасини  $\xi$  десак, бу кесим ёнидан ажратилган  $d\xi$  оралигидаги элементга  $qd\xi$  кучи қўйилган бўлади (514-шакл). Бу кучни (148.3) даги  $P$  нинг ўрнига қўйиб, у ифоданинг  $O$  дан  $l$  гача интегрални ҳисобласак, бунда  $N$  ва тенг ёйилган қўндаланг куч  $q$  таъсиридаги  $\omega$  ни аниқлаган бўламиз:

$$\omega_0 = \int_0^l \frac{ql^3 \sin \frac{\pi \xi}{l} d\xi}{EI \frac{\pi^4}{2} \left(1 - \frac{N}{N_{\kappa}}\right)} = \frac{ql^4}{EI \frac{\pi^4}{2} \left(1 - \frac{N}{N_{\kappa}}\right)}$$

Бўйлама куч мавжуд бўлмаган ҳолда, балканинг ўртасидаги эгилиш қуйидагича ифодаланади:

$$f_0 = \frac{bt^4}{\frac{\pi^5}{4} EI} \cong \frac{5}{384} \frac{ql^4}{EI} \quad (148.6')$$

Қўндаланг куч  $q$  билан бўйлама куч  $N$  нинг бирга қўшилиб, таъсир қилиши эгилган ўқнинг тенгламаси билан ифодаланади:

$$\omega = \frac{f_0 \sin \frac{\pi x}{l}}{1 - \frac{N}{N_{\kappa}}} \quad (148.7)$$

Энди шу келтирилган ҳол учун эгувчи моментни ифодалаш тенгламасини тузамиз:

$$M_{\max} = M_0 + Nf = \frac{ql^2}{8} + Nf;$$

(148.7) дан

$$f = \frac{f_0}{1 - \frac{N}{N_{\kappa}}} = \frac{ql^4}{384EI} \cdot \frac{1}{1 - \frac{N}{N_{\kappa}}}$$

Шунинг учун

$$M_{\max} = \frac{ql^2}{8} + N \frac{5}{384} \cdot \frac{ql^4}{384} \cdot \frac{1}{1 - \frac{N}{N_k}} = \frac{ql^2}{8} \left( 1 + \frac{1,028 \frac{N}{N_k}}{1 - \frac{N}{N_k}} \right).$$

$1,028 \approx 1,00$  ва  $\frac{N}{N_k} = \alpha$  десак, у ҳолда:

$$M_{\max} = \frac{ql^2}{8} \left[ 1 + \frac{\alpha}{1 - \alpha} \right] = \frac{ql^2}{8} \cdot \frac{1}{1 - \alpha} \quad (148.8)$$

бўлади (бу ифодадаги  $\alpha = \frac{N}{N_k}$  дир).

Энг катта кучланиш балканинг уст томони толаларида ҳосил бўлганидан:

$$\delta_{\max} = -\frac{N}{F} - \frac{M_{\max}}{W}$$

бўлади. Максимал кучланишнинг абсолют қиймати учун қуйидаги формулани оламиз:

$$\sigma_{\max} = \frac{N}{F} + \frac{ql^2}{7W} \cdot \frac{1}{1 - \alpha}. \quad (148.8')$$

Бундан кучланиш бўйлама ва қўндаланг кучлар қўшилиб таъсир кўрсатганда, қўйилган кучга пропорционал ўсмаётганлиги кўриниб турибди. Қўйилган юкларга кўра кучланиш тезроқ ўсмоқда. Масалан, балкага қўйилган юкларни икки марта кўпайтирсак,  $\frac{N}{F}$  билан  $\frac{ql^2}{8W}$  икки марта ошади, аммо  $\frac{1}{1 - \alpha}$  нинг ҳам кўпайиши (147.8) даги иккинчи ҳадни янада оширади, бунинг натижасида кучланиш икки мартадан кўпроқ ўсади. Шунинг учун бундай ҳолларда мустаҳкамлик шартини рухсат этилган кучланишга нисбатан текширмасдан, балки рухсат этилган юкка нисбатан текшириш лозим.

Ҳақиқатан ҳам, рухсат этилган кучланишга нисбатан мустаҳкамлик шарти қуйидагича ифодаланади:

$$\sigma_{\max} \leq [\sigma];$$

бу ерда:

$$[\sigma] = \begin{cases} \frac{\sigma_T}{K} \\ \frac{\sigma_b}{K} \end{cases}$$

$\sigma_T$  — пластик материаллар учун оқим чегараси;

$\sigma_b$  — мўрт материаллар учун мустаҳкамлик чегараси;

$K$  — мустаҳкамлик коэффициенти.

Материалда  $\sigma_T$  ёки  $\sigma_b$  дан ҳосил бўладиган хавфли ҳолатни тўғдириш учун, стержендаги кучланишларни  $K$  марта ошириш лозим. Бунинг учун биз текшираётган ҳолда қўйилган  $K$  га қараганда бирмунча камроқ миқдорга ошироқ зарур. Демак, рухсат этилган кучланиш бўйича танланган мустаҳкамлик коэффициенти  $K$  хавфсизликни таъмин этмайди. Хавфсиз-

ликни таъмин этиш учун ҳисоб рухсат этилган юк бўйича қилинмоғи зарур. Хулоса қилиб айтганда мустаҳкамлик шarti қуйидагича ифодаланади:

$$Q \leq [Q] = \frac{Q_T}{K};$$

бунда:

$Q$  — конструкцияга қўйилган юк;

$Q_T$  — конструкция учун хавfli юк.

Конструкцияда хавfli ҳолат кучланиши ундаги энг катта норма кучланиш оқиш чегарасига эришганда бошланади. Бу эса тажрибалар ва мавжуд конструкцияларнинг кучланиш ҳолатларини текширилгандаги кузатишлар орқали тасдиқланади. Бинобарин, хавfli ҳолат учун оқим чегарасини қуйидагича қабул қиламиз:

$$\frac{N_T}{F} + \frac{bl^2}{8W} \left[ \frac{1}{1-\alpha_T} \right] = \sigma_T. \quad (148.9)$$

Бунда  $\alpha_T = \frac{N}{N_T}$  дир.

Қўйилиши мумкин бўлган  $[N]$  ва  $[q]$  сонлар, конструкциянинг хавfli ҳолатига тегишли бўлиб, улар  $N_T$  ва  $q_T$  қийматидан  $K$  марта кичикдир, яъни:

$$N_T = [N] \cdot K, \quad q_T = [q] \cdot K.$$

Буларнинг қийматини (148.9) га қўйсак:

$$\frac{K[N]}{F} + \frac{K[q]l^2}{8W} \frac{1}{1-K\alpha} \leq K[\sigma]$$

бўлади. Ҳар иккала томонини  $K$  га қисқартсак қуйидаги келиб чиқади:

$$\frac{[N]}{F} + \frac{[q]l^2}{8W} \frac{1}{1-K\alpha} \leq [\sigma].$$

Конструкцияга қўйилган юклар қуйидаги шартларни қондириши керак:

$$N \leq [N], \quad q \leq [q].$$

Шунинг учун мустаҳкамлик шarti қуйидаги кўринишда ифодаланади:

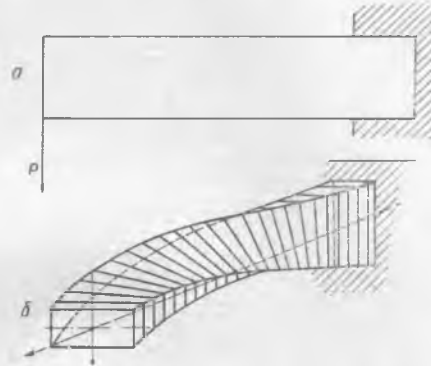
$$\frac{N}{F} + \frac{ql^2}{8W} \frac{1}{1-K\alpha} \leq [\sigma]. \quad (148.10)$$

Бу формуладан фойдаланишда шуни кўзда тутиш керакки, биз расман  $\frac{\tau^2 EI}{I^2}$  ни  $N_k$  билан белгиладик. Гарчи бу  $N_k = \frac{\pi^2 EI}{l^2}$  кўриниш жиҳатидан Эйлер формуласини эслатса-да, мазмунан у критик сиқувчи куч эмас, чунки кўндаланг кесим юзасини танлаганда, нейтрал ўққа нисбатан инерция моменти  $I$  нинг максимал қиймати олинди.

Эйлер формуласида эса унинг минимал қиймати олинар эди. Биз текшираётган ҳолда эгилиш текислиги  $Oxz$  энг катта бикрлик текислиги бўлгани сабабли бу текисликда балканинг устиворлиги йўқолмайди. Аммо бикрлиги энг катта бўлган текисликдаги мустаҳкамлик шартининг бажарилиши билан унга тик бўлган  $Oxy$  текислигига балканинг минимал бикрлик текислиги тўғри келгани боисидан балка шу текисликда эгилганда уз устиворлигини йўқотиши мумкин. Шунинг учун кўндаланг эгилишдаги устиворликни таъмин этиш зарур. Бу масала тўғрисида кейинги параграфларда гапирилади.

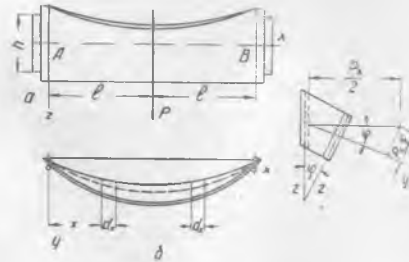
## 149- §. Балкаларнинг кўндаланг эгилишдаги устиворлиги

Эгилиш текислиги энг катта бикрлик текислигига тўғри келган ҳолларда эгувчи кучлар маълум чегарадан ўтса, кўндаланг кесим ўз текислигидан оғиб, устивор мувозанатини йўқота бошлайди. Бу ҳодиса характери-ни кўз олдимишга келтириш учун бир учи қистириб маҳкамланган линейкани мисол қилиб оламиз. Линейка текислигини вертикал ҳолатда сақлаб, унинг эркин учига қўйилган юкни аста-секин кўпайтириб бор-сак, юкнинг маълум қийматида линейка устивор мувозанатни йўқотади ва унинг вертикал текислиги горизонтал ҳолатга айланади. Схематик равишда бу ҳол 515-шакл, *a*, *b* да тасвирланган. Балкаларнинг кўндаланг устиворлиги уларнинг кўндаланг ва бўйлама ўлчамларига боғлиқдир. Кўндаланг критик кучни турли ҳоллар учун аниқлашга ўтамиз. Текис эгилган балка учун кўндаланг устиворлигини йўқотган пайтига тўғри келган критик юк қийматини тақрибий равишда ҳисоблаймиз.



515- шакл.

Икки таянчда ётувчи балканинг кўндаланг кесим юзаси тўғри тўртбурчак бўлиб, таянчлар оралигининг коқ ўртасига  $P$  юк қўйилган бўлсин (516-шакл, *a*).  $P$  юк критик қийматга эришгач, балкани эгилиш текислигидан чиқариб, уни ёнбошига ағдарган деб фараз қилайлик. У ҳолат 516-шакл, *b* ва *c* ларда тасвирлангандир.



516- шакл.

Ўз текислигидан фақат  $A$  ва  $B$  кесимларгина оғмайди. Деформациянинг ёнбош томонига қараб ҳосил бўлиши, қўшимча эгилиш ва буралиш ҳисобига балкада потенциал энергияни оширади (қўшимча эгилиш горизонтал текисликда рўй беради). Балканинг ёнбошга эгилишдаги потенциал энергиясини  $U_1$  ва буралишдан ҳосил бўлган потенциал энергиясини  $U_2$  билан белгилаймиз. Балканинг ёнбош томон деформацияланиши натижасида юкнинг бажарган ишини  $A_p$  билан белгилаймиз. Қўйилган юк критик қийматга эришганда, балка бир мувозанат ҳолатдан бошқа мувозанат ҳолатга ўтади. Иккинчи юкнинг иши ўзгариб, у қўшимча потенциал энергияга айлангани сабабли:

бўлади.

$$U_1 + U_2 = A_p$$

$$(149.1)$$

Балка ёнбошга қараб эгилганда унинг қўндаланг кесими,  $z_1$  ўқи атрофида айланганидан (518-шакл) бу деформациясига тегишли потенциал энергия қуйидагича бўлади.

$$U_1 = \int \frac{M^2(x) dx}{2EI_z}. \quad (a)$$

$x$  оралиқдаги қўндаланг кесим  $P$  кучнинг йўналишга нисбатан ( $z$  ўқига нисбатан)  $\theta$  бурчакка оғади ва  $P$  кучнинг бош инерция ўқларидаги проекциялари  $P \cos \theta$  ва  $P \sin \theta$  га тенг бўлади. Бурчак  $\theta$  жуда ҳам кичик бўлгани сабабли  $\cos \theta \approx 1$ ,  $\sin \theta = 0$  деб қабул қилсак бўлади. У ҳолда бирор кесимдаги эгувчи момент қуйидаги кўринишда ёзилади:

$$M(x) = \frac{P}{2} x \sin \theta = \frac{P}{2} x \theta.$$

Эгувчи моментнинг бу қийматини (a) га қўйиб қуйидагини ҳосил қиламиз:

$$U_1 = \frac{P^2}{8EI_z} \int_0^l x^2 \theta^2(x) dx = \frac{P^2}{4EI_z} \int_0^{\frac{l}{2}} x^2 \cdot \theta^2(x) dx; \quad (149.2)$$

буралиш деформациясига оид потенциал энергия  $U_2$  ни ҳисоблаймиз:

$$dU_2 = \frac{M_k d\theta}{2}; \quad d\theta = \frac{M_k dx}{GI_p}.$$

Аmmo,

$$M_k = GI_p \frac{d\theta}{dx} \text{ ва } d\theta = \frac{d\theta}{dx} dx$$

бўлгандан

$$dU_2 = \frac{GI_p}{2} \frac{d\theta}{dx} \cdot \frac{d\theta}{dx} dx = \frac{GI_p}{2} \left( \frac{d\theta}{dx} \right)^2 dx$$

бўлади. Балканинг ёнбошга оғиши туфайли буралишдан ҳосил бўлган тўла потенциал энергия қуйидагича ифодаланади:

$$U_2 = \frac{GI_p}{2} \int_0^l \left( \frac{d\theta}{dx} \right)^2 dx = GI_p \int_0^{\frac{l}{2}} \left( \frac{d\theta}{dx} \right)^2 dx. \quad (149.3)$$

Энди  $P$  юкнинг бажарилган ишини ҳисоблаш учун,  $u$  қўйилган нуқта  $O$  нинг вертикал кўчишини топамиз.

Қўндаланг кесим ёнбошга оғиши натижасида  $XOZ$  текислигидан чиқиб кетади; бу ҳол  $O$  нуқтанинг вертикал кўчишига сабаб бўлади. Баён қилинган кўчиш  $\delta$  ни Кастильяно теоремаси ёрдамида аниқлашимиз мумкин.

Бунинг учун (149.2) нинг  $P$  га нисбатан ҳосиласини оламиз:

$$\delta = \frac{\partial U_1}{\partial P} = \frac{P}{2EI_z} \int_0^{\frac{l}{2}} x^2 \theta^2(x) dx. \quad (149.4)$$

$P$  юкнинг бу кўчишдаги бажарган иши қуйидагича бўлади:

$$A_p = P\delta = \frac{P^2}{2EI_z} \int_0^{\frac{l}{2}} x^2 \theta^2(x) dx. \quad (149.5)$$

$U_1$ ,  $U_2$  ва  $A_p$  ning қийматини (149.1) га қўйиб қуйидагини ҳосил қиламиз:

$$\frac{P^2}{4EI_z} \int_0^{\frac{l}{2}} x^2 \theta^2(x) dx + GI_p \int_0^{\frac{l}{2}} \left(\frac{d\theta}{dx}\right)^2 dx = \frac{P^2}{2EI_z} \int_0^{\frac{l}{2}} x^2 \theta^2(x) dx.$$

Бундан, ёнбошга ағдарувчи критик куч формуласи қуйидагича бўлади:

$$P_k = 4C_1 C_2 \frac{\int_0^{l/2} \left(\frac{d\theta}{dx}\right)^2 dx}{\int_0^{l/2} x^2 \theta^2(x) dx}. \quad (149.6)$$

Бунда  $C_1$  ва  $C_2$  ўзгармас сонлар бўлиб, улар қуйидагича ифодаланади:  $C_1 = EI_z$ ,  $C_2 = GI_p$ . Интеграл остида ўзаро боғланган иккита ўзгарувчан сон бор, улар  $x$  ва  $\theta = \theta(x)$  дир,  $\theta$  ning  $x$  орқали аналитик ифодаси маълум эмас. Масалани тақрибий ечиш ниятида бўлсак, у чоқда буралиш бурчаги  $\theta$  билан абсцисса орасидаги муносабатни бирор қулайроқ ва тақрибий функция орқали ифодалаймиз. Қабул қилинган бу функция текширилаётган балканинг чегара шартларини, албатта, қаноатлантириши шарт. Масалан, бу функцияни қуйидаги кўринишда ифодалайлик:

$$\theta = K \sin \frac{\pi x}{l}. \quad (149.7)$$

Бу ифодага асосан  $x=0$  бўлганда  $\theta=0$ ,  $x=\frac{l}{2}$  бўлганда эса  $\theta = \theta_{\max} = K$  ва  $x=l$  бўлганда  $\theta=0$  бўлади. Юқоридakilардан кўрамизки, бу функция балканинг барча деформацияланиш шартларини қаноатлантирар экан. Энди унинг қийматини (149.6) га қўйиб, интегралларни ҳисоблаш натижасида қуйидаги формулани оламиз:

$$P_k = \frac{17,2}{l^2} \sqrt{C_1 C_2}. \quad (149.8)$$

Агар биз критик куч  $P$  ни, эгилган ўқнинг дифференциал тенгламасини интеграллаш оқибатида топсак, унинг аниқроқ қиймати келиб чиқади:

$$P_k = \frac{16,93}{l^2} \sqrt{C_1 C_2}.$$

Бу формулалардан критик кучнинг тақрибий қиймати билан аниқ қиймати ўртасидаги тафовутнинг жуда ҳам кичик (1,5% миқдорда) эканлиги кўриниб турибди. Критик кучнинг қиймати балканинг ёнбош эгилишидаги ва буралишдаги бикрликлари ( $C_1 = EI_z$ ,  $C_2 = GI_p$ ) га боғлиқ бўлаётир. Юк икки таянчда ётувчи балканинг оралиги бўйича тенг ёйилган бўлса, унинг кўндаланг устиворлигини бузувчи критик кучнинг қиймати:

$$(q l)_k = \frac{28,3}{l^2} \sqrt{C_1 C_2} \quad (148.9)$$

бўлади.

Тенг ёйилган юк таъсиридаги консол учун:

$$(q l)_k = \frac{12,85}{l^2} \sqrt{C_1 C_2} \quad (149.10)$$

Балка ёнбошга қараб эгилганда унинг кўндаланг кесими  $z_1$  ўқи атрофида айланганидан (518-шакл) бу деформациясига тегишли потенциал энергия қуйидагича бўлади.

$$U_1 = \int \frac{M^2(x) dx}{2EI_z}. \quad (a)$$

$x$  оралиқдаги кўндаланг кесим  $P$  кучнинг йўналишга нисбатан ( $z$  ўқиغا нисбатан)  $\theta$  бурчакка оғади ва  $P$  кучнинг бош инерция ўқларидаги проекциялари  $P \cos \theta$  ва  $P \sin \theta$  га тенг бўлади. Бурчак  $\theta$  жуда ҳам кичик бўлгани сабабли  $\cos \theta \approx 1$ ,  $\sin \theta = 0$  деб қабул қилсак бўлади. У ҳолда бирор кесимдаги эгувчи момент қуйидаги кўринишда ёзилади:

$$M(x) = \frac{P}{2} x \sin \theta = \frac{P}{2} x \theta.$$

Эгувчи моментнинг бу қийматини (a) га қўйиб қуйидагини ҳосил қиламиз:

$$U_1 = \frac{P^2}{8EI_z} \int_0^l x^2 \theta^2(x) dx = \frac{P^2}{4EI_z} \int_0^{\frac{l}{2}} x^2 \cdot \theta^2(x) dx; \quad (149.2)$$

буралиш деформациясига оид потенциал энергия  $U_2$  ни ҳисоблаймиз:

$$dU_2 = \frac{M_k d\theta}{2}; \quad d\theta = \frac{M_k dx}{GI_p}.$$

Аммо,

$$M_k = GI_p \frac{d\theta}{dx} \text{ ва } d\theta = \frac{d\theta}{dx} dx$$

бўлгандан

$$dU_2 = \frac{GI_p}{2} \frac{d\theta}{dx} \cdot \frac{d\theta}{dx} dx = \frac{GI_p}{2} \left( \frac{d\theta}{dx} \right)^2 dx$$

бўлади. Балканинг ёнбошга оғиши туфайли буралишдан ҳосил бўлган тўла потенциал энергия қуйидагича ифодаланади:

$$U_2 = \frac{GI_p}{2} \int_0^l \left( \frac{d\theta}{dx} \right)^2 dx = GI_p \int_0^{\frac{l}{2}} \left( \frac{d\theta}{dx} \right)^2 dx. \quad (149.3)$$

Энди  $P$  юкнинг бажарилган ишини ҳисоблаш учун, у қўйилган нуқта  $O$  нинг вертикал кўчишини топамиз.

Кўндаланг кесим ёнбошга оғиши натижасида  $XOZ$  текислигидан чиқиб кетади; бу ҳол  $O$  нуқтанинг вертикал кўчишига сабаб бўлади. Баён қилинган кўчиш  $\delta$  ни Кастильяно теоремаси ёрдамида аниқлашимиз мумкин.

Бунинг учун (149.2) нинг  $P$  га нисбатан ҳосиласини оламиз:

$$\delta = \frac{\partial U_1}{\partial P} = \frac{P}{2EI_z} \int_0^{\frac{l}{2}} x^2 \theta^2(x) dx. \quad (149.4)$$

$P$  юкнинг бу кўчишдаги бажарган иши қуйидагича бўлади:

$$A_p = P\delta = \frac{P^2}{2EI_z} \int_0^{\frac{l}{2}} x^2 \theta^2(x) dx. \quad (149.5)$$

$U_1$ ,  $U_2$  ва  $A_p$  нинг қийматини (149.1) га қўйиб қуйидагини ҳосил қиламиз:

$$\frac{P^2}{4EI_z} \int_0^{\frac{l}{2}} x^2 \theta^2(x) dx + GI_p \int_0^{\frac{l}{2}} \left(\frac{d\theta}{dx}\right)^2 dx = \frac{P^2}{2EI_z} \int_0^{\frac{l}{2}} x^2 \theta^2(x) dx.$$

Бундан, ёнбошга ағдарувчи критик куч формуласи қуйидагича бўлади:

$$P_k = 4C_1 C_2 \frac{\int_0^{l/2} \left(\frac{d\theta}{dx}\right)^2 dx}{\int_0^{l/2} x^2 \theta^2(x) dx} \quad (149.6)$$

Бунда  $C_1$  ва  $C_2$  ўзгармас сонлар бўлиб, улар қуйидагича ифодаланади:  $C_1 = EI_z$ ,  $C_2 = GI_p$ . Интеграл остида ўзаро боғланган иккита ўзгарувчан сон бор, улар  $x$  ва  $\theta = \theta(x)$  дир,  $\theta$  нинг  $x$  орқали аналитик ифодаси маълум эмас. Масалани тақрибий ечиш ниятида бўлсак, у чоқда буралиш бурчаги  $\theta$  билан абсцисса орасидаги муносабатни бирор қулайроқ ва тақрибий функция орқали ифодалаймиз. Қабул қилинган бу функция текширилаётган балканинг чегара шартларини, албатта, қаноатлантириши шарт. Масалан, бу функцияни қуйидаги кўринишда ифодалайлик:

$$\theta = K \sin \frac{\pi x}{l}. \quad (149.7)$$

Бу ифодага асосан  $x=0$  бўлганда  $\theta=0$ ,  $x=\frac{l}{2}$  бўлганда эса  $\theta = \theta_{\max} = K$  ва  $x=l$  бўлганда  $\theta=0$  бўлади. Юқоридагилардан кўрамикки, бу функция балканинг барча деформацияланиш шартларини қаноатлантирар экан. Энди унинг қийматини (149.6) га қўйиб, интегралларни ҳисоблаш натижасида қуйидаги формулани оламиз:

$$P_k = \frac{17,2}{l^2} \sqrt{C_1 C_2}. \quad (149.8)$$

Агар биз критик куч  $P$  ни, эгилган ўқнинг дифференциал тенгламасини интеграллаш оқибатида топсак, унинг аниқроқ қиймати келиб чиқади:

$$P_k = \frac{16,93}{l^2} \sqrt{C_1 \cdot C_2}.$$

Бу формулалардан критик кучнинг тақрибий қиймати билан аниқ қиймати ўртасидаги тафовутнинг жуда ҳам кичик (1,5% миқдорда) эканлиги кўриниб турибди. Критик кучнинг қиймати балканинг ёнбош эгилишидаги ва буралишдаги бикрликлари ( $C_1 = EI_z$ ,  $C_2 = GI_p$ ) га боғлиқ бўлаётир. Юк икки таянчда ётувчи балканинг оралиги бўйича тенг ёйилган бўлса, унинг кўндаланг устиворлигини бузувчи критик кучнинг қиймати:

$$(ql)_k = \frac{28,3}{l^2} \sqrt{C_1 \cdot C_2} \quad (148.9)$$

бўлади.

Тенг ёйилган юк таъсиридаги консол учун:

$$(ql)_k = \frac{12,85}{l^2} \sqrt{C_1 \cdot C_2} \quad (149.10)$$

ва консолнинг бўш учига қўйилган юк учун,

$$P_k = \frac{4,01}{l^2} \sqrt{C_1 C_2} \quad (149.11)$$

булади.

Қўш тавр балка учун, критик кучнинг қиймати худди туғри тўрт бурчакли кесим учун чиқарилган формулага ўхшаш бўлиб, фақат  $\sqrt{C_1 \cdot C_2}$  олдидagi коэффициент ўзгарувчи сон булади ва у қўш таврли кесимнинг тоқча (полка) ларининг ёнбош томонга оғишга курсатадиган қаршилигига боғлиқдир, у коэффициент қуйидаги муносабат орқали аниқланади:

$$\alpha = \frac{C_2}{C_1} \left( \frac{l}{h} \right)^2; \quad (149.12)$$

бунда:

$h$  — қўш таврли кесимнинг баландлиги.

Учлари билан турлича тиралган ва ихтиёрий равишда юкланган қўш-тавр балка учун критик куч қуйидаги формула билан топилади:

$$P_k = \frac{\beta}{l^2} \sqrt{C_1 \cdot C_2}. \quad (149.13)$$

Бунда  $\beta$  коэффициент юкнинг турларига ва  $\alpha$  га боғлиқдир. Бу коэффициентлар орасидаги боғланиш қуйидаги жадвалда берилгандир.

$\beta$  коэффициентни аниқлаш жадвали

| $\alpha = \frac{C_2}{C_1} \left( \frac{l}{h} \right)^2$ | $\beta_1$ | $\beta_2$ | $\beta_3$ | $\alpha = \frac{C_2}{C_1} \left( \frac{l}{h} \right)^2$ | $\beta_1$ | $\beta_2$ | $\beta_3$ |
|---|-----------|-----------|-----------|---|-----------|-----------|-----------|
| 0,1   | 31,6      | 86,4      | 143,0     | 16,0  | 5,08      | 18,3      | 30,5      |
| 1,0   | 9,26      | 31,9      | 53,0      | 20,0  | —         | 18,1      | 30,1      |
| 2,0   | 8,03      | 25,6      | 42,6      | 32,0  | —         | 17,9      | 29,4      |
| 4,0   | 6,73      | 21,8      | 36,3      | 50,0  | —         | 17,5      | 29,0      |
| 6,0   | 6,19      | 20,3      | 33,8      | 10,0  | —         | 17,4      | 28,8      |
| 8,0   | 5,87      | 19,6      | 32,6      | 90,0  | 4,04      | 17,2      | 28,6      |
| 12,0  | 5,36      | 18,8      | 31,5      | 100,0   | 4,04      | 17,2      | 28,6      |

Эслатма.

$\beta_1$  — учига юк қўйилган консол учун;

$\beta_2$  — икки таянчда ётувчи ва ораликлари ўртасидаги юк қўйилган балка учун;

$\beta_3$  — икки таянчда ётиб, ёйилган юк таъсиридаги балка учун.  $\frac{l}{h}$  нисбатан ошиб борган

сари коэффициент  $\beta$  туғри тўрт бурчакли кесим учун чиқарилган қийматга яқинлашаётир. Агар  $\alpha = 100$  бўлса,  $\beta$  коэффициент туғри тўрт бурчакли кесим учун чиқарилган қийматга жуда ҳам яқинлашади.

Эгилган балка кундаланг устиворлигининг таъмин этилиши учун ундаги энг кагта нормал кучланиш устиворлик учун рухсат этилган кучланишдан ошмаслиги шарт. Устиворлик учун рухсат этилган кучланиш қуйидагича булади:

$$[\sigma_y] = \frac{\sigma_k}{k_y}.$$

$k_y$  — устиворлик учун эҳтиётлик коэффициенти.

Балканинг ҳар бир типдаги юкланган ҳоли учун критик оқимини аниқлаб тегишли критик кучланишни ҳисоблаймиз:

$$\sigma_k = \frac{(M_{\max})_k}{W_y}. \quad (149.14)$$

бунда:

$(M_{\max})_k$  — критик сонга тегишли максимал эгувчи момент,  
 $W_y$  — кесим юзасининг қаршилик моменти.

Шуни ҳам эслатиб ўтиш керакки, чиқарилган хулосалар фақат, критик кучланишнинг қиймати материалнинг пропорционаллик чегарасига тегишли кучланишдан ошмаган тақдирдагина гуфғри бўлади.

194-масала. Уzunлиги  $l = 6$  м, кўндаланг кесими  $60^a$  номерли кўш тавр учлари билан икки таянчга тиралиб, интенсивлиги  $q = 10$  т/м<sup>2</sup> бўлган балка тенг ёйилган юк таъсирдан эгилади. Мустақамлик ва устиворлик коэффициентлари  $k = k_y = 1,7$ ; эгилиш учун рухсат этилган кучланиш  $[\sigma] = 1600$  кг/см<sup>2</sup>; балканинг мустақамлик ва кўндаланг устиворлик шарти аниқлансин.

Е ч и ш. Кўндаланг кесим ўлчамларини Сортамент жадвалидан оламиз (518-шакл)  $h = 60$  см,  $b = 17,6$  см,  $\delta_1 = 1,3$  см,  $h_1 = 55,6$  см,  $W_y = 2800$  см<sup>3</sup>.  $I_z = 1700$  см<sup>4</sup>  $\delta_2 = 2,2$  см. Балканинг мустақамлигини текширамиз:

$$M_{\max} = \frac{ql^2}{8} = \frac{10 \cdot 6^2}{8} = 45 \text{ т м} = 45 \cdot 10^8 \text{ кг} \cdot \text{см}.$$

$$\sigma_{\max} = \frac{M_{\max}}{W_y} = \frac{45 \cdot 10^8}{2800} = 1605 \frac{\text{кг}}{\text{см}^2} = [\sigma].$$

Бундан балканинг мустақамлик шартининг таъминланганлиги куришиб турибди. Энди унинг кўндаланг устиворлигини текширамиз (149.13) формуладан фойдаланамиз:

$$(ql)_k = \frac{\beta}{l^2} \sqrt{C_1 C_2}, \quad C_1 = EI_z, \quad C_2 = GI_p.$$

Кўш таврли кесим учун буралишдаги поляр инерция моментини топишда курсимизнинг бош қисмида чиқарилган формуладан фойдаланамиз:

$$I_p \approx \frac{1}{3}(h_1 \delta_1^3 + 2b\delta_2^3) = \frac{1}{3}(55,6 \cdot 1,3^3 + 17,6 \cdot 2,2^3) = 160 \text{ см}^4.$$

Эластиклик модули  $E = 2,1 \cdot 10^6 \frac{\text{кг}}{\text{см}^2}$ ,  $\frac{E}{G} = 2(1 + \mu) = 2,6$  бўлса,

$$(ql)_k = \frac{\beta_3}{l^2} \sqrt{EI_z \cdot \frac{E}{2,6}} I_p = \frac{E}{\beta_3 l^2} \sqrt{\frac{1700 \cdot 160}{2,6}} = 324 \beta \frac{E}{l^2}$$

бўлади.  $\beta$  коэффициентни 572-бетдаги жадвалдан аниқлаш учун олдин  $\alpha$  ни ҳисоблаймиз:

$$\alpha = \frac{C_2}{C_1} \left( \frac{l}{h} \right)^2 = \frac{GI_p}{EI_z} \left( \frac{l}{h} \right)^2 = \frac{160}{2,6 \cdot 1700} \left( \frac{600}{60} \right)^2 = 3,62.$$

Жадвалдан  $\alpha = 2$  ва  $\alpha = 4$  миқдорларига тегишли  $\beta$  қийматларини интерполяциялаб, биз текшириладиган ҳол учун  $\beta_3 = 37,5$  эканлигини чиқарамиз. Кўндаланг устиворлиқнинг йўқола бошланишига сабаб бўлган критик кучнинг энг кичик қиймати:

$$(ql)_k = 324 \beta_3 \frac{E}{l^2} = \frac{324 \cdot 37,5 \cdot 2,1 \cdot 10^6}{600} = 70800 \text{ кг}$$

бўлади.

Критик кучланиш эса:

$$\sigma_k = \frac{(M_{\max})_k}{W_y} = \frac{(ql)_k l}{8W_y} = \frac{70800 \cdot 600}{8 \cdot 2800} = 1900 \text{ кг/см}^2$$

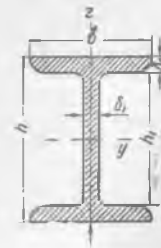
бўлади.

Устиворлик учун рухсат этилган кучланиш:

$$[\sigma_1] = \frac{\sigma_k}{K_y} = \frac{1900}{1,7} = 1120 \text{ кг/см}^2$$

бўлади.

Демак, устиворлиқни таъмин этиш учун мустақамликдаги рухсат этилган кучланиш 1600 — 1120 = 480 кг/см<sup>2</sup> миқдорда камайтириш керак бўлар экан. Бошқача айтганда, балкага қўйилган юкни бу мисол учун 30 % га камайтирмоқ зарур, яъни юк интенсивлигини  $q = 10$  Т/м ўрнига  $q = 7$  Т/м олиш керак бўлади.



518-шакл.

## XXII боб

## ДИНАМИК ЮКЛАРНИНГ ТАЪСИРИ

## 150- §. Умумий мулоҳазалар

Тез ҳаракатланадиган машиналарнинг тобора кўпайиши, қурилишларда турли кранларнинг кенг миқёсда ишлатилиши, шунингдек, турли транспорт иншоотларининг барпо бўлиши, улар қисмларида ҳосил бўладиган динамик факторларни яхшилаб ўрганиш заруратини туғдиради.

Ҳаракатдаги иншоот ва машина қисмларининг динамик кучлар таъсирига бардош берадиган қилиб тайёрлаш масаласини, уларда ҳосил бўладиган динамик факторларни аниқламасдан туриб, ҳал қилиб бўлмайди.

*Иншоот ва машина қисмларининг ҳаракат қилиш вақтида уларнинг турли нуқталарида ҳосил бўладиган деформация ва кучланишлар динамик факторлар деб аталади.* Бу миқдорларни аниқлаш учун эластик жисмларга қаттиқ жисм динамикасининг қонунларини татбиқ қилиш зарурдир.

Иншоот ва машина қисмларининг ҳаракатида, уларга тегишли нуқталарининг тезликлари ўзгариши натижасида тезланишлар ҳосил бўлади. Бу эса у нуқталарда инерция кучларини ҳосил қилади. Бу инерция кучлар қўшни нуқталарга ташқи кучлар тарзида таъсир кўрсатади. Демак ўзгарувчи ҳаракатдаги жисмларда, ташқи кучларнинг манбаи жисмнинг ўзида бўлар экан. Бунинг натижасида уларда ҳосил бўладиган инерция кучи, қўшимча динамик кучланишларни вужудга келтиради.

Иншоот ва машиналарнинг ҳаракат қилаётган қисмларида ҳосил бўладиган тезланишларни аниқлаб, уларга тегишли инерция кучларини ҳисоблаш лозим. Бу инерция кучларини ташқаридан бевосита қўйилган куч билан мувофиқ равишда қўшиб, мустақкамлиги текширилаётган жисмни статик куч таъсирида қандай ҳисобланса, бу ҳолда ҳам ҳисобни худди шу тарада бажариш лозим. Инерция кучларини аниқлаганда шу кейинги уч ҳолни фарқлай билиш лозим.

1. Агар иншоот ва машинанинг текширилаётган қисмига қўйилган ташқи юк, унинг деформациясига боғлиқ бўлмаса ва деформация ҳаракат характерини ўзгартмаса, у ҳолда ҳаракатланаётган жисм нуқталарининг тезланишини, қаттиқ жисм кинематикасида кўрсатилган қонунда мувофиқ ҳисоблаш мумкин. Бу ҳолда динамик фактор, инерция кучи билан бевосита қўйилган ташқи кучларнинг йиғиндисидан иборат бўлади.

2. Агар, иншоот ёки машиналарнинг ҳаракатдаги қисмлари ўз нуқталарига тегишли тезланишларининг йўналишларини ўзгартиб турсалар, у қисмларда тебраниш ҳаракати ҳосил бўлиб резонанс ҳодисаси рўй бериши мумкин. Бу ҳодиса конструкция қисмларида ҳосил бўладиган деформация ва кучланишларни кескин равишда кўпайтириб юборади. Бу кучланишлар жуда катта қийматларга эришиб, уларни статик юк билан инерция кучи таъсиридан ҳосил бўладиган кучланишлар билан солиштириб бўлмайди.

3. Тезланиш миқдори ва бунинг натижасида ҳаракатланувчи жисмда ҳосил бўладиган инерция кучи текширилаётган қисмнинг деформациясига боғлиқ бўлиши мумкин. Бундай ҳол жисмга жуда ҳам қисқа муддат ичида таъсир кўрсатувчи, яъни зарбали куч таъсир этган пайтда рўй беради.

Айтилган учала ҳол учун мустақкамлик шартининг текширилишини қуйида конкрет масалаларда кўрсатамиз.

### 151-§. Инерция кучлари таъсиридаги иншоот ва машина қисмларининг ҳисоби

Дастлаб динамик кучлар таъсиридаги конструкция қисмларининг мустақамлик шартига оид энг оддий масалаларни текшираемиз. Агар иншоот ва машиналарнинг ҳаракатланувчи қисмларига тааллуқли нуқталарнинг тезланиши ўзгармас қийматга эга бўлса, бу қисмлар тебранма ҳаракат тундирмайди.

Масалан, лифтхонасига жойланган оғирлиги  $Q$  бўлган юкни ўзгармас тезланиш  $a$  см/сек<sup>2</sup> билан юқорига кўтарилган пулат троснинг кўндаланг кесимида ҳосил бўладиган динамик кучланишни ҳисоблайлик (519-шакл). Троснинг кўндаланг кесим юзи  $F$ , солиштирма оғирлиги  $\gamma$  бўлсин. Унинг пастки учидан  $x$  масофадаги кесими бўйича кесиб паст қисмининг мувозанатини текшираемиз. Юк юқорига қараб ҳаракатланаётганидан, унга пастга қараб таъсир кўрсатувчи оғирлик кучи  $(Q + \gamma Fx)$  дан ташқари, яна инерция кучи  $(\frac{Q + \gamma Fx}{g} a)$  ҳам таъсир кўрсатади.

Текшириладиган кесимдаги ички кучлар, Даламбер принципига мувофиқ, юқорида келтирилган кучлар билан мувозанатлашиши зарур, яъни:

$$\sigma_d F = Q + \gamma Fx + \frac{Q + \gamma Fx}{g} a$$

бўлиши керак. Шунга кўра динамик кучланиш қуйидагича ифодаланади:

$$\sigma_d = \frac{Q + \gamma Fx}{F} + \frac{Q + \gamma Fx}{gF} a = \frac{Q + \gamma Fx}{F} \left(1 + \frac{a}{g}\right).$$

Бунда  $\frac{Q + \gamma Fx}{F}$  текшириладиган кесимдаги статик кучланишдир; шунинг учун динамик кучланишни аниқлаш формуласини қуйидагича ёзса бўлади:

$$\sigma_d = \sigma_{ст} \left(1 + \frac{a}{g}\right). \quad (151.1)$$

$1 + \frac{a}{g} = \alpha_d$  деб белгиласак,

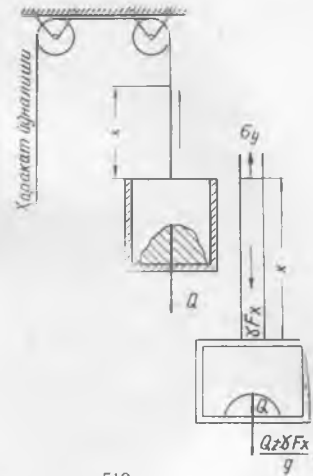
$$\sigma_d = \alpha_d \cdot \sigma_{ст} \quad (151.2)$$

бўлади. Бунда:  $\alpha_d$  — динамик коэффициент.

Демак, динамик кучланиш  $\sigma_d$  ни, динамик коэффициент воситаси билан статик кучланиш  $\sigma_{ст}$  орқали ифодаласа бўлар экан.

Мустақамлик шартини қуйидагича ёзишимиз мумкин:

$$\sigma_d = \sigma_{max} \left(1 + \frac{a}{g}\right) = \alpha_d \sigma_{max} \leq [\sigma],$$



519-шакл.

бундан:

$$\sigma_{\max} < \frac{[\sigma]}{1 + \frac{a}{g}} = \frac{[\sigma]}{u_0} \quad (151.3)$$

булиши керак.

Шундай қилиб, рухсат этилган кучланиш динамик коэффициент воситаси билан камайтирилса, динамик ҳисоб статик ҳисоб билан алмаштирилса булар экан. Масалан, динамик коэффициентни назарий мулоҳазалар билан аниқлаш қийин булган ҳолларда, уни эксперимент йўли билан аниқлаб, тегишли рухсат этилган кучланиш ҳисобланади.

Иккинчи оддий масала сифатида айланма ҳаракатдаги ҳалқада ҳосил бўладиган кучланишни ҳисоблаймиз. Кегайлар таъсири ҳисобга олинмаганида, маховой гилдиракнинг тўғини худди шундай шаронгта ишлайди (520-шакл). Ҳалқанинг кундаланг кесим юзи  $F$ , солиштира оғирлиги  $\gamma$ , диаметри  $D$ , қалинлиги  $\delta$ , бурчак тезлиги  $\omega$  бўлсин. Ҳалқадан узунлиги  $ds$  булган бир элементни ажратамиз. Ҳалқа айланганида, бу элемент узгармас бурчак тезлиги  $\omega$  билан айланади.  $\omega = \text{const}$  бўлганидан,  $\varepsilon = 0$  бўлиб,  $W_n = \frac{\varepsilon D}{2} = 0$  бўлади. Элементнинг марказга интилувчи тезланиши  $W_n = \frac{D\omega^2}{2}$  бўлиб, у ҳалқа марказига қараб йўналган бўлади.  $\sigma_d$  ни ҳисоблаш учун ҳалқанинг ҳар бир элементига тегишли инерция кучини қўйиш зарур. У куч радиус бўйлаб ҳалқанинг ташқи томонига қараб йўналган бўлади (марказдан қочувчи куч). Унинг қиймати қуйидагича ифодаланади:

$$q ds = \frac{F\gamma}{g} W_n ds = \frac{F\gamma}{g} \cdot \frac{D\omega^2}{2} ds;$$

бунда

$q$  — тўғиннинг узунлик бирлигига тўғри келадиган инерция куч. Демак, узгармас бурчак тезлиги билан айланаётган ҳалқа, интенсивлиги  $q$  булган радиал юк таъсиридаги ҳалқа каби ишлар экан. Биз бундай ҳолни илгари текширган эдик. Бу ҳолда ҳалқани чўзувчи куч  $N$  қуйидагича ифодаланган эди:

$$N = \frac{Dq}{2}.$$

Бундан фойдаланиб, динамик кучланиш  $\sigma_d$  ни қуйидагича ҳисоблаймиз:

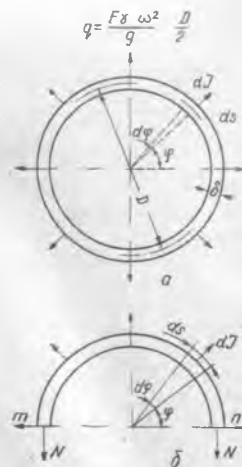
$$\sigma^d = \frac{N}{F} = \frac{Dq}{2F} = \frac{DF\gamma}{2gF} \cdot \frac{D\omega^2}{2} = \frac{\gamma D^2\omega^2}{4g} = \frac{\gamma v^2}{g}$$

бунда:

$v = \frac{D\omega}{2}$  — ҳалқа нуқтасининг айланма тезлиги.

Демак, ҳалқа тўғинининг кундаланг кесимидаги кучланиш материалнинг солиштира оғирлиги ва айланма тезлигига боғлиқ булар экан.

Динамик кучланиш  $\sigma_d$  рухсат этилган тегишли кучланиш  $[\sigma]$  дан ошмаслиги лозим.



520-шакл.

Бу шартдан фойдаланиб, доиравий критик тезлик қийматини қуйидагича аниқлаймиз:

$$\sigma_d = \frac{\gamma v^2}{g} \leq [\sigma] \quad (151.4)$$

дан:

$$V_k = \sqrt{\frac{g}{\gamma} [\sigma]} \quad (151.5)$$

ёки

$$n_k = \frac{60}{\pi D} \sqrt{\frac{g}{\gamma} [\sigma]} \quad (151.6)$$

булади. Бунда

$n_k$  — бирлик вақт ичида ҳалқа айланиш сонининг критик қиймати.

Учинчи мисол тариқасида спарник ва шатунда ҳосил бўладиган динамик кучланишларни аниқлаймиз.

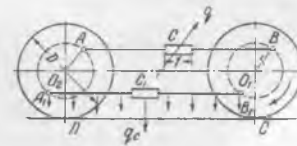
Спарник (521-шакл)  $AB$  паровозининг иккита ўқини туташтирувчи қисмдир. Етакловчи ўқ  $O_1$  паровоз машинасидан айлантирувчи моментни қабул қилади. Спарник  $A$  ва  $B$  нуқталарда шарнир воситаси билан ғилдиракларга туташтирилиб,  $O_1B = O_2A = r$  бўлади, ғилдирак диаметри  $D$ , спарник узунлиги  $AB = l$  бўлиб, паровоз  $v$  тезликда ҳаракатланади. Спарник паровозга нисбатан ҳаракатланган ҳолда, паровоз билан бирга тезлиги  $v$  бўлган кўчирма ҳаракат ҳам қатнашмоқда. Кўчирма ҳаракат ўзгармас тезликдаги илгарилама ҳаракат бўлганидан, спарник нуқталарида фақат нисбий ҳаракатдангина тезланишлар ҳосил бўлиши мумкин. Спарникнинг  $A$  ва  $B$  нуқталарининг тезлиги бир хилда бўлганидан, у илгарилама ҳаракат қилади. Шунинг учун спарник  $AB$  нинг барча нуқталари  $A$  ва  $B$  нуқталарининг тезлик ва тезланишига тенг бўлган тезлик ва тезланишларга эга бўлади. Паровоз ўзгармас тезлик  $v$  билан ҳаракатланганидан, унинг ғилдираклари ҳам ўзгармас бурчак тезлиги  $\omega$  билан айланади. Бинобарин ғилдиракнинг бурчак тезланиши ҳамда  $A$  ва  $B$  нуқталарнинг тангенциал тезланишлари нолга тенг,  $\omega_c = 0$  бўлади. Бунда фақат  $A$  дан  $O_2$  ва  $B$  дан  $O_1$  га қараб йўналган марказга интилувчи  $\omega^2$  тезланишлар мавжуддир. Спарникнинг ҳар қандай нуқтасининг, масалан, бирор  $C$  нуқтасининг тезланиши ҳам худди шундай бўлиб,  $O_2A$  га параллел йўналади. Спарникнинг мустақкамлигини текшириш учун, ташқи куч тариқасида унинг узунлик бирлигига тўғри келган оғирлиги  $F\gamma$  билан унга тегишли инерция кучи қўшилган қийматини олиш лозим. Ҳар бир узунлик бирлигидаги инерция кучи қуйидагича аниқланади:

$$q = \frac{F\gamma}{g} \omega^2 r \quad (151.7)$$

бу куч,  $O_2A$  га параллел равишда тезланишга қарама-қарши йўналади.

Спарникнинг энг хавфли ҳолати унинг пастки  $A_1B_1$  ҳолатидир. Бу ҳолатда инерция кучи билан унинг оғирлиги қўшилади, чунки улар бир йўналишга тўғри келиб қоладилар. Шундай қилиб спарникнинг узунлик бирлигига тўғри келган тўла юк қуйидаги формуладан топилади:

$$q_d = F\gamma + \frac{F\gamma}{g} \omega^2 r = F\gamma \left(1 + \frac{\omega^2 r}{g}\right) \quad (151.8)$$



521-шакл.

Спарник  $A$  ва  $B$  нуқталарига шарнир воситаси билан бириктирилган ва тенг ёйилган юк таъсиридаги балка деб қаралса энг катта эгувчи момент унинг ўрта кесимида ҳосил бўлиб, у момент қуйидагича аниқланади:

$$M_{\max} = \frac{q_0 l^2}{8} = \frac{\gamma F l^2}{8} \left(1 + \frac{\omega^2 r}{g}\right). \quad (151.9)$$

Бу кесимдаги энг катта нормал кучланиш эса қуйидагича бўлади:

$$\sigma_{\sigma} = \frac{M_{\max}}{W} = \frac{F}{W} \cdot \frac{\gamma l^2}{8} \left(1 + \frac{\omega^2 r}{g}\right). \quad (151.10)$$

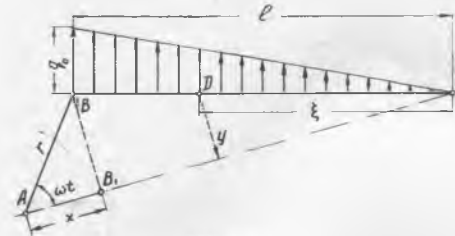
Спарник эгилишидан талқари, яна айланма куч  $P$  таъсирида сиқилади ҳам. Салқилик эътиборга олинмаса, (151.10) га сиқувчи куч таъсиридан ҳосил бўладиган кучланишларни ҳам қўшиш лозим, у ҳолда:

$$\sigma_{\max} = \frac{P}{F} + \frac{\gamma F l^2}{8W} \left(1 + \frac{\omega^2 r}{g}\right) \leq [\sigma] \quad (151.11)$$

бўлади.

Масалага жиддийроқ қаралса, спарник бўйлама ва кўндаланг эгилиш вазариясига мувофиқ ҳисобланиши лозим.

Шатунни ҳисоблашда (522-шакл), шатун ўқидаги алоҳида нуқталари-



522-шакл.

нинг горизонтал кўчиши кривошип бармоғи  $B$  горизонтал проекциясини  $B_1$  нинг кўчишига тенг қилиб олинади.  $B_1$  нинг ҳолатини  $A$  нуқтадан ҳисобланган масофасини  $x$  орқали белгилаб кривошипнинг ҳар қандай айланиш бурчаги учун тўғри келган  $x$  нинг қиймати қуйидаги тенглама билан ифодаланади:

$$x = r \cos \omega t.$$

Вертикал кўчиши эса шатуннинг турли нуқталари учун турлича бўлиб унинг ўнг учи  $C$  дан  $\xi$  оралигидаги  $D$  нуқтаси учун тенглама қуйидаги кўринишда ёзилади:

$$y = \frac{\xi}{l} \cdot r \sin \omega t.$$

Бу  $D$  нуқтанинг тезланиш проекциялари қуйидагича ифодаланади:

$$W_x = \ddot{x} = -r \omega^2 \cos \omega t;$$

$$W_y = \ddot{y} = -\frac{\xi}{l} r \omega^2 \sin \omega t.$$

Шатуннинг  $AC$  ўққа оғиши ҳисобга олинмаса,  $W_y$  тезланишни шатун ўқига тик деб қараш мумкин. Бу тезланишга тегишли инерция кучининг интенсивлиги қуйидагича аниқланади:

$$q = \frac{F\gamma}{g} W_y = -\frac{\xi}{l} \frac{F\gamma}{g} r \omega^2 \sin \omega t.$$

Эвг юқулай ҳолат  $\sin \omega t = 1$  бўлган ҳолга тўғри келади. Энг катта интенсивлилик  $B$  нуқтада бўлиб, қуйидагича аниқланади:

$$q_0 = \frac{F\gamma}{g} r \omega^2.$$

Шундай қилиб, шарнир воситаси билан икки таянчга боғланган ва уч-бурчак қонунига асосан бир текис ёйилма юк таъсиридаги балка ҳосил бўлади.

Максимал эгувчи момент  $C$  нуқтадан  $\xi = \frac{l}{\sqrt{3}}$  ораликдаги кесимга тўғри келади. Унинг қиймати қуйидаги формула билан топилади:

$$M_{\max} = \frac{2}{9\sqrt{3}} \frac{F\gamma}{g} \frac{r\omega^2 l^2}{2} = 0,128 \frac{F\gamma}{g} \cdot \frac{r\omega^2 l^2}{2}. \quad (151.12)$$

Энди тегишли кучланишни ҳисоблаш қийин эмас. Кривошипнинг вертикал ҳолатида  $\sin \omega t = 1$  бўлиб,  $\cos \omega t = 0$  бўлади; бинобарин  $BC$  бўйлаб таъсир кўрсатувчи инерция кучи ҳам нолга тенг бўлади.

**МАСАЛАЛАР**

195. Қўндаланг кесими квадрат бўлган  $AB$  пўлат стержень шакл текислигига тик  $A$  ўқ атрофида ўзгармас бурчак тезлиги  $\omega$  билан айлантирилса, унда ҳосил бўладиган нормал кучланиш  $\sigma_n$  дан ошмаслиги учун шу пўлат стержень минутига қанчадан айланиши керак? (523-шакл). Берилган:

$$E = 2 \cdot 10^6 \text{ кг/см}, \quad l = 0,75 \text{ м},$$

$$F = 1800 \text{ см}^2, \quad \sigma_n = 2500 \text{ кг/см}^2, \quad \gamma = 7,85 \text{ г/см}^3.$$

$n_{\max}$  нинг бу қийматида стерженнинг абсолют чўзилиши ҳам аниқлансин.

Е ч и ш. Стерженнинг пастки учидан  $x$  ораликдаги қирқим олдидан чексиз кичик элемент  $dx$  ни ажратамиз. Бу элементнинг инерция кучи қуйидаги кўринишда ёзилади:

$$dI = \frac{F\gamma}{g} dx \cdot \omega^2 x.$$

Текшириляётган кесимнинг юқори қисмига таъсир кўрсатувчи инерция куч қуйидаги формула билан аниқланади:

$$I = \int_x^l \frac{F\gamma}{g} \omega^2 x dx = \frac{F\gamma\omega^2}{2g} (l^2 - x^2).$$

Максимал инерция куч  $A$  нуқтада бўлиб, унинг миқдори юқорида келтирилган формулага  $x = 0$  қўйиб топилади:

$$I_{\max} = \frac{F\gamma}{2g} \omega^2 l^2 = \sigma_n \cdot F;$$

бундан:  $\omega = \frac{\pi n}{30}$ . Бинобарин стерженнинг максимал айланиш сони қуйидагича **ифодаланади**:

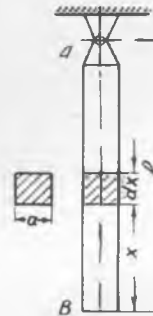
$$n_{\max} = \frac{l}{\pi l} \sqrt{\frac{1800g\sigma_n}{\gamma}} \cong 3180 \text{ айл/мин}$$

$dx$  элементнинг чўзилиши қуйидагича аниқланади:

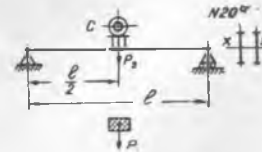
$$\delta(dx) = \frac{l dx}{EF}.$$

Стерженнинг чўзилиши эса қуйидаги формуладан топилади:

$$\Delta l = \int_0^l \frac{l dx}{EF} = \frac{\gamma\omega^2}{2gE} \int_0^l (l^2 - x^2) dx = \frac{\gamma\omega^2 l^3}{3gE} = 0,062 \text{ см}.$$



523- шакл.



524- шакл.

196. 20<sup>a</sup> номерли иккита қўштавр балкага ўрнатилган лебёдка *C* ўзгармас тезланиш билан оғирлиги  $P_1 = 5 \text{ T}$  юкни қўтарди (524-шакл).  $t = 3 \text{ сек}$  ўтганда юк  $h = 10 \text{ м}$  баландликка қўтарилди. Лебёдканинг оғирлиги  $P_2 = 0,5 \text{ T}$ , балка оралиги  $l = 4 \text{ м}$  бўлса, балканинг мустаҳкамлиги текширилсин:

Е ч и ш. Ҳаракат тенг тезланишли бўлганидан:

$$h = \frac{at^2}{2} \text{ бўлади, бундан } a = \frac{2h}{t^2} = \frac{2 \cdot 10}{9} = 2,2 \text{ м/сек}^2$$

келиб чиқади. Балкага таъсир этувчи умумий юк:

$$Q = P_1 \left( 1 + \frac{a}{g} \right) = 5 \left( 1 + \frac{2,2}{9,81} \right) = 6,13 \text{ T.}$$

Лебёдканинг оғирлиги ҳисобга олинганда эса:

$$Q = Q + P_2 = 6,63 \text{ T.}$$

Максимал эгувчи момент балканинг қоқ ўртасига тўғри келади.  $\mathcal{W}$  момент қуйдагича аниқланади:

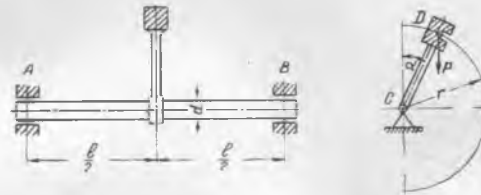
$$M_{\max} = \frac{6630 l}{4} + \frac{2 a l^3}{8} = 67400 \text{ кг/см}$$

$\mathcal{W} = 2237 \text{ см}^3$  бўлганда:

$$\sigma_{\max} = \frac{M}{\mathcal{W}} = \frac{67400}{2237} = 1420 \text{ кг/см}^2.$$

бўлади.

197. Материалларни зарба кучига синашда ишлатиладиган. Шарпи Капёрининг *CD* тебрангичи унинг горизонтал *AB* ўқи атрофида айланади (525-шакл). Синаш олдидан тебрангични вертикал ҳолатгача қўтариб, унинг ўз оғирлиги таъсиридан пастга тушишга мажбур қилади. Инерция кучи таъсиридан *AB* ўқида ҳосил бўладиган энг катта нормал кучланиш аниқлансин. Қуйдаги миқдорлар берилган  $P = 25 \text{ кг}$ ;  $r = 0,75 \text{ м}$ ,  $l = 0,25 \text{ м}$ ,  $d = 2 \text{ см}$ . *CD* ва *AB* стерженларининг ўз оғирликлари ҳисобга олинмасин.



525-шакл

Е ч и ш. Олдин маятникнинг синалаётган материалга қандай тезлик билан тегишини аниқлаймиз. Бунинг учун кинетик энергия ҳақидаги теоремадан фойдаланиб қуйдагича ёзамиз:

$$\frac{PV^2}{2g} = P \cdot 2r, \text{ бундан } V^2 = 4rg$$

Ўққа таъсир кўрсатувчи зўриқиш, тебрангич учидagi юк билан марказдан қочувчи инерция кучидан иборат бўлиб, у қуйдагича аниқланади:

$$Q = P + \frac{PV^2}{rg} = 25 + \frac{25}{9,81} \cdot \frac{3 \cdot 9,81}{0,75} = 125 \text{ кг.}$$

$$M_{\max} = \frac{Ql}{4} = \frac{125 \cdot 25}{4} = 780 \text{ кгсм.}$$

$$\mathcal{W} = 0,1d^3 = 0,8 \text{ см}^3.$$

$$\sigma_{\max} = \frac{780}{0,8} \cong 1000 \text{ кг/см}^2.$$

**152- §. Динамик юклар таъсиридан иншоот ва машина қисмларида ҳосил бўладиган тебранма ҳаракатлар**

Машина ва иншоот қисмларига даврий ёки умуман уйғотувчи кучлар таъсир кўрсатса, улар тебранма ҳаракат қилади. Бу *мажбурий тебраниш* деб аталади. Ўтказилган назарий текширишлар ва қузатилган тажрибалар даврий юклар таъсиридан ҳосил бўладиган деформацияларнинг, шу миқдордаги статик юклар таъсиридан ҳосил бўладиган деформацияларга қараганда анча катталигини кўрсатади. Шунинг учун ҳам, мажбурий тебранишдаги машина ва иншоот қисмларига алоҳида эътибор бериш зарур. Машина ва иншоот қисмлари мажбурий тебранишдан қатъи назар, эркин тебраниш ҳаракатини ҳам бажаради. *Агар эркин тебраниш ҳаракатининг даври уйғотувчи куч даврига мос келиб қолса, резонанс ҳодисаси рўй беради.* Бу ҳодисада тебраниш амплитудаси вақт ўтиши билан кескин ўсиб, унинг миқдори қўйилиши мумкин бўлган деформацияга қараганда бир неча марта кўп бўлади. Бунинг натижасида тегишли кучларни қўйиш ҳам хавfli бўлиб қолиши мумкин. Шунинг учун иншоот ва машиналарни лойиҳалашда, уларнинг тебранувчи қисмида резонанс ҳодисасининг юз бериши кўзда тутилса, шу қисмларга юк қўймаслик чоралари кўрилади. Уйғотувчи ёки силтовчи кучларнинг даври олдиндан маълум миқдор бўлганидан лойиҳа тузувчи инженернинг ихтиёрида фақат эркин тебраниш даврига колади. Уни мажбурий тебраниш даврига ҳеч қачон мос келмайдиган қилиб танлаш зарур.

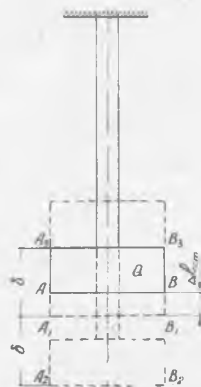
Иншоот ва машина қисмларида учрайдиган эркин ва мажбурий тебраниш типлари билан танишиб чиқайлик.

Иншоот ва машиналарнинг кўпроқ қисми призматик стержень бўлганидан, уларда ҳосил бўладиган тебраниш типлари билан танишиш зарур. Призматик стерженлар бўйлама буралиш ва кўндаланг тебраниш ҳаракатини бажариши мумкин. Масалан, 526-шаклда тасвирланган, узунлиги  $l$  бўлган призматик стержень учига оғирлиги  $Q$  бўлган  $AB$  диск осилган. Стержень, унинг учига осилган дискнинг оғирлиги  $Q$  таъсиридан  $\Delta l_{ст}$  миқдорга чўзилади, бинобарин диск  $A_1B_1$  ҳолатни эгаллайди. Агар стерженни ўз учига осилган юк билан бирга чўзиб туриб, кейин уни ўз ҳолига қўйиб юборсак, диск ўз мувозанат ҳолати  $A_1B_1$  ёнида эркин тебраниб ҳаракат қилади. Эркин тебранган диск пастки ҳолат  $A_2B_2$  га келгач, стержень  $\Delta l$  миқдорга чўзилади; дарҳол диск яна инерция кучининг таъсирида ўзининг дастлабки,  $A_1B_1$  ҳолати орқали ўтиб,  $A_3B_3$  вазиятини эгаллайди. Дискнинг бу кейинги ҳолатида стержень  $\Delta l$  миқдорда сиқилади. Қайтарувчи куч таъсиридан диск яна  $A_1B_1$  орқали ўтиб, ўзининг дастлабки пастки ҳолатига қайтади. Шундай қилиб, эркин тебраниш узоқ вақт давом этади.

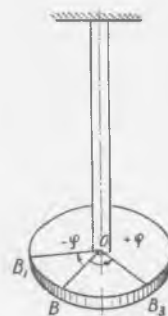
Худди шундай ҳол стержень буралган тақдирда ҳам рўй беради; агар стерженнинг учига ўрнатилган дискни унинг текислигида ётувчи уйғотувчи жуфт ёрдамида бир сз бураб туриб, кейин у ўз ҳолига ташлаб қўйилса, диск эркин буралиш тебранма ҳаракатини бажаради. Натижада дискнинг бирон  $OB$  радиуси  $OB_1$  ва  $OB_2$  ҳолатларини олиб  $+\varphi$  дан  $-\varphi$  миқдорига буралади (527-шакл).

Худди шундай ҳолни икки таянчда ётувчи балкага қўйилган юк  $Q$  га кўндаланг туртки бериб, балканинг кўндаланг тебранишини қузатишимиз мумкин (528-шакл). Балкага қўйилган юк статик мувозанат ҳолати  $D_0$  ёнида кўндаланг тебраниб,  $D_1$  дан  $D_2$  ҳолатига ўтади ва бу ҳаракатни чексиз қайтаради. Тебранувчи қисмларни динамик куч таъсирига бардош берадиган қилиб ҳисоблаш учун уларнинг нуқталарини ўз мувозанат ҳолатидан

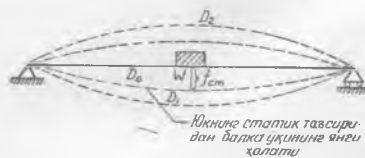
Энг катта огишини билишимиз зарур. Бу энг катта огишга *амплитуда* дейлади. Амплитуда тебраниш ҳаракатининг энг муҳим параметрларидандир. Бундан ташқари, тебраниш ҳаракатни, бир тебраниш учун сарфланган *вақт-давр* ёки маълум вақт ичида бажариладиган *тебраниш сони* ҳам характерлайди.



526-шакл.



527-шакл.



528-шакл.

Юкнинг статик мувозанат ҳолатидан ҳар бир ондаги огиши унинг ҳаракат қонунини белгилайди, яъни:

$$w = w(t). \quad (152.1)$$

Бу тенглама орқали ҳар бир он учун оғирлиги ҳисобга олинмайдиган эластик стержень устидаги юкнинг ҳаракати аниқланади.

Шунингдек, оғирлиги ҳисобга олинмайдиган эластик стержень учидagi дискнинг ҳар бир он учун буралиш ҳаракат тенгламаси қуйидагича ифодаланади:

$$\varphi = \varphi(t). \quad (152.2)$$

Қўраимизки, биз келтирган учала характерли ҳолда ҳам эластик стерженга қўйилган юк ва дискнинг ҳаракати битта параметр билан тўла аниқланаётир. Шунинг учун бундай эластик стерженлар *эркинлик даражаси битта бўлган системалар* деб аталади. Мана шу (152.1) ва (152.2) тенгламалар билан ифодаланган  $w(t)$  ва  $\varphi(t)$  ҳар бир ҳол учун аниқланса, тегишли инерция ва жуфт кўчларни ҳисоблаш қийин эмас. Қўпинча амалда учра-тиладиган эластик системанинг тебраниши эркинлик даражаси биттага кел-

тириладиган масалалар бўлганидан биз бу бобда фақат шунга ўхшаш масалалар билан шуғулланамиз.

Эластик системанинг тебранма ҳаракатини текширишда деформация билан кучланиш орасидаги муносабатни чизикли деб қабул қиламиз.

Эркинлик даражаси биттага келтирилган ҳоллар учун ҳаракат тенгламасини (152.1) ва (152.2) га мувофиқ олинса қайтарувчи куч  $Cw$  га тенг бўлади. Бунда  $C$  эркин тебранишдаги эластик системанинг геометрик ва физик параметрларига боғлиқ коэффициентдир.  $У$ , эластик системанинг юк қўйилган нуқтасида қиймати бирга тенг бўлган эластик кучишни ҳосил қилиши учун зарур бўлган кучдир; юк қўйилган нуқта  $w(t)$  миқдорга кучганидан,  $у$  нуқтадаги эластик қайтарувчи куч  $C \cdot w$  га тенг бўлади. Масалан, стержень учига қўйилган  $Q$  юк таъсиридан, юк қўйилган нуқта  $\Delta l = -\frac{Ql}{EF}$  га пасайса, тегишли чўзувчи куч  $Q = \frac{EF}{l} \Delta l$  бўлади.  $\Delta l = 1$  бўлса, тегишли кучни  $C$  десак,  $у$  ҳолда тенгламани қуйидагича ёзамиз:

$$C = \frac{EF}{l}. \quad (a)$$

Энди шу стерженнинг учига  $Q = 1$  бўлган юкни қўйсак, тегишли чўзилиш

$$\Delta l = \delta = \frac{1 \cdot l}{EP} \quad (b)$$

бўлади. Энди юқорида ҳосил бўлган (a) ва (b) боғланишларни солиштириб қуйидаги муносабатни оламиз:

$$C \cdot \delta = 1. \quad (152.3)$$

Бу тарздаги муносабатни ҳар бир турдаги деформация учун ҳам чиқариш мумкин. Ундан фойдаланиб, эластик системанинг ҳар бир нуқтасига қўйилган  $1$  га тенг юкдан шу нуқтадаги кўчиш  $\Delta$  ни аниқлаб, (152.3) дан  $C$  ни ҳисоблаш қийин эмас. Масалан, ўз оғирлиги ҳисобга олинмайдиган балканинг ўртасига  $P$  юк қўйилган бўлса, унинг қиймати бирга тенг бўлганда балканинг шу нуқтага тегишли салқилиги:  $\delta = \frac{1 \cdot l^3}{48 \cdot EI}$  ифода орқали

аниқланади. шунинг учун  $C = \frac{1}{\delta} = \frac{48EI}{l^3}$  бўлади. Шунингдек, буралишдаги буровчи момент  $M_0 = 1$  бўлгандаги буралиш бурчаги қуйидагича бўлади

$$\theta = \delta = \frac{1 \cdot l}{G \cdot I_p}$$

шунга кўра

$$C = \frac{1}{\delta} = \frac{GI_p}{l}$$

бўлади.

Энди оғирлиги йўқ эластик системалар учун Даламбер принципини қўллаб, динамик мувозанат тенгламасини тузишимиз мумкин.

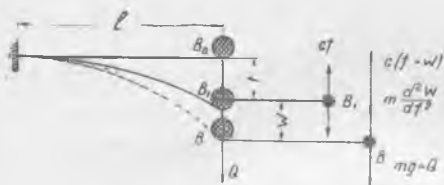
Муҳит қаршилигини ва стержень материалнинг ички ишқаланишидан ҳосил бўладиган қаршилиқни эътиборга олмасдан, эркинлик даражаси битта бўлган эластик системанинг тебранма ҳаракатининг дифференциал тенгламасини тузишга мисол келтирамиз:

Консол балканинг чап учи кистириб қўйилган бўлиб, ўнг учига  $Q$  юк қўйилган (бунда балканинг ўз оғирлиги эътиборга олинмайди) (529-шакл).

Қўйилган юк  $Q$  таъсиридан балка эгилиб,  $B_1$  ҳолатда статик мувозанатда туради. Балканинг бу ҳолати учун юкнинг мувозанат тенгламаси қуйидагича ёзилади:

$$Cf = mg = Q. \quad (c)$$

Энди балкани бирор туртки билан бу ҳолатдан қўзғатиб, у ўз ҳолига ташлаб қўйилса, балка ҳаракатда давом этади. Балкага қўйилган юк бирор  $t$  вақт ичида  $B$  нуқтада бўлиб, унга тегишли эгилиш  $w$  бўлсин деб фараз қилайлик. У ҳолда  $B$  нуқтага тикловчи эластик куч  $C(f+w)$  ва юкнинг оғирлигидан ташқари инерция кучи  $m \frac{d^2w}{dt^2}$  ҳам таъсир қилади. Даламбер принципига мувофиқ  $B$  нуқтанинг ҳаракат тенгламаси қуйидагича ёзилади:



529- шакл.

$$m \frac{d^2w}{dt^2} + C(f+w) = Q.$$

(с) тенглама кўзда тутилса, бу тенглама қуйидагича ёзилади:

$$m \frac{d^2w}{dt^2} + Cw = 0, \text{ ёки } \frac{C}{m} = \omega^2 \text{ десак,}$$

$$\frac{d^2w}{dt^2} + \omega^2 w = 0. \quad (152.4)$$

Буралиш тебраниши учун деформация  $\varphi$  ни олиб, айнан юқоридагича мулоҳаза юритиб айланиш ҳаракатининг дифференциал тенгламасини қуйидагича ёзамиз:

$$I \frac{d^2\varphi}{dt^2} + C\varphi = 0 \text{ ёки } \frac{C}{I} = \omega^2 \text{ десак,}$$

$$\frac{d^2\varphi}{dt^2} + \omega^2 \varphi = 0. \quad (152.5)$$

Бу тенгламалар математика нуқтан назаридан бир-бирдан тафовут қилмайди.

(151.4) каби дифференциал тенглама назарий ме аника курсида берилган эди, шунинг учун, бизга зарур бўлган маълумотларни бевосита у ердан оламиз. Масалан, тебраниш такрорлиги ва даври учун (152.4) ни кўзда тутиб қуйидаги формулаларни ёзамиз:

$$\omega = \sqrt{\frac{C}{m}} = \sqrt{\frac{g}{f}} \quad (152.6)$$

$$T = \frac{2\pi}{\omega} = 2\pi \sqrt{\frac{m}{C}} = 2\pi \sqrt{\frac{f}{g}}. \quad (152.7)$$

Қураимзки, оғирлиги ҳисобга олинмайдиган эластик балкага қўйилган жисмнинг эркин тебраниши оддий гармоник тебраниш бўлиб, даври, такрорлиги ва узунлиги  $Q$  юк таъсиридан ҳосил бўладиган статик деформацияга тенг бўлган математик тебрангичининг такрорлик ва даврига тенг бўлар экан. Масалан,  $Q$  юк призматик стерженнинг учига осылган бўлса, унда такрорлик ва тебраниш даври, тегишлича, қуйидаги формулалар билан аниқланади:

$$\omega = \sqrt{\frac{g}{\Delta l}} = \sqrt{\frac{gEF}{Ql}},$$

$$\tau = 2\pi \sqrt{\frac{\Delta l}{g}} = 2\pi \sqrt{\frac{Ql}{gEF}}$$

Икки таянчга шарнир воситаси билан туташтирилган балканинг ўртасига  $Q$  юк қўйилган бўлса, формула куйидагича ёзилади:

$$\omega = \sqrt{\frac{k}{I_{\max}}} = \sqrt{\frac{48EIg}{l^3}}$$

$$\tau = 2\pi \sqrt{\frac{I_{\max}}{g}} = \sqrt{\frac{Ql^3}{48EIg}}$$

Тебраниш такрорлиги за даври ҳақидаги таъриф назарий механика курсида батафсил берилган бўлса-да, бу тушунчалар жуда ҳам муҳим бўлгани сабабли, масалани бошқа нуқтай назардан кўриб чиқамиз. (152.6) ёки (152.7) формулалардан,  $\omega$  такрорлик ва  $\tau$  давр тебранувчи эластик система материалининг хоссасига ва кесим шаклига боғлиқ бўлиб, тебранишни ҳосил қилувчи бошланғич шартларга боғлиқ эмаслигини кўрамиз, ундан ташқари, эластик системанинг такрорлиги  $\omega$  унинг бикрлиги ошган сари кўпайиб, масса кўпайган сари камаяди. Салмоқлик ва бикрлиги кичик бўлган системаларнинг такрорлиги кам бўлиб, енгил ва бикрлиги катта бўлган системаларнинг такрорлиги кўп бўлади.

Маълумки, (152.6) дифференциал тенглама интегралли сўнмайдиган даврий ҳаракатни тасвирлайди. Бу ҳодиса тенгламани чиқарганда эластик бўлмаган қаршилик кучлари (муҳит қаршилиги, шунингдек, ички ишқаланиш кучи) ни ҳисобга олмаганимиз натижасида рўй беради. Аммо, муҳит қаршилик кучи эластик бўлмаган куч тебраниш такрорлигининг ўзгаришига деярли таъсир кўрсатмаслигини кейинги параграфларда кўрсатамиз.

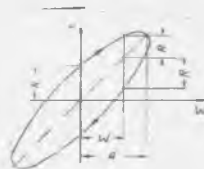
### 153-§. Эластик системанинг эркин тебранишига эластик бўлмаган қаршиликларнинг таъсири

Эластик бўлмаган муҳит қаршилиги тебранувчи система молекулаларининг ўзаро ишқаланиши натижасида ҳосил бўлади. Системанинг энергияси бу қаршиликни енгил учун қайтадан тикланмайдиган даражада сарфланади ва, натижада, тебраниш амплитудаси сўна боради. Муҳит қаршилигини тезликнинг биринчи даражасига пропорционал ўзгарадиган ҳолни назарий механика курсида тавсифлаган эдик. Энг характерли ҳол шу тарздаги қаршилик бўлгани учун, уни яна бир қарра такрорлашни ўқувчиларимизга тавсия этамиз.

Муҳитнинг қаршилик кучи таъқи ишқаланиш натижасида ҳам рўй беради, шунингдек, у тезликнинг турли даражаларига пропорционал ўзгаради. Аммо бу ҳоллар бевосита материаллар қаршилигида текшириладиган масалаларда учрамаганидан, биз улар устида тўхталмаймиз.

Эластик бўлмаган ички қаршилик гистерезис ҳодисаси туфайли рўй бергани учун бу масала устида тўхтаб ўтамиз. Тебранувчи куч билан юкланган ҳар бир система материали Гук қонунидан четга чиқиб, кучланиш билан деформация орасидаги муносабат гистерезис чизиғи билан ифодаланади (530-шакл). Эластик система бирор нуқтасининг кўчиши  $\omega$  эластик қаршилик  $P$  га мос келса, улар орасидаги муносабат тўғри чизиқ билан тасвирланади. Аммо ички қаршиликнинг мавжуд бўлиши туфайли ҳаракатнинг йўналишига қараб, қаршилик кучининг ҳақиқий қиймати  $P$  дан катта ёки кичик бўлиши мумкин. Гистерезис туфайли ҳосил бўладиган қўшимча қаршилик кучини  $R$  десак, тўла қаршилик кучи система юкланганда  $P+R$  га, юкдан бўшатилганда эса  $P-R$  га тенг бўлади (530-шакл).

Гистерезис процессини тасвирловчи шаклда конструкция материалдан ясалган намунани юклаш ва юкдан бўшагиш процесси стрелка билан кўрсатилган. Қўрамизки, материал деформацияланганда унда ички эластик кучдан ташқари, эластик бўлмаган ички қаршилик кучи ҳам рўй беради. Конструкция элементларига ишлатиладиган материаллар устида Н. А. Довиденковнинг ўтказган бир қанча тажрибалари бир цикл тебранишда энергия йўқолишининг ўзгармаслигини, яъни гистерезис чизиги билан чекланган юзанинг ўзгармаслигини кўрсатади. Эластик бўлмаган қаршилик кучини гистерезис чизиги билан чегараланган юза орқали ифодалаш қулайдир. 530-шаклда тасвирланган гистерезис чизиги билан ўралган юзани қуйидагича ифодалаймиз:



530-шакл.

$$\Omega = \alpha R_0 A; \quad (153.1)$$

бу ерда  $R_0$  — эластик бўлмаган энг катта қаршилик кучи (у материал хоссасига ва тебраниш амплитудаси ( $A$ ) га боғлиқ),  $\alpha$  — гистерезис чизиги формасига боғлиқ бўлган коэффициент (масалан, гистерезис чизиги эллипс бўлса,  $\alpha = \pi$  булади).

Конструкция элементларида ишлатиладиган материаллар учун эластик бўлмаган қаршиликни тебраниш амплитудаси орқали қуйидагича ифодалаш мумкин:

$$R_0 = f A^n; \quad (153.2)$$

бу ерда  $n$  — конструкция элементларининг материалга боғлиқ сон (пўлат учун  $n = 2 - 2,5$  бўлиб, у тажрибадан аниқланган),  $f$  — конструкция элементларининг шакли ва материалга боғлиқ бўлган коэффициент.

Эластик бўлмаган қаршилик кучи  $R_0$  нинг қийматини (153.1) га қўйиб, бир циклда қаршиликни енггиш учун сарфланган энергияни тебраниш амплитудаси орқали ифодалаймиз:

$$\Omega = \lambda A^{n+1}; \quad (153.3)$$

бу ерда  $\lambda = \alpha \cdot f$ . Бу формуладан фойдаланиб, ички эластик бўлмаган қаршиликни ҳисобга олиб, эркинлик даражаси битта бўлган эластик система тебранишининг кетма-кет амплитудаларини аниқлаймиз. Эластик бўлмаган қаршилик таъсиридан сўнувчи тебранишни текширайлик. Сўнувчи тебраниш графиги 531-шаклда тасвирланган. Тебранувчи массанинг мувозанат ҳолатидан энг катта оғишига тегишли иккита қўшни ҳолат учун потенциал энергия ифодасини тузамиз:

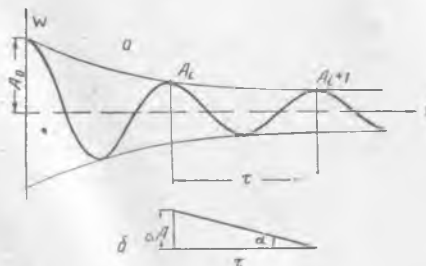
$$U_i = \frac{1}{2} C A_i^2 \quad U_{i+1} = \frac{1}{2} C A_{i+1}^2;$$

бу ерда  $C$  — эластик системанинг бикрлиги.

Бир цикл давомида энергиянинг камайиши қуйидагича ифодаланади:

$$\Delta U = \frac{1}{2} C (A_i^2 - A_{i+1}^2).$$

Агар тўлқиннинг сўниши жуда ҳам кучли бўлмаса,  $A_i + A_{i+1} = 2A_i$  ва  $A_i - A_{i+1} = \Delta A_i$  бў



531-шакл.

лади. Бундан энергиянинг камайишини аниқлаш учун қуйидаги ифодани ҳосил қиламиз:

$$\Delta U_i = CA_i \cdot \Delta A_i; \quad (153.4)$$

бу ерда  $\Delta U_i$  — қаршилик таъсирдан система бир цикл тебранган даврида озайган энергия, бу энергия гистерезис чизиғи билан чекланган юзага тенг бўлиши керак, шунинг учун (153.4) ни (153.3) га тенглаштирамиз:

$$CA_i \cdot \Delta A = \lambda A^{n+1} \quad (a)$$

(юқоридаги ифодада  $i$  белгиси ёзилмай қолдирилган). Ёзилган формуладаги  $\Delta A$  ни 531- шакл,  $b$  дан топамиз:

$$\Delta A = -\tau \frac{dA}{dt}. \quad (b)$$

$A = A(t)$  амплитуданинг ўзгаришини кўрсатувчи тенгламадир (бу эгри чизиқ амплитуда учларини туташтириб ҳосил қилинади).  $\tau$  эса тебраниш даври бўлиб, уни тақрибан сўнмовчи эркин тебранишлар даврига тенг деб олиш мумкин. Амплитуда аниқланадиган дифференциал тенгламани чиқариш учун (b) ни (a) га қўямиз:

$$vA_n = -\tau \frac{dA}{dt}; \quad (153.5)$$

бу ерда  $v \frac{\lambda}{C}$  — ўзгармас сон ҳосил бўлган дифференциал тенгламани ўзгаришларни ажратиб  $n \neq 1$  ҳол учун интегралласак:

$$\frac{A^{1-n}}{1-n} = -\frac{vt}{\tau} + C$$

келиб чиқади. Интеграллашдан ҳосил бўлган ихтиёрий ўзгармас сон  $C$  ни ҳаракатнинг бошланғич шартидан топамиз, яъни  $t=0$  бўлганда  $A=A_0$  бўлади. Шунинг учун:

$$C = \frac{A_0^{1-n}}{1-n},$$

демак,

$$\frac{A^{1-n}}{1-n} - \frac{A_0^{1-n}}{1-n} = -v \frac{t}{\tau} \quad (153.5')$$

бўлар экан. Бундан амплитудани аниқлаймиз:

$$A = \frac{A_0}{\sqrt[n-1]{1 - A_0^{n-1} \cdot \frac{(n-1)v t}{\tau}}} \quad (153.6)$$

Бу формуладан гистерезис ҳудудасидаги тебранишнинг сўниш конуни тўла аниқланади. Бир нечта хусусий ҳолларни текширамиз:

1.  $n=0$  *деб фараз қилайлик*. Бу ҳолда эластик бўлмаган қаршилик амплитуда  $A$  нинг ҳар қандай қиймати учун ҳам  $R=\beta=\text{const}$  бўлади. Гистерезис чизиғи билан чекланган юза (153.3) га мувофиқ  $A$  га пропорционал равишда ўсаётир, демак, бу ҳолда ички қаршиликни енгилш учун сарфланган энергия амплитудага пропорционал ўсар экан. Бу ҳолни тасвирловчи гистерезис чизиғи параллелограмм шаклида кўрсатилган (532-шакл) Бу ҳол учун тебраниш амплитудаси (153.5') га мувофиқ қуйидаги қонун буйича камаяди:

$$A = A_0 - v \frac{t}{\tau}. \quad (153.7)$$

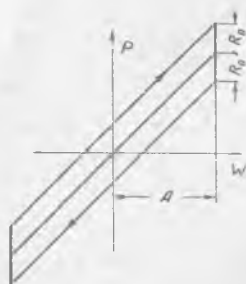
Қўрамизки,  $t = -\frac{A_0}{v} \tau$  бўлганда, тебраниш бутунлай сўниб, амплитуда  $A = 0$  булар экан. Эластик системага ўрнатилган масса қуруқ сиртда сирганиб тебранса худди шу ҳол рўй беради. Амплитуданинг озайиши ва тебранишининг сўниш графиги 533- шаклда тасвирланган.

2.  $n = 1$  деб фараз қилайлик. Бу ҳолда дифференциал тенглама (153.5) қуйидагича ёзилади:

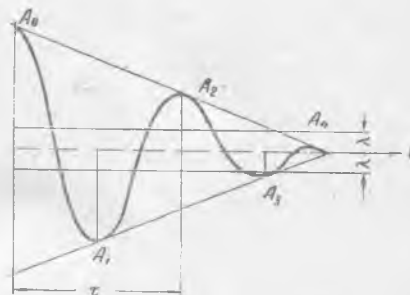
$$\frac{dA}{dt} = -\frac{v}{\tau} A.$$

Буни интеграллаб, қуйидагини ҳосил қиламиз:

$$\ln A = -\frac{v}{\tau} t + C.$$



532- шакл.



533-шакл.

Агар  $t = 0$  бўлса,  $A = A_0$  бўлади, шунинг учун  $C = \ln A_0$ .

Бу кузда тутилса:

$$A = A_0 e^{-v \frac{t}{\tau}} \quad (153.8)$$

бўлади. Муҳит қаршилигини тезликнинг биринчи даражасига пропорционал деб, бу ҳолга тегишли ҳаракат тенгламасини назарий механика курсида чиқарган эдик.

3.  $n = 2$  деб фараз қилайлик. Бу ҳолга тегишли амплитудани бевосита (153.6) дан чиқариш мумкин.

$$A = \frac{A_0}{1 + A_0 v \frac{t}{\tau}} \quad (153.9)$$

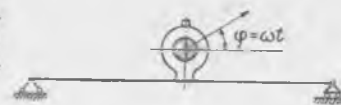
Демак, бу ҳолда тебраниш гиперболик қонун бўйича сўнар экан.

#### 154- §. Эркинлик даражаси битта бўлган эластик системанинг мажбурий тебраниши

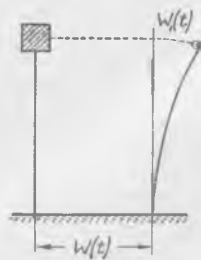
Олдинги параграфда эластик системанинг эркин тебранишига оид маълумотларни бердик. Агар машина ва иншоот қисмлари таниқаридан қўйилган ўйғотувчи куч  $P(t)$  таъсиридан маълум қонунлар бўйича тебранса, бундай тебраниш *мажбурий тебраниш дейилади*. Масалан, балка устига ўрнатилган машина ўз роторининг айланиши натижасида балкага

инерция кучи таъсир қилади.  $t$  Бу инерция кучининг вертикал ташкил этувчиси ( $P(t) = P_0 \sin \omega t$ ) таъсиридан балкада мажбурий тебраниш ҳаракати ҳосил бўлади (534-шакл).

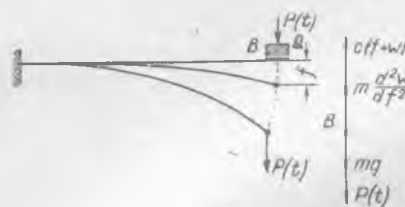
Ёки эгиловчан баланд иншоот схематик равишда пастки учи билан асосга қистириб тиралган консоль деб каралса, ер zilзилага келганда, иншоот асосий сейсмограмма графиги билан тасвирланган қонун асосида горизонтал йўналишда тебранма ҳаракат қилади (535-шакл). Натижада ер устидаги иншоот мажбурий тебрана бошлайди. Мажбурий тебраниш текширилганда, инженернинг эътиборини тебраниш амплитудасининг максимал қиймати жалб қилиши керак, чунки тебранувчи элементларда ҳо-



534-шакл



535-шакл.



536-шакл.

сил бўладиган кучланишларни шу қиймат орқали ифодалаш мумкин. Яна, эркинлик даражаси битта бўлган, оғирлиги ҳисобга олинмайдиган, учига  $Q$  юк қўйилган консолни оламиз. Унга эластик тикловчи  $Cw$  куч, инерция кучи  $m \frac{d^2w}{dt^2}$  ва  $P(t)$  уйғотувчи кучлар таъсир қилсин (536-шакл). У ҳолда консоль учигаги тебранувчи  $B$  нуқтанинг дифференциал тенгламаси қуйидагича ёзилади:

$$m \frac{d^2w}{dt^2} + C(f + w) = mg + P(t);$$

$Cf = mg$  ни кўзда тутиб, мажбурий ҳаракат тенгламасини қуйидаги кўринишда ёзамиз:

$$\frac{d^2w}{dt^2} + \omega^2 w = \frac{P(t)}{m}. \quad (154.1)$$

Маълумки, бу хилдаги дифференциал тенгламанинг интегралли унинг бир жинсли қисмининг умумий интегралли билан ўнг томонини ҳисобга олиб ечганда ҳосил бўладиган хусусий интегралларнинг йиғиндисидан иборат бўлади. Тенгламанинг бир жинсли қисмининг умумий интегралли қуйидаги кўринишда ёзилиши бизга назарий механикадан маълум:

$$w = a \sin(\omega t + \alpha); \quad (154.2)$$

бу ерда  $a$  — эркин тебраниш ҳаракатининг амплитудаси,  $\alpha$  — бошланғич фаза. Булар ҳаракатнинг бошланғич шартидан аниқланади. Энди (154.1)

нинг хусусий интегралини топишга ўтамиз. Бунинг учун биз текширган балкани олиб, унинг  $B$  нуқтасига  $\tau$  онда  $S$  импульсини қўйиб, бундан ҳосил бўладиган эркин тебранишни текшираемиз. Импульс  $S$  қўйилиб, ўнгра йўқолиши биланоқ юк қўйилган  $B$  нуқта қўзғалишга улгурмайди, шунинг учун:

$$w(\tau) = 0 \quad (a)$$

бўлади. Аммо ҳаракат миқдори ҳақидаги теоремага мувофиқ, импульс таъсиридан юк қўйилган  $B$  нуқта бу онда  $\frac{dw}{dt}$  тезликни олишга улгуради, бу тезликни қуйидаги боғланишдан топамиз:

$$m \frac{dw}{dt} = S.$$

Бундан:

$$w(\tau) = \frac{dw}{dt} = \frac{S}{m}. \quad (b)$$

Макур (a) ва (b) формулалар ёрдамида эркин тебраниш ҳаракатининг бошланғич шarti аниқланади. Эркин тебраниш ҳаракати  $t > \tau$  давомида бажарилади. Бу шартлардан фойдаланиш мақсадида (154.2) дан  $B$  нуқтанинг тезлигини ҳисоблаймиз:

$$w(t) = a \cdot \omega \cdot \cos(\omega t + \alpha); \quad (c)$$

$t$  нинг ўрнига  $\tau$  ни қўйиб, (a) ва (b) дан фойдаланиб, импульс  $S$  таъсиридан ҳосил бўлган тебранма ҳаракатнинг амплитудаси билан  $\alpha$  фазасини топамиз:

$$0 = a \sin(\omega \tau + \alpha) \quad \frac{S}{m} = a \omega \cos(\omega \tau + \alpha).$$

Бу тенгламалардан:

$$a = \frac{S}{m \cdot \omega}, \quad \alpha = -\omega \tau$$

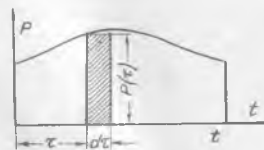
бўлади. Демак, ҳаракат қуйидаги қонунга биноан бажарилар экан:

$$w = \frac{S}{m\omega} \sin(\omega t - \omega \tau) = \frac{S}{m\omega} \sin \omega(t - \tau). \quad (154.3)$$

Бу ёрдамчи масала оқибатидан фойдаланиб, асосий масалани уйғотувчи куч  $P(t)$  таъсиридан ҳосил бўладиган мажбурий тебраниш ҳаракат тенгламасини чиқарамиз.  $P(t)$  кучнинг ўзгариш қонуни 537-шаклда кўрсатилганидек, график равишда тасвирланган деб фараз қилайлик. Уйғотувчи  $P(t)$  куч балкадаги  $B$  нуқтага кетма-кет қўйилган чексиз кичик импульслар  $P(t)dt$  дан иборат деб қаралса, нуқта  $t \geq \tau$  онда, (154.3) га мувофиқ,  $\frac{P(t) dt}{m\omega} \sin \omega(t - \tau)$  қонуни бўйича ҳаракатланади. Барча кетма-кет импульслар таъсиридан ҳосил бўлган ҳаракат мазкур чексиз кичик  $P(t)dt$  импульс туғдирган ҳаракатни  $(0, t)$  оралиғида) интеграллаш йули билан топилади:

$$w(t) = \frac{1}{m\omega} \int_0^t P(t) \sin \omega(t - \tau) dt. \quad (154.4)$$

Шундай қилиб уйғотувчи  $P(t)$  куч таъсиридаги эластик системага оид нуқтанинг ҳаракати қуйидагича ифодаланади:



537-шакл.

$$\omega(t) = a \sin(\omega t + \alpha) + \frac{1}{m\omega} \int_0^t P(\tau) \sin \omega(t - \tau) dt. \quad (154.5)$$

Бу тенгламанинг биринчи ҳади нуқтанинг эркин тебранишини ифодалаб, иккинчи ҳади эса  $P(t)$  таъсиридан ҳосил бўладиган мажбурий тебранишини аниқлайди. Бошланғич пайтда  $\omega_0 = 0$ ,  $w_{(0)} = 0$  бўлса, яъни ҳаракат фақат мажбурий тебранишдан иборат бўлса, у (154.4) ифода билан аниқланади. Аммо эркин тебраниш ҳаракатига тааллуқли такрорлик  $\omega$  ни аниқламасдан туриб, мажбурий тебраниш бўлмаслиги (154.4) ифодадан равшан кўриниб турибди.

**Мажбурий тебранишнинг муҳим ҳолларини текшираимиз.** Балкага қўйилган уйғотувчи куч гармоник қонун бўйича ўзгарган ҳолни олайлик:

$$P(t) = P_0 \sin pt. \quad (154.6)$$

Бу хилдаги куч машина роторини озгина бўлса ҳам эксцентрик ўрнатилиши туфайли рўй бериши бу боб бошида айтиб ўтилган эди (534-шакл). Юқорида келтирилган (154.6) боғланишдаги куч  $P(t)$ , роторнинг эксцентрик ўрнатилиши натижасида ҳосил бўладиган марказдан қочирма куч бўлиб, унинг вертикал ташкил этувчиси  $P \sin pt$  га тенгдир. Бунда  $p$  роторнинг бурчак тезлиги бўлиб, у айна пайтда уйғотувчи кучнинг такрорлиги бўлади. Бу хилдаги уйғотувчи куч таъсиридан балканинг мажбурий тебранишининг ҳаракат тенгламасини (154.4) ифодадан аниқлаймиз:

$$\omega(t) = \frac{P_0}{m\omega} \int_0^t \sin pt \sin \omega(t - \tau) dt.$$

Интегрални ҳисоблаб ҳаракат тенгламасини топамиз:

$$\omega(t) = \frac{P_0}{m(\omega^2 - p^2)} \left( \sin pt - \frac{p}{\omega} \sin \omega t \right),$$

$\omega^2 = \frac{C}{m}$  ва  $f = \frac{P_0}{C} = A_0$  боғланишларни назарга олиб юқорида келтирилган ҳаракат тенгламасини қўйидагича ёзамиз (кейинги боғланишдаги  $f_0$  куч  $P_0$  нинг статик таъсиридан ҳосил бўлган эгилишдир):

$$\omega(t) = \frac{A_0}{1 - \left(\frac{p}{\omega}\right)^2} \left( \sin Pt - \frac{p}{\omega} \sin \omega t \right). \quad (154.7)$$

Гармоник равишда ўзгарадиган уйғотувчи куч икки қисмдан иборат бўлган мураккаб тебраниш ҳаракатини ҳосил қилади: бири уйғотувчи куч такрорлиги  $p$  бўлган тебранувчи ҳаракат ва иккинчиси эркин тебраниш такрорлиги  $\omega$  билан тебранувчи ҳаракатдир. Икки хил такрорликдаги тебраниш процессининг қўшилиши 538-шакл,  $a$  ва  $b$  да кўрсатилган (538-шакл,  $a$ ,  $p > \omega$  бўлган ҳол учун 538-шакл,  $b$  эса  $p < \omega$  бўлган ҳол учун берилган). Гарчи эластик бўлмаган қаршилик ҳисобга олинмаган бўлса-да, ҳар иккала ҳол учун (154.7) нинг қавс ичидаги эркин тебранишини тасвирловчи иккинчи ҳад сўнмоқда. Шунинг учун тебраниш процессида сўнмасдан стационар равишда бажарилувчи мажбурий тебранма ҳаракатни ўрганиш мақсадга мувофиқдир. Мажбурий тебранишнинг бу қисми қўйидаги кўринишда ифодаланади:

$$\omega = \frac{A_0}{1 - \left(\frac{p}{\omega}\right)^2} \sin pt. \quad (154.8)$$

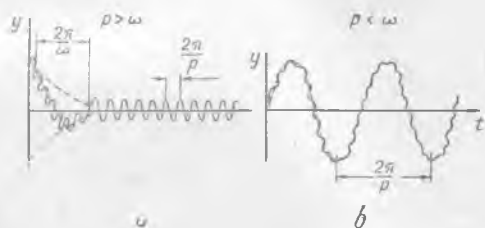
Демак, мажбурий тебраниш уйғотувчи куч такрорлиги билан содир бўлиб, амплитудаси  $P_0$  юкнинг статик таъсирдан ҳосил бўладиган  $A_0$  эгилишдан тамоман фарқ қилар экан. Мажбурий тебраниш амплитудасини  $A$  десак, у қуйидагича ёзилади:

$$A = \frac{A_0}{1 - \left(\frac{p}{\omega}\right)^2}. \quad (154.9)$$

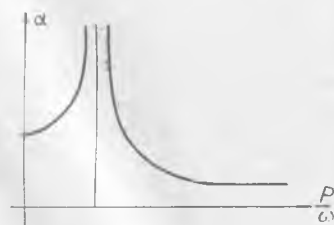
Динамик юкнинг таъсирдан ҳосил бўлган амплитуда  $A$  нинг шу юк статик равишда қўйилганда ҳосил бўладиган эгилиши  $A_0$  га нисбати  $\left(\frac{A}{A_0}\right)$  ни  $\alpha$  билан белгиласак, қуйидаги боғланиш ҳосил бўлади:

$$\alpha = \frac{1}{1 - \left(\frac{p}{\omega}\right)^2}. \quad (154.10)$$

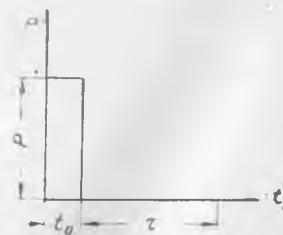
Ҳосил бўлган бу ифода *динамик коэффициент* дейилади. Бу боғланишдан кўринадики, динамик коэффициент фақат тебранишлар такрорлигининг нисбатига боғлиқ экан. Уларнинг графиги 539-шаклда тасвирланган. Уйғотувчи куч такрорлиги  $p$  нинг кичик қийматлари учун динамик коэффициент  $\alpha > 1$  дир. Уйғотувчи кучнинг такрорлиги  $p$  нинг ортиши билан  $\alpha$  ҳам ўсиб,  $p = \omega$  бўлганда чексиз қийматга интилади, бу ҳол *резонанс* деб аталади. Эластик бўлмаган қаршиликни ҳисобга олганда резонансда рўй бергандагидек, амплитуда чексиз қийматга интилмаса-да, у етарли даражада катта қийматга эга бўлиб эластик система учун хавф туғдиради. Мажбурий тебраниш такрорлиги  $p$ , эркин тебраниш такрорлиги  $\omega$  га нисбати ўсган сари динамик коэффициент  $\alpha$  камаяди ва динамик юкнинг эффекти статик юк эффектига қараганда сусаяди. Қўрамизки, такрорлиги паст бўл-



538-шакл.



539-шакл.



540-шакл.

ган эластик системага такрорлиги юқори бўлган динамик куч қўйилса, унинг таъсирдан сезиларли даражадаги мажбурий тебраниш ҳаракати рўй бермас экан. Эластик система жуда тез ўзгарадиган уйғотувчи куч таъсирга берилишга улгурмайди. Эластик бўлмаган кучни ҳисобга олмай, резонансда рўй берадиган процессларни назарий механика курсининг 153-параграфда батафсил текширганимиз учун, бу ҳақдаги қўшимча маълумотларни хотиралашларини ўқувчиларнинг ўзларига ҳавола қиламиз.

Энди, эластик системага жуда ҳам қисқа муддатли уйғотувчи куч таъсир қилишини текшираамиз. Эластик системага қўйилган динамик юк, эркин тебраниш давридан камроқ вақт ичида таъсир кўрсатса, унинг таъсири ҳеч қандай хавф туғдирмайди. Эластик системага  $t = 0$  вақтда  $P$  куч бирданига қўйилиб, у жуда ҳам оз  $t_0$  муддатда таъсир кўрсатиб, яна унинг таъсири қўққисдан тўхтатилади, деб фараз қилайлик (540-шакл). Юкнинг таъсир этиш муддати  $t_0 < \frac{\pi}{2}$  бўлса, бундай юк таъсиридан ҳосил бўладиган максимал эгилиш, эластик система юк таъсиридан бўшатилган пайтдагидек рўй беришини кўрсатамиз. Юқорида келтирилган (154.4) ифодадан  $t > t_0$  бўлган ҳол учун ҳаракат тенгламасини чиқарамиз:

$$W = \frac{1}{m\omega} \int_0^{t_0} p \sin \omega(t - \tau) d\tau$$

интегрални чиқариб, қуйидаги ифодани оламиз:

$$W = \frac{2p}{C} \sin \frac{\omega t_0}{2} \sin \omega \left( t - \frac{t_0}{2} \right). \quad (154.11)$$

Агар  $\frac{t_0}{\tau} = \lambda$  десак:

$$\frac{\omega t_0}{2} = \frac{\pi t_0}{\tau} = \lambda \pi$$

бўлади. Энди (154.11) дан максимал оғиш, яъни тебранишнинг максимал амплитудаси:

$$A = W_{\max} = 2A_0 \sin \lambda \pi \quad (154.12)$$

бўлади. Бу ҳолда динамик коэффициент қуйидаги ифодадан топилади:

$$\alpha = \frac{A}{A_0} = 2 \sin \lambda \pi. \quad (154.13)$$

Қисқа муддат ичида таъсир этувчи куч учун динамик коэффициент қуйидаги жадвалда берилган:

|          |   |       |       |       |       |       |       |       |      |
|----------|---|-------|-------|-------|-------|-------|-------|-------|------|
| $t_0$    | 0 | 0,01  | 0,02  | 0,03  | 0,05  | 0,10  | 0,15  | 0,25  | 0,5  |
| $\alpha$ | 0 | 0,062 | 0,126 | 0,188 | 0,313 | 0,618 | 0,908 | 1,413 | 2,00 |

Динамик куч эркин тебраниш даврининг юздан бир қисми давомида таъсир этса, унинг эффекти статик равнишда қўйилган юк эффектига қараганда 16 марта кам бўлади.

Энди динамик юк синусоиданинг ярим тўлқини орқали тасвирланган бўлсин (541-шакл). Бу гада тасвирланган юкнинг қисқа муддат ичида

таъсирини унинг импульси орқали баҳолаш мумкин.  $t > t_0$  бўлганда бажариладиган ҳаракатни (154.4) дан аниқлаймиз:

$$W = \frac{1}{m\omega} \int_0^{t_0} p(\tau) \sin \omega(t - \tau) d\tau = \frac{1}{m\omega} \left[ \sin \omega t \int_0^{t_0} p(\tau) \cos \omega \tau d\tau - \cos \omega t \int_0^{t_0} p(\tau) \sin \omega \tau d\tau \right] = \frac{1}{m\omega} \left[ \sin \omega t \int_0^{t_0} p(\tau) \cos \frac{2\pi\tau}{\tau_0} d\tau - \cos \omega t \int_0^{t_0} p(\tau) \sin \frac{2\pi\tau}{\tau_0} d\tau \right].$$



541-шакл.

Эркин тебраниш даврини  $\tau_0$  ҳарфи билан белгиласак,  $\frac{\tau}{\tau_0} < \frac{t_0}{\tau}$  бўлганидан  $\frac{\tau}{\tau_0}$  жуда ҳам кичик сондир. Шунинг учун,  $\sin 2\pi \frac{\tau}{\tau_0} = 0$ ,  $\cos 2\pi \frac{\tau}{\tau_0} = 1$  деб олишимиз мумкин. Бу ҳолда ҳаракат тенгламасини тақрибан қуйидаги кўринишда ёзишимиз мумкин:

$$W = \frac{\sin \omega t}{m\omega} \int_0^{t_0} p(\tau) d\tau.$$

$\int_0^{t_0} p(\tau) d\tau = S$  куч импульси бўлгани сабабли ҳаракат тенгламаси:

$$W = \frac{S}{m\omega} \sin \omega t$$

кўринишда ёзилади. Бу формула ҳаракатни қисқа муддат ичида таъсир этувчи импульс орқали ифода қилади. Қисқа вақт  $t_0$  мобайнида динамик кучнинг қандай қонуни билан ўзгаришининг ҳаракат характери таъсири бўлса, унинг шу вақт ичидаги куч импульсига боғлиқ эканлигини кўраемиз. Демак, эркин тебраниш даври мобайнида таъсир кўрсатиб, ўзи деярли ўзгармайдиган уйқотувчи кучни статик куч деб, бу даврнинг қисмини ташкил қилувчи вақт ичида таъсир этувчи кучни эса импульс деб қараш мумкин экан. Импульс оний таъсир кўрсатган ҳоллар учун юқорида чиқарилган (154.13) формула аниқ бўлиб, бошқа ҳоллар учун эса тақрибийдир.

#### 155-§. Эластик системанинг мажбурий тебранишига эластик бўлмаган кучларнинг таъсири

Эластик бўлмаган қаршилиқнинг мажбурий тебраниш ҳаракатига кўрсатадиган таъсирини текшираемиз. Бунинг учун мажбурий тебраниш ҳаракатининг 154-параграфда чиқарилган дифференциал тенгламасини эластик бўлмаган қаршилиқни ҳисобга олган ҳолда ёзамиз. Масалани мураккаблаштираш мақсадида ва инженерлик практикасида кўпроқ учрайдиган ҳолни, яъни ҳаракат тезлигининг биринчи даражасига пропорционал бўлган қаршилиқ таъсирининг текшириш билан чеклаймиз. У ҳолда эластик бўлмаган қаршилиқ кучини  $R = 2p \cdot m \frac{dW}{dt}$  кўринишда олиб, мажбурий тебраниш ҳаракат тенгламасини қуйидагича ёзамиз:

$$\frac{d^2W}{dt^2} + 2p \frac{dW}{dt} + \omega^2 W = \frac{P(t)}{m} \quad (155.1)$$

Бу тенгламадан ҳам  $P(t)$  нинг ҳар қандай қиймати учун тегишли бўлган мажбурий тебранишини ифодаловчи интегрални топиш мумкин. Аммо, биз тажрибада кўпроқ учрайдиган гармоник қонун билан ўзгарадиган ўйғотувчи куч таъсирини текшириш билан чекланамиз:

$$P = P_0 \sin pt$$

бўлсин. Бу ҳол учун (155.1) тенгламага тегишли мажбурий тебранма ҳаракат амплитудасини назарий механика курсининг 155-параграфида\* қуйидаги қурилишида берган эдик:

$$A = \frac{P_0}{m \sqrt{(\omega^2 - p^2)^2 + 4b^2 p^2}}$$

Илдиз остидан  $\omega^2$  ни чиқариб,  $\sim m\omega^2 = C$  ва  $\frac{P_0}{C} = A_0$  тенгликларини кўзда тутсак, мажбурий тебраниш амплитудаси  $A$  учун қуйидаги формулани оламиз:

$$A = \frac{A_0}{\sqrt{\left(1 - \frac{p^2}{\omega^2}\right)^2 + \frac{4b^2 p^2}{\omega^4}}} \quad (155.2)$$

Бу ҳол учун динамик коэффициент:

$$\alpha = \frac{A}{A_0} = \frac{1}{\sqrt{\left(1 - \frac{p^2}{\omega^2}\right)^2 + \frac{4b^2 p^2}{\omega^4}}} \quad (155.3)$$

қурилишида ёзилди. Бу масалада динамик коэффициентининг қиймати ўйғотувчи куч такрорлигининг ҳар қандай қиймати учун ҳам чексизликка интилмайди.  $\alpha = \frac{A}{A_0}$  нисбатининг ўзгаришига тегишли тавсифий маълумотлар назарий механика курсида берилган.

Эластик системанинг мустақамлигини текшириш учун унда ҳосил бўладиган энг катта деформацияни аниқлаш лозим. Масалан, чўзилиш, буралиш ёки эгилишдаги энг катта статик деформация бўлсин. Динамик юк таъсирида ҳосил бўлган деформация унинг мажбурий тебранма ҳаракатининг амплитудаси  $A$  билан ифодаланади. Шунинг учун эластик системанинг энг катта деформацияси қуйидагича ифодаланади:

$$\delta_{\max} = A_0 + A = A_0(1 + \alpha) \mu A_0; \quad (155.4)$$

бунда

$$\mu = 1 + \alpha. \quad (155.5)$$

Эластик системанинг деформацияси система материалнинг эластиклик чегарасида бўлса, кучланиш деформацияга пропорционал бўлган ҳолда ўзгаради, шунинг учун:

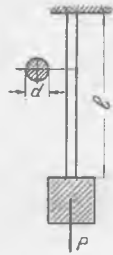
$$\sigma_d = \sigma_{\max}(1 + \alpha) = \mu \sigma_{\max} \leq [\delta]. \quad (155.6)$$

Шундай қилиб, динамик кучланишни аниқлаш масаласини динамик коэффициент  $\mu$  ни аниқлашга келтирдик. Кейинги  $\mu$  коэффициентининг қиймати  $R\alpha$  га боғлиқ бўлиб, у (155.3) ва (155.5) боғланишлар ёрдамида аниқланади. Юқорида айтилганларни конкрет масалалар билан тушунтирамиз.

\*М. Т. Ҳрозбоев. «Назарий механика асосий, курси», «Ўқитувчи», Тошкент, 1966.

## МАСАЛАЛАР

198. Узунлиги  $l = 1$  м бўлган пулат стерженнинг кундаланг кесим диаметри  $d = 2$  см бўлиб, учига оғирлиги  $Q = 100$  кг юк осилган. Стерженнинг оғирлигини ҳисобга олмай, унинг тебраниш такрорлиги ва даври аниқлансин (542-шакл)  $E = 2 \cdot 10^9$  кг/см<sup>2</sup>.  
Ечиш. Қуйидаги формула билан стерженнинг статик чузилишини аниқлаймиз.



542-шакл.

$$\Delta l = \frac{lQ}{EF} = \frac{100 \cdot 100}{2 \cdot 10^9 \cdot \pi} = \frac{1}{200\pi} \text{ см.}$$

Стерженнинг тебраниш такрорлиги ва унинг даврини эса қуйидаги формулалар билан толамиз:

$$\omega = \sqrt{\frac{g}{\Delta l}} = \sqrt{981 \cdot 200\pi} = 785^1/\text{сек.}$$

$$\tau = 2\pi \sqrt{\frac{\Delta l}{g}} = 2\pi \sqrt{\frac{1}{200\pi \cdot g}} = 0,008 \text{ сек.}$$

199. Бир учи қистириб тиралган балканинг иккинчи учига оғирлиги  $Q = 490$  кг юк қўйилган. Балканинг оралиғи  $l = 150$  см, бикрлиги  $EI = 2200 \cdot 10^8$  кг/см<sup>2</sup> бўлса, унинг уз тебраниш такрорлиги ҳисоблансин.

$$\text{Жавоби: } \omega = \sqrt{\frac{g}{f}} = 62,5^1/\text{сек.}$$

200. Икки таянчга шарнир воситаси билан бириктирилган балкага қўйилган юк  $Q$  нинг ҳолатини узгартириш билан, тебраниш такрорлигининг қандай узгариши текширилсин. Балканинг оралиғи  $l$ , бикрлиги  $EI$  бўлсин (543-шакл).

Ечиш. Балканинг тебранишдаги такрорлигини аниқлашда  $Q$  куч қўйилган нуқтадаги эгилиш салқилигининг қийматини қуйидагича толамиз:

$$f = \frac{Qx^2(l-x)^2}{3EI}$$

шунга кўра:

$$\omega = \sqrt{\frac{3EIg}{Qx^2(l-x)^2}} = \frac{1}{x(l-x)} \sqrt{\frac{3EIg}{Q}}$$

бўлади.

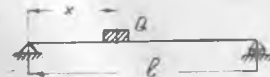
201. Консоль балкага ўрнатилган электромотор минутига энг камида  $n = 900$  марта айланади (544-шакл). Айланувчи қисмларнинг мувозанатлашмаслиги натижасида, марказдан қочма инерция кучи ҳосил бўлиб унинг вертикал тузувчиси  $P_1 = 20$  кг дир. Қистириб тиралган жойдан мотор қандай масофада ўрнатилганда резонанс ҳодисаси рўй беради. Балканинг эркин тебраниш такрорлиги мажбурий тебраниш такрорлигидан 33% ортиқ булиши учун, моторни қандай оралиқда қўйиш лозим. Бу ҳол учун мажбурий тебраниш амплитудаси ҳамда динамик коэффициентни ҳисоблансин. Балканинг кундаланг кесими  $N30^a$  швеллер бўлиб, мотор оғирлиги  $P = 100$  кг,  $E = 2 \cdot 10^9$  кг/см<sup>2</sup>.

Ечиш. Мажбурий тебраниш такрорлиги:

$$p = \frac{\pi n}{30} = \frac{\pi 900}{30} = 94^1/\text{сек.}$$

$P = \omega$  бўлганда резонанс бўлади. Бу ҳолда юк қўйилган қирқимнинг статик салқилиги қуйидагича аниқланади:

$$f = \frac{g}{\omega^2} = \frac{981}{94,2^2} = 0,111 \text{ см.} \quad f = \frac{Pl^2}{3EI}$$



543-шакл.



544-шакл.

бундан

$$l_{\text{ср}}^* = \sqrt{\frac{3EI\bar{f}}{P}} = \sqrt{\frac{3 \cdot 2 \cdot 10^8 \cdot 259,5 \cdot 0,111}{100}} = 1,81 \cdot 10^6 \text{ см}^2.$$

$l_{\text{ср}} = 1,22 \text{ м}$  бўлади.

Эркин тебраниш такрорлиги  $\omega_1$  мажбурий тебранишдан 33% ортиқ бўлганидан,  $\omega_1 = 1,33$ ,  $p = 125,16 \text{ 1/сек}$  бўлади.

Бу такрорликка тегишли статик салқиллик эса:

$$f_1 = \frac{Pl_1^3}{3EI} = \frac{g}{\omega_1^2} \quad f = \frac{Pl_{\text{кр}}^3}{3EI} = \frac{g}{p^2} \text{ бўлади;}$$

булардан:

$$l_1 = \frac{l_{\text{кр}}}{\sqrt{\left(\frac{\omega_1}{p}\right)^2}} = 1,03 \text{ м}$$

бўлади.

Мажбурий тебраниш амплитудасини ҳисоблашда муҳит қаршилиги ҳисобга олинмаслиги, яъни  $b = 0$  бўлиши керак. Шунинг учун:

$$A = \frac{P_1 g}{P(\omega_1^2 - p^2)} = \frac{P_1 g}{P p^2 \left[ \left(\frac{\omega_1}{p}\right)^2 - 1 \right]} = \frac{20 \cdot 981}{100 \cdot 0,69 \cdot 94,2^2} = 0,032 \text{ см}$$

бўлади.

Энди динамик коэффициент  $\mu$  ни ҳисоблаш қийин эмас. Бу коэффициент қуйидагича ҳисобланади:

$$\mu = 1 + \frac{A}{f} = 1 + \frac{Pl_1^3}{3EIA}.$$

Балканинг мустақкамлигини текшириш учун динамик юкни бевосита қуйидагича аниқлашимиз мумкин:

$$P_{\partial} = C(f + A) = \frac{3EI}{l_1^3} (f_1 + A) = \frac{3 \cdot 2 \cdot 10^8 \cdot 259,5 \cdot 0,143}{103^3} \cong 214 \text{ кг;}$$

$$\sigma_{\partial} = \frac{M_{\partial}}{W} = \frac{P_{\partial} \cdot l_1}{41,1} = \frac{214 \cdot 1,03}{41,1} = 540 \text{ кг/см}^2.$$

### 156-§. Эркин тебранувчи стерженлар массасининг таъсирини тақрибий равишда ҳисобга олиш

Призматик стерженларнинг эркин тебранишини текширганимизда, қўйилган юк  $Q$  га қараганда стерженларнинг ўз оғирлиги бир неча марта кичик булгандан, уларни ҳисобга олмаган эдик. Бунинг натижасида эластик системанинг эркин тебранишини, бу системани эркинлик даражаси битта бўлган системага айлантириб, масалани ўзгармас коэффициентли оддий чизиқли дифференциал тенгламани интеграллашга келтирдик. Қўпгина ҳолларда тебранувчи система масаласини ҳисобга олмаслик дағал хатоларга олиб боради. Тебранувчи система массаси ҳисобга олинса, масала мураккаблашиб, хусусий хосиллик дифференциал тенгламаларни ечиб, системанинг турли пайтдаги тебранишларини текширишга тўғри келади. Эластик системанинг энг катта даврий тебранишлари техника масалаларида муҳим аҳамиятга эгадир (катта даврий тебранишга аксари асосий тебраниш характери ҳам дейилади). Бу тарздаги тебранишларнинг даврини тақрибий равишда аниқлашга ўтамиз. Ўтказилган тажрибалар натижасидан фойдаланиб, эластик системанинг тебраниш типни олдиндан белгиланса, эркинлик даражаси чексиз бўлган мураккаб системани эркинлик даражаси

битта бўлган оддий системага келтириш мумкин. Бунинг учун эластик системанинг, энергиянинг сақланиш қонунини ишлатган тақдирда, тегишли ҳаракат тенгламаларини чиқариш қулай бўлади. Эластик системани статик мувозанат ҳолатидан оғдириб, эркин тебраниш берилади, бу жараёнда эластик система ва унга қўйилган юкда ҳосил бўладиган кинетик ва потенциал энергияларнинг йиғиндиси ўзгармас миқдор бўлиб қолади, яъни:

$$U + T = \text{const} \quad (155.1)$$

бўлади.

Бу тенгламани бир нечта оддий конкрет ҳолларга ишлатамиз. Учига  $Q$  юк осилган призматик стерженнинг эркин тебранишини текшираемиз (526-шакл). Диск  $AB$  нинг энг пастки ҳолати  $A_2B_2$  да деформация максимал қийматга эришиб, унга тегишли потенциал энергия ҳам узининг максимал қиймати  $U_{\max}$  га тенг бўлади ва кинетик энергия  $T$  нолга айланади. Диск узининг статик мувозанат ҳолати  $A_1B_1$  дан ўтиш пайтида деформация нолга тенг бўлиб, тезлик максимал қийматга эришгани сабабли кинетик энергия  $T$  максимум бўлиб, потенциал энергия  $U$  эса нолга айланади. Тебраниш даврида  $U$  билан  $T$  ларнинг ҳар бирининг ҳамма вақт ўз қийматлари ўзгариб турса-да, бироқ уларнинг йиғиндиси ўзгармайди. Дискнинг  $A_1B_1$  дан қандайдир  $W$  миқдорига оғган ҳолати учун  $U$  билан  $T$  ни ҳисоблаймиз. Системанинг потенциал энергияси стерженнинг қўзилиш энергияси билан, юкнинг пасайишидан ҳосил бўладиган энергиялардан иборатдир. Яъни:

$$U = \frac{\gamma F}{2l} (\omega + \Delta l)^2 - Q\omega.$$

$\omega$  статик мувозанат ҳолат  $A_1B_1$  дан ҳисобланади. Системанинг кинетик энергияси — стерженнинг кинетик энергияси  $T_1$  билан юкнинг кинетик энергияси  $T_2 = \frac{Q\omega^2}{2g}$  дан иборатдир. Стерженнинг кинетик энергияси  $T_1$  ни ҳисоблаш учун осилган нуқтадан ҳаракатдаги кесимни олиб, унинг кўчишини аниқлаймиз. Стержень барча кесимларининг маҳкамланган кесимга нисбатан тебранишдаги кўчиши, юкнинг статик таъсиридаги кўчишидек ўзгаради, деб фараз қилаемиз.  $U$  ҳолда  $x$  билан аниқланган кўчишни  $\omega_x$  десак:  $\omega_x = \omega \frac{x}{l}$  бўлади. Тебранишда бу кесимнинг тезлиги эса:

$$\frac{d\omega_x}{dt} = \frac{x}{l} \frac{d\omega}{dt}$$

бўлади.  $x$  билан аниқланган кесим олдидан бир чексиз кичик  $dx$  элементини ажратиб,  $dT_1$  ни қуйидагича ҳисоблаймиз:

$$dT_1 = \frac{\gamma F dx}{2g} \left(\frac{x}{l}\right)^2 \left(\frac{d\omega}{dt}\right)^2.$$

У вақтда бутун стерженнинг кинетик энергияси қуйидагича ифодланади:

$$T_1 = \frac{\gamma F}{2g} \omega^2 \int_0^l \left(\frac{x}{l}\right)^2 dx = \frac{\gamma Fl}{3g} \cdot \frac{\omega^2}{2g}.$$

Демак, стержень массасининг кинетик энергияси, тезлиги  $\omega$  бўлиб, массаси  $\frac{\gamma Fl}{3g}$  бўлган юкнинг кинетик энергиясига тенг бўлар экан. Шундай қилиб, стерженнинг ўз оғирлигини ҳисобга

олиш учун, унинг учига осилган юк  $Q$  га, стержень оғирлигининг  $\frac{1}{3}$  қисмини қўшиш билан эришиш мумкин экан:

$$T = T_1 + T_2 = \left( \frac{\gamma Fl}{3} + Q \right) \frac{\omega^2}{2g}.$$

Энди  $U$  ва  $T$  нинг қийматларини (156.1) га қўйиб қуйидаги тенгликни оламиз:

$$\frac{EF}{2l} (\omega + \Delta l)^2 - Q\omega + \left( \frac{\gamma Fl}{3} + Q \right) \frac{\omega^2}{2g} = \text{const.}$$

Агар

$$\Delta l = \frac{Ql}{EF}$$

эканлиги кўзда тутилса, бу тенглама қуйидагича ёзилади:

$$\frac{EF}{2g} \omega^2 + \left( \frac{\gamma Fl}{3} + Q \right) \frac{\omega^2}{g^2} = \text{const.}$$

Вақт  $t$  га нисбатан ҳосила олиб, бундан қуйидаги дифференциал тенгламани чиқарамиз:

$$\frac{d^2\omega}{dt^2} + \omega^2\omega = 0. \quad (156.2)$$

бу ерда

$$\omega^2 = \frac{\frac{g}{\left( Q + \frac{\gamma Fl}{3} \right) l}}{EF} = \frac{g}{\Delta l_{\text{келт}}}. \quad (156.3)$$

$\Delta l_{\text{келт}}$  — юк  $\left( Q + \frac{\gamma Fl}{3} \right)$  таъсиридан ҳосил бўлган статик чўзилиш.

Кўрамизки, эркин тебраниш ҳаракат тенгламаси (152.4) ва такрорлик ифодаси (152.6) дан ҳеч нарса билан фарқланмаётир. Фақат қўйилган юкка стерженнинг келтирилган оғирлигини қўшиш зарур экан. Кинетик чўзилиш статик чўзилишга қараганда бирмунча катта бўлгани сабабли, такрорлик озяди.

Иккинчи мисол тарзида учлари шарнир билан туташтирилиб, ўртасига  $Q$  юк қўйилган балкани оламиз (528-шакл). Юк қўйилган кесимини статик салқилиги қуйидагича ифодаланади:

$$\bar{f} = \frac{Ql^3}{48EI}.$$

Ўрта кесимнинг тебранишдаги қўшимча динамик салқилигини  $\omega$  билан белгилаймиз. Тебранишдаги салқилик статик салқилик каби ўзгаради, деб фараз қиламиз. Унда статик салқиликнинг қуйидагича ифодаланиши бизга маълум:

$$\omega_{\text{ст}} = \frac{Ql^3}{48EI} \cdot \frac{3l^2x - 4x^3}{l^3} = \frac{f}{l^3} (3l^2x - 4x^3).$$

Тебранишда юк қўйилган кесимнинг статик ҳолатига нисбатан динамик оғишини  $\omega$  десак, ундан  $x$  оралиқдаги кесимнинг динамик салқилиги қуйидагича бўлади:

$$\omega_x = \frac{\omega}{l^3} (3l^2x - 4x^3).$$

Бу кесимнинг тезлиги  $\dot{w}_x = \frac{\dot{w}}{l^3} (3l^2x - 4x^3)$  дир. Балканинг  $dx$  узунлик-даги элементининг кинетик энергияси қуйидагича ифодаланади:

$$dT_1 = \frac{\gamma F}{2g} \dot{w}^2 \left| \frac{3l^2x - 4x^3}{l^3} \right|^2 dx.$$

Бутун балканинг кинетик энергияси эса:

$$T_1 = 2 \cdot \frac{\gamma F}{2g} \frac{\dot{w}^2}{l^6} \int_0^{\frac{l}{2}} (3l^2x - 4x^3)^2 dx = \frac{17}{35} \cdot \frac{\gamma Fl}{2g} \dot{w}^2$$

булади.

Юкнинг кинетик энергияси илгаригилек,  $T_2 = \frac{Q\dot{w}^2}{2g}$  дир. Балканинг эги-лишдаги потенциал энергияси қуйидаги формуладан аниқланади:

$$U = \int \frac{M^2 dx}{2EI} = \int \frac{EI}{2} \left( \frac{d^2wx}{dx^2} \right)^2 dx, \quad \frac{d^2wx}{dx^2} = -\frac{24}{l^3} w \cdot x.$$

Шунинг учун:

$$U = 2 \frac{EI}{2} \int_0^{\frac{l}{2}} \left( \frac{24wx}{l^3} \right)^2 dx = \frac{24EI}{l^6} \cdot w^2$$

булади.

$U$  ва  $T$  нинг қийматларини (156.1) га қўйиб, унинг вақт  $t$  га нисбатан ҳосиласини олиб, тенгламани қуйидагича ёзамиз:

$$\ddot{w} + \frac{g}{\omega^2} w = 0; \quad \text{бунда } \omega^2 = \frac{48EI}{l^3} \cdot \frac{g}{Q + \frac{17}{35} \gamma Fl} = \frac{g}{I_{\text{келт}}}$$

булади. Бу ҳолдаги такрорлик формуласи ҳам илгариги формуланинг ўзи булади, бироқ текширилаётган ҳол учун балканинг ўз оғирлигини ҳисобга олиш зарур бўлгани сабабли балкага қўйилган юкка унинг оғирлигининг  $\frac{17}{35}$  қисмини қўшиш лозим бўлур экан. Бу ифодадаги  $I_{\text{келт}}$  балканинг ўрта кесимига қўйилган  $(Q + \frac{17}{35} \gamma Fl)$  юк таъсиридан ҳосил бўлган статик сал-қилиқдир. Худди шу тарзда бошқача юкланган ва таянч типлари турлича бўлган ҳоллар учун келтирилган оғирликларни ҳисоблаш мумкин. Демак, тебранувчи системанинг ўз оғирлиги ҳисобга олинса, так-рорлик ва тебраниш даврига тегишли миқдорлар қуйидаги формулалардан аниқланар экан:

$$\left. \begin{aligned} \omega &= \sqrt{\frac{g}{I_{\text{келт}}}}; \\ \tau &= 2\pi \sqrt{\frac{I_{\text{келт}}}{g}}. \end{aligned} \right\} \quad (156.4)$$

Текширилаётган ҳол учун такрорлик миқдори камайиб, давр миқдори эса ошиб бормоқда. Эластик системаларнинг ўз оғирликларининг тебраниш такрорлиги ва унинг тебраниш даврига бўлган таъсирларини баҳолаш учун қуйида битта конкрет масала келтирамиз.

202- масала. Қуш тавр  $N20^a$  балканинг ўртасига  $P = 500$  кг юк қўйилган (545- шакл а,б). Икки хилдаги балка учун уларнинг оғирлиқларини аввало ҳисобга олмай, кейин ҳисобга олган ҳолда тебраниш такрорлиги ва тебраниш даври ҳисоблансин.

$$E = 2,1 \cdot 10^6 \text{ кг/см}^2, l = 4 \text{ м}; \gamma = 7,81 \text{ г/см}^3$$

Е чи ш . а схемадаги балка учун

$$f_{ст} = \frac{Pl^3}{48EI}$$

$$\omega = \sqrt{\frac{k}{f_{ст}}} = 21,4 \sqrt{16} = 85,6 \text{ }^1/\text{сек}$$

$r = 0,0734$  сек бўлсин.

Балканинг ўз оғирлигини ҳисобга олишда

$$P + \frac{17}{35} Q = 554 \text{ кг юкни олиш лозим. У ҳолда:}$$

$$\omega_1 = 85,6 \sqrt{\frac{500}{554}} = 81,3 \text{ }^1/\text{сек}$$

$$r = 0,0774 \text{ сек}$$

бўлади.

$$\delta \text{ схемадаги балка учун } f_{ст} = \frac{Pl^3}{192EI}$$

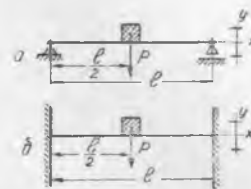
$$\text{Тебраниш такрорлиги } \omega = 12,4 \sqrt{64 + 171,2} \text{ }^1/\text{сек}$$

$$r = 0,0367 \text{ сек бўлсин.}$$

Балканинг оғирлигини ҳисобга олиш учун  $P$  юкка  $Q$  ни қўшиш лозим (бунда  $Q$ —балканинг оғирлиги). Биз текшираётган ҳол учун  $\alpha = \frac{13}{70}$  дир. Шунинг учун.

$$\omega_1 = 164,4 \text{ }^1/\text{сек}; \quad \tau_1 = 0,0382 \text{ сек}$$

бўлади.



545- шакл

### 157-§. Зарбали кучлар таъсиридан ҳосил бўладиган кучланишлар

Назарий механика курсидан маълумки, ҳаракат тезлигининг бирданга кескин ўзгаришига сабаб бўладиган таъсир зарбали таъсир дейилади. Бу ўзгариш жуда ҳам қисқа муддат ичида бажарилади. Юк эластик системага таъсир этишдан аввал, у маълум қийматга эга бўлган тезланиш таъсирида бўлади, бу тезланиш юк эластик системага бориб теккандан сўнг нолга айланади ва шундан кейин у яна маълум қийматли тезланишга эришади. Зарбали куч таъсиридан ҳосил бўладиган кучланишларни Даламбер принциpidан фойдаланиб аниқлаш кийин, чунки зарба таъсиридан ҳосил бўладиган тезланишлар эластик системанинг ҳар қайси нуқтасида ҳар хил бўлгани учун уларни аниқлаш жуда мураккаб масала бўлиб қолади. Шунинг учун зарба таъсиридан ҳосил бўладиган кучланишлар энергиянинг сақланиш қонуни ёрдамида аниқланади. Зарба бераётган жисмга онд бўлган кинетик энергиянинг ҳаммаси зарбаланаётган эластик система деформациясининг потенциал энергиясига айланади, деб фараз қиламиз, яъни:

$$T = U_d. \quad (157.1)$$

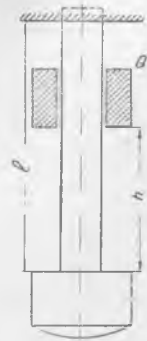
Бу муносабатдан фойдаланиб, зарбали куч таъсиридан турли хусусий ҳолларда ҳосил бўладиган динамик кучланишларни ҳисоблашимиз мумкин. Энг оддий ҳоллардан бири булган чўзувчи ёки сиқувчи зарба таъсирини текширамиз.

Чўзувчи ёки сиқувчи зарбани қуйидагича фараз қилайлик: чўзилаётган стерженнинг учига оғирлиги  $Q$  бўлган юк  $h$  баландликдан тушсин (516-шакл).  $h$  баландликдан тушаётган юкнинг стержень учигаги қаршилиқ сиртига тегиш олдидаги тезлиги  $V_0 = \sqrt{2gh}$  бўлади. Юк стерженнинг учига зарба бериши биланоқ унинг тезлиги  $V_0$  дан  $V$  га ўзгаради. Юк зарба бергандан кейин стерженнинг учи билан бирга жуда ҳам қисқа муддат ичида  $V$  тезлик билан пасаяди. Бу тезлик *деформациянинг босилгангич тезлиги* деб аталади. Стерженнинг пастки учи юк билан бирга  $\Delta l_0$  га пасайганда, тезлик  $V$  нолга тенглашади. Натижада  $\Delta l_0$  миқдориди чўзилган стержень юк  $Q$  билан бирга олган ўзининг кинетик энергиясини бутунлай сарфлайди, у энергия қуйидагича ифодаланади:

$$\left( \frac{Q + \frac{gl}{3}}{g} \right) \frac{V^2}{2}.$$

Бу энергияни сарфлаб, юк  $\Delta l_0$  йўлни босиб ўтади, шунинг учун у  $Q \cdot \Delta l_0$  ишни бажаради. Шундай қилиб, сарфланган энергия қуйидаги ифодага тенг бўлади:

$$\left( \frac{Q + \frac{gl}{3}}{g} \right) \frac{V^2}{2} + Q \Delta l_0.$$



546 - шакл.

Бу энергия стержень деформациясининг тўла потенциал энергиясига айланади. Зарба натижасидаги деформациянинг потенциал энергиясини ҳисоблаш учун, деформация билан зарба орасидаги муносабат маълум бўлиши керак. У муносабатнинг аналитик ифодаси ёки у муносабатни тасвирловчи график бўлмагани учун, деформация потенциал энергиясининг аналитик ифодаси номаълумдир. Зарба билан унга тегишли деформация орасидаги муносабатни (*динамик диаграммани*) статик диаграмма каби деб фараз қилинса, яъни динамик пропорционаллик чегараси бор деб қаралса, бу чегарада динамик чўзилиш  $\Delta l_0$  га тегишли потенциал энергия ифодасини статик чўзилиш учун чиқарилган формуладан фойдаланиб қуйидагича аниқлашимиз мумкин:

$$U_0 = \frac{EF}{2l} (\Delta l_0)^2$$

Бу ифода тақрибий бўлиб, унинг қиймати тажриба йўли билан ҳисобланган миқдорлардан кам фарқ қилади. Аниқланган потенциал ва кинетик энергиялар қийматини (157.1) га қўйсак, тенглама қуйидагича ёзилади:

$$\left( \frac{Q + \frac{gl}{3}}{g} \right) \frac{V^2}{2} + Q \Delta l_0 = \frac{EF}{2l} (\Delta l_0)^2. \quad (157.2)$$

Кинетик энергия ифодасини ҳисоблашда динамик чўзилувчи стерженнинг ўз массасига тегишли қисмини тебранишдаги кинетик энергия ифодасидан олдик, чунки деформацияланиш процесси бу икки ҳолда бир хилдандир. Тушаётган юкни эса абсолют каттиқ деб фараз қилганимиз туфайли уни деформацияланмайди деб қабул қилдик.

(157.2) тенгламада иккита номаълум сон бор, улар  $V$  ва  $\Delta l_0$  миқдорлардир. Шунинг учун яна бир қушимча тенглама тузишимиз зарур. Бунинг учун ҳаракат миқдори теоремасидан фойдаланамиз. *Юкнинг зарба олдида-*

ги ҳаракат миқдори зарба вақтидаги юк ва стерженнинг ҳаракат миқдорига тенг бўлиши керак, яъни:

$$Qv_0 = v\left(Q + \frac{gl}{3}\right);$$

бундан:

$$v = \frac{Q}{Q + \frac{2}{3}} v_0. \quad (157.3)$$

(157.3) формулани қуйидагича умумийроқ кўринишда ёзишимиз мумкин:

$$v = \frac{Q}{Q + kgl} \cdot v_0. \quad (157.4)$$

бунда:  $k$  — стерженнинг массасини ҳисобга олувчи коэффициент.

Энди  $\Delta l_\partial$  ни аниқлаш учун (157.4) ни (157.2)га қўйиб, тенгламани қуйидагича ёзамиз:

$$\frac{Q^2 v_0^2}{2g(Q + kgl)} + Q(\Delta l_\partial) = EF \frac{(\Delta l_\partial)^2}{2l}$$

$v_0^2 = 2gh$  эканлигини кўзда тутиб, тенгламани  $Q$  га қисқартирсак, уни қуйидагича ёзиш мумкин:

$$\frac{Qh}{Q + kgl} + (\Delta l_\partial) = \frac{(\Delta l_\partial)^2}{2} \cdot \frac{EF}{Ql}.$$

Бундаги  $\frac{Ql}{EF} = \Delta l$  статик чўзилишни ифодалайди. Шундай қилиб,  $\Delta l_\partial$  ни аниқлаш тенгламаси қуйидагича ёзилади:

$$\Delta l_\partial^2 - 2\Delta l \cdot \Delta l_\partial - \frac{2h(\Delta l)Q}{Q + kgl} = 0.$$

Бундан:

$$\Delta l_\partial = \Delta l + \sqrt{\Delta l^2 + \frac{2h(\Delta l)Q}{Q(1 + k\frac{l}{Q})}} \quad (157.5)$$

келиб чиқади.

Кўрамизки, зарбадаги динамик чўзилиш статик чўзилишга қараганда икки мартадан кўпроқ катта бўлар экан. (157.5) ни қуйидагича ёзамиз:

$$\Delta l_\partial = \Delta l \left[ 1 + \sqrt{1 + \frac{2h}{\Delta l \left(1 + \frac{kgl}{Q}\right)}} \right] = \alpha_\partial \Delta l. \quad (157.6)$$

Бу формуладан зарбали юк учун динамик коэффициентини  $\alpha_\partial$  ни аниқлаймиз:

$$\alpha_\partial = 1 + \sqrt{1 + \frac{2h}{\Delta l \left(1 + k\frac{gl}{Q}\right)}}. \quad (157.7)$$

Энди  $\Delta l_\partial$  тегишли кучланишни ҳисоблаймиз. Зарбадан ҳосил бўладиган кучланиш жуда мураккаб бўлиб, у умуман вақтнинг функцияси бўлади. Ҳатто юкнинг энг пастки ҳолатида ҳам кучланиш стерженнинг турли қундаланг кесимларида турлича бўлиб, у зарба тўлқинининг тезлигига боғлиқдир. Биз, зарба вақтида ҳам кучланиш билан деформация орасидаги

муносабат юкнинг статик таъсиридагидек бўлади, деган эдик. Бундан тақрибий динамик кучланишни аниқлаш учун фойдаланамиз:

$$\frac{\sigma_{ст}}{\sigma_{\partial}} = \frac{\varepsilon_{ст}}{\varepsilon_{\partial}};$$

бундан:  $\sigma_{\partial} = \sigma_{ст} \frac{\varepsilon_{\partial}}{\varepsilon_{ст}} = \sigma_{ст} \frac{\Delta l_{\partial}}{\Delta l}$  бўлади.  $\Delta l_{\partial}$  нинг қийматини (157.6) дан келтириб қўйсак,  $\sigma_{\partial}$  қуйидагича ифодаланади:

$$\sigma_{\partial} = \sigma_{ст} \left[ 1 + \sqrt{1 + \frac{2h}{\Delta l} \cdot \frac{1}{(1 + k \frac{gl}{Q})}} \right] \quad (157.8)$$

ёки (157.7) кўзда тутилса:

$$\sigma_{\partial} = \alpha_{\partial} \sigma_{ст} \quad (157.9)$$

бўлади.

(157.6), (157.9) формулалардан динамик чўзилиш ва кучланиш миқдорлари статик деформацияга боғлиқ эканлиги кўриниб турибди, чунки динамик коэффициент  $\alpha_{\partial}$  бевосита статик чўзилишга ва тегишли бикрликларга боғлиқдир.

Динамик коэффициент  $\alpha_{\partial}$  ифодасидаги  $h$  ни,  $v_0 = \sqrt{2gh}$  формуладан фойдаланиб, бошланғич тезлик  $v_0$  орқали ифодалашимиз мумкин:

$$\alpha_{\partial} = 1 + \sqrt{1 + \frac{v_0^2}{\Delta l \cdot g} \cdot \frac{1}{(1 + k \frac{gl}{Q})}} \quad (157.10)$$

$\alpha_{\partial}$  ни қуйидагича ифодалаш ҳам мумкин:

$$\frac{2h}{\Delta l} = \frac{Qh}{\frac{1}{2} Q \Delta l} = \frac{T_0}{U_4}.$$

Бу муносабат кўзда тутилса, (157.7) қуйидагича ёзилади:

$$\alpha_{\partial} = 1 + \sqrt{1 + \frac{1}{(1 + k \frac{gl}{Q})} \cdot \frac{T_0}{U_4}} \quad (157.11)$$

бундаги  $T_0 = Qh$  бўлиб, у зарба бераётган энергиядир.

Динамик коэффициент  $\alpha_{\partial}$  нинг қийматини бир неча хусусий ҳоллар учун ҳисоблаймиз.

Юк бирданига қўйилсин, у ҳолда  $h = 0$  бўлиб,  $\alpha_{\partial} = 2$  бўлади. Шунинг учун:  $\Delta l_{\partial} = 2\Delta l_{ст}$ ;  $\sigma_{\partial} = 2\sigma_{ст}$  бўлади. Демак бирданига қўйилган юкдан ҳосил бўладиган чўзилиш ёки кучланиш унинг статик равишда қўшилишдан ҳосил бўладиган ўша миқдорларнинг қийматига қараганда икки марта катта булар экан.

Аксинча, юк тушаётган баландлик  $h$  жуда катта бўлиб, стерженнинг хусусий оғирлиги юк миқдорига қараганда жуда ҳам кичик бўлса,  $k \frac{gl}{Q}$  нинг қийматини қавсдаги 1 миқдорига нисбатан ҳисобга олмаслигимиз ва илдиэ остидаги 1 ни ҳам  $\frac{2h}{\Delta l}$  ҳадга қараганда ҳисобга олмаслигимиз мумкин. У ҳолда:

$$\alpha_{\partial} = 1 + \sqrt{\frac{2h}{\Delta l}} \quad (157.12)$$

бўлади. Агар  $h$  жуда катта бўлса, илдиз олдидаги  $l$  ни ҳам эътиборга олмася бўлади. У ҳолда формулачи куйидагича ёзишимиз мумкин:

$$\alpha_d = \sqrt{\frac{2h}{\Delta l}} = v_0 \sqrt{\frac{l}{g\Delta l}} = \sqrt{\frac{T_0}{U_0}}. \quad (157.13)$$

Илдиз олдидаги  $l$  ни эътиборга олмаслик натижасида қилган хатомиз 5% дан ошмаслиги учун,  $\frac{2h}{\Delta l} > 10$  бўлиши керак.  $\frac{2h}{\Delta l} > 110$  бўлган ҳолдагина илдиз олдидаги  $l$  ни ҳисобга олмаслигимиз мумкин. Бу ҳол учун динамик коэффициентни стерженнинг бикрлиги орқали ифодалаймиз:

$$\alpha_d = \sqrt{\frac{T_0}{U_0}} = \frac{1}{Q} \sqrt{\frac{2T_0 E F}{l}} = \frac{1}{\sigma_{cr}} \sqrt{\frac{2T_0 E}{Fl}} = \frac{1}{\Delta l} \sqrt{\frac{2T_0 l}{EF}}. \quad (157.14)$$

Бунга тегишли динамик чўзилиш  $\Delta l_d$  ва кучланиш  $\sigma_d$  қуйидагича ёзилади:

$$\Delta l_d = \sqrt{\frac{2T_0 l}{EF}}, \quad \sigma_d = \sqrt{\frac{2T_0 E}{El}}. \quad (157.15)$$

Юкнинг статик таъсирида бўлганидек, динамик таъсири вақтида ҳам чўзилишдаги кучланиш чўзувчи куч билан кўндаланг кесим ўлчамига боғлиқдир. Аммо юк  $Q$  статик таъсир қилганда ҳосил бўладиган кучланиш стерженнинг узунлик ўлчамига ва унинг эластиклик модулига боғлиқ эмас. Зарбада эса кучланишни ҳосил қилувчи зарбали куч  $P_d$  зарба берувчи жисмнинг тезланишига, яъни зарбанинг давомига ва материалнинг эластиклик хусусиятига боғлиқдир. Зарба давоми ўз навбатида динамик чўзилиш  $\Delta l_d$  нинг миқдорига боғлиқдир. Стерженнинг эластиклик модули  $E$  қанча кичик ва узунлиги  $l$  қанча катта бўлса, динамик чўзилиш  $\Delta l_d$  ва зарба давоми шунча катта бўлади ва зарбали куч  $P_d$  шунча кичик бўлади. Шунинг учун ҳам зарба таъсирини енгиллаштириш ниятида зарбаланувчи қисмлар орасига рессоралар ва пружиналар ўрнатилади.

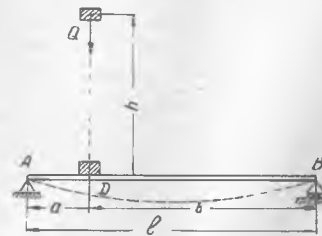
Эгувчи зарба. Шарнир воситаси билан икки таянчга бириктирилган балканинг чап таянчидан  $a$  масофадаги нуқтасига  $h$  баландликдан оғирлиги  $Q$  га тенг юк тушади (547-шакл). Юк остида динамик салқилик ҳосил бўлади. Юқоридаги мулоҳазаларга кўра энергиянинг сақланиш қонуни қуйидагича фойдаланилади:

$$(Q + kgl) \frac{v^2}{2g} + Qf_d = U_d. \quad (157.16)$$

$U_d$  ни ҳисоблашдан аввал, статик салқиликни аниқлаш учун чиқарилган формуладан фойдаланиб, зарба таъсиридан ҳосил бўладиган динамик салқиликни аниқлаймиз. Масалан, биз текшираётган ҳол учун юк қўйилган нуқтанинг статик салқилиги қуйидаги формуладан аниқланади:

$$f = \frac{Pl^3}{\beta EI}$$

бунда  $\beta$  — юкнинг қўйилиш нуқтасига ва таянчларнинг тузилишига боғлиқ коэффициент. Масалан, юк балканинг ўртасига қўйилган бўлса,  $\beta = 48$  бўлади. Бу формулага асосан, динамик салқилик қуйидагича ифодаланади:



547-шакл.

$$f_{\partial} = \frac{P_{\partial} l^3}{\beta EI}.$$

Потенциал энергия  $U_{\partial}$  ни қуйидаги формула билан ҳисоблаймиз:

$$U_{\partial} = \frac{P_{\partial} f_{\partial}}{2} = \frac{\beta EI}{2l^3} f_{\partial}^2. \quad (157.17)$$

Буни (157.16) га қўйиб, (157.4) тенглик кўзда тутилса,  $f_{\partial}$  ни аниқлаш учун тенгламани қуйидагича ёзамиз:

$$f_{\partial}^2 - 2ff_{\partial} - 2fh \frac{1}{\left(1 + \frac{kgl}{Q}\right)} = 0;$$

бунда:

$$f_{\partial} = f + \sqrt{f^2 + 2fh \frac{1}{\left(1 + \frac{kgl}{Q}\right)}} = \alpha_{\partial} f \quad (157.18)$$

эканлигидан:

$$\alpha_{\partial} = 1 + \sqrt{1 + \frac{2h}{f} \cdot \frac{1}{\left(1 + \frac{kgl}{Q}\right)}} \quad (157.19)$$

бўлади.

Бу ҳол учун ҳам динамик кучланиш илгаригидек аниқланади:

$$\sigma_{\partial} = \alpha_{\partial} \sigma_{ст}. \quad (157.20)$$

Динамик коэффициент  $\alpha_{\partial}$  ни таъсир қилаётган юкнинг кинетик энергияси  $T_0^1$  ва статик юк таъсиридан балкада ҳосил бўладиган деформациянинг потенциал энергиясини  $U_0$  орқали ифодалашимиз мумкин. У (157.11) кўринишида ёзилади:

$$\alpha_{\partial} = 1 + \sqrt{1 + \frac{T_0}{U_0} \cdot \frac{1}{\left(1 + \frac{kgl}{Q}\right)}}.$$

Масалан, икки таянчда ётувчи балканинг чап учидан  $a$  масофада ётувчи нуқтага тушаётган юк таъсирдаги балка учун динамик коэффициент  $\alpha_{\partial}$  қуйидагича ёзилади:

$$\alpha_{\partial} = 1 + \sqrt{1 + \frac{2\beta T_0 EI}{Q^2 l^2} \cdot \frac{1}{\left(1 + \frac{kgl}{Q}\right)}}. \quad (157.21)$$

Балканинг оғирлиги таъсир қилаётган юк миқдорига қараганда кичик бўлса, (157.21) қуйидаги кўринишда ёзилади:

$$\alpha_{\partial} = 1 + \sqrt{\frac{2\beta T_0 EI}{Q^2 l^2}}. \quad (157.22)$$

$T_0$  ning миқдори жуда катта бўлса, илдиз остидаги ва олдидаги 1 ни ҳисобга олмаслигимиз мумкин. У ҳолда юқорида келтирилган динамик коэффициент қуйидагича ифодаланади:

$$\alpha_{\partial} = \sqrt{\frac{2\beta T_0 EI}{Q^2 l^2}}, \quad (157.23)$$

Демак, бу ҳол учун хос бўлган динамик кучланишни қуйидаги кўринишда ёзсак бўлади:

$$\sigma_d = \alpha_d \sigma_{ст} = \frac{Q \cdot a \cdot b}{IW} \sqrt{\frac{2\beta T_0 EI}{Q^2 l^3}} = \sqrt{\frac{2\beta a^2 b^2 T_0 EI}{l^5 W^2}}. \quad (157.24)$$

Масалан, юк икки таянчга тиралган балканинг ўрта нуқтасига тушса,  $\beta = 48$  бўлиб,  $a = b = \frac{l}{2}$  бўлади. У ҳолда динамик кучланиш қуйидагича ифодаланади:

$$\alpha_d = \sqrt{\frac{\sigma T_0 EI}{\omega^2 l}}. \quad (157.25)$$

Бизга маълум бўлган ифодалар:  $l = r^2 F$ ,  $W = \frac{I}{z_{\max}}$  кўзда тутилса,  $\frac{l}{W^2} = \left(\frac{z_{\max}}{r}\right)^2 \cdot \frac{1}{F}$  бўлади. Шунинг учун (157.25) формула қуйидагича ёзилади:

$$\sigma_d = \frac{z_{\max}}{r} \sqrt{\frac{6T_0 E}{Fl}}. \quad (157.26)$$

Бу тақрибий формуладан эгилишдаги динамик кучланиш, балка материалнинг эластиклик модули унинг ҳажми ҳамда қундаланг кесимининг шаклига, яъни  $\frac{z_{\max}}{r}$  нисбатга боғлиқ эканлиги кўришиб турибди. Динамик кучланиш, булардан ташқари, балканинг таянчга тиралиш шартига ва юкланиш схемасига, яъни  $\beta$  га боғлиқдир (биз текшираётган ҳолда  $\beta = 48$  эди). Масалан, баландлиги  $h$ , кенслиги  $b$  га тенг тўғри тўртбурчак кесимли балкани олсак, унда зарба таъсиридан ҳосил бўладиган максимал динамик кучланиш тақрибий формула (157.26) га мувофиқ қирраси билан қўйилганда ҳам, ётқизиб қўйилганда ҳам бир хилда бўлиб, қуйидагича ифодаланади:

$$\sigma_d = \sqrt{\frac{18T_0 E}{Fl}}.$$

Бу ифода балканинг қирраси билан ёки ётқизиб қўйилишига боғлиқ эмас, чунки:

$$\frac{z_{\max}}{r} = \frac{\frac{h_1}{2}}{\sqrt{\frac{bh_1^3}{12bh_1}}} = \sqrt{3}$$

дир. Маълумки, статик юкланган балка учун, ётқизиб қўйилган ҳолдаги кучланиш қирраси билан қўйилган ҳолдаги кучланишга қараганда  $\frac{h}{b}$  нисбатда катта бўлади.

Буровчи зарба таъсиридан ҳосил бўладиган кучланишни аниқлаймиз. Айланиб турган валнинг бир учидagi шкивга бирданига тормоз бериб тўхтатилса, унинг бошқа учидagi шкивга вални буровчи инерция жуфт кучи таъсир қилади. Шу моментдаги кинетик энергияни  $T_0$  деб белгилаймиз. Бу ҳолда ҳам кучланишни юқоридагидек аниқлаш мумкин. Вал тормозловчи жуфт кучнинг моменти билан инерция жуфт кучи моментлари таъсиридан динамик буралади. Динамик буралишни статик буралиш орқали қуйидагича ифодалаймиз:

$$\varphi_d = \alpha_d \varphi_{ст} = \sqrt{\frac{T_0}{U_0}} \varphi_{ст}; \quad (157.27)$$

бунда:

$$\alpha_{\theta} = \sqrt{\frac{T_0}{U_0}} = \sqrt{\frac{2T_0 l}{\varphi_{\text{сг}}^2 G I_p}} = \frac{1}{\varphi_{\text{сг}}} \sqrt{\frac{2T_0 l}{G I_p}}.$$

Шунинг учун:

$$\varphi_{\theta} = \sqrt{\frac{2T_0 l}{G I_p}} \quad (157.28)$$

бўлади. Динамик кучланиш қуйидагича:

$$\tau_{\theta} = \alpha_{\theta} \tau_{\text{сг}} = \tau_{\text{сг}} \sqrt{\frac{T_0}{U_0}} = \tau_{\text{сг}} \sqrt{\frac{2T_0 G I_p}{\tau_{\text{сг}}^2 I_p^2}} = 2 \sqrt{\frac{T_0 G}{F l}}. \quad (157.29)$$

бўлади чунки

$$U_0 = \frac{M^2 l}{2G I_p} = \frac{\varphi_{\text{сг}}^2 G I_p}{2l} = \frac{\tau_{\text{сг}}^2 I_p^2}{2G I_p}$$

дир. Бундан ташқари:

$$I_p = \frac{\pi d^4}{32}; \quad \omega_p = \frac{\pi d^3}{16}; \quad \frac{I_p}{\omega_p^2} = \frac{2}{\pi d^3} = \frac{2}{F}.$$

Энди кинетик энергия  $T_0$  ни ҳисоблаймиз. Айланувчи жисм кинетик энергиясининг назарий механика курсида қуйидагича ифодаланиши бизга маълум:

$$T_0 = I_0 \frac{\omega^2}{2}.$$

Бундаги  $I_0$  айланувчи жисм массасининг айланиш ўқиға нисбатан инерция моментидир. Биз текшираётган ҳолда у вал учига ўрнатилган шкив массаси билан вал массасининг вал ўқиға нисбатан инерция моментидир. Агар катта аниқлик талаб қилинмаса, валнинг массасини шкивға қараганда ҳисобга олмаслик мумкин. У ҳолда  $I_0$  вал учига ўрнатилган шкив массасининг инерция momenti бўлади,  $\omega$  эса валнинг бурчак тезлигидир. Булар кўзда тутилса, динамик кучланишни аниқлаш формуласи қуйидагича ёзилади

$$\tau_{\theta} = \omega \sqrt{\frac{2I_0 G}{F l}}. \quad (157.30)$$

Шундай қилиб, зарбали буровчи моментдан ҳосил бўладиган динамик кучланиш ҳам валнинг эластиклик модули билан ҳажмиға боғлиқ бўлар экан.

### МАСАЛАЛАР

203. Узунлиги  $l = 1$  м, қўдаланг кесими квадрат (томоплари  $a = 5$  см) бўлган пўлат стержень бир учи билан маҳкамланган бўлиб, иккинчи учига  $n = 10$  см баландликдан оғирлиги  $Q = 10$  кг юк таъсир қилади (548-шакл). 1. Стерженьдаги энг катта сиқувчи кучланиш аниқлансин. 2. Стерженьдаги сиқувчи кучланиш пропорционаллик чегараси  $\sigma_n = 2000$  кг/см<sup>2</sup> дан ошмаслиги учун  $Q$  юкни қандай баландликдан ташлаш мумкин? Масалани ечишда стерженнинг оғирлиги ҳисобга олинсин.

$$E = 2 \cdot 10^6 \text{ кг/см}^2, \quad \gamma = 7,85 \text{ с/см}^3.$$

Ечяш. Олдин (157.7) дан динамик коэффициентни аниқлаймиз. Бунинг учун статик сиқилиш  $\Delta l$  ни қуйидаги формуладан толамиз:

$$\Delta l = \frac{Ql}{EF} + \frac{10 \cdot 200}{2 \cdot 10^6 \cdot 25} = \frac{1}{5 \cdot 10^4 \text{ см}}.$$

Стерженнинг ўз оғирлиги  $ql = 7,85 \cdot 10^{-3} \cdot 25 \cdot 100 \cong 20$  кг. Динамик коэффициент:

$$\alpha_d = 1 + \sqrt{1 + \frac{2 \cdot 10}{5 \cdot 10^3} \cdot \frac{1}{1 + \frac{1}{5} \cdot \frac{20}{100}}} + \sqrt{\frac{16 + 15 \cdot 10^4}{16}} \cong 1000$$

Динамик чўзилиш:

$$\Delta l_d = \alpha_d \Delta l = \frac{10^2}{5 \cdot 10^3} = 0,02 \text{ см.}$$

Динамик кучланишни ҳисоблашимиз учун олдин  $\Delta l = \frac{1}{5 \cdot 10^3}$  сиқилишга тегишли кучланишни аниқлаб оламиз:

$$\sigma_{ст} = E\varepsilon = E \frac{\Delta l}{l} = \frac{2 \cdot 10^6}{5 \cdot 10^3 \cdot 10^2} = \frac{2}{5} \text{ кг/см}^2.$$

Буни динамик коэффициент  $\alpha_d$  га кўпайтириб,  $\sigma_d$  ни аниқлаймиз:

$$\sigma_d = \alpha_d \sigma_{ст} = 1000 \cdot \frac{2}{5} = 400 \text{ кг/см}^2.$$

Масаланинг иккинчи қисмини ечиш учун қуйидаги тақрибий формула (157.15) дан фойдаланамиз:

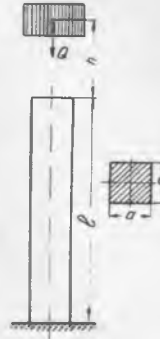
$$\sigma_d = \sqrt{\frac{2T_0 E}{Fl}} < \sigma_n.$$

буздан:

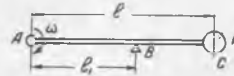
$$T_0 = Qh_1 < \frac{\sigma_n^2 Fl}{2E}$$

ёки:

$$h_1 < \frac{\sigma_n^2 Fl}{2EQ} = \frac{4 \cdot 10^6 \cdot 25 \cdot 100}{2 \cdot 2 \cdot 10^6 \cdot 10} = 250 \text{ см.}$$



548-шакл.



549-шакл.

204. Оғирлиги ҳисобга олинмайдиган стерженнинг C учига оғирлиги P бўлган юк ўрнатилган ҳолда, иккинчи учи эса A дан ўтувчи вертикал ўқ атрофида горизонтал текисликда бурчак тезлиги  $\omega$  билан айланади ва бирланига B нуқтадаги тўсиққа учрайди. Стерженда ҳосил бўладиган энг катта динамик эгувчи момент аниқлансин (549-шакл).

Ечиш. Стержень B нуқтага урилиши биланоқ, ундаги юкнинг тула кинетик энергияси стерженнинг эгилишдаги потенциал энергиясига айланади. Юкнинг кинетик энергияси қуйидагича бўлади:

$$T = \frac{P}{2g} v^2 = \frac{Pl^2}{2g} \omega^2.$$

Стерженнинг C нуқтасида ҳосил бўладиган зарбали куч P таъсирдан стерженда тўпланган эгилиш потенциал энергияси қуйидагича бўлади:

$$U_d = \frac{1}{2EI} \left[ \int_0^{l_1} M_1^2 dx + \int_0^{l-l_1} M_2^2 dx \right] = \frac{P_d^2 l}{6EI} (l-l_1)^2;$$

бузда:

$$M_1 = -\frac{P_d (l-l_1)}{l_1} x, M_2 = -P_d x.$$

$T = U_d$  шартдан  $P_d$  ни қуйидагича толамиз:

$$P_d = \frac{\omega}{l-l_1} \sqrt{\frac{3EIPl}{g}}.$$

Максимал эгувчи момент:

$$M_{\max} = P\delta(l - l_1) = \omega \sqrt{\frac{3EIP}{g}}$$

булади.

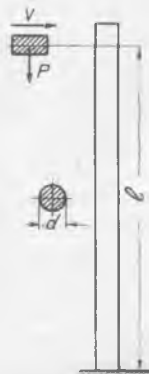
205. Оғирлиги  $P = 240$  кг бўлган юк  $v = 1$  м/сек горизонтал тезлик билан ҳаракатланиб, уз йўлида узунлиги  $l = 3$  м, кўндаланг кесимининг диаметри  $d = 20$  см бўлган ва бир учи қистириб тиралган ёғоч устуннинг учига туқнашади (550-шакл). Агар устун материалнинг эластик модули  $E = 0,11 \cdot 10^8$  кг/см<sup>2</sup> бўлса ва устуннинг уз оғирлиги ҳисобга олинмаса устунда ҳосил буладиган максимал кучланиш ҳисоблансин.

Ечиш. Зарба таъсирида устун эгилади. Эгилишдаги потенциал энергияни қуйидаги формулалар ёрдамида аниқлаймиз:

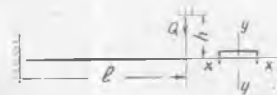
$$M = P \delta x;$$

$$U_{\delta} = \int_0^l \frac{M_{\delta}^2 dx}{2EI} = \int_0^l \frac{P_{\delta}^2 x^2 dx}{2EI} = \frac{P_{\delta}^2 l^3}{6EI}$$

Ҳаракатдаги жисмнинг кинетик энергияси  $T = \frac{Pv^2}{2g}$  бўлади.



550-шакл.



551-шакл.

Бу энергияларни солиштириб,  $P_{\delta}$  ни қуйидагича аниқлаймиз:

$$P_{\delta} = \sqrt{\frac{3EIPv^2}{gl^3}} = \frac{v}{l} \sqrt{\frac{3EIP}{gl}} = 446 \text{ кг};$$

$$\sigma_{\delta} = \frac{P_{\delta} l}{W} = \frac{446 \cdot 200}{800} = 111,5 \text{ кг/см}^2.$$

206. Консоль балканинг кўндаланг қисми  $N 30^a$  швеллер бўлиб, узунлиги  $l = 2$  м, узунлик бирлигидаги оғирлиги  $P = 34,45$  кг/м. Балка бўйича интенсивлиги  $q = 50$  кг/м бўлган тенг ёйилган юк таъсир қилади. Балка учига  $h = 10$  см баландликдан оғирлиги  $Q = 100$  кг бўлган юк тушади. Балкада ҳосил буладиган энг катта нормал кучланиш аниқлансин.

Ечиш. Олдин динамик коэффициент  $\alpha_{\delta}$  ни аниқлаймиз:

$$\alpha_{\delta} = 1 + \sqrt{1 + \frac{2h}{f} \cdot \frac{1}{1 + k \frac{P+q}{Q}}};$$

бундан

$$f = \frac{Ql^3}{3EI} = \frac{100 \cdot 200^3}{3 \cdot 2 \cdot 10^6 \cdot 260} = 0,48 \text{ см}$$

булади.

Балка массасининг келтириш коэффициенти бу ҳолда  $K = \frac{33}{144}$  бўлади. Шунинг учун:

$$\alpha_d = 1 + \sqrt{1 + \frac{2 \cdot 10}{0,48} \cdot \frac{1}{1 + \frac{33}{144} \cdot \frac{34,45 + 50}{100 \cdot 100}}} = 6,54;$$

$$f_d = \alpha_d f = 6,54 \cdot 0,48 = 3,14 \text{ см}$$

бўлади.

Динамик кучланишга топиш учун қуйидаги муносабатлардан фойдаланамиз:

$$\sigma_d = \alpha_d \sigma_{ст} = \alpha_d \frac{Ql}{W}, \quad f_d = \alpha_d f = \alpha_d \frac{Ql^3}{3EI}$$

Буларнинг нисбатини оламиз:

$$\sigma_d = \frac{3Ez_d \cdot l}{l^2 \cdot W} = \frac{3z_{\max} E}{l^2} f_d$$

$z_{\max}$  нинг қийматини  $N 30^a$  швеллер учун сортамент жадвалидан аниқлаймиз:  $z_{\max} = 6,3 \text{ см}$ ; шундан:

$$\sigma_d = \frac{3 \cdot 6,3 \cdot 2 \cdot 10^6 \cdot 3,14}{4 \cdot 10^4} = 3120 \text{ кг/см}^2$$

бўлади.

207. Затвор ствол қутнчасига бориб урилганида унда ҳосил бўладиган энг катта кучланиш аниқлансин. Зарба вақтида затворнинг тезлиги  $v = 3 \text{ м/сек}$ . Затворни пўлат цилиндр деб, ствол қутнчасини эса деформацияланмайдиган абсолют қаттиқ жисм деб қаралсин. Затвор учун:

$$\gamma = 7,85 \text{ г/см}^3, \quad E = 2 \cdot 10^6 \text{ кг/см}^2 \text{ дир.}$$

Е ч и ш. Затвор узунлигидаги кучланиш қуйидаги қонун бўйича ўзгаради деб қабул қиламиз:

$$\sigma_x = \sigma_{\max} \cdot \frac{x}{l},$$

бунда  $\sigma_{\max}$  — затворда ҳосил бўладиган максимал динамик кучланиш. Затворнинг  $dx$  узунлигида тупланган потенциал энергия қуйидагича бўлади:

$$dU_d = \frac{\sigma_x^2}{2E} F \cdot dx = \frac{\sigma_{\max}^2}{2E} F \frac{x^2}{l^2} dx.$$

Затворда ҳосил бўладиган потенциал энергия эса

$$U_d = \int_0^l \frac{\sigma_{\max}^2}{2E} F \frac{x^2}{l^2} dx = \frac{\sigma_{\max}^2}{6E} Fl$$

бўлади.

Затворнинг зарбадаги кинетик энергияси бутунлай потенциал энергияга айланади десак, тенгламани қуйидагича ёзишимиз мумкин:

$$\frac{Fl \gamma}{2g} v^2 = \frac{\sigma_{\max}^2}{6E} Fl;$$

бундан:

$$\sigma_{\max} = v \sqrt{\frac{3E \gamma}{g}} = 2080 \text{ кг/см}^2.$$

бўлади.

208. Узунлиги  $l_2 = 2 \text{ см}$  бўлган ва диаметри затвор диаметри билан бир хил бўлган пўлат цилиндрик тўсикка (буферга) олдинги масалалаги затвор урилсин. Затворнинг узунлиги  $l_1 = 8 \text{ см}$ . Затворда ҳосил бўладиган максимал кучланиш аниқлансин.

Е ч и ш. Зарба вақтидаги кинетик энергия бутунлай затвор билан буфер потенциал энергиясига айланади, яъни:

$$T = U_1 + U_2$$

бўлади.

Затвор учун, юқоридаги масаладан,  $U_1 = \frac{\sigma_{\max}^2}{6E} Fl$  эди.

Буфернинг барча кесимларидаги кучланишни  $\sigma_{\max}$  га тенг деб,  $U_2$  ни қуйидагича ифодалаймиз:

$$U_2 = \frac{\sigma_{\max}^2}{2E} Fl_2.$$

Шунга кўра:

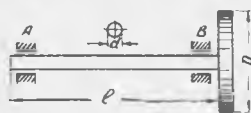
$$\frac{Fl_1 \gamma}{2g} v^2 = \frac{\sigma_{\max}^2}{6E} Fl_1 + \frac{\sigma_{\max}^2}{2E} Fl_2.$$

Бундан:

$$\sigma_{\max} = v \sqrt{\frac{3l_2 E \gamma}{(l_1 + 3l_2)g}} = 1570 \text{ кг/см}^2$$

бўлади.

209. Диаметри  $d = 6 \text{ см}$ , узунлиги  $l = 1 \text{ м}$  бўлган  $AB$  валнинг учига диаметри  $D = 20 \text{ см}$ , оғирлиги  $P = 50 \text{ кг}$  бўлган шкив ўтказилган. Вал минутига  $n = 120$  марта айланади (552-шакл). Валнинг  $A$  учига бирданига тормоз бериб тўхтатилганда, унда ҳосил бўладиган максимал тангенциал кучланиш аниқлансин:



552-шакл.

$$G = 8 \cdot 10^9 \text{ кг/см}^2.$$

$$\text{Е ч и ш. } \omega = \frac{\pi n}{30} = 4\pi \frac{1}{\text{сек}}.$$

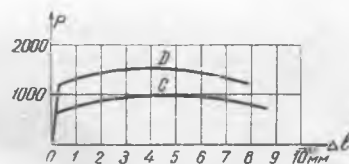
(157. 30) формулага мувофиқ:

$$\tau_{\theta} = \omega \sqrt{\frac{2l_0 G}{Fl}} = 4\pi \sqrt{\frac{8l_0 G}{\pi d^2 l}} = \sqrt{\frac{8 \cdot 2,55 \cdot 8 \cdot 10^9 \cdot 16\pi^2}{\pi \cdot 100 \cdot 36}} = 478 \text{ кг/см}^2$$

бўлади.

### 153-§. Зарба синаш. Синаётган материалнинг механик хоссаларига деформация тезлигининг таъсири

Динамик юк таъсиридан ҳосил бўладиган кучланишлар статик юкдан ҳосил бўладиган кучланишларга қараганда бошқача бўлади. Шунинг билан бирга, динамик юк таъсиридаги материал ҳам ўзини тамоман бошқача тутади. Бу ҳодиса хусусан зарба таъсири вақтида сезилади. Пулатнинг де-



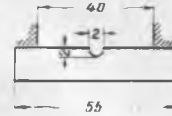
553-шакл.

формация тезлигининг кўпайиши, унинг оқим чегараси билан мустаҳкамлик чегарасини оширишни ўтказилган тажрибалар тасдиқлайди. Статик синов вақтида кучланиш ҳар секундда  $100 \text{ кг/см}^2$  га кўпайтирилса, динамик синов вақтида ҳар секундда  $850 \text{ кг/см}^2$  га кўпайтирилади. натижада оқим чегараси 20% ошади. Зарбий юклар таъсирида деформация тезлиги бундан ҳам юқори бўлиб, унга тегишли оқим чегараси 50% дан ҳам кўпроқ ошиши мумкин. Мустаҳкамлик чегараси ҳам ошади, ammo у оқим чегарасидан ошмайди. Зарб таъсиридаги намуна статик юк таъсиридаги намунага қараганда бирмунча оз деформация билан емирилганидан, тегишли диаграмманинг ординатаси баланд бўлса ҳам, статик юк таъсирида синалаётган намуна диаграммасига қараганда калтароқ бўлади. 553-шаклда юмшоқ пулатдан ясалган намуна зарбий ва статик юк таъсирига синалгандан ҳосил бўлган диаграммаси келтирилган. Шаклда  $D$  ишораси билан динамик юк таъсиридаги,  $C$  ишораси билан статик юк таъсиридаги намунанинг диаграммаси тасвирланган. Кўпинча, намуна статик юк таъсирига синалганда, пластик сифати билан ажратилган материал зарб таъсиридан ўзини мурт

материал каби тутади. Шунинг учун зарб таъсирига дуч келадиган машина ва иншоот қисмларига онд материаллар танланганида зарбий проба тушунчаси киритилади. Бунинг маъноси шундан иборатки, зарбга дуч келадиган материал намунасини олиб, уни чузувчи, кўпинча эгувчи зарба таъсирида синдириб, унга сарфланган иш миқдорини зарбий проба номи билан юритиладиган баҳо учун қабул қилинади. Намунани синдириш учун сарфланган иш  $T$  намунанинг синган жойидаги кўндаланг кесим юзаси  $F$  бўлса,  $\frac{T}{F}$  нисбат зарбий қовушоқлик дейилади ва  $a$  билан белгиланади:

$$a = \frac{T}{F} \text{ кг/см}^2. \quad (158.1)$$

Зарбий пробада материал хоссасини яққол аниқлаш учун синалаётган намунанинг зарб бериладиган жойи махсус шаклга келтирилади. Зарба тегадиган кесим маълум чуқурликда кесилади (554-шакл). Намунани кесиб қўйишдан мақсад шуки, уни зарб таъсирига қаршилик кўрсатиш шароитини ёмонлаштириш, кучланишни шу кесилган жойга тўплаб, сарфланган ишнинг асосий қисмини намуна узунлигининг кичкина қисмига тўплашдир. Зарб таъсирида намуна емирилишига сарфланган ишни ҳисоблаб, зарбий қовушоқлик аниқланади. Бу миқдор зарбий юклар таъсирига дуч келадиган элементларини лойиҳалашда материални характерловчи асосий параметрлардан бири саналади.



554-шакл.

Қуйидаги жадвалда юмшатирилган ва тобланган пўлатлар учун зарбий қовушоқлик билан муваққат қаршилик қиймати келтирилган.

## Зарбий қовушоқлик

(кг/см<sup>2</sup> ҳисобида)

| Пўлатнинг сорти          | Термик ишланганлиги |                   |                   |                   |
|--------------------------|---------------------|-------------------|-------------------|-------------------|
|                          | Юмшатирилган пўлат  |                   | Тобланган пўлат   |                   |
|                          | Зарбий қовушоқлик   | Муваққат қаршилик | Зарбий қовушоқлик | Муваққат қаршилик |
| СО,15 сортли юшмоқ пўлат | 25                  | 35—45             | 25                | 30—50             |
| СО,20—0,30 сортли пўлат  | 20                  | 50—60             | 15                | 55—75             |
| СО,30—0,40 сортли пўлат  | 1                   | 60—70             | 12                | 70—85             |
| СО,50—0,60 сортли пўлат  | 10                  | 80—90             | 5                 | 90—105            |
| 13 ва СО,20 сортли пўлат | 15—20               | 50—60             | 24—18             | 70—80             |

Бу жадвалдан жуда бикр пўлатлар учун зарбий қовушоқликнинг кичиклигини кўрамиз. Бу тарздаги материаллар зарб таъсиридан деярли пластик деформациясиз, яъни мўрт материаллар каби емирилади.

## XXIII боб

### КУЧЛАНИШЛАР ЎЗГАРУВЧАН БЎЛГАН ҲОЛДА МАТЕРИАЛЛАРНИНГ МУСТАҲҚАМЛИГИНИ ТЕКШИРИШ

#### 159-§. Ўзгарувчан кучланишларнинг материал мустаҳкамлигига таъсири ва бу ҳолда мустаҳкамлик шarti

Конструкция қисмлари материалнинг микдор ва йўналиши жиҳатидан систематик равишда ўзгариб турадиган (ўзгарувчан) юклар таъсирига қаршилик кўрсатиши унинг статик юклар таъсирига қаршилик кўрсатишидан фарқ қилади. Шунинг учун, ўзгарувчи юклар таъсиридаги жисмларнинг мустаҳкамлик шартини текшириш масаласи материаллар қаршилигида махсус ўринни олади.

Қўп марта такрорланадиган ўзгарувчан юклар таъсиридаги машиналарнинг баъзи қисмлари билинар-билинмас пластик деформация оқибатида бирданига синади. Ҳолбуки, бу материал айнан шундай статик юклар таъсирида бўлса, бундай кучланишда улар катта ишонч билан ишлаши мумкин эди. Оддий статик синовда жуда соз пластик хусусиятлари бор материаллардан танланган машина қисмлари ўзгарувчан юклар таъсиридан худди мўрт материаллардан тайёрлангандек емирилади. Бу эса инженерлар диққатини кўпдан бўён жалб қилиб келади. Гарчи, қўп вақтлар бу ҳодисани тушунтиришда физик жиҳатдан нотўғри фикрлар ўрин олиб келган бўлса-да, кейинги вақтларда металлнинг тузилиши соҳасида ўтказилган текширишлар бу ҳодисани сабабини тўғри тушунтирди.

Ўзгарувчан кучланишлар таъсиридан металлдан тайёрланган буюм сиртида дарз ҳосил бўлиб, у тобора чуқурлашади. Деформациянинг ўзгарувчан бўлиши гуфайли буюм сиртида ҳосил бўлган дарз кирғоклари олдин яқинлашиб, бир-бирини босади, кейин узоклашади. Бу процесс жуда қўп марта такрорлангани сабабли дарз кетган зона сирти бир-бирига ишқаланиб, силлиқлашади. Дарз чуқурлашган сари, кундаланг кесимнинг қаршилик кўрсата олиши ҳам озяя боради. Бу дарз худди зарба пробаси учун тайёрланган намунадаги кесикдек жуда хавфлидир, чунки бирор туртки ёки зарба натижасида материал бу дарз кетган жойдан емирилади.

Ўзгарувчан юклар таъсиридаги пластик материалнинг мўрт материал қаби емирилиши юқорида тилга олинган сабабларга биноан содир бўлади. Ўзгарувчан юклар таъсиридан ҳосил бўладиган дарзнинг чуқурлашиши натижасида материалнинг емирилиши толиқиш деб юргизилади. Илгариги вақтларда ўзгарувчан юклар таъсиридаги материалнинг толиқиш натижасида унинг макротузилиши ўзгаради ва у емирилади, деб тушунтирилган эди. Ҳақиқатан ҳам ўзгарувчан юклар таъсиридан емирилган материалнинг кундаланг кесимида икки зона бўлиб, биринчиси ҳалиги, биз юқорида айтган дарз чуқурлиги бўйича ўзаро босим таъсиридан силлиқланган сирт зонаси бўлса, иккинчиси эса зарба ёки туртки натижасида емирилган юза зонасидир. Бу зоналарнинг тузилиш жиҳатидан бир-бирдан тамоман фарқ қилиши инженерларни юқоридаги хато фикрларга олиб борган (555-шакл.) Синган кесимнинг дарз зонаси *A* билан, емирилган зонаси эса *B* билан белги-

ланган. Ўзгарувчан юклар таъсирдан материалда дарз ҳосил бўлиши натижасида унинг емирилишини битта термин билан ифодалаш зарурияти мазмун жиҳатидан мос келмаса ҳам, тарихий жиҳатдан адабиётда ва инжечерлар орасида қатъий урнашиб қолган толиқиш термини қабул қилишга мажбурмиз. Бу термин ўзгарувчан юк таъсирдан ҳосил бўладиган ҳодисанинг туғри тушунчасини ифодалайди деб қабул қиламиз.

Энди, қандай шароитда материалда толиқиш рўй бериши ва қандай килиб машина қисмларида унинг ҳосил бўлмаслик чораларини кўриш масаласи устида тўхтаб ўтаемиз.

Толиқишни факат систематик равишда ўзининг максимал ва минимал қийматлари орасида тебранадиган ўзгарувчан кучланишлар таъсирдаги материалларда ҳосил бўлишини ўтказилган тажрибалар кўрсатади. Маълумки, жуда ҳам кўп машина ва иншоот элементлари, уларда ҳосил бўладиган кучланишлар маълум чегарадан ўтмаса, ўзгарувчан юклар таъсирига қаршилиқ кўрсатиб, узоқ вақтлар ўз вазифасини хавфсиз ўтайди. Шунинг учун факатгина кучланишнинг ўзгарувчан бўлиши материалнинг толиқишига асосий сабаб бўла олмайди. Систематик равишда тебранувчан кучланишнинг максимал қиймати маълум чегарадан ўтиши билан материалда толиқиш ҳосил бўлади. Кучланишнинг бу қиймати *толиқиш чегараси ёки чидамлилик чегараси* деб аталади. *Даврий ўзгарувчан кучланишнинг энг катта қиймати, чидамлилик чегарасига оид қийматга эришигунча материал толиқмасдан чексиз узоқ вақт ўзгарувчан юклар таъсирига қарши тура олади.*

Чидамлилик чегарасига тегишли кучланиш  $\sigma_f$  билан белгиланса, даврий ўзгарувчан кучланишнинг максимал қиймати кўйидаги шартни қаноатлантириши зарур:

$$\sigma_{\max} = \frac{\sigma_f}{k_f} \quad (159.1)$$

бу ерда  $k_f$  — чидамлилик коэффициенти.

Бу шартдан амалий масалаларни ечиш учун чидамлилик чегарасига оид кучланиш  $\sigma_f$  билан даврий кучланишнинг максимал қиймати  $\sigma_{\max}$  ни ҳисоблаш усулларини белгилаш лозим.

#### 160-§. Симметрик ва тескари симметрик цикллар учун чидамлилик чегарасини аниқлаш

Тула кучланишни  $p$  билан белгилаймиз. Сўз нормал ёки тангенциал кучланишлар устида кетганда, уларни тегишлича  $\sigma$  ёки  $\tau$  билан алмаштириб ёзишимиз мумкин. Тебранувчан кучланишнинг бир марта такрорланиши яъни максимал кучланиш  $p_{\max}$  нинг минимал кучланиш  $p_{\min}$  гача тушиб, унинг яна  $p_{\max}$  гача кўтарилиш даври *цикл* дейилади.

Тебранувчан кучланишларнинг энг максимал қиймати  $p_{\max}$  ва минимал қиймати  $p_{\min}$  сон жиҳатдан бир-бирига тенг бўлиб, ишоралари тескари бўлса, бу *симметрик цикл* дейилади (556-шакл).



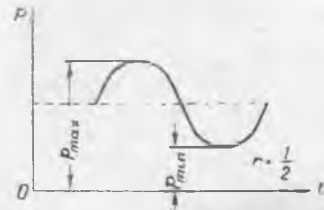
556-шакл.

Тебранувчан кучланишнинг энг максимал қиймати  $p_{\max}$  унинг минимал қиймати  $p_{\min}$  га тенг бўлмаса, у *тесқари симметрик цикл* дейилади. Бу ҳолда  $p_{\min}$  нинг ишораси ҳар хил бўлиши мумкин (557-шакл). Цикллар одатда қуйидаги параметр билан характерланади: *кучланишлар* ( $p_{\max}$  ва  $p_{\min}$ ) *айирмасининг ярмиси кучланиш циклининг амплитудаси дейилади* ва у  $p_a$  ҳарфи билан белгиланиб, қуйидагича ифодаланади:

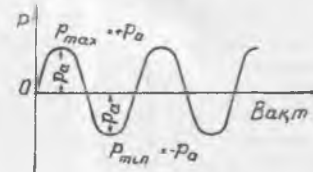
$$p_a = \frac{p_{\max} - p_{\min}}{2}. \quad (160.1)$$

$p_{\max}$  билан  $p_{\min}$  йиғиндисининг ярмиси *ўрта кучланиш* дейилади ва у  $p_o$  билан белгиланиб, қуйидагича ифодаланади:

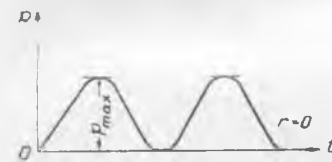
$$p_o = \frac{p_{\max} + p_{\min}}{2}. \quad (160.2)$$



556-шакл.



557-шакл.



558-шакл.



559-шакл.

$p_{\min}$  нинг  $p_{\max}$  га нисбати *цикл характеристикаси* дейилади ва  $r$  билан белгиланиб, қуйидагича ифодаланади:

$$r = \frac{p_{\min}}{p_{\max}}. \quad (160.3)$$

Симметрик цикл учун  $r = -1$  дир; аммо  $r = 1$  бўлса,  $p_{\max} = p_{\min}$ ,  $p_a = 0$  бўлиб, кучланиш даврий бўлмайди (558-шакл). Агар  $r = 0$  бўлса, материал бир хил ишорадаги даврий куч таъсирида бўлади, яъни кучланиш  $p_{\max}$  га етгандан кейин нолгача камайиб, яна  $p_{\max}$  гача кўтарилади (559-шакл).

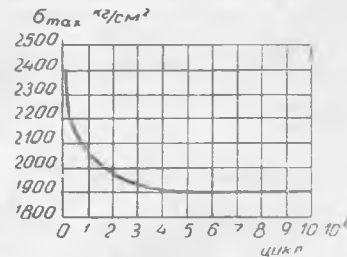
Маълум бир материал учун *чидамлик чегараси*  $\sigma$ , ҳар хил бўлиб, у *цикл характеристикаси*  $r$  га боғлиқдир. Чидамлик чегарасининг энг кичик қиймати симметрик циклга, яъни  $-1$  бўлган ҳолга тўғри

келади. Симметрик цикли тебранувчан кучланишлар таъсиридаги материал тескари симметрик цикли тебранувчан кучланишлар таъсиридаги материалга караганда о-ир вазиятда бўлади. Чидамлилик чегараси ( $\sigma_r$ ) билан цикл характеристикаси ( $r$ ) орасидаги умумий аналитик муносабат ҳозирги назарий мулоҳазалар билан аниқланмаганлиги сабабли, муҳим хусусий ҳоллар учун улар орасидаги эмпирик муносабатлар аниқланган.  $r$  нинг қийматига қараб,  $\sigma_r$  ни аниқлаш учун махсус синов машиналари ихтиро қилинган. Бу синов машиналарининг купчилиги материал учун энг хавfli бўлган симметрик циклини ҳосил қилади. Симметрик циклини намунани эгиш учун утказилган тажрибалардан олиш жуда осон. Шунинг учун ҳам биз ушбу тажриба устида тўхтаймиз. Тажриба ўтказишда 6—10 дона бир партия намуна тайёрланади ва улар кетма-кет 1, 2, 3, . . . рақамлар билан номерланади. Биринчи намунани статик синов машинасига қўйиб, у маълум  $\sigma_1$  кучланишни олгунча юкланади.

Бу кучланиш одатда  $\sigma_1 = (0,5 \div 0,6) \sigma_b$  қилиб олинади (бунда  $\sigma_b$  — материалнинг мустаҳкамлик чегараси). Кейин намунани тебранувчан кучланиш таъсирига чидамлилигини синаш машинасига қўйиб, у  $+\sigma_1$  дан  $-\sigma_1$  гача ўзгарувчан кучланиш таъсирида то намуна сингунча тебратилади. Намуна синиши биланоқ, махсус тормозловчи асбоб билан таъминланган машина дарҳол тўхтади. Намунанинг синиши учун зарур бўлган цикллар сони  $n_1$  ни синов машинасига ўрнатилган счётчик кўрсатиб туради. Иккинчи намуна учун ундаги кучланишни аввалги тажрибада берилган кучланишга караганда бир оз кичикроқ қилиб олиб, юқоридаги тажрибани айнан такрорлаймиз. Учинчи намуна учун  $\sigma_3 < \sigma_2 < \sigma_1$  ни олиб, тегишли цикл  $n_3$  ни аниқлаймиз. Намунадаги ҳосил бўладиган кучланиш амплитудаси ( $\sigma_a$ ) озайган сари, цикллар сони кўпайиб боради. Оқибатда бирор  $N$ -намунчага шундай бир кучланиш  $\sigma_{FN}$  ни бериш мумкин бўладигани, цикллар сони  $n$  ҳар қандай қийматга эришганда ҳам у бу кучланишда синмай, қаршилик кўрсатиб тура олади. Бу кучланиш чидамлилик чегарасидаги кучланишга яқин бўлганидан, у чидамлилик чегараси учун қабул қилинади, яъни  $\sigma_f \approx \sigma_N$  деб олинади.

Пулат учун цикллар сони  $10 \cdot 10^6$  га етганда намуна синмаса, амалий жиҳатдан цикллар  $n = \infty$  га эришганда ҳам синмайди деб,  $\sigma_N = \sigma_f$  қилиб олинади. Мисдан ишланган машина қисмлари учун цикллар сонини ( $100 \cdot 10^6$  —  $200 \cdot 10^6$ ) га олиб боришга ижозат берилади. 560-шаклда толиқмасдан ҳосил бўладиган кучланиш билан цикллар сони орасидаги муносабатни тасвирловчи график берилган. Чидамлилик чегараси назарий жиҳатдан график асимптотасини аниқлаётир. Намунани эгиб тажриба ўтказилганидан чидам чегарасидаги кучланиш  $\sigma_c$  ҳам эгилишга оиддир. У кучланиш материалнинг муваққат қаршилигининг маълум қисмини ташкил этганидан уни қўйидагича ифодалаймиз мумкин:

$$\sigma_f = \lambda \sigma_b. \quad (160.4)$$



560-шакл.

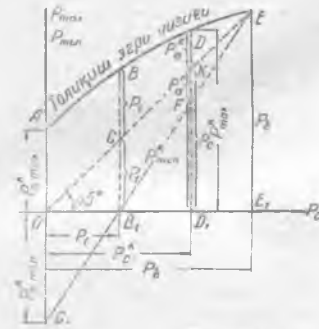
Симметрик циклдаги пулат учун  $\lambda = 0,4$  дир. Пулат стерженнинг ўқи бўйлаб таъсир кўрсатувчи симметрик циклли кучланиш учун  $\lambda = 0,28 - 0,30$  дир.

Чидамлилик чегарасига оид кучланиш амплитудаси ва ўрта кучланишларни (160.1) (160.2) ва (160.3) формулалардагидек ҳарфлар билан белгилаймиз, фақат у миқдорларнинг чегарага оид қийматларининг тепасига  $k$  ишора қўйилади, яъни:

$$P_{\max}^k, P_{\min}^k, P_a^k, P_o^k.$$

### 161-§. Чидамлилик чегарасини цикл характеристикаси бўйича аниқлаш диаграммалари

Барча циклларга оид чидамлилик чегараларини аниқлаш билан ўтказилган тажриба натижаларини махсус диаграммалар билан тасвирлаш чидамлилик чегараларини аниқлашда жуда қулайдир. Бу диаграммаларда барча циклларга тегишли чидамлилик чегарасидан бошқа максимал, минимал ва ўртача кучланишларнинг амплитудаси ҳам тасвирланган. Бу хилдаги диаграммалар даврий юклар таъсиридаги материаллар учун йўл қўйилган кучланишларни белгилашда катта қулайлик туғдиради.



561-шакл.

Бундай диаграммаларнинг типичери бир нечта бўлиб, улардан энг кўп ишлатиладигани Смит ва Хей, бошқача айтганда —  $-P_{\max}^k - P_o^k$  ва  $P_a^k - P_o^k$  диаграммалардир. Масалан,  $P_{\max}^k - P_a^k$  диаграммасини қуриш учун тўғри бурчакли координаталар системасини олиб, унинг абсциссалар ўқи бўйлаб ўрта кучланиш  $P_c^k = \frac{P_{\max}^k + P_{\min}^k}{2}$ , ординаталар ўқи бўйлаб эса тажриба воситаси билан аниқланган чидамлилик чегарасига тегишли  $P_{\max}^k$  қўйилади. Бу маълумотлар асосида қурилган  $OABE$  эгри чизик (561-шакл), ўзгарувчан юкнинг турли тартибда қўйилишига қараб ҳар хил цикллар учун тегишли чидамлилик чегарасини аниқлаб беради. Бу диаграмма энг хавфли ҳол бўлган симметрик циклга оид кучланишдан (диаграмма ординатаси  $OA$  дан) тортиб, то ўзгармайдиган юкка ҳам тегишли бўлган муваққат қаршилик  $P_b$  ( $EE_1$  ордината) гача бўлган кучланишларни ўз ичига олади. Симметрик цикл учун  $P_{\max}^k = -P_{\min}^k$  бўлганидан  $P_o^k = 0$  бўлади, шунинг учун координаталар бошидаги  $OA$  ордината ҳақиқатан ҳам симметрик циклга мос келади. Диаграмманинг кейинги ординаталари эса тескари симметрик циклга мос келади. Диаграмманинг  $B$   $V_1$  ординатаси абсцисса  $OB_1$  га тенг бўлган ҳолда, бир хил қийматли циклга мос келиб, унинг учун  $P_{\max}^k = 2P_1$  ва  $P_{\min}^k = 0$  бўлади. Бу ҳолда ўртача кучланиш  $P_a^k = P_1$  дир. Диаграмманинг энг четдаги нуқтаси  $E$  нинг ординатаси  $EE_1$  материалнинг мустаҳкамлик чегараси  $P_b$  га мос келиб, унга тегишли абсцисса  $OE_1$  ҳам  $P_b$  га тенгдир. Бундай ҳол материални ўзгармас кучланиш  $P_b$  ни ҳосил қилувчи юк билан юклар-

ганда, яъни  $p_{\max}^k = p_{\min}^k = p_b$  бўлганда ҳосил бўлиши мумкин. Бу ҳол учун:

$$p_0^k = \frac{p_{\max}^k + p_{\min}^k}{2} = p_b; \quad p_a^k = 0 \quad \text{булади.}$$

Агар координата уқларига  $45^\circ$  бурчак билан координата бошидан  $OE$  чизигини ўтказсак, у чизиқ чидамлилик чегарасига тегишли ҳар қандай  $p_{\max}^k = DD_1$  ординатани иккита кесмага бўлиб ўтади. Улардан  $DK$  кесмаси цикл амплитудаси ( $p_c^k = \frac{p_{\max}^k - p_{\min}^k}{2}$ ) га,  $KD_1$  кесмаси эса циклнинг ўртача кучланиши ( $p_0^k = \frac{p_{\max}^k + p_{\min}^k}{2}$ ) га тенгдир.

Агар  $K$  нуқтадан ординаталар ўқи йўналишида пастга қараб цикл амплитудаси  $p_c^k = kf$  га тенг кесма қўйиб, уларнинг учларини туташтирсак,  $EFG_1G_1$  чизиқ ҳосил бўлади. Бу чизиқнинг ординаталари қабул қилинган масштабда, тегишли цикллар учун  $p_{\min}^k$  га тенг бўлади. Шундай қилиб, ўртача кучланиш  $p_c^k$  нинг турли қийматлари учун, юқоридаги эгри чизиқ  $ABDE$  нинг ординаталарини ўлчаб  $p_{\max}^k$  ни, пастки чизиқ  $EFG_1G_1$  ординаталарини ўлчаб  $p_{\min}^k$  ни топамиз.

Шундай қилиб,  $p_{\max}^k - p_{\min}^k$  бўлган ҳар қандай циклдаги кучланиш хавфсиз бўлиб, шу билан бирга, материал толиққанда ҳам у *емирилмайди*. Бу кучланиш диаграммада толиқиш эгри чизиги  $ABDE$  нинг пастига ётувчи нуқталар билан тасвирланади.

Энди,  $p_{\max}^k - p_c$  диаграммасидан фойдаланиб, ўзгарувчан юк таъсиридан ҳосил бўладиган кучланиш ҳолати учун чидамлилик чегарасини қандай қилиб аниқлаш устида тўхтаб ўтамиз. Кучланиш ҳолати ўртача кучланиш  $p_c$ , амплитуда  $p_a$  билан берилган деб фараз қилайлик:  $p_{\max}^k = p_c + p_a < p_{\max}^k$  бўлиб, у диаграмманинг  $A$  нуқтаси билан тасвирлансин (562-шакл). Берилган циклга тегишли чидамлилик чегарасига эришиши учун юкнинг қандай муносабатда кўтарилишини аниқлаймиз. Бунинг учун диаграммада шундай  $p_c^k$  ва  $p_a^k$  кесмаларини аниқлашимиз лозимки, улар берилган кучланишлар  $p_c$  ва  $p_a$  каби муносабатда бўлсин. Бунинг учун координаталар бошида ва топилган  $M$  нуқта орқали  $OM$  чизигини ўтказамиз. Бу чизиқ  $AE$  эгри чизиги билан  $M'$  нуқтада учрашади. Диаграмманинг  $M'V$  ординатаси устида яшаш йўли билан аниқланган  $p_c^k$  ва  $p_a^k$  кесмалари ҳам худди  $p_c$  ва  $p_a$  кесмалари каби муносабатда, яъни:

$$\frac{p_a^k}{p_c^k} = \frac{p_a}{p_c} = \frac{p_{\max}^k - p_{\min}^k}{p_{\max}^k + p_{\min}^k} = \frac{1-r}{1+r}$$

бўлади.  $M'$  нуқта ва  $p_{\max}^k = p_c^k + p_a^k$  берилган цикл учун чидаш чегарасини аниқлайди. Шундай қилиб,  $p_{\max}^k - p_c$  диаграммасидан чидамлилик чегарасини аниқлашни ўргандик. Толиқиш диаграммаси  $p_a - p_c$  ни қуришда абсциссалар ўқи бўйича ўртача кучланиш  $p_c$  ординаталар ўқи бўйича амплитуда  $p_a$  қўйилади (562-шакл).

Юқорида (561-шакл) келтирилган диаграммадаги  $AB$  эгри чизигининг нуқталари материалнинг чидаш чегарасидаги кучланиш ҳолатини тасвирлайди. Бу эгри чизиқ пастига ётувчи ҳар қандай нуқта, масалан,  $C$  нуқта чидамлилик чегарасидан пастдаги кучланиш бўлиб, яъни толиқиш маъносидан

кучланиш тўпламига онд кучланиш стерженда чўзилиш, буралиш, эгилиш натижасида ҳосил бўладиган номинал кучланишни тегишли кучланиш тўплами коэффициентини ( $\sigma_k$ ) га кўпайтириб аниқланади яъни:

$$P_M = \alpha_k P, \quad (162.1)$$

буерда:  $P_M$  — кучланиш тўпланган жойда ҳосил бўлган максимал кучланиш;

$\alpha_k$  — кучланиш тўплами коэффициентини;

$P$  — силлиқ стерженда ҳосил бўладиган номинал кучланиш.

Кучланиш тўплами коэффициентини назарий ёки тажриба йўли билан аниқлаш мумкин. Ўзгарувчи юклар таъсиридаги жисмда ҳосил бўладиган кучланиш тўплами  $P_{M, \max}^k$  ва унга тегишли коэффициент  $\beta_k$  статик юклар таъсиридан ҳосил бўладиган кучланиш  $P_M$  ва  $\alpha_k$  коэффициентларидан фарқ қилгани сабабли,  $\alpha_k$  ни назарий  $\beta_k$  ни эса ҳақиқий коэффициент деб юргизамиз. Коэффициент  $\beta_k$  фақат тажриба йўли билан қуйидагича аниқланади:

$$\beta_k = \frac{P_{M, \max}^k}{P_{\max}^k}$$

$\alpha_k$  эластиклик чегарасида,  $\beta_k$  эса чидамлилиқ чегарасида аниқланиши билан бир-бирдан фарқ қилади. Шунинг учун, бу—намунанинг шакли билан бирга, унинг чидамлилиқ чегарасидаги ҳолатига ва материалнинг хоссасига ҳам боғлиқ. Шунинг ҳам айтиш керакки,  $\beta_k \leq \alpha_k$  бўлади.  $\beta_k$  нинг энг катта қиймати  $\alpha_k$  га тенг бўлади. Унинг энг кичик қиймати эса бирга тенг бўлиб, бу ҳол учун кучланиш тўпланишининг

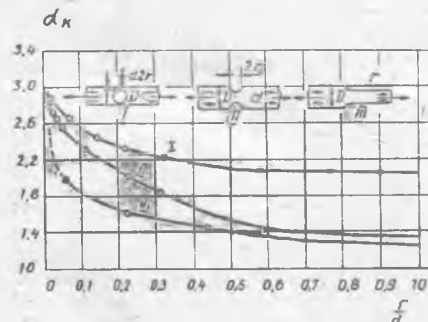
таъсири бўлмайди. Кўп текширувчилар  $\beta_k$  билан  $\alpha_k$  орасидаги аналитик муносабатни назарий мулоҳазалар асосида чиқаришга уриниб, ҳозиргача деярли муваффақиятга эриша олмадилар. Шунинг учун, ҳақиқий коэффициент  $\beta_k$  фақатгина тажриба йўли билан аниқланмоқда. Баъзи текширувчилар  $\beta_k$  билан  $\alpha_k$  орасидаги муносабатни сезгирлик коэффициенти  $q$  орқали ифодалаш фикрини айтганлар. Бу фикрга мувофиқ, статик ва даврий юклар таъсиридан ҳосил бўладиган орттирмас қуйидагича ифодаланади:

$$P_{\max} (\beta_k - 1) = q P_{\max} (\alpha_k - 1)$$

бундан:

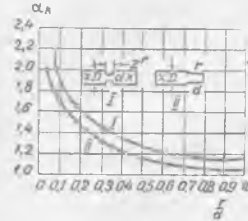
$$\beta_k = 1 + q(\alpha_k - 1) \quad (162.3)$$

бўлади; бу ердаги  $q$  материал хоссасига, ўлчамига ва керттик шаклига боғлиқдир.  $\alpha_k$  нинг энг кўп учрайдиган ҳоллар учун (тешик, керттик, йўғон

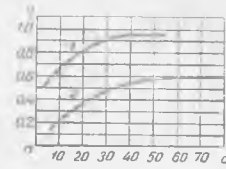


565- шакл.

қйсмдан ингичка қисмга ўтиш)  $\frac{r}{d}$  га боғлиқ бўлган графиги чўзилиш, сиқилиш учун 565-шаклда, эгилиш учун 566-шаклда тасвирланган. Цилиндрик стержень диаметри  $d$  нинг ўзгариши билан сезгирлик коэффициенти  $q$  нинг ўзгариш графиги 567-шаклда тасвирланган. Юқоридаги 1 рақам билан кўрсатилган эгри чизиқ легирланган қаттиқ пўлат учун, 2 рақами билан кўрсатилгани эса углеродли пўлат учун сезгирлик коэффициентининг ўзгаришини тасвирлайди.



566-шакл.



567-шакл.

Бу графиклардан фойдаланиб,  $\frac{r}{d}$  ва  $d$  нинг турли қийматлари учун  $\alpha_k$  ҳамда  $q$  ни аниқлашимиз мумкин.

### 163-§. Ўзгарувчан юклар таъсиридаги материаллар учун рухсат этилган кучланишни аниқлаш

Ўзгарувчан юклар таъсиридаги жисмлар учун хавфли кучланиш чидамлилик чегарасидир. Ўзгарувчан юкнинг циклига қараб, тегишли чидамлилик чегарасини аниқлаш лозим. Бу ҳолда рухсат этилган кучланиш қуйидагича ёзилади:

$$P_{\max} \leq \frac{P_{\max}^k}{k} = [P_r] \quad (163.1)$$

$P_{\max}^k$  ни кучланиш амплитудаси  $P_a$  ва ўртача кучланиш  $P_c$  орқали ифодаласак:

$$P_a + P_c \leq [P_r] \quad (163.2)$$

бўлади.

Рухсат этилган кучланиш цикл характеристикаси  $r$  га боғлиқ бўлганидан, у  $r$  ишораси билан таъминланди.

Чидамлилик шартини текшириладиган деталга зарбий юк таъсир қилган бўлади, бунинг устига деталда кучланиш тўплами туғилишига шароит бўлса, у ҳолда, албатта, (163.1) ёки (163.2) ифодаларини динамик коэффициент  $K_d$  ва кучланиш тўплами коэффициенти  $\beta_k$  га бўлиш лозим. У ҳолда рухсат этилган кучланиш қуйидагича ифодаланади:

$$[P_r] = \frac{P_{\max}^k}{K \cdot K_d \cdot \beta_k} \quad (163.3)$$

Мустақамлик шартини ёзамиз:

$$P_a + P_c \leq \frac{P_{\max}^k}{K \cdot K_d \cdot \beta_k} = [P_r] \quad (163.4)$$



Ўтказилган бир қанча тажрибалар натижасида оқувчанлик чегараси учун қуйидаги қийматлар аниқланади:

Углеродли пўлат учун:

$$\begin{aligned} \text{Чўзилиш ва сиқилишда} & \dots p_T^k = (0,56 \div 0,60)p_\sigma, \\ \text{Эгилишда} & \dots p_T^k = (0,67 \div 0,72)p_\sigma, \\ \text{Буралишда} & \dots p_T^k = (0,34 \div 0,36)p_\sigma. \end{aligned}$$

Махсус пўлатлар учун:

$$\begin{aligned} \text{Чўзилиш ва сиқилишда} & \dots p_T^k = (0,75 \div 0,8)p_\sigma, \\ \text{Эгилишда} & \dots p_T^k = (0,83 \div 0,89)p_\sigma, \\ \text{Буралишда} & \dots p_T^k = (0,45 \div 0,48)p_\sigma. \end{aligned}$$

Юқорида келтирилган формулалар оддий кўринишдаги кучланиш ҳолати (чўзилиш ёки сиқилиш, буралиш ҳам эгилиш) учундир. Агар ўзгарувчан юклар таъсиридаги жисм мураккаб кучланишга қаршилик кўрсатса, статик юклар таъсиридагидек, ҳисоб тенгламасини тузишда мустақкамлик назарияларидан фойдаланиш зарур.

Энди юқорида айtilганларни ойдinлаштириш учун қуйида бир нечта конкрет масалаларни келтирамиз.

### МАСАЛАЛАР

210. Диаметри  $d = 12$  см бўлган кривошип арифининг эгилишидаги рухсат этилган кучланиш аниқлансин. Бармоқнинг ингичкаланган жойидаги (галтель) радиуси  $r = 5$  мм бўлиб, у мустақкамлик чегараси  $\sigma_b = 6000$  кг/см<sup>2</sup> бўлган углеродли пўлатдан тайёрланган. Кучланиш цикл симметрик деб қабул қилинсин.

Еч иш. Бу ҳолда  $[p_k] = [p_{-1}] = p_{-1}^k$  дир.

Симметрик цикл учун чидамлилиқ чегараси:

$$p_{-1}^k = 0,4p_b = 0,4 \cdot 6000 = 2400 \text{ кг/см}^2$$

бўлади.

$$\frac{r}{d} = \frac{5}{120} = 0,042.$$

565-шаклдаги графикдан  $\frac{r}{d} = 0,042$  га тегишли  $\alpha_k$  ни аниқлаймиз.  $\alpha_k = 1,90$  га тенг.

567-шаклдаги графикда 120 мм ли диаметр учун  $q$  ни аниқлаймиз:

$$q \cong 0,57.$$

Кучланиш тўлаки коэффициентининг ҳақиқий қиймати:

$$\beta_k = 1 + (\alpha - 1)q = 1 + (1,9 - 1)0,57 = 1,61.$$

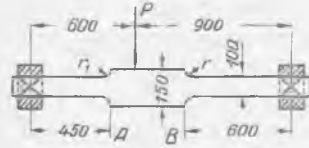
Ассий коэффициент  $k$  ни (динамиқ кучланишни ҳисобга олган ҳолда) 2 га тенг қилиб оламиз, у ҳолда рухсат этилган кучланиш қуйидагича бўлади:

$$[p_{-1}^k] = \frac{2400}{2 \cdot 1,61} = 195 \text{ кг/см}^2.$$

211. 569-шаклда тасвирланган вал учун рухсат этилган юк  $P$  аниқлаясн. Вал махсус пўлатдан тайёрланган бўлиб,  $P_b = 9000 \text{ кг/см}^2$  дир.  $P$  юк икки қисмдан иборатдир:  $0,25P$  қисми ҳамма вақт ўз йўналишини ўзгартирмайди;  $0,75P$  қисми эса вал бир айланганда ўз йўналишини  $2\pi$  га ўзгартиради. Муштақамлик коэффициентини  $k = 2$ .

Ечиш. Олдин цикл характеристикасини аниқлаймиз.

$$r = \frac{P_c - P_a}{P_c + P_a} = \frac{0,25P - 0,75P}{0,25P + 0,75P} = -0,5.$$



569-шакл.

А ва В қесимлари катта диаметрдан кичик диаметрга ўтаётган жой бўлганидан, у ерда кучланиш гўплами ҳосил бўлгани сабабли, бу қесимлар хавфли ҳисобланади. Бу қесимларнинг қаршилиқ momenti:

$$W = \frac{\pi d^3}{32} = \frac{\pi \cdot 10^3}{32} \approx 100 \text{ см}^3.$$

А қесимдаги эгувчи момент:

$$M_1 = \frac{90 \cdot 45P}{150} = 27P \text{ кгсм.}$$

А қесимдаги энг катта нормал кучланиш:

$$\sigma_1 = \frac{M_1}{W} = \frac{27P}{100} = 0,27P \text{ кг/см}^2$$

бўлади.

\* Худди шундай мулоҳазалар билан В қесимдаги кучланишни ҳисоблаймиз:

$$M_2 = \frac{60 \cdot 60P}{150} = 24P \text{ кгсм,} \quad \sigma_2 = \frac{M_2}{W} = \frac{24P}{100} = 0,24P.$$

(163.6) формуладан рухсат этилган кучланиш  $[p_{-0,1}]$  ни аниқлаймиз:

$$[p_r] = [\sigma_r^u] = \frac{\sigma_r^u}{k}.$$

Бу кучланиш иккала қесим учун бир хил қийматга эгадир. Вал махсус пўлатда тайёрлангандан 163-параграфда келтирилган маълумотлардан  $\sigma_r^u$  ни топамиз:

$$\sigma_r^u = 1,11 \cdot 0,75\sigma_b = 1,11 \cdot 9,75 \cdot 9000 = 7500 \text{ кг/см}^2$$

Шунинг учун  $[\sigma_{+1}^u] = \frac{7500}{2} = 3750 \text{ кг/см}^2$  бўлади.

$[p_{-1}] = [\sigma_{-1}^u] = \frac{\sigma_{-1}^u}{k\beta_k}$  ни ҳисоблаш учун олдин  $\sigma_{-1}^u$  ни ва  $\beta_k$  ни ҳисоблаш лозим.  $\beta_k$  ning қиймати А ва В қесимлари учун ҳар хил бўлади.  $\sigma_{-1}^u = 0,4\sigma_b = 0,4 \cdot 9000 = 3600 \text{ кг/см}^2$ . А қисми учун галтель радиуси  $r_1 = 2 \text{ см}$ , В қисми учун  $r_2 = 0,5 \text{ см}$ . Вал диаметри  $d = 10 \text{ см}$ . А қисми учун  $\frac{r_1}{d} = 0,2$ . Бунга тегишли  $\alpha_k$  ning қийматини 566-шаклда тасвирланган графикдан аниқлаймиз.  $\alpha = 1,48$ ; сезгирлик коэффициентини  $d = 100 \text{ мм}$  учун 566—567-шаклларда тасвирланган графикдан аниқлаймиз:  $q = 0,7$ .

Демак:

$$\beta_k = 1 + (1,48 - 1,0)0,7 = 1,34.$$

В қисми учун:

$$\frac{r_2}{d} = \frac{0,5}{10} = 0,05; \alpha_k = 1,9; q = 0,7; \beta_k = 1 + (1,9 - 1,0)0,7 = 1,69.$$

Рухсат этилган кучланиш  $[\sigma_{-1}^u]$ :

А қесим учун:

$$\sigma_{-1}^u = \frac{3600}{2 \cdot 1,34} = 1340 \text{ кг/см}^2.$$

$$B \text{ кесим учун } [\sigma_{-1}^u] = \frac{3000}{2 \cdot 1,69} = 1032 \text{ кг/см}^2.$$

Толиқ иш учун рухсат этилган кучланишни аниқлашимиз мумкин:  
 А кесим учун:

$$[\sigma_r^u] = [\sigma_{-0,5}^u] = \frac{2 \cdot 3750 \cdot 1340}{(1 + 0,5)3750 + (1 - 0,5)1340} = 1600 \text{ кг/см}^2.$$

В кесим учун:

$$[\sigma_r^u] = [\sigma_{-0,5}^u] = \frac{2 \cdot 3750 \cdot 1062}{(1 + 0,5)3750 + (1 - 0,5)1062} = 1300 \text{ кг/см}^2.$$

Р кучнинг қиймати қуйидаги иккита тенгсизликдан аниқланади:

$$0,276P < 1600; \quad 0,245P < 1300,$$

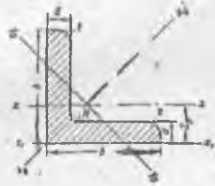
булардан:

$$P < \frac{1600}{0,276} = 5780 \text{ кг}, \quad P < \frac{1300}{0,245} = 5300 \text{ кг}.$$

$P = 5300$  кг қилиб олиш лозим.

# И Л О В А Л А Р

ГОСТ 8508-57 ГА МУВОФИҚ ПРОКАТ ПЎЛАТНИНГ  
СОСТАМЕНТИ



1- жадвал

Ёнлари тенг бурчакликлар

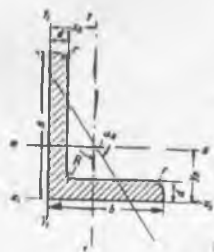
| Профил-<br>лар<br>номери | Ўлчамлари |               |     |     | Профилнинг<br>юз. $F$ см <sup>2</sup> | Оғирлиги     | Ўқлар учун аниқланган катталиклар |              |                 |              |                 |              |                 |              |
|--------------------------|-----------|---------------|-----|-----|---------------------------------------|--------------|-----------------------------------|--------------|-----------------|--------------|-----------------|--------------|-----------------|--------------|
|                          | $b$       | $d$           | $R$ | $r$ |                                       |              | $x - x$                           |              | $x_0 - x_0$     |              | $y_0 - y_0$     |              | $x_1 - x_1$     | $Z_0$        |
|                          |           |               |     |     |                                       |              | $I_x$                             | $I_x$        | $I_{x0}$        | $I_{x0}$     | $I_{y0}$        | $I_{y0}$     | $I_{x1}$        |              |
|                          | мм        |               |     |     |                                       |              | см <sup>2</sup>                   | кг           | см <sup>4</sup> | см           | см <sup>4</sup> | см           | см <sup>4</sup> | см           |
| 2                        | 20        | $\frac{3}{4}$ | 3,5 | 1,2 | 1,13<br>1,46                          | 0,89<br>1,15 | 0,40<br>0,50                      | 0,59<br>0,58 | 0,63<br>0,78    | 0,75<br>0,73 | 0,17<br>0,22    | 0,39<br>0,38 | 0,81<br>1,09    | 0,60<br>0,64 |
| 2,5                      | 25        | $\frac{3}{4}$ | 3,5 | 1,2 | 1,43<br>1,86                          | 1,12<br>1,46 | 0,81<br>1,03                      | 0,75<br>0,74 | 1,29<br>1,62    | 0,95<br>0,93 | 0,34<br>0,44    | 0,49<br>0,48 | 1,57<br>2,11    | 0,73<br>0,76 |
| 2,8                      | 28        | 3             | 4   | 1,3 | 1,62                                  | 1,27         | 1,16                              | 0,85         | 1,84            | 1,07         | 0,48            | 0,55         | 2,20            | 0,80         |
| 3,2                      | 32        | $\frac{3}{4}$ | 4,5 | 1,5 | 1,86<br>2,43                          | 1,46<br>1,91 | 1,77<br>2,26                      | 0,97<br>0,96 | 2,80<br>3,58    | 1,23<br>1,21 | 0,74<br>0,94    | 0,63<br>0,62 | 3,26<br>4,39    | 0,89<br>0,94 |
| 3,6                      | 36        | $\frac{3}{4}$ | 4,5 | 1,5 | 2,10<br>2,75                          | 1,65<br>2,16 | 2,56<br>3,29                      | 1,10<br>1,09 | 4,06<br>5,21    | 1,39<br>1,38 | 1,06<br>1,36    | 0,71<br>0,70 | 4,64<br>6,24    | 0,99<br>1,04 |

|     |    |  |     |     |                                      |                                      |
|-----|----|--|-----|-----|--------------------------------------|--------------------------------------|
| 4   | 40 | $\frac{3}{4}$  | 5   | 1,7 | 2,35<br>3,08                         | 1,85<br>2,42                         |
| 4,5 | 45 | $\frac{3}{4}$<br>$\frac{5}{5}$                                     | 5   | 1,7 | ,65<br>3,48<br>4,29                  | 2,08<br>2,73<br>3,37                 |
| 5   | 50 | $\frac{3}{4}$<br>$\frac{5}{5}$                                     | 5,5 | 1,8 | 2,96<br>3,89<br>4,80                 | 2,32<br>3,05<br>3,77                 |
| 5,6 | 56 | $\frac{3,5}{4}$<br>$\frac{5}{5}$                                   | 6   | 2   | 3,86<br>4,38<br>5,41                 | 3,03<br>3,44<br>4,25                 |
| 6,3 | 63 | $\frac{4}{5}$<br>$\frac{6}{6}$                                     | 7   | 2,3 | 4,96<br>6,13<br>7,28                 | 3,90<br>4,81<br>5,72                 |
| 7   | 70 | $\frac{4,5}{5}$<br>$\frac{6}{6}$<br>$\frac{7}{7}$<br>$\frac{8}{8}$ | 8   | 2,7 | 6,20<br>6,86<br>8,15<br>9,42<br>10,7 | 4,87<br>5,38<br>6,39<br>7,39<br>8,37 |
| 7,5 | 75 | $\frac{5}{6}$<br>$\frac{7}{7}$<br>$\frac{8}{8}$<br>$\frac{9}{9}$   | 3   | 3   | 7,39<br>8,78<br>10,1<br>10,5<br>12,8 | 5,80<br>6,89<br>7,96<br>9,02<br>10,1 |

|                                      |                                      |                                      |                                      |                                      |                                      |                                      |                                      |
|--------------------------------------|--------------------------------------|--------------------------------------|--------------------------------------|--------------------------------------|--------------------------------------|--------------------------------------|--------------------------------------|
| 3,55<br>4,58                         | 1,23<br>1,22                         | 5,63<br>7,26                         | 1,55<br>1,53                         | 1,47<br>1,90                         | 0,79<br>0,78                         | 6,35<br>8,53                         | 1,09<br>1,13                         |
| 5,13<br>6,63<br>8,03                 | 1,39<br>1,38<br>1,37                 | 8,13<br>10,5<br>12,7                 | 1,75<br>1,74<br>1,72                 | 2,12<br>2,74<br>3,33                 | 0,89<br>0,89<br>0,88                 | 9,04<br>12,1<br>15,3                 | 1,21<br>1,26<br>1,30                 |
| 7,11<br>9,21<br>11,2                 | 1,55<br>1,54<br>1,53                 | 11,3<br>14,6<br>17,8                 | 1,95<br>1,94<br>1,92                 | 2,95<br>3,80<br>4,63                 | 1,00<br>0,99<br>0,98                 | 12,4<br>16,6<br>20,9                 | 1,47<br>1,55<br>1,63                 |
| 11,6<br>13,1<br>16,0                 | 1,73<br>1,73<br>1,72                 | 18,4<br>20,8<br>25,4                 | 2,18<br>2,18<br>2,16                 | 4,80<br>5,41<br>6,59                 | 1,12<br>1,11<br>1,10                 | 20,3<br>23,3<br>29,2                 | 1,50<br>1,52<br>1,57                 |
| 18,9<br>23,1<br>27,1                 | 1,95<br>1,94<br>1,93                 | 29,9<br>36,6<br>42,9                 | 2,45<br>2,44<br>2,43                 | 7,81<br>9,52<br>11,2                 | 1,25<br>1,25<br>1,24                 | 33,1<br>41,5<br>50,9                 | 1,69<br>1,74<br>1,78                 |
| 29,0<br>31,9<br>37,6<br>43,0<br>48,2 | 2,16<br>2,16<br>2,15<br>2,14<br>2,13 | 46,0<br>50,7<br>59,6<br>68,2<br>76,4 | 2,72<br>2,72<br>2,71<br>2,69<br>2,68 | 12,0<br>13,2<br>15,5<br>17,8<br>20,0 | 1,39<br>1,39<br>1,38<br>1,37<br>1,37 | 51,0<br>56,7<br>68,4<br>80,1<br>91,9 | 1,88<br>1,90<br>1,94<br>1,99<br>2,02 |
| 39,5<br>46,6<br>53,3<br>59,8<br>66,1 | 2,31<br>2,30<br>2,29<br>2,28<br>2,27 | 62,6<br>73,9<br>84,6<br>94,9<br>105  | 2,91<br>2,90<br>2,89<br>2,87<br>2,86 | 16,4<br>19,3<br>22,1<br>24,8<br>27,5 | 1,49<br>1,48<br>1,48<br>1,47<br>1,46 | 69,6<br>83,9<br>98,3<br>113<br>127   | 2,02<br>2,06<br>2,10<br>2,15<br>2,18 |

| Профиллар номери | Ўлчамлари |     |     |     | Профилнинг юзи, $F$ см <sup>2</sup> | Оғирлиги | Ўқлар учун аниқланган катталиқлар |       |                 |           |             |           |             |                 |
|------------------|-----------|-----|-----|-----|-------------------------------------|----------|-----------------------------------|-------|-----------------|-----------|-------------|-----------|-------------|-----------------|
|                  | $d$       | $b$ | $R$ | $r$ |                                     |          | $x - x$                           |       | $x_0 - x_0$     |           | $y_0 - y_0$ |           | $x_1 - x_1$ | $Z_0$           |
|                  |           |     |     |     |                                     |          | $I_x$                             | $I_x$ | $I_{x_0}$       | $I_{x_0}$ | $I_{y_0}$   | $I_{y_0}$ | $I_{x_1}$   |                 |
|                  | мм        |     |     |     |                                     |          | см <sup>2</sup>                   | кг    | см <sup>4</sup> | см        | см          | см        | см          | см <sup>4</sup> |
| 8                | 80        | 5,5 | 9   | 3   | 8,63                                | 6,78     | 52,7                              | 2,47  | 83,6            | 3,11      | 21,8        | 1,59      | 93,2        | 2,17            |
|                  |           | 6   |     |     | 9,38                                | 7,36     | 57,0                              | 2,47  | 90,4            | 3,11      | 23,5        | 1,58      | 102         | 2,19            |
|                  |           | 7   |     |     | 10,8                                | 8,51     | 65,3                              | 2,45  | 104             | 3,09      | 27,0        | 1,58      | 119         | 2,23            |
|                  |           | 8   |     |     | 12,3                                | 9,65     | 73,4                              | 2,44  | 116             | 3,08      | 30,3        | 1,57      | 137         | 2,27            |
| 9                | 90        | 6   | 10  | 3,3 | 10,6                                | 8,33     | 82,1                              | 2,78  | 130             | 3,50      | 34,0        | 1,79      | 145         | 2,43            |
|                  |           | 7   |     |     | 12,3                                | 9,64     | 94,3                              | 2,77  | 150             | 3,49      | 38,9        | 1,78      | 169         | 2,47            |
|                  |           | 8   |     |     | 13,9                                | 10,9     | 106                               | 2,76  | 168             | 3,48      | 43,8        | 1,77      | 194         | 2,51            |
|                  |           | 9   |     |     | 15,6                                | 12,2     | 118                               | 2,75  | 186             | 3,46      | 48,6        | 1,77      | 219         | 2,55            |
| 10               | 100       | 6,5 | 12  | 4   | 12,8                                | 10,1     | 122                               | 3,09  | 193             | 3,88      | 50,7        | 1,99      | 214         | 2,68            |
|                  |           | 7   |     |     | 13,8                                | 10,8     | 131                               | 3,08  | 207             | 3,88      | 54,2        | 1,98      | 231         | 2,71            |
|                  |           | 8   |     |     | 15,6                                | 12,2     | 147                               | 3,07  | 233             | 3,87      | 60,9        | 1,98      | 265         | 2,75            |
|                  |           | 10  |     |     | 19,2                                | 15,1     | 179                               | 3,05  | 284             | 3,84      | 74,1        | 1,96      | 333         | 2,83            |
|                  |           | 12  |     |     | 22,8                                | 17,9     | 209                               | 3,03  | 331             | 3,81      | 86,9        | 1,95      | 402         | 2,91            |
|                  |           | 14  |     |     | 26,3                                | 20,6     | 237                               | 3,00  | 375             | 3,78      | 99,3        | 1,94      | 472         | 2,96            |
| 11               | 110       | 7   | 12  | 4   | 15,2                                | 11,9     | 176                               | 3,40  | 279             | 4,29      | 72,7        | 2,19      | 308         | 2,96            |
|                  |           | 8   |     |     | 17,2                                | 13,5     | 198                               | 3,39  | 315             | 4,28      | 81,8        | 2,18      | 353         | 3,00            |
| 12,5             | 125       | 8   | 14  | 4,6 | 19,7                                | 15,5     | 294                               | 3,87  | 467             | 4,87      | 122         | 2,49      | 516         | 3,36            |
|                  |           | 9   |     |     | 22,0                                | 17,3     | 327                               | 3,86  | 520             | 4,86      | 135         | 2,48      | 582         | 3,40            |
|                  |           | 10  |     |     | 24,3                                | 19,1     | 360                               | 3,85  | 571             | 4,84      | 149         | 2,47      | 649         | 3,45            |
|                  |           | 12  |     |     | 28,9                                | 22,7     | 422                               | 3,82  | 670             | 4,82      | 174         | 2,46      | 782         | 3,53            |
|                  |           | 14  |     |     | 33,4                                | 26,2     | 482                               | 3,80  | 764             | 4,78      | 200         | 2,45      | 916         | 3,61            |
|                  |           | 16  |     |     | 37,8                                | 29,6     | 539                               | 3,78  | 853             | 4,75      | 224         | 2,44      | 1051        | 3,68            |

|    |       |       |      |      |       |       |      |      |       |      |      |      |       |      |
|----|-------|-------|------|------|-------|-------|------|------|-------|------|------|------|-------|------|
| 14 | 140   | 9     | 14   | 4,6  | 24,7  | 19,4  | 466  | 4,34 | 739   | 5,47 | 192  | 2,79 | 818   | 3,78 |
|    |       | 10    |      |      | 27,3  | 21,5  | 512  | 4,33 | 814   | 5,46 | 211  | 2,78 | 911   | 3,82 |
|    |       | 12    |      |      | 32,5  | 25,5  | 602  | 4,31 | 957   | 5,43 | 248  | 2,76 | 1097  | 3,90 |
| 16 | 160   | 10    | 16   | 5,3  | 31,4  | 24,7  | 774  | 4,96 | 1229  | 6,25 | 319  | 3,19 | 1356  | 4,30 |
|    |       | 11    |      |      | 34,4  | 27,0  | 844  | 4,95 | 1341  | 6,24 | 348  | 3,18 | 1494  | 4,35 |
|    |       | 12    |      |      | 37,4  | 29,4  | 913  | 4,94 | 1450  | 6,23 | 376  | 3,17 | 1633  | 4,39 |
|    |       | 14    |      |      | 43,3  | 34,0  | 1046 | 4,92 | 1662  | 6,20 | 431  | 3,16 | 1911  | 4,47 |
|    |       | 16    |      |      | 49,1  | 38,5  | 1175 | 4,89 | 1866  | 6,17 | 485  | 3,14 | 2191  | 4,55 |
|    |       | 18    |      |      | 54,8  | 43,0  | 1299 | 4,87 | 2031  | 6,13 | 537  | 3,13 | 2472  | 4,63 |
| 20 | 60,4  | 47,4  | 1419 | 4,85 | 2248  | 6,10  | 589  | 3,12 | 2756  | 4,70 |      |      |       |      |
| 18 | 180   | 11    | 16   | 5,3  | 38,8  | 30,5  | 1216 | 5,60 | 1933  | 7,06 | 500  | 3,59 | 2128  | 4,85 |
|    |       | 12    |      |      | 42,2  | 33,1  | 1317 | 5,59 | 2093  | 7,04 | 540  | 3,58 | 2324  | 4,49 |
| 20 | 200   | 12    | 18   | 6    | 47,1  | 37,0  | 1823 | 6,22 | 2896  | 7,84 | 749  | 3,99 | 3182  | 5,37 |
|    |       | 13    |      |      | 50,9  | 39,9  | 1961 | 6,21 | 3116  | 7,83 | 805  | 3,98 | 3452  | 5,42 |
|    |       | 14    |      |      | 54,6  | 42,8  | 2097 | 6,20 | 3333  | 7,81 | 861  | 3,97 | 3722  | 5,46 |
|    |       | 16    |      |      | 62,0  | 48,7  | 2363 | 6,17 | 3755  | 7,78 | 970  | 3,95 | 4264  | 5,54 |
|    |       | 20    |      |      | 76,5  | 60,1  | 2871 | 6,12 | 4560  | 7,72 | 1182 | 3,93 | 5355  | 5,70 |
|    |       | 25    |      |      | 94,3  | 74,0  | 3466 | 6,05 | 5494  | 7,65 | 1438 | 3,91 | 6733  | 5,89 |
| 30 | 111,5 | 87,6  | 4020 | 6,00 | 6351  | 7,55  | 1688 | 3,89 | 8130  | 6,07 |      |      |       |      |
| 22 | 220   | 14    | 21   | 7    | 60,4  | 47,4  | 2814 | 6,83 | 4470  | 8,60 | 1159 | 4,38 | 4941  | 5,93 |
|    |       | 16    |      |      | 68,6  | 53,8  | 3175 | 6,81 | 5045  | 8,58 | 1306 | 4,36 | 5661  | 6,02 |
| 25 | 250   | 16    | 24   | 8    | 78,4  | 61,5  | 4717 | 7,76 | 7492  | 9,78 | 1942 | 4,98 | 8286  | 6,75 |
|    |       | 18    |      |      | 87,7  | 68,9  | 5247 | 7,73 | 8337  | 9,75 | 2158 | 4,96 | 9342  | 6,83 |
|    |       | 20    |      |      | 97,0  | 76,1  | 5765 | 7,71 | 9160  | 9,72 | 2370 | 4,94 | 10401 | 6,91 |
|    |       | 22    |      |      | 106,1 | 83,3  | 6270 | 7,69 | 9961  | 9,69 | 2579 | 4,93 | 11464 | 7,00 |
|    |       | 25    |      |      | 119,7 | 94,0  | 7000 | 6,65 | 11125 | 9,64 | 2887 | 4,91 | 13064 | 7,11 |
|    |       | 28    |      |      | 133,1 | 104,5 | 7717 | 7,61 | 12244 | 9,59 | 3190 | 4,89 | 14674 | 7,23 |
| 30 | 142,0 | 111,4 | 8177 | 7,59 | 12965 | 9,56  | 3389 | 4,89 | 15753 | 7,31 |      |      |       |      |



## Ёнлари тенгмас бурчакликлар

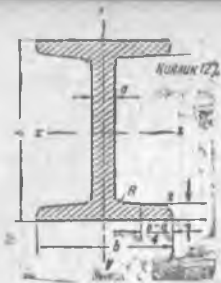
## Сортамент

2-жадвал

| Профилларнинг<br>номери | Ўлчамлари |    |               |     |     | Профилнинг<br>юзи<br>см <sup>2</sup> | I пог. и даги<br>огирлиги<br>кг | Ўқлар учун аниқланган катталиклар |                |                 |                |                                |  |                                |  |                 |                |                                   |
|-------------------------|-----------|----|---------------|-----|-----|--------------------------------------|---------------------------------|-----------------------------------|----------------|-----------------|----------------|--------------------------------|--|--------------------------------|--|-----------------|----------------|-----------------------------------|
|                         | B         | b  | d             | R   | r   |                                      |                                 | x—x                               |                | y—y             |                | x <sub>1</sub> —x <sub>1</sub> |  | y <sub>1</sub> —y <sub>1</sub> |  | и—и             |                |                                   |
|                         |           |    |               |     |     |                                      |                                 | I <sub>x</sub>                    | I <sub>x</sub> | I <sub>y</sub>  | I <sub>y</sub> | I <sub>x<sub>1</sub></sub>     | Огирлик<br>марказининг<br>масофаси<br>x <sub>0</sub> —y <sub>0</sub> | I <sub>y<sub>1</sub></sub>     | Огирлик<br>маркази-<br>нинг масо-<br>фаси x <sub>0</sub> | I <sub>и</sub>  | I <sub>и</sub> | Ўқнинг<br>қоялик<br>бурчаги,<br>° |
|                         | мм        |    |               |     |     |                                      |                                 | см <sup>4</sup>                   | см             | см <sup>4</sup> | см             | см <sup>4</sup>                | см   | см <sup>4</sup>                | см   | см <sup>4</sup> | см             |                                   |
| 2,5/1,6                 | 25        | 16 | 3             | 3,5 | 1,2 | 1,16                                 | 0,91                            | 0,70                              | 0,78           | 0,22            | 0,44           | 1,56                           | 0,86   | 0,43                           | 0,42   | 0,13            | 0,34           | 0,392                             |
| 3,2/2                   | 32        | 20 | $\frac{3}{4}$ | 3,5 | 1,2 | 1,49<br>1,94                         | 1,17<br>1,52                    | 1,52<br>1,93                      | 1,01<br>1,00   | 0,46<br>0,57    | 0,55<br>0,54   | 3,26<br>4,38                   | 1,08<br>1,12   | 0,82<br>1,12                   | 0,49<br>0,53   | 0,28<br>0,35    | 0,43<br>0,43   | 0,382<br>0,374                    |
| 4/2,5                   | 40        | 25 | $\frac{3}{4}$ | 4,0 | 1,3 | 1,89<br>2,47                         | 1,48<br>1,94                    | 3,06<br>3,93                      | 1,27<br>1,26   | 0,93<br>1,18    | 0,70<br>0,69   | 6,37<br>8,53                   | 1,32<br>1,37   | 1,58<br>2,15                   | 0,59<br>0,63   | 0,56<br>0,71    | 0,54<br>0,54   | 0,385<br>0,381                    |
| 4,5/2,8                 | 45        | 28 | $\frac{3}{4}$ | 5   | 1,7 | 2,14<br>2,80                         | 1,68<br>2,20                    | 4,41<br>5,68                      | 1,43<br>1,42   | 1,32<br>1,69    | 0,79<br>0,78   | 9,02<br>12,1                   | 1,47<br>1,51   | 2,20<br>2,98                   | 0,64<br>0,68   | 0,79<br>1,02    | 0,61<br>0,60   | 0,382<br>0,379                    |
| 5/3,2                   | 50        | 32 | $\frac{3}{4}$ | 5,5 | 1,8 | 2,42<br>3,17                         | 1,90<br>2,49                    | 6,17<br>7,98                      | 1,60<br>1,59   | 1,99<br>2,56    | 0,91<br>0,90   | 12,4<br>16,6                   | 1,60<br>1,65   | 3,26<br>4,42                   | 0,72<br>0,76   | 1,18<br>1,52    | 0,70<br>0,69   | 0,403<br>0,401                    |

|         |     |    |     |     |     |       |      |      |      |      |      |      |      |      |      |      |      |       |
|---------|-----|----|-----|-----|-----|-------|------|------|------|------|------|------|------|------|------|------|------|-------|
| 5,6/3,6 | 56  | 36 | 3,5 | 6,0 | 2,0 | 3,16  | 2,48 | 10,1 | 1,79 | 3,30 | 1,02 | 20,3 | 1,80 | 5,43 | 0,82 | 1,95 | 0,79 | 0,407 |
|         |     |    | 4   |     |     | 3,58  | 2,81 | 11,4 | 1,78 | 3,70 | 1,02 | 23,2 | 1,82 | 6,25 | 0,84 | 2,19 | 0,78 | 0,406 |
|         |     |    | 5   |     |     | 4,41  | 3,46 | 13,8 | 1,77 | 4,48 | 1,01 | 29,2 | 1,86 | 7,91 | 0,88 | 2,66 | 0,78 | 0,404 |
| 6,3/4,0 | 63  | 40 | 4   | 7,0 | 2,3 | 4,04  | 3,17 | 16,3 | 2,01 | 5,16 | 1,13 | 33,0 | 2,03 | 8,51 | 0,91 | 3,07 | 0,87 | 0,397 |
|         |     |    | 5   |     |     | 4,98  | 3,91 | 19,9 | 2,00 | 6,26 | 1,12 | 41,4 | 2,08 | 10,8 | 0,95 | 3,73 | 0,86 | 0,396 |
|         |     |    | 6   |     |     | 5,90  | 4,63 | 23,3 | 1,99 | 7,28 | 1,11 | 49,9 | 2,12 | 13,1 | 0,99 | 4,36 | 0,86 | 0,393 |
|         |     |    | 8   |     |     | 7,68  | 6,03 | 29,6 | 1,96 | 9,15 | 1,09 | 66,9 | 2,20 | 17,9 | 1,07 | 5,58 | 0,85 | 0,386 |
| 7/4,5   | 70  | 45 | 4,5 | 7,5 | 2,5 | 5,07  | 3,98 | 25,3 | 2,23 | 8,25 | 1,28 | 51   | 2,25 | 13,6 | 1,03 | 4,88 | 0,98 | 0,407 |
|         |     |    | 5   |     |     | 5,59  | 4,39 | 27,8 | 2,23 | 9,05 | 1,27 | 56,7 | 2,28 | 15,2 | 1,05 | 5,34 | 0,98 | 0,406 |
| 7,5/5   | 75  | 50 | 5   | 8   | 2,7 | 6,11  | 4,79 | 34,8 | 2,39 | 12,5 | 1,43 | 69,7 | 2,39 | 20,8 | 1,17 | 7,24 | 1,33 | 0,436 |
|         |     |    | 6   |     |     | 7,25  | 5,69 | 40,9 | 2,38 | 14,6 | 1,42 | 83,9 | 2,44 | 25,2 | 1,21 | 8,48 | 1,08 | 0,435 |
|         |     |    | 8   |     |     | 9,47  | 7,43 | 52,4 | 2,35 | 18,5 | 1,40 | 112  | 2,52 | 34,2 | 1,29 | 10,9 | 1,07 | 0,430 |
| 8/5     | 80  | 50 | 5   | 8   | 2,7 | 6,36  | 4,99 | 41,6 | 2,56 | 12,7 | 1,41 | 84,6 | 2,6  | 20,8 | 1,13 | 7,58 | 1,09 | 0,387 |
|         |     |    | 6   |     |     | 7,55  | 5,92 | 49,0 | 2,55 | 14,8 | 1,40 | 102  | 2,65 | 25,2 | 1,17 | 8,88 | 1,08 | 0,386 |
| 9/5,6   | 90  | 56 | 5,5 | 9   | 3   | 7,86  | 6,17 | 65,3 | 2,88 | 19,7 | 1,58 | 132  | 2,92 | 32,2 | 1,26 | 11,8 | 1,22 | 0,384 |
|         |     |    | 6   |     |     | 8,54  | 6,70 | 70,6 | 2,88 | 21,2 | 1,58 | 145  | 2,95 | 35,2 | 1,28 | 12,7 | 1,22 | 0,384 |
|         |     |    | 8   |     |     | 11,18 | 8,77 | 90,9 | 2,85 | 27,1 | 1,56 | 194  | 3,04 | 47,8 | 1,36 | 16,3 | 1,21 | 0,380 |
| 10/6,3  | 100 | 63 | 6   | 10  | 3,3 | 9,59  | 7,53 | 98,3 | 3,2  | 30,6 | 1,79 | 191  | 3,23 | 49,9 | 1,42 | 18,2 | 1,38 | 0,393 |
|         |     |    | 7   |     |     | 11,1  | 8,70 | 113  | 3,19 | 35,0 | 1,78 | 232  | 3,28 | 58,7 | 1,46 | 20,8 | 1,37 | 0,392 |
|         |     |    | 8   |     |     | 12,6  | 9,87 | 127  | 3,18 | 39,2 | 1,77 | 266  | 3,32 | 67,6 | 1,50 | 23,4 | 1,36 | 0,391 |
|         |     |    | 10  |     |     | 15,5  | 12,1 | 154  | 3,15 | 47,1 | 1,75 | 333  | 3,40 | 85,8 | 1,58 | 28,3 | 1,35 | 0,387 |
| 11/7    | 110 | 70 | 6,5 | 10  | 3,3 | 11,4  | 8,98 | 142  | 3,53 | 45,6 | 2    | 286  | 3,55 | 74,3 | 1,58 | 26,9 | 1,53 | 0,402 |
|         |     |    | 7   |     |     | 12,3  | 9,64 | 152  | 3,52 | 48,7 | 1,99 | 309  | 3,57 | 80,3 | 1,6  | 28,8 | 1,53 | 0,402 |
|         |     |    | 8   |     |     | 13,9  | 10,9 | 172  | 3,51 | 54,6 | 1,98 | 353  | 3,61 | 92,3 | 1,64 | 32,3 | 1,52 | 0,400 |

| Профилларнинг<br>номери | Улчамлари |     |    |    |     | Профилнинг<br>кеси<br>см | I пог. м даги<br>оғирлиги<br>кг | Ўқлар учун аниқланган катталиклар |                 |                 |                 |                                   |  |                                   |  |                       |                       |                                     |
|-------------------------|-----------|-----|----|----|-----|--------------------------|---------------------------------|-----------------------------------|-----------------|-----------------|-----------------|-----------------------------------|--|-----------------------------------|--|-----------------------|-----------------------|-------------------------------------|
|                         | B         | b   | d  | R  | r   |                          |                                 | x-x                               |                 | y-y             |                 | x <sub>1</sub> -x <sub>1</sub>    |  | y <sub>1</sub> -y <sub>1</sub>    |  | z-z                   |                       | Ўқнинг<br>квалитет<br>дурчиги<br>мм |
|                         |           |     |    |    |     |                          |                                 | I <sub>x</sub>                    | I <sub>x</sub>  | I <sub>y</sub>  | I <sub>y</sub>  | I <sub>x<sub>1</sub></sub><br>мин | оғирлик<br>марказининг<br>масофаси<br>x <sub>0</sub> -x <sub>0</sub> | I <sub>y<sub>1</sub></sub><br>мин | оғирлик<br>маркази-<br>нинг масо-<br>фаси y <sub>0</sub> | I <sub>z</sub><br>мин | I <sub>z</sub><br>мин |                                     |
|                         | мм        | мм  | мм | мм | мм  |                          |                                 | мм                                | мм <sup>4</sup> | мм <sup>4</sup> | мм <sup>4</sup> | мм <sup>4</sup>                   | мм <sup>4</sup>  | мм <sup>4</sup>                   | см   | см                    | см <sup>4</sup>       |                                     |
| 12,5/8                  | 125       | 80  | 7  | 11 | 3,7 | 14,1                     | 11                              | 227                               | 4,01            | 73,7            | 2,29            | 452                               | 4,01   | 119                               | 1,8  | 43,4                  | 1,76                  |                                     |
|                         |           |     | 8  |    |     | 16                       | 12,5                            | 256                               | 4               | 83,0            | 2,28            | 518                               | 4,05   | 137                               | 1,84   | 48,8                  | 1,75                  | 0,406                               |
|                         |           |     | 10 |    |     | 19,7                     | 15,5                            | 312                               | 3,98            | 100             | 2,26            | 649                               | 4,14   | 173                               | 1,92   | 59,3                  | 1,74                  | 0,404                               |
|                         |           |     | 12 |    |     | 23,4                     | 18,3                            | 365                               | 3,95            | 117             | 2,24            | 781                               | 4,22   | 210                               | 2  | 69,5                  | 1,72                  | 0,400                               |
| 14/9                    | 140       | 90  | 8  | 12 | 4   | 18                       | 14,1                            | 364                               | 4,49            | 120             | 2,58            | 727                               | 4,49   | 194                               | 2,03   | 70,3                  | 1,98                  | 0,411                               |
|                         |           |     | 10 |    |     | 22,2                     | 17,5                            | 444                               | 4,47            | 146             | 2,56            | 911                               | 4,58   | 245                               | 2,12   | 85,5                  | 1,96                  | 0,409                               |
| 16/10                   | 160       | 100 | 9  | 13 | 4,3 | 22,9                     | 18                              | 606                               | 5,15            | 185             | 2,85            | 1221                              | 5,19   | 300                               | 2,23   | 110                   | 2,2                   | 0,391                               |
|                         |           |     | 10 |    |     | 25,3                     | 19,8                            | 667                               | 5,13            | 204             | 2,84            | 1359                              | 5,23   | 335                               | 2,28   | 121                   | 2,19                  | 0,390                               |
|                         |           |     | 12 |    |     | 30                       | 23,6                            | 784                               | 5,11            | 239             | 2,82            | 1634                              | 5,32   | 405                               | 2,36   | 142                   | 2,18                  | 0,388                               |
|                         |           |     | 14 |    |     | 34,7                     | 27,3                            | 897                               | 5,08            | 272             | 2,8             | 1910                              | 5,40   | 477                               | 2,43   | 162                   | 2,16                  | 0,385                               |
| 18/11                   | 180       | 110 | 10 | 14 | 4,7 | 28,3                     | 22,2                            | 952                               | 5,8             | 276             | 3,12            | 1933                              | 5,88   | 444                               | 2,44   | 165                   | 2,42                  | 0,375                               |
|                         |           |     | 12 |    |     | 33,7                     | 26,4                            | 1123                              | 5,77            | 324             | 3,1             | 2324                              | 5,97   | 537                               | 2,52   | 194                   | 2,40                  | 0,374                               |
| 20/12,5                 | 200       | 125 | 11 | 14 | 4,7 | 34,9                     | 27,4                            | 1449                              | 6,45            | 446             | 3,58            | 2920                              | 6,5  | 718                               | 2,79   | 264                   | 2,75                  | 0,392                               |
|                         |           |     | 12 |    |     | 37,9                     | 29,7                            | 1568                              | 6,43            | 482             | 3,57            | 3189                              | 6,54   | 786                               | 2,83   | 285                   | 2,74                  | 0,392                               |
|                         |           |     | 14 |    |     | 43,9                     | 34,4                            | 1801                              | 6,41            | 551             | 3,54            | 3726                              | 6,62   | 922                               | 2,91   | 327                   | 2,73                  | 0,390                               |
|                         |           |     | 16 |    |     | 49,8                     | 39,1                            | 2026                              | 6,38            | 617             | 3,52            | 4264                              | 6,71   | 1061                              | 2,99   | 367                   | 2,72                  | 0,388                               |
| 25/16                   | 250       | 160 | 12 | 18 | 6   | 48,3                     | 37,9                            | 3147                              | 8,07            | 1032            | 4,62            | 6212                              | 7,97   | 1634                              | 3,53   | 604                   | 3,54                  | 0,410                               |
|                         |           |     | 16 |    |     | 63,6                     | 49,9                            | 4091                              | 8,02            | 1333            | 4,58            | 8308                              | 8,14   | 2200                              | 3,69   | 781                   | 3,50                  | 0,408                               |
|                         |           |     | 18 |    |     | 71,1                     | 55,8                            | 45                                | 7,99            | 1475            | 4,56            | 9358                              | 8,23   | 2487                              | 3,77   | 866                   | 3,49                  | 0,407                               |
|                         |           |     | 20 |    |     | 78,5                     | 61,7                            | 4987                              | 7,97            | 1613            | 4,53            | 10410                             | 8,31   | 2776                              | 3,85   | 949                   | 3,48                  | 0,405                               |



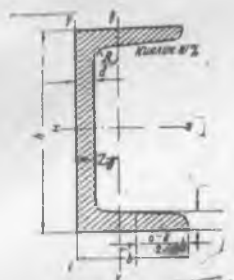
ГОСТ  
8239—56

Қуштаврли балкалар

Сортамент

3-жадал

| Профиллар-<br>нинг номери | I ГОСТ. М<br>ДЭТИ ОГНО-<br>ЛИГИ КЭ | Улчамлари |     |      |      |      |     | Кесилм<br>юзини F, см² | x — x          |                |                |                | y — y          |                |                |
|---------------------------|------------------------------------|-----------|-----|------|------|------|-----|------------------------|----------------|----------------|----------------|----------------|----------------|----------------|----------------|
|                           |                                    | h         | b   | d    | t    | R    | r   |                        | I <sub>x</sub> | W <sub>x</sub> | I <sub>y</sub> | S <sub>x</sub> | I <sub>y</sub> | W <sub>y</sub> | i <sub>y</sub> |
|                           |                                    |           |     |      |      |      |     |                        |                |                |                |                |                |                |                |
| 10                        | 11,1                               | 100       | 70  | 4,5  | 7,2  | 7,0  | 3,0 | 14,2                   | 244            | 48,8           | 4,15           | 28,0           | 35,3           | 10,1           | 1,58           |
| 12                        | 13,0                               | 120       | 75  | 5,0  | 7,3  | 7,5  | 3,0 | 16,5                   | 403            | 67,5           | 4,94           | 38,5           | 43,8           | 11,7           | 1,63           |
| 14                        | 14,8                               | 140       | 82  | 5,0  | 7,5  | 8,0  | 3,0 | 18,9                   | 632            | 90,3           | 5,78           | 51,5           | 58,2           | 14,2           | 1,75           |
| 16                        | 16,9                               | 160       | 90  | 5,0  | 7,7  | 8,5  | 3,5 | 21,5                   | 945            | 118            | 6,63           | 67,0           | 77,6           | 17,2           | 1,90           |
| 18                        | 18,7                               | 180       | 95  | 5,0  | 8,0  | 9,0  | 3,5 | 23,8                   | 1330           | 148            | 7,47           | 83,7           | 94,6           | 19,9           | 1,99           |
| 18a                       | 19,9                               | 180       | 102 | 5,0  | 8,2  | 9,0  | 3,5 | 25,4                   | 1440           | 160            | 7,53           | 90,1           | 119            | 23,3           | 2,17           |
| 20                        | 20,7                               | 200       | 100 | 5,2  | 8,2  | 9,5  | 4,0 | 26,4                   | 1810           | 181            | 8,27           | 102            | 112            | 22,4           | 2,06           |
| 20a                       | 22,2                               | 200       | 110 | 5,2  | 8,3  | 9,5  | 4,0 | 28,3                   | 1970           | 197            | 8,36           | 111            | 148            | 27,0           | 2,29           |
| 22                        | 23,7                               | 220       | 110 | 5,3  | 8,6  | 10,0 | 4,0 | 30,2                   | 2530           | 230            | 9,14           | 130            | 155            | 28,2           | 2,26           |
| 22a                       | 25,4                               | 220       | 120 | 5,3  | 8,8  | 10,0 | 4,0 | 32,4                   | 2760           | 251            | 9,23           | 141            | 203            | 33,8           | 2,50           |
| 24                        | 27,3                               | 240       | 115 | 5,6  | 9,5  | 10,5 | 4,0 | 34,8                   | 3460           | 289            | 9,97           | 163            | 198            | 34,5           | 2,37           |
| 24a                       | 29,4                               | 240       | 125 | 5,6  | 9,8  | 10,5 | 4,0 | 37,5                   | 3800           | 317            | 10,1           | 178            | 260            | 41,6           | 2,63           |
| 27                        | 31,5                               | 270       | 125 | 6,0  | 9,8  | 11,0 | 4,5 | 40,2                   | 5010           | 371            | 11,2           | 210            | 260            | 41,5           | 2,54           |
| 27a                       | 33,9                               | 270       | 135 | 6,0  | 10,2 | 11,0 | 4,5 | 43,2                   | 5500           | 407            | 11,3           | 229            | 337            | 50,0           | 2,80           |
| 30                        | 36,5                               | 300       | 135 | 6,5  | 10,2 | 12   | 5   | 46,5                   | 7080           | 472            | 12,3           | 268            | 337            | 49,9           | 2,69           |
| 30a                       | 39,2                               | 300       | 145 | 6,5  | 10,7 | 12   | 5   | 49,9                   | 7780           | 518            | 12,5           | 292            | 436            | 60,1           | 2,95           |
| 33                        | 42,2                               | 330       | 140 | 7,0  | 11,2 | 13   | 5   | 53,8                   | 9840           | 597            | 13,5           | 339            | 419            | 59,9           | 2,79           |
| 36                        | 48,6                               | 360       | 145 | 7,5  | 12,3 | 14   | 6   | 61,9                   | 13380          | 743            | 14,7           | 423            | 516            | 71,1           | 2,89           |
| 40                        | 56,1                               | 400       | 155 | 8,0  | 13,0 | 15   | 6   | 71,4                   | 18930          | 947            | 16,3           | 540            | 666            | 85,0           | 3,05           |
| 45                        | 65,2                               | 450       | 160 | 8,6  | 14,2 | 16   | 7   | 83,0                   | 27450          | 1220           | 18,2           | 699            | 807            | 101            | 3,12           |
| 50                        | 76,8                               | 500       | 170 | 9,5  | 15,2 | 17   | 7   | 97,8                   | 39290          | 1570           | 20,0           | 905            | 1040           | 122            | 3,26           |
| 55                        | 89,8                               | 550       | 180 | 10,3 | 16,5 | 18   | 7   | 14                     | 55150          | 2000           | 22,0           | 1150           | 1350           | 150            | 3,44           |
| 60                        | 104                                | 600       | 190 | 11,1 | 17,8 | 20   | 8   | 132                    | 75450          | 2510           | 23,9           | 1450           | 1720           | 181            | 3,60           |
| 65                        | 120                                | 650       | 200 | 12,0 | 19,2 | 22   | 9   | 153                    | 101400         | 3120           | 25,8           | 1800           | 2170           | 217            | 3,77           |
| 70                        | 138                                | 700       | 210 | 13,0 | 20,8 | 24   | 10  | 176                    | 134600         | 3840           | 27,7           | 2230           | 2730           | 260            | 3,94           |
| 70a                       | 158                                | 700       | 210 | 15,0 | 24,0 | 24   | 10  | 202                    | 152700         | 4360           | 27,5           | 2550           | 3240           | 309            | 4,01           |
| 70b                       | 184                                | 700       | 210 | 17,5 | 28,2 | 24   | 10  | 234                    | 175370         | 5010           | 27,4           | 2940           | 3910           | 373            | 4,09           |



ГОСТ 8240—56

Швеллерлар  
Сортамент

4- жадвал

| Профилларнинг номери | l тоғ. м даги оғирлиги | Улчамлари |     |     |      |      |     | Кесим дози $F, \text{ см}^2$ | x — x           |                 |                |                 | y — y           |                 |                | Z <sub>0</sub> , см |
|----------------------|------------------------|-----------|-----|-----|------|------|-----|------------------------------|-----------------|-----------------|----------------|-----------------|-----------------|-----------------|----------------|---------------------|
|                      |                        | h         | b   | d   | t    | R    | r   |                              | I <sub>x</sub>  | W <sub>x</sub>  | i <sub>x</sub> | S <sub>x</sub>  | I <sub>y</sub>  | W <sub>y</sub>  | i <sub>y</sub> |                     |
|                      |                        | мм        |     |     |      |      |     |                              | см <sup>4</sup> | см <sup>3</sup> | см             | см <sup>3</sup> | см <sup>4</sup> | см <sup>3</sup> | см             |                     |
| 5                    | 5,42                   | 50        | 37  | 4,5 | 7,0  | 6,0  | 2,5 | 6,90                         | 26,1            | 10,4            | 1,94           | 6,36            | 8,41            | 3,59            | 1,10           | 1,36                |
| 6,5                  | 6,50                   | 65        | 40  | 4,5 | 7,4  | 6,0  | 2,5 | 8,28                         | 54,5            | 16,8            | 2,57           | 10,0            | 11,9            | 4,58            | 1,20           | 1,40                |
| 8                    | 7,78                   | 80        | 45  | 4,8 | 7,4  | 6,5  | 2,5 | 9,91                         | 99,9            | 25,0            | 3,17           | 14,8            | 17,8            | 5,89            | 1,34           | 1,48                |
| 10                   | 9,20                   | 100       | 50  | 4,8 | 7,5  | 7,0  | 3,0 | 11,7                         | 187             | 37,3            | 3,99           | 21,9            | 25,6            | 7,42            | 1,48           | 1,55                |
| 12                   | 10,8                   | 120       | 54  | 5,0 | 7,7  | 7,5  | 3,0 | 13,7                         | 313             | 52,2            | 4,78           | 30,5            | 34,4            | 9,01            | 1,58           | 1,59                |
| 14                   | 12,3                   | 140       | 58  | 5,0 | 8,0  | 8,0  | 3,0 | 15,7                         | 489             | 69,8            | 5,59           | 40,7            | 45,1            | 10,9            | 1,70           | 1,66                |
| 14a                  | 13,2                   | 140       | 62  | 5,0 | 8,5  | 8,0  | 3,0 | 16,9                         | 538             | 76,8            | 5,65           | 44,6            | 56,6            | 13,0            | 1,83           | 1,84                |
| 16                   | 14,1                   | 160       | 64  | 5,0 | 8,3  | 8,5  | 3,5 | 18,0                         | 741             | 92,6            | 6,42           | 53,7            | 62,6            | 13,6            | 1,87           | 1,79                |
| 16a                  | 15,1                   | 160       | 68  | 5,0 | 8,8  | 8,5  | 3,5 | 19,3                         | 811             | 101             | 6,48           | 58,5            | 77,3            | 16,0            | 2,00           | 1,98                |
| 18                   | 16,1                   | 180       | 70  | 5,0 | 8,7  | 9,0  | 3,5 | 20,5                         | 1080            | 120             | 7,26           | 69,4            | 85,6            | 16,9            | 2,04           | 1,95                |
| 18a                  | 17,2                   | 180       | 74  | 5,0 | 9,2  | 9,0  | 3,5 | 21,9                         | 1180            | 131             | 7,33           | 75,2            | 104             | 19,7            | 2,18           | 2,13                |
| 20                   | 18,4                   | 200       | 76  | 5,2 | 9,0  | 9,5  | 4,0 | 23,4                         | 1520            | 152             | 8,07           | 87,8            | 113             | 20,5            | 2,20           | 2,07                |
| 20a                  | 19,6                   | 200       | 80  | 5,2 | 9,6  | 9,5  | 4,0 | 25,0                         | 1660            | 166             | 8,15           | 95,2            | 137             | 24,0            | 2,34           | 2,27                |
| 22                   | 20,9                   | 220       | 82  | 5,3 | 9,6  | 10,0 | 4,0 | 26,7                         | 2120            | 193             | 8,91           | 111             | 151             | 25,4            | 2,38           | 2,24                |
| 22a                  | 22,5                   | 220       | 87  | 5,3 | 10,2 | 10,0 | 4,0 | 28,6                         | 2320            | 211             | 9,01           | 121             | 186             | 29,9            | 2,55           | 2,47                |
| 24                   | 24,0                   | 240       | 90  | 5,6 | 10,0 | 10,5 | 4,0 | 30,6                         | 2900            | 242             | 9,73           | 139             | 208             | 31,6            | 2,60           | 2,42                |
| 24a                  | 25,8                   | 240       | 95  | 5,6 | 10,7 | 10,5 | 4,0 | 32,9                         | 3180            | 265             | 9,84           | 151             | 254             | 37,2            | 2,78           | 2,67                |
| 27                   | 27,7                   | 270       | 95  | 6,0 | 10,5 | 11   | 4,5 | 35,2                         | 4160            | 308             | 10,9           | 178             | 262             | 37,3            | 2,73           | 2,47                |
| 30                   | 31,8                   | 300       | 100 | 6,5 | 11,0 | 12   | 5   | 40,5                         | 5810            | 387             | 12,0           | 224             | 327             | 43,6            | 2,84           | 2,52                |
| 33                   | 36,5                   | 330       | 105 | 7,0 | 11,7 | 13   | 5   | 46,5                         | 7980            | 484             | 13,1           | 281             | 410             | 51,8            | 2,97           | 2,59                |
| 36                   | 41,9                   | 360       | 110 | 7,5 | 12,6 | 14   | 6   | 53,4                         | 10820           | 601             | 14,2           | 350             | 513             | 61,7            | 3,10           | 2,68                |
| 40                   | 48,3                   | 400       | 115 | 8,0 | 13,5 | 15   | 6   | 61,5                         | 15220           | 761             | 15,7           | 444             | 642             | 73,4            | 3,23           | 2,75                |

□

М У Н Д А Р И Ж А

Бет

|  |             |
|--|-------------|
| Биринчи нашрига сўз боши . . . . .   | 3           |
| Иккинчи нашрига сўз боши . . . . .   | 4           |
| <b>I б о б. Кириш . . . . .</b>  | <b>5</b>    |
| 1- §. Материаллар қаршилиги фанининг моҳияти . . . . .   | 5 <i>и</i>  |
| 2- §. Тугри ва эгри стерженлар, юқа пластинкалар ва қобиклар таърифи . . . . .   | 7           |
| 3- §. Иншоот ва машиналарга қўйиладиган кучлар ва уларнинг турлари . . . . .   | 8           |
| 4- §. Деформация ва унинг турлари . . . . .  | 10 <i>л</i> |
| 5- §. Каттиқ жисм статикаси теоремаларининг материаллар қаршилигидаги татбиқи . . . . .  | 11          |
| 6- §. Ички кучлар ва уларни топиш . . . . .  | 11          |
| 7- §. Кучланиш ва унинг турлари . . . . .  | 14          |
| 8- §. Материаллар қаршилиги масалаларини ечиш тартиби . . . . .  | 15          |
| 9- §. Иншоот қисмларига қўйиладиган ташқи кучлар таъсирининг асосий кўринишлари ва улар таъсирдан ҳосил буладиган деформациялар. . . . . | 16          |
| <b>II б о б Эластиклик чегарасида призматик стерженларнинг чўзилиши ва сиқилиши . . . . .</b>  | <b>18</b>   |
| 10- §. Чўзилувчи (сиқилувчи) стержень кўндаланг кесимидаги кучланиш. Ҳисоб тенгламаси . . . . .  | 18          |
| 11- §. Чўзилувчи (сиқилувчи) призматик стерженнинг бўйлама ва кўндаланг деформациялари. Пуассон коэффициенти . . . . .                   | 19          |
| 12- §. Гук қонуни . . . . .  | 20 <i>л</i> |
| <b>III б о б. Материалларнинг мустаҳкамлигини синов йўли билан урганиш . . . . .</b>   | <b>26</b>   |
| 13- §. Материалларни синов машиналари . . . . .  | 26          |
| 14- §. Намунанинг шакли. Синов натижаларига намуна шаклининг ва узунлигининг таъсири . . . . .   | 28          |
| 15- §. Чўзилиш диаграммаси . . . . .   | 29          |
| 16- §. Синов процессига оид баъзи мулоҳазалар ва қўшимча маълумотлар . . . . .   | 35          |
| 17- §. Пластик ва мўрт материалларнинг чўзилиш диаграммалари . . . . .   | 36          |
| 18- §. Пластик ва мўрт материалларнинг механик харақтеристикаларини таққослаш . . . . .  | 39          |
| 19- §. Каттиқлик . . . . .   | 42          |
| 20- §. Материалнинг механик хоссаларига температуранинг таъсири . . . . .  | 43          |
| 21- §. Кейинги таъсир ва ўзича чўзилувчанлик . . . . .   | 44          |
| 22- §. Эластик гистерезис . . . . .  | 46          |
| 23- §. Толиқиш ва толиқиш натижасида материалнинг емирилиши . . . . .  | 47          |

|   |      |
|---|------|
| IV б о б. Чўзилиш ва сиқилишга оид баъзи мураккаб масалалар   | 48   |
| 24- §. Статик аниқмас масалалар   | 48 ✓ |
| 25- §. Айрим қисмларнинг аниқ тайёрланмаслиги натижасида конструкция элементларида ҳосил бўладиган зуриқишлар   | 50 ✓ |
| 26- §. Температуранинг узгагишидан ҳосил бўладиган кучланишлар  | 53   |
| 27- §. Статик аниқмас системаларни рухсат этилган юкка мувофиқ ҳисоблаш   | 54   |
| 28- §. Ҳусусий оғирликни эътиборга олиб, кўндаланг кесимни танлаш   | 59   |
| 29- §. Критик узунлик   | 63   |
| 30- §. Ҳусусий оғирлик таъсиридан бўладиган деформация  | 64 ✓ |
| 31- §. Эгилувчан ипни ҳисоблаш  | 64   |
| V б о б. Кучланишларнинг анализи  | 71   |
| 32- §. Қия кесимлардаги кучланишлар   | 71   |
| 33- §. Текис кучланиш ҳолати  | 75   |
| 34- §. Кучланиш эллипси   | 78   |
| 35- §. Текис кучланиш ҳолати учун Мор усули (Мор доираси)   | 79   |
| 36- §. Текис кучланиш ҳолати учун бош юзалар ва бош кучланишлар   | 80   |
| 37- §. Фазовий кучланиш ҳолати  | 84   |
| 38- §. Чўзилишдаги ва сиқилишдаги стерженларнинг кўндаланг деформацияси (Пуассон коэффициентини)                | 87   |
| 39- §. Кучланиш билан деформациянинг умумий муносабати  | 88   |
| VI б о б. Мустаҳкамлик назариялари  | 91   |
| 40- §. Мустаҳкамлик назариялари ҳақида тушунча  | 91 ✓ |
| 41- §. Мураккаб кучланиш ҳолатидаги жисмларнинг мустаҳкамлигини турли мустаҳкамлик назариялари асосида текшириш | 93 ✓ |
| 42- §. Энергетик назария  | 95   |
| VII б о б. Силжиш   | 101  |
| 43- §. Соф силжиш   | 101  |
| 44- §. Силжишга қаршилик кўрсатувчи призматик стерженлар учун рухсат этилган кучланиш                           | 103  |
| 45- §. Силжишга ишловчи конструкция элементларининг ҳисоби  | 105  |
| 46- §. Пайванд бирикманинг ҳисоби   | 112  |
| VIII б о б. Буралиш   | 115  |
| 47- §. Доиравий кесимли стерженнинг буралиши  | 118  |
| 48- §. Доиравий цилиндр кўндаланг кесимининг поляр инерция моменти ва қаршилик моменти                          | 122  |
| 49- §. Буралишдаги деформацияни аниқлаш   | 123  |
| 50- §. Валларни буралишга ҳисоблаш. Буровчи моментлар эпюраси   | 124  |
| 51- §. Буралувчи стерженнинг қия кесимидаги кучланишлар   | 125  |
| 52- §. Буралиш деформациясининг потенциал энергияси (Буровчи моментнинг иши)                                    | 126  |
| 53- §. Кесими доиравий бўлмаган стерженларнинг буралиши   | 127  |
| 54- §. Қадами кичик винт пружиналардаги кучланишлар ва деформациялар  | 130  |

**IX боб. Текис шаклларнинг статик ва инерция моментлари . . . 131**

|  |     |
|--|-----|
| 55- §. Текис шаклларнинг ўққа нисбатан статик моментлари . . .                         | 131 |
| 56- §. Текис шаклларнинг инерция моментлари . . . . .                                  | 139 |
| 57- §. Бош инерция ўқлари ҳақидаги тушунчалар . . . . .                                | 140 |
| 58- §. Текис шаклнинг марказий ўқига параллел ўққа нисбатан инерция моменти . . . . .  | 141 |
| 59- §. Энг оддий текис шаклларнинг инерция моментлари . . .                            | 142 |
| 60- §. Мураккаб геометрик шаклларнинг инерция моментларини ҳисоблаш . . . . .          | 143 |
| 61- §. Марказдан кочувчи инерция моментини ҳисоблаш . . . .                            | 146 |
| 62- §. Координата ўқлари айлантирилганда инерция моментларининг ўзгариши . . . . .     | 147 |
| 63- §. Бош инерция ўқларининг йўналишини ва бош инерция моментларини аниқлаш . . . . . | 149 |
| 64- §. Инерция эллипси . . . . .   | 151 |
| 65- §. Текис юзаларнинг инерция моментларини тақрибий усулда ҳисоблаш . . . . .        | 154 |

**X боб. Кундаланг эгилиш . . . . . 156**

|  |     |
|--|-----|
| 66- §. Эгилишга оид тушунчалар . . . . .   | 156 |
| 67- §. Таянчларнинг хиллари ва реакциялари . . . . .   | 157 |
| 68- §. Таянч реакцияларини аниқлаш . . . . .   | 159 |
| 69- §. Балкаларда ҳосил буладиган кучланишларнинг характери. Эгувчи момент ва кесиб ўтувчи куч . . . . .         | 162 |
| 70- §. Эгувчи момент ва кесиб ўтувчи кучлар эпюрасини аналитик равишда тузиш . . . . .                           | 165 |
| 71- §. Мураккаб юклар учун кесиб ўтувчи куч ва эгувчи момент эпюраларини ясаш . . . . .                          | 171 |
| 72- §. Эгувчи момент, кесиб ўтувчи куч ва ёйилган куч интенсивлиги орасидаги дифференциал муносабатлар . . . . . | 172 |
| 73- §. Жуфт кучлар билан юкланган балкалар учун $Q$ ва $M$ эпюраларини ясаш . . . . .                            | 175 |
| 74- §. $Q$ ва $M$ эпюраларини қизишда кучлар таъсирини қўшиш усули . . . . .                                     | 177 |
| 75- §. $M$ ва $Q$ эпюраларини график усулда ясаш . . . . .   | 179 |
| 76- §. Тугунлар орқали юкланган балкалар учун $M$ ва $Q$ эпюраларини ясаш . . . . .                              | 183 |

**XI боб. Эгилишдаги кучланишларни ҳисоблаш . . . . . 184**

|  |     |
|--|-----|
| 77- §. Соф эгилиш. Эгилиш назариясига оид гипотезалар . . .                              | 184 |
| 78- §. Соф эгилишдаги нормал кучланишлар . . . . .                                       | 186 |
| 79- §. Эгилиш учун ҳисоб тенгламаси . . . . .  | 190 |
| 80- §. Балка кесимларининг рационал шакллари . . . . .                                   | 192 |
| 81- §. Кундаланг кесими тўғри тўрт бурчакли балкадаги тангенциал кучланишлар . . . . .   | 194 |
| 82- §. Қуш таврли кесим учун тангенциал кучланишлар . . . .                              | 199 |
| 83- §. Доиравий кесим учун тангенциал кучланиш . . . . .                                 | 201 |
| 84- §. Балкаларнинг мустаҳкамлигини тангенциал кучланишларга нисбатан текшириш . . . . . | 202 |
| 85- §. Балканинг мустаҳкамлигини бош кучланишлар асосида текшириш . . . . .              | 204 |
| 86- §. Бош кучланишларнинг йўналиши. Кучланишлар траекторияси . . . . .                  | 209 |

|   |            |
|---|------------|
| <b>XII б о б . Балкаларнинг эгилишдаги деформацияларини аниқлаш</b>                                   | <b>218</b> |
| 87- §. Балкаларнинг салқилигини ва қўндаланг кесимларнинг айланшини аналитик усулда аниқлаш . . . . . | 218        |
| 88- §. Тақрибий назариянинг қўлланиш чегараси . . . . .   | 221        |
| 89- §. Эластик чизиқнинг дифференциал тенгламасини интеграллаш . . . . .                              | 223        |
| 90- §. Балка давомида ётувчи момент битта аналитик функция билан ифодаланмайдиган ҳоллар . . . . .    | 226        |
| 91- §. Эластик чизиқнинг универсал тенгламаси . . . . .   | 230        |
| 92- §. Эластик чизиқни график усулда яшаш . . . . .   | 234        |
| 93- §. Графо-аналитик усулда балканинг деформацияларини текшириш . . . . .                            | 237        |
| 94- §. Графо-аналитик усулнинг конкрет ҳоллар учун татбиқи  | 238        |
| <b>XIII б о б . Ўзгарувчи кесимли балкалар ҳисоби . . . . .</b>                                       | <b>246</b> |
| 95- §. Эгилишга тенг қаршилиқ кўрсатувчи балкалар . . . . .   | 246        |
| 96- §. Тенг қаршилиқ кўрсатувчи балкалар профили . . . . .  | 247        |
| <b>XIV б о б . Статик аниқмас балкалар ҳисоби . . . . .</b>   | <b>252</b> |
| 97- §. Ортиқча боғланишлар . . . . .  | 252        |
| 98- §. Ортиқча номанъумларни аниқлаш усуллари . . . . .   | 253        |
| 99- §. Уч таянчда ётувчи балкалар ҳисоби . . . . .  | 262        |
| 100- §. Уч момент теоремаси . . . . .   | 263        |
| <b>XV б о б . Конструкция элементларининг устиворлиги . . . . .</b>                                   | <b>271</b> |
| 101- §. Устивор ва устивормас мувозанатлар . . . . .  | 271        |
| 102- §. Критик кучни аниқлаш учун Эйлер формуласи . . . . .   | 273        |
| 103- §. Учлари турлича маҳкамланган стерженлар учун критик куч ифодаси . . . . .                      | 275        |
| 104- §. Эйлер формуласининг татбиқ этилиш чегараси . . . . .  | 276        |
| 105- §. Сиқилган стерженларининг устивор мувозанатини текшириш  | 279        |
| <b>XVI б о б Мураккаб қаршилиқ . . . . .</b>  | <b>285</b> |
| 106- §. Мураккаб эгилиш (қийшиқ эгилиш) . . . . .   | 287        |
| 107- §. Балкаларнинг қийшиқ эгилишдаги деформациялари . . . . .                                       | 293        |
| 108- §. Чузилиш ёки сиқилишнинг эгилиш билан бирга таъсири  | 296        |
| 109- §. Марказий қўйилмаган чузувчи ёки сиқувчи кучлар таъсири . . . . .                              | 300        |
| 110- §. Кесим ядроси . . . . .  | 305        |
| 111- §. Буралишнинг эгилиш билан бирга таъсири . . . . .  | 309        |
| 112- §. Энг оддий тирсақли валларнинг ҳисоби . . . . .  | 317        |
| 113- §. Цилиндрик винт пружиналар ҳисоби. Умумий ҳол . . . . .  | 322        |
| <b>XVII б о б . Балкаларнинг эгилишига оид баъзи мураккаб ҳоллар</b>                                  | <b>326</b> |
| 114- §. Эгилишда ҳосил булган кучланишларнинг тўпланиши . . . . .                                     | 326        |
| 115- §. Бош текислик симметрия текислиги бўлмаган ҳолдаги эгилиш. Эгилиш маркази . . . . .            | 329        |
| 116- §. Улама балкалар ва уларнинг ҳисоби . . . . .   | 334        |
| 117- §. Улама балкалар элементларини туташтирувчи парчин михлар ҳисоби . . . . .                      | 341        |
| 118- §. Пайвандлаб уланган улама балкалар ҳисоби . . . . .  | 343        |
| 119- §. Улама ёғоч балкалар ҳисоби ҳақида тушунча . . . . .   | 345        |
| 120- §. Темир-бетон балкаларни рухсат этилган кучланишлар асосида ҳисоблаш . . . . .                  | 348        |
| 121- §. Темир-бетон балкалардаги тангенциал кучланишлар . . . . .                                     | 351        |
| 122- §. Эластик таянчда ётувчи балкалар . . . . .   | 359        |

|  |            |
|--|------------|
| <b>XVIII б о б. Материаллар қаршилигининг умумий теоремалари</b>   | <b>364</b> |
| 123- §. Деформациянинг потенциал энергияси . . . . .   | 364        |
| 124- §. Умумлаштирилган координаталар ва умумлаштирилган кучлар . . . . .                                  | 369        |
| 125- §. Эластик система потенциал энергиясининг умумий ифодаси . . . . .                                   | 370        |
| 126- §. Кастильяно теоремаси . . . . .   | 372        |
| 127- §. Кастильяно теоремасининг бошқача исботи . . . . .  | 375        |
| 128- §. Кастильяно теоремасининг татбиқи . . . . .   | 376        |
| 129- §. Минимал иш ҳақидаги теорема . . . . .  | 379        |
| 130- §. Кучишларнинг ўзаро муносабатда бўлиши ҳақидаги теорема (Максвелл-Бетти теоремаси) . . . . .        | 380        |
| 131- §. Мор усули . . . . .  | 383        |
| 132- §. Вершчагин усули . . . . .  | 386        |
| 133- §. Каноник тенгламалар. Рамалар ҳисоби . . . . .  | 386        |
| <br>   |            |
| <b>XIX б о б. Эгри стерженлар ҳисоби</b>   | <b>393</b> |
| 134- §. Эгри стержень кесимида ҳосил бўладиган кучланишлар   | 393        |
| 135- §. Эгри стержень кундаланг кесими нейтрал ўқининг ҳолатини аниқлаш . . . . .                          | 397        |
| 136- §. Баъзи хусусий ҳоллар учун нейтрал қатламнинг эгрилик радиусини аниқлаш . . . . .                   | 399        |
| 137- §. Эгри стерженларнинг деформацияси . . . . .   | 401        |
| 138- §. Икки шарнирли аркалар ҳисоби . . . . .   | 403        |
| <br>   |            |
| <b>XX б о б. Юпқа деворли идишлар ва қалин деворли трубалар ҳисоби</b>                                     | <b>410</b> |
| 139- §. Ички босим таъсиридаги юпқа деворли идишлар . . . . .  | 410        |
| 140- §. Юпқа қобикларнинг энг оддий кўринишлари . . . . .  | 412        |
| 141- §. Ички ва ташқи симметрик босим таъсиридаги қалин деворли трубалар ҳисоби . . . . .                  | 414        |
| 142- §. Қўшма трубалар . . . . .   | 418        |
| 143- §. Резервуар деворида ҳосил бўладиган эгилиш . . . . .  | 421        |
| 144- §. Цилиндрик резервуар ҳисоби . . . . .   | 425        |
| 145- §. Босим таъсиридаги газ баллонларнинг ҳисоби . . . . .   | 426        |
| <br>   |            |
| <b>XXI б о б. Балкаларнинг устиворлигига оид баъзи мураккаб масалалар</b>                                  | <b>428</b> |
| 146- §. Масаланинг қўйилиши . . . . .  | 428        |
| 147- §. Бўйлама ва кундаланг эгилиш . . . . .  | 428        |
| 148- §. Бўйлама ва кундаланг куч таъсиридаги балканинг мустаҳкамлигини энергетик усулда ҳисоблаш . . . . . | 432        |
| 149- §. Балкаларнинг кундаланг эгилишидаги устиворлиги . . . . .   | 437        |
| <br>   |            |
| <b>XXII б о б. Динамик юкларнинг таъсири</b>   | <b>442</b> |
| 150- §. Умумий мулоҳазалар . . . . .   | 442        |
| 151- §. Инерция кучлари таъсиридаги иншоот ва машина қисмларининг ҳисоби . . . . .                         | 443        |
| 152- §. Динамик юклар таъсирдан иншоот ва машина қисмларида ҳосил бўладиган тебранма ҳаракатлар . . . . .  | 449        |
| 153- §. Эластик системанинг эркин тебранишига эластик бўлмаган қаршиликларнинг таъсири . . . . .           | 453        |
| 154- §. Эркинлик даражаси битта бўлган эластик системанинг мажбурий тебраниши . . . . .                    | 456        |
| 155- §. Эластик системанинг мажбурий тебранишига эластик бўлмаган кучларнинг таъсири . . . . .             | 462        |
| 156- §. Эркин тебранувчи стерженлар массасининг таъсирини тақрибий равишда ҳисобга олиш . . . . .          | 465        |

---

|   |            |
|---|------------|
| 157- §. Зарбли кучлар таъсиридан ҳосил бўладиган кучланишлар  | 469        |
| 158- §. Зарбга синаш. Синаётган материалнинг механик хос-<br>саларига деформация тезлигининг таъсири . . . . .    | 480        |
| <b>XXIII б о б. Кучланишлар ўзгарувчан бўлган ҳолда материаллар-<br/>нинг мустаҳкамлигини текшириш . . . . .</b>  | <b>482</b> |
| 159- §. Ўзгарувчан кучланишларнинг материал мустаҳкамлиги-<br>га таъсири ва бу ҳолда мустаҳкамлик шarti . . . . . | 482        |
| 160- §. Симметрик ва тескари симметрик циклар учун чидамли-<br>лик чегарасини аниқлаш . . . . .                   | 483        |
| 161- §. Чидамлик чегарасини цикл характеристикаси буйича<br>аниқлаш диаграммалари . . . . .                       | 486        |
| 162- §. Кучланиш тўпланишининг толиқишга таъсири . . . . .  | 489        |
| 163- §. Ўзгарувчан юклар таъсиридаги материаллар учун рухсат<br>этилган кучланишни аниқлаш . . . . .              | 491        |

Иловалар

---



Махсус редактор *И. А. Одилахўжаев*  
Редактор *А. Мирзаев*  
Бадний редактор *Е. И. Соин*  
Техн. редактор *Э. Вильданова*  
Корректор *Ж. Нуриддинова*

Теришга берилди 10/V-1970 й. Босишга рухсат этилди 3/IV-1973 й. Қозони № 2.  
70X108 <sup>1</sup>/<sub>16</sub>. Физик б. л. 32,0. Шартли босма л. 44,8. Напр. л. 39,55. Тиражи  
20000. P09416.

«Экитувчи» нашриги. Тошкент, Навоий кўчаси, 30. Шартнома 243-69.  
Баҳоси 1 с. 11 т. Муқоваси 30 т.

УзССР Министрлар Совети Матбуот Давлат комитетининг Тошкент полиграфия  
комбинати. Тошкент, Навоий кўчаси, 30. 1973 й. Заказ № 1260.

Ташкентский полиграфкомбинат Государственного комитета Совета Министров  
УзССР по печати. Ташкент, Навои, 30.

